LEN
ener
arte
1

Bavar. Annalen
36 2°
(2

NEUE ANNALEN

DER

K. STERNWARTE IN BOGENHAUSEN

BEI MÜNCHEN.

AUF KOSTEN DER K. BAYER. AKADEMIE DER WISSENSCHAFTEN

HERAUSGEGEBEN

VON

HUGO SEELIGER

DIRECTOR DER K. STERNWARTE.

BAND II.

MIT DREI TAFELN.

MÜNCHEN 1891.

VERLAG DER K. AKADEMIE.

IN COMMISSION BEI G. FRANZ.

BIBLIOTHECA
REGIA
MONACENSIS

VORWORT.

Der vorliegende zweite Band der neuen Annalen der Münchener Sternwarte besteht aus sieben Theilen, welche einzeln paginirt sind und alles zum Verständniss erforderliche enthalten. Diese sieben Theile sind:

1. Zweites Münchener Sternverzeichniss etc. von Dr. J. Bauschinger, S. XXVI und 172.
2. Neue Beobachtung und Ausmessung des Sternhaufens 38h Persei von Dr. K. Oertel, mit 2 Tafeln paginirt B 1 bis B 92.
 Nachtrag zu dieser Abhandlung B 93 bis B 94.
3. Die Vertheilung der in beiden Durchmusterungen enthaltenen Sterne am Himmel von dem Unterzeichneten C 1 bis C 42.
4. Ueber die Biegung von Meridianfernrohren, von Dr. J. Bauschinger, mit 1 Tafel D 1 bis D 18.
5. Ableitung der Eigenbewegung von 90 telescopischen Sternen, von Dr. J. Bauschinger E 1 bis E 35.
6. Hilfstafeln der Münchener Sternwarte F 1 bis F 24.
7. Anhang, die bisherigen Publicationen der Münchener Sternwarte betreffend, von Dr. E. Anding G 1 bis G 21.

Mehrere der genannten Theile sind schon vor längerer Zeit gedruckt worden und davon einige in Separatabzügen zur Vertheilung gekommen. So ist 2. im Winter 1890, 3. im Frühjahre 1887, 4. im Frühjahre 1888, 5. im Frühjahre 1890 im Drucke vollendet worden.

BOGENHAUSEN, im Juli 1891.

H. SEELIGER.

Weitere Berichtigungen zu Band I. der Neuen Annalen.

(Fortsetzung zu Band I, pag. XXXVII.)

No.
10337 Statt 44′ lies 54′; die Praec. wird dann: $3^{s}304$.
11179 Statt 13′ lies 14′ (die Bemerkung ist zu streichen).
11951 Statt 59″5 lies 29″5.
13900 Statt B lies M.
15076 M ist zu streichen.
18469 Statt 35″6 lies 15″6.

No.
19916 Statt B lies M.
21160 Statt M lies A.
31463 Statt M lies W.
32490 Statt W lies M.
32561 Statt $33^{s}11$ lies $32^{s}11$.
Seite 681 Statt No. 11851 lies 11852.

Folgenden Nummern ist in den Nachweisen M beizufügen: 20703, 21011, 22548, 30256, 30929, 31164, 32054, 32150, 32178, 32529, 32896.

Im Vorwort zu Band I muss die Anzahl der Bände der älteren Publicationen wie folgt gelesen werden:

2. Observationes astr. etc., Vol. I — X.
3. Annalen etc., Band 1 — 21.

Bemerkung zur Bonner südlichen Durchmusterung.

In der südlichen Durchmusterung bezieht sich der Nachweis M auf die älteren Ausgaben der Lamont'schen Zonenkataloge. Um Uebereinstimmung dieser Angaben mit der neuen Bearbeitung der älteren Zonen (Annalen Band I) zu erhalten, sind nun folgende Aenderungen in der S.D. anzubringen:

1. In folgenden Nummern ist M zu streichen, wenn man diesen Nachweis auf die Neuausgabe der Lamont'schen Zonen (M_1) bezieht; es findet sich für diese Nummern aber eine neue Meridianbeobachtung in Band II der Münchener Annalen (M_2).

— 2°.276	— 7°.4882	— 12°.5492
— 6.1772	— 8.4973	— 13.3073
— 6.3840	— 11.3232	— 14.6523
— 6.5305		

2. In folgenden Nummern ist M zu streichen, da weder M_1 noch M_2 diese Sterne enthalten:

— 2°.3670	— 3°.3113	— 6°.4368
— 2.4948	— 6.3216	— 14.3748
— 3.3054	— 6.3239	— 18.5732 (muss A heissen.)

3. In folgenden Nummern ist M hinzuzufügen, da der Stern in M_1 vorkommt:

— 2°.2028	— 3°.3224	— 10°.3612
— 2.4220	— 5.4839	— 12.3977
— 2.5222	— 6.3287	— 12.4865
— 2.5456 (Sj ist zu streichen.)	— 8.4723	— 13.4486
— 2.5793	— 8.5809	

ZWEITES

MÜNCHENER STERNVERZEICHNISS

ENTHALTEND DIE

MITTLEREN OERTER VON 13200 STERNEN

FÜR DAS AEQUINOCTIUM 1880.

BEOBACHTET UND BERECHNET

VON

DR. JULIUS BAUSCHINGER
OBSERVATOR DER STERNWARTE.

EINLEITUNG.

I.

In der Einleitung zum ersten Bande der „Neuen Münchener Annalen" pag. XVIII sind die Gründe auseinandergesetzt, welche zur Entstehung des nachfolgenden zweiten Münchener Sternverzeichnisses Anlass gegeben haben. Bei Herstellung des aus den Lamont'schen Zonenbeobachtungen gebildeten Generalkataloges stellte sich nämlich die Nothwendigkeit einer durchgreifenden Revision aller jener Positionen heraus, welche nicht durch anderweitige Beobachtungen controlirt waren oder für welche die Vergleichung mit diesen Beobachtungen Anlass zu Zweifeln und zu genaueren Untersuchungen über Eigenbewegung bot. Eine solche Revision war der Sachlage nach nicht auf andere Weise zu erreichen, als durch eine nochmalige Beobachtung aller dieser Objecte; im Anfang des Jahres 1884 wurde ich von Herrn Professor H. Seeliger mit dieser Arbeit betraut und habe dieselbe in den folgenden fünf Jahren durchgeführt, indem mit der Beobachtung die sofortige Reduction und die Vergleichung mit den früheren Positionen Hand in Hand ging. Die Resultate der Beobachtungen sind in dem folgenden Kataloge niedergelegt, während bezüglich ihrer Verwerthung für das erste Sternverzeichniss auf den I. Band pag. XVIII, sowie auf die demselben angehängten Bemerkungen zu verweisen ist. Es soll hier nur noch betont werden, dass alle einigermassen erheblichen Abweichungen untersucht wurden und nicht durch Rechnungsfehler entstanden sind; es gilt dies auch für die wenigen Fälle, für welche in den Bemerkungen zu Band I nicht ausdrücklich hierauf aufmerksam gemacht ist.

Diesen Ausführungen gemäss wurden in die Arbeitslisten des neuen Kataloges folgende Objecte aufgenommen:

1. alle jene Sterne der Lamont'schen Zonen, welche nur einmal beobachtet waren und in keinem der verglichenen Kataloge vorkamen,

2. alle Sterne, bei denen entweder die doppelte Münchener Beobachtung oder die Vergleichung mit einem der genannten Kataloge einen Zweifel an der Richtigkeit der Position ergeben hatte,

3. die wenigen Sterne, für welche zwar zwei Beobachtungen vorlagen, welche aber nicht in der Bonner Durchmusterung vorkamen,

4. eine Anzahl von Sternen mit vermutheter Eigenbewegung,

5. ausgewählte Sterne aus der Bonner Durchmusterung, welche zur Ausfüllung der bei der unregelmässigen Vertheilung der Lamont'schen Zonen auf die verschiedenen Stunden der Rectascension bald entstehenden Lücken dienten.

Die unter 1. bis 4. genannten Positionen bildeten das eigentliche Programm; jedes dieser circa 10000 Objecte sollte einmal beobachtet werden. Sie erforderten aber weit mehr als 10000 Beobachtungen, theils weil in allen einigermassen zweifelhaften Fällen zwei Beobachtungen des betreffenden Sternes angestellt werden mussten, theils aber hauptsächlich weil bei einer leider nur zu grossen Anzahl von verdorbenen Positionen des älteren Kataloges eine Menge von benachbarten Sternen mitbeobachtet werden musste, um mit Sicherheit die nothwendigen Correctionen ausführen zu können. Die durch die geringe Correctheit der früheren Positionen bedingte Unzuverlässigkeit

der Arbeitslisten — unter 5 eingestellten Objecten war durchschnittlich eines nicht am Himmel zu finden — hat naturgemäss äusserst verzögernd auf den Fortschritt und bei der Unruhe, die sich des Beobachters bemächtigen musste, vielleicht auch schädigend auf die Güte der Arbeit eingewirkt. Ein weiterer die Arbeit erschwerender Umstand war auch die geringe Lichtstärke der meisten zu beobachtenden Objecte; auch wenn man nicht annehmen will, dass das Objectiv im Laufe des siebenzigjährigen Gebrauches gelitten hat, so sind doch bei den früheren Zonen-Beobachtungen, die einen Zeitraum von 33 Jahren umfassen, an besonders klaren Abenden Objecte bestimmt worden, die neuerdings unter ungünstigen oder nur normalen atmosphärischen Bedingungen äusserst schwierig oder gar nicht beobachtet werden konnten. Nur dadurch, dass die schwierigsten Objecte für besonders gute Abende reservirt wurden, ist es möglich geworden, das gesammte Programm mit verschwindenden Ausnahmen zu erledigen. Die unter 5. genannten Sterne mussten sich der eigentlichen Arbeit unterordnen und wurden meist aus der südlichen Durchmusterung, die uns durch die Güte des Herrn Geheimrath Schönfeld bereits in den Aushängbogen zugänglich war, in den Rectascensionsstunden 0^h bis 10^h ausgewählt unter Bevorzugung solcher Sterne, für welche Meridianbeobachtungen noch nicht vorlagen.

Die Gesammtzahl der Beobachtungen mit Ausschluss der Fundamentalsterne (1736 Zeitsterne, 229 Polsterne) beträgt 16990, die Zahl der dadurch bestimmten Sterne ist 13200. Da hiervon etwa 1600 Sterne nicht im ersten Münchener Sternverzeichniss vorkommen, so ist über ein Drittel der Sterne dieses letzteren zur Neubeobachtung und zu der dadurch herbeigeführten Revision gelangt. Die Anzahl der Beobachtungsabende, die hierzu in regelmässiger Arbeit vom 15. Februar 1884 bis zum 20. October 1888 nöthig waren, beträgt 388; dazu kommen noch 4 Nachtragszonen im Jahre 1889 und 3 Anschlussbeobachtungen am $10^1/_2$ zölligen Refractor.

Die Aufstellung der Arbeitslisten, die Anordnung der Beobachtungen und die Beobachtung am Fernrohr selbst ist ausschliesslich von mir besorgt worden, während Herr W. List mit geringen Ausnahmen — 24 Abende, an denen ich wegen der geringen Zahl von Sternen allein beobachten konnte — die Einstellung der Objecte und die Ablesung der Mikroskope ausgeführt hat. Die Reduction der Beobachtungen, ihre Controle durch die Vergleichung mit dem älteren Verzeichniss und die Zusammenstellung derselben zum Katalog rührt von mir her; für einen Theil der Rechnungen fand ich hierbei in Herrn List und im letzten Jahre auch in Herrn Dr. E. Anding die thatkräftigste Unterstützung; die letzte Abschrift des Kataloges ist von Herrn List angefertigt worden.

2.

Die instrumentalen Hilfsmittel, die zur Anstellung der Beobachtungen dienten, waren der Reichenbach'sche Meridiankreis, an welchem auch die älteren Zonenbeobachtungen ausgeführt worden waren, aber mit Beseitigung des Lamont'schen Zonenapparates, und die Sternzeituhr von Knoblich. Der Meridiankreis, wohl der älteste von den noch existirenden Reichenbach'scher Construction, war in allen Theilen mit Ausnahme des trefflich getheilten Kreises so veraltet, dass eine vollständige Umarbeitung desselben nicht zweckmässig erschien; er wurde deshalb im Jahre 1883 nur so weit einer Reparatur unterworfen, dass er eine Anstellung von Differenzialbeobachtungen ermöglichte, und zugleich mit einigen untergeordneten Vorrichtungen zur Erleichterung von Zonenbeobachtungen ausgestattet. Einige wenige Angaben über dieses in vielen ähnlichen Exemplaren verbreitete und beschriebene Instrument werden daher hier genügen.

Der Meridiankreis ist aufgestellt in einem Saale von 4 m Höhe, 6 m Länge (in der Richtung *NS*) und 5 m Breite und erhält den Ausblick nach dem Himmel durch eine 1 m breite Spalte, die durch eine trefflich functionirende Vorrichtung auf einmal von Horizont zu Horizont geöffnet werden kann. Zwischen zwei ausgezeichnet fundirten Marmorpfeilern von 0.91 m innerer Entfernung und 1.85 m Lagerhöhe bewegt sich das Fernrohr von 109 mm Oeffnung und 1.62 m Focallänge auf Zapfen von 27 mm Dicke in corrigirbaren Lagern von prismatischer Form. Der westliche Theil der Axe trägt den von 3' zu 3' getheilten Kreis von 0.95 m Durchmesser, welcher durch zwei Mikroskope, die an den Enden einer horizontalen auf dem westlichen Pfeiler aufliegenden starken

Eisenplatte befestigt sind, abgelesen wird; die Schrauben der Mikroskope machen 3 Revolutionen auf ein Intervall des Kreises und die Trommeln sind in 60 Theile getheilt, so dass Secunden direct und Zehntelsecunden durch Schätzung abzulesen sind. Die Fadenplatte des Fernrohres enthält 11 Vertical- und zwei Horizontalfäden, hierzu kommt ein durch Mikrometerschraube beweglicher Verticalfaden. Die Neigung der Horizontalaxe ist durch eine Hängelibelle zu bestimmen, zur Ermittelung des Collimationsfehlers und des Nadirpunktes ist ein Quecksilberhorizont vorhanden. Das Fernrohr ist zwar umlegbar, doch ist keine Vorrichtung angebracht, um den Kreis auch in seiner östlichen Lage abzulesen; es wurde daher nur umgelegt, um die Correction wegen Zapfenungleichheit zu ermitteln; im Uebrigen hat das Instrument seine Lage: Kreis West während der ganzen Dauer der Beobachtungen nicht mehr verlassen. Die regulirbare Beleuchtung des Gesichtsfeldes geschieht durch den durchbohrten östlichen Zapfen mit einer am Pfeiler befestigten Lampe, welche zugleich die Uhr beleuchtet; die Beleuchtung der Mikroskope wird durch eine am westlichen Pfeiler in angemessener Entfernung befestigte Lampe mittelst Spiegelcombination bewirkt. Die Feinbewegung hat die primitive Einrichtung der alten Reichenbach'schen Kreise behalten und functionirt schlecht. Ebenso ist die Reichenbach'sche Hebelvorrichtung zur Aufhebung der Biegung beibehalten, da es bei dem streng differenziellen Charakter der Beobachtungen unnöthig erschien, auf Biegungsbestimmungen einzugehen. Die angewandte Vergrösserung war eine 110-fache bei allen Zonen.

Die Pendeluhr von Knoblich ist an einem Separatpfeiler in unmittelbarer Nähe des östlichen Instrumentpfeilers aufgehängt; sie besitzt eine Quecksilbercompensation und hat während der ganzen Dauer der Arbeit durch ihren regelmässigen Gang sehr befriedigt, namentlich wenn man den Umstand in Betracht zieht, dass sie gegen Temperaturänderungen so viel wie gar nicht geschützt war.

3.

Mit diesen Hilfsmitteln konnten brauchbare Beobachtungen nur dann erlangt werden, wenn von vorneherein die möglichste Annäherung an das strenge Differenzialverfahren erstrebt wurde. Ich habe daher alle zu beobachtenden Objecte in Zonen von 6^0 Breite vertheilt und, so lange dies durchführbar war, an einem Abend nur Sterne einer bestimmten Zone zugleich mit Fundamentalsternen beobachtet, die in möglichster Nähe dieser Zone sich befanden. Die Anhaltsterne lieferte der Auwers'sche Fundamentalkatalog, beziehungsweise die Ephemeridensammlung des Berliner Jahrbuches, Jahrgänge 1884 — 1889. Der folgende Katalog beruht also auf demselben System und ist soweit möglich nach denselben Principien hergestellt, wie der Katalog der Astronomischen Gesellschaft. Als die Arbeitslisten anfingen, sich zu erschöpfen, mussten, um den Abschluss der Arbeit nicht zu verzögern, an einem Abend mehrere Zonen zugleich beobachtet werden; ich habe jedoch auch dann durch geeignete Auswahl der Anhaltsterne und Vermehrung derselben die differenzielle Eigenschaft der Beobachtungen zu wahren gesucht.

Die Beobachtungsweise war durch die eigenthümliche Art des Programms, welches die Revision eines höchst fehlerhaften Sternverzeichnisses erforderte, vorgeschrieben und musste in erster Linie den möglichsten Ausschluss von zufälligen Beobachtungsfehlern garantiren. Das Verfahren, das ich einschlug und das durch den Erfolg sich rechtfertigte, da nur eine verschwindend geringe Anzahl von Beobachtungsfehlern sich einschlich, ist das folgende. Ich gab Herrn List aus der Arbeitsliste die rohe Kreiseinstellung an, beobachtete dann nach der Aug- und Ohrmethode durchschnittlich drei bis vier Fäden, die ich in eigens liniirte Rubriken des Beobachtungsbuches eintrug, controlirte jedesmal die Secunde, notirte die geschätzte Grösse des Sternes, und liess mir schliesslich von Herrn List die Ablesung der beiden Mikroskope dictiren. Nur auf diese Weise liess sich eine sofortige Controle der wie gesagt unsicheren Arbeitslisten ermöglichen und mit einem raschen Fortschreiten der Beobachtung die grösste Sicherheit derselben verbinden.

Die Bestimmung der Fehler des Instrumentes und der Uhr, sowie die Ermittelung des Aequatorpunktes auf dem Kreise geschah in folgender Weise. Am Anfang und am Schluss

eines jeden Beobachtungsabends wurde die Neigung der Drehungsaxe mittelst der Libelle gemessen; ein Intervall der Libelle betrug

$$1^p = 2\overset{''}{.}584 = 0\overset{s}{.}172\,;$$

die Correction der Neigung wegen Ungleichheit der Zapfendicke war

$$\text{bei Kreis West: } -0^p47 = -0\overset{s}{.}081.$$

Hieran schloss sich, ebenfalls am Anfang und am Schluss der Zone ausgeführt, die Messung der Entfernung des Mittelfadens von seinem Bild im Quecksilberhorizont mittelst des Mikrometerfadens am Ocular; das Intervall zwischen zwei Theilstrichen der Trommel wurde angenommen zu

$$1^p = 0\overset{s}{.}0219.$$

Aus der Verbindung dieser beiden Messungen wurde der Collimationsfehler c abgeleitet. Die Declination des westlichen Endes der Drehungsaxe, also das Bessel'sche n ergab sich in bekannter Weise aus der Beobachtung eines Polsternes mit einem Aequatorstern und wurde, wenn auch nicht an jedem Beobachtungsabend, so doch in angemessenen Intervallen bestimmt und für die zwischenliegenden Abende interpolirt. Die Durchgangszeiten der Sterne durch das Fadennetz sind mit folgenden Fadendistanzen (für den Aequator giltig) auf den Mittelfaden reducirt worden:

Kreis West:

Faden:	1	2	3	4	5	6	7	8	9	10	11
Distanz:	+ 26ˢ93	+ 20ˢ87	+ 15ˢ03	+ 6ˢ11	+ 3ˢ23	0ˢ00	— 3ˢ07	— 6ˢ01	— 15ˢ14	— 21ˢ34	— 27ˢ32

Diese Fadendistanzen habe ich vor Beginn der Zonenbeobachtungen durch Polsterndurchgänge bestimmt und zu allen Reductionen angewandt, da bei der fortwährenden Controle, der dieselben unterworfen waren, sich nie das Bedürfniss nach einer Neubestimmung herausstellte; die Fäden 5 und 7 sind nur bei Beobachtung von Polsternen benutzt worden.

Die auf den Mittelfaden reducirten Durchgangszeiten der Fundamentalsterne, für welche immer sechs, vielfach aber auch neun Fäden beobachtet wurden, gaben, nachdem sie um den Betrag

$$n \tan \delta + (c - a) \sec \delta \qquad (a = \text{tägliche Aberration} = 0\overset{s}{.}014)$$

corrigirt worden waren, in Verbindung mit den aus dem Berliner Jahrbuch entnommenen scheinbaren Rectascensionen den Betrag $dU + m$ d. h. die Uhrcorrection, vermehrt um das Bessel'sche m. Die Grösse

$$dU + m + n \tan \delta + (c - a) \sec \delta$$

zur Durchgangszeit eines Zonensternes durch den Mittelfaden hinzugefügt, führte zur Kentniss der scheinbaren Rectascension desselben. Zur Bestimmung von $dU + m$ sind durchschnittlich 5 Fundamentalsterne beobachtet worden, häufig weniger, wenn ungünstige Witterung oder benachbarte Sterne des Programmes dies nothwendig machten, häufig auch mehr, wenn die Zonen besonders lang ausgedehnt wurden. Die jeweilige Zahl der benutzten Fundamentalsterne findet sich in dem unten mitgetheilten Zonenverzeichniss angegeben. Als mittlerer Fehler einer aus 5 Fundamentalsternen abgeleiteten Bestimmung von $dU + m$ ist durchschnittlich $\pm 0\overset{s}{.}042$ (im Mittel aus allen 102 Zonen, welche genau 5 Fundamentalsterne enthalten) gefunden worden.

Das Intervall der Horizontalfäden des Fadennetzes, in deren Mitte zur Bestimmung der Declinationen der Sterne eingestellt wurde, betrug 20", und ist wegen der geringen Lichtstärke der meisten Objecte so gross gewählt worden. Der Run der beiden Mikroskope ist am Anfang der Beobachtungsreihe aus einer grösseren Anzahl von Intervallen bestimmt und an jedem Abend durch Messung einiger Intervalle controlirt worden, hat übrigens eine bemerkenswerthe Constanz gezeigt. Die Refraction ist für jeden Stern gesondert gerechnet worden mit Zuhilfenahme der Bessel'schen Refractionstafeln, wie sie in den Albrecht'schen Hilfstafeln in bequemer Form vorliegen. Die meteorologischen Argumente der Refraction wurden durch die Normalinstrumente der Sternwarte gegeben; das Barometer wurde am Anfang und am Ende des Beobachtungsabends, das Thermometer ausserdem noch nach Ablauf jeder Stunde abgelesen. Für jeden Stern sind beide Mikroskope ab-

gelesen worden; das Mittel der Ablesungen, corrigirt um den Betrag des Run und befreit von der Refraction, gab zunächst für die Fundamentalsterne in Verbindung mit der scheinbaren Declination derselben die Ablesung des Kreises für die Lage des Aequators, also den Nullpunkt der Declinationen. Als mittlerer Fehler einer aus 5 Fundamentalsternen abgeleiteten Bestimmung dieses Nullpunktes ist durchschnittlich $\pm 0\rlap{.}''46$ (im Mittel aus denselben Zonen wie oben) gefunden worden. Dieser Nullpunkt ist übrigens am Anfang und am Schluss jeder Zone durch die Bestimmung des Nadirpunktes mit Hilfe des Quecksilberhorizontes controlirt worden, unter Annahme der geographischen Breite $+48^0\ 8'\ 45\rlap{.}''5$. Die Subtraction des Nullpunktes von den corrigirten Kreisablesungen für die Zonensterne gab schliesslich die scheinbaren Declinationen dieser letzteren.

Die bisher beschriebenen Reductionsrechnungen sind unmittelbar in den Beobachtungsbüchern, die eine dementsprechende Einrichtung erhalten hatten, ausgeführt worden und führten bis zur Kenntniss der scheinbaren Oerter der Zonensterne.

4.

Der Uebergang von den scheinbaren Oertern auf die Epoche 1880.0 konnte bei der zonenartigen Beobachtungsweise durch ein dem Bessel'schen Verfahren nachgebildetes bewirkt werden. Nennt man die Grössen, welche von den scheinbaren Oertern α und δ abgezogen werden müssen, um die mittleren für die Epoche 1880.0 zu erhalten, $\Delta\alpha$ und $\Delta\delta$, und stellt diese dar in der Form:

$$\Delta\alpha = k + k'(\delta - D)$$
$$\Delta\delta = d + d'(\delta - D),$$

wo D die mittlere Declination der Zone und $(\delta - D)$ in Graden ausgedrückt gedacht ist, so findet man unter Benutzung der bekannten Bezeichnungsweise des Berliner Jahrbuches:

$$k = \frac{f}{15} + \frac{g}{15}\sin(G+\alpha)\tan D + \frac{h}{15}\sin(H+\alpha)\sec D + m' + \frac{n'}{15}\sin\alpha\tan D$$

$$k' = \frac{60^2}{206265}\left(\frac{g}{15}\frac{\sin(G+\alpha)}{\cos D^2} + \frac{h}{15}\sin(H+\alpha)\frac{\tan D}{\cos D} + \frac{n'}{15}\frac{\sin\alpha}{\cos D^2}\right)$$

$$d = g\cos(G+\alpha) + h\cos(H+\alpha)\sin D + i\cos D + n'\cos\alpha$$

$$d' = \frac{60^2}{206265}\Big(h\cos(H+\alpha)\cos D - i\sin D\Big).$$

m' und n' sind hierin die Beträge der Praecession vom Anfang des Beobachtungsjahres bis zur Epoche 1880.0; dieselben sind also für ein Beobachtungsjahr constant und aus folgender Tabelle, der die Bessel'schen Werthe der Praecessionsconstanten zu Grunde liegen, entnommen worden:

Jahr	m'	n'
1884	$12\rlap{.}^s285$	$80\rlap{.}''206$
1885	15.356	100.258
1886	18.428	120.309
1887	21.499	140.360
1888	24.570	160.411

Behufs bequemerer Berechnung der Reductionstafeln wurden obige Ausdrücke in folgende Form gebracht:

$$k = a + b\cos\alpha + c\sin\alpha, \qquad k' = b'\cos\alpha + c'\sin\alpha$$

$$d = p + q\cos\alpha + r\sin\alpha, \qquad d' = p' + q'\cos\alpha + r'\sin\alpha,$$

und die einzelnen Coefficienten berechneten sich dann aus:

$$a = \frac{f}{15} + m' \qquad p = i \cos D$$

$$b = g \sin G \frac{\tan D}{15} + h \sin H \frac{\sec D}{15} \qquad q = (g \cos G + n') + h \cos H \sin D$$

$$c = (g \cos G + n') \frac{\tan D}{15} + h \cos H \frac{\sec D}{15} \qquad r = -g \sin G - h \sin H \sin D$$

$$b' = \frac{60^2}{206265} \left(g \sin G \frac{\sec D^2}{15} + h \sin H \frac{\tan D}{15 \cos D} \right) \qquad p' = -\frac{60^2}{206265} i \sin D$$

$$c' = \frac{60^2}{206265} \left((g \cos G + n') \frac{\sec D^2}{15} + h \cos H \frac{\tan D}{15 \cos D} \right) \qquad q' = \frac{60^2}{206265} h \cos H \cos D$$

$$r' = -\frac{60^2}{206265} h \sin H \cos D.$$

Die k, k', d, d' sind für jede Zone von 20^m zu 20^m der Rectascension direct berechnet und dann auf halbe Intervalle interpolirt worden. Die auf diese Weise entstehenden Reductionstafeln für die Zonensterne sind in bekannter Weise durch die Reduction einiger Fundamentalsterne controlirt worden; für jeden Abend sind so viele Reductionstafeln berechnet worden, als Zonen beobachtet wurden.

Die Berechnung der mittleren Oerter geschah auf besonderen Blättern, auf welche vorher die einzelnen Zonen aus den Beobachtungsbüchern herausgeschrieben worden waren. Die Zusammenstellung zum Katalog geschah in Heften, in denen jeder Minute der Rectascension eine Seite gewidmet war. Vor der Drucklegung des Kataloges ist derselbe noch einmal mit dem älteren Verzeichniss verglichen worden; ausserdem wurden alle Sterne, die nicht in diesem vorkamen, in der Bonner Durchmusterung und eine kleine Anzahl auch in genaueren Sternkatalogen aufgesucht.

5.

Was die erreichte Genauigkeit der Beobachtungen anlangt, so ist es schwierig, hiervon ein richtiges Bild zu bekommen; denn da programmgemäss jeder Stern nur einmal zu beobachten war, so ist zu weiteren Beobachtungen desselben Sternes, abgesehen von den wenigen Sternen mit Eigenbewegung und einer geringen Anzahl anderer, nur dann geschritten worden, wenn die erste Beobachtung wegen zu grosser Schwäche des Sternes Anlass zu Zweifeln gab; häufig ist es auch vorgekommen, dass die unrichtige Position der Arbeitsliste ein zu spätes Einstellen veranlasste, in Folge dessen nur mehr 1 oder 2 Fäden erlangt wurden, wenn der Stern überhaupt noch beobachtet werden konnte; in solchen Fällen ist der Stern gewöhnlich noch einmal beobachtet worden. Mit Ausnahme einer kleinen Anzahl von Sternen sind also doppelte und mehrfache Beobachtungen nur in Fällen ausgeführt worden, wo die erste Beobachtung als nicht völlig genügend betrachtet wurde; die übliche Methode, den mittleren Fehler einer Beobachtung zu berechnen, wird also nothwendig ein falsches und zwar ein ungünstigeres Bild von der Güte der Beobachtungen zu Tage fördern, als denselben thatsächlich zukommt. Diese Methode, welche den mittleren Fehler einer Beobachtung aus der Formel berechnet:

$$m = \sqrt{\frac{[\Delta \Delta]}{n - p}}$$

(n = Anzahl der Beobachtungen, p = Anzahl der Sterne), hat nach einer Rechnung, welche Herr Dr. Anding direct nach dem gedruckten Katalog durchführte, folgendes Resultat ergeben:

Mittlerer Fehler einer Beobachtung =
in A.R. $\pm 0^s.140$ 6313 Beobachtungen, 2947 Sterne;
in Decl. $\pm 1''.39$ 6260 Beobachtungen, 2923 Sterne.

Hierin sind alle Sterne enthalten, welche zweimal oder öfters beobachtet sind, also auch die grosse Zahl jener, für welche bei der einen Beobachtung nur ein einziger Faden erhalten wurde; ausgeschlossen sind nur die Sterne, welche bei der Beobachtung als unsicher bezeichnet wurden (in der Rubrik „Bemerkungen" mit a, d oder u gekennzeichnet) und ferner die sehr schwachen Sterne, welchen die optische Kraft des Fernrohres weitaus nicht gewachsen ist, also die Sterne, die mit

Grösse 10.5 und 11.0 oder in den Bemerkungen mit s gekennzeichnet wurden. Alle diese ausgeschlossenen Objecte wurden getrennt behandelt und haben ergeben:

Mittlerer Fehler einer Beobachtung =
in A.R. $\pm 0^s.206$ 639 Beobachtungen, 288 Sterne;
in Decl. $\pm 1''.92$ 671 Beobachtungen, 301 Sterne.

Es wurde versucht, die Genauigkeit der Beobachtungen noch auf einem anderen Wege zu ermitteln, der mehr jene Sterne in Berücksichtigung zieht, bei welchen nicht mannigfache Umstände die Beobachtung nachtheilig beeinflussten. Hierzu boten sich die Sterne mit Eigenbewegung dar, die am Schlusse dieses Bandes bearbeitet sind; für 68 von diesen Sternen sind im Katalog Beobachtungen mitgetheilt. Wenn man nun die Differenzen der Münchener Beobachtungen von dem Mittel aus allen Katalogen (unter Berücksichtigung der Eigenbewegung) als Fehler der ersteren betrachtet, so kann man hieraus den mittleren Fehler derselben berechnen. Es fand sich:

Mittlerer Fehler einer Beobachtung =
in A.R. $\pm 0^s.101$ 155 Beobachtungen,
in Decl. $\pm 1''.12$ 153 Beobachtungen.

Ich glaube, dass Werthe, welche zwischen diesen und den oben an erster Stelle mitgetheilten in der Mitte liegen, also:

Mittlerer Fehler einer Beobachtung =
in A.R. $\pm 0^s.121$ für 4 Fäden und eine mittlere Declination von 10^0,
in Decl. $\pm 1''.26$ für 2 Mikroskope

für die grosse Mehrzahl der Beobachtungen der Wahrheit am nächsten kommen.

Zur Vergleichung sind in nachstehender Tabelle für eine Reihe von Katalogen die wahrscheinlichen Fehler einer Beobachtung (auf den Aequator reducirt) zusammengestellt. Unter der Rubrik Fäden ist die Anzahl der beobachteten Fäden und die Methode der Beobachtung (A = Auge und Ohr-, R = Registrirmethode) angegeben.

Wahrscheinlicher Fehler einer Beobachtung

Katalog	in A.R.	Anzahl der Fäden	in Decl.	Anzahl der Mikr.	Oeffnung des Fernrohres	Quelle
Bonner B. VI.	$0^s.059$	7 A	$0''.64$	4	117mm	B.B. VI pag. XII.
Schjellerup	0.084	5 A	0.82	4	126	Schj. Sternkatalog pag. XVI.
Copeland und Börgen	0.084	5 A	0.79	2	109	Gött. Kat. pag. XIII.
Grant, Glasgow C.	0.063	7 A	0.80	4	162	A.V.S. Bd. 19 pag. 194.
Armagh II.	0.081	5 R	0.85	4	178	Second Arm. Cat. pag. XI.
Dunsink Cat.	0.065	10 R	0.86	4	160	Dunsink Obs. VI. Bd. pag. 10.
A. G. Albany	0.036	5 R	0.55	4	203	Albany-Cat. pag. (16).
A. G. Helsingf.-Gotha.	0.056	4 A	0.63	1	149	Helsingf.-Gotha-Cat. pag. (7).
München Ann. II.	0.081	4 A	0.85	2	109	siehe oben.

6.

In folgender Tabelle ist das Verzeichniss der Beobachtungsabende (Zonen) gegeben, welches, da die Zonen selbst nicht veröffentlicht werden, bei einigen Untersuchungen mit Nutzen wird eingesehen werden; zudem dient dasselbe zur Berechnung der Epochen der einzelnen Beobachtungen, da im Katalog selbst nur die Zonennummer angeführt ist. Die zweite Columne dieser Tabelle gibt das Beobachtungsdatum, die dritte dasselbe in Decimaltheilen des Jahres; die vierte und fünfte gibt die Anzahl der Fundamentalsterne, welche der Berechnung der Nullpunkte und der Fehler des Instrumentes zu Grunde gelegt wurden; die sechste gibt die Anzahl der Sterne des Kataloges, welche an dem betreffenden Abend beobachtet wurden; die siebente enthält eine kurze Charakteristik des Luftzustandes; hierbei bezeichnet: I ausgezeichnete Luft, II gute Luft, III mittelmässige Luft, IV ganz schlechte Luft; die achte endlich gibt die allgemeinen Bemerkungen wieder, die bei der Beobachtung gemacht wurden. Die mit * bezeichneten Zonen sind ohne Gehilfen beobachtet.

Zonen-No.	Datum		Epoche 1800 +	Anzahl der Zeit-sterne	Anzahl der Pol-sterne	Anzahl der Zonen-sterne	Luft	Bemerkungen
1	1884 Febr.	15	84.12	5	4	18	II	Gegen Schluss der Z. Nebel.
2		16	13	1	1	30	I	Durch einfallenden Nebel unterbrochen.
3		17	13	—	1	11	III	Wegen einfallenden Nebels keinen Zeitstern erhalten.
4		18	13	5	1	49	II	Stand der Uhr und Aequ.-Punkt wurden interpolirt.
5		19	13	5	1	50	II	
6		20	84.14	4	1	52	III	Luft dunstig.
7		21	14	6	1	51	III	Dunstig.
8		28	16	5	2	49	II	
9	März	3	17	5	1	58	II	
10		15	20	2	1	7	II	
11		16	84.20	4	1	48	I	
12		17	21	7	—	48	I	
13		28	24	4	1	33	II	Unruhige Bilder. Nebel fällt ein.
14		31	25	7	2	63	I	
15	April	1	25	6	2	63	I	
16		2	84.25	6	1	82	I	
17		3	25	5	1	80	II	Bilder unruhig.
18		4	26	4	1	48	III	Dunstig; Bilder schwach und unruhig.
19		8	27	3	1	32	III	Dunstig; Bilder stark bewegt.
20		12	28	5	1	48	II	Dunstig.
21		29	84.33	4	1	30	III	Nebel. Bilder stark bewegt.
22	Mai	7	35	6	1	65	I	Mond störend.
23		8	35	5	1	66	II	Mond störend
24		9	35	5	1	64	II	Mond störend.
25		10	36	3	2	49	I	
26		11	84.36	4	2	66	I	
27		12	36	5	1	48	II	Verwaschene Bilder.
28		17	37	6	1	76	I	
29		19	38	3	2	31	IV	Unsichere Beobachtung wegen stark bewegter Bilder
30		22	39	2	1	15	IV	und dunstiger Luft.
31		23	84.39	6	1	63	III	
32		24	39	5	1	59	III	
33		27	40	6	1	64	III	
34	Juni	25	48	1	1	13	IV	Die Zone wird durch Wolken unterbrochen.
35		27	49	6	—	46	IV	Verwaschene Bilder.
36		30	84.50	6	1	65	I	
37	Juli	2	50	5	1	84	I	
38		3	50	5	—	80	I	
39		4	51	3	—	51	II	Die Beob. wird durch Wolken unterbrochen.
40		8	52	1	—	13	II	Die Beob. wird durch Wolken unterbrochen.
41		11	84.53	2	1	26	I	Aufsteigende Wolken verhindern weitere Beob.
42		12	53	5	—	62	III	
43		13	53	4	1	49	I	Die Beob. wird durch Lärm empfindlich gestört.
44		23	56	6	1	65	I	
45	Aug.	2	59	2	—	24	II	Die Beob. wird durch Wolken unterbrochen.
46		3	84.59	5	1	67	II	Unruhige Bilder.
47		5	59	1	—	19	II	Die Beob. wird durch Wolken unterbrochen.
48		6	60	6	—	62	II	Mond störend.
49		7	60	2	—	20	III	Bilder ausserordentlich unruhig.
50		8	60	4	1	67	I	

Zonen-No.	Datum		Epoche 1800 +	Anzahl der Zeit-sterne	Anzahl der Pol-sterne	Anzahl der Zonen-sterne	Luft	Bemerkungen
51	1884 Aug.	9	84.60	6	1	86	I	
52		10	61	4	—	44	I	Starker Lärm ausserhalb der Sternwarte.
53		11	61	2	—	26	III	Dunstig; die Beob. wird durch Wolken unterbrochen.
54		12	61	6	1	62	II	Sehr unruhige Bilder.
55		20	63	3	—	14	III	Sehr unruhige Bilder.
56		22	84.64	4	1	32	III	Häufig durch Lärm gestört.
57		24	65	5	—	74	I	Starker Lärm.
58		25	65	4	—	63	I	Zuletzt durch Wolken.
59	Sept.	1	67	7	1	82	I	
60		11	69	5	—	65	II	Starker Wind; Bilder bewegt.
61		13	84.70	6	1	54	III	Unruhige Bilder.
62		15	71	6	—	84	I	
63		16	71	7	—	100	I	
64		17	71	7	1	82	I	
65		19	72	4	—	38	II	Zuletzt Wolken.
66		20	84.72	6	—	67	III	Bilder bewegt.
67		21	72	3	1	31	III	
68		24	73	7	—	65	II	Unruhige Bilder.
69		26	74	6	1	65	I	
70		27	74	3	—	21	II	Die Beob. wird durch Wolken unterbrochen.
71		28	84.74	7	—	71	II	
72		29	74	7	—	66	II	Mond störend.
73		30	75	2	—	19	III	Durch Wolken unterbrochen.
74	Oct.	9	77	5	1	47	II	Bilder unruhig.
75		14	79	4	1	20	III	Ganz dunstig. Bilder verwaschen.
76		19	84.80	5	—	37	III	Ganz dunstig. Bilder schwach.
77		21	80	3	1	14	IV	
78		23	81	4	—	23	IV	Bilder stark bewegt.
79		25	82	5	—	47	III	Unruhige Bilder.
80		27	82	2	—	16	III	Bilder schwach und unruhig.
81	Nov.	4	84.84	6	1	47	III	
82		5	85	5	1	72	II	
83		6	85	8	—	106	I	
84		11	86	3	—	33	III	Durch Wolken unterbrochen.
85		12	86	6	1	51	IV	Bilder verwaschen und unruhig.
86		13	84.87	5	—	49	II	Durch Wolken unterbrochen.
87		14	87	6	—	61	II	Gegen Ende wird die Luft schlecht.
88	Dec.	10	94	6	1	47	III	
89		13	95	9	1	80	II	Gegen Ende Bilder sehr bewegt.
90		14	95	6	—	48	II	
91		16	84.96	9	1	97	II	
92		18	96	7	—	76	II	
93	1885 Jan.	4	85.01	4	—	36	II	Zuletzt fällt Nebel ein.
94		6	01	7	1	68	II	Zuletzt Wolken.
95		12	03	8	1	80	I	
96		14	85.04	2	—	7	IV	Unruhige Bilder; Nebel fällt ein.
97		17	04	7	1	78	I	
98*		18	05	4	—	27	I	
99		19	05	6	1	61	II	
100		22	06	5	—	30	II	Unruhige und verwaschene Bilder.

Zonen-No.	Datum		Epoche 1800 +	Anzahl der Zeit-sterne	Pol-sterne	Zonen-sterne	Luft	Bemerkungen
101	1885 Jan.	23	85.06	5	1	33	II	
102		28	07	8	1	98	I	Mond störend.
103		29	08	7	1	95	I	
104		30	08	5	1	52	III	Theilweise durch Wolken.
105	Febr.	2	09	3	—	8	IV	Durch Wolken unterbrochen.
106		4	85.09	6	—	84	I	
107		6	10	5	—	44	II	Bilder unruhig.
108		7	10	4	1	67	III	Bilder unruhig.
109		8	10	2	—	28	III	Die Beob. wird durch Nebel unterbrochen.
110		12	11	3	1	17	III	Ganz nebelig. Verwaschene Bilder.
111		23	85.14	5	1	64	II	
112		24	15	4	—	67	II	
113		25	15	5	—	81	II	
114		26	15	5	—	37	I	Die Beob. wird durch Wolken unterbrochen.
115		27	16	5	—	68	I	
116	März	3	85.17	3	1	7	IV	Verwaschene Bilder.
117		11	19	4	1	48	III	
118		12	19	2	—	4	III	Die Beob. wird durch Wolken unterbrochen.
119		13	19	5	1	56	III	Bilder bewegt.
120		16	20	3	—	23	IV	Einstellungen unsicher.
121		31	85.24	4	—	68	III	Fortwährend Lärm.
122	April	4	25	3	1	54	IV	Bewegte Bilder.
123		5	26	2	1	6	III	Durch Wolken unterbrochen.
124		15	28	5	1	66	II	
125		18	29	4	—	44	IV	Vielfach durch Lärm gestört.
126		19	85.30	3	—	52	II	Fortwährend durch Lärm gestört.
127		20	30	6	1	83	II	
128		21	30	5	—	85	I	
129		22	30	4	—	36	III	Dunstig. Lärm.
130		24	31	4	1	80	II	Bilder bewegt.
131		27	85.32	5	—	67	III	Bilder schwach und bewegt.
132	Mai	10	35	3	1	20	III	Durch Wolken. Lärm.
133		20	38	5	1	61	II	Decl. Einstellungen unsicher.
134		25	39	2	—	15	III	Durch Wolken unterbrochen.
135		27	40	7	1	83	I	
136		29	85.40	4	—	32	II	
137	Juli	17	54	4	1	31	II	
138		20	54	1	—	11	II	Durch andauernden Lärm unterbrochen.
139		22	55	5	1	80	I	
140		23	56	3	—	41	III	
141		28	85.57	5	—	45	III	Bilder unruhig.
142		29	57	4	1	55	III	Bilder schwach und verwaschen.
143		30	57	5	—	49	II	
144	Aug.	5	59	5	1	84	II	Bilder sehr bewegt.
145		8	60	4	—	17	II	Beob. durch Wolken unterbrochen.
146		9	85.60	5	1	101	I	
147		15	62	4	—	51	III	Bilder verwaschen.
148	Sept.	2	67	5	1	65	II	
149		3	67	6	—	88	I	
150		13	70	4	1	67	III	Fortwährend Lärm.

Zonen-No.	Datum	Epoche 1800 +	Anzahl der Zeit-sterne	Anzahl der Pol-sterne	Anzahl der Zonen-sterne	Luft	Bemerkungen
151	1885 Sept. 14	85.70	7	1	82	II	
152	15	70	5	—	65	III	Durch Lärm empfindlich gestört.
153	16	71	6	1	91	I	
154	17	71	4	—	79	I	
155	18	71	4	—	66	II	
156	22	85.72	4	1	68	II	Bilder zuweilen sehr schlecht.
157	23	73	6	1	74	I	Fortwährend Lärm.
158	Oct. 2	75	4	1	42	II	Bilder stark bewegt.
159	8	77	4	1	14	III	Durch Wolken unterbrochen.
160	16	79	4	1	19	III	Fortwährend wechselnde Bewölkung.
161	17	85.79	3	—	47	III	Wechselnde Bewölkung.
162	Nov. 9	85	1	—	3	III	Die Beobachtung wird durch Wolken unterbrochen.
163	16	87	5	1	76	III	Starker Wind; Bilder unruhig.
164	17	88	8	1	81	III	Bilder verwaschen und unruhig.
165	27	90	3	—	22	III	Wechselnde Bewölkung.
166	Dec. 2	85.92	5	1	67	II	
167	4	92	3	—	21	IV	Bilder sehr unruhig.
168	22	97	4	1	37	II	Nebel fällt ein.
169	27	99	3	1	22	III	Nebel fällt ein.
170	28	99	3	1	15	III	Dunstig, zuletzt Nebel.
171	1886 Jan. 1	86.00	5	—	58	II	Nebel fällt ein.
172	4	01	1	—	2	IV	
173	13	03	3	1	3	III	Sterne verwaschen und bewegt.
174	14	04	5	1	67	II	Luft anfangs schlecht, später gut.
175	18	05	5	1	44	III	Bilder verwaschen und bewegt.
176	21	86.06	3	1	19	IV	Wolken unterbrechen die Beobachtung.
177	22	06	4	—	30	IV	Bilder stark bewegt und verwaschen.
178	Febr. 3	09	4	1	28	IV	Bilder bewegt.
179	8	10	3	1	23	IV	Bilder bewegt und verwaschen.
180	20	14	5	1	48	I	
181	22	86.14	1	—	4	II	Die Zone wird durch Wolken unterbrochen.
182	25	15	7	1	96	I	
183	März 1	16	3	—	30	II	Starker Wind; Bilder bewegt.
184	8	18	4	1	26	IV	
185	11	19	5	1	30	IV	
186	12	86.19	4	—	51	III	
187	17	21	2	—	4	II	Die Zone wird durch Wolken unterbrochen.
188	18	21	5	1	66	II	
189	19	21	4	—	37	III	
190	20	21	4	—	32	II	
191	24	86.22	4	—	51	II	Anfangs durch dünne Wolken.
192	25	23	5	1	67	I	
193	28	24	3	1	14	I	
194	April 2	25	4	—	63	I	
195	3	25	4	1	37	II	Bilder bewegt.
196	7	86.26	4	1	66	I	Starker Wind.
197	11	27	6	1	67	III	Bilder verwaschen und bewegt.
198	12	28	5	1	49	II	
199	17	29	5	1	80	II	Mond störend.
200	18	29	4	—	67	III	Mond störend.

Zonen-No.	Datum	Epoche 1800 +	Anzahl der Zeit-sterne	Pol-sterne	Zonen-sterne	Luft	Bemerkungen
201	1886 April 22	86.30	4	—	45	III	Durch Wolken unterbrochen.
202	24	31	5	1	83	I	Zuweilen durch dünne Wolken.
203	25	31	4	1	68	I	
204	26	31	4	1	77	I	
205	27	32	4	—	43	I	
206	28	86.32	5	—	46	I	Durch Wolken unterbrochen.
207	Mai 12	36	3	1	14	III	Ganz dunstig
208	17	37	3	—	33	II	
209	18	37	4	—	69	I	
210	19	38	5	1	64	I	
211	20	86.38	3	—	25	II	
212	21	38	4	—	64	I	
213	25	39	3	—	53	II	
214	Juni 1	41	5	1	48	II	
215	Juli 1	50	5	1	60	III	
216	2	86.50	4	1	82	I	
217	3	50	4	—	82	I	
218	6	51	4	—	51	III	Dunstige Luft; verwaschene Bilder.
219	18	54	3	1	50	II	Die Beobachtung wird durch Lärm gestört.
220	19	54	4	—	65	I	
221	20	86.55	4	1	67	I	
222	29	57	4	1	67	II	Bilder bewegt.
223	30	57	5	1	42	III	Dunstige Luft; Bilder verwaschen und bewegt.
224	Aug. 8	60	6	1	70	I	Fortwährender Lärm.
225	12	61	4	—	67	II	Sterne sehr bewegt; starker Lärm.
226	13	86.61	4	1	59	II	Streifwolken.
227	21	63	5	1	67	I	
228	27	65	5	1	77	I	
229	28	65	5	—	80	I	
230	29	66	5	1	62	I	
231	30	86.66	4	—	78	II	
232	31	66	4	1	66	I	
233	Sept. 1	66	4	—	43	III	Luft dunstig; Bilder bewegt.
234	12	69	3	1	30	IV	
235	13	70	5	—	63	III	
236	17	86.71	4	1	49	II	Verwaschene Bilder.
237	25	73	3	1	17	IV	Luft dunstig, zuletzt Wolken.
238	27	74	5	1	37	I	Die Beobachtung wird durch Hochnebel unterbrochen.
239	29	74	5	—	63	III	Verwaschene Bilder.
240	30	74	4	—	60	I	
241	Oct. 1	86.75	5	1	58	I	
242	4	76	4	—	48	III	Luft nebelig; Bilder bewegt.
243	Nov. 13	86	3	1	5	IV	Ganz dunstige Luft.
244	16	87	5	1	39	IV	Dunstig; manchmal Wolken.
245	17	88	3	1	37	IV	Dunstig; Bilder verwaschen und bewegt.
246*	Dec. 26	86.98	5	1	3	II	
247*	1887 Jan. 7	87.02	5	1	12	II	
248*	8	02	4	—	5	III	Luft nebelig.
249*	22	06	5	—	35	II	
250*	25	07	5	1	36	I	

Zonen-No.	Datum		Epoche 1800 +	Anzahl der Zeit-sterne	Pol-sterne	Zonen-sterne	Luft	Bemerkungen
251*	1887 Jan.	26	87.07	4	1	28	I	
252*		28	07	4	—	26	I	
253*		31	08	4	1	31	II	Bilder bewegt.
254*	Febr.	1	08	4	—	22	III	Bilder bewegt.
255*		7	10	4	1	18	III	Bilder verwaschen; zuletzt Wolken.
256		11	87.11	5	1	46	II	Zuletzt Wolken.
257		12	11	4	1	17	II	Die Beobachtung wird durch Hochnebel unterbrochen.
258		15	12	3	—	19	II	Sehr starker Wind.
259		16	13	4	1	33	II	
260		17	13	5	1	36	III	Bilder verwaschen und bewegt.
261		24	87.15	6	1	66	I	
262*		28	16	4	—	32	I	
263	März	4	17	4	1	49	II	
264		19	21	5	1	40	II	Bilder schlecht definirt und bewegt.
265		20	21	4	—	27	IV	
266		31	87.24	5	—	57	II	Anfangs recht dunstig.
267	April	2	25	1	1	1	IV	Durch Wolken.
268		4	25	4	—	56	III	
269		5	26	4	1	38	IV	Bilder matt und bewegt.
270		9	27	6	—	51	III	Dunstig, zuletzt Wolken.
271		10	87.27	4	—	50	II	
272		11	27	4	—	37	I	
273		20	30	4	1	46	III	Ganz dunstig.
274		21	30	5	—	61	I	
275*	Mai	25	39	2	1	5	II	Durch Wolken unterbrochen.
276*		26	87.40	4	—	21	I	
277	Juni	7	43	4	—	12	III	Ganz dunstig, zuletzt Wolken.
278		8	43	4	1	27	II	Die Beobachtung wird durch Wolken unterbrochen.
279		13	45	4	1	58	I	
280		14	45	3	—	38	II	Durch Wolken unterbrochen.
281		15	87.45	5	1	56	I	
282		19	46	2	—	5	II	Die Beob. kann wegen Lärm in der Umgebung nicht [fortgesetzt werden.
283		21	47	4	—	32	IV	Bilder stark bewegt.
284		22	47	4	1	50	II	
285		23	47	5	—	46	I	
286		24	87.48	5	—	49	I	
287		25	48	5	1	39	I	
288		27	49	5	—	50	I	
289		29	49	2	—	2	II	Die Beobachtung wird durch Wolken unterbrochen.
290		30	49	5	—	67	II	
291	Juli	4	87.50	4	1	18	III	Dunstige Luft.
292		8	51	5	1	49	I	
293		12	53	4	1	58	I	
294		19	55	4	—	23	III	Bilder verwaschen und bewegt.
295		27	57	3	1	10	IV	Die Uhr ist schlecht zu hören.
296		28	87.57	4	—	50	II	
297		29	57	4	1	48	II	
298		30	57	4	—	50	I	
299	Aug.	4	59	5	1	58	I	
300		5	59	5	—	64	I	

Zonen-No.	Datum	Epoche 1800 +	Anzahl der Zeit-sterne	Anzahl der Pol-sterne	Anzahl der Zonen-sterne	Luft	Bemerkungen
301	1887 Aug. 6	87.59	4	—	64	I	
302	9	60	5	1	48	II	
303	12	61	5	—	49	II	
304	23	64	5	1	74	I	
305	24	64	5	—	43	I	
306	25	87.65	4	1	65	I	
307	26	65	4	—	56	II	Im Süden Wolken.
308	27	65	5	—	61	II	Manchmal durch dünne Wolken.
309	Sept. 1	67	4	—	53	II	Manchmal durch dünne Wolken.
310	15	70	5	1	63	III	
311	16	87.71	5	—	67	II	
312	17	71	6	—	80	I	
313	18	71	4	1	46	II	Gegen Ende wird die Luft sehr dunstig.
314	21	72	5	—	59	II	Bilder recht bewegt.
315	23	73	5	1	50	IV	Gegen Ende ganz dunstig.
316	25	87.73	4	—	31	III	
317	26	73	5	1	56	I	
318	Oct. 1	75	4	—	41	III	Dunstig; Bilder verwaschen und bewegt.
319	2	75	2	—	1	III	Durch Wolken unterbrochen.
320	4	76	4	—	37	II	
321	9	87.77	3	1	22	IV	Luft ganz dunstig.
322	13	78	3	1	8	IV	
323	23	81	5	1	66	III	Anfangs schlecht, später etwas besser.
324	26	82	5	—	64	III	Dunstig; Bilder verwaschen und bewegt.
325	27	82	5	—	42	III	
326	28	87.82	4	—	63	II	Nebelig. Bilder ruhig.
327	Nov. 3	84	2	—	5	IV	Durch Wolken unterbrochen.
328	13	86	3	—	8	IV	Durch Nebel unterbrochen.
329	16	87	3	—	9	IV	Bilder sehr bewegt. Nebel fällt ein.
330	17	88	5	1	28	II	
331	29	87.91	6	1	25	II	Zuweilen durch Wolken.
332	Dec. 2	92	4	1	30	II	Gegen Ende Nebel.
333	6	93	4	—	4	IV	Die Beobachtung wird durch Nebel unterbrochen.
334	1888 Jan. 4	88.01	2	1	7	II	Luft nebelig.
335	16	04	5	1	30	II	
336	25	88.07	3	1	12	II	
337	Febr. 27	16	4	1	31	II	Nebelig. Bilder sehr schwach.
338	März 1	16	8	—	63	I	
339	16	20	4	1	16	II	Durch Wolken gestört.
340	20	22	6	—	11	III	Durch Wolken unterbrochen.
341	21	88.22	5	—	46	III	
342	23	22	5	—	20	III	Dunstig; Bilder ruhig, aber sehr schwach.
343	April 15	29	5	1	27	III	
344	16	29	6	1	28	II	Durch Lärm häufig gestört.
345*	28	32	4	1	2	III	Durch Wolken unterbrochen.
346*	Mai 2	88.33	4	1	7	III	
347	6	34	4	—	6	III	Dunstig.
348	7	35	6	1	42	II	
349	11	36	5	1	23	III	Zuweilen Bilder stark bewegt.
350	12	36	6	—	23	II	

Zonen-No.	Datum			Epoche 1800 +	Anzahl der			Luft	Bemerkungen
					Zeit-sterne	Pol-sterne	Zonen-sterne		
351	1888	Mai	13	88.36	6	—	47	II	
352			15	37	5	—	17	III	
353*			17	37	4	1	3	II	
354			18	38	6	—	25	II	Bilder zuweilen stark bewegt.
355			23	39	3	—	8	III	Bilder bewegt. Mond störend.
356			24	88.39	5	—	22	II	Mond störend.
357			25	40	4	1	2	II	
358			26	40	5	—	11	IV	Bilder stark verwaschen und bewegt.
359			27	40	5	—	14	III	
360		Juni	2	42	6	1	21	II	
361*			12	88.45	4	1	15	I	Vielfach durch Lärm gestört.
362*			19	46	5	1	9	II	
363			27	49	3	—	2	IV	Bilder ganz verwaschen.
364		Juli	2	50	5	1	31	III	
365			14	53	5	1	37	IV	
366		Aug.	8	88.60	4	1	36	III	
367			9	60	6	1	49	I	
368			10	61	7	—	48	I	
369			12	61	6	—	28	I	
370			13	62	4	1	7	IV	Durch Wolken.
371			28	88.66	5	1	40	II	
372		Sept.	3	67	5	1	44	III	
373			5	68	5	1	37	I	
374			14	70	3	—	18	III	Dunstig; Bilder matt und bewegt.
375			18	71	5	1	33	III	Dunstig; Bilder matt und bewegt.
376			19	88.72	4	1	21	III	
377			20	72	5	1	22	II	
378			21	72	5	1	9	III	Nebel; Bilder ganz matt.
379			22	72	4	1	6	III	Dunstig; Bilder matt.
380			23	73	5	—	19	II	
381			24	88.73	4	1	2	II	Durch Wolken unterbrochen.
382			28	74	5	1	21	II	Bilder bewegt.
383		Oct.	1	75	4	—	6	II	
384*			5	76	4	—	7	II	Durch Wolken unterbrochen.
385			12	78	5	—	15	IV	
386			16	88.79	6	—	9	III	
387			19	80	4	1	6	II	
388			20	80	4	—	2	II	
389*	1889	Juli	5	89.51	3	1	1	II	
390*		Sept.	10	69	4	1	5	II	
391*		Oct.	4	89.76	4	1	3	II	
392*		Nov.	3	84	5	1	10	II	

7.

Es erschien von Interesse, einige Vergleichungen des zweiten Münchener Sternverzeichnisses mit anderen Katalogen durchzuführen; seiner Entstehungsweise gemäss konnte auf eine genügende Anzahl von gemeinsamen Sternen nur bei solchen Katalogen gerechnet werden, die erst nach Beginn der Revision des ersten Münchener Sternverzeichnisses erschienen sind; unter diesen wurde einer mit ausschliesslich nördlichen Sternen, nämlich der Katalog der Astronomischen Gesellschaft, Zone Albany (+ 1° bis + 5°), und einer mit ausschliesslich südlichen Sternen, nämlich Gould's General Catalogue ausgewählt. Die in Betracht kommenden Positionen beider wurden auf 1880.0 reducirt und dann mit dem Münchener Katalog verglichen. In folgenden Tabellen sind zunächst die Einzel-Resultate mitgetheilt; die erste Columne enthält die Nummer des Münchener Kataloges; in den Noten sind die Eigenbewegungen angegeben, die bei der Herleitung der Positionen zur Anwendung gelangten.

Tab. 1. Albany — München.

No.	$\Delta\alpha$	$\Delta\delta$	No.	$\Delta\alpha$	$\Delta\delta$	No.	$\Delta\alpha$	$\Delta\delta$	No.	$\Delta\alpha$	$\Delta\delta$
	s	″		s	″		s	″		s	″
29	— 0.03	+ 0.5	955	+ 0.15	— 0.6	2373	+ 0.26	— 1.6	2774	+ 0.06	+ 0.7
30	+ 0.11	— 0.7	960	— 0.03	— 1.3	2384	+ 0.24	— 2.2	2794	+ 0.11	+ 0.1
107	+ 0.07	+ 0.9	963	+ 0.01	— 0.8	2393	— 0.01	— 0.6	2799	— 0.04	— 1.7
153	— 0.15	+ 1.1	971	+ 0.28	+ 0.2	2400	+ 0.04	— 0.8	2801	+ 0.03	— 0.9
185[1])	— 0.06	— 1.2	1383	+ 0.06	— 2.5	2403	— 0.05	— 2.5	2804	+ 0.03	+ 2.1
195	+ 0.01	— 0.8	1401	— 0.17	— 1.0	2409	+ 0.07	— 1.3	2837	+ 0.12	+ 1.3
202	+ 0.03	— 1.9	1528	+ 0.08	— 1.9	2417	+ 0.25	— 0.9	2863	— 0.07	+ 0.2
209	— 0.10	— 0.5	1854	— 0.17	— 0.1	2435	+ 0.16	— 1.3	2886	— 0.11	— 0.8
218	+ 0.08	— 0.5	1862	+ 0.01	— 2.1	2439	+ 0.30	— 1.4	2890	+ 0.08	— 0.6
219	+ 0.25	— 1.2	1870	+ 0.09	— 2.1	2448	— 0.17	— 3.1	2899	— 0.19	— 2.4
237	+ 0.06	+ 1.6	1879	+ 0.08	— 1.2	2461	+ 0.09	+ 0.3	2907	+ 0.05	+ 2.0
252	— 0.27	— 0.3	1949	— 0.02	— 0.6	2464	+ 0.07	— 1.2	2912	+ 0.18	— 0.1
257	+ 0.09	+ 0.9	1955	+ 0.23	— 1.6	2465	+ 0.10	+ 0.3	2938	+ 0.21	— 1.0
274	— 0.06	0.0	1968	+ 0.08	— 2.5	2471	+ 0.01	— 0.8	2943	— 0.24	+ 1.0
289	+ 0.03	— 1.1	1979	— 0.02	— 0.7	2472	+ 0.03	— 2.0	2944	+ 0.26	+ 0.2
427	+ 0.01	— 1.1	2004	— 0.15	+ 1.5	2479	+ 0.01	+ 0.3	2948	+ 0.27	— 0.4
433	+ 0.15	— 2.5	2020	+ 0.15	0.0	2485	— 0.07	— 0.4	2967	+ 0.15	+ 1.5
473	— 0.07	— 0.6	2024	+ 0.06	— 1.6	2486	— 0.07	— 0.6	2973	+ 0.27	+ 2.0
488	+ 0.12	+ 0.8	2028	+ 0.32	— 0.4	2487	+ 0.04	— 3.3	2974	— 0.03	+ 2.2
519	+ 0.02	+ 1.1	2068	+ 0.03	+ 0.3	2491	— 0.01	— 1.0	2977	+ 0.20	+ 1.2
520	+ 0.05	— 0.2	2081	— 0.04	— 0.9	2494	+ 0.18	+ 0.9	2978	— 0.03	+ 0.6
552	— 0.07	— 0.3	2113	+ 0.07	+ 0.9	2498	+ 0.21	+ 0.4	2996	+ 0.01	+ 0.2
571	— 0.13	+ 0.8	2140	+ 0.08	+ 0.6	2506	— 0.05	+ 1.2	3001	+ 0.12	+ 1.3
573	— 0.02	— 1.7	2146	+ 0.01	— 0.3	2527	+ 0.16	— 1.0	3003[2])	— 0.14	— 1.3
643	— 0.02	— 0.6	2147	— 0.02	— 0.6	2544	+ 0.01	— 1.2	3004	— 0.03	— 1.9
683	— 0.02	— 1.9	2149	+ 0.12	— 2.7	2571	— 0.12	+ 2.1	3063[3])	+ 0.11	+ 0.2
685	— 0.03	— 0.4	2177	+ 0.06	— 0.2	2576	+ 0.13	+ 0.4	3065	— 0.06	+ 1.1
700	+ 0.20	— 1.3	2185	+ 0.05	+ 0.9	2584	— 0.15	— 2.1	3149	— 0.08	— 0.4
704	— 0.10	+ 0.4	2195	+ 0.08	— 0.3	2595	+ 0.02	+ 1.1	3156	— 0.10	+ 0.3
705	+ 0.36	— 1.3	2197	+ 0.13	— 1.5	2596	+ 0.13	— 1.3	3173	+ 0.19	— 1.9
709	+ 0.04	— 2.6	2231	+ 0.02	+ 1.7	2598	+ 0.18	— 3.0	3182	+ 0.32	+ 1.1
716	+ 0.07	0.0	2232	— 0.04	— 1.8	2604	+ 0.13	— 0.1	3207	+ 0.25	+ 0.1
740	+ 0.06	— 1.0	2235	— 0.12	+ 0.2	2609	— 0.05	— 1.2	3225	— 0.03	— 2.2
756	+ 0.01	— 1.7	2238	— 0.13	—	2635	+ 0.32	— 2.5	3255	+ 0.01	— 1.7
761	— 0.04	— 1.8	2246	+ 0.10	— 2.3	2644	+ 0.21	+ 1.8	3268	+ 0.14	— 0.9
765	— 0.22	— 2.2	2253	— 0.03	+ 0.1	2657	+ 0.26	+ 2.1	3292	+ 0.01	+ 1.2
780	+ 0.23	0.0	2260	+ 0.07	+ 2.4	2659	+ 0.15	— 2.5	3297	+ 0.38	+ 0.2
840	+ 0.07	— 3.7	2284	+ 0.21	— 0.8	2671	+ 0.10	+ 0.1	3298	+ 0.26	— 0.4
850	+ 0.18	— 2.7	2286	+ 0.14	+ 0.5	2672	+ 0.11	— 1.5	3299	— 0.10	— 1.6
871	+ 0.12	— 1.1	2292	— 0.22	— 1.7	2685	— 0.01	— 1.9	3315-16	+ 0.25	+ 0.7
873	0.00	— 1.7	2297	+ 0.01	+ 1.4	2688	+ 0.31	— 0.2	3339	+ 0.32	— 2.3
882	+ 0.09	— 2.3	2301	— 0.04	+ 0.2	2700	— 0.11	— 0.8	3342	+ 0.07	— 3.2
890	+ 0.20	— 0.3	2352	— 0.05	— 0.3	2748	— 0.15	— 0.3	3348	+ 0.19	+ 0.9
899	+ 0.05	— 1.3	2366	— 0.08	— 1.6	2753	+ 0.11	+ 3.5	3353	+ 0.20	+ 0.7
905	+ 0.05	— 0.2	2368	+ 0.15	— 0.4	2773	+ 0.22	— 0.4	3366	+ 0.31	— 0.2

1) E.B. + 0ˢ.048 + 0″.28. 2) E.B. + 0ˢ.000 — 0″.09. 3) E.B. — 0ˢ.015 — 0″.02.

No.	Δα	Δδ	No.	Δα	Δδ	No.	Δα	Δδ	No.	Δα	Δδ
	s	″		s	″		s	″		s	″
3418	+0.18	−0.3	4621	+0.37	+2.8	5213	−0.08	−1.6	6182	+0.14	−0.4
3444	+0.36	−1.4	4623[12]	+0.20	−2.8	5231	+0.25	+4.4	6192	+0.05	0.0
3474	+0.15	−2.6	4642	+0.16	+0.9	5247	+0.23	+2.3	6193	+0.12	+0.2
3491[4]	+0.26	−1.4	4644	+0.20	0.0	5248	0.00	0.0	6204	+0.20	+0.2
3506	+0.25	−2.7	4707	+0.02	+0.9	5256	−0.10	+4.1	6205	+0.10	+0.6
3518	+0.24	+1.0	4716	+0.07	+0.7	5263	+0.02	+0.1	6207	+0.08	+2.6
3567	+0.30	+1.0	4722	−0.07	−1.9	5278	−0.21	−1.1	6235	−0.10	—
3589	+0.09	+1.0	4776	+0.34	−2.2	5286	+0.10	+1.1	6236	+0.12	+2.9
3592	+0.12	−2.1	4777[13]	+0.02	−0.8	5287	−0.03	+0.4	6239	+0.08	+0.9
3595	+0.19	−0.6	4789	+0.09	+0.4	5298	+0.58	+1.8	6250	+0.16	−0.4
3685[5]	−0.07	−1.4	4790	+0.27	−0.8	5299	+0.21	+1.8	6274	+0.37	−1.1
3692	+0.08	−1.1	4804	+0.03	−0.4	5308	+0.22	+0.1	6279	+0.08	0.0
3760	+0.07	−0.3	4815	+0.07	+2.3	5319	+0.16	+1.6	6302	+0.07	−0.2
3767	+0.27	0.0	4816	+0.17	+1.4	5325	+0.03	+1.9	6366	+0.10	−2.6
3819	+0.09	+0.2	4820	+0.17	−0.5	5349	+0.26	+1.9	6372	−0.14	−2.5
3857	+0.12	+0.9	4830	+0.16	−0.2	5370	+0.06	+1.1	6379	+0.36	+0.8
3864[6]	−0.04	+0.8	4831	+0.15	+1.5	5373	+0.09	+2.6	6392	+0.12	+0.9
3865[7]	−0.05	+0.9	4834	+0.17	−2.0	5389	+0.06	+0.9	6397	+0.30	+0.4
3869	0.00	−1.1	4836	+0.12	−0.1	5392[16]	+0.22	+0.7	6410[18]	−0.19	+1.1
3884	+0.04	−1.2	4842	+0.20	−0.9	5397	+0.07	+0.6	6414	−0.05	+3.0
3892	+0.16	−2.0	4851	−0.01	−0.3	5404	+0.07	−0.3	6418	−0.07	−3.1
3970	+0.32	−2.1	4874	+0.17	−0.2	5405	+0.34	+0.7	6436	+0.39	+2.2
4000	+0.33	−1.0	4876	+0.18	+1.6	5426	−0.08	−0.8	6443	+0.01	+0.7
4023	+0.22	−1.9	4883	+0.13	+0.9	5432	+0.18	+1.1	6445	+0.37	−1.1
4024[8]	+0.13	[+5.3]	4888	+0.19	+1.1	5451	+0.10	+1.3	6457	+0.06	+2.2
4035	+0.15	+0.8	4927	+0.13	−1.0	5458	−0.12	−0.6	6475	+0.07	+0.6
4058	−0.11	−1.5	4928	−0.16	−1.9	5460	0.00	+1.4	6476	+0.09	−3.1
4070	+0.14	−1.1	4936	+0.14	−0.3	5485	+0.21	+2.1	6477	−0.08	−0.1
4098	+0.17	−3.0	4947	−0.03	−0.8	5492	+0.18	+0.9	6484	+0.11	+0.4
4152	+0.39	−1.2	4961	+0.23	−1.6	5509	+0.32	+1.1	6497	+0.15	+1.6
4165	+0.38	0.0	4972[14]	+0.09	+1.6	5514	+0.23	−0.4	6546[19]	−0.07	−1.4
4177	+0.33	−1.3	4986	+0.17	+0.9	5531	−0.21	−0.9	6550	+0.43	−0.1
4197	+0.06	−1.1	4988	+0.07	+0.8	5533	+0.08	+2.1	6554	+0.06	+2.9
4198	+0.37	−0.6	5001	+0.08	0.0	5559	+0.10	+1.9	6555	+0.19	+2.1
4210	0.00	−0.7	5031	+0.38	+0.9	5571	−0.09	+2.1	6572	+0.19	−0.6
4249	+0.02	0.0	5034	+0.21	—	5584	−0.10	+3.6	6585	+0.15	+1.7
4251[9]	+0.12	+3.9	5036	+0.10	+1.5	5599	−0.19	+0.9	6591[20]	−0.05	+0.3
4252	+0.28	+0.6	5038	+0.39	+0.8	5602	+0.04	−0.3	6592	+0.24	+0.5
4256	−0.15	+1.2	5055	+0.51	−1.0	5609	+0.11	−0.9	6604	+0.16	−0.4
4257	−0.21	+0.9	5056	+0.14	+2.1	5610	+0.03	−0.7	6605	+0.22	−1.3
4280	+0.37	−0.8	5060	+0.48	−0.7	5657	−0.16	+1.9	6612	+0.21	−2.7
4286	−0.08	+2.9	5071	+0.25	+0.8	5671	+0.06	+3.0	6630	+0.13	+0.5
4305[10]	+0.16	−0.9	5076	+0.24	+0.4	5673	+0.10	+0.4	6642	−0.03	+1.2
4310	0.00	+1.9	5078	+0.25	−0.5	5701	−0.04	+1.7	6651	+0.09	−1.8
4316	−0.08	+1.1	5079	+0.01	+1.4	5707	+0.09	+0.4	6671	+0.15	−2.1
4344	−0.03	+1.6	5086	+0.35	+3.3	5715	+0.28	−0.7	6687	+0.03	−1.0
4354	+0.16	−0.4	5087	+0.02	+2.4	5723	+0.03	+1.4	6703	+0.02	−0.8
4379	+0.10	−0.8	5092	+0.09	−0.8	5755	+0.34	+1.6	6716	−0.07	−0.7
4409	+0.32	−1.0	5093[15]	+0.14	−0.5	5771	+0.29	−0.4	6730[21]	[+0.49]	+0.4
4418	−0.03	−1.5	5101	+0.20	−2.0	5798	+0.03	+5.2	6733	+0.36	+2.7
4425	+0.34	−2.1	5106	+0.29	−1.4	5802	+0.21	+1.6	6737	+0.30	−1.3
4447	+0.19	−1.7	5115	+0.14	−0.8	5826	−0.08	−0.6	6742	+0.13	+1.1
4453	+0.11	−0.7	5122	+0.01	+3.4	5872	+0.38	+3.3	6744	+0.06	−1.8
4462	+0.17	+1.6	5130	+0.15	−0.7	5902	+0.18	+2.1	6764	−0.07	+0.2
4464	+0.18	−0.9	5139	+0.33	+0.9	5939	+0.03	+1.4	6765	+0.04	+0.7
4473	+0.08	−0.1	5146	+0.17	0.0	5985	+0.12	+3.5	6808	+0.05	−0.6
4475	+0.17	+0.5	5149	+0.08	+0.4	6015	+0.01	+2.1	6811	+0.21	+1.3
4506[11]	+0.09	+0.2	5154	+0.29	−0.8	6048	+0.15	−0.6	6815	+0.11	+1.1
4508	+0.17	+0.4	5158	+0.21	+2.3	6065	−0.07	−2.2	6818	+0.17	−1.7
4543	+0.16	+1.0	5163	−0.02	+1.2	6083	+0.20	−0.8	6823	+0.46	−0.4
4544	+0.04	+1.9	5178	+0.02	+1.5	6092	+0.13	−0.4	6827	+0.05	+1.8
4563	+0.28	+0.4	5185	−0.03	+0.3	6130	−0.05	+1.2	6833	+0.48	+0.8
4573	+0.33	+1.6	5187	+0.16	−2.6	6138	−0.03	−1.5	6836	+0.07	+0.5
4577	+0.15	−0.8	5199	+0.01	−0.1	6139	+0.09	—	6844	−0.02	−1.8
4586	−0.15	−0.5	5201	+0.16	+2.3	6141[17]	−0.02	+0.2	6858	+0.15	−3.2
4605	+0.32	+1.8	5209	+0.13	−0.2	6161	+0.09	—	6875	+0.03	−1.1

4) E.B. $-0^{s}.009$ $-0''.11$. 5) E.B. $-0^{s}.017$ $0''.00$. 6) E.B. $-0^{s}.051$ $+0''.18$. 7) E.B. $-0^{s}.050$ $+0''.16$.
8) Decl. in M unsicher wird ausgeschlossen. 9) E.B. $0^{s}.000$ $-0''.47$. 10) E.B. $-0^{s}.011$ $-0''.31$. 11) E.B. $-0^{s}.007$ $+0''.06$.
12) E.B. $0^{s}.000$ $-0''.68$. 13) E.B. $+0^{s}.003$ $-0''.10$. 14) E.B. $+0^{s}.003$ $-0''.12$. 15) E.B. $-0^{s}.010$ $-0''.13$.
16) E.B. $-0^{s}.019$ $+0''.05$. 17) E.B. $-0^{s}.034$ $-1''.38$. 18) E.B. $0^{s}.000$ $-0''.34$. 19) E.B. $-0^{s}.009$ $+0''.31$.
20) E.B. $-0^{s}.040$ $-1''.16$. 21) A.R. in M unsicher wird ausgeschlossen.

No.	Δα	Δδ	No.	Δα	Δδ	No.	Δα	Δδ	No.	Δα	Δδ
	s	″		s	″		s	″		s	″
6882	+0.19	−1.0	7992	+0.18	−0.5	10006	+0.11	+1.9	11415	−0.13	0.0
6897	+0.03	+0.7	8089	+0.18	+1.9	10019	+0.27	+0.8	11428	+0.32	+2.3
6899	+0.16	+0.4	8181	−0.03	−0.2	10064	+0.36	−1.2	11434	+0.16	−0.1
6906	−0.05	−0.8	8187	+0.07	+1.1	10066	[−0.53]	+1.1	11451	+0.15	−0.1
6919	0.00	+1.5	8196	+0.46	−1.4	10073	+0.09	−0.3	11500	+0.08	+2.2
6920	−0.05	+0.1	8198	+0.20	−0.1	10143	−0.17	−3.5	11509	−0.09	0.0
6944	+0.24	−3.4	8204	+0.02	+0.1	10192	−0.05	−3.8	11516	+0.10	−3.9
6947	+0.07	+0.1	8208	+0.21	−1.1	10196	+0.33	+1.9	11540	−0.09	+1.5
6949	−0.11	−3.5	8213	−0.07	0.0	10210	+0.10	+5.5	11554	+0.12	+0.9
6959	+0.14	+0.3	8225	+0.35	−0.7	10246	+0.13	−1.5	11556	+0.14	−1.5
7014	+0.19	−1.7	8240	+0.21	−3.0	10290	+0.04	+0.3	11608[26]	+0.16	−0.7
7017	+0.13	−1.4	8244	+0.14	+0.5	10299	+0.13	+0.7	11681	−0.06	−1.2
7020	+0.18	−1.3	8254	−0.06	+0.7	10334	+0.18	—	11689	+0.15	+1.6
7032	+0.18	−0.7	8299	−0.07	+0.2	10359	−0.30	−0.1	11709	−0.11	+2.5
7040	−0.01	+1.1	8317	+0.04	+2.5	10361	+0.20	+1.6	11728	+0.19	−0.1
7065[22]	−0.08	+0.2	8330	−0.05	−1.4	10373	0.00	+0.4	11756	+0.04	+1.3
7102	−0.05	+1.1	8372	−0.08	+2.1	10374	+0.23	−2.1	11763	−0.02	+1.2
7104	+0.26	−2.6	8384	−0.25	+0.4	10414	+0.09	−0.1	11766	+0.02	+0.2
7105	+0.19	+2.1	8412	+0.11	0.0	10432	+0.02	−2.4	11785	−0.02	0.0
7106	−0.11	−3.3	8425	0.00	−0.2	10443	+0.12	+1.1	11814	−0.07	+0.7
7107	+0.26	+0.2	8442	+0.04	−1.8	10453	0.00	−2.2	11832	+0.12	+0.1
7108	−0.07	−2.5	8660	0.00	+0.4	10471	−0.13	+2.0	11872	+0.28	−0.4
7109	+0.21	−1.3	8691	−0.14	+0.8	10476	−0.10	−0.1	11910	+0.14	+0.8
7124	+0.03	−0.3	8713	0.00	+0.8	10482	−0.04	−1.9	12016	−0.09	−1.0
7138	+0.38	+1.7	8737	−0.02	+0.1	10492	−0.08	+0.7	12017	+0.11	−0.2
7146	+0.05	−0.2	8824	+0.19	−1.8	10533	+0.15	+2.7	12025	+0.17	−0.8
7154	+0.16	−0.5	9047	+0.11	−0.6	10607	+0.11	+0.5	12032	+0.03	−1.7
7155	+0.15	−2.2	9049	+0.18	+0.1	10612	−0.02	+0.1	12033	+0.20	+0.9
7161	+0.12	−0.6	9127	+0.13	+2.7	10620[23]	+0.16	−1.1	12035	−0.08	+1.9
7164	+0.25	+0.1	9163	[+0.69]	+0.6	10621	+0.02	+1.0	12115	+0.02	−1.1
7185	+0.08	−1.8	9183	+0.21	−1.9	10655	+0.07	+1.4	12150[27]	−0.08	−0.5
7199	+0.01	−0.1	9334	+0.06	+0.2	10676	−0.07	+0.5	12244[28]	−0.11	−1.7
7239	+0.08	−0.4	9358	+0.07	+1.2	10682	−0.02	−1.3	12256	−0.11	−1.3
7252	+0.12	+1.5	9380	+0.01	−0.4	10746	−0.07	+2.6	12271	+0.29	+0.9
7283	−0.11	−0.4	9382	+0.11	−2.1	10808	−0.01	−0.3	12326	+0.08	+0.2
7285	−0.09	+1.1	9389	+0.19	+1.1	10844[24]	−0.02	+0.9	12329	+0.01	+1.6
7327	+0.25	+1.1	9438	−0.03	−0.3	10847	−0.09	0.0	12350	+0.31	+0.6
7361	+0.23	+1.1	9445	−0.27	+1.1	10849	+0.01	+1.0	12357	−0.16	−0.7
7374	+0.05	+1.0	9465	−0.04	−1.2	10850	−0.11	−2.3	12411	−0.08	−1.2
7421	+0.03	+0.2	9468	+0.15	+0.4	10858	+0.05	−2.3	12413	−0.05	+1.2
7444	+0.10	+0.8	9491	+0.07	+1.9	10878	−0.02	+1.0	12513	+0.11	−0.5
7447	+0.11	+0.3	9562	−0.13	−2.3	10915	−0.12	+0.3	12522	−0.06	+0.5
7452	+0.01	+3.1	9568	+0.36	−2.2	10941	−0.20	+0.4	12578	+0.06	0.0
7489	+0.11	−1.2	9571	+0.13	+0.9	10963	+0.01	+1.0	12603	+0.32	0.0
7535	+0.25	+1.0	9573	−0.25	−1.2	10983	−0.07	+1.1	12660	−0.23	+0.1
7550	+0.01	−0.7	9576	+0.10	+0.5	10987	−0.20	+0.2	12664	+0.01	+1.1
7589	+0.28	+1.3	9597	+0.16	+2.0	10993	+0.26	−0.8	12685	−0.41	+0.7
7593	+0.22	+1.0	9615	+0.18	+1.6	11026[25]	−0.13	−0.4	12696	+0.13	−0.4
7612	+0.12	−0.4	9629	0.00	+1.3	11034	−0.03	−1.8	12811	−0.02	−0.5
7676	−0.21	−0.9	9681	+0.28	−2.6	11105	+0.12	0.0	12864[29]	+0.09	−1.5
7678	−0.08	+1.1	9685	+0.01	−0.7	11121	−0.07	+0.1	12896	−0.03	+1.1
7689	0.00	+0.2	9729	+0.08	+1.9	11139	+0.21	+1.1	12929	−0.18	−0.7
7698	−0.08	−0.3	9752	+0.39	−0.3	11148	+0.01	+1.3	13002	+0.05	−1.9
7699	−0.16	+2.7	9789	+0.01	0.0	11192	−0.06	+2.2	13012	+0.14	−1.1
7704	−0.06	−1.6	9803	−0.09	−0.2	11196	−0.03	+2.3	13036	+0.11	+0.4
7794	+0.02	−1.7	9816	+0.11	−0.4	11238	+0.04	−1.9	13056[30]	−0.18	−2.1
7798	−0.26	−0.8	9821	+0.04	+1.1	11283	−0.19	−1.4	13098[31]	+0.09	−0.1
7804	−0.08	−0.9	9825	+0.24	+3.1	11285	−0.04	+1.4	13102	−0.21	+0.5
7805	+0.08	—	9864	+0.05	−0.1	11327	+0.06	−1.0	13108	+0.02	−2.9
7854	+0.05	+0.6	9868	−0.15	+0.6	11333	−0.07	−2.3	13194	−0.07	+1.4
7863	+0.06	−1.7	9899	+0.14	−1.8	11379	+0.30	+0.8			
7889	−0.11	+0.1	10003	−0.38	+0.6	11384	+0.18	+0.4			
7929	+0.06	−1.2	10004	+0.21	+1.4	11394	+0.07	+1.1			

22) E.B. +0ˢ.015 −1″.11. 23) E.B. +0ˢ.058 +0″.10. 24) Dpl. med. 25) E.B. −0ˢ.004 −0″.21.
26) E.B. +0ˢ.009 −0″.26. 27) E.B. −0ˢ.020 −0″.14. 28) E.B. +0ˢ.020 +0″.19. 29) E.B. +0ˢ.007 −0″.04.
30) E.B. −0ˢ.011 −0″.13. 31) E.B. +0ˢ.063 −0″.98.

Tab. 2. Cordoba — München.

No.	Δα	Δδ	No.	Δα	Δδ	No.	Δα	Δδ	No.	Δα	Δδ
	s	″		s	″		s	″		s	″
5	— 0.05	+ 4.5	2055	+ 0.08	0.0	4218[5]	+ 0.04	+ 0.4	7284	— 0.29	+ 0.1
18	— 0.18	+ 1.3	2106	+ 0.15	+ 0.9	4258	+ 0.34	— 0.5	7291	— 0.08	+ 2.5
44	— 0.07	—	2187	— 0.02	— 0.5	4325[6]	+ 0.14	+ 0.3	7293	— 0.31	+ 0.8
63[1]	— 0.14	— 0.5	2215	+ 0.05	+ 1.6	4333	— 0.14	— 1.2	7428	+ 0.19	+ 0.8
83	+ 0.02	+ 3.6	2219[3]	+ 0.09	— 1.5	4349[7]	+ 0.23	+ 0.5	7480[22]	— 0.03	— 3.9
131	+ 0.09	+ 0.6	2241	— 0.01	+ 1.4	4424	+ 0.18	— 0.3	7543	+ 0.15	+ 1.9
154	+ 0.21	+ 2.7	2483	— 0.16	+ 1.3	4429	+ 0.36	+ 0.6	7559	— 0.08	— 1.2
172	— 0.07	+ 2.0	2492	+ 0.11	+ 1.6	4522	+ 0.03	— 3.4	7590	— 0.10	— 2.8
178	— 0.12	— 0.4	2499	— 0.04	— 0.5	4535	+ 0.06	+ 1.6	7621	— 0.16	+ 1.8
249	— 0.12	— 0.6	2546	+ 0.33	+ 2.0	4556[8]	+ 0.33	— 0.9	7629	— 0.19	+ 0.7
273	— 0.20	+ 0.7	2580	+ 0.10	— 0.2	4595[9]	+ 0.06	+ 1.2	7687	— 0.15	— 0.2
276	— 0.05	+ 1.6	2668	+ 0.03	+ 2.7	4600	— 0.42	0.0	7692	— 0.19	+ 4.4
385	— 0.02	+ 0.1	2721	+ 0.02	+ 1.7	4640	— 0.07	+ 1.4	7731	+ 0.17	+ 3.1
489	+ 0.02	— 1.2	2877	+ 0.19	+ 0.3	4658[10]	+ 0.11	+ 0.6	7848	— 0.03	+ 2.8
510	+ 0.12	+ 2.5	2906	+ 0.27	— 0.5	4661	+ 0.14	— 0.4	7884	— 0.06	+ 3.1
513	+ 0.14	+ 0.8	2913	— 0.06	— 0.3	4671	+ 0.06	+ 1.2	7912	+ 0.23	— 0.6
514	0.00	+ 1.0	2939	+ 0.02	+ 0.3	4739	+ 0.03	[+ 6.2]	7914	— 0.03	0.0
522	— 0.11	— 1.3	3006	+ 0.09	+ 0.7	4780	+ 0.35	— 5.2	7930	+ 0.02	— 1.2
545	+ 0.17	+ 1.0	3013	+ 0.17	— 1.4	4784[11]	+ 0.17	+ 2.0	7946	+ 0.01	— 1.8
595	— 0.06	+ 1.6	3066	— 0.13	+ 0.8	4808	— 0.02	+ 3.0	8097	— 0.11	+ 1.5
616	+ 0.05	+ 1.2	3091	— 0.37	— 1.1	4810	+ 0.27	+ 5.1	8108	+ 0.26	+ 0.6
659	— 0.25	+ 1.6	3093	+ 0.11	— 1.2	4811	+ 0.22	— 0.3	8140	— 0.17	+ 2.4
708	— 0.10	+ 1.8	3153	+ 0.12	+ 2.4	4846	— 0.24	+ 0.9	8143	— 0.01	— 4.1
710	+ 0.15	+ 3.1	3174	+ 0.13	+ 1.1	4847	0.00	+ 0.3	8160	— 0.12	— 3.4
736	— 0.15	— 1.4	3217	— 0.19	+ 3.4	4863	+ 0.10	+ 1.0	8370	+ 0.09	— 0.6
807	— 0.08	+ 0.3	3247	+ 0.11	— 1.2	4885	— 0.17	+ 1.5	8397	+ 0.14	— 2.5
975	+ 0.13	— 2.1	3283	+ 0.05	+ 1.6	4905	+ 0.02	+ 3.0	8409	— 0.08	+ 1.2
1007	— 0.10	— 0.4	3295	+ 0.06	+ 0.3	4909[12]	— 0.07	+ 1.8	8423	+ 0.04	+ 0.5
1013	— 0.24	+ 0.8	3304[4]	— 0.01	+ 0.4	4948	+ 0.13	+ 0.3	8431	— 0.08	+ 2.5
1016	+ 0.13	+ 1.2	3334	+ 0.07	— 1.2	4960	+ 0.04	+ 1.4	8451	— 0.12	+ 3.9
1017	— 0.03	+ 2.3	3397	— 0.08	+ 1.8	4992	— 0.03	— 0.4	8457	— 0.06	— 0.4
1031	— 0.11	+ 2.2	3447	+ 0.10	+ 1.4	4999	+ 0.09	+ 1.9	8472	— 0.21	— 3.6
1033	— 0.02	+ 0.7	3448	— 0.02	+ 0.7	5015	+ 0.15	+ 0.4	8496	— 0.11	+ 1.1
1050	— 0.05	— 0.3	3471	— 0.02	— 0.5	5210	+ 0.28	+ 1.8	8536[23]	— 0.11	+ 1.1
1074	+ 0.05	— 0.2	3512	+ 0.24	+ 2.7	5280	— 0.01	+ 0.3	8559	— 0.06	+ 1.9
1081	+ 0.10	+ 1.8	3696	0.00	0.0	5291	— 0.12	0.0	8648	+ 0.16	— 0.6
1127	+ 0.16	+ 1.3	3718	+ 0.20	+ 4.1	5382[13]	+ 0.01	+ 2.2	8746	+ 0.05	+ 4.0
1176	— 0.09	— 0.7	3731	+ 0.03	+ 1.7	5468	+ 0.07	0.0	8770	— 0.09	+ 6.6
1200	— 0.04	— 2.7	3735	— 0.03	+ 0.5	5490[14]	— 0.02	+ 2.6	8818[24]	+ 0.05	+ 1.0
1242	+ 0.10	+ 1.4	3786	+ 0.02	+ 2.7	5622	+ 0.07	— 0.9	8831	— 0.23	+ 1.6
1251	+ 0.02	— 2.6	3787	+ 0.11	+ 1.4	5649[15]	+ 0.10	— 0.5	8851	+ 0.20	— 1.4
1259	+ 0.05	+ 0.2	3801	— 0.03	+ 1.3	5684[16]	— 0.18	— 0.4	8938	— 0.16	— 0.3
1266	— 0.01	— 4.1	3810	+ 0.21	+ 1.0	5962[17]	+ 0.20	+ 0.5	8946[25]	— 0.13	— 1.7
1267	+ 0.31	+ 0.7	3828	+ 0.15	+ 0.1	5995	+ 0.44	+ 1.1	8947	— 0.16	0.0
1296	+ 0.03	0.0	3888	0.00	— 0.2	6143	— 0.01	+ 1.5	8975	+ 0.04	+ 0.7
1307	+ 0.01	0.0	3899	+ 0.23	+ 1.0	6168	— 0.08	— 0.5	9008	— 0.02	—
1317	— 0.13	— 3.3	3904	— 0.03	+ 1.3	6188[18]	— 0.14	— 1.2	9009	+ 0.01	— 1.1
1370	+ 0.04	+ 0.5	3980	— 0.12	+ 0.4	6226[19]	0.00	— 2.3	9197	— 0.06	+ 1.3
1371	— 0.01	+ 0.1	3990	— 0.06	— 0.5	6369[20]	— 0.19	+ 0.5	9269	— 0.28	— 2.0
1395	+ 0.10	— 1.1	3995	+ 0.32	— 1.0	6427	— 0.02	— 0.7	9273	— 0.09	+ 4.9
1405	+ 0.08	+ 2.1	4002	+ 0.29	+ 0.1	6437	+ 0.11	— 1.9	9347	+ 0.05	+ 1.0
1428[2]	— 0.09	+ 0.8	4029	+ 0.25	+ 0.4	6487	— 0.08	+ 0.8	9464	— 0.21	+ 2.9
1445	— 0.07	+ 2.0	4068	— 0.09	+ 2.3	6593	+ 0.29	— 2.6	9566[26]	— 0.16	+ 0.4
1453	+ 0.03	+ 2.8	4073	+ 0.16	— 1.8	6632[21]	— 0.09	+ 0.9	9572	— 0.36	+ 0.3
1455	+ 0.14	— 2.3	4086	+ 0.25	+ 3.4	6646	+ 0.28	— 0.6	9631	— 0.14	+ 2.6
1467	+ 0.17	0.0	4150	+ 0.09	+ 1.3	6720	— 0.14	+ 1.6	9635	— 0.12	+ 3.4
1634	+ 0.03	+ 2.7	4167	— 0.14	+ 0.6	6917	— 0.25	— 1.6	9645	— 0.07	+ 1.1
1697	+ 0.19	— 0.3	4170	+ 0.05	— 1.1	7047	+ 0.07	+ 2.1	9662	— 0.21	+ 3.1
1699	— 0.02	— 1.5	4174	+ 0.11	+ 0.6	7118	+ 0.14	+ 0.1	9669	+ 0.02	+ 2.8
1762	+ 0.09	+ 0.6	4216	+ 0.03	+ 1.1	7222	— 0.03	+ 5.3	9722	+ 0.05	+ 1.8

1) E.B. + 0ˢ.030 0″.00. 2) E.B. + 0ˢ.017 — 0″.20. 3) E.B. + 0ˢ.010 — 0″.20. 4) E.B. 0ˢ.000 — 0″.16.
5) E.B. + 0ˢ.005 — 0″.43. 6) E.B. — 0ˢ.041 + 0″.44. 7) E.B. + 0ˢ.005 — 0″.98. 8) E.B. — 0ˢ.039 + 0″.02.
9) E.B. — 0ˢ.021 0″.00. 10) E.B. — 0ˢ.017 0″.00. 11) E.B. + 0ˢ.006 — 0″.28. 12) E.B. — 0ˢ.058 + 0″.24.
13) E.B. — 0ˢ.060 + 0″.39. 14) E.B. — 0ˢ.065 — 0″.48. 15) E.B. — 0ˢ.083 — 0″.49. 16) E.B. — 0ˢ.020 — 0″.19.
17) E.B. — 0ˢ.022 + 0″.06. 18) E.B. + 0ˢ.025 — 0″.30. 19) E.B. — 0ˢ.004 — 0″.43. 20) E.B. — 0ˢ.005 — 0″.33.
21) E.B. — 0ˢ.010 — 0″.14. 22) E.B. — 0ˢ.011 — 0″.20. 23) E.B. — 0ˢ.008 — 0″.27. 24) E.B. + 0ˢ.002 — 0″.72.
25) E.B. 0ˢ.000 — 0″.37. 26) E.B. — 0ˢ.021 — 0″.37.

No.	Δα	Δδ	No.	Δα	Δδ	No.	Δα	Δδ	No.	Δα	Δδ
	s	″		s	″		s	″		s	″
9757	− 0.04	+ 1.2	10766	− 0.06	+ 2.7	11839	− 0.11	+ 1.3	12549	+ 0.14	+ 2.0
9849	+ 0.03	− 3.6	10882	− 0 03	+ 0.2	11846[33])	− 0.02	− 1.4	12559	− 0.01	+ 1.5
9901	− 0.17	+ 1.4	10945	− 0.05	+ 3.0	11876	− 0.04	+ 3.1	12561	− 0 04	+ 1.6
9916	− 0.08	+ 3.7	11145	+ 0.17	+ 0.6	11880	+ 0.08	+ 2.1	12567	+ 0.08	− 1.7
9937[27])	− 0.07	+ 1.9	11166	− 0.04	+ 1.3	11908	+ 0.08	+ 2.2	12584	− 0.15	+ 1.3
9999	− 0.16	+ 1.0	11167	+ 0.27	+ 2.1	11945	+ 0.11	− 0.7	12598	− 0.11	+ 2.6
10005	− 0.32	+ 2.8	11203	+ 0.41	+ 2.3	11996	− 0 14	+ 2.6	12689[38])	+ 0.01	+ 1.1
10067	+ 0.24	+ 1.7	11244	+ 0.19	+ 4.0	11997	− 0.10	− 1.7	12709	+ 0.17	+ 0.9
10070	− 0.08	+ 3.3	11271	+ 0.18	+ 1.7	12060	− 0.01	+ 2.2	12729	− 0.04	+ 2.4
10071	− 0.08	− 0.6	11311	+ 0.23	+ 2.0	12074	+ 0.18	− 3.2	12737	− 0.16	+ 5.0
10135	+ 0.20	− 0.1	11339	− 0.11	− 3.8	12120	+ 0.11	+ 2.3	12746	+ 0.03	+ 0.2
10153	− 0.29	+ 3.2	11360	+ 0.15	+ 1.6	12137	+ 0.15	+ 2.8	12769	+ 0.01	− 3.3
10167	+ 0.12	+ 2.1	11362	+ 0.21	+ 1.7	12152	− 0.14	− 1.1	12770	+ 0.23	+ 4.9
10273	− 0.07	+ 2.0	11403	+ 0.12	+ 1 3	12153[34])	− 0.14	+ 0.8	12794	+ 0.04	− 1.8
10324	− 0.23	− 1.2	11518[31])	− 0.07	+ 4.0	12158[35])	+ 0.03	+ 7.0	12805	0.00	− 1.6
10400	− 0.34	− 0.5	11521	+ 0.13	+ 2.5	12163	+ 0.01	+ 1.2	12815	0.00	− 1.2
10405	− 0.11	—	11604	+ 0.14	+ 3 8	12192	− 0.07	+ 2.0	12852	− 0.19	+ 4.7
10421[28])	− 0.21	+ 2.0	11618[32])	− 0.06	+ 1.7	12194	+ 0.02	+ 3.6	12854	− 0.20	0.0
10531[29])	− 0.07	[+ 9.2]	11630	+ 0.19	+ 5.8	12220	− 0.05	+ 3.4	12890[39])	− 0.04	+ 2.1
10543	− 0.33	+ 2.8	11663	− 0.02	+ 1.4	12222	− 0.09	− 1.7	12901[40])	0.00	+ 1.4
10575	− 0.03	0.0	11672	− 0.24	+ 1.1	12264[36])	− 0.07	− 0.4	12906	− 0.02	+ 2.2
10576	+ 0.04	− 0.4	11706	− 0.19	+ 1.8	12285	+ 0.03	+ 1.6	12952	+ 0.02	+ 3.0
10610[30])	− 0.17	+ 0.4	11732	+ 0.13	+ 2.0	12358	− 0.23	− 0.2	13105	− 0.10	+ 0.3
10679	− 0.15	+ 0.1	11758	+ 0.16	− 1.1	12470	− 0.24	+ 1.0	13173	− 0.09	− 0.4
10695	− 0.07	+ 2.0	11779	− 0.04	− 0.7	12471	+ 0.06	+ 0.6			
10699	− 0.07	+ 3.8	11830	− 0.13	+ 4.4	12499[37])	− 0.09	+ 0.5			
10755	+ 0.28	+ 0.2	11838	+ 0.03	+ 0.7	12548	− 0.01	+ 1.1			

27) E.B. $+0^s.096$ $-0''.26$. 28) E.B. $+0^s.018$ $+0''.11$. 29) Decl. in M unsicher, wird ausgeschlossen. 30) E.B. $+0^s.030$ $+0''.40$. 31) E.B. $+0^s.028$ $0''.00$. 32) E.B. $+0^s.001$ $-0''.30$. 33) E.B. $+0^s.014$ $+0''.03$. 34) E.B. $0^s.000$ $-0''.25$. 35) Dpl. med. 36) E.B. $+0^s.005$ $-0''.46$. 37) Dpl. praec. 38) Dpl. med., E.B. $-0^s.015$ $-0''.27$. 39) E.B. $+0^s.001$ $-0''.18$. 40) E.B. $+0^s.024$ $0''.00$.

Mit dem Albany-Catalog hat der Münchener 693 Rectascensionen und 686 Declinationen gemeinsam. Die Abweichungen beider voneinander vertheilen sich ihrer Grösse und ihrem Vorzeichen nach in folgender Weise:

Rectascensionen.

Δα	Anzahl der Sterne.
Ueber $-0^s.30$	3
Von $-0^s.21$ bis -0.30	15
Von -0.11 bis -0.20	47
Von 0.00 bis -0.10	136
Von 0.00 bis $+0.10$	195
Von $+0.11$ bis $+0.20$	167
Von $+0.21$ bis $+0.30$	77
Ueber $+0.30$	53

Declinationen.

Δδ	Anzahl der Sterne.
Ueber $-3''.0$	13
Von $-2''.1$ bis -3.0	50
Von -1.1 bis -2.0	111
Von 0.0 bis -1.0	178
Von 0.0 bis $+1.0$	174
Von $+1.1$ bis $+2.0$	106
Von $+2.1$ bis $+3.0$	40
Ueber $+3.0$	14

ergeben also für A.R. ein bedeutendes Ueberwiegen der positiven gegenüber den negativen Differenzen (492 gegen 201), während für die Decl. das Verhältniss ein normales ist (334 positive und 352 negative). Um zu einem besseren Ueberblick zu gelangen, wurde das Material in 17 Gruppen von annähernd gleicher Sternzahl getheilt und innerhalb jeder Gruppe das Mittel der Abweichungen gebildet. Die folgende Tab. 3 gibt die Resultate; in der letzten Columne ist das Mittel der Grössen der Sterne nach den Angaben des Albany-Kataloges aufgenommen.

Ausgeschlossen wurden bei der Mittelbildung 3 Rectascensionen und 1 Declination, da die betreffenden Münchener Beobachtungen Anlass zu Zweifeln gaben. Das Gesammtmittel ist

$$\Delta\alpha = +0^s.080 \quad 690 \text{ Sterne,}$$

$$\Delta\delta = -0''.06 \quad 685 \text{ Sterne.}$$

Tab. 3. Albany — München.

Grenzen in A.R.			Mittel der A.R.	Mittel der Decl.	$\Delta\alpha$	**	$\Delta\delta$	**	Mittlere Grösse
h m		h m	h m	°	s		"		m
0 4	bis	4 31	2 15	+ 1.5	+ 0.025	41	— 0.74	41	8.5
4 32		8 24	7 12	+ 1.5	+ 0.046	41	— 0.67	40	8.5
8 28		9 10	8 49	+ 1.6	+ 0.053	41	— 0.75	41	8.6
9 13		10 14	9 41	+ 2.6	+ 0.065	41	+ 0.10	41	8.8
10 15		11 35	10 51	+ 2.6	+ 0.160	41	— 0.67	40	8.8
11 35		12 41	12 9	+ 2.6	+ 0.133	41	+ 0.04	41	8.8
12 43		13 44	13 13	+ 2.4	+ 0.159	41	+ 0.07	40	8.8
13 46		14 28	14 3	+ 2.6	+ 0.133	41	+ 0.73	41	8.8
14 29		16 3	15 3	+ 2.8	+ 0.087	40	+ 1.12	40	8.7
16 8		17 9	16 42	+ 2.3	+ 0.089	40	+ 0.13	37	8.8
17 14		17 47	17 31	+ 2.8	+ 0.127	39	— 0.14	40	8.8
17 48		18 24	18 5	+ 2.7	+ 0.092	40	— 0.40	40	8.5
18 26		19 18	18 52	+ 2.6	+ 0.042	41	— 0.07	40	8.8
19 19		20 10	19 49	+ 2.8	+ 0.062	41	+ 0.14	41	8.9
20 10		20 43	20 26	+ 3.1	+ 0.042	40	+ 0.08	40	8.9
20 45		21 29	21 7	+ 3.4	+ 0.028	41	+ 0.25	41	8.8
21 31		23 58	22 28	+ 2.6	+ 0.016	41	— 0.19	41	8.8

Die Abweichungen in Declination sind klein, zeigen keinen besonderen Gang und das Mittel aller ist verschwindend; es scheint also der Umstand, dass beiden Katalogen dasselbe Fundamentalsystem zu Grunde gelegen hat, die Declinationen thatsächlich in genügende Uebereinstimmung gebracht zu haben. Bei den Rectascensionen dagegen ist dies offenbar nicht der Fall; obige $\Delta\alpha$ haben durchweg dasselbe Vorzeichen, zeigen einen deutlichen Gang und erreichen einen Betrag, der sich durch zufällige Beobachtungsfehler nicht erklären lässt. Sie werden durch folgende Formel gut dargestellt:

$$(\Delta\alpha) = +\,0^{s}062 - 0^{s}061 \cos \text{A.R.} - 0^{s}025 \sin \text{A.R.},$$

indessen dürfte es schwierig sein, für die periodischen Glieder eine Ursache aufzudecken. Der constante Unterschied von $+\,0^{s}062$ aber erklärt sich mühelos aus dem Umstande, dass die persönliche Gleichung, welche abhängig ist von der Sterngrösse, für den Albany-Katalog einen hohen Betrag erreicht. Nach der Einleitung zu diesem Katalog pag. (18) beobachtet Herr Boss die Fundamentalsterne, deren mittlere Grösse $4^{m}0$ ist, um $0^{s}069$ früher, als die Sterne von der Grösse $8^{m}8$. Da nun obiger Tabelle gemäss die mittlere Grösse der beiden Katalogen gemeinsamen Sterne $8^{m}8$ ist, so muss von den hier in Frage stehenden Rectascensionen des Albany-Kataloges im Mittel der Betrag $0^{s}069$ subtrahirt werden, um sie in Uebereinstimmung mit dem Fundamentalsystem zu bringen. Geschieht dies aber, so verschwindet obige Differenz nahezu vollständig. Für den Münchener Beobachter existirt den unten mitgetheilten Untersuchungen gemäss eine derartige persönliche Gleichung nicht; es ist also durch die Vergleichung beider Kataloge der directe Nachweis erbracht, dass die Rectascensionen des Albany-Kataloges nur dann das Fundamentalsystem darstellen, wenn sie um die persönliche Gleichung, abhängig von der Sterngrösse, corrigirt werden.[1])

Gould's Generalkatalog hat 345 Rectascensionen und 342 Declinationen mit dem Münchener gemeinsam; die Declinationen der gemeinsamen Sterne gehen von 0^{0} bis $-\,32^{0}$ und sind sehr ungleichmässig über die Stunden der Rectascension vertheilt. Es erschien zunächst am zweckmässigsten, bei der Zusammenfassung in Mittel zwei Gruppen zu bilden, von denen die eine die Sterne von 0^{0} bis $-\,20^{0}$ umfasste, die andere alle südlicheren. Die Resultate sind in folgenden beiden Tabellen niedergelegt.

1) Zu demselben Resultat gelangt Herr L. de Ball in seinem eben erscheinenden „Catalogue de 382 étoiles faibles“ pag. 56.

Tab. 4. Cordoba — München (Nördliche Gruppe).

Grenzen in A.R.		Mittel der A.R.	Mittel der Decl.	$\Delta\alpha$	**	$\Delta\delta$	**
h m	h m	h m	°	s		"	
0 11 bis	3 44	1 30	— 4.5	— 0.021	21	+ 0.80	21
4 15	5 58	5 20	— 9.0	+ 0.015	21	— 0.01	21
6 1	8 54	7 10	— 7.0	+ 0.035	23	+ 0.32	23
9 2	10 46	10 0	— 8.0	+ 0.046	17	+ 0.60	17
11 3	12 58	12 0	— 7.7	+ 0.047	19	+ 0.91	18
13 5	15 14	13 50	— 9.2	+ 0.064	21	+ 0.71	21
16 0	18 30	17 20	— 11.5	— 0.010	21	— 0.29	21
18 31	20 21	19 20	— 9.6	— 0.070	22	+ 0.29	21
20 24	23 55	22 10	— 8.5	— 0.069	25	+ 0.47	25

Tab. 5. Cordoba — München (Südliche Gruppe).

Grenzen in A.R.		Mittel der A.R.	Mittel der Decl.	$\Delta\alpha$	**	$\Delta\delta$	**
h m	h m	h m	°	s		"	
9 45 bis	11 36	10 40	— 22.7	+ 0.081	20	+ 0.58	20
11 39	14 45	12 20	— 23.7	+ 0.080	16	+ 0.44	16
17 58	18 55	18 30	— 26.5	— 0.023	18	+ 0.95	18
19 5	19 59	19 30	— 27.0	— 0.069	21	+ 1.68	21
20 0	20 59	20 30	— 27.4	— 0.030	25	+ 1.49	23
21 1	21 33	21 15	— 27.0	+ 0.060	18	+ 2.17	18
21 33	22 20	21 50	— 27.0	+ 0.013	18	+ 1.61	18
22 27	0 15	23 0	— 27.2	— 0.006	19	+ 1.57	18

Bei der Mittelbildung wurden 2 stark abweichende Declinationen ausgeschlossen. Die allgemeinen Mittel sind:

Nördliche Gruppe: $\Delta\alpha = +\,0^s.001$ 190 Sterne,
(Mittlere Declination -7^0) $\Delta\delta = +\,0''.41$ 188 Sterne;

Südliche Gruppe: $\Delta\alpha = +\,0^s.010$ 155 Sterne,
(Mittlere Declination -26^0) $\Delta\delta = +\,1''.32$ 152 Sterne.

Da sich eine Abhängigkeit der Rectascensionsdifferenzen von der Declination in obigen Zahlen nicht erkennen lässt, so sind für diese neue Gruppenmittel unter Zusammenfassung sämmtlicher Sterne gebildet und in Tab. 6 zusammengestellt worden.

Tab. 6. Cordoba — München (alle Sterne).

Grenzen in A.R.		Mittel der A.R.	Mittel der Decl.	$\Delta\alpha$	**
h m	h m	h m	°	s	
0 0 bis	2 48	1 8	— 8.8	— 0.018	21
3 11	5 58	5 5	— 7.6	— 0.001	25
6 1	8 54	7 13	— 6.7	+ 0.035	23
9 2	10 46	10 6	— 12.7	+ 0.051	26
11 3	11 58	11 34	— 18.1	+ 0.088	27
12 6	13 38	12 57	— 11.3	+ 0.058	31
14 4	17 57	16 5	— 10.5	+ 0.024	25
18 2	18 54	18 33	— 21.4	— 0.037	26
19 5	19 58	19 29	— 19.9	— 0.067	36
20 0	20 59	20 26	— 23.4	— 0.046	34
21 1	21 57	21 29	— 23.0	+ 0.021	40
22 2	23 55	22 45	— 18.1	— 0.031	31

Tab. 7.

Albany — München	Cordoba — Auw. Fund.-C.	Fund.-Cat. — München
s	s	s
— 0.065	— 0.027	+ 0.009
— 0.042	+ 0.014	— 0.015
— 0.005	+ 0.064	— 0.029
+ 0.042	+ 0.022	+ 0.029
+ 0.058	+ 0.027	+ 0.061
+ 0.066	+ 0.036	+ 0.022
+ 0.051	+ 0.011	+ 0.013
+ 0.016	— 0.015	— 0.022
0.000	— 0.023	— 0.044
— 0.016	— 0.043	— 0.003
— 0.034	— 0.053	+ 0.074
— 0.050	— 0.047	+ 0.016

Diese $\Delta\alpha$ sind klein und ihr allgemeines Mittel $+0^s.004$ ist verschwindend, sie lassen aber ziemlich deutlich einen Gang erkennen, der mit dem Gang der Zahlen in Albany — München einige Aehnlichkeit besitzt. Zur Vergleichung sind diese letzteren, berechnet aus der obigen Interpolationsformel mit Weglassung des constanten Gliedes, in die erste Columne der Tab. 7 aufgenommen. Es würde diese Uebereinstimmung darauf hinweisen, die Ursache dieses Ganges zunächst beim Münchener Katalog zu suchen; aber abgesehen von der Schwierigkeit, bei streng differenziellen Beobachtungen eine solche Ursache nachzuweisen, wird der Gang in den A.R.-Differenzen Cordoba — München nahezu vollständig beseitigt, wenn man den Cordoba Gen.-Cat. auf das Auwers'sche Fundamentalsystem, welches dem Münchener Katalog zu Grunde liegt, reducirt; eine directe Untersuchung hierüber liegt allerdings nicht vor, und so ist man auf die ziemlich unsicheren Zahlen angewiesen, welche Neue Münch. Ann. Band I pag. XXVIII aufgestellt wurden; diese geben die in der zweiten Columne der Tab. 7 angegebenen Werthe für Cordoba — Fund.-Cat. der A. G. und in Verbindung mit den $\Delta\alpha$ der Tab. 6 die dritte Columne der Tab. 7, welche nichts Auffälliges mehr darbietet. Ich habe daher vorläufig auf die Erklärung des Ganges in den $\Delta\alpha$ von Albany — München verzichtet.

Die Declinationsdifferenzen Cordoba — München beweisen aufs Neue die schon von mehreren Seiten hervorgehobene Thatsache, dass die südlichen Declinationen des Fundamentalcataloges der A. G. einer mit der südlichen Declination anwachsenden positiven Correction bedürfen, um sie mit einer Reihe anderer absoluter Bestimmungen in Einklang zu bringen. Die Correction, welche Herr Geh.-R. Auwers neuerdings (Berl. Jahrb. für 1890) für die Declinationen des Fundamentalcataloges empfiehlt: $+0''.50 - 0''.02\,\delta^0$, gibt für die mittleren Declinationen der beiden Gruppen: $+0''.64$ und $+1''.02$, bringt also die Differenzen $\Delta\delta$ für Cordoba — München im Mittel völlig zum Verschwinden.

8.

Das oben mitgetheilte Resultat der Vergleichung mit dem Albany-Katalog gab Veranlassung, über den persönlichen Fehler bei Durchgangsbeobachtungen, welcher herrührt von dem Grössenunterschied der Sterne, einige Beobachtungen anzustellen, wenn auch von vorneherein die Existenz eines solchen bei Anwendung der Aug- und Ohrmethode wenig wahrscheinlich war; der auffallend grosse und sicher constatirte Betrag, welchen dieser Fehler beim Albany-Katalog erreicht, wird aber in Zukunft solche Untersuchungen, wenigstens bei der Registrirmethode, als unvermeidlich erscheinen lassen. Wenn man sich der am schnellsten zum Ziele führenden Methode bedient, nämlich helle Sterne abwechselnd mit vollem und mit abgeblendetem Objectiv zu beobachten, dann macht nur die Wahl des Mittels der Abblendung einige Schwierigkeit. Vorgesteckte Diaphragmen sind, wenn die Schwächung des Sternes etwa 5 Grössenklassen betragen soll, wegen der Fehler des Objectives nicht unbedenklich, die Abblendung durch verschiebbare Sectoren gibt nach den hiesigen Versuchen ganz schlechte Bilder, da hauptsächlich die Randstrahlen zur Wirkung kommen, Drahtgitter endlich erzeugen störende Beugungserscheinungen; am besten bewährte sich bei den hiesigen Versuchen das einfache Verfahren, Stücke von schwarzem Crepe oder mattschwarzem Kattun durch einen Gehilfen vor das Objectiv halten zu lassen; die Beugungserscheinungen werden dann so matt, dass sie bei schwach beleuchtetem Gesichtsfeld ganz verschwinden, und das Sternbild erscheint vollkommen scharf. Der hier verwendete Crepe schwächte um 4.5 Grössenklassen, der Kattun um 7 Grössenklassen; ersterer wurde bei Sternen 3. und 4. Grösse, letzterer bei Sternen 1. und 2. Grösse benützt. Beobachtet wurden immer 4 Fäden mit vollem und 4 Fäden mit abgeblendetem Objectiv. Die Resultate der 4 Beobachtungsabende waren:

	Hell — schwach		**	Mittl. Grösse voll	abgebl.
1891 Jan. 29.	$-0^s.036$	$\pm 0^s.040$	10	$3^m.3$	$8^m.4$
Jan. 31.	$+0.061$	± 0.024	10	3.1	9.1
Febr. 5.	-0.012	± 0.032	10	3.0	8.5
Febr. 7.	-0.012	± 0.040	9	2.6	8.3.

Hieraus geht hervor, dass ein nennenswerther persönlicher Fehler in der Schätzung der Durchgänge von Sternen verschiedener Grössenklassen für mich nicht vorhanden ist.

9.

Ueber die Einrichtung des Kataloges sind folgende Angaben zu machen. Derselbe gibt die Resultate der einzelnen Beobachtungen, reducirt auf die Epoche 1880.0, geordnet nach den Rectascensionen der Sterne, während die Beobachtungen der einzelnen Sterne nach der Zonennummer aufeinander folgen. Jeder Stern hat eine Nummer, weitere Beobachtungen desselben Sternes sind in der Columne No. durch Striche gekennzeichnet. Die zweite Columne enthält die angestellten Grössenschätzungen; dieselben können natürlich, da sie in einem Gesichtsfeld angestellt wurden, dessen Helligkeit fortwährend geändert werden musste, auf Genauigkeit keinen Anspruch machen; die Scala, die ich mir angewöhnt habe, ist die der Lamont'schen Zonenbeobachtungen. Bis zur Grössenklasse $9^m.0$ stimmt sie mit jener der Bonner Durchmusterung überein; mit $9^m.1$ bis $10^m.0$ habe ich Sterne bezeichnet, die in der Durchmusterung mit $9^m.1$ bis etwa $9^m.3$ oder $9^m.4$ angegeben sind; die schwächsten, eben noch wahrnehmbaren, schwierig zu beobachtenden Sterne habe ich mit $10^m.5$ oder $11^m.0$ bezeichnet; es sind dies Sterne, die sich in der Durchmusterung gewöhnlich mit $9^m.5$ angegeben finden, bekanntlich enthält aber diese Grössenklasse der Durchmusterung in sternarmen Gegenden Sterne, die sehr viel schwächer sind. — Die vierte Columne enthält die Anzahl der Fäden, an denen der Durchgang des Sternes beobachtet wurde. In den Fällen, wo ein Stern nur an einem oder an zwei Fäden beobachtet ist, wird man der Rectascension ein etwas geringeres Gewicht beizulegen haben, die übrigen aber sind wohl als gleichwerthig zu behandeln, gleichviel welches die Anzahl der Fäden ist. Die nächste Columne gibt die Declinationen, die durchweg auf der Ablesung von 2 Mikroskopen beruhen; steht in der Rubrik „Bemerkungen“: „Decl. gesch.“ = Declination geschätzt, so beruht die betreffende Declination nicht auf einer Einstellung, sondern auf einer Schätzung gegen einen leicht herauszufindenden benachbarten Stern Die mit „Zone“ überschriebene Rubrik gibt die Nummer des Beobachtungsabends; mittelst des in No. 6 mitgetheilten Zonenregisters kann man dadurch leicht die näheren Umstände der Beobachtung, sowie die Beobachtungsepoche kennen lernen. Die letzte Columne enthält die bei der Beobachtung bez. bei der Reduction gemachten Bemerkungen; hierbei wurden folgende Abkürzungen angewandt:

a die Rectascension wurde während der Beobachtung als unsicher bezeichnet,
d die Declination wurde während der Beobachtung als unsicher bezeichnet,
u die ganze Position wurde während der Beobachtung als unsicher bezeichnet,
s der Stern ist zu schwach für eine brauchbare Messung,
f die einzelnen Fadenantritte stimmen schlecht untereinander;
A weist darauf hin, dass am Schluss des Kataloges eine längere Anmerkung über die betreffende Beobachtung zu finden ist,
n bedeutet, dass der Stern im ersten Münchener Sternverzeichniss (Neue Ann. Band. I) nicht vorkommt.

Die wenigen Aenderungen, die an den Beobachtungen vorgenommen wurden, sind in dieser Rubrik ebenfalls angeführt.

Auf die Angabe der Praecessionen wurde verzichtet; für alle nicht mit n bezeichneten Sterne findet man dieselben im ersten Münchener Sternverzeichniss.

MÜNCHEN, Februar 1891.

No.	Grösse	Rectascension 1880.0 h	m	s	Fäden	Declination 1880.0 °	′	″	Zone	Bemerkungen
1	8.0	0	0	46.39	3	— 4	17	15.5	164	
2	9.0		0	52.12	4	+ 22	10	36.9	245	
3	9.0		1	3.01	3	— 3	22	58.0	169	
4	9.0		1	5.90	4	+ 22	57	3.1	92	
5	9.7		1	9.42	4	— 28	3	58.7	82	
6	10.0	0	1	13.85	3	+ 22	29	59.1	168	
7	9.8		1	18.84	3	+ 9	58	3.2	88	
8	9.2		1	30.57	3	+ 0	40	42.3	163	
9	8.4		1	31.84	4	— 8	35	18.8	91	
10	9.0		1	32.05	2	+ 12	24	57.7	166	
11	9.0	0	1	39.18	3	— 6	9	17.4	164	n
12	9.5		1	40.68	3	— 0	32	11.5	170	
13	9.0		2	10.37	3	+ 21	15	17.6	245	n
14	9.8		2	22.91	3	+ 22	46	11.7	90	
15	9.0		2	40.42	1	+ 0	35	12.3	91	
—	9.2	0	2	40.45	3	+ 0	35	8.6	163	
16	9.0		3	4.60	2	— 0	35	27.9	244	
17	9.8		3	5.79	3	+ 12	56	40.9	88	
18	6.0		3	14.04	3	— 28	39	21.0	82	
19	9.0		3	16.14	3	— 0	35	40.6	244	
20	9.8	0	3	17.12	3	+ 21	43	8.4	92	
—	10.0		3	16.97	3	+ 21	43	6.0	168	
21	9.6		3	19.43	3	+ 11	42	48.0	166	
22	9.6		3	31.66	4	+ 9	50	52.4	81	
23	9.6		3	47.19	4	+ 23	1	18.5	90	
24	10.0	0	3	53.99	1	+ 21	16	14.5	168	
—	10.0		3	54.17	3	+ 21	16	15.0	169	
25	10.0		3	55.33	2	+ 22	11	55.4	170	
26	9.5		4	7.26	3	— 14	18	10.9	82	
27	10.0		4	13.83	2	+ 22	29	31.6	245	
28	9.7	0	4	20.92	2	+ 22	58	55.8	92	
29	9.0		4	30.38	5	+ 1	37	56.4	163	n
30	8.0		4	31.77	4	+ 1	23	14.1	91	
31	9.0		4	36.59	1	— 6	20	20.5	164	n
32	9.6		5	3.41	2	+ 0	35	50.1	89	f
33	10.0	0	5	11.24	3	+ 11	1	25.4	81	
34	8.0		5	13.33	3	+ 23	8	57.2	90	
35	8.0		5	50.37	3	— 0	53	49.6	91	
36	8.0		6	4.33	3	+ 21	53	19.9	92	
37	9.0		6	7.03	3	— 28	27	10.5	82	
38	10.0	0	6	9.10	3	+ 0	29	52.3	163	
39	9.0		6	49.22	3	+ 11	39	49.1	166	
40	9.3		7	3.91	2	— 28	28	52.3	82	
41	10.0		7	21.33	1	+ 23	19	32.2	168	u
42	8.5		7	55.11	3	— 0	41	59.6	91	
43	9.0	0	7	58.47	2	+ 22	3	50.5	169	
44	8.3		8	15.73	2	— 28	11	—	82	
45	9.5		8	15.96	3	+ 11	43	24.6	88	
46	9.2		8	28.23	4	+ 11	34	11.0	166	
47	8.5		8	37.63	3	+ 23	7	34.7	92	
48	9.0	0	8	44.97	4	— 1	42	6.0	89	
—	9.0		8	44.94	3	— 1	42	4.9	164	
49	9.0		8	55.47	4	+ 22	23	27.3	90	
50	8.0		9	19.58	4	+ 22	21	46.1	168	
51	10.0		9	26.62	3	— 14	53	21.3	169	
52	8.3	0	9	28.81	1	+ 22	2	43.2	90	
—	8.4		9	28.69	2	+ 22	2	45.7	92	f
53	9.5		9	31.68	1	+ 10	56	32.3	88	
54	9.0		9	44.33	4	+ 10	8	21.9	81	
55	9.5		9	58.27	4	— 14	43	15.6	170	
56	9.0	0	10	9.28	3	— 0	37	19.9	89	
—	9.0		10	8.88	3	— 0	37	17.4	91	
57	7.8		10	34.23	4	+ 13	15	2.6	166	n
58	9.6		10	52.73	3	+ 22	35	47.5	90	
—	9.0		10	52.59	3	+ 22	35	50.4	168	
59	9.0	0	10	54.21	2	+ 9	50	7.2	88	n
60	9.5		11	16.66	4	— 1	44	51.5	163	
61	9.0		11	28.78	4	+ 19	19	7.8	92	n
—	9.0		11	28.46	4	+ 19	19	6.3	245	
62	9.6		11	36.69	3	— 1	42	50.4	91	
63	7.8	0	11	49.70	5	— 14	7	20.6	169	
—	7.7		11	49.54	6	— 14	7	22.0	170	
64	9.0		11	54.33	4	— 0	11	7.9	89	
65	9.4		11	58.89	3	— 14	58	41.1	82	
66	9.7		12	12.11	3	— 3	17	14.4	164	n
67	7.5	0	12	26.37	3	+ 22	12	43.7	168	
68	9.0		12	29.70	4	+ 12	1	46.7	166	
69	9.2		12	38.47	3	+ 9	32	55.9	88	n A
70	8.0		13	7.81	4	— 0	8	44.0	91	
71	8.6		13	10.19	3	+ 19	20	2.0	92	n
—	7.8	0	13	10.36	4	+ 19	20	3.0	245	
72	9.2		13	23.92	4	— 1	55	42.1	244	
73	9.0		13	41.24	3	+ 12	43	40.5	166	
74	10.0		13	42.47	3	— 3	12	2.7	163	n
75	10.0		13	58.92	3	+ 21	2	47.5	90	
76	9.0	0	14	0.12	4	+ 10	23	2.5	81	
77	9.0		14	0.35	3	+ 10	16	36.3	88	
78	9.0		14	13.69	4	+ 21	48	51.4	92	
79	10.0		14	18.91	2	— 0	8	43.9	91	
—	8.5		14	19.12	4	— 0	8	46.4	164	
80	9.0	0	14	24.70	4	+ 21	10	1.2	168	
81	10.0		15	0.80	4	— 3	1	24.5	169	
82	10.0		15	20.27	2	— 1	36	27.0	89	
83	6.0		15	29.23	4	— 29	38	46.0	82	
84	9.5		15	36.51	3	+ 12	49	28.2	166	
85	9.5	0	15	51.93	2	+ 11	15	14.3	88	
—	9.5		15	51.81	3	+ 11	15	14.0	244	
86	9.8		16	5.79	3	— 1	36	36.5	91	
87	10.5		16	22.42	1	+ 21	0	15.-	90	Decl. gesch.
88	8.5		16	24.34	4	+ 21	0	7.4	90	

No.	Grösse	Rectascension 1880.0 h m s	Fäden	Declination 1880.0 ° ' "	Zone	Bemerkungen
—	8.0	0 16 24.37	4	+ 21 0 8.3	245	
89	9.3	16 25.69	4	+ 10 54 42.7	81	
90	10.0	16 28.96	4	— 6 59 24.8	164	
91	9.5	16 35.46	4	+ 21 59 36.0	92	
92	8.3	16 44.09	4	+ 21 42 58.9	168	
93	10.0	0 16 44.87	2	— 0 29 14.3	89	
94	9.0	17 19.90	3	— 3 9 12.0	163	n
—	10.0	17 19.94	3	— 3 9 12.2	169	
95	9.6	17 22.64	3	+ 22 8 32.1	92	
96	9.5	17 32.02	4	— 14 45 9.8	170	n
97	10.0	0 18 4.12	3	+ 12 7 5.2	166	n
98	9.0	18 32.68	4	— 3 53 4.0	163	
—	9.0	18 32.57	3	— 3 53 2.9	164	
99	9.8	18 32.61	3	— 4 7 1.3	91	
100	9.0	18 33.69	4	— 16 24 10.0	82	n
101	9.8	0 19 6.05	4	— 2 29 52.5	89	
102	9.7	19 6.38	2	+ 13 8 7.8	88	n
103	10.0	19 8.06	3	+ 21 36 45.2	90	
104	10.0	19 15.80	4	— 8 13 1.0	169	
105	10.0	19 18.28	4	+ 11 7 22.0	81	
106	10.0	0 19 28.15	3	+ 22 21 43.8	92	
107	9.0	19 46.31	4	+ 3 15 35.8	91	
108	9.0	19 49.39	4	+ 23 19 7.7	168	
109	8.9	19 55.24	2	— 0 13 28.5	89	
110	9.5	20 1.37	5	— 13 44 29.2	170	
111	9.9	0 20 4.93	4	+ 23 14 6.1	90	
112	9.4	20 18.16	4	— 14 26 41.0	82	n
—	9.8	20 18.40	2	— 14 26 37.9	169	
113	9.1	20 24.87	4	— 14 25 34.6	245	
114	10.0	20 27.17	2	+ 12 21 53.1	88	
115	9.1	0 20 34.17	4	+ 11 0 36.4	244	A
116	9.0	20 49.40	4	— 4 37 41.6	163	n
117	9.5	20 50.00	2	+ 23 18 17.0	168	
118	10.0	21 8.28	3	+ 12 53 12.3	166	
119	10.0	21 18.63	3	— 4 47 26.1	164	n
120	8.0	0 21 26.82	4	+ 21 25 54.6	92	
121	9.5	21 31.20	4	— 16 7 7.6	170	n
122	9.0	21 32.56	4	+ 13 2 28.5	81	
123	8.7	21 36.70	4	+ 22 54 29.2	90	
124	10.5	22 0.21	1	— 0 40 39.4	89	
125	9.8	0 22 19.37	3	+ 11 55 29.7	166	
126	9.7	22 20.80	3	— 3 10 34.8	91	
127	9.8	22 28.66	2	+ 20 54 12.6	92	
—	10.0	22 28.47	3	+ 20 54 12.4	168	
128	9.0	22 53.47	4	+ 12 53 19.7	81	
129	8.0	0 22 56.11	3	+ 10 39 24.0	88	
130	10.0	22 58.48	3	— 0 42 19.9	163	
131	8.5	23 10.34	3	— 15 43 45.8	82	
132	10.0	23 29.54	3	— 0 46 43.6	164	
133	10.0	23 49.58	1	+ 12 46 2.9	81	

No.	Grösse	Rectascension 1880.0 h m s	Fäden	Declination 1880.0 ° ' "	Zone	Bemerkungen
134	9.7	0 23 55.24	4	+ 21 44 13.4	90	
135	9.2	23 56.10	3	— 15 5 14.2	82	
136	9.5	24 6.01	2	+ 1 12 30.3	164	
—	10.0	24 6.15	3	+ 1 12 31.7	169	
137	9.0	24 22.60	5	— 1 2 11.1	163	
—	9.3	0 24 22.86	2	— 1 2 8.4	169	
138	10.0	24 24.46	3	+ 20 34 17.4	92	n
139	9.8	24 41.18	4	— 8 7 48.8	83	
140	10.0	25 5.19	3	+ 13 3 21.5	166	n
141	9.0	25 23.16	4	+ 23 2 43.5	168	
142	7.8	0 25 28.72	4	+ 12 15 19.9	81	
—	8.0	25 28.87	3	+ 12 15 20.3	88	
143	9.4	25 54.79	3	— 13 58 20.8	169	
144	9.8	25 55.83	3	+ 22 17 21.2	90	
145	9.0	26 6.89	4	+ 21 6 58.1	92	
146	9.8	0 26 12.78	3	— 5 8 8.7	91	n
147	9.7	26 22.45	2	— 2 16 46.5	164	n
—	10.0	26 22.54	4	— 2 16 48.6	244	
148	9.4	26 28.65	4	— 6 52 12.3	83	
149	9.5	26 35.29	1	— 15 33 46.9	169	
—	9.8	0 26 35.00	3	— 15 33 49.2	170	
150	9.8	26 40.82	4	+ 13 10 26.2	166	n
—	10.0	26 40.95	3	+ 13 10 24.5	245	
151	9.5	26 44.96	4	— 13 55 9.6	82	
152	8.9	26 55.05	2	+ 11 21 25.6	88	n
153	9.8	0 27 15.76	4	+ 2 18 57.9	89	
154	7.5	27 20.61	3	— 1 16 14.6	91	
155	10.0	27 25.56	4	+ 12 0 34.4	81	
156	10.5	27 31.48	3	+ 22 7 31.5	90	
—	10.0	27 31.23	2	+ 22 7 30.2	168	
157	9.5	0 27 40.14	1	— 14 59 42.0	169	
—	10.0	27 39.88	3	— 14 59 39.8	170	
158	9.4	28 0.04	4	+ 21 47 6.3	92	
159	9.0	28 7.97	3	— 3 3 23.0	164	
160	9.0	28 34.04	4	+ 12 26 19.0	166	n A
—	9.2	0 28 34.15	3	+ 12 26 15.7	245	
161	10.0	28 34.30	4	— 3 13 25.2	83	
162	10.0	28 38.54	2	— 0 33 50.8	91	
—	9.5	28 38.74	2	— 0 33 49.0	164	
163	9.8	29 0.63	4	+ 10 24 18.6	88	n
164	9.0	0 29 30.70	3	+ 21 6 44.8	90	
—	9.5	29 30.59	4	+ 21 6 47.0	92	
165	9.0	29 41.03	3	— 1 33 34.2	89	
—	8.0	29 41.00	4	— 1 33 33.8	169	
166	10.0	29 55.76	5	+ 10 58 14.6	81	
167	10.0	0 30 1.00	4	— 7 28 26.3	82	f
168	8.4	30 8.84	4	+ 21 22 21.7	168	
169	10.0	30 14.29	3	+ 21 22 4.0	90	f
—	10.0	30 14.17	2	+ 21 22 6.4	166	
170	9.5	30 39.03	2	+ 12 47 30.1	81	

No.	Grösse	Rectascension 1880.0 h m s	Fäden	Declination 1880.0 ° ′ ″	Zone	Bemerkungen
—	9.3	0 30 39.02	4	+ 12 47 31.0	245	
171	9.3	30 49.20	3	+ 11 22 15.2	88	
172	8.5	30 49.52	4	— 4 3 40.1	83	
—	8.0	30 49.76	5	— 4 3 40.3	91	
173	9.5	31 1.80	2	— 1 31 30.8	89	
—	9.5	0 31 1.37	4	— 1 31 30.7	164	
174	9.0	31 11.21	3	+ 21 15 31.9	168	
175	10.0	31 19.47	3	+ 12 12 27.0	244	
176	8.0	31 22.30	3	+ 20 26 24.1	92	n
177	10.0	31 51.37	1	+ 23 1 57.7	92	
178	7.0	0 31 56.46	4	— 1 9 48.1	169	
179	9.3	32 4.80	4	— 2 22 13.6	164	n
180	10.0	32 7.25	4	— 8 4 33.0	83	
181	10.0	32 17.89	2	+ 10 23 17.4	88	n f
182	10.0	32 18.07	3	— 0 27 3.9	91	u
183	11.0	0 32 21.57	2	+ 21 52 39.0	166	
184	9.7	32 36.37	4	— 14 53 38.4	82	
185	8.0	32 57.13	4	+ 2 27 53.7	85	
—	8.0	32 57.24	6	+ 2 27 51.0	89	
186	10.0	32 57.80	1	+ 10 20 40.5	244	n
—	10.0	0 32 57.87	3	+ 10 20 42.4	245	
187	10.0	33 3.04	4	+ 21 41 2.7	168	
188	9.5	33 4.57	3	— 2 11 0.1	163	
189	9.8	33 14.53	2	+ 10 22 23.9	245	n
190	10.0	33 23.00	4	— 1 38 24.3	169	
191	10.0	0 33 42.31	2	— 0 45 54.7	163	n u
—	10.0	33 42.14	3	— 0 45 54.2	164	
192	8.2	34 2.38	4	+ 23 6 39.8	92	n
193	9.0	34 24.95	3	— 2 25 41.7	91	n
194	9.6	34 37.84	4	+ 11 36 39.7	81	
195	8.3	0 34 39.40	4	+ 3 49 11.5	89	
196	9.0	34 40.12	4	+ 19 47 30.0	166	n
197	8.0	34 40.41	3	+ 20 21 42.0	90	n
198	9.3	34 44.70	3	+ 12 51 32.9	88	
199	10.0	34 47.98	4	— 0 56 16.3	83	
200	9.5	0 35 15.56	4	+ 20 38 34.7	168	n
201	8.0	35 24.76	5	— 1 57 28.0	163	
—	8.0	35 24.65	5	— 1 57 27.8	164	
202	8.9	35 25.03	3	+ 1 5 22.9	85	n
203	9.5	35 26.45	4	+ 12 29 20.4	244	n
204	9.0	0 35 29.27	2	+ 22 10 17.0	92	
205	9.0	35 36.39	3	+ 19 46 0.9	166	n
206	8.3	35 41.19	3	+ 12 28 48.8	81	f
207	9.0	36 24.12	4	+ 12 59 7.4	88	n A
—	9.3	36 24.02	4	+ 12 59 7.6	245	
208	8.7	0 36 28.53	3	— 1 0 12.7	83	
209	9.0	36 33.32	6	+ 3 8 0.3	91	
210	10.0	36 49.33	1	— 0 49 22.0	85	u
—	10.5	36 49.62	2	— 0 49 28.1	89	u s
211	9.3	37 17.10	3	— 1 32 42.8	83	
—	9.0	0 37 17.53	4	— 1 32 42.6	163	
—	9.0	37 17.13	4	— 1 32 42.3	164	
212	10.0	37 24.06	3	+ 22 21 29.5	90	
213	9.0	37 36.82	4	+ 18 51 24.3	168	n
214	10.0	37 40.75	3	+ 22 39 29.0	92	
—	9.5	0 37 40.68	3	+ 22 39 29.1	166	
215	8.5	37 57.67	4	+ 12 39 2.0	88	
216	10.0	38 13.15	2	— 0 42 44.7	91	
217	10.0	38 23.13	2	— 1 43 2.1	83	u
—	10.0	38 23.17	3	— 1 43 0.9	89	
218	9.0	0 38 41.45	4	+ 3 2 59.7	163	
—	9.0	38 41.31	3	+ 3 3 0.8	164	
219	9.0	38 44.62	2	+ 2 32 38.2	85	
220	8.0	38 51.33	3	+ 22 56 2.3	90	
221	9.6	39 20.90	4	+ 11 55 58.3	81	
222	9.5	0 39 24.71	3	+ 12 14 2.2	88	
223	10.0	39 25.00	4	— 8 4 19.8	82	
224	9.7	39 36.33	2	— 1 50 26.4	83	
—	9.0	39 36.47	4	— 1 50 30.7	244	
225	10.0	39 55.57	3	+ 22 7 16.9	92	
226	9.0	0 40 0.19	3	— 6 18 2.8	164	n
227	9.0	40 22.11	3	+ 13 20 51.5	81	
228	9.8	40 25.66	3	— 1 29 27.9	91	
229	9.5	40 30.06	2	— 2 46 34.7	85	
230	9.0	40 39.86	4	+ 11 52 26.3	166	
231	10.0	0 40 50.19	4	— 16 38 35.1	170	n
232	9.1	40 52.90	4	— 1 54 24.7	89	
233	9.0	41 3.70	3	— 1 48 41.8	83	
234	9.0	41 24.67	3	+ 12 13 29.5	88	
235	9.0	41 27.25	2	+ 12 13 8.-	88	Decl. gesch.
236	9.0	0 41 32.18	4	— 5 9 12.1	164	n
237	9.0	41 36.24	3	+ 2 14 50.5	163	n
238	9.0	41 51.90	3	— 0 53 51.0	91	
239	9.9	42 2.64	4	— 3 57 44.1	82	
240	9.0	42 20.81	5	+ 11 30 21.2	166	
241	9.0	0 42 30.29	3	— 4 31 31.7	164	n
242	9.7	42 32.84	5	— 15 24 19.5	170	n
243	9.5	42 34.91	4	+ 0 21 36.6	89	n
244	9.0	42 41.00	4	+ 20 54 31.8	168	
245	9.8	42 51.22	4	+ 11 39 31.2	81	
246	9.0	0 43 10.00	3	— 2 16 52.5	91	n
247	9.3	43 27.67	4	+ 12 51 5.9	85	
—	9.5	43 27.73	3	+ 12 51 3.1	88	
248	10.0	43 37.96	4	— 0 23 38.6	83	
249	7.0	43 46.41	4	— 0 52 43.5	163	
—	7.0	0 43 46.34	4	— 0 52 42.7	164	
250	10.0	43 49.48	4	+ 23 2 24.8	90	
251	10.0	44 8.23	3	+ 23 10 22.7	92	
252	8.7	44 14.13	4	+ 2 43 39.7	89	
253	9.0	44 39.80	3	— 2 34 22.5	91	

No.	Grösse	Rectascension 1880.0 h m s	Fäden	Declination 1880.0 ° ′ ″	Zone	Bemerkungen
254	10.0	0 44 43.30	2	+ 22 12 18.3	92	
255	9.8	44 44.93	2	− 15 29 28.0	82	
—	9.7	44 45.17	4	− 15 29 28.7	170	
256	10.0	44 45.13	4	+ 11 11 40.0	81	
257	10.0	44 51.64	3	+ 2 49 4.0	83	
258	9.0	0 44 54.35	3	+ 22 12 3.9	168	
259	10.0	44 56.06	3	+ 11 38 6.8	166	n
—	10.0	44 55.84	4	+ 11 38 8.2	245	
260	9.6	45 8.50	2	− 1 11 17.5	85	
—	9.0	45 8.27	4	− 1 11 22.3	163	
—	9.0	0 45 8.13	5	− 1 11 19.1	164	
261	9.0	45 39.25	4	− 6 45 12.5	169	n
262	10.0	45 40.99	3	+ 22 24 26.9	90	
263	8.6	45 50.25	5	− 7 46 40.7	82	
264	9.6	45 54.75	3	− 2 45 18.2	91	n
265	10.0	0 46 4.59	2	+ 12 28 13.7	88	
266	9.3	46 8.78	4	− 1 0 59.3	89	u
267	9.0	46 16.88	4	− 14 33 33.7	170	
268	9.3	46 35.34	4	+ 11 36 35.9	81	
—	9.5	46 35.30	3	+ 11 36 36.7	166	
269	8.5	0 46 45.86	3	− 1 1 58.6	83	
270	9.8	46 46.20	1	− 1 5 59.7	83	
271	10.0	46 49.83	4	+ 22 16 22.0	92	
—	9.5	46 49.86	4	+ 22 16 20.3	168	
272	9.0	47 1.27	4	− 6 16 16.8	169	n
273	9.0	0 47 42.13	4	− 14 34 20.6	170	n
274	9.5	47 49.91	3	+ 1 22 50.2	89	n
275	10.0	48 12.84	3	+ 21 47 3.2	90	
276	7.0	48 14.38	2	− 9 23 26.9	82	n
277	9.5	48 23.86	4	− 1 2 3.4	85	f
278	10.5	0 48 33.68	1	+ 22 31 53.8	92	n
279	9.5	48 38.92	4	− 7 53 24.3	169	
280	10.0	48 41.80	3	− 2 12 29.3	91	n f
281	10.0	49 2.55	3	+ 14 9 4.9	166	n
282	8.0	49 21.89	3	+ 23 10 25.4	87	
283	9.5	0 49 45.07	4	+ 12 56 49.2	81	
284	10.0	49 57.66	1	− 1 2 17.0	91	
285	10.0	50 5.66	3	− 13 9 46.5	82	n
—	10.0	50 5.72	3	− 13 9 47.1	170	
286	9.0	50 23.21	4	− 7 22 15.8	169	
287	9.8	0 50 26.89	4	+ 20 59 2.4	90	
288	9.6	50 31.10	3	+ 12 22 48.1	85	
289	9.0	50 33.08	5	+ 1 13 35.9	89	n
290	10.0	50 36.90	3	+ 22 8 47.1	92	
291	9.8	50 48.31	3	+ 11 49 41.6	166	
292	8.7	0 51 4.69	3	+ 0 42 53.8	83	n
293	9.0	51 4.75	2	+ 11 46 50.5	166	
294	9.3	51 52.30	4	− 1 23 46.8	89	
—	9.8	51 52.51	4	− 1 23 47.5	91	
295	10.5	52 6.51	2	+ 21 25 6.1	87	
296	9.5	0 52 9.15	4	+ 21 46 19.0	92	
297	10.0	52 31.30	2	− 6 47 52.1	169	
298	9.5	52 45.20	3	+ 14 5 11.8	166	n
299	10.0	52 50.09	3	+ 22 0 9.1	90	
300	8.0	53 26.75	2	− 1 50 32.1	163	
301	8.0	0 53 27.86	1	− 1 58 28.2	163	n A
—	8.0	53 28.15	5	− 1 58 28.2	334	
302	10.5	54 0.98	2	− 1 6 14.8	89	u
303	9.2	54 4.13	3	+ 23 2 43.3	92	
304	9.5	54 20.61	3	+ 14 11 40.7	166	n
305	9.0	0 54 26.37	4	+ 8 50 24.1	88	n
306	9.8	54 44.83	3	− 1 30 59.1	83	
307	10.0	54 51.01	2	− 1 31 37.9	163	n
—	10.0	54 51.05	3	− 1 31 36.5	164	
308	10.0	55 19.64	4	+ 22 47 3.1	87	f
309	10.0	0 55 23.67	3	+ 23 8 51.1	90	
310	8.9	55 25.38	2	− 0 57 57.1	83	
—	8.3	55 25.26	4	− 0 57 59.2	334	
311	9.8	55 44.31	4	+ 22 28 55.1	92	
312	9.0	55 45.63	4	+ 23 5 4.7	168	
313	10.0	0 56 1.39	3	+ 10 52 44.1	166	
314	9.0	56 27.66	3	+ 13 14 23.7	166	
315	9.8	56 50.65	4	+ 22 8 25.3	87	f
316	9.0	57 2.13	3	+ 21 9 38.2	92	
317	9.5	57 5.96	4	+ 22 25 28.9	90	
318	8.5	0 57 18.15	4	− 2 8 24.9	163	
—	8.5	57 18.21	3	− 2 8 23.9	164	
319	10.0	57 45.59	3	− 1 41 37.1	83	f
320	10.0	58 23.48	4	− 1 33 37.9	82	
321	8.7	58 35.37	3	+ 6 24 18.0	88	n
—	8.0	0 58 35.68	5	+ 6 24 17.9	334	
322	10.0	58 45.67	2	+ 21 19 0.5	87	f
—	10.0	58 45.65	3	+ 21 18 58.1	90	
323	9.0	59 3.82	4	+ 13 27 54.4	166	n
324	9.5	59 17.89	3	+ 9 53 34.1	88	n
325	10.0	0 59 27.46	4	− 0 48 52.5	83	
326	10.0	59 34.95	2	− 0 53 4.3	163	u f
327	9.7	59 51.18	2	+ 21 20 43.6	87	
—	9.6	59 51.51	3	+ 21 20 43.9	92	
—	9.5	59 51.45	4	+ 21 20 41.4	168	
328	9.6	0 59 56.22	2	+ 22 48 18.6	90	
329	8.5	1 0 6.91	3	− 0 54 29.8	82	
330	9.5	0 24.67	3	+ 21 28 15.9	164	
331	10.0	0 30.08	3	+ 21 57 45.2	166	
332	9.8	1 17.23	4	− 2 8 29.2	83	
333	10.0	1 1 25.39	2	+ 22 40 16.4	87	
—	10.0	1 25.33	3	+ 22 40 18.3	92	
—	9.5	1 24.87	3	+ 22 40 17.4	166	
334	8.0	1 42.56	4	+ 21 20 11.4	168	
—	8.0	1 42.62	6	+ 21 20 14.1	245	

No.	Grösse	Rectascension 1880.0 h m s	Fäden	Declination 1880.0 ° ′ ″	Zone	Bemerkungen
335	9.6	1 1 44.03	4	+ 11 30 21.6	81	
336	9.5	2 13.96	1	+ 10 15 4.9	81	
337	10.0	2 25.97	2	— 7 58 4.8	82	n
338	9.5	2 56.30	4	+ 21 56 14.4	90	
339	9.0	3 1.88	4	+ 20 21 3.8	164	n
340	6.5	1 3 10.46	4	+ 23 9 16.8	92	
341	9.2	3 30.72	3	— 2 24 55.7	163	n
342	9.0	3 32.21	3	+ 19 38 47.0	168	n
343	9.5	3 36.13	4	+ 22 47 30.5	87	
344	10.0	3 39.61	3	— 1 22 25.7	83	
345	9.0	1 3 43.29	3	+ 22 6 58.4	166	
346	9.2	4 7.11	4	— 8 21 53.5	82	n
347	8.0	4 14.46	1	+ 22 49 37.3	87	u
—	8.8	4 14.75	2	+ 22 49 36.4	90	
348	9.3	4 24.75	4	+ 18 0 12.8	164	n
349	9.6	1 4 54.76	3	— 3 40 45.6	163	n
350	9.0	5 8.28	5	— 2 37 29.4	83	n
351	9.0	5 9.78	4	+ 21 41 54.5	166	
352	8.0	5 12.16	4	+ 22 5 4.8	92	
353	9.0	5 18.38	4	+ 20 41 37.2	168	n A
354	9.1	1 5 31.04	4	+ 10 49 44.5	81	
355	9.0	5 39.94	4	— 8 34 2.0	82	n
356	9.3	6 7.37	2	+ 12 24 4.4	81	
357	9.0	6 20.80	2	+ 14 55 44.4	164	n
358	9.6	6 21.53	3	+ 19 51 48.3	90	n
359	8.5	1 6 25.07	3	+ 22 12 5.9	87	
360	9.0	6 55.19	4	— 9 1 53.6	82	n
361	10.0	7 9.16	1	+ 11 29 45.3	164	
—	10.0	7 9.25	3	+ 11 29 47.0	166	
362	9.5	7 12.96	3	— 2 21 31.7	163	n
363	9.0	1 7 13.45	3	— 2 29 46.0	83	n
—	9.0	7 13.28	4	— 2 29 46.5	334	
364	9.5	7 17.89	2	+ 13 17 40.2	81	
365	9.8	7 20.90	1	+ 12 5 59.1	166	
—	10.0	7 20.88	4	+ 12 5 56.1	168	
366	9.8	1 8 31.64	3	+ 12 28 59.1	164	
367	10.0	8 42.43	1	— 0 51 9.7	83	
—	9.3	8 42.63	3	— 0 51 12.9	163	
368	8.5	8 46.04	3	+ 22 13 58.7	87	
—	9.0	8 45.96	2	+ 22 13 57.9	90	
—	9.5	1 8 45.90	2	+ 22 13 58.3	168	
369	9.8	8 46.94	2	— 8 34 32.7	82	n
370	9.5	9 34.84	3	— 0 36 59.3	163	
371	10.0	9 46.—	—	+ 21 28 12.4	87	
—	10.0	9 46.80	2	+ 21 28 11.4	334	
372	9.0	1 10 12.23	4	+ 8 59 33.5	93	n A
373	9.5	10 22.75	3	+ 16 59 39.2	164	n
374	9.0	10 34.16	4	+ 20 7 57.6	90	n
375	10.0	10 38.12	3	+ 22 6 33.8	168	n
376	9.7	10 53.98	4	— 9 4 20.8	82	

No.	Grösse	Rectascension 1880.0 h m s	Fäden	Declination 1880.0 ° ′ ″	Zone	Bemerkungen
377	9.5	1 10 57.79	3	— 0 20 2.1	83	
378	9.5	11 16.95	4	+ 11 39 48.7	81	
379	10.0	11 20.11	3	— 2 19 48.0	163	n
380	9.5	11 46.78	3	+ 20 9 49.9	90	n
381	9.4	11 58.84	2	— 10 34 25.2	82	n
382	8.0	1 12 29.83	5	— 1 29 31.7	83	
—	8.5	12 30.12	3	— 1 29 28.9	94	
383	8.8	12 51.74	4	+ 13 15 38.4	93	
384	9.0	13 6.25	3	— 3 38 58.2	163	n
385	7.0	13 40.20	3	— 1 8 21.1	94	
386	9.0	1 13 52.21	4	— 10 36 20.6	82	n
387	9.0	13 53.68	3	— 1 27 14.2	83	
388	8.0	13 53.78	2	+ 11 9 2.1	93	
—	9.0	13 53.75	4	+ 11 9 2.1	334	
389	10.0	14 4.46	2	— 2 15 12.3	163	n
390	9.3	1 14 17.18	4	+ 12 50 15.7	81	
391	10.5	14 18.92	2	+ 22 15 14.8	90	u s
392	9.3	15 6.36	3	— 1 44 35.3	83	n
393	10.0	15 53.33	2	— 0 0 16.2	94	n
394	10.0	15 57.96	3	+ 21 41 12.2	90	
395	10.0	1 16 5.40	2	— 2 12 36.5	163	n
396	9.0	16 29.47	3	— 11 14 3.2	82	n
397	9.6	16 51.92	4	+ 12 1 20.6	81	
—	9.3	16 51.93	3	+ 12 1 21.5	93	
398	9.0	16 56.46	2	— 3 16 4.4	164	n
—	10.0	1 16 56.35	3	— 3 16 5.7	334	
399	9.5	17 5.29	3	— 0 3 4.3	83	n
400	10.0	17 48.90	2	— 0 16 28.8	94	n s
401	10.0	18 9.54	3	+ 11 33 4.7	90	
402	10.0	18 13.30	3	— 2 21 20.7	163	n
403	10.0	1 19 3.86	2	— 1 40 32.4	94	
404	9.1	19 10.53	4	+ 12 13 47.3	81	
—	9.3	19 10.36	4	+ 12 13 48.7	93	
405	10.0	19 37.05	3	— 2 24 0.7	163	n
406	9.7	20 1.48	3	+ 11 5 36.4	81	
407	9.3	1 20 13.56	2	— 0 50 47.7	83	
408	8.4	20 41.35	4	+ 10 44 39.7	90	n
—	8.0	20 41.03	4	+ 10 44 40.2	93	
409	8.4	20 50.97	5	— 0 46 11.9	94	
410	9.0	20 57.53	3	— 2 52 50.3	164	n
411	9.3	1 21 18.08	3	— 2 41 22.0	163	n
412	9.3	22 4.80	2	— 2 0 15.7	164	n
413	9.8	22 26.77	3	— 0 28 7.9	83	
414	9.2	22 26.85	4	+ 13 12 53.5	81	
—	9.0	22 27.03	4	+ 13 12 56.7	90	
—	9.0	1 22 26.82	3	+ 13 12 53.7	93	
415	10.0	22 36.91	2	+ 0 5 24.8	94	n
416	9.3	23 25.26	2	— 3 15 37.5	163	n
—	9.0	23 25.55	3	— 3 15 37.7	164	
417	9.3	24 0.48	4	— 0 56 31.0	83	

No.	Grösse	Rectascension 1880.0 h m s	Fäden	Declination 1880.0 ° ′ ″	Zone	Bemerkungen
418	9.0	1 24 21.66	4	+ 0 44 22.7	94	n
419	10.0	24 53.76	2	— 2 35 51.2	164	n
420	9.5	25 3.27	3	— 0 52 —	83	
421	10.0	25 25.72	2	— 2 12 25.3	163	n
422	9.0	26 23.32	2	+ 12 32 40.0	90	
423	9.3	1 26 30.46	4	— 2 38 42.4	164	n
424	9.5	26 50.05	4	+ 15 37 10.3	93	n
425	8.0	26 50.13	2	— 0 29 25.7	83	
426	8.5	27 31.78	3	— 2 15 18.1	163	n
—	9.0	27 31.80	3	— 2 15 16.2	164	
427	8.5	1 27 32.57	5	+ 3 9 20.4	94	
428	10.0	28 0.17	1	+ 12 16 9.6	90	n
429	9.7	28 7.23	2	— 0 46 50.5	83	n
430	9.8	29 10.81	2	— 2 58 42.7	164	n
431	10.0	29 32.64	4	+ 17 53 29.6	93	n
432	9.0	1 29 44.49	4	— 2 1 11.5	163	A
433	8.7	30 3.42	4	+ 3 42 3.1	94	
434	9.5	30 4.69	4	— 1 25 48.8	83	
435	9.3	30 35.60	3	+ 12 7 26.4	90	
436	9.0	30 53.50	3	— 1 23 25.6	83	
437	10.0	1 31 4.98	3	— 2 50 2.6	163	n
438	9.8	31 19.91	3	+ 15 59 29.0	93	n
439	8.6	31 27.16	5	— 2 59 45.5	164	n
440	9.8	31 27.83	3	+ 0 46 29.2	94	n
441	9.6	31 47.02	4	+ 12 14 6.7	90	n
442	9.6	1 32 58.51	4	— 1 2 58.9	83	
443	9.5	33 5.70	3	— 2 11 26.4	163	n
—	9.0	33 5.78	4	— 2 11 25.8	164	
444	10.0	33 17.59	4	+ 10 17 39.9	90	
445	9.0	33 22.00	4	+ 0 20 22.1	94	n
446	9.8	1 33 24.40	5	+ 12 7 21.6	93	
447	9.0	33 56.82	3	— 3 49 31.6	163	n
448	9.5	34 33.27	3	+ 10 40 55.1	90	
449	9.2	34 42.45	5	— 0 11 52.9	94	
450	9.8	34 45.55	3	— 2 0 38.5	83	
451	9.2	1 35 1.91	3	— 2 22 59.5	163	n
452	10.0	35 49.37	3	— 1 55 38.9	83	n
453	9.3	35 51.45	3	+ 10 44 40.0	90	
454	9.9	36 1.60	2	+ 15 48 5.5	93	n
455	8.4	36 18.02	3	— 1 38 35.1	94	
456	9.5	1 37 10.61	3	+ 9 51 58.2	90	n
457	8.5	37 14.74	3	— 1 10 34.3	83	
458	9.2	37 51.71	3	— 0 46 23.2	94	
459	8.5	39 43.82	6	— 2 31 42.3	174	n
460	9.2	40 33.88	2	+ 12 55 39.9	93	
461	8.5	1 41 27.27	4	— 0 26 39.9	94	
462	9.6	41 35.83	2	+ 10 25 10.1	93	
463	9.3	41 49.52	3	— 1 33 17.9	83	
—	8.7	41 49.46	4	— 1 33 18.5	174	
464	10.0	41 57.60	4	— 2 25 15.1	163	n
465	9.5	1 42 56.09	1	+ 11 34 19.9	93	n
466	9.0	43 50.80	4	+ 0 23 25.1	94	n
467	9.8	44 3.90	3	— 2 29 43.8	163	n
468	9.3	44 6.51	1	+ 11 25 13.4	93	
469	8.0	44 31.67	4	— 2 39 27.8	174	n
470	9.0	1 44 47.76	4	— 0 53 6.2	173	u
471	10.0	44 50.35	4	— 1 14 6.3	83	
472	9.0	45 14.31	3	— 3 43 3.3	163	n
473	8.4	46 26.28	4	+ 1 54 19.8	94	n
474	9.0	46 28.29	3	— 2 37 16.9	174	n
475	10.0	1 46 34.17	4	— 1 13 36.0	172	u
—	9.5	46 34.25	3	— 1 13 38.9	173	u
476	8.0	46 35.86	6	+ 14 17 12.9	93	n
477	8.8	47 11.69	2	— 0 12 15.7	94	u
478	9.5	48 17.87	2	— 1 24 3.2	173	f
—	9.8	1 48 17.89	3	— 1 24 1.9	174	
479	9.1	48 21.42	2	— 1 47 26.6	94	
480	8.0	48 44.95	5	+ 14 45 9.7	93	n A
481	9.5	48 52.31	3	— 2 30 56.2	163	n
482	10.0	49 54.91	3	— 0 35 37.2	83	
483	10.0	1 50 18.73	2	+ 15 26 38.3	93	n A
484	9.3	50 48.13	6	— 0 49 41.1	246	
485	9.5	50 55.37	3	— 1 36 5.5	163	
486	10.0	51 30.69	3	— 1 40 2.3	83	
487	8.5	52 8.02	5	+ 15 20 42.7	93	n
488	9.8	1 52 12.28	3	+ 1 43 51.8	94	n
489	8.0	52 19.74	3	— 2 41 35.6	163	n
—	8.0	52 19.67	4	— 2 41 33.2	174	
490	8.5	53 16.06	3	+ 15 22 31.5	93	n
491	9.9	53 19.67	3	— 0 50 1.5	83	
—	9.0	1 53 19.60	3	— 0 50 2.5	97	
492	10.5	53 23.36	1	— 0 21 4.6	94	u s
—	10.0	53 23.60	2	— 0 21 5.3	163	
493	10.0	53 41.52	1	— 1 18 26.1	97	
494	9.6	54 35.34	3	— 0 12 59.5	83	
495	9.2	1 54 38.10	1	— 1 42 —	163	
—	9.0	54 38.28	3	— 1 42 8.7	174	
496	7.0	56 7.41	5	+ 12 53 53.8	93	
497	10.0	56 17.19	3	— 1 41 55.8	83	
498	10.0	56 36.04	2	— 1 36 55.3	94	n
499	9.3	1 56 48.24	3	— 2 20 1.0	174	n
500	10.5	57 1.79	2	+ 10 26 21.7	97	u
501	10.0	57 27.79	2	+ 12 27 56.2	93	
502	10.0	57 51.30	3	— 0 26 38.2	83	
503	9.0	58 28.18	3	+ 10 49 35.6	97	
504	9.4	1 58 58.42	5	— 2 33 27.7	174	n
505	9.5	59 1.92	2	— 0 34 30.3	83	
—	9.8	59 1.91	3	— 0 34 31.4	94	
506	9.0	59 14.34	2	+ 12 30 51.9	96	f
507	10.0	2 0 28.32	3	+ 10 42 17.3	93	f

No.	Grösse	Rectascension 1880.0 h m s	Fäden	Declination 1880.0 ° ' "	Zone	Bemerkungen
508	9.8	2 1 6.29	3	+ 10 45 3.7	94	
509	9.3	1 9.77	4	— 2 42 25.4	174	n
510	7.5	1 28.74	3	— 1 10 42.7	83	
—	7.6	1 28.72	4	— 1 10 42.2	97	
511	9.5	2 15.49	2	+ 13 43 48.7	96	n f
512	8.0;9.5	2 2 34.95	2	— 1 0 22.8	83	dpl. med. 5"
513	8.5	2 34.96	4	— 1 0 25.4	99	dpl. seq. 5"
514	7.0	3 4.97	4	— 2 54 0.2	174	n
515	9.0	3 34.41	4	+ 0 13 43.2	94	n
—	9.1	3 34.51	4	+ 0 13 42.1	97	
516	9.3	2 3 41.41	3	+ 11 32 44.4	93	
517	9.0	4 53.18	3	— 2 28 56.8	174	n
518	9.5	5 3.63	4	+ 11 19 7.4	93	
519	8.7	5 11.91	4	+ 1 6 59.1	99	n
520	9.6	5 16.75	3	+ 1 8 41.6	94	n
521	9.8	2 5 19.66	4	+ 11 11 46.1	96	
522	6.0	5 30.37	4	— 2 23 23.3	83	n
523	10.0	5 45.81	1	+ 13 15 34.2	93	
—	10.0	5 45.80	5	+ 13 15 33.0	97	
524	10.0	6 4.37	2	— 1 38 27.9	94	
—	10.0	2 6 4.12	3	— 1 38 27.1	174	
525	8.5	6 36.39	2	— 2 47 27.5	83	n
526	9.3	7 24.27	3	— 0 34 48.4	99	
—	8.5	7 24.45	2	— 0 34 50.7	101	
—	8.9	7 24.22	2	— 0 34 49.4	174	
527	9.0	2 7 45.43	4	+ 11 43 21.4	93	
—	8.8	7 45.44	4	+ 11 43 17.2	96	
528	9.5	8 26.08	4	— 1 45 35.0	94	
529	9.0	8 32.34	4	+ 11 40 39.2	97	
530	10.0	8 34.65	2	— 0 29 1.3	99	u
531	9.0	2 9 21.00	3	— 2 29 36.8	174	n
532	9.3	9 58.15	4	+ 11 49 40.7	93	
—	8.6	9 58.27	4	+ 11 49 40.2	97	
533	9.0	10 13.91	3	+ 0 16 25.6	94	n
534	10.0	11 10.65	4	+ 11 4 22.3	99	
535	9.5	2 11 12.27	2	— 1 30 56.5	98	
536	8.8	11 36.57	4	— 0 42 57.0	97	
537	10.0	11 41.81	3	— 0 41 51.1	174	
538	10.0	12 18.59	2	+ 10 59 45.5	99	
539	8.0	13 42.06	2	+ 13 44 44.7	93	n
540	10.0	2 14 5.11	1	+ 12 14 40.6	97	
541	8.0	14 27.97	5	+ 10 3 44.6	99	
542	9.0	15 23.99	3	+ 11 42 35.6	96	
543	9.0	15 25.36	2	+ 15 26 42.4	93	n
544	8.0	15 32.46	6	— 0 41 52.0	94	
545	9.0	2 15 33.37	4	— 3 30 38.9	174	n
546	9.5	16 2.16	3	— 0 48 22.1	98	
547	10.0	16 12.12	3	+ 12 0 40.5	97	
548	10.0	17 16.36	3	+ 12 37 40.3	99	
549	9.6	17 55.30	3	+ 10 57 21.3	97	
—	9.0	2 17 55.05	5	+ 10 57 21.9	174	
550	8.8	18 14.83	3	+ 10 47 37.1	96	
551	10.0	18 43.04	2	+ 10 45 6.6	99	
552	9.3	19 12.58	4	+ 1 2 34.3	94	n
553	9.2	19 21.03	4	+ 11 58 46.4	97	
554	10.0	2 20 20.35	3	+ 0 3 45.0	94	n
555	10.0	20 37.63	1	+ 11 31 2.9	246	u s
556	9.0	21 20.22	4	+ 12 25 7.5	97	
557	9.0	21 43.82	4	— 1 19 47.9	174	
558	8.8	21 51.34	4	— 0 19 0.8	94	
559	9.1	2 22 2.77	3	+ 12 12 55.8	99	
560	10.0	22 3.31	5	— 1 15 21.7	98	
561	8.0	22 27.90	1	+ 11 27 56.3	93	
562	9.9	22 45.46	3	— 2 8 33.2	99	
563	10.5	23 7.61	3	+ 12 1 52.1	97	
564	10.0	2 23 16.96	2	— 0 14 29.8	94	
565	9.0	24 22.32	3	— 1 20 17.0	174	
566	9.0	25 41.17	5	+ 12 9 18.5	97	
567	8.0	25 52.46	3	+ 6 11 9.6	100	n
568	9.0	25 53.20	4	+ 10 33 9.1	93	n
569	10.0	2 25 54.98	1	— 1 8 8.9	94	
570	9.0	25 59.49	6	— 1 24 58.1	174	n
571	9.0	26 48.10	5	+ 1 8 2.1	99	n
572	8.1	27 7.20	4	— 0 23 48.0	94	
—	8.0	27 7.32	4	— 0 23 50.3	98	
573	8.0	2 27 9.61	3	+ 5 10 14.8	100	n
574	9.5	27 24.69	2	— 1 39 8.5	174	n
575	7.5	27 32.69	6	+ 11 39 11.1	93	
—	7.5	27 32.70	3	+ 11 39 11.7	97	
576	9.4	28 35.51	6	+ 0 11 43.9	99	n
577	9.6	2 28 49.78	3	— 1 42 58.1	174	
578	9.0	28 55.99	4	+ 10 49 47.2	97	n
579	10.0	29 14.23	4	— 2 6 7.5	94	
580	9.0	29 28.52	3	+ 13 13 48.2	93	n
581	8.0	29 42.00	3	+ 5 54 31.4	100	n
582	10.0	2 29 44.48	3	— 2 21 17.1	166	n
583	9.8	29 48.97	2	— 1 29 10.7	99	
584	6.8	30 5.53	2	+ 11 55 34.9	93	
—	7.3	30 5.44	4	+ 11 55 34.9	96	
585	10.0	30 52.63	3	— 2 21 37.7	166	n
586	7.0	2 31 3.38	6	— 2 51 28.0	174	n
587	9.5	31 7.89	4	— 0 43 12.7	94	
588	9.6	31 9.35	4	+ 11 50 58.1	97	
589	9.0	32 19.19	4	— 1 55 42.7	100	
—	8.0	32 19.19	2	— 1 55 44.6	166	
—	8.0	2 32 19.12	2	— 1 55 45.1	174	
590	10.0	32 34.52	2	— 0 14 24.2	99	f
591	10.0	32 50.43	4	— 2 6 18.2	246	
592	10.0	33 7.98	3	+ 11 21 34.4	101	n
593	9.0	34 36.01	3	— 2 26 25.5	166	n

No.	Grösse	Rectascension 1880.0 h m s	Fäden	Declination 1880.0 ° ′ ″	Zone	Bemerkungen
—	8.0	2 34 36.08	5	— 2 26 27.6	174	
594	9.7	34 38.48	3	+ 11 56 51.6	99	
595	7.5	35 5.24	4	— 1 12 25.4	94	
—	7.5	35 5.29	6	— 1 12 27.4	97	
—	7.5	35 5.13	4	— 1 12 25.1	100	
596	9.7	2 35 39.09	3	+ 12 28 39.9	99	
597	9.0	36 13.52	3	— 2 51 56.8	166	n
—	9.0	36 13.26	3	— 2 51 59.3	174	
598	9.0	37 10.70	4	+ 15 35 44.9	97	n
599	10.0	37 11.30	5	— 1 38 45.8	94	
600	9.4	2 38 25.55	3	— 1 33 29.5	94	
601	9.0	38 52.72	4	— 0 42 0.3	98	
602	10.0	39 8.53	3	— 2 31 44.4	174	n
603	10.5	40 25.91	3	— 1 31 15.8	97	
604	10.5	40 42.55	2	— 2. 9 4.1	94	
—	9.5	2 40 42.62	3	— 2 9 3.3	166	
605	9.6	42 22.13	4	— 1 47 3.6	94	
606	10.0	42 35.37	3	— 2 29 52.2	166	n
607	8.9	43 21.32	4	+ 12 9 26.7	97	
608	9.5	44 10.33	3	— 2 27 32.1	166	n
—	9.5	2 44 10.22	6	— 2 27 31.8	174	
609	10.0	44 30.06	2	— 1 11 6.6	94	
610	9.0	45 21.11	5	— 0 24 37.2	97	n
611	10.0	45 54.30	4	— 2 17 1.2	166	n
612	9.0	46 4.68	4	— 1 8 38.2	94	
613	10.0	2 47 11.06	2	— 0 38 30.8	97	n
—	10.0	47 10.78	2	— 0 38 30.9	174	
614	10.0	47 28.67	3	— 2 20 38.1	166	n
615	9.8	47 59.23	4	— 1 58 7.0	94	
616	7.8	48 38.91	4	— 0 32 21.4	97	
—	8.0	2 48 38.77	5	— 0 32 21.4	98	
617	9.0	48 49.11	3	— 2 48 6.6	166	n
618	9.0	49 20.01	4	— 0 57 19.4	174	
619	9.0	50 4.31	3	+ 0 2 5.9	97	n
620	9.5	50 15.46	3	— 2 49 57.8	166	n
621	9.8	2 50 51.41	4	— 2 3 25.3	94	n
622	10.0	51 35.39	1	— 2 28 47.1	166	n
623	10.0	52 18.72	4	— 2 3 50.4	89	
—	9.3	52 18.62	3	— 2 3 47.0	91	
—	9.5	52 18.64	5	— 2 3 47.4	94	
—	9.0	2 52 18.49	4	— 2 3 48.2	174	
624	9.7	53 36.43	2	+ 0 9 0.4	97	n
625	9.3	53 37.73	3	— 3 1 0.8	174	n
626	10.0	53 43.32	3	— 2 1 19.3	166	n
627	8.8	53 58.54	3	— 2 17 0.2	91	n
628	10.5	2 55 7.49	2	— 1 19 10.8	91	f
629	9.8	55 24.99	2	— 1 3 52.6	97	
630	9.0	55 44.07	1	— 1 38 15.9	91	
631	9.7	57 15.13	3	— 2 40 29.1	91	n
—	9.5	57 15.18	3	— 2 40 30.6	166	

No.	Grösse	Rectascension 1880.0 h m s	Fäden	Declination 1880.0 ° ′ ″	Zone	Bemerkungen
632	9.4	2 58 44.25	4	— 1 47 4.3	97	
633	10.5	58 49.—	—	— 0 44 22.5	91	
634	9.3	59 33.26	3	— 2 50 10.4	166	n
—	10.0	59 33.09	3	— 2 50 10.8	335	
635	10.0	3 0 5.09	3	— 1 3 15.6	97	
636	10.0	3 0 33.58	3	— 2 7 8.9	89	
637	9.0	0 40.11	4	— 2 3 47.1	166	
638	9.0	1 33.72	1	— 1 0 2.8	95	
—	9.8	1 33.38	3	— 1 0 1.4	97	
639	10.5	1 35.—	—	— 0 36 47.4	91	n u A
—	9.8	3 1 35.62	4	— 0 36 49.9	98	
640	10.0	1 59.37	2	— 0 9 47.1	89	
—	10.0	1 58.97	2	— 0 9 46.1	335	
641	9.0	2 3.60	3	— 2 16 55.9	166	n
642	9.2	3 32.57	4	— 1 27 44.5	91	
—	8.8	3 3 32.48	3	— 1 27 43.0	95	
—	9.0	3 32.48	3	— 1 27 43.9	166	
643	8.5	3 39.88	3	+ 1 1 34.6	89	n
—	8.5	3 40.06	3	+ 1 1 37.0	335	
644	10.0	4 34.09	2	— 3 20 26.4	166	n
645	9.4	3 5 16.83	4	— 2 33 30.8	91	n
646	9.4	5 17.69	3	— 1 9 52.0	89	
647	9.4	5 36.54	1	— 1 49 50.1	92	
—	9.5	5 36.19	4	— 1 49 48.8	95	
648	9.7	6 30.27	2	— 0 49 19.6	91	
—	9.6	3 6 30.40	4	— 0 49 18.1	98	
649	9.2	7 1.68	2	— 1 15 57.1	92	
—	10.0	7 1.52	3	— 1 16 0.7	166	
650	9.0	7 52.37	3	+ 0 17 23.4	89	n
—	8.5	7 52.46	4	+ 0 17 25.3	335	
651	9.5	3 7 52.81	4	— 3 27 4.5	171	n
652	9.3	8 19.72	4	— 0 46 30.6	91	
—	8.8	8 19.57	3	— 0 46 29.3	95	
653	10.0	8 54.28	3	— 2 57 1.7	166	n
—	10.0	8 54.33	2	— 2 57 3.2	171	
654	8.5	3 9 24.28	4	— 0 55 29.3	89	
—	9.0	9 24.71	2	— 0 55 29.6	91	
655	10.0	10 4.33	3	— 2 30 56.5	166	n
—	9.5	10 4.26	3	— 2 30 58.6	171	
656	9.5	10 17.13	3	— 0 52 4.0	95	
657	8.6	3 11 15.38	3	— 0 36 7.6	91	
658	10.0	11 44.49	3	— 2 17 35.4	166	n
659	6.0	12 14.20	4	— 1 22 6.9	89	
—	6.5	12 14.19	6	— 1 22 7.6	98	
660	9.5	12 27.04	3	— 2 3 23.1	171	n
661	9.7	3 12 45.37	3	— 1 27 40.3	91	
—	9.3	12 45.27	3	— 1 27 39.8	92	
662	9.8	12 58.22	2	— 1 24 6.2	95	n
663	10.0	13 9.51	2	— 2 50 37.7	166	n
664	10.0	14 0.08	1	— 2 54 39.7	166	n

No.	Grösse	Rectascension 1880.0 (h m s)	Fäden	Declination 1880.0 (° ' ")	Zone	Bemerkungen
665	10.0	3 14 0.24	2	— 1 59 30.1	91	
666	9.0	14 4.85	5	— 1 58 27.3	171	
667	9.0	14 7.49	3	— 0 32 37.2	89	
668	9.0	14 22.40	3	— 2 11 25.5	95	n
—	9.0	14 22.63	3	— 2 11 24.4	335	
669	9.0	3 15 3.99	2	— 0 57 31.9	91	
—	9.0	15 4.20	4	— 0 57 31.8	92	
670	9.4	16 21.31	3	+ 0 18 35.3	95	n
671	8.8	16 38.53	3	+ 0 43 47.6	89	n
—	8.6	16 38.72	4	+ 0 43 49.9	92	
672	9.0	3 16 47.25	4	— 2 29 19.5	171	n
—	9.0	16 47.02	4	— 2 29 20.5	335	
673	10.0	17 36.08	1	— 1 34 52.3	91	
674	9.2	17 40.65	4	— 0 24 48.7	92	
675	9.0	17 51.69	2	— 2 53 12.0	171	n
676	9.5	3 18 16.18	3	— 1 7 47.7	95	
677	10.0	18 21.66	3	— 1 2 45.2	102	
678	10.0	18 28.67	4	— 1 54 14.8	98	
679	10.0	19 19.31	4	— 1 34 51.2	171	dpl. austr.
680	9.0	19 19.48	2	— 1 34 35.1	95	dpl. bor.
681	10.0	3 19 50.50	1	— 1 54 40.4	89	
—	10.0	19 50.58	3	— 1 54 37.3	335	
682	9.0	20 11.05	3	— 1 27 23.2	91	
683	8.0	20 11.53	4	+ 1 14 58.7	92	n
684	9.0	20 23.70	3	— 2 13 27.5	171	n
685	8.3	3 21 41.76	3	+ 3 30 0.7	89	n
—	9.0	21 41.86	4	+ 3 29 59.8	335	
686	10.0	22 10.88	4	— 1 13 8.1	171	
687	9.4	22 12.51	2	— 2 16 13.0	91	n
—	9.8	22 12.42	3	— 2 16 14.4	95	
688	9.0	3 23 4.59	4	— 0 0 8.4	92	n A
—	9.5	23 4.71	4	— 0 0 10.8	335	
689	9.0	23 24.26	3	+ 5 23 11.2	89	n
690	9.4	23 31.69	3	— 2 9 42.6	91	n
—	8.2	23 31.52	2	— 2 9 42.3	95	
691	9.8	3 24 6.52	4	— 0 54 24.5	98	
692	9.5	24 13.06	4	— 3 23 29.8	171	n
693	10.5	24 39.52	1	— 0 37 5.7	92	u s
694	9.0	24 41.59	3	— 2 11 25.5	95	n
—	10.0	24 41.66	3	— 2 11 27.2	335	
695	9.8	3 26 14.54	3	— 2 5 58.3	89	
696	9.0	26 37.16	3	— 2 4 31.0	91	
697	9.0	27 33.43	5	— 0 48 14.3	98	n
698	9.4	27 44.49	3	— 1 0 52.7	89	
699	9.0	28 37.57	2	— 2 42 26.7	171	n
700	9.0	3 29 2.86	3	+ 1 37 46.4	95	n
—	10.0	29 3.01	4	+ 1 37 45.7	335	
701	8.8	29 5.54	4	— 1 8 13.5	89	
—	8.3	29 5.58	2	— 1 8 10.8	92	
702	9.0	29 59.36	3	— 2 45 40.0	171	n
703	10.0	3 30 25.10	3	— 1 55 37.1	91	
704	8.0	31 2.87	4	+ 0 57 7.5	89	n
—	8.0	31 2.91	4	+ 0 57 8.2	335	
705	8.6	31 15.84	3	+ 1 5 4.5	95	n
706	9.0	32 12.09	3	— 2 8 20.8	171	
707	9.0	3 32 20.73	4	— 1 57 50.8	89	
—	9.0	32 20.90	4	— 1 57 51.6	92	
708	8.0	32 49.39	6	— 1 55 6.0	98	
—	8.0	32 49.42	4	— 1 55 5.9	102	
709	8.0	33 21.75	5	+ 1 46 48.1	95	n
—	9.0	3 33 21.94	4	+ 1 46 49.7	335	
710	8.2	33 39.53	4	— 1 58 54.3	92	n
711	8.3	33 48.18	4	— 2 18 55.5	91	n
712	7.0	33 53.58	3	— 1 30 41.4	89	
713	9.6	34 51.07	3	— 2 3 11.1	91	
—	10.0	3 34 50.67	2	— 2 3 9.1	92	
714	9.0	34 58.50	4	— 2 34 51.5	171	n
—	9.0	34 58.66	4	— 2 34 52.9	335	
715	8.3	35 17.47	4	— 0 36 27.9	89	
716	8.0	35 57.16	4	+ 3 2 53.1	95	n
717	9.8	3 36 28.71	4	— 4 14 23.9	171	n
718	9.5	36 28.98	3	— 2 38 0.7	91	n
—	10.0	36 28.77	2	— 2 37 59.6	335	
719	10.0	37 17.54	3	— 1 11 46.1	89	
—	10.0	37 17.19	2	— 1 11 44.7	95	u
720	7.5	3 37 32.56	4	— 2 27 36.7	98	n
721	10.0	37 42.83	3	— 3 24 51.8	171	n
722	10.0	38 20.74	2	— 1 46 19.6	91	n
723	8.8	38 43.39	3	— 1 7 56.9	89	
—	10.0	38 43.05	3	— 1 7 57.4	92	
—	9.0	3 38 43.49	4	— 1 7 56.4	335	
724	10.0	39 41.95	3	— 1 15 35.5	102	n
725	10.0	39 53.49	1	— 1 32 49.6	89	
726	9.8	40 21.07	3	— 2 5 53.9	91	
727	10.0	40 33.09	2	— 0 32 40.1	95	n
—	10.0	3 40 33.15	2	— 0 32 42.1	335	
728	10.0	41 3.21	1	— 1 49 41.8	92	n
—	9.0	41 3.09	3	— 1 49 40.7	171	
729	9.0	41 23.74	2	— 2 40 22.1	89	n
—	9.2	41 23.97	5	— 2 40 22.5	98	
730	9.0	3 41 52.96	4	— 3 4 27.7	171	n
—	9.0	41 53.12	3	— 3 4 25.7	335	
731	9.8	41 57.56	2	— 0 55 59.2	95	
732	9.3	42 20.08	4	— 1 54 22.3	91	
—	9.5	42 20.00	3	— 1 54 20.3	92	
733	9.0	3 43 11.86	3	— 1 52 36.5	91	
734	9.4	43 16.57	4	— 1 12 30.0	102	n
735	10.0	43 45.75	2	— 1 29 21.7	89	u
—	10.0	43 45.87	4	— 1 29 20.5	247	
736	8.3	44 10.73	4	— 1 53 21.0	92	n

No.	Grösse	Rectascension 1880.0 h m s	Fäden	Declination 1880.0 ° ′ ″	Zone	Bemerkungen
—	7.0	3 44 10.72	4	— 1 53 19.1	95	
737	10.0	44 51.75	3	— 2 44 50.5	91	n
—	9.8	44 51.87	3	— 2 44 48.9	98	
738	9.0	45 21.80	4	— 1 44 0.2	92	
739	9.0	45 25.08	6	— 2 20 7.9	171	n
—	8.5	3 45 25.28	4	— 2 20 10.7	335	
740	9.0	45 30.19	3	+ 2 24 19.8	89	n
741	8.4	45 56.55	4	— 1 59 20.0	95	n
742	9.8	46 27.67	2	— 1 47 5.1	92	n
743	9.0	46 34.91	3	— 2 41 13.9	91	n
744	9.0	3 47 7.95	4	— 2 21 20.8	95	n
—	8.5	47 7.94	4	— 2 21 20.6	335	
745	9.8	47 35.89	3	— 1 52 3.5	92	n
746	9.7	47 45.39	4	— 1 31 36.4	89	
747	9.0	48 6.44	3	— 0 3 57.4	102	n
748	9.0	3 48 44.74	4	— 0 20 34.8	95	n
—	8.0	48 44.69	4	— 0 20 35.9	335	
749	9.0	48 53.11	2	— 1 37 8.1	89	
—	9.0	48 52.70	3	— 1 37 11.4	98	
750	9.5	49 15.79	5	— 2 4 44.9	92	n
—	8.3	3 49 16.18	6	— 2 4 46.8	247	
751	9.2	50 45.34	4	— 1 14 8.2	95	
752	10.0	50 57.72	4	— 2 52 55.4	171	n
—	10.0	50 57.73	3	— 2 52 59.3	335	
753	9.4	51 14.57	4	— 3 28 13.6	91	n
754	8.0	3 51 24.72	4	— 1 30 10.1	89	
755	9.0	51 32.04	4	— 2 19 21.2	92	n
—	9.0	51 31.96	6	— 2 19 22.4	336	
756	8.0	52 9.50	2	+ 1 6 0.7	95	n
757	9.7	52 31.97	3	— 1 33 7.0	91	
758	10.0	3 52 53.34	2	— 1 16 53.4	89	
—	10.0	52 53.49	3	— 1 16 52.4	98	
759	10.0	53 1.15	4	— 1 9 34.9	92	
760	8.8	53 21.35	4	— 2 5 16.4	171	n
—	9.0	53 21.31	4	— 2 5 18.8	335	
761	9.0	3 53 50.47	4	+ 1 3 35.3	95	n
—	8.3	53 50.46	4	+ 1 3 33.7	336	
762	9.0	53 56.56	3	— 1 48 33.5	91	
763	10.0	55 1.15	3	— 3 50 37.7	171	n
764	9.8	55 28.76	2	— 1 19 52.1	92	
765	9.3	3 56 1.10	4	+ 2 4 44.8	89	n
766	10.0	57 13.25	4	— 2 54 5.6	171	n
767	10.0	57 18.76	1	— 1 6 42.5	92	
768	8.0	59 6.23	4	— 2 13 33.5	171	n
—	8.2	59 6.25	4	— 2 13 31.5	336	
769	10.0	3 59 6.98	4	— 0 56 48.4	92	
770	9.9	4 1 10.22	4	— 1 24 41.1	92	
771	9.8	1 20.84	3	— 1 15 24.2	98	
772	9.5	1 56.08	3	— 1 3 25.8	102	
773	10.0	2 34.88	3	— 3 52 37.3	174	n

No.	Grösse	Rectascension 1880.0 h m s	Fäden	Declination 1880.0 ° ′ ″	Zone	Bemerkungen
774	10.0	4 2 39.23	1	— 1 11 13.9	171	
775	9.2	2 41.12	2	— 1 36 27.6	103	
776	9.0	3 30.65	1	— 1 21 54.7	91	
777	9.2	3 31.63	3	— 2 0 2.0	98	
778	9.5	3 44.78	3	— 3 36 43.2	174	n
779	8.0	4 4 53.04	3	— 2 48 9.5	171	n
780	9.8	5 2.73	3	+ 2 0 10.3	95	n A
781	10.0	5 20.54	3	+ 0 51 41.4	102	n
782	9.0	5 27.52	4	— 3 34 5.7	174	n
—	8.8	5 27.95	4	— 3 34 5.9	175	
783	10.0	4 6 55.94	2	— 0 22 53.9	95	
784	10.0	7 0.71	3	— 2 52 40.8	174	n
—	9.5	7 0.95	3	— 2 52 41.3	175	
785	9.9	7 56.38	4	— 1 7 31.7	98	
786	9.0	8 13.60	1	— 1 55 42.9	95	n
—	9.0	4 8 13.47	4	— 1 55 39.9	335	
—	9.0	8 13.54	4	— 1 55 38.6	336	
787	9.6	8 15.14	4	— 0 39 42.1	102	n
788	8.0	8 33.94	3	— 2 26 38.2	171	n
—	8.0	8 33.95	3	— 2 26 39.5	174	
—	8.5	4 8 34.05	3	— 2 26 39.6	175	
789	9.2	9 5.38	5	— 1 31 23.3	91	
790	10.0	9 17.05	3	— 4 39 29.9	174	n
791	9.0	9 38.89	4	— 1 52 44.4	95	
—	9.0	9 38.96	4	— 1 52 43.5	171	
792	9.3	4 9 50.69	5	— 0 45 13.9	102	
793	8.5	10 23.78	4	— 0 52 1.1	91	
794	9.0	10 32.69	2	— 4 42 25.9	174	n
795	9.8	11 20.96	3	— 1 50 13.3	95	n
796	9.0	11 30.32	3	— 1 11 36.2	91	
—	9.2	4 11 30.35	4	— 1 11 34.2	98	
—	9.0	11 30.19	3	— 1 11 32.8	102	
797	10.0	11 36.81	3	— 2 55 34.3	171	n
—	10.0	11 36.97	3	— 2 55 34.6	175	
798	10.0	12 33.97	4	— 4 21 41.3	171	n
—	10.0	4 12 34.14	2	— 4 21 44.1	175	
799	9.0	12 43.50	4	— 2 59 25.0	174	n
—	9.0	12 43.54	6	— 2 59 27.4	247	
800	8.5	12 49.05	3	— 1 13 2.8	91	
—	9.0	12 49.06	3	— 1 13 0.7	95	
—	8.0	4 12 48.95	3	— 1 13 2.2	102	
801	9.0	13 8.99	3	— 12 1 47.4	104	n
802	8.8	13 45.85	3	— 2 9 22.9	171	n A
—	9.5	13 45.79	3	— 2 9 23.5	174	
—	8.6	13 45.82	4	— 2 9 23.3	335	
803	8.0	4 14 16.00	5	— 4 1 52.3	175	n
—	9.0	14 15.81	4	— 4 1 52.7	336	
804	9.2	14 29.05	3	— 11 50 59.4	104	n
805	9.0	14 30.64	3	— 2 1 3.9	91	
—	9.5	14 30.56	4	— 2 1 4.0	95	

No.	Grösse	Rectascension 1880.0 h m s	Fäden	Declination 1880.0 ° ′ ″	Zone	Bemerkungen
806	9.0	4 14 37.18	2	— 2 1 —	91	
—	9.3	14 37.36	5	— 2 1 36.9	98	
807	8.2	14 40.89	3	— 0 12 47.1	102	n
—	8.0	14 40.98	3	— 0 12 44.7	335	
808	9.8	14 49.13	1	— 4 1 43.5	171	n
—	10.0	4 14 49.10	2	— 4 1 43.4	174	
809	10.0	15 48.75	3	— 0 52 26.1	95	
810	9.5	16 3.83	3	— 11 56 28.5	104	n
811	10.0	16 13.36	2	— 3 23 52.1	175	n
—	10.0	16 13.26	3	— 3 23 50.8	247	
812	8.0	4 16 39.89	4	— 2 31 35.2	171	n
—	8.2	16 39.99	4	— 2 31 37.5	176	
813	8.6	16 41.68	3	— 2 12 29.5	91	n
—	8.5	16 41.56	4	— 2 12 29.1	174	
814	9.5	17 1.26	4	— 0 13 44.1	102	n
815	8.3	4 17 13.35	3	— 1 14 55.9	95	
—	9.0	17 13.28	4	— 1 14 58.0	336	
816	10.0	17 27.53	3	— 12 16 6.5	104	n
817	10.0	17 27.92	4	— 2 46 0.1	174	n
—	8.5	17 28.20	4	— 2 46 4.3	175	
—	9.0	4 17 28.39	5	— 2 46 1.6	335	
818	9.0	17 53.92	4	— 1 1 17.8	98	
819	10.0	18 0.40	3	— 10 33 19.5	103	n
820	10.0	18 20.01	3	— 2 48 42.3	91	n
821	9.0	18 45.62	4	— 2 46 50.1	171	n
—	10.0	4 18 45.46	2	— 2 46 50.4	174	
822	10.0	18 46.04	4	— 0 26 0.4	100	n
823	9.1	18 58.86	3	— 12 34 33.5	104	n
824	10.0	19 3.96	3	— 2 32 39.0	175	n
—	10.0	19 4.07	1	— 2 32 39.3	335	
825	9.0	4 19 18.91	4	— 10 39 37.6	103	n
826	9.0	19 52.58	5	+ 0 24 24.0	95	n
827	8.0	20 20.16	5	— 0 47 1.7	102	
828	9.5	20 20.24	4	— 11 26 37.8	104	n
829	8.0	20 44.52	4	— 10 49 18.5	103	n
—	8.0	4 20 44.61	4	— 10 49 20.0	247	
830	8.1	20 45.20	3	— 1 59 52.8	98	
—	8.0	20 44.99	4	— 1 59 52.9	176	
—	8.3	20 45.06	4	— 1 59 53.0	336	
831	9.3	20 52.84	4	— 2 26 5.0	91	n
—	8.0	4 20 52.73	3	— 2 26 3.8	171	
—	9.0	20 52.44	3	— 2 26 3.2	174	
—	8.5	20 52.89	4	— 2 26 4.1	175	
832	9.8	21 8.41	3	+ 0 9 18.2	95	n
833	10.0	21 54.30	3	— 9 49 19.5	103	n
834	10.0	4 22 4.17	3	— 3 34 3.5	171	n
—	10.0	22 4.19	3	— 3 34 3.3	175	
835	9.0	22 19.52	3	— 11 26 34.4	104	n
836	9.2	22 24.78	4	+ 0 29 46.6	102	n
—	9.0	22 24.91	4	+ 0 29 45.8	335	
837	10.0	4 22 26.75	4	— 3 14 24.5	174	n
—	10.0	22 26.68	3	— 3 14 26.7	176	
838	9.5	23 12.16	3	— 10 17 15.1	103	n
839	8.2	23 14.76	4	— 11 19 20.8	104	n
840	9.6	23 18.65	5	+ 1 3 6.1	95	n
841	9.0	4 23 23.87	3	— 2 40 35.0	91	n
—	8.5	23 24.19	4	— 2 40 37.6	336	
842	9.6	23 41.53	4	+ 0 27 6.0	102	n
843	9.0	23 42.74	3	— 2 44 36.5	171	n
—	10.0	23 42.52	3	— 2 44 35.5	174	
844	9.0	4 23 49.17	4	— 4 14 31.3	175	n
845	9.0	24 0.19	4	— 3 19 21.3	176	n
846	10.0	24 33.89	3	— 1 5 9.3	98	
847	9.7	24 36.80	3	— 1 41 57.9	95	n
—	9.0	24 37.08	5	— 1 42 0.0	247	
—	9.3	4 24 37.14	4	— 1 42 1.2	335	
848	9.5	24 47.39	4	— 10 10 38.8	103	n
—	9.5	24 47.39	3	— 10 10 38.6	104	
849	10.0	25 11.16	3	— 1 5 8.2	91	
—	9.2	25 11.50	3	— 1 5 9.4	100	
850	9.4	4 25 25.61	5	+ 1 54 42.6	102	n
851	8.3	25 39.63	4	— 1 36 41.5	176	n
852	9.0	25 40.64	4	— 3 11 34.4	175	n
853	9.0	25 55.33	4	— 2 10 54.3	171	n
—	9.0	25 55.11	4	— 2 10 55.0	174	
854	9.0	4 26 7.40	3	— 1 45 53.9	94	n
—	8.7	26 7.56	3	— 1 45 54.4	95	
855	9.5	26 34.34	4	— 10 10 42.6	103	n
—	9.5	26 34.30	4	— 10 10 44.4	104	
856	9.3	26 49.22	2	— 0 24 23.6	100	n
—	9.0	4 26 49.37	3	— 0 24 24.7	249	
857	9.0	27 18.75	4	— 3 15 15.4	176	n
858	9.5	27 20.55	3	+ 0 46 2.2	91	n
859	10.0	27 21.07	3	— 10 5 1.2	103	n
860	9.0	27 21.37	3	— 3 33 15.7	174	n
—	9.0	4 27 21.61	4	— 3 33 16.2	175	
861	9.8	27 34.29	5	+ 1 33 23.0	102	n
862	8.6	27 35.47	4	— 2 5 9.6	97	
—	8.0	27 35.44	2	— 2 5 7.8	171	
863	10.0	28 15.11	3	— 1 15 25.0	94	
864	9.5	4 28 32.81	3	— 1 13 24.4	100	
865	9.0	28 45.79	4	— 2 6 55.6	95	n
866	9.7	28 52.30	3	— 2 56 0.4	174	n
—	9.3	28 52.35	3	— 2 56 0.3	176	
867	9.5	28 53.41	4	— 10 50 31.7	103	n
868	9.0	4 29 2.21	3	— 3 36 13.6	175	n
869	9.0	29 21.30	3	— 8 56 35.2	104	n
870	9.5	29 23.21	1	— 1 36 44.4	94	
—	10.0	29 22.95	2	— 1 36 48.8	95	
871	9.8	29 31.70	3	+ 1 11 50.7	102	n

No.	Grösse	Rectascension 1880.0 h m s	Fäden	Declination 1880.0 ° ' "	Zone	Bemerkungen	No.	Grösse	Rectascension 1880.0 h m s	Fäden	Declination 1880.0 ° ' "	Zone	Bemerkungen
872	10.0	4 30 49.97	4	− 10 29 4.6	103	n	911	9.0	4 38 32.56	4	+ 0 20 42.5	94	n
873	9.9	31 24.95	4	+ 1 15 26.4	102	n	—	8.5	38 32.57	4	+ 0 20 42.5	336	
874	9.0	31 29.48	4	− 2 46 43.0	94	n	912	8.5	39 1.96	2	− 9 18 53.9	104	n
875	9.2	31 44.37	3	− 5 45 18.6	100	n	—	8.3	39 1.97	6	− 9 18 54.4	249	
876	9.0	31 47.35	3	− 2 56 40.4	176	n	913	9.0	39 18.54	5	− 2 53 45.4	171	n
877	9.8	4 31 47.42	4	− 1 6 9.2	97	n	—	9.0	4 39 18.41	3	− 2 53 45.5	175	
878	9.2	31 54.47	3	− 2 49 43.7	171	n	914	10.0	39 21.96	3	− 12 24 31.0	103	n
—	10.0	31 54.51	3	− 2 49 44.0	174		915	10.0	39 44.42	4	− 1 9 44.7	102	n
879	10.0	32 3.82	4	− 4 43 48.8	175	n	916	9.0	39 45.17	4	− 3 8 48.1	176	n
880	9.0	32 28.05	4	− 11 24 31.7	104	n	917	9.0	40 9.89	4	− 7 12 19.6	100	n
881	9.0	4 32 42.33	1	− 1 7 9.8	94		918	9.5	4 40 12.05	3	+ 0 39 24.6	97	n
—	9.0	32 42.59	5	− 1 7 10.5	95		919	9.5	40 24.59	4	− 2 17 19.0	174	n
882	9.0	32 55.35	4	+ 1 53 28.3	102	n	—	9.5	40 24.85	3	− 2 17 20.0	175	
883	10.0	33 15.80	3	− 10 55 47.5	104	n	920	8.8	40 32.19	4	− 11 46 51.5	99	n
884	10.0	33 36.37	2	− 0 19 12.8	97	n	—	8.2	40 32.02	3	− 11 46 51.6	103	
—	10.0	4 33 36.28	3	− 0 19 12.4	249		921	10.0	4 41 20.60	2	− 1 12 53.8	171	n
885	10.0	33 38.49	2	− 3 33 35.8	174	n u	—	9.5	41 20.72	5	− 1 12 52.6	247	
—	10.0	33 38.47	3	− 3 33 36.2	175		922	10.0	41 26.62	3	− 1 10 58.0	95	
886	9.0	34 1.73	5	− 0 40 29.8	176		923	8.9	41 33.10	5	− 0 18 12.8	102	n
887	9.3	34 7.36	4	− 7 27 3.2	100	n	924	9.8	41 42.96	4	− 2 47 35.0	174	n
888	9.0	4 34 35.71	4	− 1 26 4.1	95		—	9.5	4 41 42.73	3	− 2 47 35.7	175	
889	8.8	34 39.74	5	− 13 15 3.7	103	n		9.0	41 42.90	4	− 2 47 35.5	176	
890	9.3	34 42.61	4	+ 2 16 16.9	102	n	925	9.0	41 55.82	4	+ 0 27 42.1	97	n
891	9.5	34 49.62	4	− 10 51 45.0	104	n	—	9.0	41 55.79	4	+ 0 27 41.3	336	
892	9.0	34 53.71	1	− 2 11 1.4	97		926	9.0	42 12.55	3	− 8 29 53.0	100	n
—	8.9	4 34 53.89	4	− 2 11 2.1	98		927	10.0	4 42 13.73	4	− 11 48 6.5	103	n
893	10.0	34 54.78	3	− 2 55 31.9	174	n	928	9.3	42 33.59	3	− 1 34 6.1	94	
—	9.5	34 54.86	2	− 2 55 32.7	176		929	9.0	42 56.55	4	− 11 57 52.8	99	n
894	10.0	35 26.—	-	− 1 22 29.3	95	n	930	10.0	43 0.70	4	− 0 11 2.2	102	n
895	8.9	35 41.11	3	− 2 21 58.5	174	n	931	9.0	43 12.79	5	− 1 4 49.0	95	
—	8.8	4 35 41.19	3	− 2 21 57.0	175		932	10.0	4 43 16.29	3	− 9 12 30.8	104	n
896	9.5	35 41.88	4	− 8 25 7.1	100	n	933	9.6	43 23.90	3	− 2 44 7.6	171	n
897	10.0	35 43.75	3	− 11 17 42.8	104	n	—	9.6	43 23.59	3	− 2 44 7.5	174	
898	10.0	36 5.09	2	− 13 7 37.0	103	n u	—	9.5	43 23.69	4	− 2 44 7.2	175	
899	10.0	36 23.49	3	+ 1 13 19.9	102	n	934	10.0	43 30.85	3	− 1 22 13.5	97	
900	9.0	4 36 53.93	4	− 2 53 32.7	176	n	935	9.5	4 43 31.08	3	− 11 40 17.0	103	n
901	8.5	36 55.83	3	− 4 20 54.8	174	n	936	9.7	43 52.17	3	− 8 47 30.2	100	n
—	9.0	36 55.81	4	− 4 20 55.5	336		937	8.5	43 52.86	4	− 2 41 10.5	176	n
902	9.7	37 18.39	3	− 7 38 18.7	100	n	—	9.0	43 52.99	4	− 2 41 11.0	336	
903	10.0	37 23.47	2	− 9 54 58.0	104	n	938	9.0	44 11.36	3	− 11 57 25.3	99	n
—	10.0	4 37 23.09	3	− 9 54 58.9	247		939	9.5	4 44 40.90	3	− 0 17 58.9	94	n A
904	9.0	37 25.13	5	− 1 20 18.3	95		940	10.0	44 40.93	3	− 3 0 8.9	171	n
905	9.8	37 38.22	3	+ 1 8 49.5	102	n	—	10.0	44 40.60	3	− 3 0 8.0	174	
906	9.5	37 38.86	4	− 2 20 36.0	171	n	941	10.0	44 50.91	4	− 0 6 6.4	102	n
—	9.0	37 38.97	4	− 2 20 34.9	175		942	10.0	45 10.91	2	− 9 8 47.9	104	n
907	9.3	4 37 45.19	4	+ 0 45 27.6	97	n		10.0	4 45 10.83	3	− 9 8 —	249	
908	8.6	38 6.11	4	− 10 54 31.5	99	n	943	8.8	45 21.11	5	− 0 45 6.1	97	n
909	10.0	38 9.35	2	− 2 16 4.3	174	n	944	9.2	45 21.82	4	− 1 22 9.9	95	
—	10.0	38 10.03	2	− 2 16 5.9	176		945	8.0	45 29.43	3	− 3 20 54.0	176	n
910	10.0	38 12.06	4	− 12 31 13.4	103	n	946	9.0	45 35.34	4	− 11 10 32.4	103	n

No.	Grösse	Rectascension 1880.0 h m s	Fäden	Declination 1880.0 ° ′ ″	Zone	Bemerkungen
947	10.0	4 45 41.31	3	— 2 55 12.1	175	n
948	8.0	45 54.60	4	— 8 36 20.2	100	n
—	7.5	45 54.57	5	— 8 36 21.3	250	
949	9.2	46 4.03	4	— 3 54 20.5	174	n
—	8.0	46 4.50	2	— 3 54 21.7	176	
950	8.8	4 46 5.46	4	— 12 9 7.5	99	n
951	10.0	46 21.25	4	— 0 10 2.5	102	n
—	9.5	46 20.90	2	— 0 10 3.3	251	a
952	9.3	46 22.83	3	+ 0 46 20.6	97	n A
953	10.0	46 43.11	3	— 11 10 4.3	103	n
954	9.0	4 47 6.27	4	— 12 19 55.4	99	n
955	7.0	47 7.16	3	+ 2 18 30.7	94	n
956	9.8	47 36.52	3	— 1 22 26.3	95	
—	9.5	47 36.70	4	— 1 22 25.1	171	
957	9.2	48 25.97	3	— 12 39 38.1	99	n
958	10.0	4 48 27.28	3	— 1 19 8.7	97	
959	9.5	49 19.09	3	— 4 32 5.1	174	n
—	9.0	49 19.20	2	— 4 32 4.3	175	
960	9.8	49 22.56	4	+ 1 1 42.4	94	n
961	10.0	49 48.75	4	— 10 15 47.2	104	n
—	9.5	4 49 48.64	4	— 10 15 47.8	250	
962	9.5	49 56.77	4	— 0 29 58.4	95	
963	8.6	49 56.90	6	+ 1 51 7.1	102	n
—	8.0	49 56.96	4	+ 1 51 2.4	251	
964	9.4	50 6.49	5	— 13 14 53.3	99	n
965	10.0	4 50 13.04	4	— 12 25 3.5	103	n
966	9.3	50 15.41	2	— 2 3 40.2	94	
—	9.3	50 15.55	4	— 2 3 40.7	97	
967	9.0	50 35.25	4	— 7 12 45.6	100	n
968	10.0	50 51.87	4	— 2 54 44.8	171	n
—	10.0	4 50 51.76	3	— 2 54 43.8	174	
—	10.0	50 51.94	2	— 2 54 43.4	175	
969	10.0	51 8.24	5	— 10 2 8.2	104	n
970	9.0	51 19.90	3	— 12 43 58.5	103	n
971	10.0	51 22.12	4	+ 1 22 36.0	102	n
972	10.0	4 51 43.53	3	— 3 25 6.5	174	n
973	10.0	51 43.65	4	— 1 41 55.7	95	A
—	9.0	51 43.57	2	— 1 41 57.4	176	
974	9.5	51 56.64	4	— 13 38 0.6	99	n
975	8.0	52 8.16	4	— 2 23 55.3	94	n
—	7.5	4 52 8.16	5	— 2 23 58.4	97	
976	9.5	52 12.71	3	— 8 14 31.1	100	n
977	7.5	52 27.25	5	— 3 55 10.4	171	n
—	7.5	52 27.18	5	— 3 55 10.6	175	
—	7.5	52 27.36	1	— 3 55 12.7	176	
978	9.6	4 52 28.88	4	— 9 51 42.0	104	n
979	9.0	53 5.08	3	— 13 1 3.0	103	n
—	9.0	53 4.86	4	— 13 1 3.8	250	
980	9.2	53 26.24	4	— 2 14 56.7	95	n
—	9.0	53 26.17	4	— 2 14 57.5	97	
981	9.0	4 53 32.28	3	— 12 56 59.6	103	n
982	9.5	53 33.46	5	— 13 14 52.8	99	n
983	9.5	54 1.12	4	— 2 57 11.2	94	n
—	9.0	54 1.21	3	— 2 57 12.4	171	
—	9.0	54 0.87	4	— 2 57 14.0	174	
—	9.0	4 54 1.05	5	— 2 57 13.3	175	
984	7.6	54 37.01	4	— 2 14 41.4	97	n
—	7.3	54 37.04	6	— 2 14 45.2	251	
985	8.0	54 40.77	2	— 8 28 14.7	100	n
—	8.0	54 40.60	6	— 8 28 18.2	247	
—	9.0	4 54 40.65	3	— 8 28 18.6	249	
986	9.5	54 52.73	4	— 3 26 47.7	171	n
987	9.3	55 9.11	4	— 13 40 57.1	99	n A
988	10.0	55 18.07	2	— 1 2 4.9	94	
—	10.0	55 17.81	3	— 1 2 5.7	95	
989	8.5	4 55 35.52	1	— 4 1 20.1	171	n
—	9.5	55 35.56	4	— 4 1 19.3	175	
990	9.3	56 14.68	3	— 0 46 10.1	97	n
991	9.8	56 43.34	4	— 14 13 14.1	99	n
992	8.5	57 2.82	5	— 8 22 56.2	100	n
993	8.5	4 57 21.04	3	— 3 9 15.0	171	n
—	9.3	57 20.84	5	— 3 9 13.8	175	
—	8.7	57 21.21	6	— 3 9 15.8	249	
994	9.5	57 34.23	1	— 3 9 2.5	171	n
—	9.8	57 33.97	4	— 3 9 4.6	251	
995	9.5	4 57 38.80	4	— 2 41 58.9	95	n
996	9.0	57 58.87	4	— 0 48 51.9	97	
997	8.5	58 19.89	5	— 2 50 51.9	177	n
998	9.6	58 27.75	3	— 14 42 20.2	99	n
999	9.3	58 59.36	3	— 1 28 41.9	95	
1000	9.0	4 59 5.18	3	— 13 5 45.2	105	n
1001	9.0	59 5.68	3	— 8 27 34.5	100	n
1002	9.0	59 35.48	4	— 2 45 48.3	171	n
1003	9.0	59 45.97	3	— 3 16 12.2	175	n
1004	9.3	59 49.16	3	— 1 58 17.0	95	
1005	8.6	5 0 0.13	4	— 9 35 46.1	104	n
—	8.3	0 0.19	4	— 9 35 44.7	250	
1006	9.8	0 31.68	3	— 1 1 57.7	97	
1007	8.0	1 4.40	4	— 13 17 6.3	105	n
1008	8.0	1 12.83	4	— 3 16 14.7	177	n
—	8.5	5 1 12.60	5	— 3 16 13.7	251	
1009	9.0	1 57.80	4	— 14 42 52.2	100	
1010	9.6	3 13.25	2	— 15 38 46.5	99	
—	9.5	3 13.38	3	— 15 38 48.7	100	
—	9.0	3 13.12	4	— 15 38 50.4	250	
1011	9.5	5 3 20.38	2	— 1 38 41.9	94	n
—	10.0	3 20.23	3	— 1 38 44.7	251	
1012	9.0	4 11.50	3	+ 0 58 40.0	97	n
1013	8.0	4 11.97	4	— 4 0 18.3	171	n
1014	8.8	4 26.08	3	— 1 24 37.8	176	

No.	Grösse	Rectascension 1880.0 h m s	Fäden	Declination 1880.0 ° ′ ″	Zone	Bemerkungen
1015	9.2	5 4 27.78	4	— 6 52 22.6	102	n
1016	8.5	4 33.20	4	— 7 44 25.7	104	n
1017	8.8	4 57.99	5	— 11 47 59.5	105	n
1018	10.0	4 59.92	1	— 0 48 42.3	102	n u
1019	9.8	5 8.55	4	— 15 51 36.9	99	
—	10.0	5 5 8.75	3	— 15 51 40.5	100	
1020	9.6	5 28.00	3	— 1 18 35.2	97	n
—	9.0	5 28.24	4	— 1 18 36.9	175	
1021	9.0	5 33.39	4	— 0 57 14.2	94	
1022	9.0	5 34.31	3	— 3 44 52.8	171	n
1023	10.0	5 5 42.86	4	— 0 49 19.1	101	
1024	9.0	5 48.89	4	— 7 57 56.9	104	n
1025	9.0	5 52.51	3	— 11 28 42.6	177	n
—	9.0	5 52.30	4	— 11 28 39.7	250	
1026	9.5	6 3.47	2	— 1 6 45.1	97	
—	9.0	5 6 3.60	4	— 1 6 47.5	248	
1027	10.0	6 9.86	4	— 7 59 8.0	102	n
1028	9.0	6 26.87	3	— 3 10 59.2	171	n
—	9.0	6 26.81	4	— 3 11 0.8	251	
1029	9.8	6 30.06	4	— 14 13 48.3	99	n
1030	10.0	5 6 40.13	3	— 11 57 0.0	105	n
1031	7.0	6 56.14	4	— 6 12 5.3	102	n
1032	8.6	7 9.43	4	— 15 5 49.9	100	n
1033	9.6	7 11.72	3	— 8 12 32.8	103	n
1034	10.0	7 16.52	3	— 0 50 47.2	94	
1035	8.8	5 7 43.91	3	— 1 1 39.2	97	
1036	9.6	8 22.02	3	— 11 46 42.3	177	n
—	9.5	8 21.66	3	— 11 46 40.8	250	
1037	8.0	8 29.78	3	— 0 42 10.3	94	
1038	9.0	9 41.41	4	— 1 24 52.4	97	
1039	10.0	5 9 50.94	3	— 11 50 41.2	177	n
1040	9.5	10 22.28	3	— 0 23 50.6	94	
1041	9.8	10 30.42	3	— 10 22 40.9	102	n
1042	9.0	10 37.64	2	— 1 1 20.4	97	
—	9.0	10 37.64	4	— 1 1 24.5	175	
—	9.0	5 10 37.96	4	— 1 1 23.5	251	
1043	9.3	10 53.39	4	— 8 36 40.2	103	n
—	9.0	10 53.51	4	— 8 36 40.1	104	
1044	10.0	11 19.24	3	— 15 13 30.2	99	
—	9.8	11 18.96	3	— 15 13 31.1	250	
1045	9.0	5 11 20.29	4	— 0 28 31.6	4	
1046	9.8	11 47.26	4	— 0 24 50.3	101	
1047	9.8	12 0.38	3	— 8 46 48.7	104	n
—	9.0	12 0.62	2	— 8 46 49.8	105	
1048	8.0	12 8.40	4	— 12 55 35.5	177	n
1049	10.0	5 12 8.51	3	— 15 20 48.0	103	
1050	9.0	12 9.67	2	— 15 20 59.4	99	
—	8.0	12 9.96	4	— 15 21 2.4	100	
—	8.0	12 9.68	2	— 15 21 —	103	
1051	9.0	12 24.58	3	— 1 16 2.7	175	
—	9.0	5 12 24.70	6	— 1 16 3.2	247	
1052	10.0	12 40.07	2	— 10 6 46.4	102	n
—	10.0	12 39.85	3	— 10 6 49.4	249	s
1053	8.0	13 7.19	4	— 3 12 19.9	106	n
1054	10.0	13 19.82	4	— 8 46 44.8	104	n
1055	10.0	5 13 23.38	3	— 11 15 59.0	177	n
1056	9.9	13 26.36	4	— 0 43 24.9	97	n
—	9.2	13 26.24	4	— 0 43 24.4	251	
1057	9.0	13 33.29	6	— 1 14 4.6	4	
—	8.7	13 33.20	5	— 1 14 0.3	175	
1058	9.5	5 13 48.76	3	— 9 34 45.0	105	n
1059	9.4	13 59.18	3	— 14 53 39.2	100	
1060	10.0	14 23.80	3	— 10 7 31.6	102	n
—	9.3	14 23.67	4	— 10 7 33.6	250	
1061	10.0	14 37.35	4	— 14 6 28.3	103	n
1062	10.0	5 14 45.85	3	— 9 17 1.0	104	n
1063	10.0	14 48.67	2	— 12 9 2.3	177	n
1064	9.8	14 50.49	3	— 12 18 40.3	99	
1065	9.9	15 13.74	4	— 0 43 43.0	97	
—	9.5	15 13.72	3	— 0 43 41.5	175	
1066	10.0	5 15 24.36	4	— 8 24 19.9	102	n
1067	9.5	15 37.06	7	— 2 10 14.4	4	
1068	9.8	16 31.54	4	— 12 14 41.7	99	n
—	9.0	16 31.56	4	— 12 14 43.7	177	
1069	10.0	16 31.62	4	— 9 12 20.1	104	n
1070	9.5	5 16 32.94	4	— 1 9 37.1	175	
1071	9.8	16 40.10	4	— 14 10 16.5	103	n
1072	9.5	17 5.12	2	— 10 40 56.4	105	n
—	8.8	17 5.04	3	— 10 40 57.9	249	
—	9.1	17 5.01	4	— 10 40 56.4	250	
1073	10.0	5 17 24.54	3	— 4 1 36.0	106	n
	10.0	17 24.44	4	— 4 1 35.4	251	
1074	8.2	17 30.79	3	— 9 26 23.4	104	n
1075	9.2	17 33.79	3	— 0 58 33.3	97	n
1076	10.0	18 1.11	3	— 12 1 58.6	177	n
1077	10.0	5 18 4.39	3	— 11 54 1.5	99	
1078	10.0	18 19.07	4	— 13 7 30.9	100	
—	9.6	18 18.91	4	— 13 7 31.8	103	
1079	9.5	18 24.05	3	— 15 12 42.3	102	
1080	9.2	18 39.06	3	— 0 56 46.6	101	
—	8.0	5 18 38.78	4	— 0 56 49.0	175	
1081	9.0	19 21.88	3	— 10 26 17.0	105	n A
1082	8.0	19 32.15	6	— 1 35 59.7	4	
1083	9.2	19 32.85	3	— 14 22 56.5	99	
1084	9.6	19 34.79	4	— 9 31 17.0	104	n
—	9.8	5 19 34.80	4	— 9 31 19.2	250	
1085	10.0	19 47.43	1	— 13 50 43.4	100	
—	10.0	19 47.39	3	— 13 50 43.0	102	
1086	8.0	20 1.80	6	— 14 14 4.1	248	
1087	8.0	20 15.53	4	— 14 8 14.8	175	

No.	Grösse	Rectascension 1880.0 h m s	Fäden	Declination 1880.0 ° ′ ″	Zone	Bemerkungen
—	8.0	5 20 15.73	3	— 14 8 19.4	247	
1088	9.0	20 28.12	4	— 11 0 52.8	177	n
1089	10.0	20 36.75	2	— 1 58 12.8	97	
—	9.8	20 36.64	2	— 1 58 —	249	
—	10.0	20 36.49	4	— 1 58 12.8	251	
1090	9.6	5 20 41.06	3	— 0 45 5.1	101	
1091	9.3	20 44.53	3	— 1 36 53.2	103	
1092	9.3	20 52.52	4	— 14 2 37.8	99	
1093	9.5	20 57.58	4	— 0 28 29.7	104	
1094	10.0	21 4.59	3	— 1 56 6.9	103	
1095	8.6	5 21 9.77	4	— 13 57 51.8	102	
1096	10.0	21 14.41	1	— 1 13 16.0	101	
1097	8.3	21 44.79	4	— 5 21 26.8	106	n
1098	10.0	22 1.34	3	— 13 53 39.5	99	
1099	8.0	22 1.82	4	— 13 40 26.4	100	
—	7.5	5 22 1.64	3	— 13 40 26.1	175	
1100	8.9	22 6.88	6	— 1 52 22.7	4	
1101	10.0	22 39.40	3	— 13 40 1.7	102	
1102	10.0	22 47.66	3	— 11 35 47.3	177	n
—	10.0	22 47.31	2	— 11 35 47.6	253	
1103	9.4	5 22 56.58	3	— 0 46 21.9	97	
1104	10.0	23 1.81	4	— 1 44 54.6	101	
1105	9.0	23 16.92	3	— 13 38 8.3	175	A
—	9.3	23 16.99	5	— 13 38 12.1	247	
1106	9.5	23 50.84	3	— 0 21 44.0	4	
—	8.3	5 23 50.83	4	— 0 21 45.1	103	
1107	9.0	24 8.83	3	— 10 1 43.4	104	n
1108	9.9	24 10.49	3	— 0 59 11.4	97	
1109	10.0	24 41.22	3	— 11 51 42.1	177	n
1110	9.7	24 49.66	2	— 5 35 2.7	106	n
—	9.0	5 24 49.53	3	— 5 35 3.7	249	
—	9.2	24 49.75	4	— 5 35 4.7	251	
1111	9.3	25 11.60	3	— 0 34 56.4	97	
1112	10.0	25 14.46	2	— 14 7 2.6	99	
—	10.0	25 14.41	4	— 14 7 6.7	102	
1113	8.9	5 25 17.69	3	— 2 4 27.3	2	
1114	9.2	26 8.99	3	— 1 41 22.8	97	
1115	9.8	26 20.83	3	— 10 5 10.0	104	n
1116	9.0	26 40.46	3	— 1 7 16.5	178	n
1117	9.7	26 50.13	3	— 13 18 35.9	99	
1118	10.0	5 27 1.67	3	— 1 48 28.0	4	A
—	9.6	27 1.79	3	— 1 48 27.9	97	
1119	10.0	27 4.01	4	— 15 34 51.2	102	
1120	10.0	27 5.43	4	— 2 0 43.9	103	
1121	9.1	27 19.72	3	— 1 8 41.2	101	
1122	9.0	5 27 30.77	3	— 3 11 40.5	107	n
1123	10.0	27 36.71	3	— 12 23 12.9	104	
1124	10.0	27 42.13	1	— 11 31 18.8	177	n
1125	9.0	27 56.60	4	— 1 50 20.1	175	n
—	9.0	27 56.94	3	— 1 50 20.7	251	
1126	9.8	5 27 57.92	3	— 0 21 16.5	2	
1127	7.4	27 59.65	1	— 1 33 12.9	97	
—	7.0	27 59.49	6	— 1 33 13.5	249	
1128	9.0	28 16.01	4	— 6 55 18.0	106	n
1129	9.0	28 18.43	3	— 0 50 46.4	101	
1130	9.8	5 28 28.28	3	— 14 53 16.8	103	
1131	8.0	28 30.68	4	— 1 49 35.2	178	
1132	7.0	29 6.17	4	— 0 49 0.3	179	
1133	9.0	29 10.78	4	— 8 3 17.9	102	
1134	10.0	29 26.56	2	— 1 40 42.1	97	
1135	10.5	5 29 37.47	1	— 12 35 1.9	104	u
1136	9.5	29 40.57	4	— 12 29 29.1	106	
—	9.5	29 40.46	5	— 12 29 31.3	107	
1137	10.0	29 43.15	3	— 1 4 6.4	175	
1138	9.0	29 48.06	4	— 0 24 23.6	103	n
1139	10.0	5 30 7.57	2	— 0 29 24.7	101	
—	9.8	30 7.71	3	— 0 29 22.6	178	Sternhaufen
1140	9.0	30 11.01	3	— 0 22 53.6	179	
1141	10.0	30 37.30	3	— 0 28 15.5	104	
1142	9.7	30 58.37	3	— 1 41 51.5	106	
1143	10.5	5 31 15.46	1	— 2 4 7.0	104	n u
1144	9.5	31 16.56	3	— 0 46 19.6	97	
1145	9.0	31 20.50	3	— 2 9 33.4	177	n
—	8.6	31 20.54	3	— 2 9 29.4	179	
1146	9.0	31 27.91	3	— 8 36 4.8	102	
1147	9.0	5 31 27.97	1	— 8 34 50.6	102	
—	9.0	31 27.58	5	— 8 34 49.3	248	
1148	8.2	31 39.19	1	— 0 51 6.8	95	
—	8.0	31 39.58	2	— 0 51 4.4	101	
1149	10.0	31 51.71	3	— 11 58 19.7	99	
1150	10.0	5 31 59.96	4	— 1 19 43.4	103	n
—	10.0	32 0.00	3	— 1 19 42.2	175	
1151	10.0	32 5.06	1	— 12 3 54.0	106	
—	10.0	32 5.28	4	— 12 3 56.6	107	
1152	8.2	32 8.48	2	— 1 14 30.3	97	
1153	10.0	5 32 45.08	2	— 10 50 48.6	177	u
—	10.0	32 44.91	2	— 10 50 48.2	178	u
—	10.0	32 44.64	4	— 10 50 47.6	250	
1154	9.0	32 49.89	1	— 1 14 24.7	97	
—	8.0	32 49.66	4	— 1 14 24.1	249	
1155	9.0	5 33 3.32	2	— 2 4 18.0	179	
1156	9.8	33 13.61	3	— 13 50 34.2	99	
1157	9.6	33 25.83	3	— 11 6 3.2	102	
1158	8.5	33 48.17	4	— 11 16 41.5	106	
—	8.8	33 48.07	5	— 11 16 42.8	107	
—	9.0	5 33 47.94	5	— 11 16 39.8	108	
1159	10.0	33 51.29	3	— 12 8 43.7	103	
—	10.0	33 51.12	4	— 12 8 45.5	253	
1160	9.5	34 7.75	3	— 11 30 54.4	104	
1161	10.0	34 32.71	3	— 14 55 45.3	102	

No.	Grösse	Rectascension 1880.0 h m s	Fäden	Declination 1880.0 ° ′ ″	Zone	Bemerkungen
1162	10.0	5 35 1.67	4	— 0 33 56.1	2	
—	10.5	35 1.72	3	— 0 33 54.3	97	
1163	8.6	35 10.45	4	— 12 17 34.3	99	
1164	9.2	35 16.08	3	— 9 51 41.2	103	
1165	8.3	35 17.27	3	— 11 15 43.6	106	
—	8.0	5 35 17.31	4	— 11 15 45.1	107	
—	8.0	35 17.23	5	— 11 15 43.7	108	
1166	9.0	35 22.24	3	— 12 23 11.5	177	
—	9.0	35 22.03	4	— 12 23 12.7	178	
1167	9.3	35 26.90	3	— 15 6 59.4	104	
1168	10.0	5 35 35.68	3	— 15 26 40.6	102	
1169	9.8	35 49.24	3	— 0 38 9.4	101	n
—	10.0	35 48.97	4	— 0 38 14.9	251	
1170	8.5	35 54.01	2	— 9 33 15.8	103	
1171	10.0	35 56.43	3	— 11 45 44.5	179	n
—	10.0	5 35 56.33	4	— 11 45 45.9	250	
1172	8.0	36 27.89	5	— 15 41 15.0	177	
—	8.0	36 27.65	6	— 15 41 16.0	248	
—	8.0	36 27.74	6	— 15 41 16.5	249	
—	8.2	36 27.57	4	— 15 41 16.5	253	
1173	10.0	5 36 34.42	2	— 15 37 7.5	104	
1174	8.0	36 42.83	1	— 9 38 54.5	99	
1175	7.8	36 56.84	5	— 11 42 11.9	106	n
—	8.0	36 56.95	4	— 11 42 13.8	107	
—	8.6	36 56.82	4	— 11 42 11.8	108	
—	7.0	5 36 56.91	4	— 11 42 10.7	178	
1176	7.0	37 5.23	5	— 1 40 11.5	97	
1177	8.3	37 15.55	4	+ 0 7 5.4	95	n
—	8.6	37 15.74	3	+ 0 7 6.3	101	
1178	9.0	37 54.53	4	— 13 10 42.2	177	n
—	10.0	5 37 54.27	3	— 13 10 40.3	179	
1179	9.8	38 19.12	3	— 14 43 33.0	102	
—	9.8	38 18.94	4	— 14 43 33.1	250	
1180	9.8	38 28.91	3	— 1 40 2.9	97	
1181	10.0	38 30.95	3	— 1 43 4.1	2	
—	10.5	5 38 30.86	1	— 1 42 59.5	4	
—	10.0	38 31.02	3	— 1 43 1.9	251	
1182	8.0	38 36.61	3	— 10 3 58.4	107	A
1183	8.5	38 40.18	4	— 0 6 51.7	101	
1184	9.0	39 6.93	3	— 12 49 46.0	106	n A
—	9.8	5 39 6.89	4	— 12 49 43.3	108	
1185	9.0	39 25.21	4	— 12 8 42.3	178	n
—	9.0	39 24.80	3	— 12 8 44.1	253	
1186	9.0	39 36.66	4	— 15 17 36.0	177	
1187	10.0	39 42.12	2	— 13 8 40.1	99	
1188	10.0	5 39 44.78	3	— 15 12 38.4	103	
1189	10.0	40 14.51	3	— 15 8 7.8	102	
1190	9.7	40 18.61	4	— 0 43 14.1	95	
1191	10.0	40 19.15	3	— 10 43 58.2	104	
—	10.0	40 18.99	4	— 10 43 59.1	107	
1192	9.5	5 40 19.67	2	— 0 48 39.3	97	
1193	8.6	40 25.94	3	— 13 15 24.2	103	
1194	10.0	40 44.66	3	— 15 16 59.8	102	
1195	10.5	40 50.81	2	— 1 45 54.7	4	s f
—	9.5	40 51.05	3	— 1 45 56.1	101	
1196	9.2	5 40 54.82	3	— 12 51 26.8	179	n
—	9.2	40 55.05	4	— 12 51 26.4	250	
1197	10.0	40 55.25	3	— 11 41 35.1	178	n
—	10.0	40 55.15	3	— 11 41 34.3	254	
1198	10.0	41 4.70	3	— 13 11 35.2	106	
1199	9.5	5 41 12.70	2	— 15 1 33.9	103	
1200	—	41 31.12	3	— 14 52 3.2	99	n
—	6.0	41 31.20	3	— 14 52 3.0	108	
1201	8.8	41 46.89	1	— 13 6 10.7	102	
—	8.3	41 47.18	5	— 13 6 9.0	249	
—	8.5	5 41 47.26	4	— 13 6 7.4	255	
1202	9.0	41 52.88	3	— 11 33 22.0	178	
1203	9.7	41 54.12	3	— 15 19 4.8	109	
1204	8.3	42 2.43	1	— 15 17 48.7	106	
1205	10.5	42 8.37	2	— 1 50 54.2	95	
—	10.5	5 42 8.30	3	— 1 50 57.0	248	u
1206	8.8	42 19.16	3	— 0 48 7.2	97	
1207	10.0	42 30.75	3	— 13 11 56.0	103	
—	10.0	42 31.11	2	— 13 11 55.7	179	
1208	8.0	42 37.14	5	— 1 49 40.0	2	
1209	7.4	5 42 40.96	4	— 1 32 35.2	101	
1210	9.0	42 56.88	3	— 13 23 59.2	108	
1211	9.5	43 1.35	2	— 0 45 55.0	178	
1212	9.0	43 12.43	3	— 13 22 32.5	177	
1213	9.8	43 44.82	3	— 14 59 42.3	102	
1214	9.6	5 43 54.58	2	— 12 35 53.9	106	n
—	8.5	43 54.40	3	— 12 35 53.9	179	
1215	9.5	44 1.83	3	— 9 47 9.1	99	
1216	10.0	44 25.96	2	— 11 52 21.5	109	
1217	10.0	44 26.53	5	— 2 6 59.6	4	
—	9.6	5 44 26.43	6	— 2 7 0.5	5	
—	10.0	44 26.64	4	— 2 6 57.7	97	
1218	8.5	44 33.00	3	— 1 27 51.3	95	
—	8.0	44 33.06	3	— 1 27 50.9	101	
1219	9.6	44 34.61	3	— 1 27 59.-	95	Decl. gesch.
—	10.0	5 44 34.84	3	— 1 27 59.-	101	Decl. gesch.
1220	10.0	44 50.71	3	— 13 8 5.8	177	n
—	9.5	44 50.61	4	— 13 8 6.8	252	
1221	10.0	45 2.44	3	— 15 32 14.7	102	
1222	9.8	45 8.93	3	— 8 52 12.1	103	
1223	10.0	5 45 10.22	2	— 10 14 4.6	106	
—	10.0	45 10.23	5	— 10 14 3.8	107	
1224	10.0	45 41.31	3	— 1 55 51.7	2	
1225	9.1	45 45.37	4	— 10 3 0.5	99	
—	8.3	45 45.01	1	— 10 3 —	102	

No.	Grösse	Rectascension 1880.0 h m s	Fäden	Declination 1880.0 ° ′ ″	Zone	Bemerkungen
1226	10.0	5 45 52.65	1	— 1 22 33.6	101	
—	10.0	45 52.49	4	— 1 22 34.8	249	
—	10.0	45 52.49	5	— 1 22 33.1	251	
1227	9.0	45 57.15	3	— 7 57 12.5	103	
—	8.3	45 57.00	4	— 7 57 14.2	253	
1228	10.0	5 46 2.89	3	— 1 57 45.2	178	n
—	9.5	46 3.15	2	— 1 57 45.5	255	
1229	9.8	46 15.01	1	— 14 56 34.9	106	
—	10.5	46 14.75	2	— 14 56 34.4	108	
1230	9.0	46 22.46	4	— 11 23 14.0	109	n
—	8.5	5 46 22.46	4	— 11 23 16.0	179	
1231	9.5	46 33.41	4	— 2 3 4.9	4	f
—	9.0	46 33.24	6	— 2 3 6.7	5	
1232	8.0	46 38.19	4	— 8 59 34.2	177	
—	8.1	46 38.24	4	— 8 59 32.4	254	
1233	10.0	5 47 13.75	2	— 15 10 48.6	99	
1234	9.0	47 18.27	3	— 1 36 17.8	178	n
1235	10.0	47 46.98	4	— 10 42 20.4	107	
—	9.2	47 47.09	4	— 10 42 22.6	109	
1236	9.6	47 53.08	4	— 9 31 48.3	103	n
—	9.5	5 47 53.26	4	— 9 31 48.1	252	
1237	8.0	48 16.80	1	— 1 6 3.7	101	
—	8.0	48 16.86	5	— 1 6 6.2	249	
1238	8.0	48 20.96	4	— 12 25 11.4	106	n
—	8.2	48 20.71	4	— 12 25 13.3	253	
1239	8.8	5 48 30.47	3	— 14 9 11.5	99	
1240	8.0	48 58.00	3	— 0 57 40.4	2	
1241	10.0	48 59.44	3	— 0 57 38.7	95	
1242	8.0	49 0.05	3	— 15 45 22.4	102	
1243	10.0	49 1.66	2	— 11 50 47.5	108	
1244	10.0	5 49 8.90	1	— 1 1 12.1	4	n s u
—	10.0	49 8.27	1	— 1 1 16.5	255	s u
1245	8.0	49 11.12	5	— 9 12 15.1	177	
1246	10.0	49 19.49	4	— 11 20 25.2	107	n
—	10.0	49 19.49	3	— 11 20 24.2	109	
1247	9.0	5 49 25.86	4	— 12 57 35.8	106	n
1248	9.3	49 26.34	2	— 1 5 1.4	101	
1249	9.6	49 48.97	3	— 9 53 23.5	103	n
—	9.0	49 48.73	5	— 9 53 21.0	254	
1250	9.0	50 9.41	2	— 9 24 47.7	99	
1251	10.0	5 50 14.85	2	— 11 40 36.6	108	
1252	9.5	50 25.35	4	— 7 30 48.0	178	n
1253	9.7	50 27.08	4	— 7 33 49.8	252	n
1254	10.0	50 40.00	2	— 15 26 25.1	102	
1255	7.8	50 51.65	5	— 11 17 41.3	107	
—	7.8	5 50 51.63	4	— 11 17 43.7	109	
1256	9.0	50 58.06	7	— 2 11 3.8	5	
1257	9.2	51 6.53	3	— 9 19 53.2	103	
—	8.5	51 6.57	5	— 9 19 57.3	177	
1258	8.5	51 12.31	2	— 8 45 42.9	103	

No.	Grösse	Rectascension 1880.0 h m s	Fäden	Declination 1880.0 ° ′ ″	Zone	Bemerkungen
1259	10.0	5 51 12.58	4	— 11 46 46.6	179	n
1260	8.4	51 12.79	3	— 13 10 32.8	104	
1261	10.0	51 18.44	2	— 13 8 0.2	102	n
—	10.0	51 18.42	3	— 13 8 0.8	106	
1262	9.8	51 19.46	4	— 0 56 46.9	6	
—	10.0	5 51 19.47	4	— 0 56 44.0	95	
1263	10.5	51 36.27	1	— 2 4 22.6	4	
—	10.5	51 36.—	—	— 2 4 25.3	101	u
—	10.5	51 35.99	1	— 2 4 19.4	251	
1264	9.0	51 56.47	5	— 7 40 7.0	253	n dpl. bor.
1265	8.0	5 51 56.67	4	— 7 40 15.9	178	n dpl. austr.
1266	8.6	52 18.77	5	— 14 13 23.9	99	
1267	9.0	52 39.52	2	— 12 11 12.6	179	n
—	9.0	52 39.77	6	— 12 11 13.5	249	
1268	9.0	52 42.54	4	— 10 53 14.5	107	
—	10.0	5 52 42.27	3	— 10 53 13.3	108	
—	9.0	52 42.44	4	— 10 53 13.6	109	
1269	9.6	52 50.12	2	— 15 26 —	103	n
—	9.3	52 50.15	4	— 15 26 48.4	250	
1270	9.6	52 51.17	3	— 15 26 0.3	103	
1271	9.0	5 53 22.33	4	— 7 39 39.3	178	n
—	9.0	53 22.25	3	— 7 39 38.8	255	
1272	10.0	53 23.83	3	— 2 21 15.7	101	n
1273	9.5	53 37.90	4	— 12 20 26.1	177	
1274	9.9	53 42.70	3	— 9 47 21.4	104	
1275	9.0	5 53 47.94	3	— 9 47 45.3	102	
1276	10.0	53 52.—	—	— 9 29 42.4	99	n u
—	10.0	53 51.35	3	— 9 29 45.9	252	u s
1277	10.0	54 0.70	4	— 11 42 7.2	107	
—	9.5	54 0.64	2	— 11 42 9.3	179	
1278	9.8	5 54 12.26	3	— 9 44 26.0	108	
1279	9.1	54 18.22	4	— 0 41 28.4	95	
1280	9.0	54 39.84	3	— 7 35 49.6	178	n
—	9.1	54 39.72	5	— 7 35 47.7	254	
1281	9.0	54 56.47	4	— 12 10 30.9	109	n
—	9.0	5 54 56.52	3	— 12 10 31.4	177	
1282	9.0	55 4.88	3	— 2 15 32.4	5	d
—	9.6	55 4.92	4	— 2 15 26.4	101	
—	9.0	55 5.18	4	— 2 15 31.2	251	
1283	9.8	55 12.08	2	— 13 17 9.2	102	
1284	10.0	5 55 17.56	2	— 9 41 6.5	99	
1285	9.8	55 21.31	4	— 13 12 43.7	103	
1286	10.0	55 37.75	2	— 14 31 39.0	104	
—	9.0	55 37.70	4	— 14 31 39.9	253	
1287	9.8	55 40.30	3	— 1 45 47.9	2	
1288	8.3	5 55 40.58	3	— 1 40 54.8	95	
1289	10.0	55 42.86	4	— 10 8 16.5	106	
—	9.7	55 42.93	4	— 10 8 —	107	
1290	10.0	56 0.01	3	— 11 2 30.4	108	n
—	9.0	56 0.21	4	— 11 2 32.6	179	

No.	Grösse	Rectascension 1880.0 h	m	s	Fäden	Declination 1880.0 °	′	″	Zone	Bemerkungen
1291	9.5	5	56	10.13	2	— 12	1	53.2	177	n
—	9.0		56	9.97	6	— 12	1	54.2	249	
—	9.0		56	9.91	4	— 12	1	55.4	250	
1292	10.0		56	12.75	4	— 7	54	23.5	178	
1293	8.5		57	7.55	7	— 0	36	4.3	4	
1294	9.1	5	57	16.98	3	— 11	20	51.6	108	n
—	8.0		57	17.42	5	— 11	20	54.9	252	
1295	9.5		57	17.33	1	— 13	41	28.6	102	n
—	9.3		57	17.14	5	— 13	41	28.7	255	
1296	10.0		57	25.77	3	— 9	15	5.2	107	n
1297	8.6	5	57	29.95	5	— 11	53	25.8	109	n
1298	10.0		57	37.27	2	— 1	35	15.3	95	
—	10.5		57	37.84	2	— 1	35	15.6	101	
1299	9.2		57	43.25	4	— 12	40	8.9	99	
—	9.0		57	42.75	3	— 12	40	10.5	103	
1300	10.0	5	57	57.35	3	— 11	6	30.6	177	
1301	9.9		58	19.47	3	— 1	27	5.8	2	
—	9.5		58	19.55	3	— 1	27	3.3	178	
1302	9.0		58	23.22	4	— 13	30	50.3	179	
1303	9.8		58	28.28	5	— 1	33	56.7	6	
—	9.3	5	58	28.33	4	— 1	33	52.7	251	
1304	10.0		58	33.20	2	— 1	35	21.1	95	
—	10.0		58	33.11	2	— 1	35	22.2	101	
1305	8.0		58	41.60	3	— 13	41	7.3	102	
1306	8.1		58	42.38	3	— 15	40	37.6	103	
1307	8.0	5	58	44.56	4	— 14	4	51.3	104	n
—	7.8		58	44.41	4	— 14	4	53.4	250	
1308	10.0		59	5.29	3	— 11	28	28.2	108	n
—	10.0		59	5.10	4	— 11	28	28.6	109	
1309	8.3		59	28.47	4	— 9	16	58.9	106	n
—	9.0	5	59	28.46	5	— 9	16	59.3	107	
1310	9.0		59	50.18	3	— 13	24	28.8	99	
—	9.0		59	49.94	2	— 13	24	31.2	111	
—	9.0		59	50.07	3	— 13	24	33.4	179	
—	9.0		59	50.02	3	— 13	24	35.9	252	
—	8.5	5	59	49.81	5	— 13	24	30.5	253	
1311	9.3	6	0	25.39	3	— 1	0	32.4	95	
1312	10.0		0	33.33	4	— 11	31	19.4	109	
1313	10.0		0	33.85	2	— 10	52	34.6	108	n
—	9.5		0	34.03	4	— 10	52	32.5	249	
1314	10.0	6	0	43.98	3	— 12	46	58.3	102	
1315	9.0		0	47.34	2	— 12	30	36.9	179	n
—	9.0		0	47.29	4	— 12	30	34.3	254	
1316	10.0		1	4.49	3	— 12	49	55.9	103	
1317	7.5		1	15.03	4	— 11	9	38.6	99	
1318	9.0	6	1	17.57	3	— 9	43	31.0	106	
1319	10.0		1	26.82	2	— 12	41	43.3	104	
—	10.0		1	26.58	2	— 12	41	45.1	111	
1320	8.2		1	27.44	3	— 1	13	14.3	112	
1321	9.0		1	43.54	4	— 12	12	7.3	102	

No.	Grösse	Rectascension 1880.0 h	m	s	Fäden	Declination 1880.0 °	′	″	Zone	Bemerkungen
1322	10.0	6	2	3.01	3	— 15	14	54.0	103	
1323	9.0		2	6.42	2	— 12	1	22.6	104	
—	9.0		2	6.67	3	— 12	1	21.0	106	
1324	9.9		2	8.50	2	— 0	21	12.6	2	
—	10.0		2	8.69	2	— 0	21	8.9	101	
—	10.0	6	2	8.51	3	— 0	21	11.1	251	
1325	8.0		2	14.76	3	— 1	55	12.9	178	
1326	10.0		2	25.07	2	— 15	11	5.9	103	
—	10.0		2	24.86	4	— 15	11	6.2	107	
1327	9.0		2	29.08	4	— 10	33	14.6	108	
1328	10.0	6	2	47.67	4	— 1	21	40.3	5	
—	10.0		2	47.68	3	— 1	21	37.0	95	
1329	10.0		2	48.12	5	— 11	28	8.4	109	n
—	9.0		2	48.16	4	— 11	28	9.3	250	
1330	9.0		3	22.53	1	— 12	36	57.1	338	n
1331	8.4	6	3	30.99	4	— 0	23	14.3	101	
1332	10.0		3	36.09	2	— 1	21	22.0	112	n
—	10.0		3	35.87	2	— 1	21	20.5	249	
1333	8.8		3	43.45	2	— 15	40	57.8	102	
1334	9.8		3	43.80	2	— 11	39	59.1	109	n
—	9.0	6	3	43.95	5	— 11	39	58.2	252	
1335	8.5		3	44.19	3	— 13	12	6.0	107	n
—	7.8		3	43.88	5	— 13	12	7.1	253	
1336	9.3		4	9.28	4	— 9	24	44.4	106	n
—	9.0		4	9.21	4	— 9	24	45.1	254	
1337	9.2	6	4	11.90	4	— 10	11	5.7	99	
—	9.4		4	11.80	3	— 10	11	5.4	111	
1338	9.8		4	13.73	6	— 1	44	12.9	6	
—	9.5		4	13.58	3	— 1	44	9.2	95	
—	9.3		4	13.49	5	— 1	44	9.2	255	
1339	9.8	6	4	23.46	3	— 1	56	52.4	178	n
1340	9.0		4	53.13	3	— 11	50	27.4	104	
1341	10.0		5	1.56	3	— 9	49	43.3	103	
—	10.0		5	1.56	2	— 9	49	44.-	108	Decl. gesch.
1342	9.0		5	3.19	3	— 9	49	47.0	102	
—	9.5	6	5	3.28	3	— 9	49	48.6	108	
1343	9.0		5	22.35	5	— 1	27	27.9	2	
—	9.5		5	22.48	4	— 1	27	25.3	101	
—	9.8		5	22.43	4	— 1	27	26.2	112	
1344	9.0		5	22.58	3	— 1	58	56.2	178	n
—	9.1	6	5	22.92	4	— 1	58	56.9	251	
1345	9.8		5	34.82	3	— 12	43	10.1	107	
1346	9.8		5	37.27	3	— 9	36	40.8	106	
1347	9.9		5	55.20	4	— 0	49	4.7	7	
1348	10.0		6	7.13	3	— 0	16	48.0	5	
1349	9.0	6	6	7.83	3	— 12	34	24.6	104	n
—	8.3		6	8.03	3	— 12	34	25.7	252	
1350	10.0		6	16.90	2	— 9	50	21.9	103	n
—	10.0		6	16.60	4	— 9	50	21.5	250	
1351	10.0		6	32.45	2	— 1	16	22.0	4	

No.	Grösse	Rectascension 1880.0 h m s	Fäden	Declination 1880.0 ° ′ ″	Zone	Bemerkungen
—	10.0	6 6 32.62	4	— 1 16 25.9	95	
1352	9.0	6 33.48	3	— 1 18 19.3	101	
1353	9.7	6 43.88	4	— 1 36 44.9	112	n
—	10.0	6 43.81	3	— 1 36 46.5	178	
1354	10.0	7 15.79	2	— 0 15 9.4	6	
—	10.0	6 7 15.44	1	— 0 15 4.5	249	u s
1355	9.5	7 36.08	3	— 15 11 16.2	102	
—	9.4	7 35.90	4	— 15 11 17.1	111	
1356	9.0	7 37.60	3	— 7 40 45.0	109	n
—	9.0	7 37.41	4	— 7 40 41.9	253	
1357	9.0	6 7 43.08	4	— 15 27 48.5	107	
1358	9.5	7 57.45	3	— 8 38 12.1	106	
1359	10.0	7 58.80	3	— 15 7 0.7	103	
1360	10.0	8 7.81	2	— 0 57 14.6	5	
—	10.0	8 7.50	4	— 0 57 13.0	95	
1361	8.5	6 8 11.09	3	— 1 35 58.9	3	
—	9.5	8 11.08	3	— 1 36 1.9	112	
—	9.5	8 11.20	4	— 1 36 2.7	178	
1362	8.0	8 39.87	3	— 0 30 26.4	182	
1363	9.7	8 57.18	4	— 1 50 5.0	112	n
—	10.0	6 8 57.34	4	— 1 50 7.1	251	
1364	9.7	9 16.05	3	— 12 18 30.1	102	
—	9.4	9 15.83	4	— 12 18 28.6	111	
—	9.0	9 15.98	4	— 12 18 28.8	252	
1365	9.4	9 34.45	4	— 1 12 37.2	95	n
—	9.5	6 9 34.39	3	— 1 12 42.0	182	
—	9.2	9 34.36	5	— 1 12 39.4	255	
1366	6.0	9 43.04	5	— 8 59 58.8	7	
1367	9.5	9 43.63	3	— 11 35 54.5	103	
1368	9.3	9 56.27	3	— 2 14 19.2	2	
—	9.5	6 9 56.12	7	— 2 14 16.7	6	
1369	9.8	9 59.05	4	— 1 32 54.3	4	
1370	9.7	10 13.12	3	— 12 41 12.6	102	
—	10.0	10 13.22	3	— 12 41 12.6	106	
1371	9.0	10 20.42	3	— 12 41 59.5	179	
1372	10.0	6 10 23.54	3	— 15 19 0.0	107	
1373	8.4	10 25.63	1	— 9 32 58.0	106	
1374	10.0	10 37.97	1	— 15 21 13.4	107	
—	10.0	10 37.81	3	— 15 21 14.6	109	
1375	10.0	10 38.70	2	— 1 9 15.3	95	
1376	9.0	6 10 41.83	3	— 0 5 45.4	181	
1377	10.0	11 2.99	1	— 13 49 15.7	108	
—	9.6	11 2.94	3	— 13 49 16.4	111	
—	10.0	11 2.73	4	— 13 49 18.0	112	
1378	9.0	11 5.24	1	— 15 14 49.4	103	
—	10.0	6 11 4.96	1	— 15 14 52.8	109	
—	10.0	11 4.76	2	— 15 14 48.4	249	u s
1379	10.0	11 11.32	1	— 0 13 37.2	179	
—	10.0	11 11.10	3	— 0 13 36.6	182	
1380	10.0	11 15.—	—	— 1 5 13.9	3	
—	10.0	6 11 15.31	2	— 1 5 15.5	7	
1381	9.0	11 24.74	3	— 15 5 5.1	102	
—	8.5	11 24.44	4	— 15 5 6.4	250	
1382	9.0	11 40.64	3	— 9 35 46.2	106	
—	8.2	11 40.35	4	— 9 35 47.5	253	
1383	8.5	6 12 2.83	3	+ 1 36 32.4	101	n
1384	10.0	12 19.51	3	— 2 9 2.8	5	
1385	9.8	12 31.75	3	— 0 38 25.4	2	
1386	10.0	12 39.89	3	— 12 28 27.7	179	
1387	11.0	12 40.74	2	— 0 16 51.6	181	u n
—	11.0	6 12 41.32	2	— 0 16 50.1	182	
1388	9.6	12 49.48	4	— 0 35 52.5	112	
1389	9.2	12 58.88	3	— 12 31 14.1	102	
—	9.0	12 58.84	4	— 12 31 14.8	252	
1390	9.5	13 5.74	3	— 12 38 1.5	106	
—	9.0	6 13 6.00	3	— 12 38 1.0	107	
—	10.0	13 5.87	3	— 12 38 0.5	108	
1391	10.0	13 9.39	3	— 0 14 46.7	7	
1392	9.6	13 12.37	4	— 1 20 3.6	95	
1393	10.0	13 44.80	2	— 1 0 6.7	6	
—	9.0	6 13 44.82	4	— 1 0 7.6	251	
1394	10.0	14 4.53	3	+ 0 38 33.3	112	n
1395	9.0	14 8.05	1	— 13 30 20.9	107	
—	9.0	14 8.10	3	— 13 30 20.-	109	Decl. gesch.
1396	10.0	14 8.63	3	— 13 29 18.5	109	n
—	10.0	6 14 8.37	5	— 13 29 17.5	250	
1397	9.6	14 19.54	3	— 10 35 11.9	102	
—	9.5	14 19.47	5	— 10 35 11.6	111	
1398	10.0	14 24.07	2	+ 0 10 20.4	95	
1399	8.0	14 24.69	4	— 8 47 14.5	179	
—	8.0	6 14 24.65	5	— 8 47 14.3	180	
—	8.0	14 24.61	3	— 8 47 14.3	182	
1400	7.5	14 28.46	5	— 13 56 35.2	106	
—	8.0	14 28.43	4	— 13 56 35.5	254	
1401	7.6	14 47.22	6	+ 2 37 20.0	101	n
—	7.5	6 14 47.14	3	+ 2 37 19.2	257	
1402	9.0	14 49.88	7	+ 0 17 32.9	4	
1403	10.0	15 13.83	3	— 13 46 58.8	102	
1404	7.0	15 15.06	4	— 1 10 4.3	178	
—	8.0	15 14.87	5	— 1 10 2.3	181	
—	8.0	6 15 14.90	3	— 1 10 0.7	249	
1405	7.0	15 30.08	3	— 11 45 52.8	179	
—	7.0	15 29.88	6	— 11 45 52.2	253	
1406	9.8	15 36.06	4	— 0 42 38.0	6	
—	8.8	15 36.29	5	— 0 42 37.6	7	
1407	8.0	6 15 45.94	7	+ 0 21 30.7	2	
—	8.5	15 45.52	3	+ 0 21 33.1	112	
1408	10.0	15 50.69	3	— 13 37 20.1	106	
1409	8.8	15 51.37	3	— 13 59 32.3	103	
1410	10.2	16 5.31	3	+ 0 3 59.4	5	

No.	Grösse	Rectascension 1880.0 h m s	Fäden	Declination 1880.0 ° ′ ″	Zone	Bemerkungen
1411	8.0	6 16 12.86	4	— 8 10 26.1	182	n
—	8.5	16 12.91	4	— 8 10 27.1	252	
1412	9.5	16 25.67	4	— 8 59 32.6	180	
1413	10.0	16 26.28	3	— 13 30 51.4	107	
1414	9.6	16 28.36	3	— 0 26 25.8	95	
1415	10.0	6 16 41.54	3	— 14 31 55.0	109	
1416	10.0	16 49.63	3	— 11 18 45.8	103	
—	10.0	16 49.33	3	— 11 18 51.3	250	
1417	9.0	17 2.42	3	+ 0 15 21.2	7	
—	9.0	17 2.48	4	+ 0 15 20.0	251	
1418	10.0	6 17 25.88	5	— 11 46 47.2	338	n
1419	10.0	17 48.80	4	— 10 42 31.9	103	
1420	9.8	17 53.86	5	+ 0 22 42.8	4	
1421	10.0	18 1.68	3	— 12 41 11.5	106	
1422	9.0	18 10.65	1	— 12 31 4.0	107	
—	8.0	6 18 10.31	4	— 12 31 5.4	110	
—	8.5	18 10.18	3	— 12 31 1.9	249	
1423	9.5	18 16.12	2	— 12 35 17.5	338	n
1424	9.6	18 19.62	6	— 10 38 10.1	108	
—	10.0	18 19.74	3	— 10 38 11.5	180	
1425	9.0	6 18 53.02	5	+ 0 27 40.7	7	
1426	10.0	18 59.82	2	+ 0 26 48.7	2	n
1427	9.0	19 1.73	4	— 10 28 34.9	180	n
—	9.0	19 1.71	3	— 10 28 33.2	252	
1428	6.0	19 8.65	4	— 0 52 25.4	3	
—	6.0	6 19 8.49	5	— 0 52 28.5	257	
1429	10.0	19 15.80	4	— 12 35 44.8	102	
1430	9.0	19 32.43	3	— 10 14 18.0	103	
1431	9.0	19 33.69	4	— 0 23 22.4	112	n
1432	10.0	19 34.30	3	— 10 14 5.-	103	n Decl. gesch.
1433	10.0	6 19 42.05	4	— 11 30 52.3	182	n
—	9.7	19 42.13	3	— 11 30 52.9	338	
1434	8.0	19 49.24	4	— 3 49 22.5	178	n
1435	10.0	19 53.76	4	+ 0 5 42.1	95	
1436	9.7	19 55.20	6	— 1 44 48.7	6	
—	9.0	6 19 55.45	3	— 1 44 47.8	109	
1437	10.0	20 19.44	2	— 0 27 22.4	109	
—	9.5	20 19.04	5	— 0 27 23.7	110	
1438	10.0	20 19.40	3	— 12 2 32.9	107	
1439	9.0	20 30.83	3	— 11 52 26.9	106	n
—	8.5	6 20 30.83	4	— 11 52 25.9	179	
—	10.0	20 30.81	3	— 11 52 24.9	181	
1440	9.0	20 36.—	—	— 0 52 0.5	109	u
—	9.0	20 36.47	3	— 0 52 0.2	111	
—	9.0	20 36.38	2	— 0 52 2.4	112	
—	9.0	6 20 36.30	4	— 0 52 0.2	257	
1441	10.5	20 39.75	3	— 12 31 56.2	180	
1442	9.3	20 43.58	3	— 15 3 4.6	102	
1443	9.8	21 2.75	3	— 13 28 54.3	107	
—	9.0	21 2.61	4	— 13 28 56.9	182	

No.	Grösse	Rectascension 1880.0 h m s	Fäden	Declination 1880.0 ° ′ ″	Zone	Bemerkungen
1444	8.5	6 21 32.08	4	— 2 8 14.8	3	
—	8.0	21 31.95	4	— 2 8 17.1	256	
1445	7.0	22 31.21	4	— 0 38 48.8	110	
1446	9.0	22 39.05	5	— 9 44 59.3	108	n
—	8.7	22 39.01	5	— 9 45 2.4	253	
1447	9.6	6 23 11.44	3	— 14 46 15.3	102	n
—	10.0	23 11.31	3	— 14 46 16.7	254	
1448	10.0	23 27.15	4	— 1 40 41.2	109	n
—	9.5	23 26.95	4	— 1 40 43.9	256	
1449	9.0	23 42.80	5	— 11 43 33.0	338	n
1450	9.0	6 24 13.61	4	— 8 13 4.7	180	n
1451	9.1	24 16.47	5	— 2 37 24.0	112	n
—	9.5	24 16.49	4	— 2 37 25.6	257	
1452	9.0	24 18.54	5	— 14 17 2.6	182	n
1453	9.0	24 26.41	4	— 2 56 35.2	178	n
1454	10.0	6 24 26.86	4	— 0 18 34.2	7	
1455	7.5	24 30.74	4	— 10 0 4.0	108	n
1456	8.5	24 39.53	3	— 12 16 25.7	103	
1457	9.0	24 47.19	4	— 0 51 5.9	110	
1458	7.8	24 58.19	4	— 12 0 1.5	102	
—	7.6	6 24 58.33	5	— 12 0 0.5	111	
1459	10.0	25 25.32	3	— 12 14 36.0	338	n
1460	8.5	25 49.64	4	— 12 8 36.8	103	n
—	9.0	25 49.57	2	— 12 8 37.0	106	
1461	9.6	25 52.39	4	— 0 52 17.5	110	
—	9.0	6 25 52.17	4	— 0 52 17.3	256	
1462	9.0	25 56.67	5	— 2 41 54.1	112	n
—	10.0	25 56.64	3	— 2 41 51.8	178	
1463	10.0	25 57.25	5	— 0 1 12.7	1	
—	9.0	25 57.23	3	— 0 1 13.6	257	
1464	9.5	6 26 0.14	3	— 0 58 41.0	109	
1465	9.2	26 1.69	3	— 13 38 4.1	182	n
—	9.1	26 1.49	4	— 13 38 1.7	253	
1466	10.0	26 6.52	4	— 8 21 11.8	180	n
—	9.8	26 6.49	4	— 8 21 10.1	250	
1467	7.8	6 27 9.41	5	— 11 4 44.7	108	n
—	7.5	27 9.43	5	— 11 4 46.0	249	
1468	10.0	27 9.83	4	— 11 26 34.7	111	n
—	9.7	27 9.81	4	— 11 26 36.6	252	
—	9.1	27 9.81	4	— 11 26 38.6	338	
1469	9.5	6 27 14.02	3	— 2 47 44.2	112	n
—	9.2	27 14.02	4	— 2 47 44.3	251	
1470	8.5	27 15.65	4	— 11 58 9.6	102	
—	9.0	27 15.49	4	— 11 58 9.8	106	
1471	10.0	27 22.71	4	+ 0 21 7.3	2	
—	10.0	6 27 22.69	6	+ 0 21 7.9	6	
1472	9.0	27 24.70	4	— 8 50 35.3	180	n
—	9.0	27 24.66	5	— 8 50 34.2	255	
1473	9.5	27 43.26	5	— 14 0 28.9	182	n
—	9.0	27 43.10	4	— 14 0 25.6	256	

No.	Grösse	Rectascension 1880.0 h m s	Fäden	Declination 1880.0 ° ′ ″	Zone	Bemerkungen
1474	9.5	6 27 49.89	2	— 0 50 41.4	3	
—	10.0	27 49.80	4	— 0 50 39.8	7	
—	10.0	27 49.49	3	— 0 50 41.2	257	
1475	9.0	27 51.01	3	— 1 54 9.0	109	
—	8.1	27 51.06	4	— 1 54 10.4	110	
—	9.0	6 27 51.09	3	— 1 54 9.8	178	
1476	8.0	27 57.27	4	— 12 1 22.1	8	
—	8.5	27 57.19	4	— 12 1 21.6	103	
1477	9.8	28 20.63	5	+ 0 17 40.8	4	
1478	9.1	28 21.14	3	— 12 32 27.2	338	n
1479	9.7	6 28 26.30	3	— 1 16 10.2	111	
1480	9.0	28 49.90	4	— 12 22 50.5	102	
—	10.0	28 49.83	4	— 12 22 51.4	106	
1481	9.0	28 54.64	4	— 11 8 12.0	108	n
—	8.5	28 54.77	3	— 11 8 13.9	258	
1482	9.3	6 29 15.31	3	— 8 46 27.5	180	n
—	9.0	29 15.34	4	— 8 46 30.4	250	
1483	8.2	29 28.74	3	— 12 30 31.8	103	
—	8.2	29 28.64	6	— 12 30 32.8	254	
—	8.0	29 28.77	5	— 12 30 33.4	256	
1484	10.0	6 29 41.72	4	— 12 59 6.1	182	n
—	10.0	29 41.63	4	— 12 59 2.9	252	u s
1485	9.0	29 45.41	3	— 11 35 9.6	338	n
1486	9.7	30 2.18	6	— 1 10 52.0	185	n
—	10.0	30 2.02	2	— 1 10 50.7	251	
1487	9.6	6 30 2.27	3	— 11 43 27.7	102	n
1488	10.0	30 6.55	4	+ 0 31 35.1	5	
1489	9.0	30 18.58	2	— 13 39 3.7	8	
1490	10.0	30 29.00	4	— 11 43 11.5	180	
1491	10.0	30 39.09	3	— 13 42 9.0	103	
1492	10.0	6 30 40.77	2	— 14 2 52.5	112	n
—	10.0	30 40.61	3	— 14 2 51.8	255	
1493	9.0	30 46.13	3	— 9 43 52.6	106	
1494	8.8	30 47.91	2	— 1 49 6.7	3	
—	9.2	30 47.72	4	— 1 49 11.0	6	
—	9.0	6 30 47.85	3	— 1 49 10.5	249	
1495	9.0	30 49.58	3	— 1 8 24.0	182	
—	9.3	30 49.64	5	— 1 8 22.0	257	
1496	10.0	31 11.27	2	— 9 47 11.3	106	
—	9.9	31 11.48	4	— 9 47 9.8	111	
1497	9.0	6 31 19.15	4	— 12 45 11.7	338	n, * folgt 3ˢ
1498	9.0	31 31.17	2	— 9 15 32.1	103	
—	9.5	31 31.16	4	— 9 15 32.5	256	
1499	9.4	31 46.45	5	— 15 23 50.9	107	
1500	8.5	31 54.61	5	— 1 23 24.2	2	
1501	8.7	6 31 54.65	2	— 9 17 47.9	102	
—	8.2	31 54.42	4	— 9 17 50.1	250	
1502	9.5	31 54.90	3	— 11 21 51.1	108	
—	10.0	31 54.77	4	— 11 21 53.7	259	
1503	8.0	32 0.46	6	— 11 34 49.3	180	n
—	9.0	6 32 0.28	4	— 11 34 50.6	258	
1504	9.5	32 3.88	1	— 13 53 53.8	108	
—	9.5	32 3.93	3	— 13 53 55.4	110	
1505	9.5	32 15.12	4	— 9 9 59.6	109	
1506	9.0	32 26.55	4	— 1 56 22.0	182	n
—	9.4	6 32 26.38	3	— 1 56 21.1	257	
1507	9.0	32 32.70	2	— 13 22 5.4	103	
1508	9.0	32 37.93	5	— 13 59 44.0	112	n
1509	10.0	32 42.53	3	— 11 26 41.9	106	
1510	7.5	32 49.03	2	— 9 13 2.3	8	
—	7.8	6 32 48.88	3	— 9 13 2.7	111	
1511	8.8	33 11.45	4	+ 0 13 5.6	7	
1512	9.5	33 29.82	3	— 9 15 27.1	111	n
—	9.0	33 29.87	4	— 9 15 28.3	253	
1513	10.0	33 30.02	4	— 0 43 0.6	4	
—	9.5	6 33 30.03	4	— 0 42 58.8	5	
—	9.3	33 30.29	5	— 0 42 59.8	6	
1514	9.6	33 30.54	3	— 13 56 45.0	102	
—	10.0	33 30.43	4	— 13 56 45.2	252	
1515	9.3	33 38.73	2	— 11 57 31.5	103	
—	10.0	6 33 38.83	3	— 11 57 29.9	180	
1516	8.0	33 56.49	5	— 11 35 29.7	185	n
—	8.5	33 56.47	4	— 11 35 28.7	249	
—	8.0	33 56.69	4	— 11 35 30.2	338	
1517	10.0	33 58.44	5	— 0 13 11.8	1	
—	9.2	6 33 58.06	3	— 0 13 12.5	256	
1518	10.0	34 6.46	4	— 2 17 21.9	182	n
—	10.0	34 6.10	3	— 2 17 22.4	251	
1519	9.0	34 17.11	3	— 11 13 26.4	107	
—	8.5	34 16.93	5	— 11 13 26.9	254	
—	9.1	6 34 17.05	4	— 11 13 29.2	259	
1520	9.0	34 19.96	3	— 8 23 12.9	108	
1521	10.0	34 31.48	4	— 13 57 9.4	112	
1522	9.5	34 37.68	4	— 12 33 55.7	110	n
—	9.0	34 37.62	4	— 12 33 58.2	250	
1523	9.0	6 34 45.29	4	— 8 52 15.9	7	
1524	10.0	34 47.36	2	— 10 47 29.5	102	
—	10.0	34 47.16	3	— 10 47 27.5	258	
1525	9.0	34 47.36	4	— 8 49 46.0	180	
1526	9.0	35 3.88	3	— 10 42 39.2	103	
1527	9.3	6 35 5.64	3	— 15 54 10.1	107	
1528	8.2	35 14.51	3	+ 1 4 7.9	109	n
—	8.0	35 14.39	4	+ 1 4 9.6	257	
1529	9.8	35 15.35	3	— 10 27 55.1	106	
1530	10.0	35 17.32	4	— 10 1 20.7	111	n
—	9.3	6 35 17.36	2	— 10 1 20.6	256	
1531	10.0	35 26.07	4	— 11 13 11.6	338	n
1532	9.6	35 40.43	4	— 2 3 0.4	182	n
1533	9.0	35 40.81	4	— 11 29 35.7	117	n
—	9.0	35 40.80	5	— 11 29 34.5	185	

No.	Grösse	Rectascension 1880.0 h m s	Fäden	Declination 1880.0 ° ′ ″	Zone	Bemerkungen
1534	10.0	6 35 47.42	3	— 13 51 48.7	112	n
—	9.5	35 47.40	5	— 13 51 52.7	255	
1535	9.3	35 54.38	3	— 0 47 14.1	2	
1536	9.7	35 57.61	3	— 12 49 5.7	110	
1537	10.0	36 8.—	—	— 0 45 31.6	3	
—	10.0	6 36 7.93	3	— 0 45 30.7	5	
—	10.0	36 7.91	3	— 0 45 33.8	180	
1538	9.6	36 24.97	3	— 9 45 51.1	108	
1539	10.0	36 32.11	4	— 10 7 51.0	111	n
—	10.0	36 31.84	5	— 10 7 51.7	252	
1540	9.0	6 36 33.43	4	— 10 23 0.6	102	
—	9.0	36 33.27	4	— 10 23 1.3	106	
1541	10.0	36 42.52	3	— 12 31 55.7	338	n
1542	—	37 4.34	4	+ 0 5 43.5	109	n
—	7.0	37 4.44	5	+ 0 5 42.1	256	
1543	9.0	6 37 8.51	4	— 1 16 17.2	182	
—	10.0	37 8.12	3	— 1 16 16.8	257	
1544	9.3	37 13.09	2	— 10 33 15.9	8	
—	10.0	37 12.84	3	— 10 33 12.6	258	
1545	10.0	37 18.48	4	— 13 17 32.2	112	
1546	8.5	6 37 19.71	3	— 9 36 49.0	103	
1547	8.2	37 21.13	4	— 11 38 58.9	117	n
—	8.1	37 21.02	4	— 11 38 59.1	259	
1548	9.0	37 33.84	6	— 12 17 37.3	185	n
1549	9.0	37 40.78	3	— 10 25 29.3	102	
—	9.6	6 37 40.78	3	— 10 25 28.5	107	
—	9.8	37 40.67	3	— 10 25 25.8	111	
1550	9.3	37 45.70	4	— 12 46 55.0	110	n
—	9.0	37 45.70	4	— 12 46 55.7	250	
1551	10.0	37 59.23	4	— 10 20 24.8	106	n
—	10.0	6 37 59.24	4	— 10 20 26.7	253	
1552	9.0	38 11.82	4	— 13 44 25.0	180	
1553	9.0	38 19.21	6	+ 0 1 21.8	4	
—	9.0	38 19.49	6	+ 0 1 23.5	6	
1554	8.5	38 29.02	4	— 14 34 34.6	103	
1555	9.5	6 38 31.13	4	— 10 52 26.4	108	n
—	9.0	38 30.92	5	— 10 52 24.2	254	
1556	9.0	38 31.38	5	— 0 59 21.4	2	
—	9.2	38 31.13	3	— 0 59 21.9	251	
1557	9.0	38 40.60	2	— 11 0 18.6	102	
1558	9.5	6 38 42.50	3	— 12 17 28.5	338	n
1559	10.0	38 50.20	2	— 1 10 45.0	5	
—	10.0	38 50.20	3	— 1 10 45.8	7	
1560	9.5	39 15.99	4	— 11 41 8.3	185	n
—	9.3	39 15.74	5	— 11 41 6.9	256	
1561	9.7	6 39 29.00	6	— 11 17 24.6	249	
1562	10.0	39 35.58	2	— 13 5 6.4	113	n
—	9.4	39 35.36	5	— 13 5 4.8	255	
1563	8.8	39 43.05	4	— 9 51 25.8	107	
1564	10.0	39 51.—	—	— 1 18 35.1	1	u
—	10.0	6 39 51.16	4	— 1 18 33.4	257	
1565	10.0	39 53.71	4	— 14 23 39.7	106	n
—	9.6	39 53.42	3	— 14 23 36.1	258	
1566	10.5	40 0.71	1	— 12 30 9.9	108	u
—	10.0	40 0.73	2	— 12 30 15.4	259	u s
1567	9.5	6 40 33.53	4	— 0 43 22.6	3	
1568	9.8	40 33.55	3	— 13 42 47.8	103	
1569	9.0	40 42.17	3	— 15 27 56.1	102	
1570	10.5	40 48.73	3	— 10 17 6.3	117	n u f
1571	10.0	40 53.71	2	— 1 4 12.6	6	
—	10.0	6 40 53.58	1	— 1 4 12.7	110	
1572	10.0	40 56.03	1	— 0 51 55.2	111	
—	9.8	40 56.18	2	— 0 51 53.4	112	
1573	8.0	41 6.93	4	— 9 2 13.0	180	
1574	10.0	41 14.64	3	— 12 47 18.7	113	n
—	9.8	6 41 14.24	3	— 12 47 20.9	253	
1575	10.0	41 35.00	1	— 13 2 47.6	103	
—	10.0	41 34.85	3	— 13 2 44.7	106	
1576	9.0	41 41.31	4	— 0 43 9.3	107	
1577	8.0	41 41.51	4	— 9 49 57.6	182	
1578	9.0	6 41 50.75	3	— 15 56 14.4	102	
1579	10.0	42 3.21	3	— 0 27 42.9	108	
1580	10.0	42 4.39	1	— 1 21 27.4	112	n
1581	10.0	42 25.09	3	— 2 3 55.3	111	
1582	8.0	42 28.84	1	— 12 20 41.0	106	
—	8.0	6 42 28.56	2	— 12 20 41.8	114	
1583	8.5	42 35.82	3	— 9 51 32.0	182	
1584	9.0	42 37.64	4	— 11 53 8.2	338	n
1585	9.0	42 56.41	3	— 15 11 52.6	113	dpl. pr.
—	8.5	42 56.22	3	— 15 11 55.6	117	
1586	9.0	6 42 56.61	3	— 12 18 23.2	103	
1587	9.0	42 56.79	3	— 11 43 16.6	185	n
1588	10.0	42 56.83	2	— 15 11 41.0	115	n dpl. bor.
1589	9.6	42 59.83	3	— 12 5 51.5	107	
1590	8.0	43 2.83	5	— 0 19 5.5	5	
1591	9.8	6 43 4.64	5	— 0 34 43.1	6	
1592	9.5	43 25.05	4	— 15 17 56.3	180	
1593	9.8	43 27.86	4	— 1 14 35.5	7	
1594	10.5	43 43.78	1	— 15 14 25.5	107	u
—	10.0	43 43.96	1	— 15 14 26.9	114	
1595	9.0	6 43 47.53	2	— 11 3 39.3	338	n
1596	10.0	43 52.51	3	— 9 25 33.7	102	
1597	10.0	43 54.10	3	— 1 38 12.2	108	
1598	10.0	44 9.79	2	— 8 41 41.2	115	n
—	9.2	44 9.56	4	— 8 41 40.2	253	
1599	10.0	6 44 21.52	1	— 0 34 12.7	1	
1600	9.0	44 23.03	5	— 0 22 13.1	3	
1601	9.8	44 24.55	3	— 8 21 45.6	117	
1602	10.0	44 28.59	1	— 1 38 26.2	108	
1603	8.0	44 29.08	3	— 6 3 18.0	118	n

No.	Grösse	Rectascension 1880.0 h m s	Fäden	Declination 1880.0 ° ′ ″	Zone	Bemerkungen	No.	Grösse	Rectascension 1880.0 h m s	Fäden	Declination 1880.0 ° ′ ″	Zone	Bemerkungen
—	8.0	6 44 29.14	4	— 6 3 18.8	249		1641	9.0	6 49 5.03	3	+ 0 22 37.6	114	
1604	10.0	44 43.60	3	+ 0 3 54.8	6		1642	9.2	49 6.39	1	— 1 39 21.3	114	
1605	10.0	44 53.21	3	— 1 41 5.9	182	n	—	9.6	49 6.26	4	— 1 39 22.1	258	
1606	9.3	45 16.01	3	— 11 38 57.8	338	n	1643	9.2	49 11.89	3	— 6 39 23.6	118	
1607	8.2	45 17.73	5	— 1 49 15.1	110		1644	9.9	49 12.52	3	— 12 32 9.6	103	
1608	9.3	6 45 19.81	2	— 12 40 4.4	8	n	1645	9.5	6 49 33.01	4	— 1 22 55.3	5	
—	10.0	45 19.93	3	— 12 40 7.2	102		1646	10.0	49 44.22	3	— 1 6 5.4	183	n
—	10.0	45 19.64	3	— 12 40 6.5	103		—	10.0	49 44.29	2	— 1 6 4.3	259	s
1609	9.0	45 21.14	4	— 1 11 19.8	5		1647	10.0	49 48.24	1	— 11 19 33.1	8	
—	9.8	45 20.98	3	— 1 11 19.7	111	$AR.+1^{m}$ corr.	—	10.0	49 48.47	3	— 11 19 36.1	115	
1610	10.0	6 45 23.73	3	— 6 57 41.2	113	n	1648	10.0	6 49 49.06	3	— 12 7 39.8	102	
—	10.0	45 23.46	3	— 6 57 38.2	180		—	10.0	49 48.77	4	— 12 7 42.4	250	
1611	9.0	45 28.66	4	— 1 12 14.3	184		1649	10.0	50 2.25	1	— 12 3 57.3	106	
1612	9.0	45 30.31	6	— 13 5 33.0	185		—	10.0	50 1.93	1	— 12 3 55.0	253	
1613	9.0	45 34.17	3	— 6 0 9.9	118	n	1650	9.0	50 6.75	4	— 11 42 41.6	182	
—	9.0	6 45 34.12	4	— 6 0 13.7	259		1651	10.0	6 50 22.51	3	— 11 23 6.4	103	
1614	9.0	45 47.41	3	— 8 7 27.1	106		1652	8.3	50 34.04	4	+ 0 33 50.6	180	
1615	10.0	45 55.63	4	— 1 8 34.3	256	n	1653	9.8	50 46.03	3	— 11 35 52.1	107	
—	9.5	45 55.42	3	— 1 8 34.7	258		1654	9.8	50 46.25	1	— 12 41 59.5	103	
1616	9.0	46 16.43	3	— 1 16 12.1	114		—	9.0	50 46.59	3	— 12 41 58.2	117	
—	9.0	6 46 16.26	4	— 1 16 16.3	183		1655	10.0	6 50 49.59	4	— 12 49 11.2	338	n
1617	9.0	46 19.06	2	— 1 15 9.2	114		1656	10.0	51 0.39	1	— 0 58 30.7	3	s
—	9.0	46 19.19	3	— 1 15 10.1	182		—	10.0	51 0.46	1	— 0 58 31.7	6	
1618	9.5	46 23.06	3	— 12 44 0.2	102		—	10.0	51 0.33	4	— 0 58 29.9	7	
1619	8.8	46 26.28	4	— 9 23 22.9	117	n	1657	9.7	51 9.67	3	— 0 45 42.5	108	
—	9.3	6 46 26.27	4	— 9 23 24.5	250		1658	10.0	6 51 12.29	1	— 13 37 24.6	102	
1620	9.0	46 36.03	3	— 5 56 42.8	107		—	10.0	51 12.22	3	— 13 37 27.6	113	
1621	9.5	46 39.31	3	— 0 27 55.6	6		1659	9.2	51 17.89	4	— 1 8 12.1	183	
1622	10.0	46 43.25	3	— 15 7 49.4	103		1660	9.0	51 18.47	6	+ 0 1 44.8	5	
1623	8.6	47 2.94	4	— 12 10 3.4	338	n	1661	9.8	51 34.47	3	— 2 7 23.7	111	
1624	10.0	6 47 4.49	1	— 1 26 18.6	1		—	10.0	6 51 34.28	3	— 2 7 26.6	257	
—	10.0	47 4.58	2	— 1 26 21.9	259		1662	9.8	51 34.50	2	— 0 11 31.7	108	
1625	9.8	47 13.87	3	— 1 19 57.0	7		—	10.0	51 34.28	4	— 0 11 33.1	114	
1626	9.6	47 16.47	3	— 5 53 21.5	118	n	1663	9.0	51 44.18	4	+ 0 11 54.6	112	
1627	8.5	47 22.47	4	— 6 36 10.8	106		—	9.5	51 44.07	4	+ 0 11 52.8	258	
1628	8.7	6 47 25.19	3	— 11 34 51.3	185	n	1664	10.0	6 51 56.87	1	— 1 38 0.9	114	
—	9.0	47 25.09	5	— 11 34 49.9	253		—	9.8	51 56.77	3	— 1 38 1.3	115	
1629	10.0	47 25.97	2	— 1 31 53.8	114		1665	9.5	52 3.15	4	— 6 18 15.9	107	
1630	9.5	47 34.90	4	— 12 50 2.0	8		1666	9.3	52 11.32	3	— 12 9 46.6	338	n
1631	9.5	47 51.14	3	— 6 49 36.9	117		1667	9.5	52 24.24	4	— 12 48 2.9	117	n
1632	9.9	6 48 2.66	3	— 14 27 27.6	103		—	9.2	6 52 24.22	4	— 12 48 5.5	254	
1633	9.0	48 10.93	3	— 6 38 33.3	115		1668	9.3	52 28.22	3	— 0 18 1.3	112	
1634	9.0	48 11.43	1	— 6 46 39.2	115		—	9.5	52 28.14	3	— 0 18 1.9	182	
—	9.5	48 11.41	5	— 6 46 35.7	116		1669	9.0	52 32.24	1	— 0 50 19.1	111	
1635	9.0	48 20.02	3	— 13 2 20.6	113		—	9.0	52 32.13	4	— 0 50 18.2	180	
1636	9.5	6 48 45.32	4	— 1 35 25.7	6		1670	8.8	6 52 44.66	2	— 1 40 36.8	108	
1637	9.8	48 49.71	3	— 1 13 33.8	7		—	8.5	52 44.69	3	— 1 40 39.6	256	
1638	8.2	48 51.06	3	— 6 28 14.6	117		1671	9.2	52 48.55	4	— 1 12 42.6	183	
1639	10.0	48 55.71	3	— 0 52 48.1	112		1672	9.7	52 52.22	3	— 12 49 38.8	103	n
1640	10.0	49 2.64	1	— 12 59 37.4	113		—	10.0	52 52.21	4	— 12 49 40.3	250	

No.	Grösse	Rectascension 1880.0 h m s	Fäden	Declination 1880.0 ° ′ ″	Zone	Bemerkungen
1673	8.0	6 53 11.83	5	− 9 52 44.3	8	
—	8.0	53 11.81	4	− 9 52 45.3	259	
1674	10.0	53 14.49	3	−10 25 6.0	102	
1675	9.0	53 30.96	4	− 7 6 44.7	106	
1676	10.0	53 32.22	4	− 2 23 29.5	249	
1677	9.8	6 53 33.37	4	− 0 20 54.7	182	
1678	10.0	53 41.82	3	− 1 5 17.5	113	
1679	9.5	53 44.43	3	−12 42 25.9	117	n
—	9.0	53 44.40	4	−12 42 26.9	253	
—	8.8	53 44.52	4	−12 42 25.8	338	
1680	9.5	6 53 58.52	4	− 1 56 14.9	115	n
—	10.0	53 58.28	4	− 1 56 14.8	257	
1681	9.0	54 2.90	3	−12 50 19.6	103	n
—	9.0	54 2.91	6	−12 50 18.6	255	
1682	10.0	54 13.58	2	− 2 19 47.4	6	
—	10.0	6 54 13.67	2	− 2 19 46.5	111	
1683	9.0	54 16.49	4	− 1 25 4.4	183	
1684	8.0	54 19.95	4	− 2 16 0.3	7	
—	8.0	54 19.86	4	− 2 16 0.2	258	
1685	10.0	54 28.24	1	− 0 37 41.3	5	
—	9.7	6 54 28.21	3	− 0 37 41.3	108	
1686	10.0	54 38.38	4	− 0 39 36.0	107	
1687	9.4	54 48.18	3	−12 37 2.3	117	n
—	9.0	54 48.35	3	−12 37 2.9	254	
1688	9.0	55 0.88	3	− 6 45 38.8	182	
1689	8.0	6 55 7.44	4	− 0 51 45.9	180	
1690	9.6	55 7.62	3	−12 58 53.2	103	n
—	9.0	55 7.58	6	−12 58 51.9	256	
1691	9.2	55 13.13	4	− 1 59 13.2	115	
1692	10.0	55 25.55	2	− 0 57 10.6	106	n
1693	11.0	6 55 28.30	2	− 0 27 57.2	2	u
—	10.0	55 28.47	2	− 0 27 54.7	108	
1694	9.0	55 29.99	6	− 0 16 53.9	1	
—	8.3	55 30.06	5	− 0 16 54.5	114	
1695	9.5	55 37.25	4	− 0 38 22.3	111	
1696	9.0	6 55 38.34	3	+ 0 4 17.9	182	
1697	8.0	55 43.65	5	−11 3 46.9	8	
—	8.5	55 43.63	5	−11 3 46.7	259	
1699	7.8	55 47.60	4	− 1 10 28.3	3	
—	7.5	55 47.50	4	− 1 10 27.0	112	
—	6.6	6 55 47.52	4	− 1 10 29.7	113	
1700	8.5	55 54.42	4	−12 9 36.3	338	n
1701	9.6	56 6.75	4	−11 3 2.9	102	
1702	10.0	56 6.89	3	−12 31 41.6	117	n
—	10.0	56 6.89	2	−12 31 39.8	253	
1703	9.0	6 56 18.98	4	− 1 50 23.3	183	
1704	9.0	56 30.28	4	−10 59 50.2	103	
1705	9.5	56 40.21	5	− 0 54 43.3	249	
1706	9.5	56 42.04	3	− 1 38 51.5	5	
1707	10.0	56 48.57	3	− 1 24 42.2	6	

No.	Grösse	Rectascension 1880.0 h m s	Fäden	Declination 1880.0 ° ′ ″	Zone	Bemerkungen
—	11.0	6 56 48.45	2	− 1 24 42.5	112	
1708	8.0	56 48.64	4	− 6 44 56.6	9	n
1709	9.0	56 49.34	4	− 2 1 42.3	115	n
—	9.2	56 49.36	4	− 2 1 41.5	257	
1710	9.5	56 49.55	3	− 9 9 0.5	102	
1711	8.0	6 56 54.16	6	− 6 36 59.7	7	n
1712	8.5	56 54.36	4	− 1 51 27.4	4	
—	8.6	56 54.30	3	− 1 51 27.6	107	
—	9.0	56 54.24	3	− 1 51 30.3	110	
1713	10.0	57 7.21	1	− 1 53 56.2	108	n
—	10.0	6 57 7.07	2	− 1 53 56.7	256	
—	10.0	57 6.87	3	− 1 53 57.5	258	
1714	9.0	57 22.07	4	− 2 34 11.4	183	n
—	9.1	57 22.18	4	− 2 34 10.5	259	
1715	9.0	57 23.77	4	−10 56 36.8	8	
1716	9.5	6 58 28.29	4	− 0 57 44.9	111	
1717	10.0	58 41.37	6	− 1 29 41.5	2	
1718	10.0	58 41.67	3	− 0 52 0.0	115	
1719	10.0	58 41.89	4	− 0 30 23.9	180	n
1720	9.0	58 42.23	5	− 1 38 28.7	1	
—	9.0	6 58 42.05	5	− 1 38 27.9	257	
1721	8.7	59 3.62	7	− 0 41 8.7	4	
—	8.3	59 3.45	4	− 0 41 11.5	259	
1722	9.6	59 27.08	5	− 2 1 32.9	183	n
—	9.0	59 26.85	5	− 2 1 36.0	256	
1723	9.5	6 59 38.97	3	− 1 19 49.7	6	
1724	10.0	59 40.23	3	−11 6 34.9	117	n
—	10.0	59 40.14	3	−11 6 36.2	253	
1725	9.0	59 49.93	4	− 8 32 58.3	182	
1726	10.0	59 50.28	2	− 1 16 13.3	5	
—	10.0	6 59 49.80	1	− 1 16 8.9	108	
1727	9.8	7 0 13.30	4	− 0 40 55.5	106	
1728	10.0	0 24.26	3	− 1 28 22.1	107	
1729	10.0	0 34.28	3	− 0 50 16.0	110	
1730	9.0	0 43.77	2	− 8 53 1.6	113	
—	9.0	7 0 43.54	3	− 8 52 59.2	180	
1731	10.0	0 47.60	3	− 0 15 52.1	112	
1732	8.2	0 52.93	4	−11 21 16.3	338	n
1733	10.0	0 55.87	3	− 0 3 57.2	111	
—	10.0	0 55.81	3	− 0 3 58.8	257	
1734	9.8	7 0 57.04	2	− 0 40 36.6	106	
—	9.6	0 57.18	4	− 0 40 38.9	115	
1735	9.8	1 5.39	1	+ 0 0 51.0	106	
—	10.0	1 5.45	1	+ 0 0 50.9	112	
1736	8.4	1 11.62	4	− 9 36 51.8	8	
—	8.7	7 1 11.45	5	− 9 36 47.8	261	
1737	8.3	1 18.32	5	−11 8 34.7	117	n
—	8.0	1 18.15	4	−11 8 34.4	258	
1738	9.0	1 21.23	4	− 1 38 23.4	183	
1739	9.0	1 31.13	4	− 8 29 5.0	182	n

No.	Grösse	Rectascension 1880.0 h	m	s	Fäden	Declination 1880.0 °	′	″	Zone	Bemerkungen
—	9.5	7	1	30.81	4	— 8	29	5.8	256	
1740	9.0		1	53.56	3	— 8	53	14.4	180	n
—	9.0		1	53.45	5	— 8	53	12.1	250	
1741	9.0		1	57.90	4	— 0	56	40.6	2	
—	9.2		1	58.07	3	— 0	56	40.2	260	
1742	10.0	7	2	8.41	2	— 0	13	55.9	1	
—	10.0		2	8.29	3	— 0	13	59.1	111	
—	9.0		2	8.31	4	— 0	13	57.7	259	
1743	8.5		2	35.96	6	— 10	6	57.7	337	n
—	8.6		2	36.17	4	— 10	6	59.4	338	
1744	10.0	7	2	47.59	3	— 1	4	10.5	106	
—	10.0		2	47.46	2	— 1	4	12.8	258	
1745	10.0		2	52.03	4	+ 0	13	41.7	4	
—	10.0		2	52.16	3	+ 0	13	38.9	110	
1746	8.3		3	3.50	5	— 8	29	10.4	9	
—	9.0	7	3	3.40	3	— 8	29	14.3	113	
—	8.8		3	3.36	4	— 8	29	13.6	249	dpl. pr.
1747	10.0		3	38.63	4	— 7	30	42.9	183	
—	9.0		3	38.57	4	— 7	30	44.6	261	
1748	10.5		3	39.23	1	— 8	43	58.7	114	n
1749	8.6	7	3	41.76	3	— 10	27	57.4	338	n
1750	10.5		3	42.27	2	— 8	43	4.7	115	n u
—	10.0		3	41.81	2	— 8	43	5.7	182	
—	11.0		3	41.68	3	— 8	43	4.1	256	
1751	10.0		3	52.76	3	— 7	29	10.6	112	n
—	10.0	7	3	52.69	1	— 7	29	13.7	254	
1752	10.0		3	56.20	3	— 0	48	38.8	5	
—	10.0		3	56.43	2	— 0	48	38.5	111	
1753	9.0		4	4.09	3	— 8	59	3.0	180	n
—	9.0		4	4.17	4	— 8	59	5.3	253	
1754	10.0	7	4	11.33	4	— 0	39	46.6	106	
—	9.5		4	11.11	4	— 0	39	48.5	260	
1755	8.3		4	17.10	4	— 7	1	51.5	8	
1756	9.6		4	29.16	2	— 6	51	19.1	108	
—	10.0		4	29.31	3	— 6	51	20.7	113	
1757	9.8	7	4	30.09	5	— 1	42	48.0	2	
—	10.0		4	30.10	2	— 1	42	43.9	257	u
1758	9.5		4	59.24	1	— 6	39	27.7	180	
—	10.0		4	59.14	4	— 6	39	28.0	255	
1759	9.8		5	15.47	6	— 1	26	25.7	4	
1760	8.5	7	5	20.53	3	— 12	27	13.7	337	n
—	8.5		5	20.45	4	— 12	27	15.0	338	
1761	8.5		5	27.66	5	— 6	45	18.3	9	
—	9.0		5	27.96	2	— 6	45	19.4	112	
1762	8.0		5	28.29	3	— 8	56	14.3	182	n
—	8.0	7	5	28.38	4	— 8	56	14.9	250	
—	8.0		5	28.12	4	— 8	56	14.0	256	
1763	9.5		6	3.13	3	— 6	15	9.3	106	n
1764	10.0		6	4.60	2	— 10	19	0.7	338	n
1765	10.0		6	8.91	1	— 6	15	—	106	Decl. gesch.
1766	10.0	7	6	9.10	3	— 6	15	40.2	259	A n
1767	8.0		6	28.76	5	— 0	21	32.8	1	
1768	9.0		6	29.96	2	— 0	28	45.7	114	n
1769	9.5		6	35.73	5	— 7	2	0.3	108	n
—	9.0		6	35.51	4	— 7	2	3.1	260	
1770	9.0	7	6	41.65	3	— 6	34	17.3	180	n
—	8.8		6	41.74	4	— 6	34	17.0	261	
1771	8.7		6	44.91	5	— 9	57	19.9	8	
1772	8.8		6	47.60	4	— 10	47	21.7	183	n
—	8.5		6	47.55	4	— 10	47	25.5	184	
—	8.2	7	6	47.42	3	— 10	47	23.0	253	
1773	9.5		6	51.07	4	— 0	17	52.0	5	
—	10.0		6	50.84	3	— 0	17	52.1	113	
1774	9.0		7	4.23	4	— 9	30	11.1	182	n
—	9.2		7	4.25	3	— 9	30	10.4	254	
1775	10.0	7	7	25.23	3	— 6	3	54.5	9	
—	10.0		7	25.00	3	— 6	3	53.1	112	
1776	9.6		7	29.04	3	— 0	5	50.2	111	
1777	9.0		7	51.04	3	— 10	18	14.1	337	n
1778	9.0		7	53.17	3	— 10	17	14.5	338	n
1779	10.0	7	8	3.31	2	— 1	30	36.1	4	
—	9.8		8	3.28	1	— 1	30	36.4	112	
1780	10.0		8	7.42	3	— 0	45	48.2	114	n
—	10.0		8	7.17	2	— 0	45	46.5	255	
1781	10.0		8	15.13	3	— 5	59	14.3	106	n
—	10.0	7	8	15.07	3	— 5	59	16.5	256	
1782	8.0		8	19.50	4	— 10	14	40.0	183	n
—	8.0		8	19.23	5	— 10	14	43.8	184	
—	8.0		8	19.28	4	— 10	14	40.2	258	
1783	10.0		8	33.57	3	— 6	0	41.3	180	
—	9.5	7	8	33.61	4	— 6	0	45.3	261	
1784	9.2		8	52.20	3	— 10	5	12.8	338	n dpl. austr.
1785	8.8		8	53.38	3	— 6	25	52.2	8	
—	9.0		8	53.09	4	— 6	25	53.2	259	
1786	9.6		8	54.94	3	— 8	41	53.4	108	
—	9.5	7	8	54.93	4	— 8	41	56.4	260	
1787	9.4		9	4.97	3	— 8	39	5.6	112	
1788	9.5		9	7.32	5	+ 0	9	16.4	2	
1789	9.4		9	13.36	2	— 6	50	29.6	112	
1790	9.0		9	22.52	7	— 1	44	58.0	5	
—	10.0	7	9	22.76	4	— 1	44	56.7	11	
—	9.0		9	22.53	4	— 1	44	56.8	182	
1791	10.0		9	38.47	3	— 1	44	29.7	106	
—	9.0		9	38.55	3	— 1	44	30.2	180	
1792	10.0		9	59.29	2	— 1	3	15.6	1	f
—	9.6	7	9	59.60	3	— 1	3	13.3	111	
1793	10.0		9	59.76	3	— 0	55	17.0	114	n
—	10.0		9	59.52	2	— 0	55	18.1	256	u
1794	9.0		10	14.84	2	— 10	46	8.0	184	n
—	10.0		10	14.66	3	— 10	46	9.0	250	

No.	Grösse	Rectascension 1880.0 h m s	Fäden	Declination 1880.0 ° ′ ″	Zone	Bemerkungen
—	9.7	7 10 14.55	4	— 10 46 6.3	261	
—	9.5	10 14.86	4	— 10 46 5.8	337	
—	10.0	10 14.72	3	— 10 46 5.8	338	
1795	10.0	10 24.09	3	— 1 0 37.6	182	
—	10.0	10 24.23	3	— 1 0 36.6	260	
1796	10.0	7 10 54.20	3	+ 0 8 56.0	4	
—	10.0	10 53.99	2	+ 0 8 58.3	111	
—	10.0	10 53.90	3	+ 0 8 56.6	259	
1797	9.0	11 4.25	4	— 6 49 48.6	112	n
—	9.0	11 4.24	4	— 6 49 47.7	258	
1798	10.0	7 11 9.65	4	— 0 35 37.1	11	
1799	8.0	11 10.18	5	— 9 31 9.3	183	n
—	8.0	11 10.40	4	— 9 31 9.5	252	
1800	9.0	11 19.30	4	— 2 28 7.1	249	
1801	10.0	11 20.75	3	— 0 56 16.1	106	
1802	10.0	7 11 20.91	3	— 1 7 13.0	108	
1803	9.2	11 24.83	4	— 2 20 51.3	110	
1804	9.0	11 25.80	4	— 10 2 42.6	184	n
—	9.0	11 25.66	4	— 10 2 38.9	254	
—	9.0	11 26.08	2	— 10 2 38.2	337	
—	9.2	7 11 25.94	3	— 10 2 39.9	338	
1805	9.3	11 40.95	4	— 1 20 7.9	114	
—	9.0	11 41.05	3	— 1 20 12.0	182	
1806	9.3	11 49.09	6	— 0 38 30.2	5	
—	9.2	11 49.05	3	— 0 38 29.3	113	
1807	9.8	7 12 22.99	3	— 6 54 51.2	8	
—	10.0	12 22.87	3	— 6 54 50.8	112	
1808	9.0	12 27.68	2	— 10 26 36.8	183	n
—	8.0	12 27.62	5	— 10 26 37.8	253	
—	8.0	12 27.89	4	— 10 26 37.8	261	
1809	9.0	7 12 48.24	6	— 1 11 21.0	2	
—	9.4	12 48.33	3	— 1 11 16.0	111	
—	9.6	12 48.27	4	— 1 11 16.8	114	
1810	9.8	13 4.99	5	— 7 18 33.6	9	
—	9.6	13 5.02	4	— 7 18 32.6	260	
1811	9.8	7 13 6.41	3	— 0 55 42.0	106	
—	10.0	13 6.32	4	— 0 55 41.6	180	
1812	9.5	13 16.89	5	— 11 1 34.6	184	n
—	9.0	13 16.84	5	— 11 1 34.5	255	
—	9.3	13 16.97	4	— 11 1 31.8	337	
—	9.3	7 13 16.97	3	— 11 1 33.8	338	
1813	9.0	13 26.35	3	— 0 41 22.2	113	
—	9.0	13 26.48	4	— 0 41 21.1	259	
1814	9.5	13 35.64	4	— 7 30 38.6	11	
1815	9.0	13 42.55	3	— 10 17 53.9	183	n
—	8.5	7 13 42.62	4	— 10 17 52.1	252	
—	9.0	13 42.23	4	— 10 17 53.1	258	
1816	9.5	13 45.17	3	— 1 11 50.0	182	
1817	9.2	14 9.30	4	— 7 40 12.4	108	
1818	9.0	14 12.41	4	— 7 28 40.8	8	
1819	10.0	7 14 13.02	3	— 6 59 31.4	112	n
—	10.0	14 12.36	4	— 6 59 33.9	250	
—	10.0	14 12.61	4	— 6 59 31.3	338	
1820	8.4	14 26.04	4	— 1 30 14.1	114	
1821	8.0	14 29.28	4	— 0 59 4.9	180	
1822	10.0	7 14 37.59	3	— 1 18 56.5	182	n
—	10.0	14 37.54	4	— 1 18 54.4	256	
1823	9.0	14 55.73	3	— 10 44 14.6	183	n
—	9.7	14 55.44	3	— 10 44 16.2	184	
1824	9.8	14 59.27	4	— 7 14 56.5	9	
—	9.2	7 14 59.30	5	— 7 14 59.1	261	
1825	8.0	15 6.51	6	— 0 8 21.6	1	
—	9.5	15 6.43	3	— 0 8 19.9	113	
1826	10.0	15 19.23	6	— 1 17 6.1	2	
1827	9.7	15 21.07	6	— 1 15 22.9	4	
—	9.6	7 15 21.18	3	— 1 15 19.9	111	
—	10.0	15 21.—	—	— 1 15 22.6	182	u
—	9.5	15 20.99	4	— 1 15 22.3	260	
1828	9.5	15 26.01	4	— 0 16 25.5	5	
1829	9.8	15 41.90	3	— 6 58 39.5	108	
1830	10.0	7 15 47.90	2	— 10 6 50.2	337	n
—	9.2	15 47.87	3	— 10 6 50.6	338	
1831	11.0	15 53.—	—	— 1 16 24.2	106	n
—	11.0	15 52.57	2	— 1 16 20.9	259	u s
1832	8.0	16 8.85	4	— 1 38 39.9	11	
—	9.0	7 16 8.35	4	— 1 38 40.7	114	
—	8.8	16 8.30	4	— 1 38 40.7	255	
1833	9.2	16 14.85	5	— 6 24 42.6	8	
1834	9.5	16 34.00	3	— 0 28 24.6	111	
1835	10.0	16 34.98	2	— 1 20 17.6	112	
1836	10.0	7 16 56.01	2	— 0 14 29.2	112	
—	9.8	16 56.00	3	— 0 14 28.1	113	
1837	10.0	17 14.10	3	— 1 33 32.8	106	
—	10.0	17 14.07	4	— 1 33 31.8	114	
1838	9.0	17 14.74	4	— 10 18 52.7	183	n
—	9.3	7 17 14.72	4	— 10 18 53.7	252	
—	9.0	17 14.76	3	— 10 18 53.9	338	
1839	9.2	17 25.98	4	— 2 21 26.2	180	
1840	9.0	17 38.40	6	— 1 36 13.2	5	
1841	10.0	17 41.43	5	— 1 15 19.4	182	
1842	9.0	7 17 47.04	3	— 10 18 37.6	337	n
—	9.2	17 47.11	2	— 10 18 37.7	338	
1843	10.0	18 6.03	3	— 0 31 9.9	7	
—	10.0	18 5.69	3	— 0 31 9.3	256	
1844	9.0	18 8.84	3	— 6 49 2.3	249	
1845	9.5	7 18 12.75	6	— 2 21 35.1	4	
—	9.5	18 12.78	3	— 2 21 34.7	113	
1846	8.6	18 16.03	2	+ 0 58 36.9	106	
—	9.0	18 15.98	4	+ 0 58 37.8	258	
1847	9.0	18 17.15	3	— 12 45 10.3	183	n

No.	Grösse	Rectascension 1880.0 h m s	Fäden	Declination 1880.0 ° ′ ″	Zone	Bemerkungen
—	9.0	7 18 16.81	5	— 12 45 10.7	253	
1848	9.8	18 22.48	4	— 0 29 25.7	111	
1849	11.0	18 24.—	—	— 7 17 39.2	108	n s
—	11.0	18 24.56	3	— 7 17 39.4	261	
1850	9.7	18 27.32	5	— 7 37 24.9	250	
1851	10.0	7 18 36.04	3	— 7 37 18.9	180	n
—	10.0	18 36.26	3	— 7 37 22.0	254	u
1852	9.6	18 48.10	3	— 1 31 51.1	114	
1853	9.0	19 2.60	3	— 7 53 42.7	9	
1854	9.0	19 10.20	6	+ 1 25 55.8	1	
1855	9.5	7 19 17.25	3	— 2 19 5.5	11	f
—	10.0	19 16.87	3	— 2 19 3.5	112	
1856	10.0	19 36.76	2	— 7 19 33.5	108	
—	10.0	19 37.02	2	— 7 19 34.9	259	
1857	9.1	19 38.18	5	— 1 39 54.3	5	
1858	10.0	7 19 38.10	3	— 0 16 20.4	182	
1859	10.0	19 47.16	3	— 1 24 48.2	106	
1860	9.0	19 57.95	3	— 10 31 15.5	338	n
1861	10.0	20 1.44	1	+ 1 57 28.8	111	n
—	10.0	20 1.14	3	+ 1 57 28.4	114	
1862	9.8	7 20 10.53	3	+ 1 54 40.5	182	
1863	9.3	20 31.93	8	— 1 56 31.1	4	
—	9.1	20 31.81	4	— 1 56 32.5	113	
1864	8.5	20 51.09	1	+ 0 28 22.3	106	
1865	7.5	21 1.85	4	— 12 56 58.4	338	n
1866	9.6	7 21 8.51	2	+ 0 4 47.4	113	
—	9.5	21 8.36	4	+ 0 4 47.6	262	
1867	10.0	21 9.00	3	— 7 19 20.3	8	
—	9.5	21 8.92	4	— 7 19 21.4	261	
1868	9.2	21 23.86	4	— 0 29 1.3	249	
1869	9.5	7 21 58.44	5	— 7 16 18.4	9	
1870	8.3	22 6.75	4	+ 1 49 59.5	114	n
—	8.5	22 6.53	2	+ 1 49 59.0	260	
1871	9.2	22 21.26	4	— 7 18 12.7	11	
1872	9.0	22 25.12	5	— 0 55 55.5	1	
1873	10.0	7 22 28.87	4	— 10 42 10.5	183	n
—	9.0	22 28.79	4	— 10 42 13.2	184	
1874	9.8	22 37.75	3	+ 0 3 56.5	5	n
—	10.0	22 37.78	1	+ 0 3 55.9	259	s
1875	9.5	22 51.45	3	— 6 56 19.1	108	
—	9.0	7 22 51.52	4	— 6 56 20.6	261	
1876	9.8	23 6.56	3	— 6 27 9.4	7	
1877	10.0	23 29.65	3	— 10 48 14.3	183	n
—	9.2	23 29.31	4	— 10 48 14.2	253	
—	9.5	23 29.53	4	— 10 48 14.4	337	
1878	9.5	7 23 39.46	8	— 0 44 55.0	4	
—	9.0	23 39.32	3	— 0 44 54.6	106	
1879	9.0	23 46.61	4	+ 1 51 28.8	114	
1880	9.6	24 11.06	3	— 7 29 51.0	108	n
—	9.0	24 10.95	4	— 7 29 54.5	254	

No.	Grösse	Rectascension 1880.0 h m s	Fäden	Declination 1880.0 ° ′ ″	Zone	Bemerkungen
1881	10.5	7 24 15.34	2	— 2 25 1.6	2	
—	10.0	24 15.12	3	— 2 25 3.8	113	
1882	9.0	24 16.19	4	— 11 0 9.2	184	n
—	9.0	24 16.32	3	— 11 0 8.2	252	
—	9.0	24 16.42	4	— 11 0 9.1	338	
1883	8.8	7 24 21.11	5	— 6 24 42.5	8	
—	8.0	24 21.23	3	— 6 24 42.6	261	
1884	9.0	24 23.30	3	— 0 22 50.8	111	
—	9.0	24 23.18	3	— 0 22 52.3	260	
1885	10.0	24 39.92	2	— 1 31 50.2	5	
—	9.6	7 24 39.54	3	— 1 31 50.5	106	
—	10.0	24 39.53	3	— 1 31 50.7	262	
1886	6.5	24 56.01	5	— 1 54 50.5	11	
—	8.0	24 55.80	5	— 1 54 50.6	113	
1887	9.0	25 11.25	4	— 10 17 55.9	183	n
—	9.0	7 25 11.17	3	— 10 17 55.4	255	
—	9.0	25 11.19	3	— 10 17 54.5	258	
—	9.0	25 11.47	4	— 10 17 54.8	338	
1888	9.8	25 15.94	3	+ 0 5 8.9	111	
1889	10.0	25 17.82	3	— 1 8 49.4	7	
—	9.4	7 25 17.95	4	— 1 8 49.2	259	
1890	8.0	25 42.68	4	+ 0 42 38.0	114	n
—	8.0	25 42.57	5	+ 0 42 37.6	256	
1891	8.0	25 43.87	4	— 12 16 34.4	184	n
—	8.0	25 43.63	5	— 12 16 32.7	253	
—	8.3	7 25 44.12	5	— 12 16 32.6	337	
1892	10.0	26 7.56	4	— 0 55 50.1	4	
1893	8.0	26 11.60	3	— 0 7 58.9	11	
1894	9.5	26 27.68	6	— 6 19 16.1	9	
—	9.0	26 27.58	4	— 6 19 15.0	261	
1895	9.8	7 26 28.81	3	— 1 31 8.2	106	
1896	9.0	26 31.38	2	— 1 54 52.1	111	n
—	9.0	26 31.24	1	— 1 54 52.4	112	
1897	9.2	26 51.37	4	— 6 10 49.4	8	
1898	9.0	27 5.50	5	— 10 56 1.9	183	n
—	9.0	7 27 5.57	3	— 10 55 59.5	184	
—	9.0	27 5.58	3	— 10 55 59.7	337	
1899	8.5	27 9.40	6	+ 1 24 34.9	2	
—	9.0	27 9.13	3	+ 1 24 35.7	256	
1900	9.2	27 12.59	3	— 6 9 13.1	108	
—	8.7	7 27 12.77	4	— 6 9 15.1	260	
1901	10.0	27 39.99	5	+ 0 16 51.2	7	
—	10.0	27 39.87	3	+ 0 16 54.2	114	
1902	10.0	27 45.44	3	— 1 55 25.1	106	
—	10.0	27 45.27	3	— 1 55 26.5	259	
1903	10.0	7 28 1.48	3	— 2 34 35.1	113	n
—	10.0	28 1.27	3	— 2 34 34.1	258	
1904	9.3	28 6.88	3	— 6 22 10.4	9	
1905	9.0	28 13.91	3	— 12 56 —	184	n
—	9.5	28 14.09	5	— 12 56 30.7	252	

No.	Grösse	Rectascension 1880.0 h m s	Fäden	Declination 1880.0 ° ′ ″	Zone	Bemerkungen
—	9.0	7 28 14.20	3	— 12 56 29.6	337	
—	9.0	28 14.28	3	— 12 56 28.3	338	
1906	9.8	28 28.14	4	— 2 4 13.2	5	
—	9.8	28 28.00	4	— 2 4 14.5	11	
1907	9.0	28 35.48	4	— 6 38 6.1	108	
—	8.0	7 28 35.59	5	— 6 38 7.2	261	
1908	9.5	28 46.59	4	+ 1 51 19.8	4	
—	9.0	28 46.77	3	+ 1 51 21.1	111	
1909	10.0	29 5.98	2	+ 0 6 44.6	114	n
—	9.3	29 6.00	4	+ 0 6 43.0	256	
1910	10.3	7 29 10.49	3	— 0 54 52.2	2	
—	10.0	29 10.40	4	— 0 54 50.8	263	
1911	9.0	29 17.61	3	— 10 20 46.1	183	n
—	9.0	29 17.48	4	— 10 20 46.9	254	
—	9.0	29 17.72	3	— 10 20 46.9	337	
1912	9.8	7 29 35.25	4	— 2 50 25.8	113	n
—	8.6	29 34.75	2	— 2 50 22.7	258	
—	9.0	29 35.17	4	— 2 50 24.2	338	
—	8.6	29 35.02	4	— 2 50 25.2	339	
1913	9.8	29 39.02	5	— 7 31 13.2	8	
—	10.0	7 29 39.31	4	— 7 31 15.7	260	
1914	10.0	29 42.76	3	— 1 20 55.8	6	
—	10.0	29 43.13	1	— 1 20 53.1	7	
—	9.5	29 42.98	3	— 1 20 53.7	259	
1915	10.0	30 10.69	3	— 0 32 38.6	11	
1916	9.0	7 30 20.84	5	— 6 5 24.2	9	
1917	9.0	30 27.98	3	+ 1 49 6.3	106	
1918	9.0	30 29.79	3	— 12 10 11.5	337	n
1919	9.5	30 49.22	3	+ 0 16 34.3	112	
—	10.0	30 48.95	3	+ 0 16 32.9	182	
1920	7.0	7 31 24.85	1	— 1 46 10.1	182	
—	7.5	31 25.18	6	— 1 46 8.4	262	
1921	9.0	31 25.39	2	— 10 30 42.3	337	n
1922	10.5	31 36.97	3	— 1 42 43.5	115	
1923	10.0	31 50.18	3	— 0 44 24.8	112	
1924	8.0	7 31 54.17	3	— 7 27 31.5	113	
1925	8.8	32 8.93	4	— 1 39 23.3	11	
1926	10.5	32 58.61	2	+ 0 16 10.2	2	
—	10.0	32 58.37	2	+ 0 16 14.1	7	
1927	8.2	33 0.18	5	— 11 59 41.1	337	n
1928	10.0	7 33 12.61	3	— 1 26 20.0	112	
1929	10.0	33 39.96	3	+ 0 25 59.9	113	
—	9.5	33 40.12	5	+ 0 26 2.3	263	
1930	9.7	33 43.46	6	— 1 14 27.5	6	
1931	10.0	33 43.42	6	— 1 14 26.7	106	
1932	9.0	7 33 59.30	5	— 2 16 24.1	182	n
—	9.0	33 59.33	5	— 2 16 24.6	256	
1933	10.0	33 59.97	1	+ 0 23 20.2	112	n
—	10.0	33 59.96	4	+ 0 23 20.6	260	
1934	8.7	34 26.80	4	— 1 33 10.5	115	
1935	9.5	7 34 37.14	3	— 6 38 2.7	7	
—	9.6	34 36.79	3	— 6 38 3.7	114	
—	9.0	34 36.85	3	— 6 38 4.8	261	
1936	10.0	34 41.81	3	+ 0 9 43.3	4	f
—	9.5	34 41.71	3	+ 0 9 44.0	111	
1937	10.0	7 35 3.70	2	— 10 28 23.0	337	n
—	9.5	35 3.64	3	— 10 28 24.2	338	
1938	9.8	35 22.30	3	— 2 0 12.5	115	n
—	9.5	35 22.08	4	— 2 0 11.4	260	
—	9.7	35 22.36	4	— 2 0 11.4	263	
1939	9.0	7 35 29.03	4	— 10 7 19.0	183	n
—	9.3	35 29.16	4	— 10 7 19.2	252	
—	8.7	35 29.05	4	— 10 7 16.1	339	
1940	10.0	35 31.02	2	— 2 43 13.5	182	n
—	10.0	35 30.70	4	— 2 43 14.8	262	
1941	10.0	7 35 46.96	3	— 0 49 24.7	180	
1942	8.3	35 54.60	3	— 6 52 20.1	7	
—	8.2	35 54.65	5	— 6 52 15.4	108	
—	8.0	35 54.56	6	— 6 52 16.8	261	
1943	9.5	35 56.15	6	— 0 6 23.6	6	
1944	8.3	7 35 59.75	4	+ 1 4 9.9	11	
1945	8.0	36 0.56	2	— 10 30 34.2	183	n
—	8.0	36 0.50	4	— 10 30 33.5	253	
—	8.0	36 0.79	3	— 10 30 33.0	338	
1946	8.8	36 22.15	2	— 7 3 15.0	8	n
—	9.0	7 36 22.20	2	— 7 3 14.1	113	
1947	10.0	36 30.36	3	— 1 24 44.2	106	
1948	9.5	36 34.67	1	— 6 45 26.1	113	
—	10.0	36 34.60	3	— 6 45 23.3	114	
1949	9.5	36 48.39	3	+ 0 57 9.8	111	
—	9.3	7 36 48.30	4	+ 0 57 8.2	263	
1950	9.0	36 54.47	4	+ 0 59 19.7	4	
1951	10.0	37 17.53	4	— 1 13 26.0	115	
—	9.0	37 17.94	4	— 1 13 26.0	180	
1952	10.0	37 32.51	2	— 10 46 49.2	183	n
—	10.0	7 37 32.53	4	— 10 46 49.5	254	
—	10.0	37 32.55	3	— 10 46 47.4	261	u
1953	8.5	37 52.46	4	— 4 19 4.5	182	n
—	8.1	37 52.10	4	— 4 19 5.8	256	
1954	10.0	37 53.57	2	— 1 32 45.6	11	f
—	10.0	7 37 53.79	3	— 1 32 44.1	111	f
—	10.0	37 53.89	3	— 1 32 44.2	260	
1955	10.0	38 8.38	4	+ 1 13 35.7	106	
1956	9.2	38 14.32	3	— 10 47 16.2	337	n
—	9.0	38 14.60	3	— 10 47 16.0	338	
1957	10.0	7 38 15.18	4	— 0 19 24.5	108	
—	9.4	38 15.17	3	— 0 19 24.4	263	
1958	9.0	38 30.09	4	— 6 24 36.7	9	
1959	10.0	38 34.65	4	— 1 36 45.8	111	
1960	9.0	38 41.75	3	— 0 41 20.4	114	n

No.	Grösse	Rectascension 1880.0 (h m s)	Fäden	Declination 1880.0 (° ′ ″)	Zone	Bemerkungen
—	9.0	7 38 42.13	6	— 0 41 19.6	262	
1961	9.8	38 53.38	3	— 3 48 24.8	182	n
—	9.5	38 53.26	3	— 3 48 25.4	261	
1962	10.0	38 55.15	4	— 2 4 19.2	180	n
1963	9.0	39 8.38	3	— 6 9 17.1	113	n
—	8.7	7 39 8.48	6	— 6 9 15.9	252	
1964	9.9	39 28.93	4	— 1 49 17.2	6	
—	9.3	39 28.82	4	— 1 49 15.4	112	
1965	10.0	39 38.50	3	— 12 16 11.8	337	n
—	9.0	39 38.94	3	— 12 16 16.7	338	
1966	6.0	7 40 9.84	4	— 6 28 42.0	108	
1967	9.0	40 14.28	4	— 9 52 44.3	183	
1968	9.5	40 21.92	6	+ 1 21 22.7	4	
	8.8	40 21.93	4	+ 1 21 21.8	114	
1969	9.7	40 22.14	5	— 2 10 13.4	11	
—	9.8	7 40 22.23	3	— 2 10 10.6	111	
—	9.3	40 22.18	3	— 2 10 9.7	112	
—	9.0	40 22.21	4	— 2 10 13.7	180	
1970	10.0	40 30.45	4	— 3 44 13.7	182	n
—	10.0	40 30.12	3	— 3 44 13.9	256	
1971	9.7	7 40 30.50	3	— 0 37 37.2	115	
1972	10.0	40 35.69	4	— 2 22 54.1	263	n
—	10.0	40 35.55	4	— 2 22 54.9	339	
1973	10.0	40 50.13	3	— 10 48 44.5	337	n
—	9.0	40 50.03	3	— 10 48 45.1	338	
1974	10.0	7 40 53.55	3	— 2 24 53.7	106	
1975	9.7	41 16.14	3	— 3 55 57.7	182	n
—	9.2	41 16.41	3	— 3 55 55.3	260	
1976	9.0	41 23.90	3	— 10 35 8.5	183	n
—	9.3	41 24.08	4	— 10 35 6.8	261	
—	9.0	7 41 24.10	2	— 10 35 4.1	338	
1977	10.0	41 29.83	3	— 1 31 10.2	6	
	10.0	41 30.04	3	— 1 31 12.1	113	
1978	9.6	41 59.46	3	— 2 18 20.8	106	
—	9.5	41 59.42	4	— 2 18 19.0	180	
1979	9.0	7 42 4.05	3	+ 1 41 27.2	111	
—	9.0	42 4.09	4	+ 1 41 28.8	263	
1980	10.0	42 9.05	3	— 7 1 27.4	108	
1981	9.0	42 12.08	5	— 8 29 9.6	9	
1982	9.8	42 12.08	3	— 0 42 15.0	112	
1983	10.0	7 42 17.93	3	+ 0 9 24.8	113	
1984	10.0	42 27.62	1	— 1 22 39.3	111	
—	10.0	42 27.91	3	— 1 22 40.7	114	
1985	10.0	42 34.33	3	— 3 30 11.6	182	n
—	9.0	42 34.00	3	— 3 30 11.9	260	
—	9.7	7 42 34.26	4	— 3 30 13.0	339	
1986	9.8	42 36.74	3	— 9 39 6.3	115	
1987	10.0	42 49.10	3	— 10 22 41.2	184	n
—	9.0	42 49.32	5	— 10 22 39.7	252	
—	9.5	42 49.47	4	— 10 22 38.1	337	
1988	10.0	7 42 53.34	2	— 0 24 26.7	113	n
—	11.0	42 53.00	2	— 0 24 27.4	262	s
1989	10.0	42 59.93	4	— 0 8 56.4	4	
—	10.0	42 59.81	2	— 0 8 55.4	114	
1990	9.5	43 0.52	3	+ 1 53 38.9	112	
1991	9.8	7 43 28.61	4	+ 1 3 10.4	6	
1992	9.8	43 30.84	4	— 6 26 52.1	108	n
—	9.0	43 30.68	4	— 6 26 51.0	261	
1993	10.0	43 42.74	4	— 0 42 9.4	183	
1994	7.0	43 46.24	3	— 1 45 56.6	182	
1995	8.0	7 43 54.40	2	— 9 38 43.2	114	
—	8.0	43 54.51	4	— 9 38 43.5	263	
1996	10.0	43 55.24	4	— 9 54 7.7	115	
1997	9.5	44 8.90	2	— 11 37 26.6	337	n
—	9.2	44 8.94	4	— 11 37 28.6	338	
1998	9.3	7 44 24.39	3	— 1 39 59.9	112	
1999	9.0	44 25.10	3	+ 2 1 22.1	11	
2000	9.8	44 38.15	4	+ 0 9 49.6	7	
2001	10.5	44 43.85	1	— 0 40 25.9	115	n
—	10.0	44 44.—	—	— 0 40 33.9	260	u s
—	11.0	7 44 43.93	3	— 0 40 29.5	339	
2002	10.0	44 45.85	3	— 0 20 58.4	111	
2003	9.3	44 49.55	2	— 0 29 57.2	180	
2004	8.3	44 52.57	4	+ 0 58 38.9	4	
2005	9.5	45 8.95	3	+ 0 11 57.3	182	
—	9.0	7 45 8.88	5	+ 0 11 56.3	183	
2006	9.3	45 15.36	5	— 8 29 16.6	9	
—	9.5	45 15.48	3	— 8 29 15.1	108	
2007	9.6	45 53.41	4	— 6 39 32.4	113	
—	9.0	45 53.16	4	— 6 39 33.5	261	
2008	10.0	7 46 3.37	3	+ 0 27 34.4	106	
2009	8.0	46 33.28	4	— 10 27 11.3	184	n
—	9.0	46 33.26	6	— 10 27 11.3	252	
—	8.3	46 33.51	6	— 10 27 11.3	337	
—	8.5	46 33.46	4	— 10 27 11.6	338	
2010	9.5	7 46 34.49	3	— 6 53 51.6	108	
2011	10.0	46 36.92	3	— 1 28 4.4	11	
2012	10.5	46 40.06	3	— 1 28 46.6	111	n
2013	8.3	46 55.36	4	— 0 46 19.8	180	
—	9.0	46 55.39	3	— 0 46 19.8	182	
2014	8.6	7 47 9.92	5	— 12 42 1.0	339	n
2015	9.8	47 22.75	4	— 5 39 17.1	115	n
—	9.3	47 22.53	4	— 5 39 16.2	261	
2016	9.0	47 24.19	6	— 1 55 57.0	4	
—	9.0	47 24.23	3	— 1 55 55.2	112	
2017	9.3	7 47 25.48	6	— 7 44 9.8	9	
2018	9.8	47 28.74	4	+ 0 27 51.7	6	
2019	8.8	47 33.22	2	— 11 47 27.6	184	n
—	8.8	47 33.64	4	— 11 47 26.8	263	
2020	8.5	47 36.75	5	+ 1 14 51.1	7	

No.	Grösse	Rectascension 1880.0 h m s	Fäden	Declination 1880.0 ° ' "	Zone	Bemerkungen
2021	10.0	7 47 40.27	2	— 0 44 57.7	106	n
2022	9.5	48 3.03	1	— 0 46 —	106	
—	9.8	48 2.74	3	— 0 46 11.0	260	
2023	10.0	48 9.23	2	— 7 28 30.8	8	
—	10.0	48 9.58	3	— 7 28 32.2	113	
2024	8.5	7 48 21.59	2	+ 1 52 58.9	108	n
—	8.8	48 21.66	2	+ 1 52 59.8	111	
—	8.0	48 21.63	1	+ 1 52 57.1	180	
—	8.0	48 21.71	4	+ 1 53 0.1	182	
2025	7.8	48 30.88	4	— 1 5 54.1	11	
2026	8.0	7 48 38.93	3	— 9 28 22.2	114	
—	8.2	48 39.05	4	— 9 28 22.0	263	
2027	9.0	49 0.12	6	— 10 8 35.1	337	n
2028	9.0	49 3.58	6	+ 1 40 46.8	253	
—	9.0	49 3.73	6	+ 1 40 45.6	254	
2029	10.0	7 49 4.98	3	— 0 6 42.9	184	
2030	9.0	49 17.69	4	— 6 37 31.0	7	
2031	10.0	49 18.49	3	+ 0 1 21.4	6	
—	9.3	49 18.33	4	+ 0 1 23.0	112	
2032	9.7	49 39.68	4	— 5 43 3.4	115	n
—	9.5	7 49 39.35	4	— 5 43 3.4	261	
2033	10.0	49 58.48	4	— 0 1 41.7	111	
—	9.0	49 58.34	3	— 0 1 44.6	180	
2034	9.5	49 58.98	6	+ 0 21 8.0	4	
2035	10.0	49 59.28	4	— 3 1 24.9	182	n
—	9.5	7 49 59.14	3	— 3 1 22.0	260	
2036	10.0	50 2.67	5	— 1 26 18.4	252	
2037	8.5	50 13.52	3	— 9 28 48.7	113	
2038	6.8	50 21.17	2	— 12 17 41.2	184	n
—	6.0	50 21.46	2	— 12 17 37.5	261	
—	7.0	7 50 21.36	4	— 12 17 38.1	337	
2039	8.3	50 24.44	2	— 9 32 46.9	113	
—	7.5	50 24.54	4	— 9 32 45.7	263	
2040	9.8	50 31.26	3	— 1 55 40.1	11	
—	10.0	50 31.22	4	— 1 55 38.0	108	
2041	9.6	7 50 32.22	3	— 0 2 19.7	106	
—	9.7	50 32.15	4	— 0 2 19.5	262	
2042	10.0	50 39.87	2	— 0 2 9.-	106	n Decl. gesch.
2043	9.3	50 45.50	5	— 6 4 39.1	8	
2044	10.0	51 34.17	4	— 7 24 34.4	9	
2045	10.0	7 51 47.45	2	— 0 2 18.4	112	
—	10.0	51 47.72	2	— 0 2 17.3	260	
2046	9.8	51 57.45	3	— 1 47 7.7	111	
2047	10.0	52 6.81	3	— 0 25 22.3	114	
—	9.0	52 6.73	4	— 0 25 21.5	180	
2048	10.0	7 52 8.23	3	— 7 17 48.2	115	n
2049	9.8	52 8.65	2	— 7 18 31.6	8	
2050	9.7	52 10.27	2	— 8 25 37.3	113	
—	9.5	52 10.34	1	— 8 25 37.6	115	
2051	10.0	52 17.23	3	— 0 7 44.9	6	

No.	Grösse	Rectascension 1880.0 h m s	Fäden	Declination 1880.0 ° ' "	Zone	Bemerkungen
2052	10.0	7 52 20.68	3	— 7 22 33.8	108	
2053	9.4	52 25.69	4	— 1 58 7.2	119	
2054	10.0	52 26.50	1	+ 0 21 34.4	111	
—	10.0	52 26.32	2	+ 0 21 31.9	262	
2055	8.0	52 30.27	4	— 3 18 53.8	182	n
—	7.8	7 52 30.18	4	— 3 18 54.1	263	
2056	9.8	52 33.99	3	— 0 32 26.1	11	
2057	10.0	52 43.55	3	+ 0 57 9.1	4	
2058	8.5	52 53.14	5	— 12 38 33.9	184	n
—	8.3	52 53.28	5	— 12 38 33.8	261	
—	8.0	7 52 53.32	5	— 12 38 32.4	338	
2059	9.1	53 15.65	4	— 10 54 35.0	337	n
2060	10.0	53 28.29	4	— 2 1 28.0	106	
2061	10.0	53 36.78	3	— 1 29 40.5	180	
2062	10.0	53 36.87	3	— 9 5 57.6	114	
2063	8.5	7 53 40.62	5	— 10 9 26.0	339	n
2064	10.0	53 47.52	1	+ 0 53 5.9	7	
—	10.0	53 47.32	3	+ 0 53 7.1	112	
2065	10.0	53 48.84	3	— 0 15 11.3	108	
—	10.0	53 48.84	2	— 0 15 11.3	119	
2066	10.0	7 53 49.32	2	— 3 9 2.4	182	n
—	9.0	53 49.18	1	— 3 8 58.5	260	
2067	10.0	54 22.14	3	— 1 59 33.8	11	
—	10.0	54 22.69	3	— 1 59 35.0	111	
—	10.0	54 22.56	2	— 1 59 36.5	180	
2068	9.8	7 54 28.76	5	+ 0 53 40.3	6	
—	9.3	54 28.88	4	+ 0 53 41.2	263	
2069	9.5	54 30.89	4	— 10 4 45.4	184	n
—	9.0	54 31.04	3	— 10 4 45.5	261	
—	9.0	54 31.12	3	— 10 4 45.2	337	
2070	9.5	7 55 2.73	4	— 14 28 34.8	113	
2071	10.0	55 12.40	3	— 8 34 27.1	8	
2072	9.0	55 13.03	4	— 3 11 22.9	182	n
—	8.0	55 12.95	3	— 3 11 22.3	262	
2073	9.0	55 25.03	4	— 1 20 45.0	106	
—	10.0	7 55 25.01	3	— 1 20 42.4	119	
2074	9.8	55 32.12	3	— 14 10 47.7	114	
2075	9.6	55 46.29	3	— 12 53 41.4	184	n
—	9.0	55 45.96	4	— 12 53 40.2	261	
—	9.0	55 46.23	3	— 12 53 40.3	337	
—	9.0	7 55 46.11	4	— 12 53 41.8	338	
2076	8.0	56 0.18	4	— 1 57 2.7	180	
—	8.0	56 0.30	3	— 1 57 1.3	263	
2077	10.0	56 9.18	3	+ 0 4 16.1	6	
—	9.8	56 9.10	3	+ 0 4 15.5	112	
2078	8.0	7 56 34.27	3	— 2 56 3.1	182	n
—	8.0	56 34.08	5	— 2 56 3.7	260	
2079	9.8	56 39.86	6	— 1 30 58.7	7	
2080	9.2	56 41.60	4	— 1 47 37.1	5	
2081	8.0	56 42.93	5	+ 1 31 13.0	9	

No.	Grösse	Rectascension 1880.0 h m s	Fäden	Declination 1880.0 ° ' "	Zone	Bemerkungen
—	9.0	7 56 43.03	3	+ 1 31 14.1	111	
2082	10.0	56 49.24	1	— 0 35 45.0	4	d
—	9.8	56 49.07	2	— 0 35 45.6	11	
2083	9.6	57 6.38	4	— 0 48 20.8	112	
2084	10.0	57 7.63	3	— 10 45 59.8	338	n
—	10.0	7 57 7.09	4	— 10 45 58.8	339	
2085	10.0	57 8.55	3	— 1 18 19.8	108	
—	10.0	57 8.40	2	— 1 18 21.3	119	
2086	9.5	57 45.37	3	— 15 57 52.7	182	
2087	9.2	57 51.15	3	— 8 1 32.4	188	n
—	10.0	7 57 50.69	4	— 8 1 30.1	256	
2088	10.0	57 52.98	4	— 15 56 42.0	113	n
—	10.0	57 52.80	4	— 15 56 40.1	263	
2089	10.0	57 59.76	4	— 10 39 14.7	184	n
—	9.0	57 60.14	3	— 10 39 14.2	261	
—	9.0	7 57 59.75	4	— 10 39 10.7	337	
2090	8.5	58 28.98	1	— 16 0 17.4	113	
—	8.5	58 28.78	3	— 16 0 15.8	261	
2091	10.0	58 37.44	3	+ 0 13 31.7	108	
—	9.8	58 37.31	2	+ 0 13 28.7	119	
2092	10.0	7 58 38.34	3	+ 1 7 18.2	6	n
—	10.0	58 38.40	3	+ 1 7 20.2	111	
—	10.0	58 38.35	3	+ 1 7 18.6	180	
2093	8.5	58 53.42	5	— 6 52 11.8	8	
—	8.0	58 53.48	2	— 6 52 13.2	9	
2094	10.0	7 59 6.98	3	— 6 54 13.3	182	
2095	9.0	59 7.72	3	— 8 4 11.2	188	
2096	10.5	59 13.76	3	— 1 2 13.4	112	u f
—	10.5	59 13.42	1	— 1 2 13.4	114	
2097	9.9	59 23.48	3	— 1 53 59.1	11	
—	10.0	7 59 23.09	2	— 1 53 59.4	260	u
2098	10.0	59 47.40	3	— 1 25 9.5	108	
—	9.5	59 47.84	2	— 1 25 14.9	259	A
—	10.0	59 47.54	4	— 1 25 16.9	338	s
2099	8.5	59 54.92	5	— 10 58 57.1	337	n
2100	10.0	8 0 18.88	1	— 0 43 19.7	112	
—	10.0	0 18.67	1	— 0 43 21.4	184	
2101	10.0	0 23.88	4	— 1 58 14.1	111	
2102	9.0	0 25.43	4	— 16 3 31.4	115	n
—	8.5	0 25.49	5	— 16 3 29.8	263	
2103	9.7	8 0 36.68	3	— 6 52 53.0	187	n
—	10.0	0 36.68	4	— 6 52 51.1	261	
2104	10.0	0 37.19	2	+ 0 20 39.9	4	
—	10.0	0 37.03	2	+ 0 20 41.0	185	
—	9.3	0 36.82	4	+ 0 20 41.7	262	
2105	9.0	8 0 39.46	2	— 8 53 40.2	9	
—	8.5	0 39.72	3	— 8 53 41.5	186	
2106	6.0	0 40.51	2	— 8 54 8.8	186	f
—	6.5	0 40.57	4	— 8 54 4.0	256	
2107	10.0	0 41.20	5	+ 0 33 33.0	7	
2108	10.0	8 0 41.25	3	— 6 56 39.9	113	
2109	8.0	0 50.31	6	+ 0 28 50.7	180	
2110	10.0	0 59.85	1	— 6 37 51.4	187	
—	9.8	0 59.55	4	— 6 37 50.1	188	
2111	9.2	1 3.23	3	— 10 25 7.0	338	n
2112	10.0	8 1 3.83	3	— 1 7 54.3	11	
2113	9.2	1 26.40	3	+ 0 57 4.8	182	
2114	10.0	1 31.25	1	— 1 26 8.0	6	
—	10.0	1 31.25	1	— 1 26 7.0	119	
2115	10.0	2 6.40	3	— 6 13 32.0	113	
2116	8.5	8 2 7.53	6	— 6 38 13.1	8	
—	9.0	2 7.60	3	— 6 38 12.9	188	
2117	10.0	2 20.29	3	+ 0 0 15.5	112	
2118	9.0	2 23.79	1	— 8 9 23.7	113	
—	10.0	2 24.08	2	— 8 9 23.6	186	
—	10.0	8 2 23.69	3	— 8 9 23.7	261	
2119	10.0	2 28.11	3	— 1 21 5.0	111	
2120	10.0	2 39.98	4	— 0 24 38.0	256	
2121	8.8	3 9.04	9	+ 0 13 55.6	5	
2122	9.5	3 15.47	5	+ 0 28 2.1	7	
—	9.0	8 3 15.30	3	+ 0 28 2.5	182	
2123	9.0	3 20.41	3	— 1 19 33.6	11	
2124	10.0	3 20.79	3	— 15 57 30.1	115	n
—	10.0	3 20.77	4	— 15 57 26.6	263	
2125	9.5	3 32.64	1	— 0 14 48.2	256	
—	10.0	8 3 33.12	5	— 0 14 49.3	259	
2126	9.8	3 46.14	5	— 1 50 13.1	6	
—	10.0	3 46.02	3	— 1 50 11.9	112	
2127	8.3	3 49.54	3	— 6 33 21.1	187	
—	9.0	3 49.68	4	— 6 33 23.4	188	
2128	9.8	8 3 51.70	3	— 0 40 7.0	4	
2129	8.8	3 55.76	3	+ 0 2 20.4	182	
2130	11.0	4 17.06	3	+ 0 3 23.4	184	n u
2131	8.5	4 24.01	3	+ 0 23 8.0	11	n
—	10.0	4 24.36	3	+ 0 23 8.8	111	
2132	9.2	8 4 32.37	3	— 15 20 54.4	115	
2133	10.0	5 0.84	3	— 1 52 42.8	119	
2134	9.5	5 11.61	3	— 2 37 9.1	182	n
—	9.0	5 11.37	5	— 2 37 9.5	262	
2135	8.5	5 22.87	5	— 6 50 38.2	8	
—	8.0	8 5 22.71	4	— 6 50 38.9	261	
—	8.3	5 22.68	4	— 6 50 39.8	340	
2136	9.7	5 28.15	2	— 15 33 38.5	115	
2137	10.5	5 42.82	2	— 1 11 32.2	112	
—	10.5	5 42.45	3	— 1 11 31.0	263	
2138	11.0	8 5 45.92	2	— 0 6 33.7	111	u s
—	10.0	5 45.18	3	— 0 6 34.9	188	
2139	9.5	5 47.22	1	— 15 57 27.8	115	
—	9.5	5 46.64	3	— 15 57 27.0	187	
2140	8.7	5 52.38	3	+ 0 45 23.4	119	

No.	Grösse	Rectascension 1880.0 h m s	Fäden	Declination 1880.0 ° ′ ″	Zone	Bemerkungen
—	8.0	8 5 52.41	3	+ 0 45 17.1	185	
—	8.5	5 52.24	3	+ 0 45 21.0	256	
—	8.0	5 52.16	3	+ 0 45 18.9	259	u
2141	9.8	5 57.42	3	— 6 55 11.2	113	
—	10.0	5 57.42	3	— 6. 55 12.3	186	
2142	11.0	8 6 6.98	2	— 0 21 44.3	184	u
2143	10.0	6 40.48	2	— 0 28 13.0	4	f
—	10.0	6 40.27	3	— 0 28 9.5	188	
—	10.0	6 40.58	3	— 0 28 6.4	264	u
2144	9.5	6 45.57	3	— 1 10 58.9	256	
2145	11.0	8 6 59.09	2	— 6 43 56.3	113	
2146	9.1	7 9.32	5	+ 1 26 12.1	6	
2147	8.7	7 31.37	4	+ 2 20 50.9	5	
—	8.0	7 31.48	3	+ 2 20 55.3	117	
—	8.3	7 31.42	3	+ 2 20 54.4	260	
2148	9.5	8 7 47.67	3	— 0 5 34.7	7	
2149	8.2	8 33.48	4	+ 2 21 54.2	6	
—	8.3	8 33.28	3	+ 2 21 55.3	119	
2150	10.0	8 55.71	3	— 15 10 20.7	115	
2151	9.3	8 56.34	4	— 1 39 17.9	112	
2152	10.0	8 9 9.13	3	+ 2 28 27.6	1	f
—	9.0	9 9.25	3	+ 2 28 31.1	117	
2153	9.5	9 12.56	5	— 5 57 9.8	8	
2154	9.0	9 17.31	5	— 5 57 1.4	9	
2155	8.0	9 18.06	5	+ 2 23 46.1	4	
2156	9.6	8 9 22.56	4	— 7 32 46.0	188	n
—	9.5	9 22.54	3	— 7 32 44.1	261	
2157	9.0	9 52.09	6	+ 1 55 46.4	5	
2158	10.0	10 9.95	3	+ 0 9 42.6	182	n
2159	10.0	10 14.95	5	+ 0 9 20.7	256	
2160	10.0	8 10 18.80	3	+ 0 6 12.9	116	
2161	9.0	10 23.13	4	— 7 36 11.6	188	n
—	9.0	10 23.05	4	— 7 36 9.9	264	
2162	9.2	10 28.48	3	— 6 49 20.7	113	
2163	10.0	10 36.60	2	— 0 38 38.5	111	
2164	10.0	8 10 37.96	5	— 11· 11 49.0	186	n
—	9.0	10 37.86	4	— 11 11 47.7	259	
2165	10.0	10 39.31	3	— 1 27 35.2	112	
2166	9.2	10 40.57	4	— 15 19 8.9	115	n
2167	9.0	11 36.27	3	— 8 43 43.9	188	n
—	9.5	8 11 36.13	3	— 8 43 41.0	263	
2168	10.0	11 39.47	5	— 2 0 24.2	185	n
—	9.0	11 39.06	4	— 2 0 21.1	260	f
2169	10.0	12 6.76	4	— 6 50 13.4	8	
—	10.0	12 7.18	1	— 6 50 10.9	120	
2170	9.5	8 12 14.99	3	— 15 25 21.1	115	n
—	10.0	12 14.84	4	— 15 25 20.8	340	
2171	9.7	12 23.21	4	— 10 7 8.1	186	n
—	9.0	12 23.42	4	— 10 7 7.1	259	
2172	8.5	12 31.09	3	— 1 3 48.7	6	

No.	Grösse	Rectascension 1880.0 h m s	Fäden	Declination 1880.0 ° ′ ″	Zone	Bemerkungen
—	9.0	8 12 30.94	3	— 1 3 47.0	111	
—	9.0	12 31.02	3	— 1 3 45.6	117	
—	8.9	12 31.06	4	— 1 3 47.6	182	
2173	8.8	12 45.37	5	— 5 1 2.4	9	
—	9.0	12 45.37	4	— 5 1 5.2	190	
2174	9.5	8 12 48.24	2	— 7 31 15.9	188	n
—	9.4	12 48.45	3	— 7 31 12.2	264	
2175	10.0	12 49.45	3	— 0 57 23.9	112	
2176	10.0	12 54.40	4	— 7 9 25.6	113	n u
—	10.0	12 54.38	4	— 7 9 24.7	261	
2177	10.0	8 13 3.24	3	+ 3 12 16.5	116	
2178	9.5	13 21.28	6	— 2 18 48.4	7	
—	10.0	13 21.31	4	— 2 18 51.2	185	
2179	9.0	13 49.10	3	+ 0 35 33.8	1	
—	8.5	13 49.40	3	+ 0 35 34.0	117	
—	9.0	8 13 49.37	3	+ 0 35 31.3	184	
2180	9.2	14 7.34	4	— 15 8 0.9	115	n
—	8.5	14 7.44	4	— 15 7 59.0	263	
2181	9.0	14 12.77	3	— 1 12 35.0	6	
—	8.8	14 12.86	3	— 1 12 31.8	11	
—	10.0	8 14 12.81	3	— 1 12 32.1	119	
2182	9.7	14 16.72	5	— 9 57 15.2	186	n
—	9.0	14 16.65	3	— 9 57 15.6	259	
2183	9.7	14 20.68	4	— 2 15 22.9	185	n
—	9.0	14 20.55	4	— 2 15 22.4	256	
2184	9.9	8 14 22.59	3	— 7 10 5.1	8	
—	10.0	14 22.92	4	— 7 10 8.2	113	
2185	8.0	14 26.45	3	+ 3 2 32.9	116	
2186	9.8	14 30.24	4	— 1 2 46.7	5	
—	9.5	14 30.26	4	— 1 2 46.9	111	
—	9.2	8 14 30.13	2	— 1 2 48.0	112	
2187	8.0	14 35.85	4	— 6 14 58.0	120	
—	8.0	14 35.60	4	— 6 14 59.4	340	
2188	9.7	14 49.34	4	— 6 55 39.1	188	n
—	10.0	14 49.36	4	— 6 55 38.9	261	
2189	8.8	8 15 4.11	4	— 5 51 27.1	9	
—	9.0	15 3.94	4	— 5 51 28.2	190	
2190	9.3	15 40.25	2	— 4 4 11.7	120	n
—	9.1	15 40.15	5	— 4 4 12.5	262	
2191	10.0	15 44.31	3	— 7 22 13.9	113	n
—	10.0	8 15 44.20	2	— 7 22 14.1	263	
2192	10.0	15 46.25	4	— 1 15 52.1	182	
2193	9.0	15 50.15	4	— 2 32 55.9	185	n
—	8.5	15 49.78	3	— 2 32 53.2	256	
—	8.5	15 50.09	4	— 2 32 54.4	260	
2194	9.0	8 15 55.13	5	+ 0 13 14.1	184	
2195	8.3	15 57.27	3	+ 2 31 57.5	116	n
—	7.0	15 57.34	5	+ 2 32 0.0	264	
—	7.5	15 57.35	6	+ 2 31 59.6	339	
2196	8.2	16 1.02	4	— 9 35 5.9	186	n

No.	Grösse	Rectascension 1880.0 h m s	Fäden	Declination 1880.0 ° ' "	Zone	Bemerkungen
—	8.0	8 16 1.06	3	— 9 35 6.2	259	
2197	9.0	16 2.22	6	+ 2 5 27.2	6	
—	9.0	16 2.46	3	+ 2 5 28.9	111	
2198	9.2	16 3.06	4	— 15 2 55.4	115	
2199	9.0	16 14.96	4	— 6 26 35.3	191	n
—	9.2	8 16 15.02	4	— 6 26 35.7	340	
2200	9.3	16 15.78	5	— 0 32 36.2	119	
2201	9.5	16 21.87	3	+ 0 35 32.9	4	
—	9.6	16 21.71	3	+ 0 35 37.5	117	
2202	9.5	16 26.93	3	— 1 32 37.6	112	
2203	9.3	8 16 27.13	3	— 15 28 57.1	115	
2204	9.0	16 49.19	3	— 9 36 55.6	186	n
—	9.0	16 48.95	4	— 9 36 53.9	261	
2205	8.0	16 53.07	3	— 2 34 28.4	182	n
2206	9.8	17 21.21	2	— 15 44 54.5	115	
—	9.5	8 17 21.24	3	— 15 44 49.6	188	
—	10.0	17 21.40	2	— 15 44 52.3	265	
2207	9.0	17 31.24	4	— 4 2 20.6	120	n
—	8.5	17 31.26	3	— 4 2 21.3	263	
2208	9.0	17 31.48	4	— 2 33 2.8	339	n
2209	10.0	8 17 35.35	2	— 1 5 56.6	7	
—	9.8	17 35.26	2	— 1 5 55.2	11	
—	10.0	17 35.42	2	— 1 5 55.9	111	
2210	9.9	17 40.99	5	— 7 12 16.6	9	
—	9.6	17 40.97	4	— 7 12 17.9	190	
2211	8.0	8 17 41.36	5	— 6 28 11.3	8	
—	8.5	17 41.45	3	— 6 28 9.4	113	
2212	10.0	17 41.66	5	— 2 31 42.4	185	n
2213	10.0	17 47.37	2	— 6 32 57.0	116	
2214	10.0	17 49.08	2	— 6 32 15.9	121	n
2215	8.0	8 17 50.66	4	— 1 6 43.9	1	
—	8.0	17 50.45	3	— 1 6 42.7	119	
2216	9.0	17 53.42	3	— 9 34 51.0	186	n
—	8.5	17 53.39	3	— 9 34 47.2	261	
2217	9.0	17 58.02	3	— 2 34 15.6	182	n
—	8.3	8 17 57.80	5	— 2 34 12.8	264	
2218	8.0	18 5.73	4	— 6 52 41.8	192	
2219	7.5	18 26.15	4	— 0 45 20.5	256	
—	8.0	18 26.14	6	— 0 45 20.5	260	
—	8.0	18 26.20	6	— 0 45 20.7	340	
2220	9.0	8 18 28.63	3	— 15 24 37.7	188	
2221	9.3	18 56.13	3	— 5 56 29.3	120	
2222	9.0	19 0.10	2	— 15 10 34.1	188	
2223	8.0	19 5.10	4	— 15 4 21.2	115	
—	8.0	19 4.97	2	— 15 4 18.8	337	
2224	8.5	8 19 14.04	3	— 5 14 3.6	121	
2225	10.0	19 18.94	2	— 6 20 2.5	186	
—	10.0	19 18.77	4	— 6 19 58.5	192	
2226	10.0	19 33.52	3	+ 0 31 21.3	185	
2227	8.0	19 37.99	3	— 0 1 11.5	259	
2228	10.0	8 19 40.87	2	— 0 1 15.-	259	Decl. gesch.
2229	9.2	19 54.23	2	— 0 51 52.7	185	
—	9.0	19 54.19	4	— 0 51 54.2	256	
—	8.4	19 54.19	4	— 0 51 51.9	260	
2230	8.3	20 27.23	4	— 7 35 52.6	120	
2231	10.0	8 20 32.14	3	+ 2 49 19.2	116	
2232	10.0	20 46.20	2	+ 1 59 0.9	117	
2233	7.3	20 59.83	3	— 5 48 37.0	113	
2234	8.5	21 0.40	3	— 8 4 23.9	186	n
—	8.2	21 0.24	4	— 8 4 21.0	264	
2235	10.0	8 21 19.—	—	+ 2 50 4.3	1	
—	9.0	21 19.46	3	+ 2 50 5.7	182	
2236	10.0	21 19.98	2	— 0 28 49.2	190	
2237	10.0	21 22.24	1	— 2 2 47.2	120	
—	9.2	21 22.35	3	— 2 2 51.6	188	
2238	9.0	8 21 24.26	2	+ 2 50 0.-	182	f Decl. gesch.
2239	10.0	21 28.36	1	— 1 3 3.0	119	
—	10.0	21 28.29	3	— 1 3 5.7	192	
2240	10.0	21 46.48	1	— 0 56 6.1	11	
—	10.0	21 46.04	2	— 0 56 7.1	256	
2241	7.5	8 21 52.36	4	— 14 32 28.5	115	
2242	8.0	22 52.72	3	— 14 35 15.7	115	n
—	9.0	22 52.57	4	— 14 35 15.0	263	
2243	10.0	22 55.47	4	— 1 58 43.4	5	
—	10.0	22 55.53	3	— 1 58 43.9	117	
2244	8.0	8 22 57.51	4	— 7 8 48.8	192	
—	8.7	22 57.71	5	— 7 8 51.2	265	
2245	7.8	23 9.83	5	— 5 28 39.4	9	
—	8.0	23 10.08	3	— 5 28 41.9	121	
2246	9.0	23 12.40	4	+ 3 29 34.4	119	
2247	9.2	8 23 15.20	3	+ 0 23 1.9	182	
2248	9.2	23 33.98	3	— 5 37 9.3	113	
—	9.0	23 33.94	3	— 5 37 12.9	186	
2249	9.0	23 35.40	4	— 15 22 25.6	188	n
—	9.5	23 35.53	3	— 15 22 25.9	340	
2250	10.0	8 23 35.93	4	— 3 28 52.9	191	n
—	9.2	23 36.16	5	— 3 28 52.4	259	
2251	10.0	23 36.65	3	— 1 58 38.0	6	
2252	10.0	23 51.87	2	— 7 34 7.8	120	f
—	10.0	23 51.92	3	— 7 34 10.3	264	
2253	9.8	8 23 54.45	3	+ 2 13 0.5	11	
2254	10.0	24 3.95	3	— 9 51 8.2	190	n
—	10.0	24 3.77	3	— 9 51 5.8	263	
2255	8.0	24 15.35	4	— 1 58 47.9	185	d
—	8.0	24 15.18	4	— 1 58 47.9	260	
2256	10.0	8 24 27.44	3	+ 0 31 33.5	117	
2257	9.2	24 38.27	3	— 7 36 26.7	120	
2258	10.0	24 42.70	4	— 0 15 42.3	182	
2259	10.0	24 42.89	2	— 4 59 49.0	113	
2260	9.5	24 45.63	3	+ 1 7 13.9	4	

No.	Grösse	Rectascension 1880.0 h m s	Fäden	Declination 1880.0 ° ′ ″	Zone	Bemerkungen
—	10.0	8 24 45.42	2	+ 1 7 16.6	340	
2261	8.0	25 6.32	4	— 1 36 5.3	256	
—	8.0	25 6.95	4	— 1 36 6.3	339	
2262	10.0	25 13.68	2	+ 0 14 54.7	182	
2263	10.0	25 19.—	—	— 1 11 48.5	5	
—	10.0	8 25 19.80	2	— 1 11 49.9	11	
2264	9.5	25 26.72	3	— 9 31 0.9	190	n
—	9.0	25 26.64	3	— 9 31 0.2	263	
2265	10.0	25 30.77	6	+ 0 13 14.0	1	
2266	9.0	25 32.45	3	— 15 36 6.4	115	
2267	9.0	8 25 33.47	2	— 15 28 36.5	115	
—	9.0	25 33.71	3	— 15 28 34.6	188	
2268	8.0	25 36.81	2	— 5 40 56.6	9	
—	10.0	25 36.44	2	— 5 40 56.9	191	
2269	9.5	25 40.28	1	— 6 7 14.2	121	
—	10.0	8 25 40.24	4	— 6 7 12.3	186	
—	8.5	25 39.97	4	— 6 7 13.8	192	
—	9.7	25 40.23	4	— 6 7 14.3	265	
2270	9.2	25 46.41	3	— 5 54 52.9	113	
2271	9.5	25 55.74	3	— 6 15 49.8	260	
2272	10.0	8 26 5.54	1	— 1 35 23.6	6	
—	10.0	26 5.52	2	— 1 35 21.9	117	
2273	9.0	26 16.22	3	— 0 32 5.0	256	
2274	10.0	26 17.34	4	— 0 31 30.4	259	
2275	9.5	26 17.91	4	— 2 13 50.7	185	n d
—	9.0	8 26 18.02	4	— 2 13 50.3	262	
2276	10.0	26 30.30	3	— 7 1 41.1	113	
2277	10.0	26 35.83	3	— 0 56 35.1	182	
2278	8.0	26 39.25	3	— 5 29 34.2	191	n
—	8.0	26 39.42	4	— 5 29 34.4	264	
2279	9.0	8 27 1.52	4	— 6 10 21.8	192	n
—	10.0	27 1.52	3	— 6 10 20.0	263	
2280	10.0	27 14.51	2	— 0 10 43.4	117	
—	10.0	27 14.31	1	— 0 10 45.3	265	u
2281	8.7	27 31.09	4	— 7 30 23.5	188	
—	9.5	8 27 31.02	3	— 7 30 24.2	190	
2282	8.5	27 38.58	4	— 6 49 30.9	121	n
—	9.0	27 38.26	4	— 6 49 30.8	186	
—	9.0	27 38.52	5	— 6 49 30.4	339	
2283	9.0	27 58.99	3	— 5 37 7.2	191	n
—	9.0	8 27 59.17	5	— 5 37 8.0	264	
2284	9.7	27 59.82	3	+ 1 32 38.0	182	
2285	10.0	28 3.73	2	— 0 43 52.6	5	f
—	9.8	28 3.83	2	— 0 43 50.2	120	
2286	9.7	28 13.15	5	+ 1 10 51.0	6	
—	9.2	8 28 13.13	4	+ 1 10 53.1	340	
2287	9.7	28 17.60	3	— 15 49 25.6	115	n
2288	9.5	28 22.03	3	— 7 53 3.7	190	
22 9	9.8	28 29.54	3	— 5 27 56.5	9	
—	10.0	28 29.89	3	— 5 27 53.7	113	

No.	Grösse	Rectascension 1880.0 h m s	Fäden	Declination 1880.0 ° ′ ″	Zone	Bemerkungen
2290	9.0	8 28 31.64	5	— 6 10 45.0	192	n
2291	9.0	28 51.91	4	— 7 21 58.7	186	n
2292	9.5	29 7.68	3	+ 3 42 18.5	182	
2293	9.5	29 14.25	4	— 8 17 12.6	188	n
—	10.0	29 13.87	2	— 8 17 11.3	263	
2294	9.0	8 29 21.96	3	— 6 40 43.3	193	n
—	9.0	29 22.10	3	— 6 40 42.3	264	
2295	9.2	29 28.88	4	— 7 25 56.7	121	n
—	9.6	29 28.86	3	— 7 25 55.7	190	
2296	10.0	29 34.36	1	— 0 45 52.9	185	s d
2297	9.8	8 29 35.40	5	+ 1 13 54.1	4	
2298	10.0	29 40.30	3	— 6 33 52.2	191	
—	9.4	29 40.48	4	— 6 33 52.1	192	
2299	10.0	30 6.78	2	— 15 34 44.7	115	n
2300	10.0	30 19.98	2	+ 0 28 33.9	5	
—	9.0	8 30 19.77	4	+ 0 28 35.7	10	
2301	9.5	30 20.05	6	+ 1 57 46.5	6	
2302	10.0	30 20.69	3	— 6 35 35.6	193	n
—	10.0	30 20.94	2	— 6 35 33.8	265	
2303	9.7	30 31.27	3	— 7 24 39.5	9	
2304	9.5	8 30 32.05	1	— 1 33 7.7	120	
—	10.0	30 32.02	3	— 1 33 11.5	182	
—	10.0	30 31.72	4	— 1 33 11.2	262	
2305	10.5	30 39.88	1	— 1 1 49.8	117	
—	10.0	30 39.75	3	— 1 1 52.1	190	
2306	9.8	8 30 59.20	2	— 0 28 40.0	119	
—	10.0	30 59.08	1	— 0 28 42.6	185	d
2307	9.0	31 0.57	3	— 6 54 23.6	192	
2308	9.5	31 2.89	3	— 6 49 8.1	113	n dpl. pr.
—	10.0	31 2.73	2	— 6 49 7.2	186	
2309	10.0	8 31 3.68	4	— 6 48 46.9	188	dpl. seq.
2310	9.0	31 11.45	4	— 7 24 3.0	121	
2311	9.6	31 26.07	3	— 6 3 19.9	191	n
—	9.0	31 25.87	5	— 6 3 22.1	260	
2312	8.5	31 36.39	4	— 15 36 9.8	115	n
—	8.5	8 31 36.51	4	— 15 36 10.9	339	
2313	10.0	31 39.84	3	— 7 10 5.4	193	
2314	9.0	32 39.70	3	— 6 59 36.6	192	
2315	9.7	32 41.15	2	— 5 50 13.7	186	n
—	10.0	32 41.16	4	— 5 50 10.9	264	
2316	9.0	8 32 42.93	4	— 6 0 27.7	9	
—	9.0	32 42.94	4	— 6 0 29.7	113	
2317	10.0	32 52.44	3	— 1 43 58.5	120	
2318	10.0	32 54.10	1	— 0 10 11.5	5	
2319	9.0	32 55.82	3	— 5 45 12.1	121	
2320	10.0	8 32 57.53	2	+ 0 12 45.1	119	
—	10.0	32 57.86	2	+ 0 12 43.8	182	
2321	10.0	33 8.14	3	+ 2 12 38.7	117	
2322	10.0	33 8.63	3	— 4 9 26.2	188	
2323	10.0	33 10.06	2	+ 0 12 5.5	182	

No.	Grösse	Rectascension 1880.0 h m s	Fäden	Declination 1880.0 ° ′ ″	Zone	Bemerkungen
2324	10.0	8 33 14.86	3	+ 0 8 46.2	190	
2325	10.0	33 22.87	1	— 4 4 49.9	188	u dpl. aust.
—	10.0	33 22.89	2	— 4 4 45.4	191	[20″ Distanz.
—	10.0	33 22.78	2	— 4 4 47.1	260	
2326	10.0	33 24.74	1	— 0 6 55.3	190	
—	9.0	8 33 24.46	3	— 0 6 55.6	192	
2327	10.0	33 31.00	2	— 0 6 51.-	192	n Decl. gesch.
2328	9.0	33 37.21	4	— 15 36 41.2	115	
2329	9.5	33 43.14	3	— 7 46 54.7	193	
—	10.0	33 43.06	3	— 7 46 52.8	263	
2330	9.5	8 34 4.07	3	— 6 2 55.3	194	
—	10.0	34 4.19	1	— 6 2 55.2	264	
—	10.0	34 3.93	1	— 6 2 52.6	265	
2331	8.2	34 13.31	3	— 4 19 6.4	121	
2332	9.0	34 14.75	3	— 3 22 58.5	191	
2333	9.0	8 34 18.37	2	— 5 29 41.3	9	
2334	10.0	34 23.97	2	— 0 0 7.2	6	
2335	10.0	34 28.49	3	+ 0 13 50.2	117	
2336	9.5	34 38.09	4	— 3 44 15.7	193	
2337	9.7	34 43.62	3	— 4 32 25.4	194	
2338	9.5	8 34 48.66	4	— 0 24 9.7	119	
2339	10.0	34 53.54	3	— 1 25 4.6	182	
2340	9.0	34 55.77	4	— 4 27 17.3	256	
2341	8.7	34 56.16	3	— 3 44 53.6	121	
2342	9.5	34 59.12	1	— 4 21 33.6	191	
—	9.0	8 34 58.87	5	— 4 21 34.2	262	
2343	8.0	35 19.40	3	— 4 22 56.2	188	
2344	9.0	35 26.46	3	— 14 25 54.0	115	
2345	10.0	35 37.71	3	— 1 33 50.6	190	
2346	10.0	35 40.07	4	— 0 2 1.6	192	
—	10.0	8 35 39.97	2	— 0 2 2.4	263	
2347	7.7	35 43.10	4	— 6 10 58.9	186	
—	8.3	35 43.17	4	— 6 10 56.4	265	
2348	9.5	35 49.70	3	+ 0 43 31.1	120	
2349	10.0	36 19.25	1	— 4 18 10.4	113	
2350	9.0	8 36 32.14	5	— 3 31 51.8	9	
2351	9.5	36 45.20	3	— 15 36 48.4	115	
2352	9.0	36 46.57	3	+ 3 0 4.4	119	
2353	10.0	36 58.82	4	+ 2 26 11.8	256	
2354	10.0	36 58.87	2	— 4 7 48.9	121	
2355	8.8	8 37 6.35	3	— 15 33 22.5	115	
2356	10.0	37 8.65	4	— 5 21 16.0	193	n
—	10.0	37 8.73	3	— 5 21 17.0	194	
2357	10.0	37 15.51	3	+ 2 24 33.0	117	n
—	10.0	37 15.38	4	+ 2 24 29.6	190	
—	10.0	8 37 15.52	2	+ 2 24 34.7	264	
2358	10.0	37 29.72	1	+ 0 8 3.2	119	
—	10.0	37 29.75	3	+ 0 8 4.5	182	
2359	8.0	37 51.42	4	— 5 35 43.3	188	
—	8.0	37 51.33	5	— 5 35 44.3	265	

No.	Grösse	Rectascension 1880.0 h m s	Fäden	Declination 1880.0 ° ′ ″	Zone	Bemerkungen
2360	9.5	8 37 54.55	5	— 1 49 59.5	5	
2361	9.8	37 59.33	2	— 5 24 6.8	8	
—	10.0	37 59.27	3	— 5 24 6.9	113	
2362	10.0	38 11.14	1	+ 2 5 5.4	120	u
—	10.0	38 10.86	3	+ 2 5 6.4	192	
2363	8.3	8 38 17.43	3	— 15 31 20.2	115	
2364	8.0	38 22.65	3	— 4 39 45.3	121	n
2365	8.0	38 29.22	5	— 5 46 22.8	9	
—	8.3	38 29.14	5	— 5 46 27.8	186	
—	8.0	38 28.97	4	— 5 46 24.3	193	
—	9.0	8 38 29.04	4	— 5 46 19.9	263	
2366	9.5	38 32.87	4	+ 0 44 48.0	6	
2367	10.0	38 41.05	3	— 0 43 55.1	182	
2368	9.7	38 56.50	4	+ 0 45 21.8	117	
2369	9.0	38 59.90	4	— 6 5 35.8	188	
—	9.0	8 38 59.81	4	— 6 5 37.2	194	
2370	8.0	39 29.31	3	— 14 59 19.4	115	
2371	8.5	39 29.81	2	— 0 14 54.0	5	
—	8.0	39 29.74	6	— 0 14 54.0	7	
—	8.0	39 29.74	4	— 0 14 53.0	185	
—	8.0	8 39 29.76	3	— 0 14 53.6	190	
2372	10.0	39 31.62	3	— 7 46 29.3	15	
—	9.8	39 31.83	3	— 7 46 28.0	265	
2373	10.0	39 41.88	4	+ 1 30 1.1	192	n
—	9.5	39 41.95	4	+ 1 30 2.8	256	
2374	8.0	8 40 4.74	4	— 6 6 10.0	9	
—	8.0	40 4.81	2	— 6 6 14.4	121	
—	8.0	40 4.77	3	— 6 6 11.5	188	
2375	9.4	40 8.47	5	+ 3 59 24.2	119	
2376	9.7	40 8.56	3	— 1 50 22.5	117	
2377	10.0	8 40 13.54	4	— 7 8 52.3	191	n
—	8.0	40 13.53	5	— 7 8 48.0	264	
2378	10.0	40 16.79	3	— 5 43 12.9	113	
—	10.0	40 16.29	4	— 5 43 13.2	193	
—	9.7	40 16.61	4	— 5 43 12.9	260	
2379	9.0	8 40 22.03	3	— 5 34 18.7	8	
2380	7.1	40 26.31	1	— 5 58 25.1	113	
—	7.0	40 26.43	3	— 5 58 23.5	186	
2381	10.0	40 27.90	3	— 0 2 13.7	120	
2382	10.0	40 32.22	4	+ 0 9 45.1	122	u s
—	10.0	8 40 31.87	4	+ 0 9 45.8	263	
2383	8.0	40 37.40	5	+ 0 5 4.8	6	
2384	8.4	40 38.12	4	+ 1 31 24.4	192	n
—	9.0	40 38.12	5	+ 1 31 24.2	262	
2385	10.0	40 42.67	4	— 0 20 24.1	182	
2386	10.0	8 40 46.40	4	+ 2 13 3.7	185	
2387	9.8	40 48.41	4	— 9 47 18.3	115	
2388	8.0	41 5.60	3	— 6 19 11.3	194	
2389	9.0	41 23.76	3	— 5 33 45.8	15	
—	9.0	41 23.98	3	— 5 33 45.9	193	

No.	Grösse	Rectascension 1880.0 h	m	s	Fäden	Declination 1880.0 °	′	″	Zone	Bemerkungen
2390	9.0	8	41	26.50	2	— 5	27	53.9	121	
—	9.0		41	26.50	3	— 5	27	50.8	188	
2391	9.5		41	39.17	4	— 1	36	54.7	11	
—	10.0		41	39.08	3	— 1	36	57.9	190	
2392	10.0		41	58.18	3	— 6	23	18.8	113	
2393	8.0	8	42	7.87	8	+ 0	59	46.7	5	
—	7.5		42	7.96	3	+ 0	59	49.0	120	
2394	9.5		42	8.56	1	— 2	37	38.7	192	n
2395	10.0		42	8.82	2	— 5	58	47.5	186	
2396	10.0		42	16.28	3	— 0	51	26.3	117	
—	11.0	8	42	16.33	2	— 0	51	—	182	u s
2397	10.0		42	22.68	3	+ 0	26	8.9	10	
2398	10.0		42	23.65	2	— 5	14	17.7	9	
—	10.0		42	23.25	2	— 5	14	19.7	188	
—	10.0		42	23.69	2	— 5	14	15.6	264	u
2399	9.0	8	42	26.05	4	— 6	52	16.2	8	
2400	8.0		42	29.35	3	+ 1	23	4.7	7	
—	8.0		42	29.47	3	+ 1	23	3.7	119	
2401	10.0		42	29.83	4	— 9	4	48.3	115	
2402	10.0		42	49.90	1	— 9	14	58.9	191	
—	9.2	8	42	49.90	4	— 9	15	0.2	194	
2403	9.8		42	52.00	4	+ 1	23	6.7	122	
2404	10.0		42	52.36	4	— 0	14	23.1	185	
2405	8.7		43	4.67	2	— 2	40	36.5	256	
—	8.8		43	4.87	3	— 2	40	33.5	260	
—	9.0	8	43	4.79	4	— 2	40	35.4	265	
2406	9.5		43	13.90	3	— 2	40	2.9	192	n
2407	10.0		43	16.15	2	+ 1	57	15.8	193	
2408	9.5		43	20.90	3	— 8	22	48.2	15	
2409	7.5		43	24.51	3	+ 1	55	36.3	117	
—	7.5	8	43	24.72	5	+ 1	55	35.2	119	
2410	10.0		43	30.05	2	— 1	21	40.7	120	
—	9.3		43	30.13	3	— 1	21	45.1	190	
—	9.0		43	29.98	1	— 1	21	42.9	262	
2411	10.0		43	39.26	3	— 7	3	16.2	113	
2412	10.0	8	43	44.28	2	— 4	44	49.6	186	
2413	8.0		43	48.41	5	— 2	43	31.2	6	
2414	9.0		43	52.42	2	— 4	17	12.9	121	
—	9.5		43	52.31	4	— 4	17	—	263	
—	9.0		43	52.42	2	— 4	17	12.4	339	
2415	10.0	8	43	56.30	3	+ 0	0	42.6	182	
2416	10.0		43	56.32	3	— 6	10	44.0	188	
2417	10.0		44	13.38	4	+ 2	53	3.4	185	
2418	10.0		44	20.63	3	— 9	55	56.0	191	
2419	11.0		44	39.08	2	— 1	48	58.1	189	
—	10.0	8	44	38.90	3	— 1	48	58.7	192	
2420	10.0		44	41.10	2	— 1	27	33.8	190	
2421	10.0		44	45.49	4	+ 1	58	27.1	194	
2422	8.6		44	50.25	4	— 14	10	3.2	115	
2423	9.0		44	50.49	6	— 4	27	57.0	9	
2424	10.0	8	44	54.83	3	— 1	13	47.4	193	
2425	9.9		45	9.13	4	— 1	14	5.5	5	
2426	9.7		45	16.29	3	+ 4	2	37.3	119	
2427	8.1		45	17.81	5	— 5	19	36.5	8	
—	9.0		45	18.05	2	— 5	19	35.8	121	
2428	9.0	8	45	19.00	3	— 1	9	27.8	117	
—	9.5		45	19.04	3	— 1	9	28.3	182	
2429	9.3		45	40.00	2	— 0	34	40.5	185	
—	10.0		45	40.08	3	— 0	34	39.8	265	
2430	9.0		45	42.65	3	+ 0	12	51.6	120	
2431	9.5	8	45	46.72	3	— 1	46	4.7	6	
—	9.0		45	46.80	4	— 1	46	3.8	11	
—	9.0		45	46.42	2	— 1	46	4.7	192	
—	9.5		45	46.81	3	— 1	46	1.7	260	
2432	10.0		45	51.59	3	+ 0	19	16.2	7	n
—	10.0	8	45	51.65	4	+ 0	19	15.4	339	
2433	10.0		46	15.14	1	+ 1	54	42.3	122	
—	10.0		46	14.78	2	+ 1	54	40.7	191	u s
2434	8.5		46	24.75	4	— 5	51	42.2	15	
—	9.0		46	24.86	3	— 5	51	41.3	186	
2435	9.5	8	46	25.12	4	+ 4	5	54.3	119	
2436	9.9		46	26.25	3	— 0	12	45.1	117	
2437	10.0		46	26.95	1	— 6	27	38.0	113	
2438	9.0		46	33.18	3	— 14	36	49.9	115	
2439	10.0		46	45.67	4	+ 1	19	25.4	194	
2440	10.0	8	46	54.18	1	— 9	26	28.9	115	
—	10.0		46	54.33	1	— 9	26	32.2	188	u
2441	10.0		47	4.63	3	— 0	37	40.0	193	
2442	10.0		47	4.91	3	— 1	46	1.9	182	n
2443	8.6		47	6.22	4	— 3	49	18.0	8	
—	10.0	8	47	6.12	4	— 3	49	21.6	121	
—	9.0		47	5.99	2	— 3	49	21.7	186	
2444	10.0		47	6.40	1	— 0	16	21.0	5	
—	9.0		47	6.60	3	— 0	16	21.6	264	
2445	10.0		47	30.73	2	— 1	31	8.5	192	n
2446	9.5	8	47	41.11	3	— 0	5	34.2	6	
—	10.0		47	40.81	2	— 0	5	31.9	339	
2447	9.3		48	5.15	3	— 7	3	50.7	15	
—	10.0		48	5.47	1	— 7	3	54.4	186	
2448	9.8		48	5.61	3	+ 1	18	19.4	122	
2449	9.0	8	48	20.31	2	— 14	46	39.6	188	
2450	8.8		48	35.47	6	— 0	15	22.4	117	
—	9.0		48	35.29	4	— 0	15	23.7	191	
2451	10.0		48	42.89	3	+ 0	44	48.5	182	
2452	10.0		48	47.31	3	— 8	20	5.0	121	
2453	10.0	8	48	53.17	3	— 1	24	6.1	193	
2454	10.0		48	53.21	3	+ 0	35	46.9	10	
2455	9.2		48	53.46	3	+ 0	36	53.1	192	
2456	10.0		49	1.11	3	+ 1	11	27.4	194	
2457	10.0		49	16.19	2	— 0	25	29.8	191	

No.	Grösse	Rectascension 1880.0 h m s	Fäden	Declination 1880.0 ° ′ ″	Zone	Bemerkungen
2458	9.7	8 49 24.89	2	— 7 18 58.9	186	
2459	8.0	49 38.55	4	— 9 28 7.9	193	
2460	8.8	49 40.50	4	— 5 37 41.6	194	
2461	9.8	49 43.71	3	+ 0 47 58.5	182	
2462	9.8	49 46.13	3	— 15 41 33.4	115	
2463	10.0	8 49 55.16	2	— 5 27 45.9	121	
—	10.0	49 54.79	3	— 5 27 46.2	188	
2464	9.0	50 19.31	3	+ 2 51 6.9	117	
2465	8.3	50 35.54	4	+ 0 50 58.2	122	
2466	8.0	50 37.27	5	— 1 54 53.8	7	
—	9.6	8 50 37.07	3	— 1 54 49.8	120	
2467	9.4	50 43.32	3	— 15 42 7.2	115	
2468	9.0	50 44.34	3	— 0 21 44.2	189	
2469	10.0	50 56.51	3	— 4 51 4.0	186	
2470	9.7	50 58.52	4	+ 1 46 19.5	123	
—	9.0	8 50 58.48	3	+ 1 46 17.2	182	
2471	8.0	51 3.71	4	+ 0 59 45.0	119	
2472	9.0	51 18.41	3	+ 1 50 44.3	117	
2473	9.0	51 19.78	4	+ 0 15 3.3	190	
2474	9.6	51 28.73	3	— 8 59 49.0	113	
—	9.0	8 51 28.30	3	— 8 59 50.5	188	
—	9.6	51 28.55	2	— 8 59 52.1	265	
	9.3	51 28.57	5	— 8 59 48.9	266	
2475	10.0	51 30.18	1	+ 1 54 42.9	122	
—	10.0	51 30.50	1	+ 1 54 43.2	189	
2476	9.0	8 51 36.07	2	— 8 57 27.6	188	
—	9.0	51 35.92	4	— 8 57 25.4	261	
2477	9.5	51 37.78	3	— 5 13 17.2	121	
2478	9.2	51 49.10	5	— 8 18 8.6	191	
2479	9.0	52 5.87	1	+ 2 32 10.4	117	
—	9.0	8 52 6.06	4	+ 2 32 8.8	123	
—	9.0	52 6.04	3	+ 2 32 9.0	182	
2480	10.0	52 7.52	1	— 5 21 12.5	113	
2481	10.0	52 26.00	3	— 1 40 56.5	185	
2482	9.0	52 28.63	2	— 5 21 2.-	113	Decl. gesch.
—	9.0	8 52 28.80	2	— 5 21 1.5	186	
2483	6.0	53 6.20	3	— 15 40 34.1	115	
2484	8.0	53 14.96	5	— 22 29 8.4	18	n
2485	9.8	53 19.99	4	+ 4 6 1.8	119	
2486	7.5	53 23.46	5	+ 1 52 37.4	7	
—	8.7	8 53 23.51	3	+ 1 52 40.5	120	
2487	9.3	53 31.55	1	+ 1 52 36.8	120	n
—	9.2	53 31.52	3	+ 1 52 34.0	189	
2488	10.0	53 34.04	3	— 0 37 14.0	190	
2489	9.0	53 37.45	6	— 8 7 26.2	191	
2490	8.0	8 53 39.05	2	— 16 2 16.5	115	
—	7.5	53 39.15	5	— 16 2 16.5	261	
2491	9.1	53 47.84	3	+ 1 3 6.1	117	
—	9.0	53 47.85	4	+ 1 3 5.8	182	
2492	7.8	53 53.40	6	— 2 4 54.4	13	

No.	Grösse	Rectascension 1880.0 h m s	Fäden	Declination 1880.0 ° ′ ″	Zone	Bemerkungen
—	8.0	8 53 53.39	2	— 2 4 55.0	122	
2493	9.8	54 5.93	3	— 8 9 34.6	15	
—	10.0	54 6.41	3	— 8 9 34.9	186	
—	10.0	54 6.43	4	— 8 9 34.4	265	
2494	9.0	54 12.49	3	+ 2 9 4.1	123	n
2495	9.2	8 54 17.05	3	— 4 28 12.3	113	
2496	10.0	54 23.51	3	— 7 12 1.9	121	
2497	9.0	54 43.18	3	— 0 12 42.1	189	
2498	10.0	55 8.71	4	+ 1 48 26.5	117	
2499	8.0	55 11.69	4	— 2 5 27.1	5	
—	8.0	8 55 11.78	5	— 2 5 26.4	7	
2500	10.0	55 23.74	1	+ 0 51 57.4	120	
2501	10.0	55 24.28	4	— 1 59 41.0	192	n
2502	9.8	55 26.06	2	— 1 13 11.4	10	f
—	10.0	55 26.42	2	— 1 13 10.1	122	
2503	8.0	8 55 29.68	3	— 7 27 18.6	191	n
—	8.0	55 29.79	4	— 7 27 17.4	264	
2504	8.1	55 31.01	4	— 14 55 17.8	17	
2505	9.2	55 47.19	5	— 8 4 12.5	186	n
—	10.0	55 47.18	4	— 8 4 18.6	265	u
—	9.3	8 55 47.17	3	— 8 4 16.7	266	
2506	8.0	55 49.14	4	+ 3 44 59.9	119	
—	8.0	55 49.29	4	+ 3 45 2.1	182	
—	7.0	55 49.28	2	+ 3 45 0.4	189	
2507	10.0	55 51.23	1	+ 1 16 5.9	123	
—	10.0	8 55 50.84	3	+ 1 16 6.3	190	
2508	9.2	55 59.69	4	— 13 57 23.1	18	
—	10.0	55 59.83	3	— 13 57 18.4	115	
—	9.5	55 59.53	5	— 13 57 19.4	261	
2509	8.7	56 4.86	4	— 6 23 22.6	8	
—	9.0	8 56 4.84	4	— 6 23 20.3	188	
2510	9.0	56 15.83	4	— 5 26 23.6	15	
2511	10.0	56 28.09	3	— 4 7 37.2	113	
2512	10.0	56 30.00	4	— 4 11 58.5	121	
2513	10.0	56 33.36	2	— 1 13 9.7	185	
2514	10.0	8 56 54.18	1	+ 2 50 7.8	122	
—	10.0	56 53.96	2	+ 2 50 8.5	266	
2515	9.0	57 32.64	4	— 1 56 4.4	119	
—	8.7	57 32.69	4	— 1 55 59.8	120	
—	9.0	57 32.35	4	— 1 56 5.6	262	
2516	9.4	8 57 35.82	4	— 14 46 35.7	115	
2517	8.0	57 52.27	3	— 8 6 30.9	186	n
—	9.0	57 52.42	4	— 8 6 32.3	261	
2518	8.4	58 6.86	3	— 22 31 28.3	13	n d
—	8.5	58 7.12	1	— 22 31 29.3	115	
2519	10.5	8 58 10.98	3	— 0 16 27.6	117	
—	10.0	58 10.64	3	— 0 16 26.0	182	
2520	10.0	58 21.29	4	+ 0 31 51.3	260	
2521	9.8	58 21.57	3	— 8 53 47.6	8	
—	10.0	58 21.53	4	— 8 53 45.8	113	

No.	Grösse	Rectascension 1880.0 h m s	Fäden	Declination 1880.0 ° ′ ″	Zone	Bemerkungen	No.	Grösse	Rectascension 1880.0 h m s	Fäden	Declination 1880.0 ° ′ ″	Zone	Bemerkungen
—	10.0	8 58 21.64	3	— 8 53 44.7	188		—	8.6	9 3 5.07	3	— 5 15 4.4	14	
2522	10.0	58 24.02	2	+ 1 8 6.6	190		2553	9.5	3 18.02	3	— 7 45 23.1	113	
2523	10.0	58 25.59	3	+ 1 31 39.0	191	n	—	9.6	3 17.77	4	— 7 45 21.3	188	
2524	10.0	58 26.50	3	— 4 31 18.4	121	n	2554	9.5	3 21.13	2	— 2 5 21.1	5	
—	9.3	58 26.43	4	— 4 31 15.4	264		—	9.5	3 21.22	3	— 2 5 20.8	6	
2525	10.0	8 58 37.80	3	— 0 39 11.2	194		—	10.0	9 3 21.32	3	— 2 5 18.1	117	
2526	9.0	58 44.35	3	— 15 26 13.8	17		2555	9.0	3 21.58	4	+ 0 5 36.5	190	
2527	9.0	58 51.32	5	+ 3 25 11.0	185		2556	8.0	3 22.34	4	— 0 37 37.5	195	
2528	10.0	59 9.67	2	— 5 55 52.9	15	aAR.+1ˢcorr.	2557	8.0	3 30.60	3	— 16 16 22.9	115	n
—	10.0	59 9.66	4	— 5 55 51.3	186		2558	10.0	3 31.99	2	+ 1 48 5.5	18	
2529	9.4	8 59 10.17	3	— 12 32 34.8	18		—	10.5	9 3 32.20	2	+ 1 48 10.7	119	u s
2530	10.0	59 12.48	2	— 5 43 41.5	113		2559	9.0	3 37.72	4	— 3 51 54.3	8	
—	9.5	59 12.59	3	— 5 43 41.7	266		2560	8.0	3 54.20	4	— 0 35 12.1	189	
2531	10.5	59 22.52	2	+ 1 31 15.7	119	dpl. pr.	—	8.0	3 54.38	3	— 0 35 10.8	194	
—	10.0	59 22.18	2	+ 1 31 19.5	122		2561	10.0	4 5.42	3	— 3 41 36.2	121	
—	9.8	8 59 22.13	4	+ 1 31 16.8	192		2562	8.0	9 4 14.85	4	— 22 6 55.1	17	n
2532	10.0	59 23.00	1	+ 0 53 13.6	5		2563	10.0	4 20.60	3	— 11 53 22.1	196	n
—	10.0	59 22.52	2	+ 0 53 11.8	117		2564	10.0	4 34.09	3	— 6 42 59.6	113	
—	10.0	59 22.87	3	+ 0 53 11.9	182		—	10.0	4 33.91	3	— 6 43 1.8	186	
2533	10.5	9 0 2.14	2	— 5 42 51.7	121		2565	10.0	4 36.85	3	— 4 7 43.8	15	
2534	8.8	9 0 4.96	3	— 8 37 22.5	188	n	2566	9.5	9 4 42.33	3	— 1 21 14.6	6	
—	9.0	0 4.88	3	— 8 37 19.0	263		—	10.0	4 42.03	4	— 1 21 12.8	190	
2535	10.0	0 5.08	3	— 1 4 17.8	190		2567	9.4	4 55.35	1	— 8 24 5.6	121	
2536	10.0	0 11.67	4	— 8 55 36.8	261		—	9.0	4 55.35	4	— 8 24 4.7	188	
2537	10.0	0 36.40	1	+ 0 37 48.8	189		2568	9.0	5 1.08	3	+ 0 8 7.6	189	
—	10.0	9 0 36.67	3	+ 0 37 50.0	194		2569	9.0	9 5 13.06	3	— 3 25 56.5	14	
2538	9.8	0 40.15	3	+ 0 10 1.7	185		2570	10.0	5 14.63	1	— 0 57 3.2	18	
2539	9.2	0 44.19	4	— 15 38 15.7	17		—	10.5	5 14.62	1	— 0 57 3.9	117	
—	8.7	0 44.10	4	— 15 38 20.3	115		2571	7.6	5 19.54	3	+ 0 46 51.3	123	
2540	9.5	0 49.26	3	— 12 55 34.6	18		2572	10.0	5 26.41	3	— 4 44 50.9	194	
2541	10.5	9 1 1.56	3	— 0 43 3.7	262		—	11.0	9 5 26.48	1	— 4 44 49.3	265	a
2542	9.4	1 1.93	3	— 4 35 55.6	113		2573	9.0	5 46.39	5	— 1 44 41.2	195	n
—	8.2	1 1.80	3	— 4 35 54.6	185		—	9.0	5 46.25	4	— 1 44 39.1	263	
2543	9.0	1 8.32	6	— 3 28 22.4	8		2574	8.0	6 3.26	5	— 11 41 31.7	196	n
—	10.0	1 8.28	4	— 3 28 24.9	265		—	8.5	6 2.92	4	— 11 41 32.0	261	
2544	10.0	9 1 18.77	2	+ 1 40 3.0	190		2575	8.7	9 6 4.83	4	— 3 1 37.8	7	
—	9.5	1 19.21	3	+ 1 40 5.8	264		—	9.5	6 4.95	3	— 3 1 33.9	8	
2545	10.0	2 26.57	3	— 6 52 1.2	121		—	10.0	6 4.73	2	— 3 1 33.8	113	
—	10.0	2 26.45	3	— 6 51 59.8	186		2576	8.7	6 5.38	4	+ 3 45 5.8	13	
2546	8.0	2 50.02	5	— 14 39 14.8	263		—	8.5	6 5.06	4	+ 3 45 5.0	266	
—	7.8	9 2 50.05	5	— 14 39 18.1	265		2577	9.8	9 6 7.74	3	+ 0 3 18.8	119	
2547	9.0	2 50.98	3	— 16 24 33.7	115	n	2578	10.0	6 17.01	2	+ 0 21 16.4	189	
2548	9.3	2 51.48	4	— 0 13 42.4	189		—	10.0	6 16.72	3	+ 0 21 16.4	192	
2549	9.7	2 54.89	4	— 0 37 57.6	194		2579	9.8	6 27.53	3	— 12 52 40.3	17	A
2550	8.4	3 2.59	2	— 22 34 42.7	13	n	2580	7.8	6 29.33	3	— 6 26 19.5	185	
—	9.7	9 3 2.25	2	— 22 34 40.3	17		2581	10.0	9 6 40.94	3	— 9 31 52.9	115	
2551	7.7	3 4.12	6	— 10 16 12.5	261	n	2582	10.0	6 52.39	3	— 8 26 19.4	188	
—	7.0	3 4.42	5	— 10 16 10.3	264		2583	10.0	6 56.34	3	— 1 2 6.9	117	
—	7.3	3 4.38	6	— 10 16 10.7	266		2584	9.0	6 59.10	2	+ 2 27 18.0	122	
2552	8.5	3 5.35	5	— 5 15 6.0	7		2585	10.0	7 11.34	2	— 4 10 22.6	14	

No.	Grösse	Rectascension 1880.0 h m s	Fäden	Declination 1880.0 ° ' "	Zone	Bemerkungen
—	9.7	9 7 11.39	4	— 4 10 21.7	15	
2586	9.0	7 23.05	4	+ 0 55 49.9	263	
2587	9.0	7 49.03	3	— 13 48 7.4	261	
—	9.0	7 49.35	5	— 13 48 10.0	265	
2588	9.8	7 58.85	1	— 14 1 57.8	18	n
2589	10.0	9 8 1.22	3	+ 0 27 44.9	195	
—	9.0	8 1.29	3	+ 0 27 47.1	264	
2590	11.0	8 23.06	1	— 1 6 2.2	195	u s
2591	9.3	8 25.19	3	— 7 46 51.2	194	
2592	9.0	8 28.23	5	— 4 10 27.5	262	
2593	9.0	9 8 29.55	3	— 21 34 41.6	196	n
2594	9.3	8 31.55	3	— 3 0 46.4	15	
2595	7.8	8 34.04	4	+ 4 42 28.3	13	
2596	8.0	8 36.90	4	+ 4 56 18.8	119	
2597	9.0	8 48.32	3	+ 0 26 22.5	264	
2598	9.5	9 8 49.30	4	+ 1 31 40.2	122	
2599	8.0	8 59.79	5	— 14 27 2.4	115	
2600	8.5	9 25.44	3	— 6 26 19.3	14	
2601	10.0	9 29.92	3	— 7 29 53.4	121	
2602	9.4	9 33.13	3	— 7 20 39.7	113	
—	8.0	9 9 33.03	3	— 7 20 43.6	194	
—	9.5	9 32.91	3	— 7 20 40.2	263	
2603	10.0	9 39.66	1	— 0 51 46.4	190	
—	9.0	9 39.15	3	— 0 51 45.2	192	
2604	9.5	9 52.80	3	+ 2 12 44.8	123	
2605	7.0	9 9 56.72	4	— 12 37 54.6	196	
2606	8.1	10 8.44	3	— 4 22 4.9	8	
2607	10.0	10 15.31	3	— 6 9 9.5	188	
2608	9.8	10 24.73	3	— 5 30 30.7	15	
2609	9.3	10 25.09	4	+ 1 5 17.6	189	n
—	9.0	9 10 25.10	3	+ 1 5 18.8	269	
2610	7.3	10 26.65	4	— 21 1 6.4	16	n
2611	10.0	10 31.23	3	— 1 40 23.5	195	n
—	10.0	10 31.06	2	— 1 40 23.0	263	
2612	10.0	11 11.82	4	— 8 43 53.6	13	
—	10.0	9 11 12.01	3	— 8 43 47.3	121	
—	10.0	11 11.74	3	— 8 43 49.5	261	
2613	10.0	11 12.37	3	+ 0 47 25.8	117	
—	9.3	11 12.34	4	+ 0 47 25.3	122	
2614	9.5	11 17.53	4	— 1 17 40.0	264	
2615	9.0	9 11 18.80	3	— 14 59 —	17	n
—	9.0	11 18.94	5	— 14 59 7.4	266	
2616	10.0	11 19.43	3	— 1 14 25.2	119	
2617	8.0	11 22.42	3	— 15 0 23.5	17	
2618	10.0	11 24.93	4	— 0 55 19.2	189	
2619	9.0	9 11 24.94	2	— 21 5 17.8	16	n
—	9.0	11 25.21	1	— 21 5 15.5	196	
—	10.0	11 25.03	1	— 21 5 —	269	u
2620	9.0	11 40.83	3	— 6 57 40.9	191	
	8.2	11 40.61	5	— 6 57 41.4	194	

No.	Grösse	Rectascension 1880.0 h m s	Fäden	Declination 1880.0 ° ' "	Zone	Bemerkungen
2621	9.0	9 12 4.43	2	— 0 6 19.5	190	
2622	10.0	12 5.62	3	— 0 6 5.2	190	
2623	10.0	12 18.07	4	— 3 13 55.9	195	n
—	9.5	12 18.02	2	— 3 13 56.5	262	
2624	10.0	12 20.91	3	— 6 53 33.8	113	
2625	10.0	9 12 34.49	4	— 6 42 19.4	8	
—	10.0	12 34.50	3	— 6 42 18.7	188	
2626	9.2	12 44.97	4	+ 0 55 52.4	5	
—	9.3	12 44.99	4	+ 0 55 51.8	192	
2627	10.0	13 2.24	3	+ 0 18 17.1	117	
2628	8.1	9 13 2.71	3	— 21 6 7.1	17	n
—	9.0	13 3.26	2	— 21 6 8.1	196	
—	9.0	13 3.05	3	— 21 6 4.5	269	
2629	10.0	13 7.58	4	— 0 24 49.0	119	n
2630	8.0	13 9.88	4	— 6 0 10.7	194	
2631	9.8	9 13 28.16	3	— 3 12 3.6	195	n
—	10.0	13 28.15	4	— 3 12 2.6	263	
2632	8.5	13 29.05	6	— 7 50 57.7	191	n
—	8.0	13 28.85	4	— 7 50 57.4	261	
2633	9.7	13 40.59	4	— 7 23 50.7	15	
—	9.0	9 13 40.44	3	— 7 23 49.9	188	
2634	9.0	13 59.93	4	— 1 28 38.3	122	
2635	9.0	14 8.50	3	+ 1 13 44.8	192	n
—	8.5	14 8.53	4	+ 1 13 46.7	266	
2636	9.8	14 22.91	2	— 7 52 11.3	13	
—	9.0	9 14 22.54	2	— 7 52 8.6	194	
2637	10.0	14 23.15	3	— 5 28 51.4	113	
2638	11.0	14 26.39	3	— 7 46 51.7	121	
2639	10.0	14 34.53	2	+ 1 54 51.9	14	
—	10.0	14 34.87	3	+ 1 54 52.5	189	
2640	9.0	9 14 39.69	3	— 8 22 45.1	198	n
—	9.0	14 40.02	4	— 8 22 46.9	265	
2641	9.0	14 44.87	3	— 7 11 28.0	191	n
—	9.0	14 45.10	4	— 7 11 26.2	263	
2642	9.0	14 48.70	4	— 20 51 9.0	196	n
2643	10.0	9 15 12.56	3	— 0 23 20.7	119	
—	10.0	15 12.51	3	— 0 23 19.2	264	
2644	8.5	15 12.72	5	+ 4 27 25.3	7	
2645	10.0	15 22.50	3	— 3 44 18.9	195	n
—	9.5	15 22.80	2	— 3 44 17.3	266	
2646	10.0	9 15 23.76	3	+ 2 25 37.8	122	
2647	10.0	15 25.96	3	+ 1 12 52.7	192	n
2648	10.0	15 57.51	2	— 1 14 48.5	189	
—	9.0	15 57.55	4	— 1 14 44.4	269	
2649	9.2	15 58.59	4	— 7 54 3.0	121	n
—	8.5	9 15 58.54	3	— 7 54 0.8	194	
2650	10.0	16 7.91	3	— 2 37 51.6	195	n
—	9.0	16 7.84	4	— 2 37 51.3	262	
2651	9.8	16 19.06	3	— 6 3 0.7	191	n
—	10.0	16 19.18	3	— 6 2 57.5	261	

No.	Grösse	Rectascension 1880.0 h	m	s	Fäden	Declination 1880.0 °	′	″	Zone	Bemerkungen
2652	9.5	9	16	38.91	3	— 14	57	50.1	16	n
—	9.2		16	38.74	4	— 14	57	48.1	196	
2653	9.5		16	42.18	1	— 21	1	33.7	18	n
2654	10.0		16	47.61	2	+ 0	53	34.9	14	
—	10.0		16	47.88	3	+ 0	53	34.9	192	
2655	9.0	9	16	55.72	3	— 15	2	8.9	17	
—	9.5		16	55.77	3	— 15	2	9.4	263	
2656	9.5		17	2.78	3	+ 1	24	9.8	5	
2657	8.5		17	46.70	4	+ 4	48	13.3	13	
2658	7.5		17	51.82	3	— 15	17	20.8	196	n
—	8.0	9	17	51.65	4	— 15	17	18.7	263	
2659	9.2		17	55.33	3	+ 1	5	31.9	189	
2660	8.3		17	55.95	5	— 4	1	11.5	8	
—	10.0		17	55.79	5	— 4	1	13.3	195	
2661	10.0		18	4.09	2	— 8	32	49.7	121	
—	10.0	9	18	3.60	3	— 8	32	50.9	194	
2662	10.0		18	6.16	2	— 0	35	20.3	122	
—	10.0		18	5.70	2	— 0	35	18.5	192	
2663	8.0		18	8.12	7	+ 5	16	43.9	7	
2664	9.0		18	28.82	3	— 8	55	48.2	191	n
—	9.0	9	18	28.51	3	— 8	55	45.5	261	
2665	9.0		18	32.54	2	— 8	53	52.4	191	
—	9.0		18	32.52	3	— 8	53	53.6	264	
2666	9.3		18	43.38	4	— 11	34	44.5	17	
2667	10.0		18	51.81	3	— 6	20	38.3	194	
2668	8.0	9	18	51.83	4	— 3	45	59.9	113	
—	8.0		18	51.66	6	— 3	45	59.1	265	
2669	7.5		19	0.09	4	— 22	24	0.1	18	n
2670	9.0		19	13.38	3	— 11	33	50.0	196	
—	10.0		19	13.33	2	— 11	33	48.5	263	
2671	9.0	9	19	21.92	1	+ 1	29	17.5	122	
—	9.0		19	21.52	1	+ 1	29	15.7	192	
—	9.0		19	21.80	4	+ 1	29	15.7	266	
2672	10.0		19	31.86	4	+ 1	36	13.9	189	
2673	9.0		19	59.78	3	— 11	42	39.7	196	
2674	10.0	9	20	4.10	3	— 6	56	58.9	198	
2675	9.8		20	12.28	3	— 4	26	40.6	194	
2676	8.0		20	19.82	4	— 22	17	46.3	16	n
2677	8.5		20	31.70	3	— 12	1	8.3	261	
2678	9.0		20	32.35	3	— 11	58	16.1	261	
2679	9.3	9	20	34.36	4	— 7	6	29.5	121	
2680	9.0		20	37.15	3	+ 0	9	47.6	190	
2681	8.0		20	45.78	4	— 1	58	58.7	192	
2682	10.0		20	48.41	3	— 7	32	54.1	191	
2683	9.0		20	49.35	3	— 2	43	31.0	195	
2684	9.0	9	20	52.10	2	— 9	33	49.2	196	
—	8.5		20	52.25	4	— 9	33	48.0	264	
2685	9.0		21	3.58	3	+ 1	49	34.9	263	
2686	9.7		21	21.23	3	— 7	30	57.8	198	
—	9.5		21	21.13	1	— 7	30	53.0	263	

No.	Grösse	Rectascension 1880.0 h	m	s	Fäden	Declination 1880.0 °	′	″	Zone	Bemerkungen
2687	8.3	9	21	26.24	3	— 4	55	3.7	194	
2688	9.0		21	32.40	3	+ 1	26	43.7	195	
2689	9.8		21	35.42	1	— 7	14	37.5	198	
2690	8.7		21	42.18	2	+ 1	52	39.0	192	
2691	10.0		22	2.74	3	— 8	26	57.1	194	
2692	6.8	9	22	25.43	3	— 22	0	30.4	16	n
2693	9.8		22	44.20	2	— 5	3	3.9	198	
2694	10.0		22	46.68	1	— 4	58	12.4	194	
—	10.0		22	46.79	4	— 4	58	13.4	261	
2695	9.0		22	55.64	4	— 8	0	54.6	191	
2696	10.0	9	22	59.76	3	— 14	9	48.2	196	n
2697	9.8		23	2.01	3	— 7	35	17.5	121	
2698	10.0		23	2.48	2	— 0	17	54.5	192	
2699	10.0		23	7.75	2	+ 0	0	16.9	189	
—	10.0		23	7.81	3	+ 0	0	16.4	195	
2700	9.0	9	23	27.27	3	+ 1	46	12.3	12	
2701	9.0		23	29.82	3	— 2	23	5.6	190	
2702	9.3		23	38.72	3	+ 1	45	41.9	119	
2703	10.0		23	38.84	3	— 4	50	59.5	13	
2704	9.9		23	40.69	3	— 11	57	38.0	17	
2705	10.0	9	23	45.83	3	— 2	22	14.6	122	
2706	9.7		23	56.14	4	— 5	17	19.3	186	
—	10.0		23	55.90	4	— 5	17	23.2	188	
2707	10.0		23	58.88	3	— 0	52	5.0	195	
2708	10.0		24	2.86	2	— 0	16	46.3	192	
2709	9.0	9	24	8.80	3	— 0	13	56.6	262	
—	10.0		24	8.92	4	— 0	13	52.9	269	
2710	9.8		24	9.59	2	— 6	46	57.1	191	
—	10.0		24	9.69	4	— 6	46	55.5	266	
2711	6.0		24	23.46	4	— 22	49	17.6	15	n
2712	10.0	9	24	34.31	1	+ 0	50	10.7	119	
—	10.0		24	34.16	3	+ 0	50	10.6	189	
2713	9.7		24	55.90	4	— 14	37	57.1	196	n
—	10.0		24	55.96	3	— 14	37	55.1	263	
2714	9.0		25	0.66	4	— 6	9	35.2	198	
2715	9.6	9	25	3.35	3	— 0	13	13.6	122	
	9.0		25	3.26	3	— 0	13	11.6	264	
2716	8.0		25	22.42	4	— 21	11	30.4	16	n
2717	9.5		25	34.20	1	— 6	53	49.0	9	a
—	10.0		25	34.06	3	— 6	53	50.1	13	
2718	7.8	9	25	51.26	5	— 4	33	5.8	8	
—	8.0		25	51.24	5	— 4	33	4.1	265	
2719	8.8		25	59.47	4	— 3	52	55.1	186	
—	9.0		25	59.30	3	— 3	52	59.9	188	
2720	9.7		26	2.27	4	— 4	33	15.3	121	
2721	6.0	9	26	5.28	3	— 9	50	34.3	15	
—	7.0		26	5.30	6	— 9	50	33.2	269	
2722	9.1		26	16.75	2	— 5	14	28.6	18	
—	10.0		26	16.51	4	— 5	14	28.1	194	
2723	9.5		26	26.45	4	+ 5	39	10.7	12	

No.	Grösse	Rectascension 1880.0 h m s	Fäden	Declination 1880.0 ° ' "	Zone	Bemerkungen
2724	9.7	9 26 28.95	3	+ 1 11 53.0	14	
2725	10.0	26 38.36	1	+ 0 54 41.6	122	
—	10.0	26 38.54	3	+ 0 54 40.1	189	
2726	9.0	26 38.83	5	— 0 12 7.3	192	
2727	9.0	26 48.47	3	— 21 50 20.8	16	n
—	8.9	9 26 48.19	3	— 21 50 21.7	198	
—	9.0	26 48.12	3	— 21 50 19.2	261	
2728	10.0	26 50.32	3	— 2 56 53.7	195	
2729	10.0	26 55.21	1	— 21 48 —	261	n
2730	10.0	26 56.75	4	— 15 43 48.6	262	
—	9.5	9 26 56.65	3	— 15 43 46.6	263	
2731	9.5	27 12.31	3	+ 5 11 47.9	119	
2732	8.0	27 15.04	3	— 3 52 48.6	188	
—	7.5	27 14.88	4	— 3 52 49.3	191	
2733	8.0	27 17.14	3	— 9 35 9.4	264	
2734	9.9	9 27 23.71	4	— 7 35 2.1	13	
—	9.5	27 23.76	2	— 7 35 2.6	121	
2735	10.0	27 39.14	1	— 1 13 34.6	122	
—	10.0	27 38.94	3	— 1 13 34.4	189	
—	10.0	27 38.78	1	— 1 13 31.4	265	
2736	9.0	9 27 48.49	3	— 6 45 30.5	186	n
—	9.0	27 48.18	3	— 6 45 27.9	267	
2737	9.0	27 56.38	4	— 9 47 49.7	196	n
—	9.0	27 56.34	4	— 9 47 51.5	269	
2738	9.5	28 0.95	3	— 1 7 52.9	264	
2739	8.5	9 28 9.05	2	— 10 1 29.9	263	
2740	9.8	28 12.27	2	— 9 59 52.7	198	
—	10.0	28 12.25	1	— 9 59 —	263	
—	10.0	28 12.32	3	— 9 59 51.3	266	
2741	9.0	28 13.63	5	— 5 4 16.7	8	
2742	10.0	9 28 16.73	3	— 6 31 23.3	194	n
2743	10.0	28 27.81	4	— 1 59 53.7	195	n
2744	9.0	28 28.16	3	— 1 30 25.2	14	
2745	10.0	28 31.59	3	— 0 45 11.2	192	n
2746	8.9	28 39.23	3	— 9 26 6.1	15	
2747	9.5	9 28 45.49	3	— 0 51 17.2	119	
2748	8.0	28 49.25	4	+ 4 34 22.6	12	
2749	8.0	28 56.74	3	— 15 50 35.0	16	
2750	9.0	28 58.59	3	— 7 40 20.9	191	n
2751	9.0	29 1.95	3	— 10 50 12.9	196	
2752	10.0	9 29 9.75	2	— 6 35 56.0	186	u
—	10.0	29 9.31	2	— 6 35 57.1	188	
2753	8.0	29 9.76	6	+ 4 26 27.8	7	
2754	9.3	29 12.91	4	— 6 33 11.5	121	
2755	9.8	29 13.14	5	— 5 18 47.3	13	
2756	9.2	9 29 14.15	3	— 3 44 43.0	194	
2757	9.5	29 26.80	3	— 9 46 19.0	198	
2758	8.0	29 27.65	1	— 5 56 18.5	194	
—	9.0	29 28.01	4	— 5 56 17.1	262	
—	9.0	29 27.83	4	— 5 56 18.2	269	
2759	9.5	9 29 32.84	3	— 2 25 51.6	122	
2760	9.5	29 38.—	—	— 15 44 32.2	18	
—	9.7	29 38.47	3	— 15 44 30.9	197	
2761	8.0	29 41.03	3	— 6 15 36.1	264	
2762	9.6	29 42.79	3	+ 2 12 21.4	119	
2763	9.8	9 29 46.30	3	— 14 9 24.0	261	
2764	9.0	30 5.09	3	+ 1 59 59.8	14	f
—	9.0	30 5.45	4	+ 2 0 1.3	189	u
2765	10.0	30 20.66	2	— 11 55 21.6	198	u s
—	11.0	30 20.68	1	— 11 55 25.2	266	u s
2766	10.0	9 30 21.88	3	+ 0 46 44.8	195	
2767	10.0	30 27.62	1	— 0 44 58.7	122	
2768	9.5	30 29.04	3	— 2 41 17.4	192	
2769	10.0	30 48.41	5	— 6 59 54.5	8	
—	10.0	30 48.48	4	— 6 59 53.0	191	
2770	9.0	9 30 53.42	3	— 6 29 43.9	186	
—	9.0	30 53.26	4	— 6 29 43.5	188	
2771	8.5	31 2.81	4	— 21 53 39.5	15	n
2772	9.8	31 9.92	4	— 7 25 22.9	13	
2773	9.4	31 10.99	3	+ 1 29 23.8	119	
2774	10.0	9 31 18.12	3	+ 4 4 26.8	12	
2775	10.0	31 26.65	3	— 0 26 4.2	195	
2776	8.1	31 35.14	5	— 20 51 47.3	16	n
2777	9.5	31 43.20	3	— 4 10 58.9	121	
2778	10.0	31 44.35	4	— 10 3 59.5	261	
—	10.0	9 31 44.84	1	— 10 3 57.6	269	
2779	10.0	31 48.67	3	+ 0 45 28.1	192	n
2780	10.0	31 55.91	2	— 0 34 42.3	199	AR.+2s corr.
—	10.0	31 55.58	3	— 0 34 41.6	264	
2781	9.0	32 5.57	3	— 7 3 52.4	188	
—	9.8	9 32 5.81	3	— 7 3 50.5	186	
2782	10.0	32 5.60	3	— 7 1 55.6	191	
2783	9.4	32 7.18	3	+ 4 7 33.0	119	
2784	10.0	32 13.11	4	— 10 5 58.7	196	
2785	10.0	32 14.06	1	— 1 38 33.7	122	
—	10.0	9 32 13.37	2	— 1 38 33.6	200	
2786	10.0	32 18.17	3	— 4 46 10.1	194	
2787	9.0	32 19.63	3	— 7 41 25.2	198	
2788	9.8	32 40.74	2	+ 1 28 4.1	192	
2789	9.0	32 52.69	4	— 20 49 25.0	15	n
—	8.2	9 32 52.85	3	— 20 49 23.9	197	
2790	10.0	32 54.10	2	— 6 57 55.8	186	
—	10.0	32 54.19	3	— 6 57 53.2	194	
2791	7.0	33 5.41	1	— 3 50 12.6	18	
—	7.8	33 5.45	1	— 3 50 12.4	121	
—	8.0	9 33 5.57	6	— 3 50 12.8	265	
2792	10.0	33 16.05	3	+ 2 8 9.5	189	
2793	9.2	33 35.73	3	— 3 43 35.7	188	
2794	8.1	33 36.79	3	— 22 33 15.2	16	n
2795	9.2	33 40.22	3	— 11 52 45.8	196	

No.	Grösse	Rectascension 1880.0 h m s	Fäden	Declination 1880.0 ° ′ ″	Zone	Bemerkungen
—	10.0	9 33 40.11	2	— 11 52 48.2	266	
2796	8.5	33 45.16	4	— 0 4 14.1	14	
—	9.5	33 45.08	3	— 0 4 15.5	195	
—	9.0	33 44.94	4	— 0 4 11.5	263	
2797	9.0	33 53.68	3	— 5 16 51.4	198	
2798	9.0	9 33 56.42	3	— 3 10 51.0	13	
2799	9.3	34 9.15	5	+ 2 12 26.0	119	
—	9.0	34 9.06	4	+ 2 12 28.8	122	
2800	8.0	34 13.03	2	— 8 33 5.7	186	
—	8.0	34 13.21	5	— 8 33 5.0	264	
2801	9.9	9 34 13.98	4	+ 4 53 9.5	12	
2802	9.0	34 27.82	3	+ 0 14 41.6	192	
2803	10.0	34 37.62	2	— 8 28 29.6	188	
—	10.0	34 37.39	3	— 8 28 27.2	191	
2804	9.0	34 45.26	6	+ 4 20 14.6	7	
2805	10.0	9 34 51.44	3	— 1 23 11.3	189	
—	10.0	34 51.20	3	— 1 23 11.5	195	
2806	8.0	34 58.67	4	— 11 23 42.1	200	n
—	8.5	34 58.68	4	— 11 23 39.6	269	
2807	8.2	34 59.40	4	— 11 45 57.4	196	n
—	9.0	9 34 59.32	4	— 11 45 57.3	270	
2808	8.1	35 3.80	3	— 22 48 33.7	15	n
—	8.0	35 3.59	4	— 22 48 33.9	197	
2809	9.0	35 16.68	4	— 8 59 14.0	198	n
2810	9.4	35 21.90	3	+ 1 25 40.2	119	
2811	10.0	9 35 24.70	3	— 14 39 3.0	16	
—	10.0	35 25.08	4	— 14 39 3.6	261	
2812	9.0	35 32.13	4	— 11 45 54.7	199	n
2813	10.0	35 51.29	4	— 6 50 21.4	121	
2814	10.0	35 51.59	3	+ 0 15 8.1	192	
2815	9.9	9 35 58.71	3	— 5 21 23.4	186	
—	9.6	35 58.52	3	— 5 21 24.8	188	
—	10.0	35 58.31	3	— 5 21 23.2	194	
2816	9.0	36 2.00	4	+ 2 18 38.5	122	n
—	9.0	36 1.97	6	+ 2 18 36.0	262	
2817	10.0	9 36 3.65	3	— 6 44 28.7	14	A.R.—1^{m}corr.
2818	8.0	36 21.41	3	— 12 22 15.4	200	n
—	8.0	36 21.56	4	— 12 22 14.1	269	
2819	9.0	36 23.64	4	— 12 30 46.6	196	n
—	8.8	36 23.64	4	— 12 30 48.9	270	
2820	9.0	9 36 26.42	4	— 20 22 26.1	197	n
2821	9.8	36 34.31	4	— 5 19 35.1	13	
2822	9.0	36 37.37	3	— 12 3 33.6	199	n
2823	9.6	36 37.70	3	— 6 31 7.1	191	
—	9.5	36 37.68	4	— 6 31 3.8	263	
2824	9.9	9 36 57.82	4	— 2 21 13.9	12	
—	9.5	36 57.62	4	— 2 21 12.8	189	
2825	10.0	37 1.94	2	— 8 35 49.7	188	
2826	9.8	37 6.79	3	— 6 35 46.8	186	
—	9.4	37 6.61	3	— 6 35 47.9	191	
2827	7.5	9 37 14.36	4	— 6 4 58.9	9	
2828	9.5	37 17.47	3	— 5 29 9.8	194	
2829	8.0	37 21.50	6	— 22 25 7.3	266	n
2830	8.5	37 30.61	5	— 2 48 38.5	18	
2831	8.0	37 36.23	4	— 15 46 50.0	16	
2832	9.0	9 37 37.71	4	— 8 54 51.8	17	
—	9.8	37 37.46	4	— 8 54 50.6	261	
2833	10.0	37 40.60	4	+ 2 36 27.2	195	
—	10.0	37 40.51	3	+ 2 36 27.3	264	
2834	7.5	37 43.32	4	— 13 8 47.2	200	
2835	9.8	9 37 45.76	1	— 0 37 20.0	119	
—	10.0	37 45.49	1	— 0 37 20.4	270	
2836	10.0	37 48.67	3	— 3 27 1.7	198	
2837	8.5	37 59.37	6	+ 3 59 35.4	7	
2838	9.6	37 59.78	4	— 7 5 14.7	194	
2839	9.8	9 38 0.39	3	— 0 20 50.5	122	
2840	9.0	38 5.06	5	— 1 27 47.3	265	
2841	10.0	38 6.05	3	— 12 32 32.1	196	n
—	9.0	38 6.15	4	— 12 32 32.5	269	
2842	8.0	38 19.77	4	— 22 13 37.2	15	n
—	9.0	9 38 19.70	3	— 22 13 37.2	197	
2843	8.5	38 24.27	4	— 11 19 20.9	199	
2844	9.7	38 32.94	5	— 5 52 30.2	14	
2845	10.0	38 44.22	3	— 0 13 35.8	189	
2846	10.0	38 49.10	3	— 7 30 12.0	186	
—	10.0	9 38 48.82	3	— 7 30 13.3	188	
2847	8.0	39 7.07	3	— 22 48 39.6	16	n
2848	9.0	39 12.77	3	— 15 45 40.2	196	
2849	10.0	39 15.29	2	— 2 19 35.1	12	
—	10.0	39 15.—	—	— 2 19 33.5	189	
—	10.0	9 39 14.88	3	— 2 19 32.1	192	
2850	9.0	39 15.64	4	— 7 23 35.2	198	
2851	9.6	39 25.80	3	— 7 19 32.4	191	
—	10.0	39 25.67	3	— 7 19 31.6	261	
2852	10.0	39 27.61	4	— 12 40 16.8	200	n
—	9.5	9 39 27.61	4	— 12 40 14.1	263	
2853	9.0	39 37.70	4	+ 0 21 44.4	195	
2854	10.0	39 40.06	2	— 0 53 27.9	119	
—	10.0	39 40.05	2	— 0 53 29.0	122	
2855	9.0	39 46.11	3	— 5 59 41.4	194	
2856	9.0	9 40 6.22	6	— 2 10 2.7	18	
2857	10.0	40 15.84	4	— 21 6 47.3	197	n
2858	9.0	40 21.35	3	— 21 12 13.3	15	n
2859	8.0	40 34.48	3	— 15 54 13.7	196	n
—	9.0	40 34.57	4	— 15 54 13.8	265	
2860	9.0	9 40 48.31	4	— 6 34 27.2	185	n
—	9.0	40 48.24	3	— 6 34 26.0	188	
2861	8.0	41 7.44	3	— 15 59 33.1	16	
—	7.3	41 7.20	3	— 15 59 32.5	198	
—	7.0	41 7.32	4	— 15 59 31.1	263	

No.	Grösse	Rectascension 1880.0 h m s	Fäden	Declination 1880.0 ° ′ ″	Zone	Bemerkungen
2862	10.0	9 41 15.22	3	— 9 23 51.3	199	
2863	9.8	41 21.09	4	+ 0 48 3.7	12	
2864	10.0	41 23.33	3	+ 2 37 13.0	192	
—	9.5	41 23.79	4	+ 2 37 13.8	264	
2865	9.5	41 27.79	4	— 6 54 52.4	14	
—	9.5	9 41 27.77	4	— 6 54 51.4	191	
—	9.0	41 27.87	4	— 6 54 50.8	194	
2866	10.0	41 28.02	4	+ 0 48 24.3	195	
2867	7.3	41 34.75	4	— 21 8 46.8	17	n
2868	10.0	41 41.35	3	— 7 20 39.3	13	n
—	9.5	9 41 41.19	4	— 7 20 35.6	266	
2869	9.5	41 41.46	4	— 2 43 30.1	119	
2870	10.0	41 45.26	2	— 2 37 10.6	122	
—	10.0	41 45.12	4	— 2 37 9.1	269	
2871	11.0	42 15.89	3	— 1 21 41.6	200	n
2872	7.9	9 42 19.57	4	— 9 37 45.9	198	
—	9.0	42 19.81	3	— 9 37 46.7	263	
2873	9.0	42 20.05	4	— 15 10 42.9	196	
2874	9.8	42 23.18	2	— 4 5 4.5	19	
—	10.0	42 23.28	3	— 4 4 58.7	186	
—	9.8	9 42 23.12	3	— 4 5 1.3	188	
—	9.3	42 22.94	4	— 4 5 1.6	270	
2875	9.2	42 25.97	4	— 2 42 59.0	262	
2876	10.0	42 32.03	3	+ 2 33 54.7	189	
2877	7.8	42 35.67	4	— 6 45 42.2	191	
2878	8.5	9 42 39.42	1	— 2 9 23.0	18	
—	8.5	42 39.40	3	— 2 9 21.6	269	
2879	10.0	42 46.38	3	— 5 17 1.4	194	n
2880	9.0	42 51.32	4	— 22 16 18.8	16	n
2881	9.0	42 53.34	3	— 7 56 12.8	14	
2882	9.0	9 42 54.19	3	— 15 32 15.4	199	
2883	9.0	43 0.49	3	— 10 0 30.0	15	
2884	8.5	43 2.34	3	— 22 7 24.4	261	n
2885	8.0	43 18.92	3	— 20 48 17.0	197	n
2886	8.7	43 26.52	4	+ 4 39 14.9	7	
2887	8.0	9 43 27.14	4	— 20 52 46.4	17	n
2888	10.0	43 29.28	2	— 3 20 56.6	121	
2889	9.3	43 29.42	3	+ 1 11 33.8	119	
2890	9.0	43 32.47	3	+ 2 23 3.6	192	
2891	9.0	43 35.57	3	— 9 59 40.9	196	
2892	9.0	9 43 42.36	2	— 6 46 23.3	191	
—	9.5	43 42.45	4	— 6 46 23.8	265	
2893	9.0	43 48.78	2	— 20 55 28.1	197	n
2894	10.0	43 52.22	3	— 8 48 20.4	186	
—	9.8	43 52.14	3	— 8 48 22.5	188	
2895	11.0	9 43 57.92	2	— 9 41 1.5	198	n u
2896	9.0	44 17.23	3	— 9 39 28.5	263	
2897	10.0	44 18.33	4	— 1 28 45.6	200	
2898	9.7	44 18.98	4	— 2 5 17.8	122	
2899	9.0	44 47.35	3	+ 1 22 2.0	12	
2900	9.0	9 44 56.75	3	— 7 45 19.8	261	
—	9.0	44 57.01	3	— 7 45 17.3	264	
2901	10.0	44 56.92	3	+ 2 19 45.5	195	
2902	9.5	45 4.40	2	+ 3 6 49.1	263	
—	9.3	45 4.66	5	+ 3 6 47.5	266	
2903	8.0	9 45 13.81	4	— 20 54 10.7	197	n
2904	11.0	45 24.43	1	+ 2 58 4.4	199	n a
—	10.0	45 24.62	2	+ 2 58 2.4	262	u
2905	9.0	45 27.39	4	— 14 7 33.8	196	
2906	6.5	45 31.20	4	— 22 27 22.2	17	n
2907	10.0	9 45 40.84	4	+ 3 1 11.2	265	n
2908	8.0	45 41.81	2	— 15 59 49.4	198	
2909	8.5	45 42.29	4	— 22 24 6.5	261	n
2910	10.0	45 49.98	2	+ 2 52 2.5	122	n
2911	10.0	45 52.76	3	— 0 4 2.9	195	
2912	9.3	9 46 11.04	2	+ 2 53 —	122	
—	9.0	46 10.98	4	+ 2 53 6.1	264	
—	9.0	46 10.85	3	+ 2 53 5.9	270	
2913	5.0	46 15.99	3	— 15 58 12.0	196	
2914	9.4	46 23.45	3	+ 4 6 46.2	119	
2915	9.8	9 46 26.63	1	+ 3 0 21.8	199	n
—	9.5	46 26.64	3	+ 3 0 24.7	263	
2916	10.0	46 30.08	3	— 2 28 41.0	192	
2917	9.0	46 33.36	4	+ 2 53 54.6	200	
2918	9.3	46 37.61	3	— 2 23 41.7	189	
2919	8.0	9 46 38.89	3	— 5 34 52.0	121	
2920	8.8	47 7.29	4	— 15 20 42.4	16	
2921	9.8	47 10.61	4	— 2 0 13.9	12	
2922	10.0	47 14.18	3	— 7 18 58.3	188	n
—	10.0	47 14.07	4	— 7 18 58.6	269	
2923	9.0	9 47 26.19	3	— 1 3 4.4	124	
—	9.0	47 26.05	3	— 1 3 5.5	195	
2924	10.0	47 33.58	3	— 7 28 5.6	191	n
—	10.0	47 33.52	4	— 7 28 6.2	266	
2925	9.5	47 49.97	5	— 3 26 24.5	13	
2926	9.0	9 47 50.62	3	— 22 12 21.7	17	n
2927	8.0	48 1.—	—	— 22 22 46.4	16	n
—	8.0	48 1.27	3	— 22 22 46.0	18	
—	8.0	48 1.55	4	— 22 22 43.4	196	
2928	10.0	48 21.62	2	— 2 10 9.7	192	n
—	10.0	9 48 21.48	3	— 2 10 11.2	270	
2929	9.5	48 23.89	1	+ 1 46 25.5	7	
—	10.0	48 23.48	3	+ 1 46 23.5	9	
2930	9.0	48 37.49	3	— 15 28 14.9	197	
—	9.5	48 37.77	3	— 15 28 12.2	198	
2931	9.0	9 48 38.44	5	+ 2 25 51.2	264	
2932	9.0	48 41.93	3	— 3 24 39.2	121	
—	10.0	48 41.69	3	— 3 24 39.3	191	
2933	9.0	48 44.30	3	— 15 27 23.6	197	
—	9.3	48 44.68	3	— 15 27 22.4	198	

No.	Grösse	Rectascension 1880.0 h m s	Fäden	Declination 1880.0 ° ′ ″	Zone	Bemerkungen
—	9.0	9 48 44.36	4	— 15 27 23.7	261	
2934	8.5	48 45.26	5	— 11 29 28.2	200	n
—	9.0	48 45.42	4	— 11 29 29.2	269	
2935	9.2	48 51.21	3	— 7 22 56.9	14	
—	10.0	48 51.30	3	— 7 22 53.0	188	
2936	9.0	9 49 11.21	5	— 11 53 56.9	199	n
2937	10.0	49 17.38	4	— 1 31 46.5	119	
2938	9.3	49 25.93	5	+ 1 13 23.5	122	Decl. + 20″ corr.
—	9.6	49 25.88	5	+ 1 13 26.2	189	
—	9.2	49 25.86	4	+ 1 13 25.0	266	
2939	8.0	9 49 31.31	3	— 22 55 46.2	17	n
2940	8.0	49 31.73	3	— 21 46 4.3	196	n
2941	10.0	49 36.56	2	— 1 57 41.1	192	n
—	10.0	49 36.40	3	— 1 57 40.4	263	
2942	10.0	49 52.95	3	— 4 10 9.2	121	
2943	9.0	9 50 12.77	4	+ 4 21 6.2	19	
2944	8.0	50 21.73	4	+ 4 36 47.6	9	
2945	9.0	50 22.29	2	— 15 54 9.0	198	
2946	10.0	50 24.54	3	— 11 53 2.2	200	n
—	9.0	50 24.61	5	— 11 53 3.1	268	
—	10.0	9 50 24.92	3	— 11 53 1.1	269	
2947	9.2	50 33.45	3	+ 3 28 16.9	119	
2948	9.0	50 34.85	3	+ 4 32 13.7	195	
2949	9.0	50 44.04	3	— 8 16 8.0	188	
2950	7.8	50 48.87	1	— 5 12 51.1	121	
—	8.0	9 50 48.80	5	—, 5 12 53.8	191	
2951	9.0	50 50.01	3	— 15 18 36.3	197	
2952	9.6	50 57.19	3	+ 0 4 11.2	122	
2953	10.0	50 57.30	3	+ 0 4 12.6	124	
2954	8.7	51 0.75	4	— 13 49 18.9	261	
2955	10.0	9 51 1.49	3	+ 3 1 8.4	195	
2956	9.0	51 6.81	3	— 3 39 8.8	194	
2957	8.5	51 15.54	3	+ 0 28 4.7	189	
2958	9.8	51 21.05	2	— 10 20 34.1	199	n
2959	10.0	51 24.09	2	— 1 9 27.9	192	n
—	10.0	9 51 23.83	3	— 1 9 29.1	270	
2960	8.0	51 30.03	3	— 7 36 16.3	13	
2961	10.0	51 31.07	3	+ 0 9 27.9	12	
2962	9.0	51 35.79	3	+ 5 22 45.0	263	
2963	9.5	51 39.20	4	— 21 36 56.0	266	n
2964	9.8	9 51 59.07	3	— 5 25 58.8	14	
—	10.0	51 58.95	4	— 5 25 55.0	188	
2965	9.2	52 0.88	1	— 5 53 3.0	121	
2966	9.5	52 2.88	2	— 22 20 —	18	n
—	10.0	52 2.73	3	— 22 20 22.6	196	
2967	9.5	9 52 7.64	3	+ 2 56 8.6	119	
—	9.0	52 7.59	3	+ 2 56 7.9	264	
2968	8.8	52 9.77	3	— 10 23 11.1	17	
2969	10.0	52 9.93	2	+ 0 8 42.2	189	
2970	7.8	52 18.28	6	— 12 33 28.9	200	n
—	8.0	9 52 18.23	4	— 12 33 28.4	268	
2671	9.0	52 20.04	3	— 15 22 38.1	197	
2972	9.9	52 26.85	3	— 3 3 44.6	19	
—	9.0	52 26.49	3	— 3 3 44.6	191	
2973	9.0	52 46.72	4	+ 2 58 19.4	195	
—	9.0	9 52 46.46	5	+ 2 58 18.2	262	
2974	9.5	52 48.57	2	+ 1 36 16.9	9	
—	9.2	52 48.74	3	+ 1 36 18.2	12	
2975	8.3	52 48.86	4	— 10 30 6.9	199	
2976	8.0	53 5.47	3	— 21 44 58.1	15	n
2977	10.0	9 53 20.10	3	+ 2 35 1.4	124	
2978	9.0	53 21.86	3	+ 4 26 38.3	119	
2979	9.7	53 41.67	4	— 22 12 30.6	196	n
2980	10.0	53 43.65	3	— 1 9 30.4	192	n
2981	10.0	53 46.57	4	— 14 22 53.5	16	
—	9.0	9 53 46.32	4	— 14 22 52.5	263	
2982	10.0	53 54.98	3	— 15 40 17.2	197	
2983	9.3	54 6.95	3	— 4 43 23.8	13	
2984	10.0	54 12.98	3	— 3 41 7.3	121	
2985	10.0	54 23.05	1	+ 2 0 12.4	189	
2986	9.5	9 54 23.74	3	— 6 56 36.6	14	
—	9.6	54 23.59	3	— 6 56 35.9	191	
2987	9.2	54 25.91	4	+ 1 24 27.1	264	
2988	10.0	54 37.43	1	— 10 26 45.6	197	n
—	10.0	54 37.72	4	— 10 26 43.2	268	
2989	8.0	9 54 41.60	4	— 10 18 57.0	199	
—	8.8	54 41.48	4	— 10 18 56.7	261	
2990	11.0	54 44.41	2	+ 0 9 36.5	195	u
—	10.0	54 44.41	3	+ 0 9 34.9	200	
2991	9.5	54 50.40	3	— 9 48 56.4	16	
2992	10.0	9 54 55.12	1	— 8 56 33.1	121	
—	10.0	54 55.15	2	— 8 56 29.9	191	
2993	10.0	55 9.02	3	— 5 13 42.1	19	
2994	9.0	55 11.68	1	— 3 16 26.0	188	n
—	9.0	55 11.76	3	— 3 16 24.4	194	
2995	9.0	9 55 17.40	3	— 20 49 5.6	17	n
2996	9.3	55 26.47	3	+ 4 49 58.4	119	
2997	10.0	55 49.50	3	— 1 25 5.1	192	
2998	9.0	55 51.81	3	— 5 7 44.1	13	
2999	9.5	55 52.23	3	— 0 39 18.3	124	
—	10.0	9 55 51.91	2	— 0 39 21.9	189	
3000	8.0	55 52.15	4	— 14 50 57.0	261	
3001	9.0	55 58.74	4	+ 2 26 48.9	12	
3002	9.6	55 58.93	3	— 7 35 6.2	14	
3003	8.3	56 0.32	3	+ 4 30 37.0	119	
3004	9.0	9 56 28.44	3	+ 4 14 56.8	119	
3005	8.0	56 29.45	4	— 14 15 30.8	196	
3006	7.0	56 41.41	6	— 0 29 11.0	269	
3007	9.0	56 42.75	5	— 5 55 27.7	263	
—	9.0	56 42.87	5	— 5 55 29.1	264	

No.	Grösse	Rectascension 1880.0 h m s	Fäden	Declination 1880.0 ° ′ ″	Zone	Bemerkungen
3008	8.7	9 56 43.72	3	— 15 26 18.7	15	
—	8.0	56 43.67	5	— 15 26 19.7	197	
3009	10.0	56 45.28	3	— 0 27 36.6	192	n
—	9.8	56 44.95	4	— 0 27 38.5	200	
3010	9.0	56 59.01	5	— 10 49 35.6	199	n
—	9.5	9 56 58.91	4	— 10 49 34.9	268	
3011	8.0	57 9.57	3	— 8 18 25.6	188	
3012	8.3	57 11.32	3	— 21 31 19.5	16	n
3013	9.0	57 14.16	3	— 8 58 41.6	191	
3014	10.0	57 16.66	3	+ 0 14 54.8	195	
3015	9.7	9 57 20.95	3	— 4 23 0.2	194	n
—	9.0	57 21.08	4	— 4 23 1.8	270	
3016	10.0	57 24.37	2	+ 0 22 35.6	124	n
3017	9.5	57 32.05	3	— 2 11 41.7	12	
—	9.0	57 31.87	3	— 2 11 40.7	122	
3018	10.0	9 57 38.31	4	— 14 44 56.2	17	
3019	11.0	57 47.96	2	— 6 56 26.4	121	u f
—	10.0	57 47.34	1	— 6 56 25.4	191	u
3020	8.4	57 54.19	3	— 9 34 19.5	15	
—	8.0	57 54.10	4	— 9 34 19.7	266	
3021	9.0	9 57 57.93	4	— 7 4 56.6	13	
3022	10.0	58 13.01	3	— 3 36 14.8	14	
3023	9.7	58 14.96	3	— 4 22 45.3	194	
3024	9.0	58 17.17	3	— 15 4 5.9	196	
—	9.0	58 16.98	3	— 15 4 6.6	197	
3025	10.0	9 58 39.12	3	— 0 45 34.1	195	
3026	7.8	58 42.74	4	— 21 58 41.7	16	n
3027	8.0	58 51.00	4	+ 0 6 21.4	200	
3028	10.0	58 54.07	3	— 0 33 49.0	20	
3029	10.0	59 13.93	1	+ 2 34 11.5	122	
—	10.0	9 59 13.36	2	+ 2 34 8.8	189	
—	10.0	59 13.44	2	+ 2 34 10.1	262	dpl.? u
3030	10.0	59 25.99	2	— 4 59 43.3	191	
—	10.0	59 25.87	4	— 4 59 45.2	194	
3031	7.0	59 25.86	4	— 16 22 14.1	196	n
—	7.5	9 59 26.01	6	— 16 22 14.1	263	
3032	10.0	59 41.13	3	— 5 3 26.8	188	
—	10.0	59 40.83	4	— 5 3 27.4	269	
3033	8.0	59 46.41	3	— 22 7 43.2	16	n
3034	9.7	59 50.65	3	+ 1 1 46.5	124	
3035	9.0	9 59 58.15	3	— 11 26 5.9	15	
—	9.0	59 57.81	3	— 11 26 5.0	266	
—	9.0	59 57.87	4	— 11 26 4.1	268	
3036	9.0	10 0 4.11	3	— 14 13 40.2	197	n
—	9.0	0 4.37	4	— 14 13 40.4	270	
3037	9.5	10 0 4.68	3	— 21 0 53.2	17	n
3038	9.3	0 9.01	4	— 0 54 29.0	195	
3039	10.0	0 24.46	3	— 2 46 30.2	192	
3040	10.0	0 24.63	2	+ 1 21 0.1	200	n
—	10.0	0 24.92	2	+ 1 21 3.0	271	

No.	Grösse	Rectascension 1880.0 h m s	Fäden	Declination 1880.0 ° ′ ″	Zone	Bemerkungen
3041	10.0	10 0 40.92	1	+ 0 18 10.0	189	
—	9.8	0 40.62	4	+ 0 18 7.7	199	
3042	9.0	0 47.04	5	— 15 45 16.0	196	n
—	8.0	0 46.97	3	— 15 45 15.8	270	
3043	8.8	1 1.36	4	— 5 47 26.2	11	
3044	7.8	10 1 4.65	3	— 4 58 52.0	188	
—	7.0	1 4.58	2	— 4 58 51.6	191	
3045	10.0	1 12.00	3	— 0 42 35.2	124	
3046	9.6	1 24.07	3	— 9 56 51.3	15	
3047	8.0	1 32.36	4	— 14 52 15.9	197	n
—	8.0	10 1 32.57	4	— 14 52 12.8	272	
3048	7.9	1 36.56	3	— 5 51 25.1	19	
3049	10.0	1 49.08	3	+ 2 30 48.5	266	
3050	9.7	1 50.68	2	— 8 42 11.8	121	
3051	8.0	1 55.92	4	— 5 7 56.2	194	
3052	10.0	10 1 56.09	3	+ 2 13 42.4	20	
3053	8.8	2 24.07	5	— 0 2 42.9	10	
3054	10.0	2 27.16	3	— 12 49 42.8	16	
3055	9.0	2 30.01	4	— 7 7 30.3	9	
—	8.0	2 30.00	3	— 7 7 29.9	191	
3056	11.0	10 2 34.76	2	+ 2 26 1.4	262	u
—	11.0	2 34.77	2	+ 2 26 0.0	268	u
—	10.0	2 34.78	1	+ 2 25 59.0	269	
3057	9.7	2 39.81	3	— 0 17 18.0	124	
3058	9.8	2 40.02	3	+ 2 35 38.7	199	n
3059	10.0	10 2 49.82	2	— 7 1 55.4	13	
—	9.4	2 49.93	3	— 7 1 59.5	17	
3060	10.0	2 50.00	2	— 0 50 52.6	189	
3061	10.0	2 50.39	2	+ 2 23 6.7	263	
3062	10.0	3 8.01	3	+ 0 20 23.4	200	
3063	7.8	10 3 12.62	3	+ 2 57 32.5	12	
3064	9.9	3 14.02	2	— 4 29 53.1	14	
3065	8.5	3 26.80	4	+ 2 56 18.3	18	
3066	8.3	3 31.98	3	— 22 58 41.9	15	n
3067	9.0	3 36.37	4	— 7 29 32.3	194	
3068	9.8	10 3 53.90	4	+ 0 29 47.2	20	
3069	9.5	3 55.47	2	+ 0 48 48.8	122	
3070	9.3	3 56.57	3	+ 2 2 13.9	124	
3071	9.0	4 6.63	4	— 2 49 12.6	199	
3072	10.0	4 7.11	3	— 2 29 40.4	125	
3073	9.5	10 4 17.30	1	— 7 35 24.5	19	
—	10.0	4 17.20	3	— 7 35 22.5	121	
3074	8.5	4 22.37	5	— 8 28 18.4	9	
3075	8.5	4 22.41	1	— 8 7 26.0	13	
3076	9.0	4 35.24	3	— 7 26 36.0	197	
3077	9.9	10 5 4.50	1	— 1 55 28.9	12	
—	9.0	5 4.13	2	— 1 55 28.7	199	
3078	11.0	5 11.06	1	— 8 19 56.3	121	u s
—	10.0	5 10.24	1	— 8 19 50.2	197	u s
3079	7.5	5 11.47	2	— 6 27 9.8	11	

No.	Grösse	Rectascension 1880.0 h	m	s	Fäden	Declination 1880.0 °	′	″	Zone	Bemerkungen
3080	10.0	10	5	14.10	3	+ 1	50	21.8	266	
3081	10.0		5	59.84	2	+ 2	11	37.9	124	u
—	10.0		5	59.65	1	+ 2	11	37.9	192	
3082	8.0		6	13.16	3	— 22	2	24.4	14	n
3083	9.5		6	14.65	3	— 3	8	43.6	17	
3084	10.0	10	6	26.00	3	+ 2	28	30.3	122	
3085	10.0		6	44.23	3	+ 2	56	45.6	125	
3086	9.0		6	48.01	3	— 8	46	43.0	9	
—	9.0		6	47.63	5	— 8	46	44.8	270	
3087	9.5		6	50.60	3	— 3	44	42.1	18	
3088	10.0	10	7	1.75	4	+ 3	0	43.0	266	
3089	10.0		7	1.79	2	— 15	30	14.4	197	n
—	10.0		7	2.22	4	— 15	30	14.8	272	
3090	9.0		7	16.61	4	— 0	20	52.6	200	
3091	7.0		7	18.40	4	— 7	51	4.5	11	
3092	10.0	10	7	22.03	3	— 7	53	54.2	121	n
—	10.0		7	21.69	3	— 7	53	54.3	268	
3093	6.8		7	29.32	2	— 4	29	33.5	13	
—	8.0		7	29.29	6	— 4	29	32.0	271	
3094	9.8		7	40.92	3	+ 2	12	14.9	19	
3095	9.0	10	8	0.90	4	— 14	40	29.8	15	
3096	9.5		8	5.34	3	— 1	6	15.3	124	
3097	9.0		8	12.87	3	— 9	25	21.5	14	
—	10.0		8	12.99	3	— 9	25	19.3	269	
3098	10.0		8	21.66	3	+ 2	12	24.1	12	
—	10.0	10	8	22.10	2	+ 2	12	24.8	20	
3099	9.5		8	23.13	3	— 21	33	43.1	16	n
3100	9.0		8	26.88	3	— 11	59	22.9	194	n
—	8.5		8	26.61	4	— 11	59	23.7	270	
3101	10.0		8	29.64	2	— 12	1	33.5	268	n
3102	10.0	10	8	45.88	4	— 6	37	55.6	121	n
3103	9.8		8	47.96	1	— 1	15	36.2	122	
—	10.0		8	47.37	3	— 1	15	35.8	272	
3104	9.8		8	51.94	4	— 2	34	20.3	125	
3105	10.0		8	58.46	3	+ 2	9	31.5	192	
3106	9.0	10	9	3.58	3	— 22	14	15.3	17	n
3107	9.0		9	5.51	3	— 0	57	5.8	262	
3108	9.0		9	7.53	3	— 14	22	4.3	197	
3109	9.0		9	11.11	3	— 14	26	41.8	197	
3110	9.7		9	25.27	2	+ 2	56	7.6	124	
—	9.0	10	9	25.01	4	+ 2	56	8.1	199	
—	10.0		9	25.10	3	+ 2	56	6.3	200	
3111	9.0		9	48.95	4	— 1	49	1.6	194	
—	9.0		9	49.04	4	— 1	49	3.1	271	
3112	9.7		9	50.59	2	— 5	18	39.5	11	
—	9.8	10	9	50.43	2	— 5	18	44.1	121	
—	9.5		9	50.23	3	— 5	18	42.7	270	f
3113	10.0		10	1.75	5	— 13	41	7.8	263	
—	10.0		10	1.99	3	— 13	41	9.9	269	
3114	8.9		10	9.69	4	— 3	18	58.4	18	
3115	8.5	10	10	12.79	3	— 10	52	9.5	14	
—	8.5		10	12.91	3	— 10	52	9.7	266	
3116	9.0		10	26.94	4	— 2	13	44.6	122	
3117	7.0		10	28.28	1	— 15	32	42.8	197	
—	8.0		10	28.18	3	— 15	32	42.0	200	
3118	8.0	10	10	41.61	4	— 2	11	53.8	125	
3119	10.0		10	43.51	3	— 10	7	17.2	15	
3120	9.6		10	43.85	4	— 13	47	31.3	16	n
—	10.0		10	43.83	2	— 13	47	28.5	268	
—	10.0		10	43.94	4	— 13	47	28.7	272	
3121	9.5	10	10	49.78	3	— 15	16	16.8	17	
3122	10.0		10	56.15	3	— 0	8	12.1	192	n
3123	9.0		11	2.03	4	+ 5	51	14.4	203	
3124	9.0		11	15.03	4	— 13	39	15.2	198	
3125	10.0		11	31.80	3	— 7	33	8.2	194	n
—	10.0	10	11	32.03	3	— 7	33	11.5	270	
3126	9.4		11	53.12	2	— 2	5	32.4	122	
—	9.5		11	52.95	3	— 2	5	32.6	266	
—	10.0		11	53.15	4	— 2	5	32.9	271	
3127	9.0		11	59.81	4	— 5	33	35.9	9	
—	9.5	10	11	59.99	4	— 5	33	35.8	121	
3128	9.9		12	0.18	3	— 7	16	54.1	11	
3129	9.2		12	2.25	3	— 22	3	28.8	14	n
3130	9.8		12	3.58	3	+ 4	14	1.5	19	
—	9.5		12	3.73	2	+ 4	14	5.3	125	
3131	9.5	10	12	4.96	4	+ 7	59	12.7	124	
3132	9.5		12	7.05	4	— 12	4	14.0	199	n
—	10.0		12	7.21	4	— 12	4	12.3	269	
3133	9.8		12	14.04	4	— 2	50	24.3	20	
3134	8.8		12	27.31	4	+ 7	16	43.1	12	
3135	7.8	10	12	30.97	3	— 12	42	13.2	200	
3136	9.0		12	32.61	3	— 11	4	31.9	15	
3137	9.0		12	32.85	4	+ 7	13	55.3	203	
3138	9.1		12	34.91	3	— 11	6	28.2	16	
3139	10.0		12	44.74	4	+ 0	13	27.3	192	
3140	9.1	10	12	53.36	3	— 5	45	49.6	18	
3141	8.9		13	17.64	4	— 10	8	52.9	17	
—	9.0		13	17.46	4	— 10	8	53.8	272	
3142	10.0		13	22.08	2	— 1	49	38.9	122	
—	9.5		13	21.98	2	— 1	49	36.3	273	d
3143	9.3	10	13	22.92	4	— 1	47	28.5	270	
—	9.0		13	23.16	2	— 1	47	29.7	273	
3144	10.0		13	24.61	3	— 5	1	56.0	121	
3145	8.0		13	28.11	3	— 10	17	24.7	197	
3146	10.0		13	31.78	3	+ 7	11	7.6	125	
3147	9.7	10	13	32.42	2	+ 3	55	10.8	124	
—	9.0		13	32.16	3	+ 3	55	10.0	266	
3148	9.5		13	47.60	3	— 1	8	4.1	10	
3149	9.0		13	56.19	4	+ 3	48	2.6	12	
3150	9.2		13	59.12	5	+ 7	52	40.4	203	

No.	Grösse	Rectascension 1880.0 h m s	Fäden	Declination 1880.0 ° ′ ″	Zone	Bemerkungen
3151	9.0	10 14 3.18	4	— 4 30 19.3	9	
—	9.0	14 2.93	5	— 4 30 19.4	194	
3152	7.8	14 3.56	3	— 3 44 29.1	11	
3153	8.0	14 8.39	6	— 21 55 19.4	204	n
3154	9.3	14 8.79	3	— 3 59 38.6	121	
3155	9.0	10 14 15.02	3	— 7 21 44.9	13	
—	9.0	14 14.96	3	— 7 21 47.0	18	
3156	8.2	14 17.57	4	+ 4 13 32.0	19	
3157	9.0	14 18.36	3	— 11 36 22.9	15	
—	8.0	14 18.34	2	— 11 36 24.4	197	
3158	9.0	10 14 29.85	3	— 13 11 9.9	14	
3159	8.8	14 30.08	3	— 11 33 5.4	199	
3160	10.0	14 30.92	4	— 12 35 19.3	200	n
—	9.5	14 30.80	4	— 12 35 15.8	271	
3161	8.0	14 35.60	3	— 11 35 20.2	197	
3162	8.8	10 14 46.73	2	— 15 44 50.3	16	
3163	9.0	14 54.14	3	— 13 59 36.5	17	n
—	8.3	14 54.29	3	— 13 59 39.9	266	
—	9.0	14 54.25	4	— 13 59 35.1	270	
3164	9.5	14 57.48	4	— 13 7 6.9	269	
3165	9.0	10 15 4.43	4	— 1 3 7.3	122	
—	8.0	15 4.57	6	— 1 3 6.3	192	
3166	9.8	15 19.25	3	+ 4 34 20.7	124	
3167	9.0	15 28.77	4	+ 7 13 21.7	125	n
3168	10.0	15 35.00	3	+ 2 45 24.9	20	
3169	9.2	10 15 38.59	4	— 10 53 42.0	198	
—	9.0	15 38.51	4	— 10 53 42.2	199	
3170	10.0	15 46.78	4	— 12 21 42.1	200	n
—	9.5	15 46.47	4	— 12 21 42.2	272	
3171	9.0	15 54.45	3	— 1 53 48.3	268	
3172	10.0	10 15 54.47	2	— 15 2 51.7	127	
3173	8.8	15 55.18	3	+ 1 45 55.7	266	
3174	7.0	15 55.48	3	— 21 55 29.2	15	n
—	6.0	15 55.36	4	— 21 55 29.4	126	
3175	9.2	16 14.56	3	— 10 42 42.0	16	
3176	9.5	10 16 15.98	4	— 0 32 31.6	122	
—	9.6	16 15.78	3	— 0 32 32.0	192	
3177	9.0	16 22.51	4	— 3 17 36.6	121	n
—	9.5	16 22.49	4	— 3 17 36.9	271	
3178	9.0	16 45.55	5	— 6 8 52.5	9	
3179	10.0	10 16 46.90	3	+ 3 59 4.8	12	
3180	9.5	16 47.29	4	+ 7 3 46.8	13	
3181	10.0	16 49.71	4	— 6 47 59.6	194	n
—	10.0	16 49.55	3	— 6 47 58.1	270	
3182	9.0	17 2.07	5	+ 3 12 54.7	204	
3183	8.5	10 17 4.16	4	— 10 40 30.7	199	
3184	9.0	17 13.64	3	— 15 33 48.2	17	
—	9.0	17 13.47	3	— 15 33 48.5	272	
3185	10.0	17 24.60	2	+ 7 0 12.3	19	f
—	10.0	17 24.83	3	+ 7 0 15.0	124	
3186	9.7	15 17 27.34	2	— 0 32 31.6	122	
—	10.0	17 27.32	4	— 0 32 32.4	192	
3187	10.0	17 33.13	1	— 22 13 52.5	126	n
—	10.0	17 32,80	1	— 22 13 50.6	127	
—	9.0	17 32.79	3	— 22 13 49.2	197	
3188	9.7	10 17 34.13	3	— 15 37 52.6	15	
3189	9.0	17 37.16	4	+ 6 53 26.4	125	
3190	9.0	17 53.88	3	— 6 39 3.8	18	
3191	10.0	17 56.96	3	— 4 30 56.1	121	n
—	10.0	17 57.10	4	— 4 30 52.0	269	
3192	8.0	10 17 57.22	3	— 22 51 40.4	14	n
3193	10.0	18 7.00	4	— 0 10 55.4	20	
3194	10.0	18 13.29	3	— 10 22 21.5	199	n
—	10.0	18 13.25	4	— 10 22 20.5	273	
3195	10.0	18 24.34	1	— 10 18 29.5	16	
—	10.0	10 18 23.84	2	— 10 18 26.4	271	
3196	9.3	18 31.69	1	— 12 29 31.4	126	
—	10.0	18 31.89	3	— 12 29 29.9	200	
3197	9.0	18 37.67	5	+ 5 7 35.6	13	
3198	8.0	18 45.52	4	+ 6 11 7.5	203	
3199	9.5	10 18 47.71	3	— 21 52 13.5	15	n
3200	10.0	18 48.74	1	— 5 56 20.5	11	
—	10.0	18 49.00	1	— 5 56 25.7	121	u
—	10.0	18 48.77	4	— 5 56 22.7	194	
3201	9.7	18 32.30	3	— 0 52 13.9	122	
—	10.0	10 18 52.37	3	— 0 52 13.8	192	
3202	9.5	19 0.91	3	+ 4 5 24.1	19	
3203	9.7	19 21.54	3	+ 6 55 51.8	124	
3204	7.8	19 33.64	3	— 12 9 16.2	14	
3205	10.0	19 41.01	3	— 14 50 19.9	17	
3206	9.0	10 19 45.44	4	+ 8 38 48.2	266	
—	8.0	19 45.39	6	+ 8 38 47.2	268	
3207	9.5	19 54.07	2	+ 4 30 37.0	124	
—	10.0	19 53.70	4	+ 4 30 35.3	204	
3208	10.0	19 54.53	3	— 11 24 8.4	200	
3209	9.8	10 20 8.05	3	— 4 13 21.4	18	
3210	9.0	20 9.35	3	— 16 1 49.6	126	
3211	8.5	20 10.87	1	+ 7 2 22.6	266	
—	8.0	20 10.72	3	+ 7 2 23.3	269	
3212	10.5	20 24.09	1	— 1 24 44.0	125	u
—	10.0	10 20 24.20	2	— 1 24 45.2	192	
3213	8.5	20 28.38	3	— 11 28 3.0	15	
3214	10.0	20 39.18	3	+ 1 46 31.4	122	
3215	9.8	20 39.57	2	— 5 53 43.3	121	
—	9.3	20 39.39	3	— 5 53 43.6	194	
3216	10.0	10 20 42.91	3	+ 8 31 53.5	13	
3217	7.0	20 43.30	1	— 3 46 44.8	9	n A.R. + 1s corr.
—	7.0	20 43.33	3	— 3 46 43.5	19	
3218	9.0	20 43.45	3	+ 8 15 48.7	12	
3219	9.0	20 51.65	4	— 15 45 43.7	15	

No.	Grösse	Rectascension 1880.0 h m s	Fäden	Declination 1880.0 ° ′ ″	Zone	Bemerkungen
3220	8.0	10 21 8.59	4	+ 7 49 37.4	203	
3221	8.0	21 30.77	3	— 3 49 25.5	194	
3222	9.6	21 50.02	4	— 14 51 18.7	17	
3223	9.1	22 1.83	3	+ 4 8 52.6	12	
3224	9.5	22 6.38	3	+ 1 44 38.0	20	
—	9.7	10 22 6.20	2	+ 1 44 36.6	122	
3225	9.5	22 14.02	5	+ 3 15 57.6	124	
3226	9.7	22 19.69	3	— 4 12 8.6	121	
3227	9.0	22 23.82	4	— 15 40 48.6	197	n
—	7.5	22 23.91	4	— 15 40 47.5	272	
3228	8.2	10 22 40.17	3	— 4 48 18.1	194	
3229	9.0	22 40.98	3	— 15 32 39.2	126	
3230	10.0	22 40.85	3	— 1 39 40.7	192	n
—	10.0	22 41.22	4	— 1 39 39.2	271	
3231	10.0	22 42.15	2	+ 8 58 33.0	125	
—	11.0	10 22 41.55	4	+ 8 58 32.4	204	
3232	10.0	22 46.08	3	+ 4 3 49.7	202	
3233	8.5	22 49.97	3	+ 1 28 —	10	A
—	10.0	22 49.83	4	+ 1 28 36.4	195	
—	9.0	22 49.81	4	+ 1 28 37.9	269	
3234	9.5	10 22 52.78	4	+ 9 53 10.1	203	
3235	8.5	22 53.88	4	— 13 51 10.0	127	
—	8.5	22 53.71	4	— 13 51 10.2	273	
3236	9.0	22 57.47	3	— 21 47 9.8	14	n
3237	9.0	23 0.09	4	+ 5 14 0.4	19	
3238	10.0	10 23 0.70	3	— 9 53 55.5	199	n
—	10.0	23 0.59	4	— 9 53 56.6	270	
3239	10.0	23 5.73	5	— 15 32 4.8	15	
3240	9.8	23 7.83	4	— 11 39 40.1	200	
3241	8.6	23 10.57	4	— 13 11 12.0	16	
3242	10.0	10 23 14.94	1	+ 6 56 53.1	204	
—	10.0	23 14.87	4	+ 6 56 51.2	205	
3243	7.8	23 19.07	3	— 21 38 24.0	17	n
—	9.0	23 19.17	1	— 21 38 24.4	126	
3244	9.0	23 32.38	4	— 5 6 20.4	11	
3245	8.8	10 23 32.67	6	+ 8 39 30.0	266	
—	8.5	23 32.53	6	+ 8 39 28.7	268	
3246	7.9	23 43.82	6	— 3 40 32.4	9	
—	8.0	23 44.29	6	— 3 40 32.7	341	
3247	8.0	23 55.41	3	— 21 38 —	126	n
—	8.0	10 23 55.59	4	— 21 37 59.0	196	
3248	9.0	24 10.42	3	— 9 4 53.3	127	
3249	9.8	24 17.14	3	+ 2 56 38.0	122	
3250	9.0	24 17.85	3	— 1 48 5.5	192	n
—	10.0	24 17.72	4	— 1 48 7.8	271	
3251	9.0	10 24 19.16	2	— 10 23 43.5	14	
—	9.5	24 19.15	3	— 10 23 41.2	199	
3252	8.4	24 19.99	3	+ 7 14 28.4	125	
—	8.0	24 19.92	3	+ 7 14 28.4	205	
3253	8.9	24 22.33	3	— 16 3 38.1	16	
3254	9.0	10 24 23.77	4	— 11 31 7.7	200	
3255	9.5	24 28.79	3	+ 4 31 7.6	12	
3256	9.5	24 29.36	4	— 17 14 53.4	197	n
—	9.0	24 29.62	4	— 17 14 54.5	270	
3257	9.5	24 44.18	3	— 4 26 28.5	18	
3258	9.9	10 24 44.56	4	+ 1 24 59.7	20	
3259	9.5	24 50.01	3	+ 7 14 1.4	124	
3260	9.8	24 53.68	2	— 7 49 53.7	121	
—	9.5	24 53.55	3	— 7 49 53.9	269	
3261	8.2	24 57.09	3	— 6 22 58.5	128	
3262	9.0	10 25 6.16	3	— 4 25 52.8	194	
3263	10.0	25 22.61	2	+ 3 1 3.5	125	
—	9.5	25 22.49	4	+ 3 1 2.4	272	
3264	10.0	25 24.91	3	+ 2 55 19.8	122	
3265	9.0	25 37.25	3	+ 7 33 43.9	203	
—	9.5	10 25 37.44	4	+ 7 33 44.1	204	
—	9.0	25 37.29	4	+ 7 33 46.2	205	
3266	8.0	25 43.44	3	— 16 27 35.8	196	n
—	9.0	25 43.32	4	— 16 27 39.2	197	
3267	10.0	25 43.57	3	— 11 23 4.2	200	n
—	9.5	10 25 43.50	4	— 11 23 2.5	268	
3268	9.0	25 46.52	4	+ 3 35 33.4	13	
3269	10.0	25 46.60	4	+ 1 5 32.1	195	n
3270	8.0	25 52.12	3	+ 5 51 45.3	202	
3271	8.8	25 52.65	4	— 9 13 58.0	127	
3272	10.0	10 26 1.94	3	+ 7 39 9.5	12	
3273	10.0	26 6.62	3	— 10 19 54.8	199	n
—	10.0	26 6.71	1	— 10 19 54.5	270	
3274	9.0	26 8.18	3	— 21 34 44.0	126	n
3275	8.0	26 14.35	3	— 7 34 41.9	121	
3276	9.5	10 26 22.63	3	— 7 55 9.9	9	
—	9.3	26 22.91	3	— 7 55 8.8	194	
3277	8.5	26 33.08	3	— 13 46 28.3	14	
—	8.5	26 32.77	4	— 13 46 27.7	273	
3278	9.8	26 39.45	1	+ 2 40 12.2	19	
—	10.0	10 26 39.19	3	+ 2 40 15.4	192	
3279	10.0	26 58.56	1	+ 1 51 36.6	122	
—	10.0	26 58.16	1	+ 1 51 33.5	195	
3280	9.0	27 3.99	3	+ 6 59 5.6	124	
—	9.0	27 3.68	4	+ 6 59 5.3	204	
3281	9.0	10 27 6.55	5	+ 7 42 8.0	205	n
3282	9.0	27 8.62	4	— 13 23 49.1	15	
3283	7.5	27 11.13	2	— 21 54 39.0	126	n
3284	9.2	27 12.68	4	— 15 12 4.1	16	
—	9.5	27 12.80	2	— 15 12 3.5	197	
3285	10.0	10 27 15.87	2	— 6 35 49.4	18	
—	9.5	27 15.78	3	— 6 35 48.4	341	
3286	8.5	27 16.28	3	— 11 10 19.5	14	
—	9.0	27 15.98	4	— 11 10 19.5	200	
3287	9.0	27 25.96	5	— 11 50 38.3	17	

No.	Grösse	Rectascension 1880.0 h	m	s	Fäden	Declination 1880.0 °	′	″	Zone	Bemerkungen
3288	9.0	10	27	29.87	3	— 21	10	34.2	127	n
3289	10.0		27	30.57	3	— 7	55	18.3	194	n
—	10.0		27	30.75	4	— 7	55	17.1	271	
3290	9.5		27	33.47	3	+ 7	19	59.4	266	
3291	9.0		27	34.96	3	— 10	18	18.7	199	
3292	8.0	10	27	36.45	4	+ 4	48	30.7	202	
3293	10.0		27	37.09	4	+ 9	21	47.8	203	
3294	10.0		27	40.09	2	— 9	9	23.9	128	
—	10.0		27	40.11	4	— 9	9	19.9	196	
3295	8.0		27	41.54	4	— 21	57	59.2	129	n
3296	10.0	10	27	47.48	2	+ 7	27	50.5	13	
—	10.0		27	48.02	2	+ 7	27	48.0	201	
3297	9.3		27	48.55	3	+ 1	56	45.5	268	
3298	9.4		28	12.24	4	+ 1	47	8.6	125	n
—	10.0		28	12.07	4	+ 1	47	6.7	269	
3299	9.2	10	28	13.22	3	+ 4	14	14.1	12	
3300	8.5		28	16.39	2	— 8	39	38.5	11	
—	9.0		28	16.14	4	— 8	39	42.0	272	
3301	10.0		28	32.27	3	+ 8	28	32.3	124	
3302	9.5		28	40.88	3	— 12	20	23.2	15	
3303	9.0	10	28	42.12	4	+ 5	9	21.1	204	
3304	7.0		28	45.25	6	— 3	16	30.8	9	
—	7.0		28	45.25	4	— 3	16	30.6	194	
—	7.3		28	45.31	6	— 3	16	30.0	121	
3305	9.8		28	51.07	3	+ 1	50	19.3	122	
3306	10.0	10	28	51.64	3	— 16	17	31.8	197	n
—	10.0		28	51.82	4	— 16	17	31.4	272	
3307	10.0		28	57.46	2	— 15	19	11.8	17	
—	10.0		28	57.51	2	— 15	19	10.8	196	
—	10.0		28	57.43	3	— 15	19	12.7	274	
3308	10.0	10	29	2.63	1	— 9	13	28.2	126	
—	10.0		29	2.31	2	— 9	13	23.7	128	
—	10.0		29	2.27	3	— 9	13	25.8	270	
3309	9.0		29	4.06	5	+ 6	25	42.4	205	
3310	9.5		29	6.49	1	+ 5	42	20.5	13	u
—	9.0	10	29	6.91	4	+ 5	42	18.2	19	
—	9.5		29	6.84	5	+ 5	42	18.5	341	
3311	9.0		29	10.21	3	+ 2	45	2.3	192	
3312	8.0		29	27.65	3	+ 5	43	12.9	12	
—	9.0		29	27.28	3	+ 5	43	12.5	204	
3313	9.8	10	29	28.63	3	— 15	37	14.3	14	
3314	10.0		29	29.48	2	+ 1	15	48.4	125	
—	10.0		29	29.32	3	+ 1	15	50.8	199	
3315	9.0		29	36.32	3	+ 3	10	38.7	201	
3316	9.0		29	36.49	2	+ 3	10	29.-	201	Decl. gesch.
—	9.0	10	29	36.51	2	+ 3	10	31.1	273	
3317	10.0		29	37.54	2	+ 2	23	28.4	195	
—	11.0		29	37.09	2	+ 2	23	32.1	200	
3318	8.2		29	48.51	3	+ 7	39	34.1	203	
3319	8.7		30	4.43	3	— 11	17	3.9	16	
—	8.8	10	30	4.45	3	— 11	17	1.9	127	
—	8.0		30	4.46	4	— 11	17	3.5	266	
—	8.0		30	4.51	4	— 11	17	4.1	268	
3320	10.0		30	20.97	2	+ 2	33	7.7	18	n
—	10.0		30	21.24	2	+ 2	33	9.2	199	
3321	9.0	10	30	25.82	4	— 4	12	27.3	121	
—	9.0		30	25.60	3	— 4	12	28.0	194	
3322	9.2		30	27.81	4	— 15	34	46.9	197	n
—	9.2		30	27.93	4	— 15	34	45.2	271	
3323	9.3		30	33.97	3	+ 5	6	50.9	202	n
—	9.7	10	30	33.91	2	+ 5	6	50.5	341	
3324	9.8		30	44.05	3	— 9	12	35.1	126	
—	9.6		30	44.03	4	— 9	12	38.0	128	
3325	9.0		30	47.26	4	+ 5	24	33.9	205	
3326	9.0		30	58.02	3	— 14	47	26.7	196	
3327	9.6	10	30	58.65	3	— 4	57	9.4	9	
3328	10.0		31	8.78	4	+ 2	37	51.5	266	
3329	9.0		31	10.79	4	— 11	40	54.0	129	n
—	9.0		31	10.55	4	— 11	40	53.7	272	
3330	10.0		31	11.51	3	+ 9	14	39.8	203	
3331	9.5	10	31	11.52	5	+ 0	8	51.9	122	
3332	9.0		31	22.72	3	+ 5	42	36.3	12	
3333	9.0		31	27.71	3	+ 0	1	27.4	274	
3334	7.7		31	30.83	4	— 11	46	21.6	127	n
—	7.5		31	30.99	3	— 11	46	20.2	271	
3335	9.0	10	31	36.40	3	+ 0	7	49.4	268	
—	9.5		31	36.23	3	+ 0	7	51.6	270	
3336	10.0		31	41.69	3	+ 5	59	3.9	124	
—	9.3		31	41.55	3	+ 5	59	0.6	201	
3337	10.0		31	45.62	4	+ 9	23	10.2	203	
3338	10.0	10	31	50.74	1	— 0	12	3.9	20	
3339	9.5		31	52.73	3	+ 2	7	3.7	199	
3340	8.0		31	59.98	4	— 12	19	17.3	342	n
3341	10.0		32	5.12	3	— 8	37	49.8	194	
—	10.0		32	5.12	3	— 8	37	48.8	268	
3342	10.0	10	32	7.69	2	+ 1	52	15.0	266	dpl. sq.
—	9.0		32	7.73	4	+ 1	52	15.6	269	
3343	9.7		32	7.83	4	— 7	51	59.6	128	
3344	10.0		32	8.85	2	— 12	19	29.2	129	n
3345	10.0		32	8.94	1	— 5	18	57.3	13	u
—	9.7	10	32	8.92	3	— 5	18	54.1	121	
3346	10.5		32	16.41	1	+ 5	59	56.0	124	
—	10.0		32	16.54	3	+ 5	59	56.7	204	
3347	10.0		32	19.69	4	+ 8	46	18.6	125	
3348	9.8		32	24.08	3	+ 3	13	2.8	202	
3349	8.0	10	32	28.16	4	+ 6	21	28.6	205	
3350	10.0		32	30.07	3	— 10	11	54.1	14	
3351	10.0		32	42.80	3	+ 4	29	14.2	204	
3352	9.5		32	42.99	3	— 13	7	41.8	127	n
—	10.0		32	42.72	3	— 13	7	43.1	273	

No.	Grösse	Rectascension 1880.0 h m s	Fäden	Declination 1880.0 ° ′ ″	Zone	Bemerkungen
3353	9.0	10 32 44.73	3	+ 4 23 23.6	19	
—	9.0	32 45.07	2	+ 4 23 23.7	201	
3354	9.6	32 56.15	3	− 9 31 29.6	126	
3355	8.0	32 57.06	5	− 6 2 40.1	9	
3356	7.0	32 57.51	5	− 15 6 22.5	196	
3357	10.0	10 33 0.20	2	− 15 19 14.9	197	n
—	9.5	33 0.18	4	− 15 19 14.5	272	
3358	9.0	33 16.09	3	+ 8 26 51.8	202	
3359	7.0	33 29.20	4	− 7 20 19.5	194	
3360	9.3	33 29.36	4	− 7 59 48.0	128	
3361	8.7	10 33 42.84	3	− 22 9 0.5	15	n
3362	8.0	33 52.63	3	+ 0 28 41.5	122	
—	9.0	33 52.25	4	+ 0 28 40.2	200	
—	9.0	33 52.41	5	+ 0 28 40.0	270	
3363	9.5	33 57.79	3	+ 6 49 44.8	202	
3364	9.6	10 33 58.29	3	+ 8 22 8.4	125	
3365	9.0	33 58.68	3	+ 7 14 34.5	124	
—	9.0	33 58.42	4	+ 7 14 34.7	205	
3366	9.5	34 4.60	2	+ 4 45 42.9	12	
—	9.5	34 5.07	4	+ 4 45 40.3	341	
3367	9.0	10 34 6.38	3	− 15 42 4.3	126	
3368	9.7	34 13.17	3	− 1 18 18.2	20	
3369	9.0	34 14.76	3	− 12 46 37.1	17	
—	9.3	34 14.61	4	− 12 46 33.5	179	
3370	8.0	34 15.47	3	− 8 25 7.7	18	
3371	10.0	10 34 18.14	3	+ 8 21 20.9	201	
3372	8.5	34 23.56	3	− 5 51 24.3	11	
3373	8.5	34 30.86	4	− 12 39 14.0	127	
	9.0	34 30.96	4	− 12 39 13.1	269	
3374	9.5	34 47.38	3	+ 6 25 25.2	203	
3375	9.0	10 34 49.58	2	− 8 24 45.3	128	
3376	9.8	34 57.34	3	+ 2 35 18.7	199	
3377	9.6	34 58.79	4	− 15 9 8.9	196	
3378	9.0	35 0.86	3	− 11 34 20.4	126	
3379	8.0	35 3.82	5	− 22 10 40.1	197	n
3380	10.0	10 35 15.48	2	+ 8 49 50.3	201	
3381	10.0	35 27.30	3	− 4 10 10.4	204	
3382	10.0	35 43.77	3	+ 1 11 0.6	200	
3383	10.0	35 46.85	3	− 1 26 2.3	199	
3384	9.0	35 49.29	2	− 8 6 20.9	128	
—	10.0	10 35 49.18	4	− 8 6 20.1	205	
3385	9.0	35 50.15	4	− 22 46 35.7	127	n
3386	10.0	35 59.79	2	− 0 55 2.9	341	
—	9.7	36 0.11	3	− 0 55 6.2	20	f
3387	9.4	36 11.44	3	− 14 44 35.1	126	
3388	8.0	10 36 11.84	3	+ 8 57 36.2	202	
3389	9.5	36 15.12	3	+ 7 17 50.7	266	
3390	8.0	36 27.49	2	− 5 53 25.4	11	
3391	10.0	36 31.73	3	+ 9 18 18.0	203	
3392	10.0	36 32.51	2	+ 8 59 35.2	201	

No.	Grösse	Rectascension 1880.0 h m s	Fäden	Declination 1880.0 ° ′ ″	Zone	Bemerkungen
3393	9.5	10 36 50.29	1	− 21 35 28.3	14	n
—	9.3	36 50.34	2	− 21 35 28.9	16	
3394	10.0	36 57.31	1	− 11 1 7.2	127	u
—	10.0	36 57.06	2	− 11 1 3.8	197	
—	9.0	36 57.22	2	− 11 1 3.0	269	
3395	10.0	10 36 57.92	3	+ 6 28 33.6	124	
3396	7.5	36 58.42	3	− 3 46 43.9	13	u
—	7.5	36 58.26	4	− 3 46 45.0	18	
—	9.0	36 58.38	3	− 3 46 44.7	194	
3397	7.5	37 7.16	4	− 22 55 16.5	17	n
3398	10.0	10 37 13.26	3	− 8 27 7.3	204	
3399	10.0	37 19.30	2	− 10 13 0.3	126	
—	10.0	37 19.17	4	− 10 12 55.8	205	
—	10.0	37 19.02	4	− 10 12 56.1	272	
3400	8.7	37 28.42	3	+ 6 35 53.0	202	
3401	10.0	10 37 38.15	3	+ 1 41 35.8	266	
3402	8.0	37 38.78	2	− 4 1 27.2	9	
—	9.0	37 38.81	3	− 4 1 27.1	204	
3403	10.0	37 42.03	3	− 11 3 55.9	200	
—	9.5	37 42.37	4	− 11 3 54.6	274	
3404	10.0	10 37 52.25	1	+ 8 51 —	19	
—	10.0	37 52.25	2	+ 8 51 8.6	125	
—	10.0	37 52.21	3	+ 8 51 7.4	271	
3405	10.5	37 55.66	3	+ 9 16 39.9	203	
3406	9.0	37 57.27	3	− 13 14 41.8	128	
3407	10.0	10 37 58.55	4	− 10 2 7.6	196	
3408	10.0	38 7.26	3	+ 2 53 30.2	199	
3409	9.5	38 14.98	2	− 14 33 7.6	15	
—	10.0	38 14.96	3	− 14 33 6.0	273	
3410	10.0	38 17.43	3	− 14 55 6.1	197	
3411	9.8	10 38 22.06	3	+ 6 57 50.6	124	
3412	9.5	38 23.03	3	− 1 42 32.7	20	
3413	9.0	38 47.87	3	+ 8 46 17.4	201	
3414	10.0	38 50.84	3	+ 1 23 10.4	200	
3415	9.3	38 51.56	3	+ 7 12 29.0	12	
3416	9.0	10 38 53.23	3	+ 8 50 30.9	201	d
—	10.0	38 53.16	3	+ 8 50 32.4	202	
—	10.0	38 53.04	4	+ 8 50 34.0	206	
3417	10.0	39 6.06	2	+ 4 11 47.0	268	n
3418	8.3	39 6.87	3	+ 1 9 26.0	199	
3419	8.9	10 39 9.09	3	+ 9 4 39.0	203	n
3420	9.0	39 13.99	3	− 2 38 48.4	204	
3421	10.0	39 17.84	4	− 0 47 13.7	205	
3422	9.3	39 28.43	3	+ 7 25 13.6	125	
3423	9.7	39 31.33	2	− 11 12 52.0	14	AR. + 1s corr
—	10.0	10 39 31.26	4	− 11 12 48.7	127	
—	10.0	39 31.34	3	− 11 12 48.7	271	
3424	10.0	39 32.12	3	− 0 51 47.6	200	
3425	9.0	39 32.79	4	− 6 56 58.1	130	n
—	9.0	39 32.51	3	− 6 57 0.2	273	

No.	Grösse	Rectascension 1880.0 h m s	Fäden	Declination 1880.0 ° ′ ″	Zone	Bemerkungen
3426	10.0	10 39 40.79	3	— 4 38 36.9	266	n
3427	9.5	39 41.59	3	— 12 59 26.8	16	
3428	10.0	39 42.25	2	+ 8 57 1.6	202	u f
3429	8.9	39 45.22	4	+ 8 36 40.4	19	
3430	10.5	39 58.17	1	— 11 52 14.5	128	n
—	10.0	10 39 57.63	1	— 11 52 18.6	196	
3431	8.1	40 9.63	3	— 4 20 45.8	11	
—	8.0	40 9.80	2	— 4 20 48.9	129	
3432	8.9	40 15.91	3	+ 3 55 59.3	12	
3433	10.0	40 16.52	2	+ 0 15 27.0	199	
3434	9.8	10 40 17.27	3	— 3 59 44.0	18	
3435	9.0	40 21.50	4	— 14 30 26.9	197	
3436	9.0	40 22.50	3	— 22 48 6.7	15	n
3437	10.0	40 24.44	3	— 9 48 58.7	126	
3438	8.0	40 28.48	2	— 12 49 44.5	127	
—	7.0	10 40 28.68	5	— 12 49 42.2	269	
3439	9.2	40 39.58	3	— 12 56 7.6	17	
—	9.0	40 39.25	4	— 12 56 4.0	272	
3440	9.3	40 47.40	3	+ 11 33 27.6	203	
3441	9.7	40 56.83	3	+ 8 1 18.5	125	
3442	8.0	10 41 8.79	3	— 11 23 9.1	131	
—	8.3	41 8.64	4	— 11 23 9.4	274	
3443	10.0	41 16.10	3	+ 7 18 10.3	201	
3444	9.8	41 35.24	1	+ 3 19 14.3	204	
—	10.0	41 35.23	3	+ 3 19 14.6	271	
3445	9.0	10 41 40.71	3	+ 8 59 26.7	125	
3446	10.0	41 43.51	3	— 0 35 28.0	20	f
—	9.7	41 43.52	4	— 0 35 25.7	341	
3447	9.0	41 44.82	2	— 14 36 42.-	126	Decl. gesch.
—	8.0	41 44.84	4	— 14 36 42.6	273	
3448	8.0	10 41 45.07	3	— 14 36 32.7	14	
—	9.0	41 45.12	3	— 14 36 34.0	126	
3449	9.5	41 48.10	1	+ 8 58 —	125	
—	10.0	41 48.13	3	+ 8 58 36.2	202	
3450	10.0	41 53.82	2	— 11 23 19.1	127	
—	10.0	10 41 53.80	3	— 11 23 15.4	197	
3451	10.0	41 57.20	3	+ 7 29 10.3	203	
3452	9.0	41 57.70	4	+ 7 25 23.8	12	
3453	10.0	41 59.84	3	+ 8 59 21.1	205	
—	9.0	41 59.87	4	+ 8 59 18.6	342	
—	8.8	10 42 0.08	1	+ 8 59 19.8	202	
3454	9.2	42 4.57	4	+ 3 53 31.8	19	
—	9.5	42 4.38	4	+ 3 53 33.0	206	
3455	10.0	42 5.60	4	— 13 48 36.4	128	
—	9.3	42 5.41	4	— 13 48 37.1	268	
3456	9.0	10 42 17.56	2	— 13 31 20.0	131	
—	10.0	42 17.16	3	— 13 31 19.4	196	
3457	11.0	42 25.64	3	+ 5 19 21.9	266	u
3458	10.0	42 26.13	3	— 1 10 12.6	200	
3459	10.0	42 33.84	2	— 9 12 28.2	17	
—	10.0	10 42 33.68	4	— 9 12 31.1	269	
3460	9.3	42 37.04	3	— 7 39 39.6	130	
3461	9.8	42 38.61	3	— 3 2 51.4	18	
3462	9.0	42 53.02	2	— 21 47 0.7	196	n
3463	8.0	42 57.53	4	— 7 32 4.9	9	
3464	10.0	10 42 58.77	2	— 13 15 52.5	128	
—	10.0	42 58.70	3	— 13 15 48.5	197	
3465	9.3	43 8.09	4	+ 6 20 48.3	201	
3466	10.0	43 12.56	3	+ 4 49 31.3	204	
3467	9.5	43 13.80	4	+ 3 5 53.9	205	
3468	9.5	10 43 28.45	3	— 1 47 42.6	199	
—	10.0	43 27.90	2	— 1 47 41.9	266	
—	9.0	43 28.29	3	— 1 47 44.7	342	
3469	9.0	43 35.50	3	— 8 23 31.5	11	
3470	9.0	43 41.71	5	— 21 31 52.4	15	n
3471	3.0	10 43 42.30	2	— 15 33 58.9	14	
—	3.0	43 42.31	2	— 15 33 55.7	273	
3472	9.0	43 45.96	1	+ 7 9 26.9	201	
—	10.0	43 46.11	3	+ 7 9 27.7	202	
3473	10.0	43 50.62	3	— 0 9 25.5	200	
3474	8.0	10 43 56.28	1	+ 3 6 21.6	268	
—	9.0	43 56.13	3	+ 3 6 23.3	269	
3475	9.5	44 0.23	3	+ 8 10 36.8	125	
3476	8.2	44 1.58	3	— 2 34 5.6	199	n
3477	10.0	44 4.55	3	— 12 43 4.4	126	
3478	10.0	10 44 7.46	1	+ 0 22 52.1	200	
—	10.0	44 7.63	2	+ 0 22 51.9	205	
—	10.0	44 7.84	2	+ 0 22 52.7	271	
3479	8.0	44 10.73	3	— 5 1 11.2	18	Decl +3′corr.
3480	9.0	44 16.26	3	+ 5 11 8.7	12	
3481	8.0	10 44 24.—	—	— 6 2 15.6	9	u
3482	10.0	44 24.62	3	+ 9 48 50.8	203	
3483	10.0	44 24.91	3	— 3 19 1.9	130	
3484	9.0	44 26.89	2	— 12 48 20.-	17	Decl. gesch.
—	9.8	44 26.82	3	— 12 48 17.8	127	
3485	9.0	10 44 29.69	4	+ 3 13 13.1	204	
3486	9.0	44 33.26	3	— 12 47 47.0	17	n
—	10.0	44 33.21	4	— 12 47 46.7	272	
3487	9.8	44 36.56	4	+ 7 6 7.7	124	
3488	9.0	44 48.94	3	— 5 13 56.7	131	n
3489	8.0	10 44 49.39	3	+ 5 40 4.6	19	
—	9.0	44 49.09	4	+ 5 40 2.9	206	
3490	8.5	44 56.27	2	— 5 2 26.8	11	a
3491	8.0	45 1.30	4	+ 3 20 50.8	125	
3492	9.0	45 8.37	1	— 5 15 27.3	130	
—	7.8	10 45 8.42	3	— 5 15 —	131	
3493	9.0	45 18.79	3	— 13 9 45.3	15	
—	9.0	45 19.06	4	— 13 9 45.4	197	
3494	10.5	45 20.94	2	— 11 28 23.5	128	
3495	9.5	45 22.82	4	+ 7 12 59.2	201	

No.	Grösse	Rectascension 1880.0 h	m	s	Fäden	Declination 1880.0 °	′	″	Zone	Bemerkungen
—	9.0	10	45	22.83	3	+ 7	13	0.3	202	
3496	9.7		45	30.23	3	— 0	0	53.2	27	
—	9.0		45	30.21	1	— 0	0	52.2	199	
3497	7.5		45	35.33	3	— 1	57	37.5	20	
3498	10.0		45	41.83	3	+ 3	4	54.3	266	n
—	9.3	10	45	41.94	3	+ 3	4	55.7	268	
—	9.5		45	41.77	3	+ 3	4	56.9	269	
3499	10.0		45	44.36	4	— 15	12	37.7	196	
3500	8.2		45	47.45	3	+ 9	29	21.3	203	n
3501	10.0		45	51.68	3	+ 0	15	51.3	200	
3502	10.0	10	45	53.46	2	+ 0	29	4.1	205	n
—	10.0		45	53.30	4	+ 0	29	2.0	274	
3503	9.0		45	54.54	2	+ 8	6	4.-	19	Decl. gesch.
3504	10.0		45	55.18	2	— 12	23	7.7	14	
—	9.3		45	55.07	3	— 12	23	6.1	127	
3505	8.8	10	45	55.16	3	+ 8	5	55.5	12	
—	7.7		45	55.23	2	+ 8	5	54.3	19	
3506	9.0		46	3.34	4	+ 4	24	12.1	204	
3507	8.0		46	23.37	5	+ 5	38	29.0	124	
—	8.5		46	23.39	4	+ 5	38	25.7	206	
3508	9.0	10	46	35.16	4	— 13	10	19.3	17	
3509	8.0		46	35.60	3	+ 7	51	19.4	202	
3510	10.0		46	40.76	2	+ 8	35	52.2	125	
—	10.0		46	40.82	3	+ 8	35	51.4	201	
3511	7.0		46	45.74	4	— 15	57	5.2	196	
3512	6.0	10	46	47.10	3	— 6	10	44.2	9	
3513	9.3		46	56.33	3	+ 1	39	38.1	199	
3514	10.0		47	6.17	3	— 9	11	16.7	127	
3515	9.8		47	11.47	3	— 13	40	0.2	126	
—	9.2		47	11.52	6	— 13	39	54.8	341	
3516	9.0	10	47	12.06	3	+ 10	50	33.3	203	
3517	10.0		47	17.28	4	— 21	23	13.0	128	n
3518	9.8		47	20.99	3	+ 1	36	44.5	200	
3519	9.0		47	32.06	4	— 0	42	59.9	205	
3520	9.0		47	39.48	3	+ 6	8	8.5	206	
3521	10.0	10	47	41.63	2	+ 3	12	52.8	201	
—	10.0		47	41.54	4	+ 3	12	53.5	266	
3522	9.7		47	41.82	3	— 10	46	16.1	15	
3523	10.0		47	51.55	1	— 5	37	29.5	18	u
—	10.0		47	51.79	3	— 5	37	26.9	204	
3524	9.0	10	48	3.31	3	+ 8	38	31.0	124	
3525	9.5		48	8.31	3	+ 8	42	0.2	19	
3526	10.0		48	12.63	3	+ 10	42	32.1	203	
3527	8.0		48	16.81	3	— 22	32	29.0	14	n
3528	7.0		48	31.95	4	+ 6	29	12.6	12	
3529	10.0	10	48	45.46	4	+ 7	44	8.4	125	
3530	10.0		48	51.88	2	— 21	18	45.9	196	n
3531	10.0		48	53.26	3	+ 5	36	30.1	202	
—	10.0		48	53.36	4	+ 5	36	28.5	342	
—	10.0		48	53.68	2	+ 5	36	31.2	201	
3532	9.5	10	48	56.58	2	+ 10	36	54.0	203	
—	10.0		48	56.90	1	+ 10	36	54.0	343	
3533	10.0		48	58.19	2	— 13	36	18.3	127	
—	10.0		48	57.98	3	— 13	36	19.0	197	
3534	9.0		48	58.92	3	— 14	48	50.0	126	
—	8.7	10	48	58.75	3	— 14	48	49.0	274	
3535	9.6		49	4.07	2	+ 3	33	8.8	124	
—	9.1		49	4.12	3	+ 3	33	8.9	341	
3536	9.5		49	4.25	4	— 16	49	45.9	128	
3537	9.5		49	9.02	4	— 0	47	7.2	205	
3538	8.0	10	49	14.11	4	— 7	30	37.1	11	
3539	8.5		49	14.—	-	— 5	12	50.9	9	
—	10.0		49	14.16	4	— 5	12	51.2	268	
—	9.0		49	14.23	4	— 5	12	49.3	269	
3540	8.5		49	17.54	3	— 6	57	40.1	266	
3541	8.5	10	49	20.43	3	— 6	19	15.5	130	
3542	9.0		49	24.02	4	+ 7	36	2.9	206	
3543	7.0		49	34.33	3	— 22	24	1.8	131	n
3544	10.0		49	36.31	1	— 10	12	55.1	126	u
—	10.0		49	36.54	3	— 10	12	59.0	197	
3545	9.5	10	49	49.09	3	— 0	21	44.7	205	
3546	8.2		49	52.17	3	— 2	15	4.3	199	
3547	9.0		49	53.40	4	— 5	59	17.4	18	
—	9.8		49	53.02	3	— 5	59	18.2	204	
3548	7.8		49	58.68	4	— 0	58	42.1	20	
—	8.0	10	49	58.23	4	— 0	58	42.3	200	
—	7.5		49	58.32	5	— 0	58	39.5	271	
3549	6.5		50	19.41	4	— 9	59	2.8	14	
3550	9.0		50	21.09	3	+ 7	54	0.1	202	n
3551	10.0		50	23.88	3	+ 8	1	24.1	266	
3552	10.0	10	50	38.02	2	+ 8	1	1.0	124	
3553	10.0		50	39.77	2	+ 3	18	38.0	12	
—	10.0		50	40.02	1	+ 3	18	37.8	342	
3554	10.0		50	40.25	3	— 3	4	34.5	130	
3555	9.7		50	48.67	3	— 0	12	23.6	199	
3556	8.8	10	50	50.76	3	— 16	48	27.3	128	
—	9.0		50	50.79	4	— 16	48	27.0	196	
3557	9.5		50	52.01	4	— 9	24	37.4	15	
—	9.2		50	52.25	3	— 9	24	37.7	127	
—	10.0		50	52.25	3	— 9	24	39.3	129	
3558	9.0	10	50	59.35	4	— 17	51	9.2	131	
3559	7.0		51	1.52	2	— 21	23	40.2	14	n
3560	9.3		51	8.01	3	+ 5	45	58.3	206	
3561	11.0		51	15.52	2	+ 2	25	21.8	200	n
—	11.0		51	15.74	2	+ 2	25	24.4	341	u
3562	8.7	10	51	21.07	1	— 15	5	38.1	128	
—	8.8		51	20.87	5	— 15	5	37.7	273	
3563	10.0		51	21.35	3	+ 8	8	0.5	203	
3564	9.0		51	29.61	2	— 17	38	58.9	17	n
—	9.0		51	29.53	4	— 17	38	59.6	274	

No.	Grösse	Rectascension 1880.0 h m s	Fäden	Declination 1880.0 ° ' "	Zone	Bemerkungen
3565	9.0	10 51 30.59	1	— 10 26 55.6	127	dpl. austr.
3566	9.5	51 30.47	3	— 10 26 48.8	266	dpl. bor.
3567	10.0	51 31.41	1	+ 4 51 44.5	125	
—	10.0	51 31.14	3	+ 4 51 43.7	201	
3568	8.0	51 38.63	2	— 17 39 —	17	
—	8.0	10 51 38.80	3	— 17 39 53.2	197	
3569	10.0	51 40.80	3	— 1 57 25.3	204	
3570	9.0	51 58.21	3	+ 11 25 43.0	19	
3571	11.0	52 1.11	3	— 2 42 42.7	199	n u
—	11.0	52 1.57	3	— 2 42 37.3	205	s
3572	10.0	10 52 9.43	2	— 10 7 0.2	129	u
—	10.0	52 9.22	3	— 10 7 1.9	268	
3573	10.0	52 25.04	4	+ 9 49 0.5	202	
3574	9.3	52 26.64	2	+ 6 0 27.0	206	
3575	10.0	52 29.65	2	— 10 7 42.0	131	
—	9.0	10 52 29.53	4	— 10 7 38.3	269	
3576	10.0	52 44.81	3	+ 11 23 43.3	203	
3577	8.7	52 47.92	3	— 4 2 9.1	130	
3578	9.6	52 47.85	3	+ 7 40 10.1	12	n
—	10.0	52 48.13	3	+ 7 40 11.5	341	
3579	10.0	10 52 57.46	3	— 12 18 29.4	15	
3580	10.0	53 9.44	1	+ 2 53 43.3	20	a
—	10.0	53 9.25	1	+ 2 53 43.2	199	
3581	8.0	53 16.00	1	— 22 36 39.1	17	n
—	7.0	53 15.71	4	— 22 36 40.7	18	
—	8.0	10 53 15.64	4	— 22 36 41.1	197	
3582	9.5	53 16.15	4	— 10 18 44.2	14	
3583	8.3	53 21.33	3	— 16 58 49.3	196	
3584	9.8	53 28.98	3	— 9 52 17.2	126	
3585	6.7	53 35.15	4	— 15 42 37.1	128	
—	6.0	10 53 35.09	4	— 15 42 38.9	274	
3586	9.0	53 38.75	3	— 4 32 37.6	130	
3587	8.6	53 42.38	4	— 1 21 8.0	205	
3588	9.4	53 48.37	3	+ 6 44 26.3	124	
—	10.0	53 48.25	3	+ 6 44 25.9	206	
3589	9.0	10 53 58.00	4	+ 2 52 11.9	201	
—	9.0	53 57.69	6	+ 2 52 11.5	342	
—	9.0	53 57.94	4	+ 2 52 11.3	343	
3590	10.0	54 11.60	4	+ 9 10 57.1	202	
—	10.0	54 11.47	3	+ 9 10 59.5	203	
3591	10.0	10 54 26.88	1	+ 2 39 56.6	19	
—	10.0	54 26.91	4	+ 2 40 0.9	271	
3592	9.8	54 27.55	3	+ 1 1 24.8	200	
3593	8.6	54 36.84	3	— 22 46 26.9	126	n f
3594	8.0	54 40.92	5	+ 6 36 56.8	9	
3595	9.0	10 54 43.42	3	+ 4 6 15.2	125	n
—	9.2	54 43.64	4	+ 4 6 14.7	341	
3596	10.0	54 46.24	3	— 16 26 9.1	198	n
—	10.0	54 46.14	2	— 16 26 5.6	273	
3597	9.0	55 1.73	3	— 13 48 32.6	14	

No.	Grösse	Rectascension 1880.0 h m s	Fäden	Declination 1880.0 ° ' "	Zone	Bemerkungen
—	9.0	10 55 1.48	3	— 13 48 31.6	266	
3598	10.0	55 10.82	2	+ 1 57 1.8	20	
—	10.0	55 10.48	4	+ 1 57 1.7	199	
3599	9.8	55 17.07	3	— 7 36 30.3	131	
3600	9.8	55 22.05	3	— 9 49 16.2	127	
3601	11.0	10 55 22.25	3	— 8 13 46.2	205	n s
3602	9.5	55 22.83	4	— 11 15 23.7	15	
3603	9.6	55 32.12	3	+ 7 30 47.7	202	
—	10.0	55 31.93	4	+ 7 30 47.3	206	
3604	9.5	55 34.00	4	— 13 33 52.5	128	
—	9.0	10 55 33.81	3	— 13 33 49.9	266	
3605	9.3	55 35.95	3	— 22 46 20.1	17	n
3606	9.0	56 1.25	3	+ 6 19 36.6	12	
3607	9.8	56 19.30	3	— 1 9 41.9	199	
—	9.5	56 19.36	4	— 1 9 41.9	268	
3608	9.0	10 56 21.69	4	+ 8 47 6.9	201	
3609	9.0	56 22.16	4	— 14 53 5.0	197	
3610	9.0	56 24.74	3	— 16 6 51.8	196	n
—	9.0	56 24.82	4	— 16 6 52.1	273	
3611	8.0	56 26.50	3	— 7 35 0.6	129	a
—	10.0	10 56 26.45	3	— 7 35 2.1	274	
3612	10.0	56 28.68	4	+ 5 28 54.0	124	
3613	9.0	56 40.04	3	— 22 26 38.8	18	n
3614	10.0	56 43.46	3	+ 9 46 27.7	203	
3615	9.0	56 49.37	3	— 8 40 58.9	130	
3616	10.0	10 56 49.53	1	+ 3 57 40.1	202	n
—	10.0	56 49.90	1	+ 3 57 40.9	271	u s
3617	10.0	56 50.65	3	— 22 58 10.3	126	n
3618	11.0	56 56.98	1	+ 2 0 16.5	200	
—	10.0	56 56.77	2	+ 2 0 17.2	204	
3619	8.0	10 56 58.01	6	— 7 44 41.1	11	
—	8.2	56 58.01	4	— 7 44 42.7	342	
3620	10.0	57 0.16	3	— 6 34 32.9	127	
—	10.0	57 0.00	5	— 6 34 34.0	344	
3621	9.5	57 16.96	3	— 12 43 0.6	14	
3622	8.5	10 57 25.91	3	+ 7 39 44.8	124	
—	10.0	57 25.61	4	+ 7 39 46.5	206	
3623	8.5	57 35.57	3	— 15 15 0.5	197	
3624	10.0	57 48.70	1	— 10 10 47.1	131	n
—	9.5	57 48.83	3	— 10 10 51.3	341	
3625	9.5	10 57 53.79	3	+ 6 30 8.3	125	
3626	9.5	57 53.89	3	+ 6 56 33.6	12	
3627	9.5	58 6.96	4	— 12 57 11.3	205	
3628	10.0	58 11.10	3	— 9 0 16.3	17	
—	10.0	58 10.83	1	— 9 0 16.2	126	
—	10.0	10 58 11.00	4	— 9 0 13.9	128	
3629	9.5	58 11.16	4	— 0 2 54.4	19	
3630	10.0	58 17.41	4	— 14 44 58.2	196	n
3631	10.0	58 18.82	3	+ 11 51 59.0	203	
3632	9.5	58 22.35	4	— 8 21 41.1	129	

No.	Grösse	Rectascension 1880.0 h m s	Fäden	Declination 1880.0 ° ′ ″	Zone	Bemerkungen
—	9.6	10 58 22.22	2	— 8 21 38.9	130	
3633	10.0	58 23.39	4	+ 7 48 36.0	206	n
3634	10.0	58 33.40	1	+ 3 8 4.2	204	u
—	10.0	58 33.52	1	+ 3 8 6.3	205	
3635	9.5	58 35.45	3	— 2 19 33.6	199	
3636	9.5	10 58 46.80	3	+ 11 53 42.4	203	
3637	8.2	58 47.99	3	— 15 36 8.2	197	
3638	9.8	58 51.92	3	+ 6 56 21.9	202	
3639	10.0	58 55.97	3	— 0 37 17.6	266	
3640	10.0	58 57.77	2	— 1 9 13.6	199	
3641	9.7	10 59 13.00	3	— 8 20 24.4	127	
3642	10.0	59 28.09	2	— 15 12 1.9	196	n
3643	10.0	59 29.80	2	+ 4 52 27.7	201	
3644	8.6	59 32.91	4	— 11 31 3.8	131	n
3645	8.0	59 36.14	4	— 4 44 45.8	9	
—	9.0	10 59 36.03	3	— 4 44 46.0	129	
3646	10.0	59 40.95	3	+ 3 42 4.0	202	
3647	10.0	59 52.37	2	+ 4 43 2.1	124	
—	10.0	59 52.05	2	+ 4 43 2.3	204	
3648	9.0	59 52.48	3	— 15 37 36.6	197	n
3649	8.0	10 59 53.62	3	+ 7 40 59.1	268	
3650	11.0	11 0 3.79	3	— 6 41 51.0	198	s
3651	8.5	0 12.88	4	— 12 24 58.8	14	
3652	10.0	0 29.—	—	— 0 4 19.4	270	u s
—	10.5	0 29.00	2	— 0 4 18.0	272	
3653	10.0	11 0 40.57	3	— 15 11 14.4	196	
3654	7.5	0 41.40	6	— 12 21 8.4	338	
—	7.6	0 41.70	6	— 12 21 8.2	340	
3655	9.0	0 43.82	3	— 2 49 0.7	199	
3656	10.0	0 44.82	2	+ 10 22 54.1	203	
3657	9.8	11 0 48.76	3	— 5 52 57.4	130	
3658	9.5	0 49.11	4	+ 3 12 24.0	271	
3659	10.0	0 50.01	3	— 11 12 25.2	268	
3660	9.5	0 50.24	3	+ 10 16 14.3	206	
3661	9.8	1 2.69	3	— 2 40 37.4	20	
3662	10.0	11 1 6.78	2	+ 3 22 27.6	124	u
—	10.0	1 6.63	3	+ 3 22 24.9	201	
3663	9.8	1 12.71	3	+ 0 52 14.8	19	
3664	8.2	1 14.36	3	— 7 57 8.0	129	
—	8.5	1 14.25	3	— 7 57 9.3	344	
3665	8.0	11 1 19.04	5	+ 6 31 33.0	12	
3666	10.0	1 19.70	4	— 7 42 9.4	131	
3667	9.0	1 28.24	4	— 17 9 6.2	127	
3668	10.0	1 29.43	3	+ 4 22 6.2	125	
3669	10.0	1 29.79	3	— 11 10 59.7	197	
3670	10.0	11 1 52.43	3	— 8 47 40.9	205	n
—	10.0	1 52.52	2	— 8 47 38.7	341	
3671	9.0	1 53.47	4	— 15 22 48.5	17	
3672	8.5	2 10.54	3	— 22 11 29.4	14	n
3673	9.0	2 12.22	4	— 5 39 39.6	130	

No.	Grösse	Rectascension 1880.0 h m s	Fäden	Declination 1880.0 ° ′ ″	Zone	Bemerkungen
3674	7.8	11 2 19.06	4	— 15 18 37.3	18	
—	9.0	2 18.82	3	— 15 18 39.2	196	
3675	9.8	2 25.93	2	— 7 29 55.6	131	
—	10.0	2 25.76	4	— 7 29 57.1	274	
3676	9.0	2 30.97	4	— 17 27 49.6	127	
3677	10.0	11 2 32.87	3	+ 9 27 3.9	203	
3678	8.5	2 46.29	4	— 2 4 3.1	129	
—	8.0	2 46.23	5	— 2 4 2.4	199	
3679	10.0	2 53.06	4	+ 6 59 26.8	124	
—	10.0	2 52.89	3	+ 6 59 28.4	202	
3680	9.5	11 3 2.76	2	+ 4 14 28.5	125	
—	10.0	3 2.52	3	+ 4 14 23.5	201	
—	10.0	3 2.46	5	+ 4 14 25.3	342	
3681	9.8	3 5.93	2	— 11 3 33.0	196	
—	9.8	3 5.94	3	— 11 3 31.8	197	
3682	10.0	11 3 11.76	4	+ 9 27 35.1	205	
—	10.0	3 12.21	3	+ 9 27 36.3	268	
3683	9.0	3 29.54	4	— 9 44 52.0	200	
—	8.0	3 29.65	3	— 9 44 53.0	344	
3684	10.0	3 30.87	2	+ 11 19 5.6	270	
—	10.0	11 3 30.83	3	+ 11 19 3.8	272	
3685	7.5	3 31.71	6	+ 3 6 19.7	266	
—	8.0	3 32.02	4	+ 3 6 19.9	271	
3686	9.5	3 36.97	4	— 2 20 45.7	20	
3687	10.0	3 41.03	3	+ 3 24 32.2	201	
3688	9.5	11 3 44.35	2	+ 0 29 15.6	19	f
—	9.2	3 44.71	4	+ 0 29 19.8	341	
3689	10.0	3 48.57	2	— 8 52 45.6	129	
—	10.0	3 48.60	1	— 8 52 44.0	130	
3690	8.5	3 48.96	3	— 14 26 18.3	14	
—	9.0	11 3 48.81	3	— 14 26 17.8	268	
3691	8.5	3 54.53	3	— 1 9 40.5	199	
3692	8.9	3 55.44	4	+ 4 0 45.4	12	
3693	10.0	3 58.26	3	+ 11 14 13.0	203	
3694	9.0	4 9.97	2	— 16 54 57.5	196	
3695	9.0	11 4 11.32	3	— 22 11 34.2	17	n
3696	7.0	4 13.68	4	— 24 57 23.4	18	n
3697	10.0	4 17.95	3	+ 4 30 23.0	124	
—	10.0	4 17.82	3	+ 4 30 25.0	202	
3698	9.0	4 28.79	4	+ 11 1 7.0	205	
3699	8.7	11 4 37.60	3	— 15 48 10.9	127	
3700	9.5	4 40.24	4	— 14 15 36.9	200	
3701	10.0	4 43.76	2	+ 5 7 20.7	271	u s A
—	11.0	4 44.74	2	+ 5 7 18.5	274	u s
3702	9.5	4 45.74	3	— 5 21 2.4	15	
3703	9.5	11 5 1.74	1	+ 5 14 54.2	125	
3704	7.0	5 2.51	3	— 10 36 56.9	17	
—	7.0	5 2.89	4	— 10 36 57.2	205	
—	7.5	5 2.70	6	— 10 36 57.0	343	
3705	9.0	5 10.11	1	+ 6 36 39.9	202	

No.	Grösse	Rectascension 1880.0 h	m	s	Fäden	Declination 1880.0 °	′	″	Zone	Bemerkungen
—	9.3	11	5	9.95	2	+ 6	36	40.2	341	
3706	9.2		5	19.95	3	— 8	42	8.3	130	
3707	9.2		5	20.77	1	— 8	42	23.-	130	n Decl. gesch.
3708	9.0		5	22.40	2	— 6	8	24.9	131	
3709	10.0		5	22.96	3	+ 10	38	35.8	203	
3710	9.5	11	5	34.55	3	+ 6	28	18.5	12	
3711	10.0		5	39.36	3	+ 10	55	30.3	206	
3712	9.0		5	39.75	1	— 18	0	5.5	271	
—	10.0		5	39.71	3	— 18	0	6.6	273	
3713	10.0		5	41.36	1	+ 2	44	19.8	268	
—	10.0	11	5	41.31	2	+ 2	44	22.0	272	
3714	10.0		5	42.22	3	— 3	24	48.5	198	n
3715	5.0		5	45.21	4	— 22	10	16.8	14	n
3716	9.5		5	47.23	2	— 14	10	57.5	127	
3717	8.0		6	7.50	4	— 0	31	49.1	199	
—	8.0	11	6	7.61	4	— 0	31	47.1	270	
3718	7.0		6	33.10	3	— 17	50	51.8	128	
3719	9.0		6	35.27	4	— 15	3	10.3	18	
3720	9.6		6	41.03	1	+ 2	58	44.1	19	
—	9.5		6	41.23	3	+ 2	58	45.8	20	
3721	8.8	11	6	45.80	3	+ 9	14	44.4	203	
3722	9.2		6	48.09	3	+ 5	53	8.3	124	
—	9.0		6	48.05	3	+ 5	53	4.5	201	
—	9.0		6	47.99	3	+ 5	53	8.6	202	
3723	8.3		6	55.80	3	— 12	7	54.6	200	
3724	8.9	11	6	56.92	4	— 6	36	26.3	15	
3725	9.5		7	1.65	3	— 7	33	12.9	130	
3726	8.0		7	15.52	3	— 17	30	24.6	197	
—	8.5		7	15.58	3	— 17	30	22.4	270	
3727	9.4		7	29.95	4	— 14	36	52.8	127	
3728	9.0	11	7	33.80	3	— 14	31	47.3	17	
3729	10.0		7	41.05	3	— 3	55	35.1	205	n Decl. — 1′ corr.
—	10.0		7	40.94	3	— 3	55	37.1	274	
3730	10.0		7	45.91	2	+ 2	17	16.6	20	
—	10.0		7	45.68	3	+ 2	17	17.3	199	
3731	7.5	11	7	47.01	2	— 22	20	45.9	128	n
—	7.0		7	46.96	4	— 22	20	46.1	196	
3732	9.5		7	49.72	3	+ 3	53	21.0	12	
—	9.0		7	49.93	3	+ 3	53	20.1	125	
3733	8.0		7	51.00	3	— 9	36	59.0	126	
—	8.0	11	7	50.92	4	— 9	36	57.6	344	
3734	8.5		8	8.00	3	+ 5	49	14.6	202	
3735	7.1		8	12.25	3	— 16	14	4.5	18	
3736	9.5		8	28.73	3	+ 7	32	25.0	124	
—	9.0		8	28.25	3	+ 7	32	21.0	201	
3737	10.0	11	8	38.09	3	+ 10	52	8.4	203	
	10.0		8	38.16	4	+ 10	52	8.9	206	
3738	10.0		8	40.77	5	— 4	2	12.7	266	
3739	9.4		8	42.17	3	— 16	31	31.4	127	
3740	9.6		8	47.43	1	+ 3	37	7.0	124	u

No.	Grösse	Rectascension 1880.0 h	m	s	Fäden	Declination 1880.0 °	′	″	Zone	Bemerkungen
—	10.0	11	8	47.85	3	+ 3	37	8.5	125	
3741	8.5		8	52.94	2	— 22	59	39.8	14	n
—	9.2		8	53.02	2	— 22	59	40.9	17	
3742	8.6		9	1.54	4	— 8	27	33.9	15	
3743	9.0		9	1.75	3	+ 6	6	29.2	202	
3744	10.0	11	9	2.23	4	— 11	38	22.2	200	n
3745	10.0		9	11.15	3	+ 2	43	48.0	199	
3746	9.7		9	12.59	3	— 6	33	16.4	130	
3747	9.0		9	20.12	3	— 16	50	19.8	126	
—	10.0		9	19.85	4	— 16	50	21.6	197	
3748	8.6	11	9	31.07	3	— 5	29	54.7	205	
3749	10.0		9	33.37	3	+ 5	20	45.4	12	
—	9.5		9	33.04	3	+ 5	20	42.9	201	
3750	9.0		9	35.80	2	— 3	51	18.8	198	
—	9.2		9	35.80	4	— 3	51	17.5	273	
3751	10.0	11	9	40.46	3	— 15	41	35.8	196	
3752	8.5		9	41.65	3	— 15	41	54.4	127	
—	9.0		9	41.77	2	— 15	41	50.-	196	Decl. gesch.
3753	10.0		9	56.12	1	— 9	36	52.2	18	n
—	10.0		9	56.17	3	— 9	36	51.2	274	
3754	10.0	11	9	58.43	2	— 3	50	46.0	130	
3755	8.5		10	11.83	2	— 3	16	45.5	19	n
—	10.0		10	11.78	2	— 3	16	43.3	128	
—	9.3		10	11.72	3	— 3	16	44.2	341	
—	9.5		10	11.71	4	— 3	16	45.4	342	
—	9.5	11	10	11.68	4	— 3	16	43.7	344	
3756	10.0		10	12.85	2	+ 9	59	42.1	203	
3757	9.0		10	22.18	3	— 4	20	37.6	15	
3758	10.0		10	32.00	4	— 0	9	30.4	20	
3759	10.0		10	40.35	1	— 8	19	—	205	u
—	10.0	11	10	40.38	4	— 8	19	45.7	268	
3760	9.7		10	42.97	3	+ 4	36	29.4	125	
3761	9.5		10	56.00	5	+ 10	39	40.5	206	
3762	10.0		10	56.07	3	+ 8	24	3.8	124	
3763	9.0		10	58.35	4	— 6	1	19.2	131	
3764	9.5	11	11	8.55	3	— 14	26	0.3	126	
3765	10.0		11	10.72	3	— 15	38	22.7	196	n
—	10.0		11	10.63	3	— 15	38	21.2	197	
3766	10.0		11	23.87	2	— 8	47	43.9	130	
3767	9.5		11	38.31	1	+ 1	26	57.4	200	
—	8.5	11	11	38.29	4	+ 1	26	57.5	274	
3768	10.0		11	39.03	3	— 0	30	4.8	199	
3769	9.0		11	39.63	3	— 7	46	26.4	268	
3770	10.0		11	40.42	4	+ 6	17	41.6	12	f
—	9.0		11	40.17	3	+ 6	17	40.1	201	
3771	10.0	11	11	40.73	1	+ 3	16	3.5	125	
—	10.0		11	40.77	3	+ 3	16	1.4	202	
3772	7.0		11	50.97	4	— 21	29	24.6	14	n
3773	10.0		11	55.31	3	+ 9	16	59.6	203	
3774	10.0		12	0.45	4	— 15	9	57.1	127	n

No.	Grösse	Rectascension 1880.0 h	m	s	Fäden	Declination 1880.0 °	′	″	Zone	Bemerkungen
—	9.0	11	12	0.43	4	− 15	9	58.6	272	
3775	8.8		12	9.12	3	− 16	55	16.2	17	
3776	7.0		12	9.86	5	− 4	24	25.3	266	
—	7.0		12	9.78	4	− 4	24	28.0	270	
3777	10.0		12	17.40	3	− 7	27	21.1	128	
3778	9.8	11	12	28.27	3	+ 8	48	10.9	124	
3779	9.9		12	38.99	3	+ 2	36	18.5	20	
3780	9.2		12	44.06	3	+ 5	56	57.5	201	
3781	9.8		12	44.86	4	− 4	4	16.4	15	
3782	9.0		13	4.29	2	+ 6	20	12.9	270	
—	9.0	11	13	4.22	3	+ 6	20	15.6	271	
3783	10.0		13	6.01	3	+ 3	9	13.3	202	
3784	10.0		13	15.23	3	+ 9	49	14.9	203	n
3785	8.1		13	15.77	4	+ 6	20	36.7	12	
—	8.0		13	15.72	3	+ 6	20	35.1	270	
3786	9.0	11	13	15.76	3	− 0	59	40.2	200	dpl. praec.
3787	6.5		13	16.34	4	− 0	59	37.4	266	dpl. sq.
3788	9.6		13	25.67	1	− 7	56	43.4	131	
—	9.0		13	25.56	4	− 7	56	44.2	198	
3789	9.5		13	28.14	3	+ 9	49	58.6	203	
3790	10.0	11	13	30.17	3	− 9	28	34.9	268	
3791	9.0		13	31.27	4	+ 6	51	13.4	125	
3792	9.0		13	33.18	2	− 10	33	55.9	271	
3793	9.0		13	36.39	4	+ 5	5	19.9	18	
3794	9.5		13	48.31	4	+ 9	44	55.8	206	
3795	10.5	11	13	50.53	2	+ 3	23	42.0	124	
3796	9.2		13	50.64	2	− 9	23	56.0	272	
3797	9.2		13	52.69	3	− 9	35	11.3	274	n
3798	8.0		13	54.00	3	+ 6	18	26.0	202	
3799	10.0		13	58.64	3	+ 5	11	37.0	273	
3800	9.0	11	14	5.57	1	− 21	28	6.8	126	n
3801	7.8		14	23.16	4	− 23	4	6.5	17	n
3802	9.7		14	30.23	2	− 7	55	13.6	130	
—	9.0		14	30.25	3	− 7	55	16.1	274	
3803	10.0		14	39.55	1	− 7	52	32.2	129	
—	9.0	11	14	39.55	3	− 7	52	31.0	198	
3804	10.0		14	46.66	3	+ 10	30	47.5	203	
3805	9.5		14	52.27	3	− 11	30	46.2	127	
3806	10.0		14	55.01	3	+ 9	6	12.0	270	
3807	8.8		15	5.92	3	+ 6	24	9.5	124	
3808	9.5	11	15	16.62	3	+ 6	17	21.4	268	
3809	6.0		15	16.70	6	+ 7	17	32.6	266	
—	6.0		15	16.64	4	+ 7	17	33.9	271	
3810	7.5		15	30.64	4	− 23	20	14.5	197	n
3811	9.0		15	37.84	3	+ 0	40	37.2	200	
3812	9.6	11	15	45.17	4	− 6	23	29.0	128	
3813	8.0		15	48.82	4	− 21	26	53.0	126	n
—	8.0		15	48.77	3	− 21	26	54.8	196	
3814	10.0		16	9.02	3	+ 2	54	58.9	199	
—	10.0		16	9.19	5	+ 2	54	58.6	338	
—	10.0	11	16	9.01	3	+ 2	55	1.8	341	
3815	9.5		16	14.55	3	− 0	25	7.9	200	
3816	8.0		16	28.47	3	− 0	15	58.7	268	A
—	9.5		16	28.59	4	− 0	15	57.0	272	
3817	8.0		16	38.64	3	− 23	4	21.8	17	n
—	9.0	11	16	38.82	3	− 23	4	22.4	127	
3818	9.0		16	42.50	3	− 7	26	13.9	198	
3819	9.5		16	45.14	3	+ 1	35	6.1	20	
3820	10.0		16	51.46	3	− 5	32	30.3	128	
3821	10.0		16	51.90	3	+ 5	29	26.3	124	
3822	8.0	11	16	55.20	3	− 5	40	18.9	19	
3823	10.0		17	1.98	3	+ 2	51	30.2	199	
3824	10.0		17	4.73	2	+ 8	36	59.0	125	
—	9.9		17	4.78	3	+ 8	36	55.9	201	
3825	9.0		17	5.93	4	− 14	2	2.0	197	n
—	8.3	11	17	5.86	4	− 14	2	3.9	273	
3826	8.0		17	12.75	3	+ 7	0	14.4	202	
—	9.0		17	12.63	6	+ 7	0	16.1	266	
—	9.0		17	12.53	6	+ 7	0	16.7	271	
3827	9.0		17	15.68	3	+ 6	47	29.4	204	
3828	8.0	11	17	21.90	4	− 23	2	55.2	127	n
3829	8.0		17	31.33	3	− 16	57	46.2	196	
3830	9.6		17	33.79	3	+ 9	0	45.2	203	
—	10.0		17	33.82	4	+ 9	0	45.0	206	
3831	10.0		17	40.74	2	− 9	52	56.7	129	n
—	10.0	11	17	40.48	2	− 9	52	57.5	274	
3832	10.0		17	57.06	3	+ 2	56	33.0	200	
3833	9.5		18	1.39	3	+ 2	30	10.7	199	
3834	7.5		18	3.42	4	− 10	1	8.7	18	
—	7.8		18	3.26	5	− 10	1	7.9	342	
3835	9.0	11	18	12.32	2	− 12	14	46.4	131	n
—	9.0		18	12.16	1	− 12	14	44.3	273	
3836	9.5		18	16.00	4	− 11	0	37.5	126	
3837	8.8		18	16.40	4	+ 10	8	57.3	203	
3838	9.8		18	20.44	4	− 3	47	18.9	15	
3839	10.0	11	18	22.83	2	+ 0	3	17.8	20	
3840	9.6		18	24.61	3	− 3	43	27.9	128	dpl. med. 5″
3841	7.8		18	26.11	4	− 21	25	46.2	14	n
3842	9.0		18	30.78	4	+ 3	33	38.1	12	
—	9.4		18	30.91	3	+ 3	33	38.5	124	
3843	9.0	11	18	44.45	3	− 23	49	33.6	127	n
3844	8.0		18	56.43	3	− 10	32	53.8	131	
—	9.0		18	56.37	5	− 10	32	55.3	343	
3845	9.3		19	13.70	3	+ 8	45	36.4	125	
3846	8.8		19	21.76	4	− 2	33	57.2	130	n
—	9.0	11	19	21.79	4	− 2	33	56.1	272	
3847	8.0		19	23.02	3	− 11	30	28.4	196	
—	8.0		19	22.84	5	− 11	30	28.4	344	
3848	10.0		19	37.54	3	− 6	35	22.3	129	
3849	9.0		19	38.06	4	− 16	45	24.6	268	

No.	Grösse	Rectascension 1880.0 h m s	Fäden	Declination 1880.0 ° ′ ″	Zone	Bemerkungen
3850	10.0	11 19 38.42	3	— 8 38 19.0	198	
3851	9.0	19 38.46	3	— 22 55 26.4	126	n f
3852	9.0	19 39.15	3	+ 4 39 40.7	124	
—	9.0	19 39.29	3	+ 4 39 38.2	201	
3853	10.0	20 0.00	4	— 14 17 23.1	197	n
—	10.0	11 20 0.08	5	— 14 17 23.5	274	
3854	10.0	20 5.23	3	+ 9 36 20.2	203	
3855	9.0	20 8.60	4	+ 10 1 42.1	206	
3856	8.3	20 18.45	4	— 17 26 4.3	127	
3857	9.0	20 19.62	3	+ 4 9 2.0	204	
3858	10.0	11 20 23.39	2	— 3 19 15.5	128	
—	10.0	20 23.28	2	— 3 19 14.7	130	
3859	9.5	20 23.73	4	— 0 26 0.4	270	
3860	9.7	20 29.62	3	— 1 44 29.6	199	
3861	9.3	20 31.23	4	— 24 35 5.4	17	n
3862	10.0	11 20 38.46	1	+ 4 31 35.8	268	n
—	10.0	20 38.65	1	+ 4 31 34.4	341	
3863	8.0	20 39.40	3	+ 9 40 49.1	19	
3864	6.0	20 40.67	4	+ 3 40 1.9	125	
3865	7.5	20 41.81	2	+ 3 39 35.5	124	
—	7.0	11 20 41.58	3	+ 3 39 35.9	201	
3866	10.0	20 45.25	1	+ 1 56 50.3	20	
—	10.0	20 45.10	3	+ 1 56 53.0	200	
3867	10.0	21 10.33	3	— 3 9 10.8	15	
3868	8.5	21 12.58	3	— 17 36 28.7	131	
3869	7.5	11 21 12.84	6	+ 2 2 14.8	266	
—	8.0	21 13.03	6	+ 2 2 16.1	271	
3870	7.5	21 23.65	3	— 17 51 35.0	18	
—	7.3	21 23.52	2	— 17 51 34.5	197	
3871	10.0	21 26.48	2	— 6 13 17.7	129	
—	10.0	11 21 26.46	3	— 6 13 21.1	342	
3872	8.0	21 33.45	4	+ 10 8 18.9	206	n d
—	8.0	21 33.33	4	+ 10 8 18.9	273	
3873	10.0	21 42.76	2	+ 6 38 3.3	12	
3874	10.0	21 45.12	3	— 0 15 30.2	340	
3875	8.7	11 21 46.27	4	— 22 51 39.0	14	n
3876	9.0	21 49.85	3	— 9 31 46.0	196	
3877	9.0	21 50.86	3	— 10 23 57.6	127	
3878	8.0	21 55.12	1	— 0 14 12.7	338	
—	8.0	21 54.97	6	— 0 14 12.3	344	
3879	8.0	11 21 55.42	4	+ 11 22 15.1	203	
3880	9.8	22 7.27	4	— 9 34 43.4	198	
—	9.0	22 6.98	4	— 9 34 43.4	274	
3881	10.0	22 8.54	2	— 3 34 59.7	130	n
—	10.0	22 8.46	4	— 3 35 1.4	272	
3882	10.0	11 22 9.20	4	+ 7 42 7.9	204	n
3883	8.0	22 14.50	3	— 17 58 49.3	131	
3884	9.3	22 17.33	3	+ 4 7 54.1	124	
3885	9.0	22 19.92	3	+ 7 26 24.8	201	
3886	8.5	22 21.48	3	— 17 43 5.2	17	
3887	9.0	11 22 24.22	3	— 2 37 8.0	20	
—	9.0	22 23.89	4	— 2 37 9.4	199	
3888	7.0	22 25.19	3	— 23 9 55.0	126	n
3889	9.0	22 25.51	4	— 5 26 26.6	270	
3890	9.2	22 26.36	3	+ 5 40 1.4	125	
3891	8.5	11 22 31.55	3	— 2 42 56.1	268	
3892	9.0	22 37.79	4	+ 1 51 54.1	200	
3893	7.0	22 39.49	3	— 23 11 35.7	16	n
3894	8.0	22 49.87	3	— 21 44 4.9	14	n
3895	9.5	22 58.98	1	+ 4 21 17.6	124	
—	9.2	11 22 58.96	2	+ 4 21 17.5	201	
3896	10.0	22 59.13	3	+ 10 40 1.7	202	
3897	9.0	23 1.31	3	+ 7 27 53.8	204	
3898	10.0	23 5.43	3	— 6 2 5.0	128	
3899	8.0	23 7.10	4	— 3 47 15.3	129	
3900	9.0	11 23 15.08	1	— 3 3 41.6	128	
—	9.8	23 15.23	3	— 3 3 42.2	130	
3901	9.5	23 22.14	3	+ 4 23 42.6	125	n
—	10.0	23 22.22	3	+ 4 23 39.2	341	
3902	9.0	23 28.26	4	+ 11 4 47.8	203	n
—	9.0	11 23 28.18	3	+ 11 4 47.2	206	
3903	10.0	23 39.94	3	— 6 13 58.9	15	n f
—	10.0	23 40.10	2	— 6 13 58.7	342	
3904	5.5	23 40.68	3	— 23 48 14.3	16	n
3905	9.0	23 41.42	3	— 17 45 5.8	126	
3906	8.0	11 23 43.98	4	— 20 40 46.9	127	n
3907	9.0	23 51.46	4	— 23 49 25.8	18	n
3908	8.4	23 56.21	4	— 17 6 28.1	131	
3909	7.5	24 12.56	4	+ 9 46 9.0	268	
3910	10.0	24 15.71	3	+ 7 30 15.6	204	n
3911	9.0	11 24 21.32	4	— 17 6 9.3	197	
3912	9.3	24 24.45	3	— 5 39 14.9	129	
3913	11.0	24 36.40	2	+ 0 21 3.9	199	
3914	11.0	24 36.80	2	— 9 55 41.7	198	f
—	11.0	24 36.75	2	— 9 55 39.6	274	
3915	10.0	11 24 50.86	1	— 10 33 54.5	127	
—	9.5	24 50.72	4	— 10 33 55.1	272	
3916	9.7	24 55.05	3	— 9 32 12.0	14	n
—	10.0	24 54.60	3	— 9 32 9.7	273	
3917	10.0	25 8.96	3	+ 5 43 5.5	124	
3918	9.5	11 25 12.94	3	— 3 38 14.4	130	
3919	10.0	25 13.21	3	— 1 37 43.4	200	
3920	9.5	25 13.33	5	+ 10 30 2.3	206	n
3921	10.0	25 13.99	3	+ 10 17 51.1	202	
3922	10.0	25 14.40	3	+ 3 5 20.0	125	
3923	9.0	11 25 15.49	3	— 5 31 4.3	128	
3924	10.0	25 22.65	1	— 9 54 37.7	16	
—	10.0	25 23.09	4	— 9 54 36.5	268	
3925	7.5	25 28.47	5	+ 8 31 32.8	12	
3926	10.0	25 30.13	1	— 24 33 37.8	17	n u

No.	Grösse	Rectascension 1880.0 h m s	Fäden	Declination 1880.0 ° ′ ″	Zone	Bemerkungen
3927	9.4	11 25 34.77	4	+ 4 13 10.1	201	
3928	10.0	25 36.13	2	— 0 13 53.6	270	
—	10.0	25 36.24	4	— 0 13 52.3	271	
3929	10.0	25 37.17	3	— 11 43 12.8	198	u
—	9.7	25 36.91	4	— 11 43 10.8	341	
3930	9.0	11 25 40.94	3	+ 9 10 0.9	203	
3931	9.0	26 4.30	3	+ 9 35 24.8	202	
—	9.0	26 4.52	3	+ 9 35 23.0	204	
3932	9.0	26 5.75	3	+ 9 37 16.4	204	
3933	7.0	26 11.68	3	— 11 44 8.4	131	
3934	10.0	11 26 13.89	3	+ 9 58 57.4	203	
3935	10.0	26 21.93	3	— 4 19 3.4	129	
3936	9.8	26 30.51	5	— 6 14 56.7	130	
3937	8.0	26 33.16	3	— 3 48 46.2	128	
—	8.5	26 33.17	6	— 3 48 47.1	342	
3938	10.0	11 26 38.83	3	+ 5 16 40.3	124	
3939	9.0	26 50.11	4	+ 10 17 26.1	206	n
3940	8.0	26 56.15	4	+ 8 4 28.2	201	
3941	7.9	26 58.34	3	— 22 46 55.5	16	n
3942	9.0	27 6.30	3	+ 7 52 41.5	125	
3943	10.0	11 27 10.—	—	— 0 59 28.9	268	
—	10.0	27 10.18	2	— 0 59 30.0	270	
3944	9.0	27 14.11	4	— 8 52 30.2	127	
3945	9.0	27 22.14	3	+ 2 0 16.4	20	
3946	9.5	27 27.07	3	+ 10 3 29.3	202	
3947	10.0	11 27 46.04	3	— 9 37 39.9	126	
3948	8.0	27 47.87	3	— 22 47 21.1	272	n
—	8.0	27 47.83	4	— 22 47 21.7	274	
3949	10.0	28 1.30	3	+ 9 59 48.8	203	
3950	11.0	28 6.71	1	+ 10 9 5.6	206	n u
3951	10.0	11 28 26.44	3	— 8 40 5.5	198	n
3952	9.5	28 28.78	2	— 24 39 3.4	127	n
3953	9.0	28 28.93	3	— 23 2 51.5	14	n
3954	9.8	28 29.12	3	— 3 38 26.1	15	
3955	10.0	28 39.29	4	+ 10 42 17.0	202	
3956	10.0	11 28 39.08	2	— 8 16 20.1	129	n
—	10.0	28 39.28	3	— 8 16 22.7	130	
3957	10.0	28 39.50	3	— 14 25 32.0	271	
3958	8.0	28 44.74	5	— 1 34 0.9	199	
3959	9.3	28 45.34	3	— 7 15 46.0	128	
3960	9.3	11 28 46.28	4	+ 6 56 33.7	125	
3961	9.0	28 48.01	2	+ 11 7 31.0	274	n
3962	10.0	28 49.09	1	— 15 18 1.2	126	n
3963	10.0	28 54.21	2	+ 11 8 30.2	268	
—	9.0	28 54.50	1	+ 11 8 31.5	274	d
3964	9.8	11 28 59.10	3	+ 3 30 47.1	124	
3965	9.0	29 19.96	3	— 23 10 9.1	272	n
3966	9.0	29 22.13	3	+ 7 11 9.0	201	f
3967	10.0	29 23.85	4	— 23 54 25.5	273	n
3968	8.7	29 29.20	3	— 0 54 43.6	20	
3969	7.0	11 29 30.47	6	+ 11 34 29.4	204	
3970	10.0	29 38.22	4	+ 0 52 25.7	200	
3971	9.0	29 39.18	1	— 15 8 12.7	126	n
—	9.0	29 39.41	4	— 15 8 10.7	341	
3972	10.0	29 41.79	4	— 17 15 46.3	271	
3973	9.7	11 29 49.43	4	— 4 23 38.0	15	
3974	9.0	30 13.94	3	— 8 16 53.3	198	
—	8.0	30 13.90	3	— 8 16 50.1	205	
3975	8.0	30 26.78	4	— 16 11 1.2	197	
3976	7.0	30 34.66	3	— 8 38 54.6	270	
—	7.0	11 30 35.00	4	— 8 38 57.3	342	
3977	9.0	30 45.88	3	— 8 15 25.0	272	
—	8.5	30 46.02	4	— 8 15 25.5	343	
3978	9.5	30 51.98	4	— 6 9 11.8	198	
3979	10.0	30 54.92	3	+ 10 19 18.4	206	
—	10.0	11 30 54.79	2	+ 10 19 20.2	273	
3980	7.0	30 59.21	4	— 22 17 8.7	127	n
3981	9.2	31 19.34	3	+ 5 35 42.4	338	
3982	10.0	31 34.85	1	— 0 1 0.6	20	n
—	10.0	31 34.63	3	— 0 0 57.8	271	
3983	9.0	11 31 35.40	2	— 10 7 23.3	270	
—	9.0	31 35.60	3	— 10 7 22.5	272	
3984	9.5	31 39.42	2	— 23 0 26.2	126	n
3985	10.0	31 45.90	3	+ 11 14 43.2	206	
3986	8.0	31 51.30	3	— 9 10 15.0	129	
3987	10.0	11 32 1.10	3	+ 4 23 20.5	124	
3988	8.0	32 2.24	2	— 17 31 39.1	127	
3989	10.0	32 6.99	3	+ 0 11 12.1	268	
3990	6.5	32 34.43	3	— 12 32 29.8	16	
—	6.0	32 34.64	3	— 12 32 25.4	17	f
—	6.0	11 32 34.53	3	— 12 32 29.3	131	
3991	9.5	32 37.07	3	— 23 10 42.5	18	n
3992	9.0	32 42.97	4	— 6 56 8.5	198	
3993	9.8	32 51.60	3	— 5 36 46.7	130	
3994	10.0	32 55.19	4	+ 10 56 4.0	202	
3995	8.0	11 33 1.94	3	— 23 38 26.3	126	n
3996	9.0	33 4.99	4	— 9 51 47.8	205	n
—	9.0	33 4.58	6	— 9 51 47.5	344	
3997	10.0	33 9.56	4	— 4 33 29.1	128	
3998	9.0	33 13.34	4	+ 9 36 19.8	203	
3999	10.0	11 33 13.64	3	— 6 45 3.5	15	
—	9.5	33 13.30	3	— 6 45 5.7	268	
4000	9.8	33 15.86	3	+ 2 12 39.8	199	
4001	10.0	33 19.66	1	+ 0 2 19.5	200	s
4002	10.0	33 20.96	4	— 24 13 55.0	127	n
4003	7.0	11 33 24.38	2	— 12 30 57.0	131	
—	6.5	33 24.20	3	— 12 30 53.9	273	
4004	10.0	33 24.78	3	— 11 30 29.7	197	
4005	8.2	33 32.61	4	— 4 19 7.7	129	
4006	10.0	33 34.07	2	+ 3 41 53.5	201	

No.	Grösse	Rectascension 1880.0 h m s	Fäden	Declination 1880.0 ° ′ ″	Zone	Bemerkungen
4007	10.0	11 33 37.36	4	− 2 19 34.5	340	
—	9.2	33 37.38	4	− 2 19 33.5	341	
4008	8.0	33 48.84	4	− 4 17 21.4	130	
—	8.0	33 48.99	3	− 4 17 24.1	343	
4009	10.0	33 50.86	3	+ 4 34 1.4	124	
4010	8.0	11 33 56.33	4	+ 6 32 46.9	204	
4011	9.0	34 0.68	1	− 2 19 39.8	341	
4012	9.5	34 5.07	4	− 1 15 27.2	20	
4013	9.7	34 8.57	3	+ 5 2 30.2	338	
4014	9.5	34 12.12	3	+ 10 45 47.2	206	n
4015	9.0	11 34 16.40	5	+ 11 51 37.8	202	
4016	9.8	34 17.28	3	− 4 10 0.2	128	
4017	9.5	34 29.66	3	− 21 40 8.9	16	n
4018	10.0	34 43.01	2	− 10 37 46.2	197	
—	10.0	34 43.04	2	− 10 37 44.5	272	
4019	9.0	11 34 54.73	4	+ 11 28 25.9	203	
4020	9.5	35 0.90	3	− 9 26 37.1	127	
4021	10.0	35 7.37	3	− 3 12 30.0	15	
4022	9.0	35 18.03	4	− 23 24 43.5	205	n
4023	9.0	35 18.58	5	+ 1 37 2.9	199	
4024	8.0	11 35 31.58	3	+ 3 32 4.5	206	
4025	10.0	35 35.19	3	+ 5 51 32.6	124	
—	9.5	35 35.25	3	+ 5 51 31.6	268	
4026	8.5	35 39.47	4	− 6 1 3.6	129	n
—	9.0	35 39.14	4	− 6 1 5.0	273	
4027	10.0	11 35 44.43	3	+ 10 29 37.3	202	
4028	9.0	35 44.87	3	− 5 22 29.8	128	
—	9.0	35 44.84	3	− 5 22 28.5	130	
4029	8.3	35 46.36	4	− 21 59 15.1	16	n
4030	10.0	35 46.79	3	+ 6 48 16.1	201	
—	10.0	11 35 46.64	3	+ 6 48 16.4	270	
4031	10.0	35 57.51	3	+ 3 6 32.1	204	
—	9.0	35 57.70	3	+ 3 6 33.5	271	
4032	10.0	35 58.08	1	− 3 26 37.9	130	
4033	7.8	35 58.86	3	− 16 21 7.9	18	
—	8.5	11 35 58.78	1	− 16 21 7.2	131	
4034	10.0	35 58.94	1	+ 1 40 37.8	200	
—	9.2	35 59.11	4	+ 1 40 38.9	344	
4035	8.0	35 59.86	1	+ 3 32 36.8	206	
—	8.0	35 59.82	6	+ 3 32 35.8	342	
4036	9.3	11 36 1.92	4	− 7 4 8.0	198	
4037	10.0	36 13.77	3	− 9 20 36.3	17	f
—	10.0	36 14.15	3	− 9 20 36.1	197	
4038	10.0	36 17.80	1	+ 3 27 25.5	204	
4039	9.8	36 20.36	1	+ 7 52 42.9	124	
4040	9.0	11 36 25.12	2	− 11 31 3.6	205	
4041	9.5	36 27.95	4	+ 9 22 54.7	203	n
4042	10.0	36 40.36	4	− 17 47 18.4	127	
4043	10.0	36 49.93	3	+ 10 56 4.4	202	
4044	9.2	36 53.37	3	− 8 14 36.7	128	
4045	10.0	11 37 8.01	3	+ 1 26 —	338	dpl. pr. u
—	10.0	37 7.63	1	+ 1 25 39.6	341	dpl. pr. a
—	10.0	37 7.74	2	+ 1 25 37.0	343	dpl. pr.
4046	9.5	37 12.08	3	+ 5 2 54.2	268	
4047	9.0	37 19.43	4	− 3 55 42.5	15	
4048	9.3	11 37 22.75	3	+ 2 35 17.1	20	
4049	9.0	37 33.50	3	− 23 33 2.8	16	n
4050	10.0	37 36.74	3	− 1 20 27.5	270	
4051	9.0	37 37.23	3	− 7 22 40.0	129	
4052	9.0	37 42.05	4	− 24 59 53.2	18	n
4053	10.0	11 37 44.27	3	+ 2 26 59.9	200	
4054	10.0	37 49.68	3	+ 4 46 43.0	204	n
4055	9.5	37 50.49	2	− 17 53 47.4	131	
4056	9.9	37 50.87	3	− 11 24 51.1	17	
4057	10.0	37 55.59	4	− 9 20 1.8	197	
—	10.0	11 37 55.64	3	− 9 20 0.0	272	
4058	9.5	38 5.70	3	+ 4 56 44.0	124	
4059	10.0	38 7.64	3	− 22 21 12.9	127	n
4060	9.5	38 7.72	4	+ 10 45 40.5	202	
4061	10.0	38 8.94	4	+ 6 6 1.4	201	
4062	11.0	11 38 13.44	2	+ 1 24 48.6	271	n u s
—	11.0	38 14.02	2	+ 1 24 55.5	274	u s
4063	9.3	38 14.64	4	− 5 53 29.5	128	
4064	9.8	38 14.65	3	− 4 33 9.6	130	n
4065	10.0	38 29.94	3	+ 3 32 1.9	206	n
4066	10.0	11 38 34.57	4	− 9 40 17.2	198	
4067	9.5	38 39.84	3	− 10 48 14.6	126	
—	10.0	38 39.90	4	− 10 48 13.7	205	
4068	5.0	38 41.01	2	− 17 41 3.7	16	
4069	8.3	38 42.58	3	+ 9 40 55.9	203	
4070	9.0	11 38 49.81	3	+ 3 44 17.8	124	
4071	9.0	38 51.47	3	− 0 9 4.3	268	
4072	8.2	38 53.11	2	+ 9 49 5.1	203	
4073	9.0	39 7.20	2	− 23 48 23.0	127	n
4074	9.0	39 10.18	3	− 9 17 11.0	197	
4075	9.5	11 39 15.89	3	+ 10 3 28.7	202	
4076	9.3	39 19.15	2	− 10 47 54.2	131	
4077	9.0	39 24.56	4	+ 4 49 49.9	204	
4078	10.0	39 27.79	3	+ 4 51 21.1	201	f
4079	9.0	39 32.07	3	− 22 19 18.1	205	n
4080	10.0	11 39 54.07	4	− 0 5 8.7	199	n
4081	9.5	39 56.16	4	− 8 35 29.6	270	
4082	10.0	40 0.06	3	− 0 18 48.7	200	
4083	8.0	40 0.56	5	− 5 58 22.3	128	
—	9.0	40 0.59	3	− 5 58 20.3	130	
4084	8.5	11 40 1.94	4	− 7 6 7.5	129	
4085	10.0	40 3.67	3	+ 4 20 12.4	124	
4086	8.0	40 6.43	4	− 24 12 23.6	16	n
4087	10.0	40 7.99	3	+ 10 52 39.9	202	
4088	8.0	40 8.32	3	− 11 21 28.8	17	

No.	Grösse	Rectascension 1880.0 h m s	Fäden	Declination 1880.0 ° ′ ″	Zone	Bemerkungen
4089	7.6	11 40 22.36	4	− 24 18 34.5	126	n
4090	8.0	40 26.08	1	− 22 24 19.9	205	n
4091	9.0	40 45.02	3	+ 2 16 14.1	268	
—	9.5	40 45.08	4	+ 2 16 15.4	271	
4092	8.0	40 54.12	3	+ 5 46 32.2	201	
4093	10.0	11 40 58.70	4	+ 8 40 49.9	204	
—	9.5	40 58.70	3	+ 8 40 47.9	270	
4094	9.0	41 3.51	4	+ 6 3 12.5	206	
4095	10.0	41 4.71	4	+ 10 14 4.8	203	
4096	10.0	41 12.94	2	− 10 5 50.0	127	
—	10.0	11 41 12.60	4	− 10 5 54.1	272	
4097	9.3	41 13.01	3	− 2 25 7.9	200	
4098	9.3	41 18.34	4	+ 3 34 29.4	124	
4099	9.0	41 25.54	3	− 5 48 4.7	130	
4100	9.5	41 26.59	1	− 9 32 13.3	131	
—	9.5	11 41 26.20	4	− 9 32 13.5	198	
4101	9.3	41 36.11	2	− 24 48 28.0	16	n
4102	9.7	41 38.86	4	− 6 20 11.6	128	n
—	9.5	41 38.75	4	− 6 20 11.8	273	
4103	6.5	41 44.92	6	+ 8 54 47.6	341	
—	6.0	11 41 44.81	4	+ 8 54 45.0	342	u
—	6.0	41 44.82	6	+ 8 54 44.9	343	
4104	9.0	41 51.76	3	− 7 57 25.2	15	
4105	9.0	41 52.44	2	− 7 57 35.-	15	Decl. gesch.
—	9.0	41 52.47	4	− 7 57 34.0	274	dpl. sq.
4106	10.0	11 42 6.11	3	+ 10 39 6.6	202	
4107	7.0	42 10.32	4	− 8 12 26.9	129	
4108	10.0	42 14.49	3	+ 9 53 48.8	203	n
4109	9.5	42 23.67	3	+ 5 23 3.8	338	
4110	8.0	42 24.34	6	− 8 42 35.1	cfr.	A
4111	7.9	11 42 24.37	3	− 22 25 26.4	17	n
4112	9.5	42 39.58	3	+ 6 26 10.9	206	n
4113	9.6	42 43.68	2	− 10 21 43.0	126	
—	9.5	42 43.49	3	− 10 21 43.6	127	
4114	10.5	42 50.10	2	+ 4 55 56.7	124	
4115	10.0	11 42 57.22	4	+ 0 19 43.2	199	
4116	9.0	43 8.51	3	− 2 38 40.8	200	
4117	10.0	43 20.70	3	+ 10 5 51.6	202	
4118	9.5	43 21.07	2	− 4 8 18.2	128	
—	9.5	43 21.19	2	− 4 8 21.1	130	
4119	10.0	11 43 30.00	1	+ 3 24 58.1	201	u
—	11.0	43 30.10	3	+ 3 25 0.9	204	
4120	9.0	43 30.95	3	− 6 45 8.5	129	
—	10.0	43 31.07	3	− 6 45 6.0	130	
4121	8.0	43 34.56	5	+ 7 30 47.3	207	
4122	9.0	11 43 45.50	3	− 6 55 17.9	270	
4123	9.0	43 52.18	4	− 22 22 27.7	16	n
—	9.0	43 52.29	2	− 22 22 25.8	127	
4124	9.0	44 0.99	2	− 10 22 44.6	131	
4125	9.0	44 4.86	3	− 10 51 19.7	17	
4126	10.0	11 44 14.22	3	− 8 31 22.4	198	n
—	9.5	44 14.09	3	− 8 31 21.8	272	
4127	9.5	44 26.18	1	− 6 49 47.8	131	
4128	10.0	44 36.78	3	+ 4 53 50.7	341	
4129	10.0	44 40.53	3	− 2 6 44.7	270	
4130	10.0	11 44 42.67	2	+ 3 24 25.0	271	n
4131	10.0	44 51.17	2	− 5 27 54.3	128	n
—	10.0	44 50.99	2	− 5 27 56.7	272	
—	9.8	44 51.08	3	− 5 27 57.0	273	
4132	8.7	44 54.28	4	− 5 32 4.7	338	
4133	10.0	11 44 56.18	3	+ 5 9 49.3	204	
4134	10.0	45 5.84	3	+ 4 4 18.5	206	
4135	10.0	45 10.04	3	− 23 37 57.7	127	n
4136	10.0	45 17.31	1	+ 4 53 10.1	206	u
4137	10.0	45 23.87	4	+ 11 32 18.7	20	
4138	10.0	11 45 44.45	4	+ 4 55 6.2	268	
—	9.8	45 44.65	2	+ 4 55 7.4	341	
4139	10.0	45 51.35	1	− 3 49 45.4	273	u
4140	8.2	45 51.72	4	+ 9 52 28.2	203	
4141	10.0	45 59.63	2	− 3 57 17.5	274	n
—	10.5	11 46 0.10	2	− 3 57 12.8	130	
4142	9.0	46 3.50	3	− 10 38 31.7	205	
4143	10.0	46 5.32	3	− 24 28 56.2	16	n
4144	10.0	46 13.43	3	− 10 27 24.7	126	
—	10.0	46 13.24	3	− 10 27 26.1	198	
4145	10.0	11 46 19.17	4	+ 3 58 17.7	124	
4146	9.3	46 32.61	2	− 21 21 17.9	17	n
4147	10.0	46 41.87	3	+ 10 37 56.7	202	
4148	9.5	46 50.50	3	− 5 34 11.4	128	
4149	11.0	47 1.98	3	+ 2 47 23.0	199	
4150	9.0	11 47 14.52	1	− 23 55 16.5	126	n
—	9.0	47 14.88	4	− 23 55 14.6	127	
4151	9.5	47 16.03	3	− 10 6 19.9	131	
4152	9.5	47 26.61	3	+ 1 44 37.7	270	
4153	10.0	47 26.74	2	+ 0 21 7.3	200	a
4154	10.0	11 47 27.15	4	− 1 2 48.6	271	
4155	9.0	47 27.39	5	− 4 24 0.7	129	n
—	8.0	47 27.56	4	− 4 24 3.8	342	
4156	9.0	47 28.84	3	− 1 20 19.7	207	
—	9.5	47 28.64	3	− 1 20 19.1	268	
4157	10.0	11 47 49.00	1	+ 3 53 53.7	201	Durch Wolken.
—	10.0	47 49.48	3	+ 3 53 55.2	204	
4158	10.0	47 50.28	3	− 7 43 30.1	128	
4159	9.7	47 58.30	3	+ 9 1 47.3	203	
4160	8.0	48 0.44	5	+ 5 39 46.9	206	
4161	8.0	11 48 13.24	3	+ 10 42 58.8	202	
4162	9.4	48 17.98	3	− 10 40 19.6	16	
—	9.0	48 18.13	4	− 10 40 18.4	205	
4163	9.0	48 27.42	3	− 9 2 50.0	198	
4164	9.7	48 29.88	3	− 1 1 49.2	270	

No.	Grösse	Rectascension 1880.0 h	m	s	Fäden	Declination 1880.0 °	′	″	Zone	Bemerkungen
4165	9.5	11	48	33.89	3	+ 2	10	38.1	268	
4166	9.5		48	37.25	3	— 5	17	46.2	130	
4167	8.0		48	42.34	6	— 0	46	24.2	341	
4168	10.0		48	57.00	2	— 7	38	37.7	129	
—	11.0		48	56.69	2	— 7	38	37.3	272	
4169	9.0	11	49	17.17	3	— 5	32	59.6	128	
—	9.8		49	17.22	3	— 5	33	0.2	130	
4170	7.5		49	24.59	3	— 24	11	29.0	126	n
4171	9.0		49	32.06	4	+ 11	1	19.6	20	
4172	10.0		49	32.57	3	+ 1	59	6.2	199	
4173	10.0	11	49	33.73	3	+ 7	31	52.0	201	Durch Wolken.
4174	8.0		49	40.93	3	— 24	28	31.9	16	n
4175	10.0		49	42.58	3	+ 9	7	25.8	202	
4176	7.5		49	48.99	4	— 21	30	58.1	17	n
4177	10.0		49	54.57	3	+ 1	38	48.9	131	
—	10.0	11	49	54.57	3	+ 1	38	45.9	200	
4178	10.0		49	59.60	1	— 5	25	22.1	130	
—	9.8		49	59.65	4	— 5	25	24.6	198	
4179	10.0		50	3.42	3	— 10	5	25.6	205	n
—	9.2		50	3.25	4	— 10	5	26.2	274	
4180	10.0	11	50	6.35	1	— 6	28	14.2	129	
—	9.2		50	6.50	4	— 6	28	15.0	342	
4181	9.0		50	22.30	3	+ 7	58	0.1	204	
4182	9.8		50	22.49	3	+ 9	3	14.3	22	
4183	9.7		50	24.56	4	+ 10	36	32.3	206	
4184	10.0	11	50	28.94	3	+ 6	57	4.3	270	
—	9.8		50	29.18	3	+ 6	57	5.2	271	
—	9.3		50	29.08	2	+ 6	57	4.6	273	
4185	9.2		50	33.29	3	— 2	6	35.0	268	
—	9.5		50	33.07	4	— 2	6	32.8	272	
4186	9.0	11	50	51.80	3	+ 4	58	56.9	204	
4187	9.5		51	6.87	3	— 6	18	49.9	128	
—	10.0		51	6.70	3	— 6	18	48.0	198	
4188	9.0		51	10.98	3	— 21	52	6.5	16	n dpl. bor. 10″
—	8.0		51	10.85	2	— 21	52	5.6	127	
4189	10.0	11	51	25.07	3	— 10	50	40.8	126	f
—	10.0		51	24.92	2	— 10	50	40.0	274	
4190	10.0		51	30.12	3	+ 0	29	22.7	131	
4191	8.3		51	37.97	4	— 7	36	14.5	129	
4192	9.0		51	41.95	4	— 9	42	48.5	205	
—	9.0	11	51	41.83	6	— 9	42	49.3	344	
4193	10.0		51	46.57	3	+ 4	40	37.4	204	
4194	9.5		51	48.86	4	— 23	50	8.5	17	n
4195	10.0		51	52.42	2	— 5	27	33.4	128	
—	9.7		51	52.67	3	— 5	27	31.8	343	
4196	10.0	11	51	55.27	3	+ 5	24	30.0	203	
4197	8.0		52	4.35	4	+ 1	32	20.4	207	
4198	10.0		52	24.89	4	+ 1	32	25.3	199	
4199	8.5		52	31.78	3	+ 10	1	3.7	20	
4200	10.0		52	34.45	4	— 10	57	44.5	127	
—	9.5	11	52	34.18	4	— 10	57	48.0	268	
4201	10.0		52	34.61	3	+ 3	56	20.6	202	
4202	10.0		52	51.81	3	— 6	56	30.7	198	n
—	10.0		52	51.94	2	— 6	56	32.7	342	
4203	9.0		52	53.55	3	— 4	6	11.1	128	
4204	8.0	11	52	54.89	3	— 22	44	42.3	16	n
4205	10.0		52	55.78	2	+ 2	16	45.1	131	
4206	10.0		52	56.50	2	— 5	31	28.7	130	
4207	9.0		52	57.34	3	+ 6	40	49.4	203	
4208	9.0		53	0.68	4	— 10	27	43.9	205	n
—	9.0	11	53	0.77	4	— 10	27	45.1	347	
4209	9.0		53	10.07	3	+ 0	41	18.8	199	
4210	9.0		53	19.15	4	+ 3	33	30.3	21	
4211	8.0		53	19.19	2	+ 7	33	42.1	204	
—	8.0		53	18.84	4	+ 7	33	41.6	206	
4212	9.0	11	53	30.63	4	— 8	14	26.7	129	
—	9.0		53	30.80	5	— 8	14	28.5	273	
4213	8.0		54	16.60	4	+ 7	10	19.2	22	
4214	10.0		54	21.63	4	— 9	49	20.8	205	n
—	10.0		54	21.61	3	— 9	49	21.1	344	
4215	10.0	11	54	27.83	3	+ 1	58	54.1	131	
4216	6.5		54	34.15	4	— 21	10	8.7	126	n
4217	10.0		54	34.50	3	— 10	20	26.0	270	
4218	6.0		54	34.83	6	— 9	45	46.5	268	
—	7.0		54	35.06	6	— 9	45	44.2	272	
—	6.0	11	54	35.19	6	— 9	45	46.5	274	
4219	8.3		54	39.87	3	— 11	29	17.2	127	
4220	10.0		54	41.08	1	— 6	23	0.8	130	n
—	9.3		54	41.11	4	— 6	23	3.5	342	
4221	9.0		54	44.66	4	— 2	1	24.8	271	
4222	9.5	11	54	47.49	3	— 3	49	0.3	128	
4223	8.0		54	52.55	3	+ 8	35	0.1	21	
—	8.0		54	52.43	3	+ 8	34	59.3	202	
4224	8.0		54	53.15	5	+ 7	36	17.9	203	
4225	9.0		55	0.27	4	— 2	54	12.9	199	
4226	10.0	11	55	6.68	3	+ 8	1	30.4	204	n
4227	9.5		55	6.78	2	— 0	16	33.0	200	
4228	10.0		55	17.35	4	— 3	28	59.6	129	
4229	9.0		55	37.64	3	— 24	23	43.0	127	n
4230	9.3		55	46.24	3	— 5	36	46.5	128	
4231	10.0	11	55	46.38	3	— 11	12	55.7	205	
—	10.0		55	46.24	4	— 11	12	56.2	273	
4232	10.0		56	8.19	2	— 6	20	17.8	130	n
—	9.5		56	8.08	3	— 6	20	19.8	343	
4233	9.0		56	11.65	4	+ 10	49	43.0	20	
4234	9.0	11	56	18.99	4	+ 8	23	33.6	22	
4235	9.0		56	21.51	4	— 23	23	25.9	17	n
4236	7.5		56	25.89	3	+ 8	44	19.2	21	
—	7.5		56	26.24	5	+ 8	44	19.8	206	
4237	10.0		56	27.61	1	— 1	56	50.9	131	

No.	Grösse	Rectascension 1880.0 h m s	Fäden	Declination 1880.0 ° ′ ″	Zone	Bemerkungen
—	10.0	11 56 27.30	3	— 1 56 49.6	199	
4238	9.0	56 36.96	3	— 5 47 47.6	128	n
—	9.2	56 37.23	3	— 5 47 50.3	344	
4239	9.0	56 47.28	3	— 11 8 38.9	205	
4240	9.0	56 47.35	3	+ 5 17 8.3	202	
4241	9.0	11 57 3.89	3	+ 6 2 4.1	203	
4242	10.0	57 9.45	2	+ 5 21 50.4	202	
—	10.0	57 9.48	3	+ 5 21 49.8	204	
4243	10.0	57 11.73	3	+ 8 58 41.5	268	
4244	8.0	57 23.17	4	— 1 46 41.9	200	
4245	6.5	11 57 36.72	6	+ 6 13 43.2	270	
4246	10.0	57 37.05	1	+ 1 0 59.8	131	
—	10.0	57 36.97	3	+ 1 1 0.3	199	
4247	9.0	57 38.73	3	— 13 13 53.5	126	n
—	8.5	57 38.85	3	— 13 13 55.3	348	
4248	10.0	11 57 44.40	3	— 6 15 35.1	130	n
4249	9.0	57 49.17	4	+ 4 1 33.7	271	
4250	9.5	57 50.11	3	— 4 5 38.0	128	
4251	8.5	57 56.26	3	+ 4 1 37.5	268	
4252	9.0	58 5.54	4	+ 3 34 13.9	206	
4253	9.0	11 58 6.68	3	— 2 9 46.9	273	
4254	10.0	58 10.52	4	— 12 7 55.5	127	n
—	10.0	58 10.67	3	— 12 7 57.8	343	
4255	9.5	58 16.91	3	+ 5 23 23.8	204	
—	9.0	58 17.01	3	+ 5 23 22.9	274	
4256	9.0	11 58 20.82	2	+ 1 22 2.9	271	
4257	9.5	58 27.54	4	+ 3 17 16.6	21	
—	9.0	58 27.57	3	+ 3 17 17.5	22	
4258	8.5	58 31.68	3	— 24 13 57.0	16	n
4259	10.5	58 31.72	2	— 12 9 35.5	345	
4260	9.0	11 58 36.36	3	— 5 6 18.2	129	
4261	10.0	58 38.27	3	— 1 38 33.4	200	
4262	10.0	58 52.05	3	— 3 22 3.3	130	
4263	10.0	58 53.55	2	— 3 39 31.5	131	
4264	8.0	59 7.51	2	— 0 50 33.0	268	
—	8.0	11 59 7.54	3	— 0 50 31.3	272	
4265	10.0	59 8.34	3	+ 2 22 32.8	199	
4266	10.0	59 8.51	3	+ 11 14 50.5	203	
4267	10.0	59 15.14	3	— 8 44 15.5	128	
4268	9.5	59 19.89	1	— 1 39 41.0	271	
—	10.0	11 59 19.56	2	— 1 39 38.7	274	
4269	10.0	59 30.49	3	+ 5 54 22.1	204	
4270	8.0	59 51.68	5	— 12 38 52.2	126	n
4271	10.0	59 55.64	1	— 3 36 26.9	130	
4272	9.8	59 58.64	3	+ 0 40 34.5	24	
4273	8.5	12 0 15.67	3	— 24 51 24.8	127	n
4274	9.0	0 37.04	3	+ 5 58 4.7	207	
4275	9.6	0 46.07	3	— 2 56 56.9	21	
4276	10.0	0 47.10	2	— 10 14 22.6	343	
4277	10.0	0 47.48	4	+ 8 0 46.8	203	

No.	Grösse	Rectascension 1880.0 h m s	Fäden	Declination 1880.0 ° ′ ″	Zone	Bemerkungen
—	9.5	12 0 47.91	4	+ 8 0 46.3	341	
4278	8.8	0 49.38	3	— 4 23 53.1	16	
4279	10.0	0 55.65	3	+ 6 14 24.3	202	
4280	9.5	1 4.95	3	+ 1 33 58.6	199	
4281	10.0	1 4.98	3	— 3 44 23.9	128	
4282	9.0	12 1 25.36	3	— 10 25 34.1	274	
4283	10.0	1 39.99	2	— 5 48 32.2	130	
—	10.0	1 39.84	3	— 5 48 37.1	131	
4284	9.0	1 45.09	4	— 4 19 8.1	129	
4285	8.0	1 54.85	3	— 23 50 29.1	127	n
4286	8.5	12 2 9.80	5	+ 4 19 31.6	20	
—	8.3	2 9.79	4	+ 4 19 33.0	132	
4287	9.7	2 13.81	4	+ 7 17 25.8	22	
4288	9.5	2 18.66	3	+ 4 33 33.3	202	
4289	9.7	2 19.78	3	— 2 49 26.8	24	
4290	9.4	12 2 22.83	3	+ 5 2 55.9	204	
4291	10.0	2 25.37	2	— 5 5 18.5	128	
—	10.0	2 25.06	3	— 5 5 15.0	348	
4292	10.0	2 26.49	3	+ 0 12 40.1	271	
4293	9.8	2 29.02	3	— 5 10 29.7	16	
4294	10.0	12 2 44.15	3	— 0 5 27.5	199	
4295	10.0	3 8.48	2	+ 2 55 15.2	17	a
—	10.0	3 8.38	2	+ 2 55 14.8	273	
4296	9.5	3 19.46	3	— 9 43 28.2	274	
4297	10.0	3 34.29	3	+ 9 57 29.6	203	
4298	10.0	12 3 37.84	3	— 1 42 30.9	24	
4299	8.2	3 39.88	4	— 0 20 9.5	199	
4300	9.8	3 40.86	2	+ 1 37 18.1	271	
4301	9.5	3 40.92	3	— 1 45 52.1	341	
4302	10.0	3 42.88	3	— 9 42 52.6	343	
4303	9.8	12 3 57.06	3	— 3 29 34.4	128	
—	9.8	3 57.06	4	— 3 29 36.5	130	
4304	9.8	3 59.23	3	— 5 37 35.5	16	
4305	9.0	4 3.46	4	+ 4 59 11.4	204	
—	9.5	4 3.27	3	+ 4 59 10.4	270	
4306	8.0	12 4 11.59	4	+ 5 39 45.5	202	
4307	10.0	4 23.53	4	+ 3 2 11.8	20	
4308	10.0	4 26.42	3	— 2 57 14.7	274	
—	11.0	4 26.54	3	— 2 57 12.9	344	
4309	10.0	4 31.95	3	— 4 4 44.8	131	
4310	9.5	12 4 38.78	3	+ 2 59 59.8	132	
4311	9.7	4 40.86	2	+ 10 44 59.5	21	
—	10.0	4 40.63	4	+ 10 45 0.8	203	
4312	9.0	4 43.52	3	— 2 28 25.5	24	
4313	9.3	4 45.88	4	— 9 42 34.1	343	
—	10.0	12 4 46.14	4	— 9 42 35.1	349	
4314	8.6	4 59.21	3	— 5 53 1.2	130	
—	8.6	4 59.09	3	— 5 53 3.5	348	
4315	10.0	5 3.52	3	— 3 18 36.7	16	
—	10.0	5 3.80	3	— 3 18 35.9	341	

No.	Grösse	Rectascension 1880.0 h	m	s	Fäden	Declination 1880.0 °	′	″	Zone	Bemerkungen
4316	9.0	12	5	24.41	3	+ 3	16	32.1	132	
4317	9.3		5	38.46	3	+ 3	47	27.3	20	
4318	10.0		5	42.15	3	+ 7	36	18.4	22	
4319	8.0		5	47.28	3	− 25	16	23.6	127	n
4320	10.0		5	50.22	4	+ 6	0	36.5	204	
4321	10.0	12	5	52.20	2	− 6	13	11.7	131	
4322	10.0		5	59.11	3	+ 10	13	31.4	203	
4323	9.0		6	2.30	4	+ 9	24	53.4	202	
4324	10.0		6	17.09	3	− 3	35	23.3	128	n
4325	8.0		6	24.23	6	− 2	25	47.5	270	
—	8.0	12	6	24.25	6	− 2	25	46.6	271	
4326	9.5		6	26.48	3	+ 3	20	52.4	24	
4327	8.6		6	46.50	4	− 6	8	10.5	130	
4328	8.5		6	58.62	2	+ 6	9	51.8	22	
—	10.0		6	58.65	4	+ 6	9	51.3	204	
4329	10.0	12	7	6.49	2	− 7	2	56.9	131	n
4330	9.8		7	8.10	3	− 2	42	51.3	17	
—	10.0		7	8.33	3	− 2	42	49.9	273	
—	10.0		7	8.26	3	− 2	42	50.9	274	
4331	10.0		7	16.46	2	+ 6	10	16.9	132	
4332	10.0	12	7	16.53	3	+ 1	49	23.1	199	f
—	10.0		7	16.73	4	+ 1	49	24.2	348	
4333	9.0		7	25.71	3	− 20	58	0.0	127	n
4334	9.6		7	31.29	4	+ 8	37	39.7	202	
4335	9.0		7	38.06	4	+ 10	24	36.6	21	
4336	9.8	12	7	39.11	3	− 5	49	49.3	16	
4337	10.0		7	44.77	4	+ 1	30	8.1	341	
4338	9.0		7	50.22	4	+ 9	45	36.4	203	
4339	9.0		7	58.72	3	− 12	9	27.8	274	
4340	9.0		8	5.54	3	− 0	30	3.9	24	
4341	10.0	12	8	7.11	3	− 7	54	39.5	128	
4342	10.0		8	13.55	2	+ 8	52	14.9	204	n
4343	10.0		8	14.84	2	− 7	5	27.9	130	n f
4344	10.0		8	22.94	4	+ 4	56	48.4	20	
4345	10.0		8	24.60	3	+ 11	45	55.6	202	n
4346	9.4	12	8	43.99	3	− 20	51	22.4	127	n
4347	9.3		8	54.48	6	+ 10	39	18.2	343	dpl. pr.
4348	10.0		8	54.59	3	+ 0	5	53.6	199	
4349	6.0		8	59.90	4	− 9	36	44.8	270	u
—	6.0		8	59.81	6	− 9	36	48.1	273	
4350	9.6	12	9	4.37	2	− 7	47	57.7	130	f
—	9.2		9	4.35	4	− 7	48	0.3	348	
4351	8.3		9	9.85	3	+ 5	34	57.5	132	
4352	10.0		9	11.29	4	+ 4	43	52.4	22	
4353	8.8		9	12.26	3	− 3	45	31.0	16	
4354	9.0	12	9	14.70	4	+ 2	9	32.0	271	
4355	9.5		9	24.04	3	− 5	16	6.4	128	
4356	9.9		9	27.22	3	− 2	7	32.5	17	
4357	9.0		9	32.26	3	− 7	54	35.4	131	
4358	8.0		9	35.25	3	+ 11	32	6.5	202	

No.	Grösse	Rectascension 1880.0 h	m	s	Fäden	Declination 1880.0 °	′	″	Zone	Bemerkungen
4359	10.0	12	9	56.24	2	+ 5	58	36.0	20	
4360	9.7		9	56.95	2	− 4	30	23.7	130	
4361	9.8		9	57.72	3	− 9	40	15.3	14	A.R.+1s corr.
—	9.0		9	57.49	3	− 9	40	15.3	274	
—	9.2		9	57.70	4	− 9	40	15.8	347	
4362	8.5	12	9	58.44	3	− 2	20	45.6	24	
—	9.0		9	58.32	3	− 2	20	43.3	341	
4363	10.0		10	1.24	3	− 1	5	31.8	199	
4364	9.3		10	5.54	4	+ 10	18	38.2	21	
4365	10.0		10	10.41	3	− 3	3	59.0	128	
4366	10.0	12	10	21.90	4	+ 3	20	19.6	203	
4367	10.0		10	32.57	3	+ 6	15	58.5	204	
4368	10.0		10	37.95	3	− 20	20	12.6	127	n
4369	10.0		11	10.32	2	+ 1	13	47.9	17	dpl. med.
—	10.0		11	9.96	1	+ 1	13	43.5	24	
4370	10.0	12	11	11.76	4	− 0	38	21.0	271	
4371	10.0		11	20.07	3	+ 3	33	26.9	22	
4372	9.3		11	26.02	5	− 7	43	23.0	131	
4373	9.2		11	32.93	3	− 5	37	56.6	274	
4374	10.0		11	33.59	3	− 7	30	57.7	128	
4375	9.8	12	11	56.24	3	+ 3	15	9.1	132	n
4376	10.0		12	0.18	4	− 0	30	0.2	199	
4377	10.0		12	1.62	4	+ 6	44	3.5	204	n
4378	10.0		12	8.07	2	− 24	23	36.3	127	n
4379	8.0		12	11.05	4	+ 3	46	5.0	203	
4380	9.0	12	12	14.20	3	− 4	21	30.7	130	
4381	9.1		12	28.54	3	− 5	58	58.0	274	
4382	9.3		12	41.45	3	+ 0	33	24.2	21	
4383	9.0		12	44.52	3	+ 11	17	31.6	202	
4384	10.0		13	1.50	3	+ 2	35	14.1	271	n
4385	10.0	12	13	18.—	—	− 23	20	21.0	127	n
4386	9.3		13	25.91	2	+ 2	35	19.0	271	n
4387	9.0		13	27.82	3	− 5	10	55.6	130	
4388	9.0		13	58.89	3	− 10	43	13.9	274	
4389	9.2		14	1.76	5	− 11	20	26.5	341	
4390	10.0	12	14	6.97	3	+ 3	43	42.0	204	
4391	9.0		14	45.35	1	+ 0	26	33.2	350	
4392	10.0		14	52.68	4	+ 5	25	6.3	204	
4393	9.3		14	54.30	3	− 10	14	21.1	274	
4394	10.0		15	6.60	4	+ 5	16	51.7	132	
—	10.0	12	15	6.61	4	+ 5	16	51.9	206	
4395	9.0		15	8.02	2	+ 0	24	47.1	24	
4396	10.0		15	34.06	4	− 5	30	1.3	128	
4397	9.0		16	6.11	3	− 6	24	2.1	16	
4398	9.0		16	7.08	4	− 24	31	48.1	14	n
4399	7.0	12	16	12.26	4	− 23	34	11.5	127	n
—	8.0		16	12.11	2	− 23	34	12.4	274	
4400	10.0		16	19.28	3	− 4	2	4.2	130	
—	10.0		16	19.31	3	− 4	2	8.9	348	
4401	9.0		16	23.77	3	+ 8	42	57.7	202	

No.	Grösse	Rectascension 1880.0 h m s	Fäden	Declination 1880.0 ° ′ ″	Zone	Bemerkungen
4402	9.5	12 16 32.27	4	+ 7 2 59.8	20	
4403	9.0	16 44.46	2	+ 5 43 5.4	22	n
4404	10.0	17 8.61	4	+ 6 1 55.3	202	
—	10.0	17 8.79	4	+ 6 1 55.0	206	
4405	9.0	17 13.85	3	— 6 23 6.6	26	
4406	7.5	12 17 17.58	3	— 5 27 17.1	128	
4407	9.5	17 22.18	3	+ 3 31 8.6	21	
—	10.0	17 22.31	3	+ 3 31 8.3	204	a
4408	10.0	17 36.57	2	— 24 22 48.5	127	n u
4409	9.2	17 41.70	3	+ 2 18 59.1	273	
4410	10.5	12 17 54.98	1	+ 2 39 32.6	24	n u
4411	9.0	17 56.46	5	+ 2 57 45.0	25	
4412	10.0	17 59.39	3	— 5 19 10.9	16	
4413	9.0	18 20.24	3	— 11 36 59.1	341	
4414	10.0	18 21.74	2	— 2 50 0.8	274	
4415	11.0	12 18 25.06	4	— 11 30 56.9	344	f
4416	9.0	18 35.16	4	— 4 58 57.6	130	
4417	9.7	18 54.64	3	— 3 22 40.8	26	
4418	7.5	19 5.99	4	+ 1 26 6.4	17	Roth
4419	10.0	19 6.98	3	— 3 50 25.2	128	
4420	9.2	12 19 9.39	4	— 0 24 18.1	350	
4421	10.0	19 16.00	2	— 5 33 10.6	16	a
—	10.0	19 16.09	2	— 5 33 6.1	130	
4422	9.0	19 22.73	3	+ 5 33 51.5	22	
—	8.0	19 22.92	5	+ 5 33 50.6	204	
4423	9.0	12 19 23.91	3	— 9 22 20.5	131	
4424	9.0	19 25.70	3	— 24 16 6.8	127	n
4425	9.2	19 34.04	4	+ 1 10 55.8	273	
4426	11.0	19 39.96	3	+ 4 30 46.4	20	
4427	10.0	19 44.14	3	— 0 26 37.1	24	A.R. + 1s corr.
—	10.0	12 19 44.18	3	— 0 26 35.6	341	
—	10.0	19 44.39	3	— 0 26 37.5	349	
4428	10.0	19 44.77	3	+ 6 21 45.0	202	
4429	8.0	20 3.40	1	— 23 36 23.3	127	n
4430	10.0	20 10.67	3	— 10 42 51.7	274	
4431	10.0	12 20 25.37	3	— 8 58 14.8	344	n
4432	10.0	20 25.65	3	— 12 51 46.2	343	
4433	7.8	20 30.95	5	+ 5 58 3.4	206	
4434	10.0	20 36.19	1	— 0 25 4.9	273	
4435	9.3	20 39.16	3	— 8 58 20.8	26	
4436	9.5	12 20 41.55	2	— 9 41 16.4	346	u
—	11.0	20 41.76	2	— 9 41 21.6	347	u
4437	10.0	20 43.53	1	— 3 40 24.1	130	
4438	10.0	20 50.24	4	— 5 48 0.1	128	
4439	9.8	20 51.00	3	+ 2 14 28.6	25	
—	10.0	12 20 51.12	2	+ 2 14 33.7	341	u
—	10.5	20 51.42	1	+ 2 14 29.8	348	
4440	10.0	21 9.60	3	+ 2 26 11.4	344	
4441	10.0	21 21.96	3	— 3 44 10.4	131	
4442	10.0	21 23.09	2	+ 3 33 42.3	20	

No.	Grösse	Rectascension 1880.0 h m s	Fäden	Declination 1880.0 ° ′ ″	Zone	Bemerkungen
4443	9.0	12 21 25.64	3	— 11 2 45.9	343	
4444	10.0	21 29.95	2	+ 7 11 10.1	204	n
4445	10.0	21 39.97	2	+ 4 59 45.8	21	f
—	9.5	21 39.97	4	+ 4 59 48.3	22	
4446	9.7	21 46.15	4	— 4 0 50.6	16	
4447	9.8	12 21 48.39	3	+ 2 7 15.1	17	f
4448	9.5	21 53.30	3	— 6 15 35.1	26	
4449	9.6	21 55.95	2	+ 8 36 5.2	132	
—	10.0	21 55.97	3	+ 8 36 7.7	202	
4450	10.0	22 0.61	3	+ 0 12 58.8	24	
—	9.5	12 22 0.93	3	+ 0 12 59.5	274	
4451	10.0	22 8.04	3	+ 1 15 45.3	273	
4452	9.0	22 25.44	4	— 11 22 3.9	343	
4453	9.3	22 28.69	3	+ 2 16 53.1	341	
4454	10.0	22 32.28	2	— 8 54 10.0	130	u
—	10.0	12 22 32.08	1	— 8 54 9.7	131	
4455	10.0	22 36.49	3	+ 2 18 26.2	25	Decl. — 1′ corr.
—	10.0	22 37.08	2	+ 2 18 27.7	349	
4456	10.0	22 52.72	3	— 0 14 18.6	347	
4457	9.0	22 54.34	3	+ 6 18 51.4	348	
4458	9.0	12 22 58.95	3	+ 5 16 36.5	206	
4459	10.0	23 4.08	3	+ 1 50 27.0	344	
—	10.0	23 4.29	3	+ 1 50 28.4	350	
4460	10.0	23 14.22	3	+ 2 38 29.5	349	
4461	10.0	23 15.40	4	+ 6 59 19.5	204	n
4462	9.0	12 23 36.36	5	+ 3 16 54.7	20	
4463	10.0	24 2.29	1	— 4 10 21.3	26	u
4464	10.0	24 2.63	2	+ 2 53 41.6	17	
4465	7.5	24 4.56	4	+ 6 32 25.9	21	
4466	9.5	24 9.92	3	+ 1 56 38.7	24	
4467	8.9	12 24 19.46	3	+ 6 6 42.6	22	
4468	9.6	24 21.40	3	+ 0 33 13.5	25	
4469	8.8	24 32.86	4	+ 7 47 5.3	204	
4470	10.0	24 32.93	3	+ 9 11 8.8	206	
4471	10.0	24 35.20	3	— 6 36 1.0	130	
4472	9.0	12 24 36.95	3	+ 6 10 47.7	202	
4473	10.0	24 54.42	3	+ 2 57 12.4	273	
4474	11.0	25 1.99	2	— 4 25 4.4	350	u s
4475	8.5	25 9.43	1	+ 2 57 56.7	273	
4476	9.7	25 31.99	2	— 3 3 0.7	130	
—	9.2	12 25 31.91	3	— 3 2 57.9	341	
4477	10.0	25 32.09	2	— 0 36 46.4	274	
4478	10.0	25 34.74	2	— 11 52 51.7	346	u
—	10.0	25 34.72	2	— 11 52 54.6	349	
4479	9.5	26 3.03	3	+ 0 13 46.5	24	
4480	10.0	12 26 5.19	3	+ 6 2 46.4	20	
—	10.0	26 5.05	3	+ 6 2 47.0	202	f
4481	10.0	26 11.80	2	+ 1 6 8.1	17	
—	9.6	26 12.09	4	+ 1 6 3.4	25	
4482	9.0	26 15.49	3	+ 6 21 53.5	132	

No.	Grösse	Rectascension 1880.0 h	m	s	Fäden	Declination 1880.0 °	′	″	Zone	Bemerkungen
—	9.0	12	26	15.36	5	+ 6	21	54.7	204	
4483	8.0		26	19.43	4	— 23	32	16.0	127	n
4484	9.8		26	19.92	3	— 5	26	6.9	26	
4485	9.5		26	21.58	2	+ 4	0	12.4	21	
—	9.1		26	21.74	3	+ 4	0	14.3	341	
4486	8.5	12	26	50.56	4	+ 0	23	15.1	207	
4487	9.1		26	52.50	3	— 4	59	57.7	16	
4488	9.5		27	1.18	3	— 6	36	11.5	130	n
4489	10.0		27	7.96	3	— 3	39	45.9	128	
4490	9.0		27	19.76	3	— 12	0	26.1	131	
4491	10.0	12	27	20.48	1	+ 3	2	1.8	132	
—	10.0		27	20.41	1	+ 3	2	4.0	202	
4492	9.0		27	24.38	3	+ 6	54	45.1	204	n
4493	10.0		27	36.07	3	— 1	40	14.6	341	
4494	9.5		27	36.25	3	+ 1	22	24.2	274	
4495	9.0	12	27	49.46	3	— 12	14	54.6	14	
4496	9.0		27	56.93	3	— 23	37	28.6	127	n
4497	8.5		28	0.67	3	— 3	47	0.8	128	
4498	9.5		28	13.82	2	+ 10	20	4.2	21	
—	8.5		28	14.35	2	+ 10	20	2.2	22	
4499	10.0	12	28	15.39	2	— 11	10	32.2	344	
4500	9.8		28	29.72	3	— 7	23	40.0	130	n
—	10.0		28	29.71	4	— 7	23	42.0	350	
4501	9.0		28	34.23	4	— 11	7	2.1	26	
4502	9.8		28	51.20	3	— 6	1	18.7	16	
4503	9.0	12	28	53.88	4	+ 8	6	7.3	204	
4504	9.5		28	59.57	3	— 10	44	6.8	131	
4505	10.0		29	8.57	3	+ 0	6	2.4	274	
4506	7.5		29	8.99	5	+ 2	55	15.1	207	
4507	9.0		29	19.80	4	+ 5	20	22.1	202	
4508	9.5	12	29	31.83	1	+ 4	4	35.0	132	u
—	9.0		29	31.67	4	+ 4	4	35.2	348	
4509	9.8		29	40.61	3	— 8	23	39.7	130	n
4510	10.0		29	52.63	3	— 0	2	52.7	17	
4511	8.0		29	59.43	4	+ 9	53	37.0	24	
4512	9.5	12	30	18.39	3	— 24	39	16.7	127	n
4513	10.0		30	20.48	3	+ 6	12	41.9	20	
4514	9.0		30	22.84	3	— 5	24	13.3	128	
—	9.0		30	22.90	4	— 5	24	18.9	350	
4515	9.5		30	36.56	2	— 5	25	44.7	128	
4516	9.0	12	30	37.09	3	— 11	43	10.4	131	
4517	9.7		30	56.08	3	+ 2	1	34.3	25	
4518	9.0		30	58.87	4	— 3	59	25.2	16	
4519	9.0		31	2.16	3	+ 5	35	45.7	22	
—	10.0		31	1.91	3	+ 5	35	48.4	202	
—	10.0	12	31	1.90	3	+ 5	35	49.2	204	
4520	9.8		31	3.13	4	+ 0	38	23.3	341	
4521	9.5		31	18.07	4	— 8	59	47.2	130	
4522	9.0		31	21.80	4	— 24	52	1.9	127	n
4523	9.3		31	25.06	3	+ 0	15	25.0	274	
4524	7.0	12	31	42.03	2	+ 5	38	49.2	204	
—	8.0		31	41.80	6	+ 5	38	47.4	348	
4525	10.0		31	48.91	2	— 0	25	51.0	207	
4526	9.5		31	52.34	4	+ 5	32	5.7	24	
—	10.0		31	52.31	3	+ 5	32	5.8	202	
4527	8.5	12	32	3.58	4	— 11	43	35.2	131	
4528	9.5		32	8.73	3	— 4	41	50.2	128	
4529	8.5		32	19.91	3	— 10	52	39.8	14	
—	9.0		32	20.10	1	— 10	52	39.2	131	
4530	9.0		32	30.61	4	— 4	39	52.8	16	dpl. pr.
4531	9.0	12	32	52.35	3	— 7	15	25.6	130	n
—	9.0		32	52.20	4	— 7	15	26.4	349	
4532	9.0		33	15.49	4	— 10	30	31.4	26	
4533	10.0		33	15.47	1	— 3	31	54.9	130	
—	9.5		33	15.66	4	— 3	31	55.9	350	
4534	9.0	12	33	22.70	3	+ 5	33	16.6	132	
4535	8.0		33	34.75	2	— 22	53	52.0	127	n
4536	9.0		33	38.78	3	+ 3	19	33.4	24	
—	9.0		33	38.68	2	+ 3	19	35.9	202	
4537	9.7		33	46.71	5	+ 6	31	54.2	22	
4538	9.3	12	33	47.67	3	+ 2	59	31.5	25	
4539	10.0		33	52.46	3	+ 5	7	10.8	204	
4540	8.0		33	57.52	3	— 5	19	23.5	128	n
—	8.0		33	57.63	4	— 5	19	27.2	348	
4541	10.0		34	1.82	3	— 11	3	38.6	131	
4542	9.0	12	34	2.06	4	+ 2	23	17.4	207	n
4543	9.0		34	6.38	2	+ 3	20	21.7	202	u
4544	8.5		34	25.14	5	+ 3	45	5.2	346	
4545	9.1		34	31.97	3	+ 0	55	20.7	274	
4546	10.0		34	38.09	2	+ 6	13	24.9	344	
4547	9.3	12	34	38.42	3	— 9	6	45.1	14	
4548	9.0		34	49.52	3	+ 4	54	50.0	341	
4549	9.3		34	49.50	4	+ 4	54	49.9	349	
4550	9.8		34	50.45	3	— 4	5	52.5	16	
4551	8.0		35	1.04	3	— 22	51	38.7	127	n
—	8.5	12	35	1.03	2	— 22	51	37.9	211	
4552	8.8		35	14.53	3	+ 6	52	48.6	22	
4553	8.8		35	18.94	3	+ 8	55	3.5	132	
4554	9.0		35	23.13	5	— 9	8	0.5	26	
4555	9.0		35	31.58	3	— 10	55	59.8	131	
4556	3.0	12	35	34.36	4	— 0	47	26.2	17	dpl. med.
4557	10.0		35	34.36	3	+ 6	13	53.0	344	
4558	9.0		35	42.74	1	+ 8	1	44.1	207	
4559	8.0		35	43.70	1	+ 6	31	35.3	132	
—	8.2		35	43.58	3	+ 6	31	35.6	350	
4560	9.0	12	35	45.24	3	+ 8	3	28.8	341	
4561	9.0		35	47.49	4	— 1	53	37.5	25	
4562	8.0		35	48.77	2	— 4	33	42.6	16	
—	8.0		35	48.72	6	— 4	33	39.3	128	
—	8.6		35	48.60	3	— 4	33	37.1	130	

No.	Grösse	Rectascension 1880.0 h m s	Fäden	Declination 1880.0 ° ′ ″	Zone	Bemerkungen
4563	10.0	12 36 26.86	4	+ 3 10 1.8	202	
—	9.2	36 27.02	4	+ 3 10 1.3	274	
4564	9.3	36 40.81	3	+ 6 18 15.9	24	
—	9.4	36 40.81	3	+ 6 18 17.3	341	
4565	9.5	36 45.74	3	— 4 18 18.6	26	
4566	9.0	12 36 50.48	4	— 1 19 47.1	25	
4567	10.0	36 55.98	4	— 11 21 27.2	343	
4568	8.6	37 22.40	3	— 11 56 5.8	14	
4569	9.8	37 23.49	2	— 4 36 53.6	128	n
—	10.0	37 23.55	4	— 4 36 56.0	348	
4570	9.3	12 37 25.03	3	— 8 10 35.4	131	n
4571	9.8	37 28.84	3	+ 5 45 14.5	22	
—	10.0	37 28.78	3	+ 5 45 10.9	132	
—	9.6	37 28.46	2	+ 5 45 13.7	202	
4572	10.0	37 49.85	3	— 6 36 44.3	130	n
—	9.0	12 37 49.85	2	— 6 36 44.2	350	
4573	9.0	37 52.28	4	+ 3 13 32.4	24	
4574	10.0	37 55.74	3	+ 5 52 57.6	344	
4575	8.0	38 14.81	3	— 15 49 41.7	127	n
4576	8.0	38 15.59	3	+ 7 30 46.3	204	
4577	8.7	12 38 28.28	4	+ 4 11 13.7	21	
—	9.0	38 28.25	4	+ 4 11 14.1	207	
4578	8.0	38 45.35	4	— 15 23 12.9	211	
4579	9.7	38 50.45	4	— 4 36 48.6	128	n
4580	9.0	38 56.27	4	— 6 17 52.2	16	
—	9.8	12 38 56.30	2	— 6 17 49.3	130	f
4581	10.0	39 12.91	3	+ 0 47 3.8	274	
4582	10.0	39 15.98	3	+ 6 46 41.7	132	
4583	9.5	39 16.05	3	— 8 1 34.2	131	n
4584	10.0	39 19.78	3	+ 5 6 23.8	202	
4585	9.0	12 39 21.32	1	— 1 54 17.1	17	
—	9.5	39 21.45	3	— 1 54 17.8	25	
4586	9.0	39 23.35	3	+ 4 39 19.0	22	
4587	9.3	39 39.21	3	+ 4 24 55.0	24	
4588	8.0	39 45.40	6	— 8 38 59.0	273	
—	8.5	12 39 45.43	6	— 8 39 1.4	343	
—	7.9	39 45.17	6	— 8 39 1.4	349	
4589	9.6	39 57.90	4	— 4 14 48.1	26	
4590	9.0	40 9.33	3	— 12 44 25.7	14	
4591	9.0	40 10.10	3	— 15 52 55.6	127	n
4592	8.0	12 40 13.49	4	— 14 47 5.0	211	
4593	10.0	40 16.12	2	— 9 12 0.3	131	f
—	10.0	40 15.85	4	— 9 11 58.5	344	
4594	5.5	40 16.85	6	+ 10 12 37.7	204	
4595	7.0	40 17.96	5	— 11 9 28.5	345	
—	7.0	12 40 18.01	3	— 11 9 28.5	346	
4596	9.0	40 19.23	2	— 15 52 28.6	127	n
4597	9.0	40 25.34	3	— 4 7 6.2	128	n
4598	10.0	40 32.77	3	+ 5 52 56.6	28	
4599	10.0	40 33.97	3	+ 4 30 27.7	202	

No.	Grösse	Rectascension 1880.0 h m s	Fäden	Declination 1880.0 ° ′ ″	Zone	Bemerkungen
—	10.0	12 40 34.19	3	+ 4 30 28.4	348	
4600	8.0	40 46.82	4	— 7 8 31.6	130	n
4601	10.0	40 55.34	2	+ 4 48 49.5	22	u s
—	10.0	40 54.81	2	+ 4 48 45.6	24	
4602	10.0	40 59.09	4	— 0 28 26.7	274	
4603	9.0	12 41 22.56	4	+ 1 5 44.0	25	
4604	8.2	41 23.04	3	— 4 1 28.7	128	
4605	9.0	41 32.61	3	+ 2 20 28.6	207	Decl.−3′corr
4606	9.0	41 43.51	3	+ 1 50 18.2	274	
4607	9.0	41 46.62	3	— 16 42 50.3	127	n
4608	9.0	12 41 47.82	4	— 16 30 20.1	211	n
4609	10.0	41 49.00	3	+ 2 53 18.2	26	
4610	9.0	41 49.75	4	— 9 23 4.8	131	
4611	8.0	41 53.74	4	+ 9 10 24.9	204	n
4612	9.8	42 7.73	3	+ 4 46 20.6	202	
4613	10.0	12 42 10.04	2	+ 0 9 59.7	17	
4614	9.3	42 16.86	3	— 7 23 14.7	130	n
4615	9.0	42 21.61	3	— 9 6 42.3	14	
4616	9.7	42 25.02	4	+ 7 56 35.6	132	
—	9.6	42 24.56	1	+ 7 56 39.5	202	
—	10.0	12 42 24.94	3	+ 7 56 36.3	343	
—	10.0	42 24.91	3	+ 7 56 37.1	350	
4617	9.5	42 49.81	3	+ 8 12 12.4	21	
4618	10.0	42 53.24	3	+ 0 44 17.9	25	
4619	8.6	42 57.60	3	— 4 47 16.4	128	
4620	8.5	12 43 16.80	4	— 23 45 27.9	211	n
4621	9.0	43 25.90	4	+ 3 49 4.7	207	
4622	9.5	43 30.10	3	+ 2 4 45.9	24	
4623	8.0	43 37.59	3	+ 1 51 48.4	17	
—	8.0	43 37.55	6	+ 1 51 47.4	273	
—	8.0	12 43 37.51	6	+ 1 51 47.5	274	
4624	9.0	43 48.71	3	— 6 32 17.9	130	n
—	9.0	43 48.74	3	— 6 32 20.9	348	
4625	9.0	43 50.38	3	+ 11 39 1.6	204	
4626	10.0	43 57.26	3	+ 4 40 3.6	22	
4627	10.0	12 43 57.69	2	+ 9 13 25.3	204	
4628	9.5	44 13.94	4	+ 6 35 29.2	28	
4629	9.0	44 19.48	3	— 9 55 1.5	131	
4630	8.9	44 28.82	3	— 5 48 24.7	16	
—	9.3	44 28.75	3	— 5 48 24.1	210	
4631	9.0	12 44 33.33	3	— 3 3 10.7	128	
4632	8.0	44 38.94	3	+ 9 31 44.3	202	
4633	10.0	44 40.03	3	+ 2 27 52.9	346	
4634	10.0	44 50.21	3	+ 2 25 15.8	207	
—	9.0	44 50.52	1	+ 2 25 19.2	274	
4635	10.0	12 44 50.89	4	+ 0 55 35.4	25	
4636	9.5	44 51.11	3	+ 6 55 11.0	132	
4637	8.0	44 53.62	3	— 10 36 52.1	26	
4638	9.5	45 1.67	3	— 6 17 28.0	130	n
4639	10.0	45 6.67	4	— 9 40 47.8	348	dpl. pr.

No.	Grösse	Rectascension 1880.0 h m s	Fäden	Declination 1880.0 ° ′ ″	Zone	Bemerkungen
4640	7.0	12 45 8.34	5	— 9 41 4.6	347	
4641	8.0	45 10.69	4	— 12 49 39.1	273	
—	8.0	45 10.67	4	— 12 49 37.3	344	
4642	9.0	45 21.32	3	+ 1 15 55.6	21	
4643	9.0	45 26.98	4	— 15 2 17.6	127	
4644	8.0	12 45 30.70	3	+ 1 8 57.9	24	n
4645	10.0	45 38.28	2	— 11 20 51.8	131	
4646	8.9	45 50.11	3	— 7 52 14.4	16	
—	9.0	45 50.30	3	— 7 52 14.0	210	
4647	10.0	45 50.74	3	+ 5 27 22.0	343	
4648	8.0	12 45 51.01	3	+ 8 33 33.9	204	
4649	9.0	45 54.23	4	— 9 2 16.8	212	
4650	10.0	46 8.88	2	— 24 41 15.0	211	n a
4651	9.6	46 14.96	3	— 4 24 2.0	128	
4652	10.0	46 20.76	2	— 24 49 47.1	127	n
4653	8.5	12 46 31.46	3	— 8 3 20.4	273	
4654	10.0	46 44.89	4	+ 5 3 5.6	28	
4655	9.5	46 47.72	3	— 3 28 32.9	16	a
—	9.0	46 47.67	2	— 3 28 30.6	210	d
—	9.0	46 47.68	3	— 3 28 29.8	274	
4656	9.5	12 46 53.68	3	— 5 22 6.0	26	
—	9.2	46 53.76	4	— 5 22 5.9	344	
4657	9.5	46 54.15	3	+ 6 30 29.1	132	
4658	7.0	47 2.34	6	— 2 54 3.4	207	
—	6.5	47 2.47	5	— 2 54 2.2	209	
4659	9.0	12 47 8.04	6	+ 7 14 54.4	202	n
4660	7.8	47 19.04	2	— 0 6 42.1	24	
4661	7.0	47 26.90	3	— 3 34 12.6	128	
—	7.0	47 26.75	3	— 3 34 13.9	210	
4662	9.0	47 35.59	3	— 25 6 8.0	211	n
4663	9.8	12 47 40.22	3	— 6 24 26.3	130	n
4664	10.0	47 47.82	2	— 10 44 14.0	131	
—	10.0	47 47.52	3	— 10 44 12.6	202	
4665	9.9	47 58.49	3	+ 6 4 29.5	28	
4666	10.0	48 1.88	2	+ 5 47 11.7	22	
4667	10.0	12 48 3.82	2	— 0 0 30.9	274	
4668	9.0	48 11.78	4	+ 11 57 49.4	204	f
4669	9.0	48 42.42	1	+ 7 54 40.1	28	
—	9.6	48 42.38	1	+ 7 54 39.9	132	
4670	9.5	49 5.96	3	— 2 57 21.2	209	
4671	7.8	12 49 11.69	3	— 3 51 20.3	16	
4672	10.0	49 16.44	3	+ 5 13 56.7	344	
4673	9.0	49 27.62	4	+ 11 22 0.2	343	
4674	9.0	49 28.89	3	+ 6 11 20.7	208	
4675	10.0	49 37.17	3	— 9 34 16.7	131	
4676	10.0	12 49 50.93	3	— 11 20 14.5	212	
4677	10.0	50 0.98	3	+ 1 10 19.4	209	
4678	8.5	50 4.90	2	— 6 45 22.3	128	n
4679	8.0	50 8.20	5	— 14 17 52.8	211	
4680	9.0	50 12.70	2	+ 5 47 28.0	208	

No.	Grösse	Rectascension 1880.0 h m s	Fäden	Declination 1880.0 ° ′ ″	Zone	Bemerkungen
4681	10.0	12 50 18.27	3	— 3 50 1.7	210	
4682	9.0	50 18.46	4	— 5 40 35.5	130	
4683	9.0	50 22.72	5	+ 5 14 59.4	22	
—	9.0	50 22.76	3	+ 5 14 59.9	343	
4684	9.5	51 18.34	4	+ 1 49 41.9	24	
4685	9.8	12 51 25.70	3	— 11 14 22.7	131	
4686	10.0	51 29.13	3	+ 0 5 45.4	25	
4687	8.0	51 41.81	3	— 6 29 30.5	26	
4688	9.8	51 43.96	3	+ 6 17 40.0	28	
4689	10.0	51 45.19	4	— 0 33 42.7	274	
4690	8.0	12 51 45.96	5	— 14 20 11.1	211	
4691	9.3	51 48.07	4	— 11 7 42.2	212	
4692	10.0	51 52.37	3	+ 1 2 22.9	209	
4693	9.8	52 3.46	4	+ 2 25 11.4	343	
4694	10.0	52 8.82	2	— 6 40 52.3	128	n a
4695	10.0	12 52 15.42	4	+ 4 59 26.1	344	
4696	9.0	52 23.23	3	+ 4 46 5.4	346	
—	10.0	52 23.72	1	+ 4 46 6.3	350	
4697	9.0	52 28.91	3	— 1 51 50.2	209	
—	9.0	52 28.80	2	— 1 51 48.7	274	
4698	9.6	12 52 34.82	2	— 10 51 24.6	131	
—	9.2	52 34.88	2	— 10 51 25.4	212	
4699	7.5	52 52.60	2	— 9 11 30.8	343	
—	7.0	52 52.46	6	— 9 11 32.7	347	
4700	9.5	52 58.93	3	+ 0 13 12.4	24	
4701	10.0	12 53 23.50	3	— 11 28 44.3	27	
4702	10.0	53 26.34	3	+ 2 6 9.7	25	
4703	10.0	53 31.98	3	+ 4 46 39.4	28	
4704	9.2	53 40.37	4	+ 3 45 25.4	208	
4705	10.0	53 46.07	4	— 15 34 50.2	211	n
4706	10.0	12 53 49.17	2	— 9 31 5.9	212	
4707	8.8	53 52.80	3	+ 1 52 5.7	26	
4708	9.3	54 23.32	4	+ 0 7 8.1	209	
4709	9.3	54 28.15	3	+ 6 2 2.9	208	
4710	10.0	54 37.96	3	— 11 24 28.7	131	
4711	9.7	12 54 47.54	3	— 0 26 51.4	24	
4712	9.6	54 47.66	4	— 4 43 0.5	128	
4713	9.0	54 57.09	4	— 15 8 49.3	211	n
4714	10.0	55 8.45	3	— 3 36 0.1	210	
4715	9.0	55 8.41	4	— 7 47 24.3	343	
—	9.2	12 55 8.60	4	— 7 47 25.0	349	
4716	9.7	55 10.28	3	+ 4 36 50.5	28	
—	9.0	55 10.42	4	+ 4 36 51.2	344	
4717	9.0	55 14.83	4	— 8 48 32.5	346	
4718	9.5	55 52.43	4	+ 3 52 17.3	29	
4719	7.5	12 55 56.16	3	— 11 27 52.2	131	
4720	9.9	55 59.67	2	— 8 50 37.1	16	
—	10.0	55 59.95	3	— 8 50 33.8	130	
4721	9.0	56 5.25	3	+ 7 55 30.7	22	
4722	9.0	56 9.15	6	+ 1 12 5.4	274	

No.	Grösse	Rectascension 1880.0 h	m	s	Fäden	Declination 1880.0 °	′	″	Zone	Bemerkungen
4723	10.0	12	56	9.31	3	— 11	25	59.7	27	
—	9.5		56	9.26	3	— 11	26	1.5	212	
4724	9.0		56	16.12	3	+ 5	15	25.2	28	
4725	9.5		56	18.24	4	— 4	40	35.9	26	
4726	9.5		56	49.79	3	— 7	16	44.3	128	
4727	9.9	12	56	57.09	3	+ 0	58	13.7	24	
—	9.8		56	56.98	4	+ 0	58	15.1	209	
4728	10.0		57	6.52	2	— 7	39	24.3	130	
—	10.0		57	6.09	3	— 7	39	24.3	210	
4729	9.0		57	6.52	4	— 2	19	6.7	25	
4730	9.0	12	57	9.19	3	+ 7	0	43.2	28	
—	9.0		57	9.22	3	+ 7	0	46.6	208	
4731	9.0		57	23.56	3	— 3	18	10.6	26	
4732	9.3		57	25.31	4	— 11	55	47.9	131	
4733	9.7		57	28.24	3	— 0	29	10.7	29	
4734	10.0	12	57	53.50	2	— 3	21	55.4	16	f
—	10.0		57	53.84	3	— 3	21	51.8	128	
4735	9.3		58	5.81	4	— 11	3	15.5	27	
4736	10.0		58	8.34	4	— 11	17	41.8	212	
4737	9.0		58	37.91	3	— 1	43	28.6	24	
—	9.5	12	58	38.23	4	— 1	43	29.2	209	
4738	10.0		58	51.96	2	+ 4	21	52.4	31	
4739	7.0		59	5.05	5	— 16	21	39.4	30	
4740	9.7		59	6.49	4	+ 2	18	36.4	25	
4741	10.0		59	13.12	3	— 22	15	29.5	211	n
4742	9.8	12	59	18.75	3	— 3	34	7.4	130	
4743	9.0		59	23.69	4	— 10	52	44.1	26	
4744	10.0		59	24.27	3	+ 2	26	34.8	29	
4745	9.5		59	28.26	4	+ 7	51	34.8	22	f
—	9.5		59	28.42	4	+ 7	51	34.6	208	
4746	9.0	13	0	1.98	3	+ 0	0	16.9	209	
4747	8.0		0	13.50	5	— 9	49	13.7	27	
—	9.0		0	13.51	3	— 9	49	9.1	131	
4748	7.5		0	13.70	4	— 4	12	9.1	210	n
—	7.0		0	13.96	6	— 4	12	10.5	351	a
4749	10.0	13	0	21.73	3	+ 0	8	42.9	133	
4750	8.0		0	28.56	4	+ 11	21	13.2	21	
4751	9.0		0	32.77	3	+ 9	6	16.7	208	
4752	10.0		0	35.33	4	+ 5	12	33.6	213	
4753	9.3		0	36.77	3	+ 7	5	16.9	31	
4754	9.8	13	0	39.74	3	+ 2	10	4.7	24	
4755	9.9		0	51.22	3	— 3	24	1.8	16	
4756	9.0		1	5.34	2	— 12	1	26.5	26	n
—	9.0		1	5.30	3	— 12	1	27.1	212	
4757	9.5		1	16.40	3	— 10	44	54.5	348	
4758	10.0	13	1	34.25	3	+ 1	59	30.6	25	n
4759	9.5		1	44.84	4	— 24	35	38.4	211	n
4760	9.0		1	48.42	3	+ 1	58	45.9	133	
4761	9.0		2	5.45	3	— 4	4	6.0	210	
4762	10.0		2	8.23	3	+ 0	9	34.4	209	
4763	10.0	13	2	31.89	3	+ 2	25	2.6	24	
4764	9.0		2	36.05	3	— 5	21	16.1	213	u
—	9.0		2	35.74	3	— 5	21	15.4	348	
4765	9.2		2	43.66	4	— 11	17	54.4	349	
4766	10.0		2	46.00	3	— 3	57	26.3	210	
4767	7.0	13	2	46.11	6	+ 5	52	8.5	350	
—	7.0		2	46.19	4	+ 5	52	6.4	351	
4768	10.0		2	53.10	3	+ 2	18	11.9	32	
4769	9.2		3	7.71	3	+ 7	28	10.4	31	
4770	9.0		3	9.51	4	— 10	30	37.9	27	
—	9.0	13	3	9.56	2	— 10	30	34.4	212	
4771	9.9		3	18.33	2	— 6	34	26.4	30	
4772	10.0		3	27.25	2	— 19	36	52.8	211	n
4773	9.5		3	53.75	4	— 12	27	10.1	26	
4774	9.0		4	5.94	3	— 2	48	53.7	24	
—	9.5	13	4	5.96	4	— 2	48	—	133	
4775	9.6		4	15.89	3	+ 4	49	14.5	208	
4776	10.0		4	27.51	2	+ 2	31	31.1	213	u
4777	9.0		4	44.98	4	+ 2	22	2.2	25	
—	9.1		4	44.98	3	+ 2	22	2.2	32	
—	9.0	13	4	44.87	3	+ 2	22	3.1	209	
4778	7.8		5	4.17	4	— 9	52	34.6	27	
4779	10.0		5	10.50	3	— 10	18	37.2	212	
4780	10.0		5	16.02	3	— 17	11	38.6	211	n
4781	9.8		5	18.55	3	+ 1	44	15.4	29	A
4782	10.0	13	5	24.67	3	+ 5	23	7.0	28	
4783	9.9		5	28.82	3	— 3	21	56.6	16	f
—	9.3		5	29.25	3	— 3	21	56.0	210	
4784	4.5		5	40.54	4	— 15	33	7.7	275	
—	4.0		5	40.38	6	— 15	33	6.7	349	
—	4.0	13	5	40.34	6	— 15	33	6.0	350	
4785	9.6		5	44.92	3	+ 6	50	54.1	22	
4786	9.0		5	55.69	3	— 3	28	16.2	348	
4787	9.5		6	7.77	4	— 10	22	40.0	212	
4788	9.6		6	8.43	3	— 5	51	41.6	26	
4789	8.0	13	6	16.59	4	+ 3	17	29.8	213	n
4790	10.0		6	29.55	3	+ 4	56	55.3	21	
—	9.0		6	29.97	3	+ 4	56	58.5	133	
4791	10.5		6	40.65	2	+ 0	30	41.4	24	u s
—	10.5		6	40.39	3	+ 0	30	47.9	25	f s
4792	9.3	13	6	44.91	4	— 5	26	1.0	27	
4793	9.9		6	54.02	3	+ 7	54	9.6	28	
4794	10.0		6	53.80	2	+ 2	15	18.7	29	u
—	10.0		6	54.39	4	+ 2	15	20.1	351	
4795	9.0		6	58.25	3	+ 5	46	27.0	208	
4796	9.5	13	6	58.31	4	— 0	53	26.8	209	n
4797	8.0		6	59.08	5	— 4	23	1.3	210	n
4798	9.9		7	6.38	3	— 5	23	45.2	16	
4799	10.0		7	10.45	3	— 11	35	18.5	26	
4800	9.5		7	28.04	4	— 18	1	50.4	211	n

No.	Grösse	Rectascension 1880.0 h m s	Fäden	Declination 1880.0 ° ′ ″	Zone	Bemerkungen
4801	8.0	13 7 33.74	5	— 10 55 0.9	212	
4802	10.0	7 35.76	2	+ 3 39 26.0	213	n
4803	9.9	7 47.98	3	+ 2 24 4.0	30	
—	9.4	7 48.06	3	+ 2 24 0.6	133	
4804	9.0	8 3.19	3	+ 0 47 54.8	24	
4805	9.5	13 8 22.79	3	+ 8 18 48.9	21	
4806	8.6	8 26.65	3	— 8 55 12.4	16	
4807	10.0	8 27.09	1	— 10 24 41.5	31	a
—	10.0	8 26.85	3	— 10 24 40.6	210	
4808	7.0	8 27.83	3	— 9 44 1.5	26	
4809	10.0	13 8 31.10	3	+ 0 35 49.4	25	
—	10.0	8 31.19	2	+ 0 35 51.1	209	
4810	7.5	8 38.84	3	— 10 43 28.9	275	
—	7.0	8 38.85	3	— 10 43 28.4	348	
4811	8.0	8 42.43	3	— 10 42 45.7	348	
—	8.0	13 8 42.37	6	— 10 42 47.5	349	
4812	9.0	8 52.92	3	— 23 32 38.9	32	n
—	10.0	8 52.77	2	— 23 32 37.2	211	
4813	9.0	9 9.89	4	+ 2 18 45.6	22	
4814	9.0	9 17.08	3	— 10 21 54.2	27	
4815	8.2	13 9 19.70	5	+ 3 51 26.8	213	n
—	8.5	9 20.00	3	+ 3 51 26.1	351	
4816	8.3	9 31.27	4	+ 4 10 54.0	208	n
4817	9.0	9 32.80	3	— 4 4 9.2	28	
4818	8.0	9 38.85	3	— 10 36 17.8	212	
4819	10.0	13 9 48.15	2	— 9 59 9.6	29	
—	10.0	9 48.05	3	— 9 59 7.4	210	
4820	9.0	10 47.19	4	+ 2 49 16.6	133	n
—	9.3	10 47.16	4	+ 2 49 16.1	350	
4821	9.0	10 49.11	4	+ 8 46 5.8	21	
4822	8.5	13 10 52.67	4	+ 7 34 42.4	22	
4823	9.7	10 55.35	3	— 7 41 59.4	16	
4824	10.0	11 6.35	3	— 24 51 46.2	211	n
4825	10.0	11 20.87	3	— 9 47 26.7	32	
4826	9.0	11 34.17	3	+ 8 25 42.4	24	
4827	9.8	13 11 34.71	4	+ 0 4 14.2	209	n
—	10.0	11 34.66	4	+ 0 4 13.1	351	
4828	9.0	11 48.64	2	— 13 20 44.5	275	
—	9.5	11 48.77	4	— 13 20 44.7	348	
—	9.2	11 48.98	3	— 13 20 46.9	354	
4829	9.0	13 11 49.53	3	— 11 28 37.5	31	
—	9.0	11 49.35	3	— 11 28 35.1	210	
—	9.0	11 49.41	4	— 11 28 36.0	212	
4830	8.5	12 2.39	3	+ 3 58 53.8	213	
4831	9.0	12 15.63	3	+ 4 15 28.5	24	
—	9.0	13 12 15.65	4	+ 4 15 30.1	133	
—	9.0	12 15.62	4	+ 4 15 29.7	208	
4832	6.0	12 20.57	4	— 16 30 5.9	30	
4833	9.0	12 25.35	3	— 24 37 11.7	211	n
4834	7.5	12 46.24	3	+ 4 19 13.6	21	

No.	Grösse	Rectascension 1880.0 h m s	Fäden	Declination 1880.0 ° ′ ″	Zone	Bemerkungen
4835	9.0	13 12 51.93	4	— 9 23 39.9	210	
4836	7.8	13 1.41	3	+ 4 21 —	21	
—	7.0	13 1.60	3	+ 4 21 17.6	22	
4837	9.5	13 10.84	4	— 12 14 22.3	212	
4838	8.0	13 13.58	4	+ 10 4 57.1	31	
4839	9.0	13 13 34.56	4	— 5 19 39.7	209	
4840	9.0	13 43.41	4	+ 4 7 15.5	213	n
—	9.2	13 43.49	4	+ 4 7 15.2	350	
4841	9.0	13 56.94	4	— 12 33 48.9	210	
4842	9.0	13 58.33	3	+ 4 54 10.9	24	
—	9.0	13 13 57.93	4	+ 4 54 10.0	208	
4843	9.2	14 23.49	4	+ 5 58 39.7	133	
4844	8.0	14 25.93	5	— 10 49 14.0	32	
4845	7.9	14 31.93	3	+ 8 52 31.2	22	f
4846	7.5	14 32.52	3	— 23 50 25.9	30	n
4847	9.3	13 14 50.88	6	— 24 54 9.5	212	n
4848	9.6	15 9.60	4	— 9 49 55.8	31	
4849	10.0	15 19.53	3	— 6 3 4.1	28	
4850	9.0	15 27.48	5	— 15 16 18.5	211	
4851	8.0	15 31.26	3	+ 3 29 3.3	213	
4852	10.0	13 15 47.00	5	— 11 33 25.4	210	n
—	9.8	15 47.15	6	— 11 33 24.7	351	
4853	9.3	16 1.34	2	+ 4 46 53.8	208	
—	9.0	16 1.32	4	+ 4 46 52.9	348	
—	10.0	16 1.22	3	+ 4 46 52.0	350	
—	10.0	13 16 1.80	3	+ 4 46 51.2	354	
4854	8.0	16 19.94	6	+ 0 3 0.1	133	
—	8.0	16 20.01	4	+ 0 3 0.6	209	
4855	9.5	16 23.48	5	+ 4 0 28.0	21	
4856	10.0	16 28.09	3	— 8 41 20.6	26	
4857	8.0	13 16 42.80	2	— 15 18 1.4	211	
4858	9.0	16 50.92	4	— 10 45 44.7	212	n
4859	11.0	16 57.27	2	— 0 9 20.0	209	f
4860	9.0	16 58.18	1	— 9 43 15.2	27	
—	9.9	16 58.29	3	— 9 43 15.8	31	
4861	9.5	13 17 10.77	4	+ 4 21 24.0	22	
—	9.0	17 10.69	3	+ 4 21 24.4	208	
4862	10.0	17 17.19	1	+ 5 13 15.3	24	
—	10.0	17 17.27	3	+ 5 13 17.0	213	
4863	7.5	17 37.56	3	— 10 14 34.7	210	f
—	8.0	13 17 37.79	4	— 10 14 36.6	351	
4864	8.5	17 54.07	3	— 3 54 33.3	25	
4865	10.0	18 6.30	2	— 9 28 9.8	29	
4866	10.0	18 10.—	—	+ 3 37 43.2	21	
—	9.3	18 9.95	2	+ 3 37 41.8	133	
—	9.5	13 18 10.19	1	+ 3 37 41.8	349	
4867	8.8	18 12.90	3	— 3 59 24.5	26	
4868	7.7	18 14.20	5	— 3 40 42.6	28	
—	8.0	18 13.97	4	— 3 40 43.3	275	
4869	9.5	18 37.28	2	+ 0 8 34.3	32	

No.	Grösse	Rectascension 1880.0 (h m s)	Fäden	Declination 1880.0 (° ′ ″)	Zone	Bemerkungen
—	10.0	13 18 36.95	3	+ 0 8 35.2	209	
4870	8.0	18 39.96	3	— 24 45 35.2	211	n
4871	8.9	19 17.90	2	— 11 51 40.6	26	
—	9.5	19 17.51	4	— 11 51 38.9	27	
4872	7.9	19 56.56	4	— 3 2 10.9	25	
—	8.0	13 19 56.72	4	— 3 2 10.4	348	
—	8.0	19 56.70	2	— 3 2 9.4	354	
4873	8.6	20 1.59	3	— 24 32 47.2	211	n
4874	9.0	20 2.36	3	+ 3 31 21.9	133	n
4875	10.0	20 10.66	4	+ 4 50 50.5	24	
4876	9.0	13 20 39.29	3	+ 3 45 48.9	213	u
4877	9.0	20 40.46	4	— 10 42 52.9	212	n
4878	10.0	21 7.75	2	+ 5 53 49.7	22	f
—	10.0	21 7.93	3	+ 5 53 49.1	28	
4879	10.0	21 8.56	4	+ 0 21 15.4	209	n
4880	9.5	13 21 12.20	3	— 8 34 10.2	27	
4881	10.0	21 15.77	1	— 10 18 3.7	29	s a
—	10.0	21 16.00	3	— 10 18 1.1	210	
4882	9.6	21 33.08	3	— 4 20 44.2	25	
4883	9.5	21 35.02	3	+ 3 38 49.6	133	
4884	9.0	13 21 58.34	4	— 10 25 26.8	31	Decl.+3′corr.
—	9.0	21 58.63	3	— 10 25 25.2	212	
4885	8.0	22 7.74	6	— 0 12 18.5	349	
—	8.0	22 7.77	6	— 0 12 18.6	350	
4886	9.0	22 9.18	4	— 16 23 14.1	211	
4887	10.0	13 22 15.53	3	— 10 29 27.7	32	
4888	9.5	22 24.07	4	+ 3 46 25.2	24	
—	9.5	22 23.72	4	+ 3 46 24.6	208	
4889	8.0	22 29.—	—	— 3 50 38.8	27	
—	9.0	22 28.90	3	— 3 50 36.3	348	
—	8.0	13 22 29.21	5	— 3 50 36.1	351	
—	8.0	22 29.37	4	— 3 50 38.1	354	
4890	9.8	22 55.70	3	+ 3 36 14.4	133	n
4891	9.0	22 58.74	3	— 9 45 20.4	26	
4892	10.0	23 10.93	3	— 3 52 43.9	213	
4893	9.0	13 23 27.04	4	— 14 28 0.8	29	
4894	10.0	23 30.88	3	— 8 52 37.7	212	
4895	9.5	23 34.—	—	— 10 52 31.7	31	
—	10.0	23 34.01	4	— 10 52 27.6	210	
4896	9.5	23 49.98	3	— 3 36 47.1	209	
—	9.0	13 23 50.16	1	— 3 36 48.1	213	
4897	9.3	23 50.30	4	+ 3 22 44.9	24	
4898	9.7	23 50.89	2	+ 8 0 59.4	28	
4899	9.0	23 59.14	2	+ 5 57 16.0	21	f
—	8.0	23 59.63	2	+ 5 57 13.7	23	
—	8.3	13 23 59.38	3	+ 5 57 17.8	208	
4900	9.5	24 0.74	3	— 7 58 17.6	212	
4901	8.0	24 15.57	4	— 15 36 8.4	211	
4902	9.0	24 16.77	1	— 8 56 41.2	210	
—	9.0	24 16.84	4	— 8 56 43.4	351	
4903	8.0	13 24 21.98	3	+ 8 2 5.9	32	
—	8.0	24 21.93	3	+ 8 2 4.0	134	
4904	8.0	24 28.78	2	+ 8 7 —	32	n
4905	8.0	24 30.09	3	— 25 2 12.7	30	n
4906	9.0	25 6.03	4	— 10 25 19.8	26	
—	9.3	13 25 5.87	3	— 10 25 17.0	348	
—	9.2	25 6.05	6	— 10 25 20.6	354	
4907	8.5	25 12.92	4	— 3 23 13.6	25	
4908	9.5	25 34.18	1	— 8 47 11.4	210	n
—	10.0	25 34.41	3	— 8 47 13.9	212	
4909	7.9	13 25 35.45	4	— 1 42 28.4	27	
—	7.0	25 35.28	1	— 1 42 24.6	208	
—	7.5	25 35.44	5	— 1 42 26.9	209	
4910	9.5	25 35.79	3	+ 6 10 12.7	28	
—	9.3	25 35.30	3	+ 6 10 11.2	133	
4911	9.5	13 25 59.71	4	— 2 30 35.2	33	
4912	9.5	26 1.40	3	— 7 25 47.9	29	
4913	9.5	26 8.02	4	+ 3 55 29.6	24	
4914	9.0	26 9.46	4	— 3 50 52.2	31	
—	9.2	26 9.34	3	— 3 50 51.7	348	
—	9.5	13 26 9.48	4	— 3 50 52.1	350	
4915	8.0	26 16.—	—	+ 6 58 7.0	21	
—	8.0	26 15.96	4	+ 6 58 9.0	23	
4916	8.3	26 42.12	3	— 23 40 52.7	30	n
4917	10.0	26 44.21	3	— 6 34 40.5	26	d
—	9.0	13 26 44.09	4	— 6 34 39.8	351	
4918	9.9	26 45.97	3	+ 5 7 13.4	32	
4919	9.5	26 56.36	3	— 3 9 40.5	25	
4920	7.7	27 6.92	3	+ 6 28 8.6	28	
—	7.0	27 6.55	4	+ 6 28 11.1	133	
4921	9.0	13 27 19.65	3	— 2 18 25.4	348	
4922	10.0	27 28.12	2	+ 5 19 0.4	23	
4923	9.5	27 34.19	3	— 6 40 3.7	212	n
4924	9.7	27 35.51	3	+ 0 27 16.6	27	
4925	8.2	27 37.24	3	+ 9 11 58.4	134	n
4926	8.0	13 28 0.39	3	— 8 0 7.4	31	
4927	9.5	28 2.99	6	+ 0 42 47.5	349	
4928	9.2	28 3.46	2	+ 0 43 25.6	348	
4929	8.5	28 5.21	2	— 14 18 57.1	32	n
4930	9.0	28 5.31	3	— 12 3 39.6	33	
4931	9.8	13 28 47.73	3	+ 5 46 0.4	28	
4932	9.0	29 4.33	4	+ 6 11 15.1	21	
4933	8.8	29 6.10	4	+ 7 27 27.7	23	
—	9.0	29 6.14	4	+ 7 27 27.5	134	
4934	9.6	29 20.62	3	+ 1 14 30.0	27	
—	9.5	13 29 20.35	3	+ 1 14 33.0	348	
4935	9.8	29 47.18	3	+ 7 10 24.9	28	
4936	9.0	29 49.75	3	+ 3 17 45.2	213	
4937	9.0	29 50.55	4	— 10 4 9.4	26	
4938	10.0	30 13.07	2	+ 0 2 46.8	133	u

No.	Grösse	Rectascension 1880.0 h m s	Fäden	Declination 1880.0 ° ′ ″	Zone	Bemerkungen
4939	9.0	13 30 33.99	4	— 0 38 46.8	209	
4940	9.0	30 44.80	3	+ 7 26 40.5	134	
4941	9.0	31 1.21	2	— 11 42 38.0	212	n
	9.2	31 1.26	5	— 11 42 39.1	351	
4942	9.0	31 10.28	4	+ 3 37 58.2	213	n
4943	9.0	13 31 14.38	4	— 10 11 11.6	348	dpl. med.
4944	9.0	31 14.75	5	— 10 11 14.8	349	dpl. seq.
—	10.0	31 14.34	4	— 10 11 10.2	350	
4945	9.7	31 15.89	3	— 0 21 34.3	24	n
4946	10.0	31 16.15	1	+ 0 38 22.9	133	
—	9.5	13 31 16.31	2	+ 0 38 26.9	276	
4947	9.9	31 21.36	3	+ 4 24 10.4	23	
4948	9.0	31 22.77	3	— 6 2 23.7	210	n
4949	9.0	31 24.14	4	+ 6 3 33.2	21	
4950	9.7	31 45.03	4	+ 6 24 9.2	28	
4951	10.0	13 32 3.66	3	+ 0 1 4.6	25	
4952	8.5	32 15.23	4	— 0 23 21.6	209	
4953	8.5	32 21.19	3	— 9 16 29.1	26	
—	8.0	32 20.95	4	— 9 16 26.9	210	
4954	8.0	32 26.87	4	— 13 58 7.1	27	
4955	9.0	13 32 37.47	4	— 11 19 5.4	212	n
—	9.2	32 37.59	4	— 11 19 5.0	351	
4956	8.0	32 41.12	3	+ 5 55 43.0	21	
4957	9.5	32 41.84	1	— 10 48 27.9	29	
—	9.7	32 41.89	4	— 10 48 28.0	33	
4958	8.0	13 32 46.66	4	— 9 46 45.7	30	
4959	9.6	32 52.12	3	+ 4 35 27.8	23	
—	9.5	32 51.78	4	+ 4 35 31.1	213	
4960	7.5	32 54.02	5	— 14 35 53.4	214	
4961	8.5	32 59.59	3	+ 1 20 10.6	208	f
—	9.2	13 32 59.89	3	+ 1 20 9.1	348	
—	8.3	32 59.86	4	+ 1 20 7.6	354	
4962	10.0	33 18.17	2	+ 0 13 30.7	25	
—	10.0	33 18.28	3	+ 0 13 27.1	31	u
4963	8.8	33 23.93	4	— 9 38 17.1	26	
4964	9.0	13 33 36.56	1	— 8 5 16.2	32	a
—	9.7	33 36.79	4	— 8 5 16.6	135	
4965	9.9	33 47.12	3	+ 6 35 56.2	28	
4966	10.0	33 56.39	3	+ 6 8 34.6	33	
4967	9.0	33 57.—	—	— 3 35 33.4	32	
—	9.0	13 33 56.77	4	— 3 35 32.3	209	
—	9.5	33 56.40	2	— 3 35 31.3	348	
—	10.0	33 56.67	4	— 3 35 31.5	349	u
4968	10.0	33 59.44	4	+ 5 33 25.7	134	
4969	9.7	34 13.75	3	— 1 28 27.4	27	
4970	9.5	13 34 19.88	3	+ 4 7 20.5	23	
	9.0	34 19.78	4	+ 4 7 18.6	213	
4971	10.0	34 19.98	3	— 15 18 26.2	30	
4972	9.0	34 20.62	3	+ 2 45 59.6	133	
—	8.5	34 20.40	3	+ 2 46 1.2	208	

No.	Grösse	Rectascension 1880.0 h m s	Fäden	Declination 1880.0 ° ′ ″	Zone	Bemerkungen
4973	10.0	13 34 48.75	2	— 11 50 54.6	26	a
—	9.3	34 48.61	4	— 11 50 55.3	351	
4974	9.0	34 50.28	3	— 10 41 16.4	212	n
4975	10.0	34 57.03	3	— 10 42 50.4	212	n
4976	10.0	35 2.61	3	— 11 49 22.6	29	
4977	9.0	13 35 12.74	5	— 15 34 3.9	214	n
4978	9.8	35 17.78	3	+ 5 12 6.7	28	
4979	9.0	35 25.59	4	— 3 23 38.5	209	
4980	9.7	35 31.15	4	+ 1 53 54.6	25	
4981	9.0	35 34.54	3	— 15 19 11.3	33	
4982	9.5	13 35 36.35	3	+ 5 36 19.6	23	
4983	10.0	35 37.58	4	— 12 13 3.2	210	
4984	9.5	35 41.46	4	— 0 6 20.1	27	
4985	9.0	35 47.91	3	— 8 30 15.4	135	n
4986	8.0	36 2.75	4	+ 2 47 46.1	208	
4987	8.5	13 36 3.13	3	— 12 57 17.1	32	
4988	10.0	36 7.23	4	+ 2 54 38.3	213	n
4989	9.9	36 19.58	2	— 1 25 28.5	31	
—	10.0	36 19.76	3	— 1 25 22.4	133	
—	9.5	36 19.75	3	— 1 25 25.9	276	
4990	9.2	13 36 26.36	3	— 15 37 38.6	214	n
4991	7.8	36 27.07	4	— 14 25 40.5	348	
4992	7.5	36 36.14	3	— 10 41 43.4	212	
4993	10.0	36 40.89	3	— 6 41 53.8	135	
4994	9.5	36 48.81	4	— 9 59 15.8	26	
—	9.0	13 36 48.61	3	— 9 59 17.8	136	Decl.+1′corr.
4995	9.5	36 49.85	4	+ 7 5 52.6	349	
—	9.8	36 49.57	5	+ 7 5 52.2	354	
4996	9.8	36 58.93	4	— 13 37 52.8	29	
4997	9.0	37 1.21	3	— 16 26 20.3	30	
4998	9.3	13 37 10.16	5	— 13 38 24.0	350	
4999	6.5	37 17.05	4	— 3 40 8.0	27	
5000	8.0	37 18.11	4	— 6 49 16.3	209	
5001	10.0	37 28.20	3	+ 2 39 52.2	208	n
5002	9.5	37 29.41	3	— 9 15 23.1	33	
5003	9.7	13 37 33.85	3	+ 0 47 19.7	24	
—	9.8	37 33.94	3	+ 0 47 21.3	133	
5004	9.6	37 39.96	3	+ 6 3 14.5	23	
5005	10.0	37 43.15	4	+ 6 48 12.1	134	
5006	9.3	37 43.15	2	— 15 53 40.7	214	n
—	9.0	13 37 43.11	4	— 15 53 39.7	351	
5007	9.0	37 48.48	5	— 12 13 24.3	210	
5008	6.0	37 55.67	4	— 14 9 21.7	348	
—	6.5	37 55.57	2	— 14 9 21.7	354	
5009	9.7	38 7.38	3	— 0 51 56.2	25	
5010	10.0	13 38 23.95	1	— 10 11 57.2	29	
—	10.0	38 24.12	3	— 10 11 56.5	136	
5011	7.0	38 42.46	4	— 14 9 50.3	26	f
—	6.5	38 42.26	3	— 14 9 49.2	348	
—	7.0	38 42.33	1	— 14 9 49.3	354	

No.	Grösse	Rectascension 1880.0 h	m	s	Fäden	Declination 1880.0 °	′	″	Zone	Bemerkungen
5012	6.0	13	39	7.38	4	— 15	9	52.5	30	
5013	9.6		39	11.47	4	+ 0	54	7.6	28	n
5014	10.5		39	11.99	1	+ 1	29	17.6	24	n u
5015	8.0		39	13.65	4	— 11	46	55.3	210	
5016	8.8		39	17.05	4	— 8	59	30.1	27	
5017	10.0	13	39	18.96	2	+ 0	48	20.9	133	n
5018	10.0		39	25.12	1	+ 0	37	27.2	276	u s
5019	9.5		39	29.74	3	+ 8	1	37.0	134	n
5020	9.8		39	41.82	4	— 5	51	1.7	135	n
5021	10.0		39	44.05	4	— 9	45	8.2	136	
—	10.0	13	39	44.12	3	— 9	45	8.4	349	
5022	9.5		40	3.00	3	+ 0	10	45.5	212	n
5023	9.0		40	13.26	3	+ 0	8	41.7	212	
—	9.0		40	13.02	3	+ 0	8	40.2	348	
5024	9.0		40	13.39	3	— 0	37	37.7	350	
5025	8.2	13	40	31.19	5	— 17	13	24.3	214	n
5026	9.0		40	33.75	4	— 4	2	56.1	27	
5027	9.7		40	38.16	2	— 4	50	38.5	135	n
5028	10.0		40	41.68	3	+ 6	13	18.7	23	
—	10.0		40	41.36	3	+ 6	13	21.0	213	
5029	10.0	13	40	58.55	3	— 11	31	20.2	210	n
—	10.0		40	58.65	4	— 11	31	21.2	351	
5030	8.0		41	0.13	6	+ 6	57	14.6	349	
—	6.0		41	0.33	5	+ 6	57	16.6	350	
—	7.0		41	0.31	5	+ 6	57	14.7	354	
5031	9.0	13	41	27.88	3	+ 1	46	33.3	24	
5032	9.0		41	31.95	3	— 9	35	1.9	26	
5033	10.0		41	32.79	3	— 10	11	28.2	136	n
5034	8.0		41	40.69	2	+ 1	47	—	24	
5035	9.5		41	43.48	3	— 1	36	54.4	25	
5036	8.7	13	41	47.98	3	+ 1	3	13.9	28	
—	9.4		41	47.84	3	+ 1	3	15.5	133	
5037	7.5		41	50.11	3	— 10	11	24.4	29	
5038	8.0		41	51.01	3	+ 4	26	48.3	23	
5039	9.5		41	49.49	2	+ 2	7	23.7	31	
—	9.6	13	41	49.58	4	+ 2	7	26.3	33	
5040	9.8		41	53.02	3	+ 5	53	43.5	213	
5041	10.0		42	15.05	1	+ 0	0	39.1	30	n
—	10.0		42	14.74	4	+ 0	0	40.6	209	
5042	9.5		42	20.65	5	— 16	22	51.3	214	n
5043	8.0	13	42	27.02	4	— 2	57	21.2	32	
5044	9.0		42	40.68	3	— 3	34	30.0	27	
5045	10.0		42	50.22	3	— 9	35	44.4	26	u
—	10.0		42	50.12	3	— 9	35	44.6	136	
—	10.0		42	49.95	4	— 9	35	42.1	210	
5046	9.7	13	42	55.75	3	— 6	42	55.5	135	
5047	9.7		43	11.44	3	+ 7	6	15.4	134	
5048	9.9		43	14.43	3	+ 6	1	51.8	28	
5049	9.0		43	22.10	5	— 2	27	5.4	276	
5050	10.0		43	37.14	2	+ 0	29	20.5	133	
5051	9.6	13	43	39.89	4	— 2	7	36.3	25	
5052	10.0		44	9.60	4	— 10	11	16.1	210	
5053	7.0		44	23.02	2	+ 6	5	—	23	
5054	10.0		44	25.15	3	+ 6	4	58.9	23	
5055	9.0		44	26.41	4	+ 3	16	56.1	213	n
5056	8.5	13	44	50.14	3	+ 4	9	3.7	28	
5057	9.6		44	52.92	3	— 2	19	0.1	27	
5058	9.5		44	54.06	5	— 2	5	17.9	209	n
5059	9.9		44	55.72	4	— 11	11	5.3	26	
5060	10.0		44	57.35	3	+ 1	16	1.3	208	
5061	9.9	13	44	58.63	1	— 9	46	59.9	31	
—	10.0		44	58.80	3	— 9	47	1.0	136	
5062	10.0		45	5.50	3	— 0	22	4.0	24	
5063	9.5		45	12.50	4	+ 6	30	33.4	134	
5064	9.5		45	16.03	3	— 14	52	27.3	29	
—	9.0	13	45	16.09	2	— 14	52	30.8	33	
5065	9.0		45	41.66	3	— 2	20	16.5	25	
—	10.0		45	41.86	3	— 2	20	18.0	32	
5066	10.0		45	46.42	4	— 10	20	42.6	210	
5067	9.0		45	49.52	4	— 14	33	49.1	212	
5068	9.5	13	46	4.12	1	— 1	8	4.7	33	
5069	9.5		46	6.98	4	— 15	34	24.9	214	n
5070	9.0		46	13.65	4	— 1	45	36.2	209	
5071	9.0		46	19.59	4	+ 4	29	27.8	213	
5072	10.0		46	22.59	2	— 6	39	42.3	135	n
—	10.0	13	46	22.76	4	— 6	39	43.2	351	
5073	10.0		46	50.57	2	— 11	12	16.4	210	n
5074	9.0		47	13.50	3	+ 2	39	47.8	22	
5075	10.0		47	14.35	3	— 15	21	3.4	29	
5076	9.5		47	20.14	3	+ 2	31	28.0	24	
—	9.0	13	47	20.28	4	+ 2	31	30.0	208	
5077	7.5		47	23.62	6	— 14	4	19.3	212	n
5078	9.0		47	26.25	4	+ 4	13	8.7	213	
5079	9.6		47	29.00	3	+ 3	17	14.0	23	
5080	10.0		47	29.06	2	+ 0	41	35.2	25	
—	10.0	13	47	29.79	2	+ 0	41	35.7	133	u
	10.0		47	29.68	2	+ 0	41	37.7	348	u s
—	11.0		47	29.60	3	+ 0	41	38.2	349	u s
—	11.0		47	29.98	1	+ 0	41	37.8	350	
—	10.0		47	29.50	2	+ 0	41	39.6	352	u
5081	9.8	13	47	33.35	4	— 15	59	38.3	214	n
5082	9.5		47	34.24	3	— 8	54	27.1	136	n
5083	9.9		47	43.04	3	+ 5	34	24.2	28	
5084	9.0		47	56.92	4	— 1	22	21.6	209	
5085	9.5		47	58.25	3	+ 1	52	59.7	27	
5086	9.5	13	48	4.09	3	+ 3	53	22.3	31	
5087	9.0		48	5.51	3	+ 3	44	48.2	134	
5088	9.5		48	25.64	4	— 9	18	16.3	26	
—	9.5		48	25.69	1	— 9	18	15.5	135	
5089	9.0		48	29.57	3	+ 7	24	55.3	23	

No.	Grösse	Rectascension 1880.0 h m s	Fäden	Declination 1880.0 ° ′ ″	Zone	Bemerkungen
—	9.0	13 48 29.64	2	+ 7 24 —	133	
—	8.0	48 29.81	3	+ 7 24 50.3	276	
—	9.0	48 29.94	6	+ 7 24 51.4	351	
5090	9.0	48 46.88	3	— 8 59 2.8	136	n
5091	9.0	49 6.79	5	— 15 33 14.2	214	
5092	8.7	13 49 12.40	3	+ 3 51 49.5	134	
—	8.0	49 12.26	4	+ 3 51 52.1	213	
5093	9.0	49 14.41	4	+ 1 49 27.5	208	
5094	10.0	49 21.37	2	— 11 19 39.1	212	n
5095	9.0	49 25.64	3	— 4 2 47.1	30	
—	9.5	13 49 25.55	3	— 4 2 44.5	32	
5096	9.7	49 53.38	3	— 6 42 59.4	31	
5097	9.8	49 56.37	3	— 1 14 20.7	22	
5098	9.5	49 58.38	3	— 15 36 30.9	29	
5099	9.5	49 58.96	3	+ 1 55 9.1	24	
5100	10.0	13 50 2.76	2	+ 6 17 0.7	28	n
5101	9.0	50 3.21	3	+ 3 23 10.9	213	n
5102	8.5	50 13.13	2	— 7 58 8.3	32	
—	8.0	50 13.15	4	— 7 58 8.0	209	
5103	10.0	50 15.86	3	— 8 57 46.7	136	n
5104	8.2	13 50 18.72	3	+ 5 52 47.0	134	
5105	9.0	50 30.60	3	— 10 7 0.0	27	
5106	9.2	50 41.44	3	+ 0 46 18.6	208	
5107	9.0	51 12.84	5	— 15 18 42.7	214	
5108	9.5	51 27.—	—	— 2 11 57.2	32	
—	9.0	13 51 27.66	3	— 2 11 56.7	351	
5109	9.5	51 28.61	4	— 1 42 43.8	133	
5110	9.0	51 41.02	3	— 9 30 15.3	27	
5111	9.0	51 42.33	4	— 1 43 52.4	22	
5112	9.6	51 43.09	3	— 4 3 57.8	29	
5113	8.9	13 51 44.95	4	+ 6 45 14.8	23	Decl.—1′corr.
—	10.0	51 45.12	5	+ 6 45 16.8	134	
—	9.0	51 44.87	4	+ 6 45 17.4	276	
5114	10.0	52 1.60	4	— 10 34 18.5	210	
5115	8.0	52 2.60	3	+ 3 22 11.6	213	
5116	10.0	13 52 5.96	3	— 6 17 4.4	135	
5117	10.0	52 11.04	3	— 10 2 46.9	136	n
5118	9.0	52 14.06	4	— 1 4 29.7	209	n
5119	10.0	52 28.57	3	— 10 36 37.6	212	n
5120	7.0	52 41.98	4	— 6 20 17.7	135	
5121	10.0	13 52 43.72	3	+ 6 4 30.6	31	
5122	9.8	52 47.49	4	+ 4 28 42.0	28	
5123	9.0	53 11.16	3	+ 7 6 49.1	23	
—	10.0	53 11.19	3	+ 7 6 51.5	348	
5124	9.0	53 38.47	4	— 11 11 57.8	210	
—	8.0	13 53 38.24	2	— 11 11 56.1	212	
5125	10.0	53 39.41	3	— 0 33 38.8	22	
5126	9.0	53 49.37	4	— 1 1 17.2	209	n
—	9.2	53 49.21	4	— 1 1 19.6	351	
5127	9.0	53 50.—	—	+ 5 9 30.1	33	
—	9.0	13 53 50.27	3	+ 5 9 31.7	133	
5128	9.0	53 57.42	3	+ 0 37 15.9	208	
5129	10.0	54 0.05	3	— 6 11 20.5	135	n
5130	8.0	54 0.68	3	+ 4 51 24.8	213	
5131	8.5	54 16.66	3	— 9 56 51.0	136	
5132	10.5	13 54 24.—	—	+ 0 49 16.2	24	
—	10.0	54 23.84	2	+ 0 49 15.6	29	
5133	9.0	54 35.97	2	— 6 9 39.1	135	n
5134	9.5	54 45.96	3	+ 2 23 52.8	30	
5135	9.0	54 46.50	3	— 11 20 57.2	212	
5136	8.5	13 54 51.04	4	— 9 47 42.8	27	
—	8.0	54 50.97	3	— 9 47 42.3	348	
5137	9.0	55 19.05	4	— 7 32 28.7	136	
5138	9.5	55 32.71	4	+ 2 51 54.9	22	f
5139	9.0	55 39.37	4	+ 3 16 27.7	213	
5140	10.0	13 55 50.37	3	+ 1 15 37.5	208	
—	9.7	55 50.25	4	+ 1 15 33.2	276	
5141	9.0	55 55.16	3	+ 6 33 42.3	348	
5142	10.0	56 0.49	3	— 11 7 53.2	212	n
5143	10.0	56 16.46	4	— 1 35 48.2	209	
5144	8.8	13 56 20.38	3	— 1 36 50.4	24	
5145	9.0	56 46.29	3	— 4 21 57.9	32	
5146	10.0	56 53.24	3	+ 1 18 27.9	22	A
5147	10.0	57 12.19	3	— 7 57 41.8	135	n
5148	9.5	57 26.12	3	+ 5 28 9.3	23	f
5149	9.8	13 57 29.52	2	+ 4 47 55.2	28	
—	9.5	57 29.26	4	+ 4 47 55.9	213	
5150	9.0	57 34.19	4	— 12 10 29.6	210	
5151	9.0	57 36.76	4	— 14 54 29.0	214	n
5152	9.5	57 38.60	1	— 4 20 37.4	27	
—	10.0	13 57 38.67	4	— 4 20 33.7	351	
5153	9.8	57 39.71	3	+ 8 27 31.0	134	n
5154	9.0	57 43.32	3	+ 1 10 16.0	208	
5155	7.5	57 46.66	4	— 11 33 9.3	212	Decl.+3′corr.
—	7.5	57 46.71	4	— 11 33 8.6	352	
5156	9.0	13 57 51.45	3	— 1 15 49.2	24	
—	10.0	57 51.60	3	— 1 15 46.7	133	
5157	10.0	57 55.83	4	— 1 33 25.7	209	n
5158	9.0	58 7.58	3	+ 4 45 17.3	29	
—	9.3	58 7.63	3	+ 4 45 17.4	31	
5159	9.0	13 58 10.56	3	— 13 35 16.6	26	
—	9.0	58 10.35	3	— 13 35 13.9	135	
5160	9.0	58 13.97	3	— 13 33 50.-	26	Decl. gesch.
—	9.0	58 13.70	3	— 13 33 49.6	348	
—	9.0	58 13.79	5	— 13 33 50.1	354	
5161	8.0	13 58 41.82	2	+ 0 7 8.3	208	
5162	9.0	58 41.82	3	+ 5 20 55.5	28	
5163	9.0	58 43.02	3	+ 4 49 46.6	23	
5164	8.5	58 44.18	2	— 14 32 24.7	210	
—	9.0	58 44.06	4	— 14 32 26.1	349	

No.	Grösse	Rectascension 1880.0 h	m	s	Fäden	Declination 1880.0 °	′	″	Zone	Bemerkungen
5165	10.0	13	58	47.04	2	— 3	53	33.2	32	s
5166	9.8		58	49.92	3	— 1	34	14.0	22	
5167	9.0		58	58.98	4	+ 5	58	19.6	276	
5168	10.0		59	8.09	4	— 10	54	41.0	212	
5169	10.5		59	13.39	2	— 2	1	6.4	133	
5170	9.6	13	59	18.10	3	— 14	40	13.3	33	
5171	9.2		59	19.85	4	— 9	35	36.0	136	
5172	9.5		59	22.11	3	— 13	40	1.8	30	n
5173	9.3		59	37.11	1	— 11	0	54.5	210	
—	9.0		59	37.32	2	— 11	0	55.8	212	
5174	10.0	13	59	43.82	2	— 14	41	9.8	135	
—	9.5		59	43.66	4	— 14	41	10.8	214	
5175	9.0		59	51.35	1	+ 6	5	26.3	23	n
—	9.5		59	51.32	2	+ 6	5	31.0	31	
5176	10.0		59	53.51	3	— 14	37	12.0	348	u
—	9.3	13	59	53.51	3	— 14	37	8.8	349	
—	10.0		59	53.93	2	— 14	37	11.8	354	
5177	9.6	14	0	8.41	3	— 1	51	11.6	351	
—	9.5		0	8.40	3	— 1	51	11.8	352	
5178	9.0		0	9.61	3	+ 3	50	33.7	29	n
5179	9.5	14	0	17.31	4	+ 1	2	36.6	22	
—	9.0		0	17.27	4	+ 1	2	39.8	208	
—	9.0		0	16.97	4	+ 1	2	38.5	209	
5180	8.0		0	26.51	5	+ 7	34	42.5	134	
5181	10.0		0	30.01	2	— 10	19	20.4	214	
—	10.0	14	0	30.05	5	— 10	19	23.8	355	
5182	9.0		0	36.23	4	— 4	24	25.2	27	
5183	9.0		1	23.60	3	— 0	30	15.7	133	
5184	10.0		1	41.25	4	— 1	32	27.2	28	
—	9.6		1	41.18	3	— 1	32	27.7	351	
—	10.0	14	1	41.08	2	— 1	32	26.3	352	
5185	9.0		1	44.90	3	+ 2	0	30.8	26	
5186	9.0		1	48.14	3	— 16	0	3.7	136	
5187	9.0		2	8.63	4	+ 0	56	41.7	208	
—	9.0		2	8.79	4	+ 0	56	42.9	209	
5188	10.0	14	2	10.56	2	— 4	13	14.6	27	
—	10.0		2	10.67	3	— 4	13	12.1	135	
5189	10.0		2	17.69	2	— 4	9	39.7	32	
—	10.0		2	17.72	2	— 4	9	34.7	356	
5190	9.7		2	40.21	3	— 3	1	42.9	31	
5191	10.0	14	2	46.53	3	— 16	50	50.4	214	n
5192	9.0		3	0.50	4	+ 0	31	33.4	133	
5193	10.0		3	3.13	4	— 3	45	31.5	33	
5194	9.0		3	9.24	3	— 2	29	35.1	22	
—	9.0		3	9.24	4	— 2	29	40.8	276	
5195	9.5	14	3	24.71	2	— 12	15	32.8	136	
5196	10.0		3	26.04	3	+ 0	4	1.7	209	n
5197	11.0		3	37.62	2	— 14	40	56.5	210	
5198	10.0		3	42.64	2	— 10	46	14.2	135	
—	9.7		3	42.38	4	— 10	46	16.4	355	

No.	Grösse	Rectascension 1880.0 h	m	s	Fäden	Declination 1880.0 °	′	″	Zone	Bemerkungen
5199	9.0	14	3	45.38	4	+ 1	1	45.9	208	n
5200	10.0		3	46.29	4	— 12	24	12.1	212	n
5201	9.0, 9.0		3	54.87	5	+ 4	35	7.8	23	dpl. med. 4″
5202	9.5		4	8.01	4	+ 0	16	13.9	28	
5203	10.0		4	21.03	2	— 14	37	38.4	32	
5204	10.0	14	4	24.80	3	+ 0	36	16.7	133	
5205	8.0		4	38.10	3	+ 6	15	20.4	24	
—	8.0		4	38.25	3	+ 6	15	18.8	29	
5206	9.7		4	40.59	3	— 12	44	38.5	135	
5207	9.0		4	42.08	3	— 14	38	40.9	31	
—	9.0	14	4	41.84	4	— 14	38	35.5	214	
5208	8.5		4	45.91	3	— 9	53	15.2	26	
—	8.0		4	45.63	3	— 9	53	13.9	351	
5209	9.0		4	51.30	3	+ 0	48	56.3	208	
5210	7.0		4	55.04	1	— 9	54	50.-	26	Decl. gesch.
—	—	14	4	55.00	4	— 9	54	46.2	275	Durch Wolken.
5211	10.0		5	1.27	2	— 9	39	46.2	210	
—	11.0		5	1.52	3	— 9	39	45.0	352	
—	11.0		5	1.69	2	— 9	39	46.4	354	u
5212	10.0		5	1.64	4	— 0	6	34.4	209	n
5213	9.5	14	5	7.38	3	+ 2	45	41.4	22	
5214	8.0		5	20.78	3	— 12	2	24.4	351	
—	8.0		5	20.69	6	— 12	2	24.3	353	
5215	10.0		5	36.55	3	— 14	46	5.5	212	
5216	9.7		6	7.94	3	— 11	23	46.5	32	
5217	9.5	14	6	23.03	3	— 5	47	20.6	33	
5218	9.0		6	24.59	3	— 13	36	26.8	351	
5219	9.6		6	40.43	3	+ 5	43	30.1	23	
5220	9.0		6	43.02	3	+ 0	54	28.1	133	
5221	9.2		6	50.99	4	— 15	47	43.6	352	
5222	9.0	14	6	53.85	4	+ 4	15	32.2	24	
5223	8.6		6	54.—	—	— 9	8	51.8	32	
—	9.0		6	54.53	4	— 9	8	48.8	212	
5224	10.0		7	8.35	3	+ 0	2	42.3	22	
5225	8.0		7	24.17	2	+ 5	57	50.1	351	n dpl. seq.
—	8.0	14	7	24.11	6	+ 5	57	49.2	354	dpl. seq.
5226	10.0		7	34.80	2	+ 0	50	5.9	133	
5227	9.0		7	51.41	3	— 3	11	17.2	209	n
5228	10.0		8	1.44	3	— 8	4	49.2	33	
5229	8.0		8	10.97	5	— 9	2	14.7	26	
5230	10.0	14	8	19.67	3	— 9	51	5.0	135	
—	10.0		8	19.62	1	— 9	51	4.3	351	
—	10.0		8	19.69	3	— 9	51	4.9	352	
5231	9.5		8	55.00	4	+ 4	20	14.5	23	
5232	9.9		8	57.69	3	+ 1	31	25.4	22	
5233	9.5	14	9	26.68	4	— 7	47	43.3	33	
5234	9.0		9	43.55	3	— 13	43	15.2	32	
5235	9.5		9	44.48	3	— 14	0	52.7	26	
5236	9.9		9	55.20	2	+ 0	14	34.7	22	
—	10.0		9	55.22	4	+ 0	14	38.4	209	

No.	Grösse	Rectascension 1880.0 h m s	Fäden	Declination 1880.0 ° ′ ″	Zone	Bemerkungen
5237	10.0	14 10 10.96	2	— 15 29 35.9	214	
5238	9.7	10 31.82	3	— 2 19 56.4	31	
5239	10.0	10 50.69	3	— 8 22 21.3	135	n
5240	10.0	11 0.29	3	+ 0 25 56.4	29	
5241	9.5	11 2.42	4	— 2 5 51.9	28	
5242	10.0	14 11 3.93	3	— 9 11 15.1	351	
—	10.0	11 3.67	4	— 9 11 16.4	352	
5243	8.5	11 5.51	2	— 3 42 35.5	33	
—	8.0	11 5.54	3	— 3 42 34.6	355	
5244	9.5	11 28.94	3	— 7 50 15.6	27	
5245	10.0	14 11 34.29	3	— 9 9 16.1	26	n
—	10.0	11 34.36	3	— 9 9 11.6	135	
5246	10.0	11 40.33	3	— 0 31 16.4	209	n
5247	8.4	11 40.85	4	+ 4 17 17.1	23	
5248	9.0	11 59.73	4	+ 1 41 58.6	133	
5249	10.0	14 12 7.82	3	— 8 27 46.9	32	
—	10.0	12 7.86	4	— 8 27 45.5	136	
5250	10.0	12 19.20	4	+ 0 26 41.1	22	u
—	10.0	12 18.74	2	+ 0 26 43.4	31	
—	10.0	12 19.25	2	+ 0 26 42.2	356	s
5251	8.0	14 12 33.53	3	— 13 58 23.3	33	
5252	10.0	12 33.61	3	— 15 11 33.3	351	
—	10.0	12 33.63	3	— 15 11 36.7	354	
5253	9.9	12 52.30	3	— 2 59 33.0	25	
5254	9.8	12 53.87	3	— 9 42 7.9	26	
—	10.0	14 12 53.64	3	— 9 42 5.3	135	
5255	9.0	12 56.83	3	+ 9 59 7.5	29	n
5256	8.6	12 59.97	3	+ 4 43 58.1	23	
5257	7.5	13 18.84	5	+ 0 32 26.2	209	
5258	9.5	13 23.00	4	— 8 45 55.8	27	n
5259	8.0	14 13 23.10	6	— 4 35 39.7	276	
—	8.0	13 23.44	4	— 4 35 40.4	277	
5260	10.0	13 34.91	3	— 8 43 26.4	28	
5261	10.0	13 38.23	1	— 14 57 31.2	135	
—	10.0	13 38.24	4	— 14 57 28.7	210	
5262	10.0	14 13 46.96	2	— 14 49 58.7	212	
—	10.0	13 46.82	2	— 14 50 1.8	355	
5263	8.0	14 6.47	4	+ 2 29 50.5	133	
5264	9.8	14 26.48	1	— 7 3 31.3	31	
—	10.0	14 26.68	3	— 7 3 28.1	136	
5265	8.0	14 14 33.36	3	— 1 4 51.0	209	
5266	9.5	14 42.38	3	— 1 33 55.5	22	
5267	9.9	14 59.91	3	+ 0 26 52.1	25	
5268	10.0	15 0.20	2	— 15 42 12.2	32	
—	10.0	15 0.24	2	— 15 42 9.6	214	
5269	10.0	14 15 8.47	3	— 12 56 28.2	210	n
—	9.5	15 8.49	4	— 12 56 29.8	356	
5270	10.0	15 56.02	2	— 4 15 1.8	28	
—	10.0	15 56.02	2	— 4 15 1.6	135	
5271	10.0	16 0.74	2	— 15 11 38.4	214	
5272	9.0	14 16 17.39	4	— 3 10 47.2	27	
5273	8.5	16 23.61	2	+ 0 12 —	25	f
—	9.5	16 23.77	3	+ 0 12 22.3	133	
5274	7.8	16 30.54	5	— 10 12 12.6	26	
5275	10.0	16 33.54	3	— 4 8 57.1	136	
5276	10.0	14 16 37.69	2	+ 1 11 59.4	22	u
—	10.0	16 37.24	4	+ 1 12 1.1	209	
5277	9.6	16 40.43	3	— 8 23 45.8	33	
5278	8.5	16 41.07	5	+ 2 13 3.9	358	
5279	9.8	16 57.17	1	+ 0 11 9.0	25	n
—	10.0	14 16 57.33	1	+ 0 11 3.2	133	
—	10.0	16 57.38	1	+ 0 11 9.3	351	
—	10.0	16 57.28	2	+ 0 11 7.0	355	
5280	7.0	16 58.31	4	— 11 9 52.9	210	
5281	10.0	17 4.39	2	— 12 25 44.1	135	a
—	9.6	14 17 4.25	3	— 12 25 44.3	212	
5282	9.5	17 17.38	4	+ 2 8 30.3	29	
5283	10.0	17 32.71	3	+ 6 57 52.6	23	
—	9.2	17 32.81	5	+ 6 57 52.9	353	
5284	8.0	17 36.51	2	+ 6 57 —	23	
5285	10.0	14 17 41.93	4	+ 1 26 2.3	276	n
5286	9.0	17 43.89	3	+ 2 12 1.2	32	
5287	9.5	17 46.10	3	+ 2 16 46.4	277	
—	8.5	17 45.92	4	+ 2 16 47.0	354	
5288	10.0	17 46.41	2	— 9 2 49.7	33	
—	9.5	14 17 46.01	1	— 9 2 46.5	210	
5289	9.0	17 58.23	4	— 14 14 40.7	214	n
—	8.0	17 58.24	4	— 14 14 40.5	356	
5290	8.0	18 5.51	4	— 14 10 7.3	26	
5291	7.5	18 14.07	4	— 11 7 26.5	27	
5292	10.0	14 18 24.57	2	+ 0 15 23.2	22	
—	10.0	18 24.54	3	+ 0 15 22.2	209	
5293	10.0	18 38.45	3	+ 1 24 43.5	351	
5294	9.0	18 47.99	3	+ 5 31 49.2	31	
5295	10.0	18 56.68	3	— 12 45 16.8	135	
5296	9.5	14 19 5.36	2	— 12 15 7.2	136	
—	9.5	19 5.30	4	— 12 15 8.0	212	
5297	9.0	19 11.67	2	+ 6 39 59.7	213	
5298	9.5	19 17.55	3	+ 2 18 16.0	28	n
5299	9.0	19 18.89	3	+ 4 29 26.7	23	
5300	9.0	14 19 21.42	3	— 15 45 21.4	214	
5301	9.0	19 28.88	2	— 9 55 50.6	26	
—	10.0	19 28.93	2	— 9 55 50.1	356	
5302	9.0	19 34.65	4	— 0 37 42.9	29	A
5303	9.8	19 46.09	3	+ 1 22 35.0	25	
5304	8.5	14 19 51.27	3	— 3 54 42.7	277	
5305	8.8	20 0.77	3	— 6 47 5.6	33	
5306	8.0	20 14.73	3	— 4 56 57.5	351	
5307	10.0	20 14.—	—	+ 0 41 33.7	32	
—	10.0	20 14.83	3	+ 0 41 33.4	133	

No.	Grösse	Rectascension 1880.0 (h m s)	Fäden	Declination 1880.0 (° ′ ″)	Zone	Bemerkungen
5308	9.5	14 20 22.91	3	+ 3 37 17.5	31	
5309	9.0	20 25.35	4	+ 0 49 35.8	22	
—	9.0	20 25.02	4	+ 0 49 36.5	209	
5310	9.5	20 40.47	4	− 9 34 55.3	135	
—	10.0	20 40.25	4	− 9 34 54.8	212	
5311	9.2	14 20 47.47	2	+ 1 2 34.0	352	n
—	9.5	20 47.25	4	+ 1 2 31.0	353	
5312	9.0	20 48.06	3	− 12 54 29.3	136	
5313	9.0	20 48.70	2	− 3 52 57.5	351	
—	9.2	20 48.99	4	− 3 52 59.0	354	
5314	9.5	14 21 1.33	4	− 2 9 6.8	276	
5315	9.7	21 3.50	3	+ 1 6 3.8	28	n
5316	9.0	21 5.08	1	− 9 39 52.1	27	n
—	9.0	21 5.02	3	− 9 39 52.5	355	
5317	8.5	21 47.22	4	− 8 13 6.1	31	
—	9.5	14 21 47.09	4	− 8 13 5.9	277	
5318	9.5	21 53.55	5	− 15 46 5.0	214	
5319	8.0	21 56.90	3	+ 4 46 3.9	23	
—	8.4	21 56.51	5	+ 4 46 5.0	213	
5320	10.0	21 58.97	3	− 7 16 35.0	33	
5321	9.5	14 22 14.15	4	− 9 39 58.1	210	A
5322	9.5	22 14.66	3	− 4 8 33.1	209	
5323	9.5	22 15.57	3	− 10 38 2.5	135	
—	9.5	22 15.80	3	− 10 38 1.5	136	
5324	9.0	22 25.67	3	− 4 10 23.6	209	
5325	8.0	14 22 47.41	4	+ 2 10 11.8	25	
5326	9.6	22 48.38	2	+ 0 12 6.7	28	
—	9.7	22 48.65	3	+ 0 12 9.2	133	
5327	9.8	23 35.75	4	− 13 44 26.7	26	
5328	7.2	23 39.88	4	− 14 42 53.9	214	n
—	7.5	14 23 39.96	5	− 14 42 53.0	356	
5329	9.0	23 42.48	3	− 3 29 28.0	31	n
5330	9.5	23 45.72	4	− 3 11 5.3	32	
—	9.6	23 46.14	3	− 3 11 3.5	33	
5331	9.7	23 52.42	3	+ 0 36 37.8	29	
5332	10.0	14 23 53.31	3	− 14 4 10.6	27	
—	10.0	23 53.09	4	− 14 4 9.9	135	
—	10.0	23 53.02	4	− 14 4 9.9	212	
5333	10.0	24 15.47	4	− 6 26 43.4	276	
5334	9.7	24 30.69	3	+ 6 17 14.8	23	
5335	9.3	14 24 32.56	4	+ 1 10 41.3	133	
—	9.5	24 32.64	4	+ 1 10 43.3	209	
—	9.7	24 32.66	3	+ 1 10 41.3	277	
5336	9.0	24 34.63	3	− 8 6 16.5	136	n
—	9.5	24 34.36	2	− 8 6 16.2	355	
5337	8.0	14 24 42.76	6	− 15 5 37.2	351	
—	8.0	24 42.53	6	− 15 5 37.0	352	
—	8.5	24 42.85	6	− 15 5 38.2	354	
5338	9.5	24 45.18	3	− 0 52 42.4	22	
5339	9.0	24 53.30	4	− 13 8 17.1	210	

No.	Grösse	Rectascension 1880.0 (h m s)	Fäden	Declination 1880.0 (° ′ ″)	Zone	Bemerkungen
5340	9.0	14 25 7.63	4	+ 7 48 14.0	213	
5341	10.0	25 19.07	3	− 10 32 29.6	26	u
—	11.0	25 19.33	1	− 10 32 26.4	135	
5342	7.5	25 20.71	4	− 15 49 47.2	214	n
—	7.5	25 20.53	4	− 15 49 43.4	356	
5343	8.0	14 25 44.77	2	− 10 24 11.8	136	
5344	10.0	25 47.91	4	− 13 38 7.9	33	
5345	10.0	26 19.39	3	+ 7 4 14.7	23	
5346	8.3	26 27.69	4	+ 7 25 17.3	213	
5347	10.0	26 33.43	4	− 0 12 42.8	209	Decl.+1′corr.
—	10.0	14 26 33.38	4	− 0 12 46.2	351	
—	9.0	26 33.45	4	− 0 12 45.5	352	
5348	11.0	26 45.32	2	− 9 59 51.8	212	n
5349	10.0	26 52.93	4	+ 2 49 21.7	133	
5350	9.0	26 58.61	4	− 15 51 48.9	214	n
5351	10.0	14 27 0.93	3	− 10 6 48.3	26	
5352	9.0	27 4.21	2	− 13 0 33.2	27	
—	10.0	27 4.04	4	− 13 0 35.8	210	
5353	10.0	27 5.61	1	+ 0 30 14.1	22	
—	9.6	27 5.49	3	+ 0 30 15.1	25	
5354	9.5	14 27 16.17	4	− 15 10 5.1	32	
5355	9.0	27 31.04	3	− 8 58 5.2	31	
5356	8.5	27 33.04	3	− 4 33 —	28	n
5357	9.0	27 37.07	3	+ 6 21 7.3	23	
5358	9.6	27 44.38	3	− 4 35 27.7	28	
5359	10.0	14 27 47.97	2	− 10 21 55.7	33	
—	10.0	27 47.67	3	− 10 21 54.8	356	
5360	9.8	28 13.31	3	+ 0 14 3.7	29	
5361	10.0	28 18.44	4	− 14 16 33.4	135	
5362	10.0	28 26.50	3	− 13 18 59.5	136	
5363	9.0	14 28 27.63	4	− 14 0 12.8	210	
5364	9.0	28 28.83	4	− 1 57 13.2	133	
5365	10.0	28 31.55	3	− 15 55 41.9	214	n
5366	8.0	28 32.64	4	− 4 7 23.5	209	A
5367	8.0	28 37.75	3	− 0 53 7.6	22	
5368	9.7	14 28 55.07	3	− 9 5 55.7	26	
—	10.0	28 54.77	4	− 9 5 51.2	212	
5369	9.0	28 56.51	3	+ 7 49 20.2	23	
5370	9.0	29 0.26	4	+ 4 47 44.5	213	
5371	9.0	29 2.77	3	− 7 49 57.9	32	
5372	9.5	14 29 5.69	4	− 12 54 49.3	27	
5373	9.0	29 32.90	3	+ 3 54 30.0	133	Decl.+1′corr.
—	9.0	29 32.79	4	+ 3 54 31.5	276	
5374	9.7	29 40.00	3	+ 1 34 39.8	25	
5375	9.8	29 40.81	3	− 2 55 53.8	29	
5376	9.0	14 29 44.65	2	− 6 43 6.0	209	
—	9.0	29 44.70	4	− 6 43 6.5	356	
5377	9.4	29 59.29	4	− 10 33 57.6	33	
5378	10.0	30 3.51	2	− 15 54 46.2	214	
5379	10.0	30 9.18	4	− 13 32 54.4	135	

No.	Grösse	Rectascension 1880.0 h m s	Fäden	Declination 1880.0 ° ′ ″	Zone	Bemerkungen
5380	9.0	14 30 28.34	3	— 12 3 58.9	136	
5381	8.0	30 35.81	1	— 12 38 —	26	n
—	9.0	30 35.53	4	— 12 38 4.4	210	
—	9.5	30 35.96	3	— 12 38 4.1	351	
—	8.5	30 35.51	4	— 12 38 5.6	352	
5382	8.0	14 30 36.31	4	— 11 47 38.8	277	
—	7.0	30 36.42	6	— 11 47 37.3	278	
5383	9.0	30 49.96	3	— 7 50 36.8	27	
5384	8.0	30 55.66	4	— 16 0 51.1	32	
5385	10.0	30 58.93	3	— 9 28 8.0	212	n
5386	10.0	14 31 3.59	4	+ 6 15 8.3	23	
5387	8.8	31 9.58	3	+ 7 51 12.2	31	
5388	9.6	31 16.07	3	+ 5 57 26.2	133	
5389	9.0	31 21.94	3	+ 3 33 56.9	213	
5390	9.0	31 30.01	3	— 12 44 45.1	355	
5391	10.0	14 31 32.95	1	+ 7 56 29.8	213	
—	9.8	31 32.88	3	+ 7 56 29.0	355	
5392	8.7	31 44.59	4	+ 3 51 18.4	276	
—	9.0	31 44.64	5	+ 3 51 19.4	351	
—	9.0	31 44.41	5	+ 3 51 19.1	354	
5393	9.3	14 31 46.46	4	— 16 1 16.6	214	
5394	10.0	31 48.65	3	— 7 47 15.7	28	
—	9.0	31 48.63	4	— 7 47 14.0	209	
5395	9.6	32 2.93	3	— 11 12 0.3	136	n
—	9.5	32 2.56	4	— 11 11 58.1	356	
5396	10.0	14 32 7.17	2	— 11 9 56.1	33	
5397	9.0	32 11.55	3	+ 2 32 49.6	133	
5398	9.8	32 15.71	4	— 12 18 18.1	135	
5399	7.8	32 17.12	4	— 2 37 23.0	22	
5400	10.0	32 36.24	3	— 0 19 3.2	25	
5401	10.0	14 32 42.89	4	— 14 9 9.2	212	
—	9.8	32 43.14	4	— 14 9 11.0	26	
5402	9.7	32 57.30	2	+ 1 20 54.4	29	
5403	9.0	33 1.32	2	— 16 4 15.2	214	n
5404	9.0	33 12.28	5	+ 2 59 54.2	351	
—	9.0	14 33 11.94	6	+ 2 59 54.3	352	
—	9.0	33 12.11	4	+ 2 59 54.5	357	
5405	9.5	33 21.88	3	+ 1 52 6.0	133	n
5406	10.0	33 28.55	2	— 12 3 34.4	135	
—	9.6	33 28.38	3	— 12 3 35.5	136	
—	10.0	14 33 28.32	3	— 12 3 32.3	210	
5407	8.5	33 33.54	3	— 14 45 3.7	31	
—	9.0	33 33.61	4	— 14 45 6.0	277	
5408	9.0	33 39.62	4	+ 7 55 33.8	213	
5409	10.0	33 42.17	2	— 13 34 17.3	33	
—	9.2	14 33 41.79	3	— 13 34 14.7	356	
5410	10.0	33 47.03	2	— 2 27 11.2	22	
—	9.9	33 46.65	3	— 2 27 7.3	25	
5411	9.0	33 48.80	3	+ 0 47 40.0	23	
5412	9.0	34 22.58	3	— 11 17 47.7	26	

No.	Grösse	Rectascension 1880.0 h m s	Fäden	Declination 1880.0 ° ′ ″	Zone	Bemerkungen
—	10.0	14 34 22.33	4	— 11 17 46.1	212	
5413	10.0	34 23.73	2	— 6 58 30.8	28	
5414	9.7	34 25.76	4	— 15 21 13.7	32	
—	9.0	34 25.73	4	— 15 21 12.1	278	
5415	9.0	34 27.98	4	— 7 22 54.8	209	
5416	9.0	14 34 37.64	3	+ 7 45 25.9	213	n
5417	9.8	34 54.32	2	— 13 56 52.1	31	f
—	10.0	34 54.48	3	— 13 56 51.8	136	
5418	8.0	34 59.04	4	— 4 25 27.3	27	
5419	9.6	35 23.67	4	— 7 41 57.7	209	
5420	9.8	14 35 39.76	3	— 13 21 24.9	135	
5421	10.0	35 48.53	1	— 15 41 22.0	214	
5422	9.0	35 49.81	4	— 0 8 15.0	25	
5423	9.5	35 56.08	3	+ 3 33 10.7	133	
5424	8.0	36 21.08	3	— 5 27 8.3	28	
5425	9.3	14 36 22.54	3	— 5 27 28.-	28	Decl. gesch.
5426	8.0	36 27.26	5	+ 2 48 31.8	278	
5427	9.3	36 29.65	4	+ 5 49 47.7	213	
5428	10.0	36 38.38	3	— 7 51 43.9	351	
5429	9.0	37 0.27	4	— 2 26 47.6	133	
5430	10.0	14 37 6.96	4	— 12 23 42.8	354	
5431	9.0	37 7.76	3	— 4 4 14.4	27	
5432	9.3	37 42.95	3	+ 4 31 38.8	213	
5433	9.0	37 49.34	3	— 16 21 52.4	214	n f
5434	9.0	38 4.60	3	— 0 6 34.7	22	
5435	9.3	14 38 6.27	4	— 12 39 27.6	31	
5436	9.0	38 11.—	—	+ 6 17 38.6	23	
—	9.3	38 11.34	3	+ 6 17 40.4	213	
5437	9.0	38 14.40	2	— 12 34 10.2	26	
5438	9.1	38 22.40	3	— 10 21 30.7	135	
5439	9.0	14 38 49.18	2	— 14 59 41.4	135	
5440	10.0	38 51.93	3	— 10 35 56.5	136	
5441	8.5	38 56.38	3	— 16 14 8.0	214	n
5442	9.0	38 57.84	4	— 7 57 15.8	212	
5443	9.0	38 59.86	3	+ 1 39 2.5	25	
5444	10.0	14 39 1.87	4	— 8 2 37.1	209	
5445	10.0	39 29.26	3	— 0 34 26.6	278	
5446	10.0	39 36.37	3	— 13 13 38.2	210	
5447	9.8	39 38.72	2	— 5 48 3.2	209	
5448	9.0	39 41.61	4	+ 7 22 18.5	133	
—	9.0	14 39 41.75	3	+ 7 22 14.6	281	
—	9.0	39 42.18	4	+ 7 22 18.3	351	
5449	9.0	39 52.01	5	— 0 48 58.1	276	
5450	9.0	40 0.92	4	+ 1 16 0.0	279	
5451	7.5	40 14.24	2	+ 4 0 41.0	133	
5452	9.0	14 40 22.89	4	+ 7 3 6.2	213	
5453	9.0	40 23.02	3	— 15 58 6.8	214	
5454	9.8	40 30.64	4	— 9 28 17.8	135	
—	9.0	40 30.78	3	— 9 28 15.3	278	
5455	9.5	40 36.80	3	— 13 19 19.5	210	

No.	Grösse	Rectascension 1880.0 h m s	Fäden	Declination 1880.0 ° ′ ″	Zone	Bemerkungen
5456	10.0	14 40 43.84	4	— 9 25 29.5	212	
5457	10.0	40 54.00	3	— 1 34 48.5	277	
5458	8.2	40 56.20	4	+ 1 53 56.3	351	
5459	10.0	41 14.79	3	— 10 5 24.8	135	
—	10.0	41 14.56	3	— 10 5 26.6	354	
5460	8.0	14 41 21.72	3	+ 4 51 18.0	133	
5461	9.3	41 22.80	4	— 6 47 22.2	209	
5462	9.0	41 33.20	4	— 2 52 35.9	279	
5463	9.0	41 48.04	3	— 14 43 27.8	214	n
5464	10.0	41 54.27	4	+ 6 13 55.0	213	n
5465	9.7	14 41 57.30	4	+ 1 22 30.3	22	
5466	8.0	42 6.66	5	— 8 39 11.6	136	
5467	9.3	42 7.28	3	+ 1 2 11.0	278	
5468	7.0	42 15.91	4	— 12 37 3.0	210	
5469	10.0	42 26.81	3	— 9 28 28.4	26	
5470	9.0	14 42 33.88	1	— 9 29 10.-	26	n Decl. gesch.
—	9.3	42 33.97	4	— 9 29 12.1	212	
5471	10.0	42 51.56	2	— 13 8 59.4	33	
5472	10.0	42 52.63	3	— 4 0 4.8	28	
5473	10.0	42 52.83	3	+ 3 22 35.0	23	
5474	8.0	14 43 21.12	4	— 8 42 11.0	136	
5475	9.5	43 27.46	4	+ 5 5 33.4	32	
5476	9.2	43 28.31	4	+ 7 3 6.8	24	
5477	9.5	43 38.23	3	+ 5 12 49.4	133	
5478	8.0	43 38.94	3	— 8 27 12.2	209	
5479	9.0	14 43 41.61	3	— 6 24 4.7	135	
—	9.0	43 41.62	4	— 6 24 6.4	276	
5480	9.5	43 52.52	4	+ 7 19 1.3	213	
5481	9.0	44 0.59	3	— 9 49 15.1	212	
5482	9.7	44 7.19	4	— 1 44 36.0	22	
5483	9.0	14 44 29.02	3	+ 2 59 26.3	25	
5484	9.5	44 29.85	3	+ 7 18 52.7	213	
—	9.5	44 30.09	6	+ 7 18 51.3	281	
5485	9.6	44 37.85	3	+ 4 42 15.8	133	
5486	10.0	44 39.70	3	— 10 25 27.9	31	
5487	8.0	14 44 39.81	4	— 0 3 36.9	279	
5488	7.8	44 40.19	3	— 13 6 40.6	26	
5489	10.0	44 51.21	3	— 6 26 0.9	209	
5490	8.0	44 51.58	6	— 23 47 43.5	214	n A
5491	10.0	45 26.41	1	— 13 15 9.5	33	
—	10.0	14 45 26.—	—	— 13 15 —	136	
5492	9.5	45 29.54	2	+ 4 48 0.0	32	
—	9.0	45 29.45	3	+ 4 48 1.1	279	
5493	10.0	45 41.81	3	— 13 31 53.2	136	
5494	10.0	46 10.50	3	+ 7 0 53.1	213	n u
5495	10.0	14 46 13.02	2	— 4 40 16.6	135	u
—	10.0	46 12.86	4	— 4 40 19.3	209	
—	10.0	46 12.92	3	— 4 40 21.2	351	
5496	8.0	46 21.36	4	— 11 53 24.4	26	
—	7.5	46 21.30	4	— 11 53 22.0	210	
5497	10.0	14 46 28.42	3	— 12 30 14.6	212	n
5498	7.5	46 29.06	3	+ 0 30 43.4	27	
5499	9.6	46 35.57	3	— 2 49 59.0	22	
—	10.0	46 35.32	3	— 2 49 55.0	133	
5500	10.0	46 46.31	3	+ 0 17 43.6	25	
5501	9.0	14 46 51.00	3	— 12 58 7.9	214	n
5502	9.3	46 55.37	3	+ 0 29 3.8	276	
5503	10.0	47 8.27	3	— 2 12 29.7	28	
5504	10.0	47 19.79	3	— 9 13 41.1	278	
5505	9.0	47 30.01	4	— 2 50 35.9	31	
5506	10.0	14 47 30.12	1	— 9 10 16.1	135	n u s
5507	8.0	47 41.76	4	— 5 4 44.2	209	
5508	10.0	47 46.00	1	+ 7 31 1.7	23	u
—	10.0	47 46.20	3	+ 7 31 3.2	351	
5509	9.0	47 48.78	4	+ 3 15 58.1	24	
5510	9.5	14 48 4.73	3	— 5 7 56.2	279	
5511	10.0	48 30.86	3	— 14 48 34.0	210	u s
—	11.0	48 31.63	2	— 14 48 28.5	352	u s
—	10.0	48 31.55	2	— 14 48 36.6	354	u s
5512	9.8	48 32.85	3	+ 5 5 34.6	32	
5513	9.5	14 48 42.94	4	+ 5 37 50.1	33	
5514	8.5	48 52.38	3	+ 2 54 28.0	277	
5515	10.5	48 53.38	2	+ 7 23 16.2	133	n
5516	9.0	48 56.61	4	— 14 14 47.4	214	n
5517	9.9	49 1.15	3	— 3 53 1.1	28	
5518	9.7	14 49 7.20	3	— 3 17 16.2	31	
—	9.2	49 7.14	3	— 3 17 19.5	278	
5519	9.8	49 10.43	3	+ 0 34 5.9	22	A
5520	9.0	49 21.15	3	— 11 35 23.3	212	
5521	9.7	49 29.59	3	— 10 20 11.7	135	
5522	10.0	14 49 35.16	3	— 12 46 23.4	210	
5523	10.0	49 43.10	3	— 7 30 31.6	279	
5524	8.0	50 5.05	2	— 4 5 —	27	
5525	8.0	50 5.62	3	— 4 7 21.0	27	
5526	9.5	50 5.68	4	— 10 23 50.6	278	
5527	9.0	14 50 9.13	4	— 10 51 46.1	26	n
5528	8.0	50 19.84	5	+ 6 38 38.3	213	
5529	10.0	50 20.34	3	— 14 33 53.3	210	
5530	9.0	50 25.74	4	— 4 38 43.6	25	
5531	7.6	50 28.34	4	+ 3 24 18.6	276	
5532	9.0	14 50 31.68	4	— 11 1 16.6	212	
5533	9.0	50 52.77	4	+ 4 29 7.5	23	
—	8.0	50 52.95	3	+ 4 29 8.1	281	
5534	9.0	50 57.29	5	— 15 55 37.1	277	
5535	9.0	50 58.39	5	— 13 13 9.3	214	
5536	9.5	14 51 29.48	3	+ 6 24 18.1	24	
5537	10.0	51 31.43	1	— 7 44 0.1	31	n
—	10.0	51 31.82	1	— 7 43 58.6	356	
5538	9.7	51 34.04	3	— 10 55 32.3	135	
5539	9.5	52 8.79	3	— 15 58 3.2	351	

No.	Grösse	Rectascension 1880.0 h m s	Fäden	Declination 1880.0 ° ′ ″	Zone	Bemerkungen
5540	10.0	14 52 12.73	3	+ 6 21 39.4	133	
5541	9.5	52 21.03	3	— 0 0 10.9	278	
5542	10.0	52 31.92	3	— 6 49 29.4	209	
5543	10.0	52 35.49	3	— 0 0 35.7	279	
5544	9.5	52 37.84	2	+ 4 24 11.0	32	n
5545	10.0	14 52 41.14	4	— 10 59 28.7	135	
5546	9.4	52 44.84	4	+ 6 49 19.4	23	n
—	9.0	52 44.52	4	+ 6 49 21.3	213	
5547	10.0	52 45.72	1	— 15 1 39.2	212	n
—	10.0	52 45.73	2	— 15 1 —	214	u
—	10.0	14 52 45.77	4	— 15 1 42.2	354	
5548	9.7	52 46.73	3	— 1 21 4.2	276	
—	10.0	52 47.02	3	— 1 21 6.1	281	
5549	9.0	52 53.55	4	— 10 5 49.3	33	
5550	9.0	53 0.55	4	— 1 19 35.4	277	
5551	8.8	14 53 9.20	4	— 9 22 32.5	26	
5552	9.0	53 10.45	3	— 10 9 10.3	278	
5553	10.0	53 13.81	4	— 11 4 46.5	210	
5554	10.0	53 46.84	1	+ 0 1 59.5	31	u A.R. — 5s corr.
—	10.0	53 46.90	3	+ 0 2 3.5	279	
5555	10.0	14 53 49.13	2	— 14 57 19.8	135	n
—	10.0	53 48.73	3	— 14 57 17.0	356	
5556	8.0	54 1.03	4	+ 8 57 21.0	23	
5557	9.8	54 3.45	4	+ 5 1 30.0	28	
5558	10.0	54 7.88	2	— 10 11 49.1	33	
5559	8.0	14 54 8.47	4	+ 1 0 54.5	22	
5560	9.5	54 13.01	5	— 10 38 34.3	351	
—	9.0	54 13.01	6	— 10 38 31.8	352	
—	10.0	54 12.90	3	— 10 38 33.6	354	
5561	9.0	54 15.05	4	+ 4 46 53.7	24	
5562	9.0	14 54 17.34	4	+ 6 27 18.0	133	n
5563	9.0	54 36.82	6	— 3 58 44.5	27	
5564	10.0	54 41.08	4	— 10 5 21.6	212	
5565	9.0	54 44.39	3	+ 6 30 33.7	213	
5566	9.0	54 53.71	3	— 12 11 47.8	210	
5567	10.0	14 54 58.36	3	— 12 51 20.2	214	
5568	10.0	55 9.34	3	+ 0 12 22.0	278	
5569	9.3	55 41.45	3	— 2 33 44.1	133	
5570	10.0	55 47.87	3	+ 6 6 24.7	23	
—	10.0	55 47.90	3	+ 6 6 22.2	281	
5571	8.8	14 55 51.38	3	+ 3 50 4.5	24	
5572	9.3	55 56.50	3	+ 6 35 41.3	213	
5573	10.0	56 1.45	2	— 11 56 1.3	212	n
5574	10.0	56 16.98	3	— 10 13 13.5	135	
5575	9.0	56 27.46	4	— 1 1 43.4	22	f
—	9.5	14 56 27.67	4	— 1 1 43.7	279	
5576	10.0	56 31.89	4	— 11 2 37.7	210	
5577	10.0	56 35.29	3	— 0 59 59.2	31	A
5578	10.0	57 3.33	3	+ 8 2 6.7	213	n
5579	9.3	57 12.15	3	— 5 25 34.9	27	
5580	8.0	14 57 16.67	2	+ 8 8 40.2	28	
5581	10.0	57 16.72	2	+ 8 8 53.-	28	Decl. gesch.
5582	8.0	57 23.49	3	— 10 31 50.6	135	
5583	10.0	57 32.81	3	— 0 30 58.9	133	
5584	8.8	57 37.24	3	+ 4 13 6.9	23	
—	8.7	14 57 37.11	4	+ 4 13 8.5	281	
5585	8.5	58 2.14	3	— 9 43 11.0	33	
—	8.8	58 2.05	3	— 9 43 10.6	210	
5586	9.5	58 2.96	5	— 5 37 55.6	32	
—	8.5	58 2.77	5	— 5 37 55.7	276	
5587	9.0	14 58 23.92	3	— 5 42 20.5	31	
5588	9.0	58 36.68	3	— 5 54 36.4	27	
5589	9.0	58 40.79	3	+ 8 16 17.0	351	
5590	10.0	58 50.90	4	+ 8 2 17.6	213	
5591	10.0	58 55.68	3	— 10 7 40.4	135	
5592	8.0	14 59 17.62	6	+ 6 45 53.9	279	
—	8.5	59 17.44	5	+ 6 45 54.1	281	
5593	10.0	59 20.40	3	— 6 22 36.3	277	
5594	10.0	59 32.26	3	+ 7 45 57.9	23	
5595	9.2	59 34.53	4	— 10 43 50.2	354	
5596	9.6	14 59 41.62	2	+ 1 40 39.9	22	
5597	9.0	59 42.38	4	— 10 15 38.6	210	
5598	8.0	59 47.81	4	— 9 7 26.3	278	
5599	8.0	59 54.68	5	+ 4 27 14.3	24	
5600	9.4	59 55.65	4	+ 6 35 6.6	28	
5601	10.0	14 59 56.69	3	— 10 43 2.7	357	
5602	7.5	59 58.85	4	+ 4 41 58.4	32	
5603	11.0	15 0 3.40	2	— 10 44 1.2	352	n
5604	10.0	0 3.77	3	— 10 48 0.1	351	n
—	11.0	0 3.79	3	— 10 48 1.6	358	u s
—	11.0	15 0 3.75	3	— 10 47 58.1	359	
5605	9.0	0 10.28	3	— 7 47 7.1	209	n
5606	10.0	0 11.50	3	— 10 45 43.0	135	
5607	10.0	0 17.28	4	— 2 9 5.9	133	
5608	10.0	0 19.02	2	— 13 5 2.7	210	
5609	9.3	15 0 22.06	3	+ 3 7 40.7	213	
5610	8.5	0 31.09	3	+ 3 4 58.6	33	
5611	10.0	0 41.92	1	+ 0 25 7.1	27	n
5612	9.0	0 47.19	4	— 15 56 26.4	214	
5613	10.0	0 50.75	3	+ 8 5 39.8	23	
5614	10.0	15 1 6.66	2	— 9 52 29.7	278	u f
	11.0	1 6.71	4	— 9 52 27.8	356	u
5615	9.3	1 27.72	4	+ 3 4 35.2	28	
5616	9.0	1 41.67	4	— 4 34 8.4	359	
5617	10.0	1 50.54	3	— 9 21 38.0	135	
—	11.0	15 1 50.74	2	— 9 21 40.5	358	u s
—	11.0	1 50.58	3	— 9 21 42.3	360	
5618	9.0	1 54.20	4	— 5 29 14.4	282	
—	10.0	1 54.28	2	— 5 29 13.1	352	
5619	9.0	1 54.44	3	— 0 52 22.9	22	

No.	Grösse	Rectascension 1880.0 h	m	s	Fäden	Declination 1880.0 °	′	″	Zone	Bemerkungen
5620	10.0	15	1	57.99	1	+ 7	45	48.1	24	
—	10.0		1	58.03	3	+ 7	45	48.6	281	
5621	9.5		2	8.99	3	— 9	25	22.8	209	n
5622	7.0		2	25.41	4	— 13	32	21.5	214	
5623	9.6		2	32.35	3	+ 1	20	9.1	31	
—	10.0	15	2	32.17	3	+ 1	20	10.0	279	
5624	8.9		3	7.46	4	— 8	35	2.3	32	
5625	9.9		3	11.57	3	+ 1	24	14.5	28	
5626	10.0		3	36.40	2	— 15	47	55.1	359	n u s
—	10.0		3	36.38	3	— 15	47	55.7	360	
5627	10.0	15	3	37.71	3	— 11	5	52.9	135	
5628	9.0		3	38.26	4	— 15	48	40.6	282	
—	9.0		3	38.47	4	— 15	48	39.7	356	
—	8.3		3	38.40	6	— 15	48	43.0	361	
5629	10.0		3	39.71	4	+ 8	14	2.4	23	
—	10.0	15	3	39.67	3	+ 8	14	4.3	281	
5630	10.0		3	52.88	4	— 9	25	38.7	209	
—	9.5		3	53.04	2	— 9	25	40.2	214	
5631	9.7		5	5.01	3	— 13	9	16.6	135	
5632	11.0		5	17.43	1	— 9	23	43.3	359	u s
—	10.0	15	5	17.20	2	— 9	23	45.8	360	
5633	10.0		5	17.20	2	— 1	35	56.7	33	
—	10.0		5	17.58	3	— 1	35	55.5	278	
5634	9.2		5	20.57	3	— 5	33	23.3	279	
5635	9.0		5	22.13	3	— 5	23	0.0	31	
5636	10.0	15	5	24.14	2	— 9	25	37.1	214	n
5637	8.0		5	24.94	4	— 8	23	6.8	209	
5638	9.5		5	33.52	3	— 0	34	44.6	28	
5639	8.0		5	43.44	4	+ 8	58	16.2	23	
5640	10.0		6	20.24	2	+ 0	45	20.8	28	
5641	8.8	15	6	34.36	4	+ 8	52	55.6	24	
5642	9.0		6	50.65	3	+ 6	44	42.6	23	n
5643	9.0		6	56.21	4	+ 7	51	4.9	32	
5644	10.0		6	57.98	3	— 10	43	49.4	135	
5645	10.0		7	1.37	4	— 6	47	19.3	209	n
5646	9.5	15	7	23.03	3	— 1	13	1.2	22	A
5647	7.0		7	28.33	3	— 9	2	31.4	214	
5648	10.0		7	34.89	3	— 5	18	18.0	31	
—	9.3		7	35.10	3	— 5	18	18.3	282	
5649	6.5		7	49.31	4	— 0	53	10.1	278	
—	6.0	15	7	49.27	5	— 0	53	10.0	281	
5650	9.2		7	57.06	3	— 3	34	46.8	279	
—	9.0		7	56.83	4	— 3	34	43.8	356	
—	9.0		7	56.77	3	— 3	34	45.3	359	
5651	9.8		8	2.88	3	— 13	25	52.0	135	
5652	9.0	15	8	38.42	2	— 9	36	58.0	33	
5653	10.0		8	42.72	3	— 4	58	27.6	279	
5654	9.0		8	47.17	3	+ 0	18	22.1	28	
5655	10.0		8	49.49	3	— 14	36	50.9	214	u
5656	8.0		8	51.72	3	— 10	59	58.4	135	
5657	9.0	15	9	8.61	3	+ 3	46	12.6	24	
5658	9.3		9	12.57	3	— 6	42	37.8	32	
5659	9.0		9	29.31	4	— 4	36	4.7	282	
—	9.0		9	29.58	3	— 4	36	8.0	283	
5660	10.0		10	5.96	3	+ 7	36	36.3	281	
5661	9.0	15	10	7.54	3	— 6	47	29.3	356	
5662	10.0		10	12.18	3	— 10	34	36.1	135	
	10.0		10	12.13	5	— 10	34	37.2	358	
5663	9.0		10	19.82	4	+ 0	31	13.3	279	
5664	9.3		10	20.84	3	— 4	32	5.9	32	
5665	10.0	15	10	22.36	2	— 10	34	10.2	135	n
5666	10.0		10	24.82	3	+ 8	18	28.3	280	
5667	10.0		11	0.13	3	+ 6	47	32.4	281	
5668	9.3		11	1.71	3	+ 0	41	40.2	359	
5669	9.3		11	7.08	3	— 13	41	59.6	360	
5670	10.0	15	11	34.22	2	+ 0	24	54.8	279	
5671	9.0		11	48.65	4	+ 4	14	7.8	280	
5672	9.0		11	55.65	3	— 4	48	14.0	356	
—	9.0		11	55.81	3	— 4	48	15.5	360	
5673	8.5		11	59.16	3	+ 1	13	57.8	28	
5674	9.0	15	12	2.47	2	— 9	20	41.4	32	
5675	8.3		12	30.26	4	+ 0	16	19.5	358	
5676	10.0		12	32.77	3	+ 7	57	46.9	23	
5677	9.0		12	34.35	4	+ 0	33	28.8	278	
5678	9.0		13	9.74	4	— 14	54	50.0	135	
5679	9.9	15	13	22.23	1	+ 8	16	46.4	33	
—	10.0		13	21.65	4	+ 8	16	49.3	280	
5680	7.0		13	32.42	3	— 8	13	7.1	214	
—	7.0		13	32.44	4	— 8	13	6.8	356	
—	7.0		13	32.50	5	— 8	13	7.7	360	
5681	10.0	15	14	5.44	3	— 7	38	31.8	279	
5682	10.0		14	13.79	3	— 6	57	25.1	135	
5683	9.9		14	29.17	3	+ 0	5	14.1	23	
5684	6.5		14	35.72	5	— 1	58	22.2	278	
—	6.0		14	35.62	6	— 1	58	24.6	281	
5685	9.6	15	14	51.40	4	— 1	31	1.0	28	
5686	9.0		14	55.62	3	— 7	19	35.9	31	
5687	10.0		15	6.45	3	+ 1	44	16.0	279	
5688	8.0		15	13.01	4	— 8	13	26.7	214	
5689	10.0		15	24.81	3	— 9	12	36.3	32	
—	10.0	15	15	24.83	2	— 9	12	38.1	283	
5690	9.0		16	2.46	4	— 6	52	29.2	135	
5691	9.0		16	27.59	3	— 1	6	20.3	28	
5692	10.0		16	28.87	1	— 1	6	—	28	
5693	8.0		16	29.12	3	— 7	59	59.3	279	
5694	10.0	15	16	34.64	3	+ 1	41	36.5	23	
5695	9.0		16	40.05	4	— 10	3	8.6	214	
5696	9.0		17	3.93	3	+ 7	24	15.3	280	
—	9.3		17	3.72	4	+ 7	24	15.7	281	
5697	10.0		17	8.95	1	— 9	24	—	32	u

No.	Grösse	Rectascension 1880.0 h	m	s	Fäden	Declination 1880.0 °	′	″	Zone	Bemerkungen
—	10.0	15	17	8.79	3	− 9	24	0.2	356	
—	10.0		17	8.75	4	− 9	24	4.3	359	
5698	10.0		17	12.46	3	− 10	2	16.4	283	
5699	9.0		17	27.98	4	− 7	42	21.3	284	
5700	9.2		17	36.12	4	− 14	15	42.5	358	
5701	9.0	15	17	39.25	3	+ 2	26	49.8	278	
5702	9.5		17	49.95	2	− 0	48	19.9	33	
—	9.2		17	50.19	3	− 0	48	20.5	279	
5703	9.2		17	53.87	3	+ 6	28	44.6	280	
5704	8.5		17	59.02	4	− 3	55	4.7	31	
5705	9.7	15	18	15.61	3	− 9	29	9.9	135	
5706	10.0		18	17.37	3	+ 7	18	50.7	23	
5707	9.6		18	48.17	3	+ 1	5	47.5	28	
5708	9.0		18	55.26	3	− 13	18	33.2	284	
5709	9.3		19	35.04	3	+ 8	17	20.3	23	
5710	10.0	15	19	41.60	3	− 1	38	34.3	278	
5711	9.5		19	58.32	3	− 7	55	1.6	31	
5712	9.7		20	1.79	3	− 9	32	55.1	135	
5713	9.0		20	8.96	3	+ 5	3	7.1	280	
5714	10.0		20	12.36	2	− 13	24	11.1	358	
5715	9.0	15	20	13.52	4	+ 0	53	40.0	356	
5716	9.0		20	18.67	3	− 6	43	38.1	282	
—	9.3		20	18.73	3	− 6	43	39.6	283	
5717	10.0		20	21.05	3	+ 7	7	17.6	281	
5718	8.3		20	23.63	4	− 5	29	6.3	33	
5719	10.0	15	20	23.73	3	+ 8	17	40.8	285	
5720	10.0		20	23.95	4	+ 1	55	45.1	359	
5721	9.0		20	35.07	3	+ 8	47	7.4	286	
5722	9.0		20	35.73	3	− 6	38	12.3	284	
5723	8.0		20	46.88	3	+ 2	18	43.0	360	
5724	9.0	15	20	47.19	3	− 1	52	24.3	279	
5725	9.3		20	47.20	3	+ 1	27	0.4	278	
5726	9.7		21	12.96	3	− 9	34	2.9	32	
5727	9.0		21	15.09	3	+ 6	0	33.0	23	
5728	10.0		21	29.63	4	+ 0	29	34.8	28	u
5729	8.5	15	21	41.34	3	+ 5	47	16.6	280	
5730	9.3		21	41.31	3	− 6	54	34.0	31	f
—	10.0		21	41.61	2	− 6	54	—	283	u
—	10.0		21	41.71	2	− 6	54	35.9	360	
5731	9.0		21	41.59	3	+ 5	47	10.4	280	
5732	10.0	15	21	46.20	4	− 12	40	43.7	135	
5733	9.0		21	55.53	3	− 14	51	33.5	284	
5734	10.0		21	57.40	3	+ 8	50	34.6	281	
5735	10.0		22	5.64	3	+ 3	20	17.9	285	
5736	9.0		22	19.76	4	+ 3	37	10.6	356	
5737	9.3	15	22	24.56	3	− 2	9	5.5	278	
5738	10.0		22	26.24	2	− 9	11	19.4	360	
5739	8.3		22	46.36	4	− 7	19	40.1	33	
5740	9.2		22	52.08	3	− 8	6	57.0	279	
5741	9.0		23	2.04	3	+ 5	23	33.4	23	
5742	9.5	15	23	3.97	3	+ 5	11	53.0	281	
5743	10.0		23	9.04	1	+ 8	11	52.3	359	u s
—	10.5		23	9.78	2	+ 8	11	51.5	362	u s
5744	10.0		23	29.11	2	+ 0	1	7.5	28	
5745	9.6		23	46.48	3	+ 5	27	5.6	280	
5746	9.0	15	23	49.01	1	− 7	38	21.6	135	n
5747	10.0		24	10.45	2	− 14	9	4.9	32	
5748	9.5		24	24.61	4	− 7	20	46.1	283	
—	9.5		24	24.95	3	− 7	20	46.0	284	
5749	9.3		24	29.00	3	+ 8	57	6.7	23	
5750	9.6	15	25	4.54	2	− 0	18	46.8	33	
5751	9.7		25	18.19	3	− 12	43	10.9	284	
5752	9.0		25	39.43	3	− 9	56	18.1	135	
5753	7.7		25	48.08	3	− 9	10	38.7	32	
5754	9.6		25	52.70	4	+ 7	31	4.7	23	
—	9.0	15	25	52.58	4	+ 7	31	2.1	281	
—	9.0		25	52.59	3	+ 7	31	4.8	285	
5755	8.0		26	1.31	3	+ 4	28	31.4	28	
5756	10.0		26	27.63	4	− 12	40	54.6	283	
5757	9.5		26	32.48	3	− 8	44	58.9	31	
5758	9.1	15	26	55.68	3	− 13	6	13.9	135	
5759	10.0		26	58.—	—	− 4	22	28.3	33	u
—	9.5		26	58.09	3	− 4	22	29.5	279	
5760	8.5		27	16.28	3	+ 7	7	32.7	285	
5761	9.2		27	16.75	3	+ 8	12	39.7	23	
—	9.0	15	27	16.49	3	+ 8	12	37.9	281	
5762	9.3		27	22.02	4	+ 0	15	41.6	278	n
5763	8.3		27	32.56	3	− 15	48	41.8	284	
—	9.0		27	31.98	4	− 15	48	42.8	358	
—	8.2		27	32.04	6	− 15	48	42.6	360	
5764	10.0	15	27	55.04	3	+ 8	33	14.3	280	
5765	10.0		28	25.48	3	− 10	7	23.3	283	
5766	9.2		28	28.57	3	+ 6	16	26.2	280	
5767	9.0		28	30.32	3	+ 6	59	43.1	28	
5768	9.2		28	45.26	3	− 12	55	4.3	135	
5769	10.0	15	28	49.02	4	− 9	57	29.9	284	
5770	10.0		29	3.77	3	+ 7	56	30.4	23	
5771	9.2		29	8.63	4	+ 1	8	19.5	279	
—	10.0		29	8.82	3	+ 1	8	21.6	358	
5772	9.2		29	12.34	4	− 10	56	52.2	287	
5773	9.0	15	29	22.63	3	+ 6	9	38.3	285	n
5774	9.5		29	24.50	3	+ 3	43	1.4	281	
5775	10.0		29	54.47	1	+ 9	4	49.3	28	n s
5776	8.8		29	57.01	4	− 13	18	52.3	135	
5777	8.5		30	16.96	3	− 4	4	50.9	31	u
5778	9.2	15	30	18.40	2	− 2	7	50.3	279	
—	9.3		30	18.40	3	− 2	7	52.6	285	
5779	9.0		30	25.15	4	− 8	10	1.1	283	
5780	9.5		30	36.69	3	+ 8	6	10.5	281	
5781	10.0		31	1.82	3	− 7	11	9.7	284	

No.	Grösse	Rectascension 1880.0 h	m	s	Fäden	Declination 1880.0 °	'	"	Zone	Bemerkungen
5782	9.0	15	31	7.59	4	— 12	42	4.7	135	
5783	10.0		31	29.56	1	+ 7	59	11.6	23	
—	10.0		31	29.73	3	+ 7	59	13.0	287	
5784	9.5		31	30.88	3	— 1	42	25.9	278	
5785	9.4		31	36.60	3	+ 7	55	33.3	280	
5786	10.0	15	31	46.28	3	— 9	10	45.0	284	
5787	8.0		31	51.30	2	— 8	21	30.6	31	
—	8.0		31	51.51	5	— 8	21	29.7	360	
5788	8.8		31	52.92	3	+ 0	42	55.4	33	
5789	10.0		31	56.60	3	— 10	23	54.2	288	
5790	9.0	15	32	13.05	4	— 12	36	56.4	289	
5791	9.8		32	40.07	3	+ 7	32	51.3	28	
—	10.0		32	40.20	4	+ 7	32	47.8	281	
5792	9.0		32	45.03	6	+ 7	23	59.6	358	
5793	9.6		33	2.93	4	+ 3	26	32.5	23	
5794	9.5	15	33	15.49	4	— 14	52	50.5	135	
5795	9.2		33	25.22	4	— 1	0	0.5	359	
5796	9.0		33	58.43	3	— 10	29	38.6	288	
5797	9.0		34	4.88	4	— 6	54	44.1	284	
—	9.0		34	4.74	4	— 6	54	42.7	286	
5798	7.0	15	34	16.65	4	+ 1	51	38.9	287	
5799	9.0		34	19.18	3	— 14	26	6.2	283	dpl. med.
5800	8.8		34	32.63	3	+ 6	45	45.7	280	
5801	9.0		34	35.64	3	— 6	55	47.4	28	
—	9.0		34	35.76	3	— 6	55	43.8	31	
5802	8.0	15	34	35.97	3	+ 4	33	34.0	281	
5803	10.0		34	59.75	2	+ 3	16	14.5	23	a
—	9.0		34	59.97	4	+ 3	16	12.6	285	
5804	10.0		35	0.45	3	— 9	44	53.7	358	
—	9.5		35	0.15	5	— 9	44	52.3	360	
5805	9.5	15	35	12.94	3	— 2	6	3.9	279	
5806	8.0		35	19.57	3	— 8	15	33.7	288	
5807	10.0		35	20.86	3	+ 1	38	10.6	32	
—	9.0		35	21.38	3	+ 1	38	15.7	34	
—	9.2		35	21.23	4	+ 1	38	14.2	289	
5808	9.8	15	35	28.25	3	+ 8	57	50.3	33	
5809	9.5		35	47.11	3	+ 5	29	50.6	281	
5810	8.5		36	11.83	4	— 4	45	24.7	28	
5811	9.5		36	12.66	4	— 9	56	5.5	135	
—	9.5		36	12.37	1	— 9	56	6.9	283	u
5812	9.0	15	36	52.86	3	+ 8	16	27.7	23	
—	9.0		36	52.62	3	+ 8	16	31.9	31	
	8.8		36	52.66	3	+ 8	16	25.0	280	
—	9.0		36	52.77	3	+ 8	16	27.9	360	
5813	9.0		36	53.82	3	+ 8	13	27.5	33	
5814	9.0	15	37	1.23	4	— 1	20	51.8	278	
—	8.0		37	1.45	4	— 1	20	53.3	279	
—	8.0		37	1.50	6	— 1	20	53.5	286	
5815	8.0		37	16.83	3	+ 8	25	54.9	281	
5816	8.5		37	38.17	3	+ 5	36	46.8	280	

No.	Grösse	Rectascension 1880.0 h	m	s	Fäden	Declination 1880.0 °	'	"	Zone	Bemerkungen
5817	9.3	15	37	45.89	3	— 9	30	59.5	135	
5818	8.0		38	1.10	3	— 8	51	10.0	28	
5819	9.3		38	7.04	3	+ 8	34	52.6	281	
5820	8.0		38	7.78	3	+ 7	59	12.2	31	
5821	9.0		38	21.95	3	+ 8	31	18.8	285	
5822	9.0	15	39	16.73	2	+ 7	52	—	31	
—	8.5		39	16.74	3	+ 7	52	47.6	361	
5823	9.5		39	20.95	2	+ 7	53	28.5	31	
5824	9.0		39	23.50	3	— 8	39	29.4	135	
5825	9.2		39	34.82	3	+ 6	41	52.9	280	
5826	9.0	15	39	45.71	4	+ 1	16	5.8	34	
5827	9.5		40	11.52	3	+ 0	36	11.6	32	a
—	9.0		40	11.63	4	+ 0	36	11.4	290	
5828	9.8		40	33.15	3	+ 7	2	45.1	23	
5829	10.0		40	34.67	3	— 11	51	1.0	283	
—	10.0	15	40	34.81	4	— 11	50	56.1	359	
5830	9.0		40	37.17	3	+ 1	7	51.6	35	
5831	9.7		40	53.88	4	— 7	0	30.3	135	
—	9.3		40	53.86	3	— 7	0	34.0	286	
5832	9.0		40	58.58	5	+ 7	47	52.1	33	
—	8.0	15	40	58.42	3	+ 7	47	47.9	280	
5833	10.0		41	1.05	4	+ 0	37	28.5	278	
5834	8.5		41	2.37	3	— 4	44	46.7	279	
5835	10.0		41	8.20	3	+ 7	3	21.1	281	
5836	8.5		41	12.63	3	— 0	14	20.2	290	
5837	9.2	15	41	17.30	3	— 7	30	21.7	28	
5838	10.0		41	20.78	3	+ 7	36	23.1	285	
5839	9.0		41	23.07	3	— 15	30	13.8	284	
5840	9.5		41	35.52	3	+ 1	4	28.9	32	
5841	9.5		41	36.82	2	+ 7	32	28.8	281	
5842	9.0	15	41	46.55	1	+ 1	3	—	32	
5843	9.0		41	47.01	3	— 15	9	59.6	287	
5844	9.3		41	48.73	3	— 15	23	4.2	284	
5845	9.7		41	59.26	3	— 6	43	34.3	359	
5846	10.0		42	12.36	2	— 15	2	54.8	287	
—	10.0	15	42	11.81	4	— 15	2	54.2	360	
5847	10.0		42	27.69	2	— 7	35	43.7	283	
5848	10.0		42	38.02	3	+ 7	32	15.6	23	
—	10.0		42	37.90	3	+ 7	32	15.0	280	
5849	10.0		42	41.90	3	— 2	17	2.8	34	
5850	8.0	15	42	51.97	5	+ 0	34	43.2	290	
5851	9.0		42	53.02	3	— 1	30	36.9	278	
5852	9.3		43	5.55	3	— 7	49	40.8	286	
5853	9.2		43	10.21	3	— 15	36	13.0	284	
5854	9.0		43	21.49	3	+ 0	36	24.6	279	
5855	8.0	15	43	30.37	4	+ 10	31	25.0	33	f
—	8.0		43	30.73	4	+ 10	31	25.7	281	
—	8.7		43	30.51	5	+ 10	31	26.3	361	
5856	9.3		43	44.73	4	+ 4	33	47.3	280	
5857	9.0		43	46.34	3	— 1	48	18.4	285	

No.	Grösse	Rectascension 1880.0 h m s	Fäden	Declination 1880.0 ° ' "	Zone	Bemerkungen
5858	9.3	15 44 2.50	3	— 15 37 20.4	284	
5859	10.0	44 9.13	3	+ 0 40 8.6	288	
5860	9.0	44 16.77	3	— 1 52 34.1	290	
5861	9.9	44 21.58	3	+ 8 10 54.6	23	
5862	9.5	44 22.97	2	— 6 53 47.5	135	
5863	10.0	15 44 26.19	3	+ 0 43 6.5	287	
5864	9.5	44 48.47	4	— 0 58 14.3	35	
5865	9.8	44 59.27	3	+ 0 24 32.2	34	
—	9.5	44 59.26	4	+ 0 24 32.7	279	
5866	9.7	45 15.90	3	+ 7 10 5.8	31	
5867	8.5	15 45 24.92	3	— 8 1 46.3	28	
5868	8.0	45 25.87	4	— 9 6 35.9	283	
5869	9.6	45 46.42	4	+ 8 28 44.9	280	
5870	10.0	45 54.64	3	— 10 1 30.6	290	n
5871	9.2	46 7.74	3	+ 6 6 17.7	281	
5872	9.0	15 46 12.04	3	+ 4 59 46.5	285	
5873	9.5	46 13.05	3	+ 5 49 36.4	31	
5874	10.0	46 33.27	3	+ 0 42 40.1	279	
5875	10.0	46 34.27	3	— 8 9 35.8	284	n
5876	9.5	46 35.57	4	+ 0 0 25.1	32	
—	10.0	15 46 35.68	3	+ 0 0 23.5	288	
5877	8.9	47 2.25	4	+ 1 11 56.2	359	A
5878	9.5	47 20.15	3	— 10 17 37.8	360	
5879	10.0	47 22.84	1	+ 1 35 57.8	286	
5880	9.0	47 51.67	4	— 8 13 25.9	290	
5881	9.0	15 47 55.00	3	— 13 19 37.4	135	
5882	9.0	48 11.34	3	— 16 0 17.4	284	n
5883	10.0	48 11.51	3	+ 9 5 13.2	280	
5884	10.0	48 16.59	4	+ 7 27 19.1	281	
—	10.0	48 16.77	2	+ 7 27 22.1	359	
—	10.0	15 48 16.57	3	+ 7 27 21.2	360	
5885	9.2	48 21.77	3	+ 5 49 23.2	285	
5886	8.0	48 31.24	3	+ 6 25 36.6	33	
5887	9.0	48 40.80	2	— 6 58 31.5	28	
5888	10.0	48 41.06	2	— 14 41 10.5	135	
—	9.0	15 48 40.99	3	— 14 41 15.5	287	
5889	9.0	48 44.26	1	— 1 49 19.1	288	
5890	9.0	48 50.21	3	+ 8 2 51.5	280	
5891	9.3	48 51.10	3	+ 4 13 47.7	285	
5892	9.5	48 56.27	1	— 14 40 —	135	
—	8.0	15 48 56.37	2	— 14 40 32.4	284	
—	8.0	48 56.46	3	— 14 40 34.1	287	
5893	9.6	49 1.37	3	— 8 30 59.1	279	
—	9.5	49 1.35	1	— 8 30 59.0	290	
5894	9.7	49 14.46	3	+ 9 1 17.1	281	f
5895	10.0	15 49 25.49	3	+ 5 36 54.5	286	
5896	10.0	49 39.04	3	— 13 40 12.6	283	
5897	10.0	49 50.91	1	+ 1 34 21.5	32	
5898	9.3	50 7.16	3	— 8 32 48.5	279	Decl.+1'corr.
—	10.0	50 7.18	3	— 8 32 48.7	360	
5899	9.8	15 50 11.00	4	+ 0 53 38.1	34	
5900	9.0	50 12.85	2	— 13 41 18.6	284	
5901	10.0	50 18.57	3	+ 4 24 58.6	31	
5902	9.0	50 50.82	4	+ 4 40 49.8	33	
—	9.0	50 50.68	3	+ 4 40 46.6	280	
5903	10.0	15 50 57.62	1	+ 1 21 14.6	35	s
—	10.0	50 57.55	3	+ 1 21 13.5	285	
—	10.0	50 57.90	3	+ 1 21 10.3	286	
5904	10.0	51 9.30	3	— 6 54 22.8	290	
5905	8.0	51 28.90	3	— 15 7 50.1	284	
5906	9.7	15 51 32.60	2	— 1 29 20.6	32	
5907	9.6	51 46.52	3	— 14 53 33.9	135	
—	9.0	51 46.61	3	— 14 53 37.0	287	
5908	9.0	51 48.82	3	— 6 19 31.9	279	
5909	9.6	52 23.33	4	— 3 8 8.5	288	
5910	9.0	15 52 24.71	4	— 8 8 42.4	283	
5911	9.0	52 59.60	3	— 6 53 55.2	287	
5912	10.0	53 5.—	—	+ 4 36 33.0	33	n
—	10.0	53 5.27	3	+ 4 36 29.7	290	
—	10.0	53 5.22	5	+ 4 36 32.4	360	
5913	10.0	15 53 6.86	3	— 10 27 23.4	135	
5914	9.0	53 10.95	1	+ 7 36 20.0	285	
—	9.0	53 11.28	3	+ 7 36 17.2	286	
5915	10.0	53 11.45	3	+ 0 37 58.7	279	
5916	7.0	53 23.67	2	— 5 47 2.3	287	
5917	9.0	15 53 28.39	3	— 15 49 10.8	284	
5918	10.0	53 37.89	3	+ 6 58 51.2	31	
5919	8.0	53 42.79	4	— 6 30 31.9	288	
5920	9.3	53 42.93	3	+ 4 42 57.5	280	
5921	10.0	53 46.69	3	— 3 29 57.7	283	
5922	8.0	15 53 55.25	4	— 7 51 9.2	291	
5923	9.5	54 8.96	4	+ 8 45 35.7	281	
5924	9.3	54 21.66	3	+ 5 6 38.8	280	
5925	8.0	54 24.21	3	— 3 32 28.8	279	
—	9.0	54 24.28	2	— 3 32 27.6	287	
5926	9.5	15 54 34.11	3	— 15 16 20.7	284	
5927	10.0	54 47.84	4	— 12 46 34.2	135	
5928	9.0	55 6.53	4	+ 4 30 50.6	31	
5929	10.0	55 7.55	3	+ 7 10 4.6	217	
5930	10.0	55 11.76	3	+ 1 20 45.6	286	
5931	9.3	15 55 25.92	3	— 8 6 0.2	215	
5932	9.0	55 49.93	3	— 15 8 10.1	284	
5933	9.7	55 50.95	4	— 6 27 49.2	135	
5934	9.8	55 55.08	3	— 3 11 43.3	283	
5935	7.0	55 56.—	—	— 0 29 2.5	33	
—	7.0	15 55 56.53	4	— 0 29 2.1	286	
—	7.0	55 56.53	3	— 0 29 2.6	287	
—	7.0	55 56.43	6	— 0 29 2.0	290	
5936	9.2	56 0.18	4	+ 0 22 56.6	280	
5937	10.0	56 3.39	1	+ 0 51 35.4	285	

No.	Grösse	Rectascension 1880.0 h m s	Fäden	Declination 1880.0 ° ′ ″	Zone	Bemerkungen
—	9.5	15 56 3.70	3	+ 0 51 34.4	288	
5938	7.0	56 13.37	4	− 8 9 29.7	291	
5939	9.2	56 23.22	3	+ 4 0 9.2	360	
5940	9.3	56 37.57	1	− 6 7 10.8	215	n
5941	8.8	56 55.79	3	+ 8 18 7.5	217	
5942	9.0	15 57 2.15	3	− 0 13 13.2	281	
5943	8.5	57 7.66	4	+ 0 18 46.0	32	
—	9.0	57 7.56	2	+ 0 18 46.6	35	
—	9.0	57 7.76	2	+ 0 18 46.4	286	
5944	9.8	57 48.02	3	− 6 8 10.0	283	
—	9.5	15 57 47.82	4	− 6 8 9.6	360	
5945	9.5	57 47.95	3	+ 2 31 21.6	36	
5946	8.0	57 59.23	4	− 8 31 34.1	291	
5947	10.0	58 27.57	3	− 2 52 43.0	281	
5948	7.0	58 31.07	5	− 0 49 47.0	280	
—	7.0	15 58 31.17	6	− 0 49 46.1	285	
5949	8.0	58 36.79	6	+ 6 31 53.7	31	
—	8.0	58 36.89	3	+ 6 31 52.9	217	
5950	9.0	58 46.17	2	− 8 3 43.6	279	
5951	9.2	58 56.73	3	− 6 10 56.7	215	
5952	10.0	15 59 21.99	3	+ 7 21 22.1	33	
5953	9.0	59 37.93	4	− 9 46 38.8	283	
5954	9.5	59 46.69	4	+ 7 6 7.8	360	
5955	8.2	59 48.59	3	− 13 58 57.8	284	
—	7.0	59 48.86	4	− 13 58 59.7	287	
5956	8.0	16 0 3.30	3	− 9 41 9.0	288	
5957	9.2	0 14.73	3	− 9 11 28.4	290	
5958	8.0	0 15.43	3	+ 11 0 46.7	216	
—	8.3	0 15.48	4	+ 11 0 43.9	286	
5959	9.6	0 15.45	4	− 2 25 30.7	35	
—	10.0	16 0 15.93	2	− 2 25 30.6	281	
5960	10.0	0 17.89	3	+ 7 41 30.5	217	
5961	10.0	0 18.68	3	+ 7 30 13.7	280	
5962	6.5	0 22.02	3	− 13 44 49.0	288	
—	6.5	0 22.03	6	− 13 44 50.3	291	
5963	9.0	16 0 26.45	4	− 7 39 42.2	279	
5964	8.3	0 29.39	2	− 7 13 45.4	290	
5965	9.0	0 48.95	3	− 7 22 39.2	215	
5966	9.2	0 52.87	3	− 15 19 2.7	284	
5967	9.8	1 6.71	3	+ 7 9 41.0	33	
5968	9.2	16 1 13.93	3	− 8 16 51.6	283	
5969	9.0	1 26.33	3	+ 9 50 46.1	216	
5970	9.0	1 33.55	3	+ 5 21 55.5	217	
5971	9.0	1 37.05	3	− 6 3 40.4	286	
—	9.8	1 37.29	3	− 6 3 39.5	361	
5972	9.5	16 1 59.28	3	+ 7 18 47.8	280	
5973	9.0	2 10.31	3	+ 9 30 30.5	216	
5974	8.0	2 11.32	3	− 8 26 46.4	279	
5975	9.8	2 19.89	3	+ 5 47 55.7	217	
5976	9.0	2 20.01	2	− 8 16 9.4	286	
5977	9.8	16 3 15.92	3	+ 0 35 14.6	35	
—	9.0	3 16.07	3	+ 0 35 14.3	279	
5978	6.0	3 16.71	4	+ 6 43 12.1	280	
—	6.0	3 16.75	6	+ 6 43 12.1	281	
5979	9.0	3 17.42	3	− 6 13 58.2	215	n
5980	9.6	16 3 17.82	3	− 1 19 53.5	36	A
5981	9.0	3 17.94	3	− 8 53 12.5	287	
5982	10.0	3 25.57	1	− 6 37 32.2	287	
—	10.0	3 25.47	3	− 6 37 32.3	290	
5983	9.0	3 34.90	3	− 13 21 51.8	284	
5984	8.5	16 3 35.53	4	− 9 52 1.9	288	
5985	9.0	3 40.50	3	+ 4 8 13.0	217	
5986	10.0	3 47.09	3	+ 8 0 41.1	33	
5987	8.5	4 4.54	3	+ 11 10 53.2	216	
5988	10.0	4 26.55	2	+ 7 53 42.5	280	u
—	10.0	16 4 26.81	1	+ 7 53 40.3	281	u
5989	9.5	4 33.55	3	+ 1 35 54.0	34	
5990	9.8	4 45.22	2	− 7 8 1.9	283	
—	10.0	4 45.33	3	− 7 7 58.0	290	
5991	9.2	4 46.07	3	+ 7 15 59.7	217	
5992	9.0	16 4 48.38	3	+ 0 52 7.3	279	
5993	9.2	4 49.63	4	+ 0 3 17.6	285	
5994	7.5	4 59.33	3	+ 10 21 7.1	216	
5995	6.0	5 36.79	4	− 8 14 11.3	215	
5996	10.0	5 41.50	3	+ 0 13 3.0	218	
5997	9.3	16 5 59.12	3	− 0 59 32.4	34	
5998	10.0	6 14.81	4	+ 3 12 46.8	33	
5999	9.1	6 22.94	3	+ 11 56 54.1	216	n
6000	9.0	6 25.13	3	− 8 17 26.8	290	
6001	9.2	6 31.69	3	− 5 59 4.3	286	Decl.+3′corr
—	9.5	16 6 31.43	3	− 5 59 1.6	361	
6002	9.0	6 41.03	3	− 6 40 30.3	283	
6003	9.8	6 48.47	4	− 0 34 49.3	35	
—	9.2	6 48.54	2	− 0 34 50.9	279	
6004	9.5	6 50.03	3	+ 5 45 45.6	217	
6005	9.5	16 7 3.73	4	− 1 55 5.7	36	
6006	10.0	7 37.93	4	− 15 23 52.9	284	
6007	10.0	7 41.36	2	− 15 26 10.3	287	
6008	9.5	7 43.36	4	+ 1 48 48.3	34	
6009	7.0	7 59.70	4	+ 7 18 1.9	288	
—	7.0	16 7 59.56	3	+ 7 18 1.0	362	
6010	11.0	8 0.05	1	+ 7 12 20.7	217	s
6011	9.0	8 17.26	3	+ 1 32 16.0	35	
6012	9.0	8 19.33	3	+ 11 14 33.7	216	
6013	6.0	8 19.41	3	+ 6 12 28.8	218	
6014	8.5	16 8 34.75	3	+ 11 11 8.9	216	
6015	9.0	8 35.04	1	+ 4 38 42.9	218	
—	9.0	8 35.14	4	+ 4 38 38.5	286	
—	9.0	8 35.11	3	+ 4 38 39.3	364	
6016	9.0	9 13.77	3	+ 6 36 26.6	33	

No.	Grösse	Rectascension 1880.0			Fäden	Declination 1880.0			Zone	Bemerkungen
		h	m	s		°	′	″		
6017	10.0	16	9	29.50	3	+ 8	46	8.9	217	
6018	9.0		9	41.10	5	+ 6	34	59.7	37	
6019	9.5		9	41.69	3	− 7	38	7.5	291	
6020	9.5		10	1.88	4	− 6	40	41.9	215	
—	10.0		10	1.94	2	− 6	40	40.4	283	
—	9.5	16	10	1.83	3	− 6	40	42.6	290	
6021	10.0		10	1.97	3	+ 2	36	12.3	36	
6022	9.0		10	7.55	3	+ 10	20	4.9	216	
6023	9.0		10	10.68	4	− 0	12	48.3	35	
6024	8.0		10	16.27	4	− 8	7	50.3	288	
6025	9.5	16	10	26.02	3	− 3	4	52.6	286	
6026	9.2		10	37.82	3	− 15	8	56.4	284	
6027	9.0		10	40.66	4	+ 1	9	32.5	279	
6028	9.0		10	47.30	3	+ 1	31	12.9	281	
6029	9.0		10	54.03	3	+ 6	33	50.0	37	
6030	10.0	16	10	58.46	3	+ 4	9	31.7	218	
6031	10.0		11	8.72	3	− 15	15	33.6	284	
6032	8.2		11	11.72	4	+ 7	27	5.1	285	
6033	10.0		11	26.64	2	+ 0	4	25.0	286	
6034	8.5		11	28.75	3	− 7	59	6.6	288	
6035	9.5	16	11	38.70	2	+ 2	21	21.6	35	
—	10.0		11	38.58	3	+ 2	21	18.9	287	
6036	9.0		11	44.01	4	+ 11	0	57.0	216	n
6037	10.0		11	46.93	3	+ 4	11	55.2	218	
6038	9.0		12	13.69	3	+ 2	26	11.6	279	
6039	10.0	16	12	22.81	4	− 0	21	28.4	281	
6040	8.2		12	36.78	3	− 15	15	12.6	284	
6041	9.2		12	43.43	2	− 15	15	18.6	287	
6042	9.2		12	44.46	3	+ 10	57	23.4	216	
6043	8.2		13	3.31	3	− 4	51	23.9	215	
6044	10.0	16	13	15.11	3	− 8	17	4.7	288	n
6045	9.0		13	26.85	3	− 9	33	34.9	291	n
6046	9.0		13	29.34	3	+ 8	34	33.7	33	
—	9.5		13	29.27	3	+ 8	34	33.0	280	
6047	8.0		13	31.64	4	+ 5	49	50.4	218	
6048	9.0	16	13	51.73	4	+ 2	37	35.9	34	
6049	9.7		14	2.34	1	+ 0	22	11.2	35	
—	10.0		14	2.60	3	+ 0	22	10.4	36	
6050	9.0		14	6.53	3	− 4	39	49.3	279	
6051	9.0		14	12.49	2	− 6	41	12.3	215	
6052	9.7	16	14	15.48	4	+ 7	9	7.3	37	
—	10.0		14	15.63	3	+ 7	9	8.6	217	
6053	10.0		14	35.34	3	+ 10	6	33.8	216	n f
6054	8.8		14	35.57	2	− 6	18	29.3	279	
6055	9.5		14	44.20	4	+ 10	6	20.9	364	n
6056	9.0	16	14	47.26	4	− 8	43	30.5	288	
—	9.0		14	47.16	4	− 8	43	31.1	292	
6057	9.9		15	29.01	2	+ 5	22	12.4	37	
6058	9.0		15	30.09	3	− 6	51	11.5	291	
6059	11.0		15	30.47	1	+ 5	30	42.4	281	n s u

No.	Grösse	Rectascension 1880.0			Fäden	Declination 1880.0			Zone	Bemerkungen
		h	m	s		°	′	″		
6060	9.5	16	15	36.44	3	+ 11	0	38.7	216	
6061	9.2		15	42.01	3	− 3	12	12.0	285	
6062	9.2		15	54.02	3	− 5	23	31.7	279	
6063	9.0		16	2.63	2	+ 7	24	27.8	33	a
—	10.0		16	2.43	4	+ 7	24	29.9	218	Decl.+1′corr.
6064	9.0	16	16	4.69	4	− 12	54	50.2	287	n
6065	9.1		16	6.20	3	+ 1	51	38.5	34	
6066	9.5		16	15.84	3	+ 11	8	19.2	216	
6067	9.0		16	17.57	2	− 4	26	—	290	n
—	9.3		16	17.—	—	− 4	26	5.8	364	
6068	10.0	16	16	17.83	3	+ 5	47	42.6	217	
—	10.0		16	17.65	3	+ 5	47	39.8	280	
6069	8.0		16	31.05	4	− 7	26	47.1	285	
6070	10.0		16	33.44	3	− 14	31	29.0	284	
6071	9.0		16	35.79	3	− 8	10	32.7	288	n
6072	9.2	16	16	44.33	3	− 4	14	5.1	215	n
—	9.2		16	44.47	3	− 4	14	6.4	291	
6073	8.3		16	52.36	4	− 8	41	59.7	292	
6074	8.0		16	54.39	2	− 4	29	24.2	290	
6075	8.8		16	59.02	3	+ 0	1	11.1	34	
—	8.0	16	16	58.80	3	+ 0	1	9.6	35	
6076	9.6		17	25.15	3	+ 11	37	25.5	216	n
6077	9.0		17	25.75	4	− 7	37	38.0	286	
6078	9.0		17	33.80	3	− 14	47	12.3	284	
6079	9.0		17	36.19	4	− 8	49	24.6	288	
6080	8.5	16	17	37.64	4	− 13	22	21.4	287	n
6081	9.1		17	50.37	3	+ 7	26	37.8	33	
—	9.8		17	50.43	3	+ 7	26	35.9	217	
6082	9.3		17	51.07	4	− 2	2	39.8	36	
6083	9.0		17	51.43	3	+ 1	21	21.6	218	
6084	9.0	16	18	14.78	3	+ 1	7	2.4	279	
6085	9.0		18	16.—	—	+ 0	49	18.7	34	
—	9.5		18	15.98	4	+ 0	49	16.3	291	
6086	9.0		18	24.00	4	− 7	20	43.8	292	
6087	9.7		18	48.10	4	+ 7	4	38.6	37	
—	10.0	16	18	47.90	3	+ 7	4	37.9	280	
6088	9.7		19	3.17	3	+ 5	37	44.0	217	
6089	9.2		19	7.24	3	− 13	44	54.7	287	n
6090	8.5		19	14.96	4	− 3	35	24.4	215	
6091	9.5		19	19.82	3	+ 2	9	48.8	36	
6092	8.5	16	19	20.09	3	+ 1	1	34.0	35	
—	9.5		19	19.97	3	+ 1	1	33.6	218	
6093	8.8		19	26.52	3	− 5	49	9.5	284	
6094	9.0		19	32.46	3	+ 9	20	27.7	216	
6095	9.0		19	35.38	3	+ 8	11	44.4	33	u
—	9.0	16	19	35.52	3	+ 8	11	43.8	281	
6096	9.0		19	36.93	4	− 7	4	30.0	288	n
—	9.3		19	37.05	4	− 7	4	31.8	364	
6097	9.2		19	39.52	4	− 6	40	19.1	286	n
6098	9.5		19	41.69	3	− 8	57	48.8	285	

No.	Grösse	Rectascension 1880.0 h m s	Fäden	Declination 1880.0 ° ′ ″	Zone	Bemerkungen
6099	8.5	16 19 42.54	3	— 7 55 38.2	292	
6100	8.5	19 59.13	3	+ 9 36 27.9	361	
—	8.5	19 59.15	4	+ 9 36 27.1	362	
6101	8.0	20 6.65	3	— 7 34 39.8	290	
6102	8.0	20 18.79	4	+ 2 32 30.1	35	A
—	8.0	16 20 18.89	3	+ 2 32 29.3	279	
6103	9.2	20 24.10	3	— 8 37 35.7	215	
6104	8.0	20 35.31	2	+ 2 25 1.9	34	
—	10.0	20 35.12	3	+ 2 24 59.2	218	
6105	9.6	20 36.60	3	— 1 52 19.5	36	
—	9.0	16 20 36.47	2	— 1 52 20.7	281	
6106	9.0	20 37.61	3	+ 5 51 49.3	217	
—	9.3	20 37.39	3	+ 5 51 49.5	280	
6107	9.6	20 53.54	3	— 4 46 37.1	286	n
6108	9.0	20 57.63	3	+ 9 22 44.4	216	
6109	8.0	16 20 58.94	3	— 8 18 4.3	284	
—	8.5	20 58.96	4	— 8 18 3.6	292	
6110	9.0	21 2.46	3	+ 8 39 42.7	217	
6111	9.5	21 3.39	2	+ 8 28 20.8	33	
6112	9.0	21 11.38	3	— 1 6 10.8	285	
6113	9.3	16 21 11.40	4	— 7 59 32.3	288	n
6114	9.3	21 19.93	2	— 1 6 28.2	285	n
—	9.3	21 19.46	2	— 1 6 27.8	364	
6115	9.0	21 20.28	3	— 12 50 2.5	287	n
6116	10.0	21 56.34	4	— 5 36 5.6	215	
6117	9.5	16 22 2.29	3	— 8 24 41.2	290	
—	9.0	22 2.23	4	— 8 24 41.7	292	
6118	9.5	22 7.67	3	+ 9 55 33.6	216	n
6119	8.5	22 9.22	4	+ 7 34 56.8	37	
—	9.0	22 9.02	2	+ 7 34 55.0	280	
6120	9.0	16 22 17.75	4	— 10 3 57.8	291	n
6121	9.5	22 18.78	4	+ 2 3 9.9	35	
—	10.0	22 18.85	3	+ 2 3 9.1	218	
6122	8.3	22 19.56	3	— 14 24 59.0	284	
6123	10.0	22 20.24	3	+ 7 3 1.0	217	
—	10.0	16 22 20.45	1	+ 7 2 58.2	281	
6124	10.0	22 36.29	2	+ 2 31 31.6	36	
—	10.0	22 36.18	3	+ 2 31 26.5	286	
6125	9.0	22 52.80	3	— 14 19 8.7	284	
6126	9.0	23 7.56	5	+ 1 8 29.6	361	
—	9.0	16 23 7.59	4	+ 1 8 28.4	362	
6127	10.0	23 14.38	1	— 8 11 57.8	285	
—	10.0	23 14.20	3	— 8 11 59.1	286	
—	10.0	23 14.33	3	— 8 11 56.2	288	
6128	9.0	23 14.68	4	— 5 1 53.4	215	
6129	10.0	16 23 17.21	3	+ 1 7 43.0	279	n
6130	8.0	23 38.13	4	+ 4 50 29.4	33	
—	9.0	23 38.10	4	+ 4 50 25.7	38	
6131	8.8	23 50.55	3	+ 9 18 39.0	216	
6132	7.5	23 51.07	4	— 10 10 32.4	292	n
—	7.5	16 23 50.90	5	— 10 10 31.7	364	
6133	10.0	23 55.50	3	+ 0 55 23.0	218	
6134	9.0	24 3.55	4	— 5 49 50.8	291	
6135	9.0	24 4.13	4	+ 2 31 37.7	35	
6136	8.0	24 8.32	2	— 8 12 32.9	215	
—	8.5	16 24 8.29	3	— 8 12 34.8	286	
—	9.2	24 8.26	3	— 8 12 33.6	290	
6137	9.0	24 17.75	2	— 8 13 54.5	288	
6138	9.0	24 17.89	2	+ 1 55 29.3	279	
6139	9.0	24 20.48	1	+ 1 56 —	279	
6140	10.0	16 24 20.60	3	+ 10 43 56.9	216	
6141	7.0	24 34.14	6	+ 4 29 3.8	217	
—	7.0	24 34.18	6	+ 4 29 1.8	281	
6142	9.3	24 36.65	3	— 2 15 14.7	285	
6143	7.0	24 49.25	3	— 7 39 31.7	290	
6144	8.5	16 24 51.29	3	+ 2 26 53.9	36	
6145	9.0	24 59.12	3	+ 7 8 39.4	280	
6146	9.2	25 0.73	2	+ 2 1 51.5	286	
6147	10.0	25 10.47	3	+ 1 43 45.5	218	
6148	8.0	25 11.23	4	— 9 37 55.3	292	
6149	9.8	16 25 19.60	3	— 0 31 25.1	37	
6150	9.0	25 33.21	3	— 9 46 29.6	284	
6151	8.0	25 44.73	3	+ 5 41 36.0	217	dpl. seq.
6152	9.0	25 49.26	4	+ 2 44 2.2	35	
6153	11.0	25 59.46	3	+ 1 29 57.8	287	
6154	9.0	16 25 59.65	5	— 6 55 35.9	291	
6155	9.0	26 36.27	3	+ 0 53 42.7	36	
—	9.2	26 36.19	3	+ 0 53 41.6	218	
6156	10.0	26 41.32	3	+ 1 12 52.5	279	
6157	8.0	26 45.96	4	— 8 31 25.7	283	
—	9.0	16 26 45.98	4	— 8 31 25.0	290	
—	9.0	26 46.17	4	— 8 31 25.6	292	
6158	9.5	26 46.97	3	+ 4 10 43.6	33	
6159	10.0	26 48.08	3	+ 10 55 8.0	216	
6160	9.0	26 49.68	3	— 8 23 38.6	215	
6161	9.0	16 26 56.56	1	+ 0 53 —	36	
6162	9.5	27 30.34	4	— 7 3 58.5	291	
6163	9.0	27 37.81	4	+ 7 20 50.0	37	
6164	8.2	27 39.86	3	+ 9 45 45.7	216	
6165	9.0	27 40.88	3	— 10 7 0.5	288	n
—	9.0	16 27 40.89	3	— 10 6 59.5	364	
6166	9.5	27 41.73	4	+ 2 35 25.6	35	
6167	9.2	27 54.18	3	+ 2 20 37.2	218	
6168	7.5	28 4.18	4	— 7 53 48.1	290	n
—	7.8	28 4.06	4	— 7 53 48.5	292	
6169	9.5	16 28 5.76	4	+ 2 21 55.9	279	
6170	9.0	28 14.70	3	— 4 47 5.2	215	
6171	9.0	28 20.14	3	+ 4 26 7.3	217	
6172	9.5	28 26.45	3	+ 7 56 26.8	38	
6173	9.7	28 28.14	3	+ 1 26 57.0	281	u

No.	Grösse	Rectascension 1880.0 h m s	Fäden	Declination 1880.0 ° ′ ″	Zone	Bemerkungen	No.	Grösse	Rectascension 1880.0 h m s	Fäden	Declination 1880.0 ° ′ ″	Zone	Bemerkungen
6174	8.3	16 28 29.88	3	— 16 0 59.9	284		6214	9.0	16 33 44.04	4	— 9 12 14.2	292	
6175	9.0	28 52.21	3	— 7 41 11.2	291	n	6215	8.0	33 49.55	4	+ 10 31 17.9	216	
6176	9.5	28 54.67	3	+ 0 33 30.6	36		6216	10.0	33 52.43	3	— 15 19 39.9	284	
6177	9.0	29 2.21	4	+ 5 24 9.1	37		6217	9.6	33 58.35	2	+ 8 39 17.9	38	
—	8.2	29 2.18	2	+ 5 24 10.5	217		—	10.0	33 58.38	2	+ 8 39 18.9	286	u
—	8.5	16 29 2.24	4	+ 5 24 9.4	285		6218	9.5	16 34 1.51	3	— 7 55 37.9	291	n
6178	9.2	29 10.37	3	— 15 10 5.9	284		6219	9.5	34 3.88	3	+ 8 7 33.7	285	a
—	9.2	29 10.25	5	— 15 10 5.2	361		6220	10.0	34 6.51	2	+ 1 41 1.9	288	
6179	9.5	29 13.82	3	+ 5 36 16.3	33		6221	9.7	34 7.24	3	+ 6 11 10.2	290	
6180	9.5	29 22.42	2	— 5 0 15.6	215		6222	10.0	34 21.12	3	— 14 55 23.1	287	
—	9.0	16 29 22.52	4	— 5 0 16.9	283		6223	10.0	16 34 34.64	3	+ 1 59 35.9	218	
6181	10.0	29 31.17	3	— 2 1 8.8	218		6224	9.6	34 40.47	3	+ 1 9 5.4	35	
6182	9.0	29 31.51	3	+ 2 16 42.7	35		6225	9.5	34 50.27	4	+ 6 1 20.7	37	
6183	8.0	29 33.25	4	+ 8 53 58.8	280		6226	7.0	34 52.33	5	— 2 36 32.1	279	
6184	8.0	29 41.43	3	+ 6 14 14.2	38		—	7.2	34 52.43	5	— 2 36 33.1	290	
6185	10.0	16 29 42.80	2	+ 3 3 44.5	37		6227	9.0	16 35 4.56	3	+ 5 44 26.5	217	
6186	9.0	29 47.45	3	+ 9 45 1.4	286		6228	10.0	35 15.45	3	+ 5 23 40.4	281	n
6187	9.0	29 52.64	3	— 13 59 18.7	287		—	11.0	35 15.50	2	+ 5 23 42.5	364	u s f
6188	7.0	30 3.64	6	— 2 4 3.5	362		6229	9.0	35 18.11	6	+ 5 20 19.9	362	
—	6.0	30 3.58	5	— 2 4 3.3	363		6230	9.0	35 19.14	3	— 7 40 31.4	283	
6189	10.0	16 30 35.93	3	+ 5 48 31.2	285	n	—	9.2	16 35 19.16	4	— 7 40 32.0	292	
6190	10.0	30 46.45	3	+ 0 57 49.8	279		6231	10.0	35 26.79	3	— 6 47 24.8	215	
6191	10.0	30 51.40	3	+ 10 23 40.4	286		6232	9.0	35 35.29	3	+ 1 42 9.8	36	
6192	9.0	30 53.89	2	+ 4 36 27.7	38		—	9.6	35 35.22	3	+ 1 42 10.8	288	
—	8.0	30 53.85	3	+ 4 36 27.7	217		6233	9.9	35 44.46	3	+ 8 11 4.3	38	
6193	9.7	16 30 58.58	3	+ 2 46 41.0	36		6234	8.0	16 35 56.24	5	— 1 55 43.3	218	
—	9.0	30 58.25	3	+ 2 46 45.2	218		—	8.2	35 56.47	4	— 1 55 43.8	287	
6194	9.3	31 3.67	3	+ 0 57 29.5	35	n	6235	8.0	36 6.81	2	+ 1 41 55.-	36	Decl. gesch.
6195	10.0	31 12.25	3	— 14 23 11.5	287		6236	9.0	36 18.71	3	+ 2 17 52.8	285	
6196	11.0	31 12.70	1	+ 10 36 9.7	216	u Durch Wolken.	—	9.0	36 18.74	4	+ 2 17 53.5	361	
—	9.5	16 31 12.44	1	+ 10 36 7.2	286		6237	9.0	16 36 29.18	2	— 8 43 18.7	288	
—	9.2	31 12.41	4	+ 10 36 8.2	290		—	9.0	36 29.08	4	— 8 43 17.8	292	
6197	10.0	31 13.85	4	+ 7 37 0.6	281	f	6238	9.5	36 29.39	3	— 6 50 57.5	215	
6198	10.0	31 37.66	4	+ 7 50 19.1	37		6239	9.0	36 33.66	3	+ 3 4 5.0	217	
6199	8.8	31 44.27	3	— 8 56 0.1	215		6240	9.0	36 34.54	4	+ 11 16 59.0	216	
6200	9.2	16 31 59.58	3	+ 1 53 17.5	279		6241	9.5	16 36 40.16	2	+ 6 22 41.1	38	
6201	9.0	32 6.76	4	— 3 0 59.6	283		—	8.5	36 40.11	4	+ 6 22 41.7	281	
6202	9.0	32 21.34	3	+ 2 46 31.0	218	n	6242	9.0	36 43.50	2	— 8 31 44.3	283	
6203	9.3	32 22.74	3	+ 7 4 31.6	38		6243	9.0	36 49.48	3	— 15 0 56.2	284	
6204	9.2	32 47.32	3	+ 4 32 11.7	217		6244	9.0	37 1.91	6	— 13 55 28.2	389	
6205	8.0	16 32 47.59	3	+ 2 47 58.6	218		6245	9.7	16 37 6.27	4	— 15 4 48.5	287	
6206	8.0	32 55.58	3	+ 2 27 15.3	35		6246	9.0	37 27.57	4	+ 6 13 59.5	37	
6207	8.0	33 15.55	4	+ 3 56 28.1	37		6247	9.2	37 31.59	3	+ 3 3 53.9	217	
6208	10.0	33 22.71	2	+ 3 23 59.4	217		6248	9.0	37 36.17	3	— 6 16 41.0	215	
—	10.0	33 22.92	3	+ 3 23 57.0	286		—	9.0	37 36.41	2	— 6 16 43.9	286	
6209	10.0	16 33 25.58	3	— 8 11 6.9	215		6249	10.0	16 37 36.54	2	+ 6 13 54.-	37	n Decl. gesch.
6210	10.5	33 27.49	3	+ 1 3 26.3	361		6250	9.0	37 40.39	5	+ 2 44 17.3	279	
6211	9.2	33 29.40	3	— 6 31 21.4	283		6251	10.0	37 43.22	3	+ 1 13 28.8	285	
6212	10.0	33 33.94	3	+ 1 24 37.0	288	n	6252	9.8	37 50.47	3	+ 6 5 30.7	38	
6213	8.8	33 34.90	3	+ 8 42 32.5	281		6253	9.8	37 54.49	3	+ 10 57 59.2	216	

No.	Grösse	Rectascension 1880.0 h m s	Fäden	Declination 1880.0 ° ′ ″	Zone	Bemerkungen
6254	8.0	16 38 2.81	2	+ 8 48 42.4	217	
6255	8.0	38 20.31	3	+ 1 35 51.1	35	
6256	9.0	38 29.—	—	— 5 4 52.3	215	
—	9.0	38 29.27	4	— 5 4 55.5	283	
—	9.5	38 29.36	4	— 5 4 52.8	290	
6257	9.0	16 38 44.63	4	— 10 26 26.1	291	n
—	8.5	38 44.43	4	— 10 26 25.4	292	
6258	9.0	39 9.34	4	+ 6 47 49.8	281	a
—	10.0	39 9.09	2	+ 6 47 52.0	364	
6259	9.0	39 12.94	2	+ 7 1 54.7	217	
6260	9.0	16 39 20.30	4	+ 10 47 44.4	216	n
6261	8.5	39 27.05	4	+ 0 18 10.4	285	Decl.—3′corr.
—	8.5	39 27.15	6	+ 0 18 12.6	361	
6262	10.0	39 32.57	3	— 15 16 59.1	284	u
6263	9.8	39 43.84	4	+ 7 10 47.7	38	u
6264	10.0	16 39 49.98	4	— 8 48 45.3	288	
6265	9.0	39 55.55	3	+ 2 59 53.8	218	
6266	9.5	40 3.40	3	+ 9 27 6.1	41	
6267	9.5	40 22.73	1	— 15 27 52.7	284	
—	9.0	40 22.56	3	— 15 27 56.4	287	
6268	8.0	16 40 43.36	4	— 6 45 22.6	215	
—	9.0	40 43.53	4	— 6 45 23.9	290	
—	8.5	40 43.42	4	— 6 45 23.2	291	
6269	8.5	40 44.00	3	+ 7 52 27.7	217	
6270	10.0	40 48.01	2	— 15 30 0.2	287	
6271	8.0	16 40 49.88	3	+ 10 45 47.4	216	
6272	9.0	40 56.79	4	— 10 18 16.1	292	n
6273	9.0	40 57.75	3	+ 10 1 25.0	286	
6274	6.0	41 6.42	5	+ 2 16 56.5	35	
6275	10.0	41 13.11	3	+ 0 0 59.4	36	
6276	10.0	16 41 25.69	3	+ 1 43 31.4	218	
6277	9.0	41 34.17	3	+ 10 33 37.7	41	
6278	10.0	41 43.98	3	— 0 17 10.5	281	
6279	8.0	41 53.37	3	+ 1 25 41.3	285	
6280	9.0	42 4.25	4	+ 10 40 0.7	216	
6281	10.0	16 42 16.53	4	+ 1 50 56.8	218	
6282	9.5	42 16.91	5	+ 7 5 22.4	37	
6283	9.0	42 17.92	3	— 6 15 44.8	215	
—	9.5	42 18.14	3	— 6 15 47.1	283	
6284	9.0	42 22.36	5	— 9 42 34.0	292	
6285	10.0	16 42 26.84	3	— 4 1 22.2	284	
6286	9.7	42 28.95	3	+ 8 15 33.6	38	
—	10.0	42 28.83	3	+ 8 15 35.1	217	
6287	7.8	42 30.80	2	+ 2 49 29.2	35	n A
—	9.0	42 31.60	3	+ 2 49 31.1	290	
—	8.9	16 42 31.32	6	+ 2 49 30.4	364	
6288	9.0	42 35.06	3	— 3 18 51.9	286	
6289	8.3	42 38.36	3	+ 10 36 48.6	41	
6290	10.0	43 0.09	4	+ 3 42 53.4	39	
6291	9.2	43 8.90	2	+ 10 26 24.4	216	n
6292	9.0	16 43 11.92	3	+ 1 22 52.6	36	
—	9.0	43 11.74	3	+ 1 22 50.3	285	
6293	8.0	43 11.96	2	+ 0 8 3.6	218	
—	7.0	43 12.02	3	+ 0 8 2.7	288	
—	8.0	43 12.18	1	+ 0 8 3.2	290	
—	8.0	16 43 12.18	5	+ 0 8 1.3	291	
6294	9.0	43 12.34	4	— 2 31 31.3	287	
6295	10.0	43 16.52	2	— 5 9 0.8	286	
6296	10.0	43 18.60	3	+ 4 51 27.6	217	
6297	8.0	43 35.94	4	+ 5 34 32.0	37	
6298	10.0	16 43 37.16	3	+ 3 50 31.3	281	
6299	9.4	43 51.26	3	+ 8 10 2.7	38	
6300	10.0	43 53.26	2	— 5 1 25.9	284	
6301	9.0	44 0.80	4	— 8 31 15.2	292	
6302	9.0	44 7.00	3	+ 4 56 45.6	217	
6303	8.0	16 44 23.80	3	+ 10 19 38.5	216	
6304	9.0	44 54.04	3	+ 1 55 33.4	218	
6305	8.0	45 0.49	3	— 5 58 9.2	215	n
6306	7.0	45 5.26	3	+ 5 41 43.5	37	
6307	9.8	45 16.83	4	+ 3 27 34.9	39	
6308	8.1	16 45 19.11	4	+ 8 33 56.1	38	
6309	9.0	45 22.79	2	+ 2 1 7.2	285	n
6310	10.0	45 22.89	3	— 15 40 43.9	220	
6311	10.0	45 25.39	2	+ 2 14 42.5	35	
6312	9.7	45 26.73	3	— 2 25 53.5	36	
6313	9.0	16 45 48.37	3	— 15 56 25.9	284	
6314	9.0	45 50.88	3	+ 2 1 9.6	288	Decl.+1′corr.
—	9.0	45 50.80	4	+ 2 1 8.5	361	
6315	9.0	45 56.49	2	— 13 48 48.4	287	
6316	9.5	46 4.23	3	+ 6 45 10.8	281	
6317	8.8	16 46 17.98	3	+ 10 16 23.4	41	
6318	8.6	46 18.03	4	+ 10 35 27.8	216	
6319	9.5	46 24.28	3	+ 1 57 42.6	218	
6320	9.8	46 42.62	5	+ 5 7 59.1	37	
6321	10.0	46 46.24	3	+ 7 10 32.2	38	
6322	7.0	16 46 55.74	2	+ 0 13 17.6	218	
—	7.0	46 55.64	5	+ 0 13 15.7	288	
—	7.0	46 55.72	3	+ 0 13 15.0	290	
6323	10.0	47 10.04	2	— 12 49 59.5	220	
6324	9.5	47 21.94	3	+ 2 2 5.9	35	
6325	9.0	16 47 33.90	4	+ 8 17 46.7	39	
6326	9.7	47 39.30	4	+ 1 23 20.7	36	
6327	9.0	47 43.10	3	+ 9 10 58.8	41	
—	10.0	47 42.58	4	+ 9 10 59.8	216	
—	10.0	47 42.40	4	+ 9 10 57.8	290	
6328	10.0	16 47 50.04	4	+ 7 10 22.9	281	
6329	9.0	47 52.51	3	+ 0 59 14.8	286	
6330	10.0	48 5.89	1	+ 5 5 2.8	37	
—	10.0	48 5.91	3	+ 5 5 0.9	219	
6331	10.0	48 34.30	3	— 15 50 37.6	42	a

No.	Grösse	Rectascension 1880.0 h	m	s	Fäden	Declination 1880.0 °	′	″	Zone	Bemerkungen
6332	7.5	16	48	39.25	4	— 8	10	22.2	215	
6333	10.0		48	41.43	4	+ 0	35	26.1	218	f
—	9.5		48	41.49	3	+ 0	35	25.3	285	
6334	9.0		48	54.17	3	— 11	9	16.1	292	n
—	9.0		48	54.31	5	— 11	9	14.1	364	
6335	7.8	16	49	13.07	4	+ 10	14	35.2	216	
6336	9.5		49	28.35	2	— 1	54	6.5	35	
—	9.3		49	28.38	3	— 1	54	8.7	286	
6337	10.0		49	35.69	1	+ 1	29	35.5	36	
—	10.0		49	36.02	2	+ 1	29	32.8	285	
6338	9.9	16	49	48.40	3	+ 7	53	4.1	37	
6339	9.7		49	56.13	3	+ 7	1	39.6	38	
6340	10.0		49	56.46	3	— 6	34	6.6	215	
6341	9.7		50	2.77	1	— 15	20	18.0	43	s
—	9.6		50	2.48	3	— 15	20	18.9	220	
6342	10.0	16	50	2.62	3	+ 7	59	56.3	39	
—	10.0		50	3.34	3	+ 7	59	55.7	281	
—	10.0		50	3.06	4	+ 7	59	55.8	362	
6343	9.2		50	8.89	3	+ 6	4	20.0	217	
6344	10.0		50	19.64	2	+ 8	46	51.8	219	
—	9.2	16	50	19.67	3	+ 8	46	52.2	286	
6345	10.0		50	21.97	3	+ 0	52	44.0	218	
6346	9.0		50	33.06	3	— 2	14	54.6	285	
6347	8.5		50	36.03	1	+ 6	28	21.7	39	u
—	8.3		50	36.35	3	+ 6	28	20.0	290	
6348	9.0	16	50	45.01	3	+ 11	48	23.8	216	n
6349	10.0		50	50.19	3	— 15	37	24.7	284	
6350	9.2		51	4.13	3	— 1	31	31.8	287	
—	10.0		51	4.07	3	— 1	31	32.0	361	
6351	9.5		51	6.25	3	+ 3	55	15.7	38	
6352	9.7	16	51	11.99	3	— 14	38	39.3	220	
6353	9.8		51	22.91	3	+ 6	47	3.7	37	
6354	9.8		51	24.09	3	+ 10	34	30.1	41	
6355	9.7		52	11.99	4	— 2	1	59.4	36	
6356	8.0		52	22.38	6	+ 9	13	7.3	363	
6357	10.0	16	52	29.34	2	— 7	35	38.9	215	
6358	9.0		52	29.42	3	+ 4	14	57.9	38	
6359	8.2		52	32.20	3	— 14	33	5.0	284	Decl.+3′corr.
—	8.5		52	32.31	1	— 14	33	3.0	362	
—	9.0		52	32.01	3	— 14	33	3.5	364	
6360	9.6	16	52	37.35	3	— 15	36	26.7	220	
6361	10.0		52	55.76	3	+ 4	9	58.8	286	
6362	10.0		53	3.76	2	+ 8	25	48.0	37	f
6363	9.5		53	15.06	4	+ 7	37	51.7	39	
6364	9.0		53	54.35	3	— 15	29	56.1	220	
6365	9.0	16	54	2.36	2	— 7	11	23.7	286	
—	9.0		54	2.31	4	— 7	11	21.3	288	
6366	9.1		54	12.26	4	+ 1	16	51.3	36	
6367	10.0		54	12.29	3	+ 1	58	48.1	219	
6368	9.3		54	12.58	3	+ 2	16	48.3	35	

No.	Grösse	Rectascension 1880.0 h	m	s	Fäden	Declination 1880.0 °	′	″	Zone	Bemerkungen
—	9.8	16	54	12.38	2	+ 2	16	47.1	218	
6369	8.0		54	25.30	5	— 13	22	41.0	284	
—	7.0		54	25.21	4	— 13	22	41.9	287	
6370	9.6		54	25.59	3	+ 8	25	3.8	38	
—	10.0		54	25.74	3	+ 8	25	1.9	217	
6371	9.0	16	54	29.69	3	+ 10	1	41.2	216	
6372	9.8		54	29.82	3	+ 4	21	53.8	37	
6373	9.0		54	51.33	1	— 9	34	4.9	220	
6374	8.0		54	56.40	4	+ 11	8	5.8	41	
6375	10.0		55	11.10	2	— 15	24	3.6	42	
6376	9.1	16	55	16.82	3	+ 1	53	5.7	36	
6377	9.3		55	19.37	3	+ 2	47	4.7	285	
6378	9.0		55	22.75	3	— 3	52	14.9	215	
6379	9.8		55	50.44	4	+ 4	19	17.3	39	
6380	9.0		55	56.32	3	+ 6	47	9.3	37	
6381	8.5	16	56	0.00	3	— 12	22	39.0	284	
6382	9.5		56	9.21	3	+ 7	57	46.0	38	
6383	10.0		56	13.41	3	+ 3	14	6.4	217	
6384	9.0		56	13.48	5	— 19	58	3.4	292	
6385	10.0		56	26.52	3	+ 0	12	16.8	286	
6386	9.5	16	56	29.87	3	+ 2	22	57.8	288	
6387	10.0		56	30.38	3	+ 8	39	56.0	219	
6388	8.0		56	32.35	3	— 8	5	11.2	215	
6389	10.0		56	37.—	—	+ 10	4	3.1	41	n s
6390	9.5		56	38.50	6	+ 10	6	41.0	361	
6391	9.5	16	56	41.23	3	— 14	26	31.6	220	
6392	9.8		56	42.09	1	+ 3	8	56.6	219	
—	9.0		56	41.70	4	+ 3	8	54.3	285	
6393	9.7		56	52.66	3	— 3	44	35.9	42	
6394	9.5		56	54.59	2	+ 2	21	43.1	35	n
6395	9.5	16	56	59.04	4	+ 6	18	24.0	37	
6396	9.0		57	3.76	3	— 14	6	41.5	290	
6397	9.5		57	4.86	3	+ 4	55	13.7	38	
6398	10.0		57	10.32	1	+ 9	3	41.9	216	s
—	9.5		57	10.27	3	+ 9	3	40.9	286	
6399	10.0	16	57	40.86	3	+ 9	6	16.7	217	
6400	10.0		58	2.44	3	+ 0	47	26.3	288	n
6401	10.0		58	5.36	3	+ 5	9	12.3	39	
6402	9.3		58	6.13	3	— 2	32	42.0	290	
6403	9.5		58	14.69	3	— 0	41	35.7	287	
6404	9.0	16	58	23.17	3	— 1	4	17.7	290	
6405	10.0		58	28.39	3	+ 8	41	30.5	37	
6406	9.7		58	36.37	3	+ 5	28	37.3	38	
—	9.0		58	37.00	3	+ 5	28	33.7	285	
—	9.3		58	36.78	2	+ 5	28	36.6	364	
6407	8.0	16	58	48.13	6	— 4	51	48.0	215	
—	8.0		58	47.92	3	— 4	51	47.1	288	
6408	9.0		59	0.68	6	+ 1	58	52.3	362	
6409	9.4		59	5.82	4	+ 2	54	4.6	35	
6410	6.0		59	10.40	3	+ 0	52	46.1	285	

No.	Grösse	Rectascension 1880.0 h m s	Fäden	Declination 1880.0 ° ′ ″	Zone	Bemerkungen
—	6.0	16 59 10.54	4	+ 0 52 45.9	286	
6411	10.0	59 11.36	3	+ 7 12 54.5	217	
6412	8.5	59 14.41	3	— 14 10 31.2	43	
—	8.5	59 14.45	3	— 14 10 29.8	220	
6413	8.0	59 17.32	4	+ 5 22 54.0	219	
6414	9.0	16 59 24.19	4	+ 3 36 14.7	39	
6415	9.0	59 27.85	3	+ 1 14 7.9	36	
6416	10.0	59 32.15	2	+ 6 34 0.8	217	f
—	9.5	59 32.42	5	+ 6 34 1.2	361	
6417	10.0	59 45.30	2	+ 1 13 16.1	218	
6418	9.0	16 59 52.10	3	+ 3 50 51.6	38	
6419	8.0	59 52.32	4	+ 10 42 44.8	216	
6420	10.0	59 52.93	3	+ 6 30 12.3	37	
6421	10.0	17 0 0.49	2	+ 6 56 48.6	286	
6422	10.0	0 5.37	3	+ 0 5 28.1	292	
6423	10.0	17 0 7.21	2	+ 1 17 2.7	288	
6424	9.0	0 8.27	3	+ 7 51 13.4	223	
6425	10.0	0 38.37	3	— 1 29 29.9	292	
6426	9.0	0 45.39	3	+ 8 48 26.0	219	
6427	7.5	0 52.45	3	— 15 55 52.6	221	
6428	10.0	17 0 57.86	3	+ 6 59 42.1	218	
—	9.0	0 58.20	3	+ 6 59 39.5	223	
6429	9.9	1 3.87	3	— 15 36 46.2	42	
6430	9.2	1 6.75	3	+ 6 57 38.0	286	dpl. pr.
6431	9.7	1 7.56	3	+ 6 57 54.1	290	dpl. seq.
6432	9.8	17 1 9.41	4	+ 10 12 39.4	41	
—	10.0	1 9.30	3	+ 10 12 36.4	216	
6433	10.0	1 13.80	2	+ 2 47 49.5	35	
—	9.5	1 13.85	3	+ 2 47 47.5	293	
6434	10.0	1 16.51	2	+ 8 10 14.0	217	f
6435	9.3	17 1 23.59	3	+ 8 9 35.5	38	
—	10.0	1 23.78	3	+ 8 9 33.3	39	
6436	10.0	1 35.70	3	+ 2 35 1.1	285	
6437	6.5	1 43.63	3	— 11 52 26.5	220	
6438	9.0	1 45.73	3	+ 1 29 4.4	35	
—	9.0	17 1 45.96	3	+ 1 29 7.3	288	
6439	9.0	2 4.40	3	+ 9 6 18.7	216	
6440	7.5	2 5.43	3	— 16 44 40.2	221	n
—	7.5	2 5.52	4	— 16 44 40.6	293	
6441	9.6	2 29.01	3	— 15 2 47.9	42	
6442	9.5	17 2 55.89	4	+ 10 0 26.2	41	
6443	8.0	3 8.97	3	+ 4 46 12.6	37	
—	7.5	3 8.88	3	+ 4 46 12.7	219	
6444	9.7	3 11.60	3	+ 8 31 5.8	39	
6445	9.0	3 13.29	4	+ 3 0 40.0	38	
—	9.0	17 3 13.00	3	+ 3 0 42.0	217	
—	8.9	3 12.98	3	+ 3 0 43.4	218	
6446	9.0	3 15.17	3	— 6 37 41.9	43	
6447	8.0	3 18.30	3	— 16 0 53.0	221	n
6448	9.0	3 24.56	3	+ 10 27 53.0	216	

No.	Grösse	Rectascension 1880.0 h m s	Fäden	Declination 1880.0 ° ′ ″	Zone	Bemerkungen
6449	8.3	17 3 35.85	3	+ 0 28 55.6	36	A.R. + 1^s corr.
—	9.0	3 35.37	3	+ 0 28 52.8	285	
—	9.0	3 35.82	2	+ 0 28 54.8	364	
—	9.6	3 35.60	2	+ 0 28 55.3	365	
6450	10.0	3 42.42	1	+ 0 29 59.5	364	n u
—	10.0	17 3 42.09	1	+ 0 29 58.6	365	
6451	9.0	3 45.88	3	— 13 33 47.0	220	
6452	9.0	3 46.30	3	+ 0 21 20.1	35	
6453	9.0	3 56.89	2	+ 9 36 52.5	41	
—	9.5	3 56.62	2	+ 9 36 49.3	216	
6454	7.7	17 4 6.60	6	— 16 28 55.3	293	n
6455	10.0	4 21.51	4	+ 6 11 19.6	290	n
6456	9.2	4 45.05	3	— 13 3 10.1	220	
6457	8.6	4 57.85	3	+ 1 42 56.6	219	
6458	9.2	5 1.20	4	— 8 39 51.7	292	n
6459	10.0	17 5 15.21	4	+ 8 11 31.3	37	
—	10.0	5 14.93	2	+ 8 11 35.5	218	
6460	9.8	5 26.74	4	+ 7 2 44.9	38	
6461	9.0	5 40.22	3	— 15 27 31.6	221	
6462	7.5	5 44.17	4	— 15 1 0.2	287	
6463	8.0	17 5 48.45	4	+ 6 32 7.2	290	n
6464	9.0	5 54.64	3	+ 11 18 2.6	41	
6465	9.5	5 59.51	4	— 4 15 20.5	42	
—	10.0	5 59.48	3	— 4 15 20.8	288	
6466	9.2	6 10.71	3	+ 11 17 59.1	286	
6467	9.5	17 6 11.31	4	+ 5 17 31.1	39	
6468	9.3	6 15.29	3	+ 11 6 28.0	216	
6469	9.5	6 19.20	3	+ 1 35 7.3	36	
—	10.0	6 19.29	3	+ 1 35 4.7	223	
6470	9.0	6 25.37	3	+ 6 45 27.5	217	
6471	10.0	17 6 36.98	3	— 13 15 17.2	220	n
6472	9.5	6 38.71	2	+ 11 31 51.6	41	
—	10.0	6 38.76	2	+ 11 31 51.0	216	
6473	9.0	6 43.99	5	— 9 31 49.7	292	n
6474	9.0	6 44.98	3	+ 5 6 47.7	37	
6475	9.0	17 7 10.44	3	+ 0 48 59.8	285	
—	9.0	7 10.71	3	+ 0 48 59.0	365	
6476	8.5	7 12.39	3	+ 1 23 39.4	35	
6477	9.5	7 13.59	2	+ 0 49 29.8	285	
—	10.0	7 13.79	2	+ 0 49 30.-	365	Decl. gesch.
6478	10.0	17 7 14.35	3	— 7 25 15.9	43	
6479	7.5	7 24.69	4	+ 5 13 38.7	38	
—	8.0	7 24.25	4	+ 5 13 38.5	218	
—	8.0	7 24.72	5	+ 5 13 35.3	293	
6480	10.0	7 35.55	3	+ 8 2 39.8	217	
6481	8.0	17 7 50.56	3	+ 5 57 4.5	219	
6482	9.0	7 55.52	3	— 7 15 17.7	42	
6483	8.0	8 12.38	3	+ 11 22 50.7	41	
6484	8.3	8 17.72	4	+ 4 13 30.0	223	n
6485	9.5	8 21.48	4	— 9 10 31.3	220	

No.	Grösse	Rectascension 1880.0 h	m	s	Fäden	Declination 1880.0 °	′	″	Zone	Bemerkungen
6486	10.0	17	8	24.02	5	— 7	53	7.7	292	n
6487	5.0		8	31.23	2	— 14	26	43.3	43	
—	6.0		8	30.95	4	— 14	26	40.5	221	
6488	7.6		9	6.50	4	+ 5	19	58.5	37	
6489	8.8		9	15.10	3	+ 5	56	1.2	38	
6490	8.7	17	9	15.68	4	+ 4	34	19.9	39	
6491	9.0		9	17.16	3	— 8	31	49.1	293	n
6492	11.0		9	18.91	2	+ 7	30	32.1	217	a
—	10.0		9	18.99	3	+ 7	30	32.4	290	
6493	9.0		9	30.32	3	+ 4	28	51.8	218	
6494	8.0	17	9	33.83	4	— 7	54	18.5	42	
6495	9.0		9	40.51	2	+ 7	13	4.8	218	u
—	9.8		9	40.68	4	+ 7	13	8.5	222	
6496	10.0		9	43.92	2	+ 5	56	22.8	37	
6497	8.3		9	44.50	4	+ 4	13	30.6	223	n
6498	9.2	17	9	46.60	2	— 7	7	41.3	293	
6499	10.0		9	52.19	3	— 8	50	55.4	288	
6500	8.0		9	52.33	2	+ 6	30	58.6	290	
6501	9.5		9	56.26	3	+ 7	58	37.6	219	
6502	8.0		10	7.66	3	— 0	45	30.6	35	
6503	9.5	17	10	11.68	3	— 14	7	33.7	43	
—	9.2		10	11.35	3	— 14	7	31.6	221	
6504	8.0		10	19.13	4	— 10	45	50.8	220	
6505	9.5		10	21.03	4	+ 11	1	44.9	41	
6506	9.0		10	40.57	3	— 0	22	35.0	36	
6507	9.0	17	10	52.80	3	+ 10	32	48.1	286	
6508	8.0		10	53.02	3	— 7	44	12.4	288	
6509	8.0		11	5.86	3	+ 10	19	59.0	216	
6510	9.7		11	17.30	3	+ 7	33	44.0	38	
—	10.0		11	17.28	3	+ 7	33	44.0	217	
6511	9.4	17	11	17.38	3	+ 8	38	33.9	37	
6512	9.5		11	22.03	4	+ 5	10	9.2	223	n
6513	9.5		11	23.07	3	— 14	40	4.1	221	
6514	10.0		11	23.82	4	+ 2	39	40.7	219	
6515	9.3		11	25.58	4	+ 7	26	1.0	39	
6516	9.0	17	11	32.77	3	+ 9	6	59.9	216	
6517	9.5		11	37.66	4	+ 8	10	13.1	139	
6518	9.8		11	43.75	3	+ 11	21	10.0	41	
6519	10.0		11	48.11	2	— 8	50	51.9	42	
—	10.0		11	47.97	3	— 8	50	53.6	293	
—	10.0	17	11	48.37	1	— 8	50	53.6	365	
6520	10.0		12	18.55	3	+ 8	25	38.9	217	
6521	9.0		12	20.91	4	+ 7	15	15.1	218	
—	8.0		12	21.18	3	+ 7	15	13.1	290	
6522	7.8		12	21.10	4	— 12	21	31.8	220	n
6523	9.5	17	12	27.02	4	— 8	14	53.9	288	n
6524	8.0		12	27.72	4	— 11	51	25.8	294	n
6525	9.8		12	30.34	3	— 9	0	42.4	43	
6526	9.0		12	31.38	4	+ 8	32	7.9	37	
—	9.0		12	31.39	4	+ 8	32	8.8	222	

No.	Grösse	Rectascension 1880.0 h	m	s	Fäden	Declination 1880.0 °	′	″	Zone	Bemerkungen
6527	9.3	17	13	6.00	3	+ 3	45	0.9	38	
6528	10.0		13	17.26	4	+ 8	16	33.3	139	
6529	9.6		13	34.26	3	+ 10	11	42.6	41	
—	10.0		13	33.99	4	+ 10	11	40.0	216	
6530	8.5		13	38.92	3	— 12	49	3.4	220	n
—	8.0	17	13	38.90	5	— 12	49	6.9	293	
6531	9.7		13	40.88	4	— 15	19	48.6	42	
6532	9.0		13	42.63	4	+ 6	54	29.0	218	
6533	10.0		13	44.50	3	+ 4	41	3.3	217	
6534	9.4		13	44.91	4	+ 7	56	48.4	39	
—	9.3	17	13	45.15	2	+ 7	56	50.9	222	
6535	8.0		13	49.03	4	+ 7	36	19.3	290	
6536	8.6		13	55.84	3	— 14	2	17.8	43	
6537	9.0		14	8.64	3	— 8	16	45.0	287	
—	9.3		14	8.53	4	— 8	16	44.5	288	
6538	8.0	17	14	9.22	4	— 12	17	59.3	294	n
6539	10.0		14	16.69	3	+ 4	17	39.2	219	n
6540	9.0		14	22.13	3	— 0	2	25.1	35	
6541	8.5		14	29.66	6	+ 9	35	38.1	364	
—	8.0		14	29.58	6	+ 9	35	39.3	367	
6542	10.0	17	14	51.22	4	+ 7	11	42.1	38	
6543	9.0		15	0.76	2	+ 6	48	51.1	290	
6544	8.0		15	2.55	3	— 10	56	14.3	220	
6545	9.8		15	3.07	3	+ 5	38	46.4	39	
6546	7.0		15	3.78	5	+ 1	33	24.0	365	
—	7.0	17	15	3.57	5	+ 1	33	24.3	366	
6547	9.0		15	4.97	4	+ 1	29	19.9	223	n
6548	9.0		15	11.15	4	+ 2	45	43.8	286	
6549	10.0		15	13.31	2	+ 9	30	59.7	216	n
6550	9.5		15	21.18	2	+ 2	13	10.5	218	a
—	8.6	17	15	21.37	3	+ 2	13	8.8	219	
6551	10.0		15	21.60	2	— 15	48	33.3	42	
6552	10.0		15	22.87	3	+ 4	7	30.4	217	
6553	10.0		15	23.66	3	— 9	52	41.2	43	
—	9.2		15	23.47	4	— 9	52	41.9	293	
6554	8.7	17	15	26.23	3	+ 4	36	27.0	139	
6555	9.0		15	28.47	1	+ 4	17	42.0	217	
—	9.0		15	28.71	3	+ 4	17	39.7	222	
6556	8.0		16	0.35	4	— 12	37	25.2	294	
6557	9.8		16	6.66	4	+ 9	6	19.1	41	
6558	9.0	17	16	9.77	3	— 5	31	59.3	215	
—	9.3		16	10.05	3	— 5	31	59.6	287	
6559	8.5		16	12.32	3	+ 7	51	33.5	37	
6560	10.0		16	13.32	3	+ 4	5	22.6	139	
6561	9.2		16	23.52	2	+ 6	38	14.8	290	n
6562	10.0	17	16	27.11	3	— 7	42	3.7	288	
6563	9.0		16	28.30	3	— 13	37	10.0	292	n
6564	9.5		16	35.30	4	+ 5	53	48.9	38	
6565	10.0		16	38.01	3	+ 3	12	14.6	39	
—	9.2		16	37.41	4	+ 3	12	11.4	286	

No.	Grösse	Rectascension 1880.0 h m s	Fäden	Declination 1880.0 ° ′ ″	Zone	Bemerkungen	No.	Grösse	Rectascension 1880.0 h m s	Fäden	Declination 1880.0 ° ′ ″	Zone	Bemerkungen
—	9.6	17 16 37.75	4	+ 3 12 13.6	364		—	9.2	17 20 35.12	3	+ 7 6 34.3	365	
6566	9.2	16 39.37	3	+ 10 18 55.4	216		6602	10.0	20 41.15	3	+ 0 22 41.3	292	
6567	9.0	16 40.57	3	— 13 37 0.-	292	Decl. gesch.	—	9.5	20 41.72	3	+ 0 22 43.2	364	
6568	7.5	16 42.02	3	— 15 55 19.0	221		6603	8.0	20 43.97	3	— 7 12 30.3	215	
6569	7.0	16 47.32	3	+ 10 18 46.0	216		6604	9.0	20 49.03	3	+ 2 25 41.1	288	
6570	10.0	17 16 51.46	3	— 10 33 41.4	43		—	9.2	17 20 49.08	3	+ 2 25 40.0	293	
6571	9.3	17 4.18	3	+ 4 38 31.0	217		6605	9.0	20 52.76	3	+ 2 26 59.8	35	
6572	8.3	17 13.86	3	+ 3 59 54.8	223		6606	10.0	20 54.02	3	+ 3 53 23.8	38	
6573	9.5	17 26.04	3	+ 4 46 58.0	38		—	9.5	20 54.13	3	+ 3 53 22.5	290	
—	9.2	17 26.08	3	+ 4 46 57.4	222		6607	8.7	21 8.73	3	— 11 52 38.0	220	
6574	10.0	17 17 31.55	1	+ 2 0 25.0	35		6608	9.8	17 21 9.16	3	+ 3 40 27.0	39	
—	10.0	17 31.75	3	+ 2 0 29.6	219		6609	9.0	21 20.32	3	— 15 36 17.0	221	
6575	10.0	17 31.89	3	+ 9 7 32.6	41		6610	9.7	21 37.59	3	+ 7 2 49.1	139	
6576	9.5	17 47.22	3	— 7 58 40.0	44		—	9.5	21 37.82	3	+ 7 2 49.6	217	
—	9.0	17 47.30	3	— 7 58 41.5	215		6611	9.8	21 56.55	3	— 1 22 35.2	36	
6577	8.0	17 17 56.57	3	— 13 10 56.2	220		6612	10.0	17 22 0.74	3	+ 2 0 41.9	218	
—	8.0	17 56.49	4	— 13 10 56.3	294		6613	10.0	22 11.63	3	+ 2 57 58.2	44	
6578	10.0	18 3.48	3	+ 5 1 28.5	139		6614	9.0	22 12.30	3	+ 8 12 50.9	37	
6579	10.0	18 6.10	3	— 15 14 28.8	221		—	10.0	22 12.09	3	+ 8 12 48.5	222	
6580	9.8	18 14.72	4	— 14 30 15.5	43		6615	8.6	22 24.85	3	+ 6 6 5.1	223	
6581	9.0	17 18 17.97	3	— 8 4 4.3	288		—	9.0	17 22 24.74	4	+ 6 6 4.6	290	
—	9.0	18 17.97	4	— 8 4 5.9	293		6616	8.0	22 29.52	4	— 14 9 31.0	220	
6582	9.7	18 39.92	3	+ 3 4 25.5	37		6617	9.0	22 30.33	4	— 6 29 44.6	215	
6583	9.6	18 47.69	3	+ 9 7 23.7	41		6618	10.0	22 38.01	4	— 13 26 13.1	221	
—	9.0	18 47.53	1	+ 9 7 18.6	216		6619	9.0	22 41.68	3	— 17 42 27.7	42	
6584	9.3	17 18 48.94	3	— 15 9 2.3	42		6620	10.0	17 22 54.51	3	+ 7 44 14.6	38	
6585	9.0	18 50.71	2	+ 2 37 17.6	35		—	10.0	22 54.59	3	+ 7 44 12.3	217	
—	9.3	18 51.24	3	+ 2 37 20.6	36		6621	7.0	22 59.16	2	— 17 42 54.1	42	n
—	9.5	18 50.64	1	+ 2 37 18.3	219		—	8.0	22 59.15	3	— 17 42 53.7	293	
—	9.2	18 51.01	3	+ 2 37 16.7	223		6622	8.1	23 0.50	5	+ 0 8 32.1	35	
6586	8.5	17 19 4.62	4	+ 7 33 30.3	38		—	8.5	17 23 0.95	3	+ 0 8 30.9	140	
—	8.0	19 4.67	4	+ 7 33 31.1	217		6623	9.5	23 7.92	3	+ 0 1 57.5	218	n
6587	9.0	19 7.18	4	+ 3 54 56.3	39	dpl. austr.	6624	10.5	23 30.14	4	+ 1 1 44.8	219	
6588	7.8	19 18.16	5	— 8 33 47.0	215		6625	9.0	23 51.38	3	— 14 18 46.5	221	n
6589	9.0	19 26.26	4	+ 9 8 42.5	222		6626	9.0	23 54.21	3	— 15 20 42.1	292	
6590	10.0	17 19 31.30	3	— 13 45 55.2	220		6627	10.0	17 23 56.85	3	— 13 15 6.6	220	
6591	8.0	19 46.89	4	+ 2 15 24.6	218		6628	8.0	24 1.88	3	+ 10 27 39.8	216	
—	7.8	19 47.00	6	+ 2 15 22.6	290		6629	8.8	24 4.87	2	+ 0 9 58.7	218	
6592	8.0	19 51.64	3	+ 4 46 9.4	139		—	8.0	24 5.24	4	+ 0 9 55.5	365	
6593	9.0	19 53.27	4	— 15 1 18.4	221		6630	10.0	24 11.10	2	+ 5 3 5.0	37	f
6594	10.0	17 20 3.20	3	+ 0 27 19.7	292	n	—	9.7	17 24 11.27	3	+ 5 3 3.6	139	
6595	10.0	20 3.98	3	— 1 42 31.7	288		6631	9.5	24 12.78	4	+ 4 40 59.1	38	
6596	9.0	20 10.76	3	— 11 34 13.2	294	n	—	9.5	24 12.80	2	+ 4 40 56.1	222	
6597	9.0	20 19.82	3	+ 7 5 53.7	217	n	6632	6.5	24 13.14	5	— 0 57 43.3	288	u
6598	10.0	20 20.83	2	+ 0 46 17.8	219		—	5.0	24 13.28	3	— 0 57 44.7	293	
—	9.2	17 20 20.80	2	+ 0 46 16.0	293		—	6.0	17 24 13.33	6	— 0 57 45.7	294	
6599	9.5	20 26.50	4	— 13 13 19.5	43		6633	10.0	24 13.35	4	+ 6 6 7.3	223	n
6600	10.0	20 28.22	4	+ 11 36 38.0	41		6634	9.0	24 15.19	3	+ 7 50 26.8	217	
6601	9.5	20 35.22	3	+ 7 6 33.6	37		6635	9.5	24 16.71	5	— 2 7 50.2	36	
—	9.2	20 34.99	4	+ 7 6 34.6	223		6636	9.0	24 20.78	3	+ 6 9 30.1	39	

No.	Grösse	Rectascension 1880.0 h m s	Fäden	Declination 1880.0 ° ′ ″	Zone	Bemerkungen
6637	10.0	17 24 23.25	3	— 8 11 44.4	142	
6638	9.0	24 29.42	3	— 7 51 12.9	215	
6639	9.0	24 42.89	3	— 12 54 58.1	43	
6640	10.0	24 52.93	4	+ 8 43 15.6	41	
—	10.0	24 52.90	3	+ 8 43 13.7	290	
6641	9.2	17 24 54.35	3	+ 7 19 22.2	364	
6642	9.4	25 12.73	3	+ 3 41 3.4	139	
6643	9.6	25 16.92	3	+ 6 7 25.9	223	n
6644	9.0	25 21.00	3	— 12 14 7.3	220	
6645	10.0	25 23.10	3	+ 0 34 45.9	44	
6646	9.0	17 25 25.95	3	— 13 35 35.2	221	
6647	9.0	25 29.83	3	— 12 14 53.1	220	
6648	9.0	25 32.88	4	+ 10 32 59.3	216	
6649	10.0	25 45.73	1	— 8 22 44.7	142	dpl. med.
—	10.0	25 45.29	3	— 8 22 45.9	215	
6650	7.0	17 25 49.00	4	+ 0 8 1.2	218	
6651	9.3	25 53.02	2	+ 0 52 53.1	140	n
—	9.2	25 53.19	3	+ 0 52 50.6	365	
6652	9.0	25 55.02	4	+ 7 39 7.6	39	
—	10.0	25 55.45	3	+ 7 39 7.6	217	
6653	9.8	17 25 56.43	2	+ 1 15 51.3	35	
6654	10.0	26 4.98	3	+ 7 38 44.0	217	n
6655	8.5	26 5.25	3	+ 5 23 23.8	45	
—	9.5	26 5.00	3	+ 5 23 21.0	222	
6656	10.0	26 8.43	3	+ 8 55 15.3	139	
6657	9.5	17 26 18.89	4	+ 6 8 20.7	223	
6658	9.0	26 19.98	3	— 16 3 45.2	42	
6659	8.0	26 25.70	3	+ 10 28 55.2	216	
6660	9.2	26 29.89	3	+ 0 29 52.2	288	
6661	10.0	26 30.58	1	— 8 39 19.9	215	u
—	10.0	17 26 30.95	2	— 8 39 20.2	293	
6662	9.2	26 31.81	3	— 9 31 59.8	292	
6663	8.5	26 33.37	4	— 0 32 9.8	36	
—	8.7	26 33.60	2	— 0 32 10.0	137	
6664	9.8	26 36.69	2	— 0 18 5.9	44	
6665	9.0	17 27 4.95	3	— 19 5 21.6	294	
6666	9.0	27 8.03	4	+ 9 11 37.9	290	
6667	8.9	27 10.06	5	+ 5 34 8.4	37	
6668	9.0	27 15.95	2	— 7 49 50.3	142	
—	8.3	27 16.06	4	— 7 49 52.0	365	
6669	8.0	17 27 16.39	4	+ 9 17 58.3	41	
6670	9.5	27 17.14	4	+ 8 49 20.9	139	
6671	9.0	27 31.98	3	+ 3 8 50.1	39	
6672	8.0	27 34.69	3	+ 10 41 44.2	216	n
6673	9.0	27 46.28	3	+ 4 52 52.2	217	
6674	9.5	17 27 51.07	3	— 0 42 42.7	35	
6675	8.0	27 51.39	2	+ 7 56 12.1	218	
6676	9.0	28 1.51	3	+ 1 56 19.8	36	
6677	7.5	28 6.39	3	+ 8 11 23.7	38	
—	7.5	28 6.83	3	+ 8 11 24.5	45	
6678	7.6	17 28 10.13	3	+ 8 15 8.3	140	
—	9.0	28 9.98	1	+ 8 15 9.6	218	u
—	8.0	28 10.14	5	+ 8 15 8.1	222	
—	7.2	28 10.08	4	+ 8 15 6.6	223	
6679	9.5	28 11.18	4	— 16 7 4.4	42	
6680	10.0	17 28 14.01	3	+ 1 54 49.5	44	
6681	9.5	28 14.55	3	+ 0 37 18.2	219	
6682	9.0	28 18.99	3	— 18 9 47.7	294	n
6683	10.0	28 22.92	3	+ 7 52 53.3	217	
6684	10.0	28 27.92	3	— 13 37 46.9	220	
6685	9.5	17 28 31.19	3	— 7 6 34.7	364	
6686	7.0	28 33.27	5	— 12 15 58.3	43	
6687	8.8	28 34.53	3	+ 4 23 20.1	139	n
6688	8.3	28 34.59	5	+ 9 17 50.6	41	
6689	10.0	28 35.19	2	+ 2 51 59.0	293	n
6690	9.0	17 28 42.58	4	+ 3 53 58.7	37	
6691	8.5	28 47.86	3	— 12 10 41.6	292	
6692	10.0	28 50.97	1	+ 2 6 41.3	219	
6693	8.0	28 53.70	3	— 14 33 46.0	295	
6694	9.0	28 54.62	3	+ 6 5 1.5	290	
—	8.0	17 28 54.78	4	+ 6 5 4.0	366	
6695	8.5	28 55.30	3	— 15 45 1.0	221	
6696	9.0	28 56.04	3	— 0 30 57.1	288	
6697	8.0	28 56.74	6	+ 6 6 27.6	365	
6698	9.5	28 57.63	1	— 0 31 27.5	137	
—	10.0	17 28 57.35	4	— 0 31 27.7	298	
6699	10.0	29 3.56	2	— 15 45 21.5	221	n d
6700	10.0	29 3.61	4	+ 2 10 34.9	297	
6701	10.0	29 9.61	3	+ 11 18 17.5	216	n
6702	10.0	29 13.74	3	— 8 12 53.3	215	
6703	8.8	17 29 28.93	3	+ 3 24 17.2	38	
6704	9.9	29 30.73	1	+ 1 12 14.0	44	
—	10.0	29 30.50	2	+ 1 12 10.4	223	
6705	9.0	29 39.78	3	— 13 41 34.7	220	
6706	9.8	29 54.42	3	+ 5 35 48.0	39	
6707	7.5	17 29 55.86	3	+ 11 26 52.6	216	
6708	9.0	30 0.58	4	— 14 42 26.0	43	
6709	7.8	30 0.79	3	+ 6 15 15.7	37	
—	8.5	30 0.56	4	+ 6 15 15.2	222	
6710	9.0	30 2.28	3	+ 5 46 27.3	139	
6711	9.8	17 30 2.36	3	+ 3 28 3.4	45	
6712	8.3	30 3.73	3	+ 0 30 29.6	35	
6713	9.0	30 6.58	4	— 12 0 31.8	364	
6714	10.0	30 6.88	2	+ 2 11 54.3	36	
6715	9.6	30 7.38	3	+ 7 35 12.2	217	
6716	9.0	17 30 13.81	3	+ 4 55 22.2	218	
6717	8.5	30 24.75	3	+ 6 41 56.5	140	dpl. bor.
6718	9.0	30 32.80	2	+ 6 23 37.0	217	
6719	9.5	30 34.04	3	— 8 18 50.8	142	
6720	6.0	30 43.23	5	— 15 29 47.1	42	u

No.	Grösse	Rectascension 1880.0 h m s	Fäden	Declination 1880.0 ° ′ ″	Zone	Bemerkungen
6721	9.0	17 30 46.02	3	+ 5 53 34.0	139	
6722	9.5	30 48.41	4	+ 6 5 21.4	290	n
6723	10.0	31 0.14	3	— 12 58 54.9	292	
6724	9.0	31 8.50	3	— 13 40 33.9	293	
6725	9.9	31 11.54	4	+ 9 48 38.1	41	u
6726	10.0	17 31 16.28	3	— 8 20 55.2	215	
6727	9.0	31 25.53	4	+ 9 55 35.6	216	
6728	9.0	31 30.31	1	— 5 6 3.3	293	
—	9.0	31 30.16	3	— 5 6 6.6	294	
6729	7.8	31 35.10	4	— 14 1 55.0	43	
6730	9.6	17 31 42.56	2	+ 1 46 30.2	35	a
6731	9.8	31 42.95	4	+ 8 12 56.4	37	
—	10.0	31 42.60	3	+ 8 12 59.3	217	
6732	10.0	31 50.80	3	— 13 24 44.0	221	
6733	8.5	31 50.96	4	+ 4 37 39.6	223	
6734	9.9	17 31 57.05	3	+ 1 48 36.2	36	
—	10.0	31 57.17	2	+ 1 48 35.0	219	
6735	10.0	32 10.23	3	+ 8 27 47.2	38	
6736	9.5	32 15.42	3	— 4 34 11.4	142	
6737	9.5	32 27.86	4	+ 4 17 30.7	364	
6738	10.5	17 32 34.30	1	+ 9 30 25.1	41	Durch Wolken.
—	10.0	32 34.16	5	+ 9 30 22.4	222	
6739	8.0	32 43.47	3	+ 7 13 3.1	39	
6740	10.0	32 45.30	2	— 9 17 33.6	221	
—	10.0	32 45.20	3	— 9 17 37.6	292	
—	9.0	17 32 45.40	3	— 9 17 36.5	294	
6741	9.9	32 50.04	3	— 12 41 51.0	43	
6742	7.0	33 1.17	5	+ 2 7 28.2	137	
—	7.5	33 1.11	4	+ 2 7 29.4	140	
—	8.0	33 1.10	5	+ 2 7 29.4	218	dpl.?
—	7.0	17 33 1.14	4	+ 2 7 27.5	223	
6743	9.5	33 12.39	4	+ 8 1 39.0	45	
6744	9.0	33 13.96	4	+ 4 29 45.7	139	
6745	9.0	33 16.19	3	+ 11 36 45.2	216	
6746	10.0	33 19.63	3	— 13 12 48.5	220	
6747	9.0	17 33 21.38	3	— 6 24 29.9	215	
—	10.0	33 21.38	3	— 6 24 33.3	293	
6748	9.9	33 22.77	3	+ 2 46 34.8	44	
6749	9.6	33 29.84	3	— 0 2 35.5	36	
6750	10.0	33 34.45	1	— 10 34 14.4	221	
—	9.5	17 33 34.67	3	— 10 34 15.4	294	
6751	9.0	33 37.65	3	+ 8 40 13.2	39	
6752	10.0	33 44.17	3	+ 3 51 46.9	38	
6753	9.0	33 44.67	4	+ 7 33 16.7	217	n
6754	9.0	33 55.85	3	+ 7 14 23.4	290	
6755	9.5	17 33 58.82	4	+ 7 7 54.1	37	
6756	9.3	34 11.21	3	— 2 10 22.2	35	n
6757	10.0	34 19.91	4	+ 2 11 26.9	140	
—	9.0	34 19.75	3	+ 2 11 24.4	223	
6758	9.8	34 28.15	3	— 0 39 11.1	44	
6759	10.0	17 34 29.71	2	— 9 10 12.1	43	
—	10.0	34 29.45	2	— 9 10 13.0	365	u
6760	9.0	34 38.54	3	+ 11 32 30.0	216	
6761	8.3	34 41.48	3	— 6 23 26.0	142	
—	9.0	34 41.24	1	— 6 23 30.3	215	
6762	10.0	17 34 48.83	3	+ 0 12 2.3	219	
6763	8.6	34 50.68	3	+ 8 39 9.0	222	
6764	8.0	34 52.16	2	+ 5 5 36.5	39	
6765	9.0	34 58.18	3	+ 4 54 6.8	38	
—	9.2	34 58.31	3	+ 4 54 8.7	139	
6766	10.0	17 34 59.13	4	+ 6 21 51.8	45	
6767	9.0	35 19.94	3	— 15 39 49.9	364	f
6768	8.0	35 24.68	2	+ 6 0 —	37	
6769	8.0	35 34.63	5	— 15 55 55.1	42	
6770	10.0	35 35.32	4	— 19 50 44.9	292	
6771	9.0	17 35 37.26	3	+ 6 0 24.3	37	
6772	10.0	35 40.78	3	+ 3 9 56.3	217	
6773	10.0	35 41.05	2	+ 3 22 12.3	139	
6774	9.3	35 45.74	3	+ 7 44 29.5	45	
6775	10.0	35 50.72	4	— 9 0 47.6	220	
6776	10.0	17 36 2.50	3	— 15 53 56.0	221	
6777	9.8	36 8.75	3	+ 10 37 33.6	216	
6778	9.0	36 23.27	3	— 14 56 44.2	43	
6779	10.0	36 35.17	3	+ 3 47 38.1	290	
6780	10.0	36 36.72	3	+ 0 17 32.2	36	a
—	10.5	17 36 36.60	3	+ 0 17 33.6	140	
6781	9.0	36 37.99	3	+ 10 30 8.9	222	
6782	10.5	37 5.10	1	+ 7 56 1.2	45	u
—	10.0	37 4.87	2	+ 7 56 1.6	223	
6783	9.0	37 6.82	3	— 9 15 34.9	220	
6784	10.0	17 37 14.90	4	+ 7 4 3.9	365	n
6785	9.0	37 15.71	3	— 14 21 51.5	221	
6786	9.5	37 16.55	3	+ 7 15 35.4	217	n
—	10.0	37 16.87	3	+ 7 15 37.1	290	
6787	9.5	37 19.26	3	+ 4 14 31.2	219	
6788	9.5	17 37 20.43	4	+ 0 20 20.5	297	
6789	10.0	37 28.08	3	+ 6 17 6.7	222	
6790	9.1	37 31.31	3	— 9 45 18.0	43	
6791	10.0	37 33.61	3	+ 2 27 18.5	293	
6792	9.0	37 41.71	3	— 4 30 13.6	142	
6793	10.0	17 37 48.91	3	— 6 28 8.6	215	
6794	8.0	37 56.33	3	+ 5 28 35.5	217	
—	8.0	37 56.52	3	+ 5 28 35.0	219	
6795	10.0	38 3.59	3	— 8 43 14.9	292	
6796	8.0	38 17.02	1	+ 7 21 28.4	217	n
6797	8.0	17 38 18.93	4	+ 9 26 54.1	222	
6798	9.0	38 19.96	2	+ 10 21 23.3	223	
6799	10.0	38 31.99	2	— 12 59 2.8	42	
—	9.5	38 32.04	3	— 12 59 1.1	294	
6800	9.0	38 32.96	3	— 14 23 37.6	221	

No.	Grösse	Rectascension 1880.0 (h m s)	Fäden	Declination 1880.0 (° ′ ″)	Zone	Bemerkungen
6801	9.0	17 38 34.96	3	— 2 54 31.1	293	
—	9.0	38 35.14	3	— 2 54 29.1	364	
6802	9.8	38 43.57	2	+ 7 52 25.5	45	
6803	10.0	38 44.94	3	+10 25 7.0	216	
6804	11.0	38 47.65	1	+ 1 46 29.1	295	s u
6805	8.0	17 38 50.78	2	+ 8 37 44.8	39	
—	9.0	38 50.50	1	+ 8 37 44.2	219	
6806	9.0	38 58.70	3	—11 31 36.9	43	
6807	10.0	39 3.57	2	+ 1 45 36.8	296	n u
—	10.0	39 3.53	2	+ 1 45 37.6	365	u
6808	9.0	17 39 32.15	3	+ 4 29 34.2	139	
6809	9.0	39 41.31	3	+ 5 28 37.9	37	
6810	10.0	39 52.51	3	— 6 47 6.5	215	
6811	9.5	39 54.78	4	+ 3 36 53.0	38	
—	9.7	39 55.40	1	+ 3 36 53.2	140	
—	9.0	17 39 55.29	3	+ 3 36 49.9	290	
—	9.0	39 55.22	3	+ 3 36 51.4	297	
6812	10.0	39 56.54	3	+10 4 36.3	216	
6813	10.0	39 59.26	3	+ 9 44 7.8	222	
6814	8.0	40 5.68	3	+ 9 45 3.4	222	
6815	9.0	17 40 6.34	3	+ 4 43 20.1	45	
—	9.0	40 6.35	3	+ 4 43 16.5	141	
6816	10.0	40 7.85	3	— 7 58 33.1	292	
6817	9.2	40 11.00	3	— 4 25 53.9	293	
6818	9.8	40 16.71	3	+ 1 25 5.0	36	
6819	7.0	17 40 22.36	4	— 6 48 53.2	142	
6820	9.0	40 34.05	3	+ 5 44 58.1	139	dpl.?
6821	8.0	40 37.47	3	+ 6 17 2.3	290	
6822	10.0	40 40.82	3	—13 11 30.5	220	
6823	10.0	40 43.46	4	+ 2 48 34.8	218	
6824	8.8	17 41 4.53	3	+ 6 53 15.4	39	
—	10.0	41 4.41	3	+ 6 53 18.5	217	
6825	9.5	41 5.78	4	+10 51 1.6	295	
6826	9.6	41 8.82	2	—13 23 52.2	43	
6827	8.0	41 13.77	2	+ 4 28 32.0	37	
—	7.5	17 41 13.67	3	+ 4 28 33.0	141	
6828	10.0	41 18.12	2	+ 1 36 51.5	44	
6829	10.0	41 23.31	2	—17 15 9.5	42	
6830	8.5	41 35.02	4	—19 44 9.8	292	
6831	9.7	41 42.22	3	— 8 35 16.7	142	
—	9.8	17 41 42.56	3	— 8 35 18.4	144	
6832	10.0	41 45.61	3	+11 28 6.8	216	n
6833	9.0	41 51.19	3	+ 4 59 26.8	38	
—	9.0	41 51.31	3	+ 4 59 26.3	290	
6834	7.8	41 54.89	3	+ 5 24 25.3	45	
6835	9.5	17 41 56.69	3	+ 2 51 51.1	35	n
6836	9.0	42 7.57	3	+ 1 23 53.0	293	
6837	10.0	42 7.80	4	— 6 40 12.4	215	n
6838	9.0	42 15.45	3	+ 4 16 50.6	217	n
6839	10.0	42 16.72	3	— 9 29 12.2	220	
6840	10.0	17 42 25.43	3	—12 56 50.7	294	
6841	9.0	42 28.08	3	+ 0 45 37.0	297	n
6842	9.0	42 32.59	1	+ 4 25 27.6	39	n
—	9.2	42 32.55	3	+ 4 25 23.8	140	
—	10.0	42 32.48	4	+ 4 25 23.0	222	
6843	8.8	17 42 33.09	4	+ 6 54 55.9	139	
6844	8.0	42 41.68	3	+ 1 48 11.8	137	
6845	9.0	42 44.88	3	—19 51 58.0	292	
6846	10.0	42 47.67	5	—10 43 41.4	296	
6847	9.9	42 48.51	2	— 4 9 10.5	142	
—	10.0	17 42 48.40	2	— 4 9 10.8	293	
—	10.0	42 48.62	3	— 4 9 11.7	299	
6848	10.0	42 55.08	4	— 8 46 57.4	364	
6849	10.0	42 58.06	3	+ 1 33 21.2	36	
—	10.0	42 58.04	3	+ 1 33 17.6	219	
6850	9.7	17 43 13.79	3	— 1 22 39.3	44	
6851	8.5	43 27.29	4	+ 6 12 3.6	225	
6852	9.0	43 28.75	3	+ 5 36 26.2	139	
6853	9.6	43 35.31	4	+ 8 35 8.9	45	
6854	9.0	43 38.91	3	+ 5 25 43.0	141	
6855	9.0	17 43 39.15	3	+ 5 51 57.4	37	
6856	9.0	43 42.31	3	+ 8 56 11.7	38	
6857	9.0	43 44.03	3	+10 22 45.5	216	n
6858	8.2	43 46.56	3	+ 1 46 12.4	137	
6859	9.0	43 49.36	4	+ 0 33 4.4	297	
6860	9.0	17 43 50.28	4	—14 17 31.5	220	
6861	9.8	43 58.41	3	+ 5 23 39.2	141	
—	8.0	43 58.49	2	+ 5 23 38.5	217	
—	9.0	43 58.62	4	+ 5 23 36.7	290	
6862	8.5	44 0.63	2	— 7 14 36.2	144	
—	9.0	17 44 0.47	3	— 7 14 40.1	299	
6863	8.0	44 7.64	1	+ 5 22 17.3	217	
6864	9.0	44 13.74	3	+ 3 44 53.4	140	
—	10.0	44 13.69	4	+ 3 44 50.1	223	
6865	10.0	44 17.24	2	— 0 31 35.3	44	
—	10.0	17 44 17.44	2	— 0 31 39.3	219	a
6866	9.3	44 22.63	5	—16 22 21.0	42	
6867	11.0	44 26.90	1	+ 4 57 30.5	222	n u
6868	9.0	44 36.50	3	—15 26 51.4	221	n
6869	9.5	44 47.42	3	— 4 8 59.5	142	
—	9.0	17 44 47.24	4	— 4 8 56.4	215	
6870	9.0	44 55.40	3	+ 9 30 37.0	216	n
6871	9.0	44 56.26	3	— 6 51 2.8	293	
6872	8.0	45 3.90	3	+ 6 10 0.9	37	
6873	9.3	45 16.93	3	— 1 6 35.9	36	
6874	9.0	17 45 16.97	3	+ 7 32 43.0	38	
6875	8.0	45 17.45	3	+ 1 33 33.1	137	
—	9.0	45 17.55	4	+ 1 33 33.1	295	
6876	10.0	45 21.83	1	—16 15 25.2	221	
—	10.0	45 22.01	3	—16 15 27.1	292	

No.	Grösse	Rectascension 1880.0 (h m s)	Fäden	Declination 1880.0 (° ′ ″)	Zone	Bemerkungen
—	11.0	17 45 22.23	2	— 16 15 26.6	298	
6877	9.2	45 23.42	4	+ 0 39 31.6	296	
6878	9.0	45 23.76	3	— 9 56 41.2	220	
6879	8.0	45 25.11	3	+ 5 36 22.5	39	
6880	10.0	45 39.27	3	— 6 22 30.6	142	
—	10.0	17 45 39.64	4	— 6 22 31.4	364	
6881	9.0	45 51.41	4	+ 8 20 34.7	139	
6882	8.0	45 55.04	3	+ 4 54 41.7	217	n
6883	9.0	45 56.47	3	+ 7 26 39.0	40	
—	8.0	45 56.51	3	+ 7 26 38.8	45	
6884	9.5	17 45 56.64	3	+ 5 59 28.4	140	
6885	9.0	46 2.56	4	— 7 31 0.5	144	n
6886	10.0	46 10.75	4	+ 7 11 1.6	223	n
—	10.0	46 10.82	3	+ 7 11 3.9	224	
6887	10.0	46 12.40	3	— 7 55 13.3	292	
6888	9.0	17 46 12.89	3	— 7 54 55.7	43	
6889	9.0	46 24.13	4	— 0 5 24.4	297	
6890	7.0	46 28.15	4	— 5 19 14.6	215	
6891	7.5	46 31.07	2	+ 6 47 57.6	225	
6892	10.0	46 36.11	3	+ 9 0 14.8	216	
6893	10.0	17 46 43.23	3	+ 0 17 30.6	293	
6894	7.0	46 47.58	6	— 2 32 53.5	36	
6895	10.0	46 49.85	4	+ 7 30 46.1	37	
—	10.0	46 49.81	3	+ 7 30 48.3	290	
6896	8.6	46 50.66	3	+ 0 22 9.5	137	
—	8.7	17 46 50.51	4	+ 0 22 9.2	296	
6897	9.5	46 50.85	3	+ 1 14 28.5	219	
—	9.2	46 50.68	4	+ 1 14 29.5	295	
6898	9.7	46 53.67	3	+ 2 6 14.2	44	
6899	10.0	46 59.01	2	+ 1 13 3.1	140	n
—	10.0	17 46 58.96	3	+ 1 12 57.9	141	
—	9.5	46 59.00	3	+ 1 12 58.6	294	
6900	9.8	47 4.04	3	— 8 43 52.8	142	
6901	7.6	47 7.83	3	+ 7 45 47.2	139	
6902	9.0	47 14.92	3	— 14 52 49.8	221	
6903	10.0	17 47 15.48	3	+ 9 50 17.6	216	
6904	11.0	47 19.01	1	— 13 6 40.6	42	n u
6905	10.0	47 25.90	3	— 12 58 26.5	220	
—	10.0	47 25.98	2	— 12 58 25.1	300	
6906	7.0	47 40.74	3	+ 4 53 11.4	217	
6907	9.0	17 47 43.44	3	+ 9 0 35.4	222	
6908	9.5	47 44.41	4	+ 10 57 35.8	290	
6909	9.0	47 48.15	4	+ 6 56 16.3	223	
6910	9.8	47 49.00	3	— 6 48 7.8	43	a
—	10.0	47 48.73	3	— 6 48 10.0	215	a
6911	9.0	17 47 50.07	4	+ 0 39 17.7	296	
—	9.0	47 49.83	4	+ 0 39 17.1	297	
6912	9.6	47 57.56	3	+ 3 12 58.0	38	
—	10.0	47 57.70	2	+ 3 12 59.7	139	
6913	9.0	47 58.35	4	+ 0 43 35.0	295	

No.	Grösse	Rectascension 1880.0 (h m s)	Fäden	Declination 1880.0 (° ′ ″)	Zone	Bemerkungen
6914	8.5	17 47 59.90	3	+ 7 4 48.5	225	
6915	9.0	48 0.76	3	+ 7 19 42.7	39	
—	9.2	48 0.78	3	+ 7 19 39.3	224	
6916	9.5	48 8.66	2	+ 7 21 34.2	40	
—	9.9	48 8.64	4	+ 7 21 33.0	45	
6917	7.0	17 48 14.00	4	— 11 36 30.1	298	
6918	10.0	48 15.44	3	+ 10 46 12.3	216	
6919	8.0	48 20.77	3	+ 2 46 34.3	219	
6920	10.0	48 25.14	4	+ 1 13 55.2	141	
6921	9.7	48 25.13	3	+ 2 36 19.7	36	u
—	9.0	17 48 25.46	3	+ 2 36 19.4	137	
6922	9.5	48 28.18	3	— 12 2 44.1	294	n
6923	10.0	48 29.92	3	+ 3 20 50.9	48	
6924	7.5	48 39.85	3	— 7 26 53.6	142	
6925	8.0	48 49.35	3	— 25 39 1.4	42	
6926	9.6	17 48 54.60	3	— 16 43 27.1	221	
6927	9.0	48 56.57	3	+ 11 7 59.6	222	
6928	10.0	49 4.95	3	+ 3 12 8.8	139	
6929	9.0	49 14.08	3	+ 0 41 24.3	295	
—	9.0	49 14.10	3	+ 0 41 23.0	296	
—	8.0	17 49 14.26	3	+ 0 41 22.9	297	
6930	10.0	49 16.35	3	+ 3 15 16.9	140	
6931	9.0	49 19.61	4	+ 6 54 58.5	223	
—	9.0	49 19.54	4	+ 6 54 57.0	225	
6932	9.8	49 26.—	—	+ 7 8 33.2	45	n u
6933	9.8	17 49 26.82	3	+ 3 46 30.0	217	
6934	10.0	49 35.93	3	+ 5 58 14.5	290	n
6935	9.9	49 36.14	3	+ 2 30 0.0	44	
6936	9.0	49 36.26	4	— 2 45 3.1	299	
6937	8.0	49 39.17	3	+ 8 55 21.9	38	
—	8.0	17 49 39.02	3	+ 8 55 20.2	226	
6938	10.0	49 41.18	3	— 6 39 4.6	215	
6939	9.0	49 42.07	3	— 13 25 18.7	220	
—	9.5	49 42.21	3	— 13 25 20.0	300	
6940	10.0	49 45.35	3	— 7 22 2.4	43	
—	9.0	17 49 45.24	3	— 7 22 4.5	142	
—	9.5	49 45.40	4	— 7 22 4.3	144	
6941	9.0	49 47.76	3	— 16 31 55.1	221	
6942	10.0	49 52.71	3	— 7 1 12.8	364	
6943	8.0	50 0.40	4	+ 10 41 5.4	216	
6944	9.6	17 50 1.64	3	+ 1 27 8.6	137	n
6945	9.7	50 4.75	3	+ 7 22 53.7	39	
—	9.5	50 4.85	3	+ 7 22 54.6	224	
6946	10.0	50 14.41	3	+ 7 4 18.5	217	n
6947	8.0	50 16.25	3	+ 3 0 20.9	219	
6948	8.5	17 50 16.47	3	— 16 38 21.1	221	
6949	8.0	50 16.75	3	+ 4 51 12.7	40	
—	7.5	50 16.73	3	+ 4 51 13.5	139	
6950	7.0	50 18.46	3	+ 9 46 29.3	222	
6951	10.0	50 25.40	3	+ 7 31 44.3	223	n

No.	Grösse	Rectascension 1880.0 h	m	s	Fäden	Declination 1880.0 °	′	″	Zone	Bemerkungen
6952	8.6	17	50	38.19	3	− 7	15	18.4	144	
6953	9.8		50	40.70	3	+ 3	35	20.8	37	
6954	9.0		50	52.93	2	−16	46	—	42	
—	8.5		50	52.76	3	−16	46	46.7	293	
—	10.0		50	52.43	3	−16	46	45.7	298	
6955	9.0	17	51	5.21	3	+ 5	53	46.0	38	
6956	9.8		51	7.66	3	−13	10	21.6	220	
6957	9.2		51	13.65	3	+ 6	4	40.8	140	
6958	10.0		51	17.17	3	− 9	18	27.4	292	
6959	8.3		51	24.84	3	+ 4	54	14.1	141	
6960	10.0	17	51	29.26	3	− 5	40	11.3	215	
6961	10.0		51	32.54	2	− 4	35	53.8	44	
6962	9.5		51	34.02	1	− 9	5	28.0	293	
—	9.5		51	33.65	3	− 9	5	24.4	294	
6963	10.0		51	48.14	1	+ 7	52	14.8	223	s
—	11.0	17	51	48.50	1	+ 7	52	14.6	290	
6964	9.8		51	57.19	3	+11	32	49.0	216	
6965	9.0		51	59.21	2	+ 6	37	42.5	39	
—	9.0		51	59.56	3	+ 6	37	41.1	226	
6966	11.0		51	59.46	1	+ 4	15	51.3	219	s u
—	10.0	17	51	59.80	2	+ 4	15	44.6	225	s u
6967	9.6		52	1.23	3	+ 3	14	5.5	48	
6968	9.0		52	13.68	3	+ 9	30	12.2	222	
6969	10.0		52	14.34	3	− 1	24	39.7	36	
6970	8.5		52	23.41	2	+ 6	27	25.5	40	
—	9.0	17	52	23.47	3	+ 6	27	22.8	139	
6971	9.5		52	25.96	3	+ 5	18	39.7	224	
6972	10.0		52	26.19	1	+ 3	7	46.2	224	
—	10.0		52	26.05	1	+ 3	7	47.5	225	s u
6973	9.5		52	27.98	1	+ 4	28	34.3	223	
6974	10.0	17	52	36.06	2	+ 8	4	36.5	217	
6975	9.0		52	49.77	4	− 6	50	41.3	215	dpl. austr.
6976	10.0		52	53.17	3	+ 0	14	18.6	137	
6977	9.3		52	53.19	3	− 8	19	7.0	144	
6978	9.0		53	14.28	3	+ 8	43	49.8	222	
6979	10.0	17	53	17.91	3	+11	2	29.9	216	n A
—	10.0		53	18.08	3	+11	2	28.8	290	
6980	10.5		53	19.89	2	+ 3	20	12.5	48	u s
—	10.0		53	19.68	3	+ 3	20	12.4	141	
6981	9.5		53	20.40	3	+11	4	34.1	364	
6982	9.5	17	53	26.52	3	− 2	35	48.0	365	
6983	9.0		53	28.48	3	− 6	57	55.8	144	
6984	8.8		53	40.68	3	+ 8	14	3.7	139	
—	9.0		53	40.68	3	+ 8	14	0.6	226	
6985	10.0		53	44.77	3	− 9	30	10.7	220	
6986	10.0	17	53	48.66	3	+ 2	21	40.1	293	
6987	7.5		53	48.66	3	+ 5	43	5.4	140	
—	9.0		53	48.77	3	+ 5	43	5.0	295	
6988	9.0		53	55.39	3	−13	46	20.2	221	
6989	9.0		54	1.33	3	+ 5	46	16.2	223	
6990	10.0	17	54	5.16	2	+ 2	21	13.9	294	f
6991	9.5		54	10.74	3	+ 1	6	15.9	44	
6992	8.0		54	18.17	3	− 7	32	57.1	142	
6993	9.2		54	19.10	4	+ 6	56	41.0	141	
6994	9.0		54	20.90	2	+11	2	34.1	222	
6995	9.8	17	54	21.03	3	+10	55	48.6	216	
6996	9.0		54	26.08	1	+ 4	32	44.8	223	
6997	8.0		54	33.26	3	+10	30	26.3	224	
—	8.5		54	33.21	3	+10	30	25.3	297	
6998	9.0		54	33.75	3	+ 2	44	4.1	296	
6999	9.9	17	54	37.30	3	− 1	11	51.2	47	
7000	9.5		54	40.11	3	+ 4	35	2.5	40	
—	9.3		54	40.26	2	+ 4	34	59.2	48	
7001	9.0		54	44.51	4	−13	37	47.7	364	
7002	9.0		54	55.98	4	− 7	33	48.8	215	
7003	11.0	17	54	58.71	3	+ 6	51	8.4	226	A
7004	8.0		55	10.54	3	+10	29	47.6	222	
7005	10.0		55	17.32	2	+ 4	42	28.9	140	
7006	9.0		55	18.40	3	+ 5	34	13.0	225	
7007	9.0		55	20.73	1	+ 7	38	31.6	217	
—	9.0	17	55	20.29	3	+ 7	38	30.9	297	
7008	9.0		55	21.94	4	−14	29	29.2	221	
7009	9.0		55	24.71	3	+11	4	52.3	216	
7010	9.0		55	34.90	3	+ 1	54	19.4	293	
7011	9.0		55	36.86	3	+ 6	54	21.5	224	
7012	9.3	17	55	37.40	4	+ 1	32	59.9	44	
7013	9.0		55	38.63	3	+ 5	56	24.6	141	
7014	9.8		55	45.73	3	+ 1	17	29.2	47	
7015	9.0		55	56.91	4	−12	20	41.4	220	
7016	9.3		56	1.40	3	− 0	55	16.8	36	
—	9.2	17	56	1.50	3	− 0	55	15.7	296	
7017	9.0		56	2.17	3	+ 0	52	35.6	294	
7018	9.0		56	18.91	3	+ 3	28	12.0	290	
7019	9.3		56	19.37	2	− 0	54	—	36	
—	9.2		56	19.47	2	− 0	54	56.7	296	
—	9.2	17	56	19.76	4	− 0	54	54.7	298	
7020	9.5		56	22.95	3	+ 3	2	38.3	38	
7021	10.0		56	24.51	2	+ 4	50	25.2	37	s
—	9.8		56	24.57	1	+ 4	50	27.2	224	
7022	9.5		56	25.44	3	+ 1	10	4.5	293	
7023	9.5	17	56	25.73	3	+11	2	23.0	216	
7024	8.5		56	30.50	3	− 6	54	31.5	142	
7025	10.0		56	33.34	3	+11	5	7.2	222	
7026	9.0		56	36.21	3	− 7	40	3.7	215	
7027	9.2		56	42.74	3	+ 7	45	44.7	48	
—	10.0	17	56	42.79	3	+ 7	45	44.2	226	u
7028	9.5		56	42.94	3	− 2	13	19.3	137	
7029	9.0		56	43.32	2	+ 4	17	0.7	39	
—	9.5		56	43.74	3	+ 4	17	3.9	217	
—	9.3		56	43.78	3	+ 4	17	1.2	223	

No.	Grösse	Rectascension 1880.0 h m s	Fäden	Declination 1880.0 ° ′ ″	Zone	Bemerkungen
7030	9.0	17 56 43.98	2	— 2 36 36.0	219	
—	9.2	56 43.89	4	— 2 36 35.6	297	
7031	8.0	56 45.15	4	— 8 15 2.6	144	
7032	9.0	56 45.28	3	+ 1 36 10.6	295	
7033	9.9	56 52.94	2	+ 0 24 34.5	47	
7034	9.0	17 56 54.88	3	+ 10 30 6.0	225	
7035	10.0	57 7.69	3	— 15 21 31.1	221	n
7036	10.0	57 8.23	3	— 14 33 30.6	220	
7037	9.8	57 16.20	3	+ 8 3 16.9	40	
—	9.1	57 16.27	3	+ 8 3 20.3	139	
7038	10.0	17 57 22.17	4	+ 4 48 23.9	140	
—	10.0	57 22.67	3	+ 4 48 23.6	364	
—	10.0	57 22.35	4	+ 4 48 24.0	367	
7039	10.0	57 23.39	2	+ 1 41 46.2	293	
7040	9.3	57 27.96	3	+ 4 46 39.6	45	
—	9.0	17 57 27.97	4	+ 4 46 37.5	290	
7041	10.0	57 28.95	5	— 8 51 0.4	43	
7042	10.0	57 29.78	2	+ 2 39 5.5	141	n
7043	8.7	57 34.34	3	— 6 23 32.8	366	
7044	8.0	57 40.69	3	— 10 54 47.1	300	
7045	10.5	17 57 45.77	1	— 6 55 6.9	144	u
—	10.5	57 45.19	2	— 6 55 5.3	215	
7046	9.0	57 50.03	3	+ 5 16 33.6	38	
7047	8.0	58 1.46	5	— 29 16 55.2	42	
7048	9.9	58 15.36	4	+ 7 2 6.0	48	
—	9.5	17 58 15.33	2	+ 7 2 7.1	226	
7049	10.0	58 20.43	3	+ 9 51 41.2	216	
7050	9.5	58 20.92	4	— 12 24 58.7	220	
—	10.0	58 21.13	3	— 12 25 0.9	365	
7051	9.5	58 22.23	3	— 13 45 19.0	221	
7052	8.5	17 58 23.81	4	— 29 26 22.0	51	
7053	9.8	58 24.11	4	+ 6 33 12.1	37	
7054	10.0	58 28.95	1	+ 1 57 47.7	219	n
—	10.0	58 29.41	3	+ 1 57 49.1	298	
7055	8.0	58 32.17	4	— 6 21 22.9	143	
7056	9.0	17 58 33.06	4	+ 11 8 21.2	222	
7057	10.0	58 41.81	2	+ 5 2 39.7	139	a
7058	7.5	58 51.16	3	— 11 1 33.2	300	
7059	9.0	58 57.01	3	+ 5 15 39.3	224	
—	9.5	58 57.06	4	+ 5 15 39.0	364	
7060	9.6	17 58 57.11	3	+ 3 13 7.3	40	
—	9.5	58 56.91	3	+ 3 13 7.2	45	
7061	9.0	59 3.97	3	+ 6 34 30.8	140	
7062	10.0	59 4.02	4	+ 5 22 12.6	141	
—	10.0	59 4.09	4	+ 5 22 13.2	217	
7063	9.0	17 59 15.45	3	— 5 37 13.3	293	
7064	10.0	59 20.67	3	— 16 41 45.8	221	
—	10.0	59 20.73	3	— 16 41 47.8	366	
7065	5.0	59 23.60	6	+ 2 31 37.7	137	dpl., sehr eng.
—	3.0	59 23.70	6	+ 2 31 35.1	223	
7066	10.0	17 59 24.12	3	+ 3 24 23.7	48	
7067	10.0	59 24.94	3	+ 5 3 18.8	38	
7068	9.0	59 25.95	4	+ 9 22 36.9	225	n
7069	10.0	59 32.10	3	+ 10 6 51.9	216	
7070	9.6	59 36.89	3	+ 8 27 1.0	37	
—	10.0	17 59 36.94	2	+ 8 27 4.6	139	
7071	10.0	59 40.73	1	+ 3 43 47.5	217	
7072	8.5	59 42.84	2	+ 10 13 5.7	216	
—	8.6	59 42.77	4	+ 10 13 2.8	222	
7073	9.5	59 44.82	4	— 14 43 43.2	295	
7074	9.7	17 59 50.20	3	+ 7 8 54.0	47	
7075	9.0	59 53.31	3	— 6 43 42.1	143	
7076	10.0	18 0 11.76	3	— 14 23 50.8	220	
7077	9.0	0 11.62	1	— 15 40 19.8	221	
—	10.0	0 11.97	4	— 15 40 19.2	292	
7078	10.0	18 0 12.77	2	+ 5 3 16.5	45	
—	9.7	0 12.67	3	+ 5 3 14.0	226	
7079	9.3	0 13.17	4	— 29 44 35.7	51	
—	9.0	0 13.30	2	— 29 44 30.4	299	
7080	9.0	0 13.99	3	— 1 2 54.3	296	
7081	9.8	18 0 16.19	3	+ 3 23 38.7	40	
—	9.0	0 16.35	3	+ 3 23 35.6	140	
7082	9.0	0 26.31	3	+ 4 6 57.7	39	
7083	10.0	0 30.89	3	— 0 31 2.0	44	a
—	10.0	0 30.85	3	— 0 31 3.9	297	
7084	10.0	18 0 32.86	3	— 6 31 44.8	142	
7085	9.0	0 34.25	4	— 14 59 59.8	42	
7086	9.7	0 36.17	2	+ 4 49 16.7	226	
7087	9.0	0 47.—	—	— 0 32 48.0	36	
—	10.0	0 47.65	4	— 0 32 49.6	365	
7088	10.0	18 0 51.46	3	— 7 24 20.2	215	
7089	10.0	0 55.73	1	+ 3 43 17.0	217	n
7090	9.0	0 56.78	3	— 2 3 30.1	300	
7091	9.0	0 58.24	3	+ 6 58 40.9	140	
7092	10.0	1 1.64	3	— 7 20 5.7	298	
—	11.0	18 1 1.—	—	— 7 20 0.8	366	Decl.+1′corr.
—	11.0	1 1.76	2	— 7 19 59.8	367	u
7093	9.0	1 1.64	3	+ 8 30 26.9	48	
7094	9.0	1 2.13	4	+ 10 15 10.1	225	
7095	10.0	1 3.45	2	+ 4 57 58.9	141	
—	10.5	18 1 3.06	3	+ 4 57 56.7	301	
7096	8.0	1 30.54	3	— 22 10 33.8	51	
7097	10.0	1 32.37	3	+ 5 16 16.9	38	
7098	8.0	1 33.86	3	— 12 42 33.9	220	
7099	10.5	1 47.93	3	— 5 58 43.5	297	
7100	10.0	18 1 51.91	3	— 17 31 23.1	221	
7101	9.0	1 56.36	3	+ 8 2 51.5	226	n
7102	9.0	1 59.19	3	+ 3 37 55.6	39	
7103	10.0	2 5.27	2	+ 3 37 —	39	
—	9.0	2 5.38	4	+ 3 37 29.8	302	

No.	Grösse	Rectascension 1880.0 h m s	Fäden	Declination 1880.0 ° ′ ″	Zone	Bemerkungen
7104	9.9	18 2 6.77	2	+ 1 18 8.5	47	
—	9.5	2 6.60	3	+ 1 18 7.3	296	
7105	10.0	2 7.05	2	+ 4 48 38.6	45	n
7106	9.3	2 7.23	3	+ 2 35 20.1	137	
7107	10.0	2 17.29	3	+ 4 47 59.2	301	
7108	9.3	18 2 20.19	3	+ 3 41 44.7	140	
7109	10.0	2 31.71	2	+ 3 23 24.3	40	
—	9.5	2 31.58	3	+ 3 23 20.6	48	
7110	9.5	2 35.25	2	− 7 21 51.6	43	
7111	10.0	2 35.89	2	− 6 28 32.3	49	s f
—	10.0	18 2 35.84	3	− 6 28 31.0	215	
7112	10.0	2 40.76	2	− 17 33 0.0	42	
7113	9.0	2 41.98	3	− 16 51 24.2	221	
7114	9.7	2 49.14	4	+ 6 15 19.8	38	
—	10.0	2 49.04	3	+ 6 15 21.7	141	
7115	10.0	18 2 49.42	3	− 12 44 23.7	220	
7116	9.0	2 53.80	3	− 10 50 21.2	300	
7117	9.0	2 54.20	4	+ 7 54 19.2	224	
7118	7.0	2 54.54	5	− 13 57 9.9	292	
7119	7.5	2 59.61	3	− 4 35 30.5	142	n
7120	9.0	18 3 1.57	4	+ 11 23 40.3	225	n
7121	10.0	3 7.25	3	− 18 57 6.6	51	
7122	9.5	3 7.37	3	+ 9 12 22.2	143	
7123	9.0	3 9.22	3	+ 9 58 20.0	222	
7124	9.0	3 26.26	3	+ 2 34 52.3	137	
7125	8.0	18 3 36.34	2	− 16 46 12.0	221	A
7126	9.0	3 38.41	3	+ 9 7 57.2	216	
7127	9.5	3 38.57	3	+ 0 23 46.6	302	
7128	10.0	3 41.14	2	+ 5 25 51.4	39	
—	10.0	3 40.94	3	+ 5 25 52.3	226	
7129	10.0	18 3 42.98	2	+ 4 58 43.7	37	a
—	9.2	3 43.34	3	+ 4 58 45.5	139	
7130	9.2	4 4.96	3	+ 5 56 43.9	38	
7131	8.0	4 11.69	3	− 17 24 22.8	42	
7132	9.6	4 12.17	2	+ 10 45 12.0	48	a
—	9.2	18 4 11.86	4	+ 10 45 12.8	225	
7133	10.0	4 14.20	1	− 4 9 17.6	43	
7134	8.0	4 16.18	3	− 16 43 34.2	292	
7135	9.0	4 16.60	3	+ 3 51 22.7	296	
7136	9.5	4 19.63	3	− 0 18 57.3	301	
7137	9.0	18 4 27.07	3	+ 9 15 24.4	216	
7138	10.0	4 33.26	1	+ 4 54 53.2	53	n
—	10.0	4 33.78	1	+ 4 54 56.2	226	
7139	10.0	4 36.51	3	+ 7 54 21.5	224	n
7140	8.5	4 41.57	3	+ 8 48 29.3	143	n
7141	7.0	18 4 47.28	4	− 11 19 57.3	220	
7142	9.0	4 50.89	4	+ 8 27 11.2	223	
7143	9.0	4 55.56	4	− 16 45 1.0	51	n
7144	10.0	4 58.78	3	+ 3 55 33.0	219	n
7145	8.0	5 5.85	4	− 0 40 54.0	294	

No.	Grösse	Rectascension 1880.0 h m s	Fäden	Declination 1880.0 ° ′ ″	Zone	Bemerkungen
7146	9.3	18 5 6.68	3	+ 3 15 33.0	37	
—	8.4	5 6.76	3	+ 3 15 32.3	140	
7147	9.8	5 10.42	2	− 6 3 —	49	
—	8.0	5 10.31	4	− 6 3 7.0	142	
—	9.0	5 10.46	3	− 6 3 5.1	215	
7148	6.0	18 5 31.63	4	− 16 24 23.1	42	
7149	9.2	5 37.66	3	+ 0 5 43.0	301	
7150	10.0	5 38.21	1	+ 7 37 48.6	38	a
—	10.0	5 38.45	3	+ 7 37 51.6	45	
7151	9.7	5 38.50	3	+ 5 24 35.8	39	
7152	8.0	18 5 43.67	3	− 16 2 2.1	221	
7153	8.0	5 47.88	4	− 27 14 35.4	298	
7154	9.7	5 49.05	3	+ 3 3 20.2	40	
—	10.0	5 48.94	3	+ 3 3 16.3	139	
7155	8.0	5 49.94	4	+ 1 46 16.2	36	
7156	7.0	18 5 50.65	1	+ 5 26 51.2	226	
7157	11.0	5 50.76	1	+ 7 19 30.1	44	n
7158	9.0	6 2.39	3	+ 11 31 32.7	216	
—	9.1	6 2.33	4	+ 11 31 29.4	225	
7159	10.0	6 3.12	3	+ 1 19 45.8	46	
—	10.0	18 6 3.18	3	+ 1 19 44.4	293	
7160	9.0	6 4.08	3	− 6 4 49.3	142	
7161	9.7	6 15.08	4	+ 2 49 19.2	47	
7162	8.5	6 30.99	3	+ 6 50 7.6	141	
7163	9.2	6 31.11	3	+ 11 17 33.2	216	
7164	8.8	18 6 31.92	3	+ 4 12 9.7	48	
—	9.0	6 31.95	3	+ 4 12 12.1	140	
7165	9.8	6 32.22	4	+ 5 17 27.6	37	n
—	9.0	6 32.37	4	+ 5 17 27.4	223	
7166	10.0	6 38.89	3	+ 5 26 11.6	53	n
—	9.0	18 6 38.63	1	+ 5 26 13.7	226	
7167	9.0	6 44.20	3	− 0 14 41.3	294	
—	9.5	6 44.32	3	− 0 14 39.9	365	
7168	8.0	6 46.03	2	− 17 11 —	51	
—	8.0	6 46.13	3	− 17 11 14.1	292	
7169	8.9	18 6 46.11	4	− 6 48 26.0	43	
7170	9.8	6 46.52	2	+ 7 28 3.5	139	
—	10.0	6 46.23	3	+ 7 28 3.1	366	
7171	8.0	6 46.86	3	− 17 10 22.3	51	
7172	9.0	6 47.48	2	− 19 1 11.2	42	
7173	8.9	18 6 49.51	4	+ 11 13 45.7	54	
7174	10.5	6 50.49	1	+ 2 6 20.3	141	u
—	11.0	6 50.85	1	+ 2 6 —	219	s u
—	10.5	6 50.—	—	+ 2 6 14.0	367	
—	11.0	6 50.95	1	+ 2 6 18.8	368	s u
7175	9.0	18 6 51.28	3	+ 1 43 7.3	301	
7176	8.5	7 0.24	4	− 3 26 11.8	297	
7177	9.0	7 15.50	3	+ 7 26 24.8	296	
7178	9.0	7 17.71	3	+ 3 0 45.3	38	
7179	8.0	7 24.00	3	− 18 10 57.4	292	

No.	Grösse	Rectascension 1880.0 h	m	s	Fäden	Declination 1880.0 °	′	″	Zone	Bemerkungen
7180	10.5	18	7	25.76	1	+ 1	43	37.3	46	s u
—	10.0		7	25.95	3	+ 1	43	40.0	224	
7181	9.0		7	31.06	4	— 23	5	0.4	298	
7182	10.0		7	32.56	2	+ 10	51	29.1	143	n
7183	9.2		7	37.96	3	+ 12	11	56.7	225	n
7184	9.3	18	7	39.67	3	+ 3	18	10.6	39	
7185	9.7		7	48.89	3	+ 4	37	10.9	40	
—	8.0		7	48.96	4	+ 4	37	11.6	45	
7186	9.5		7	51.29	3	— 8	24	23.7	142	
7187	9.0		7	52.78	3	+ 0	10	4.1	294	
7188	9.0	18	7	56.79	3	+ 0	22	30.0	36	
7189	7.5		7	57.98	2	— 18	34	59.8	51	
—	9.0		7	57.87	3	— 18	34	54.5	299	
7190	10.0		7	58.74	3	— 14	53	55.4	220	
7191	10.0		8	5.66	2	+ 2	48	5.0	44	
7192	10.0	18	8	6.87	4	+ 5	16	15.2	48	
7193	10.0		8	13.92	3	+ 5	19	45.5	54	
—	9.0		8	13.85	4	+ 5	19	45.8	226	
7194	9.0		8	17.22	3	— 17	8	22.1	300	
7195	10.0		8	18.46	3	+ 5	42	42.7	53	
7196	11.0	18	8	20.23	1	+ 1	38	47.7	224	u
—	10.5		8	20.—	—	+ 1	38	47.9	366	u
7197	10.0		8	35.47	3	+ 8	51	7.4	37	
7198	10.0		8	38.73	1	+ 7	50	5.5	39	
7199	9.0		8	41.37	3	+ 1	43	19.6	301	
7200	9.0	18	8	47.17	3	— 17	0	24.4	42	
7201	10.0		8	51.19	3	— 27	26	56.8	299	
7202	9.5		8	51.84	2	— 14	46	6.6	298	f
7203	9.0		8	54.98	2	+ 11	1	10.7	143	
7204	10.0		8	58.24	3	+ 1	43	58.5	144	
7205	9.5	18	8	58.62	4	— 8	31	22.1	303	
7206	10.0		9	2.97	3	— 16	2	24.7	292	
7207	9.5		9	9.16	4	+ 7	47	53.3	38	
7208	10.0		9	9.62	3	+ 4	10	46.8	48	
7209	8.8		9	9.98	4	+ 8	56	35.9	145	
7210	9.5	18	9	10.67	3	— 16	52	52.7	300	
7211	9.0		9	15.54	4	+ 7	33	14.3	45	
7212	9.0		9	16.37	5	+ 11	58	24.1	225	n
7213	10.0		9	16.39	3	— 16	50	18.6	221	n
7214	9.0		9	23.24	3	+ 0	10	35.7	294	
7215	8.8	18	9	24.01	3	+ 7	56	2.7	139	
7216	7.0		9	24.14	3	— 3	23	38.3	142	
7217	10.5		9	26.53	2	+ 1	7	53.3	46	s u
—	10.0		9	26.48	3	+ 1	7	49.7	293	
7218	9.7		9	41.60	4	— 8	22	32.9	43	
—	10.0	18	9	41.58	3	— 8	22	36.1	297	
7219	10.0		9	46.68	4	— 14	41	50.1	220	
7220	10.0		9	46.79	3	+ 3	57	38.6	37	a
—	10.0		9	46.95	4	+ 3	57	38.3	226	
7221	9.0		9	53.37	4	+ 7	8	41.2	40	n

No.	Grösse	Rectascension 1880.0 h	m	s	Fäden	Declination 1880.0 °	′	″	Zone	Bemerkungen
—	8.9	18	9	53.43	4	+ 7	8	36.2	53	
7222	8.0		10	1.75	4	— 27	54	22.9	51	
7223	9.0		10	11.38	3	— 4	4	33.4	296	
7224	9.6		10	11.60	3	+ 8	5	44.2	139	
7225	10.0		10	13.18	3	— 13	52	31.1	292	
7226	10.5	18	10	15.20	3	+ 1	19	39.9	47	s u
—	11.0		10	15.35	4	+ 1	19	38.1	223	
7227	9.0		10	19.13	5	— 16	58	9.3	42	
7228	9.8		10	19.55	4	+ 0	9	43.0	49	
7229	10.5		10	24.87	3	+ 1	24	54.1	140	
7230	9.0	18	10	32.53	3	+ 2	28	54.0	301	n
7231	10.0		10	41.75	3	+ 1	6	16.0	141	
—	10.0		10	41.60	3	+ 1	6	12.6	293	
7232	10.0		10	43.59	3	— 16	53	54.2	221	
7233	8.5		10	46.77	4	+ 2	59	55.8	36	
7234	9.0	18	10	53.16	4	— 7	19	38.5	303	
7235	9.0		10	56.11	3	— 1	51	50.2	296	
7236	10.0		10	58.17	3	+ 10	13	30.5	145	
7237	9.5		10	58.41	4	+ 9	31	44.2	143	
7238	10.0		11	5.06	3	+ 11	14	50.8	54	n
7239	8.5	18	11	13.58	2	+ 2	54	44.5	226	
7240	10.0		11	14.87	1	+ 1	15	39.5	141	
—	10.0		11	15.20	1	+ 1	15	35.5	144	u
7241	9.0		11	32.65	5	+ 5	7	50.3	37	
7242	11.0		11	34.06	2	+ 2	3	28.1	294	u
7243	9.0	18	11	34.71	4	— 23	6	40.3	51	
7244	9.0		11	35.03	5	+ 18	9	3.6	228	
7245	10.0		11	38.39	2	+ 11	8	26.2	145	
—	10.0		11	38.20	4	+ 11	8	25.0	225	
7246	9.0		11	40.31	3	+ 4	53	38.4	39	
7247	9.0	18	11	41.20	3	— 21	30	16.7	221	
7248	9.8		11	44.73	3	— 22	59	40.7	42	
7249	10.0		11	46.31	2	+ 3	54	1.5	40	
—	10.0		11	46.57	3	+ 3	53	58.2	48	
7250	10.0		11	47.28	2	— 21	20	44.9	299	
7251	8.0	18	11	54.98	3	— 5	59	19.6	142	
7252	8.9		11	59.08	4	+ 3	26	9.6	53	
7253	11.0		12	5.27	1	+ 1	32	55.6	140	a
—	10.5		12	4.41	2	+ 1	32	55.8	366	u f
7254	9.0		12	7.89	3	— 13	51	15.2	220	A
7255	9.8	18	12	9.97	2	+ 4	50	8.3	38	
7256	9.2		12	11.41	3	— 0	54	20.1	296	
7257	9.3		12	11.52	3	— 3	30	23.5	43	
7258	9.7		12	11.91	4	— 9	31	49.4	298	
7259	8.0		12	17.77	3	+ 6	53	39.5	46	
7260	10.5	18	12	21.99	3	— 0	38	34.9	47	s u
—	10.0		12	21.51	3	— 0	38	37.6	223	
7261	10.0		12	21.78	3	— 11	28	58.9	292	
7262	9.2		12	22.75	1	+ 6	53	—	46	n
—	9.5		12	22.31	3	+ 6	53	34.4	297	

No.	Grösse	Rectascension 1880.0 h m s	Fäden	Declination 1880.0 ° ′ ″	Zone	Bemerkungen
—	8.5	18 12 22.31	3	+ 6 53 33.6	365	
—	9.0	12 22.41	4	+ 6 53 35.3	367	
7263	10.0	12 23.28	3	— 15 13 0.9	300	
7264	8.5	12 25.56	3	— 18 15 57.5	301	
7265	9.0	12 27.91	3	+ 3 55 24.6	45	n
7266	10.0	18 12 28.06	3	+ 4 26 33.9	139	
7267	9.5	12 32.49	4	+ 0 42 33.4	302	
7268	10.0	12 34.59	4	+ 1 18 58.2	36	
7269	9.5	12 37.89	3	— 21 46 53.1	51	
7270	10.0	12 40.88	3	— 16 3 24.3	299	n
7271	8.0	18 12 42.97	1	+ 8 34 57.3	39	
—	8.0	12 42.84	4	+ 8 34 56.1	226	
7272	9.0	12 44.33	2	— 16 4 9.5	221	
7273	9.0	12 45.57	3	— 0 42 43.5	137	
7274	9.0	12 51.56	4	— 9 51 42.1	303	
7275	9.8	18 12 53.11	2	+ 11 14 29.4	54	
—	9.2	12 53.03	3	+ 11 14 28.4	143	
—	9.5	12 52.83	4	+ 11 14 30.6	225	
7276	10.0	12 57.96	2	— 23 16 50.3	300	n
7277	10.0	13 0.14	2	— 9 33 36.6	220	
7278	9.0	18 13 3.05	3	+ 6 12 23.0	48	
7279	9.8	13 9.33	3	+ 18 28 22.2	228	n
7280	10.0	13 15.15	2	— 6 16 29.7	43	
—	10.0	13 15.09	2	— 6 16 27.9	297	
7281	10.5	13 20.85	1	+ 3 3 9.3	53	u
—	10.0	18 13 20.92	3	+ 3 3 11.2	219	
7282	9.0	13 24.09	4	— 14 53 46.7	298	
7283	10.0	13 38.33	3	+ 2 4 3.4	293	
7284	7.0	13 45.46	4	— 26 8 10.9	42	
7285	8.8	13 47.67	2	+ 4 59 56.1	38	
7286	10.0	18 13 56.20	1	— 23 7 44.4	51	
—	10.0	13 56.41	2	— 23 7 48.2	299	u f
7287	10.0	14 3.14	3	+ 10 39 16.3	145	
7288	10.0	14 9.96	2	+ 7 41 42.7	48	
7289	8.8	14 10.77	4	+ 6 2 35.9	45	Durch Wolken.
7290	9.7	18 14 17.15	2	+ 11 21 17.6	54	
—	9.0	14 17.00	3	+ 11 21 19.0	222	
—	9.2	14 17.10	4	+ 11 21 18.1	225	
7291	8.5	14 18.94	2	— 16 25 40.7	301	
7292	9.8	14 23.30	3	+ 6 31 37.8	139	
7293	8.5	18 14 23.88	2	— 16 25 34.4	301	n
7294	9.0	14 30.42	3	— 13 50 18.3	298	
7295	9.0	14 31.56	3	— 18 28 49.7	221	
7296	10.0	14 36.17	1	— 13 9 15.3	220	a
—	10.0	14 36.08	3	— 13 9 14.2	365	
7297	9.5	18 14 38.53	3	+ 5 41 51.7	37	
—	9.5	14 38.37	2	+ 5 41 54.5	219	
7298	9.0	14 41.71	3	— 25 25 17.7	300	
7299	9.0	14 46.36	4	+ 18 20 42.2	228	
7300	10.0	14 47.00	3	+ 7 20 30.4	140	
7301	9.0	18 14 47.05	3	+ 5 26 57.4	223	
7302	11.0	14 53.93	2	— 8 20 8.2	302	
7303	10.0	14 57.04	2	+ 0 40 20.7	293	
7304	10.5	14 57.55	3	— 5 55 10.0	366	u
7305	9.3	15 1.73	3	+ 5 0 37.6	226	
7306	8.0	18 15 3.53	3	+ 8 59 18.8	139	f
7307	9.6	15 4.92	3	+ 2 5 19.1	47	
7308	10.0	15 10.68	3	+ 2 44 10.3	141	
7309	9.8	15 14.49	3	— 11 27 39.4	146	
7310	8.0	15 16.06	2	+ 8 34 28.7	304	
7311	9.2	18 15 20.52	2	+ 2 48 28.9	141	
7312	9.3	15 23.34	3	— 2 4 46.1	140	
7313	10.0	15 24.70	4	+ 6 5 29.4	53	
7314	8.0	15 26.75	3	+ 6 45 44.0	45	Durch Wolken.
7315	10.0	15 48.80	4	— 22 39 53.9	42	
7316	9.0	18 15 50.09	3	+ 5 53 13.2	37	
7317	9.0	15 50.82	3	+ 5 17 21.8	226	
7318	9.5	15 50.88	2	+ 5 20 30.1	302	
7319	9.0	15 54.00	3	— 27 33 33.7	300	
7320	9.0	15 58.14	3	+ 5 51 16.3	39	
7321	10.0	18 16 0.90	3	— 24 4 36.5	299	
7322	9.0	16 2.37	2	— 5 8 8.0	43	u f
—	9.0	16 1.93	3	— 5 8 9.0	305	
7323	10.5	16 4.09	3	+ 10 11 11.1	54	u
7324	9.0	16 8.03	3	+ 18 39 59.3	228	n
7325	9.0	18 16 9.42	3	+ 8 34 34.1	304	
7326	10.0	16 11.29	3	— 20 32 17.0	221	
7327	9.0	16 11.88	4	+ 4 24 54.9	303	
7328	10.0	16 16.89	2	— 4 18 25.1	297	
7329	8.0	16 17.73	3	+ 7 5 3.9	219	
7330	9.0	18 16 20.65	3	— 0 19 25.2	36	
7331	9.5	16 25.54	3	— 1 21 30.7	293	
7332	8.6	16 25.94	1	+ 5 52 47.3	226	
7333	10.0	16 33.48	3	+ 11 24 47.2	145	
—	10.0	16 33.02	1	+ 11 24 48.3	296	
7334	9.0	18 16 33.99	2	— 21 58 39.3	304	
7335	9.0	16 49.51	2	— 29 50 21.2	300	
7336	9.8	16 51.00	4	— 12 43 4.0	146	
—	10.0	16 50.91	3	— 12 43 3.6	298	
7337	9.0	16 51.05	3	— 9 15 30.6	301	
7338	10.0	18 16 56.20	3	+ 5 10 27.7	139	
7339	10.0	16 58.10	3	— 9 12 48.8	220	n
7340	8.0	16 59.43	3	— 5 38 29.7	143	n
7341	9.5	17 3.28	3	+ 5 19 21.3	39	n
—	9.2	17 3.39	3	+ 5 19 21.0	224	
7342	8.0	18 17 3.50	4	— 19 38 14.3	51	
7343	8.0	17 6.35	2	+ 6 41 53.6	222	
7344	9.5	17 9.35	3	+ 11 15 37.9	225	
7345	9.2	17 11.55	3	— 26 33 10.1	299	f
7346	9.0	17 14.98	2	+ 5 19 27.6	223	n

No.	Grösse	Rectascension 1880.0 h m s	Fäden	Declination 1880.0 ° ′ ″	Zone	Bemerkungen
—	9.2	18 17 15.34	1	+ 5 19 23.1	224	
7347	9.0	17 19.36	3	— 18 9 12.9	221	
7348	9.0	17 19.87	4	+ 18 53 48.5	227	
7349	10.5	17 20.30	2	+ 3 26 57.8	53	n
—	9.5	17 20.38	1	+ 3 26 58.4	226	
7350	10.0	18 17 34.30	2	— 17 58 39.1	221	
7351	8.0	17 38.60	2	+ 5 16 19.5	138	
7352	9.0	17 40.91	3	+ 5 21 6.4	140	
7353	9.0	17 41.66	3	— 14 50 12.5	298	
7354	9.5	17 41.88	3	+ 5 36 29.9	219	n
7355	9.0	18 17 48.10	3	+ 5 36 20.4	37	
—	8.8	17 48.16	3	+ 5 36 19.6	46	
7356	9.0	17 48.28	3	+ 1 42 34.2	293	
7357	9.0	17 51.91	3	+ 17 59 1.1	228	
7358	8.0	17 55.00	4	— 12 44 12.7	220	
7359	7.8	18 17 57.10	3	— 4 8 59.7	142	
7360	9.0	17 57.35	3	— 12 32 13.1	301	
7361	9.2	18 13.43	3	+ 3 51 22.4	297	
7362	10.0	18 17.11	1	— 24 28 38.3	300	
7363	9.0	18 18.08	3	— 3 7 3.6	144	
7364	9.9	18 18 19.24	3	+ 10 49 17.6	54	
7365	10.0	18 21.37	3	+ 11 17 3.2	143	
7366	9.8	18 24.82	3	+ 12 7 37.7	145	
7367	9.0	18 29.06	2	+ 18 54 4.3	227	
7368	9.0	18 33.27	3	— 10 5 34.5	146	
7369	8.6	18 18 39.63	3	+ 7 4 54.0	47	
7370	10.0	18 42.19	1	+ 4 52 40.6	53	u
—	9.5	18 42.35	1	+ 4 52 44.0	219	
7371	9.2	18 48.51	4	— 7 51 36.3	303	n
7372	8.2	19 1.19	3	+ 12 59 11.7	225	n
7373	9.5	18 19 3.81	3	— 6 32 32.9	49	
7374	6.5	19 7.49	4	+ 3 26 10.6	223	
7375	9.0	19 7.90	4	— 15 52 59.1	51	
—	9.0	19 7.93	3	— 15 52 57.4	299	
7376	10.0	19 8.21	3	+ 18 5 34.5	228	n
7377	9.0	18 19 9.66	3	+ 8 24 37.4	139	
7378	9.7	19 12.84	3	— 25 58 58.6	301	
7379	10.0	19 15.29	2	— 14 41 19.4	146	n
—	10.0	19 15.54	1	— 14 41 21.2	298	
7380	11.0	19 16.32	2	+ 3 54 32.0	141	u n
7381	10.5	18 19 16.79	2	+ 12 28 51.3	54	n
—	10.0	19 16.90	3	+ 12 28 51.2	296	
7382	9.5	19 23.68	4	— 0 18 5.6	36	
7383	9.1	19 30.35	2	+ 18 49 36.7	227	
7384	10.0	19 30.41	2	— 3 42 9.8	142	
7385	9.5	18 19 32.83	4	+ 7 3 16.1	38	
7386	9.7	19 34.76	3	+ 11 2 8.0	145	n
7387	9.8	19 36.25	3	+ 2 21 18.4	44	
7388	8.0	19 38.49	4	— 4 58 38.9	144	
7389	10.0	19 42.73	3	+ 6 3 2.7	222	

No.	Grösse	Rectascension 1880.0 h m s	Fäden	Declination 1880.0 ° ′ ″	Zone	Bemerkungen
7390	9.5	18 19 44.89	4	+ 6 35 27.6	37	
7391	8.0	19 57.52	3	— 17 15 52.2	42	
7392	9.8	19 59.90	3	— 0 35 23.2	137	
7393	9.0	20 3.46	3	+ 5 37 22.4	138	
—	9.0	20 3.25	3	+ 5 37 21.5	297	
7394	9.5	18 20 3.59	3	+ 3 16 24.2	224	
7395	9.5	20 6.31	3	+ 6 31 20.9	140	
7396	9.0	20 10.93	3	+ 7 32 4.8	226	
7397	10.0	20 14.34	3	+ 5 17 8.0	139	
7398	10.0	20 19.47	4	— 13 46 43.9	220	
7399	9.0	18 20 19.58	2	+ 3 32 2.9	223	
7400	10.0	20 21.66	3	+ 6 32 18.6	219	
7401	10.0	20 21.98	1	+ 18 13 40.0	228	n } dpl.
7402	9.8	20 22.20	3	+ 18 13 37.8	228	} dpl.
7403	7.9	20 23.20	3	— 14 46 0.3	146	
7404	10.0	18 20 23.54	1	+ 5 50 11.2	226	
7405	10.0	20 24.72	3	— 14 47 57.8	365	n
7406	9.5	20 27.62	1	+ 11 1 52.5	225	n
—	9.0	20 28.01	4	+ 11 1 50.8	229	
7407	9.5	20 34.56	3	— 8 56 51.2	303	
7408	9.0	18 20 35.15	3	+ 4 8 50.6	231	
7409	9.2	20 37.96	3	+ 8 48 7.2	233	
7410	9.0	20 40.69	3	+ 7 37 1.1	53	
7411	10.0	20 42.35	2	+ 5 50 27.6	226	n
7412	10.5	20 44.37	2	+ 1 18 29.4	47	s u
—	10.0	18 20 44.34	1	+ 1 18 31.1	293	u, dpl.?
7413	8.8	20 49.51	3	+ 9 58 50.2	54	
7414	10.0	20 52.17	3	— 12 32 11.2	221	
7415	8.5	20 53.29	4	+ 10 19 39.7	145	
7416	10.0	20 57.03	4	— 6 20 31.5	49	
7417	9.0	18 21 1.02	3	+ 18 48 4.0	227	
7418	9.7	21 11.32	2	+ 5 49 50.9	38	
—	9.0	21 11.07	3	+ 5 49 49.5	224	
7419	8.5	21 12.67	4	— 14 43 57.5	147	
7420	8.0	21 15.46	3	+ 6 0 2.3	48	
7421	9.5	18 21 19.81	4	+ 2 35 27.0	36	
7422	9.3	21 20.59	3	+ 6 57 1.9	46	
7423	10.0	21 21.18	3	+ 0 59 56.3	44	
7424	9.7	21 24.16	5	— 1 12 19.9	56	
7425	9.6	21 25.32	4	— 5 40 11.8	144	n
7426	9.9	18 21 31.31	2	+ 1 22 36.1	137	
—	9.7	21 31.00	1	+ 1 22 37.1	233	
7427	9.0	21 31.78	3	— 11 9 3.9	146	
7428	9.5	21 32.09	3	— 31 37 55.2	51	
7429	9.6	21 32.30	3	— 6 9 31.8	43	
7430	9.6	18 21 35.52	3	+ 5 52 2.8	37	
7431	9.5	21 35.76	3	— 15 52 33.5	42	
7432	10.0	21 35.83	4	+ 5 25 49.6	296	
7433	9.8	21 36.84	3	+ 4 21 48.6	139	
—	10.0	21 36.71	3	+ 4 21 48.7	297	

No.	Grösse	Rectascension 1880.0 h m s	Fäden	Declination 1880.0 ° ′ ″	Zone	Bemerkungen
7434	9.0	18 21 44.24	2	+ 10 17 23.7	225	
7435	8.0	21 48.40	4	+ 6 27 36.4	140	
—	8.0	21 48.41	3	+ 6 27 37.5	219	
7436	8.3	21 56.61	3	+ 6 23 4.4	141	n A
7437	9.0	21 58.76	3	— 5 52 51.4	142	
—	9.0	18 21 59.21	3	— 5 52 51.2	299	
—	9.2	21 58.96	3	— 5 52 49.3	365	
—	9.0	21 59.64	3	— 5 52 54.6	369	
7438	9.0	22 0.56	4	+ 5 17 32.7	223	
7439	7.5	22 6.71	4	— 3 56 22.3	298	
—	8.5	18 22 6.51	4	— 3 56 22.2	300	
7440	5.3	22 7.10	4	+ 6 7 20.4	38	
7441	9.5	22 14.40	3	— 9 42 49.1	303	
7442	9.7	22 20.52	2	+ 5 24 0.9	139	
7443	9.8	22 21.39	3	+ 3 56 46.2	53	
7444	8.0	18 22 22.21	2	+ 3 53 31.0	47	
7445	9.0	22 26.18	3	+ 18 32 32.2	227	n
7446	8.0	22 27.30	3	+ 6 41 32.7	222	
7447	10.0	22 27.95	2	+ 4 43 15.5	226	
—	9.0	22 27.93	2	+ 4 43 13.4	232	
7448	9.0	18 22 28.11	3	+ 5 8 54.8	224	
7449	9.0	22 32.72	3	+ 11 38 1.8	145	
7450	9.5	22 36.43	3	— 13 40 25.9	220	
—	8.0	22 36.36	4	— 13 40 26.7	221	
7451	9.9	22 36.77	3	+ 9 54 21.1	54	
7452	9.0	18 22 39.07	4	+ 4 45 38.9	231	
7453	9.5	22 41.39	3	— 8 38 14.3	49	
7454	9.0	22 41.77	1	+ 8 46 9.1	219	
—	9.0	22 42.05	3	+ 8 46 10.1	232	
7455	9.9	22 44.26	3	— 4 31 19.3	142	
—	10.0	18 22 44.87	3	— 4 31 22.2	297	
—	9.5	22 44.75	4	— 4 31 21.6	366	
7456	9.0	22 46.32	3	— 5 6 50.0	293	
7457	9.0	22 50.22	3	+ 9 54 40.3	225	
7458	9.8	22 52.57	2	+ 6 5 12.7	46	
7459	10.0	18 23 0.38	3	+ 5 9 26.2	37	
7460	9.3	23 9.25	4	+ 8 26 38.9	48	
—	9.0	23 9.10	3	+ 8 26 41.8	296	
7461	9.5	23 12.02	4	— 14 52 59.0	147	n
7462	9.3	23 13.88	2	+ 18 2 37.7	227	n
7463	8.0	18 23 14.77	3	+ 10 7 43.0	228	
7464	9.7	23 21.21	3	+ 2 45 51.4	36	
—	10.0	23 21.52	1	+ 2 45 52.6	56	u
7465	9.0	23 21.53	3	— 7 21 51.1	144	
7466	8.0	23 25.97	3	+ 11 34 27.8	229	n
7467	8.0	18 23 32.78	3	— 11 32 21.8	146	
7468	8.0	23 35.15	2	+ 11 37 10.2	54	
—	8.0	23 35.45	1	+ 11 37 11.5	145	
—	8.0	23 35.45	3	+ 11 37 8.3	229	
7469	9.9	23 38.68	3	+ 5 19 50.0	38	

No.	Grösse	Rectascension 1880.0 h m s	Fäden	Declination 1880.0 ° ′ ″	Zone	Bemerkungen
7470	7.9	18 23 39.55	3	+ 7 16 50.6	53	
7471	10.0	23 40.67	3	— 25 49 39.5	42	
7472	8.0	23 46.84	4	— 15 49 16.2	51	
7473	9.0	23 54.85	3	— 16 0 36.6	298	
7474	8.0	23 56.31	2	+ 11 50 13.8	231	n
7475	10.0	18 24 1.15	3	— 13 42 52.6	220	n
—	9.5	24 1.18	3	— 13 42 53.6	221	
7476	9.5	24 1.20	3	+ 6 9 14.8	47	
7477	9.4	24 4.04	2	+ 18 3 53.7	227	n
7478	9.0	24 5.23	1	+ 11 54 52.9	225	n
—	9.2	18 24 5.00	3	+ 11 54 49.9	301	
7479	10.0	24 15.49	2	+ 5 37 48.0	296	
7480	7.5	24 16.55	4	— 18 58 57.0	299	
—	7.0	24 16.70	3	— 18 58 59.2	300	
7481	8.3	24 18.36	3	— 21 19 52.3	50	
7482	8.0	18 24 19.35	2	+ 17 56 3.0	228	
7483	9.0	24 24.16	3	+ 17 57 27.0	228	
7484	9.7	24 25.16	2	+ 4 41 45.0	139	
7485	9.0	24 27.31	3	— 4 41 55.1	142	
7486	8.0	24 27.47	3	— 13 53 6.9	146	
7487	9.0	18 24 42.51	3	+ 9 35 48.4	222	
7488	9.0	24 45.25	4	— 24 48 46.4	51	
7489	8.0	24 49.28	3	+ 3 4 27.0	137	
7490	9.8	24 51.77	3	— 13 53 3.8	146	n
7491	9.3	24 53.59	3	+ 5 26 51.1	140	n
7492	9.7	18 24 53.65	3	+ 5 33 32.6	48	
—	9.0	24 53.72	3	+ 5 33 31.9	224	
7493	9.0	24 53.79	3	— 20 2 3.5	300	
7494	10.0	24 54.10	3	+ 12 34 32.0	232	
—	10.0	24 54.31	3	+ 12 34 32.9	302	
7495	10.0	18 24 54.99	3	— 13 38 12.8	221	n
7496	9.5	25 0.12	3	+ 5 23 18.4	219	n
7497	8.0	25 2.41	4	+ 7 50 14.9	37	
—	8.0	25 2.46	6	+ 7 50 14.2	226	
7498	7.5	25 5.83	3	+ 12 31 50.7	145	n
7499	8.0	18 25 8.71	3	+ 5 40 16.5	38	
—	7.5	25 8.67	3	+ 5 40 16.5	46	
7500	9.5	25 9.99	3	+ 5 34 36.9	139	
7501	10.0	25 10.52	3	+ 0 16 20.0	44	
7502	9.5	25 17.35	4	— 4 4 53.2	43	
7503	10.0	18 25 21.33	3	— 9 8 6.2	144	
—	10.0	25 21.42	3	— 9 8 5.4	147	
7504	9.5	25 21.99	3	+ 8 50 57.7	138	
—	9.2	25 22.16	3	+ 8 50 57.4	141	
7505	10.0	25 25.98	3	— 12 39 44.5	220	n
7506	10.5	18 25 29.12	1	+ 3 20 30.1	53	
7507	9.9	25 30.95	2	+ 9 6 39.8	54	n
7508	9.0	25 32.14	3	— 6 11 52.8	303	
7509	9.6	25 32.22	3	+ 3 27 2.1	47	
7510	9.0	25 34.98	3	+ 8 52 50.5	301	

No.	Grösse	Rectascension 1880.0 h m s	Fäden	Declination 1880.0 ° ′ ″	Zone	Bemerkungen
7511	10.0	18 25 36.81	1	+ 9 57 15.3	229	
—	10.0*	25 36.60	3	+ 9 57 11.9	233	
7512	10.0	25 40.77	3	— 3 41 15.7	49	
7513	9.0	25 47.49	3	+ 5 50 37.0	224	
7514	9.8	25 47.99	2	+ 0 46 17.8	56	u
7515	9.0	18 25 53.09	4	+ 4 13 19.9	48	
—	9.0	25 53.17	2	+ 4 13 22.6	219	
7516	8.5	26 1.16	5	— 23 36 28.8	42	
7517	10.0	26 3.17	3	+ 11 38 51.1	231	n
7518	11.0	26 5.79	2	+ 12 36 31.1	302	s n dpl. pr.
7519	10.0	18 26 6.76	3	+ 12 36 27.4	228	
7520	9.0	26 8.03	3	— 8 4 51.2	144	
—	9.7	26 7.90	2	— 8 4 53.3	303	
7521	9.0	26 8.55	3	+ 10 39 22.9	301	
7522	10.0	26 12.71	2	+ 6 7 59.9	37	a
7523	10.0	18 26 14.41	4	+ 14 10 34.3	232	
7524	9.0	26 15.98	4	+ 7 21 32.0	139	
7525	8.2	26 22.03	4	+ 18 7 33.9	227	n
7526	10.0	26 23.32	2	+ 10 39 44.6	222	n
7527	9.0	26 25.53	2	+ 0 31 1.0	36	a
7528	8.0	18 26 27.99	4	— 13 34 50.5	221	
7529	9.0	26 30.82	4	— 19 55 53.8	298	
7530	10.0	26 30.83	3	+ 4 52 20.8	226	
7531	9.7	26 31.18	3	+ 5 28 50.1	46	
7532	8.5	26 33.67	3	+ 0 29 —	36	
7533	10.0	18 26 37.22	2	— 5 21 24.7	43	
—	9.5	26 37.36	3	— 5 21 25.7	300	
7534	9.0	26 38.00	4	— 28 26 1.7	299	
7535	7.0	26 41.37	2	+ 4 12 37.3	219	
7536	9.5	26 47.72	2	+ 0 30 —	36	
—	9.5	18 26 47.85	3	+ 0 30 29.9	44	a
7537	11.0	26 58.30	2	+ 1 35 36.5	233	f
7538	9.0	26 59.11	3	— 1 54 51.6	137	
7539	10.0	27 0.80	4	+ 5 33 37.9	52	
7540	9.9	27 9.62	2	+ 14 2 59.4	54	
7541	9.0	18 27 10.26	3	+ 11 33 11.0	225	n
7542	9.0	27 10.57	3	— 10 3 56.2	146	
7543	7.0	27 12.12	4	— 24 18 44.8	51	
7544	9.9	27 12.79	3	+ 6 54 45.5	47	
7545	9.0	27 14.21	3	+ 18 0 46.3	227	n
7546	9.5	18 27 22.51	4	— 26 34 1.3	50	
7547	11.0	27 26.31	2	+ 0 38 41.0	297	
7548	9.0	27 31.53	3	— 13 34 27.8	147	
7549	9.0	27 42.65	3	+ 9 0 11.1	229	
—	8.0	27 43.00	3	+ 9 0 12.0	366	
—	8.5	18 27 42.88	3	+ 9 0 12.3	368	
7550	9.8	27 43.48	4	+ 3 12 16.7	38	
7551	10.0	27 45.77	3	— 9 45 39.5	220	
7552	10.0	27 51.39	2	+ 11 51 47.7	222	
7553	9.0	27 53.17	3	+ 9 5 41.8	296	n

No.	Grösse	Rectascension 1880.0 h m s	Fäden	Declination 1880.0 ° ′ ″	Zone	Bemerkungen
—	9.2	18 27 53.44	4	+ 9 5 39.8	369	
7554	8.0	27 53.46	3	— 4 54 10.1	142	
7555	9.5	27 53.82	3	— 8 11 19.2	144	n
7556	10.0	27 55.43	4	+ 11 30 58.7	230	n
7557	8.3	27 56.16	3	+ 11 27 46.9	145	
7558	7.0	18 28 0.11	3	— 13 31 31.9	146	
7559	9.0	28 2.66	4	— 27 26 2.1	42	
7560	9.0	28 3.53	3	— 14 47 32.9	221	d
7561	7.8	28 4.33	4	+ 5 34 39.1	46	
—	7.0	28 4.55	3	+ 5 34 39.6	224	
7562	8.0	18 28 4.59	3	— 14 47 42.7	221	
7563	9.2	28 12.19	4	— 22 29 31.9	298	
7564	10.0	28 14.93	2	+ 1 29 56.1	44	
—	10.0	28 15.20	2	+ 1 29 53.4	365	
7565	10.0	28 19.19	3	— 4 32 50.4	43	
—	9.2	18 28 19.30	3	— 4 32 49.6	367	
7566	9.9	28 20.17	2	+ 7 10 20.3	47	u
7567	9.0	28 29.24	3	— 3 1 9.9	49	
7568	9.3	28 32.53	4	— 0 43 0.9	137	
7569	10.0	28 38.02	2	— 26 19 49.1	300	
7570	10.0	18 28 39.98	3	+ 11 50 11.8	231	
7571	10.5	28 44.88	2	— 0 42 9.9	53	u
—	10.0	28 45.07	3	— 0 42 10.2	293	
7572	9.0	28 45.81	3	— 10 14 42.0	220	
7573	8.8	28 47.48	3	+ 7 43 16.7	226	
7574	10.0	18 28 49.54	2	— 4 12 7.7	142	
7575	10.0	28 51.91	3	+ 1 22 50.7	56	
7576	9.0	28 52.61	4	+ 5 22 13.4	219	
7577	8.5	28 57.32	3	— 13 24 30.3	147	n
7578	9.5	29 1.02	4	+ 13 27 13.5	54	
7579	10.5	18 29 2.70	2	+ 6 58 33.8	139	
7580	9.0	29 5.00	3	+ 7 29 23.6	138	
7581	9.5	29 6.59	3	— 24 57 36.4	50	
—	9.0	29 6.75	4	— 24 57 33.0	303	
7582	10.0	29 13.46	2	— 4 12 15.-	142	Decl. gesch.
7583	11.0	18 29 17.58	2	+ 11 22 53.5	301	u n
7584	10.0	29 20.33	4	+ 11 20 56.3	302	dpl. pr.
—	10.0	29 20.02	3	+ 11 20 53.9	366	
7585	8.5	29 21.34	3	+ 11 20 55.9	222	dpl. sq.
7586	8.9	29 22.11	4	+ 5 54 7.1	38	
7587	9.0	18 29 22.36	3	+ 18 1 40.1	227	u
7588	7.5	29 29.58	3	— 13 49 48.8	146	
7589	9.8	29 42.92	4	+ 5 2 19.7	37	
—	10.0	29 42.59	3	+ 5 2 18.7	232	
7590	8.0	29 43.76	4	— 17 18 9.6	42	
7591	10.0	18 29 49.73	2	+ 8 56 15.5	46	a f
—	9.2	29 49.67	4	+ 8 56 14.8	365	f
—	9.2	29 49.52	3	+ 8 56 14.9	369	
7592	9.0	29 53.50	2	+ 18 1 34.0	227	
—	9.0	29 53.69	3	+ 18 1 32.3	367	

No.	Grösse	Rectascension 1880.0 h m s	Fäden	Declination 1880.0 ° ′ ″	Zone	Bemerkungen
7593	10.0	18 29 56.22	4	+ 2 28 8.5	233	
7594	9.0	30 2.80	3	+ 7 56 30.4	39	n
7595	9.5	30 5.55	4	— 18 1 29.3	51	
7596	9.0	30 8.08	3	+ 7 59 30.9	47	
7597	9.8	30 11.24	5	+ 8 51 30.7	48	
7598	9.7	18 30 17.73	3	+ 0 2 35.0	36	
7599	10.0	30 19.09	2	+ 9 27 14.7	225	
—	10.0	30 18.86	3	+ 9 27 12.9	229	
7600	9.3	30 19.08	4	+ 5 50 30.8	53	
7601	9.6	30 19.32	4	+ 4 18 3.7	52	
7602	11.0	18 30 25.97	4	— 3 41 35.0	297	
7603	9.8	30 28.60	4	— 5 18 7.5	43	
—	9.0	30 28.50	3	— 5 18 11.2	144	
7604	10.0	30 29.79	4	+ 11 1 28.8	231	n
7605	9.0	30 32.84	3	— 15 1 52.8	50	
7606	9.0	18 30 34.02	3	— 7 42 4.7	298	
7607	10.0	30 35.16	2	— 4 2 20.4	299	f
7608	9.3	30 36.51	2	+ 6 14 39.3	138	
7609	9.0	30 38.81	3	+ 5 6 49.6	37	
—	9.0	30 38.76	4	+ 5 6 52.1	226	
7610	8.3	18 30 39.63	3	— 3 36 56.7	49	
7611	10.0	30 42.95	3	— 8 46 7.2	300	
7612	10.0	30 43.12	4	+ 5 2 18.7	368	
7613	9.0	30 45.32	2	+ 13 29 39.2	145	
7614	10.0	30 45.65	3	+ 10 11 27.4	54	
7615	9.0	18 30 52.52	3	+ 4 56 24.2	296	
—	9.0	30 52.34	3	+ 4 56 22.2	366	
7616	9.2	30 53.45	4	+ 6 44 38.3	139	n
7617	10.0	30 57.44	3	— 6 11 48.2	298	
7618	9.5	31 7.01	4	+ 17 35 30.6	228	
7619	9.6	18 31 8.45	3	— 11 27 14.4	220	
7620	9.8	31 10.87	3	+ 5 11 34.2	38	
—	9.0	31 10.85	3	+ 5 11 37.0	219	
—	9.0	31 10.68	4	+ 5 11 34.0	224	
7621	8.0	31 12.43	4	— 7 26 4.6	303	
7622	10.0	18 31 13.10	3	+ 10 45 51.6	302	n
7623	10.0	31 15.70	1	+ 1 6 18.8	137	n
—	10.0	31 15.54	2	+ 1 6 20.6	141	
—	10.0	31 15.23	3	+ 1 6 16.4	293	
—	10.0	31 15.39	3	+ 1 6 17.4	367	
7624	9.0	18 31 15.83	4	+ 0 4 14.6	44	
7625	9.0	31 31.99	3	— 3 51 2.9	49	
7626	8.0	31 36.84	4	+ 18 14 17.9	229	n
7627	9.0	31 39.02	3	+ 5 55 10.0	47	
7628	8.6	31 39.48	3	— 18 53 8.0	51	
7629	8.5	18 31 39.56	3	— 23 2 38.9	42	
7630	9.7	31 40.11	4	+ 7 48 50.9	46	f
—	9.2	31 40.13	4	+ 7 48 50.3	232	
7631	8.0	31 40.66	3	— 5 1 21.0	142	
7632	9.0	31 41.82	2	+ 17 42 35.9	228	

No.	Grösse	Rectascension 1880.0 h m s	Fäden	Declination 1880.0 ° ′ ″	Zone	Bemerkungen
7633	8.0	18 31 43.75	4	+ 10 16 30.1	222	
7634	10.0	31 46.87	3	+ 13 35 32.9	230	
7635	8.8	31 49.37	3	— 19 12 29.0	50	
7636	9.7	31 53.44	3	— 10 6 26.2	146	
7637	9.2	31 59.07	3	+ 0 59 26.5	296	
7638	9.0	18 32 2.50	3	— 12 9 16.5	220	
7639	9.6	32 6.30	4	+ 8 26 27.0	52	
7640	9.3	32 6.63	3	+ 7 12 38.2	48	
7641	8.0	32 12.86	3	+ 11 20 43.4	231	
7642	9.5	32 13.34	3	— 5 56 10.3	144	n
7643	10.0	18 32 18.91	2	+ 6 27 12.9	38	
7644	10.0	32 22.07	3	+ 5 33 30.4	368	n
7645	9.0	32 22.90	3	+ 9 41 42.0	54	
7646	9.0	32 23.92	3	+ 5 32 7.6	297	
—	9.0	32 24.24	3	+ 5 32 9.5	365	
7647	10.0	18 32 24.85	3	+ 9 37 39.6	225	n
7648	10.0	32 26.46	3	— 18 46 36.0	221	
7649	9.8	32 26.48	3	+ 5 19 51.0	53	
7650	9.0	32 27.28	4	+ 1 6 26.5	233	
7651	9.5	32 38.80	3	+ 10 39 58.8	302	n
7652	9.0	18 32 42.41	4	— 4 12 22.7	43	
7653	9.2	32 44.50	4	— 8 36 1.0	303	
7654	9.8	32 46.66	4	+ 7 44 41.0	46	
7655	10.0	32 47.34	3	+ 5 42 21.6	56	
—	10.0	32 47.—	—	+ 5 42 22.3	138	u
—	9.7	18 32 47.31	3	+ 5 42 23.1	139	
7656	9.2	32 48.05	2	+ 8 1 32.5	37	
—	9.2	32 47.60	3	+ 8 1 35.4	232	
7657	9.0	32 49.31	3	+ 5 11 41.2	39	
—	8.8	32 49.20	3	+ 5 11 45.9	141	
7658	9.0	18 32 49.31	3	+ 5 8 7.8	226	n
7659	8.0	32 49.81	3	— 15 15 40.7	42	
7660	10.0	32 50.95	2	— 29 59 21.4	51	u
7661	10.0	32 57.63	3	— 11 59 2.9	146	
7662	9.3	33 2.17	3	+ 18 23 49.9	228	
7663	9.0	18 33 2.20	3	+ 2 25 43.5	44	
7664	9.3	33 2.92	1	— 27 38 59.6	50	
—	9.0	33 2.67	3	— 27 38 54.2	300	
7665	9.0	33 4.10	3	— 16 50 41.1	367	
7666	9.0	33 6.37	3	+ 13 23 45.4	222	
7667	9.8	18 33 6.97	2	+ 1 17 59.1	137	
—	9.7	33 7.01	3	+ 1 17 56.3	293	
7668	8.0	33 11.77	3	+ 6 10 5.8	219	
—	8.0	33 11.69	3	+ 6 10 5.3	301	
7669	9.8	33 17.72	3	+ 4 28 31.3	52	n
—	9.5	18 33 17.44	3	+ 4 28 33.2	224	
7670	9.0	33 20.62	4	+ 6 26 3.1	231	
7671	10.0	33 21.41	3	— 10 18 —	147	
—	9.3	33 21.42	4	— 10 18 37.0	366	a
—	9.5	33 21.17	3	— 10 18 38.0	369	

No.	Grösse	Rectascension 1880.0 h m s	Fäden	Declination 1880.0 ° ′ ″	Zone	Bemerkungen
7672	9.6	18 33 24.86	3	+ 6 23 43.7	47	
7673	9.0	33 27.18	3	+ 18 19 0.5	229	
7674	9.0	33 28.08	3	+ 6 17 9.2	226	
7675	9.5	33 30.97	3	+ 4 29 4.2	224	
7676	8.3	33 31.36	4	+ 2 38 4.5	36	
7677	9.5	18 33 32.64	4	— 13 10 48.1	220	
7678	9.0	33 36.26	4	+ 1 11 40.9	233	
7679	9.0	33 36.31	3	+ 13 20 39.0	54	
7680	9.0	33 37.95	3	+ 11 3 31.5	225	
—	10.0	33 37.98	4	+ 11 3 30.9	230	
7681	9.5	18 33 44.17	3	— 11 9 53.0	146	
7682	9.3	33 49.35	4	+ 5 11 52.0	139	
7683	10.0	33 52.19	2	+ 8 52 33.2	48	
7684	10.5	33 52.25	1	+ 4 22 2.8	53	n
7685	9.2	33 55.56	3	+ 10 25 3.9	302	n
7686	10.0	18 34 2.38	3	— 8 9 50.8	49	
7687	9.0	34 4.56	3	— 14 36 52.1	299	
—	8.0	34 4.89	3	— 14 36 52.6	365	
7688	9.5	34 5.01	1	+ 3 15 20.0	296	u
7689	8.5	34 5.38	3	+ 3 14 56.2	296	
7690	9.0	18 34 7.19	2	— 19 44 20.3	298	n
7691	8.8	34 8.51	3	— 19 34 22.6	367	
7692	9.0	34 11.51	3	— 31 35 23.5	51	
7693	10.0	34 13.53	3	— 8 4 52.6	43	f
7694	8.0	34 14.82	3	— 8 49 36.1	303	
7695	8.0	18 34 16.98	3	+ 18 56 15.6	228	
7696	9.0	34 17.99	3	— 14 51 57.3	300	
7697	9.0	34 23.06	3	— 5 27 39.8	144	
7698	9.0	34 34.39	1	+ 3 0 —	37	
—	9.0	34 34.23	3	+ 3 0 18.6	226	
7699	9.0	18 34 35.26	3	+ 3 0 37.2	37	n
7700	8.6	34 37.17	4	— 16 5 43.8	42	
7701	10.0	34 46.44	2	+ 4 43 51.7	219	n
7702	10.0	34 47.36	3	— 19 27 7.1	221	
7703	9.0	34 49.62	4	— 20 4 36.7	50	
7704	9.3	18 34 51.69	4	+ 1 58 55.6	36	
7705	10.0	34 54.34	3	+ 6 24 42.2	38	A
7706	9.5	34 56.83	4	+ 11 31 4.1	222	
7707	8.0	34 57.75	4	— 8 38 8.8	305	
7708	9.5	34 58.06	3	+ 11 37 35.7	230	
7709	9.5	18 35 0.31	3	— 3 53 35.9	142	
7710	11.0	35 2.00	2	+ 1 40 12.2	44	
7711	9.0	35 3.28	3	— 2 34 59.3	137	
7712	11.0	35 3.94	2	+ 11 33 49.6	54	u n
—	10.0	35 3.74	2	+ 11 33 50.1	229	
7713	9.3	18 35 6.39	3	— 6 41 4.0	144	
7714	8.7	35 9.72	3	+ 6 35 33.2	39	f
—	9.0	35 9.69	4	+ 6 35 32.2	231	
7715	7.0	35 12.95	3	— 17 7 22.6	298	
7716	9.0	35 15.41	3	— 10 40 21.4	146	
7717	10.0	18 35 16.03	2	+ 5 22 43.2	46	
7718	10.0	35 19.63	3	+ 5 59 35.4	52	
7719	9.0	35 20.01	3	+ 0 8 42.1	233	n
7720	10.0	35 20.42	2	+ 11 34 34.3	229	n
7721	9.0	35 24.20	4	+ 1 16 5.1	141	
7722	10.0	18 35 24.99	4	+ 14 23 23.8	225	
7723	10.0	35 27.17	2	— 9 14 25.7	147	
7724	10.0	35 28.—	—	+ 6 26 16.4	53	u
—	9.5	35 28.27	1	+ 6 26 17.9	224	
—	10.0	35 28.47	3	+ 6 26 20.5	366	
—	10.0	18 35 28.50	4	+ 6 26 20.5	368	
7725	10.0	35 30.27	3	— 31 44 53.2	299	
7726	9.0	35 32.19	3	— 14 42 1.4	220	
7727	9.5	35 41.97	4	+ 6 37 28.9	56	
—	9.0	35 41.70	3	+ 6 37 30.2	232	
7728	10.0	18 35 42.20	3	+ 0 16 25.0	293	n
7729	9.2	35 44.41	3	+ 11 39 35.9	230	n
7730	10.0	35 46.83	3	+ 9 10 9.0	228	
7731	9.0	35 47.32	3	— 27 30 15.8	301	
7732	9.0	35 47.72	3	— 9 36 14.4	146	
7733	9.0	18 35 47.77	3	+ 8 55 4.8	139	
7734	10.0	35 50.50	3	— 15 54 11.6	51	
7735	10.0	35 51.59	3	— 12 0 52.3	300	
7736	9.5	35 53.56	3	— 10 32 34.3	303	
7737	10.0	35 55.64	1	+ 0 35 57.3	296	
—	10.0	18 35 55.78	3	+ 0 35 54.9	367	
7738	9.0	36 5.59	4	— 7 45 7.7	43	
7739	8.9	36 15.82	3	— 26 20 0.2	42	
7740	10.0	36 17.91	1	+ 11 38 50.8	228	
—	9.0	36 18.05	1	+ 11 38 52.6	301	
—	10.0	18 36 17.72	3	+ 11 38 53.4	302	
7741	8.5	36 18.00	3	+ 0 33 23.7	365	
7742	10.0	36 18.68	3	+ 4 40 23.6	139	
7743	9.0	36 20.34	3	+ 5 30 31.5	226	
7744	9.0	36 22.01	3	— 14 47 52.9	220	
7745	10.0	18 36 32.34	4	— 5 56 9.9	49	
7746	9.0	36 37.39	3	+ 18 49 31.0	227	
7747	9.0	36 43.73	3	— 8 57 23.3	305	n
7748	8.0	36 49.71	4	— 20 0 30.6	221	
7749	9.0	36 50.83	3	— 14 33 20.3	146	
—	9.0	18 36 50.94	2	— 14 33 22.8	298	
7750	9.7	36 51.08	3	— 6 8 22.9	142	
7751	10.0	36 52.40	2	— 31 31 10.9	51	
7752	8.0	36 52.90	4	+ 5 34 24.8	52	
7753	10.0	36 53.19	3	— 9 9 45.3	147	
7754	9.0	18 37 0.05	3	+ 5 37 33.6	38	A
—	8.3	37 0.02	3	+ 5 37 30.6	48	
7755	9.8	37 0.79	4	+ 1 17 2.8	36	
7756	9.0	37 9.08	3	— 7 0 35.1	144	
7757	9.7	37 14.10	2	— 2 9 9.9	44	

No.	Grösse	Rectascension 1880.0 h m s	Fäden	Declination 1880.0 ° ′ ″	Zone	Bemerkungen
—	9.5	18 37 13.86	3	− 2 9 10.6	233	
7758	10.0	37 18.14	2	+ 8 42 13.6	56	n
7759	9.0	37 21.31	4	+ 8 43 24.0	37	n
7760	10.0	37 24.50	2	+ 13 42 28.8	54	
—	9.2	37 24.09	3	+ 13 42 29.8	225	
7761	8.3	18 37 42.15	2	− 1 41 51.8	369	
7762	9.0	37 43.32	3	− 2 11 16.5	137	
—	8.3	37 42.95	5	− 2 11 16.0	293	
—	8.0	37 42.97	4	− 2 11 13.0	366	
7763	10.0	37 44.30	1	+ 10 47 33.1	225	
—	10.0	18 37 44.06	3	+ 10 47 35.4	301	
7764	9.5	37 44.46	3	+ 10 56 45.7	228	
7765	10.0	37 45.95	3	+ 6 11 46.2	139	
—	10.0	37 45.54	3	+ 6 11 46.8	232	
7766	11.0	37 49.85	1	+ 1 29 41.8	296	u
7767	9.0	18 37 54.65	3	+ 12 26 47.1	229	
7768	10.0	37 56.33	2	+ 12 28 27.7	229	
7769	8.0	37 58.18	4	+ 11 53 2.2	230	n
7770	7.5	37 59.49	6	− 1 40 24.1	141	
—	8.5	37 59.57	4	− 1 40 24.4	303	
7771	9.0	18 38 2.03	4	+ 3 4 2.7	39	
—	9.0	38 1.97	3	+ 3 4 1.5	226	
7772	10.0	38 3.09	3	− 14 28 23.0	220	
7773	8.0	38 4.84	3	− 7 13 48.8	43	
7774	8.3	38 6.43	4	− 2 36 30.5	36	
7775	9.7	18 38 9.04	3	+ 6 47 30.3	46	
—	9.0	38 8.94	4	+ 6 47 29.8	224	
7776	10.0	38 13.06	2	− 7 12 36.3	144	n
7777	10.0	38 13.60	1	+ 0 25 7.2	233	
7778	9.2	38 13.84	3	− 8 15 19.6	305	n
7779	8.0	18 38 17.31	4	− 6 45 24.4	142	
7780	9.0	38 19.29	4	− 29 4 49.4	42	
7781	9.0	38 20.73	3	− 1 48 35.6	297	n
7782	10.0	38 24.74	3	− 4 3 49.7	49	
7783	9.8	38 28.74	4	− 16 45 7.5	50	
7784	8.5	18 38 43.83	3	+ 7 22 1.6	37	
—	9.0	38 43.60	4	+ 7 22 1.3	138	
7785	9.3	38 44.29	4	− 14 47 2.5	146	
7786	9.5	38 44.68	2	+ 9 29 43.9	228	
7787	9.8	38 51.13	3	− 14 19 30.3	220	
7788	9.3	18 38 52.99	3	+ 2 46 9.1	44	
—	9.0	38 53.37	3	+ 2 46 6.5	293	
—	9.2	38 53.34	3	+ 2 46 8.5	365	
7789	9.5	38 54.34	2	− 4 54 38.2	144	
—	9.0	38 54.36	3	− 4 54 36.8	300	
7790	10.0	18 38 54.42	3	− 10 38 57.2	298	
7791	9.0	38 56.57	3	+ 18 46 26.8	227	
7792	10.0	38 58.07	2	+ 3 14 47.2	53	n
7793	10.0	38 59.42	2	+ 0 28 56.1	302	
7794	9.0	39 3.69	3	+ 1 56 14.5	304	

No.	Grösse	Rectascension 1880.0 h m s	Fäden	Declination 1880.0 ° ′ ″	Zone	Bemerkungen
7795	10.0	18 39 3.96	3	+ 6 53 57.0	301	
7796	9.5	39 7.94	4	+ 4 10 6.1	38	
7797	9.0	39 9.62	3	− 12 12 52.9	299	
7798	9.6	39 10.64	2	+ 1 56 58.2	304	n
7799	10.0	39 12.90	2	− 31 39 41.7	51	
7800	9.0	18 39 17.38	4	+ 14 18 18.6	54	
7801	9.0	39 24.39	3	− 20 20 27.2	221	
7802	8.9	39 24.72	3	− 0 55 37.0	296	
7803	9.0	39 26.42	3	+ 18 45 10.2	227	
7804	9.0	39 30.84	3	+ 1 34 43.5	141	
7805	9.0	18 39 33.26	2	+ 1 34 18.-	141	Decl. gesch.
7806	10.0	39 34.01	4	+ 11 19 36.6	225	
7807	9.1	39 34.06	4	+ 6 50 1.6	39	
7808	8.9	39 36.84	2	+ 3 12 14.0	52	
—	10.0	39 36.49	3	+ 3 12 16.6	226	
7809	9.5	18 39 37.29	2	+ 18 45 19.7	227	
7810	10.0	39 39.30	3	+ 14 23 29.2	229	
7811	8.7	39 39.47	3	+ 5 27 8.0	46	
7812	9.5	39 41.13	1	− 19 7 13.7	221	
—	9.0	39 41.49	1	− 19 7 12.9	300	
7813	9.5	18 39 42.90	1	+ 11 43 48.1	230	
7814	9.8	39 51.44	4	− 2 9 40.3	36	
7815	10.0	39 52.96	4	+ 11 45 11.5	303	
7816	9.5	39 56.00	3	+ 6 23 34.7	231	
7817	9.0	39 57.08	3	+ 7 5 43.7	224	
7818	9.0	18 39 58.44	4	− 8 33 28.5	305	
7819	9.0	39 59.01	3	+ 8 37 5.2	232	
7820	9.5	40 0.25	2	+ 6 23 18.6	139	
7821	9.3	40 0.53	4	+ 8 18 44.0	56	
7822	9.0	40 1.02	2	+ 5 24 43.3	232	
7823	9.0	18 40 7.00	3	− 8 3 24.8	142	n
7824	10.5	40 12.—	—	+ 8 43 51.8	301	
—	10.0	40 12.15	3	+ 8 43 54.7	366	
—	10.0	40 12.41	3	+ 8 43 52.8	368	
7825	9.0	40 14.50	3	+ 4 54 14.4	138	a
—	9.0	18 40 14.64	3	+ 4 54 12.9	233	
7826	9.2	40 15.37	1	+ 5 20 30.2	226	
—	9.0	40 14.97	3	+ 5 20 30.5	302	
7827	9.0	40 16.72	3	+ 6 23 51.9	37	
7828	9.6	40 18.71	3	+ 0 43 19.0	44	
7829	9.2	18 40 28.00	2	+ 6 41 37.3	224	
7830	10.0	40 28.43	4	− 6 9 57.6	43	
—	10.0	40 28.55	3	− 6 10 0.2	49	
7831	9.0	40 29.76	3	+ 11 43 19.5	225	
7832	9.3	40 31.09	5	− 18 52 52.5	42	
7833	10.0	18 40 33.20	3	− 2 8 50.5	137	
7834	9.8	40 46.76	1	− 3 41 26.5	56	
7835	9.5	40 49.74	3	+ 18 21 10.2	228	
7836	10.0	40 51.16	1	− 2 33 47.7	53	
—	9.5	40 51.00	3	− 2 33 45.8	293	

No.	Grösse	Rectascension 1880.0 h	m	s	Fäden	Declination 1880.0 °	'	"	Zone	Bemerkungen
7837	10.0	18	40	56.86	3	— 14	6	5.6	146	
7838	10.0		41	4.58	3	+ 6	45	12.3	38	
7839	10.0		41	5.39	3	+ 7	54	27.8	52	
7840	9.5		41	7.05	3	+ 8	57	37.9	296	
7841	10.0		41	9.75	2	+ 14	9	0.4	54	
7842	10.0	18	41	10.23	2	+ 7	24	8.6	46	
7843	9.5		41	16.45	3	+ 14	3	44.6	229	
7844	9.0		41	17.18	3	— 6	21	42.5	142	
7845	9.8		41	27.99	3	+ 6	46	27.8	39	
7846	9.5		41	31.96	3	+ 10	6	29.4	225	
—	9.0	18	41	32.09	3	+ 10	6	28.9	306	
7847	10.0		41	33.87	3	— 9	14	17.9	146	
7848	9.0		41	40.81	4	— 26	32	7.4	50	
7849	9.5		41	46.17	3	— 7	33	40.8	305	
7850	10.0		41	48.93	3	— 28	25	6.6	51	
7851	9.7	18	41	52.02	3	+ 5	58	29.2	139	n
7852	10.0		41	54.32	3	— 4	20	47.5	297	
7853	8.0		41	55.81	3	— 15	9	30.7	221	
7854	8.0		41	57.06	2	+ 3	41	32.1	224	
7855	9.0		42	3.46	4	+ 15	29	16.5	227	
7856	9.0	18	42	6.82	3	— 12	41	18.0	298	
7857	9.7		42	7.09	3	— 2	26	37.3	36	
7858	10.0		42	10.95	3	+ 11	56	22.8	230	
7859	9.0		42	12.89	3	— 6	7	39.3	300	
7860	10.0		42	13.63	3	+ 8	49	56.2	37	a
—	10.0	18	42	13.62	3	+ 8	49	56.0	226	
7861	9.9		42	15.75	1	+ 1	24	7.8	44	
—	10.0		42	15.77	2	+ 1	24	6.6	137	
7862	10.0		42	17.11	3	+ 9	8	29.3	232	
7863	9.0		42	17.80	3	+ 2	19	23.0	293	
7864	9.6	18	42	24.02	2	— 4	1	55.5	49	a
—	9.5		42	24.33	3	— 4	1	54.0	144	
7865	9.0		42	24.43	3	+ 9	2	45.7	233	
7866	9.0		42	28.24	3	— 12	43	41.0	146	
7867	10.0		42	29.36	3	— 4	15	32.0	301	
7868	10.0	18	42	29.95	3	+ 7	6	13.6	38	
7869	10.0		42	32.56	2	— 23	29	44.8	299	
7870	9.0		42	38.62	3	— 10	21	29.7	298	
7871	10.0		42	39.02	3	+ 17	16	13.0	228	
7872	8.5		42	47.14	3	— 28	44	32.0	300	
7873	10.0	18	42	47.80	1	+ 1	23	35.8	53	
—	9.5		42	47.75	3	+ 1	23	35.7	56	
7874	8.0		42	49.15	6	+ 10	37	37.9	306	
—	8.0		42	49.07	5	+ 10	37	36.9	308	
7875	10.0		42	55.92	3	+ 13	57	40.1	302	
7876	10.0	18	42	57.48	3	+ 5	33	36.7	46	
7877	10.0		42	58.42	2	+ 13	52	56.1	54	
7878	9.9		42	59.41	3	— 6	17	49.9	43	
7879	9.5		42	59.80	3	+ 17	47	55.8	229	
7880	8.5		43	0.98	5	— 18	34	14.1	390	
7881	9.0	18	43	2.89	3	— 15	45	56.6	50	
7882	9.3		43	10.96	4	+ 5	22	18.0	138	
7883	7.5		43	13.56	4	+ 15	41	44.2	227	
7884	9.0		43	14.74	4	— 31	5	55.2	42	
7885	10.0		43	15.45	2	+ 8	47	25.7	231	n
7886	9.5	18	43	22.51	3	+ 11	44	11.5	145	
—	9.0		43	22.11	3	+ 11	44	11.9	296	
—	10.0		43	22.34	3	+ 11	44	11.8	365	
—	9.0		43	22.23	4	+ 11	44	12.7	368	
7887	8.0		43	25.73	4	+ 11	48	38.4	225	
7888	10.0	18	43	30.29	2	+ 7	48	3.6	226	n
7889	8.5		43	30.64	2	+ 3	7	36.2	224	
7890	10.0		43	32.33	4	+ 6	58	33.7	48	
7891	8.5		43	33.23	3	— 8	31	17.0	297	
7892	10.0		43	35.46	3	+ 18	42	54.9	228	
7893	9.2	18	43	35.53	3	+ 4	21	27.3	141	
7894	9.5		43	37.05	3	— 6	38	2.1	142	
7895	10.0		43	37.86	2	— 29	33	31.6	51	
7896	10.0		43	38.21	3	+ 9	20	47.7	230	
7897	10.0		43	39.27	3	— 15	24	41.7	221	
—	10.0	18	43	39.13	3	— 15	24	44.4	301	
7898	10.0		43	39.52	3	+ 11	7	9.4	232	n
7899	10.0		43	45.69	3	— 26	9	23.0	303	
7900	9.0		43	52.12	3	+ 19	0	43.6	229	
7901	7.0		43	52.77	2	— 20	25	54.9	299	
7902	10.0	18	43	57.57	2	+ 4	47	8.9	37	
7903	9.5		44	0.66	3	— 13	54	16.2	298	
7904	10.0		44	1.01	3	— 9	45	24.4	146	
7905	9.8		44	7.69	3	— 5	31	15.3	144	
7906	9.6		44	18.57	3	— 17	32	20.8	221	
7907	10.0	18	44	23.72	2	+ 7	47	19.7	38	
—	10.0		44	23.89	2	+ 7	47	19.7	46	
—	10.0		44	23.78	2	+ 7	47	21.4	226	
7908	10.5		44	23.84	3	— 11	42	12.8	304	
7909	9.8		44	23.86	3	+ 18	40	18.8	149	
7910	9.0	18	44	34.34	3	+ 9	22	36.8	233	n
7911	10.0		44	45.11	2	— 10	36	25.5	147	
7912	9.0		44	50.26	4	— 6	29	29.6	142	
7913	10.0		44	50.27	3	— 13	3	34.0	146	
7914	8.0		44	51.31	3	— 6	28	48.9	43	
—	8.6	18	44	51.11	4	— 6	28	51.3	49	
7915	9.2		44	52.33	3	+ 5	27	50.9	138	
7916	9.1		44	56.91	3	+ 9	48	22.5	54	
7917	10.0		45	1.73	5	+ 5	17	58.1	52	
7918	8.5		45	1.93	3	+ 10	30	35.8	145	
7919	9.8	18	45	2.94	4	— 0	44	55.8	137	n
7920	9.0		45	15.55	2	— 9	25	46.0	298	
7921	10.0		45	23.16	2	+ 8	1	56.3	48	
7922	8.1		45	23.75	3	— 20	7	28.7	50	
7923	10.0		45	25.22	3	— 9	24	23.6	303	

No.	Grösse	Rectascension 1880.0 h m s	Fäden	Declination 1880.0 ° ′ ″	Zone	Bemerkungen
—	9.0	18 45 25.34	3	− 9 24 23.7	365	
—	9.2	45 25.20	3	− 9 24 25.5	368	
7924	10.0	45 25.34	3	+ 4 1 8.4	53	
7925	9.2	45 25.57	3	+ 8 53 28.1	233	n
7926	9.5	45 26.10	3	− 15 33 42.5	51	
7927	9.0	18 45 26.59	1	+ 3 42 40.6	226	
7928	9.0	45 29.52	3	+ 12 1 35.8	230	
7929	9.0	45 29.83	3	+ 10 9 39.9	232	
7930	8.3	45 30.67	4	− 26 31 57.4	42	
7931	10.5	45 30.69	1	− 9 12 1.4	304	
7932	8.0	18 45 32.24	4	− 22 32 3.9	300	
—	8.0	45 32.26	4	− 22 32 5.6	366	
7933	9.0	45 34.13	4	+ 14 52 49.0	225	
7934	8.0	45 43.33	4	+ 14 24 44.7	231	
7935	9.1	45 46.05	3	− 6 56 40.5	297	
7936	9.5	18 45 47.86	2	+ 12 32 43.7	230	
7937	9.5	45 47.87	3	+ 17 52 17.9	149	
7938	9.0	45 52.97	3	+ 22 56 38.8	229	n
7939	9.7	45 53.06	3	− 12 30 2.6	146	
7940	9.2	46 0.43	3	+ 5 22 18.3	141	
7941	10.0	18 46 1.44	3	− 9 4 33.3	301	
7942	9.7	46 2.20	3	+ 7 45 26.7	37	
7943	9.0	46 3.33	3	+ 17 12 15.9	227	
7944	7.8	46 3.64	2	− 15 28 19.7	51	
7945	10.0	46 4.24	3	− 13 56 49.9	305	
7946	9.3	18 46 7.57	3	− 24 8 7.5	306	
7947	9.0	46 8.71	3	+ 6 27 23.7	52	
—	7.8	46 8.56	4	+ 6 27 25.4	224	
7948	9.0	46 10.10	4	+ 1 44 13.2	44	
7949	10.0	46 15.51	2	− 10 29 15.3	221	n
7950	10.0	18 46 22.54	1	− 9 2 41.2	303	
—	10.0	46 22.45	2	− 9 2 41.7	307	
—	9.5	46 22.55	3	− 9 2 40.8	308	
7951	9.2	46 26.09	3	+ 12 30 55.1	54	
7952	10.0	46 26.34	3	+ 17 31 11.8	228	A.R. + 10s corr.
7953	9.0	18 46 29.01	3	+ 5 49 23.2	46	
7954	10.0	46 31.55	3	− 2 58 4.9	56	
7955	9.0	46 31.91	4	− 6 25 11.3	144	
7956	10.0	46 37.06	2	− 12 43 10.3	147	
—	9.8	46 36.91	2	− 12 43 12.1	307	
7957	10.0	18 46 37.51	3	+ 3 42 27.6	226	
7958	9.0	46 38.68	3	− 17 4 45.9	50	
7959	10.0	46 42.61	3	− 7 12 58.5	304	
7960	9.5	46 46.76	3	+ 3 31 51.3	138	
—	9.0	46 46.79	3	+ 3 31 51.2	231	
7961	7.0	18 46 50.03	1	+ 14 23 32.5	54	A
7962	10.0	46 50.25	2	+ 14 28 26.2	145	
7963	9.0	46 54.87	3	+ 17 18 50.8	227	
7964	9.0	46 55.10	1	+ 9 6 35.7	230	
7965	8.6	46 55.51	3	− 4 21 55.5	43	
7966	9.3	18 46 55.98	3	− 31 16 34.6	300	
7967	10.0	46 57.06	3	− 10 43 34.1	146	f
—	11.0	46 57.09	2	− 10 43 35.8	306	
7968	10.0	47 1.09	3	+ 5 50 33.9	141	
7969	9.0	47 8.18	3	+ 17 21 8.4	149	
7970	9.0	18 47 10.84	3	+ 12 25 17.5	225	
7971	9.0	47 11.74	3	− 13 56 6.0	298	
7972	9.0	47 17.80	3	− 5 41 20.9	144	
7973	10.0	47 17.98	4	− 0 57 23.8	137	
7974	10.0	47 23.54	3	+ 17 38 31.9	228	
7975	10.0	18 47 27.79	3	− 13 41 39.3	301	
7976	9.2	47 29.65	2	− 9 38 54.1	303	
7977	10.0	47 38.44	2	+ 2 31 24.2	44	
7978	9.0	47 39.70	3	− 7 40 51.6	297	
7979	10.0	47 40.94	2	+ 7 26 3.2	224	n
7980	10.0	18 47 42.19	2	− 10 38 30.2	305	
7981	10.0	47 43.80	1	+ 8 38 46.9	139	
7982	10.0	47 45.42	3	+ 1 10 13.7	293	
7983	9.7	47 45.43	3	+ 6 3 59.5	53	
7984	9.5	47 45.74	3	+ 8 39 51.8	302	
7985	10.0	18 47 46.30	3	− 28 41 48.0	51	
7986	8.0	47 47.41	2	+ 5 19 8.5	226	
7987	10.0	47 48.04	2	− 11 47 21.9	307	
7988	10.0	47 50.48	2	+ 9 2 10.6	229	
7989	10.0	47 53.98	3	+ 7 25 48.1	48	
—	9.5	18 47 54.30	1	+ 7 25 45.9	224	d
7990	9.8	47 57.40	3	− 6 37 28.4	304	
7991	10.0	47 59.38	3	− 10 24 50.1	308	
—	9.5	47 59.25	3	− 10 24 54.0	365	
7992	10.0	47 59.40	3	+ 1 3 16.7	296	
7993	9.2	18 48 0.75	3	− 13 35 36.1	298	
7994	10.0	48 1.90	2	+ 12 19 10.7	367	n
7995	10.0	48 2.72	3	− 4 0 42.1	369	n
7996	9.2	48 2.88	2	− 5 31 41.6	368	
7997	10.0	48 5.31	1	+ 12 18 39.6	367	n
7998	10.0	18 48 6.73	3	+ 14 52 33.3	232	
7999	9.5	48 7.21	3	− 9 36 20.2	147	
—	9.0	48 7.22	1	− 9 36 —	301	
8000	9.0	48 7.77	4	− 5 53 33.0	49	
8001	10.0	48 9.57	3	+ 12 18 14.3	231	
—	10.0	18 48 9.96	4	+ 12 18 18.1	366	
8002	9.0	48 10.89	3	+ 11 34 14.2	233	
8003	8.3	48 16.35	4	− 19 7 39.8	50	
8004	10.0	48 16.79	3	+ 6 7 8.9	38	
8005	10.0	48 17.55	3	− 8 21 31.8	306	
—	10.0	18 48 17.60	2	− 8 21 35.1	368	
8006	9.5	48 19.62	3	+ 11 19 41.4	230	
8007	9.2	48 21.54	3	− 0 32 9.5	56	
8008	9.3	48 24.13	3	+ 7 34 8.6	52	
8009	10.0	48 25.11	1	+ 12 9 29.0	225	s n

No.	Grösse	Rectascension 1880.0 h m s	Fäden	Declination 1880.0 ° ′ ″	Zone	Bemerkungen
8010	9.2	18 48 27.77	3	+ 3 49 46.3	37	
8011	9.3	48 34.17	3	+ 5 47 14.9	140	
8012	7.0	48 40.83	2	+ 14 51 32.0	54	
8013	9.0	48 42.50	2	— 8 44 27.9	43	
8014	10.0	48 45.87	3	— 13 4 49.5	146	
8015	10.0	18 48 52.14	3	+ 17 19 51.7	227	n
8016	9.8	48 52.53	3	— 6 17 52.3	144	
8017	9.2	48 54.31	2	— 1 23 41.9	293	n
8018	10.0	48 54.78	3	— 26 16 28.0	300	
8019	9.3	48 55.85	3	— 8 20 14.4	297	
8020	9.0	18 48 58.59	2	— 15 6 17.9	307	
8021	9.0	49 1.12	1	— 29 4 37.7	369	
—	9.2	49 1.35	2	— 29 4 39.3	371	
8022	9.5	49 2.55	3	— 7 11 22.5	304	
8023	9.2	49 3.93	2	— 1 22 20.9	293	n
—	10.0	18 49 3.80	3	— 1 22 17.4	365	
8024	9.5	49 7.16	3	— 1 43 54.0	137	
8025	10.0	49 10.01	3	— 9 39 36.5	298	
8026	9.0	49 14.69	2	— 8 21 28.0	306	
8027	9.2	49 16.18	3	— 11 10 21.7	303	
8028	9.4	18 49 17.24	3	— 11 10 52.2	147	
—	9.0	49 17.44	3	— 11 10 55.4	305	
8029	7.5	49 18.01	3	— 18 53 28.6	308	
8030	10.0	49 29.19	1	— 7 10 53.6	304	u
8031	9.0	49 30.87	3	— 3 6 22.6	309	
8032	10.0	18 49 30.90	3	+ 12 8 33.1	229	
8033	9.7	49 33.23	3	+ 8 25 21.6	46	
8034	8.2	49 34.93	1	— 8 14 3.3	307	
8035	10.0	49 38.93	3	+ 14 44 49.2	225	
8036	8.6	49 44.85	3	+ 23 0 35.9	149	
8037	10.0	18 49 45.27	3	— 8 38 25.1	366	
8038	10.0	49 46.30	3	+ 12 8 36.1	232	
8039	9.0	49 46.34	3	+ 9 33 44.7	230	a
—	9.0	49 46.45	3	+ 9 33 44.8	233	
8040	9.0	49 56.24	3	— 8 23 25.8	308	
8041	10.0	18 49 56.51	3	+ 8 39 38.0	302	
8042	9.5	49 56.55	3	— 23 56 41.8	300	
8043	10.0	49 57.65	3	— 6 12 5.9	305	
8044	10.0	50 0.41	1	— 4 33 24.7	297	
—	10.0	50 0.63	3	— 4 33 24.6	368	
8045	8.0	18 50 1.26	3	+ 8 38 18.6	226	
8046	10.0	50 2.46	3	+ 18 24 37.3	227	Durch
8047	10.0	50 9.82	2	+ 8 21 25.4	370	Wolken.
—	10.0	50 10.03	3	+ 8 21 25.1	372	
8048	9.2	50 11.23	2	+ 7 26 20.0	365	
8049	10.0	18 50 12.51	3	— 4 43 55.0	301	
8050	10.0	50 16.92	3	+ 18 10 29.0	228	
8051	9.5	50 20.73	3	+ 10 40 18.5	231	
8052	9.5	50 21.94	3	— 10 53 7.5	146	
8053	10.0	50 27.08	2	— 8 12 28.2	303	

No.	Grösse	Rectascension 1880.0 h m s	Fäden	Declination 1880.0 ° ′ ″	Zone	Bemerkungen
8054	9.5	18 50 31.34	2	+ 3 2 26.9	38	
—	9.5	50 31.41	1	+ 3 2 28.9	309	
8055	10.0	50 31.45	3	— 18 34 39.4	221	
8056	9.4	50 31.92	3	— 9 1 28.5	147	
8057	7.0	50 32.50	5	— 19 18 36.4	50	
8058	9.2	18 50 34.82	3	+ 23 0 45.4	149	
8059	10.0	50 37.16	2	— 4 21 55.9	306	
8060	10.0	50 39.77	3	+ 0 3 24.5	296	
8061	9.2	50 48.38	3	— 5 2 42.9	298	
8062	10.0	50 57.88	2	+ 8 15 22.3	226	
8063	10.0	18 51 1.04	3	+ 22 55 58.1	228	
8064	8.0	51 2.31	1	+ 18 12 37.0	227	
8065	10.0	51 4.63	1	— 25 50 56.7	299	
8066	9.0	51 4.99	3	— 9 55 53.0	146	
8067	9.0	51 13.75	2	+ 1 11 9.4	307	
8068	8.5	18 51 20.09	2	+ 5 51 55.0	52	
8069	9.5	51 22.10	2	— 7 49 33.4	301	
—	9.2	51 22.21	2	— 7 49 34.9	365	
8070	9.0	51 25.37	3	+ 0 24 39.8	293	
8071	10.0	51 25.98	4	+ 14 39 58.7	225	
8072	10.0	18 51 31.49	3	+ 11 27 51.8	229	
8073	8.0	51 32.06	3	+ 9 53 42.8	143	
8074	9.0	51 32.77	2	+ 13 34 3.4	302	
8075	10.0	51 38.43	3	— 5 8 26.0	297	
8076	9.2	51 39.17	2	+ 13 34 51.5	302	
8077	10.0	18 51 40.75	1	— 4 9 4.4	144	
—	10.0	51 40.73	2	— 4 9 4.4	303	
8078	9.8	51 41.69	2	— 9 54 25.4	147	
—	10.0	51 41.78	3	— 9 54 25.2	300	
8079	9.7	51 44.56	3	+ 3 32 33.0	46	
8080	9.0	18 51 46.53	3	+ 0 57 33.1	296	
8081	9.8	51 50.07	2	— 27 20 17.8	50	
8082	8.5	51 58.92	3	+ 22 39 2.9	149	
8083	10.0	52 0.64	1	+ 2 12 44.4	56	n
8084	9.0	52 1.28	3	+ 5 57 8.3	139	
8085	10.0	18 52 3.87	4	+ 9 25 38.0	222	
8086	9.3	52 4.85	3	— 8 6 13.9	43	
8087	8.5	52 8.70	3	+ 5 47 16.7	38	
—	9.0	52 9.08	4	+ 5 47 17.6	140	
—	9.0	52 8.69	4	+ 5 47 15.4	309	
8088	9.5	18 52 14.80	4	— 25 35 29.4	51	
8089	9.0	52 21.24	3	+ 2 13 7.3	233	n
8090	9.5	52 22.60	3	+ 1 29 31.7	141	
8091	10.0	52 25.04	1	— 23 52 8.4	298	u
8092	9.0	52 28.57	3	— 10 9 31.4	146	
8093	9.5	18 52 33.81	3	+ 14 55 20.5	225	
8094	9.7	52 33.86	3	— 6 55 40.9	58	
—	9.2	52 33.76	3	— 6 55 40.9	297	
8095	9.2	52 33.86	3	— 1 11 6.0	293	
8096	8.5	52 34.07	4	— 9 43 34.9	366	

No.	Grösse	Rectascension 1880.0	Fäden	Declination 1880.0	Zone	Bemerkungen
		h m s		° ′ ″		
8097	8.0	18 52 34.22	3	— 24 33 41.3	368	
8098	9.0	52 36.29	3	+ 1 10 38.0	308	
8099	10.0	52 36.41	3	— 2 51 29.4	137	
8100	10.0	52 38.16	1	— 3 56 34.5	144	
—	10.0	52 38.50	3	— 3 56 37.5	306	
8101	10.0	18 52 38.43	3	— 9 42 2.9	221	n
—	9.6	52 38.42	4	— 9 42 3.0	304	
8102	10.0	52 44.74	2	+ 9 44 31.7	229	n
—	10.0	52 44.83	3	+ 9 44 29.6	231	
8103	9.2	52 50.14	3	— 26 20 40.2	299	
8104	10.5	18 52 52.13	2	+ 7 46 0.9	48	u
—	10.0	52 51.70	3	+ 7 45 58.6	232	
8105	10.0	52 57.51	3	+ 11 23 22.4	230	
8106	9.5	52 57.62	1	+ 10 30 29.6	309	
8107	9.2	52 57.75	3	— 20 58 0.9	367	
8108	9.5	18 52 58.43	3	— 24 33 6.6	51	
8109	10.0	52 59.56	2	+ 7 8 53.0	46	
—	10.0	52 59.70	3	+ 7 8 52.0	224	
8110	10.0	53 2.33	2	+ 0 17 15.6	307	n
8111	8.0	53 3.17	3	+ 14 12 9.7	143	
8112	10.0	18 53 3.21	3	— 0 8 7.2	296	
8113	10.0	53 5.66	3	— 10 16 37.3	300	
8114	10.0	53 6.09	2	+ 9 45 29.9	54	
8115	9.9	53 10.70	3	+ 5 17 57.7	53	
8116	9.5	53 11.97	3	— 6 14 2.6	142	
8117	9.0	18 53 17.73	3	— 1 33 16.4	293	
8118	10.0	53 24.81	2	— 2 45 36.6	233	
8119	9.0	53 25.43	3	— 8 58 44.7	49	
8120	9.5	53 29.—	—	— 5 33 13.1	297	
—	9.5	53 29.07	3	— 5 33 17.1	305	
—	10.0	18 53 29.32	3	— 5 33 17.3	365	
8121	9.0	53 29.75	3	+ 18 28 38.9	227	
8122	9.7	53 30.88	3	— 10 26 19.4	146	
8123	9.5	53 31.46	2	— 20 47 19.9	50	
8124	7.5	53 31.50	4	— 19 49 19.4	42	
8125	9.3	18 53 32.17	4	+ 5 33 30.3	52	
8126	9.0	53 32.62	3	+ 22 13 6.9	149	
8127	9.0	53 33.20	3	— 0 28 37.4	44	
8128	9.0	53 34.70	3	— 23 27 16.7	301	
8129	9.0	53 38.82	3	— 6 56 31.4	43	
8130	10.0	18 53 40.96	3	+ 5 38 21.8	139	
—	9.5	53 40.—	—	+ 5 38 23.6	224	
—	10.0	53 40.62	1	+ 5 38 23.4	368	
—	9.5	53 40.81	3	+ 5 38 21.1	370	
8131	9.5	53 44.27	2	— 3 27 38.1	367	
8132	8.0	18 53 45.36	2	+ 14 58 2.7	145	
—	7.5	53 45.31	3	+ 14 58 1.7	225	
8133	10.0	53 47.45	3	— 8 29 4.7	303	
8134	9.3	53 49.05	2	+ 3 56 54.9	37	
—	9.5	53 49.15	3	+ 3 56 56.2	140	
8135	9.0	18 53 50.23	4	+ 19 28 31.3	228	
8136	9.2	53 55.43	3	— 13 39 59.3	147	
8137	9.0	53 58.98	3	+ 22 20 16.9	229	
8138	10.0	54 2.77	4	— 9 55 38.1	221	
8139	10.0	54 4.82	3	— 6 32 25.5	304	
8140	8.0	18 54 8.13	4	— 23 23 42.5	298	
8141	9.0	54 13.39	3	+ 13 6 2.0	143	n
8142	10.0	54 16.16	1	— 9 41 30.6	300	
—	11.0	54 16.12	1	— 9 41 31.9	305	
8143	9.0	54 16.57	3	— 26 10 17.1	299	
8144	9.0	18 54 17.17	3	+ 14 57 50.8	230	n
8145	9.0	54 17.59	4	+ 7 55 35.2	232	
8146	10.0	54 20.30	2	— 6 12 51.4	58	
8147	9.8	54 24.97	2	— 8 13 48.5	144	
8148	9.5	54 29.34	3	— 10 15 17.2	146	
8149	9.2	18 54 30.02	3	+ 13 32 23.2	302	dpl. sq.
8150	10.0	54 33.49	2	+ 7 54 45.8	38	
8151	10.0	54 45.44	3	+ 5 18 20.0	226	
8152	9.0	54 46.75	2	— 7 40 37.6	49	
8153	10.0	54 47.41	2	— 9 42 31.5	301	
8154	9.0	18 54 49.91	4	+ 8 24 12.3	141	
8155	9.7	54 50.35	3	+ 18 34 58.2	149	
—	9.2	54 50.40	3	+ 18 34 58.4	227	
8156	9.8	54 52.21	3	+ 3 24 45.5	52	
8157	9.8	54 52.97	3	+ 2 21 25.2	44	
8158	10.0	18 54 55.94	2	— 2 38 14.3	56	
—	10.0	54 55.81	2	— 2 38 16.2	296	
8159	9.3	54 56.29	3	— 8 4 44.1	142	
8160	8.5	54 57.15	3	— 23 51 46.1	42	
8161	10.0	54 57.38	3	+ 6 1 28.0	231	n
8162	9.5	18 55 0.89	3	— 7 10 10.8	303	
8163	9.2	55 1.04	2	+ 5 29 49.3	48	
8164	9.0	55 2.01	3	+ 13 4 18.3	222	n
8165	9.0	55 2.62	2	+ 11 34 39.4	54	
8166	9.9	55 3.42	3	+ 5 18 6.8	53	
8167	9.0	18 55 9.22	3	+ 8 38 45.7	140	
8168	10.0	55 11.05	3	+ 7 17 32.9	46	
8169	9.0	55 11.19	3	— 0 1 17.0	293	
8170	9.0	55 13.21	3	— 10 17 40.4	146	
8171	10.0	55 15.79	3	+ 6 7 9.4	365	
8172	10.0	18 55 16.00	2	— 13 50 32.0	147	
8173	10.0	55 19.08	3	+ 0 27 20.3	233	
8174	10.0	55 30.37	3	— 0 18 26.0	306	
8175	10.0	55 34.01	3	— 0 18 11.7	302	
8176	10.0	55 36.69	1	— 4 3 8.7	58	
8177	9.0	18 55 38.79	1	— 8 26 31.0	300	
—	9.0	55 38.50	3	— 8 26 31.2	304	
8178	9.8	55 41.53	2	+ 13 17 7.2	222	
8179	9.5	55 45.77	3	+ 11 39 0.2	143	
8180	9.0	55 54.95	3	+ 9 0 13.4	232	

No.	Grösse	Rectascension 1880.0 h m s	Fäden	Declination 1880.0 ° ′ ″	Zone	Bemerkungen
8181	9.0	18 55 55.88	3	+ 4 39 58.3	37	
8182	9.0	55 55.94	4	+ 11 25 13.4	225	
8183	7.0	55 56.59	3	+ 19 59 19.6	227	A
8184	9.0	56 0.52	3	— 9 0 3.5	298	
8185	10.0	56 1.78	3	— 8 58 49.7	221	n
8186	9.0	18 56 3.13	3	+ 22 55 21.3	228	
—	9.0	56 3.21	3	+ 22 55 20.5	229	
—	9.0	56 3.21	4	+ 22 55 21.6	307	
8187	10.0	56 3.89	4	+ 2 19 42.8	137	
8188	9.5	56 12.18	3	— 7 36 44.1	142	
8189	10.0	18 56 13.11	3	+ 18 5 13.7	149	
8190	9.0	56 18.90	3	— 9 8 53.0	146	
8191	10.0	56 22.32	4	— 7 28 19.9	144	
8192	9.8	56 22.91	3	— 24 44 23.3	50	
—	9.0	56 23.13	4	— 24 44 23.9	51	
8193	8.0	18 56 31.57	3	+ 5 15 10.4	139	
8194	9.0	56 36.16	2	+ 10 24 28.0	143	n
8195	9.5	56 43.47	3	+ 15 5 50.6	229	
—	9.2	56 43.66	3	+ 15 5 50.5	230	
8196	9.4	56 52.12	4	+ 2 22 7.8	44	
8197	10.0	18 56 52.57	1	+ 8 16 59.7	231	n
—	10.0	56 52.83	3	+ 8 17 2.3	366	
8198	8.5	56 53.57	3	+ 3 3 56.6	38	
8199	9.0	56 58.35	3	+ 22 40 25.9	228	
8200	8.0	56 58.63	3	+ 8 15 34.7	224	
—	9.0	18 56 58.67	3	+ 8 15 33.7	365	
8201	10.0	57 0.03	2	+ 11 35 57.8	54	
8202	8.0	57 0.04	3	— 7 32 10.6	142	
8203	10.0	57 1.98	3	— 11 33 11.7	147	
8204	9.3	57 6.46	3	+ 3 15 37.9	46	
8205	9.0	18 57 13.07	4	+ 5 28 12.2	48	
8206	10.0	57 21.78	3	+ 17 50 2.3	149	
8207	9.0	57 22.56	3	— 10 26 17.1	367	n
8208	6.0	57 27.85	2	+ 1 38 49.0	56	
8209	9.2	57 30.86	3	— 13 57 18.7	58	
—	9.0	18 57 30.67	2	— 13 57 17.7	300	
8210	10.0	57 31.64	3	— 10 27 12.0	221	u n
—	9.1	57 31.72	2	— 10 27 14.8	367	
—	9.2	57 31.78	3	— 10 27 17.2	369	
8211	10.0	57 33.34	4	— 27 41 45.6	42	
8212	10.0	18 57 35.00	3	+ 6 9 57.8	368	
8213	7.5	57 44.32	3	+ 2 18 32.7	293	
8214	9.5	57 48.92	4	+ 14 59 45.0	230	
8215	10.0	57 56.41	3	+ 4 8 51.2	53	a
—	10.0	57 56.26	2	+ 4 8 52.7	224	
8216	8.0	18 57 58.11	4	+ 8 36 19.3	141	
8217	9.6	58 0.25	4	+ 4 5 32.8	52	
8218	8.9	58 0.75	3	— 14 1 20.1	146	
—	9.0	58 1.08	1	— 14 1 17.9	300	
8219	7.0	58 2.16	3	+ 9 11 40.9	143	
8220	10.0	18 58 3.—	—	+ 6 13 47.1	139	
—	10.0	58 3.00	3	+ 6 13 44.5	233	
8221	9.0	58 3.63	3	+ 20 6 2.2	227	
8222	9.0	58 4.70	4	— 8 53 5.3	297	
—	9.0	58 4.97	3	— 8 53 6.5	298	
8223	9.6	18 58 6.13	4	— 4 36 27.9	49	f
8224	9.5	58 7.26	3	— 19 51 55.1	50	
8225	9.0	58 8.82	3	+ 2 55 16.7	306	
8226	10.0	58 9.21	3	+ 18 12 18.4	228	dpl. sq.
8227	10.0	58 13.25	2	+ 12 23 15.5	225	
8228	10.5	18 58 13.—	—	+ 7 16 32.0	48	s u
—	10.0	58 13.30	2	+ 7 16 35.2	233	
8229	9.3	58 13.69	5	— 18 28 32.0	51	
8230	8.5	58 13.82	3	+ 13 30 19.4	222	
8231	9.0	58 16.33	3	— 7 37 36.7	57	
8232	10.0	18 58 19.15	3	— 1 52 53.2	296	
—	10.0	58 19.31	3	— 1 52 53.6	366	
8233	8.8	58 21.58	3	+ 4 47 56.3	38	
—	9.5	58 21.46	3	+ 4 47 53.6	232	
8234	10.0	58 22.21	2	— 11 15 10.2	301	n
8235	10.0	18 58 24.55	2	+ 6 18 11.7	140	
8236	9.0	58 26.67	2	+ 4 42 18.9	302	
8237	8.0	58 36.35	3	— 4 13 3.1	303	
—	7.5	58 36.52	3	— 4 13 4.9	307	
8238	9.8	58 36.77	3	— 12 35 39.5	147	
8239	6.0	18 58 37.81	3	— 4 12 33.5	303	
—	5.5	58 37.72	3	— 4 12 32.7	307	
8240	9.0	58 39.08	3	+ 1 37 34.4	44	
8241	9.5	58 39.74	2	+ 7 4 45.1	231	
—	9.5	58 39.91	2	+ 7 4 45.0	302	
8242	10.0	18 58 40.29	3	— 9 0 51.7	146	
8243	10.0	58 43.35	3	— 5 6 23.1	144	
8244	9.5	58 45.01	4	+ 3 33 50.0	46	
8245	9.5	58 49.07	4	+ 19 59 59.2	229	
8246	10.0	58 49.22	4	— 7 43 3.1	304	
8247	10.0	18 58 58.67	3	— 4 42 18.5	298	
8248	10.0	59 1.72	3	+ 17 40 46.9	227	
8249	9.5	59 1.74	3	+ 18 10 43.1	149	
8250	10.0	59 1.83	3	— 11 27 12.0	305	
8251	9.0	59 2.13	4	— 18 20 41.3	299	
8252	10.0	18 59 7.49	2	+ 12 45 48.0	222	
8253	9.6	59 11.73	3	— 15 50 9.4	51	
8254	8.8	59 13.72	3	+ 2 34 5.9	56	
8255	9.0	59 21.32	4	— 15 19 13.1	50	
8256	8.0	59 27.33	2	— 3 49 9.4	304	
8257	9.0	18 59 29.50	3	+ 5 58 26.9	232	
8258	10.0	59 30.36	3	+ 7 42 43.2	139	
8259	10.0	59 30.87	2	— 29 20 36.6	42	
8260	9.3	59 38.26	3	+ 7 0 13.9	52	
8261	10.0	59 42.28	4	+ 12 2 31.4	230	n

No.	Grösse	Rectascension 1880.0 h m s	Fäden	Declination 1880.0 ° ′ ″	Zone	Bemerkungen
[illegible]	9.5	18 59 42.17	3	+ 12 2 32.9	306	
8262	7.5	59 46.04	5	+ 20 26 47.1	228	
—	8.0	59 46.06	3	+ 20 26 47.6	308	
8263	9.5	59 49.52	2	+ 11 59 44.2	302	n
8264	10.0	59 53.00	2	— 4 49 37.7	58	
8265	9.5	18 59 58.22	3	+ 4 2 41.3	46	
8266	10.0	19 0 6.16	3	— 9 1 6.6	300	
8267	10.0	0 10.31	1	— 15 17 47.4	299	
8268	10.0	0 11.80	3	+ 5 6 11.1	231	
—	9.5	0 11.55	4	+ 5 6 14.5	366	
8269	6.5	19 0 12.22	4	+ 12 1 34.2	229	
8270	9.8	0 23.82	3	— 7 57 38.8	144	
8271	9.5	0 27.21	3	+ 7 51 12.6	48	
8272	9.0	0 30.39	3	— 26 31 58.4	301	
—	8.5	0 30.26	4	— 26 32 3.7	367	
8273	9.2	19 0 32.19	3	— 12 31 54.2	298	
8274	10.0	0 36.80	3	+ 5 30 16.2	232	
8275	9.5	0 41.67	3	— 5 58 50.4	303	
8276	9.0	0 43.34	3	+ 8 51 7.6	140	
8277	7.0	0 43.40	2	+ 6 42 26.0	52	
8278	9.6	19 0 44.94	4	+ 23 8 14.6	148	
8279	9.5	0 45.83	3	+ 14 36 9.2	222	
8280	10.0	0 46.74	4	— 22 33 23.4	307	
8281	9.8	0 48.14	3	— 12 20 18.6	147	
8282	9.3	0 48.74	3	— 2 15 46.8	310	
8283	9.9	19 0 50.60	1	+ 2 15 12.7	56	n
8284	9.0	0 50.72	3	— 21 52 51.7	51	
8285	9.0	0 53.04	3	+ 20 9 48.6	227	
8286	9.2	0 53.47	3	+ 7 49 18.5	368	
8287	9.0	0 55.88	3	— 4 56 8.1	304	
8288	9.5	19 1 1.77	3	— 8 42 8.8	306	
8289	8.8	1 5.89	3	— 17 51 24.2	50	
8290	9.0	1 8.20	2	— 15 24 42.0	308	f
—	9.0	1 7.98	4	— 15 24 42.9	369	
8291	10.0	1 8.82	4	— 1 34 25.5	312	
8292	9.8	19 1 15.54	3	— 7 31 37.3	58	
8293	9.0	1 16.01	3	+ 7 27 19.2	302	
—	9.2	1 15.99	3	+ 7 27 15.9	371	
—	9.1	1 15.93	6	+ 7 27 16.8	372	
8294	9.0	1 17.28	1	— 2 40 59.8	310	
8295	10.0	19 1 18.19	3	— 10 32 24.1	305	
8296	10.0	1 19.67	3	+ 5 21 14.1	226	
8297	10.0	1 24.29	3	+ 12 24 41.0	143	
8298	9.5	1 25.37	3	— 1 55 33.2	44	
8299	7.5	1 25.97	3	+ 5 2 2.9	46	
—	7.0	19 1 25.70	2	+ 5 2 1.6	232	
8300	10.0	1 27.29	3	— 7 1 41.9	57	
—	10.0	1 27.34	3	— 7 1 41.9	309	
8301	9.0	1 28.08	4	+ 7 56 22.8	139	
8302	9.5	1 33.42	3	+ 11 51 9.7	230	n

No.	Grösse	Rectascension 1880.0 h m s	Fäden	Declination 1880.0 ° ′ ″	Zone	Bemerkungen
8303	9.0	19 1 33.87	3	— 13 58 17.7	298	
8304	10.0	1 39.88	3	+ 10 15 43.9	229	n
8305	9.0	1 46.38	3	+ 2 49 43.7	296	
8306	8.0	1 58.75	3	— 17 43 12.6	51	
8307	9.0	1 59.91	3	+ 2 10 45.9	308	
8308	9.0	19 2 4.07	3	— 7 47 17.4	144	
8309	10.0	2 15.12	1	— 5 23 6.5	303	
—	10.0	2 15.20	4	— 5 23 3.6	366	
8310	9.5	2 15.82	5	+ 3 20 3.2	48	
8311	9.2	2 18.42	2	— 14 5 33.9	298	
8312	10.0	19 2 21.30	3	+ 6 53 26.5	231	n
8313	10.0	2 26.75	3	— 15 44 23.9	300	
8314	9.0	2 30.36	2	+ 10 15 7.6	229	
8315	8.4	2 33.70	4	— 20 13 50.4	42	
8316	9.0	2 34.18	3	— 7 22 51.5	304	
8317	8.0	19 2 40.63	3	+ 4 55 47.3	232	
8318	9.0	2 40.90	3	+ 8 56 43.6	226	
8319	9.2	2 49.47	3	+ 15 8 37.6	148	
8320	10.5	2 50.75	1	— 5 1 30.7	58	u
—	10.0	2 50.99	3	— 5 1 31.4	144	
8321	10.0	19 2 53.68	3	+ 13 28 26.6	142	
—	9.5	2 53.57	4	+ 13 28 26.8	309	
8322	10.0	2 53.79	2	— 0 21 23.9	44	
8323	9.5	2 56.02	3	+ 13 34 7.6	222	
8324	10.0	2 56.75	3	+ 9 36 15.3	228	n
8325	10.0	19 2 58.88	3	+ 10 12 56.1	225	
8326	10.0	3 6.00	4	+ 18 7 47.4	149	
—	9.2	3 5.83	5	+ 18 7 50.1	369	
8327	10.0	3 11.24	2	+ 0 49 0.6	296	
—	9.8	3 11.17	3	+ 0 48 58.9	367	
8328	9.8	19 3 12.92	3	— 5 6 14.0	57	
8329	10.0	3 15.07	3	+ 22 2 29.7	227	
8330	8.0	3 16.85	1	+ 5 11 —	46	
—	9.0	3 16.73	2	+ 5 11 15.1	368	
8331	9.8	3 17.52	3	+ 5 10 50.0	46	
—	9.3	19 3 17.62	1	+ 5 10 52.6	368	
8332	9.3	3 19.43	3	— 1 21 22.7	371	
8333	9.0	3 22.46	3	— 14 0 53.7	298	
8334	8.0	3 35.53	4	+ 10 21 42.0	222	
8335	10.0	3 36.71	3	— 10 50 59.4	301	
8336	10.0	19 3 37.02	3	+ 4 45 10.6	139	
8337	10.0	3 38.86	3	— 19 36 12.9	50	
8338	10.0	3 42.37	4	+ 10 59 16.1	225	
8339	10.0	3 43.43	3	+ 4 38 12.8	140	
8340	10.0	3 46.94	3	— 1 31 41.8	56	a
—	9.0	19 3 46.99	3	— 1 31 44.3	308	
8341	10.0	3 53.28	3	— 1 9 52.4	307	
—	9.0	3 53.48	3	— 1 9 50.4	366	
8342	9.5	3 58.39	3	+ 10 52 33.2	228	
8343	9.8	3 58.95	2	+ 7 48 47.7	52	n

No.	Grösse	Rectascension 1880.0 h	m	s	Fäden	Declination 1880.0 °	'	"	Zone	Bemerkungen
8344	9.7	19	4	0.71	4	+ 15	0	8.0	148	
8345	9.7		4	4.42	4	+ 13	35	37.1	143	
8346	9.0		4	4.84	3	— 8	1	6.4	142	
8347	10.0		4	5.62	3	+ 4	50	48.0	226	
8348	10.0		4	7.91	3	+ 9	51	1.3	230	
8349	8.7	19	4	8.77	4	— 12	20	11.2	147	
8350	9.0		4	10.70	3	+ 7	28	16.3	231	
8351	10.0		4	11.56	3	— 2	38	26.5	305	
8352	9.0		4	13.91	3	+ 14	54	9.8	229	
8353	9.0		4	14.26	3	— 24	38	28.8	51	
8354	9.0	19	4	16.06	2	+ 6	55	35.6	232	
8355	10.0		4	16.92	3	— 5	54	32.8	144	n
8356	10.0		4	21.08	3	+ 15	6	3.6	227	n
—	10.0		4	21.19	2	+ 15	6	6.5	367	
8357	8.7		4	25.81	3	+ 0	29	46.8	296	
8358	9.5	19	4	26.47	2	+ 8	29	24.0	232	dpl. pr.
8359	9.5		4	32.90	3	+ 13	38	47.3	230	
8360	10.0		4	34.92	3	— 16	27	34.3	50	
8361	9.4		4	38.69	4	— 7	5	23.9	57	
—	9.0		4	38.35	1	— 7	5	23.4	303	
8362	8.0	19	4	43.00	5	— 19	23	3.8	42	
8363	9.0		4	50.90	3	+ 12	7	43.0	54	
8364	10.0		4	53.13	2	+ 3	49	57.0	48	
—	10.0		4	53.57	2	+ 3	49	59.1	310	u
8365	10.5		4	54.41	1	— 6	56	24.0	58	u
8366	9.1	19	4	58.82	3	— 0	27	14.3	44	
8367	9.0		5	4.27	3	+ 5	11	21.2	139	
8368	9.0		5	10.52	3	+ 14	16	10.4	222	
8369	10.0		5	14.32	2	+ 8	50	9.7	140	
—	10.0		5	14.04	3	+ 8	50	10.2	226	
8370	9.0	19	5	20.03	3	— 25	52	2.4	300	
8371	10.0		5	22.08	3	— 16	29	33.5	299	
8372	8.0		5	23.30	3	+ 4	33	58.2	231	
8373	9.8		5	24.91	3	+ 3	35	55.4	302	
8374	9.5		5	25.03	3	+ 13	21	54.5	229	
8375	9.3	19	5	26.95	4	+ 2	59	13.0	366	
8376	10.0		5	27.81	1	— 7	4	13.2	142	n
—	10.0		5	27.98	3	— 7	4	12.1	368	f
8377	9.0		5	34.37	3	— 20	25	32.1	51	
8378	10.0		5	44.94	3	+ 9	21	3.4	225	
—	9.0	19	5	45.02	3	+ 9	21	5.1	233	
8379	9.0		5	45.93	4	+ 18	49	45.4	309	
8380	10.5		5	50.91	3	+ 18	56	55.7	148	n
8381	9.5		5	52.46	3	— 7	4	28.9	144	
—	9.5		5	52.33	1	— 7	4	27.6	368	
—	10.0	19	5	52.30	4	— 7	4	28.4	369	
8382	9.8		5	56.97	3	— 10	24	5.3	146	
8383	10.0		5	57.79	2	— 5	51	57.4	57	
8384	7.5		6	2.02	4	+ 4	9	23.8	44	
8385	9.0		6	2.93	3	— 14	47	54.7	298	
8386	9.0	19	6	3.57	3	+ 14	43	5.5	222	
8387	10.0		6	5.12	2	— 3	52	59.2	303	f
8388	10.0		6	11.24	2	— 14	18	37.0	147	
—	10.0		6	11.20	3	— 14	18	39.5	307	
8389	9.0		6	13.99	3	— 6	39	29.6	58	
8390	9.0	19	6	18.97	3	— 17	18	20.0	300	
8391	9.3		6	19.42	4	+ 17	54	59.5	227	n
8392	9.0		6	20.10	4	+ 13	35	37.8	230	n
8393	9.5		6	22.46	3	— 14	38	59.1	305	
8394	9.5		6	22.81	3	+ 13	17	14.1	54	
8395	9.3	19	6	24.60	3	+ 19	13	57.6	149	
8396	10.0		6	26.03	3	— 20	23	42.3	301	n
8397	7.3		6	29.69	2	— 27	4	25.9	42	
8398	9.7		6	32.62	3	+ 3	52	10.8	139	
8399	9.0		6	33.39	3	— 22	7	37.4	299	
8400	9.5	19	6	34.94	3	+ 8	58	46.3	52	
—	9.5		6	34.46	2	+ 8	58	48.0	302	
—	9.0		6	34.82	3	+ 8	58	47.0	367	
8401	10.0		6	39.36	2	— 20	23	28.6	50	u
8402	8.0		6	39.38	3	+ 8	11	46.4	232	
8403	9.0	19	6	39.66	3	— 3	24	27.8	144	
—	10.0		6	39.48	2	— 3	24	28.1	306	
8404	9.0		6	44.16	3	— 13	56	27.3	298	
8405	10.0		6	45.14	3	— 8	29	23.6	304	
8406	9.7		6	46.44	3	— 11	11	58.7	146	
8407	10.0	19	6	48.06	3	+ 13	9	18.0	143	
—	9.5		6	47.98	3	+ 13	9	19.1	225	
—	9.5		6	47.77	3	+ 13	9	20.5	229	
8408	10.0		6	50.75	3	— 6	40	22.5	308	
8409	9.5		6	51.33	3	— 29	28	36.4	51	
8410	7.0	19	6	51.50	2	+ 17	50	53.5	228	f
8411	9.5		6	52.84	4	+ 0	28	26.0	44	
8412	9.3		6	53.06	3	+ 3	59	26.8	48	
8413	10.0		6	54.96	1	— 8	34	0.4	306	
8414	10.0		6	56.85	2	— 20	7	42.7	307	
8415	9.6	19	6	58.59	4	+ 0	24	51.1	56	
8416	9.0		7	8.44	3	+ 15	16	3.9	149	
8417	9.5		7	8.61	3	— 25	32	46.2	369	
8418	9.3		7	10.91	3	+ 20	18	44.7	148	
8419	9.0		7	12.88	3	— 15	0	24.6	300	
8420	9.0	19	7	12.97	3	+ 2	34	44.9	296	
8421	10.0		7	16.85	3	— 4	37	10.9	142	
8422	9.0		7	20.54	3	+ 5	15	50.9	46	
—	10.0		7	20.49	3	+ 5	15	50.9	226	
8423	8.5		7	23.69	3	— 18	6	15.2	301	
8424	10.0	19	7	25.05	1	— 6	33	44.6	57	
—	10.0		7	24.81	3	— 6	33	43.0	304	
8425	9.0		7	29.42	3	+ 2	8	42.1	310	
8426	9.0		7	34.46	3	— 9	1	51.7	305	
8427	10.0		7	34.52	3	+ 14	41	16.4	54	

No.	Grösse	Rectascension 1880.0 h	m	s	Fäden	Declination 1880.0 °	′	″	Zone	Bemerkungen
8428	9.0	19	7	36.06	3	— 5	2	49.4	303	
8429	9.0		7	37.19	3	— 10	9	55.9	147	
8430	9.0		7	41.19	2	— 12	47	20.8	298	
8431	7.0		7	43.23	2	— 8	55	20.8	58	
8432	10.0		7	46.96	4	+ 0	17	52.1	367	dpl. bor.
8433	6.5	19	7	47.48	4	+ 14	50	1.3	222	
8434	10.0		7	47.81	3	+ 0	17	15.3	308	n dpl. aust.
8435	8.0		7	49.44	3	+ 14	44	24.0	143	
8436	9.3		7	51.12	3	+ 4	36	50.0	52	
—	8.5		7	50.71	4	+ 4	36	50.1	368	
8437	10.0	19	7	52.83	3	+ 9	29	36.9	233	n
8438	7.0		7	56.28	3	— 8	4	4.0	144	
8439	9.5		7	59.25	3	— 2	19	26.0	296	
8440	9.5		8	0.28	3	+ 7	40	42.1	139	
8441	7.5		8	5.77	3	— 1	20	38.2	44	
8442	10.0	19	8	9.98	3	+ 4	51	3.0	140	
8443	9.0		8	12.15	1	+ 5	4	1.4	226	n A
—	9.3		8	11.90	4	+ 5	3	59.5	371	
—	9.2		8	12.23	4	+ 5	4	1.0	373	
8444	10.0		8	12.13	1	+ 20	58	54.2	149	n
—	10.0	19	8	12.58	1	+ 20	58	54.6	228	
8445	10.0		8	18.25	3	+ 6	20	28.4	231	
8446	10.0		8	20.43	3	— 23	41	17.2	42	
—	10.0		8	20.61	2	— 23	41	15.3	372	
8447	9.7		8	25.86	3	— 14	40	12.0	146	
8448	9.0	19	8	27.37	3	— 9	48	3.8	301	
8449	10.0		8	28.41	3	— 19	34	24.7	51	
—	10.0		8	28.40	3	— 19	34	28.1	369	
8450	9.5		8	30.83	3	— 12	4	2.2	147	
8451	7.5		8	34.72	4	— 30	40	5.9	50	
8452	9.0	19	8	34.80	3	+ 23	0	12.7	309	
8453	10.0		8	36.43	3	+ 22	59	38.5	148	n
8454	9.5		8	44.26	3	+ 10	51	15.5	225	
8455	9.5		8	45.51	1	+ 9	0	53.2	222	
—	10.0		8	45.51	3	+ 9	0	49.5	229	
8456	9.8	19	8	50.47	3	+ 14	20	28.9	230	n
8457	7.0		8	52.79	2	— 15	2	41.5	298	
8458	9.4		8	53.76	3	— 7	54	23.2	57	
8459	9.0		8	53.98	4	+ 19	52	32.8	227	
8460	9.0		8	55.62	2	— 16	29	12.7	299	
8461	9.0	19	8	57.47	2	— 16	30	23.2	299	
8462	10.0		8	57.55	3	+ 3	40	24.1	48	
8463	10.0		9	2.05	3	+ 3	36	16.8	232	
—	10.0		9	2.22	2	+ 3	36	20.0	302	
8464	9.5		9	2.77	3	— 13	12	37.6	146	
8465	9.0	19	9	12.16	2	+ 9	41	58.2	225	n
—	9.0		9	11.94	4	+ 9	41	58.0	233	
8466	9.5		9	18.89	3	+ 12	16	29.1	54	
8467	8.0		9	25.25	3	— 3	5	10.1	144	
8468	10.0		9	28.62	3	— 7	58	58.7	297	

No.	Grösse	Rectascension 1880.0 h	m	s	Fäden	Declination 1880.0 °	′	″	Zone	Bemerkungen
8469	9.5	19	9	29.93	3	— 5	23	39.9	303	
8470	10.0		9	34.61	3	+ 7	13	56.6	52	
8471	9.0		9	36.43	3	+ 5	4	0.4	139	
8472	9.7		9	36.75	3	— 23	25	46.5	42	
8473	9.3		9	39.30	3	+ 7	0	17.7	46	
8474	9.5	19	9	40.34	1	— 20	42	28.6	301	n
8475	10.0		9	42.48	3	+ 4	59	28.5	226	
8476	9.0		9	43.62	3	+ 13	2	31.8	230	n
8477	9.5		9	44.28	3	+ 8	33	23.9	231	
—	10.0		9	44.34	3	+ 8	33	24.9	310	
8478	10.0	19	9	45.39	4	+ 1	32	4.5	44	
8479	9.0		9	46.48	3	— 22	26	30.2	300	
8480	9.8		9	47.24	3	+ 4	25	21.5	140	
8481	9.5		9	51.20	3	+ 4	46	32.8	311	
8482	10.0		9	51.75	2	+ 3	6	21.2	232	
8483	10.0	19	9	51.88	3	— 7	6	36.9	304	
8484	9.9		9	52.73	3	— 5	57	15.3	58	
8485	10.0		9	54.45	4	— 8	27	58.0	142	
8486	9.0		9	55.69	3	+ 11	21	6.5	143	
8487	9.3		9	58.79	3	+ 7	16	49.4	48	
8488	9.5	19	9	59.78	3	+ 19	23	56.3	149	
8489	9.0		10	1.86	3	+ 1	40	35.4	296	
8490	10.0		10	3.48	2	— 24	3	15.4	50	f
8491	10.0		10	4.54	3	+ 8	8	51.8	235	dpl. ?
8492	8.5		10	7.44	3	+ 4	59	2.8	366	
8493	9.6	19	10	7.45	3	+ 5	24	8.5	367	
—	9.5		10	7.58	3	+ 5	24	10.4	368	
8494	9.5		10	13.98	1	+ 7	49	46.2	310	
—	9.2		10	14.05	4	+ 7	49	44.0	317	
8495	9.0		10	14.97	2	+ 3	30	19.9	302	
8496	9.5	19	10	17.49	2	— 25	47	14.9	299	
8497	9.8		10	18.13	3	— 10	19	10.3	147	
8498	9.5		10	20.13	3	+ 10	24	35.5	229	n
8499	9.5		10	20.13	3	+ 19	39	19.6	227	
—	9.0		10	20.36	3	+ 19	39	19.0	309	
8500	8.5	19	10	21.69	3	— 18	58	34.7	51	
8501	10.0		10	21.57	2	+ 9	42	37.3	225	
—	10.0		10	21.83	1	+ 9	42	35.0	311	
8502	10.0		10	23.47	2	+ 7	8	26.8	232	
8503	9.0		10	24.20	4	+ 12	53	56.4	222	
8504	9.2	19	10	25.13	3	+ 1	11	24.8	305	
8505	8.5		10	26.27	3	— 18	47	31.1	300	
8506	10.0		10	27.60	3	— 8	4	7.2	297	
8507	10.0		10	28.69	3	+ 5	30	0.7	231	
8508	9.5		10	29.33	2	— 4	0	43.9	57	u
—	10.0	19	10	29.21	2	— 4	0	41.5	304	
8509	8.0		10	36.62	3	+ 22	44	3.3	228	
8510	9.0		10	37.17	3	— 13	2	15.2	146	
8511	9.4		10	41.98	3	+ 10	52	54.2	54	
8512	9.6		10	56.27	4	+ 19	57	17.3	148	

No.	Grösse	Rectascension 1880.0 h	m	s	Fäden	Declination 1880.0 °	′	″	Zone	Bemerkungen
8513	9.0	19	10	57.05	3	— 16	34	32.7	42	
8514	10.0		11	5.80	3	+ 1	29	52.8	44	
8515	9.7		11	7.76	3	+ 4	29	59.5	139	
8516	10.0		11	13.74	3	— 14	57	45.2	298	
8517	8.5		11	15.39	3	— 20	39	23.9	301	
8518	9.7	19	11	16.83	3	— 6	11	32.7	58	
8519	9.8		11	19.80	3	— 11	30	42.5	147	n
—	9.0		11	19.55	3	— 11	30	48.0	305	
—	10.0		11	19.82	2	— 11	30	48.2	366	
8520	9.5		11	21.71	3	— 7	17	14.7	144	
8521	10.0	19	11	26.96	2	— 8	26	13.1	303	
8522	9.5		11	29.94	2	+ 4	2	34.6	232	
8523	9.5		11	31.09	2	+ 6	10	49.8	235	
8524	8.5		11	38.18	3	+ 7	36	22.0	226	
8525	9.0		11	40.07	2	+ 7	35	24.9	226	
—	9.5	19	11	40.03	3	+ 7	35	24.3	302	
8526	10.0		11	43.64	2	— 7	23	19.7	304	
8527	8.3		11	45.16	4	— 19	56	19.3	51	
8528	8.5		11	53.24	3	— 29	14	18.4	50	
8529	9.2		11	54.81	5	+ 8	23	59.5	48	
8530	9.5	19	11	58.70	4	+ 8	34	1.5	310	dpl. pr.
8531	10.0		11	59.43	1	— 24	36	2.0	299	u
8532	9.8		12	3.91	3	+ 10	48	56.8	143	
8533	9.0		12	5.36	3	— 5	39	12.7	142	
8534	9.0		12	8.33	2	— 1	14	37.6	56	
8535	10.0	19	12	9.09	1	+ 6	31	39.2	231	
8536	5.5		12	9.59	6	— 15	44	40.3	367	
—	6.0		12	9.50	6	— 15	44	40.6	368	
8537	9.0		12	12.36	3	— 13	35	24.2	146	
8538	9.0		12	21.03	3	— 22	9	50.7	300	
8539	10.0	19	12	25.87	2	— 8	13	57.9	57	
—	10.0		12	25.70	3	— 8	13	59.9	367	
8540	9.5		12	27.03	3	— 2	6	11.5	306	
8541	10.0		12	27.88	3	— 17	10	18.0	301	
8542	10.0		12	31.78	3	— 7	11	51.9	144	
8543	9.0	19	12	35.21	3	+ 21	35	53.4	229	
8544	9.5		12	41.99	3	— 4	8	43.3	303	
8545	9.6		12	45.43	4	+ 2	28	3.5	44	
8546	10.0		12	46.88	3	+ 4	10	58.6	139	
8547	9.0		12	50.11	3	+ 9	23	32.0	143	
8548	10.0	19	12	50.47	3	+ 8	55	2.3	232	
8549	9.0		13	1.01	2	+ 8	36	10.9	226	
—	9.0		13	1.06	3	+ 8	36	10.5	302	
8550	9.0		13	1.67	3	+ 19	51	33.5	148	n
8551	10.0		13	1.81	4	— 20	7	30.7	51	
8552	10.0	19	13	11.96	1	— 1	50	11.0	296	
—	10.0		13	11.75	2	— 1	50	12.3	306	
8553	8.5		13	12.83	3	+ 15	27	50.1	149	
—	8.0		13	12.89	2	+ 15	27	50.5	309	
8554	10.5		13	16.20	3	— 11	47	32.4	146	f
8555	9.6	19	13	16.28	3	— 22	5	6.5	42	
8556	9.7		13	16.28	4	— 14	15	20.2	305	
8557	10.0		13	20.60	3	+ 6	56	21.5	311	
8558	11.0		13	21.89	1	+ 14	6	45.6	230	n
8559	10.0		13	22.03	3	— 31	25	38.2	50	
8560	10.5	19	13	24.11	1	+ 6	52	42.9	139	n
8561	9.0		13	25.53	4	— 3	33	31.1	58	
8562	7.5		13	26.88	3	— 9	32	0.6	304	
—	7.5		13	26.86	3	— 9	31	59.2	366	
8563	9.0		13	27.56	3	+ 17	23	19.9	229	
8564	9.0	19	13	27.79	3	— 19	12	56.2	299	
8565	7.8		13	29.46	3	+ 6	55	26.5	48	
8566	9.3		13	30.99	2	— 8	45	40.2	297	
8567	9.5		13	38.57	3	— 16	21	25.9	300	
—	9.0		13	38.55	2	— 16	21	26.9	367	
8568	10.0	19	13	39.50	3	+ 17	12	41.7	228	
8569	10.0		13	40.70	3	— 7	36	57.9	142	
8570	9.5		13	44.87	3	+ 15	26	39.2	227	
8571	9.8		13	46.14	3	— 3	15	41.6	144	
—	9.5		13	46.04	3	— 3	15	42.1	368	
8572	8.0	19	13	46.97	3	+ 15	11	49.5	148	
—	8.0		13	46.94	3	+ 15	11	46.5	312	
8573	9.0		13	47.02	3	— 13	57	46.7	301	
8574	9.5		13	50.91	3	+ 6	29	23.8	310	
8575	9.5		13	51.44	3	— 3	16	18.3	303	
—	9.5	19	13	51.76	1	— 3	16	18.5	368	
8576	10.0		13	56.63	3	+ 5	56	55.0	46	
8577	10.0		13	56.76	3	+ 2	10	28.9	56	
8578	9.0		13	59.37	3	+ 14	4	25.2	231	
8579	10.0		14	4.50	2	— 11	30	46.5	298	
8580	8.9	19	14	7.50	4	— 6	16	31.7	57	
8581	8.0		14	10.13	2	+ 12	42	5.3	235	
8582	9.0		14	14.80	3	+ 0	19	32.5	44	
—	9.0		14	14.59	2	+ 0	19	32.6	307	
8583	9.0		14	19.85	2	+ 14	28	10.3	54	
—	8.0	19	14	19.63	2	+ 14	28	9.7	232	
8584	8.0		14	22.19	4	— 12	12	9.8	147	
8585	10.0		14	27.08	3	+ 13	59	3.1	222	f
8586	10.0		14	28.06	3	+ 13	30	40.6	233	n
8587	8.5		14	29.97	4	— 9	59	54.4	366	
—	9.5	19	14	29.98	4	— 9	59	55.4	369	
8588	9.5		14	34.29	2	+ 14	5	28.0	230	n
8589	10.0		14	41.28	3	+ 3	45	39.1	52	
—	10.0		14	41.19	2	+ 3	45	40.1	226	
8590	9.0		14	47.90	2	+ 9	8	41.0	225	
8591	10.5	19	14	51.08	2	— 6	38	13.3	58	
—	10.0		14	51.19	2	— 6	38	15.9	303	
8592	10.0		14	51.49	2	+ 23	9	4.0	149	
8593	10.0		14	55.53	3	+ 7	8	58.0	224	
8594	9.0		15	5.03	3	+ 14	11	43.1	143	n

No.	Grösse	Rectascension 1880.0 h m s	Fäden	Declination 1880.0 ° ′ ″	Zone	Bemerkungen
8595	9.0	19 15 9.57	3	+ 10 41 15.0	229	
—	9.0	15 9.75	3	+ 10 41 14.3	309	
8596	8.0	15 10.68	2	+ 14 11 48.-	143	n Decl. gesch.
8597	9.8	15 13.74	3	+ 0 46 2.7	56	
8598	9.0	15 13.81	4	+ 1 42 48.7	59	
8599	10.0	19 15 15.64	2	+ 8 17 35.6	46	
8600	10.0	15 16.14	3	— 8 25 7.3	144	
—	10.0	15 16.06	3	— 8 25 7.0	297	
8601	9.0	15 22.04	3	+ 9 27 35.2	231	
8602	9.0	15 23.88	1	+ 9 48 21.7	222	
—	9.5	19 15 23.90	2	+ 9 48 18.5	232	
8603	9.3	15 26.20	3	+ 2 35 37.2	44	
—	9.2	15 26.14	3	+ 2 35 34.2	308	
8604	8.6	15 35.20	3	+ 17 56 49.1	148	
—	9.2	15 35.07	4	+ 17 56 49.1	228	
8605	10.0	19 15 39.22	3	— 5 35 1.2	142	
8606	9.0	15 48.48	3	— 10 35 29.1	146	
8607	9.8	15 57.44	3	+ 8 58 16.7	48	
8608	10.0	15 59.78	2	+ 5 26 4.3	139	a
—	10.0	15 59.49	3	+ 5 26 4.9	224	
8609	7.0	19 16 0.85	3	— 7 26 42.9	57	
8610	9.7	16 1.28	3	+ 8 28 26.0	151	
—	9.0	16 1.14	3	+ 8 28 28.6	302	
8611	9.0	16 1.94	3	+ 21 3 15.2	227	
8612	9.6	16 7.38	4	— 20 10 58.4	50	
8613	9.0	19 16 7.76	3	+ 11 51 23.8	54	
8614	9.0	16 10.14	3	— 15 48 28.9	42	
—	9.0	16 10.14	3	— 15 48 31.0	299	
8615	7.5	16 14.09	2	— 7 21 18.7	58	
—	8.0	16 13.68	3	— 7 21 17.7	303	
8616	9.5	19 16 14.75	3	+ 16 50 28.1	149	
8617	9.0	16 17.20	3	— 10 15 33.0	146	
8618	9.5	16 33.29	3	— 1 59 42.0	296	
8619	9.5	16 34.39	3	— 0 25 58.5	305	
8620	8.3	16 34.75	6	— 16 44 5.2	51	
8621	9.0	19 16 37.96	3	— 7 25 49.3	144	
8622	10.0	16 38.37	3	— 7 6 55.1	297	
8623	9.2	16 38.93	3	— 10 13 55.1	298	
8624	9.0	16 39.97	3	— 10 44 38.6	300	
—	9.0	16 39.90	3	— 10 44 39.2	366	
—	9.2	19 16 39.94	3	— 10 44 38.5	368	
8625	9.7	16 41.07	4	+ 7 26 21.8	46	
8626	9.0	16 41.47	4	+ 11 16 54.0	233	n
8627	9.2	16 43.63	3	— 9 10 19.1	301	
8628	10.0	16 48.91	3	+ 16 50 47.2	148	
8629	9.3	19 16 50.49	4	+ 4 21 17.8	59	
8630	9.0	16 58.88	3	+ 7 21 48.2	224	
8631	9.2	16 59.34	3	+ 8 8 25.9	52	
8632	10.0	17 6.72	3	+ 16 35 33.8	227	
8633	9.5	17 8.52	4	+ 14 19 31.5	225	

No.	Grösse	Rectascension 1880.0 h m s	Fäden	Declination 1880.0 ° ′ ″	Zone	Bemerkungen
8634	9.8	19 17 12.08	3	+ 1 21 44.5	44	
8635	10.0	17 13.35	3	+ 20 26 9.2	228	
8636	9.0	17 15.43	3	+ 14 55 14.2	143	
8637	9.0	17 21.63	5	— 19 56 40.5	390	
8638	9.0	17 23.38	3	+ 20 18 24.7	229	
8639	10.0	19 17 24.02	3	+ 9 3 18.5	230	
8640	9.0	17 25.31	3	+ 9 46 33.7	222	
8641	10.0	17 26.43	3	+ 6 17 33.6	151	u
—	11.0	17 26.28	2	+ 6 17 38.3	226	u
8642	9.5	17 26.91	2	— 0 41 46.0	55	
—	9.0	19 17 26.71	3	— 0 41 45.8	56	
8643	10.0	17 30.15	3	— 25 37 53.0	42	
8644	9.0	17 40.35	3	+ 21 59 14.6	149	
8645	9.3	17 46.63	3	— 5 4 3.0	57	
8646	9.0	17 47.17	3	— 8 26 34.5	303	
8647	9.8	19 17 47.39	3	+ 4 47 15.4	46	
8648	7.5	17 49.22	4	— 9 34 6.6	142	
8649	9.5	17 51.27	3	— 2 23 31.5	296	
8650	10.0	17 56.78	3	— 7 17 9.7	144	
8651	9.0	18 2.34	3	— 17 44 11.6	50	
8652	9.8	19 18 2.47	3	— 3 4 14.5	58	
8653	9.0	18 5.68	3	+ 9 33 3.7	231	n
8654	9.0	18 6.96	3	+ 22 7 45.8	309	
8655	11.0	18 11.07	2	— 6 1 —	297	
—	10.0	18 11.04	3	— 6 1 3.1	367	
8656	10.0	19 18 15.11	3	+ 19 7 31.1	148	
8657	10.0	18 15.35	3	+ 16 1 36.7	229	
8658	9.0	18 16.05	3	— 9 33 25.2	304	
8659	9.8	18 22.20	3	— 13 42 7.2	146	
8660	9.0	18 22.99	3	+ 2 39 13.2	305	
8661	9.0	19 18 23.36	3	+ 8 47 37.1	48	
8662	10.0	18 26.98	3	+ 4 43 43.4	59	
8663	10.0	18 28.57	3	+ 8 32 20.4	139	
8664	10.0	18 33.—	—	— 0 26 15.9	55	dpl. pr.
—	10.0	18 33.15	3	— 0 26 16.0	307	
—	10.0	19 18 33.08	3	— 0 26 14.3	366	
—	10.0	18 33.19	3	— 0 26 15.9	369	
8665	9.0	18 38.74	3	+ 10 29 36.1	143	
8666	9.0	18 39.57	3	+ 6 42 22.4	52	
8667	9.0	18 50.99	3	+ 22 2 16.0	311	
8668	9.0	19 18 56.55	2	+ 8 4 38.3	302	
8669	9.0	18 57.68	3	+ 12 42 10.8	233	n
8670	9.0	18 57.68	3	+ 5 4 48.4	226	
8671	10.0	18 58.15	2	+ 6 14 56.3	232	
8672	9.0	18 58.64	3	+ 11 47 8.9	222	
8673	10.0	19 18 58.73	2	— 9 41 21.0	300	
8674	8.0	18 59.76	3	— 15 53 32.8	152	
8675	9.8	19 2.76	3	+ 7 17 9.7	151	
8676	9.2	19 3.74	2	— 2 22 3.4	307	
8677	10.0	19 5.00	3	+ 8 4 40.0	302	

No.	Grösse	Rectascension 1880.0 h m s	Fäden	Declination 1880.0 ° ′ ″	Zone	Bemerkungen
8678	9.2	19 19 9.51	3	+ 2 30 17.2	296	
8679	10.0	19 12.76	3	— 9 37 43.7	301	
8680	9.2	19 13.24	3	— 13 55 16.4	305	
8681	8.0	19 14.23	3	+ 11 43 21.0	230	
8682	6.0	19 15.43	2	+ 11 41 26.5	367	
—	6.5	19 19 15.31	6	+ 11 41 25.6	368	
8683	10.0	19 18.46	3	— 12 9 19.4	306	
8684	9.2	19 19.17	3	+ 9 11 11.8	231	
8685	10.0	19 22.51	3	+ 16 13 36.7	229	
8686	9.6	19 22.90	3	— 8 14 6.9	58	n
8687	9.5	19 19 28.69	1	+ 7 39 10.0	232	
8688	10.0	19 29.51	2	+ 7 14 19.1	235	n
8689	8.0	19 29.52	3	+ 19 42 14.1	149	
8690	9.5	19 31.25	2	— 2 4 41.8	308	
8691	8.0	19 33.84	2	+ 2 57 25.2	296	
8692	9.5	19 19 36.65	3	+ 6 44 56.2	226	
8693	9.5	19 42.94	3	— 13 22 7.1	146	dpl. pr.
8694	9.0	19 44.58	4	+ 18 24 52.5	148	
8695	9.6	19 44.62	3	+ 11 26 25.6	143	A
—	8.2	19 44.77	2	+ 11 26 25.5	366	
8696	9.0	19 19 48.99	3	— 12 44 22.8	301	
8697	9.0	19 54.95	3	+ 0 14 10.6	310	
8698	8.5	19 56.90	1	+ 10 49 35.8	230	
8699	9.0	19 57.34	3	+ 21 35 56.1	312	
8700	9.0	19 58.80	4	+ 3 10 18.4	46	
8701	9.5	19 19 59.54	3	— 5 44 51.0	303	
8702	9.0	19 59.86	3	— 11 20 4.8	306	
8703	9.5	20 2.28	3	— 18 17 6.9	299	
8704	9.8	20 5.27	3	+ 5 44 4.9	52	
—	9.8	20 5.—	—	+ 5 44 —	235	
8705	8.5	19 20 8.16	3	— 15 31 47.7	152	
8706	9.2	20 8.38	4	+ 17 26 54.2	314	
8707	9.2	20 10.82	2	— 8 29 51.5	307	
8708	10.0	20 15.58	3	— 15 33 19.3	300	
8709	9.0	20 16.48	3	+ 21 3 13.9	311	
8710	9.0	19 20 21.33	1	— 8 29 13.3	304	
8711	10.0	20 22.62	3	+ 8 12 9.6	59	n
8712	9.7	20 23.32	3	+ 4 9 29.4	151	
8713	8.5	20 24.69	1	+ 3 16 50.2	224	
8714	9.0	20 26.61	2	— 8 3 25.8	58	
—	9.2	19 20 26.45	3	— 8 3 26.5	308	
8715	9.0	20 31.03	3	+ 12 21 39.6	233	n
8716	9.0	20 31.21	3	+ 20 19 17.9	149	
8717	10.5	20 50.49	1	+ 1 31 49.7	55	u
—	10.0	20 50.77	2	+ 1 31 53.1	310	
8718	10.0	19 21 1.11	2	+ 4 1 6.5	302	
8719	9.0	21 4.69	3	+ 22 31 9.9	229	
8720	9.0	21 6.30	4	+ 16 48 1.7	309	
8721	9.5	21 12.38	3	+ 19 0 34.5	148	
8722	9.0	21 12.89	3	+ 2 57 55.6	296	

No.	Grösse	Rectascension 1880.0 h m s	Fäden	Declination 1880.0 ° ′ ″	Zone	Bemerkungen
8723	9.0	19 21 13.00	4	+ 15 45 47.9	312	
8724	8.5	21 20.90	3	— 9 20 54.2	301	
8725	9.3	21 23.82	3	— 12 40 17.1	147	u
8726	9.7	21 26.61	4	— 8 27 26.8	57	
8727	9.0	21 27.77	3	+ 22 31 23.7	311	
8728	10.0	19 21 28.59	3	— 10 21 16.8	305	
8729	9.8	21 31.11	3	+ 7 27 25.9	139	
—	10.0	21 30.96	3	+ 7 27 25.9	231	
8730	10.0	21 32.47	2	+ 1 48 44.0	306	dpl. austr.
8731	10.5	21 35.96	2	+ 6 53 44.6	46	
—	9.8	19 21 35.64	2	+ 6 53 50.0	141	
8732	9.0	21 36.38	3	+ 11 23 30.1	222	n
8733	10.0	21 37.26	3	+ 4 8 55.5	52	
8734	9.5	21 39.56	3	— 9 13 16.3	303	
8735	10.0	21 42.13	2	+ 3 43 24.6	224	
8736	10.0	19 21 45.31	3	+ 10 22 32.7	54	
—	10.0	21 45.02	3	+ 10 22 31.4	225	
8737	8.0	21 45.56	4	+ 3 43 57.8	59	
8738	9.6	21 45.60	3	+ 17 3 9.5	149	
8739	9.0	21 46.69	4	+ 10 50 41.9	230	n
8740	10.0	19 21 47.05	2	— 7 16 3.2	142	
8741	9.0	21 47.81	3	+ 8 55 59.2	232	
8742	8.0	21 48.45	3	— 11 23 48.5	304	
8743	10.0	21 57.10	3	— 12 24 8.9	300	
—	9.5	21 57.11	3	— 12 24 11.9	367	
8744	9.0	19 21 57.26	4	— 8 51 38.8	144	
8745	9.5	22 0.94	3	— 2 42 19.7	296	
—	9.2	22 1.10	3	— 2 42 20.8	368	
8746	8.0	22 2.36	4	— 31 2 5.6	51	
—	8.0	22 2.21	3	— 31 2 2.3	299	
8747	7.0	19 22 2.65	4	+ 14 2 28.2	143	
8748	9.1	22 3.70	4	+ 8 9 16.0	235	
8749	9.0	22 5.65	3	+ 3 15 53.9	366	n
—	9.5	22 5.35	3	+ 3 15 50.0	369	
8750	9.0	22 7.14	3	— 18 18 39.0	50	
8751	9.8	19 22 7.92	1	— 9 1 25.6	58	n
8752	9.3	22 9.14	3	+ 6 18 11.5	48	
8753	10.0	22 25.44	1	— 2 21 29.4	56	n
8754	9.0	22 28.06	4	+ 11 32 25.4	233	n
8755	9.8	22 28.26	3	— 2 46 55.0	44	
8756	9.0	19 22 28.95	3	— 12 23 7.8	301	
8757	9.1	22 31.53	3	+ 6 37 52.8	139	
8758	9.0	22 34.22	4	+ 11 50 44.3	222	
8759	9.8	22 35.75	3	+ 15 45 6.9	148	
8760	10.0	22 37.65	3	— 27 49 4.9	152	
—	10.0	19 22 38.13	1	— 27 49 1.0	299	
8761	10.0	22 51.97	3	— 11 15 48.6	146	
8762	8.2	22 54.54	3	+ 3 5 15.6	46	
8763	10.0	22 57.06	1	+ 3 29 7.5	59	
—	10.0	22 57.22	3	+ 3 29 7.0	151	

No.	Grösse	Rectascension 1880.0 h m s	Fäden	Declination 1880.0 ° ′ ″	Zone	Bemerkungen
8764	9.5	19 22 59.15	2	+ 10 29 55.9	54	
—	9.5	22 58.93	3	+ 10 29 53.8	225	
8765	10.0	23 6.73	3	+ 15 44 46.7	149	
8766	10.0	23 0.93	3	− 12 15 2.3	304	
8767	10.0	23 2.03	3	+ 14 14 59.1	143	
8768	8.8	19 23 2.06	3	+ 18 14 26.6	229	
8769	10.0	23 3.03	2	+ 7 43 5.4	52	n
8770	9.5	23 17.57	2	− 29 37 54.7	51	a
8771	9.9	23 27.55	3	− 6 16 4.0	57	
8772	10.0	23 27.83	3	− 8 0 51.7	144	n
8773	10.0	19 23 28.28	3	− 7 59 29.5	297	
8774	9.0	23 30.02	4	+ 8 47 11.8	235	
8775	9.8	23 34.52	1	+ 1 2 28.9	55	u
—	9.5	23 34.12	3	+ 1 2 28.4	305	
8776	9.0	23 36.23	3	− 8 46 26.9	58	
8777	9.0	19 23 37.65	2	+ 9 26 8.0	222	
8778	9.0	23 37.73	4	+ 11 22 22.9	233	
8779	10.0	23 38.04	3	+ 17 22 56.9	309	
8780	9.5	23 39.24	3	− 14 2 37.2	301	
8781	10.0	23 39.52	2	− 7 49 51.7	303	
8782	9.0	19 23 42.81	3	+ 7 0 18.4	224	
8783	9.0	23 45.27	3	+ 10 47 43.3	230	
8784	10.0	23 47.03	3	+ 4 24 26.1	231	
8785	9.5	23 51.37	3	+ 16 0 32.3	148	
8786	9.0	23 51.91	3	− 17 27 2.7	152	
—	8.0	19 23 51.96	3	− 17 26 59.8	307	
8787	9.5	23 52.17	1	+ 9 30 48.1	222	
8788	10.0	23 52.40	3	+ 7 8 17.0	151	
8789	10.0	23 56.12	3	+ 6 12 35.8	139	u
—	9.5	23 55.93	4	+ 6 12 35.4	310	
8790	9.8	19 23 57.01	3	− 11 29 58.1	146	
8791	10.0	23 57.96	3	+ 9 37 30.0	311	
8792	9.5	23 59.66	3	+ 4 25 39.7	48	
8793	9.2	23 59.96	3	+ 9 56 36.1	367	
8794	8.5	24 0.50	3	− 17 29 1.6	50	
8795	10.0	19 24 0.91	3	+ 3 55 40.3	—	n A
8796	8.5	24 2.85	3	+ 16 58 50.6	229	
8797	10.0	24 3.71	3	+ 3 55 12.4	—	A
8798	9.2	24 4.52	4	− 8 41 3.2	142	
8799	10.0	24 6.09	3	+ 9 43 48.4	225	n
8800	8.0	19 24 12.52	3	− 13 37 47.5	147	
8801	9.2	24 15.23	3	+ 21 19 11.0	149	
8802	9.3	24 16.78	3	− 2 34 30.8	44	
8803	10.0	24 17.28	3	+ 5 21 22.9	232	
8804	8.0	24 18.25	4	− 21 17 23.0	368	
—	7.0	19 24 18.23	5	− 21 17 23.9	369	
8805	9.8	24 31.18	3	+ 7 58 20.4	52	
8806	9.5	24 35.21	2	− 7 36 39.3	57	
8807	9.5	24 41.91	3	+ 2 35 13.1	56	
8808	9.0	24 42.43	2	+ 21 22 12.1	309	

No.	Grösse	Rectascension 1880.0 h m s	Fäden	Declination 1880.0 ° ′ ″	Zone	Bemerkungen
8809	9.0	19 24 46.28	3	− 17 28 56.3	51	
8810	10.0	24 50.83	1	− 8 5 51.9	303	
—	11.0	24 50.93	3	− 8 5 51.5	304	
8811	9.0	24 51.34	3	+ 8 7 10.7	151	n
8812	10.0	24 56.05	3	+ 6 56 43.1	141	
8813	8.0	19 24 56.41	3	+ 18 27 24.1	229	
8814	10.0	25 2.—	—	+ 9 34 38.4	54	
—	9.5	25 2.19	2	+ 9 34 39.4	225	
8815	9.6	25 3.86	3	− 12 39 1.0	146	
8816	8.0	25 5.31	4	+ 13 12 16.2	143	
8817	9.5	19 25 8.65	5	+ 8 51 25.9	235	
8818	9.0	25 11.60	4	− 28 14 54.5	300	
—	9.0	25 11.32	6	− 28 15 2.2	307	
8819	9.0	25 11.60	3	− 8 14 8.8	58	
8820	9.2	25 14.11	3	+ 11 22 25.3	230	
8821	9.8	19 25 14.59	3	− 7 14 15.4	142	
8822	8.9	25 14.92	3	+ 5 25 59.0	59	
8823	9.3	25 20.73	4	− 6 39 17.4	60	
8824	8.2	25 24.81	3	+ 5 11 59.2	46	
8825	10.0	25 24.94	1	+ 3 56 46.4	141	n
—	10.0	19 25 24.79	3	+ 3 56 48.3	232	
8826	9.3	25 27.18	4	− 2 33 16.2	44	
—	9.3	25 27.23	5	− 2 33 15.7	308	
8827	9.0	25 27.91	3	+ 16 10 27.1	312	
8828	9.7	25 28.55	3	+ 5 39 6.6	139	
8829	10.0	19 25 28.76	3	− 10 50 5.4	301	
8830	10.0	25 35.75	1	+ 16 26 56.6	311	a
—	10.0	25 36.03	3	+ 16 26 59.8	367	
8831	9.0	25 37.78	3	− 27 22 18.3	50	
8832	9.0	25 41.85	3	− 11 7 52.7	147	
8833	10.0	19 25 47.28	2	+ 20 40 17.8	309	
8834	9.5	25 49.30	3	− 2 38 34.5	305	
8835	9.0	25 59.95	3	+ 21 45 36.3	229	
—	9.2	26 0.24	3	+ 21 45 33.4	313	
8836	9.3	26 1.02	2	+ 7 29 42.0	55	
—	9.8	19 26 0.96	2	+ 7 29 41.5	151	
8837	9.5	26 2.99	2	− 28 17 12.8	51	a
8838	10.0	26 3.47	3	+ 13 12 44.4	143	
8839	9.5	26 6.32	4	+ 8 53 57.9	235	
8840	10.0	26 7.12	3	− 4 16 5.4	297	
8841	10.0	19 26 7.71	2	+ 10 0 43.0	230	f
—	10.0	26 8.08	3	+ 10 0 49.4	302	
8842	7.0	26 9.95	4	+ 13 21 59.8	222	
8843	10.0	26 12.33	3	+ 21 38 34.9	229	A.R. + 1^s corr.
—	9.2	26 11.93	3	+ 21 38 35.5	312	
8844	9.0	19 26 14.15	3	+ 10 11 55.8	231	
8845	9.0	26 14.16	3	− 7 34 32.6	144	
8846	10.0	26 16.—	—	− 7 4 30.8	57	
—	10.0	26 16.77	3	− 7 4 26.8	303	
—	10.0	26 16.96	1	− 7 4 29.7	367	

No.	Grösse	Rectascension 1880.0 h m s	Fäden	Declination 1880.0 ° ′ ″	Zone	Bemerkungen
—	10.0	19 26 17.01	1	− 7 4 30.7	370	
—	10.0	26 17.08	3	− 7 4 28.7	371	
8847	9.0	26 17.49	2	+ 18 26 58.5	315	
8848	10.0	26 18.35	2	− 22 36 —	300	
—	9.5	26 18.33	4	− 22 36 53.6	369	
8849	9.5	19 26 19.64	3	+ 10 4 7.6	232	
—	9.0	26 19.87	3	+ 10 4 8.1	368	
8850	8.9	26 21.61	3	+ 6 25 39.9	52	
—	9.0	26 21.53	4	+ 6 25 39.9	224	
8851	10.0	26 23.71	4	− 27 18 4.4	306	dpl. pr.
8852	9.5	19 26 23.82	4	+ 9 39 35.8	233	
8853	9.5	26 25.88	2	+ 19 2 21.4	317	
8854	9.0	26 28.71	4	− 17 18 40.5	299	
8855	9.9	26 32.57	2	+ 7 6 16.9	48	
—	10.0	26 32.91	2	+ 7 6 15.0	139	
8856	10.0	19 26 35.67	3	+ 3 3 27.3	59	
8857	9.0	26 38.28	1	+ 16 13 10.6	317	
8858	9.8	26 43.46	3	+ 12 21 51.8	54	
8859	10.0	26 49.95	2	− 22 33 14.9	307	
8860	9.2	26 53.56	2	+ 16 11 21.9	315	
8861	10.0	19 26 54.48	3	− 21 11 21.0	152	
8862	9.3	26 54.74	3	− 13 24 21.2	147	
8863	10.0	26 56.53	3	− 9 11 10.8	301	
8864	8.2	26 59.34	3	− 16 4 51.9	308	
8865	7.5	26 59.56	3	+ 11 47 18.4	143	
—	7.0	19 26 59.51	3	+ 11 47 16.9	225	
8866	9.2	27 0.77	3	+ 21 47 13.1	313	
8867	9.0	27 2.84	2	+ 16 43 11.2	309	
8868	9.6	27 4.16	4	− 12 15 56.0	146	
8869	9.0	27 5.06	3	+ 10 3 19.6	231	
8870	9.1	19 27 5.10	1	+ 15 18 41.4	312	
8871	9.5	27 5.89	3	− 11 51 3.7	304	
8872	10.0	27 11.62	1	− 15 18 34.5	306	
8873	9.8	27 13.11	3	+ 0 17 47.3	44	
8874	9.0	27 13.43	3	− 17 34 34.5	51	
8875	9.5	19 27 15.91	3	− 13 13 54.8	305	
8876	9.8	27 18.02	3	− 4 26 9.2	58	
8877	9.8	27 19.16	2	− 4 26 20.-	58	Decl. gesch.
—	9.0	27 19.01	2	− 4 26 20.8	303	
8878	9.5	27 20.49	3	− 0 9 16.0	56	
8879	9.2	19 27 23.19	3	− 3 10 54.2	297	
8880	10.0	27 30.87	3	+ 21 20 48.6	148	
—	9.5	27 31.02	1	+ 21 20 47.7	315	
8881	10.0	27 31.35	3	− 0 10 55.6	141	
8882	10.0	27 38.08	3	+ 9 42 27.2	222	
—	10.0	19 27 38.12	4	+ 9 42 23.1	235	
8883	8.8	27 39.04	3	+ 10 30 50.1	230	
8884	9.6	27 40.80	3	− 8 50 27.7	60	
8885	10.0	27 40.90	3	+ 6 41 37.5	46	
8886	10.0	27 43.63	3	+ 13 26 51.0	232	

No.	Grösse	Rectascension 1880.0 h m s	Fäden	Declination 1880.0 ° ′ ″	Zone	Bemerkungen
8887	9.8	19 27 55.56	3	− 3 32 55.3	150	
8888	8.2	27 56.58	4	+ 6 20 20.6	236	
8889	9.2	27 58.13	3	+ 5 30 26.7	52	
—	9.0	27 57.98	2	+ 5 30 26.3	55	
8890	10.0	28 4.23	3	− 0 59 59.6	308	
—	9.5	19 28 4.21	3	− 0 59 59.2	310	
8891	9.2	28 5.44	4	− 14 52 17.9	146	
8892	9.0	28 6.59	3	+ 9 53 5.5	225	
8893	9.5	28 7.37	3	+ 17 57 13.8	149	
8894	9.5	28 9.38	2	+ 0 9 42.6	44	
8895	9.5	19 28 9.57	3	− 24 48 1.6	50	
8896	9.5	28 10.89	2	+ 17 58 —	149	
—	9.2	28 10.90	2	+ 17 58 6.6	313	
8897	9.0	28 10.97	4	− 7 50 40.0	144	
8898	10.0	28 13.76	3	+ 16 6 18.6	312	
8899	10.0	19 28 16.76	1	+ 9 54 17.7	225	
8900	10.0	28 16.91	2	+ 14 59 19.9	143	
—	10.0	28 16.66	4	+ 14 59 17.9	233	
8901	9.8	28 21.37	3	+ 4 43 30.4	59	
8902	9.3	28 24.95	3	− 7 51 56.1	57	
8903	9.0	19 28 25.49	3	+ 16 36 9.6	229	n
8904	11.0	28 28.99	1	− 6 55 17.0	297	a
—	10.0	28 29.40	3	− 6 55 16.5	304	
8905	9.5	28 29.73	4	+ 3 27 49.3	302	
8906	9.0	28 31.23	3	− 26 33 40.1	299	
8907	9.0	19 28 31.63	3	− 22 25 39.9	152	
8908	9.0	28 32.68	2	+ 9 5 51.5	54	
8909	10.0	28 33.96	3	+ 6 33 36.4	139	
8910	10.0	28 35.48	3	+ 4 27 20.6	151	
8911	10.0	28 37.07	3	+ 10 10 19.9	222	
8912	9.5	19 28 40.57	5	+ 8 29 32.2	224	
8913	9.7	28 41.08	2	− 2 58 47.3	310	A
8914	10.0	28 41.45	3	− 8 18 34.8	150	
8915	8.0	28 42.89	3	− 26 9 45.1	300	
8916	10.0	28 43.21	2	− 0 32 7.9	306	dpl. pr.
8917	9.0	19 28 43.48	3	+ 16 9 17.1	309	
8918	9.5	28 45.53	3	+ 7 11 47.3	48	
8919	9.6	28 49.20	2	− 8 21 42.9	60	
8920	9.0	28 52.26	4	+ 10 6 27.6	235	
8921	10.0	28 52.76	3	− 8 3 24.4	301	
8922	9.0	19 28 55.63	3	+ 16 38 45.0	368	n
8923	10.5	28 56.—	—	+ 7 38 54.9	59	u
—	10.0	28 56.11	3	+ 7 38 56.1	232	
8924	10.0	28 56.51	3	+ 21 28 48.8	148	
8925	9.0	28 57.17	4	− 2 30 38.3	56	
8926	10.0	19 28 57.97	1	− 6 7 31.7	303	
—	10.0	28 58.04	3	− 6 7 29.6	367	
8927	9.0	29 4.34	1	+ 16 38 28.9	313	
—	8.5	29 4.43	3	+ 16 38 27.2	368	
8928	10.0	29 4.68	3	+ 15 36 50.6	315	

No.	Grösse	Rectascension 1880.0 h m s	Fäden	Declination 1880.0 ° ′ ″	Zone	Bemerkungen
8929	9.2	19 29 5.62	1	+ 16 10 1.5	312	
—	9.2	29 5.40	3	+ 16 10 1.6	369	
8930	9.5	29 10.56	3	+ 6 36 35.1	52	
8931	10.0	29 11.48	1	+ 8 27 56.7	55	u
—	10.0	29 11.49	2	+ 8 27 58.6	151	
8932	10.0	19 29 14.93	3	+ 9 6 0.0	230	
8933	10.0	29 15.76	3	+ 6 25 35.6	236	n
8934	8.5	29 17.00	3	+ 13 54 11.9	231	
8935	10.0	29 27.93	2	+ 1 6 31.4	141	
8936	9.3	29 28.17	4	— 3 48 37.7	58	
—	9.0	19 29 28.10	2	— 3 48 39.3	305	
8937	9.5	29 29.16	3	+ 15 33 5.4	229	
8938	9.0	29 30.06	3	— 2 42 8.9	308	
8939	9.0	29 32.00	3	— 9 20 49.3	147	
8940	9.5	29 32.58	3	— 5 0 53.8	304	
8941	9.9	19 29 36.25	4	+ 3 15 59.7	46	f
8942	8.5	29 36.40	3	+ 19 47 38.7	309	
8943	9.8	29 39.41	3	— 22 32 1.6	51	
8944	8.7	29 44.17	3	— 25 20 33.4	50	
8945	10.0	29 45.69	3	+ 10 4 45.8	143	
8946	7.0	19 29 51.87	3	— 0 9 36.6	310	
—	8.0	29 52.03	2	— 0 9 37.2	315	
8947	7.0	29 52.57	3	— 0 0 49.3	366	
—	7.8	29 52.61	5	— 0 0 50.0	370	
8948	9.7	29 53.97	3	+ 2 25 45.0	44	
8949	9.0	19 29 54.07	1	— 6 17 10.2	144	
—	9.0	29 54.25	3	— 6 17 10.5	305	
8950	10.0	29 54.30	4	+ 14 38 47.0	233	n
8951	8.7	29 58.20	3	— 11 30 18.0	146	
8952	8.8	29 58.37	4	— 5 4 30.7	57	
8953	9.0	19 30 7.26	3	— 20 37 53.6	152	
8954	10.5	30 8.00	2	+ 6 15 15.7	139	
8955	9.0	30 11.71	3	— 15 9 45.8	299	
8956	10.0	30 17.92	3	+ 3 19 44.0	48	
8957	9.7	30 18.79	4	+ 4 30 26.5	62	
8958	9.2	19 30 19.46	4	— 4 49 5.0	150	
—	9.2	30 19.23	3	— 4 49 5.2	297	
8959	9.5	30 20.08	3	+ 15 10 25.3	149	
8960	9.4	30 20.87	3	+ 10 14 56.0	54	
—	10.0	30 20.70	3	+ 10 14 54.4	235	
8961	9.0	19 30 25.64	3	+ 14 0 23.0	230	
8962	9.4	30 26.37	4	+ 7 25 54.6	52	
8963	10.0	30 27.71	2	+ 17 6 38.9	309	
8964	10.0	30 31.21	3	+ 18 25 22.9	229	
8965	9.0	30 36.41	3	+ 18 18 30.1	313	
8966	10.0	19 30 39.08	3	+ 15 15 0.7	312	
8967	10.0	30 39.52	5	+ 10 34 13.7	222	
8968	9.1	30 42.55	3	+ 8 26 47.1	151	
8969	8.3	30 49.18	3	— 4 49 23.8	58	
8970	9.0	30 49.54	1	+ 9 16 30.1	230	
8971	9.0	19 30 52.83	5	+ 8 30 35.5	224	
8972	7.9	30 53.94	4	— 3 44 31.0	60	
8973	9.8	30 57.66	3	— 27 37 38.1	50	
8974	9.0	30 58.82	4	+ 12 3 5.7	225	
8975	7.5	31 2.72	4	— 14 13 25.8	146	
8976	9.8	19 31 5.46	1	+ 5 34 1.2	141	
—	10.0	31 5.59	3	+ 5 33 58.4	236	
8977	10.0	31 5.88	3	+ 8 35 47.8	59	
8978	10.0	31 6.33	3	+ 18 4 55.4	311	
8979	9.6	31 6.84	3	+ 22 1 24.4	148	n
8980	8.0	19 31 8.30	3	+ 13 5 46.1	143	
8981	8.5	31 8.68	3	+ 13 10 11.6	231	
8982	9.0	31 11.57	3	+ 21 47 49.4	314	
8983	10.0	31 12.62	1	+ 18 0 50.7	313	
8984	9.0	31 13.01	2	+ 9 16 31.9	230	n
8985	9.8	19 31 16.28	4	+ 7 9 57.2	46	
8986	10.0	31 18.35	4	— 22 33 15.7	51	
8987	10.0	31 20.97	2	— 16 4 31.4	152	
—	10.0	31 20.77	3	— 16 4 33.6	307	
8988	9.2	31 25.29	2	+ 15 31 38.9	312	
8989	9.0	19 31 26.29	3	+ 9 11 3.5	232	
—	9.0	31 26.55	3	+ 9 11 7.3	302	
8990	9.5	31 26.92	3	— 9 29 47.2	367	
8991	10.0	31 28.91	3	— 18 23 34.5	299	
—	10.0	31 28.61	3	— 18 23 39.0	369	
8992	9.5	19 31 30.48	3	+ 2 48 0.9	44	
8993	9.3	31 35.99	3	— 7 24 25.2	57	
8994	9.0	31 38.76	3	+ 11 0 58.2	233	n
8995	9.8	31 39.35	4	+ 5 3 20.5	48	f
8996	9.5	31 40.46	3	+ 7 45 12.9	224	
8997	9.0	19 31 41.74	3	+ 11 32 48.0	54	
8998	9.8	31 44.47	3	+ 17 7 8.7	149	dpl. seq.
8999	9.8	31 45.17	3	— 9 24 9.8	147	
9000	9.1	31 45.69	5	+ 10 41 27.5	368	
9001	9.5	31 46.54	3	— 3 4 50.7	144	
9002	10.0	19 31 46.97	2	+ 5 31 15.4	151	
9003	10.5	31 50.21	3	+ 4 2 56.5	66	
—	10.0	31 50.52	3	+ 4 2 56.8	310	
9004	9.0	31 51.17	3	+ 13 14 14.2	231	
9005	9.6	31 54.89	3	— 3 28 59.6	150	
9006	10.0	19 31 55.78	4	+ 14 10 57.5	235	
9007	9.8	32 5.47	5	+ 7 45 37.0	52	
9008	10.0	32 7.83	2	— 10 25 27.-	146	Decl. gesch.
9009	8.0	32 7.93	3	— 10 25 32.5	146	
9010	10.0	32 9.19	3	+ 8 59 38.8	232	n
9011	10.0	19 32 10.83	3	+ 17 10 21.5	229	
9012	9.9	32 11.11	3	+ 14 5 27.0	143	
9013	10.0	32 11.93	3	+ 9 1 54.8	302	
9014	10.0	32 15.19	1	— 15 46 19.6	51	
9015	9.2	32 18.29	2	+ 15 30 25.4	313	

No.	Grösse	Rectascension 1880.0 h m s	Fäden	Declination 1880.0 ° ′ ″	Zone	Bemerkungen
9016	9.2	19 32 19.92	3	— 10 36 15.5	301	dpl. pr.
9017	10.0	32 20.92	3	— 12 53 40.0	64	f
9018	9.0	32 21.54	4	+ 9 23 39.1	225	n
9019	9.5	32 22.00	4	+ 2 49 9.4	56	
9020	10.0	32 26.54	3	+ 15 25 41.6	370	
9021	9.0	19 32 27.03	3	— 19 52 32.5	299	
9022	9.0	32 27.86	3	+ 13 25 24.2	233	
9023	9.8	32 28.42	1	+ 7 13 2.9	141	
—	10.0	32 28.46	2	+ 7 13 0.3	311	
9024	7.5	32 30.58	3	— 14 31 44.6	304	
9025	9.0	19 32 31.70	4	— 6 0 19.8	58	
9026	10.0	32 32.07	3	— 12 58 47.0	305	
9027	10.0	32 32.82	3	— 9 6 19.1	147	
9028	10.0	32 33.13	2	+ 7 16 1.9	310	n
—	10.0	32 33.06	3	+ 7 15 59.5	371	
9029	7.8	19 32 34.17	3	— 23 0 2.0	50	
9030	9.7	32 37.35	3	— 5 41 33.6	57	
9031	9.0	32 42.51	3	+ 15 45 40.9	309	
9032	8.0	32 44.82	3	+ 22 31 40.7	312	
9033	9.0	32 45.93	3	+ 10 40 9.0	68	
9034	9.2	19 32 46.22	3	+ 16 55 52.7	314	
9035	9.8	32 46.33	3	— 15 38 40.4	152	
9036	10.0	32 47.32	4	+ 2 55 11.7	44	
9037	8.8	32 48.84	4	+ 5 30 58.8	55	n
—	9.5	32 48.65	4	+ 5 30 57.3	59	
9038	10.0	19 32 49.44	3	+ 18 21 29.7	315	
9039	7.5	32 55.10	3	+ 12 5 15.8	230	n
9040	10.0	32 59.44	2	+ 7 24 34.5	372	n
9041	9.0	33 0.16	3	+ 15 18 19.1	317	
9042	9.0	33 0.57	4	+ 8 10 11.1	46	
9043	9.3	19 33 1.78	3	+ 7 28 33.1	368	n
9044	8.0	33 4.90	2	+ 21 36 53.1	148	n
9045	10.0	33 11.20	3	+ 7 9 50.4	48	
9046	9.0	33 13.31	3	— 22 59 45.0	300	
—	9.0	33 13.56	3	— 22 59 51.5	369	
9047	10.0	19 33 13.94	2	+ 1 37 7.3	66	
9048	8.5	33 13.99	3	+ 22 34 28.1	229	
9049	9.6	33 14.91	3	+ 3 32 16.0	151	
9050	10.0	33 17.06	3	— 3 8 15.7	60	
—	10.0	33 16.91	4	— 3 8 16.0	367	
9051	9.6	19 33 18.12	3	+ 10 1 38.0	143	
9052	9.0	33 20.27	4	+ 9 57 34.5	235	
9053	8.0	33 20.37	3	— 18 35 21.5	307	
9054	9.5	33 20.67	3	— 3 21 39.6	144	
9055	9.0	33 24.28	3	+ 15 27 53.6	313	
9056	8.2	19 33 24.61	2	— 14 39 7.4	305	
9057	9.0	33 25.48	3	— 12 8 16.6	301	
9058	10.0	33 26.36	3	+ 18 17 53.0	149	
9059	9.0	33 30.61	4	+ 8 35 48.1	224	
9060	9.5	33 32.24	2	+ 9 8 25.5	68	
9061	9.5	19 33 33.16	3	— 11 56 11.4	64	
9062	9.2	33 37.65	2	+ 19 32 13.8	314	
9063	9.0	33 41.13	3	— 12 52 54.0	306	n
—	9.0	33 41.16	3	— 12 52 55.8	370	
9064	9.0	33 43.61	3	+ 9 21 27.4	225	
9065	8.0	19 33 44.65	3	— 21 6 46.8	299	
—	7.8	33 44.64	3	— 21 6 49.5	371	
9066	9.2	33 46.29	3	+ 9 55 45.1	317	dpl. bor.
9067	9.5	33 48.55	3	+ 12 59 12.0	302	
9068	9.0	33 49.59	2	— 19 48 —	152	
—	9.2	19 33 49.73	3	— 19 48 55.7	308	
—	9.0	33 49.55	4	— 19 48 53.4	373	
9069	9.1	33 51.08	2	+ 16 47 45.0	312	
9070	10.0	33 52.12	3	+ 14 26 36.5	233	
9071	10.0	33 52.62	3	— 14 22 27.7	307	
9072	9.5	19 33 54.34	2	+ 5 45 57.0	55	
9073	9.5	33 59.70	3	— 7 53 23.5	57	
9074	9.0	33 59.75	2	+ 1 31 55.5	310	
9075	9.0	34 6.41	3	+ 19 35 11.6	229	
9076	8.6	34 8.24	3	+ 8 41 57.5	46	
9077	7.4	19 34 10.25	3	— 15 40 47.5	50	
9078	10.0	34 12.26	3	— 6 54 51.7	297	
9079	10.0	34 10.71	3	— 10 27 5.2	306	
9080	8.0	34 16.03	3	— 9 24 25.2	147	
9081	9.0	34 16.30	3	+ 8 26 38.9	151	
9082	10.5	19 34 16.83	2	— 28 57 43.8	51	A.R. – 1^m corr.
9083	9.0	34 17.97	5	— 8 32 54.4	58	
—	9.0	34 18.21	3	— 8 32 54.8	304	
9084	9.3	34 19.86	4	+ 4 20 49.1	59	
9085	9.0	34 21.21	3	+ 13 29 7.0	232	
9086	9.2	19 34 21.33	3	— 8 31 12.7	367	
9087	9.0	34 22.49	3	+ 7 12 41.5	231	
9088	10.0	34 23.84	2	+ 5 41 28.1	236	a
9089	9.0	34 24.72	2	+ 11 0 40.5	230	n
9090	10.0	34 25.63	3	— 14 51 33.1	146	
9091	9.0	19 34 26.44	2	+ 11 0 28.7	230	
9092	10.5	34 26.77	1	+ 8 35 47.2	62	s u n
9093	10.0	34 28.24	3	+ 15 15 50.0	315	
—	9.2	34 28.01	1	+ 15 15 53.2	317	
9094	8.4	34 29.78	3	+ 12 47 11.7	143	
9095	10.0	19 34 31.33	1	+ 0 33 7.3	56	u n
9096	10.0	34 35.01	2	— 8 48 12.8	308	dpl. ?
9097	9.2	34 40.03	3	— 2 12 9.9	311	
9098	10.0	34 42.73	3	+ 17 5 39.5	149	
9099	9.5	34 42.81	1	— 5 36 15.2	307	
9100	9.0	19 34 47.87	3	— 7 19 25.7	60	
9101	9.5	34 56.82	3	— 6 0 17.3	144	
9102	9.5	35 1.76	2	— 18 37 56.9	299	
9103	9.0	35 2.87	3	+ 17 12 14.6	313	n
9104	9.5	35 3.63	3	+ 4 10 7.7	48	n

No.	Grösse	Rectascension 1880.0 h m s	Fäden	Declination 1880.0 ° ′ ″	Zone	Bemerkungen
9105	10.0	19 35 5.48	3	+ 12 25 2.4	225	
9106	8.3	35 7.32	4	+ 12 16 17.6	68	
9107	9.2	35 7.47	3	+ 15 21 46.3	312	
9108	9.0	35 8.57	3	+ 2 53 14.4	44	
9109	9.5	35 9.97	2	— 18 15 55.1	152	u
—	9.2	19 35 9.95	3	— 18 15 56.9	301	
9110	10.0	35 13.90	2	+ 0 15 16.2	66	
9111	10.0	35 14.89	2	— 11 45 21.2	300	
9112	8.5	35 15.59	3	— 11 33 34.0	64	
9113	9.0	35 19.01	2	+ 10 21 31.1	302	n
9114	9.0	19 35 19.21	3	+ 9 25 36.2	232	
—	9.2	35 19.60	3	+ 9 25 39.6	368	
9115	10.0	35 20.15	3	+ 3 37 25.2	52	
9116	9.0	35 21.51	3	— 7 6 29.2	304	
9117	9.0	35 24.60	3	+ 21 53 41.5	148	
9118	10.0	19 35 25.52	2	— 11 20 20.4	146	n
9119	9.5	35 26.44	3	+ 5 4 5.0	231	
9120	9.0	35 28.60	3	+ 4 21 45.3	55	
9121	9.0	35 31.78	3	+ 21 23 10.5	149	
9122	10.0	35 32.89	3	+ 7 55 58.3	233	n
9123	9.5	19 35 34.72	4	+ 6 0 9.0	224	
9124	9.0	35 35.10	3	+ 9 5 58.5	369	
9125	10.0	35 35.52	2	+ 0 20 14.3	310	
9126	9.0	35 38.03	3	+ 13 43 26.1	65	n
—	9.0	35 38.19	2	+ 13 43 23.7	317	
9127	9.0	19 35 40.12	3	+ 3 53 46.9	236	
9128	8.0	35 41.05	3	+ 13 46 53.5	367	
9129	9.8	35 43.97	3	— 9 56 28.6	147	
9130	10.0	35 47.58	3	+ 6 56 36.5	141	
9131	10.0	35 50.23	3	+ 15 17 31.2	313	
9132	9.5	19 35 55.11	2	+ 3 56 2.7	236	a
9133	9.0	35 57.41	2	— 0 44 16.1	308	
9134	9.0	36 0.62	2	+ 16 53 2.7	312	
9135	9.5	36 5.51	3	+ 9 33 31.8	143	
9136	10.0	36 7.71	3	+ 3 19 24.4	311	
9137	8.0	19 36 8.70	2	— 16 17 8.8	299	
9138	10.0	36 10.22	3	+ 3 33 57.9	232	
9139	9.9	36 10.73	3	— 5 55 30.2	57	u
—	10.0	36 10.89	2	— 5 55 27.5	304	
9140	10.0	36 12.29	3	+ 6 7 11.8	231	
9141	10.0	19 36 16.61	3	— 8 53 12.1	58	
9142	9.3	36 18.33	3	+ 16 52 3.2	229	
9143	11.0	36 19.67	1	+ 5 54 6.3	315	s u n
—	10.0	36 19.37	2	+ 5 54 8.7	318	
9144	9.2	36 19.93	3	+ 1 24 28.4	44	
9145	9.5	19 36 23.59	3	+ 11 33 26.1	225	n
9146	10.0	36 28.24	3	+ 5 14 19.7	52	
9147	8.8	36 33.75	3	— 19 18 43.3	51	
9148	9.5	36 36.47	3	— 7 15 24.0	60	
9149	10.0	36 37.05	2	— 22 43 56.1	300	

No.	Grösse	Rectascension 1880.0 h m s	Fäden	Declination 1880.0 ° ′ ″	Zone	Bemerkungen
9150	10.0	19 36 39.03	3	+ 15 15 59.8	148	
9151	7.5	36 40.49	3	— 16 15 39.3	152	
9152	9.5	36 45.66	1	+ 5 52 24.1	231	n
9153	10.5	36 50.49	2	+ 15 5 9.1	309	n
9154	10.0	36 50.80	2	+ 13 46 45.6	68	
9155	10.0	19 36 52.22	3	+ 13 2 24.2	230	
9156	10.0	36 52.72	3	— 12 24 19.8	64	
9157	9.8	36 55.58	2	+ 13 4 46.7	143	
—	9.0	36 55.63	2	+ 13 4 47.9	302	
9158	10.0	36 55.81	3	— 22 0 20.1	301	A.R. + 1m corr.
9159	9.0	19 37 1.35	3	+ 17 9 45.8	227	
9160	9.0	37 2.71	3	+ 8 28 52.9	48	
9161	10.5	37 4.23	3	+ 15 18 33.5	149	
9162	10.0	37 4.93	3	— 6 1 4.2	144	
9163	10.0	37 6.00	2	+ 1 0 4.0	66	A
9164	8.0	19 37 10.37	2	+ 5 49 29.3	55	
—	9.0	37 10.43	3	+ 5 49 30.3	310	
9165	10.0	37 12.21	3	+ 7 1 29.8	224	
9166	8.8	37 13.11	3	+ 13 31 8.9	65	
9167	9.2	37 13.67	3	— 7 17 1.4	150	
9168	10.0	19 37 16.02	3	— 10 1 55.1	146	
—	10.0	37 16.09	2	— 10 1 52.6	147	
9169	9.0	37 19.09	3	+ 20 1 13.0	228	
9170	8.0	37 22.61	1	— 21 4 28.2	51	
9171	8.0	37 22.97	4	+ 0 23 31.6	56	
9172	10.0	19 37 24.65	2	+ 7 38 3.7	236	n
9173	8.0	37 26.29	2	+ 17 41 9.3	313	
9174	10.0	37 28.38	4	+ 8 44 36.4	62	
9175	9.5	37 30.09	3	— 4 41 52.5	57	
9176	10.0	37 31.03	3	+ 6 58 21.4	232	
9177	11.0	19 37 32.20	4	— 8 58 39.7	304	
9178	10.5	37 36.27	1	— 6 53 51.9	58	u s
—	11.0	37 35.84	2	— 6 53 58.8	307	f
9179	9.0	37 39.85	3	+ 21 48 9.0	229	
9180	10.0	37 44.85	3	+ 15 28 44.6	312	
9181	9.3	19 37 51.93	3	+ 7 39 45.6	52	
—	10.0	37 51.77	3	+ 7 39 46.1	317	
9182	9.3	37 52.10	3	+ 5 10 15.1	311	
9183	8.0	37 52.60	4	+ 3 28 24.2	48	
9184	9.5	37 54.83	3	+ 8 40 48.6	233	
—	9.5	19 37 54.99	2	+ 8 40 46.8	315	
9185	9.0	37 57.10	3	— 5 4 30.6	305	
9186	9.2	37 58.69	3	— 7 33 19.6	308	
9187	10.0	38 1.37	3	+ 15 23 22.8	314	f
9188	9.3	38 2.67	3	+ 5 59 46.7	72	
9189	9.0	19 38 4.63	3	— 7 22 33.8	306	
9190	10.0	38 5.04	2	+ 7 2 8.1	224	n
9191	9.0	38 6.93	3	+ 13 12 5.5	68	
—	9.2	38 6.67	3	+ 13 12 6.8	225	
9192	10.0	38 10.29	3	+ 7 39 44.7	368	n

No.	Grösse	Rectascension 1880.0 h m s	Fäden	Declination 1880.0 ° ′ ″	Zone	Bemerkungen
9193	10.0	19 38 11.58	3	+ 16 20 16.8	144	
9194	10.0	38 15.91	3	+ 6 58 56.1	231	
9195	10.0	38 17.06	4	— 6 49 22.8	367	
9196	9.5	38 17.14	3	+ 3 1 34.7	369	
9197	7.0	38 18.03	1	— 10 51 28.1	307	
9198	8.0	19 38 22.03	2	— 17 22 2.7	152	
—	9.0	38 21.99	3	— 17 22 2.0	301	
9199	9.7	38 25.17	2	— 8 51 12.6	144	u
—	10.0	38 25.03	2	— 8 51 11.3	308	
9200	7.0	38 26.—	—	+ 7 18 8.7	55	
—	7.5	19 38 25.92	3	+ 7 18 10.2	141	
—	7.0	38 26.20	3	+ 7 18 8.8	318	
9201	9.0	38 32.77	3	— 22 46 49.1	299	
9202	8.0	38 35.77	3	+ 8 48 18.7	232	
9203	9.5	38 42.79	3	— 2 1 0.0	44	
—	9.2	19 38 42.86	4	— 2 1 1.1	370	
9204	10.5	38 43.00	1	+ 3 47 16.8	62	
9205	9.5	38 45.38	3	+ 13 11 23.1	65	
9206	10.0	38 47.17	1	+ 8 50 0.8	232	d n
—	9.3	38 47.18	2	+ 8 50 6.9	310	
9207	10.0	19 38 47.29	3	— 22 21 40.3	300	
9208	10.0	38 48.09	3	+ 17 38 27.1	227	n
9209	10.0	38 51.38	3	+ 9 37 8.5	143	
—	10.0	38 51.19	1	+ 9 37 7.2	225	
9210	10.5	38 52.12	2	— 11 58 38.6	64	
9211	9.5	19 38 55.33	2	— 6 25 46.5	304	
9212	8.0	38 57.39	2	+ 0 27 49.1	368	
9213	9.4	38 58.89	3	— 6 51 1.1	60	
9214	9.0	38 59.67	3	— 21 13 59.7	301	
9215	10.0	39 6.33	3	+ 16 13 16.7	148	
—	10.0	19 39 6.15	3	+ 16 13 18.4	228	
9216	10.0	39 6.58	2	+ 9 16 7.5	54	
—	10.0	39 6.58	3	+ 9 16 8.1	230	
9217	9.0	39 9.48	1	+ 10 39 48.9	68	
9218	10.0	39 12.31	3	+ 9 38 58.9	302	
9219	9.0	19 39 12.96	3	— 11 10 42.1	146	
9220	11.0	39 16.46	2	+ 8 57 39.7	231	n
—	10.0	39 16.62	2	+ 8 57 34.8	311	a f
9221	9.5	39 18.29	4	+ 8 58 58.4	317	
9222	8.0	39 20.38	3	— 15 37 23.4	51	
9223	9.5	19 39 22.12	3	— 10 56 43.2	147	n
9224	10.0	39 28.97	1	— 19 24 33.1	369	u
—	11.0	39 29.33	1	— 19 24 30.2	371	s u
9225	10.0	39 31.06	3	+ 6 58 48.9	315	
9226	9.0	39 32.84	2	— 21 11 41.7	299	
9227	9.0	19 39 33.08	3	+ 22 18 27.9	149	
9228	9.3	39 34.36	4	— 8 41 29.0	57	
9229	9.0	39 34.91	3	+ 22 16 41.3	309	
9230	9.0	39 37.47	3	+ 5 34 33.4	72	
9231	9.5	39 39.20	2	+ 9 17 39.4	230	
9232	10.0	19 39 39.45	3	+ 7 2 39.7	224	
9233	10.0	39 44.41	2	+ 7 4 23.1	236	
—	10.0	39 44.62	2	+ 7 4 22.8	318	
9234	9.6	39 49.44	2	— 4 28 22.2	144	
—	9.0	39 49.24	3	— 4 28 23.6	305	
9235	10.0	19 39 51.23	3	— 2 51 19.8	44	
9236	10.0	39 51.86	1	+ 9 19 5.0	230	d
—	10.0	39 51.99	2	+ 9 19 3.0	233	
9237	10.0	39 53.41	3	— 11 14 19.3	146	n
9238	9.0	39 56.21	3	— 15 10 24.4	152	
9239	10.0	19 39 56.50	1	— 0 39 16.4	56	u n
9240	9.0	40 0.22	3	+ 5 33 19.4	238	
9241	10.0	40 1.02	3	+ 15 49 22.4	227	
9242	10.0	40 4.38	2	+ 4 44 22.6	315	
9243	9.5	40 8.61	2	— 4 7 40.1	304	
9244	7.8	19 40 16.18	2	+ 10 57 53.5	54	
9245	9.5	40 16.68	1	+ 5 57 26.4	232	
9246	9.0	40 18.56	3	— 21 55 52.2	51	
9247	8.0	40 20.37	3	— 19 2 7.0	300	
9248	10.0	40 26.24	3	— 11 2 4.5	147	n
9249	10.0	19 40 28.15	3	— 0 56 44.3	66	
9250	10.0	40 30.44	3	+ 15 17 49.4	228	
9251	7.0	40 31.12	4	— 3 57 17.7	58	
9252	9.0	40 35.77	3	— 6 0 23.7	301	
9253	9.8	40 38.98	3	+ 7 48 7.8	62	
9254	10.0	19 40 41.08	3	+ 15 15 28.7	312	
9255	9.5	40 43.70	3	— 3 26 18.8	57	
—	9.2	40 43.96	3	— 3 26 20.0	305	
9256	9.0	40 45.30	4	+ 17 43 59.8	309	
9257	8.5	40 46.65	2	— 19 30 15.3	299	
9258	10.0	19 40 49.31	3	+ 8 51 48.8	231	
9259	9.0	40 52.77	3	+ 22 24 6.8	313	
9260	9.7	40 54.55	3	+ 12 36 23.3	65	
9261	8.0	40 55.45	3	+ 6 49 20.4	236	
9262	8.0	40 57.18	5	+ 10 47 20.1	63	
9263	9.2	19 40 59.00	4	+ 8 27 26.6	238	dpl. seq.
9264	10.0	41 1.56	4	+ 19 35 36.3	314	
—	10.0	41 1.71	3	+ 19 35 38.8	368	
9265	9.0	41 7.11	3	— 18 56 7.2	152	
9266	8.8	41 13.58	3	+ 20 6 27.7	317	
9267	8.0	19 41 14.69	3	+ 17 30 41.2	149	
9268	9.2	41 15.20	3	— 14 51 45.3	64	
9269	7.0	41 18.67	3	— 13 59 49.8	146	
9270	10.0	41 22.99	2	+ 13 14 10.1	68	u
9271	8.5	41 24.47	2	+ 3 46 28.0	66	
9272	7.0	19 41 27.16	2	+ 0 48 7.7	306	
—	7.8	41 27.44	4	+ 0 48 6.0	371	a
—	7.7	41 27.26	4	+ 0 48 5.9	373	
9273	9.0	41 30.32	3	— 30 42 16.1	51	
9274	9.0	41 31.31	3	— 13 44 46.8	147	

No.	Grösse	Rectascension 1880.0 h	m	s	Fäden	Declination 1880.0 °	′	″	Zone	Bemerkungen
9275	9.3	19	41	34.77	2	+ 3	52	4.0	232	n
9276	10.0		41	35.22	4	+ 11	11	36.4	233	n
9277	9.5		41	35.41	3	+ 8	35	59.3	310	
—	9.0		41	35.65	3	+ 8	35	57.9	311	
9278	8.0		41	36.35	4	+ 11	10	46.7	318	
9279	9.0	19	41	40.48	4	+ 9	15	55.4	235	
—	9.0		41	40.58	2	+ 9	15	57.8	317	
9280	9.3		41	40.73	2	+ 3	52	17.6	232	
9281	9.0		41	43.74	3	+ 8	37	55.7	231	
9282	10.0		41	43.98	3	+ 8	36	17.9	367	
9283	9.7	19	41	47.42	3	+ 12	4	57.4	65	
9284	10.0		41	47.93	2	+ 5	30	45.1	62	
—	10.0		41	48.11	1	+ 5	30	45.9	236	
9285	10.0		41	50.80	3	— 11	0	39.4	64	
9286	10.0		41	54.13	3	+ 15	19	45.2	309	
9287	9.2	19	42	2.59	3	+ 16	13	20.6	313	
9288	9.2		42	2.78	3	+ 7	54	21.5	48	
9289	8.0		42	5.49	3	+ 10	19	19.6	54	
9290	9.8		42	8.92	3	+ 5	2	17.8	151	
9291	10.0		42	9.72	3	+ 12	17	2.5	143	
9292	9.0	19	42	10.34	3	+ 15	59	10.6	312	
9293	10.0		42	13.30	4	+ 2	51	42.7	44	
9294	10.0		42	28.55	1	+ 5	15	44.2	46	
—	10.0		42	28.22	3	+ 5	15	45.7	238	
9295	9.0		42	33.31	4	+ 16	58	31.0	149	
9296	10.0	19	42	33.59	3	+ 15	23	30.8	314	
9297	9.0		42	33.93	3	+ 7	9	27.7	224	
9298	8.0		42	36.13	4	— 12	57	41.4	146	n
—	8.3		42	36.22	3	— 12	57	43.7	147	
9299	9.5		42	37.11	3	+ 9	14	26.0	63	
9300	9.5	19	42	40.68	4	— 1	30	22.6	56	
—	9.0		42	40.70	3	— 1	30	21.0	305	
9301	8.0		42	41.17	4	— 21	2	41.6	50	
9302	9.5		42	41.52	3	+ 4	31	29.3	59	
9303	10.0		42	43.01	2	+ 21	41	9.7	313	
9304	9.2	19	42	48.42	2	+ 16	6	13.0	315	
9305	10.0		42	48.66	3	— 19	39	32.7	299	
9306	8.0		42	50.06	2	+ 19	42	3.4	312	
9307	9.3		42	55.06	3	+ 15	23	56.8	317	
9308	9.5		42	56.42	3	— 8	39	9.0	144	
9309	10.0	19	42	59.15	3	+ 9	19	28.4	302	
9310	10.0		43	1.58	2	+ 9	14	22.7	235	n
9311	9.0		43	2.11	3	— 21	49	29.2	152	
9312	10.0		43	4.35	3	— 5	39	22.8	304	
9313	9.0		43	5.68	3	— 8	20	9.1	57	
9314	9.5	19	43	7.27	3	+ 14	6	8.1	68	
—	9.0		43	7.47	2	+ 14	6	8.8	311	
9315	9.7		43	8.78	3	— 0	16	49.1	66	
9316	9.0		43	15.07	3	+ 21	39	55.6	368	
9317	9.0		43	17.77	3	+ 14	5	43.6	230	
9318	9.0	19	43	18.07	2	+ 19	54	59.0	227	
9319	9.1		43	19.13	3	+ 12	54	54.4	143	
9320	9.0		43	19.26	3	+ 21	39	42.2	309	
9321	10.0		43	20.85	3	+ 17	3	25.1	315	
9322	9.2		43	28.82	4	+ 15	9	26.3	314	
9323	9.5	19	43	29.18	4	+ 2	42	8.4	72	
9324	10.5		43	29.50	2	+ 5	18	52.8	52	u
—	9.7		43	29.41	2	+ 5	18	52.1	62	
9325	9.8		43	33.10	2	+ 6	17	51.0	55	
9326	10.0		43	34.43	3	+ 9	16	21.8	233	
9327	9.0	19	43	41.80	4	+ 14	10	28.7	54	dpl. med.
9328	9.0		43	42.61	3	— 2	20	19.6	44	
9329	10.0		43	44.12	3	+ 15	41	35.8	149	
9330	8.0		43	45.24	4	+ 14	49	27.6	61	
9331	9.0		43	48.44	3	+ 7	0	0.2	231	
9332	10.0	19	43	48.53	4	+ 7	50	25.9	48	
9333	10.0		43	49.59	4	— 31	25	20.2	51	
9334	8.0		43	54.29	3	+ 4	28	48.3	46	
9335	9.5		43	54.90	3	— 8	52	8.2	144	
9336	10.0		43	55.11	3	+ 0	9	56.9	306	
9337	10.0	19	43	58.51	3	+ 21	39	41.9	148	
—	9.0		43	58.42	3	+ 21	39	38.7	313	
9338	9.6		43	59.81	3	+ 12	22	58.0	63	
9339	10.0		44	2.67	3	+ 15	44	12.8	228	
9340	10.0		44	5.80	3	+ 9	5	43.6	367	
9341	10.0	19	44	9.38	2	+ 15	22	21.8	317	f
9342	10.0		44	12.55	3	+ 7	22	16.1	151	
9343	8.7		44	16.80	3	— 21	27	3.2	299	
9344	10.0		44	19.31	3	+ 7	2	19.0	302	
—	9.2		44	19.59	2	+ 7	2	19.6	368	
9345	9.3	19	44	21.27	3	— 3	5	5.7	58	
9346	10.0		44	23.09	3	— 22	41	10.1	300	f
9347	8.0		44	23.33	3	— 28	51	39.0	301	
9348	7.0		44	25.25	3	+ 9	5	12.5	230	
9349	8.0		44	26.06	4	— 15	28	2.8	152	
9350	10.0	19	44	27.04	3	— 11	58	14.8	64	
9351	9.8		44	29.47	3	— 9	9	20.1	146	
9352	10.0		44	33.83	3	+ 4	10	51.0	232	
9353	9.2		44	34.09	3	+ 20	18	58.9	315	
9354	9.0		44	35.31	2	+ 21	43	29.5	314	
9355	10.0	19	44	37.09	3	— 10	29	53.4	303	
9356	8.6		44	38.01	4	— 8	48	21.9	57	
9357	10.0		44	38.75	3	+ 5	16	58.4	236	
9358	9.0		44	39.19	3	+ 1	27	45.6	66	
9359	7.5		44	39.75	4	— 16	10	20.9	50	
9360	9.0	19	44	40.99	3	+ 14	19	16.6	235	
9361	9.0		44	42.48	3	— 11	35	54.3	147	n
9362	10.0		44	44.26	3	+ 9	3	11.1	238	
9363	9.0		44	44.78	3	+ 7	32	29.8	151	
9364	10.0		44	46.55	2	+ 12	26	58.8	311	

No.	Grösse	Rectascension 1880.0 h m s	Fäden	Declination 1880.0 ° ′ ″	Zone	Bemerkungen
9365	9.0	19 44 47.96	3	— 0 13 59.4	305	
9366	9.0	44 48.53	3	+ 17 8 6.9	149	
9367	9.2	44 49.88	3	— 0 27 44.8	72	
9368	8.5	44 52.68	3	+ 14 12 41.5	61	
9369	10.0	44 53.05	1	— 7 19 57.7	144	
—	10.0	19 44 53.24	4	— 7 20 1.3	150	
9370	9.5	44 53.34	3	+ 2 55 36.9	308	
9371	8.0	44 53.84	3	— 12 7 25.7	304	
9372	8.0	44 53.87	3	— 12 55 32.1	146	
9373	10.0	45 2.50	3	— 1 18 20.3	306	
9374	8.0	19 45 7.34	3	+ 16 57 56.2	148	
—	9.0	45 7.13	3	+ 16 57 58.8	227	
9375	10.0	45 7.94	4	— 2 36 14.3	369	
9376	9.0	45 9.48	3	— 1 50 38.4	367	
9377	9.5	45 9.90	3	— 20 33 11.1	307	
9378	9.0	19 45 10.18	2	+ 17 1 48.2	227	
9379	10.0	45 15.07	3	+ 8 37 20.5	48	u
9380	8.9	45 16.61	3	+ 3 56 57.5	368	
9381	7.0	45 17.56	3	+ 20 16 28.1	228	
9382	8.5	45 18.60	3	+ 3 2 2.5	302	
9383	9.5	19 45 19.81	4	+ 8 52 3.0	62	
9384	9.1	45 20.31	2	+ 14 14 5.7	235	
9385	9.5	45 22.95	4	+ 14 21 57.0	63	
—	9.0	45 23.27	3	+ 14 21 55.2	317	
9386	10.0	45 25.80	3	+ 14 21 39.5	230	n
9387	9.3	19 45 26.62	4	— 12 11 2.2	64	
9388	9.0	45 26.94	2	+ 4 39 2.9	52	n
9389	9.5	45 31.02	3	+ 4 43 41.6	236	n
9390	7.5	45 33.93	3	— 17 11 26.1	299	
9391	9.5	45 38.57	3	— 19 40 47.8	51	
9392	10.0	19 45 39.29	3	+ 6 56 41.2	151	
9393	10.0	45 40.12	1	— 9 19 9.7	301	
9394	10.0	45 44.91	3	+ 15 26 22.7	313	
9395	8.8	45 57.35	3	— 2 56 23.5	305	
9396	10.0	46 0.96	1	+ 9 9 11.4	233	n
9397	10.0	19 46 5.34	2	— 9 14 8.0	147	a
—	10.0	46 5.35	3	— 9 14 7.1	303	
9398	9.8	46 8.98	4	+ 21 55 19.9	148	
9399	9.0	46 12.06	4	— 19 35 22.4	50	
9400	9.2	46 12.81	4	+ 0 39 16.1	44	
9401	9.3	19 46 17.34	2	+ 8 46 6.0	59	u
—	9.4	46 17.34	3	+ 8 46 7.0	238	
9402	10.0	46 19.22	4	+ 3 27 29.5	46	u f
9403	9.5	46 20.81	2	+ 14 13 12.1	235	n
9404	8.5	46 20.82	3	— 6 12 9.2	57	
9405	9.8	19 46 21.52	3	— 11 58 9.6	146	
—	9.0	46 21.46	3	— 11 58 11.5	304	
9406	10.0	46 22.26	3	+ 12 44 19.0	232	
9407	6.5	46 26.28	3	+ 11 19 56.2	65	
9408	8.9	46 29.98	4	— 6 32 52.8	58	
9409	9.0	19 46 31.19	2	+ 4 34 37.2	302	
9410	9.5	46 33.12	3	— 21 16 13.6	152	
9411	10.0	46 36.71	3	+ 16 0 46.9	149	
—	9.0	46 36.75	3	+ 16 0 45.7	156	
9412	10.0	46 37.45	3	— 27 47 56.2	300	
9413	8.3	19 46 39.56	3	— 8 34 27.3	60	
9414	9.0	46 43.03	3	— 12 5 58.3	367	
9415	10.0	46 48.92	3	+ 10 12 5.5	61	n
9416	9.9	46 49.54	3	+ 6 22 18.1	62	
9417	10.0	46 50.05	3	+ 8 54 32.1	72	
—	9.0	19 46 49.95	2	+ 8 54 31.3	224	
9418	8.0	46 54.94	3	— 7 7 23.0	144	
9419	9.6	46 57.45	3	+ 12 55 3.4	63	
9420	10.0	47 1.49	3	+ 12 36 19.5	311	
9421	8.0	47 1.60	1	+ 0 1 1.6	306	
9422	10.0	19 47 1.81	3	— 11 54 36.6	64	n
9423	9.1	47 1.96	4	+ 5 16 55.2	52	
9424	9.0	47 2.20	2	+ 10 48 —	54	
9425	9.6	47 2.74	4	— 11 14 41.4	150	
9426	9.0	47 3.35	3	+ 10 48 55.3	54	
—	9.0	19 47 3.14	4	+ 10 48 56.2	143	
9427	9.7	47 9.95	3	+ 6 30 53.9	55	
9428	8.0	47 10.35	4	— 13 6 29.9	301	
9429	9.0	47 17.59	2	+ 17 1 47.1	368	n
9430	9.6	47 19.08	2	+ 8 55 12.3	367	
9431	9.0	19 47 25.64	3	— 4 3 21.1	303	
9432	8.0	47 26.87	3	+ 15 56 11.1	149	
9433	10.0	47 27.79	2	— 22 3 7.4	50	u
—	10.0	47 28.06	2	— 22 3 8.4	300	
9434	7.5	47 32.29	5	— 19 14 46.7	51	
9435	9.0	19 47 33.24	4	— 7 3 52.5	57	
9436	8.5	47 33.51	3	+ 17 30 21.4	148	
9437	9.5	47 34.01	3	— 19 46 13.7	154	
9438	9.7	47 34.68	3	+ 1 8 24.7	66	
9439	9.0	47 39.54	3	+ 15 42 8.6	227	
9440	10.0	19 47 41.09	3	+ 16 11 4.2	228	
9441	8.8	47 42.80	3	+ 16 59 48.8	156	n
—	8.0	47 42.88	2	+ 16 59 53.3	368	
9442	9.7	47 44.94	3	+ 13 53 18.8	68	
9443	10.0	47 45.13	3	+ 9 13 12.7	233	n
9444	10.0	19 47 46.67	3	+ 6 16 22.1	151	
9445	9.0	47 47.73	3	+ 2 54 50.4	44	
9446	9.0	47 48.04	3	+ 12 56 11.8	65	
9447	8.3	47 53.72	4	— 5 21 22.2	58	
9448	10.0	47 53.95	3	+ 8 58 2.2	48	
—	9.5	19 47 54.29	4	+ 8 58 1.7	59	
9449	9.0	47 55.27	3	— 5 31 21.4	150	
9450	10.0	48 1.06	3	+ 8 48 49.4	224	
9451	9.0	48 3.30	3	— 19 4 45.6	299	
9452	9.0	48 5.23	3	+ 5 9 59.9	231	

No.	Grösse	Rectascension 1880.0 h m s	Fäden	Declination 1880.0 ° ′ ″	Zone	Bemerkungen
9453	9.3	19 48 5.53	3	+ 6 31 36.4	62	n
9454	9.0	48 8.55	3	— 20 39 16.4	152	
9455	8.0	48 9.07	4	+ 14 1 2.0	143	
9456	10.0	48 12.62	3	— 9 13 44.5	147	n
9457	10.0	48 15.93	3	+ 6 15 3.7	232	
9458	10.0	19 48 16.16	4	+ 12 19 53.5	230	
9459	10.0	48 22.13	3	+ 9 2 31.9	63	
9460	9.0	48 22.90	3	+ 3 38 43.3	236	
9461	8.3	48 24.34	3	+ 3 34 52.0	151	
9462	9.0	48 27.09	4	+ 12 57 30.8	235	
9463	9.5	19 48 27.25	2	+ 4 34 12.2	52	
—	10.0	48 27.29	2	+ 4 34 10.5	237	
9464	8.0	48 32.48	3	— 26 51 57.3	154	
9465	9.0	48 35.34	2	+ 2 50 26.8	305	
9466	8.3	48 36.96	3	+ 21 48 25.8	149	
9467	9.0	19 48 38.04	3	+ 13 55 2.0	238	
9468	9.0	48 39.86	3	+ 2 53 26.9	307	
—	9.0	48 40.00	2	+ 2 53 27.2	308	
—	9.0	48 40.13	3	+ 2 53 27.7	310	
9469	7.0	48 44.71	3	— 8 7 14.0	144	
9470	10.0	19 48 45.04	2	+ 7 40 19.9	232	
9471	9.0	48 45.57	3	— 6 24 11.4	301	n
—	9.3	48 45.53	2	— 6 24 8.2	368	
—	9.5	48 45.38	4	— 6 24 13.0	369	
9472	9.5	48 51.74	3	+ 16 21 47.2	156	
9473	10.0	19 48 55.83	4	— 10 53 21.3	146	
9474	10.0	48 58.99	2	+ 13 15 30.5	235	
9475	9.2	48 59.82	3	+ 9 49 45.6	61	
9476	7.8	49 0.68	4	— 1 9 21.3	306	
9477	10.0	49 1.43	3	+ 21 43 15.6	227	
9478	10.0	19 49 5.47	3	+ 11 57 2.2	309	
9479	9.5	49 6.71	3	+ 12 25 37.1	230	
9480	9.0	49 10.33	3	+ 6 19 7.1	367	
9481	10.0	49 12.90	3	— 12 46 53.6	64	
—	10.0	49 13.30	1	— 12 46 49.8	299	
9482	8.5	19 49 20.98	3	+ 11 17 56.1	68	
9483	10.0	49 30.36	3	+ 5 31 50.2	151	n
9484	8.8	49 33.02	3	+ 14 39 28.2	65	
9485	9.7	49 35.97	3	— 8 23 53.3	57	
9486	10.0	49 38.09	4	+ 16 19 38.2	228	
9487	9.0	19 49 40.18	3	+ 14 59 5.6	63	
9488	9.0	49 41.46	3	+ 7 23 46.0	238	
9489	9.9	49 43.69	3	+ 3 27 8.4	48	
9490	9.5	49 45.79	3	— 1 4 0.5	307	
9491	9.0	49 46.52	5	+ 4 31 11.9	224	
9492	10.0	19 49 46.85	3	+ 8 33 13.1	231	
9493	9.8	49 50.75	3	+ 8 38 49.3	236	
9494	9.5	49 53.06	3	+ 14 33 16.6	143	
9495	10.5	49 55.66	2	+ 15 57 6.5	149	
9496	8.0	49 59.85	3	+ 6 17 31.1	232	

No.	Grösse	Rectascension 1880.0 h m s	Fäden	Declination 1880.0 ° ′ ″	Zone	Bemerkungen
9497	10.0	19 50 2.19	2	— 12 46 5.5	64	
—	10.5	50 2.35	1	— 12 46 5.3	146	
9498	9.2	50 11.63	1	+ 3 59 33.7	310	
—	9.2	50 11.47	3	+ 3 59 34.2	367	
9499	5.0	50 12.37	3	+ 9 53 25.6	61	
9500	9.0	19 50 13.47	4	— 7 27 19.1	60	
9501	10.0	50 13.74	3	— 8 12 45.0	150	
9502	10.0	50 15.96	3	+ 9 30 25.9	235	
9503	9.5	50 16.56	4	— 6 31 32.6	301	
9504	9.0	50 18.20	3	+ 10 53 36.4	230	u
—	9.0	19 50 18.02	2	+ 10 53 36.4	313	
9505	9.5	50 18.82	3	+ 0 40 42.9	306	
9506	10.0	50 22.78	1	+ 8 52 32.1	237	s u
—	9.2	50 23.12	2	+ 8 52 31.8	311	
9507	10.0	50 26.09	2	+ 7 27 37.2	238	
9508	8.7	19 50 27.32	3	— 19 50 44.6	152	
9509	9.5	50 27.58	1	— 1 24 55.4	304	
9510	9.5	50 36.12	3	— 17 24 14.8	154	
9511	9.3	50 43.34	3	+ 16 23 28.4	156	
9512	8.3	50 46.72	3	+ 8 28 5.6	52	
9513	9.5	19 50 47.00	3	+ 1 4 39.7	44	
9514	10.0	50 48.21	3	+ 15 55 45.5	227	
9515	9.6	50 49.26	2	+ 14 21 52.7	63	
9516	9.7	50 49.65	3	+ 9 57 59.2	65	
9517	10.0	50 56.53	3	+ 15 12 42.5	228	
9518	10.0	19 50 56.99	2	+ 7 26 21.2	62	
9519	8.0	51 0.28	3	+ 13 9 16.3	54	
9520	7.3	51 6.38	3	+ 8 7 43.9	46	
9521	10.0	51 7.57	4	+ 9 25 45.0	68	
9522	9.5	51 11.19	2	+ 7 52 44.7	224	n A
9523	9.9	19 51 13.67	3	+ 8 48 53.3	72	
9524	10.0	51 17.18	3	+ 15 39 40.8	149	
9525	8.0	51 17.52	2	+ 14 30 0.7	232	
9526	10.0	51 17.63	3	— 22 54 48.2	50	
9527	9.5	51 20.83	3	+ 14 29 41.5	143	
—	10.0	19 51 20.85	3	+ 14 29 42.1	309	
9528	9.0	51 21.57	2	— 18 24 36.5	152	n
9529	9.0	51 24.63	4	— 7 16 48.2	57	
9530	10.0	51 26.16	3	— 4 36 48.8	58	
9531	10.0	51 32.56	3	— 22 56 24.3	51	
9532	9.0	19 51 34.82	3	— 5 30 23.6	60	
9533	9.5	51 39.85	3	+ 14 47 14.1	157	
—	9.5	51 39.73	3	+ 14 47 19.7	230	
—	9.5	51 39.85	3	+ 14 47 16.2	367	
—	9.5	51 39.82	3	+ 14 47 16.5	368	
9534	10.0	19 51 47.21	3	+ 2 58 30.6	66	
—	9.5	51 47.35	3	+ 2 58 33.2	304	
9535	9.3	51 48.84	3	+ 21 46 32.8	156	
9536	10.0	51 51.76	3	+ 8 38 57.4	58	
9537	9.0	51 57.95	3	— 6 28 49.2	150	n

No.	Grösse	Rectascension 1880.0 h m s	Fäden	Declination 1880.0 ° ′ ″	Zone	Bemerkungen
9538	9.0	19 51 59.57	3	− 1 19 1.4	305	
9539	9.0	51 59.85	4	+ 7 50 24.5	236	
9540	9.0	52 8.10	3	− 18 16 58.2	154	
9541	9.0	52 10.35	3	+ 14 49 31.0	61	
9542	9.2	52 11.77	3	− 1 10 4.3	306	
9543	9.0	19 52 12.21	3	+ 7 35 44.6	238	
9544	9.3	52 13.56	2	− 0 4 1.1	72	
—	9.0	52 13.53	2	− 0 4 1.4	308	
9545	8.0	52 16.81	4	− 10 39 58.0	144	
—	9.0	52 16.76	3	− 10 39 56.0	147	
9546	10.0	19 52 17.18	3	+ 17 3 19.2	227	
9547	10.0	52 19.97	3	+ 17 7 8.1	228	
9548	9.2	52 20.24	2	+ 0 26 40.2	307	
9549	10.0	52 20.85	4	+ 8 36 40.4	231	
9550	10.0	52 21.11	2	+ 9 37 55.4	68	
—	10.0	19 52 20.79	3	+ 9 37 56.9	235	
9551	10.0	52 30.78	4	− 9 53 36.8	64	
9552	9.2	52 33.91	3	+ 14 46 46.5	65	
9553	10.0	52 34.13	2	− 1 55 32.9	308	
9554	9.7	52 34.14	3	− 10 52 46.5	146	
9555	9.6	19 52 36.73	3	+ 17 32 47.9	149	
9556	10.0	52 38.77	3	+ 6 42 32.1	48	f
—	10.0	52 38.95	3	+ 6 42 30.5	224	
9557	9.0	52 41.01	3	+ 8 15 5.1	237	
9558	9.8	52 42.32	3	+ 8 36 11.4	62	
9559	10.0	19 52 49.51	3	+ 17 37 2.2	317	
9560	9.0	52 51.64	3	+ 20 38 37.4	309	
9561	9.0	52 56.25	3	− 6 31 29.9	150	n
9562	9.0	52 59.83	3	+ 1 16 25.7	305	
9563	9.7	53 2.78	3	+ 3 55 48.3	46	
9564	9.0	19 53 6.80	3	+ 15 24 30.7	313	
9565	10.0	53 8.32	2	+ 21 58 34.7	228	
—	9.0	53 8.43	3	+ 21 58 33.4	311	
9566	6.0	53 15.91	4	− 10 16 15.5	299	
—	7.0	53 15.67	4	− 10 16 15.9	300	
9567	10.0	19 53 15.82	3	+ 7 44 30.7	238	n
9568	9.0	53 23.78	3	+ 1 9 56.1	304	
9569	8.6	53 31.28	3	− 20 11 3.9	154	
9570	10.0	53 32.46	1	+ 9 7 1.7	54	
—	10.0	53 32.43	2	+ 9 7 1.7	68	
9571	9.0	19 53 33.83	3	+ 4 43 3.4	151	
9572	9.0	53 36.80	3	− 26 33 5.0	50	
9573	9.0	53 38.03	4	+ 4 43 24.4	52	
9574	9.7	53 41.65	3	− 5 59 28.6	57	
9575	9.0	53 41.81	4	+ 14 50 25.6	65	
9576	8.5	19 53 42.73	2	+ 3 24 29.2	62	
9577	10.0	53 43.31	3	− 1 43 0.1	66	
9578	10.0	53 44.09	3	+ 17 38 52.9	227	
9579	9.8	53 46.97	4	+ 4 58 8.9	231	
9580	10.0	53 47.84	4	− 10 17 52.9	146	n

No.	Grösse	Rectascension 1880.0 h m s	Fäden	Declination 1880.0 ° ′ ″	Zone	Bemerkungen
9581	9.8	19 53 59.01	3	− 16 3 5.4	51	
9582	9.5	54 0.62	3	+ 3 58 16.6	224	
—	10.0	54 0.68	3	+ 3 58 17.2	232	
9583	9.5	54 1.35	2	+ 6 28 40.8	236	
9584	10.0	54 3.10	4	− 6 0 31.5	150	n
9585	9.5	19 54 4.46	3	+ 21 4 5.4	313	
9586	8.6	54 5.65	3	− 11 48 29.5	147	
9587	9.0	54 7.61	3	− 4 0 3.8	60	
—	9.0	54 7.64	4	− 4 0 1.8	301	
9588	9.0	54 9.55	2	+ 22 17 18.1	311	
9589	9.0	19 54 11.08	3	+ 20 37 37.3	149	n
9590	9.7	54 17.37	3	− 8 26 39.3	144	
9591	8.0	54 17.92	1	+ 7 26 0.7	46	
9592	9.3	54 22.69	3	+ 7 18 58.0	48	
9593	8.0	54 23.15	4	− 12 34 20.1	299	
—	7.3	19 54 22.93	4	− 12 34 21.4	300	
9594	10.0	54 23.64	3	− 14 17 2.1	64	
9595	10.0	54 25.01	3	− 15 0 40.5	152	
9596	9.8	54 26.63	4	− 0 31 28.0	72	
9597	9.0	54 28.25	3	+ 5 10 41.7	237	
9598	7.5	19 54 28.94	4	− 4 38 20.6	58	
9599	9.7	54 29.52	3	+ 9 24 26.1	61	
9600	9.7	54 34.70	4	− 4 51 14.9	57	
9601	10.0	54 35.29	3	+ 16 43 27.6	228	
9602	10.0	54 36.49	2	+ 5 38 1.9	231	
—	9.8	19 54 36.26	3	+ 5 38 2.0	238	
9603	9.0	54 41.32	3	+ 8 23 48.7	232	
9604	8.0	54 43.00	3	+ 12 46 23.2	68	
9605	9.0	54 44.21	3	− 28 31 53.8	154	
9606	9.0	54 46.89	3	+ 11 43 48.9	143	
9607	9.5	19 54 48.33	3	+ 9 42 32.4	157	
9608	9.5	54 48.52	3	+ 21 1 30.3	227	
9609	9.0	54 50.20	3	+ 21 17 20.1	309	n
9610	9.5	54 51.17	3	− 11 9 29.1	146	
9611	9.5	54 56.84	3	− 2 36 37.5	304	
9612	9.0	19 54 56.87	3	+ 17 36 51.7	156	
9613	9.8	55 3.69	2	+ 2 47 23.9	66	
9614	9.5	55 4.11	3	+ 7 24 —	46	n
—	9.0	55 3.84	1	+ 7 24 26.8	236	
—	9.0	55 3.86	2	+ 7 24 29.6	310	
9615	9.0	19 55 7.18	3	+ 1 0 26.2	305	
9616	9.0	55 8.90	3	+ 11 36 13.6	235	n
9617	8.5	55 11.36	3	+ 17 30 34.6	149	
9618	9.1	55 13.61	5	+ 2 55 53.7	391	
9619	9.0	55 13.79	3	+ 20 10 12.9	313	
9620	9.0	19 55 14.35	3	− 9 58 38.4	147	
9621	7.8	55 14.55	4	+ 11 23 44.5	63	
9622	10.0	55 15.26	3	+ 16 28 22.1	314	
9623	9.5	55 23.05	2	+ 1 4 50.2	304	
9624	9.0	55 23.70	1	+ 10 14 1.1	235	

No.	Grösse	Rectascension 1880.0	Fäden	Declination 1880.0	Zone	Bemerkungen
		h m s		° ′ ″		
—	9.2	19 55 23.40	2	+ 10 14 3.5	238	
9625	9.0	55 24.98	3	+ 0 19 59.0	72	
9626	10.0	55 26.21	3	+ 10 4 28.7	65	
—	10.0	55 26.43	3	+ 10 4 26.6	316	
9627	9.2	55 29.34	4	— 12 57 5.4	150	
9628	9.0	19 55 39.34	3	+ 10 45 53.7	54	
9629	9.0	55 41.07	4	+ 4 55 30.1	62	
9630	8.0	55 43.43	4	+ 10 25 0.2	317	dpl. aust.
9631	8.5	55 43.53	3	— 26 22 28.7	50	
9632	9.0	55 45.35	3	+ 7 28 50.0	151	
9633	9.5	19 55 47.96	3	+ 16 20 7.3	156	
9634	10.0	55 56.11	1	+ 12 42 56.4	61	u n
9635	10.0	55 56.27	3	— 26 58 4.2	51	
9636	10.0	55 56.89	3	+ 7 24 52.7	367	
9637	8.0	55 58.65	3	— 18 52 38.4	152	
9638	9.0	19 56 8.37	3	— 7 28 7.2	144	
9639	9.5	56 8.51	3	+ 6 12 25.8	224	
9640	10.0	56 11.50	3	+ 6 59 38.4	231	
9641	8.0	56 13.24	3	— 17 40 48.4	299	n
9642	10.0	56 15.89	4	— 6 41 50.8	57	
9643	9.5	19 56 17.46	2	+ 8 22 40.3	52	
—	10.0	56 16.93	2	+ 8 22 40.0	236	
9644	9.0	56 17.92	3	+ 12 32 16.2	368	n
9645	8.0	56 21.17	3	— 23 17 26.0	154	
9646	9.7	56 21.34	3	+ 12 43 10.6	157	n
—	9.0	19 56 21.41	3	+ 12 43 10.5	311	
9647	10.5	56 22.17	2	+ 11 42 0.6	63	
9648	9.7	56 22.46	3	— 9 17 18.7	64	
9649	8.0	56 27.63	3	+ 10 24 24.4	68	
9650	10.0	56 28.22	3	+ 17 42 54.3	228	n
9651	9.0	19 56 28.59	3	+ 17 45 43.2	309	
9652	10.0	56 29.36	3	— 0 58 29.5	305	
—	10.0	56 29.47	3	— 0 58 29.9	369	
9653	9.3	56 30.27	3	+ 4 46 19.5	48	
9654	10.0	56 31.48	3	+ 5 18 54.7	59	
9655	9.7	19 56 35.32	3	— 4 48 47.1	58	
9656	9.0	56 37.33	3	+ 22 14 0.5	227	
9657	10.0	56 37.90	4	— 11 35 21.0	146	n
9658	10.0	56 38.09	3	— 0 42 30.4	306	
9659	9.0	56 38.14	3	— 7 33 47.0	144	
9660	10.0	19 56 40.58	1	+ 2 14 30.5	66	u
—	10.0	56 40.22	3	+ 2 14 31.3	307	
9661	10.0	56 41.32	3	+ 0 47 20.6	304	
9662	9.3	56 50.47	3	— 24 41 19.0	50	
9663	9.8	56 58.00	3	+ 17 44 6.9	149	
9664	8.0	19 57 4.83	3	+ 15 16 37.4	313	
—	8.5	57 4.85	3	+ 15 16 37.1	314	
9665	9.0	57 6.62	3	— 15 30 35.3	152	
9666	9.3	57 14.05	4	+ 4 31 33.8	62	
9667	9.8	57 15.07	3	+ 1 6 22.8	72	

No.	Grösse	Rectascension 1880.0	Fäden	Declination 1880.0	Zone	Bemerkungen
		h m s		° ′ ″		
9668	9.7	19 57 15.95	5	+ 7 11 37.5	317	
9669	9.0	57 16.08	4	— 24 19 9.8	51	
9670	8.5	57 17.06	3	+ 6 33 19.0	151	
—	9.0	57 17.05	3	+ 6 33 18.4	310	
9671	10.0	57 18.08	4	+ 3 11 38.2	237	
9672	9.3	19 57 19.00	3	— 9 3 47.1	150	n
9673	9.6	57 26.58	3	+ 17 35 23.9	156	
9674	9.0	57 27.99	1	+ 5 10 32.7	231	u
—	10.0	57 27.90	3	+ 5 10 30.9	316	
9675	9.0	57 28.55	2	+ 13 20 25.6	157	n
9676	9.0	19 57 30.31	3	+ 14 57 5.5	311	
9677	9.0	57 30.49	3	+ 11 45 37.2	54	
9678	9.0	57 30.90	3	+ 7 9 49.9	224	
—	9.0	57 31.10	3	+ 7 9 48.8	235	
9679	9.0	57 32.11	3	— 16 15 4.5	154	
9680	10.0	19 57 33.58	3	— 0 57 8.3	367	
9681	10.0	57 37.59	3	+ 0 55 29.0	306	
9682	9.0	57 39.47	4	+ 20 8 16.5	228	
9683	9.3	57 40.38	4	+ 7 53 40.2	46	
9684	9.0	57 40.49	3	+ 0 32 43.1	304	
9685	9.7	19 57 42.49	3	+ 3 57 6.9	59	
9686	9.5	57 43.85	3	— 6 14 0.9	60	
9687	9.0	57 45.21	3	+ 14 43 36.0	63	
9688	10.0	57 45.38	3	+ 17 35 25.2	313	
9689	10.5	57 48.49	2	— 10 53 21.3	64	
—	10.0	19 57 48.53	3	— 10 53 20.5	300	
9690	10.0	57 48.64	3	+ 4 31 23.6	232	
9691	10.0	57 51.34	3	+ 15 24 34.1	227	dpl. pr.
9692	9.3	57 52.28	1	— 15 20 11.3	154	
9693	10.0	57 52.35	2	+ 9 31 11.0	68	
9694	9.0	19 57 52.44	3	— 16 21 38.9	299	
9695	9.2	57 54.00	3	+ 15 50 23.5	315	
9696	8.0	57 55.98	4	— 9 46 35.3	147	
9697	8.0	57 56.21	4	+ 9 52 3.5	238	
9698	9.0	57 56.35	3	— 8 40 54.7	58	
9699	9.5	19 58 0.09	3	+ 16 19 53.5	309	
9700	9.0	58 2.84	3	+ 8 25 8.8	224	
9701	9.6	58 9.58	3	+ 5 39 5.4	48	
9702	9.7	58 10.15	3	+ 13 24 32.8	65	n
9703	10.0	58 10.82	4	+ 2 1 3.7	305	
—	9.5	19 58 10.88	3	+ 2 1 6.8	368	
9704	10.0	58 12.93	3	— 10 51 34.7	146	
9705	9.5	58 15.93	4	+ 4 39 50.4	52	n
9706	9.0	58 20.13	3	+ 21 34 59.3	149	
9707	9.0	58 21.55	3	+ 21 28 54.9	314	
9708	9.0	19 58 24.67	3	+ 6 38 32.4	236	n
9709	9.8	58 25.40	3	— 4 57 29.3	57	
—	9.5	58 25.47	3	— 4 57 26.8	367	
9710	9.8	58 25.42	3	+ 0 33 17.4	72	
9711	9.5	58 28.85	3	+ 19 16 38.9	156	

No.	Grösse	Rectascension 1880.0 h m s	Fäden	Declination 1880.0 ° ' "	Zone	Bemerkungen
9712	9.9	19 58 33.63	3	− 3 29 46.6	60	
—	10.0	58 34.11	2	− 3 29 47.2	144	
9713	9.0	58 35.08	2	+ 15 4 13.4	54	n
9714	10.0	58 40.22	3	− 15 25 35.6	152	
9715	9.0	58 44.53	3	− 8 44 42.0	150	n
9716	10.0	19 58 47.23	2	+ 9 20 37.6	61	a
—	10.0	58 46.71	1	+ 9 20 39.1	237	
9717	8.2	58 47.57	3	+ 8 54 0.3	235	dpl. pr.
9718	9.0	58 48.28	3	− 4 8 20.4	58	
9719	9.0	58 49.44	2	+ 10 54 41.5	63	
—	9.0	19 58 49.27	6	+ 10 54 41.1	318	
9720	9.5	58 53.02	3	− 26 49 9.0	153	
9721	9.0	58 53.95	3	− 31 54 23.6	50	
9722	8.0	58 55.84	4	− 15 45 49.8	51	
9723	10.0	58 56.28	3	+ 5 33 59.6	59	
9724	9.0	19 59 1.71	4	+ 8 23 29.0	151	
9725	9.0	59 3.05	3	+ 9 23 40.1	238	
9726	9.3	59 5.91	4	+ 4 14 20.2	46	a
9727	10.0	59 12.01	2	+ 21 34 13.1	227	
9728	10.0	59 12.45	3	− 14 18 13.5	146	
9729	9.0	19 59 15.39	3	+ 3 48 15.0	62	
9730	8.0	59 19.17	1	+ 17 35 27.4	156	
—	8.0	59 19.10	3	+ 17 35 30.5	228	
9731	9.2	59 21.04	2	+ 0 52 27.7	367	
9732	10.0	59 22.88	2	− 3 4 28.4	144	
9733	9.0	19 59 28.44	3	− 20 29 0.2	152	
9734	9.0	59 29.03	3	+ 11 47 47.6	234	n
9735	10.0	59 29.18	3	− 0 19 16.1	304	
9736	9.3	59 34.67	3	+ 11 26 15.8	157	
9737	10.0	59 37.16	4	+ 9 28 47.0	65	
9738	10.5	19 59 38.64	1	+ 14 27 29.3	68	
9739	10.0	59 41.17	2	− 1 13 25.9	66	
9740	8.3	59 41.27	3	+ 17 32 16.6	149	
9741	9.8	59 41.86	3	+ 6 24 8.9	48	
9742	10.0	59 42.09	3	+ 6 23 —	48	
—	9.2	19 59 42.29	1	+ 6 23 25.8	151	
9743	10.0	59 43.51	2	+ 3 25 41.9	231	n
9744	9.5	59 46.99	3	− 3 28 26.2	57	
9745	9.0	59 47.92	3	+ 9 33 29.2	311	
9746	9.0	59 48.09	4	− 9 51 59.2	299	
9747	10.0	19 59 51.23	3	+ 11 30 28.4	232	
9748	8.0	59 52.48	3	+ 13 40 40.1	238	
9749	8.0	59 55.43	3	+ 15 9 34.5	148	
9750	8.8	59 55.64	3	+ 3 43 57.5	224	
9751	9.3	59 57.66	3	− 8 42 57.4	150	n
9752	9.5	20 0 4.59	3	+ 4 15 49.1	236	
9753	9.0	0 4.87	3	− 10 59 6.6	147	
9754	9.8	0 4.98	2	− 2 44 58.3	72	
9755	10.0	0 11.90	3	+ 11 28 45.1	313	
9756	10.0	0 12.06	3	− 1 13 27.7	306	
9757	9.5	20 0 13.65	3	− 31 11 51.1	153	
9758	9.8	0 14.28	3	− 7 17 47.6	58	
—	9.5	0 13.92	2	− 7 17 44.4	304	
9759	9.6	0 14.34	3	− 15 25 41.2	154	
9760	9.8	0 14.84	2	− 14 49 0.1	64	
9761	9.0	20 0 16.25	3	+ 5 33 33.9	235	
9762	9.2	0 24.87	3	+ 2 38 39.7	307	
9763	9.6	0 30.49	3	+ 9 42 43.2	63	
9764	10.0	0 32.39	3	+ 16 28 19.8	227	
—	10.0	0 32.44	2	+ 16 28 17.0	228	
9765	9.1	20 0 39.55	3	− 15 36 30.1	371	
9766	9.5	0 42.26	3	− 4 34 19.5	150	
9767	8.7	0 43.47	1	+ 13 27 20.7	157	n
—	9.0	0 43.46	1	+ 13 27 19.1	238	
9768	9.8	0 46.75	1	+ 0 19 15.9	307	
—	10.0	20 0 46.57	3	+ 0 19 15.9	308	
9769	9.0	0 47.18	3	− 20 7 14.1	50	
9770	9.2	0 47.20	3	+ 3 43 51.6	368	n
9771	7.8	0 47.49	3	+ 7 12 54.7	46	
9772	7.8	0 47.61	3	+ 7 14 —	46	
9773	10.0	20 0 48.75	3	− 8 51 27.1	239	
9774	9.2	0 50.83	3	+ 17 33 11.4	156	
9775	10.5	0 55.04	2	+ 9 48 16.7	54	
9776	9.0	0 58.11	3	+ 22 42 2.2	149	
9777	8.2	1 1.11	1	+ 3 41 11.9	368	
—	8.3	20 1 1.13	5	+ 3 41 10.0	369	
9778	10.0	1 2.12	2	− 12 4 45.6	146	n
9779	9.0	1 2.19	4	− 11 5 44.4	147	
9780	9.0	1 7.05	3	− 16 15 39.5	51	
9781	10.0	1 9.61	1	+ 11 20 34.0	234	
9782	9.6	20 1 10.64	3	− 7 7 26.3	60	
9783	10.5	1 11.21	1	+ 11 19 55.7	68	n
9784	9.9	1 19.63	4	+ 5 58 53.3	59	
9785	10.0	1 22.09	2	+ 9 46 6.6	65	
9786	9.0	1 24.36	4	+ 9 58 9.6	61	
9787	8.3	20 1 24.63	3	+ 5 54 51.8	62	
9788	10.0	1 26.37	3	+ 13 41 47.7	311	n
9789	9.0	1 27.65	3	+ 4 42 45.2	151	
9790	8.5	1 29.80	3	+ 7 0 44.8	224	
9791	10.0	1 29.98	1	+ 0 50 24.6	66	
9792	10.0	20 1 31.81	3	+ 5 19 22.0	231	
9793	9.7	1 33.08	3	+ 11 14 1.2	63	
9794	9.0	1 34.51	3	+ 17 34 56.8	148	
9795	9.5	1 38.09	3	− 7 34 27.9	144	
9796	10.0	1 38.33	3	+ 8 33 52.8	235	
9797	9.0	20 1 41.80	2	+ 7 2 23.2	236	
9798	9.8	1 43.29	3	+ 1 20 3.8	306	
9799	10.0	1 43.35	3	+ 3 51 43.5	237	
9800	8.5	1 44.81	3	− 16 3 51.6	152	
—	9.0	1 44.85	3	− 16 3 53.8	154	

No.	Grösse	Rectascension 1880.0			Fäden	Declination 1880.0			Zone	Bemerkungen
		h	m	s		°	′	″		
9801	9.5	20	1	47.47	3	−19	52	8.2	153	
9802	10.5		1	48.68	2	− 6	6	11.6	58	
9803	9.0		1	50.17	3	+ 4	24	42.7	310	
9804	9.8		1	57.83	3	+ 2	12	29.1	308	
—	10.0		1	57.92	3	+ 2	12	27.0	371	
9805	10.0	20	1	58.97	3	+ 7	44	31.9	314	
9806	9.0		1	59.81	3	− 7	45	41.0	57	
9807	10.0		2	1.52	3	− 0	35	23.3	307	
9808	7.8		2	1.84	4	+16	40	28.5	156	
9809	8.5		2	4.34	1	+ 9	55	13.1	157	
9810	9.5	20	2	4.83	2	+ 6	45	56.1	151	
—	10.0		2	4.89	3	+ 6	45	52.7	315	
9811	10.0		2	6.61	3	+ 9	52	56.6	232	n
9812	10.0		2	8.15	3	+17	41	6.8	227	
9813	9.0		2	12.40	3	− 5	26	53.6	150	
9814	10.0	20	2	13.63	3	+ 8	34	34.9	238	
—	9.5		2	13.80	1	+ 8	34	38.7	372	
—	9.8		2	13.80	3	+ 8	34	38.0	373	
9815	9.5		2	14.67	2	−12	0	58.3	147	
9816	9.0		2	24.15	3	+ 1	56	57.3	72	
9817	8.2	20	2	25.39	3	+19	29	27.3	228	
9818	8.2		2	28.31	2	+19	29	33.3	228	
9819	9.0		2	29.64	3	+16	44	8.0	309	
9820	9.5		2	36.77	3	−12	30	12.7	64	
9821	9.2		2	38.36	3	+ 4	40	41.6	59	
9822	7.8	20	2	39.65	3	+11	14	3.9	63	
9823	10.0		2	40.10	3	−22	29	41.1	50	
9824	8.0		2	42.54	1	+16	41	45.8	227	
9825	9.0		2	44.06	3	+ 4	39	47.3	62	
9826	9.0		2	44.97	4	+11	14	16.7	61	
—	9.0	20	2	44.96	3	+11	14	16.9	65	
9827	9.7		2	45.44	4	+ 6	26	28.6	231	
9828	8.5		2	46.51	3	+ 6	14	18.7	224	
9829	9.5		2	56.76	3	− 7	31	45.3	144	
9830	10.0		2	59.63	3	+ 3	6	48.2	235	
9831	9.0	20	3	5.95	3	−20	44	28.4	153	
9832	9.0		3	6.04	3	− 9	30	36.5	146	
—	9.0		3	6.30	3	− 9	30	34.1	320	
9833	10.5		3	16.77	3	− 5	17	49.4	150	n
9834	9.6		3	21.61	3	+21	5	26.1	148	
9835	9.2	20	3	22.86	3	−20	49	59.8	51	
—	9.0		3	22.83	4	−20	50	0.9	371	
9836	9.8		3	24.75	3	− 7	31	59.3	60	
9837	9.0		3	24.94	4	+ 3	51	7.5	46	
9838	9.5		3	25.83	3	− 3	28	42.5	57	
9839	10.0	20	3	26.38	3	+ 4	34	23.2	310	n
9840	9.5		3	26.44	3	+ 9	47	20.9	54	
9841	9.5		3	32.35	3	+ 6	8	2.8	151	
9842	10.0		3	33.06	3	+ 1	10	49.1	306	
9843	10.0		3	33.63	3	+ 7	14	54.3	236	
9844	9.1	20	3	35.05	3	+ 5	43	5.0	238	
9845	9.5		3	36.34	2	+ 3	22	32.4	237	
9846	10.0		3	46.64	3	− 7	46	45.9	144	
9847	10.0		3	49.97	2	−12	40	7.7	147	
9848	9.7		3	53.52	3	+ 9	2	55.8	157	
9849	9.5	20	3	54.10	2	−31	9	1.9	154	
9850	9.0		3	57.61	4	+11	16	25.3	234	
9851	9.5		3	59.48	3	− 9	13	16.7	64	
9852	10.0		3	59.82	3	− 3	35	59.3	304	
—	9.5		4	0.13	2	− 3	35	59.7	372	
—	10.0	20	4	0.04	3	− 3	36	1.3	373	
9853	9.3		4	7.05	3	+10	25	53.5	61	
—	9.5		4	6.94	3	+10	25	52.8	311	
9854	10.0		4	11.29	3	+ 7	30	43.1	151	
9855	7.5		4	11.44	3	−20	37	6.7	153	
9856	10.5	20	4	13.97	1	+11	28	12.7	65	
9857	10.0		4	14.73	3	+17	3	37.8	156	A
9858	9.0		4	14.89	4	+ 9	59	53.2	63	
9859	9.5		4	21.35	3	+23	16	21.1	148	
9860	9.0		4	26.64	3	+ 4	31	1.3	62	
9861	10.0	20	4	28.24	3	+12	42	52.7	313	n
9862	10.0		4	33.30	3	− 4	2	5.8	318	n
9863	9.0		4	35.92	3	−20	34	16.9	371	
9864	8.5		4	46.25	3	+ 4	33	40.8	224	
9865	9.0		4	49.27	3	−20	35	9.1	152	
9866	9.0	20	4	50.12	3	− 4	54	53.7	304	
9867	9.0		4	51.06	3	+16	47	42.3	228	
9868	9.0		4	53.68	3	+ 4	35	43.4	310	
9869	10.0		4	54.79	4	+ 8	1	44.9	235	
9870	10.0		4	56.13	1	+ 3	31	52.8	237	
—	10.0	20	4	56.43	2	+ 3	31	53.8	238	u A.R. $+1^s$ corr.
—	10.0		4	56.35	3	+ 3	31	52.3	375	
9871	10.0		4	59.82	3	+16	30	18.9	227	n
9872	9.0		4	59.85	4	+ 9	48	2.7	234	
9873	10.0		5	0.12	3	−10	29	19.4	146	
9874	9.0	20	5	0.76	3	+18	35	44.3	309	
9875	10.0		5	6.11	3	+ 8	21	52.4	72	
9876	10.0		5	10.83	3	+17	14	34.6	314	
9877	8.8		5	12.64	3	+14	33	46.4	157	
9878	10.0		5	12.68	3	− 8	34	57.9	373	
9879	9.2	20	5	16.23	3	+12	20	2.6	311	f
9880	9.2		5	19.81	3	+ 6	32	28.4	224	
9881	9.0		5	28.08	3	+19	25	10.4	313	
9882	9.5		5	30.15	3	+ 6	16	53.8	151	
9883	9.5		5	30.50	2	+18	33	24.2	309	
9884	9.3	20	5	33.80	3	+10	56	6.1	61	
9885	9.0		5	35.09	4	+ 7	16	30.3	46	
9886	9.5		5	36.59	2	−20	48	2.9	154	n
9887	9.5		5	38.09	3	− 7	18	37.8	318	
9888	10.0		5	38.20	3	−11	33	41.6	64	

No.	Grösse	Rectascension 1880.0 h	m	s	Fäden	Declination 1880.0 °	′	″	Zone	Bemerkungen
9889	10.0	20	5	38.97	2	— 8	39	29.5	304	
—	9.5		5	39.30	3	— 8	39	30.8	372	
9890	10.0		5	40.52	3	+ 18	39	38.7	148	
9891	9.0		5	40.97	6	— 11	40	55.0	377	
9892	10.0		5	49.85	3	+ 12	47	23.2	63	
9893	9.7	20	5	56.30	3	— 10	36	22.5	146	
9894	10.0		5	56.33	3	— 8	53	15.4	375	
9895	9.8		5	57.21	3	+ 5	32	4.1	62	
9896	9.0		6	0.38	3	— 15	49	15.2	153	
9897	9.2		6	4.80	3	— 5	49	16.8	371	
9898	10.0	20	6	13.04	3	— 22	25	8.2	152	
9899	10.0		6	17.51	3	+ 1	39	45.0	306	
9900	10.5		6	18.77	3	+ 9	38	19.2	65	
9901	9.3		6	25.50	2	— 31	15	42.2	69	
9902	9.6		6	26.03	3	+ 6	13	12.6	59	
9903	9.8	20	6	26.06	3	+ 19	24	4.9	156	
9904	9.0		6	27.15	3	+ 22	32	37.0	228	
9905	9.0		6	38.49	3	+ 10	28	42.4	68	
9906	10.0		6	41.25	4	+ 4	6	21.8	238	n
9907	9.8		6	42.66	3	+ 11	14	53.4	157	
9908	10.0	20	6	42.94	3	+ 19	31	35.8	227	
9909	10.0		6	43.32	1	— 14	14	57.8	64	
9910	7.9		6	44.61	4	+ 10	53	59.2	54	
—	7.8		6	44.69	3	+ 10	53	59.7	234	
9911	10.0		6	45.52	4	— 4	40	11.1	57	
—	9.2	20	6	45.51	3	— 4	40	11.2	239	
9912	10.0		6	51.82	3	+ 16	50	7.2	314	
9913	10.0		6	54.58	3	— 8	48	37.7	60	
9914	10.0		6	56.26	3	— 3	37	24.7	144	
9915	10.0		6	56.56	1	+ 1	17	19.4	66	
—	9.5	20	6	56.90	4	+ 1	17	19.6	307	
9916	10.0		6	57.08	2	— 29	35	20.6	153	
9917	9.8		6	59.09	3	+ 13	37	23.7	61	
9918	10.0		6	59.36	3	+ 16	8	58.0	313	
9919	9.5		6	59.80	3	+ 22	5	28.5	309	
9920	8.8	20	7	6.52	4	— 18	2	11.3	51	
9921	10.0		7	9.71	3	— 12	26	55.2	146	
9922	9.0		7	10.01	3	— 9	31	28.0	371	
9923	8.5		7	14.32	4	— 22	23	57.4	50	
9924	8.5		7	19.92	3	+ 8	46	30.1	235	
9925	10.0	20	7	21.09	3	+ 18	21	49.9	148	
—	10.0		7	21.10	3	+ 18	21	49.5	311	
9926	10.0		7	21.48	3	+ 10	43	49.7	157	
9927	7.0		7	22.41	4	+ 11	29	35.3	63	
9928	9.0		7	23.05	4	+ 6	10	52.0	62	
9929	9.5	20	7	28.65	4	— 21	55	17.9	154	n
9930	8.5		7	29.50	4	— 13	51	1.2	390	
9931	9.3		7	31.33	4	— 12	35	18.7	372	
—	9.3		7	31.18	4	— 12	35	21.3	377	
9932	7.0		7	32.52	4	+ 19	11	6.9	228	
9933	10.5	20	7	34.76	1	+ 5	24	26.9	59	u n
—	10.0		7	34.48	3	+ 5	24	24.4	224	
9934	9.3		7	40.32	3	— 3	51	1.1	58	
9935	8.0		7	47.80	1	— 15	41	50.2	51	n
9936	9.0		7	47.92	4	+ 7	56	45.9	236	
9937	6.0	20	7	49.00	5	— 27	23	26.1	373	
—	7.3		7	49.05	6	— 27	23	27.2	375	
9938	9.9		7	51.13	3	— 6	0	25.5	57	
9939	10.0		7	51.53	3	— 21	10	4.1	152	
9940	9.5		7	52.44	4	— 0	9	44.6	72	
9941	9.5	20	8	0.72	3	+ 17	40	57.4	317	n
9942	10.0		8	2.28	3	— 9	37	11.9	150	
9943	9.6		8	10.72	3	+ 7	42	1.1	151	
9944	10.0		8	13.53	3	+ 11	47	25.2	65	
9945	10.0		8	15.95	3	— 9	42	51.1	146	f
9946	9.7	20	8	18.12	4	+ 5	41	23.5	46	
9947	9.0		8	19.45	1	+ 1	14	8.7	66	
—	9.2		8	19.64	3	+ 1	14	5.3	308	
9948	9.5		8	21.20	3	+ 0	33	50.9	306	
9949	9.0		8	21.76	3	+ 15	50	32.0	156	
9950	10.0	20	8	23.12	3	+ 17	14	39.8	309	
9951	9.2		8	23.25	4	— 20	51	32.6	69	
9952	10.0		8	25.22	4	+ 5	41	59.7	224	
9953	9.0		8	27.68	4	+ 13	21	16.4	54	
9954	9.5		8	29.05	3	— 21	49	36.3	50	
—	9.5	20	8	28.82	3	— 21	49	35.0	154	
9955	10.0		8	33.88	3	— 10	49	47.4	304	
9956	10.0		8	36.96	4	— 0	19	15.4	307	
9957	9.0		8	38.46	4	— 4	56	25.2	239	
9958	8.3		8	38.93	4	+ 13	46	51.7	61	
—	8.0	20	8	39.00	4	+ 13	46	50.7	234	
9959	10.0		8	42.54	3	+ 20	41	30.7	148	
—	9.6		8	42.41	2	+ 20	41	30.3	313	
9960	7.5		8	43.18	3	— 16	13	14.7	153	
9961	9.0		8	50.49	3	+ 13	28	54.1	63	
9962	9.5	20	8	53.72	3	+ 4	0	16.2	62	
9963	10.5		8	54.—	—	+ 11	48	23.7	68	u
—	10.0		8	54.20	3	+ 11	48	20.2	157	
9964	10.0		8	58.36	2	— 10	48	19.2	64	n
9965	9.0		9	0.63	3	+ 11	47	39.8	235	
9966	10.0	20	9	0.69	3	+ 7	51	42.2	151	
9967	9.0		9	1.07	2	+ 4	23	24.8	71	
	9.0		9	0.67	4	+ 4	23	22.7	238	
9968	10.0		9	4.48	3	+ 17	15	26.4	228	
9969	9.0		9	5.90	3	— 8	8	56.4	144	n
9970	9.0	20	9	6.67	3	+ 22	39	8.8	314	
9971	9.0		9	6.72	3	— 3	5	41.3	57	
—	8.8		9	6.81	4	— 3	5	41.8	60	
9972	10.0		9	11.76	3	+ 17	1	1.4	313	
9973	10.0		9	12.82	2	+ 17	40	8.3	315	u n

No.	Grösse	Rectascension 1880.0 h	m	s	Fäden	Declination 1880.0 °	′	″	Zone	Bemerkungen
9974	8.0	20	9	16.27	2	+22	44	40.7	227	
9975	10.0		9	17.29	1	+16	57	8.8	156	
—	10.0		9	17.34	3	+16	57	8.5	316	
9976	9.8		9	24.73	3	+10	31	50.5	65	
9977	9.0		9	33.24	3	+10	30	30.7	63	
9978	10.0	20	9	36.08	2	+5	52	15.5	224	
—	10.0		9	36.35	3	+5	52	15.6	314	
9979	9.2		9	37.30	4	+9	48	12.3	311	
9980	9.6		9	37.84	2	−8	13	14.7	144	n
9981	9.0		9	38.57	3	−9	57	8.2	146	
9982	10.0	20	9	40.94	4	−8	24	46.1	58	
9983	10.5		9	41.70	2	−26	28	34.5	51	u
—	10.0		9	41.97	3	−26	28	30.5	153	
9984	9.2		9	43.91	4	+5	52	52.3	59	
9985	9.6		9	46.71	3	+0	37	14.9	72	
9986	9.2	20	9	46.74	3	−11	7	20.6	150	
9987	9.0		9	52.40	4	+18	6	27.9	240	
9988	10.0		9	55.30	1	+11	42	22.4	234	n
9989	10.0		9	56.44	1	+1	21	35.6	66	
—	9.3		9	56.58	2	+1	21	34.4	308	
9990	9.0	20	10	1.14	2	+22	55	47.8	313	
9991	7.0		10	4.90	3	−21	41	11.7	154	n
9992	9.0		10	7.37	3	−14	33	53.7	304	
9993	10.0		10	15.27	3	−0	28	39.9	306	
9994	8.0		10	18.02	4	−20	19	42.8	50	
9995	7.0	20	10	19.33	4	+23	8	35.7	148	
9996	10.0		10	24.48	3	+15	56	57.4	228	A
9997	10.5		10	28.05	1	+9	27	39.2	61	u
—	10.0		10	27.82	3	+9	27	36.2	235	
9998	9.0		10	28.33	3	+10	35	21.1	63	
9999	9.2	20	10	30.08	4	−26	20	18.5	69	
10000	9.5		10	31.63	3	−2	26	7.0	307	
10001	9.8		10	31.75	4	−6	52	52.5	57	
10002	9.4		10	35.44	4	+12	37	15.7	65	
10003	8.7		10	36.37	4	+4	45	26.4	46	
—	9.0	20	10	36.40	4	+4	45	24.2	237	A.R.+1s corr.
10004	9.0		10	37.96	3	+4	14	42.9	62	
10005	9.0		10	40.67	3	+17	10	26.9	240	
10006	9.0		10	43.49	4	+4	40	48.1	71	
10007	10.0		10	47.57	1	+16	34	19.0	313	
—	10.0	20	10	47.95	3	+16	34	16.0	316	
10008	10.0		10	50.18	3	−2	57	25.6	306	
10009	9.0		10	55.06	3	+17	25	35.8	227	
10010	9.8		10	59.39	3	+6	14	52.9	151	
10011	9.5		11	0.07	4	−9	41	50.2	150	
10012	10.0	20	11	2.33	3	+15	4	4.8	315	
10013	7.5		11	2.47	2	−22	22	5.6	50	
10014	9.5		11	5.39	3	+17	56	34.5	309	
10015	9.0		11	8.57	4	+9	4	51.4	68	
10016	10.0		11	9.90	3	+3	41	42.1	236	
10017	10.0	20	11	12.56	2	−8	26	2.6	60	
—	9.5		11	12.40	3	−8	26	3.4	239	
10018	9.3		11	13.43	2	−2	18	37.0	66	
10019	9.7		11	17.40	3	+4	42	3.7	62	
—	9.0		11	17.15	4	+4	42	2.6	238	
10020	9.0	20	11	24.38	4	+17	27	38.0	314	
—	8.0		11	24.56	3	+17	27	39.5	372	
10021	10.0		11	25.53	3	+19	40	24.5	311	
10022	9.5		11	29.70	4	−1	4	25.5	72	
10023	9.2		11	30.36	1	+15	16	1.5	240	
—	9.7	20	11	30.40	2	+15	16	0.5	316	
10024	9.0		11	30.62	3	+22	50	0.1	70	
10025	10.0		11	35.02	3	+18	4	46.4	148	
10026	9.1		11	35.33	3	−5	14	30.3	58	
10027	11.0		11	35.33	3	−2	54	6.9	307	
10028	9.5	20	11	37.25	4	−16	26	46.2	155	
—	9.0		11	37.03	4	−16	26	50.5	371	
10029	9.0		11	39.20	2	−2	13	14.9	308	
10030	9.5		11	41.53	3	−8	18	7.9	144	
10031	9.0		11	42.33	4	+11	50	53.7	234	
10032	8.0	20	11	46.42	3	−8	41	18.5	57	
10033	8.5		11	57.62	2	+5	12	50.7	237	a
10034	10.0		12	6.13	4	+16	32	19.0	228	
10035	10.0		12	6.74	3	−3	7	35.6	239	dpl. pr.
10036	9.0		12	7.99	2	+1	39	45.9	308	
10037	8.8	20	12	9.71	4	−16	13	46.1	51	
10038	10.0		12	11.42	3	−0	20	57.4	373	A
10039	9.5		12	12.20	3	+17	21	58.1	309	
—	9.5		12	12.32	3	+17	21	56.8	372	
10040	10.0		12	12.18	3	+16	35	22.1	227	
—	10.0	20	12	12.48	2	+16	35	22.2	315	
10041	9.5		12	15.46	3	−2	14	54.2	306	
10042	10.5		12	16.36	3	+6	43	13.4	46	
10043	9.0		12	17.98	3	+22	15	55.5	313	
10044	10.0		12	18.33	3	+6	18	45.1	151	n
10045	10.0	20	12	23.85	3	−8	8	29.5	150	
10046	9.0		12	24.76	3	+20	3	6.8	314	
10047	9.0		12	25.13	3	−8	38	31.6	144	
10048	10.0		12	26.28	2	−29	44	53.6	69	
10049	9.0		12	29.87	2	−27	43	7.0	154	
10050	8.0	20	12	30.51	1	−23	6	16.1	50	n
10051	10.0		12	35.53	3	−15	27	0.3	155	
10052	8.8		12	37.82	3	−7	40	19.6	58	
10053	9.0		12	38.20	3	−7	34	56.5	60	
10054	9.5		12	46.43	4	+3	48	8.7	59	
10055	9.7	20	12	47.14	4	+4	53	29.2	71	n
10056	9.7		12	48.22	3	+5	21	10.4	62	
10057	10.0		12	48.61	2	−2	41	37.0	307	
10058	9.2		12	49.79	3	+22	6	36.4	70	
10059	9.2		12	50.33	3	+16	25	27.6	240	

No.	Grösse	Rectascension 1880.0 h m s	Fäden	Declination 1880.0 ° ' "	Zone	Bemerkungen
10060	10.0	20 12 51.21	2	— 0 21 56.9	308	
10061	10.0	12 51.67	2	— 5 11 13.5	304	
—	9.2	12 51.75	3	— 5 11 16.9	371	
10062	10.0	12 55.02	2	— 11 40 58.2	64	
10063	9.0	12 55.37	3	+ 12 36 26.3	157	
10064	9.0	20 12 56.14	3	+ 1 15 40.5	310	
10065	9.5	12 56.16	3	— 21 57 12.6	375	
10066	8.5	12 59.65	3	+ 2 50 20.2	72	
10067	10.0	12 59.92	1	— 31 22 30.5	51	u
10068	10.0	13 1.01	2	+ 7 3 15.4	151	
10069	10.0	20 13 2.40	3	+ 12 48 26.6	63	n Decl. +3' corr.
10070	9.0	13 7.70	3	— 15 23 30.4	152	
10071	9.0	13 9.61	4	— 14 38 56.7	146	
10072	10.0	13 10.77	3	+ 18 11 28.7	148	
10073	9.0	13 10.68	3	+ 1 14 3.6	306	
—	9.0	20 13 10.88	3	+ 1 14 4.1	372	
10074	9.0	13 12.09	3	+ 17 58 33.5	309	
10075	9.5	13 15.06	3	+ 2 26 46.8	318	
10076	10.0	13 16.13	3	+ 2 2 39.0	320	
10077	8.6	13 16.98	3	— 8 49 21.1	57	
10078	10.0	20 13 19.31	1	+ 6 36 13.4	235	
—	10.0	13 19.45	3	+ 6 36 16.3	237	
10079	10.5	13 20.54	2	+ 9 0 46.3	65	u
—	10.0	13 20.03	3	+ 9 0 45.9	238	
10080	9.5	13 21.32	3	— 15 27 45.8	153	
10081	10.0	20 13 23.13	1	— 1 59 52.2	310	n
10082	9.0	13 24.34	3	— 7 51 53.2	239	
—	10.0	13 24.37	3	— 7 51 56.6	376	
10083	10.0	13 27.31	4	+ 4 18 7.1	236	
10084	11.0	13 31.22	2	— 8 8 33.0	377	f
10085	9.3	20 13 31.81	3	— 1 56 55.2	373	
10086	10.5	13 33.58	1	+ 16 25 5.7	156	a
—	11.0	13 33.13	2	+ 16 25 6.0	313	
10087	9.2	13 37.42	2	— 3 24 47.3	375	
10088	10.0	13 38.58	3	+ 13 24 44.9	311	
10089	8.0	20 13 39.94	1	+ 20 29 26.4	227	Decl. +1' corr.
—	9.0	13 39.85	3	+ 20 29 24.1	314	
10090	10.5	13 47.—	—	— 3 31 49.1	150	s u
—	10.0	13 47.67	3	— 3 31 52.0	378	
10091	10.0	13 50.40	3	+ 5 0 35.8	46	
10092	10.0	20 13 54.33	2	— 0 35 9.6	307	
10093	10.0	13 56.03	3	+ 17 19 34.0	228	
10094	9.0	13 58.73	2	+ 12 38 10.-	68	Decl. gesch.
10095	8.5	13 59.06	3	+ 14 18 4.6	61	
10096	9.5	13 59.49	1	+ 16 40 1.1	70	
10097	9.5	20 13 59.99	3	+ 16 56 42.2	240	
10098	9.0	13 59.99	3	+ 12 37 45.9	68	
10099	9.7	14 0.00	3	+ 9 11 30.3	54	
—	8.8	13 59.80	3	+ 9 11 30.3	157	
10100	9.0	14 3.87	3	+ 0 1 46.9	308	

No.	Grösse	Rectascension 1880.0 h m s	Fäden	Declination 1880.0 ° ' "	Zone	Bemerkungen
10101	9.1	20 14 4.05	4	+ 19 36 40.9	315	
10102	10.0	14 6.18	2	— 1 38 30.0	306	
10103	10.0	14 8.96	3	+ 13 21 56.7	234	
10104	9.0	14 11.71	3	— 1 29 4.8	66	
10105	9.7	14 12.76	3	+ 3 54 33.1	71	
10106	7.8	20 14 13.40	4	— 15 48 22.2	69	
10107	9.9	14 16.49	4	+ 8 53 45.6	62	
10108	9.6	14 18.81	4	— 5 31 49.4	58	
10109	10.5	14 20.06	1	+ 4 22 44.7	59	
—	10.0	14 20.10	1	+ 4 22 42.4	371	
—	10.0	20 14 19.63	1	+ 4 22 44.8	376	u
10110	9.2	14 20.66	3	+ 21 31 20.9	309	
10111	9.0	14 21.80	2	+ 10 46 31.5	237	n
10112	9.0	14 23.46	3	— 18 55 58.3	153	
10113	10.0	14 24.87	3	+ 5 2 54.4	317	
10114	9.0	20 14 27.72	3	— 30 45 33.6	154	
10115	8.5	14 32.53	3	— 14 50 54.6	373	
10116	10.0	14 32.82	4	+ 9 18 54.3	230	
10117	9.5	14 35.33	2	+ 16 20 35.5	229	
10118	9.0	14 35.46	3	+ 4 1 2.1	151	
10119	9.3	20 14 38.62	3	+ 9 27 16.0	372	
10120	9.6	14 38.68	2	+ 14 54 7.6	65	
10121	10.0	14 39.95	3	+ 7 45 27.2	236	
10122	9.5	14 40.37	3	+ 16 58 25.9	228	
—	10.0	14 40.52	2	+ 16 58 26.7	313	
10123	9.0	20 14 45.97	4	— 3 12 38.0	57	
10124	9.2	14 49.03	4	+ 19 33 41.5	148	
10125	10.0	14 52.18	3	+ 8 54 26.2	238	
—	9.5	14 52.18	3	+ 8 54 27.3	318	
10126	9.7	14 52.87	3	+ 19 37 2.1	156	
10127	9.7	20 14 52.94	3	+ 10 39 54.7	63	
10128	9.5	14 53.14	3	+ 7 27 31.9	320	
10129	9.5	14 57.07	3	— 12 15 28.4	64	
10130	9.5	14 58.39	4	— 2 2 25.0	72	n
10131	10.0	15 0.03	3	+ 7 6 14.1	319	
10132	9.0	20 15 0.66	2	— 2 0 32.8	307	
10133	9.0	15 1.91	4	+ 9 33 34.2	157	n
10134	9.5	15 2.51	3	+ 8 32 23.3	317	
10135	10.0	15 5.61	1	— 28 6 24.4	50	
—	10.0	15 5.34	1	— 28 6 24.7	51	
10136	10.0	20 15 5.75	3	— 5 57 28.0	60	
10137	9.0	15 8.25	3	+ 19 38 37.9	227	
10138	10.0	15 9.32	4	— 8 15 13.6	144	
10139	9.0	15 10.04	3	+ 14 33 30.5	54	
10140	10.0	15 11.85	1	+ 4 10 47.3	316	
10141	10.0	20 15 15.38	1	+ 8 19 0.0	315	
10142	10.0	15 18.62	3	— 4 53 2.6	150	
10143	8.0	15 20.83	4	+ 3 1 36.0	46	
10144	9.0	15 26.45	4	— 16 0 20.7	152	
10145	10.0	15 27.16	3	— 10 53 28.5	146	

No.	Grösse	Rectascension 1880.0 h m s	Fäden	Declination 1880.0 ° ′ ″	Zone	Bemerkungen
10146	10.0	20 15 29.72	3	+ 9 39 15.5	61	
10147	10.5	15 30.47	1	+ 7 5 3.9	62	n
10148	10.0	15 38.68	4	— 3 35 22.5	58	
10149	9.8	15 42.49	3	— 1 26 34.6	66	
—	10.0	15 42.42	3	— 1 26 32.3	306	
10150	9.5	20 15 45.57	2	+ 8 4 50.0	71	
10151	10.0	15 56.56	2	— 8 13 57.6	57	
10152	10.0	15 56.60	3	— 3 27 11.4	60	
—	10.0	15 56.70	3	— 3 27 11.5	304	
10153	8.0	15 57.74	3	— 12 45 51.9	155	
10154	9.0	20 15 58.40	3	— 3 43 55.5	239	
10155	10.0	16 1.35	3	— 26 16 10.2	153	
10156	9.3	16 2.12	2	— 1 48 21.1	72	
10157	9.0	16 3.97	4	+ 13 18 25.5	234	
10158	10.0	16 4.25	2	+ 7 41 20.3	151	a
10159	9.7	20 16 9.57	3	+ 17 30 38.0	156	
—	10.0	16 9.51	3	+ 17 30 38.3	229	
10160	9.5	16 12.70	3	+ 15 9 55.9	70	
10161	9.7	16 13.97	3	— 19 54 40.5	69	
10162	9.0	16 14.80	4	+ 7 51 33.4	59	n
—	9.8	20 16 14.51	3	+ 7 51 30.2	236	
—	10.0	16 14.65	3	+ 7 51 32.0	310	
10163	8.0	16 18.33	3	+ 13 12 42.3	63	
10164	10.0	16 20.59	3	+ 17 37 5.7	148	
10165	10.0	16 28.85	2	+ 3 56 36.8	237	
10166	8.0	20 16 30.82	6	— 21 43 20.5	371	
—	9.0	16 30.85	6	— 21 43 16.3	372	
10167	10.0	16 30.83	4	— 24 45 38.6	154	
10168	9.5	16 34.16	2	— 8 11 36.3	150	
—	9.0	16 33.93	3	— 8 11 36.7	318	
10169	10.0	20 16 37.18	3	— 8 12 9.1	144	
10170	10.0	16 37.11	3	+ 9 36 22.7	54	
—	10.0	16 37.27	3	+ 9 36 21.2	157	
10171	9.0	16 40.01	3	+ 17 4 53.9	240	n
10172	9.0	16 42.51	3	+ 15 59 29.3	227	dpl. seq.
10173	10.0	20 16 53.63	3	— 23 6 43.7	153	
10174	10.0	16 53.80	2	+ 8 48 56.4	235	
10175	9.0	16 53.81	3	+ 19 24 34.4	70	
10176	10.0	16 54.14	3	+ 20 21 33.2	228	
10177	10.0	16 54.85	2	— 25 37 7.0	51	
10178	9.5	20 16 54.99	3	+ 7 29 10.9	62	
10179	9.7	16 58.83	3	+ 5 47 55.8	46	
10180	9.8	17 0.05	4	+ 13 22 26.0	61	
10181	9.0	17 0.50	1	+ 7 31 54.4	315	
10182	10.0	17 3.42	3	— 17 39 39.5	50	
10183	10.0	20 17 4.58	2	— 3 52 41.3	58	
—	10.0	17 4.41	3	— 3 52 38.4	304	
10184	9.0	17 9.62	3	— 11 3 18.4	146	
10185	9.5	17 15.41	3	— 12 15 4.3	64	
10186	10.0	17 17.23	2	+ 7 26 3.3	236	
10187	10.0	20 17 17.89	3	+ 7 55 46.2	71	
10188	9.7	17 18.20	3	+ 14 50 8.2	65	
10189	9.5	17 18.28	3	+ 17 4 23.0	240	n
10190	10.0	17 20.64	3	— 2 14 36.8	307	
10191	9.0	17 21.21	3	— 21 18 0.8	152	
10192	8.9	20 17 23.05	3	+ 5 11 14.5	151	
10193	9.9	17 25.09	3	+ 11 32 20.6	63	
10194	8.0	17 26.19	3	— 13 46 54.5	155	
10195	9.0	17 29.52	3	— 19 49 16.5	69	
10196	9.0	17 31.71	3	+ 4 37 56.4	238	
10197	9.5	20 17 31.94	3	— 5 27 10.9	57	
10198	9.0	17 32.75	3	— 6 29 47.1	239	
10199	10.0	17 37.41	1	+ 0 0 13.3	306	
10200	9.4	17 38.67	2	— 8 48 45.4	60	
10201	9.3	17 45.09	4	+ 7 15 59.1	316	
10202	9.0	20 17 46.32	3	+ 9 42 30.4	68	
10203	9.5	17 49.27	3	+ 5 45 55.1	310	
10204	9.0	17 49.70	3	+ 20 28 49.3	309	
10205	9.5	17 50.27	3	+ 20 15 18.0	148	n
10206	10.0	17 53.79	3	+ 9 44 31.1	313	
10207	9.0	20 17 53.87	3	+ 2 59 35.3	308	
10208	9.0	17 56.26	3	+ 2 44 42.1	72	
10209	9.5	17 56.31	3	— 7 9 19.6	304	
10210	9.2	18 1.35	3	+ 2 33 21.2	307	
10211	10.0	18 1.53	3	+ 7 23 21.2	311	
—	10.0	20 18 1.61	3	+ 7 23 23.0	372	
10212	9.0	18 2.46	3	+ 9 44 21.3	230	n
10213	9.3	18 7.44	3	+ 10 3 18.3	54	
10214	10.0	18 13.21	3	+ 18 18 27.5	156	
10215	8.8	18 15.52	4	— 23 52 7.3	153	
—	9.8	20 18 15.56	3	— 23 52 9.0	154	
10216	10.0	18 17.47	1	+ 2 31 47.5	308	s
—	11.0	18 16.85	1	+ 2 31 49.3	318	u
10217	8.0	18 19.71	3	— 8 33 36.7	57	
10218	10.0	18 22.31	3	+ 9 14 35.2	61	
—	10.0	20 18 22.10	4	+ 9 14 35.4	234	
10219	9.2	18 24.90	3	+ 3 1 36.0	371	
10220	9.5	18 28.75	3	— 0 3 9.6	66	
10221	9.8	18 31.31	3	— 4 23 32.3	58	
10222	10.0	18 32.09	3	+ 16 9 24.1	70	
—	10.0	20 18 31.76	3	+ 16 9 23.9	229	
10223	9.8	18 32.52	3	+ 14 45 59.2	157	
—	9.7	18 32.46	3	+ 14 45 59.0	314	
10224	9.5	18 32.74	2	— 22 10 17.6	50	
—	9.7	18 32.76	2	— 22 10 19.5	51	
10225	10.0	20 18 34.77	3	— 17 42 34.3	152	n
10226	10.5	18 40.80	2	— 9 31 21.4	64	
—	11.0	18 40.75	3	— 9 31 24.5	320	u
10227	9.0	18 44.20	3	+ 17 22 11.2	240	
10228	8.5	18 45.27	3	+ 22 35 54.8	156	

No.	Grösse	Rectascension 1880.0 h	m	s	Fäden	Declination 1880.0 °	′	″	Zone	Bemerkungen
—	9.0	20	18	45.11	3	+ 22	35	58.1	309	
10229	9.7		18	49.65	4	+ 8	18	27.7	59	
10230	9.5		18	50.31	3	+ 5	17	18.1	238	
10231	9.0		18	53.45	3	+ 11	9	26.0	230	
10232	9.5		18	55.19	3	+ 15	14	6.8	227	
10233	9.2	20	18	57.10	3	— 25	14	5.9	69	
10234	10.0		18	57.79	3	+ 18	19	36.0	228	
10235	9.0		18	58.11	3	— 13	57	29.7	155	
10236	9.0		19	3.27	3	+ 2	10	9.8	306	
10237	9.5		19	4.70	4	+ 9	20	59.8	63	
10238	9.0	20	19	4.87	3	— 13	1	30.5	304	
10239	10.0		19	7.79	3	— 9	23	54.1	146	
10240	10.0		19	10.60	3	+ 2	23	19.0	72	
10241	9.0		19	12.05	3	+ 7	54	18.1	62	
10242	9.5		19	15.15	4	— 6	28	37.0	60	
—	9.2	20	19	14.94	3	— 6	28	38.6	239	
10243	10.0		19	17.19	3	+ 12	45	42.6	65	
10244	8.0		19	18.28	4	+ 12	10	17.2	316	
10245	10.0		19	18.96	4	— 8	14	49.1	150	n
10246	9.2		19	19.22	3	+ 3	1	0.6	315	n
10247	9.5	20	19	20.01	3	+ 10	57	10.1	157	
10248	9.0		19	25.29	3	+ 21	32	52.7	148	
10249	10.0		19	25.65	4	— 7	19	59.3	144	
10250	9.8		19	26.30	3	+ 16	40	3.4	229	
10251	10.0		19	26.35	3	— 0	41	25.2	307	
10252	11.0	20	19	28.07	3	+ 8	11	14.5	71	n
10253	10.0		19	31.71	2	+ 5	14	23.5	46	u
10254	10.0		19	34.96	3	+ 4	53	47.9	151	
10255	9.5		19	43.81	2	+ 11	34	32.1	68	
10256	10.0		19	45.79	3	+ 15	45	55.1	240	
10257	9.3	20	19	47.71	3	— 8	46	52.6	57	
10258	10.0		19	50.80	3	+ 9	45	19.5	317	
10259	8.8		19	52.16	4	— 21	11	59.0	154	n
10260	10.0		19	55.24	3	+ 6	23	4.3	372	
10261	9.0		19	56.40	3	+ 22	20	13.2	158	n
10262	9.7	20	19	56.44	2	+ 3	46	23.4	59	
10263	9.2		19	58.56	3	+ 21	33	29.4	228	
—	9.2		19	58.52	3	+ 21	33	29.4	313	
10264	9.1		19	59.48	2	+ 15	5	37.5	309	
10265	10.0		20	0.91	3	+ 3	26	46.0	238	
10266	9.6	20	20	1.35	3	+ 5	41	28.7	62	
10267	9.5		20	1.75	3	+ 5	17	59.5	236	
10268	10.0		20	2.30	2	+ 8	48	51.3	235	f
10269	9.0		20	3.01	3	+ 1	38	56.7	371	
10270	10.0		20	3.61	3	+ 10	39	14.6	314	
10271	9.0	20	20	6.18	2	+ 20	15	46.4	156	
10272	9.8		20	6.48	3	— 3	4	32.7	58	
10273	8.5		20	7.87	3	— 24	44	48.9	153	
10274	9.5		20	9.04	3	+ 6	21	31.3	151	
—	10.0		20	9.00	3	+ 6	21	30.4	310	
10275	9.0	20	20	13.63	3	+ 1	45	8.1	66	
10276	10.0		20	14.01	2	— 2	17	14.0	308	
10277	9.5		20	14.88	3	— 2	48	57.7	72	
10278	9.5		20	20.98	5	— 10	14	44.8	373	
10279	9.5		20	23.25	3	+ 2	18	9.2	306	
10280	8.0	20	20	33.02	3	— 13	56	14.7	155	
10281	10.0		20	33.81	2	— 3	39	14.2	144	
—	9.5		20	33.57	3	— 3	39	15.1	239	
10282	9.5		20	38.06	4	— 9	31	57.1	146	n
10283	9.5		20	41.14	3	+ 10	20	27.3	63	
10284	9.8	20	20	41.76	3	— 3	38	13.8	60	u
—	9.5		20	41.41	3	— 3	38	14.4	318	
10285	10.0		20	45.92	3	— 1	35	6.5	307	
10286	9.0		20	47.52	3	+ 22	33	42.5	148	
10287	10.0		20	47.57	3	+ 19	52	46.5	227	
10288	10.0	20	20	51.95	3	— 7	20	14.8	150	
10289	9.8		20	52.30	3	+ 16	18	19.0	229	
10290	7.8		20	53.65	2	+ 2	52	45.4	371	
10291	8.5		20	55.14	4	+ 10	51	35.6	61	
10292	9.6		20	55.51	4	+ 14	9	54.6	65	
10293	9.0	20	20	57.57	3	— 25	29	5.8	153	
10294	9.7		21	1.16	2	+ 11	3	57.1	68	
10295	9.4		21	1.96	2	+ 5	31	58.3	59	
10296	9.0		21	4.22	3	+ 9	11	7.0	234	a n
10297	8.6		21	4.28	6	+ 6	23	47.8	391	
10298	9.5	20	21	5.61	3	— 6	4	33.0	57	
10299	10.0		21	5.78	2	+ 2	53	5.4	311	n
—	10.0		21	6.27	3	+ 2	53	5.9	372	
10300	9.5		21	6.71	3	— 20	41	54.5	50	
—	9.0		21	6.59	3	— 20	41	54.8	321	
10301	10.0	20	21	9.67	2	— 2	44	40.3	308	
10302	8.0		21	10.55	3	+ 12	5	1.5	157	
10303	9.0		21	10.59	3	+ 7	28	24.2	236	
10304	9.5		21	12.08	3	+ 5	18	23.5	151	
10305	10.0		21	12.94	3	+ 23	10	52.8	228	
10306	9.0	20	21	13.86	3	+ 10	52	9.7	230	
10307	9.0		21	19.72	3	+ 15	30	39.2	158	
10308	9.5		21	21.37	3	— 0	47	56.7	306	
10309	10.0		21	27.48	2	+ 2	51	8.3	72	
10310	10.0		21	27.79	3	+ 6	6	31.4	62	
10311	10.0	20	21	29.77	3	+ 5	15	0.6	73	
10312	10.0		21	31.89	2	+ 16	4	57.5	156	
10313	9.5		21	33.02	3	— 21	31	27.2	154	n
10314	10.0		21	33.74	3	+ 19	53	9.8	229	
10315	8.3		21	35.06	6	— 14	12	1.5	390	
10316	9.5	20	21	38.19	2	+ 7	26	59.6	238	
10317	9.3		21	42.72	3	— 4	53	1.2	58	
10318	10.0		21	47.90	2	+ 22	42	1.7	227	
10319	11.0		21	49.35	1	— 29	47	13.4	69	u
10320	9.3		21	52.49	3	+ 10	29	27.7	230	

No.	Grösse	Rectascension 1880.0 h	m	s	Fäden	Declination 1880.0 °	′	″	Zone	Bemerkungen
10321	9.0	20	21	56.21	3	+ 20	44	53.5	148	
10322	9.0		21	57.27	4	+ 10	46	59.5	63	
10323	10.0		21	57.55	3	+ 17	0	41.4	240	
—	9.0		21	57.75	3	+ 17	0	37.8	309	
10324	6.0		21	57.99	3	— 16	8	13.6	50	
10325	9.0	20	21	58.13	3	+ 8	30	1.4	71	
10326	9.5		22	0.56	3	+ 7	0	26.7	310	A
10327	9.5		22	0.79	3	+ 2	53	55.4	66	
10328	9.8		22	0.82	3	+ 6	58	55.6	231	n
10329	9.4		22	2.16	2	+ 9	19	14.7	61	A
10330	9.5	20	22	8.23	2	— 3	47	9.1	60	
10331	10.0		22	16.11	4	+ 5	54	14.2	235	
—	10.0		22	16.21	3	+ 5	54	15.4	312	
10332	10.0		22	21.37	3	+ 18	33	1.7	240	
10333	9.5		22	22.33	3	— 6	56	28.4	155	
10334	9.5	20	22	25.99	2	+ 2	54	0.-	66	Decl. gesch.
10335	9.5		22	26.92	3	— 7	59	54.4	239	
10336	10.0		22	30.07	3	+ 4	52	11.1	59	
10337	9.5		22	34.17	3	+ 5	31	9.0	151	
—	10.0		22	34.08	3	+ 5	31	6.7	311	
10338	9.0	20	22	34.55	3	+ 16	30	0.8	158	
10339	8.8		22	35.18	1	— 25	50	26.3	153	n
10340	9.0		22	36.58	3	— 3	48	32.6	371	
10341	10.0		22	36.70	3	— 9	55	54.8	64	
10342	8.8		22	37.66	3	— 21	31	26.4	154	
10343	9.0	20	22	41.52	3	— 4	9	22.1	57	
10344	10.0		22	42.80	2	+ 15	48	12.8	228	
10345	10.0		22	43.25	3	— 10	6	27.9	146	
10346	10.0		22	43.51	1	+ 9	44	29.3	230	
10347	9.6		22	46.60	3	+ 14	3	55.2	65	
10348	9.2	20	22	47.73	3	+ 16	24	5.7	156	
10349	9.0		22	48.09	3	— 8	25	25.5	321	n
10350	9.7		22	49.32	4	+ 13	28	58.7	68	
10351	9.8		22	51.72	3	— 6	42	53.9	58	
10352	9.8		22	53.26	3	+ 16	57	50.7	229	
10353	10.0	20	22	56.09	3	+ 2	17	26.6	306	
10354	9.0		23	0.98	3	+ 16	15	42.4	309	
10355	9.7		23	4.70	3	+ 8	40	56.8	73	
10356	10.0		23	6.06	2	— 8	24	38.2	155	
10357	10.0		23	13.35	3	— 31	41	16.6	154	
10358	9.6	20	23	15.70	3	+ 15	53	20.8	148	
10359	9.7		23	21.04	2	+ 4	42	55.2	62	
10360	10.0		23	21.18	2	— 16	37	58.2	51	u
10361	9.0		23	21.83	4	+ 4	11	22.4	71	
10362	10.0		23	22.88	3	+ 16	32	22.3	227	
10363	9.8	20	23	24.87	3	— 7	19	26.6	150	
10364	9.2		23	30.44	2	— 10	28	28.4	64	
10365	9.7		23	35.12	3	+ 9	56	33.3	63	
10366	10.0		23	39.61	3	— 0	11	58.1	306	
10367	10.0		23	40.44	3	— 16	40	22.9	50	

No.	Grösse	Rectascension 1880.0 h	m	s	Fäden	Declination 1880.0 °	′	″	Zone	Bemerkungen
10368	9.0	20	23	40.50	3	+ 16	13	39.8	240	
10369	9.0		23	40.94	3	+ 6	59	13.8	231	
10370	9.3		23	47.02	3	+ 10	17	5.1	157	n
10371	10.0		23	48.67	3	+ 19	15	23.5	229	
10372	10.5		23	50.—	—	— 8	33	48.5	57	u
—	10.0	20	23	50.03	3	— 8	33	49.1	239	
10373	7.9		23	53.98	3	+ 2	58	49.8	72	
—	8.0		23	54.19	6	+ 2	58	50.1	308	
10374	9.0		23	56.33	3	+ 3	9	53.0	59	
10375	10.0		24	2.63	3	— 3	52	39.0	304	
10376	10.5	20	24	5.38	2	— 6	54	14.1	60	u
10377	10.0		24	6.36	1	+ 6	36	32.1	73	
10378	10.5		24	6.74	3	+ 10	22	58.7	61	
10379	9.0		24	14.45	3	+ 18	56	12.1	158	
10380	9.0		24	16.06	3	+ 15	31	28.0	156	
10381	9.0	20	24	20.17	3	+ 0	7	39.3	307	
10382	10.0		24	22.60	1	— 0	4	19.6	306	
10383	9.6		24	24.69	3	+ 4	10	20.2	71	
10384	9.2		24	24.92	4	+ 14	32	13.9	234	n
10385	9.2		24	25.04	3	+ 6	58	35.4	310	
10386	10.0	20	24	25.47	3	— 20	12	0.9	153	
10387	10.0		24	26.11	3	— 4	10	59.6	58	
10388	9.5		24	27.44	3	+ 3	3	54.4	151	
10389	10.0		24	30.98	4	— 11	20	16.0	146	
10390	10.0		24	38.52	3	+ 9	25	42.6	63	
10391	10.0	20	24	42.23	4	+ 15	43	33.5	148	
10392	9.6		24	42.47	3	— 5	6	12.6	155	
10393	10.0		24	53.01	3	+ 14	27	49.1	314	
10394	10.0		24	53.33	2	— 8	51	19.2	150	
—	10.0		24	53.03	3	— 8	51	18.9	321	
10395	9.0	20	25	2.52	4	+ 11	41	21.6	68	
10396	10.0		25	2.53	2	+ 5	27	12.1	372	n
10397	9.3		25	6.16	3	+ 5	36	35.9	371	n A
10398	9.8		25	10.15	4	+ 11	1	59.3	157	n
10399	9.0		25	10.28	3	+ 22	50	32.7	227	
10400	8.5	20	25	11.98	3	— 22	33	33.2	154	
10401	9.0		25	12.17	4	+ 16	55	35.6	228	
—	9.0		25	12.37	3	+ 16	55	36.2	309	
10402	9.5		25	13.07	4	+ 3	53	3.4	231	
10403	9.3		25	13.49	3	+ 21	7	58.0	158	
10404	8.2	20	25	13.91	3	+ 10	35	5.9	312	
10405	8.5		25	14.03	2	— 22	33	58.-	154	Decl. gesch.
10406	10.0		25	15.25	3	+ 6	47	45.8	62	
10407	9.0		25	20.13	3	+ 5	57	9.3	235	
10408	9.5		25	26.18	3	+ 4	53	56.4	59	
10409	7.5	20	25	28.11	3	+ 10	51	23.1	313	dpl. pr.
10410	9.0		25	32.24	3	+ 11	34	36.0	230	
10411	9.7		25	32.26	3	— 10	26	12.6	64	
10412	10.0		25	34.07	2	— 22	5	45.5	50	
—	9.0		25	34.01	3	— 22	5	40.2	153	

No.	Grösse	Rectascension 1880.0 h m s	Fäden	Declination 1880.0 ° ' "	Zone	Bemerkungen
10413	9.2	20 25 38.21	4	− 2 10 39.8	72	
10414	9.6	25 38.80	3	+ 5 5 17.5	71	
—	9.5	25 39.02	3	+ 5 5 18.3	151	
10415	10.0	25 40.03	3	+ 7 10 35.1	236	n
10416	9.5	25 40.04	3	+ 12 48 26.2	232	
10417	10.0	20 25 40.98	3	+ 1 1 26.5	307	
10418	9.0	25 41.18	3	+ 17 13 55.7	156	
10419	10.0	25 42.84	4	+ 18 16 4.5	229	
10420	10.0	25 44.00	3	+ 16 3 59.9	240	
10421	6.5	25 49.85	5	− 10 15 43.8	320	
—	6.5	20 25 50.06	3	− 10 15 40.4	321	
10422	10.5	25 52.—	—	− 3 23 1.5	57	u
—	11.0	25 52.18	2	− 3 23 0.7	304	f
10423	9.8	25 52.72	3	− 13 4 42.7	146	
10424	10.0	25 53.93	3	− 6 42 43.1	239	n
10425	9.5	20 25 54.55	3	+ 9 23 42.5	63	
10426	9.8	25 54.62	3	+ 6 48 0.8	73	
10427	9.0	25 54.70	3	+ 10 7 39.2	373	
10428	9.2	25 58.58	3	+ 17 11 56.2	148	
10429	9.0	25 59.63	3	+ 14 18 12.8	61	
10430	8.0	20 26 1.82	4	+ 3 53 16.8	237	
10431	9.0	26 13.82	3	− 30 35 29.7	51	
10432	9.3	26 24.47	2	+ 2 1 20.2	307	
10433	9.5	26 24.71	3	+ 11 51 26.5	157	
10434	10.0	26 24.73	2	− 0 31 41.9	306	
10435	9.0	20 26 25.86	4	+ 10 11 22.2	234	
10436	10.0	26 31.95	3	− 6 20 27.1	58	
10437	10.0	26 33.04	1	+ 16 20 18.8	372	u A
—	11.0	26 34.13	2	+ 16 20 23.6	375	u
10438	8.2	26 33.63	2	+ 10 1 28.2	238	
10439	9.5	20 26 34.20	3	− 3 4 42.4	239	
10440	10.0	26 34.84	3	− 0 34 58.3	308	f
10441	9.5	26 35.81	3	− 5 43 57.0	155	
10442	9.0	26 37.48	5	− 16 0 23.3	69	
10443	9.0	26 39.81	3	+ 3 44 48.3	235	
10444	7.0	20 26 41.51	3	+ 18 13 20.9	240	
10445	9.7	26 44.08	3	− 10 32 6.6	64	
10446	9.5	26 46.42	3	+ 6 30 50.1	312	
10447	10.0	26 49.03	3	− 10 14 19.4	146	
10448	9.0	26 49.90	3	+ 10 20 22.7	371	
10449	9.0	20 26 50.71	3	+ 18 8 9.9	313	
10450	10.0	26 52.79	3	+ 20 32 10.7	229	
10451	8.0	26 57.44	3	− 20 56 42.9	153	
10452	9.6	26 57.45	4	− 7 12 59.8	60	
10453	8.8	27 2.21	5	+ 3 27 20.0	59	
10454	10.0	20 27 4.79	3	+ 1 45 56.1	318	
10455	9.0	27 6.93	3	+ 9 23 51.2	316	
10456	9.0	27 8.34	1	+ 6 10 58.0	312	
10457	8.0	27 8.73	3	+ 5 51 25.2	62	
10458	9.0	27 10.45	3	+ 11 39 3.9	315	
10459	9.0	20 27 10.57	1	− 13 7 34.6	320	
—	10.0	27 10.80	2	− 13 7 34.6	321	
10460	9.5	27 15.64	4	− 8 5 16.8	150	
10461	9.2	27 15.69	3	+ 13 33 28.7	314	
10462	8.5	27 16.54	1	+ 9 45 45.3	238	
10463	9.0	20 27 17.11	3	+ 11 49 39.2	234	
10464	9.3	27 23.94	3	+ 17 38 5.1	156	dpl. aust.
—	10.0	27 24.01	2	+ 17 38 7.9	313	
10465	10.0	27 25.64	3	+ 19 12 34.8	148	
10466	9.8	27 37.80	2	− 15 47 48.2	50	a
10467	9.0	20 27 37.83	3	+ 6 59 11.0	237	
10468	9.6	27 40.94	2	+ 3 3 51.0	73	
10469	9.0	27 43.39	4	− 15 17 19.3	154	
10470	9.5	27 46.72	2	− 17 19 29.0	69	
10471	9.5	27 55.09	3	+ 3 2 4.2	235	
10472	8.0	20 27 57.13	3	+ 18 13 14.9	240	n
10473	9.0	27 59.13	4	− 3 29 6.9	239	
10474	10.0	28 0.31	3	− 0 56 22.1	306	
10475	10.0	28 4.69	3	− 2 10 8.9	307	
10476	8.3	28 4.72	1	+ 4 4 56.8	312	
—	8.0	20 28 4.71	3	+ 4 4 59.7	372	
10477	9.8	28 7.22	3	+ 17 1 14.6	229	
10478	9.2	28 12.03	3	+ 1 44 17.6	308	
10479	7.8	28 14.82	3	+ 11 41 32.9	157	
10480	9.3	28 15.94	3	− 3 49 41.8	371	
10481	10.0	20 28 16.13	3	− 22 13 59.1	51	
—	10.0	28 16.01	3	− 22 13 56.8	373	
10482	8.5	28 21.67	3	+ 3 21 8.5	59	
10483	10.0	28 22.06	3	− 7 38 34.1	57	
10484	9.9	28 26.85	3	− 9 30 53.1	64	
10485	10.0	20 28 28.40	4	− 3 6 20.8	58	
10486	9.0	28 29.60	3	− 24 18 30.9	153	
10487	9.0	28 32.41	5	+ 7 39 13.3	391	
10488	9.5	28 40.09	3	+ 13 45 51.2	65	
10489	10.0	28 41.67	3	− 2 45 15.2	311	
—	9.2	20 28 41.74	4	− 2 45 13.3	376	
10490	7.5	28 42.32	3	+ 10 54 1.5	314	
10491	10.5	28 45.28	3	+ 17 4 37.1	148	
10492	8.5	28 46.35	4	+ 3 26 44.9	62	A
—	10.0	28 46.76	3	+ 3 26 47.1	315	
—	9.0	20 28 46.42	3	+ 3 26 45.2	375	
10493	10.0	28 50.51	3	− 10 39 10.3	155	
10494	9.7	28 50.87	3	− 9 47 8.0	146	
10495	9.0	28 51.09	3	− 17 38 23.5	154	n
10496	9.0	28 53.51	3	− 8 40 29.6	60	
10497	10.0	20 28 55.72	3	− 7 36 47.6	150	
10498	10.5	28 57.84	1	+ 6 10 32.0	73	u n
—	11.0	28 58.32	2	+ 6 10 31.4	151	s f
10499	10.0	29 2.26	2	− 0 5 13.8	72	n
10500	10.0	29 5.73	3	− 22 3 24.8	50	

No.	Grösse	Rectascension 1880.0 h m s	Fäden	Declination 1880.0 ° ′ ″	Zone	Bemerkungen
10501	9.5	20 29 10.36	3	+ 10 55 31.5	63	
10502	9.5	29 11.05	3	— 3 36 54.3	58	
10503	10.0	29 12.62	3	+ 18 6 58.9	158	
—	9.0	29 12.42	3	+ 18 6 56.7	228	
—	9.0	29 12.45	3	+ 18 6 56.6	240	
—	10.0	20 29 12.61	1	+ 18 6 56.3	313	
10504	8.8	29 13.22	4	+ 6 51 6.2	71	
10505	10.5	29 16.78	3	+ 17 0 58.4	156	
10506	9.0	29 20.26	3	— 14 14 15.6	304	
10507	7.6	29 22.82	2	+ 9 52 37.5	61	
—	8.0	20 29 22.75	4	+ 9 52 36.8	238	
10508	9.5	29 25.13	3	+ 0 19 13.6	306	
10509	9.5	29 30.43	3	+ 0 19 50.3	371	
10510	10.0	29 32.12	2	— 8 6 50.2	239	
10511	10.0	29 33.21	3	+ 2 12 36.7	372	
—	10.0	20 29 33.41	3	+ 2 12 32.0	377	
10512	9.0	29 35.25	3	+ 12 6 27.4	234	n
10513	9.5	29 35.91	3	— 10 16 48.1	64	
10514	9.0	29 36.89	3	+ 7 45 28.5	59	
10515	9.2	29 37.36	3	— 0 4 10.3	308	
10516	9.0	20 29 41.19	3	+ 8 42 52.7	231	
—	10.0	29 41.01	3	+ 8 42 50.8	232	
10517	6.0	29 41.98	4	+ 14 15 39.1	68	
10518	9.0	29 42.06	4	— 7 5 33.5	57	
10519	9.8	29 44.99	3	— 8 7 1.1	150	
—	10.0	20 29 44.68	3	— 8 7 1.5	155	
10520	9.8	29 46.16	3	+ 11 20 26.1	157	
10521	9.2	29 49.20	3	+ 16 44 7.7	148	n
10522	9.0	29 50.01	2	+ 13 41 50.0	65	
10523	10.0	29 51.06	3	+ 7 1 53.4	236	n
10524	10.0	20 29 53.18	3	+ 11 10 58.8	230	
10525	9.0	29 54.76	3	— 10 16 5.3	146	
10526	9.5	29 55.79	3	+ 15 31 17.1	229	
10527	10.0	29 57.39	1	+ 16 44 49.3	314	
10528	10.0	29 58.71	1	+ 0 36 58.1	307	
10529	9.7	20 30 3.82	3	+ 7 51 29.2	235	
10530	10.0	30 6.91	1	+ 5 28 4.9	317	n A
10531	11.0	30 10.—	—	— 31 26 42.0	69	u
—	10.0	30 10.13	2	— 31 26 45.8	373	u
—	10.0	30 9.99	2	— 31 26 41.8	378	u
10532	9.5	20 30 18.22	3	— 4 39 41.4	321	
10533	9.0	30 20.16	4	+ 3 29 39.5	71	
10534	9.0	30 23.53	3	+ 0 17 25.2	308	
10535	10.0	30 25.40	3	— 2 49 37.4	306	
10536	9.8	30 27.31	2	+ 5 30 23.6	73	
—	10.0	20 30 26.95	3	+ 5 30 26.8	151	
10537	9.0	30 29.01	3	— 18 10 43.1	51	
—	9.5	30 29.04	3	— 18 10 43.8	153	
10538	9.5	30 33.99	1	— 9 10 42.5	155	
—	9.2	30 33.85	3	— 9 10 46.9	320	
10539	9.0	20 30 33.93	2	— 18 11 —	51	
—	9.5	30 34.03	2	— 18 11 42.5	153	
10540	9.0	30 35.85	3	— 16 26 42.6	154	
10541	10.0	30 39.80	3	+ 18 18 14.8	240	n
10542	10.0	30 41.25	4	+ 13 19 58.8	63	
10543	8.0	20 30 44.83	4	— 31 23 45.6	50	A
10544	10.0	30 45.57	2	— 8 50 21.8	304	
10545	9.6	30 48.79	3	+ 0 54 55.8	72	
10546	9.0	30 50.70	3	+ 10 2 7.8	238	
10547	8.0	30 51.47	4	+ 8 10 44.7	237	
10548	8.8	20 30 53.06	3	+ 18 46 33.1	156	
10549	9.5	30 55.41	3	+ 13 6 42.6	157	
—	9.0	30 55.18	3	+ 13 6 41.7	234	
10550	10.0	30 56.26	4	+ 18 30 36.3	309	
10551	10.0	31 0.47	2	+ 13 42 47.1	230	
10552	8.3	20 31 9.05	3	+ 14 18 5.9	312	A
10553	10.0	31 9.42	3	+ 11 2 57.8	68	
10554	9.0	31 11.30	3	— 7 11 11.3	239	
10555	9.0	31 11.36	3	— 15 54 35.1	371	
10556	9.0	31 13.32	3	+ 14 18 44.1	315	A
10557	10.0	20 31 14.14	3	+ 17 51 38.8	158	
10558	9.7	31 16.83	3	+ 15 38 24.6	148	
—	9.5	31 16.59	3	+ 15 38 25.3	228	
10559	9.8	31 16.92	3	— 12 43 9.1	64	a
10560	9.0	31 17.12	3	+ 18 23 10.8	229	
10561	10.0	20 31 20.06	3	+ 7 32 21.1	235	
10562	10.0	31 20.68	1	+ 6 7 48.7	151	n
10563	10.0	31 23.36	3	— 8 56 38.9	57	
10564	10.0	31 24.25	3	— 10 34 12.1	146	
10565	10.0	31 27.57	3	+ 13 2 46.0	238	
10566	8.0	20 31 28.89	2	— 8 56 59.—	57	Decl. gesch.
10567	10.0	31 29.99	2	— 9 6 32.5	320	
10568	9.5	31 31.51	3	+ 11 10 18.0	316	
—	9.5	31 31.25	4	+ 11 10 16.9	372	
10569	8.5	31 31.87	3	+ 5 33 24.3	59	
10570	10.0	20 31 34.03	3	+ 2 2 36.3	306	
10571	10.0	31 34.37	3	— 7 15 40.8	58	
10572	10.0	31 45.63	3	+ 6 55 19.0	62	
10573	9.0	31 47.52	3	+ 9 59 3.2	318	
10574	10.0	31 51.87	3	— 2 37 20.2	308	
10575	8.0	20 31 54.82	2	— 17 28 59.0	69	
10576	9.0	31 55.01	4	— 24 29 48.4	373	
10577	9.0	31 56.58	3	— 8 6 40.4	60	
10578	9.0	31 56.80	3	+ 21 23 13.1	313	
10579	9.0	31 56.96	1	+ 9 6 3.2	312	
10580	8.5	20 32 0.57	3	— 16 22 48.2	153	
10581	10.0	32 1.52	1	+ 2 5 23.6	378	u s
10582	11.0	32 3.09	1	— 14 58 22.8	321	u
10583	9.3	32 3.62	3	+ 7 43 39.1	317	
10584	9.5	32 8.65	4	— 3 26 11.3	74	

No.	Grösse	Rectascension 1880.0 h m s	Fäden	Declination 1880.0 ° ′ ″	Zone	Bemerkungen
10585	9.6	20 32 8.80	3	— 23 9 41.3	154	
10586	10.0	32 10.12	2	+ 13 6 22.8	68	
10587	11.0	32 16.70	2	+ 7 38 29.5	71	n A
10588	10.0	32 17.04	2	+ 7 40 22.7	236	a
10589	9.2	32 19.05	3	+ 19 50 39.9	229	
10590	10.0	20 32 20.68	3	+ 15 31 3.2	240	
10591	9.0	32 20.96	3	+ 4 33 8.0	231	
10592	10.0	32 22.21	2	+ 15 15 6.2	309	
—	10.0	32 22.25	4	+ 15 15 5.8	376	
10593	10.0	32 22.41	3	— 9 1 36.6	155	
10594	9.0	20 32 24.03	3	+ 21 24 54.6	156	Decl. + 20″ corr.
10595	6.5	32 26.38	3	+ 17 50 53.7	314	
10596	9.5	32 26.92	4	+ 18 24 0.6	377	
10597	10.0	32 31.11	4	+ 15 46 33.4	228	
10598	10.0	32 33.37	1	+ 16 50 57.8	240	n
10599	9.5	20 32 33.59	2	+ 2 4 8.9	72	
10600	5.0	32 33.92	3	— 15 22 27.9	50	
—	5.0	32 33.65	4	— 15 22 30.0	51	
10601	9.8	32 35.10	2	— 9 9 11.1	64	
10602	9.0	32 36.39	4	— 7 7 18.8	150	
10603	10.0	20 32 39.59	2	— 6 29 41.8	372	
10604	10.0	32 40.13	1	— 7 4 4.7	239	n
—	10.0	32 40.30	3	— 7 4 3.5	304	
10605	10.0	32 40.38	1	+ 15 24 3.3	318	u
10606	10.0	32 41.05	4	+ 9 4 57.0	235	
10607	9.0	20 32 43.91	3	+ 5 13 50.2	151	
—	9.0	32 43.82	2	+ 5 13 47.8	320	
10608	10.0	32 45.32	3	+ 1 36 45.0	307	
10609	7.0	32 54.99	3	— 6 36 46.8	58	
10610	6.8	33 3.53	2	— 24 12 38.9	153	
10611	6.0	20 33 4.12	3	+ 12 53 43.7	157	
10612	9.9	33 7.39	3	+ 4 23 19.8	59	
10613	9.9	33 8.43	4	+ 8 28 45.9	62	
10614	10.0	33 13.18	2	— 9 55 12.0	155	
10615	10.0	33 14.74	2	+ 16 25 10.7	313	
10616	9.5	20 33 17.45	3	+ 11 45 49.7	315	
10617	10.0	33 18.34	3	+ 6 51 56.4	317	
10618	9.2	33 20.18	2	— 10 28 45.2	321	dpl. pr.
10619	9.0	33 22.54	4	— 10 29 3.4	375	
10620	8.0	33 32.62	2	+ 4 32 52.5	318	
10621	9.5	20 33 38.52	3	+ 4 17 22.8	73	n
10622	9.2	33 41.41	3	— 29 52 56.2	373	
10623	9.0	33 48.62	3	— 6 16 7.4	239	
10624	10.0	33 49.53	3	+ 9 7 9.0	63	
10625	8.2	33 49.94	3	+ 12 55 10.5	238	
10626	9.7	20 33 50.19	3	+ 5 35 37.7	151	
10627	9.0	33 51.39	4	— 6 13 15.1	57	n
10628	9.8	33 51.45	4	— 6 43 35.6	74	
10629	10.0	33 55.39	3	+ 9 43 7.6	65	
10630	9.0	33 56.30	5	+ 7 35 34.4	236	
10631	8.0	20 33 59.77	3	+ 14 0 24.8	235	
10632	9.0	34 2.09	3	+ 20 49 31.7	148	
10633	9.5	34 3.41	4	— 7 15 56.9	60	
10634	10.0	34 4.30	3	+ 2 10 17.0	307	
10635	9.5	34 4.94	3	+ 1 59 28.4	306	
—	9.3	20 34 4.66	3	+ 1 59 26.7	371	
10636	10.0	34 5.75	3	+ 18 49 53.5	156	
10637	10.0	34 5.79	4	+ 22 48 40.6	158	
10638	9.0	34 7.07	1	+ 0 8 13.3	72	n
10639	9.0	34 8.83	4	+ 13 58 29.0	316	
10640	8.5	20 34 9.30	3	— 18 13 12.1	50	
10641	10.0	34 10.71	1	— 23 16 44.9	154	
10642	9.0	34 11.00	3	+ 20 47 1.1	229	
10643	8.0	34 13.17	3	+ 12 52 59.7	157	n
—	8.2	34 12.91	3	+ 12 52 57.1	238	
10644	8.0	20 34 14.97	3	+ 19 52 46.0	70	
10645	10.0	34 15.04	3	+ 9 7 35.3	312	
10646	9.0	34 24.82	3	— 15 34 29.6	51	
10647	9.0	34 30.44	4	— 17 7 8.9	375	
10648	10.0	34 36.46	3	+ 19 57 27.7	240	
10649	10.0	20 34 36.67	3	— 22 43 52.6	153	
—	10.0	34 36.82	4	— 22 43 51.6	372	
10650	9.5	34 37.88	3	+ 7 25 7.4	59	
10651	9.2	34 40.47	3	+ 18 59 54.2	313	
10652	9.0	34 42.72	3	+ 17 5 42.7	309	
10653	9.8	20 34 48.51	3	+ 6 21 49.4	73	
10654	10.0	34 49.05	3	+ 9 13 47.6	63	
10655	8.0	34 50.60	3	+ 4 15 21.0	231	
10656	10.0	34 50.84	3	+ 7 20 8.2	71	n
—	10.0	34 51.01	3	+ 7 20 12.6	317	
10657	9.6	20 34 56.93	3	+ 6 31 41.1	62	n
—	9.5	34 57.24	4	+ 6 31 38.5	320	
10658	10.0	34 57.25	1	— 4 31 48.6	58	u
10659	10.0	34 58.77	3	+ 19 51 15.0	229	
10660	9.0	35 1.15	3	+ 2 5 50.7	308	
10661	9.5	20 35 1.42	1	— 4 58 4.2	74	n
10662	10.0	35 5.66	1	+ 6 21 36.1	312	n
10663	9.5	35 9.11	3	+ 3 12 57.2	318	
10664	9.1	35 12.08	3	— 0 53 20.9	306	
10665	9.3	35 17.44	4	— 19 43 46.1	69	
10666	10.0	20 35 17.53	4	— 13 6 47.3	64	
10667	7.3	35 19.56	4	+ 19 30 3.0	70	
—	8.0	35 19.67	3	+ 19 30 4.0	314	
10668	9.2	35 20.12	3	+ 21 2 37.9	148	
10669	10.0	35 22.98	3	— 1 33 39.7	322	
10670	10.0	20 35 25.76	3	— 8 58 21.6	155	
10671	8.0	35 27.75	3	— 2 13 2.2	307	
10672	9.3	35 27.83	3	— 4 55 14.8	304	n dpl. pr.
10673	10.0	35 28.55	2	+ 9 54 10.5	65	
—	10.0	35 28.54	1	+ 9 54 6.6	235	

No.	Grösse	Rectascension 1880.0 h m s	Fäden	Declination 1880.0 ° ′ ″	Zone	Bemerkungen
10674	9.0	20 35 30.89	4	+ 12 13 38.3	61	
10675	9.2	35 31.89	3	+ 18 44 15.4	228	
10676	9.0	35 32.70	2	+ 3 59 12.5	317	
10677	10.0	35 34.02	2	+ 4 37 46.6	236	
10678	10.0	35 36.21	3	— 6 18 1.5	57	
10679	8.2	20 35 36.95	2	— 2 26 49.7	308	
10680	9.3	35 43.11	3	+ 17 46 39.6	149	
10681	9.3	35 45.27	1	+ 7 31 7.0	316	
—	9.3	35 45.13	2	+ 7 31 4.8	320	
10682	10.0	35 45.96	3	+ 4 0 52.3	59	
10683	10.0	20 35 47.43	2	+ 19 57 34.2	240	u
—	11.0	35 47.—	—	+ 19 57 35.2	315	s u
—	10.0	35 47.68	2	+ 19 57 38.2	372	
10684	9.5	35 47.79	3	+ 17 36 49.3	156	
10685	9.0	35 53.28	3	+ 7 30 30.8	231	n A
10686	8.0	20 35 55.15	3	— 16 5 56.5	50	
10687	9.3	35 55.80	3	— 3 56 28.7	60	
10688	10.0	35 57.02	3	— 1 30 4.5	371	
10689	9.6	35 58.27	3	+ 12 18 11.3	68	
10690	9.8	36 2.32	3	+ 7 57 4.5	71	
10691	10.0	20 36 6.31	3	— 9 13 37.0	373	n
10692	11.0	36 6.97	2	+ 10 25 55.6	63	u n
10693	10.0	36 7.00	3	+ 7 20 49.0	73	
10694	10.0	36 10.08	2	— 3 48 36.6	304	
10695	9.8	36 10.53	3	— 20 39 13.9	153	
10696	9.6	20 36 15.06	3	— 21 14 19.5	154	
10697	10.0	36 15.34	3	— 4 33 55.7	375	
10698	10.0	36 15.94	3	— 12 24 13.7	321	
10699	9.0	36 16.38	2	— 30 39 32.4	51	a
10700	10.0	36 16.41	3	+ 11 9 2.6	157	
10701	9.6	20 36 17.41	3	— 12 25 59.8	146	
10702	10.0	36 17.64	3	— 9 13 48.6	376	
10703	9.0	36 19.11	3	+ 19 1 9.9	229	
10704	9.5	36 20.56	3	+ 19 51 34.6	309	
10705	9.0	36 22.08	4	— 22 44 0.7	390	
10706	10.0	20 36 26.71	3	— 0 18 21.7	306	
—	10.0	36 26.49	1	— 0 18 21.1	377	u s
	11.0	36 26.14	2	— 0 18 18.5	379	
10707	7.5	36 29.11	3	+ 20 17 19.2	148	
10708	8.8	36 30.81	3	+ 20 15 35.9	70	
10709	9.0	20 36 31.68	4	+ 10 22 57.3	234	
10710	9.0	36 33.67	1	— 1 52 1.2	308	
10711	8.0	36 37.83	4	+ 12 12 16.1	238	n
10712	10.0	36 49.99	3	— 20 56 38.5	153	n
10713	10.0	36 56.16	3	— 10 16 11.3	64	
10714	10.0	20 37 1.18	3	+ 9 37 39.2	65	
10715	8.0	37 2.78	3	— 19 46 23.9	154	
10716	9.8	37 3.36	1	+ 13 45 31.5	61	
10717	10.0	37 4.93	2	— 0 32 21.0	307	
—	10.0	37 4.72	1	— 0 32 20.1	378	
—	11.0	20 37 5.27	1	— 0 32 22.9	380	u s
10718	10.0	37 6.99	3	+ 0 19 57.6	306	
10719	9.2	37 9.90	4	— 4 53 15.4	57	
10720	10.0	37 10.21	3	+ 13 48 34.4	68	
10721	9.8	37 10.39	4	— 11 17 58.9	155	
10722	9.9	20 37 11.43	3	+ 5 0 31.6	59	
—	9.0	37 11.19	3	+ 5 0 32.6	312	
10723	9.6	37 15.03	3	+ 6 55 8.4	62	
10724	10.0	37 17.71	2	+ 7 15 28.7	73	
10725	10.0	37 18.99	3	+ 16 44 8.4	149	
10726	9.0	20 37 21.50	4	+ 20 59 6.2	156	
10727	9.5	37 22.25	3	+ 7 18 51.8	71	
10728	9.6	37 33.13	4	+ 16 39 29.3	158	
10729	8.5	37 34.92	4	+ 19 0 44.9	228	
10730	10.0	37 42.06	3	+ 9 45 59.8	63	
10731	9.0	20 37 43.24	4	— 8 0 58.9	74	
10732	9.0	37 46.34	4	— 8 27 4.4	304	
10733	9.6	37 47.12	3	— 26 40 38.1	69	
10734	8.0	37 47.35	3	— 9 28 54.1	146	
10735	10.0	37 47.55	2	+ 16 46 43.6	161	
10736	8.0	20 37 53.43	3	— 21 19 28.7	153	
10737	9.0	37 56.13	3	+ 16 30 47.4	148	
10738	10.0	37 56.46	3	— 8 17 4.1	322	
10739	9.5	37 56.79	3	+ 6 48 26.7	231	
10740	10.0	37 59.83	3	+ 15 53 56.6	229	
10741	9.0	20 37 59.89	3	+ 5 16 34.0	235	
10742	9.3	38 0.65	4	— 6 14 18.5	60	
10743	9.2	38 4.82	3	+ 0 29 31.8	308	
10744	9.0	38 5.80	3	— 9 29 45.8	321	
10745	9.0	38 10.77	3	+ 6 29 49.9	236	
10746	7.8	20 38 15.31	4	+ 3 54 14.7	62	
10747	9.1	38 15.97	3	+ 22 4 56.1	149	
10748	10.0	38 17.07	2	+ 12 8 11.5	234	n
10749	10.0	38 19.60	2	+ 8 38 39.4	312	
10750	9.5	38 22.92	3	+ 18 47 9.8	240	
10751	10.0	20 38 24.15	3	— 7 57 31.5	57	
10752	10.0	38 24.40	3	— 29 3 19.1	50	
10753	10.0	38 27.29	3	+ 5 20 26.3	59	
10754	9.0	38 29.30	4	— 16 28 11.2	51	
10755	8.0	38 30.27	3	— 16 13 55.7	69	
10756	9.0	20 38 32.87	1	— 16 13 —	69	
10757	9.7	38 34.25	3	+ 14 23 53.2	65	
—	9.8	38 34.31	3	+ 14 23 52.3	157	
10758	9.0	38 36.95	3	+ 3 3 27.7	231	
10759	9.8	38 39.26	3	+ 15 54 18.5	156	
10760	10.0	20 38 47.53	3	+ 17 33 56.0	228	
10761	10.0	38 48.75	3	— 23 22 6.4	154	
10762	8.0	38 51.47	3	— 7 11 49.7	74	
10763	8.8	38 58.43	4	— 8 10 7.8	150	
—	9.0	38 58.24	3	— 8 10 6.0	304	

No.	Grösse	Rectascension 1880.0 h m s	Fäden	Declination 1880.0 ° ′ ″	Zone	Bemerkungen
10764	9.5	20 38 59.46	3	+ 7 39 6.0	312	
10765	10.0	38 59.95	3	+17 57 34.2	161	
10766	9.0	39 0.21	2	−28 52 37.0	153	
10767	10.0	39 4.42	3	+17 1 18.6	158	
10768	9.0	39 6.80	3	− 7 41 45.0	371	
10769	10.5	20 39 7.02	2	− 9 18 36.3	64	u
—	10.0	39 6.93	2	− 9 18 40.9	241	
10770	9.9	39 8.86	3	+ 6 8 25.7	73	
10771	10.0	39 9.10	3	+ 8 42 39.8	71	
10772	10.0	39 10.87	3	−26 36 49.4	373	
10773	9.1	20 39 11.52	3	+17 50 48.3	148	
—	9.0	39 11.28	3	+17 50 49.2	372	
10774	10.0	39 16.05	4	+14 37 45.9	63	
10775	9.0	39 25.95	2	+ 6 36 11.8	235	
—	9.0	39 25.71	3	+ 6 36 15.0	236	
10776	9.6	20 39 28.01	3	+13 11 1.0	157	
10777	9.0	39 29.72	4	− 3 48 33.4	60	
10778	10.0	39 30.36	4	−28 43 31.1	154	
—	10.0	39 30.05	4	−28 43 32.1	375	
10779	10.0	39 32.07	3	− 9 25 41.5	146	
10780	9.0	20 39 32.55	3	+ 7 1 8.4	62	
10781	10.5	39 35.44	2	+ 9 26 7.1	61	
10782	9.3	39 37.66	3	− 3 35 51.8	57	
10783	10.0	39 39.52	1	+10 20 47.1	234	n
10784	10.0	39 45.13	3	+10 22 52.0	314	
10785	9.6	20 39 49.50	3	+10 21 57.1	68	
10786	9.5	39 50.97	3	−10 14 59.1	155	
10787	9.8	40 1.73	4	+ 3 19 34.5	59	
10788	10.0	40 4.00	1	− 4 41 26.7	239	
10789	9.5	40 10.31	3	− 9 41 46.3	241	
10790	10.0	20 40 10.68	3	− 3 4 22.1	150	n
10791	10.0	40 14.32	3	− 8 15 13.3	372	
10792	9.5	40 14.51	3	+19 34 44.6	149	
—	10.0	40 14.42	4	+19 34 47.1	229	
10793	10.0	40 15.23	3	+18 41 36.8	240	n
10794	10.0	20 40 22.12	3	− 7 54 51.8	377	
10795	9.2	40 22.27	3	+ 6 21 26.4	312	n A
10796	9.3	40 22.63	3	+ 7 56 5.4	71	
10797	10.0	40 26.53	3	+ 4 34 48.8	231	
10798	9.0	40 26.86	3	−15 0 11.0	153	
10799	9.0	20 40 29.39	4	− 3 5 50.5	371	
10800	10.0	40 32.18	2	+ 5 18 38.0	375	
—	10.0	40 32.29	3	+ 5 18 37.7	380	u s
10801	10.5	40 34.24	2	+16 0 8.5	156	
10802	10.0	40 35.55	3	+ 6 22 19.8	236	
—	10.0	20 40 35.60	2	+ 6 22 20.9	317	
—	9.3	40 35.44	3	+ 6 22 20.2	376	
10803	9.7	40 37.37	4	+ 9 43 6.1	63	
10804	8.0	40 44.07	3	−16 3 10.2	373	
10805	9.7	40 45.95	3	+ 8 18 49.6	73	

No.	Grösse	Rectascension 1880.0 h m s	Fäden	Declination 1880.0 ° ′ ″	Zone	Bemerkungen
10806	10.0	20 40 49.30	3	+ 4 6 37.9	235	
10807	10.0	40 50.50	3	+ 2 0 26.0	308	
10808	9.2	40 53.37	5	+ 4 36 9.9	378	
10809	7.4	40 53.66	3	+16 27 58.9	148	
10810	10.0	41 1.03	3	− 9 28 11.7	321	
10811	9.5	20 41 5.42	4	+14 41 32.2	157	
10812	9.0	41 7.58	3	−23 53 19.9	154	
10813	9.2	41 8.20	2	+ 1 40 45.7	379	
10814	9.5	41 9.66	3	+ 7 16 36.0	231	
—	10.0	41 9.54	2	+ 7 16 36.2	315	
10815	10.0	20 41 10.88	1	+ 5 50 29.1	312	
10816	9.3	41 12.16	3	−16 54 21.8	376	
10817	9.9	41 13.85	3	+10 28 39.7	61	
10818	10.0	41 14.38	3	+ 4 26 44.8	317	n
10819	9.8	41 16.76	2	−24 4 10.0	377	
10820	10.0	20 41 24.28	2	+ 0 43 53.1	372	u n
10821	9.6	41 25.16	4	+11 25 20.0	161	
10822	10.0	41 25.22	4	+12 49 44.0	68	
10823	8.0	41 27.45	3	+14 17 27.8	240	
10824	9.6	41 30.11	3	+10 26 23.5	63	
—	9.0	20 41 30.05	3	+10 26 21.5	318	
10825	10.0	41 32.13	4	+11 39 29.0	320	
—	10.0	41 32.02	2	+11 39 32.2	371	
10826	8.4	41 32.94	1	+ 6 22 27.4	73	
—	8.0	41 32.70	2	+ 6 22 28.5	236	
10827	9.6	20 41 39.31	3	+19 22 8.9	149	
10828	9.0	41 39.35	3	−21 13 29.2	373	
10829	10.0	41 40.29	3	+10 25 16.8	314	
—	9.0	41 40.45	3	+10 25 17.2	316	
10830	10.0	41 42.97	4	− 7 41 24.0	239	
10831	10.0	20 41 47.55	3	+17 1 19.5	158	n
10832	9.3	41 48.35	3	− 6 27 46.7	322	
10833	4.0	41 51.62	3	+ 5 34 5.4	235	
10834	9.5	41 52.35	3	− 1 28 31.5	308	
10835	10.0	41 54.76	2	+12 39 10.3	313	
10836	10.0	20 41 57.08	3	+17 37 47.1	148	
10837	9.6	42 1.82	4	+14 4 7.5	65	
10838	10.0	42 11.67	2	+17 59 43.7	156	n
10839	10.0	42 12.40	3	−24 29 54.5	154	
10840	9.2	42 14.35	4	+ 9 45 33.4	234	
10841	10.0	20 42 19.27	2	+11 48 7.4	157	
10842	10.0	42 21.08	3	− 6 22 39.0	304	
10843	9.0	42 22.94	3	−14 55 36.3	241	
10844	9.5	42 23.30	3	+ 3 59 32.7	160	dpl. med.
—	9.0	42 22.94	3	+ 3 59 32.6	231	
10845	9.8	20 42 27.71	3	+19 57 49.7	149	
10846	10.5	42 28.15	2	−14 58 57.5	146	
10847	8.0	42 31.16	3	+ 1 35 32.8	377	n
10848	9.0	42 31.52	1	+ 0 49 20.2	322	
10849	9.5	42 35.52	3	+ 4 10 39.8	71	

No.	Grösse	Rectascension 1880.0 h	m	s	Fäden	Declination 1880.0 °	′	″	Zone	Bemerkungen
10850	8.5	20	42	38.98	3	+ 1	35	56.6	373	n
10851	9.0		42	41.01	3	− 9	12	30.8	321	
10852	9.1		42	43.39	3	+ 0	15	37.0	375	
10853	9.5		42	44.12	3	− 25	15	54.2	69	
10854	10.0		42	46.43	2	− 0	46	21.1	320	
10855	10.0	20	42	46.62	3	− 2	52	13.3	376	
10856	9.8		42	50.99	4	+ 16	10	33.5	158	
—	9.0		42	50.99	3	+ 16	10	32.2	229	
10857	8.5		42	51.30	4	− 11	53	52.8	64	
—	8.0		42	51.29	3	− 11	53	55.0	241	
10858	9.3	20	42	52.32	4	+ 4	45	17.7	59	
10859	11.0		42	52.48	1	+ 9	13	8.3	63	u n
10860	9.3		42	54.07	3	− 3	28	29.5	57	
—	10.0		42	54.21	3	− 3	28	29.5	74	
10861	10.0		42	56.60	1	− 5	2	2.9	60	u
10862	9.5	20	42	56.81	3	+ 0	33	26.1	308	
10863	9.0		42	57.21	3	+ 15	59	39.8	240	
10864	10.0		43	0.85	2	+ 9	2	49.7	238	u
—	9.0		43	1.26	2	+ 9	2	47.3	314	
10865	10.0		43	1.82	2	− 11	54	47.4	371	n
10866	9.7	20	43	13.24	3	+ 6	3	33.1	73	
10867	10.0		43	13.94	3	− 28	27	16.3	153	
10868	10.0		43	15.36	2	+ 1	29	16.2	72	
—	10.0		43	15.82	3	+ 1	29	15.6	372	
10869	9.3		43	19.34	2	+ 14	13	37.9	65	u
10870	10.0	20	43	19.83	3	+ 9	47	44.8	161	
10871	9.5		43	21.11	2	− 16	59	36.3	154	
10872	9.8		43	32.91	4	+ 10	55	4.7	61	n
10873	10.0		43	38.06	2	− 2	40	54.6	377	
10874	9.5		43	42.26	3	− 2	41	39.7	306	
—	9.5	20	43	42.36	3	− 2	41	39.3	318	
10875	9.6		43	49.86	3	+ 12	34	0.6	157	
10876	9.0		43	50.50	4	+ 18	2	36.3	156	
10877	10.0		43	51.26	4	+ 14	34	37.4	234	
10878	9.0		43	51.45	3	+ 5	1	19.1	312	
10879	9.2	20	43	56.53	3	− 15	14	46.5	69	
10880	10.0		44	0.84	3	+ 1	33	30.3	67	
10881	10.0		44	1.34	2	+ 10	22	13.9	235	
10882	7.5		44	4.82	5	− 12	59	18.2	321	
10883	10.0		44	8.03	2	− 10	28	35.2	64	
10884	10.0	20	44	11.96	2	+ 9	59	32.2	161	
10885	9.0		44	12.28	3	− 9	55	35.9	155	A
10886	10.0		44	12.39	3	+ 12	28	25.4	68	
10887	9.0		44	14.29	3	− 20	2	6.3	153	n
10888	9.0		44	14.85	4	− 4	4	45.4	58	
10889	9.0	20	44	15.11	4	− 6	19	27.2	150	
—	8.7		44	15.03	4	− 6	19	28.0	239	
10890	10.5		44	15.86	3	+ 17	57	40.7	148	
10891	10.0		44	20.10	3	+ 11	41	50.6	236	
10892	10.0		44	23.96	4	+ 5	57	10.1	71	

No.	Grösse	Rectascension 1880.0 h	m	s	Fäden	Declination 1880.0 °	′	″	Zone	Bemerkungen
10893	10.0	20	44	34.47	4	+ 16	39	49.9	240	n
10894	9.2		44	40.61	3	− 2	58	14.8	306	
10895	10.0		44	44.44	2	+ 8	55	41.9	160	
—	10.0		44	44.33	3	+ 8	55	44.4	231	
10896	9.2		44	45.22	4	+ 6	16	32.5	59	
10897	9.5	20	44	51.80	3	+ 4	23	20.4	73	
10898	9.8		44	54.27	4	+ 15	0	35.9	149	
	10.0		44	53.91	3	+ 15	0	39.2	229	
10899	9.5		44	57.47	3	+ 1	49	26.2	308	
10900	9.3		44	57.98	3	+ 16	29	31.5	156	
10901	9.0	20	44	58.93	2	+ 9	0	24.0	63	
—	9.8		44	59.10	3	+ 9	0	25.1	157	
10902	9.5		45	0.18	3	− 13	23	41.8	146	n
10903	10.0		45	1.05	2	+ 10	35	47.8	312	
10904	9.0		45	5.44	2	+ 12	7	35.9	68	
10905	9.8	20	45	8.85	3	− 4	4	11.6	57	
10906	9.8		45	10.47	3	+ 16	24	42.6	158	
10907	9.8		45	11.61	2	− 16	57	44.3	69	
—	9.5		45	11.61	3	− 16	57	44.1	154	
10908	9.0		45	18.04	4	− 12	56	41.1	241	
10909	9.2	20	45	27.87	3	− 3	14	20.8	304	
10910	11.0		45	29.20	2	− 2	15	49.8	72	u n
10911	9.0		45	30.44	4	− 9	50	54.5	155	
10912	10.0		45	33.38	3	+ 16	37	46.3	240	n
10913	9.0		45	36.05	3	− 19	58	45.4	153	n
10914	9.7	20	45	37.14	2	+ 9	10	15.4	61	
10915	9.1		45	37.88	3	+ 3	38	29.8	59	
10916	8.0		45	39.90	4	− 6	22	56.3	150	u
—	8.0		45	39.92	4	− 6	22	55.5	239	
10917	9.7		45	40.09	3	+ 15	52	44.0	148	
—	10.0	20	45	39.91	3	+ 15	52	44.1	309	
10918	10.0		45	44.93	3	− 7	49	17.6	60	
10919	10.0		45	46.01	3	+ 10	27	12.2	235	
10920	9.0		45	50.44	3	+ 10	46	49.9	161	
10921	10.0		45	57.33	1	+ 9	12	59.7	236	
10922	9.0	20	46	7.34	3	+ 20	44	21.5	158	
10923	9.0		46	10.37	3	− 17	27	20.2	154	n
10924	9.9		46	13.95	2	+ 18	15	52.6	156	
10925	9.3		46	20.31	3	− 8	12	36.9	304	
10926	10.0		46	23.35	4	− 14	43	10.7	64	
10927	9.0	20	46	26.83	3	− 7	31	40.3	58	
10928	9.0		46	44.02	3	+ 14	39	21.0	235	
10929	10.0		46	50.84	3	+ 0	38	25.9	306	
10930	9.5		46	54.81	3	− 12	32	48.0	146	
—	10.0		46	54.84	3	− 12	32	47.8	241	
10931	9.4	20	46	55.30	2	− 6	9	19.4	60	
10932	9.0		46	56.26	4	− 17	20	7.9	69	
10933	10.0		46	58.56	3	+ 10	58	15.9	63	dpl. pr.
10934	8.8		46	59.73	3	+ 18	17	32.2	148	
10935	9.0		47	0.21	4	− 5	36	43.0	239	

No.	Grösse	Rectascension 1880.0 h	m	s	Fäden	Declination 1880.0 °	′	″	Zone	Bemerkungen
10936	10.0	20	47	0.57	1	+ 0	36	33.5	67	n
10937	9.6		47	3.60	3	− 7	45	56.1	74	
10938	9.0		47	6.63	3	+ 6	9	37.6	59	
10939	9.0		47	11.21	3	− 6	41	31.5	150	
10940	10.0		47	12.57	2	+ 16	46	0.9	161	
—	10.0	20	47	12.42	3	+ 16	45	59.7	240	
10941	9.0		47	13.36	2	+ 4	46	37.3	71	
10942	10.5		47	14.85	1	+ 11	9	44.3	68	u
10943	9.0		47	17.31	3	+ 17	22	52.4	229	
10944	9.0		47	17.63	3	+ 7	53	12.5	73	
—	9.2	20	47	17.61	3	+ 7	53	12.3	312	
10945	7.8		47	18.02	3	− 26	1	42.9	153	
10946	10.0		47	18.19	3	− 5	25	18.2	57	n
10947	9.0		47	20.62	3	+ 17	23	42.8	229	
10948	9.5		47	22.20	3	− 22	50	16.3	154	
10949	10.0	20	47	24.79	3	+ 7	8	36.9	160	
10950	10.0		47	32.50	2	+ 11	35	34.4	61	
10951	9.5		47	32.59	2	+ 4	11	40.1	66	
10952	9.3		47	37.90	4	− 8	25	55.6	155	
10953	10.0		47	38.60	3	+ 4	39	45.1	231	
10954	9.7	20	47	43.79	2	− 0	56	42.0	72	
10955	9.5		47	48.58	4	− 9	53	14.0	64	
10956	10.0		47	50.63	3	+ 0	42	11.8	308	
10957	10.0		47	54.19	3	+ 18	39	45.7	156	
10958	10.0		47	56.63	3	− 11	39	40.4	241	
10959	9.9	20	47	56.96	2	+ 8	17	42.0	73	
10960	10.0		48	0.53	3	− 22	46	3.6	371	
10961	10.0		48	3.51	2	− 3	7	7.5	150	
10962	9.0		48	4.83	3	− 14	16	12.3	146	
10963	9.3		48	9.01	3	+ 3	44	14.4	59	
10964	9.8	20	48	14.79	3	+ 11	17	31.7	157	
10965	10.0		48	17.15	3	+ 17	50	53.8	158	
10966	9.0		48	18.67	3	+ 6	57	0.3	312	
10967	9.0		48	25.44	3	+ 19	58	53.0	149	
—	10.0		48	25.31	3	+ 19	58	54.5	314	
10968	9.8	20	48	26.32	3	+ 8	50	24.0	71	
10969	10.0		48	26.76	3	+ 1	52	14.7	318	
10970	10.0		48	30.80	3	+ 0	17	51.7	321	
10971	9.2		48	32.46	2	+ 8	20	36.0	160	
10972	10.0		48	32.56	3	+ 5	57	42.9	236	n
10973	8.1	20	48	33.81	3	− 8	15	24.3	58	
10974	10.0		48	34.25	2	+ 0	39	50.0	320	
10975	9.0		48	34.85	3	+ 10	37	14.4	234	
10976	9.0		48	35.31	4	+ 19	58	16.3	161	
10977	10.0		48	36.33	3	+ 17	38	58.4	240	
10978	10.0	20	48	36.53	3	+ 6	8	36.5	372	u
10979	9.2		48	36.66	3	− 0	50	4.1	306	
10980	10.0		48	38.11	3	+ 6	19	47.1	374	
10981	10.0		48	39.86	2	+ 8	24	3.3	315	
10982	9.5		48	42.51	3	− 5	56	6.8	74	
10983	10.0	20	48	47.49	3	+ 4	52	12.1	231	n
10984	9.0		48	47.57	3	− 20	16	25.3	373	
10985	10.0		48	50.07	1	+ 6	12	54.4	312	
10986	9.8		48	51.45	3	+ 10	56	32.7	63	
10987	9.0		48	51.73	2	+ 4	53	37.5	231	
10988	9.5	20	48	51.76	3	− 3	7	11.8	60	
10989	10.0		48	57.93	2	− 3	27	59.3	57	
10990	10.0		48	59.43	3	− 4	24	21.3	239	
10991	9.5		48	59.77	2	+ 15	32	18.1	158	
—	10.0		48	59.82	4	+ 15	32	14.4	316	
10992	9.0	20	49	5.37	3	− 6	29	28.9	155	
10993	8.0		49	6.78	4	+ 3	3	55.2	62	
10994	9.9		49	8.59	3	+ 2	3	42.5	72	
10995	9.0		49	12.44	3	− 22	33	12.0	153	
10996	9.3		49	17.59	3	− 7	9	20.5	304	
10997	9.0	20	49	18.80	3	+ 4	4	38.1	318	
10998	8.7		49	20.55	3	+ 12	42	31.0	68	n
—	9.0		49	20.68	4	+ 12	42	31.3	314	
10999	9.0		49	21.18	3	+ 17	14	17.2	156	
11000	9.0		49	25.36	3	+ 10	48	11.1	240	n
11001	10.5	20	49	25.43	3	− 11	14	40.7	64	
11002	9.5		49	27.10	3	− 20	2	9.6	154	n
11003	9.0		49	27.54	3	+ 10	32	10.2	157	
11004	9.0		49	30.63	3	+ 10	49	38.3	234	
11005	9.0		49	33.70	3	+ 4	1	34.8	236	n
11006	9.0	20	49	34.73	3	+ 12	22	35.9	235	
11007	9.4		49	36.77	2	+ 3	59	4.6	59	n
11008	10.0		49	46.71	3	− 9	10	19.8	146	
11009	10.0		49	48.25	3	+ 0	46	47.4	308	n
11010	9.0		49	58.40	3	+ 19	17	35.2	161	
	9.5	20	49	58.39	3	+ 19	17	34.9	229	
11011	9.0		50	0.42	3	+ 7	0	7.9	66	
11012	10.0		50	3.81	3	− 3	24	0.1	150	
11013	9.5		50	8.49	2	+ 14	33	41.1	68	
11014	10.0		50	19.39	3	+ 0	50	7.0	320	
11015	9.9	20	50	21.26	3	+ 14	59	26.7	63	
11016	9.0		50	21.37	3	+ 18	59	11.9	158	
11017	10.0		50	29.51	1	+ 10	18	59.1	236	
11018	9.0		50	30.08	2	+ 12	13	57.3	157	
11019	9.0		50	31.44	1	+ 0	21	11.5	322	
11020	9.3	20	50	34.50	4	− 15	24	15.3	153	
11021	9.7		50	39.71	2	− 9	16	6.5	64	
11022	8.5		50	39.73	3	− 26	42	3.3	241	
11023	9.0		50	39.89	3	− 6	55	49.6	155	
11024	9.5		50	40.17	3	+ 0	33	42.5	321	
11025	9.0	20	50	41.12	3	+ 19	22	52.5	156	
11026	7.0		50	41.74	3	+ 1	15	42.7	374	
—	7.0		50	41.80	6	+ 1	15	42.9	376	
—	7.0		50	41.60	6	+ 1	15	42.9	377	
11027	10.0		50	43.66	3	− 16	54	26.6	371	

No.	Grösse	Rectascension 1880.0 h m s	Fäden	Declination 1880.0 ° ′ ″	Zone	Bemerkungen
11028	9.3	20 50 47.74	3	+ 5 40 26.6	62	
11029	9.7	50 49.14	4	− 4 27 37.5	57	
11030	9.0	50 54.16	4	− 2 15 7.3	72	
—	9.0	50 54.23	3	− 2 15 7.2	308	
11031	9.5	51 4.32	3	− 20 31 55.0	154	
11032	9.0	20 51 7.07	4	+ 20 50 59.7	148	
11033	10.0	51 9.78	3	+ 18 32 47.4	161	
—	10.0	51 9.95	3	+ 18 32 48.7	314	
11034	9.2	51 11.29	3	+ 2 25 39.0	323	n.
11035	10.0	51 12.83	3	+ 6 22 32.7	71	
11036	10.0	20 51 25.04	3	+ 11 29 47.9	63	
—	10.0	51 25.20	3	+ 11 29 46.4	312	
11037	10.0	51 27.70	3	+ 17 29 56.7	149	
11038	9.0	51 30.71	3	− 12 50 38.6	155	
11039	9.0	51 32.06	3	+ 10 42 55.0	240	
11040	9.5	20 51 32.78	4	− 27 47 54.4	373	
11041	8.9	51 32.87	3	− 3 58 30.2	60	
11042	10.0	51 33.97	2	+ 15 23 24.9	156	
11043	9.5	51 36.86	4	− 3 52 47.8	58	
11044	9.0	51 37.31	4	+ 14 22 43.2	68	
11045	8.8	20 51 38.60	3	− 26 28 7.8	153	
—	8.5	51 38.75	3	− 26 28 7.9	372	
11046	8.2	51 41.19	4	+ 20 20 52.6	229	n
11047	9.5	51 42.57	3	+ 8 48 47.9	66	
11048	10.0	51 47.45	3	+ 8 37 54.6	59	
11049	10.0	20 51 48.38	3	+ 0 49 25.2	320	
11050	10.0	51 49.53	3	+ 9 37 20.5	235	
11051	9.5	51 53.50	3	+ 16 26 22.7	158	
11052	9.0	51 58.01	3	+ 13 28 1.0	236	
11053	10.0	52 5.—	—	+ 7 16 6.4	73	u
—	10.0	20 52 5.45	3	+ 7 16 2.9	231	
11054	10.0	52 6.35	3	+ 0 52 35.7	308	
—	10.0	52 5.81	2	+ 0 52 36.0	371	
11055	8.0	52 7.69	3	− 30 58 29.8	154	
11056	10.0	52 8.97	3	− 6 1 35.0	150	n
11057	9.0	20 52 9.51	3	+ 14 34 37.5	157	
11058	8.5	52 13.72	4	− 16 10 43.5	374	
11059	8.3	52 15.07	6	− 16 5 32.6	375	
11060	10.0	52 18.63	3	+ 8 7 38.8	62	
11061	10.0	52 21.28	3	+ 3 8 12.6	71	
11062	9.0	20 52 27.78	3	+ 11 19 38.0	240	
11063	9.8	52 29.84	3	+ 1 27 6.2	72	
11064	9.8	52 30.58	3	+ 18 47 24.0	149	
—	9.5	52 30.51	3	+ 18 47 25.5	314	
11065	9.5	52 30.59	4	+ 7 29 11.8	75	
11066	10.0	20 52 32.14	2	+ 16 31 31.6	313	
11067	9.0	52 51.45	3	+ 14 23 15.4	63	
11068	10.0	52 52.11	4	− 4 38 57.0	239	n
11069	9.9	52 52.18	3	+ 6 36 46.1	59	
11070	9.5	52 52.65	3	− 6 42 45.3	57	
11071	9.0	20 52 53.35	3	+ 22 58 52.0	156	
11072	9.0	52 54.24	3	− 9 20 30.4	64	
11073	8.8	52 55.27	3	+ 16 20 0.9	161	
11074	10.0	52 58.35	2	+ 8 26 13.4	160	
—	10.0	52 58.26	3	+ 8 26 14.5	231	
11075	9.5	20 53 1.35	3	+ 19 55 55.1	229	
11076	10.0	53 6.15	2	− 2 22 15.7	372	u
—	11.0	53 5.85	3	− 2 22 16.7	373	u
11077	9.3	53 11.28	3	− 6 24 26.1	58	
11078	10.0	53 15.28	3	+ 0 1 55.1	320	
11079	9.5	20 53 19.64	3	− 6 41 34.5	74	
11080	10.0	53 21.40	3	− 23 42 36.5	153	
11081	9.2	53 23.52	3	+ 13 59 37.6	68	
11082	9.0	53 23.78	1	+ 0 35 50.1	321	
11083	9.5	53 25.62	3	+ 2 13 40.9	72	
11084	9.0	20 53 32.98	4	+ 11 34 42.6	157	
11085	9.0	53 34.74	4	− 28 47 17.0	69	
11086	9.8	53 37.87	3	− 14 23 45.9	64	
11087	9.0	53 43.01	3	− 6 41 15.2	150	
11088	10.0	53 43.92	3	+ 17 45 42.9	158	
11089	10.0	20 53 44.53	3	+ 9 16 26.8	240	
11090	9.0	53 56.35	3	+ 9 59 24.9	312	
11091	9.5	53 58.47	4	+ 11 5 2.9	235	n
11092	9.7	54 3.63	3	+ 6 20 21.7	62	
11093	9.0	54 4.13	3	− 16 18 0.4	154	
11094	10.0	20 54 5.37	2	+ 16 36 50.5	313	
11095	9.8	54 8.44	3	+ 20 16 51.9	149	
—	10.0	54 8.20	4	+ 20 16 55.0	314	
11096	9.0	54 8.49	4	− 24 46 45.4	241	n
11097	9.5	54 9.59	3	+ 1 45 39.3	67	A.R. − 1s corr.
—	9.5	20 54 9.74	3	+ 1 45 38.1	308	
11098	9.0	54 18.65	3	+ 16 22 27.2	161	
11099	10.0	54 20.28	4	+ 16 18 46.5	148	u
11100	10.0	54 24.07	3	+ 12 14 1.4	240	
11101	10.0	54 25.69	3	+ 6 6 26.0	231	n
11102	10.0	20 54 26.32	3	+ 10 52 22.9	63	
11103	9.0	54 28.45	4	+ 14 59 27.0	236	
11104	10.0	54 29.05	3	− 7 50 14.4	57	
11105	9.5	54 34.16	4	+ 3 32 5.1	59	
11106	10.0	54 34.79	1	+ 6 4 52.3	71	
11107	8.5	20 54 39.52	4	+ 8 23 30.2	160	
11108	9.0	54 43.46	3	+ 20 49 23.8	156	
11109	10.0	54 52.11	1	+ 10 2 22.3	372	u n
—	10.0	54 51.48	2	+ 10 2 23.4	373	
11110	9.5	54 52.13	3	− 2 16 23.5	308	
11111	10.0	20 54 53.09	1	− 3 30 8.6	57	
—	9.5	54 53.29	3	− 3 30 8.3	60	
11112	9.5	54 57.88	3	− 0 48 39.2	72	
11113	9.0	55 6.49	3	− 18 37 30.7	153	
11114	9.8	55 12.32	3	+ 7 19 6.2	62	

No.	Grösse	Rectascension 1880.0 h m s	Fäden	Declination 1880.0 ° ′ ″	Zone	Bemerkungen
11115	9.8	20 55 13.40	3	— 10 16 44.9	64	
11116	9.0	55 14.07	2	+ 9 17 40.8	68	
11117	9.0	55 15.27	3	+ 14 35 18.2	157	
11118	9.2	55 20.47	3	+ 14 18 22.4	312	n
11119	8.0	55 23.03	4	— 4 36 3.5	239	
11120	9.0	20 55 23.38	3	+ 20 28 37.9	149	
—	9.0	55 23.22	3	+ 20 28 38.1	229	
11121	9.0	55 24.60	3	+ 4 38 27.2	66	
11122	9.0	55 26.36	3	— 20 48 18.4	69	
—	10.0	55 26.17	3	— 20 48 17.6	154	
11123	9.0	20 55 27.66	4	— 25 5 38.7	241	
11124	8.2	55 29.36	4	+ 9 39 18.0	235	
11125	9.1	55 35.27	3	+ 6 37 16.5	371	
—	9.0	55 35.34	4	+ 6 37 16.5	377	
11126	10.0	55 48.75	3	+ 1 5 39.5	67	
11127	7.5	20 55 53.65	3	— 15 56 33.7	153	
11128	9.5	55 55.44	3	+ 9 40 28.9	63	n
11129	10.0	55 57.31	3	— 10 42 37.7	150	
11130	10.0	55 59.64	3	+ 11 5 16.4	240	
11131	8.0	56 0.56	4	— 9 55 7.1	74	
11132	9.0	20 56 2.34	4	+ 12 26 50.9	234	
11133	10.0	56 7.79	3	+ 19 56 6.8	156	
11134	9.0	56 11.13	3	+ 5 57 49.5	310	
11135	9.2	56 19.32	2	+ 10 8 39.6	161	n
11136	10.0	56 22.17	3	— 12 23 19.5	150	
—	10.0	20 56 21.86	3	— 12 23 20.7	321	
11137	10.0	56 22.24	3	+ 16 49 12.0	148	
11138	10.0	56 26.82	2	+ 9 20 36.9	236	
11139	8.0	56 28.15	4	+ 5 5 22.8	59	n
—	9.0	56 27.97	4	+ 5 5 24.9	160	
11140	9.5	20 56 30.02	3	— 20 11 41.6	154	
11141	9.0	56 30.70	3	+ 13 58 6.2	157	
11142	9.2	56 37.40	2	+ 10 8 20.-	161	Decl. gesch.
11143	9.7	56 38.58	2	— 2 10 12.4	72	
11144	9.0	56 38.84	4	+ 16 40 44.5	70	
11145	8.0	20 56 47.22	4	— 24 47 43.1	241	
11146	9.8	56 55.25	3	— 12 20 39.6	64	
11147	10.0	56 56.37	3	+ 12 25 6.5	235	
11148	8.9	56 58.56	4	+ 4 46 10.8	62	
11149	9.0	57 4.68	2	— 17 39 3.0	69	
11150	8.5	20 57 5.52	4	— 5 50 50.4	239	
11151	9.6	57 11.14	3	+ 18 55 33.1	149	
—	10.0	57 10.84	3	+ 18 55 36.9	313	
11152	8.8	57 14.31	3	+ 19 57 28.8	156	
11153	8.2	57 17.50	3	+ 7 26 10.3	242	
11154	10.0	20 57 22.57	4	— 3 25 59.8	57	
11155	10.0	57 23.26	1	+ 7 52 5.3	66	u
—	10.0	57 23.58	3	+ 7 52 6.0	231	
11156	8.0	57 23.43	3	+ 15 17 17.3	158	
11157	10.0	57 23.63	3	+ 0 49 45.9	67	

No.	Grösse	Rectascension 1880.0 h m s	Fäden	Declination 1880.0 ° ′ ″	Zone	Bemerkungen
—	10.0	20 57 23.52	3	+ 0 49 44.8	371	
11158	9.5	57 24.55	3	+ 9 34 52.1	234	
11159	9.2	57 32.65	2	+ 9 24 51.0	312	
11160	9.5	57 33.46	3	+ 19 11 36.0	148	
11161	10.0	57 35.13	3	+ 12 8 24.8	240	
11162	10.0	20 57 36.50	3	+ 9 25 49.0	68	
	9.2	57 36.63	2	+ 9 25 47.5	312	
11163	9.5	57 38.74	3	+ 8 45 13.6	71	
11164	9.0	57 46.33	3	+ 0 37 34.2	308	
11165	10.0	57 50.05	3	+ 9 42 3.8	63	
11166	10.0	20 57 56.10	3	— 22 58 39.2	153	
11167	9.0	57 56.59	3	— 24 5 28.1	241	
11168	10.0	57 59.69	2	+ 11 32 43.2	240	
11169	10.0	58 3.10	3	+ 9 7 15.8	157	
11170	9.5	58 7.70	3	— 0 21 46.4	72	
11171	9.3	20 58 14.00	4	+ 18 29 20.4	70	
11172	10.0	58 15.52	3	— 10 6 45.9	74	
11173	11.0	58 16.11	2	+ 5 16 53.3	310	n
11174	9.3	58 17.33	4	+ 7 29 23.2	59	
11175	9.5	58 19.69	3	— 3 34 1.2	60	
11176	10.0	20 58 22.95	2	+ 0 28 13.8	320	
11177	9.0	58 23.33	3	— 20 35 18.7	153	
11178	8.0	58 24.52	3	+ 5 20 21.4	371	
—	8.0	58 24.77	4	+ 5 20 20.6	377	
11179	10.0	58 24.68	3	+ 8 5 10.7	75	
11180	8.3	20 58 25.07	3	+ 18 15 36.4	149	
11181	9.0	58 26.68	3	+ 9 2 26.1	235	
11182	9.5	58 29.41	3	— 14 37 17.1	64	
11183	10.0	58 30.11	2	— 3 28 33.3	150	
—	10.0	58 30.13	1	— 3 28 33.4	325	
11184	10.0	20 58 38.86	3	+ 12 44 26.2	161	
11185	9.0	58 39.56	3	— 5 16 9.7	57	n
11186	10.0	58 39.73	2	+ 2 2 50.4	67	n
—	10.0	58 39.94	1	+ 2 2 44.8	321	
—	10.0	58 39.71	3	+ 2 2 48.1	323	
11187	10.0	20 58 40.78	4	+ 2 4 47.2	372	
11188	10.5	58 43.75	3	+ 8 16 33.4	62	
11189	9.0	58 43.92	3	+ 7 21 47.7	242	
11190	10.0	58 47.02	3	— 5 38 59.4	239	
11191	9.0	58 49.27	3	— 5 35 6.0	155	
11192	9.5	20 58 50.34	4	+ 3 3 51.7	71	
—	10.0	58 50.55	3	+ 3 3 48.2	315	
11193	9.6	58 51.13	3	+ 18 28 17.8	149	
—	9.3	58 51.07	3	+ 18 28 17.0	156	
11194	8.0	58 52.31	3	+ 11 32 55.7	68	
11195	10.0	20 58 58.14	3	+ 16 41 42.3	148	
—	10.0	58 58.04	3	+ 16 41 44.9	158	
11196	9.0	59 6.94	3	+ 4 5 30.4	231	
—	9.0	59 7.04	2	+ 4 5 30.6	312	
11197	7.5	59 8.29	3	+ 11 58 11.1	373	

No.	Grösse	Rectascension 1880.0 (h m s)	Fäden	Declination 1880.0 (° ' ")	Zone	Bemerkungen
11198	10.0	20 59 15.06	3	+ 9 22 3.0	157	
—	10.0	59 14.87	3	+ 9 22 3.1	240	
11199	9.0	59 19.11	3	+ 11 41 38.8	65	
11200	10.0	59 19.36	3	+ 4 11 54.7	236	
—	10.0	59 19.53	1	+ 4 12 0.0	310	
11201	8.0	20 59 23.72	5	+ 6 36 35.4	316	
—	8.0	59 24.04	4	+ 6 36 33.3	317	
11202	10.0	59 27.24	2	+ 3 4 47.4	315	
11203	10.0	59 32.21	1	— 27 23 17.3	241	
11204	10.0	59 34.72	3	+ 16 23 9.3	156	
11205	9.7	20 59 37.17	3	+ 12 37 3.6	63	
11206	9.5	59 41.92	4	+ 8 38 6.5	59	
11207	9.3	59 43.64	2	— 22 29 14.2	69	
11208	9.0	59 46.74	3	+ 7 23 50.1	242	
11209	10.0	59 48.54	1	+ 9 17 33.7	161	
—	10.0	20 59 48.55	2	+ 9 17 33.8	235	
11210	10.0	59 49.28	3	— 9 42 33.6	64	
11211	9.0	59 52.01	3	— 7 10 9.4	155	
11212	9.6	59 52.48	4	+ 18 4 35.8	70	
11213	10.0	59 54.30	2	+ 11 3 22.1	68	
11214	10.0	20 59 58.57	1	— 0 3 16.6	67	
11215	9.5	59 58.90	3	+ 5 8 10.6	62	
11216	10.5	21 0 4.99	2	— 8 21 43.3	74	
11217	10.0	0 5.24	3	+ 7 31 48.1	71	
11218	8.6	0 5.46	3	+ 21 23 44.6	149	
11219	9.0	21 0 14.85	3	— 21 22 21.0	153	
11220	9.6	0 15.11	4	— 5 41 28.0	57	
11221	9.7	0 15.82	4	— 7 53 2.5	60	
11222	8.5	0 19.14	3	+ 15 19 25.6	317	
11223	10.0	0 19.65	4	— 6 11 30.2	150	
11224	9.5	21 0 24.01	3	+ 11 42 58.6	75	
11225	9.0	0 29.40	3	+ 20 49 32.2	158	
11226	10.0	0 32.98	3	— 6 55 27.7	239	
11227	9.0	0 33.04	3	+ 2 19 50.3	311	
11228	9.5	0 42.87	4	+ 12 40 23.6	157	
11229	10.0	21 0 44.66	3	+ 17 27 54.5	240	
11230	9.6	0 46.45	3	— 14 29 21.6	64	
11231	9.0	0 47.71	2	+ 15 43 36.3	156	
—	9.0	0 47.73	3	+ 15 43 36.3	318	
11232	9.0	0 53.96	3	— 7 39 42.1	155	n
11233	9.0	21 0 56.91	4	+ 11 40 47.7	234	
11234	9.0	0 57.83	1	— 4 5 20.5	74	
—	9.0	0 57.71	3	— 4 5 22.8	324	
11235	6.5	1 0.31	4	— 17 56 10.8	325	
11236	10.0	1 1.88	3	+ 18 1 35.0	316	
11237	9.0	21 1 16.33	3	+ 6 28 33.9	236	n
11238	8.3	1 17.67	4	+ 3 39 40.5	62	
—	8.5	1 17.79	3	+ 3 39 42.5	310	
11239	9.0	1 19.11	3	+ 7 15 34.0	242	
11240	10.0	1 19.87	3	— 21 28 35.0	373	
11241	8.3	21 1 24.39	3	— 5 6 47.3	372	
11242	10.0	1 25.22	3	+ 10 37 33.2	235	
11243	9.0	1 25.25	3	+ 15 53 7.6	70	
11244	10.0	1 30.92	3	— 30 1 1.3	241	
11245	9.5	1 35.45	3	+ 19 15 25.2	317	
11246	9.0	21 1 38.20	3	+ 14 25 30.9	65	
11247	9.4	1 45.52	3	+ 19 13 42.1	149	
11248	10.0	1 55.32	3	— 29 33 50.7	153	
11249	9.0	1 58.43	3	+ 15 54 3.1	70	
11250	9.0	1 59.55	3	— 2 11 28.8	72	
11251	10.0	21 2 1.21	2	+ 5 29 20.1	59	
11252	10.0	2 7.39	3	+ 15 51 4.1	158	
11253	10.0	2 9.84	2	— 19 6 26.9	325	
11254	8.3	2 10.80	2	+ 12 10 57.0	83	n
11255	9.5	2 11.53	3	+ 3 52 10.0	66	
11256	9.5	21 2 13.00	3	+ 17 25 18.1	156	
—	9.2	2 12.93	2	+ 17 25 19.4	316	
11257	9.8	2 20.97	4	+ 19 2 36.5	161	
11258	9.7	2 27.95	3	— 4 54 36.0	57	
—	10.0	2 28.08	3	— 4 54 39.0	321	
11259	9.6	21 2 29.49	3	+ 4 43 55.7	71	
11260	9.5	2 30.99	3	— 12 47 51.0	155	
11261	8.0	2 31.09	3	+ 12 14 41.9	68	
—	8.0	2 31.05	3	+ 12 14 40.3	157	
11262	10.0	2 32.93	3	— 6 11 23.7	239	
11263	9.5	21 2 33.94	3	+ 7 3 39.1	62	
11264	8.0	2 34.74	3	— 6 48 49.3	324	
11265	10.0	2 36.05	1	+ 9 54 13.6	65	
—	9.5	2 36.01	3	+ 9 54 13.1	312	
11266	9.0	2 38.69	4	+ 6 51 50.5	374	
11267	9.2	21 2 42.28	3	— 3 33 34.4	372	
11268	9.0	2 42.60	3	— 21 31 52.1	373	
11269	10.0	2 48.02	3	+ 16 48 1.8	149	
11270	9.5	2 51.36	2	+ 10 27 41.9	375	
—	10.0	2 51.42	3	+ 10 27 43.0	378	
11271	8.5	21 2 52.11	3	— 24 53 14.1	241	
11272	8.3	2 52.36	3	+ 9 20 8.0	317	
11273	10.0	2 55.34	4	+ 0 46 26.3	392	
11274	9.0	2 56.69	3	+ 21 34 26.1	240	
11275	10.0	2 58.17	3	+ 8 20 34.6	242	
11276	9.0	21 2 59.16	3	+ 16 38 33.3	161	
11277	10.0	3 11.79	2	+ 16 45 37.9	158	
11278	10.0	3 14.90	4	+ 3 40 44.2	235	
—	10.0	3 15.13	2	+ 3 40 44.1	315	
11279	9.0	3 16.77	2	+ 7 3 51.5	71	
—	8.5	21 3 16.88	3	+ 7 3 51.8	310	
—	9.0	3 16.63	2	+ 7 3 52.5	312	
—	9.0	3 16.66	3	+ 7 3 51.0	318	
11280	10.0	3 18.64	2	— 5 34 42.3	321	
—	10.0	3 18.35	3	— 5 34 42.3	377	

No.	Grösse	Rectascension 1880.0 h	m	s	Fäden	Declination 1880.0 °	′	″	Zone	Bemerkungen
11281	10.0	21	3	18.75	1	— 8	20	23.8	324	u
11282	8.7		3	21.99	1	+ 7	2	49.5	312	
11283	9.0		3	23.10	2	+ 3	40	35.9	315	
11284	9.7		3	23.90	4	+ 0	59	27.9	72	
11285	9.0		3	30.85	3	+ 4	51	25.5	320	
11286	9.3	21	3	31.17	4	+11	17	25.8	157	n
11287	10.0		3	32.30	3	+ 2	55	35.2	311	
11288	9.5		3	38.49	3	+ 5	21	0.1	62	
11289	9.0		3	40.89	3	— 6	34	15.5	325	
11290	10.0		3	53.49	3	+19	5	54.7	70	
11291	9.0	21	4	0.00	3	— 3	46	46.8	372	
11292	9.2		4	6.37	3	+ 1	45	8.4	378	
11293	10.0		4	7.36	5	— 9	5	40.5	373	
11294	9.0		4	10.23	2	— 4	23	48.9	239	
11295	9.1		4	10.55	4	+ 2	15	12.2	374	
11296	9.0	21	4	11.40	3	+ 7	14	2.9	310	
11297	10.0		4	13.71	3	+ 8	4	55.0	242	
—	9.5		4	13.65	3	+ 8	4	54.1	320	
11298	10.0		4	16.92	2	+ 7	34	53.3	318	
—	9.4		4	16.83	3	+ 7	34	48.5	375	
11299	10.0	21	4	18.39	2	+ 4	46	42.4	377	u s
11300	9.5		4	18.46	3	— 6	13	52.9	150	
—	9.0		4	18.49	1	— 6	13	49.0	325	
11301	10.0		4	18.48	3	+19	43	20.1	149	
—	10.0		4	18.31	3	+19	43	17.3	240	
—	9.0	21	4	18.69	4	+19	43	20.2	316	
11302	10.0		4	19.94	3	+ 8	9	16.3	323	
11303	9.0		4	20.05	3	— 6	15	2.5	74	
—	9.0		4	19.94	2	— 6	15	1.2	321	
11304	9.5		4	25.00	2	+ 5	18	54.7	59	
11305	9.0	21	4	26.41	4	+ 2	12	26.5	311	
11306	9.0		4	27.12	4	+11	47	3.3	234	
11307	10.0		4	27.32	3	+12	28	17.1	68	
11308	10.0		4	28.30	2	— 0	10	27.5	72	
11309	10.0		4	31.46	3	—15	58	57.8	153	
11310	10.0	21	4	35.65	2	+ 0	32	17.5	67	
11311	10.0		4	39.68	3	—24	32	48.9	241	
11312	10.0		4	40.97	2	+18	34	31.9	158	
—	10.0		4	40.76	3	+18	34	29.5	161	
11313	10.0		4	45.74	3	— 9	51	56.3	64	
—	10.0	21	4	46.01	3	— 9	51	56.2	155	
11314	9.0		4	58.47	3	+18	50	37.3	240	
11315	9.0		5	11.95	4	— 3	53	34.2	60	
11316	8.7		5	16.57	4	—15	26	51.2	69	
11317	10.0		5	19.22	2	+ 9	3	18.9	157	n
11318	10.0	21	5	27.04	3	— 8	26	5.4	150	
11319	10.0		5	42.57	3	+13	18	14.0	68	
11320	10.0		5	47.39	3	+15	27	34.8	70	
11321	9.0		5	48.36	3	—12	24	17.4	155	
11322	10.0		5	56.33	2	+ 0	16	45.7	67	
11323	10.0	21	5	57.53	3	+ 0	1	37.2	72	
11324	10.5		5	59.67	3	+17	54	50.1	149	
—	10.0		5	59.67	2	+17	54	49.3	317	
11325	9.0		6	1.12	2	—16	20	22.5	152	
11326	10.0		6	3.41	3	+21	14	42.3	158	
—	9.2	21	6	3.49	3	+21	14	41.6	316	
11327	9.0		6	4.91	4	+ 4	14	4.2	59	
11328	9.2		6	9.44	3	— 2	23	53.9	311	
11329	9.0		6	14.67	3	+ 7	9	53.8	62	
—	9.5		6	14.60	3	+ 7	9	52.4	66	
11330	10.0	21	6	20.07	3	+15	24	47.8	240	
11331	9.3		6	21.58	4	— 6	43	26.2	74	
11332	9.1		6	24.08	4	+12	45	27.2	83	
11333	8.0		6	24.44	4	+ 1	51	47.7	310	
11334	9.7		6	25.34	3	— 2	8	0.0	323	n
11335	7.5	21	6	25.53	6	+17	15	54.5	318	
—	8.0		6	25.61	4	+17	15	53.5	322	
11336	9.5		6	25.79	3	+15	7	14.2	161	
11337	9.5		6	29.94	3	+ 9	51	51.7	75	
11338	9.8		6	34.63	4	+10	34	19.2	157	
11339	9.6	21	6	34.99	3	— 7	15	55.9	60	
11340	10.0		6	36.55	3	—30	41	19.6	153	
11341	10.0		6	37.72	3	+ 3	10	52.6	235	
11342	9.8		6	38.00	3	—25	40	13.0	69	
11343	8.0		6	48.58	4	+10	11	51.9	234	
11344	10.0	21	6	49.34	3	— 2	31	14.2	320	
11345	9.5		6	49.43	3	+18	49	5.1	317	
11346	9.5		6	49.63	2	+20	38	58.5	316	
11347	10.0		6	54.65	4	+ 1	39	1.9	372	
11348	10.0		7	1.22	2	+ 9	25	2.2	68	
11349	9.0	21	7	1.62	4	+ 6	45	3.6	71	
11350	10.0		7	2.56	3	+18	47	37.3	149	
11351	10.0		7	4.07	3	—27	51	51.0	241	
11352	8.0		7	14.25	3	+15	5	45.6	161	
11353	9.0		7	15.08	3	—18	6	14.1	152	
11354	10.0	21	7	18.03	3	+ 9	58	21.7	312	
—	10.0		7	17.87	1	+ 9	58	19.2	374	
—	10.0		7	17.95	3	+ 9	58	17.9	375	
11355	9.5		7	19.53	3	—11	16	3.5	155	
11356	10.0		7	24.11	3	+17	31	56.1	70	n
11357	9.0	21	7	25.63	4	—14	11	1.6	324	
11358	9.8		7	28.96	3	+ 1	41	40.6	72	
11359	9.1		7	35.77	3	+13	42	21.7	315	
11360	8.0		7	36.91	1	—23	22	23.1	241	
11361	10.0		7	37.67	1	— 7	17	52.6	150	
—	11.0	21	7	37.45	1	— 7	17	48.2	373	u
11362	8.0		7	47.68	2	—31	28	39.9	69	
11363	10.0		7	50.00	3	+19	35	3.2	158	n
11364	10.0		7	50.40	2	— 8	43	21.8	60	
11365	9.5		7	52.94	2	+14	11	43.8	75	

No.	Grösse	Rectascension 1880.0 h m s	Fäden	Declination 1880.0 ° ′ ″	Zone	Bemerkungen
—	10.0	21 7 52.99	3	+ 14 11 43.7	318	
11366	9.2	7 56.66	3	— 14 48 54.8	325	
11367	10.0	7 59.59	3	— 2 28 23.5	311	
11368	10.0	8 0.40	3	+ 3 38 14.4	59	
11369	9.0	8 0.57	1	+ 17 30 3.7	70	
11370	9.0	21 8 1.25	3	+ 19 36 25.2	317	
11371	10.0	8 10.27	3	+ 10 36 3.0	83	
11372	10.0	8 12.67	2	— 3 31 31.3	74	
11373	9.0	8 15.19	3	— 18 4 9.8	153	
11374	9.0	8 15.47	3	+ 16 44 33.8	240	
11375	10.0	21 8 15.74	2	+ 12 44 2.1	68	
—	9.5	8 15.77	3	+ 12 43 59.8	157	
11376	9.0	8 25.02	4	+ 10 41 27.2	234	
11377	10.0	8 28.05	3	+ 8 12 12.0	62	
—	10.0	8 28.04	3	+ 8 12 12.5	71	
11378	8.2	21 8 37.80	3	— 2 31 49.0	72	
11379	9.3	8 40.21	3	+ 3 56 1.6	66	
11380	10.0	8 44.38	2	+ 2 58 50.4	320	
11381	10.0	8 45.74	3	+ 0 17 24.7	321	
11382	10.0	8 48.62	3	+ 8 5 42.9	242	
11383	9.7	21 8 49.83	3	+ 19 26 36.8	149	
11384	9.0	8 54.00	3	+ 4 6 10.3	310	
11385	9.0	8 54.71	3	— 16 35 18.7	152	n
11386	10.0	8 56.81	3	— 10 56 53.5	155	
11387	9.2	9 1.10	2	+ 8 29 52.4	322	
11388	9.0	21 9 3.06	2	— 6 30 19.1	239	
11389	10.0	9 6.95	3	+ 15 29 58.0	161	n
11390	10.0	9 9.19	3	+ 1 45 11.2	311	
11391	10.0	9 15.38	3	+ 2 55 18.3	372	
11392	11.0	9 18.98	2	+ 6 28 50.1	315	
11393	9.2	21 9 21.20	3	+ 14 37 57.2	312	
11394	9.5	9 23.96	4	+ 4 25 45.4	59	
11395	10.0	9 28.43	3	+ 14 37 20.9	83	
11396	9.8	9 31.97	3	— 8 31 28.7	150	
11397	10.0	9 35.57	2	+ 10 30 59.0	317	
11398	9.6	21 9 42.32	3	+ 15 58 9.9	158	
11399	9.5	9 42.68	2	+ 21 5 39.0	70	
—	9.0	9 42.89	3	+ 21 5 40.0	316	
11400	10.0	9 44.39	2	+ 6 31 50.4	315	
11401	9.0	9 44.43	3	— 31 32 34.4	153	
11402	10.0	21 9 45.32	3	+ 1 7 50.3	373	
11403	8.2	9 47.62	3	— 23 18 36.4	241	
11404	9.0	9 52.73	4	+ 8 16 43.7	323	
11405	10.0	9 54.65	1	— 7 15 26.9	74	
11406	9.2	9 54.69	3	— 2 27 38.8	311	
11407	9.8	21 9 54.76	3	— 27 23 58.7	69	
11408	9.0	9 58.43	3	+ 6 49 18.7	374	
11409	9.5	9 59.32	3	+ 17 49 51.5	149	
11410	10.0	10 0.71	3	— 24 24 25.1	325	
11411	10.0	10 1.16	3	— 7 13 59.5	324	
11412	9.0	21 10 1.76	2	+ 7 14 43.5	320	
—	9.0	10 1.80	3	+ 7 14 41.5	375	
11413	9.2	10 7.46	4	+ 3 57 53.1	376	
11414	9.8	10 8.35	4	— 2 43 47.4	67	n
11415	8.0	10 8.84	3	+ 3 54 24.1	318	
11416	10.0	21 10 15.17	2	— 17 44 54.9	152	
11417	9.0	10 18.38	3	+ 11 52 50.3	326	
11418	10.5	10 25.88	1	+ 18 37 47.7	161	
—	10.0	10 26.25	2	+ 18 37 48.2	317	
11419	10.0	10 27.72	3	— 9 40 23.2	155	
11420	9.0	21 10 31.57	3	+ 14 41 39.6	312	
11421	9.8	10 33.28	1	+ 3 2 37.5	315	
—	9.5	10 33.00	1	+ 3 2 38.8	318	u
11422	9.5	10 37.46	3	+ 2 55 57.7	374	n
11423	9.0	10 40.08	4	— 2 53 13.8	372	
11424	9.0	21 10 45.56	3	— 18 34 43.6	241	
—	10.0	10 45.74	3	— 18 34 43.8	373	
11425	9.6	10 45.67	3	+ 20 38 35.8	149	
11426	10.0	10 49.21	1	— 18 35 46.9	241	n
11427	9.1	10 52.18	6	+ 14 34 45.2	392	
11428	9.5	21 10 54.21	3	+ 4 8 49.7	242	
11429	10.0	10 58.19	2	+ 9 27 14.3	83	
—	10.0	10 58.02	1	+ 9 27 14.2	323	
11430	9.5	11 3.58	2	+ 9 15 26.7	75	
—	10.0	11 3.49	2	+ 9 15 27.1	320	
11431	9.4	21 11 7.44	4	+ 6 38 45.3	59	
11432	10.0	11 7.63	3	— 8 4 1.2	150	
11433	9.2	11 8.32	2	— 22 32 47.2	69	
11434	9.2	11 22.36	3	+ 2 44 22.1	311	
11435	10.0	11 26.34	3	+ 13 38 17.4	157	
11436	9.0	21 11 34.76	3	— 25 31 40.5	153	
11437	10.0	11 34.86	2	+ 0 24 15.1	72	u
11438	10.0	11 38.20	3	+ 5 37 43.5	242	
11439	10.0	11 45.00	3	+ 7 41 10.4	62	
11440	10.0	11 45.68	3	+ 12 0 50.1	68	n
11441	9.2	21 11 46.85	3	+ 11 51 19.3	312	
11442	10.0	11 49.23	2	+ 17 24 57.6	149	
11443	8.0	11 50.52	3	— 0 20 6.2	326	
11444	10.0	11 50.64	4	— 18 2 9.4	152	a n
11445	9.0	11 52.42	3	+ 18 39 32.7	158	
—	10.0	21 11 52.34	3	+ 18 39 32.1	240	
11446	10.0	11 59.36	2	— 7 51 38.8	60	
11447	8.5	12 0.42	3	— 13 5 53.8	155	
11448	10.0	12 3.03	1	— 5 50 47.7	325	u
—	10.0	12 3.11	3	— 5 50 49.5	372	
—	10.0	21 12 2.97	1	— 5 50 53.8	377	
11449	9.0	12 7.80	2	+ 13 2 11.3	83	
11450	9.0	12 20.27	3	+ 17 31 33.3	316	
11451	9.5	12 25.29	4	+ 4 52 23.6	59	
11452	10.0	12 31.48	3	— 2 2 10.1	311	

No.	Grösse	Rectascension 1880.0 h m s	Fäden	Declination 1880.0 ° ′ ″	Zone	Bemerkungen
11453	10.0	21 12 31.94	3	+ 8 28 33.7	66	
11454	9.0	12 35.82	3	— 24 16 27.9	153	
11455	10.0	12 37.27	2	— 8 22 57.0	150	
—	10.0	12 37.31	2	— 8 22 56.2	324	
11456	10.0	12 43.70	3	+ 13 35 3.0	235	
11457	9.3	21 12 45.50	4	+ 20 10 50.9	70	
—	9.3	12 45.71	4	+ 20 10 49.5	314	
11458	9.5	12 49.38	3	— 11 11 45.8	373	
11459	9.7	12 50.46	3	+ 6 25 29.1	62	
11460	10.0	12 50.50	3	— 0 56 21.7	320	
11461	10.0	21 12 50.64	2	+ 13 35 22.2	68	
—	10.0	12 50.80	3	+ 13 35 22.8	157	
11462	9.2	12 53.50	3	+ 9 38 1.7	312	
11463	9.0	12 59.27	3	+ 2 44 13.4	326	
11464	10.0	13 2.53	3	+ 4 9 19.8	71	
—	9.0	21 13 2.90	3	+ 4 9 20.0	310	
11465	9.2	13 4.13	3	+ 15 49 3.5	149	
11466	9.0	13 6.16	3	+ 15 8 48.7	158	
—	9.8	13 6.30	3	+ 15 8 47.2	161	
—	10.0	13 6.20	3	+ 15 8 48.7	316	
11467	10.0	21 13 13.96	3	+ 7 18 48.1	242	
11468	10.0	13 15.13	3	+ 13 24 57.1	317	
11469	10.0	13 16.06	1	— 8 45 25.6	374	u
—	10.0	13 15.96	3	— 8 45 33.4	375	
11470	9.7	13 16.73	3	+ 7 3 57.9	59	
11471	10.0	21 13 23.02	3	+ 6 19 29.7	315	
11472	9.2	13 28.49	3	— 6 31 34.5	325	
11473	10.0	13 34.44	1	+ 9 31 9.2	75	
—	9.0	13 34.54	3	+ 9 31 11.1	318	
11474	10.0	13 34.67	2	+ 10 29 48.6	83	
11475	9.8	21 13 34.84	3	— 7 29 45.2	150	
11476	10.0	13 37.41	3	— 17 31 0.7	152	
11477	8.2	13 40.55	3	— 31 27 45.6	69	
11478	10.0	13 44.34	3	+ 17 32 31.8	240	n
11479	10.0	13 54.92	3	+ 19 31 41.6	161	
11480	9.5	21 13 55.40	3	+ 16 49 2.5	314	
11481	10.0	13 56.67	3	— 6 24 35.1	60	
11482	10.0	14 0.27	4	+ 6 56 35.2	323	
11483	10.0	14 3.46	2	+ 7 34 18.1	66	
11484	9.0	14 4.55	3	— 28 14 19.9	153	
—	8.5	21 14 4.65	3	— 28 14 22.3	241	
11485	10.0	14 15.72	3	— 11 35 40.1	155	
11486	10.0	14 17.04	4	— 2 48 49.1	72	
11487	9.1	14 18.78	3	+ 19 48 52.1	149	
11488	10.0	14 20.45	4	+ 5 11 12.1	62	
—	9.1	21 14 20.29	3	+ 5 11 10.5	310	
11489	9.5	14 20.39	3	— 3 29 7.1	324	
11490	10.0	14 24.58	3	+ 12 17 23.2	68	
11491	9.0	14 32.61	2	— 19 20 0.2	152	
11492	9.0	14 35.29	2	+ 3 19 11.3	59	f n
—	9.5	21 14 35.04	3	+ 3 19 11.6	71	
11493	9.0	14 36.60	3	— 20 2 8.7	69	
11494	7.0	14 42.97	3	+ 7 42 16.7	242	
11495	9.2	14 46.51	3	— 2 36 31.1	311	
—	9.0	14 46.21	3	— 2 36 29.1	372	
11496	9.0	21 14 49.88	3	+ 12 59 20.1	75	
11497	9.8	14 50.49	3	— 3 34 3.9	150	
11498	10.0	14 56.19	2	— 9 2 34.2	155	
11499	9.5	14 59.38	3	+ 1 10 51.1	320	
11500	9.0	15 8.89	3	+ 2 34 11.9	326	
11501	10.0	21 15 11.11	1	— 6 18 10.8	325	
11502	10.0	15 13.91	4	— 6 2 55.3	373	
11503	10.0	15 16.13	3	+ 10 31 51.4	157	
11504	9.6	15 17.04	3	+ 14 24 53.2	83	
11505	9.2	15 18.56	2	+ 9 29 12.7	312	
11506	9.0	21 15 20.53	3	— 23 55 50.5	153	
11507	9.0	15 20.83	3	+ 12 57 39.4	317	
11508	8.0	15 31.58	4	— 3 42 28.6	60	
—	8.0	15 31.57	2	— 3 42 32.9	324	
11509	8.0	15 33.25	3	+ 3 27 25.7	62	
11510	9.0	21 15 33.57	3	+ 14 26 39.2	323	
11511	10.0	15 36.23	3	— 1 56 9.6	311	
11512	10.0	15 37.76	1	+ 4 19 30.5	310	
11513	10.0	15 38.80	3	+ 9 30 22.3	318	
11514	9.8	15 38.91	3	+ 17 21 46.1	158	
11515	10.0	21 15 45.60	2	— 1 54 46.3	326	
11516	8.3	15 45.73	3	+ 2 0 5.3	372	
11517	9.0	15 49.14	4	+ 8 5 40.0	374	
11518	9.0	15 52.34	3	— 31 19 35.6	241	
—	7.5	15 52.31	3	— 31 19 41.5	375	
11519	9.5	21 15 54.28	3	+ 16 15 17.1	149	
11520	10.0	15 55.21	2	+ 11 23 25.9	312	
11521	9.5	15 58.33	2	— 28 36 38.5	69	
11522	9.5	16 11.20	3	— 3 34 2.4	150	
11523	9.2	16 11.66	2	+ 16 27 25.6	314	
11524	9.7	21 16 12.27	3	+ 1 33 32.0	320	
11525	10.0	16 14.17	3	+ 8 16 27.5	66	
11526	10.0	16 16.67	2	+ 8 15 25.9	242	
11527	9.0	16 19.65	3	— 2 25 42.6	378	
11528	9.5	16 20.91	3	+ 9 53 53.8	75	
—	10.0	21 16 20.66	3	+ 9 53 53.7	318	
11529	8.2	16 23.13	2	+ 17 35 54.8	376	
11530	10.0	16 29.11	3	+ 17 33 59.2	316	
—	8.5	16 29.43	1	+ 17 33 58.6	376	
11531	9.0	16 30.13	3	+ 19 17 55.7	317	
11532	9.0	21 16 31.58	6	+ 16 14 0.9	380	
11533	9.0	16 33.26	2	— 3 5 32.5	324	
11534	9.0	16 34.94	3	+ 16 24 28.5	314	
11535	10.0	16 37.33	1	+ 0 30 47.3	311	u
11536	10.0	16 37.40	4	+ 10 21 41.8	377	

No.	Grösse	Rectascension 1880.0 (h m s)	Fäden	Declination 1880.0 (° ′ ″)	Zone	Bemerkungen
11537	10.0	21 16 37.51	3	− 9 45 33.3	155	n
11538	9.7	16 38.21	3	+ 20 23 25.5	149	
11539	9.5	16 39.92	3	+ 7 31 42.3	323	
11540	8.8	16 41.60	3	+ 3 35 20.3	59	
11541	9.6	16 42.09	3	− 18 47 57.6	152	
11542	9.7	21 16 44.31	3	+ 11 35 58.3	83	
11543	10.0	16 47.93	2	− 7 2 15.8	60	
11544	9.2	16 52.32	3	+ 12 58 4.9	372	
11545	10.0	16 58.59	1	+ 5 51 19.2	374	u
11546	9.5	17 2.30	3	− 5 29 30.5	150	
11547	10.0	21 17 8.47	3	+ 11 46 13.7	312	
11548	9.0	17 10.18	4	+ 3 39 15.0	375	
11549	10.0	17 10.79	3	+ 4 24 41.3	379	
11550	10.0	17 19.27	2	+ 4 26 9.0	378	n
11551	9.0	17 22.28	4	− 20 7 59.0	153	n
—	9.1	21 17 22.32	3	− 20 7 59.3	373	
11552	9.2	17 26.64	4	− 20 18 28.9	392	
11553	9.0	17 32.01	3	− 31 37 3.3	69	
11554	9.0	17 33.98	4	+ 4 55 27.3	66	
—	9.0	17 33.99	3	+ 4 55 28.8	310	
11555	10.0	21 17 40.57	3	− 9 5 11.5	155	
—	10.0	17 40.65	1	− 9 5 —	324	u
11556	9.0	17 44.05	3	+ 4 13 3.6	242	
11557	10.0	17 50.38	2	+ 7 38 4.2	315	
11558	10.0	17 52.43	2	+ 9 35 28.2	157	
—	10.0	21 17 52.62	2	+ 9 35 26.7	317	
11559	9.8	17 53.16	3	+ 16 57 33.7	149	
—	10.0	17 53.04	3	+ 16 57 32.6	316	
11560	9.7	17 53.66	2	− 2 25 42.6	67	
11561	10.0	17 56.61	1	+ 11 46 44.2	83	
11562	9.0	21 17 58.96	3	+ 18 57 54.8	161	
11563	10.0	18 1.19	3	− 14 44 40.9	377	
11564	10.0	18 7.82	3	+ 19 0 33.8	156	
11565	9.0	18 10.91	3	+ 19 44 53.7	314	
11566	10.0	18 12.50	3	− 19 28 5.3	152	
11567	9.5	21 18 14.34	3	+ 6 51 15.4	62	
11568	10.0	18 16.33	3	+ 5 51 11.5	318	
11569	8.9	18 16.40	3	− 8 26 19.3	60	
11570	9.0	18 17.98	3	− 16 29 42.4	153	
11571	9.2	18 19.99	3	− 9 10 8.3	325	
11572	9.5	21 18 20.13	3	+ 8 8 35.2	323	
11573	9.5	18 22.06	3	− 1 7 0.3	311	
11574	9.0	18 23.16	1	− 14 52 39.7	155	
11575	9.5	18 25.12	3	+ 8 20 31.5	326	
11576	10.0	18 30.35	2	+ 7 8 47.5	242	
11577	9.4	21 18 35.72	3	+ 12 49 45.3	75	
11578	10.0	18 42.37	3	+ 0 36 3.2	320	
11579	8.5	18 51.77	2	− 22 10 43.3	152	
11580	10.0	18 52.34	1	− 0 22 19.9	327	u
11581	9.0	18 55.66	6	− 30 26 42.9	373	
11582	9.2	21 18 58.92	2	− 1 11 45.7	67	
11583	9.0	18 59.68	1	+ 19 43 45.9	70	u n
—	9.0	18 59.32	5	+ 19 43 41.1	71	
11584	10.0	19 4.20	1	− 5 46 34.2	74	
—	10.5	19 4.34	2	− 5 46 36.5	150	u s
11585	9.5	21 19 5.93	1	− 14 52 58.7	155	n
11586	9.0	19 11.06	6	− 11 2 11.8	372	
11587	10.0	19 21.31	3	+ 16 55 47.2	149	
—	10.0	19 21.50	2	+ 16 55 48.3	314	
11588	9.0	19 22.68	3	− 13 34 49.3	324	
11589	9.0	21 19 24.82	3	+ 17 36 45.6	156	
11590	9.0	19 28.81	3	+ 10 4 51.5	157	
11591	9.5	19 32.64	3	+ 15 29 11.6	159	
11592	9.7	19 34.12	3	− 2 0 29.7	311	
11593	10.0	19 36.26	3	+ 17 56 37.7	161	n
11594	10.0	21 19 41.33	3	+ 9 29 2.9	312	
11595	10.0	19 47.04	3	+ 7 22 36.9	310	n
11596	9.8	19 53.37	4	+ 10 10 57.5	83	
11597	10.0	19 54.51	2	+ 7 14 34.4	59	u
—	10.0	19 54.57	1	+ 7 14 32.5	78	u
11598	10.0	21 19 55.86	3	+ 9 22 29.3	85	
11599	9.0	19 55.95	4	− 1 6 30.7	320	
11600	10.0	19 56.31	2	− 0 15 43.5	323	
11601	10.0	19 59.25	3	+ 16 19 26.3	316	
11602	9.5	20 5.32	3	+ 18 49 46.7	72	n
11603	9.0	21 20 18.13	3	+ 12 1 8.9	75	
11604	8.2	20 19.56	2	− 31 22 0.0	241	
11605	10.0	20 26.47	3	+ 8 23 56.9	62	
11606	9.0	20 38.60	3	− 3 19 37.5	60	
11607	10.0	20 39.72	3	− 5 44 55.1	150	n
11608	8.0	21 20 41.86	2	+ 4 55 51.5	66	
—	9.2	20 41.90	3	+ 4 55 50.1	310	
11609	10.0	20 44.95	2	+ 2 30 37.4	311	
11610	10.0	20 48.52	3	− 0 4 11.3	326	
11611	9.0	20 50.91	3	− 13 3 1.0	155	
11612	8.0	21 20 55.46	3	+ 7 24 5.5	242	
11613	10.0	20 56.80	2	+ 9 23 47.8	157	
11614	10.0	21 3.80	3	+ 9 33 26.8	312	
11615	8.0	21 6.77	4	+ 20 11 41.3	149	
11616	9.0	21 9.99	4	− 3 17 23.3	77	
—	9.0	21 21 9.53	3	− 3 17 22.4	327	
11617	9.3	21 16.84	3	+ 6 33 0.0	59	
11618	7.9	21 22.54	6	− 22 14 19.9	373	
—	8.0	21 22.47	6	− 22 14 22.6	376	
11619	9.0	21 24.32	3	− 16 45 53.3	69	
11620	10.0	21 21 27.16	3	− 9 11 18.2	324	
11621	10.0	21 28.25	3	− 10 9 21.4	325	
11622	10.0	21 29.86	4	+ 4 16 5.3	62	
11623	10.0	21 31.89	3	+ 16 50 14.7	159	
11624	9.6	21 34.49	4	− 2 37 14.4	67	

No.	Grösse	Rectascension 1880.0 h m s	Fäden	Declination 1880.0 ° ' "	Zone	Bemerkungen
11625	9.5	21 21 36.20	3	+ 15 39 29.2	156	
11626	9.8	21 40.21	3	+ 16 12 19.2	161	
11627	9.0	21 41.24	3	— 17 46 44.8	152	
11628	10.0	21 42.24	2	— 10 28 7.1	155	
11629	10.0	21 42.37	3	— 0 59 47.8	320	
11630	10.0	21 21 47.32	3	— 28 28 53.0	153	
11631	9.5	21 49.74	3	+ 7 48 41.7	71	
11632	10.0	21 52.78	3	+ 20 28 17.8	314	
11633	11.0	21 58.76	1	— 0 14 7.6	380	u s
11634	9.0	22 6.84	1	+ 0 10 12.7	72	
11635	10.0	21 22 7.03	2	+ 2 0 29.8	311	
11636	9.5	22 10.32	3	+ 16 55 19.3	316	
11637	10.0	22 11.24	4	+ 8 42 54.8	74	
11638	9.2	22 14.56	3	+ 20 36 31.5	317	
11639	9.1	22 14.79	3	+ 19 14 40.9	84	
11640	10.0	21 22 19.99	3	— 16 36 29.8	152	
11641	10.0	22 20.35	1	+ 4 14 9.3	78	u
—	10.0	22 20.12	3	+ 4 14 12.7	374	
11642	10.0	22 22.45	4	+ 18 13 44.4	323	
11643	9.5	22 24.72	1	+ 16 0 31.5	327	
11644	9.5	21 22 24.97	3	+ 4 15 38.3	310	
11645	6.5	22 29.83	4	+ 7 40 27.5	66	
11646	9.0	22 30.20	3	+ 15 6 13.0	149	
11647	9.9	22 32.59	2	— 0 12 6.2	67	
11648	10.5	22 34.07	2	+ 15 41 17.6	156	u n
11649	10.5	21 22 37.69	2	— 7 40 46.8	150	
—	10.0	22 37.64	3	— 7 40 45.7	375	
11650	9.7	22 44.52	2	+ 7 11 45.2	59	
—	10.0	22 44.15	3	+ 7 11 43.6	315	
11651	9.6	22 46.03	3	— 7 13 34.7	60	
11652	11.0	21 22 47.34	1	+ 7 44 22.0	242	u n
11653	9.0	22 47.35	4	— 20 17 23.1	241	
11654	9.7	22 52.23	3	— 2 5 11.5	320	
11655	9.5	22 52.53	3	+ 5 53 16.0	318	
11656	10.0	22 57.61	3	+ 4 17 27.9	62	
11657	9.0	21 22 58.83	3	+ 10 35 45.6	312	
11658	9.7	23 4.59	3	+ 7 53 39.4	71	
11659	10.0	23 11.64	3	+ 16 23 41.9	314	
11660	10.0	23 12.78	2	+ 10 29 12.6	83	
11661	9.7	23 14.74	2	+ 8 17 31.9	74	
—	10.0	21 23 14.78	1	+ 8 17 32.9	315	
11662	10.0	23 17.86	3	— 8 23 43.9	77	
11663	9.2	23 19.16	3	— 29 21 51.8	69	
11664	9.3	23 23.60	5	— 13 1 35.5	155	
—	9.0	23 23.52	4	— 13 1 36.7	325	
11665	9.5	21 23 25.78	2	+ 10 42 7.9	75	n
11666	9.2	23 30.85	3	+ 18 16 46.1	316	
11667	9.0	23 39.12	3	— 16 49 45.8	152	
11668	9.3	23 39.83	3	+ 10 44 12.4	312	
—	10.0	23 39.69	2	+ 10 44 11.5	374	
11669	9.9	21 23 41.64	2	— 7 8 7.5	60	
11670	9.5	23 42.75	3	— 10 50 35.6	324	
11671	9.0	23 47.15	4	+ 18 32 52.1	84	
11672	7.5	23 47.32	3	— 26 14 27.7	153	n
11673	9.0	23 49.53	3	+ 15 43 51.4	158	
—	8.5	21 23 49.24	3	+ 15 43 54.4	317	
11674	10.0	23 58.11	3	+ 5 47 26.6	310	
11675	10.0	23 58.50	3	+ 16 30 22.7	161	
11676	8.9	23 58.51	3	— 3 19 29.9	392	
11677	9.5	23 58.58	3	+ 1 29 54.1	67	
11678	9.5	21 24 2.02	2	+ 16 47 20.2	149	a
11679	8.5	24 2.60	3	+ 15 40 25.9	317	
11680	10.0	24 9.13	3	+ 19 3 18.3	314	
11681	9.3	24 10.32	2	+ 2 52 44.1	72	a
11682	10.0	24 14.89	2	— 4 16 0.1	375	n
11683	8.0	21 24 30.78	3	+ 18 3 15.0	158	
11684	10.0	24 43.51	2	+ 19 5 20.7	316	
11685	8.9	25 0.15	2	+ 15 49 16.0	84	
11686	10.0	25 0.32	3	+ 6 24 —	318	A
—	10.0	25 0.48	3	+ 6 24 —	376	
11687	9.5	21 25 3.49	2	— 9 33 36.4	324	
11688	10.0	25 7.74	3	+ 7 41 2.1	242	
—	10.0	25 8.12	3	+ 7 40 59.8	315	
11689	8.0	25 9.44	4	+ 5 3 7.6	71	
11690	9.7	25 10.76	3	+ 5 42 44.4	74	
11691	9.0	21 25 18.27	3	+ 2 15 16.9	311	
11692	10.5	25 21.66	3	— 8 42 54.6	77	
11693	9.0	25 21.95	1	+ 15 46 28.8	317	
—	9.0	25 21.81	3	+ 15 46 27.0	323	
11694	9.0	25 23.49	4	— 23 35 17.9	69	
11695	9.0	21 25 24.35	1	+ 1 9 —	67	
11696	10.0	25 25.50	3	— 8 41 26.0	377	
11697	10.0	25 26.19	3	+ 2 6 2.6	326	
11698	9.0	25 26.33	4	— 13 17 39.0	325	
11699	9.0	25 32.20	3	+ 12 59 11.2	75	
11700	9.0	21 25 36.21	4	+ 3 36 21.5	327	
11701	9.6	25 37.02	3	+ 18 3 53.5	159	
11702	9.9	25 38.89	3	+ 10 39 50.0	83	
11703	8.0	25 38.92	3	— 21 28 53.8	152	n
11704	9.8	25 39.28	3	+ 2 47 0.1	72	
11705	9.0	21 25 40.36	3	+ 15 57 26.1	161	
11706	9.0	25 44.02	3	— 24 40 48.0	153	
11707	10.0	25 44.53	3	+ 16 23 34.8	314	
11708	10.0	25 48.09	3	+ 11 21 41.0	85	
11709	8.0	25 54.96	3	+ 4 45 52.7	71	
11710	9.2	21 25 55.03	2	+ 5 20 47.1	74	
11711	9.0	25 55.14	4	+ 16 28 10.4	156	n
11712	10.0	25 57.43	4	+ 2 46 27.8	379	
11713	9.0	26 4.45	3	— 2 29 17.2	311	
—	9.0	26 4.12	3	— 2 29 16.8	375	

No.	Grösse	Rectascension 1880.0 h m s	Fäden	Declination 1880.0 ° ′ ″	Zone	Bemerkungen
11714	10.0	21 26 8.27	3	+ 9 37 47.8	312	
11715	9.8	26 11.19	3	+11 21 23.0	377	
11716	9.6	26 11.24	3	+17 15 33.7	158	
11717	9.5	26 12.29	2	+ 2 49 26.4	326	
11718	10.0	26 14.65	1	+ 7 11 22.0	318	n
11719	9.5	21 26 17.47	3	− 9 38 59.7	325	
11720	9.5	26 18.45	2	− 3 34 51.4	77	
11721	10.0	26 26.67	2	−15 50 48.4	153	
11722	10.0	26 29.28	1	+20 18 50.2	161	n
11723	9.3	26 30.03	3	+ 1 8 35.3	67	
11724	9.7	21 26 32.66	3	+19 26 50.9	149	
11725	8.0	26 32.78	4	+ 6 39 56.8	392	
11726	9.2	26 34.92	3	−10 18 58.4	324	
11727	8.0	26 38.03	3	−21 48 21.2	152	
11728	10.0	26 40.40	3	+ 4 44 23.8	62	
—	10.0	21 26 40.12	3	+ 4 44 19.8	315	
11729	9.8	26 46.23	3	+ 5 30 41.0	59	
11730	10.0	26 46.28	3	+19 26 14.1	314	
—	10.0	26 46.25	3	+19 26 12.8	376	
11731	8.8	26 46.44	4	+16 18 5.4	84	
11732	9.0	21 26 48.18	3	−25 46 4.6	241	
11733	10.0	26 48.35	3	−10 8 50.2	155	
11734	10.0	26 48.81	2	+ 6 37 20.1	323	
11735	9.7	26 49.57	3	− 6 30 44.6	60	
11736	9.3	26 50.48	3	+17 16 41.8	316	
11737	10.0	21 26 51.14	4	+20 27 58.4	322	n
11738	10.0	27 0.51	3	− 2 25 51.6	320	
11739	10.0	27 7.95	1	+ 2 46 8.1	72	
11740	10.0	27 8.88	2	+ 6 41 33.9	375	n
11741	10.0	27 11.42	1	+13 14 12.8	85	
11742	9.5	21 27 12.39	3	+19 21 16.8	158	
11743	9.5	27 16.30	3	+ 9 51 33.9	83	
11744	9.0	27 21.99	3	+10 57 20.6	312	
11745	8.0	27 24.28	3	+17 11 33.9	156	
11746	10.0	27 25.11	2	+ 8 46 55.4	71	
11747	9.8	21 27 28.96	3	+16 49 21.3	159	
11748	10.0	27 29.60	3	− 9 6 23.7	150	
11749	10.0	27 32.23	3	+ 5 9 7.5	74	
11750	10.0	27 49.04	3	+ 0 55 34.6	374	
11751	10.0	27 54.37	3	−11 27 10.9	155	
11752	8.2	21 27 56.10	3	+ 0 51 0.2	311	
11753	9.3	27 58.67	4	− 8 6 42.3	77	
11754	10.0	27 58.99	3	−21 53 10.5	153	
11755	10.0	28 2.49	3	+ 8 56 21.5	62	
11756	9.0	28 2.85	3	+ 4 23 37.0	78	
—	9.0	21 28 2.75	3	+ 4 23 37.1	310	
11757	10.5	28 5.35	1	+19 16 24.5	149	u
—	10.0	28 5.84	3	+19 16 22.8	317	
11758	6.8	28 9.68	3	−20 46 59.2	152	
11759	9.9	28 16.61	3	+ 6 49 5.3	59	
11760	9.5	21 28 21.49	3	− 8 37 42.6	60	
11761	9.5	28 22.05	3	+18 15 21.4	161	n
11762	9.1	28 27.62	2	− 2 31 41.8	311	
11763	9.0	28 35.92	4	+ 4 51 7.3	66	
11764	10.0	28 40.34	3	+19 19 25.4	158	
11765	10.0	21 28 40.84	3	−16 1 8.0	241	
11766	9.0	28 43.16	3	+ 5 6 28.8	71	
11767	8.2	28 45.11	4	+18 46 27.0	156	
11768	9.5	28 49.88	4	+20 16 57.0	84	
11769	10.0	29 4.92	2	+ 6 44 47.6	74	u
—	10.0	21 29 5.00	3	+ 6 44 48.2	312	
11770	10.0	29 6.50	3	− 7 57 7.9	150	
11771	10.0	29 7.29	3	+ 3 1 22.7	242	
11772	9.7	29 19.16	3	− 1 45 0.0	72	
11773	9.5	29 19.33	3	− 2 33 4.8	67	n
11774	9.0	21 29 23.20	3	−20 57 39.1	152	
11775	9.6	29 27.17	3	+11 2 52.0	83	
—	10.0	29 27.32	2	+11 2 50.2	85	
11776	9.0	29 31.32	4	− 5 46 54.7	324	
11777	10.0	29 32.01	3	+17 46 21.0	159	n
11778	10.0	21 29 34.21	3	+ 0 27 17.5	320	
11779	9.0	29 40.24	3	−31 15 35.8	153	
11780	9.8	29 41.52	4	+ 6 26 3.0	62	
11781	9.2	29 44.54	4	+15 12 59.5	87	
11782	11.0	29 50.75	1	+ 6 55 5.6	71	
—	10.0	21 29 50.78	2	+ 6 55 6.4	312	
11783	9.3	29 52.37	3	+ 1 40 29.1	311	
11784	9.3	29 53.38	4	+20 0 19.2	158	
11785	8.0	29 55.74	4	+ 4 56 26.9	59	
11786	9.5	29 58.22	3	+ 6 58 7.7	310	
11787	10.0	21 29 59.22	3	− 1 50 21.4	323	
11788	10.0	30 3.94	3	+ 4 58 17.0	315	
11789	9.5	30 5.99	3	+18 35 58.1	314	
11790	10.0	30 8.67	3	− 6 32 13.5	60	
11791	10.0	30 9.96	2	+18 22 15.8	156	n
11792	9.6	21 30 10.72	3	− 9 16 15.8	150	
11793	9.8	30 17.67	2	+ 4 49 29.2	74	f
—	9.0	30 17.95	3	+ 4 49 29.6	318	
11794	10.0	30 17.92	3	+18 20 12.0	161	n
11795	9.0	30 18.65	3	−31 17 56.0	153	
11796	10.0	21 30 18.87	2	+ 1 2 34.4	325	
11797	10.0	30 19.37	2	− 0 0 49.3	72	
11798	10.0	30 20.61	3	+ 1 1 29.6	374	
—	9.2	30 20.56	2	+ 1 1 32.7	375	
11799	9.0	30 20.89	3	−15 56 2.9	69	
11800	10.0	21 30 24.84	3	−13 6 21.1	155	n
11801	9.9	30 36.52	3	+15 50 42.8	87	
11802	9.5	30 37.32	3	+11 19 9.9	83	n
11803	9.2	30 49.49	3	− 1 59 40.3	67	
11804	8.0	30 51.13	2	−20 58 2.4	154	n

No.	Grösse	Rectascension 1880.0 h m s	Fäden	Declination 1880.0 ° ′ ″	Zone	Bemerkungen
11805	8.0	21 30 54.00	4	+ 11 19 59.0	75	
—	8.5	30 54.14	3	+ 11 19 —	83	
—	8.5	30 53.89	3	+ 11 19 58.6	317	
11806	9.5	31 0.87	2	+ 9 20 9.2	312	
11807	11.0	31 3.36	2	+ 13 1 4.1	159	u n
11808	10.0	21 31 4.12	2	+ 9 44 15.1	318	
11809	9.5	31 13.91	4	— 10 32 28.7	155	
11810	10.0	31 16.42	3	+ 15 55 15.0	158	
11811	10.0	31 17.74	4	+ 12 53 51.3	78	n
11812	9.8	31 18.90	3	— 7 28 17.9	77	
11813	9.0	21 31 27.04	3	+ 0 54 2.1	311	n
11814	7.0	31 27.75	5	+ 4 8 39.2	59	
11815	8.0	31 30.95	3	— 9 14 3.7	150	
11816	10.0	31 32.64	3	+ 0 54 3.0	323	
11817	10.0	31 34.41	3	+ 2 31 25.2	320	
11818	10.0	21 31 35.43	3	+ 13 23 53.8	161	n
11819	9.0	31 35.94	3	— 9 7 48.9	324	
11820	10.0	31 36.24	3	+ 1 9 11.3	72	
11821	9.1	31 38.64	1	+ 20 51 23.0	87	
11822	10.0	31 41.63	4	+ 7 51 44.6	62	
11823	10.0	21 31 47.66	4	+ 5 13 58.5	71	
11824	10.0	31 51.16	2	+ 19 45 33.3	158	
11825	9.5	31 57.47	3	+ 9 42 45.4	312	
11826	9.0	31 57.90	3	— 16 8 15.8	69	
11827	10.0	32 9.51	4	+ 11 47 44.6	85	
11828	9.0	21 32 13.75	2	+ 13 27 42.8	75	
11829	10.0	32 14.90	3	+ 6 5 35.5	66	
11830	8.0	32 15.48	3	— 30 50 44.9	153	
11831	10.0	32 16.70	3	— 0 11 47.0	67	
11832	9.0	32 16.93	3	+ 4 48 35.2	74	
11833	9.0	21 32 31.22	3	— 8 55 38.1	151	
11834	10.0	32 32.58	3	+ 8 28 17.3	242	
11835	10.0	32 34.64	3	+ 3 13 32.8	310	
11836	10.0	32 36.92	3	+ 6 31 24.7	315	
11837	9.0	32 44.67	3	+ 20 59 29.0	156	
—	10.0	21 32 44.40	3	+ 20 59 27.2	314	
11838	9.0	32 44.90	2	— 18 58 21.4	69	
11839	10.0	32 48.73	3	— 18 57 29.4	152	
11840	10.0	32 52.13	3	— 10 2 2.0	150	
11841	9.0	32 58.38	4	+ 13 32 33.6	83	
11842	8.0	21 33 3.16	3	— 10 52 8.4	155	
11843	10.5	33 8.26	2	— 0 11 12.7	61	
11844	10.5	33 16.56	3	+ 7 45 36.1	62	u
11845	9.3	33 18.12	3	+ 1 45 8.8	311	
11846	7.5	33 20.46	5	— 0 35 34.1	164	
—	7.0	21 33 20.56	3	— 0 35 33.5	320	
—	6.5	33 20.45	4	— 0 35 34.8	327	
11847	9.7	33 27.47	3	— 2 24 5.5	77	
11848	9.0	33 27.90	3	— 8 45 51.9	151	
11849	10.5	33 30.47	1	+ 6 56 29.0	66	

No.	Grösse	Rectascension 1880.0 h m s	Fäden	Declination 1880.0 ° ′ ″	Zone	Bemerkungen
11850	10.0	21 33 32.41	3	+ 6 12 34.2	71	
11851	9.8	33 35.03	4	+ 6 18 35.1	74	
11852	9.9	33 36.73	3	+ 17 19 13.4	84	
11853	9.2	33 40.18	4	+ 11 31 36.2	312	
11854	10.0	33 44.78	4	+ 16 17 33.3	161	n
11855	10.0	21 33 45.85	3	+ 18 47 54.7	158	
11856	9.5	33 46.66	4	+ 6 48 17.9	242	
11857	10.0	33 50.93	4	+ 12 52 9.9	63	
11858	10.0	33 53.25	2	+ 4 13 29.9	310	u
—	10.0	33 53.91	2	+ 4 13 33.0	374	u
—	10.0	21 33 53.65	3	+ 4 13 32.1	376	
11859	10.0	33 54.29	3	+ 1 12 25.9	375	
11860	10.0	34 1.30	3	+ 10 34 2.8	85	
—	10.0	34 1.40	3	+ 10 34 3.3	317	
11861	10.0	34 4.30	2	— 23 19 25.4	153	n
11862	10.0	21 34 5.14	2	+ 1 14 —	67	
—	10.0	34 5.24	2	+ 1 14 41.2	326	u
11863	9.8	34 6.95	3	+ 20 36 28.8	87	
11864	10.0	34 16.43	4	+ 12 27 14.0	78	n
—	10.0	34 16.33	4	+ 12 27 15.2	159	
11865	9.7	21 34 26.49	3	— 4 5 49.1	60	
11866	10.0	34 28.74	4	+ 4 8 33.7	318	
11867	9.0	34 28.89	3	+ 19 57 17.0	156	
—	9.5	34 28.98	2	+ 19 57 18.4	314	
11868	10.0	34 29.23	3	— 10 45 0.5	150	
11869	9.0	21 34 32.68	3	— 18 5 33.2	152	
11870	9.8	34 35.16	3	+ 20 47 3.7	158	
11871	9.6	34 37.21	3	+ 5 43 54.5	71	
11872	10.0	34 39.76	2	+ 3 42 24.4	66	
—	10.0	34 39.82	3	+ 3 42 22.4	315	
11873	11.0	21 34 40.25	1	+ 1 8 46.8	164	u s
—	11.0	34 39.73	3	+ 1 8 54.0	324	s
11874	9.0	34 41.46	3	+ 7 7 49.4	323	dpl. aust.
11875	9.5	34 41.48	3	+ 0 20 4.1	61	
11876	9.0	34 43.00	3	— 22 28 22.6	241	
11877	10.0	21 34 43.15	2	+ 12 3 40.3	83	
11878	10.0	34 46.79	3	+ 0 5 21.8	311	
11879	9.5	34 53.06	1	— 2 5 55.8	320	
11880	9.5	34 54.29	2	— 31 48 22.7	69	
11881	10.5	34 58.83	3	+ 8 54 17.2	62	
11882	10.5	21 35 8.97	2	+ 9 3 54.6	63	
—	10.0	35 8.92	3	+ 9 3 53.4	317	
11883	9.8	35 9.90	3	+ 16 8 53.4	161	
11884	10.0	35 10.69	1	+ 5 14 41.1	59	
—	10.0	35 10.77	3	+ 5 14 39.3	375	
11885	8.9	21 35 13.46	3	+ 18 15 20.6	84	
11886	9.3	35 14.00	3	— 12 16 30.3	151	
—	9.0	35 13.97	3	— 12 16 29.7	155	
11887	10.0	35 19.03	3	+ 1 6 59.2	325	
11888	9.7	35 22.19	3	+ 15 7 41.9	87	

No.	Grösse	Rectascension 1880.0 h m s	Fäden	Declination 1880.0 ° ′ ″	Zone	Bemerkungen
—	9.2	21 35 22.16	3	+ 15 7 39.5	316	
11889	11.0	35 22.92	2	— 8 48 31.7	77	
11890	8.0	35 37.77	2	— 2 15 34.4	324	
11891	10.0	35 37.85	3	+ 10 35 40.6	312	
11892	10.0	35 38.44	1	+ 4 19 19.2	315	
—	10.0	21 35 38.63	3	+ 4 19 20.5	374	
11893	9.5	35 38.90	2	+ 18 19 7.4	86	a
—	9.3	35 38.84	3	+ 18 19 6.7	314	
11894	10.0	35 41.44	2	+ 4 15 50.5	74	
—	10.0	35 41.25	3	+ 4 15 50.8	242	
11895	10.0	21 35 43.02	2	+ 0 6 44.1	311	
11896	7.0	35 50.86	5	+ 21 23 59.1	149	u
—	7.5	35 50.90	5	+ 21 23 57.7	156	
—	7.0	35 50.85	3	+ 21 23 58.4	159	
11897	9.1	35 54.83	3	+ 6 34 52.6	71	
11898	8.0	21 35 57.71	3	— 16 18 24.1	153	
11899	10.0	36 2.31	3	+ 8 16 13.3	310	
11900	8.8	36 5.93	3	+ 20 46 26.3	158	
11901	9.0	36 6.91	3	— 10 27 43.4	392	
11902	9.0	36 8.38	2	+ 12 14 9.4	75	a
11903	9.5	21 36 15.15	3	— 2 33 19.5	61	
11904	9.0	36 15.42	3	— 20 57 33.4	241	
11905	10.0	36 17.40	1	+ 6 42 28.8	66	
—	9.7	36 17.36	3	+ 6 42 28.6	318	
11906	9.0	36 20.46	4	— 3 52 52.5	60	
11907	10.0	21 36 24.86	3	+ 11 18 25.2	63	
11908	8.2	36 26.33	4	— 31 47 46.3	69	
11909	10.0	36 30.04	3	+ 5 11 14.5	375	n A
11910	9.0	36 31.56	3	+ 5 10 21.3	320	
—	8.5	36 31.76	4	+ 5 10 20.1	376	
11911	10.0	21 36 32.08	2	+ 19 21 4.7	161	
11912	9.0	36 33.67	2	+ 8 23 3.4	315	
11913	9.8	36 35.79	3	+ 7 37 41.3	374	
11914	9.7	36 35.88	5	+ 9 36 21.9	83	
11915	10.0	36 37.50	3	+ 12 10 43.2	312	
11916	9.0	21 36 49.64	3	— 2 25 20.7	325	
11917	10.0	36 51.08	3	— 15 41 24.0	152	
11918	9.8	36 54.77	3	+ 2 31 48.4	67	
11919	10.0	36 56.02	3	+ 19 25 10.2	314	
11920	9.5	36 58.61	3	+ 8 44 35.5	242	
11921	9.8	21 36 59.70	4	— 7 13 51.2	150	
11922	9.0	37 0.40	3	— 12 48 32.7	155	n
11923	9.7	37 8.53	3	— 0 57 53.4	164	
11924	10.0	37 9.06	3	— 21 18 41.5	241	n
11925	9.0	37 11.31	3	— 25 3 58.7	153	
11926	9.0	21 37 12.07	3	+ 7 33 19.1	59	
—	9.0	37 11.77	3	+ 7 33 20.8	323	
11927	9.0	37 12.54	3	— 19 8 11.9	154	
11928	9.5	37 13.43	3	+ 21 55 44.8	156	
11929	9.4	37 14.02	3	+ 12 53 27.6	85	
11930	9.5	21 37 24.76	2	+ 8 47 23.4	71	
11931	10.0	37 27.72	3	— 11 35 23.1	151	
11932	8.3	37 28.74	3	+ 11 58 20.7	63	
11933	9.5	37 31.27	3	+ 12 47 16.6	317	
11934	9.5	37 33.53	3	+ 12 8 26.1	326	
11935	10.0	21 37 37.99	1	+ 6 27 34.2	66	dpl. bor.
—	10.0	37 37.95	2	+ 6 27 32.0	318	
11936	10.0	37 39.76	3	+ 1 57 18.4	311	
11937	9.7	37 44.85	2	+ 1 27 55.1	164	
11938	10.0	37 48.44	2	+ 0 34 2.9	61	
11939	9.5	21 37 51.96	3	— 0 40 38.8	375	
11940	8.0	37 52.84	3	— 12 17 38.3	155	
11941	9.4	37 53.53	3	— 5 48 32.5	60	
11942	8.5	38 6.17	3	— 17 4 32.3	154	n
11943	9.0	38 14.11	3	+ 9 4 28.0	312	
11944	9.5	21 38 14.55	4	— 6 3 1.5	77	
11945	8.0	38 17.67	3	— 23 6 46.5	153	Decl.+1′corr.
11946	9.5	38 20.19	2	+ 10 1 54.6	326	n
11947	8.0	38 20.47	3	— 4 34 52.2	324	
11948	9.0	38 22.94	1	+ 9 29 2.3	85	
—	9.0	21 38 23.08	4	+ 9 29 3.1	317	
11949	8.5	38 27.09	3	— 6 54 8.2	151	
—	8.0	38 26.76	3	— 6 54 10.2	377	
11950	9.8	38 29.06	4	+ 10 47 31.0	83	n
11951	9.5	38 29.55	4	— 16 8 58.0	69	
11952	10.0	21 38 32.18	1	+ 10 57 50.2	78	n
—	10.0	38 31.83	6	+ 10 57 49.5	159	
11953	10.0	38 37.94	3	+ 10 53 59.2	63	
11954	10.0	38 41.89	3	— 19 7 41.6	152	
11955	10.0	38 42.43	3	— 0 54 18.0	325	
11956	10.5	21 38 43.29	2	— 2 49 37.4	67	
11957	10.0	38 47.19	2	+ 1 46 11.7	164	
—	9.2	38 47.21	3	+ 1 46 11.5	376	
11958	10.0	38 47.39	3	+ 3 46 3.2	323	A
—	10.0	38 47.34	3	+ 3 45 51.3	379	
—	10.0	21 38 47.13	3	+ 3 45 52.9	392	u
11959	10.0	38 47.76	3	+ 4 51 29.7	310	
11960	9.2	38 49.32	3	— 7 26 10.0	375	
11961	10.0	38 50.31	4	+ 16 4 48.3	314	
11962	8.0	38 50.57	3	+ 6 39 29.7	59	n
—	9.0	21 38 50.63	2	+ 6 39 31.1	318	
11963	10.0	38 55.78	3	— 2 46 18.3	311	
11964	9.0	38 59.57	3	+ 20 12 5.9	87	
11965	9.0	39 1.56	3	+ 20 17 32.4	156	
11966	9.2	39 3.34	3	— 6 2 28.3	324	
11967	10.0	21 39 8.21	2	+ 4 54 49.0	66	
11968	8.8	39 15.12	3	— 3 30 3.0	60	
11969	10.0	39 44.41	1	+ 0 11 20.9	61	
11970	8.8	39 51.09	3	+ 16 20 21.0	161	
11971	9.3	39 56.06	3	+ 11 53 31.6	63	

No.	Grösse	Rectascension 1880.0 h m s	Fäden	Declination 1880.0 ° ′ ″	Zone	Bemerkungen
11972	9.0	21 40 0.29	3	— 11 22 16.4	155	
11973	9.6	40 3.69	2	+ 16 19 21.6	86	
11974	8.0	40 4.18	3	+ 15 12 21.4	84	
11975	9.5	40 4.62	1	+ 15 12 —	84	
11976	10.0	40 5.59	3	— 26 11 6.5	154	
11977	9.7	21 40 5.74	2	+ 10 19 24.8	85	
11978	8.7	40 7.10	3	— 4 40 48.4	151	
11979	10.0	40 8.84	1	— 7 13 12.3	325	
—	10.0	40 8.25	1	— 7 13 15.7	375	u
—	10.0	40 8.23	2	— 7 13 14.0	379	
11980	10.0	21 40 9.44	3	+ 4 38 43.8	62	
11981	10.0	40 10.05	2	+ 12 18 25.0	83	
11982	9.5	40 11.34	2	+ 19 27 52.7	87	a
11983	10.0	40 11.80	3	+ 19 3 41.8	156	
11984	10.0	40 13.61	4	+ 7 44 19.4	242	
11985	10.0	21 40 15.61	2	+ 4 51 19.9	74	
11986	10.0	40 19.48	3	— 0 46 31.8	67	
11987	10.0	40 25.61	3	— 21 4 29.8	241	
11988	9.5	40 25.87	4	+ 17 54 20.7	159	
11989	10.0	40 28.13	1	+ 3 25 14.3	66	
11990	8.7	21 40 31.59	3	+ 19 28 18.-	87	Decl. gesch.
11991	8.0	40 32.30	4	+ 5 58 57.6	59	
11992	9.7	40 36.39	4	+ 15 51 17.9	314	
11993	9.5	40 48.72	2	+ 9 44 33.5	75	
11994	9.0	40 48.75	2	+ 15 11 19.9	161	
11995	9.5	21 40 54.02	4	— 2 28 11.7	311	
11996	8.0	40 54.44	3	— 2 50 40.1	164	
11997	7.9	40 59.18	3	— 17 50 55.4	154	
11998	10.0	41 0.27	3	+ 8 49 6.0	310	
—	9.0	41 0.00	3	+ 8 49 5.1	376	
11999	10.0	21 41 5.38	3	— 21 54 14.7	241	
12000	9.8	41 10.07	2	— 8 36 47.1	60	a
12001	9.5	41 10.47	3	— 13 7 33.1	155	
12002	9.0	41 21.24	4	— 10 25 51.1	324	
12003	9.2	41 21.34	3	+ 15 30 59.8	156	
12004	9.3	21 41 25.91	4	+ 12 20 13.9	63	
12005	9.0	41 28.67	4	— 2 16 6.1	377	
12006	10.0	41 37.14	3	— 6 21 22.6	151	
12007	10.0	41 38.49	3	+ 15 29 3.0	314	
12008	9.0	41 40.86	3	+ 11 44 29.4	312	
12009	10.0	21 41 57.95	3	+ 17 18 27.4	86	n
12010	9.0	42 6.28	3	+ 9 17 27.2	242	
12011	9.7	42 12.77	3	— 0 47 27.7	67	
12012	10.0	42 17.24	3	— 5 54 4.0	155	
12013	10.0	42 19.20	2	+ 10 46 27.9	312	
—	9.2	21 42 19.18	4	+ 10 46 30.5	375	
12014	9.1	42 20.49	4	— 20 42 17.6	69	
12015	10.0	42 21.93	3	+ 10 47 32.5	63	n
—	9.7	42 22.04	3	+ 10 47 32.8	83	
12016	9.7	42 25.44	3	+ 3 50 23.0	62	

No.	Grösse	Rectascension 1880.0 h m s	Fäden	Declination 1880.0 ° ′ ″	Zone	Bemerkungen
12017	9.1	21 42 31.00	3	+ 4 18 40.7	59	
—	9.3	42 30.84	4	+ 4 18 39.8	78	
12018	10.0	42 33.57	3	+ 8 25 53.0	71	
12019	10.0	42 34.29	2	+ 7 52 31.9	66	f
12020	9.0	42 40.84	3	— 18 56 38.0	154	
12021	10.0	21 42 40.94	3	+ 8 24 18.3	74	
12022	9.6	42 49.16	4	+ 17 47 4.9	84	
12023	9.0	42 50.81	3	+ 20 23 21.9	156	
12024	10.0	42 52.04	3	+ 2 5 52.3	164	
12025	9.3	42 53.14	2	+ 4 49 24.4	85	
12026	10.0	21 42 57.21	4	— 21 3 56.9	152	
—	8.5	42 56.82	4	— 21 3 56.0	241	
12027	10.0	43 3.96	2	+ 18 20 27.7	159	u
—	9.6	43 4.19	3	+ 18 20 25.4	161	
12028	8.0	43 9.73	3	+ 19 57 53.1	87	
12029	9.8	21 43 12.75	2	+ 7 53 5.7	71	
12030	9.5	43 20.11	3	— 19 15 22.9	154	n
12031	9.0	43 29.64	3	+ 6 46 32.0	242	
12032	9.5	43 34.97	3	+ 1 14 12.1	311	n
12033	9.2	43 41.21	3	+ 1 14 47.7	376	
12034	9.0	21 43 41.87	3	— 0 12 44.8	67	
12035	9.0	43 44.79	4	+ 3 37 12.7	59	
12036	9.5	43 52.51	3	— 3 53 37.0	60	
12037	9.7	43 52.52	3	+ 1 28 36.4	164	
12038	9.7	43 52.93	3	— 4 51 24.0	77	
12039	10.0	21 43 55.07	3	— 8 49 39.6	151	
12040	9.0	43 55.41	3	— 21 2 8.9	241	n
12041	10.0	44 1.16	3	— 18 34 19.4	152	n
12042	9.3	44 4.85	3	+ 17 22 28.0	314	
12043	9.3	44 18.91	3	— 11 18 25.1	155	n
12044	10.0	21 44 19.69	3	+ 1 14 2.9	61	
12045	7.8	44 25.68	3	+ 15 11 35.1	156	
12046	9.4	44 25.80	4	+ 17 24 1.1	86	
12047	6.0	44 26.10	4	+ 16 43 43.7	84	
12048	9.0	44 32.32	1	+ 17 31 46.8	314	
12049	9.1	21 44 38.19	3	— 22 18 36.6	69	
12050	10.0	44 40.93	3	+ 15 15 8.7	317	
12051	10.0	44 46.02	3	+ 5 2 2.1	62	f
12052	10.0	44 50.76	2	+ 19 58 49.5	159	u
—	9.8	44 50.96	3	+ 19 58 49.6	161	
12053	9.8	21 45 1.21	3	— 7 12 54.0	151	
12054	9.6	45 18.79	3	— 24 57 12.8	154	
—	10.0	45 18.87	1	— 24 57 13.3	325	
12055	10.0	45 19.72	3	— 11 36 0.3	155	n
12056	10.0	45 21.25	4	+ 7 47 8.8	71	
12057	10.0	21 45 28.35	3	— 19 41 43.3	152	
12058	10.0	45 30.97	3	+ 9 22 41.3	63	
—	9.2	45 30.78	4	+ 9 22 41.4	83	
12059	9.2	45 31.25	3	+ 2 14 51.1	67	
12060	9.0	45 32.86	3	— 25 55 58.9	241	

No.	Grösse	Rectascension 1880.0 h m s	Fäden	Declination 1880.0 ° ′ ″	Zone	Bemerkungen
12061	9.3	21 45 41.31	4	+ 15 32 17.9	87	
12062	9.7	45 43.51	3	— 2 42 44.7	164	
12063	9.3	45 50.98	3	+ 5 43 7.2	59	u
12064	8.0	45 51.55	4	+ 11 28 27.6	75	
12065	9.2	45 54.07	3	+ 15 25 36.4	312	
12066	10.0	21 45 58.81	3	+ 7 19 56.2	62	
12067	9.0	46 2.47	1	+ 12 11 8.5	83	n
12068	9.7	46 8.30	3	+ 8 11 32.0	71	
12069	9.0	46 11.52	3	— 3 1 11.9	60	
12070	9.0	46 12.79	4	+ 6 57 13.4	74	
—	9.0	21 46 12.45	5	+ 6 57 15.6	242	
12071	9.8	46 14.96	3	+ 11 57 17.1	63	
12072	9.2	46 22.63	3	+ 5 49 39.9	66	
—	9.0	46 22.65	3	+ 5 49 37.8	311	
12073	9.2	46 29.06	3	+ 5 56 1.3	310	
12074	11.0	21 46 32.12	2	— 30 52 31.4	69	u A.R. + 1s corr.
12075	9.7	46 32.65	3	— 11 53 29.3	64	
12076	9.0	46 35.49	3	+ 19 29 18.9	314	
12077	9.7	46 35.80	2	— 5 6 33.3	77	
—	9.2	46 35.80	3	— 5 6 31.6	325	
12078	10.0	21 46 36.13	3	— 10 29 13.3	155	
12079	9.0	46 42.48	3	+ 19 27 9.7	317	
12080	10.0	46 51.60	3	— 22 29 36.9	154	
12081	10.0	46 59.61	3	+ 0 33 54.6	311	dpl. aust.
—	10.0	46 59.08	3	+ 0 33 55.7	376	
12082	10.0	21 47 6.58	2	+ 17 43 45.7	159	
12083	9.8	47 8.45	2	+ 7 37 46.2	78	n
—	10.0	47 8.24	3	+ 7 37 45.7	161	
12084	9.0	47 16.08	3	— 8 57 48.6	324	
12085	9.2	47 18.92	2	+ 17 52 12.2	85	
—	9.0	21 47 19.09	5	+ 17 52 13.2	326	
12086	9.5	47 35.96	3	— 18 8 38.1	152	
12087	9.5	47 39.18	3	+ 12 47 9.2	63	
—	9.0	47 39.08	3	+ 12 47 10.7	312	
12088	10.0	47 40.04	3	+ 16 30 48.2	317	
12089	9.7	21 47 46.24	4	+ 1 29 10.1	61	
12090	10.0	47 46.76	1	+ 9 19 40.2	242	n
12091	10.0	47 55.51	3	— 11 55 17.6	155	n
12092	9.7	47 59.49	4	— 12 14 34.3	64	A
—	8.3	47 59.25	5	— 12 14 34.8	381	
12093	9.0	21 48 0.76	3	+ 8 8 45.8	71	n
12094	9.2	48 3.81	4	+ 1 36 7.0	67	
12095	9.0	48 6.58	2	+ 15 31 40.7	323	f
12096	9.0	48 9.16	3	+ 19 52 32.8	314	
12097	8.0	48 18.87	5	+ 9 21 39.4	74	
—	8.0	21 48 18.64	1	+ 9 21 43.1	75	
12098	10.0	48 23.08	4	— 5 20 48.7	151	n
12099	9.8	48 23.18	3	— 30 36 6.6	69	
12100	10.5	48 28.38	2	+ 11 35 37.5	83	u
—	10.0	48 28.53	2	+ 11 35 32.9	312	

No.	Grösse	Rectascension 1880.0 h m s	Fäden	Declination 1880.0 ° ′ ″	Zone	Bemerkungen
12101	10.0	21 48 30.55	3	— 23 10 43.7	154	
12102	9.2	48 39.55	3	+ 8 13 33.7	71	
12103	10.0	48 39.76	3	— 6 53 33.6	60	a
—	9.2	48 40.19	3	— 6 53 37.3	324	
12104	9.0	48 44.58	3	— 18 48 25.1	152	
12105	9.7	21 48 47.45	3	— 2 47 17.9	164	
12106	10.0	48 48.77	2	— 11 15 12.8	380	
—	10.0	48 48.48	3	— 11 15 14.6	382	
12107	9.0	48 53.37	2	+ 5 57 17.0	66	
12108	10.0	49 2.37	3	+ 9 11 35.7	63	
12109	9.5	21 49 17.29	3	+ 5 51 19.7	59	
12110	10.0	49 21.37	2	+ 15 31 58.7	84	
12111	10.0	49 28.59	3	+ 6 20 56.0	62	
12112	9.8	49 29.01	3	— 11 0 1.5	64	
12113	10.0	49 35.20	3	— 6 28 54.5	325	
12114	9.0	21 49 40.43	3	+ 12 9 45.4	74	
12115	9.0	49 51.53	3	+ 3 39 59.7	61	
12116	10.5	49 51.—	—	+ 5 55 19.5	71	
—	9.5	49 51.75	3	+ 5 55 22.6	310	
12117	10.0	49 52.78	3	— 20 35 42.5	154	n
12118	8.5	21 49 53.62	4	+ 8 18 15.2	242	
12119	9.6	49 55.00	4	+ 17 20 9.2	85	
12120	8.5	49 55.93	4	— 24 34 33.1	241	n
12121	10.0	49 59.23	3	+ 7 56 59.6	78	
12122	10.0	50 4.47	3	+ 19 55 0.3	87	n
12123	9.0	21 50 6.02	3	— 6 1 12.7	151	n
12124	9.6	50 6.31	4	+ 15 2 29.0	159	n
12125	9.3	50 7.71	2	— 8 8 5.8	60	
—	9.1	50 7.65	3	— 8 8 6.3	380	
12126	9.7	50 16.87	3	+ 11 12 45.4	83	
12127	9.5	21 50 17.62	3	+ 9 41 50.2	63	
12128	10.0	50 28.91	3	— 6 21 21.1	324	
12129	10.0	50 33.92	2	+ 5 58 21.1	59	
—	9.0	50 33.44	2	+ 5 58 23.1	310	
12130	9.0	50 39.73	3	— 19 27 54.5	154	n
12131	10.0	21 50 43.62	3	+ 16 50 9.2	86	
—	9.5	50 43.46	3	+ 16 50 11.7	312	
12132	9.5	50 47.38	3	— 16 48 22.3	152	n
12133	9.0	50 58.34	4	+ 8 43 38.4	160	n
12134	10.0	51 8.13	3	+ 16 2 22.7	84	
12135	10.0	21 51 9.66	2	+ 12 39 46.4	74	
—	10.0	51 9.87	3	+ 12 39 47.7	161	
12136	9.0	51 23.41	1	+ 16 1 56.-	84	Decl. gesch.
12137	9.0	51 26.46	3	— 23 48 5.8	241	n
12138	9.0	51 28.59	3	— 13 29 36.8	155	
12139	8.3	21 51 31.57	3	— 1 11 52.7	164	
12140	9.7	51 40.67	3	— 11 42 13.7	64	
12141	8.0	51 43.28	3	— 5 46 16.2	151	
12142	9.5	51 53.92	3	+ 15 18 24.8	85	n
—	9.6	51 53.91	3	+ 15 18 22.6	87	

No.	Grösse	Rectascension 1880.0 h m s	Fäden	Declination 1880.0 ° ′ ″	Zone	Bemerkungen
12143	9.5	21 51 54.33	3	− 26 8 29.1	69	
12144	9.0	51 55.78	3	− 13 36 5.5	155	
12145	10.5	51 59.76	3	+ 7 16 17.8	62	u
12146	9.5	52 4.60	3	+ 12 23 39.3	63	
12147	9.0	52 7.32	3	− 2 23 59.0	66	
12148	9.0	21 52 20.85	3	+ 16 36 43.6	312	
12149	8.0	52 26.32	4	+ 12 6 37.8	71	
12150	7.5	52 26.67	6	+ 3 12 34.2	310	
—	7.5	52 26.51	6	+ 3 12 32.4	311	
12151	10.0	52 32.30	2	+ 16 39 18.8	86	
12152	9.0	21 52 36.37	4	− 25 3 0.3	154	
12153	7.0	52 39.62	6	− 4 56 15.0	60	
—	6.0	52 39.53	5	− 4 56 15.2	324	
12154	9.5	52 41.29	3	+ 7 35 43.1	242	
12155	9.0	52 42.18	3	− 5 40 49.5	151	
12156	10.5	21 52 42.84	1	+ 9 33 49.9	74	s
—	10.0	52 43.14	3	+ 9 33 48.8	83	
12157	9.4	52 43.08	3	+ 10 20 7.6	64	
12158	9.0	52 46.99	4	− 30 33 24.3	380	
12159	9.0	53 0.06	3	+ 0 41 58.5	164	
12160	10.0	21 53 2.57	3	+ 5 57 17.5	160	n
12161	10.0	53 5.79	3	− 16 53 55.3	152	n
12162	8.5	53 7.35	3	+ 11 37 16.8	63	
—	9.0	53 7.19	4	+ 11 37 16.3	75	
12163	8.7	53 9.11	2	− 28 0 27.9	69	
12164	10.0	21 53 11.36	4	− 6 21 9.5	67	
12165	10.0	53 20.48	3	+ 16 28 56.1	161	n
12166	10.0	53 26.20	1	+ 1 18 50.2	66	
—	9.5	53 25.81	3	+ 1 18 50.7	164	
12167	9.5	53 43.28	3	+ 12 0 6.2	71	
12168	9.0	21 53 43.74	4	+ 15 5 16.2	87	
12169	9.0	53 44.78	4	− 12 47 45.8	64	
—	9.5	53 44.87	3	− 12 47 51.8	155	
12170	9.8	53 50.56	3	− 21 23 34.3	154	n
12171	9.8	53 54.99	3	+ 15 28 0.1	85	
12172	9.5	21 54 2.96	4	+ 7 39 23.9	242	
12173	5.6	54 8.26	4	+ 6 8 34.9	61	
12174	9.0	54 19.57	1	− 5 20 35.3	155	
12175	9.8	54 26.97	2	+ 18 19 44.4	86	
—	9.2	54 26.92	3	+ 18 19 44.3	312	
12176	10.0	21 54 27.99	4	+ 5 57 45.6	83	n
—	10.0	54 27.99	4	+ 5 57 45.3	160	
12177	10.0	54 31.47	2	+ 16 24 35.4	87	
12178	10.0	54 35.04	2	+ 16 27 52.1	161	u
—	10.0	54 34.64	3	+ 16 27 53.5	317	
12179	9.0	21 54 37.61	3	+ 21 37 9.7	314	
12180	10.0	54 43.14	3	− 16 47 18.1	152	n
12181	10.0	54 48.15	4	− 10 30 16.8	62	
12182	9.6	54 49.34	1	− 0 46 4.7	163	n
—	9.7	54 49.39	3	− 0 46 5.6	164	
12183	9.0	21 54 57.35	2	+ 15 19 27.7	84	
—	9.0	54 57.26	1	+ 15 19 29.7	317	
12184	9.0	54 57.39	4	− 5 41 37.1	60	
12185	10.0	54 58.27	3	− 3 8 14.1	151	
12186	9.5	55 19.39	2	+ 16 44 50.4	312	
12187	9.5	21 55 20.76	2	− 3 2 35.3	77	
12188	9.0	55 21.43	4	− 5 26 6.9	67	
12189	10.0	55 39.21	1	+ 1 58 45.7	66	
12190	9.1	55 41.40	3	+ 11 26 22.6	380	
12191	9.5	55 43.29	3	− 6 20 8.9	324	
—	9.0	21 55 43.18	3	− 6 20 7.4	382	
12192	10.0	55 44.61	2	− 31 17 21.9	69	u
—	10.0	55 44.97	4	− 31 17 19.9	154	
12193	9.5	55 47.64	3	− 6 18 46.7	155	
—	9.0	55 47.67	2	− 6 18 45.8	382	
12194	8.0	21 55 50.53	3	− 27 56 41.2	241	
12195	10.0	55 51.19	2	+ 7 8 32.7	61	
12196	9.6	55 54.85	3	− 16 45 51.7	152	n
12197	9.7	55 55.07	3	+ 15 12 49.2	86	
12198	9.8	56 1.48	2	+ 21 56 14.4	87	
—	9.6	21 56 1.51	3	+ 21 56 13.2	314	
12199	10.0	56 10.04	3	+ 10 33 41.2	63	
12200	9.0	56 14.88	3	+ 12 7 39.2	71	
12201	10.0	56 28.81	3	− 1 16 5.1	62	n
—	9.6	56 28.91	2	− 1 16 7.7	163	
12202	10.0	21 56 31.15	3	+ 10 1 23.9	242	n
12203	10.0	56 35.59	4	− 5 43 27.0	151	
12204	9.0	56 36.38	3	− 1 19 38.4	164	
12205	9.5	56 36.65	3	− 12 1 41.3	64	
12206	9.6	56 48.36	3	− 16 45 6.7	152	n
12207	9.5	21 56 57.99	3	+ 17 41 10.0	85	
12208	10.0	57 2.49	3	+ 21 24 18.3	161	
12209	9.3	57 9.16	3	+ 9 36 30.3	63	
—	9.5	57 8.83	2	+ 9 36 32.1	160	
12210	7.5	57 12.44	3	− 6 16 23.6	392	
12211	8.5	21 57 12.54	3	− 8 2 17.1	155	
12212	11.0	57 18.—	—	+ 9 8 52.6	71	u n
—	10.0	57 18.01	3	+ 9 8 53.8	83	
12213	8.0	57 19.32	3	− 3 38 43.0	324	
12214	8.9	57 19.84	4	+ 21 30 12.6	84	
12215	9.0	21 57 21.27	4	+ 14 57 0.2	74	
12216	9.0	57 31.59	1	+ 9 15 12.3	242	
12217	9.0	57 38.15	4	− 5 34 48.4	67	
12218	10.0	57 38.32	1	+ 0 24 47.5	61	
—	9.7	57 38.19	2	+ 0 24 47.1	163	
12219	10.0	21 57 41.23	3	− 10 0 21.2	325	
12220	8.0	57 41.34	3	− 26 27 54.8	241	n
12221	10.0	57 44.16	2	+ 21 53 0.3	87	n
12222	8.0	57 46.95	3	− 29 0 56.6	154	
12223	9.0	57 52.58	3	− 14 38 36.6	380	

No.	Grösse	Rectascension 1880.0 h	m	s	Fäden	Declination 1880.0 °	′	″	Zone	Bemerkungen
12224	11.0	21	57	57.13	1	+ 11	8	6.0	63	u
—	10.0		57	57.45	3	+ 11	8	3.1	312	
12225	9.8		57	59.22	3	+ 21	13	31.5	86	
12226	10.0		58	6.73	3	− 6	38	15.7	151	
12227	9.8		58	7.25	3	+ 18	42	16.6	161	
12228	9.5	21	58	20.24	3	− 1	24	53.8	164	
12229	10.0		58	22.72	2	− 6	38	46.0	155	
12230	10.0		58	31.52	2	− 29	52	52.9	69	u n
12231	10.0		58	49.26	2	+ 12	2	48.1	160	
—	9.2		58	49.21	3	+ 12	2	48.7	312	
12232	9.0	21	58	49.49	3	− 3	27	30.8	324	
12233	9.0		58	50.35	3	+ 11	58	26.6	74	
12234	9.8		58	52.70	4	+ 15	1	42.5	84	
12235	9.0		58	59.82	3	+ 10	28	34.4	71	
—	9.0		58	59.45	2	+ 10	28	33.0	242	
12236	9.0	21	59	5.16	3	− 8	10	43.5	325	
12237	9.6		59	8.11	3	+ 21	13	41.8	86	
12238	10.0		59	8.57	3	+ 0	55	1.5	78	n
12239	10.0		59	17.75	3	+ 0	55	43.5	163	
12240	10.0		59	45.49	3	+ 18	1	5.8	87	
12241	9.5	21	59	46.54	2	+ 15	23	34.1	84	f
12242	9.5		59	57.76	3	+ 10	45	26.0	63	n
12243	8.5	22	0	5.54	3	+ 21	41	58.8	331	
12244	7.0		0	23.90	3	+ 1	16	2.6	163	
—	7.5		0	24.30	4	+ 1	16	3.4	332	
—	7.5	22	0	23.85	3	+ 1	16	4.6	381	u Wolken.
12245	9.0		0	57.46	3	− 0	0	58.3	164	dpl., sehr eng.
—	8.0		0	57.83	3	− 0	0	56.3	326	
—	8.0		0	57.57	4	− 0	0	55.8	380	
12246	9.5		1	12.86	3	− 4	43	57.4	155	
12247	9.5	22	1	12.89	5	+ 10	25	12.1	242	
12248	9.0		1	16.21	3	− 5	52	38.8	151	
—	10.0		1	16.27	3	− 5	52	42.3	325	
12249	9.5		1	30.69	3	+ 20	40	11.0	86	
12250	10.0		1	30.73	3	+ 5	23	25.5	160	n
12251	8.0	22	1	42.15	4	+ 17	1	36.4	87	
12252	10.0		1	51.67	2	− 12	28	8.4	64	
12253	9.4		2	3.49	4	− 8	11	31.7	76	
12254	8.0		2	6.47	4	+ 12	29	2.7	63	
12255	9.0		2	11.40	3	− 15	13	49.9	154	
12256	8.8	22	2	15.16	3	+ 3	55	55.2	62	
12257	9.0		2	15.58	1	+ 14	32	21.3	74	u
—	9.6		2	15.20	1	+ 14	32	25.2	239	
12258	10.0		2	25.54	2	− 8	16	41.3	77	
—	9.0		2	25.74	3	− 8	16	43.3	324	
12259	9.0	22	2	38.34	3	+ 8	52	56.2	71	
12260	10.0		2	41.49	2	− 0	6	52.4	164	n
12261	9.7		2	42.93	3	+ 12	18	40.3	83	
12262	9.3		2	48.05	4	+ 8	51	23.0	66	
12263	9.5		3	3.44	3	+ 1	0	0.1	163	
12264	6.0	22	3	10.02	2	− 8	7	20.3	324	
—	—		3	9.97	3	− 8	7	19.8	325	
12265	10.0		3	10.22	3	− 23	37	9.9	241	
12266	9.8		3	12.15	3	+ 15	3	23.4	86	
12267	9.0		3	14.00	4	− 15	8	56.1	154	n
12268	8.5	22	3	25.83	3	+ 15	22	27.7	87	
12269	10.0		3	28.99	3	− 5	52	38.3	151	
12270	10.0		3	30.93	3	+ 9	56	3.5	63	
12271	10.0		3	30.96	4	+ 5	6	35.7	160	n
12272	10.0		3	33.53	3	− 11	38	33.2	64	
12273	10.0	22	3	37.56	4	+ 11	21	52.3	380	n
12274	9.0		3	44.28	3	+ 21	57	30.6	332	
12275	9.0		3	57.00	6	− 24	36	54.2	—	A
12276	10.0		3	59.88	2	+ 15	7	11.5	384	
12277	9.7		4	8.72	4	− 11	39	2.3	69	
12278	9.5	22	4	10.28	4	− 5	47	57.1	151	
12279	9.0		4	12.62	4	+ 18	11	48.2	382	
12280	10.0		4	16.99	1	+ 10	31	28.6	239	
—	10.0		4	17.10	1	+ 10	31	27.0	323	
12281	9.5		4	17.37	4	+ 18	18	19.9	383	
12282	11.0	22	4	18.98	2	− 1	39	2.7	164	
12283	9.5		4	26.14	4	+ 21	47	15.5	240	
12284	9.0		4	26.40	3	+ 2	12	18.7	79	
12285	10.0		4	42.35	4	− 22	47	57.0	241	
12286	10.0		4	45.92	4	− 8	36	20.9	76	
12287	10.0	22	4	48.06	4	+ 9	11	6.3	326	
12288	10.0		4	53.47	2	− 8	35	57.5	324	a
12289	10.0		4	54.95	1	+ 11	24	33.8	380	
12290	10.0		5	13.73	3	− 18	33	45.2	154	n
12291	9.0		5	14.43	4	+ 6	14	55.1	66	
—	8.8	22	5	14.12	4	+ 6	14	55.9	160	
12292	9.0		5	16.96	2	+ 11	27	16.8	63	
12293	9.0		5	20.25	4	+ 17	37	16.7	331	
12294	9.0		5	23.25	3	+ 19	11	56.5	84	
12295	9.0		5	25.73	2	− 1	35	42.5	163	
12296	9.0	22	5	33.17	3	− 5	43	59.7	151	
12297	9.0		5	36.80	3	+ 5	36	1.4	71	n
12298	9.6		5	42.47	3	+ 17	29	59.2	86	
—	9.5		5	42.56	2	+ 17	29	58.8	332	
12299	10.0		5	51.95	2	+ 16	39	11.7	87	f
12300	9.0	22	6	7.89	3	+ 8	24	36.2	62	
—	9.0		6	7.84	3	+ 8	24	36.0	79	
12301	9.0		6	10.38	3	+ 22	31	34.5	85	
12302	9.8		6	12.78	3	− 2	53	32.8	164	n
12303	10.0		6	15.31	3	− 22	4	29.0	241	
12304	9.0	22	6	15.63	3	− 11	1	4.7	64	
—	9.0		6	15.17	3	− 11	1	0.9	69	
12305	8.0		6	15.62	3	+ 11	9	26.9	83	
12306	9.5		6	30.65	3	+ 1	39	37.8	61	
—	10.0		6	30.42	3	+ 1	39	38.4	78	

No.	Grösse	Rectascension 1880.0 h m s	Fäden	Declination 1880.0 ° ' "	Zone	Bemerkungen
12307	9.0	22 6 41.40	4	+ 6 31 46.5	160	n
—	9.0	6 41.41	3	+ 6 31 45.6	242	
12308	9.0	6 41.67	3	+ 18 52 7.0	326	
12309	9.0	6 44.47	3	+ 10 58 12.9	63	
—	9.0	6 44.47	2	+ 10 58 13.1	74	
12310	10.0	22 6 50.56	1	+ 18 8 22.3	86	u
12311	9.5	6 53.49	4	+ 18 10 25.6	382	
—	9.3	6 53.59	1	+ 18 10 23.9	392	
12312	9.5	6 55.79	3	— 13 36 15.3	325	
—	9.0	6 55.49	4	— 13 36 13.6	380	
12313	9.5	22 6 58.03	3	+ 10 47 54.0	239	
12314	10.0	6 58.24	2	+ 5 39 25.6	62	a
12315	10.0	7 8.59	3	— 19 2 50.7	154	
12316	8.0	7 13.81	3	— 7 57 51.5	151	
12317	9.7	7 22.36	3	— 15 31 57.6	64	
—	9.3	22 7 21.92	2	— 15 31 57.4	69	
12318	9.5	7 24.36	4	— 8 24 10.7	324	
12319	9.8	7 28.32	3	— 0 17 50.0	61	
12320	10.0	7 35.33	3	— 3 20 19.9	164	n
12321	9.6	7 38.95	3	— 5 14 18.6	76	
12322	10.0	22 7 56.06	2	— 28 17 57.9	154	
12323	10.0	8 1.33	3	— 18 20 25.4	241	
12324	8.0	8 1.69	4	+ 8 53 7.9	66	
12325	9.8	8 5.13	3	— 2 1 20.4	78	
—	9.0	8 5.04	2	— 2 1 19.8	163	
12326	9.0	22 8 8.08	3	+ 3 52 39.7	71	
12327	8.0	8 9.77	2	+ 11 34 40.4	63	f
—	8.0	8 9.76	4	+ 11 34 41.4	83	
12328	9.0	8 11.25	3	+ 8 41 43.2	62	
—	8.0	8 11.19	4	+ 8 41 41.7	323	
12329	9.0	22 8 13.76	2	+ 3 51 38.3	71	
12330	9.0	8 17.50	3	+ 5 45 28.3	79	
12331	9.6	8 18.32	2	+ 17 31 38.6	85	
—	9.6	8 18.16	3	+ 17 31 40.2	86	
—	9.6	8 18.05	4	+ 17 31 39.5	87	
12332	9.5	22 8 20.42	4	+ 9 55 59.9	239	
12333	9.0	8 22.39	3	— 3 6 33.1	151	
12334	10.0	8 32.52	4	+ 16 36 4.1	84	A
12335	9.2	8 40.19	3	— 4 32 37.2	76	
—	9.3	8 40.22	3	— 4 32 35.4	77	
12336	10.0	22 8 40.85	2	+ 7 13 0.6	242	n
12337	9.8	8 58.83	4	+ 5 29 33.0	160	
12338	9.5	8 59.04	3	— 7 20 56.0	324	n
12339	10.0	9 10.03	2	— 18 44 8.5	64	
12340	10.0	9 17.61	2	+ 5 27 58.4	66	
12341	10.0	22 9 34.02	1	— 16 34 39.0	241	n
12342	10.0	9 46.66	1	+ 12 11 26.5	63	u
—	10.0	9 46.71	2	+ 12 11 24.7	83	
12343	9.0	9 48.48	2	+ 16 21 12.1	85	
12344	9.3	9 50.20	4	+ 9 27 4.2	74	
12345	10.0	22 10 4.77	3	— 1 24 7.6	164	
12346	10.0	10 6.37	4	+ 5 25 20.3	62	
—	9.0	10 6.37	3	+ 5 25 18.9	323	
12347	10.0	10 14.47	4	+ 18 54 22.4	86	
12348	9.5	10 15.12	3	+ 9 52 45.9	239	
12349	10.0	22 10 15.—	—	— 25 6 56.9	325	
—	9.2	10 15.71	3	— 25 6 57.8	380	
12350	9.0	10 15.82	3	+ 3 26 3.0	66	
—	8.8	10 15.76	3	+ 3 26 4.2	160	
12351	10.0	10 16.89	3	+ 12 10 7.3	157	
12352	9.7	22 10 17.61	3	+ 1 45 18.0	61	
12353	9.8	10 20.29	3	+ 17 18 40.6	87	
12354	8.7	10 20.46	3	— 3 28 32.9	151	
—	9.0	10 20.62	3	— 3 28 36.6	332	
12355	9.5	10 32.96	5	+ 16 53 49.0	240	
12356	9.0	22 10 38.74	2	+ 5 37 6.2	242	n
12357	9.0	10 39.08	3	+ 4 55 44.6	71	
12358	8.8	10 50.07	3	— 24 18 32.9	64	
12359	9.0	11 1.71	2	+ 12 22 11.1	157	
12360	9.7	11 5.62	3	+ 4 59 26.0	62	
12361	7.0	22 11 15.93	3	+ 12 17 52.5	323	
—	7.0	11 15.85	5	+ 12 17 48.7	331	
12362	10.0	11 19.16	3	— 2 43 29.7	163	
—	9.2	11 19.06	4	— 2 43 27.1	382	
12363	9.0	11 26.84	3	+ 19 8 34.7	326	
12364	10.0	22 11 27.19	1	+ 16 49 25.7	330	u
12365	9.0	11 41.26	2	+ 0 56 16.9	78	
12366	10.0	11 47.24	3	+ 18 10 50.4	86	
12367	10.0	11 51.23	3	+ 20 54 57.9	84	
12368	10.0	11 59.62	1	+ 0 49 50.3	79	
12369	10.0	22 12 1.64	3	— 21 9 3.7	154	n
12370	9.0	12 2.54	2	+ 10 47 5.7	63	
—	9.0	12 2.59	4	+ 10 47 3.7	74	
12371	10.0	12 4.58	3	+ 8 43 30.0	239	n
12372	10.0	12 7.55	3	+ 13 5 44.0	83	n
12373	9.0	22 12 9.52	3	— 7 14 11.2	151	
12374	10.0	12 12.51	3	+ 5 21 24.1	160	n
12375	8.0	12 16.91	4	+ 15 47 26.1	85	
12376	9.0	12 17.47	2	+ 7 45 11.8	242	n
12377	10.0	12 22.49	3	— 2 35 13.3	164	
12378	10.0	22 12 22.64	3	+ 21 5 41.2	326	
12379	9.2	12 43.04	2	+ 21 36 31.3	330	
12380	9.2	12 47.74	4	+ 22 6 54.1	332	
12381	9.0	12 47.75	3	— 7 54 34.4	151	
12382	10.0	12 50.13	3	+ 4 32 33.5	71	n
12383	9.2	22 12 51.11	3	+ 12 20 18.3	157	n
12384	9.0	13 3.85	3	— 2 0 18.4	163	
—	9.5	13 3.69	3	— 2 0 16.8	380	
12385	8.0	13 8.98	3	+ 9 55 8.9	239	
12386	10.0	13 9.31	2	+ 21 58 43.5	323	

No.	Grösse	Rectascension 1880.0 h m s	Fäden	Declination 1880.0 ° ′ ″	Zone	Bemerkungen
12387	9.6	22 13 11.30	2	+ 21 1 20.9	87	
12388	9.3	13 14.28	3	+ 22 13 17.5	86	
12389	9.0	13 23.08	4	— 22 37 11.7	241	
12390	10.0	13 27.20	4	+ 4 24 28.7	62	
—	10.0	13 26.83	3	+ 4 24 28.3	66	f
12391	9.0	22 13 27.81	3	+ 0 50 8.0	382	
12392	9.7	13 28.16	2	+ 1 23 50.3	61	
12393	9.8	13 33.05	2	+ 0 48 45.1	78	
—	10.0	13 32.61	4	+ 0 48 44.7	383	
12394	10.0	13 40.27	2	— 15 53 4.4	154	n
12395	8.2	22 13 51.48	3	+ 15 33 42.0	84	
12396	9.0	14 1.90	3	— 2 40 49.6	164	
12397	9.2	14 2.33	2	+ 18 1 25.9	85	n
—	10.0	14 1.89	3	+ 18 1 26.1	240	
12398	9.5	14 3.80	4	+ 12 12 47.8	83	n
12399	9.7	22 14 15.55	4	— 7 44 21.2	76	
12400	9.0	14 27.34	3	+ 10 14 20.7	242	
12401	10.0	14 29.92	2	+ 1 6 15.8	79	
—	10.0	14 30.43	1	+ 1 6 16.0	326	
12402	9.8	14 34.80	3	+ 12 23 10.7	157	n
12403	9.5	22 14 40.26	3	+ 21 4 40.9	86	
12404	10.0	14 40.54	2	+ 16 45 54.6	87	
12405	10.0	14 45.19	2	— 4 10 28.9	151	dpl. pr.
12406	10.0	14 45.63	2	— 4 10 35.2	325	dpl. med. u
—	9.5	14 45.79	3	— 4 10 31.3	380	
12407	9.6	22 14 51.51	3	+ 7 40 22.2	71	
12408	8.3	14 51.57	4	— 19 6 33.3	69	
12409	9.7	14 59.58	5	+ 1 52 6.0	163	n
12410	9.0	15 2.13	3	— 6 44 26.1	382	
12411	9.3	15 16.01	5	+ 5 7 35.1	62	
12412	7.5	22 15 21.42	3	+ 8 1 9.4	242	
12413	10.0	15 22.51	3	+ 4 25 52.4	239	dpl. bor.
—	9.0	15 22.25	1	+ 4 25 53.4	323	d = 20″
12414	10.0	15 30 10	2	+ 1 15 7.1	164	a
12415	10.0	15 32.13	2	+ 16 1 53.7	86	
12416	10.0	22 15 35.61	3	+ 15 59 47.1	84	
12417	10.0	15 36.20	3	+ 13 7 19.3	63	
12418	8.0	15 48.87	2	— 4 24 21.2	325	
12419	9.7	16 2.32	3	+ 9 28 42.8	157	
12420	9.0	16 9.48	4	— 28 9 28.7	64	
12421	10.0	22 16 12.09	2	— 5 2 14.2	151	
12422	9.5	16 26.19	3	— 11 50 38.6	154	
12423	10.0	16 34.64	4	+ 13 55 21.0	63	
12424	9.7	16 37.65	4	+ 20 54 46.5	85	
12425	9.3	16 37.90	4	+ 2 40 47.2	79	
12426	8.0	22 16 39.46	2	+ 10 57 3.5	83	
—	8.5	16 39.35	3	+ 10 57 3.1	239	
12427	9.0	16 39.77	4	— 2 36 25.4	163	
12428	9.6	16 54.41	2	+ 16 50 24.3	86	
12429	10.0	17 2.50	2	+ 0 33 16.7	164	
—	11.0	22 17 2.69	3	+ 0 33 12.1	326	u
12430	9.0	17 15.30	3	+ 13 13 8.1	157	
12431	9.8	17 15.70	2	+ 18 59 15.3	84	
12432	9.0	17 16.45	3	+ 6 38 41.1	242	n
12433	9.0	17 16.53	4	+ 5 50 39.8	332	n
12434	9.0	22 17 17.17	3	— 14 55 3.6	380	
12435	9.7	17 23.63	3	+ 2 17 20.4	61	
12436	9.3	17 36.17	4	+ 8 51 30.6	66	
12437	10.0	17 36.59	4	+ 16 56 39.4	87	
12438	9.0	17 37.14	3	+ 13 11 52.3	239	
—	9.5	22 17 36.94	3	+ 13 11 53.8	323	
12439	9.0	17 44.56	3	— 11 47 34.9	154	
12440	10.0	17 46.07	2	— 5 16 9.8	151	n
12441	10.0	18 2.75	3	— 13 48 9.4	241	n
12442	10.0	18 6.53	4	+ 13 16 51.0	63	
12443	9.7	22 18 12.46	2	+ 21 55 33.0	86	
12444	10.0	18 14.78	2	+ 5 33 38.4	71	
12445	9.3	18 22.91	3	— 17 41 14.4	64	
12446	9.0	18 24.06	5	+ 16 24 39.3	85	
12447	9.0	18 37.01	4	— 14 36 16.0	69	
12448	9.5	22 18 45.69	3	+ 13 13 22.9	74	
—	9.5	18 45.67	3	+ 13 13 24.2	323	
12449	10.0	18 57.60	3	— 11 47 20.0	154	n
12450	8.0	18 58.37	4	+ 18 15 19.4	326	
12451	9.5	19 7.41	4	— 7 2 44.4	76	
12452	9.0	22 19 10.65	3	— 0 37 7.8	163	
12453	9.0	19 12.18	4	+ 8 11 28.2	242	n
12454	9.0	19 14.73	3	+ 20 53 17.4	87	n
12455	10.0	19 17.10	2	+ 9 10 13.9	79	u
—	10.5	19 16.77	2	+ 9 10 15.8	83	u
12456	10.0	22 19 17.53	3	— 5 16 29.9	151	n
12457	10.0	19 26.13	3	— 23 32 0.1	153	n
12458	9.3	19 27.40	3	+ 16 10 23.8	84	
12459	9.3	19 30.95	2	— 23 13 45.6	64	
12460	9.0	19 35.14	4	— 1 26 35.5	164	
12461	10.0	22 19 40.03	4	+ 9 22 49.4	63	
12462	9.0	19 52.55	4	+ 12 32 55.6	239	
12463	9.5	19 53.82	4	+ 16 4 57.6	86	
12464	9.2	19 55.66	4	+ 21 42 29.9	85	
12465	10.0	19 56.65	5	+ 20 36 22.5	240	n
12466	9.0	22 19 59.84	4	— 14 43 26.0	69	
12467	10.0	20 9.77	3	+ 10 20 9.8	157	
12468	9.0	20 16.51	3	+ 21 22 6.3	326	
12469	9.5	20 19.43	2	+ 12 52 7.1	74	
—	9.5	20 19.35	3	+ 12 52 5.8	323	
12470	7.5	22 20 19.40	3	— 11 50 16.6	154	
12471	9.5	20 40.32	1	— 24 29 14.1	64	
12472	9.6	20 42.96	4	+ 18 48 13.9	87	
12473	9.8	20 43.34	2	+ 12 43 48.1	79	
—	10.0	20 43.44	3	+ 12 43 47.2	83	

No.	Grösse	Rectascension 1880.0 h m s	Fäden	Declination 1880.0 ° ′ ″	Zone	Bemerkungen
12474	9.0	22 20 43.41	3	— 1 8 56.7	163	
12475	10.0	20 53.83	3	— 14 45 44.3	153	
12476	9.0	20 55.49	3	+ 14 13 40.7	63	
12477	10.0	20 58.75	3	— 7 51 7.5	76	
12478	8.0	21 3.79	2	+ 21 15 36.3	85	
12479	9.6	22 21 5.65	3	— 6 38 20.8	151	n
12480	9.0	21 7.48	4	+ 16 54 48.1	84	
12481	8.5	21 11.14	4	+ 8 18 53.0	242	n
12482	10.0	21 11.43	3	+ 10 40 21.1	157	
12483	9.0	21 15.24	4	— 2 15 4.4	164	n
12484	10.0	22 21 36.61	3	+ 8 20 50.6	323	
12485	9.0	21 38.53	3	— 4 55 38.3	151	
12486	9.0	21 45.54	3	— 12 30 8.7	154	
12487	10.0	21 51.60	2	+ 1 21 27.4	163	n
12488	9.8	21 56.02	3	+ 15 53 36.4	86	
12489	9.7	22 21 57.88	3	— 15 27 43.6	69	
12490	9.6	22 9.57	4	— 1 33 25.1	78	
12491	10.0	22 11.48	3	+ 8 33 27.7	66	
—	9.5	22 11.50	3	+ 8 33 26.7	326	
12492	9.5	22 13.16	3	— 0 14 2.6	61	
12493	9.5	22 22 14.10	3	+ 13 44 21.8	74	
12494	10.0	22 16.84	3	+ 17 59 27.4	87	
12495	9.3	22 19.06	3	— 19 20 5.6	64	
12496	9.0	22 23.77	3	+ 18 50 6.6	84	
12497	9.0	22 25.51	3	— 16 45 47.9	153	n
12498	9.0	22 22 35.51	2	— 3 1 53.3	151	
—	9.3	22 35.72	3	— 3 1 59.5	332	
—	8.5	22 35.52	4	— 3 1 56.1	382	
12499	5.0	22 39.20	6	— 0 38 1.7	164	dpl. med.
—	5.0	22 39.11	4	— 0 37 59.2	333	dpl. pr.
12500	9.5	22 22 39.49	4	— 14 18 43.0	154	
12501	9.0	22 41.33	2	— 1 23 50.7	331	
12502	10.0	22 48.89	3	+ 11 39 39.3	63	
12503	10.0	22 54.88	2	— 1 22 32.8	331	d
—	10.0	22 54.49	5	— 1 22 35.7	380	
12504	9.8	22 22 55.44	5	+ 13 51 7.2	83	
12505	10.0	22 55.80	3	+ 9 47 28.3	157	
12506	8.0	23 6.99	3	+ 13 43 14.0	239	
—	9.0	23 7.39	3	+ 13 43 10.3	330	
—	9.0	23 7.15	4	+ 13 43 10.0	383	
12507	10.0	22 23 7.56	3	— 7 56 44.8	325	dpl. pr.
12508	9.0	23 9.42	3	— 7 56 29.7	76	dpl. sq. n
12509	9.0	23 9.69	6	— 4 48 5.8	384	
12510	10.0	23 17.27	2	+ 9 30 52.2	71	n
12511	10.0	23 20.66	3	+ 17 34 50.5	86	
12512	9.0	22 23 22.16	1	— 15 25 35.3	69	n
12513	9.0	23 32.30	3	+ 5 1 39.7	66	
—	9.0	23 32.31	3	+ 5 1 40.2	242	
12514	10.0	23 36.28	3	+ 5 3 3.2	323	
12515	10.0	23 44.36	2	— 8 0 52.3	333	u f
12516	9.0	22 23 45.90	2	— 5 42 36.4	325	
12517	9.0	23 52.86	3	+ 16 15 32.8	84	
12518	8.5	23 57.29	3	+ 1 52 16.3	61	
12519	8.0	23 58.54	3	— 16 57 42.6	153	n
12520	9.0	23 59.70	3	+ 8 27 16.3	326	
12521	9.0	22 24 8.23	3	+ 16 15 40.-	84	Decl. gesch.
12522	10.0	24 12.23	1	+ 4 31 9.6	79	
—	10.0	24 12.11	4	+ 4 31 8.8	332	
12523	10.0	24 12.29	3	+ 22 12 0.5	85	
-	9.5	24 12.30	3	+ 22 11 59.7	330	
12524	9.0	22 24 20.32	3	— 1 40 56.4	164	n
12525	10.0	24 25.13	1	— 2 6 39.4	78	
—	9.5	24 25.17	3	— 2 6 36.2	163	
12526	10.0	24 34.46	2	+ 17 33 5.7	86	
12527	9.0	24 38.39	3	+ 13 6 38.6	83	
12528	10.0	22 24 38.69	3	— 19 7 36.3	64	
12529	10.0	24 40.82	4	+ 13 42 51.8	157	
12530	10.0	24 45.79	3	+ 11 36 33.1	63	
—	9.0	24 45.50	3	+ 11 36 31.1	239	
12531	10.0	24 48.54	4	+ 17 17 40.8	87	
12532	10.0	22 24 49.71	2	— 11 43 45.7	69	
—	9.0	24 49.78	5	— 11 43 45.5	380	
12533	10.0	24 54.91	5	+ 16 29 7.4	240	
12534	9.0	24 57.30	4	— 10 16 45.5	154	
12535	10.0	25 2.76	2	+ 9 13 0.6	74	
12536	9.5	22 25 2.83	1	+ 22 17 6.3	330	
12537	9.5	25 8.30	3	+ 9 45 36.7	71	
12538	9.5	25 8.82	1	+ 13 2 9.0	239	
—	10.0	25 8.36	1	+ 13 2 9.2	242	
12539	8.0	25 11.02	1	+ 10 31 24.8	157	
12540	9.7	22 25 32.59	3	+ 20 32 11.6	85	
12541	9.3	25 37.22	2	+ 0 35 18.3	61	
12542	10.0	25 38.10	3	— 4 50 52.0	76	
12543	9.8	25 43.06	2	+ 16 54 5.1	87	
12544	10.0	25 49.84	3	— 17 28 30.0	153	n
12545	10.5	22 26 4.85	1	+ 16 2 20.2	84	u
—	10.5	26 4.—	-	+ 16 2 15.5	86	u
12546	9.5	26 6.32	3	— 2 19 29.9	164	n
12547	9.5	26 10.33	3	+ 10 14 18.8	323	
12548	9.0	26 15.53	1	— 7 5 5.9	76	
12549	9.5	22 26 42.90	4	— 28 45 54.1	64	
12550	9.5	26 52.54	2	+ 9 17 41.1	157	n
12551	10.0	26 57.36	4	+ 6 12 55.5	66	
12552	9.3	27 2.46	3	+ 11 21 56.4	83	
—	9.5	27 2.32	3	+ 11 21 55.9	239	
—	10.0	22 27 2.30	4	+ 11 21 55.8	242	
12553	9.5	27 6.23	3	— 6 56 16.9	325	
12554	10.5	27 6.86	2	+ 11 24 7.9	63	
—	10.0	27 6.86	3	+ 11 24 5.5	323	
12555	10.0	27 12.78	3	— 2 13 38.9	326	

No.	Grösse	Rectascension 1880.0 h m s	Fäden	Declination 1880.0 ° ′ ″	Zone	Bemerkungen
12556	9.5	22 27 16.61	3	+ 21 18 17.5	85	
12557	9.8	27 18.81	2	+ 1 29 32.2	61	
—	9.7	27 18.49	3	+ 1 29 30.9	163	f
—	9.8	27 18.30	2	+ 1 29 33.2	164	
12558	8.0	27 23.21	2	+ 17 10 1.4	87	
12559	9.8	22 27 27.11	3	— 28 16 13.1	153	
—	9.2	27 26.99	3	— 28 16 16.4	332	
12560	10.0	27 33.37	3	+ 2 1 47.8	78	
12561	10.0	27 39.88	3	— 28 9 57.5	154	
12562	9.7	27 57.32	3	— 0 22 54.2	79	
12563	10.0	22 28 0.90	4	— 10 52 8.3	69	
12564	9.5	28 8.58	4	+ 21 48 31.4	84	
12565	9.5	28 14.50	3	— 29 24 48.2	154	
12566	10.0	28 22.07	2	+ 1 52 21.1	163	
12567	9.0	28 24.51	3	— 28 5 24.1	153	
12568	10.0	22 28 24.88	3	+ 17 7 9.3	326	
12569	9.0	28 25.31	3	— 6 19 32.4	325	
—	9.0	28 25.15	4	— 6 19 30.6	382	
12570	10.0	28 38.53	2	+ 12 13 46.2	157	n
12571	9.7	29 20.54	4	+ 13 42 34.0	83	
12572	10.0	22 29 24.93	3	+ 15 24 48.3	86	
12573	10.0	29 33.94	4	— 28 55 55.1	64	
12574	9.0	29 37.35	3	— 27 46 25.3	69	
12575	10.0	29 40.78	4	+ 16 28 45.2	87	
12576	10.0	29 41.92	1	+ 0 42 6.2	61	u
—	10.0	22 29 41.90	1	+ 0 42 5.6	326	
—	10.0	29 41.89	3	+ 0 42 7.6	332	
12577	10.0	29 46.80	3	+ 13 48 28.8	157	
12578	9.7	29 56.66	4	+ 4 58 40.8	66	
12579	10.0	29 57.98	3	+ 17 16 51.9	84	
—	9.2	22 29 57.62	3	+ 17 16 55.8	330	
12580	9.0	30 21.16	3	+ 11 58 9.9	83	
12581	9.5	30 28.08	2	+ 20 55 10.2	85	
12582	9.0	30 37.43	1	— 7 4 26.7	76	
12583	10.0	30 37.96	4	+ 18 14 15.9	86	
12584	8.0	22 30 42.91	4	— 13 31 9.5	153	
12585	9.3	30 50.89	3	— 15 35 41.8	69	
12586	10.0	30 55.64	3	— 5 40 45.1	325	
12587	10.0	30 56.84	2	— 6 0 0.9	331	
12588	9.7	30 59.83	3	+ 13 54 21.1	63	
—	10.0	22 30 59.63	3	+ 13 54 17.6	323	
12589	10.0	31 12.60	4	+ 10 28 30.6	74	
12590	9.9	31 23.49	4	+ 15 23 58.9	87	n
12591	9.2	31 30.17	3	+ 12 15 46.4	239	
12592	9.3	31 31.72	3	— 13 49 5.4	64	
12593	10.0	22 31 38.53	1	— 0 21 44.7	61	
—	10.0	31 38.18	3	— 0 21 46.7	164	
12594	10.0	31 49.93	3	+ 5 17 2.9	66	
12595	9.5	32 1.06	4	+ 13 9 19.5	83	
12596	9.0	32 3.77	3	+ 12 55 26.4	157	
12597	9.0	22 32 8.39	3	+ 12 56 15.7	63	
—	9.0	32 8.38	2	+ 12 56 16.2	157	
12598	9.0	32 9.37	2	— 28 53 44.2	69	
12599	10.0	32 10.98	3	— 14 39 37.9	153	
12600	10.0	32 11.74	3	+ 1 27 21.2	326	
12601	9.0	22 32 22.44	4	— 4 28 23.4	325	
12602	8.0	32 23.54	4	+ 9 59 33.9	242	
12603	10.0	32 23.57	3	+ 5 3 5.0	239	
12604	10.0	32 30.72	4	+ 5 39 33.8	71	
12605	9.4	32 35.81	3	+ 13 33 54.3	87	n
12606	10.0	22 32 50.72	3	+ 1 53 56.1	326	
—	10.0	32 50.49	3	+ 1 53 57.3	382	
—	10.0	32 50.50	4	+ 1 53 55.9	383	
12607	10.0	32 52.86	3	— 15 14 13.9	153	n f
12608	9.6	32 55.17	4	+ 21 11 24.7	85	
—	9.0	22 32 55.09	3	+ 21 11 22.0	323	
12609	8.0	33 5.11	2	+ 16 28 21.5	240	n
12610	8.0	33 10.82	4	— 13 14 3.6	332	dpl. pr.
12611	9.6	33 11.60	3	+ 16 49 58.1	84	
12612	9.5	33 20.60	4	— 5 31 48.4	76	
12613	9.0	22 33 21.21	4	+ 13 38 41.8	63	
12614	10.0	33 26.16	4	+ 21 8 59.5	86	
12615	7.6	33 31.02	2	— 15 10 11.2	153	
12616	9.2	33 34.45	3	+ 11 32 4.9	83	
12617	10.0	33 35.94	2	+ 8 5 57.1	242	a n
12618	10.0	22 33 48.92	2	— 2 29 5.8	326	
12619	10.0	33 49.29	3	+ 11 21 18.9	239	
12620	9.0	33 57.07	3	— 24 19 45.1	64	
—	9.4	33 56.76	3	— 24 19 44.0	69	
12621	10.5	33 59.92	3	+ 8 59 57.6	66	
12622	9.5	22 34 18.99	2	+ 10 17 1.0	74	s
12623	9.0	34 21.64	4	+ 21 56 35.1	323	
12624	9.0	34 33.16	3	+ 2 9 46.4	72	
12625	9.0	34 37.30	3	+ 18 50 22.1	328	
12626	9.0	34 38.55	3	+ 18 43 9.9	330	
12627	9.5	22 34 55.14	1	+ 16 30 45.1	330	n
12628	10.0	34 56.31	4	+ 9 37 42.5	392	
12629	9.0	34 56.71	3	+ 18 48 17.3	331	
12630	10.0	34 59.85	3	— 0 52 9.6	332	
12631	9.0	35 1.12	4	— 2 4 38.5	382	
12632	10.0	22 35 2.32	4	— 6 52 15.2	76	
12633	10.0	35 4.11	1	+ 0 25 32.9	383	u s
12634	9.2	35 5.92	5	+ 18 35 46.8	333	
12635	8.5	35 14.42	3	— 16 14 43.4	153	n
12636	9.5	35 15.28	3	— 2 24 21.8	384	
12637	10.0	22 35 18.26	3	— 2 3 29.4	326	
12638	9.0	35 33.81	2	+ 22 8 25.6	323	
12639	8.3	36 9.54	4	+ 10 27 31.1	79	
—	9.0	36 9.39	2	+ 10 27 31.1	328	
12640	10.0	36 12.89	3	+ 16 34 51.3	240	n

No.	Grösse	Rectascension 1880.0 h	m	s	Fäden	Declination 1880.0 °	'	"	Zone	Bemerkungen
12641	10.0	22	36	16.69	3	+ 9	37	32.1	331	
12642	9.0		36	21.92	3	− 18	1	8.0	153	n
12643	10.0		36	23.19	4	+ 8	54	52.7	66	n
12644	10.0		36	39.21	4	− 6	50	30.7	76	
—	9.3		36	39.48	3	− 6	50	31.6	82	
12645	9.0	22	36	40.29	3	− 5	19	21.1	325	
12646	9.7		36	45.62	2	+ 19	44	31.8	85	
12647	9.3		36	46.67	5	− 4	3	23.8	332	
12648	10.5		36	51.68	1	+ 10	22	22.2	63	
12649	9.0		37	4.88	2	+ 12	12	27.1	79	
—	8.8	22	37	4.59	3	+ 12	12	25.8	165	
12650	9.5		37	7.22	5	+ 9	20	27.1	83	
12651	9.0		37	30.64	3	− 18	54	35.3	64	
12652	10.0		37	38.94	3	− 13	17	59.8	382	n
12653	8.8		37	41.73	3	− 13	18	51.8	383	
12654	9.7	22	37	52.47	4	− 3	9	37.3	76	
12655	9.8		37	56.08	3	+ 17	12	7.0	86	
12656	9.0		38	4.33	3	− 19	43	3.8	153	
12657	10.0		38	26.88	1	− 27	55	18.8	64	
12658	10.0		38	29.05	3	+ 8	27	0.0	83	n
12659	10.5	22	38	49.32	2	+ 22	32	23.6	87	u
12660	9.0		38	50.97	2	+ 1	57	31.5	72	
12661	11.0		38	51.74	3	+ 1	1	0.8	325	
—	10.0		38	51.60	3	+ 1	0	56.9	384	
12662	9.8		38	53.09	3	− 3	17	4.4	82	
12663	9.6	22	38	53.37	3	− 3	17	20.-	82	Decl. gesch.
12664	9.0		38	59.03	2	+ 1	57	58.4	72	n
12665	9.5		38	59.22	5	+ 16	42	53.1	85	
12666	10.0		39	0.46	3	+ 10	27	27.5	157	
12667	9.0		39	7.22	4	− 2	52	42.3	382	
12668	9.0	22	39	9.66	1	− 1	48	28.8	328	n
12669	10.0		39	29.06	3	+ 10	34	2.4	63	
—	9.8		39	29.25	3	+ 10	34	1.1	165	
12670	9.5		39	36.33	4	− 18	43	59.4	153	n
12671	9.2		39	40.21	3	+ 21	40	35.1	86	
12672	10.0	22	39	41.42	3	+ 9	38	45.5	68	
12673	10.0		40	6.66	3	− 0	31	20.8	326	
12674	9.8		40	8.38	3	+ 1	38	2.2	79	
12675	9.5		40	17.88	3	+ 11	1	47.3	323	
12676	10.0		40	18.13	4	+ 8	28	24.9	83	n
12677	9.0	22	40	27.96	4	+ 11	6	24.5	239	
12678	9.0		40	42.51	3	+ 12	4	55.1	63	n
—	9.7		40	42.64	3	+ 12	4	54.1	165	
12679	9.0		40	59.11	6	+ 18	23	27.5	240	A
12680	9.8		41	1.07	2	+ 10	38	35.9	68	n
—	9.7	22	41	0.66	1	+ 10	38	32.6	165	
12681	9.0		41	2.34	5	− 18	12	35.4	64	
12682	8.5		41	10.25	4	− 18	42	50.3	153	n
12683	9.0		41	19.75	3	+ 17	45	0.2	323	
—	9.0		41	19.80	4	+ 17	45	0.5	382	
12684	10.5	22	41	20.27	2	− 8	58	59.9	76	
12685	8.0		41	23.46	3	+ 2	16	20.8	72	
12686	9.0		41	24.81	4	+ 20	50	0.3	326	
12687	10.0		41	33.02	4	− 3	27	28.3	82	
12688	9.8		41	37.43	3	+ 11	43	50.7	79	
12689	8.0,8.0	22	41	38.71	3	− 4	51	7.5	325	dpl. med.
12690	9.0		41	41.28	3	− 4	51	41.3	325	
—	9.0		41	41.32	4	− 4	51	40.8	329	
—	9.0		41	40.90	5	− 4	51	42.2	331	
12691	8.5		42	3.62	2	− 6	24	2.2	82	
12692	8.0	22	42	8.90	4	+ 12	22	40.5	239	
12693	9.5		42	26.00	2	− 8	5	31.8	330	a
12694	9.0		42	29.14	3	− 17	37	41.2	153	n
12695	9.7		42	39.99	3	+ 17	28	23.1	85	
12696	8.0		42	45.50	4	+ 1	16	4.3	72	
12697	9.5	22	42	48.27	2	− 4	1	10.8	329	
—	8.0		42	48.45	4	− 4	1	16.1	382	
12698	9.0		42	50.61	3	+ 13	39	19.7	83	n
12699	10.0		42	54.65	2	− 8	17	42.1	331	
—	9.7		42	54.41	5	− 8	17	43.5	384	
12700	10.0	22	42	56.64	3	+ 12	29	21.9	63	
12701	9.6		43	14.31	4	+ 17	24	51.9	87	
12702	9.5		43	19.31	2	+ 10	23	50.5	68	
—	10.0		43	18.82	3	+ 10	23	49.9	157	
12703	9.0		43	20.25	3	+ 11	58	9.2	79	
—	9.0	22	43	20.21	3	+ 11	58	9.2	239	
12704	9.9		43	49.93	3	− 6	12	1.7	82	
12705	9.1		44	6.22	3	+ 20	20	11.3	86	n
12706	9.0		44	10.04	4	+ 13	36	50.9	83	
12707	8.8		44	14.60	6	+ 18	8	27.5	240	n
12708	9.0	22	44	18.07	3	+ 12	10	21.5	165	
12709	10.0		44	18.59	3	− 27	55	14.1	64	
12710	9.8		44	21.14	4	+ 17	31	40.0	85	
12711	9.3		44	24.95	3	+ 9	53	33.1	63	
—	9.2		44	24.99	3	+ 9	53	32.2	157	
12712	10.0	22	44	27.02	3	− 0	45	8.4	72	
12713	10.0		44	27.70	3	− 18	27	19.3	241	
12714	10.0		44	31.56	2	− 7	36	23.8	76	
—	9.0		44	31.74	3	− 7	36	23.4	325	
12715	10.0		44	36.17	2	− 7	34	59.2	167	u
12716	8.0	22	44	46.81	5	+ 18	30	23.0	87	
12717	9.7		45	13.78	2	− 2	32	49.2	79	
12718	9.4		45	38.52	2	+ 20	39	3.7	86	n
12719	10.0		45	43.79	1	− 28	48	7.4	64	n
12720	9.5		45	53.02	3	+ 9	2	8.1	165	n
12721	10.0	22	46	22.22	3	+ 0	57	5.2	326	
12722	9.2		46	31.04	4	+ 19	33	17.9	68	
12723	9.9		46	44.96	3	− 8	46	36.9	82	
—	9.8		46	44.82	2	− 8	46	35.4	167	
12724	9.0		46	53.38	3	− 18	30	6.7	332	

No.	Grösse	Rectascension 1880.0 h	m	s	Fäden	Declination 1880.0 °	'	"	Zone	Bemerkungen
12725	9.8	22	46	58.88	3	+ 18	8	51.0	85	
12726	9.0		46	59.53	2	— 2	15	52.7	326	
12727	9.6		47	3.20	3	+ 0	36	29.9	79	
12728	9.8		47	14.15	3	+ 18	4	18.1	86	
12729	8.0		47	31.17	3	— 5	17	43.1	82	
12730	9.7	22	47	39.65	2	+ 21	56	53.9	87	
12731	10.0		47	41.10	4	+ 12	13	10.6	63	
12732	9.7		47	54.77	4	— 6	8	9.6	76	
12733	9.0		48	2.46	3	— 15	38	53.8	241	
12734	9.0		48	5.70	3	— 0	13	22.0	72	
12735	9.5	22	48	6.—	—	+ 10	0	37.0	68	
—	9.6		48	6.24	3	+ 10	0	34.5	165	
—	10.0		48	6.31	2	+ 10	0	35.6	382	
—	10.0		48	6.36	3	+ 10	0	33.4	384	
12736	9.6		48	18.84	3	+ 21	58	7.2	85	
12737	8.0	22	48	20.34	3	— 23	44	57.0	332	
12738	10.0		48	23.14	3	+ 11	47	14.0	323	
12739	9.0		48	37.06	3	+ 10	15	34.0	239	
12740	10.0		48	47.38	2	— 15	37	34.8	241	
12741	9.0		48	54.01	3	— 8	10	42.0	167	
12742	9.0	22	48	59.99	3	+ 11	55	1.4	326	
12743	10.5		49	12.14	2	+ 17	5	48.8	87	u
12744	9.0		49	25.59	3	+ 22	21	43.9	86	
12745	10.0		49	27.59	4	+ 9	54	41.9	239	
12746	9.5		49	34.79	5	— 14	23	26.8	82	
12747	9.3	22	49	35.39	6	+ 20	49	34.0	240	
12748	7.8		49	40.24	2	+ 17	33	24.9	165	
—	8.0		49	40.37	4	+ 17	33	24.5	323	
12749	10.0		49	43.72	3	+ 10	53	9.3	63	
—	9.7		49	43.96	3	+ 10	53	7.6	79	
12750	9.0	22	50	6.03	2	— 7	11	8.4	167	
12751	10.5		50	8.74	2	— 10	35	59.6	64	
—	10.0		50	8.57	3	— 10	36	6.1	332	
12752	8.5		50	8.97	4	— 15	37	47.2	76	
12753	10.0		50	9.39	2	+ 10	34	53.0	382	n u
12754	8.0	22	50	26.10	4	+ 12	24	55.0	68	
12755	9.5		50	27.22	4	+ 16	49	7.0	85	
12756	10.0		50	31.16	3	— 16	54	36.0	153	
—	9.0		50	31.10	3	— 16	54	38.2	241	
12757	9.8		50	32.73	3	+ 21	13	27.6	86	
12758	10.0	22	50	54.47	3	— 2	29	37.4	72	
12759	9.5		51	10.17	3	+ 10	33	14.6	239	
12760	9.0		51	16.73	4	+ 16	53	13.5	87	
12761	10.0		51	17.93	3	— 17	44	44.3	82	
12762	9.8		51	31.47	4	+ 12	17	3.7	63	
—	10.0	22	51	31.64	3	+ 12	17	3.6	323	
12763	9.0		51	41.36	3	+ 10	42	32.2	239	
12764	9.0		51	55.24	3	— 6	19	37.6	167	n
12765	10.0		51	57.45	3	+ 17	22	33.7	68	
12766	10.0		52	4.13	4	— 10	54	25.3	64	

No.	Grösse	Rectascension 1880.0 h	m	s	Fäden	Declination 1880.0 °	'	"	Zone	Bemerkungen
12767	9.9	22	52	7.66	3	+ 0	1	17.6	79	
12768	8.0		52	7.78	1	— 24	20	18.9	82	
—	9.0		52	7.86	3	— 24	20	22.7	332	
12769	9.0		52	18.43	3	— 24	5	24.7	153	
12770	9.0		52	19.85	2	— 24	4	—	153	
—	8.3	22	52	19.63	6	— 24	4	24.8	384	
12771	9.5		52	20.11	3	— 9	5	43.4	241	
—	8.2		52	20.09	4	— 9	5	46.1	382	
12772	9.5		52	42.96	3	+ 17	44	55.1	85	
—	9.5		52	42.87	3	+ 17	44	55.0	328	
—	9.3	22	52	42.72	3	+ 17	44	52.9	329	
12773	9.0		52	52.29	3	+ 11	11	53.6	239	
12774	10.0		52	57.41	2	— 9	8	0.9	241	
12775	8.3		52	58.64	6	— 1	49	25.9	330	
—	9.0		52	58.48	6	— 1	49	26.9	331	
12776	10.0	22	53	4.33	3	— 2	54	47.1	326	
12777	9.4		53	13.81	4	— 14	52	34.9	64	
12778	9.0		53	16.75	3	+ 18	41	34.3	86	
—	9.0		53	16.55	3	+ 18	41	35.9	323	
12779	10.0		53	19.13	3	— 0	56	52.2	72	f
12780	10.0	22	53	21.83	2	+ 18	11	51.4	85	
12781	9.5		53	26.63	2	— 8	2	14.5	76	
12782	10.0		53	31.43	4	+ 9	51	15.5	63	
12783	9.5		53	32.26	3	— 6	26	23.4	167	n
12784	9.5		53	54.54	3	— 1	41	44.2	326	
12785	10.0	22	53	59.52	3	+ 9	41	24.9	68	u
12786	9.0		54	17.06	4	+ 11	35	48.1	239	
12787	8.0		54	20.52	1	+ 13	21	29.8	165	u n
12788	8.9		54	29.56	4	— 17	31	29.5	82	
12789	9.6		54	41.70	3	+ 0	36	37.7	79	
12790	9.6	22	54	48.70	3	— 6	20	22.2	167	n
12791	8.5		54	51.52	5	— 10	11	41.6	241	
12792	9.5		54	55.72	3	+ 13	45	46.6	63	
12793	10.0		54	56.41	2	+ 22	39	8.7	85	
12794	8.0		55	6.64	3	— 23	3	42.2	153	n
12795	10.0	22	55	9.19	2	+ 17	42	34.9	240	n
12796	9.2		55	11.10	4	— 16	0	57.6	324	
12797	9.3		55	37.74	4	+ 18	37	38.4	86	
12798	9.7		55	38.23	3	— 2	10	30.7	72	
12799	9.7		55	39.75	3	+ 22	47	40.2	87	
12800	8.2	22	55	46.65	3	+ 14	4	29.1	244	
12801	9.2		56	10.72	4	+ 18	10	4.6	68	
—	9.0		56	10.47	3	+ 18	10	0.7	323	
12802	9.5		56	17.74	3	— 10	53	17.8	241	
12803	9.0		56	28.16	4	+ 8	56	17.3	239	
12804	10.0	22	56	29.01	3	+ 13	19	11.2	63	
12805	10.0		56	29.79	3	— 23	15	30.4	153	n
12806	9.8		56	33.60	3	— 3	6	31.7	167	
12807	9.5		56	34.46	3	+ 15	12	4.4	244	n
12808	9.0		56	42.08	3	— 15	45	49.1	82	

No.	Grösse	Rectascension 1880.0 h	m	s	Fäden	Declination 1880.0 °	'	"	Zone	Bemerkungen
12809	10.0	22	56	44.24	1	− 7	0	7.1	167	
—	9.5		56	44.63	3	− 7	0	8.4	324	
12810	8.5		56	48.24	3	+ 18	11	58.3	85	
12811	9.0		56	48.30	4	+ 1	34	44.4	79	
12812	9.0		56	53.27	3	− 11	40	3.2	241	
12813	9.0	22	57	3.04	3	+ 0	51	45.2	326	
12814	8.3		57	3.41	4	+ 18	10	11.9	86	
12815	8.0		57	37.16	3	− 23	21	21.3	153	n
12816	9.5		57	50.11	5	+ 22	51	47.5	87	
12817	9.0		57	52.66	3	+ 10	26	56.5	239	
12818	9.6	22	57	56.20	2	− 16	39	20.6	82	
—	9.3		57	56.28	3	− 16	39	22.2	332	
12819	9.6		57	57.29	2	+ 17	37	54.5	86	
12820	9.8		57	57.59	3	− 6	57	37.0	167	
12821	9.5		58	7.79	3	− 10	51	44.8	241	
12822	8.7	22	58	16.00	3	+ 21	44	42.1	85	
12823	10.0		58	22.10	4	+ 22	48	10.9	240	
12824	9.0		58	27.09	3	+ 17	13	40.4	323	a
12825	10.0		58	30.61	3	+ 13	48	52.7	244	
12826	10.0		58	33.16	3	− 29	7	33.8	153	
12827	10.0	22	58	33.78	3	− 7	16	15.4	331	
—	9.0		58	33.98	3	− 7	16	14.6	382	
12828	10.0		58	39.92	3	+ 11	31	28.3	239	
12829	9.0		58	51.31	3	+ 9	37	20.7	326	
12830	9.0		58	55.16	4	+ 19	8	15.8	328	
12831	9.2	22	58	55.33	4	+ 9	10	27.4	63	
12832	9.0		59	1.37	4	+ 8	57	27.4	79	
—	9.0		59	1.46	5	+ 8	57	25.6	330	
12833	9.0		59	7.74	3	− 7	18	34.1	382	
12834	10.5		59	9.85	3	− 0	33	52.2	80	
12835	8.0	22	59	29.60	1	+ 13	48	7.6	68	
—	7.0		59	29.47	3	+ 13	48	5.4	323	
12836	10.0		59	29.68	3	+ 0	51	54.6	329	
12837	8.0		59	32.68	2	− 16	6	2.0	82	
12838	10.0		59	38.21	3	− 0	27	24.2	326	
12839	8.0	22	59	40.96	4	+ 19	35	35.1	86	
12840	9.7		59	44.99	2	+ 20	50	11.6	87	
12841	9.0		59	46.26	3	− 11	1	21.3	241	
12842	9.6		59	53.71	2	+ 22	13	22.4	85	
12843	9.5		59	54.29	3	− 10	2	4.6	324	
—	10.0	22	59	54.40	3	− 10	2	7.7	332	
12844	9.8	23	0	10.48	1	− 7	28	23.7	76	
—	9.6		0	10.31	4	− 7	28	25.8	167	
12845	9.2		0	18.42	3	+ 21	56	50.0	244	
12846	9.0		0	24.97	4	− 0	50	35.1	330	
—	9.0	23	0	24.93	6	− 0	50	36.2	331	
12847	9.6		1	4.50	2	+ 11	30	44.6	165	
12848	10.0		1	6.38	3	+ 22	57	48.2	323	
12849	9.5		1	7.59	2	+ 22	58	8.3	244	
12850	9.0		1	37.65	2	− 6	20	46.2	167	n

No.	Grösse	Rectascension 1880.0 h	m	s	Fäden	Declination 1880.0 °	'	"	Zone	Bemerkungen
12851	9.5	23	1	49.40	5	− 16	59	25.7	82	
12852	6.0		1	51.59	4	− 29	28	21.4	332	
12853	9.5		2	8.12	3	+ 17	10	35.9	68	
—	9.6		2	7.97	3	+ 17	10	33.2	86	
12854	8.0		2	16.06	4	− 1	8	53.3	326	
—	8.0	23	2	16.06	4	− 1	8	53.3	328	
12855	8.0		2	16.63	4	+ 9	55	42.3	79	
12856	10.0		2	43.38	3	− 14	21	55.6	241	
12857	10.0		2	44.82	4	+ 17	18	37.7	87	
12858	10.0		2	52.01	3	+ 11	30	26.9	165	
12859	10.0	23	3	0.89	4	+ 9	15	47.5	323	
12860	9.0		3	2.94	3	− 9	50	12.6	82	
—	10.0		3	3.09	3	− 9	50	12.1	324	
12861	10.0		3	5.72	5	+ 17	41	32.5	240	
12862	9.5		3	10.54	3	+ 17	45	42.5	244	
12863	10.0	23	3	20.69	2	+ 10	11	43.5	329	
12864	8.0		3	26.25	5	+ 1	16	40.5	326	
—	9.0		3	26.24	5	+ 1	16	39.9	332	
—	9.0		3	26.36	5	+ 1	16	39.7	333	
12865	9.0		3	35.21	4	− 7	44	28.9	167	
12866	9.4	23	3	36.46	6	+ 23	33	26.8	86	
—	9.0		3	36.29	3	+ 23	33	27.6	330	
12867	10.0		3	37.61	3	− 1	28	30.5	385	n
12868	9.5		3	38.88	3	+ 17	43	9.2	244	
12869	10.0		4	37.21	3	+ 11	42	18.4	165	n
12870	9.7	23	4	38.05	3	+ 23	45	26.7	87	
12871	10.0		4	38.83	1	− 8	17	30.5	167	
—	9.7		4	38.77	2	− 8	17	29.1	385	
—	9.5		4	38.76	1	− 8	17	28.0	386	
—	9.5		4	38.75	4	− 8	17	29.0	387	
12872	10.0	23	4	46.37	3	+ 9	26	29.7	323	
12873	10.0		4	50.94	2	+ 0	8	12.8	78	
—	10.0		4	51.02	2	+ 0	8	12.7	326	a
12874	8.0		4	56.19	5	− 15	50	7.4	82	
12875	9.8		5	0.98	1	+ 10	24	53.5	165	
—	10.0	23	5	0.94	3	+ 10	24	51.7	330	
12876	9.8		5	35.31	3	+ 21	13	20.0	86	
12877	9.5		6	1.39	3	− 4	35	20.8	167	
12878	9.8		6	29.95	3	− 15	39	12.2	82	
12879	10.0		6	40.37	3	− 7	36	17.3	324	
12880	10.5	23	6	59.91	2	+ 21	19	30.5	87	
12881	9.7		7	1.58	2	+ 11	13	38.9	81	n
12882	9.8		7	2.56	3	− 2	42	52.7	78	
—	9.8		7	2.69	2	− 2	42	50.6	80	
12883	8.3		7	7.48	2	+ 11	17	55.1	88	
12884	10.0	23	7	7.84	3	− 0	27	13.2	326	
—	10.0		7	7.72	3	− 0	27	11.9	385	
12885	10.0		7	11.47	1	− 6	30	14.7	167	
—	9.5		7	11.57	3	− 6	30	16.6	331	
12886	9.3		7	20.23	4	+ 20	17	50.5	240	n

No.	Grösse	Rectascension 1880.0 (h m s)	Fäden	Declination 1880.0 (° ′ ″)	Zone	Bemerkungen
12887	10.0	23 7 23.39	4	— 2 38 23.7	328	
12888	10.0	7 33.83	3	+ 17 47 17.7	86	
—	9.0	7 33.78	4	+ 17 47 13.9	89	
12889	9.0	7 36.49	4	+ 12 30 49.1	79	
12890	6.0	8 6.48	5	— 6 41 48.1	324	
—	5.0	23 8 6.49	5	— 6 41 47.4	331	
12891	10.0	8 7.66	3	+ 11 14 —	162	
—	9.3	8 7.39	3	+ 11 14 59.2	165	
—	10.0	8 7.30	4	+ 11 14 54.8	244	
—	10.0	8 7.60	2	+ 11 14 56.3	385	
—	10.0	23 8 7.46	1	+ 11 14 54.5	386	u
—	10.0	8 7.—	—	+ 11 14 56.6	387	
12892	9.4	8 20.94	3	+ 22 30 40.4	87	
12893	9.0	8 31.50	3	— 2 43 39.1	326	
12894	8.0	8 36.22	4	— 8 21 22.1	76	
12895	9.5	23 8 56.56	3	+ 11 50 22.3	81	n
12896	9.7	8 57.82	2	+ 1 30 3.6	78	
12897	9.3	9 4.52	2	+ 11 13 14.7	79	
—	9.3	9 4.55	3	+ 11 13 15.0	165	
12898	10.0	9 8.92	4	+ 2 19 26.2	80	
12899	8.0	23 9 16.42	3	+ 11 47 1.7	88	
12900	9.8	9 25.67	4	+ 19 11 54.6	86	
—	9.0	9 25.65	4	+ 19 11 53.7	323	
12901	9.7	9 33.98	3	— 9 43 55.4	324	
—	9.2	9 34.16	6	— 9 43 57.2	388	
12902	10.0	23 9 40.48	2	— 0 41 38.4	329	
12903	10.0	9 40.83	3	— 1 27 33.4	326	
12904	9.0	9 58.63	3	+ 18 48 17.3	87	
—	9.2	9 58.74	4	+ 18 48 16.8	89	
12905	9.0	10 0.44	3	+ 11 10 13.0	244	
12906	8.0	23 10 4.55	4	— 27 44 8.7	82	
12907	9.3	10 5.83	4	— 10 11 52.8	332	
—	9.0	10 5.73	3	— 10 11 52.8	385	
12908	9.0	10 23.97	3	— 2 14 29.9	78	dpl. aust.
—	9.0	10 24.20	4	— 2 14 31.4	91	
12909	9.0	23 10 26.18	3	— 6 37 42.0	167	n
12910	8.5	10 52.19	3	— 14 28 4.6	82	
—	9.0	10 52.03	4	— 14 28 10.4	386	
12911	10.0	11 1.55	3	+ 8 28 51.4	162	n
12912	10.0	11 24.18	2	— 1 27 15.7	80	u
12913	8.0	23 11 25.86	6	— 2 10 24.5	326	
—	8.5	11 25.85	6	— 2 10 27.3	328	
—	9.0	11 25.45	4	— 2 10 25.7	329	
12914	9.0	11 49.28	4	— 3 21 4.9	76	
12915	8.5	11 50.73	3	— 7 57 37.4	167	
12916	9.0	23 11 53.72	2	+ 8 28 17.4	162	n
12917	10.0	11 55.58	3	+ 14 10 24.7	244	n
12918	9.5	11 56.20	4	+ 9 14 7.8	81	
12919	10.0	11 56.41	3	+ 21 58 50.6	86	
—	9.5	11 56.49	3	+ 21 58 49.3	89	

No.	Grösse	Rectascension 1880.0 (h m s)	Fäden	Declination 1880.0 (° ′ ″)	Zone	Bemerkungen
12920	10.0	23 11 58.25	1	— 0 9 37.5	91	
—	9.0	11 58.03	6	— 0 9 39.5	388	
12921	9.5	12 10.92	4	+ 12 31 13.5	79	
—	10.5	12 10.90	2	+ 12 31 13.7	88	s
12922	9.0	12 21.48	4	+ 11 27 53.0	165	
12923	9.0	23 12 26.67	5	+ 18 20 26.7	87	
12924	9.0	12 39.43	3	— 14 31 14.1	324	
12925	9.0	13 6.34	4	+ 22 24 49.7	89	
12926	9.5	13 16.38	3	+ 10 2 35.6	79	
12927	7.8	13 22.91	3	— 16 26 20.3	82	
12928	9.3	23 13 25.11	2	+ 10 31 14.9	81	Decl.—1°corr.
12929	9.3	13 34.81	4	+ 1 38 55.9	78	
12930	10.0	13 52.36	1	+ 10 31 31.8	88	s
—	10.0	13 52.10	2	+ 10 31 31.5	165	
12931	9.0	14 12.58	4	— 3 34 20.6	76	
12932	9.9	23 14 20.83	3	+ 22 37 56.2	86	
12933	8.5	14 25.13	4	— 9 34 35.3	167	
12934	9.5	14 26.92	4	+ 0 3 45.4	80	
12935	10.0	14 32.08	3	+ 9 50 12.2	244	
12936	10.0	14 47.32	4	— 15 51 53.6	82	
12937	10.0	23 14 53.66	3	+ 10 52 15.7	323	n
—	10.0	14 53.30	1	+ 10 52 16.0	385	
12938	10.0	15 1.58	2	+ 11 1 58.3	329	a
12939	10.0	15 14.09	3	— 3 43 17.4	324	
12940	9.4	15 25.—	—	+ 19 28 25.4	89	u
—	9.0	23 15 25.05	3	+ 19 28 26.1	244	
12941	9.5	15 31.73	1	+ 21 56 41.5	323	
—	9.0	15 31.57	3	+ 21 56 43.0	331	
12942	10.0	15 43.20	3	+ 11 56 17.6	165	
12943	10.0	15 54.28	3	— 2 28 51.2	91	
12944	9.5	23 16 6.54	3	+ 10 33 23.5	79	
12945	10.0	16 13.76	2	+ 10 17 49.9	330	
12946	9.2	16 17.32	3	— 7 53 47.4	167	n
12947	10.0	16 17.34	3	+ 0 57 1.3	78	
—	10.0	16 17.66	2	+ 0 57 2.4	385	
—	10.0	23 16 17.44	3	+ 0 57 3.2	387	u s
12948	9.0	16 21.79	4	— 14 32 52.3	76	
12949	9.0	16 27.93	1	+ 22 44 18.0	244	
—	9.0	16 27.98	3	+ 22 44 17.5	331	
12950	10.0	16 31.84	3	+ 11 49 17.4	332	
12951	9.5	23 16 49.59	4	+ 21 28 38.4	245	
12952	8.5	17 3.84	4	— 29 19 53.3	82	
12953	9.7	17 4.53	3	— 0 30 24.9	80	
12954	9.0	17 21.83	3	— 15 7 58.0	386	
12955	8.5	17 23.85	4	— 15 8 52.7	324	
12956	9.4	23 17 28.20	2	+ 18 51 14.9	89	
12957	9.7	17 31.00	1	+ 2 16 24.8	80	
12958	9.5	17 32.23	4	+ 18 53 25.2	323	n
—	9.0	17 32.16	1	+ 18 53 25.7	385	
—	9.5	17 32.05	2	+ 18 53 26.4	387	

No.	Grösse	Rectascension 1880.0 h m s	Fäden	Declination 1880.0 ° ′ ″	Zone	Bemerkungen
12959	9.8	23 17 34.62	3	— 1 32 24.4	91	
12960	10.0	17 38.56	4	+ 9 25 34.8	81	
12961	9.0	18 14.84	3	— 7 37 13.6	167	u n
12962	10.0	18 18.78	2	— 28 23 4.2	82	
12963	9.0	18 21.01	3	— 15 57 7.7	76	u
—	9.5	23 18 20.80	3	— 15 57 10.1	332	
12964	7.5	18 21.23	3	+ 20 45 22.7	244	n
12965	9.7	18 40.54	4	+ 10 54 29.8	79	
12966	9.5	19 7.95	3	+ 22 13 46.7	323	
12967	10.0	19 12.40	1	+ 11 35 22.6	245	
—	10.0	23 19 12.39	3	+ 11 35 18.8	330	
12968	10.0	19 15.80	3	+ 12 0 10.9	326	
12969	10.0	19 25.42	2	+ 12 50 41.9	165	
—	9.2	19 25.45	3	+ 12 50 40.9	331	
12970	10.0	19 37.67	3	— 15 0 57.7	324	
12971	9.6	23 19 42.10	4	+ 20 43 11.2	89	n
—	9.0	19 41.67	4	+ 20 43 12.5	244	
12972	10.0	19 45.21	2	+ 0 34 7.2	80	
—	10.0	19 44.96	1	+ 0 34 4.9	332	
12973	9.5	19 50.74	5	— 15 52 59.9	76	
12974	8.3	23 20 5.54	3	— 11 20 34.5	82	
12975	10.0	20 26.68	3	+ 0 34 0.2	331	
12976	10.0	20 47.37	3	— 1 38 14.3	326	
12977	9.0	20 50.33	3	+ 21 2 26.8	245	n
12978	9.8	21 0.68	2	+ 12 27 10.2	165	n
12979	9.0	23 21 14.16	3	— 0 17 18.4	80	
12980	9.5	21 41.77	3	+ 19 30 58.6	89	
12981	9.0	22 0.99	3	+ 20 42 8.1	244	
12982	9.0	22 3.04	3	+ 21 6 42.3	245	
—	9.0	22 2.93	3	+ 21 6 43.7	323	
12983	10.0	23 22 8.36	3	+ 0 43 22.2	326	
12984	9.0	22 23.77	4	+ 22 10 56.2	385	
12985	9.5	22 28.96	3	— 14 41 45.2	82	
12986	9.8	22 40.96	4	— 14 58 19.1	76	
12987	10.0	22 41.61	2	+ 10 5 46.0	165	
—	10.0	23 22 41.64	3	+ 10 5 42.9	329	
12988	10.0	23 18.48	1	— 0 21 —	80	u
—	10.0	23 18.33	3	— 0 21 46.5	324	
12989	9.5	23 36.90	4	+ 21 0 55.9	89	
12990	9.0	23 55.98	3	+ 11 45 1.3	326	
12991	10.0	23 24 11.32	3	+ 19 46 16.0	244	
12992	9.0	24 12.23	4	+ 22 1 21.6	245	
12993	10.0	24 13.19	3	+ 11 11 35.2	323	
12994	10.0	24 22.01	4	+ 11 34 5.7	330	
12995	9.0	24 31.37	4	— 13 57 56.0	76	
12996	7.8	23 24 31.79	4	+ 0 12 58.9	91	
12997	9.8	24 51.50	4	+ 11 12 56.4	79	
—	9.5	24 51.41	2	+ 11 12 56.2	88	
—	10.0	24 51.62	2	+ 11 12 55.8	165	
12998	10.0	25 40.57	4	— 27 48 8.6	82	
12999	10.0	23 25 47.12	2	— 0 54 32.5	324	
—	10.0	25 46.76	3	— 0 54 31.5	385	
13000	9.0	25 50.48	3	+ 21 8 35.8	245	
13001	9.8	26 16.73	4	+ 12 16 53.3	81	
13002	9.3	26 42.55	4	+ 2 20 36.4	91	
13003	10.0	23 26 44.15	2	— 1 55 30.8	324	
13004	10.0	26 45.58	3	+ 21 37 48.9	89	
13005	9.0	26 47.84	3	— 0 28 54.9	326	
13006	9.0	27 3.16	4	— 0 25 30.2	386	
13007	10.5	27 13.63	2	+ 10 1 6.2	79	
13008	10.0	23 27 26.54	3	+ 22 34 56.3	323	
13009	7.5	27 27.81	1	+ 23 40 44.4	89	
13010	9.6	27 38.33	4	+ 9 59 16.6	88	
—	9.0	27 38.33	4	+ 9 59 14.5	330	
13011	9.4	27 46.41	4	— 14 9 12.6	76	
13012	9.7	23 28 5.59	2	+ 1 38 22.9	91	
13013	9.5	28 11.23	3	— 0 27 40.3	324	
13014	9.3	28 17.64	1	+ 19 1 30.6	245	
13015	9.0	28 31.57	4	— 28 22 35.9	82	
13016	9.5	28 32.07	3	+ 21 16 50.1	323	
13017	7.8	23 29 10.86	3	+ 10 17 43.7	88	
13018	9.5	29 22.21	4	+ 0 18 30.9	326	
13019	9.0	29 31.47	1	— 14 7 8.0	82	
—	9.0	29 31.34	1	— 14 7 6.3	324	
13020	9.0	29 46.77	4	+ 1 46 56.0	91	n
13021	9.6	23 30 10.84	5	+ 11 11 6.3	79	
13022	8.0	30 25.74	3	+ 20 0 14.1	245	n
13023	9.0	30 28.62	3	+ 21 13 13.1	244	
13024	9.5	30 53.47	3	+ 0 45 36.8	326	
13025	9.0	31 2.55	3	+ 10 57 44.0	88	
13026	8.0	23 31 17.03	3	+ 21 34 40.5	244	
13027	10.0	31 21.06	3	+ 1 28 32.4	91	
13028	9.0	31 21.20	3	+ 22 55 49.7	89	
13029	9.0	31 44.98	3	— 29 25 30.3	76	
13030	9.8	31 52.68	3	+ 10 34 4.0	81	
13031	10.0	23 31 54.43	4	+ 1 12 8.6	385	
13032	9.0	32 0.48	3	— 4 25 25.5	324	
13033	7.8	32 7.63	4	+ 19 54 20.7	245	n
13034	9.6	32 12.72	4	+ 11 46 59.0	79	
13035	9.2	32 14.37	3	+ 1 22 10.8	326	
13036	8.5	23 32 18.61	3	+ 1 35 13.8	80	
—	8.0	32 19.00	4	+ 1 35 12.7	243	
13037	9.0	32 36.97	3	+ 19 17 59.3	323	n
—	9.0	32 37.00	2	+ 19 18 0.1	330	
13038	9.0	32 37.22	2	+ 19 21 5.6	330	
13039	9.0	23 32 40.40	4	+ 11 12 36.7	88	
13040	9.0	32 41.77	3	+ 22 52 23.7	244	
13041	10.0	32 45.06	3	— 9 36 18.2	82	
13042	9.0	33 12.68	3	+ 19 47 54.1	89	
13043	10.0	33 15.00	3	+ 11 6 35.3	92	

No.	Grösse	Rectascension 1880.0 h m s	Fäden	Declination 1880.0 ° ′ ″	Zone	Bemerkungen
13044	9.3	23 33 24.42	4	+ 11 56 40.6	79	
13045	10.0	33 37.30	2	+ 11 8 1.3	331	
—	10.0	33 37.28	3	+ 11 8 1.2	332	
13046	10.0	33 43.39	2	— 1 13 22.5	91	u
—	9.5	33 42.86	2	— 1 13 20.4	243	
—	9.2	23 33 43.23	3	— 1 13 20.7	324	
13047	9.0	34 10.88	3	+ 10 47 14.0	330	
13048	10.0	34 22.47	3	+ 11 15 30.9	245	
—	9.0	34 22.33	6	+ 11 15 26.2	386	
13049	10.0	34 31.96	2	+ 23 14 58.5	244	
13050	9.8	23 34 46.57	3	+ 22 8 0.1	387	
13051	10.0	34 59.75	2	+ 22 7 —	387	n
13052	9.5	35 3.11	1	+ 9 22 11.5	92	
13053	9.5	35 5.56	3	— 14 8 25.3	82	n
13054	9.3	35 27.47	3	+ 9 33 2.6	79	
—	9.7	23 35 27.31	2	+ 9 32 59.5	81	
13055	10.0	35 46.32	3	— 1 45 43.3	91	
13056	5.0	35 55.45	5	+ 1 7 12.6	243	
—	4.0	35 55.46	5	+ 1 7 10.2	330	
13057	9.0	36 12.17	6	— 2 9 58.8	326	
—	9.5	23 36 11.86	4	— 2 9 57.2	331	
13058	9.0	36 26.76	4	— 4 13 1.5	324	
13059	8.2	36 42.47	3	+ 9 13 12.6	92	n
13060	10.0	36 42.92	3	— 15 14 42.0	332	
13061	10.0	36 44.03	3	+ 11 5 17.1	245	
13062	10.0	23 36 55.85	3	+ 21 17 21.1	89	
13063	8.0	37 9.70	4	— 1 22 24.5	91	
13064	10.0	37 17.00	4	— 7 25 4.0	243	
13065	10.0	37 20.81	3	+ 23 47 5.3	244	
13066	9.0	37 40.61	3	— 14 29 58.0	385	dpl.?
—	9.3	23 37 40.57	2	— 14 29 58.1	386	
13067	9.8	37 58.48	3	+ 13 0 43.4	79	
13068	9.0	38 20.94	3	— 14 4 31.3	324	
13069	9.0	38 24.70	2	— 5 40 21.4	88	n
—	9.0	38 24.70	6	— 5 40 25.4	163	
13070	9.9	23 38 31.96	4	+ 9 21 54.7	92	
13071	9.2	38 36.54	4	+ 11 19 47.1	81	
13072	9.6	38 45.46	3	+ 10 41 21.7	245	
13073	7.9	38 50.98	3	— 1 19 35.4	91	
13074	7.0	39 0.28	5	+ 20 43 27.8	89	n
13075	9.0	23 39 13.47	4	— 3 17 3.9	243	
13076	9.8	39 32.33	2	+ 10 2 30.6	79	a
—	9.5	39 32.14	3	+ 10 2 29.1	330	
—	10.0	39 32.16	3	+ 10 2 28.9	331	
13077	8.0	39 40.37	4	— 15 25 15.8	76	
13078	9.0	23 39 44.44	2	+ 23 13 25.3	323	a
13079	9.0	39 54.97	3	+ 18 52 56.0	89	
13080	10.5	39 57.28	1	+ 11 52 10.1	92	
13081	10.0	40 5.55	1	+ 22 15 48.5	323	
13082	10.0	40 5.75	3	— 0 47 15.1	326	
13083	9.0	23 40 17.30	3	— 6 58 6.3	324	
13084	10.0	40 17.70	1	+ 23 47 0.7	244	
—	9.2	40 17.85	4	+ 23 46 56.4	332	
13085	10.0	40 31.77	4	+ 10 2 5.3	386	
13086	10.0	40 32.38	3	— 29 26 6.1	82	
13087	10.5	23 40 32.93	2	+ 11 38 29.9	81	u n
—	10.0	40 33.32	3	+ 11 38 31.0	330	
13088	9.0	40 37.03	1	+ 12 49 50.6	245	
13089	9.0	41 4.90	4	+ 21 36 29.1	385	
13090	10.0	41 18.81	3	+ 10 46 53.3	331	
13091	9.7	23 41 25.48	2	+ 9 42 21.3	79	
—	9.0	41 25.20	3	+ 9 42 22.0	88	
13092	10.0	41 32.64	2	— 0 28 11.9	80	
13093	10.0	42 6.02	3	+ 18 38 1.6	89	
13094	9.6	42 9.04	3	+ 9 17 57.9	92	n
13095	10.0	23 42 28.42	2	+ 22 50 42.2	244	
—	10.0	42 28.83	3	+ 22 50 43.1	323	
13096	10.0	42 34.06	1	+ 12 35 44.2	79	
13097	9.0	42 55.63	4	+ 18 42 23.3	245	
13098	9.0	42 56.61	3	+ 1 45 54.5	80	
—	9.0	23 42 56.50	6	+ 1 45 51.7	326	
13099	9.5	42 57.92	3	+ 0 9 27.5	91	
13100	9.0	43 1.53	3	+ 9 32 47.0	88	
13101	9.0	43 22.60	4	+ 22 45 43.5	89	
13102	9.2	43 23.30	3	+ 2 19 26.8	324	
13103	9.5	23 43 33.55	2	+ 22 9 22.9	245	
—	10.0	43 33.55	3	+ 22 9 18.6	323	
13104	9.5	43 35.74	4	+ 10 30 25.0	81	
—	9.3	43 35.90	3	+ 10 30 27.1	92	
13105	9.0	43 45.63	4	— 15 0 10.8	76	
13106	10.0	23 43 55.31	3	— 0 58 12.6	330	
13107	9.5	44 3.91	4	+ 19 0 7.5	168	
13108	9.3	44 12.47	3	+ 1 15 6.0	80	
13109	10.0	44 20.01	2	— 1 10 54.4	326	u s
—	10.0	44 19.30	1	— 1 10 57.5	332	u s
13110	8.0	23 44 21.80	1	— 15 4 4.0	76	
13111	9.5	44 25.95	3	+ 21 21 34.4	89	
13112	9.6	44 39.34	4	+ 9 57 48.1	79	
13113	10.0	44 47.15	2	+ 11 0 10.2	88	u s
13114	9.0	44 52.37	3	— 4 13 21.4	324	
13115	9.0	23 44 57.48	4	+ 0 55 25.8	91	
13116	10.0	45 14.18	3	+ 0 14 23.6	330	
13117	10.0	45 18.70	1	— 5 47 34.7	163	u n
13118	10.0	45 20.81	3	+ 11 21 49.1	323	
13119	10.0	45 28.60	1	+ 9 22 36.2	79	
13120	9.5	23 45 29.62	4	+ 22 21 41.1	245	
13121	9.0	46 13.10	3	— 4 3 51.3	324	
13122	10.0	46 15.22	3	— 1 36 3.3	326	
13123	10.0	46 35.98	2	— 1 40 56.0	80	
13124	9.0	46 50.86	2	+ 11 15 33.0	79	A

No.	Grösse	Rectascension 1880.0 h m s	Fäden	Declination 1880.0 ° ′ ″	Zone	Bemerkungen
13125	8.0	23 46 56.39	2	+ 12 1 16.6	81	n
13126	10.0	47 38.22	2	+ 20 54 41.5	89	n
13127	8.0	47 43.10	4	— 0 4 15.1	91	
13128	9.5	47 45.31	1	+ 11 58 13.1	166	
—	10.0	47 45.14	3	+ 11 58 19.1	323	
—	10.0	23 47 45.24	5	+ 11 58 15.6	386	
13129	9.0	47 48.51	2	+ 11 20 0.3	331	
—	9.0	47 48.37	3	+ 11 19 56.1	332	
13130	10.0	47 56.23	3	— 0 26 25.2	324	
13131	9.0	48 6.15	3	+ 11 58 57.7	385	
13132	10.0	23 48 21.27	2	+ 10 59 6.9	92	
13133	9.2	48 22.23	3	+ 22 14 13.1	245	
13134	10.0	48 34.88	2	+ 11 7 48.4	88	
—	10.0	48 34.69	2	+ 11 7 52.5	323	
13135	10.0	48 42.78	3	+ 1 10 54.2	326	
13136	8.0	23 48 44.46	5	+ 21 48 15.2	168	n
13137	9.5	48 52.18	3	+ 21 2 4.7	89	
13138	9.0	49 25.44	4	+ 0 1 40.9	91	
13139	10.0	49 31.97	3	+ 20 56 40.1	244	
13140	9.0	49 57.23	3	— 3 20 30.4	324	
13141	9.0	23 50 5.38	4	— 14 10 44.5	82	
13142	9.0	50 5.70	4	— 4 9 42.6	164	
13143	8.7	50 14.12	5	+ 10 15 15.3	88	
13144	9.5	50 28.81	2	+ 0 1 33.2	91	
13145	9.0	50 33.04	4	+ 12 9 12.0	92	
13146	8.5	23 50 41.09	4	+ 21 1 27.5	168	
13147	9.0	50 56.18	2	— 13 37 46.1	82	n
13148	9.0	51 7.10	3	+ 21 20 41.0	244	
13149	10.0	51 12.68	4	+ 0 1 11.7	385	
13150	9.0	51 38.55	3	— 6 7 35.8	163	n
13151	9.0	23 51 51.45	3	+ 12 30 53.8	79	
13152	9.5	51 56.80	2	+ 12 30 —	79	
—	9.3	51 56.66	4	+ 12 30 57.5	81	
13153	9.0	52 0.99	4	+ 10 20 1.4	88	
13154	9.0	52 3.29	4	+ 20 10 3.2	168	n
13155	9.0	23 52 18.09	2	+ 1 28 1.9	91	
—	10.0	52 18.16	2	+ 1 28 2.0	331	
13156	9.3	52 27.89	4	+ 21 42 8.6	89	
13157	9.6	52 56.89	4	— 14 36 43.9	82	
13158	9.0	53 0.58	3	+ 22 47 17.2	245	
13159	9.0	23 53 5.75	3	— 7 33 30.5	324	
13160	9.5	53 15.51	4	— 13 58 54.0	76	
13161	9.8	53 26.29	3	+ 1 35 0.0	326	
13162	9.0	53 36.61	4	+ 10 41 34.7	88	
13163	9.0	53 41.72	4	— 1 52 4.1	330	

No.	Grösse	Rectascension 1880.0 h m s	Fäden	Declination 1880.0 ° ′ ″	Zone	Bemerkungen
13164	9.0	23 53 50.76	3	— 6 9 43.4	164	n
13165	9.0	54 6.81	4	+ 22 51 44.5	245	
13166	9.7	54 11.65	2	— 14 3 38.4	76	
—	9.7	54 11.56	3	— 14 3 38.7	82	
13167	8.0	54 38.81	4	+ 22 52 11.8	168	
13168	10.0	23 54 55.48	2	+ 11 53 38.2	88	
13169	10.0	55 5.03	3	+ 1 51 5.4	91	
13170	10.0	55 9.66	4	+ 10 53 32.3	92	
13171	9.0	55 21.27	3	+ 21 44 45.8	244	
13172	8.0	55 29.23	5	+ 13 57 51.8	166	n
13173	5.5	23 55 48.33	1	— 6 40 49.9	76	
—	6.0	55 48.38	6	— 6 40 50.8	324	
13174	10.0	55 48.46	3	— 13 13 1.9	82	n
13175	10.0	55 50.91	3	+ 23 6 58.2	89	n
13176	9.0	55 52.89	3	+ 23 6 46.-	89	Decl. gesch.
13177	9.0	23 56 4.85	3	— 1 9 12.1	164	
13178	9.7	56 11.61	3	+ 13 15 5.0	81	n
13179	9.0	56 15.68	4	+ 23 13 28.4	245	
13180	9.9	56 28.17	3	+ 11 18 31.1	79	
—	9.5	56 28.03	3	+ 11 18 33.1	88	
13181	9.8	23 56 32.67	2	+ 10 14 21.2	92	n
13182	9.0	56 53.62	3	+ 1 41 21.4	163	
13183	10.0	56 58.32	3	+ 20 7 9.4	168	n
13184	10.0	56 59.03	2	+ 21 43 49.0	244	
13185	8.5	57 11.68	3	— 12 36 42.3	82	n
13186	8.0	23 57 33.42	4	+ 12 41 54.2	165	n
13187	10.0	57 37.24	1	+ 21 38 39.6	245	n
13188	8.5	57 43.74	4	+ 21 37 41.7	89	
—	7.6	57 43.78	3	+ 21 37 43.2	245	
13189	9.8	57 49.53	3	+ 1 43 2.4	163	
13190	9.0	23 58 1.85	3	+ 10 35 45.9	79	
13191	9.0	58 6.08	4	— 0 40 31.5	164	
—	9.0	58 6.17	3	— 0 40 31.6	324	
13192	8.3	58 36.67	4	— 0 36 41.4	91	
—	9.0	58 36.46	2	— 0 36 40.7	324	
13193	9.0	23 59 1.05	4	+ 13 15 53.0	81	
—	9.0	59 1.01	3	+ 13 15 52.8	165	
13194	9.0	59 1.11	3	+ 1 43 46.8	163	
13195	9.8	59 3.50	2	+ 9 46 4.3	92	n
13196	9.7	59 6.04	5	— 27 56 20.4	82	
13197	9.5	23 59 9.14	2	+ 19 18 56.5	168	n
13198	10.0	59 15.31	4	+ 21 56 59.0	330	
13199	9.2	59 17.92	4	+ 21 33 33.0	244	
13200	9.0	59 43.46	4	+ 11 51 37.4	79	
—	9.0	59 43.61	3	+ 11 51 39.2	88	

Bemerkungen.

No.

69 W_1 hat in Decl. $+9^0\ 33'\ 7''.4$.

115 Diese Position stimmt schlecht mit W_1 und M_1, welche beide ebenfalls nicht harmoniren.

160 W_1 hat in A.R. $28^s.29$.

207 W_1 hat in Decl. $+12^0\ 59'\ 16''.4$.

301 W_1 hat in A.R. $27^s.20$.

353 W_2 hat in A.R. $20^s.33$.

372 W_1 hat in A.R. $11^s.24$ und in Decl. $39''.6$.

432 Zwei Beobachtungen in M_1 geben in Decl. $1''.3$.

480 Ll hat $43^s.86$ und $17''.2$.

483 Rümker hat in A.R. $17^s.46$.

639 Zone 91 scheint durch Wolken beobachtet, da B.D. die Grösse $9^m.0$ gibt.

688 Zone 92: Decl. $+3'$ corrigirt.

780 Ein Stern geht 8^s voraus, $10''$ nördlich.

802 S.D. hat Grösse $9^m.2$; es ist auffallend, dass der Stern in den Zonen 171 und 335 so sehr hell geschätzt wurde.

939 Ohne Zweifel durch Wolken beobachtet.

952 Um auf einen in B.D. enthaltenen Stern zu stossen, wäre die Beobachtung -10^s zu corrigiren; eine definitive Entscheidung lässt sich jedoch zur Zeit nicht treffen.

973 Ist der Veränderlichkeit verdächtig; B.D. hat $8^m.8$; im Göttinger Katalog ist bemerkt: „sehr schwach."

987 Die für diesen Stern vorliegenden Grössenschätzungen weichen stark von einander ab; S.D. gibt $7^m.3$; Bessel hat 8^m und bei einer zweiten Beobachtung 9^m.

1081 Ohne Zweifel durch Wolken.

1105 Die Vergleichung der Beobachtungen dieses Sternes mit Sj und M_1 weist auf eine E.B. desselben hin; doch ist das Material zur Bestimmung noch nicht ausreichend.

1118 Ein Stern 8. Grösse folgt.

1182 In Decl. scheint eine E.B. angedeutet.

1184 S.D. hat Grösse $7^m.5$; obige Beobachtungen sind bei guter Luft angestellt.

1766 Nördlich in derselben A.R. ist ein Stern $9^m.5$; ein weiterer Stern geht voraus.

2098 Bei der Beobachtung in Zone 259 wurde bemerkt: „Duplex?"; im Göttinger Katalog steht dieselbe Bemerkung. In Zone 108 und 338 wurde keine Bemerkung gemacht; bei der grossen Schwäche des Objectes lässt sich schwer entscheiden, auf welche Componenten sich die einzelnen Beobachtungen beziehen.

2579 Ein Stern geht 2^s und $1'.5$ südlich voraus.

No.

3233 Dieser Stern ist der Veränderlichkeit verdächtig; M_1 gibt Grösse 7. Für die Bonner Durchmusterung ist er dreimal beobachtet, nämlich 1852 März 17 und März 19 und 1854 März 2 und zwar immer mit der Grösse $9^m.5$.

3701 Es lässt sich nicht entscheiden, welche Beobachtung die richtigere ist; der Stern ist für das Instrument viel zu schwach.

3816 Da B.D. die Grösse $9^m.3$ hat, erscheint die Grössenschätzung in Zone 268 sehr auffallend.

4110 Unter dieser No. sind zwei Beobachtungen aus den Zonen 198 und 344 zusammengezogen, da die eine ursprünglich übersehen war.

4781 Ein Stern 10. Grösse ist in gleicher A.R., etwa $1'$ südlich.

5146 Ein Stern 9. Grösse folgt 10^s, $1'$ nördlich.

5302 Der Stern besitzt E.B. in A.R.

5321 Ein Stern 9. Grösse geht $1^s.5$ voraus.

5366 Ein Stern 10. Grösse geht südlich voraus.

5490 Auf die E.B. dieses Sternes ist A.N. No. 2734 hingewiesen.

5519 Ein Stern 8. Grösse geht 6^s voraus, $1'$ nördlich.

5577 Ein Stern 9.5 Grösse geht 6^s voraus, $1'$ südlich.

5646 Ein Stern 8. Grösse geht 6^s voraus, $1'20''$ nördlich.

5877 Dieser Stern $= M_1$ No. 11852 ist in M_1 siebenmal beobachtet mit Grössenangaben, welche von 8^m bis 10^m schwanken; da er in der B.D. nicht vorkommt, erscheint er der Veränderlichkeit verdächtig.

5980 Ein Stern 10. Grösse geht 6^s voraus.

6102 Ein Stern 9. Grösse folgt $20''$ nördlich. Die B.D. gibt als Grösse für No. 6102 $9^m.4$, was sehr auffallend ist.

6287 Die B.D. gibt als Grösse $9^m.2$; die starken Abweichungen in A.R. und in den Grössenschätzungen sind mir unerklärlich.

6979 Ein anderer Stern ist nördlich von diesem.

7003 Der Stern ist so schwach, dass es unmöglich war, weitere Beobachtungen zu erlangen.

7125 In einem Sternhaufen befindlich.

7254 In einem Sternhaufen befindlich.

7436 In einem Sternhaufen befindlich.

7705 Ein Stern geht 3^s voraus, $25''$ südlich.

7754 Duplex mit Stern 10. Grösse.

7961 Duplex mit Stern 10. Grösse.

8183 Die Decl. weicht von M_1 und von Bessel ab, ohne dass es vorderhand möglich wäre, einen Grund hierfür anzugeben.

8443 Ein Stern folgt südlich, nämlich M_1 No. 19290, kann aber wegen zu grosser Lichtschwäche nicht gemessen werden.

No.

8695 Die Grössenangaben für diesen Stern schwanken sehr: Bessel hat 9^m; M_1 hat 7.8^m; B.D. hat $8^m.9$.

8795 } Diese beiden Sterne sind am $10^1/_2$ zöll. Refractor durch An-
8797 } schluss an M_1 No. 20412 bestimmt worden (1888 Dec. 27).

8913 Ein Stern folgt in 3^s.

9163 Ein Stern geht 3^s voraus.

9522 In einem Sternhaufen befindlich.

9857 Ein Stern 10. Grösse befindet sich in derselben A.R., 1′ südlich.

9996 Ein Stern geht $2^s.5$ voraus.

10038 Ein Stern geht 3^s voraus.

10326 Von drei Sternen derselben A.R. ist dies der nördlichste.

10329 Ein Stern folgt 6^s, südlich.

10397 Der nördlichste Stern wurde beobachtet.

10437 Der Stern ist für den Meridiankreis zu schwach; es lässt sich vorderhand nicht entscheiden, welche von den beiden Beobachtungen verfehlt ist.

10492 Folgende Grössenschätzungen liegen noch vor: M_1: 8.9^m, B.D.: $9^m.0$, A.G. Alb.: $9^m.2$.

10530 Zwei Sterne folgen.

10543 Ein anderer Stern ist 1′ nördlich.

10552 Zwei Sterne folgen.

No.

10556 Der letzte von dreien.

10587 Ein anderer Stern ist nördlich von diesem.

10685 Von drei Sternen ist der mittlere genommen.

10795 Der mittlere von dreien ist beobachtet.

10885 Ein Stern 10. Gr. folgt in 1^s.

11686 Eine Beobachtung am $10^1/_2$ zöll. Refractor (1890 Oct. 4) gibt für diesen Stern:

1880.0 21^h 25^m $0^s.66$ $+6^0$ 24′ $12''.3$

(Drei Vergleichungen mit Grant Glasgow Cat. No. 5483)

11909 Ein Stern 8. Grösse folgt südlich.

11958 Der Stern ist für eine gute Messung zu schwach; es lässt sich vorläufig nicht entscheiden, welche von den Declinationsmessungen verfehlt ist, da die stark abweichende aus Zone 323 in Uebereinstimmung mit M_1 ist.

12092 B.D. hat die Grösse $9^m.1$, sodass die Schätzung $8^m.3$ in Zone 381 auffallend ist.

12275 Am $10^1/_2$ zöll. Refractor durch Anschluss an Gould G. C. No. 30250 und A-Ö. No. 21901 bestimmt (1889 Dec. 20).

12334 Ein Stern $7^m.5$ befindet sich in derselben A.R., 12″ südlich.

12679 Rümkers Sternkatalog hat in Decl. $33''.1$, M_1 hat $37''.3$.

13124 Doppelstern mit Stern $8^m.5$; letzterer folgt 1^s, 10″ südlich.

Berichtigungen.

No.

1074 Nach Gould Gen. Cat. und Weisse I muss A.R. um $+2^s$ corrigirt werden.

3201 Statt $32^s.30$ lies $52^s.30$ (Druckfehler).

3956 n ist zu streichen und zu No. 3957 zu setzen (Druckfehler).

4174 Statt $31''.9$ lies $41''.8$ (Rechnungsfehler).

5673 Statt 13′ lies 14′ (Rechnungsfehler).

6204 Nach Alb. Cat. und Weisse I muss Decl. — 1′ corrigirt werden.

11672 Statt $27''.7$ lies $7''.7$ (Rechnungsfehler).

Neue Beobachtung und Ausmessung

des

Sternhaufens 38 h Persei

am

Münchener grossen Refractor

von

Karl Oertel.

(Mit 2 Tafeln.)

Neue Beobachtung und Ausmessung des Sternhaufens 38h Persei am Münchener grossen Refractor.

Auf Wunsch des Herrn Professor Dr. Seeliger übernahm ich gegen Ende des Jahres 1886 die Aufgabe, die Ergebnisse der von Lamont in den Jahren 1836 bis 1841 am Münchener Refractor ausgeführten Ausmessungen des Sternhaufens im Degengriffe des Perseus (Herschel Nr. 207) auszugleichen und mit den von Herrn Professor Krüger am gleichen Object angestellten Beobachtungen zu vergleichen. Bei der Ausführung dieser Arbeit kam ich jedoch sehr bald zu der Ueberzeugung, dass eine Ausgleichung der Lamont'schen Beobachtungen und mithin eine zweckentsprechende Vergleichung derselben an ihrer Anordnung scheitern musste, indem Lamont fast ausschliesslich Positionswinkel beobachtete und auch diese Messungen nicht so untereinander verband, dass aus ihnen mit Hilfe einer Basis auch nur einigermassen brauchbare Positionen der einzelnen Sterne hätten abgeleitet werden können.

Angesichts dieses negativen Resultates forderte mich nun Herr Professor Seeliger auf, den genannten Sternhaufen einer neuen Beobachtung zu unterziehen und so das für eine Vergleichung mit Lamont's Beobachtungen sowohl, als auch mit denen des Herrn Professor Krüger nöthige Material zu beschaffen. Herr Professor Seeliger stellte mir hierzu bereitwilligst den $10^1/_2$zölligen Fraunhofer'schen Refractor der hiesigen Sternwarte zur Verfügung und ich benütze die hier sich bietende Gelegenheit, ihm dafür sowohl, als auch für die vielen freundlichen Winke und Rathschläge, deren ich mich bei Ausführung der Beobachtungen und Rechnungen seinerseits zu erfreuen hatte, meinen aufrichtigen Dank auszusprechen.

Ausführung der Beobachtungen.

Nach einigen Vorbereitungen konnte ich im Januar 1887 mit den eigentlichen Beobachtungen beginnen. Ich beabsichtigte zuerst, ausser directen Declinations- und Rectascensionsdifferenzen auch noch Positionswinkel und Distanzen zu messen. Allein die häufigen Unterbrechungen, welche durch schlechtes Wetter, sowie dadurch herbeigeführt wurden, dass ich alljährlich in den Sommer- und Herbstmonaten durch Gradmessungsarbeiten von hier ferngehalten bin, zwangen mich bald, die Absicht, auch Polarcoordinaten zu messen, fallen zu lassen. Eine längere Unterbrechung entstand noch dadurch, dass Anfangs December 1887 das Ocular des Instrumentes behufs Untersuchung der Schraube abgenommen und erst gegen Ende Januar 1888 wieder eingesetzt wurde. Dann muss noch bemerkt werden, dass der beobachtete Sternhaufen vom October an in den besten Abendstunden culminirte und, da er hierbei nur $8^1/_2{}^0$ vom Zenit abstand, auf die Dauer von wenigstens 3 Stunden nicht beobachtet werden konnte. Endlich musste ich manchen Abend, an dem es erst später klar wurde, unbenützt lassen, weil meine Wohnung in der Stadt, etwa 4 Kilometer von der Sternwarte entfernt, sich befand. Aus allen diesen Gründen konnten die Beobachtungen erst im März 1889 zum Abschluss gebracht werden.

Das Instrument, welches zur Ausführung der Beobachtungen diente, war, wie schon bemerkt, der $10^1/_2$zöllige Fraunhofer'sche Refractor der hiesigen Sternwarte. Ich darf als bekannt voraussetzen, dass derselbe im Jahre 1883 neu montirt und mit einem neuen Repsold'schen Ocular versehen wurde; im Uebrigen enthalte ich mich einer näheren Beschreibung dieses Instrumentes, weil eine solche von Seite des Herrn Professor Seeliger erfolgen wird. Aus dem gleichen Grunde übergehe ich die Untersuchung der Ocularmikrometerschraube bezüglich ihrer periodischen und fortschreitenden Fehler. Was den Winkelwerth einer Umdrehung dieser Schraube anlangt, so habe ich denselben aus vielfachen Messungen des aus Meridianbeobachtungen sehr genau bekannten Declinationsabstandes der Krüger'schen Sterne Nr. 5 und Nr. 12 des in Rede stehenden Sternhaufens, sowie aus solchen in den Plejaden, immer unter Berücksichtigung der Temperatur und der Ocularstellung, abgeleitet. Alle diese Untersuchungen wird Herr Professor Seeliger seinerzeit im Zusammenhang mit anderen, auf das gleiche Instrument sich beziehenden veröffentlichen, ich begnüge mich deshalb hier damit, ihre Ergebnisse anzuführen. Es fand sich:

1) Die fortschreitenden Ungleichheiten der Schraube des Ocularmikrometers sind sehr klein; sie verschwinden nahezu ganz, wenn man (was stets geschah) die Messungen so anordnet, dass die Mitte der ganzen Schraube nahezu dem Coincidenzpunkt des festen und des beweglichen Fadens entspricht und dass ferner bei den Messungen die Schraubengänge rechts und links dieser Mitte gleich oft zur Verwendung kommen.

2) Die periodischen Ungleichheiten dieser Schraube lassen sich vollständig genügend durch den Ausdruck darstellen

$$\varphi(u) = +\, 0^{\text{rev}}.00166 \sin (u + 99^\circ.7) \qquad (1)$$

3) Der Winkelwerth einer Schraubenumdrehung ist unabhängig von den bei Messungen etwa vorkommenden unrichtigen Stellungen des Oculars und es ist für alle Temperaturen zwischen -10^0 und $+20^0$ (R)

$$1 \text{ rev.} = 24''.8182 \pm 0''.0035$$

Sämmtliche Beobachtungen wurden mit dem Ocular Nr. IV ausgeführt, welches 360fache Vergrösserung gewährt. Die Einstellung des Oculars auf deutliche Bilder erfolgte mindestens jeden Abend einmal, nach Bedarf im Laufe eines Abends auch öfter. Ebenso wurde an jedem Abend wenigstens einmal, vor Beginn der Messungen, der Nullpunkt des Positionskreises bestimmt, bezw. controlirt, ausserdem am Anfang und Ende jeder Messungsreihe behufs Bestimmung des Einflusses der Refraction der Stand des Barometers und des inneren und äusseren Thermometers abgelesen.

Alle Messungen geschahen möglichst in der Mitte des Gesichtsfeldes. Das Areal, auf welches sich dieselben erstreckten, ist im allgemeinen dasjenige, welches die Krüger'schen Beobachtungen umfassen, nur die beiden Krüger'schen Sterne Nr. 32 und 33 wurden, als gar zu weit vom Centrum des Sternhaufens abstehend, weggelassen. Herr Professor Krüger hat im Allgemeinen nur die helleren, in diesem Areal vorkommenden Sterne, im Ganzen 43, beobachtet; ich habe hauptsächlich wegen der Vergleichung mit Lamont alle Sterne mitgenommen, welche ich noch bei schwach beleuchtetem Gesichtsfeld beobachten konnte. Dadurch ist die Zahl derselben auf 126 gestiegen.

Bei der oben angegebenen Vergrösserung beträgt das Gesichtsfeld des hiesigen Refractors gegen 4 Minuten, es konnten daher diejenigen Sterne, deren Declinationsabstand vom Nullpunkt diesen Betrag überschreitet, nicht mehr direkt an den letzteren angeschlossen werden und es mussten die Messungen der Coordinaten dieser weiter entfernten Sterne von Zwischenpunkten aus geschehen. Zur grösseren Sicherheit wurden jedoch nicht nur diese Zwischenpunkte, sondern, insbesondere bei der Messung der Delcinationsdifferenzen, überhaupt alle Sterne nach Thunlichkeit mit einander verbunden.

Declinationsdifferenzen.

Die Messungen wurden so angeordnet, dass jede Differenz wenigstens einmal, sonst gleich oft in beiden Lagen der Schraube gemessen wurde. Im Uebrigen wurde weniger auf häufige Wiederholung der Messung ein- und derselben Differenz, als auf möglichst zahlreiche Anschlüsse eines Sternes an die ihm benachbarten gesehen.

Der Coincidenzpunkt der Schraube, i. e. des festen Mittelfadens mit dem beweglichen, wurde schon von Beginn der Messungen an im Laufe eines jeden Abends wenigstens zweimal bestimmt, nämlich vor Beginn und nach Schluss der Beobachtungen in der nämlichen Lage des Fernrohrs, welche dasselbe bei den Beobachtungen jeweils innehatte. Jede Bestimmung bestand aus einer Serie von 5 bis 6 Doppeleinstellungen der beiden Fäden mit Lichtlinie links und rechts. Es zeigte sich sehr bald, dass die Vorsicht, den Coincidenzpunkt vor Beginn und nach Schluss der Beobachtungen und bei jeweils unveränderter Stellung des Fernrohrs zu bestimmen, eine sehr wohl angebrachte war. In der Regel wurde nämlich, besonders anfangs, im Lauf eines Abends nur bei einer Lage der Schraube gemessen, der orientirte Positionskreis also nicht gedreht. Erst im November 1887 wurde an einem Abend in beiden (entgegengesetzten) Lagen der Schraube gemessen und dementsprechend auch der Coincidenzpunkt für jede Lage zweimal bestimmt, wobei sich überraschender Weise für beide Lagen erheblich verschiedene Werthe ergaben.[1]) Spezielle Untersuchungen zeigten sehr bald, dass die Lage des Coincidenzpunktes der Schraube bei feststehendem Positionskreis abhängig ist von der Lage des Fernrohrs oder bei ruhendem Fernrohr direct vom Positionswinkel. Es dürfte von Interesse sein, die Resultate der hauptsächlichsten diesbezüglichen Versuchsmessungen hier mitzutheilen. Ich bemerke nur noch, dass dieselben bei Tag, also ohne künstliche Beleuchtung und bei horizontal gestelltem Fernrohr ausgeführt wurden. Der im nachfolgenden jeder Stellung des Positionskreises entsprechende Coincidenzwerth ist das jedesmalige Mittel aus 10 Paar Einstellungen des beweglichen Mittelfadens auf den festen.

I. Versuchsreihe.

1887, Nov. 19. Fernrohr links.

Positions-Winkel	Schraube	Coincidenz	
		Beobachtet	Berechnet
		R	R
47°	Unten	15·7354	15·7383
17	—	7423	7420
347	—	7490	7462
317	Links	7509	7499
287	—	7529	7520
257	—	7522	7518
227	Oben	7485	7497
197	—	7432	7460
167	—	7398	7418
137	Rechts	7384	7381
107	—	7383	7360
77	—	7363	7362
47	Unten	7371	7383

II. Versuchsreihe.

1887, Nov. 28. Fernrohr links.

Positions-Winkel	Schraube	Coincidenz	
		Beobachtet	Berechnet
		R	R
90°	—	15·7371	15·7368
75	—	7358	7369
60	—	7373	7375
45	Unten	7378	7387
30	—	7392	7404
15	—	7414	7423
0	—	7441	7444
345	—	7478	7465
330	—	7494	7486
315	Links	7512	7503
300	—	7520	7517

II. Versuchsreihe. (Forts.)

Positions-Winkel	Schraube	Coincidenz	
		Beobachtet	Berechnet
		R	R
285°	—	15·7527	15·7527
270	—	7537	7530
255	—	7535	7529
240	—	7521	7523
225	Oben	7502	7511
210	—	7495	7494
195	—	7460	7475
180	—	7444	7454
165	—	7430	7433
150	—	7420	7412
135	Rechts	7408	7395
120	—	7395	7381
105	—	7386	7371
90	—	7374	7368

III. Versuchsreihe.

1887, Nov. 29. Fernrohr rechts.

Positions-Winkel	Schraube	Coincidenz	
		Beobachtet	Berechnet
		R	R
255°	—	15·7535	15·7525
240	—	7516	7509
225	Oben	7475	7489
210	—	7452	7466
195	—	7424	7441
180	—	7406	7416
165	—	7389	7393
150	—	7377	7374
135	Rechts	7380	7359
120	—	7362	7351
105	—	7362	7349

1) Die gleichen Erfahrungen der Herren Valentiner und Peter waren mir damals noch nicht bekannt, die letzteren überhaupt noch nicht veröffentlicht.

III. Versuchsreihe. (Forts.)

Positions-Winkel	Schraube	Coincidenz Beobachtet	Coincidenz Berechnet
		R	R
90°	—	15.7354	15.7353
75	—	7374	7363
60	—	7379	7379
45	Unten	7379	7399
30	—	7395	7422
15	—	7432	7452
0	—	7471	7472
345	—	7515	7495
330	—	7531	7514
315	Links	7523	7529
300	—	7535	7537
285	—	7545	7539
270	—	7539	7535
255	—	7535	7525

IV. Versuchsreihe.

1888, Febr. 14. Fernrohr rechts.

Positions-Winkel	Schraube	Coincidenz Beobachtet	Coincidenz Berechnet
		R	R
137°	Rechts	15.7601	15.7591
107	—	7585	7572
77	—	7570	7568
47	Unten	7575	7578
17	—	7590	7598
347	—	7628	7626
317	Links	7651	7653
287	-	7673	7672
257	—	7686	7676
227	Oben	7675	7666
197	—	7637	7646
167	—	7596	7618
137	Rechts	7599	7591

Diese Beobachtungen wurden unter der Form

$$F(p) = x + y \sin p + z \cos p$$

wo p der Positionswinkel ist, ausgeglichen und für die einzelnen Beobachtungsreihen ergaben sich hienach folgende Ausdrücke (alles in Schraubenumdrehungswerten ausgedrückt):

$$\left.\begin{array}{ll}
\text{I.} & F(p) = 15{,}7440(\pm 0{,}0006) - [0{,}0082(\pm 0{,}0008)] \sin p + [0{,}0005(\pm 0{,}0008)] \cos p; \; (\mu_1 = \pm 0{,}0019) \\
\text{II.} & F(p) = 15{,}7449(\pm 0{,}0002) - [0{,}0081(\pm 0{,}0003)] \sin p - [0{,}0005(\pm 0{,}0003)] \cos p; \; (\mu_1 = \pm 0{,}0010) \\
\text{III.} & F(p) = 15{,}7444(\pm 0{,}0003) - [0{,}0091(\pm 0{,}0004)] \sin p + [0{,}0028(\pm 0{,}0004)] \cos p; \; (\mu_1 = \pm 0{,}0014) \\
\text{IV.} & F(p) = 15{,}7622(\pm 0{,}0003) - [0{,}0054(\pm 0{,}0004)] \sin p - [0{,}0008(\pm 0{,}0004)] \cos p; \; (\mu_1 = \pm 0{,}0011)
\end{array}\right\} \quad (2)$$

Nach diesen Ausdrücken wurden die in den letzten Spalten der obigen Tabellen enthaltenen berechneten Werthe der Coincidenz ermittelt; die vorstehenden Werthe von μ_1 bezeichnen für jede Versuchsreihe den mittleren Fehler einer beobachteten Coincidenz (welche also nach dem Obigen dem Mittel aus 10 Paar einzelnen Einstellungen entspricht).

Die Uebereinstimmung der ersten drei Beobachtungsreihen könnte kaum besser sein; die Abweichungen der letzten Reihe finden ihre Erklärung in dem Umstand, dass in der Zwischenzeit der Ocularstutzen abgenommen und der ganze Mikrometerapparat zerlegt wurde, wodurch auch eine Verschiebung des Coincidenzpunktes selbst eintrat. Ebenso ist die Uebereinstimmung zwischen den beobachteten und den berechneten Coincidenzwerthen durchwegs eine gute und es geht sonach aus diesen Untersuchungen eine Veränderlichkeit des Coincidenzpunktes mit der Stellung des Positionskreises mit grosser Sicherheit hervor. Allerdings muss bemerkt werden, dass bei früheren, durch längere Zeit fortgesetzten Beobachtungen des Herrn Professor Seeliger am gleichen Instrumente, bei welchen ebenfalls regelmässig der Coincidenzpunkt der Schraube im Laufe eines jeden Abends für zwei entgegengesetzte Lagen derselben bestimmt wurde, derartige Unterschiede nur sehr schwach angedeutet sind. Es scheinen sonach selbst so vollkommene Apparate, wie die Repsold'schen Ocularmikrometer, mit der Zeit Veränderungen zu unterliegen; jedenfalls wird man gut thun, bei allen Refractormessungen den Coincidenzpunkt der Schraube für die jeweilige Lage des Positionskreises, in welcher beobachtet wurde, zu bestimmen.

Bei der Messung der Declinationsdifferenzen wurden in der Regel 5 Einstellungen nacheinander gemacht, indem der vorausgehende Stern mit Hilfe der feinen Declinationsbewegung des Fernrohrs stets von Neuem auf den festen, der nachfolgende Stern mit Hilfe des Mikrometers auf

den beweglichen Faden gestellt wurde; bei sehr guter Luft wurden nur vier, bei sehr schlechter dagegen 6—7 solche Einstellungen ausgeführt. Uebrigens wurde in allen Fällen dem Mittel aufeinander folgender derartiger Einstellungen gleiches Gewicht beigelegt und es ergab dieses Mittel im Zusammenhalt mit dem nötigenfalls durch Interpolation berechneten Coincidenzpunkt einen Mittelwert für die Declinationsdifferenz des betreffenden Sternpaares, welcher zunächst nach Massgabe der beiden Trommelablesungen (Einstellung auf den festen Faden und Einstellung auf den Stern) wegen der periodischen Schraubenungleichheiten zu verbessern war. Die Beträge dieser Verbesserung wurden einer nach Gl. (1), S. 3 berechneten Tafel entnommen.

Rectascensionsdifferenzen.

Die Messung der Rectascensionsdifferenzen erfolgte wie die der Declinationsdifferenzen bei ruhendem Fernrohr, indem mit Hilfe eines Fuess'schen Chronographen die Antritte der Sterne an 3 festen Fäden registrirt wurden. Behufs Elimination dieser Fadenabstände wurden die Durchgänge an den zwei Seitenfäden nicht auf den Mittelfaden reducirt, sondern die Differenzen dieser Durchgänge für jeden einzelnen Faden direct berechnet. Der Registrirapparat war anfänglich im Beobachtungsraum aufgestellt, als aber in Folge der Kälte das Triebwerk desselben bedenkliche Störungen erlitt, liess Herr Professor Seeliger auf mein Ersuchen denselben im Rechenzimmer der K. Sternwarte aufstellen und behufs Ueberwachung seines ungestörten Fortganges eine telephonische Verbindung desselben mit dem Beobachtungsraum herstellen. Zur Abkürzung der Beobachtungszeit wurden häufig die Durchgänge ganzer Gruppen von Sternen, welche nahezu auf dem gleichen Parallel sich bewegten, registrirt, freilich wurde hiedurch bei den oft sehr rasch aufeinanderfolgenden Sternen die Streifenablesung ganz ausserordentlich erschwert.

Reduction der Beobachtungen.

Die gemessenen scheinbaren Rectascensions- und Declinationsdifferenzen waren zunächst wegen der Refraction zu verbessern. Unter Beibehaltung der Bessel'schen Bezeichnungen[1]) waren diese Verbesserungen zu berechnen aus folgenden Gleichungen:

$$\varDelta\alpha = \frac{\varkappa(\delta' - \delta)}{\sin^2(N+\delta)} \cdot \frac{\cot n \cos(N + 2\delta)}{\cos^2\delta}$$

$$\varDelta\delta = \frac{\varkappa(\delta' - \delta)}{\sin^2(N+\delta)}$$

Hierin ist bekanntlich $\varkappa = \alpha'' \cdot \beta^{A''} \cdot \gamma^{\lambda''}$; β ist der beobachtete Barometerstand, γ die Lufttemperatur. Setzt man

$$\frac{\alpha''}{\sin^2(N+\delta)} = \varrho_\delta \text{ und } \frac{24{,}8\,\alpha''}{15\sin^2(N-\delta)} \cdot \frac{\cot n\cos(N+2\delta)}{\cos^2\delta} = \varrho_\alpha$$

so findet man die Verbesserungen wegen Refraction aus folgenden Gleichungen:

$$\left.\begin{aligned} \log(\varDelta\alpha)^{\text{sec}} &= \log\varrho_\alpha + \log(\delta'-\delta)^{\text{rev}} + A''\log\beta + \lambda''\lg\gamma \\ \log(\varDelta\delta)^{\text{rev}} &= \log\varrho_\delta + \log(\delta'-\delta)^{\text{rev}} + A''\log\beta + \lambda''\lg\gamma \end{aligned}\right\}\ (3)$$

Die Werthe von log ϱ_α und log ϱ_δ habe ich für alle Stundenwinkel berechnet und erhielt somit zur Berechnung der Refractionen die auf der folgenden Seite abgedruckte Tafel, zu der nur noch zu bemerken ist, dass A'' im vorliegenden Fall durchaus $= 1$ zu setzen ist und dass aus ihr $\varDelta\alpha$ in Zeitsekunden, $\varDelta\delta$ in Schraubenrevolutionen erhalten wird, wenn $(\delta'-\delta)$ in Schraubenrevolutionen eingesetzt wird.

Die für die Berechnung von log ϱ_α und log ϱ_δ nöthigen Werthe von N cot n habe ich der Sammlung von Hilfstafeln für die Münchener Sternwarte, die Werthe von log β und log γ den Albrecht'schen Hilfstafeln entnommen. Da wegen der Refraction alle Differenzen zu klein gemessen werden, so ist das Vorzeichen der obigen Correctionen mit dem der zugehörigen Coordinatendifferenz stets identisch.

[1]) Astronomische Untersuchungen I, p. 198.

t	$\log \varrho_\alpha$		$\log \varrho_\delta$		λ	t
h m						h m
0 0	— ∞		6.4553	0	1.000	24 0
10	5.6155	3006	6.4553	2	1.000	23 50
20	5.9161	1756	6.4551	3	1.000	40
30	6.0917	1241	6.4548	4	1.000	30
40	6.2158	958	6.4544	6	1.000	20
50	6.3116	780	6.4538	6	1.000	10
1 0	6.3896	654	6.4532	8	1.000	23 0
10	6.4550	563	6.4524	8	1.000	22 50
20	6.5113	491	6.4516	8	1.000	40
30	6.5604	434	6.4508	9	1.001	30
40	6.6038	388	6.4499	9	1.001	20
50	6.6426	349	6.4490	8	1.001	10
2 0	6.6775	315	6.4482	8	1.001	22 0
10	6.7090	287	6.4474	8	1.001	21 50
20	6.7377	260	6.4466	6	1.002	40
30	6.7637	239	6.4460	4	1.002	30
40	6.7876	215	6.4456	3	1.002	20
50	6.8091	196	6.4453	0	1.002	10
3 0	6.8287	179	6.4453	5	1.002	21 0
10	6.8466	163	6.4458	9	1.002	20 50
20	6.8629	144	6.4467	14	1.003	40
30	6.8773	130	6.4481	20	1.003	30
40	6.8903	112	6.4501	26	1.003	20
50	6.9015	100	6.4527	35	1.003	10
4 0	6.9115	82	6.4562	44	1.003	20 0
10	6.9197	67	6.4606	54	1.004	19 50
20	6.9264	52	6.4660	66	1.004	40
30	6.9316	35	6.4726	78	1.004	30
40	6.9351	16	6.4804	90	1.004	20
50	6.9367	01	6.4894	107	1.004	10
5 0	6.9366	23	6.5001	121	1.004	19 0
10	6.9343	42	6.5122	138	1.005	18 50
20	6.9301	68	6.5260	156	1.005	40
30	6.9233	92	6.5416	174	1.006	30
40	6.9141	123	6.5590	194	1.006	20
50	6.9018	155	6.5784	212	1.006	10
6 0	6.8863		6.5996		1.007	18 0

t	$\log \varrho_\alpha$		$\log \varrho_\delta$		λ	t
h m						h m
6 0	6.8863	192	6.5996	232	1.007	18 0
10	6.8671	242	6.6228	249	1.008	17 50
20	6.8429	295	6.6477	266	1.008	40
30	6.8134	366	6.6743	285	1.009	30
40	6.7768	443	6.7028	301	1.010	20
50	6.7325	562	6.7329	316	1.011	10
7 0	6.6763	723	6.7645	330	1.012	17 0
10	6.6040	947	6.7975	342	1.013	16 50
20	6.5093	1333	6.8317	355	1.014	40
30	6.3760	2140	6.8672	362	1.015	30
40	6.1620	4907	6.9034	371	1.016	20
50	5.6713	—	6.9405	377	1.017	10
8 0	5.7628	4589	6.9782	382	1.019	16 0
10	6.2217	2261	7.0164	382	1.020	15 50
20	6.4478	1497	7.0546	383	1.022	40
30	6.5975	1140	7.0929	383	1.023	30
40	6.7115	890	7.1312	379	1.025	20
50	6.8005	729	7.1691	375	1.026	10
9 0	6.8734	607	7.2066	368	1.027	15 0
10	6.9341	499	7.2434	360	1.029	14 50
20	6.9840	407	7.2794	351	1.031	40
30	7.0247	325	7.3145	338	1.033	30
40	7.0572	250	7.3483	324	1.035	20
50	7.0822	173	7.3807	309	1.036	10
10 0	7.0995	97	7.4116	292	1.038	14 0
10	7.1092	18	4408	276	1.039	13 50
20	7.1110	69	4684	251	1.041	40
30	7.1041	166	4935	233	1.042	30
40	7.0875	272	5168	207	1.043	20
50	7.0603	407	5375	184	1.044	10
11 0	7.0196	568	7.5559	158	1.045	13 0
10	6.9628	782	5717	133	1.046	12 50
20	6.8846	1103	5850	103	1.047	40
30	6.7743	1659	5953	074	1.047	30
40	6.6084	2947	6027	046	1.048	20
50	6.3137		6073	014	1.048	10
12 0	— ∞		6087		1.048	12 0

Ferner waren die gemessenen Differenzen zu verbessern wegen Präcession, Nutation und Aberration und zwar waren sie zunächst von der Epoche ihrer Beobachtung auf den Jahresanfang und dann noch auf das Aequinoctium 1890,0 zu reduciren.

Die Reduction auf den Jahresanfang ergab sich aus folgenden Formeln, in welchen A, B, C, D die bekannten Ausdrücke nach Bessel sind:

$$\left.\begin{aligned}
\varDelta\alpha = & -A[n\sin^2\alpha\sec^2\delta(\delta'-\delta)+n\operatorname{tg}\delta\cos\alpha\,(\alpha'-\alpha)]-B[\cos\alpha\sec^2\delta(\delta'-\delta)-\sin\alpha\operatorname{tg}\delta(\alpha'-\alpha)]\\
& +C[\sin\alpha\sec\delta\,(\alpha'-\alpha)-\cos\alpha\operatorname{tg}\delta\sec\delta(\delta'-\delta)]-D[\cos\alpha\sec\delta\,(\alpha'-\alpha)+\sin\alpha\operatorname{tg}\delta\sec\delta\,(\delta'-\delta)]\\
\varDelta\delta = & +A\,n\sin\alpha\,(\alpha'-\alpha)+B\cos\alpha\,(\alpha'-\alpha)+C\,[\cos\alpha\sin\delta\,(\alpha'-\alpha)+(\operatorname{tg}\varepsilon\sin\delta+\sin\alpha\cos\delta)\,(\delta'-\delta)]\\
& +D\,[\sin\alpha\sin\delta\,(\alpha'-\alpha)-\cos\alpha\cos\delta\,(\delta'-\delta)]
\end{aligned}\right\}\quad(4)$$

und die Reduction auf das Aequinoctium 1890,0 aus den beiden Gleichungen

$$\left.\begin{aligned} \varDelta\alpha &= n\tau\,[\sin\alpha\sec^2\delta\,(\delta'-\delta)+\cos\alpha\operatorname{tg}\delta\,(\alpha'-\alpha)] \\ \varDelta\delta &= -\,n\tau\,(\alpha'-\alpha)\sin\alpha \end{aligned}\right\}\ (5)$$

in welchen τ die Zeit zwischen dem Anfang des Beobachtungsjahres und 1890,0 bedeutet.

Setzt man in den obigen Gleichungen (4) für α und δ die Positionen des Nullpunktes des Sternhaufens für die mittlere Epoche der Beobachtungen und für n und ε deren Werthe für die gleiche Epoche (n nach Struve) ein, so nehmen dieselben folgende einfache Form an

$$\left.\begin{aligned} (\varDelta\alpha)^{\mathrm{sec}} &= \frac{(\alpha'-\alpha)^{\mathrm{sec}}}{100}\Big\{-[8{,}0935]\,A+[6{,}6006]\,B+[6{,}6789]\,C-[6{,}8696]\,D\Big\} \\ &\quad -\frac{(\delta'-\delta)^{\mathrm{rev}}}{10}\Big\{+[7{,}4601]\,A+[6{,}3487]\,B+[6{,}2704]\,C+[6{,}0796]\,D\Big\} \\ (\varDelta\delta)^{\mathrm{rev}} &= \frac{(\alpha'-\alpha)^{\mathrm{sec}}}{100}\Big\{+[7{,}5020]\,A+[6{,}3906]\,B+[6{,}3123]\,C+[6{,}1215]\,D\Big\} \\ &\quad +\frac{(\delta'-\delta)^{\mathrm{rev}}}{10}\Big\{[5{,}5053]\,C-[5{,}3506]\,D\Big\} \end{aligned}\right\}\ (6)$$

wobei die in eckige Klammern eingeschlossenen Zahlen Logarithmen bedeuten.

Bezeichnet man die in runde Klammern eingeschlossenen vier Ausdrücke der Reihe nach mit M, N, M', N', so wird die Reduction auf den Jahresanfang erhalten aus

$$(\varDelta\alpha)^{\mathrm{sec}} = M\,\frac{(\alpha'-\alpha)^{\mathrm{sec}}}{100} + N\,\frac{(\delta'-\delta)^{\mathrm{rev}}}{10}$$

$$(\varDelta\delta)^{\mathrm{rev}} = M'\,\frac{(\alpha'-\alpha)^{\mathrm{sec}}}{100} + N'\,\frac{(\delta'-\delta)^{\mathrm{rev}}}{100}$$

Die Werthe von M, N, M', N' wurden mit dem Argument Datum in Tafeln gebracht, welche nachstehend für die Zeiträume, innerhalb deren wirklich beobachtet wurde, folgen. Die Werthe von $\log A$, $\log B$, $\log C$, $\log D$ wurden dem Berliner Jahrbuch entnommen.

Reduction der Rectascensionsdifferenzen.

Datum	M		N		Datum	M		N	
1888					1888				
Februar 19	− 0.0118		+ 0.0009		November 4	− 0.0082		− 0.0065	
— 29	− 0.0103	15	+ 0.0016	7	— 14	− 0.0115	33	− 0.0065	0
März 10	− 0.0084	19	+ 0.0021	5	— 24	− 0.0146	31	− 0.0063	2
— 20	− 0.0061	23	+ 0.0026	5	December 4	− 0.0174	28	− 0.0060	3
— 30	− 0.0036	25	+ 0.0029	3	— 14	− 0.0200	26	− 0.0056	4
April 9	− 0.0009	27	+ 0.0031	2	— 24	− 0.0222	22	− 0.0051	5
— 19	+ 0.0018	27	+ 0.0032	1	1889				
— 29	+ 0.0046	28	+ 0.0031	1	Januar 30	− 0.0134		+ 0.0003	
Mai 9	+ 0.0072	26	+ 0.0028	3	Februar 9	− 0.0130	4	+ 0.0010	7
— 19	+ 0.0096	24	+ 0.0025	3	— 19	− 0.0121	9	+ 0.0017	7
— 29	+ 0.0117	21	+ 0.0021	4	März 1	− 0.0107	14	+ 0.0024	7
					— 11	− 0.0088	19	+ 0.0029	5
					— 21	− 0.0066	22	+ 0.0033	4

Reduction der Declinationsdifferenzen.

Datum	M'		N'		Datum	M'		N'	
1887					1888				
Januar 0	+ 0.00359	71	— 0.00056	8	Februar 19	— 0.00104	70	— 0.00075	3
— 10	+ 0.00288	78	— 0.00064	6	— 29	— 0.00174	60	— 0.00072	5
— 20	+ 0.00210	79	— 0.00070	4	März 10	— 0.00234	49	— 0.00067	7
— 30	+ 0.00131	79	— 0.00074	1	— 20	— 0.00283	36	— 0.00060	9
Februar 9	+ 0.00052	76	— 0.00075	0	— 30	— 0.00319	21	— 0.00051	10
— 19	— 0.00024	69	— 0.00075	3	April 9	— 0.00340	5	— 0.00041	12
März 1	— 0.00093	61	— 0.00072	5	— 19	— 0.00345	9	— 0.00029	12
— 11	— 0.00154	48	— 0.00067	7	— 29	— 0.00336		— 0.00017	
— 21	— 0.00202	36	— 0.00060	9					
— 31	— 0.00238	20	— 0.00051	10	October 5	+ 0.00659	35	+ 0.00049	11
April 10	— 0.00258	07	— 0.00041	12	— 15	+ 0.00694	20	+ 0.00038	12
— 20	— 0.00265	10	— 0.00029	12	— 25	+ 0.00714	5	+ 0.00026	12
— 30	— 0.00255		— 0.00017		November 4	+ 0.00719	5	+ 0.00014	13
					— 14	+ 0.00714	17	+ 0.00001	14
					— 24	+ 0.00697	33	— 0.00013	13
October 6	+ 0.00749	30	+ 0.00048	11	December 4	+ 0.00664	49	— 0.00026	12
— 16	+ 0.00779	18	+ 0.00037	12	— 14	+ 0.00615	56	— 0.00038	10
— 26	+ 0.00797	07	+ 0.00025	12	— 24	+ 0.00559		— 0.00048	
November 5	+ 0.00804	08	+ 0.00013	14					
— 15	+ 0.00796	18	— 0.00001	13					
— 25	+ 0.00778	35	— 0.00014	13	1889				
December 5	+ 0.00743		— 0.00027		Februar 13	— 0.00143		— 0.00075	

Die Reduction auf 1890.0 endlich ergab sich nach den oben angeführten Formeln (5), wenn in dieselben die zugehörigen Zahlenwerthe eingesetzt werden, für die Beobachtungen des Jahres

1887

.

$$(\varDelta\delta)^{\text{rev}} = -0.0095\,\frac{(\alpha'-\alpha)^{\text{sec}}}{100}$$

1888

$$(\varDelta\alpha)^{\text{sec}} = +0.0248\,\frac{(\alpha'-\alpha)^{\text{sec}}}{100} + 0.0058\,\frac{(\delta'-\delta)^{\text{rev}}}{10}$$

$$(\varDelta\delta)^{\text{rev}} = -0.0064\,\frac{(\alpha'-\alpha)^{\text{sec}}}{100}$$

1889

$$(\varDelta\alpha)^{\text{sec}} = +0.0124\,\frac{(\alpha'-\alpha)^{\text{sec}}}{100} + 0.0029\,\frac{(\delta'-\delta)^{\text{rev}}}{10}$$

$$(\varDelta\delta)^{\text{rev}} = -0.0032\,\frac{(\alpha'-\alpha)^{\text{sec}}}{100}$$

Uebersicht über die Witterungsverhältnisse, Stellung des Oculars und Lage der Schraube während der Messungen.

Die nachfolgende Tabelle gibt eine Uebersicht über die meteorologischen Aufzeichnungen, die Lage der Schraube, die Stellung des Oculars (welche am Index einer mit dem Ocularauszug verbundenen Millimeterscala abgelesen werden konnte), endlich über den Zustand der Bilder und der Luft während der Messungen. Letzterer wurde im Allgemeinen nach der auch sonst üblichen Scala mit den Stufen I bis IV zu schätzen versucht. Die angegebenen mittleren Zeiten (München) gelten für die Barometer- und Thermometerablesungen; t ist die Temperatur der äusseren Luft, T jene des Quecksilbers im Barometer, beide in Centigraden. Die Temperatur des Beobachtungsraumes, welche gleichfalls aufgezeichnet wurde, ist hier, weil nicht von Belang, fortgelassen worden.

Datum	Mittl. Zeit	Barom.	*T*	*t*	Ocular	Schraube	Bemerkungen.
1887		Fernrohr rechts.					
	h	mm	°	°			
Januar 8	8.1	702.6	— 3.8	— 10.4	2.8	Rechts	☾ Luft II—III, dunstig, hie und da dünne Streifwolken.
	11.3	701.5	— 5.3	— 11.8			
— 22	7.7	726.0	+ 1.3	+ 2.4	4.0	rechts	Luft II, später I—II.
	11.6	725.4	+ 0.2	— 0.2			
— 25	8.0	725.2	— 1.0	— 3.8	3.9	links	Luft I, nach 9^h II.
	12.0	725.9	— 1.7	— 3.6			
— 26	7.5	728.4	+ 0.5	— 3.0	4.0	rechts	Luft I.
	12.0	728.0	— 1.0	— 5.7			
— 27	7.5	727.1	— 2.6	— 5.4	3.6	links	Luft II, gegen den Schluss etwas windig und neblig.
	12.2	725.9	— 2.2	— 8.0			
— 28	7.5	728.7	— 2.2	— 4.4	3.5	links	Luft II, am Schluss eher III; Bilder sehr schwach und unruhig.
	12.0	728.4	— 2.1	— 6.1			
— 31	7.5	722.8	— 4.0	— 6.2	3.6	links	Luft II, nach 10^h III; Bilder sehr verwaschen, am Horizont bis auf etwa 10° Höhe dichter Nebel.
	12.0	721.7	— 3.3	— 6.8			
Februar 1	8.8	719.7	— 1.7	— 4.5	3.5	rechts	Luft III, um 11 1/2^h wegen ganz schlechter Luft Schluss.
	12.0	719.9	— 2.0	— 5.5			
— 4	7.5	730.9	+ 2.4	+ 0.2	4.0	rechts	Luft I—II, nach 10^h III; am Schluss sehr windig, Bilder sehr unruhig, stark wallend und verwaschen.
	12.0	729.9	+ 1.0	— 1.9			
— 5	7.0	728.8	+ 2.0	— 1.7	4.0	rechts	☾ Luft II, zeitweise etwas unruhig.
	12.0	728.3	+ 0.3	— 2.8			
— 7	7.1	728.1	— 1.4	— 5.0	3.5	rechts	☾ Luft II, etwas windig; um 10^h Wolken, deshalb Schluss.
	10.8	728.3	— 1.8	— 7.2			
— 8	7.5	727.3	— 2.2	— 6.5	3.3	rechts	☾ Luft II, nach 9^h Wolken.
	11.7	726.2	— 3.0	— 8.3		links	
— 11	7.5	721.1	— 0.9	— 3.6	3.3	links	Luft II, von 10^h ab III, sehr unruhig; gegen 12^h von SE starkes Gewölk.
	12.0	721.3	— 2.0	— 6.2			
— 12	7.5	719.5	— 1.0	— 2.9	3.8	links	Luft II, später III. Um 10^h starker Nebel.
	10.3	719.9	— 1.5	— 4.0			
— 17	7.3	720.9	— 6.0	— 11.5	3.0	links	Luft II, später I; sehr ruhig und klar, aber sehr kalt.
	12.3	719.6	— 7.7	— 15.7			
— 24	6.3	723.2	+ 4.0	+ 2.1	4.7	links	Luft I—II, von 9^h ab Luft III und diffuse, unruhige Bilder.
	11.8	723.0	+ 1.6	— 1.7	3.8		
— 25	5.7	722.0	+ 6.3	+ 6.6	4.2	rechts	Luft II, um 7^h Wolken, um 8^h ganz bezogen.
	8.0	722.2	+ 5.0	+ 4.8	4.4		
— 28	5.8	729.6	+ 3.1	+ 1.1	4.4	rechts	Luft II
	12.0	729.3	+ 0.5	— 2.6			
März 4	5.8	724.8	+ 6.3	+ 5.5	5.3	rechts	Luft II.
	7.0	—	—	—	4.8		☾ Luft I—II.
	9.2	724.0	+ 4.4	+ 2.8	4.0		Von 10^h ab Luft III, später Himmel schwach bezogen.
	11.5	723.1	+ 2.9	+ 0.2			
— 19	8.0	719.1	— 1.7	— 8.7	3.1	rechts	Luft III, um 11^h II, am Schluss unruhig.
	11.8	719.1	— 2.8	— 10.5			
April 4	8.5	711.5	+ 8.0	+ 5.9	3.7	rechts	☾ Luft III, unruhig; besonders gegen den Schluss diffuse Bilder.
	10.5	710.2	+ 6.1	+ 3.6			
— 5*	6.7	704.3	+ 12.2	+ 9.2	5.1	rechts	☾ Starker Wind, Luft III; um 9 1/2^h ganz bewölkt.
	9.8	704.0	+ 10.0	+ 8.3			
— 6	7.3	703.1	+ 12.3	+ 11.0	4.4	links	☾ Luft III, heftiger SE Wind, nach 9^h ganz überzogen.
	9.7	703.5	+ 10.4	+ 7.7			

Datum	Mittl. Zeit	Barom.	T	t	Ocular	Schraube	Bemerkungen.
1887							
	h	mm	°	°			
April 20	7.3	716.2	+ 9.6	+ 12.0	4.0	links	Luft III, diffuse Bilder, am Schluss sehr unruhig.
	10.5	716.1	+ 8.3	+ 7.3			
— 21	7.5	712.9	+ 10.5	+ 9.8	4.0	links	Luft II—III, am Schluss sehr unruhig.
	11.0	712.5	+ 8.0	+ 4.5			
— 22	8.0*	708 1	0.0	+ 12.3	5.0	links	Luft II, erst nach 8h klar; windig, nach 9h Luft unter III.
	9.8	709.5	+ 11.3	+ 9.4	4.3		
— 29	8.0*	713.9	0.0	+ 14.0	4.5	links	Luft III, Bilder diffus und stark wallend; um 8 3/4h total bewölkt.
			Fernrohr links.				
October 13	8.0*	709.0	0.0	+ 2.8	3.2	rechts	Luft II, später schlechter, am Schluss III; unbequeme Stellung.
	10.5	710.2	+ 6.9	+ 0.6			
— 23	6.0	722.3	+ 6.6	+ 3.0	3.4	rechts	Luft II, sehr gut; am Schluss I. Wegen sehr steiler Lage des Fernrohrs höchst unbequeme Stellung.
	10.0	720.9	+ 4.2	— 0.7	4.0		
— 26	5.5	726.9	+ 2.8	— 2.3	2.7	rechts	Luft III, diffuse, unruhige Bilder; von 7h ab etwas bessere Luft (II), aber windig.
	7.8	—	—	— 3.8	2.7		
	10.5	725.3	+ 0.8	— 4.8			
— 27	4.8	717.0	+ 5.0	+ 0.2	3.1	links	☾ Luft III; um 6h 30m ganz bezogen.
	6.5	716.8	+ 3.5	— 0.8	3.1		
— 28	5.0	713.4	+ 4.9	+ 2.2	3.3	links	☾ Luft II—III.
	10.0	713.9	+ 1.9	— 0.9	3.3		
November 13	5.5	715.1	+ 3.4	0.0	3.3	links	Luft II, Bilder ruhig, aber schlecht.
	8.2	713.9	+ 2.3	— 1.3			
— 16	5.0	721.7	+ 0.2	— 6.5	2.4	links	Luft III—IV, von 6h ab II—III, gegen den Schluss wieder III—IV.
	7.7	721.5	— 1.0	— 9.8		rechts	
— 17	5.0	715.6	0.0	— 5.5	2.2	rechts	Luft III—IV, nach 7h besser: II—III.
	8.3	713.8	— 1.5	— 8.0	2.2		
— 19	6.0	702.5	+ 1.7	0.0	3.1	rechts	Luft IV, diffuse Bilder. Um 7h Schluss wegen zu schlechter Luft.
— 26	5.3	718.3	+ 4.8	+ 3.5	4.0	rechts	Luft II—III.
	8.6	715.5	+ 3.5	+ 0.7	4.0		
— 28	6.0	719.2	+ 4.1	+ 2.3	4.0	rechts	☾ Luft II, Himmel milchig. Am Schluss Luft I—II, sehr unbequeme Stellung.
	8.3	718.6	+ 3.1	+ 0.6			
— 29	6.0	713 8	+ 4.2	+ 2.8	3.5	links	☾ Luft III, feine Nebelwolken; Bilder diffus und wallend. Um 7h ganz bezogen.
	7.4	713.7	+ 3.5	+ 1.0			
December 2	5.5	727.9	+ 1.6	— 2.0	3.7	links	Luft I, ausgezeichnete Bilder; um 7h ☾ und schwacher Nebel.
	8.0	727.6	+ 0.7	— 5.0			
1888			Fernrohr rechts.				
Februar 19	8.0*	699.7	0.0	— 3.6	3.5	rechts	Luft III, heftiger NE-Wind, um 8h 30m ganz bezogen.
— 24	6.0	706.9	— 1.2	— 6.5	2.8	rechts	Luft IV, Bilder ganz schlecht, um 7 1/2h vollständig bedeckt.
	8.0*	707.3	0.0	— 8.8			
März 1	6.5	716.8	— 0.3	— 4.4	3.9	rechts	Luft I—II.
	7.5	716.6	— 0.8	— 5.0			
	11.0	715.8	— 2.3	— 7.2			Im Taster kein Strom mehr, daher Schluss.
— 7	8.0*	720.0	0.0	+ 1.3	3.4	links	Luft IV; heftiger W-Wind, um 7 1/2h ganz bedeckt.
— 8	6.5	718.5	+ 4.6	+ 4.7	4.1	links	Luft II, nach 9h III, 10h IV. Um 11h Schluss wegen ganz schlechter Luft und starkem NW-Wind. Taster hat eine zeitlang versagt.
	8.0*	717.7	0.0	+ 3.1			
	11.0	718.0	+ 2.5	+ 4.5			

Datum	Mittl. Zeit	Barom.	T	t	Ocular	Schraube	Bemerkungen.
1888							
	h	mm	°	°			
März 15	8.0*	700.8	0.0	+ 3.3	4.0	links	Alle Beobb. durch Wolken, z. Th. mit Fadenbeleuchtung, d. Taster versagte öfters.
	10.3	700.7	+ 4.3	+ 1.8			
— 16	6.8	701.9	+ 6.7	+ 5.5	3.8	rechts	Luft II
	8.0*	701.0	0.0	+ 4.4			„ IV, um 9^{h} wieder etwas besser.
	10.0	701.5	+ 4.7	+ 2.5			„ IV, ganz schlecht, daher Schluss.
— 20	6.5	714.1	+ 1.5	— 0.5	3.8	rechts	Luft II; Plejaden, später Perseus.
	8.0*	714.2	0.0	— 2.0			
	9.8	—	—	—	3.5		Luft III—IV.
	11.3	714.8	0.0	— 3.6			Ganz überzogen.
— 21	6.3	714.0	+ 3.5	+ 2.1	3.9	rechts	Luft II; Plejaden, später Perseus; um 9^{h} II — III; Bilder sehr schwach.
	8.0*	713.5	0.0	+ 0.6			
	11.5	713.7	+ 0.9	— 1.5			Mehrfach Störungen im Taster und Uhrcontact.
— 23	6.3	706.0	+ 4.4	+ 3.0	4.1	links	Plejaden, später Perseus. Luft II, etwas windig.
	8.0*	705.7	0.0	+ 0.5			
	9.5	—		—	3.8		
	12.0	705.8	+ 1.0	— 1.6			
April 16	7.0	716.1	+ 12.1	+ 11.5	5.1	links	Luft II, Störungen im Taster; gegen den Schluss sehr schwache Bilder.
	12.4	716.2	+ 8.4	+ 5.4			
— 24	8.0*	711.9	0.0	+ 12.4	5.1	links	☾ nur ganz kurze Zeit aufgezogen.
— 28	8.0*	718.9	0.0	+ 7.0	4.4	links	Luft IV, erst nach 9^{h} klar, windig, vielfach durch Wolken. Am Schluss ganz überzogen.
	11.4	720.1	+ 6.7	+ 5.8			
— 29	8.0*	715.1	0.0	+ 12.2	5.6	links	Luft III—IV; wieder erst nach 9^{h} klar, windig; am Schluss Luft ganz schlecht, schwach bewölkt.
	11.5	716.3	+ 10.3	+ 9.1			
Mai 23	8.0*	720.1	0.0	+ 10.6	5.7	links	☾ erst nach 9^{h} auf kurze Zeit klar, Luft IV, Contact im Taster sehr träg.
October 16	6.7	723.9	+ 7.0	+ 4.2	3.5	rechts	Luft II—III, am Schluss I.
	9.3	723.9	+ 6.3	+ 2.4			
— 19	6.8	724.3	+ 4.7	— 1.0	3.4	links	☾ Luft III.
	9.8	725.0	+ 3.8	— 2.6			
November 10	5.0	717.7	+ 1.2	— 2.5	3.3	rechts	Sehr windig, Bilder scharf, aber wegen des vibrirenden Rohres unruhig; Störungen im Tasterschluss.
	8.0*	718.8	0.0	— 4.8			
— 11	5.0	719.1	+ 1.6	— 2.5	3.2	rechts	Luft II, später I, um 8^{h} 50^{m} blieb in Folge der Kälte das Uhrwerk des Chronographen stehen, daher Schluss.
	8.0*	718.5	0.0	— 5.0			
— 13	5.5	713.1	+ 0.6	— 1.9	3.2	links	Luft II, am Schluss Wolken von NW.
	7.0	712.8	+ 0.1	— 2.9			
— 14	6.0	726.6	+ 1.4	— 0.4	3.2	rechts	☾ Luft II—III, am Schluss starker Nebel.
	8.0*	727.0	0.0	— 2.1	4.0		
— 26	4.8	716.1	+ 8.7	+ 10.8	4.2	rechts	Luft IV, windig, Bilder unruhig und sehr verwaschen, später etwas besser.
	8.0	716.6	+ 7.1	+ 8.2			
— 27	5.0	711.4	+ 8.7	+ 5.5	4.0	links	Luft III, Bilder schwach, aber ruhig.
	8.2*	710.4	0.0	+ 4.0			„ II, unbequeme Stellung.
December 14	5.0	724.3	— 1.5	— 5.8	3.2	rechts	Luft II, das Uhrwerk des Chronographen blieb wieder stehen.
	7.0	724.1	— 2.4	— 7.3			
— 21	4.5	707.1	+ 1.3	— 2.6	3.3	links	Luft III, dunstig; später besser.
	7.0	706.2	— 0.5	— 5.7			
1889							
Januar 29	11.0	716.9	— 1.5	— 2.3	3.5	links	Luft IV; erst gegen 10^{h} klar, um 11^{h} wieder bedeckt

Datum	Mittl. Zeit	Barom.	T	t	Ocular	Schraube	Bemerkungen
1889							
	h	mm	°	°			
Februar 13	6.0	—	—	—	2.7	rechts	Luft II.
	7.0	—	—	—		links	
	8.0*	719.8	0.0	— 13.8			
	10.0	719.1	— 6.1	— 15.0			
März 11	6.5	—	—	—	4.0	links	Luft II, häufig durch Wolken beobachtet, um 7^h ganz bezogen.
	8.0*	704.0	0.0	+ 2.7			
— 18	8.0*	712.3	0.0	— 3.0	3.4	links	☾ Luft III, Himmel milchig.

Anmerkung: Die Baro- und Thermometerablesungen, bei denen die zugehörige Zeit mit einem * versehen ist, wurden dem meteorologischen Journal der Sternwarte entnommen; die Barometerstände sind in diesem Fall bereits auf 0,° reducirt, daher hier stets $T = 0$.

Im Ganzen sind sonach auf die Messung aller Rectascensions- und Declinationsdifferenzen 69 Abende verwendet worden.

Was die Bezifferung der Sterne anlangt, so versuchte ich Anfangs, derjenigen Lamont's zu folgen. Als aber die Anzahl der Sterne grösser wurde und auch solche vorkamen, die bei Lamont fehlen, musste ich hierauf verzichten und die Sterne einfach nach der chronologischen Reihenfolge ihrer erstmaligen Beobachtung beziffern.

Die nachfolgenden beiden Tabellen enthalten die beobachteten und auf das mittlere Aequinoctium 1890.0 reducirten Rectascensions- und Declinationsdifferenzen und zwar gibt

Columne 1: Die Bezeichnung der beobachteten Differenz und zwar in dem Sinne, dass der absolute Ort des zuerst genannten Sternes erhalten wird, wenn die gemessene Differenz mit ihrem Vorzeichen zum absoluten Ort des zweitgenannten Sternes addirt wird;

Columne 2: Das Datum.

Columne 3: Den Stundenwinkel der Beobachtung; bei den Declinationsdifferenzen geht noch die Angabe über die Lage der Mikrometerschraube voraus;

Columne 4: Die gemessene, scheinbare Differenz;

Columne 5: Bei den AR-Differenzen die Anzahl der Fadenantritte der beiden verglichenen Sterne, bei den Decl.-Differenzen die Anzahl der einzelnen Einstellungen der Schraube;

Columne 6: Die Summe der Verbesserungen der beobachteten Differenzen wegen Refraction, Präcession, Nutation und Aberration, bei den Decl.-Differenzen noch jene wegen der periodischen Schraubenfehler; stets in Einheiten der letzten Decimalstelle.

Columne 7: Die auf 1890.0 reducirten Differenzen.

Columne 8: Die Mittelwerthe der letzteren. Bei den AR-Differenzen sind diese Mittel nach Massgabe der Anzahl der Fadenantritte aus den einzelnen Abendmitteln berechnet, weil diese Anzahl häufig sehr verschieden war, bei den Declinationsdifferenzen dagegen, wo fast alle Abendmittel auf einer gleichen Anzahl von Einstellungen beruhen, wurde aus den einzelnen Abendmitteln schlechthin das Mittel genommen.

Columne 9: Die Summe aller Fadenantritte, bezw. Einzelneistellungen;

Columne 10: Die aus diesen Summen (durch Division mit 5) berechneten, bei der Ausgleichung der Beobachtungen benützten Gewichte der in Columne 8 enthaltenen Mittelwerthe.

Rectascensionsdifferenzen.

Beobachtete Differenz	Datum	Stunden-winkel	Δα app.	Anzahl der Fäden	Summe der Correc-tionen.	Δα 1890.0	Mittel	Summe der Fäden	Gewicht
		h	s			s			
2—1	1888, Febr. 24	2.7	+ 1.913	6	0	+ 1.913			
	März 1	6.0	1.910	8	0	1.910			
	— 15	6.9	1.890	2	0	1.890			
	— 16	6.2	1.961	27	0	1.961	s		
	— 20	7.7	1.948	5	— 1	1.947	+ 1.960	75	15
	— 23	8.3	2.080	4	— 1	2.079			
	April 16	7.4	2.130	4	— 1	2.129			
	— 28	10.5	2.085	4	0	2.085			
	— 29	11.0	2.060	1	0	2.060			
	Novbr. 10	21.4	1.893	14	+ 1	1.894			
3—1	1888, März 1	6.3	+ 4.354	9	0	+ 4.354			
	— 16	6.2	4.293	28	0	4.293			
	— 20	7.6	4.298	5	0	4.298	+ 4.319	69	14
	— 23	7.7	4.347	10	— 1	4.346			
	Novbr. 10	21.4	4.331	17	+ 2	4.333			
4—1	1888, Febr. 24	2.7	+ 9.075	2	+ 2	+ 9.077			
	März 1	6.0	8.966	8	+ 2	8.968			
	— 16	6.7	8.995	36	+ 2	8.997			
	— 20	7.6	8.929	4	0	8.929			
	— 23	7.7	9.032	9	+ 1	9.033			
	April 16	7.9	8.945	5	+ 1	8.946	+ 9.010	98	20
	— 28	11.2	8.895	2	+ 3	8.898			
	Novbr. 10	21.4	9.039	20	+ 2	9.041			
	1889, Jan. 29	3.9	9.090	7	+ 1	9.091			
	Febr. 13	3.7	8.990	5	+ 1	8.991			
4—38	1888, März 16	6.7	— 13.630	5	— 5	— 13.635			
	1889, Jan. 29	3.9	13.350	6	— 2	13.352	— 13.468	15	3
	Febr. 13	3.7	13.433	4	— 2	13.435			
5—1	1888, Febr. 24	2.7	+ 4.706	7	+ 1	+ 4.707			
	März 1	6.0	4.698	9	+ 1	4.699			
	— 16	6.7	4.728	7	+ 1	4.729			
	— 20	7.9	4.700	5	+ 1	4.701			
	— 23	8.5	4.627	13	+ 1	4.628	+ 4.669	72	14
	April 16	8.7	4.573	8	+ 1	4.574			
	— 28	10.4	4.712	6	+ 1	4.713			
	— 29	11.0	4.840	2	+ 1	4.841			
	Novbr. 10	21.4	4.638	15	+ 1	4.639			
6—1	1888, Febr. 24	2.7	+ 5.899	7	0	+ 5.899			
	März 1	6.0	5.939	9	+ 1	5.940			
	— 16	6.7	6.006	8	+ 1	6.007			
	— 20	7.9	6.050	7	+ 1	6.051			
	— 23	8.7	6.021	12	+ 1	6.022			
	April 16	8.7	5.987	8	+ 1	5.988	+ 5.974	72	14
	— 28	9.6	6.240	1	+ 2	6.242			
	— 29	11.0	5.870	1	+ 2	5.872			
	Novbr. 10	21.0	5.880	7	+ 1	5.881			
	1889, Jan. 29	3.9	5.986	5	0	5.986			
	Febr. 13	3.7	5.941	7	0	5.941			
7—1	1888, März 1	6.3	+ 5.938	9	+ 1	+ 5.939			
	— 16	6.2	5.872	27	+ 1	5.873			
	— 20	7.6	5.770	5	0	5.770			
	— 23	7.8	5.786	12	0	5.786	+ 5.835	83	17
	April 28	10.6	5.888	6	+ 2	5.890			
	Novbr. 10	21.6	5.835	12	+ 2	5.837			
	1889, Jan. 29	3.9	5.694	7	+ 1	5.695			
	Febr. 13	4.0	5.752	5	0	5.752			

Beobachtete Differenz	Datum	Stunden-winkel	Δα app.	Anzahl der Fäden	Summe der Correctionen	Δα 1890.0	Mittel	Summe der Fäden	Gewicht
		h	s			s	s		
8—1	1888, März 20	7.6	+ 13.281	1	0	+ 13.281			
	— 23	7.7	12.968	5	+ 1	12.969			
	Novbr. 10	21.3	13.066	9	+ 3	13.069			
	— 14	20.9	13.125	13	+ 3	13.128	+ 13.231	93	19
	— 26	22.0	13.342	29	+ 2	13.344			
	— 27	20.7	13.239	27	+ 2	13.241			
	1889, Jan. 29	3.9	13.340	2	+ 1	13.341			
	Febr. 13	3.9	13.274	7	0	13.274			
8—38	1888, März 16	6.7	— 9.665	2	— 4	— 9.669			
	1889, Jan. 29	3.9	9.220	2	— 3	9.223	— 9.344	11	2
	Febr. 13	3.9	9.283	7	— 3	9.286			
8—41	1888, Novbr. 14	20.9	+ 29.696	13	+ 5	+ 29.701	+ 29.692	14	3
	1889, Febr. 13	4.0	29.580	1	0	29.580			
9—1	1888, März 1	6.0	— 1.329	7	0	— 1.329			
	— 16	5.9	1.388	4	0	1.388			
	— 20	7.6	1.350	14	0	1.350			
	— 23	7.7	1.365	11	0	1.365	— 1.300	184	37
	April 16	9.4	1.350	11	— 1	1.351			
	Novbr. 10	19.3	1.288	75	0	1.288			
	— 27	21.9	1.273	62	0	1.273			
9—41	1888, Novbr. 27	22.0	+ 15.281	20	+ 1	+ 15.282	+ 15.282	20	4
10—1	1888, März 16	5.9	— 4.325	2	0	— 4.325			
	— 20	7.7	4.153	16	0	4.153			
	— 23	7.7	4.281	11	0	4.281	— 4.212	77	15
	Novbr. 10	19.1	4.121	19	— 2	4.123			
	— 27	21.5	4.245	21	0	4.245			
	1889, Febr. 13	3.9	4.332	8	— 1	4.333			
10—14	1888, März 23	7.7	+ 6.119	10	+ 1	+ 6.120	+ 6.120	10	2
10—41	1888, März 23	7.7	+ 12.202	9	+ 3	+ 12.205			
	Novbr. 27	21.5	12.336	7	+ 1	12.337	+ 12.252	19	4
	1889, Febr. 13	3.9	12.196	3	+ 1	12.197			
10ª—1	1888, März 16	5.9	— 5.355	2	— 1	— 5.356			
	— 20	7.8	5.706	21	— 1	5.707			
	— 23	7.8	5.740	13	— 1	5.741			
	Novbr. 10	19.1	5.659	20	— 1	5.660	— 5.714	95	19
	— 27	21.5	5.736	21	— 1	5.737			
	1889, Febr. 13	3.9	5.777	18	0	5.777			
10ª—14	1888, März 23	7.7	+ 4.724	9	+ 1	+ 4.725	+ 4.725	9	2
10ª—41	1888, März 23	7.7	+ 10.654	9	+ 2	+ 10.656			
	Novbr. 27	21.5	10.771	7	+ 1	10.772	+ 10.698	22	4
	1889, Febr. 13	3.9	10.673	6	0	10.673			
11—1	1888, Febr. 24	2.7	— 4.376	7	— 1	— 4.377			
	März 1	6.0	4.268	6	0	4.268			
	— 16	6.3	4.293	3	— 1	4.294			
	— 20	7.6	4.350	1	+ 1	4.349			
	April 29	11.0	3.997	3	— 1	3.998	— 4.282	100	20
	Novbr. 10	19.1	4.268	34	— 2	4.270			
	— 27	22.2	4.256	40	— 2	4.258			
	1889, Febr. 13	3.7	4.542	6	0	4.542			
11—41	1888, Novbr. 27	22.1	+ 12.269	12	+ 2	+ 12.271	+ 12.225	13	3
	1889, Febr. 13	3.7	11.670	1	+ 2	11.672			

Beobachtete Differenz	Datum	Stundenwinkel	$\Delta\alpha$ app.	Anzahl der Fäden	Summe der Correctionen	$\Delta\alpha$ 1890.0	Mittel	Summe der Fäden	Gewicht
		h	s			s			
12—1	1888, Febr. 24	2.7	— 5.453	6	— 1	— 5.454			
	März 1	6.0	5.549	7	— 1	5.550			
	— 16	6.3	5.623	4	— 1	5.624			
	April 29	11.0	5.370	3	— 1	5.371	— 5.536	83	17
	Novbr. 10	19.1	5.551	35	— 2	5.553			
	— 27	22.3	5.501	24	— 2	5.503			
	1889, Febr. 13	3.7	5.720	4	0	5.720			
12—41	1888, Novbr. 27	22.3	+ 11.156	8	+ 2	+ 11.158	+ 11.145	9	2
	1889, Febr. 13	3.7	11.040	1	+ 2	11.042			
12ª—1	1888, Novbr. 10	20.5	— 5.815	2	— 3	— 5.818			
	— 14	20.9	5.589	9	— 2	5.591	— 5.664	16	3
	— 26	21.6	5.730	5	— 3	5.733			
12ª—41	1888, Novbr. 10	20.5	+ 10.763	3	+ 3	+ 10.766			
	— 14	20.9	10.786	9	+ 2	10.788	+ 10.797	18	4
	— 26	21.6	10.823	6	+ 2	10.825			
13—1	1888, März 1	6.0	— 6.470	1	— 1	— 6.471			
	— 16	6.2	6.780	1	— 1	6.781			
	— 20	7.8	6.757	17	— 1	6.758			
	— 23	7.8	6.779	10	— 1	6.780	— 6.732	89	18
	Novbr. 10	19.1	6.736	22	— 1	6.737			
	— 27	21.7	6.687	26	— 1	6.688			
	1889, Febr. 13	4.0	6.760	12	0	6.760			
13—14	1888, März 23	7.7	+ 3.777	10	+ 1	+ 3.778	+ 3.778	10	2
13—41	1888, März 23	7.7	+ 9.787	9	+ 2	+ 9.789			
	Novbr. 27	21.8	9.806	10	+ 1	9.807	+ 9.751	22	4
	1889, Febr. 13	3.9	9.447	3	0	9.447			
14—1	1888, Febr. 24	2.7	— 10.573	7	— 1	— 10.574			
	März 1	6.0	10.731	7	— 1	10.732			
	— 16	5.9	10.495	4	— 2	10.497			
	— 20	7.8	10.549	26	— 2	10.551			
	— 23	7.9	10.515	17	— 2	10.517			
	April 16	10.0	10.580	7	— 3	10.583			
	— 28	9.6	10.470	1	— 3	10.473	— 10.522	168	34
	— 29	11.0	10.474	5	— 4	10.478			
	Novbr. 10	19.1	10.520	22	— 2	10.522			
	— 14	20.9	10.517	28	— 1	10.518			
	— 27	21.8	10.439	30	— 1	10.440			
	1889, Febr. 13	3.9	10.518	14	0	10.518			
14—14ª	1888, März 23	7.7	+ 2.698	6	0	+ 2.698	+ 2.698	6	1
14—14ᵇ	1888, März 23	7.7	+ 3.207	7	0	+ 3.207	+ 3.207	7	1
14—22	1888, März 23	7.7	— 0.648	6	+ 1	— 0.647	— 0.647	6	1
14—38	1888, März 23	7.7	— 33.160	3	— 6	— 33.166	— 33.166	3	1
14—41	1888, März 23	7.7	+ 5.938	9	+ 2	+ 5.940			
	Novbr. 14	20.9	5.969	36	+ 1	5.970			
	— 27	21.9	6.107	15	+ 1	6.108	+ 6.003	67	13
	Dec. 21	20.9	6.150	3	0	6.150			
	1889, Febr. 13	3.9	5.932	4	+ 1	5.933			
14ª—1	1888, März 1	6.0	— 13.205	6	— 2	— 13.207			
	— 20	7.8	13.118	4	— 2	13.120			
	— 23	8.0	13.137	11	— 2	13.139			
	Novbr. 10	19.2	13.311	22	— 3	13.314	— 13.164	92	18

Beobachtete Differenz	Datum	Stunden-winkel	$\Delta\alpha$ app.	Anzahl der Fäden	Summe der Correctionen	$\Delta\alpha$ 1890.0	Mittel	Summe der Fäden	Gewicht
		h	s			s			
14ª — 1	1888, Novbr. 14	20.9	— 12.995	28	— 3	— 12.998			
	— 27	21.9	13.209	18	— 1	13.210			
	1889, Febr. 13	4.0	13.407	3	— 2	13.409			
14ª — 41	1888, März 23	7.7	+ 3.259	9	+ 2	+ 3.261			
	Novbr. 14	20.9	3.461	36	+ 1	3.462	+ 3.408	61	12
	— 27	22.0	3.370	16	0	3.370			
14ᵇ — 1	1888, März 23	7.8	— 13.589	12	— 2	— 13.591			
	Novbr. 14	20.9	13.765	28	— 3	13.768			
	— 27	22.1	13.670	11	— 2	13.672	— 13.700	53	11
	1889, Febr. 13	4.0	13.560	2	0	13.560			
14ᵇ — 41	1888, März 23	7.7	+ 2.831	9	+ 2	+ 2.833			
	Novbr. 14	20.9	2.703	36	+ 1	2.704	+ 2.756	56	11
	— 27	22.0	2.863	11	+ 1	2.864			
15 — 1	1888, Febr. 24	2.7	— 8.848	4	— 1	— 8.849			
	März 1	6.0	8.764	8	— 1	8.765			
	— 16	5.9	8.883	4	— 2	8.885			
	— 20	7.7	8.752	27	0	8.752			
	— 23	8.0	8.722	5	0	8.722	— 8.767	146	29
	April 16	10.0	8.758	21	— 3	8.761			
	Novbr. 10	19.1	8.768	15	— 4	8.772			
	— 27	22.1	8.713	43	— 2	8.715			
	1889, Febr. 13	4.0	8.880	19	— 1	8.881			
15 — 41	1888, Novbr. 27	22.1	+ 7.805	16	+ 2	+ 7.807	+ 7.760	23	5
	1889, Febr. 13	4.0	7.650	7	+ 3	7.653			
15ª — 1	1888, Novbr. 14	21.4	— 7.055	26	— 2	— 7.057	— 7.054	27	5
	— 26	21.6	6.960	1	— 3	6.963			
16 — 1	1888, März 1	6.0	— 10.220	1	— 2	— 10.222			
	— 16	5.9	9.815	2	— 1	9.816			
	— 20	7.7	10.021	28	+ 1	10.020			
	April 16	10.0	9.979	12	— 4	9.983	— 10.094	104	21
	Novbr. 10	19.6	10.094	15	— 5	10.099			
	— 27	21.9	10.105	19	— 2	10.107			
	1889, Febr. 13	4.1	10.222	27	— 1	10.223			
16 — 41	1888, Novbr. 27	21.9	+ 6.373	6	+ 2	+ 6.375	+ 6.313	26	5
	1889, Febr. 13	4.2	6.291	20	+ 4	6.295			
17 — 1	1888, März 20	7.9	— 5.713	8	+ 2	— 5.711			
	April 16	10.0	5.523	20	— 2	5.525			
	Novbr. 10	19.6	5.510	27	— 4	5.514	— 5.536	81	16
	— 27	21.9	5.538	21	— 2	5.540			
	1889, Febr. 13	3.7	5.408	5	— 1	5.409			
17 — 41	1888, Novbr. 27	21.9	+ 10.924	7	+ 2	+ 10.926	+ 10.916	8	2
	1889, Febr. 13	3.7	10.840	1	+ 4	10.844			
18 — 1	1888, März 1	6.0	— 3.730	7	— 1	— 3.731			
	— 16	5.9	3.606	5	— 1	3.607			
	— 20	7.9	3.745	14	+ 1	3.744			
	April 16	10.0	3.685	19	— 2	3.687	— 3.645	152	30
	Novbr. 10	19.4	3.589	57	— 3	3.592			
	— 27	22.1	3.615	34	— 1	3.616			
	1889, Febr. 13	3.9	3.730	16	— 1	3.731			
18 — 41	1888, Novbr. 27	22.1	+ 12.963	12	+ 2	+ 12.965	+ 12.869	17	3
	1889, Febr. 13	3.9	12.636	5	+ 3	12.639			

Beobachtete Differenz	Datum	Stunden-winkel	$\Delta\alpha$ app.	Anzahl der Fäden	Summe der Correc-tionen	$\Delta\alpha$ 1890.0	Mittel	Summe der Fäden	Gewicht
		h	s			s			
19—1	1888, Febr. 24	3.1	+ 9.205	16	+ 8	+ 9.213			
	März 1	6.3	9.199	9	+ 8	9.207			
	— 8	7.2	9.151	19	+ 8	9.159			
	— 15	7.5	9.146	19	+ 8	9.154			
	— 20	7.9	9.133	4	+ 6	9.139	s		
	— 23	8.5	9.074	30	+ 8	9.082	+ 9.141	180	36
	April 16	10.0	9.103	6	+ 13	9.116			
	— 24	9.2	9.158	6	+ 9	9.167			
	— 28	9.6	9.063	17	+ 12	9.075			
	— 29	11.1	9.167	34	+ 11	9.178			
	1889, Febr. 13	4.3	9.092	20	+ 6	9.098			
19—19[a]	1888, März 8	7.4	— 2.731	8	— 3	— 2.734			
	— 20	7.9	2.560	5	— 2	2.562			
	— 23	8.7	2.567	7	— 3	2.570	— 2.581	29	6
	1889, Febr. 13	4.3	2.460	9	— 3	2.463			
19 - 19[b]	1888, März 1	7.2	— 14.729	8	— 5	— 14.734			
	— 8	7.5	14.735	2	— 5	14.740			
	— 23	8.7	14.706	13	— 7	14.713	— 14.694	36	7
	1889, Febr. 13	4.3	14.640	13	— 4	14.644			
19—38	1889, Febr. 13	4.0	— 13.572	5	— 2	— 13.574	— 13.574	5	1
19—41	1888, April 29	11.5	+ 25.740	9	+ 15	+ 25.755	+ 25.681	25	5
	1889, Febr. 13	4.3	25.632	16	+ 7	25.639			
19—52	1888, März 1	7.2	+ 45.293	7	+ 4	+ 45.297			
	— 8	7.5	45.380	3	+ 5	45.385			
	1889, März 11	3.9	45.418	37	+ 2	45.420	+ 45.398	63	13
	— 18	9.4	45.388	16	+ 4	45.392			
19—57	1889, März 11	3.9	+ 25.610	11	+ 3	+ 25.613	+ 25.611	31	6
	— 18	9.4	25.605	20	+ 5	25.610			
19[a] —19[b]	1888, März 1	7.2	— 12.050	3	— 2	— 12.052	— 12.052	3	1
20—1	1888, März 1	6.3	+ 2.284	11	+ 4	+ 2.288			
	— 23	8.7	2.497	10	+ 4	2.501			
	April 16	10.0	2.310	4	+ 5	2.315			
	Novbr. 10	19.2	2.338	22	+ 2	2.340	+ 2.361	115	23
	— 14	21.4	2.393	29	+ 1	2.394			
	— 27	21.4	2.344	34	+ 1	2.345			
	1889, Febr 13	4.0	2.276	5	+ 3	2.279			
20—38	1888, Novbr. 14	21.4	— 20.172	21	— 4	— 20.176			
	— 27	22.0	20.309	18	— 3	20.312	— 20.253	44	9
	1889, Febr. 13	4.0	20.360	5	— 1	20.361			
21—1	1888, März 20	7.9	+ 2.243	4	+ 2	+ 2.245			
	— 23	7.7	2.048	9	+ 2	2.050			
	Novbr. 10	19.2	2.018	44	+ 2	2.020			
	— 14	21.4	2.150	29	+ 1	2.151	+ 2.067	131	26
	— 27	21.4	2.061	41	+ 1	2.062			
	1889, Febr. 13	4.0	1.895	4	+ 3	1.898			
21—38	1888, Novbr. 14	21.4	— 20.398	22	— 4	— 20.402			
	— 27	22.0	20.672	18	— 3	20.675	— 20.535	44	9
	1889, Febr. 13	4.0	20.635	4	0	20.635			
22—1	1888, März 23	7.7	— 9.953	7	— 3	— 9.956			
	Novbr. 10	20.5	9.971	16	— 2	9.973			
	— 14	20.7	9.956	12	— 2	9.958	— 9.925	60	12
	— 26	21.6	9.982	11	— 2	9.984			
	— 27	21.5	9.776	14	— 2	9.778			

Beobachtete Differenz	Datum	Stunden-winkel	$\Delta\alpha$ app.	Anzahl der Fäden	Summe der Correc-tionen	$\Delta\alpha$ 1890.0	Mittel	Summe der Fäden	Gewicht
		h	s			s	s		
22—41	1888, März 23	7.7	+ 6.592	5	0	+ 6.592			
	Novbr. 10	20.5	6.659	32	+ 2	6.661			
	14	20.7	6.582	31	+ 2	6.584	+ 6.635	98	20
	— 26	21.6	6.673	24	+ 2	6.675			
	— 27	21.5	6.632	6	+ 2	6.634			
22ª —1	1888, Novbr. 10	20.5	— 7.588	17	— 2	— 7.590			
	— 14	20.7	7.448	11	— 2	7.450			
	— 26	21.6	7.510	12	— 2	7.512	— 7.532	49	10
	— 27	21.5	7.534	7	— 2	7.536			
	1889, Febr. 13	4.0	7.590	2	— 1	7.591			
22ª —41	1888, Novbr. 10	20.5	+ 9.084	36	+ 2	+ 9.086			
	— 14	20.7	9.083	32	+ 2	9.085			
	— 26	21.6	9.170	22	+ 2	9.172	+ 9.104	93	19
	— 27	21.5	8.990	2	+ 2	8.992			
	1889, Febr. 13	4.0	9.030	1	0	9.030			
23—1	1888, Febr. 24	2.7	— 14.805	4	— 4	— 14.809			
	März 1	6.0	14.733	8	— 6	14.739			
	— 16	5.9	14.817	3	— 5	14.822			
	— 20	7.6	14.685	4	— 5	14.690			
	— 23	8.5	14.979	11	— 6	14.985	— 14.802	64	13
	Novbr. 10	19.3	14.710	1	— 4	14.714			
	— 14	20.9	14.719	14	— 3	14.722			
	— 27	22.0	14.807	18	— 2	14.809			
	1889, Febr. 13	4.3	14.740	1	— 3	14.743			
23—41	1888, März 20	7.9	+ 1.710	7	— 1	+ 1.709			
	— 23	7.8	1.762	8	— 1	1.761			
	April 16	10.0	1.730	1	+ 1	1.731	+ 1.777	51	10
	Novbr. 14	20.9	1.831	17	+ 1	1.832			
	— 27	21.9	1.761	18	+ 1	1.762			
24—1	1888, Novbr. 10	20.5	— 11.492	12	— 5	— 11.497			
	— 14	20.7	11.351	12	— 4	11.355	— 11.422	35	7
	— 26	21.6	11.410	11	— 3	11.413			
24—41	1888, Novbr. 10	20.5	+ 5.290	33	+ 4	+ 5.294			
	— 14	20.7	5.215	28	+ 3	5.218	+ 5.273	85	17
	— 26	21.6	5.305	24	+ 3	5.308			
24ª —1	1888, Novbr. 10	20.5	— 14.646	16	— 4	— 14.650			
	— 14	20.7	14.473	12	— 4	14.477	— 14.568	39	8
	— 26	21.6	14.545	11	— 3	14.548			
24ª —41	1888, Novbr. 10	20.5	+ 1.980	37	+ 3	+ 1.983			
	— 14	20.7	1.983	33	+ 2	1.985	+ 2.018	94	19
	— 26	21.6	2.118	24	+ 2	2.120			
25—1	1888, März 23	8.7	— 14.579	11	— 11	— 14.590			
	Novbr. 10	21.0	14.582	15	— 5	14.587			
	— 27	20.8	14.604	31	— 5	14.609	— 14.592	88	18
	Dec. 21	20.9	14.546	21	— 5	14.551			
	1889, Jan. 29	3.9	14.634	10	— 6	14.640			
25—27	1888, März 16	7.3	+ 9.069	16	+ 1	+ 9.070			
	Novbr. 26	21.7	9.181	14	+ 1	9.182	+ 9.067	56	11
	Dec. 21	20.9	9.075	15	0	9.075			
	1889, Jan. 29	3.9	8.906	11	0	8.906			
25—30	1888, April 16	7.4	+ 1.388	22	+ 5	+ 1.393	+ 1.383	34	7
	1889, Febr. 13	5.2	1.358	12	+ 6	1.364			

Beobachtete Differenz	Datum	Stundenwinkel	$\Delta\alpha$ app.	Anzahl der Fäden	Summe der Correctionen	$\Delta\alpha$ 1890.0	Mittel	Summe der Fäden	Gewicht
		h	s			s	s		
26 – 1	1888, März 16	5.9	— 14.290	1	— 12	— 14.302	— 14.317	60	12
	Novbr. 10	21.6	14.324	18	— 6	14.330			
	— 27	21.1	14.263	24	— 5	14.268			
	1889, Jan. 29	3.9	14.366	17	— 7	14.373			
26 – 27	1888, März 16	6.9	+ 9.423	16	+ 1	+ 9.424	+ 9.391	39	8
	Novbr. 26	21.7	9.426	13	+ 2	9.428			
	1889, Jan. 29	3.9	9.290	10	+ 1	9.291			
26 – 30	1888, April 16	7.4	+ 2.001	9	+ 5	+ 2.006	+ 1.868	25	5
	— 28	11.2	1.772	6	+ 7	1.779			
	1889, Febr. 13	5.2	1.792	10	+ 5	1.797			
27 – 1	1888, Febr. 24	2.5	— 23.583	1	— 7	— 23.590	— 23.652	113	23
	März 1	6.0	23.589	7	— 8	23.597			
	— 23	8.7	23.662	19	— 12	23.674			
	April 28	9.6	23.644	19	— 16	23.660			
	Novbr. 10	21.4	23.638	28	— 6	23.644			
	— 27	20.9	23.650	39	— 5	23.655			
27 – 30	1888, März 8	6.1	— 7.762	18	0	— 7.762	— 7.727	103	21
	— 16	7.1	7.693	33	+ 1	7.692			
	April 16	7.4	7.739	17	+ 1	7.738			
	Novbr. 26	21.7	7.751	19	— 4	7.755			
	Dec. 21	20.9	7.737	7	3	7.740			
	1889, Febr. 13	5.2	7.698	9	— 2	7.700			
27 – 31	1888, März 16	6.9	— 2.397	17	+ 1	— 2.396	— 2.581	64	13
	Novbr. 26	21.7	2 585	22	— 2	2.587			
	— 27	20.7	2.678	8	— 3	2.681			
	Dec. 21	21.9	2.739	9	— 2	2.741			
	1889, Febr. 13	5.2	2.674	8	2	2.676			
27 – 35	1888, März 8	6.1	+ 16.803	18	+ 18	+ 16.821	+ 16.728	38	8
	Dec. 21	21.9	16.668	9	+ 5	16.673			
	1889, Febr. 13	4.8	16.609	11	+ 12	16 621			
27 – 41	1888, März 23	8.7	— 7.190	2	— 9	— 7.199	— 7.141	32	6
	Dec. 21	20.9	7.139	16	— 4	7.143			
	1889, Jan. 29	3.9	7.124	14	— 6	7.130			
27 – 45	1888, Dec. 21	20.9	+ 10.666	10	+ 5	+ 10.671	+ 10.683	21	4
	1889, Jan. 29	3.9	10.689	11	+ 4	10 693			
27 – 62	1888, Dec. 21	20.9	+ 106.837	23	+ 9	+ 106.846	+ 106.836	41	8
	1889, Jan. 29	3.9	106 815	18	+ 9	106.824			
27 – 63	1888, Dec. 21	20.9	+ 111.979	23	+ 12	+ 111.991	+ 112.005	40	8
	1889, Jan. 29	3.9	112.010	17	+ 13	112.023			
27 – 64	1889, Jan. 29	3.9	+ 98.837	11	+ 2	+ 98.839	+ 98.839	11	2
27 – 65	1888, April 28	11.2	+ 49.614	11	+ 18	+ 49.632	+ 49.718	51	10
	Dec. 21	20.9	49.691	22	+ 3	49.694			
	1889, Jan. 29	3.9	49.798	18	+ 2	49.800			
27 – 66	1888, Dec. 21	20.9	+ 64.257	19	+ 4	+ 64.261	+ 64.298	34	7
	1889, Jan. 29	3.9	64.341	15	+ 3	64.344			
27 – 69	1889, Jan. 29	3.9	+ 114.575	13	+ 1	+ 114.576	+ 114.576	13	3
28 – 1	1888, März 8	7.2	— 7.849	18	+ 1	— 7.848	— 7.920	64	13
	April 29	11.5	7.800	5	0	7.800			
	Novbr. 10	19.6	7.856	20	— 8	7.864			
	1889, Febr. 13	4.3	8.062	21	— 3	8.065			
28 – 41	1888, März 8	7.2	+ 8.600	1	+ 10	+ 8.610	+ 8.541	22	4
	1889, Febr. 13	4.3	8 529	21	+ 9	8.538			

Beobachtete Differenz	Datum	Stunden-winkel	$\Delta\alpha$ app.	Anzahl der Fäden	Summe der Correc-tionen	$\Delta\alpha$ 1890.0	Mittel	Summe der Fäden	Gewicht
		h	s			s	s		
28—52	1888, März 1	7.2	+ 28.280	1	+ 2	+ 28.282			
	— 8	7.5	28.358	13	+ 3	28.361			
	1889, Jan. 29	4.6	28.469	7	+ 2	28.471	+ 28.393	27	5
	März 11	3.9	28.305	4	+ 2	28.307			
	— 18	9.4	28.550	2	+ 3	28.553			
28—57	1888, März 1	7.2	+ 8.555	4	— 3	+ 8.552			
	1889, Jan. 29	4.6	8.479	7	+ 4	8.483			
	März 11	3.9	8.630	4	+ 2	8.632	+ 8.542	17	3
	— 18	9.4	8.545	2	+ 4	8.549			
29—1	1888, März 8	7.2	— 2.939	16	+ 3	— 2.936			
	— 20	7.9	2.917	14	+ 5	2.912			
	April 29	11.5	2.956	8	+ 1	2.955	— 3.019	86	17
	Novbr. 10	19.6	3.000	27	— 7	3.007			
	1889, Febr. 13	4.3	3.193	21	3	3.196			
29—41	1888, März 8	7.2	+ 13.330	1	+ 11	+ 13.341	+ 13.404	22	4
	1889, Febr. 13	4.3	13.398	21	+ 9	13.407			
29—52	1888, März 1	7.2	+ 33.100	1	+ 3	+ 33.103			
	— 8	7.5	33.305	14	+ 4	33.309	+ 33.302	26	5
	1889, Jan. 29	4.6	33.275	2	+ 3	33.278			
	März 11	3.9	33.317	9	+ 2	33.319			
29—57	1889, Jan. 29	4.6	+ 13.523	3	+ 5	+ 13.528	+ 13.498	11	2
	März 11	3.9	13.485	8	+ 2	13.487			
30—1	1888, März 16	7.1	— 15.996	21	— 15	— 16.011			
	— 23	8.7	15.650	2	— 17	15.667			
	April 16	7.4	15.917	6	— 14	15.931			
	— 28	9.6	15.858	27	— 23	15.881	— 15.928	86	17
	Mai 23	11.5	15.875	18	— 20	15.895			
	Dec. 21	20.9	15 862	5	— 8	15.870			
	1889, Febr. 13	5.2	16.043	7	— 13	16.056			
30—31	1888, März 1	6.7	+ 5.180	4	0	+ 5.180			
	— 8	6.5	5.207	20	0	5.207			
	— 16	6.7	5.224	14	0	5.224			
	— 20	8.7	5.067	7	0	5.067			
	— 21	7.3	5.158	9	0	5.158			
	April 16	7.4	5.108	18	+ 1	5.109	+ 5.193	121	24
	— 28	11.2	5.356	5	+ 2	5.358			
	Novbr. 26	21.7	5.208	9	+ 1	5.209			
	Dec. 14	21.9	5.231	20	0	5.231			
	— 21	21.9	5.213	15	0	5 213			
30—32	1888, März 8	6.4	— 12.140	28	— 4	— 12.144			
	— 20	8.7	12.110	1	— 3	12.113			
	— 21	7.3	12.220	2	— 3	12.223			
	April 16	7.4	12.229	7	— 4	12.233	— 12.211	84	17
	Novbr. 26	21.7	12.274	24	— 2	12.276			
	Dec. 21	21.9	12.220	18	— 1	12.221			
	1889, Febr. 13	5.2	12.228	4	— 1	12.229			
30—32a	1888, März 8	6.2	— 9.959	11	— 4	— 9.963			
	April 16	7.4	9.884	7	— 4	9.888			
	Novbr. 26	21.7	9.972	27	— 2	9.974	— 9.947	63	13
	Dec. 21	21.9	9.862	13	— 1	9.863			
	1889, Febr. 13	5.2	10.060	5	— 3	10 063			
30—32b	1888, Novbr. 26	21.7	— 15.459	28	— 3	— 15.462	— 15.433	46	9
	Dec. 21	21.9	15.384	18	— 3	15.387			
30—32c	1888, Novbr. 26	21.7	— 13.540	23	— 3	— 13 543	— 13.507	40	8
	Dec. 21	21.9	13.456	17	— 3	13.459			

Beobachtete Differenz	Datum	Stunden-winkel	Δα app.	Anzahl der Fäden	Summe der Correc-tionen	Δα 1890.0	Mittel	Summe der Fäden	Gewicht
		h	s			s	s		
30—34	1888, März 8	6.7	+ 24.239	16	+ 16	+ 24.255			
	— 21	7.3	24.274	15	+ 14	24.288	+ 24.270	61	12
	Dec. 14	21.9	24.265	30	+ 5	24.270			
30—35	1888, März 1	6.7	+ 24.600	7	+ 9	+ 24.609			
	— 20	8.7	24.592	17	+ 10	24.602			
	April 16	7.4	24.522	26	+ 11	24.533	+ 24.561	73	15
	— 28	11.2	24.522	5	+ 15	24.537			
	Dec. 21	21.9	24.548	18	+ 3	24.551			
30—42	1888, März 16	7.1	— 58.901	7	— 18	— 58.919			
	Novbr. 26	21.7	58.988	24	— 8	58.996	— 58.985	35	7
	Dec. 21	21.9	59.033	4	— 5	59.038			
30—43	1888, März 16	7.1	— 51.258	9	— 13	— 51.271			
	Novbr. 26	21.7	51.208	9	— 7	51.215	— 51.242	34	7
	Dec. 21	21.9	51.236	16	— 4	51.240			
30—44	1888, März 8	6.2	— 37.972	13	— 9	— 37.981			
	— 16	7.1	37.952	11	— 9	37.961			
	April 16	7.4	37.948	18	— 12	37.960	— 37.947	60	12
	Novbr. 26	21.7	37.892	17	— 5	37.897			
	Dec. 21	21.9	37.940	1	— 2	37.942			
30—65	1888, April 16	7.4	+ 57.382	5	+ 13	+ 57.395			
	— 28	11.2	57.375	20	+ 17	57.392	+ 57.367	49	10
	1889, Febr. 13	4.8	57.340	24	+ 1	57.341			
30—83	1888, März 8	6.7	— 22.648	17	— 3	— 22.651			
	— 20	8.7	22.823	4	— 2	22.825			
	— 21	7.4	22.686	11	— 1	22.687	— 22.712	43	9
	1889, Febr. 13	4.8	22.788	11	— 3	22.791			
32—1	1888, Novbr. 26	22.0	— 3.623	32	— 4	3.627	— 3.669	56	11
	— 27	20.7	3.720	24	— 6	— 3.726			
32a 1	1888, Novbr. 26	22.0	— 5.814	33	— 4	— 5.818	— 5.878	57	11
	— 27	20.7	5.955	24	— 6	5.961			
32c —1	1888, Novbr. 26	22.0	— 2.402	31	— 3	— 2.405	— 2.427	55	11
	— 27	20.7	2.451	24	— 4	2.455			
33—34	1888, März 8	6.7	+ 15.217	15	+ 8	+ 15.225			
	— 21	7.4	15.263	11	+ 7	15.270			
	— 23	9.4	15.219	17	+ 9	15.228			
	April 16	8.9	15.233	9	+ 9	15.242	+ 15.223	99	20
	Dec. 14	21.9	15.235	29	+ 3	15.238			
	— 21	21.7	15.156	8	+ 3	15.159			
	1889, Febr. 13	4.8	15.143	10	+ 4	15.147			
33—35	1888, März 1	6.7	+ 15.683	6	+ 2	+ 15.685			
	— 20	8.7	16.010	1	+ 2	16.012	+ 15.710	10	2
	1889, Febr. 13	4.8	15.657	3	0	15.657			
33—83	1888, April 16	8.9	— 31.310	1	— 8	— 31.318			
	Dec. 21	21.7	31.865	8	— 2	31.867	— 31.772	19	4
	1889, Febr. 13	4.8	31.742	10	0	31.742			
34—36	1888, März 1	6.7	+ 3.350	2	— 1	+ 3.349			
	— 8	6.6	3.436	18	— 1	3.435			
	— 21	7.3	3.299	17	— 2	3.297			
	— 23	9.4	3.390	19	+ 2	3.392			
	April 16	8.9	3.305	4	0	3.305	+ 3.357	148	30

Beobachtete Differenz	Datum	Stunden-winkel	Δα app.	Anzahl der Fäden	Summe der Correctionen.	Δα 1890.0	Mittel	Summe der Fäden	Gewicht
		h	s			s			
34—36	1888, Novbr. 11	20.5	+ 3.295	21	+ 5	+ 3.300			
	— 26	21.0	3.321	25	+ 4	3.325			
	Dec. 14	21.9	3.332	30	+ 3	3.335			
	1889, Febr. 13	4.8	3.508	12	+ 3	3.511			
34—62	1888, Novbr. 11	20.5	+ 90.259	27	+ 18	+ 90.277	s + 90.296	54	11
	— 26	21.0	90.301	27	+ 13	90.314			
34—65	1888, Dec. 21	21.4	+ 33.447	3	+ 8	+ 33.455	+ 33.354	15	3
	1889, Febr. 13	4.8	33.324	12	+ 5	33.329			
34—81	1888, März 21	7.4	— 25.610	1	— 7	— 25.617	— 25.497	94	19
	— 23	9.5	25.363	23	— 9	25.372			
	April 16	8.9	25.503	9	— 9	25.512			
	Novbr. 11	20.5	25.609	21	— 6	25.615			
	— 26	21.0	25.489	25	— 3	25.492			
	Dec. 21	21.7	25.513	15	— 2	25.515			
34—82	1888, März 21	7.4	— 32.033	3	— 9	— 32.042	— 32.012	103	21
	— 23	9.5	32.053	23	— 10	32.063			
	April 16	8.9	32.028	8	— 11	32.039			
	Novbr. 11	20.5	31.965	21	— 7	31.972			
	— 26	21.0	32.045	27	— 4	32.049			
	Dec. 21	21.7	31.937	13	— 2	31.939			
	1889, Febr. 13	4.8	31.921	8	— 3	31.924			
34—83	1888, März 23	9.4	— 46.947	20	— 13	— 46.960	— 46.938	49	10
	April 16	8.9	46.855	10	— 15	46.870			
	Novbr. 26	21.0	46.946	19	— 5	46.951			
34—84	1888, März 23	9.5	— 22.734	16	— 4	— 22.738	— 22.750	75	15
	April 16	8.9	22.772	11	— 6	22.778			
	Novbr. 11	20.5	22.864	14	— 4	22.868			
	— 26	21.0	22.748	16	— 3	22.751			
	Dec. 21	21.7	22.656	12	— 2	22.658			
	1889, Febr. 13	4.8	22.638	6	0	22.638			
34—85	1888, März 21	7.4	— 59.892	10	— 11	— 59.903	— 59.878	22	4
	1889, Febr. 13	4.8	59.858	12	0	59.858			
34—91	1888, März 21	7.4	— 124.400	15	— 23	— 124.423	— 124.367	57	11
	— 23	9.4	124.347	21	— 24	124.371			
	April 16	8.9	124.250	9	— 31	124.281			
	1889, Febr. 13	4.8	124.353	12	0	124.353			
34—92	1888, März 23	9.4	— 78.755	2	— 16	— 78.771	— 78.625	14	3
	1889, Febr. 13	4.8	78.600	12	— 1	78.601			
34—94	1888, März 21	7.4	+ 12.025	2	+ 5	+ 12.030	+ 12.027	55	11
	— 23	9.4	11.610	9	+ 6	11.616			
	April 16	8.9	12.160	4	+ 6	12.166			
	Novbr. 11	20.5	12.067	10	+ 3	12.070			
	— 26	21.0	11.992	9	+ 2	11.994			
	Dec. 14	21.9	12.168	21	+ 2	12.170			
34—105	1888, März 23	9.7	— 41.583	16	— 10	— 41.593	— 41.631	38	8
	Dec. 21	21.6	41.654	22	— 5	41.659			
35—36	1888, März 1	6.7	+ 2.982	6	0	+ 2.982	+ 3.076	76	15
	— 8	6.2	3.100	17	0	3.100			
	— 20	8.7	3.107	10	0	3.107			
	April 16	7.4	3.143	18	— 1	3.142			
	— 28	11.2	3.080	3	0	3.080			
	Dec. 21	21.9	3.101	10	+ 1	3.102			
	1889, Febr. 13	4.8	2.940	12	+ 1	2.941			
35—62	1888, März 1	6.7	+ 89.968	10	+ 12	+ 89.980	+ 89.980	10	2

Beobachtete Differenz	Datum	Stunden-winkel	Δ α app.	Anzahl der Fäden	Summe der Correc-tionen	Δ α 1890.0	Mittel	Summe der Fäden	Gewicht
		h	s			s	s		
35—65	1888, März 8	6.2	+ 32.976	14	+ 5	+ 32.981			
	April 16	7.4	32.936	25	+ 4	32.940	+ 32.908	51	10
	1889, Febr. 13	4.8	32.755	12	+ 3	32.758			
35—83	1888, Dec. 21	21.9	— 47.184	11	— 3	— 47.187	— 47.239	20	4
	1889, Febr. 13	4.8	47.302	9	— 1	47.303			
37—1	1888, März 1	6.2	+ 18.022	13	+ 4	+ 18.026			
	— 20	7.7	17.898	6	+ 5	17.903			
	— 23	8.0	17.888	17	+ 4	17.892			
	April 16	10.0	18.100	1	+ 7	18.107			
	— 29	11.3	18.016	7	+ 7	18.023	+ 18.011	99	20
	Novbr. 14	21.4	18.040	2	+ 3	18.043			
	— 27	21.9	18.079	42	+ 2	18.081			
	1889, Jan. 29	3.9	17.953	10	+ 1	17.954			
	Febr. 13	4.0	17.870	1	+ 1	17.871			
37—38	1888, März 16	6.7	— 4.632	13	0	— 4.632			
	Novbr. 27	22.1	4.586	42	0	4.586	— 4.601	66	13
	1889, Jan. 29	3.9	4.620	10	0	4.620			
	Febr. 13	4.0	4.620	1	0	4.620			
38—1	1888, Febr. 24	3.0	+ 22.674	15	+ 4	+ 22.678			
	März 1	6.2	22.686	18	+ 4	22.690			
	— 8	7.2	22.572	18	+ 5	22.577			
	— 16	6.4	22.641	18	+ 5	22.646			
	— 20	7.8	22.590	11	+ 5	22.595			
	— 23	8.2	22.633	20	+ 5	22.638	+ 22.648	146	29
	April 16	10.0	22.667	13	+ 7	22.674			
	— 28	9.6	22.595	2	+ 7	22.602			
	— 29	11.2	22.656	28	+ 8	22.664			
	Novbr. 14	21.4	22.770	1	+ 3	22.773			
	1889, Febr. 13	3.7	22.650	2	0	22.650			
38—38ᵃ	1888, April 29	11.5	— 1.520	1	— 4	— 1.524			
	Novbr. 14	21.4	1.456	11	— 1	1.457			
	— 27	21.9	1.446	14	— 1	1.447	— 1.438	42	8
	1889, Jan. 29	3.9	1.334	9	— 3	1.337			
	Febr. 13	3.7	1.504	7	— 3	1.507			
38—38ᵇ	1888, März 23	8.3	— 1.497	3	— 5	— 1.502			
	Novbr. 14	21.4	1.582	13	— 2	1.584			
	— 27	22.3	1.631	16	— 1	1.632	— 1.610	45	9
	1889, Jan. 29	3.9	1.619	7	— 4	1.623			
	Febr. 13	3.7	1.642	6	— 5	1.647			
38—39	1888, März 16	6.7	+ 1.284	18	+ 5	+ 1.289			
	— 23	7.7	1.080	2	+ 3	1.083			
	Novbr. 14	21.4	1.205	2	+ 2	1.207	+ 1.219	78	16
	— 27	22.1	1.184	41	+ 1	1.185			
	1889, Jan. 29	3.9	1.242	15	+ 4	1.246			
38—40	1888, März 8	7.2	— 0.920	1	+ 1	— 0.919			
	— 16	6.7	1.429	15	0	1.429	— 1.410	32	6
	— 23	7.7	1.430	2	+ 2	1.428			
	Novbr. 27	21.5	1.420	14	— 2	1.422			
38—41	1888, April 29	11.5	+ 39.278	10	+ 12	+ 39.290			
	1889, Jan. 29	3.9	39.111	15	+ 1	39.112	+ 39.172	28	6
	Febr. 13	4.0	39.077	3	+ 1	39.078			
38—42	1888, März 1	6.0	— 20.100	1	— 3	— 20.103			
	— 16	6.7	20.384	11	— 3	20.387			
	— 23	7.7	20.165	2	— 2	20.167	— 20.368	36	7
	1889, Jan. 29	3.9	20.467	13	— 2	20.469			
	Febr. 13	4.3	20.274	9	0	20.274			

Beobachtete Differenz	Datum	Stunden-winkel	$\Delta\alpha$ app.	Anzahl der Fäden	Summe der Correctionen	$\Delta\alpha$ 1890.0	Mittel	Summe der Fäden	Gewicht
		h	s			s			
38 — 43	1888, März 1	6.0	— 12.720	1	— 2	— 12.722			
	— 16	6.7	12.800	5	— 1	12.801			
	1889, Jan. 29	3.9	12.861	8	— 3	12.864	— 12.782	22	4
	Febr. 13	4.3	12.694	8	— 3	12.697			
38 — 75	1888, März 16	6.7	— 47.832	18	— 7	— 47.839			
	— 23	7.7	47.690	4	— 5	47.695			
	1889, Jan. 29	3.9	48.079	15	— 2	48.081	— 47.918	40	8
	Febr. 13	4.0	47.870	3	— 2	47.872			
38ª — 1	1888, März 23	7.7	+ 24.140	7	+ 7	+ 24.147			
	April 29	11.0	24.196	16	+ 12	24.208			
	Novbr. 14	21.1	24.030	19	+ 5	24.035	+ 24.101	74	15
	— 27	21.9	24.096	14	+ 3	24.099			
	1889, Jan. 29	3.9	24.044	11	+ 3	24.047			
	Febr. 13	3.7	24.073	7	+ 3	24.076			
38ᵇ — 1	1888, April 29	11.5	+ 24.585	15	+ 13	+ 24.598			
	Novbr. 14	21.4	24.231	18	+ 6	24.237			
	— 27	22.3	24.326	16	+ 4	24.330	+ 24.352	60	12
	1889, Jan. 29	3.9	24.228	5	+ 5	24.233			
	Febr. 13	3.7	24.237	6	+ 5	24.242			
39 — 1	1888, Febr. 24	2.7	+ 21.383	7	+ 3	+ 21.386			
	März 1	6.2	21.474	13	+ 3	21.477			
	— 8	7.2	21.543	11	+ 3	21.546			
	— 16	6.1	21.578	13	+ 4	21.582			
	— 20	7.8	21.551	7	+ 2	21.553			
	— 23	7.7	21.578	10	+ 2	21.580	+ 21.500	133	27
	April 16	10.0	21.618	5	+ 7	21.625			
	— 28	11.2	21.460	1	+ 7	21.467			
	— 29	11.1	21.516	6	+ 8	21.524			
	Novbr. 14	21.4	21.600	2	+ 5	21.605			
	— 27	22.0	21.492	43	+ 3	21.495			
	1889, Jan. 29	3.9	21.339	15	+ 1	21.340			
39 — 40	1888, Novbr. 26	21.7	— 2.823	19	0	— 2.823	— 2.823	19	4
40 — 1	1888, Febr. 24	2.7	+ 24.047	3	+ 3	+ 24.050			
	März 1	6.2	24.034	17	+ 4	24.038			
	— 8	7.2	24.117	9	+ 3	24.120			
	— 16	6.1	23.904	10	+ 4	23.908			
	— 20	7.8	24.052	9	+ 2	24.054	+ 24.058	75	15
	— 23	7.7	24.180	1	+ 3	24.183			
	April 16	10.0	24.198	10	+ 7	24.205			
	— 29	11.0	23.965	2	+ 7	23.972			
	Novbr. 27	21.5	24.051	14	+ 3	24.054			
40 — 44	1888, Novbr. 26	21.7	+ 2.395	20	+ 3	+ 2.398	+ 2.398	20	4
41 — 1	1888, Febr. 24	3.1	— 16.541	18	— 2	— 16.543			
	März 1	6.0	16.450	8	— 2	16.452			
	— 8	7.2	16.496	19	— 3	16.499			
	— 16	5.9	16.454	5	— 3	16.457			
	— 20	7.7	16.536	13	— 3	16.539			
	— 23	8.5	16.579	31	— 3	16.582	— 16.499	197	39
	April 16	10.0	16.448	6	— 4	16.452			
	— 28	9.6	16.600	1	— 5	16.605			
	— 29	11.0	16.438	16	— 5	16.443			
	Novbr. 10	19.1	16.535	16	— 2	16.537			
	— 27	21.0	16.458	42	— 2	16.460			
	Dec. 21	20.9	16.443	22	— 1	16.444			

Beobachtete Differenz	Datum	Stundenwinkel	$\Delta\alpha$ app.	Anzahl der Fäden	Summe der Correctionen	$\Delta\alpha$ 1890.0	Mittel	Summe der Fäden	Gewicht
		h	s			s			
41—45	1888, April 29	11.5	+ 17.784	10	+ 4	+ 17.788	+ 17.825	34	7
	Novbr. 10	19.6	17.859	9	+ 5	17.864			
	1889, Jan. 29	3.9	17.821	11	+ 1	17.822			
	Febr. 13	3.7	17.840	4	+ 1	17.841			
41—46	1888, April 29	11.5	+ 20.809	10	+ 3	+ 20.812	+ 20.925	26	5
	Novbr. 10	19.6	20.972	9	+ 6	20.978			
	1889, Jan. 29	3.9	20.785	2	+ 2	20.787			
	Febr. 13	4.0	21.109	5	+ 1	21.110			
41—47	1888, April 29	11.5	+ 22.670	10	+ 6	+ 22.676	+ 22.751	27	5
	Novbr. 10	19.6	22.774	9	+ 8	22.782			
	1889, Jan. 29	3.9	22.715	2	+ 3	22.718			
	Febr. 13	3.9	22.842	6	+ 2	22.844			
41—48	1888, Novbr. 27	21.9	+ 32.414	7	+ 5	+ 32.419	+ 32.419	21	4
	1889, Jan. 29	3.9	32.294	9	+ 3	32.297			
	Febr. 13	3.7	32.638	5	+ 2	32.640			
41—49	1888, Novbr. 27	21.9	+ 29.783	7	+ 5	+ 29.788	+ 29.821	18	4
	1889, Jan. 29	3.9	29.849	7	+ 1	29.850			
	Febr. 13	3.7	29.828	4	+ 1	29.829			
41—49ᵃ	1889, Jan. 29	3.9	+ 27.741	8	+ 1	+ 27.742	+ 27.790	13	3
	Febr. 13	3.8	27.868	5	0	27.868			
41—50	1888, Novbr. 27	21.9	+ 35.551	7	+ 5	+ 35.556	+ 35.502	26	5
	1889, Jan. 29	3.9	35.383	10	+ 2	35.385			
	Febr. 13	4.0	35.587	9	+ 1	35.588			
41—52	1889, Febr. 13	3.7	+ 19.948	4	+ 4	+ 19.952	+ 19.870	20	4
	März 11	3.9	19.848	16	+ 2	19.850			
41—75	1888, März 23	7.7	— 86.950	2	— 14	— 86.964	— 87.130	27	5
	1889, Jan. 29	3.9	87.140	25	— 3	87.143			
42—1	1888, März 1	6.4	+ 43.012	9	+ 5	+ 43.017	+ 42.961	58	12
	— 16	6.6	42.901	15	+ 6	42.907			
	— 20	7.6	43.245	2	+ 5	43.250			
	April 28	11.2	43.103	3	+ 13	43.116			
	1889, Jan. 29	3.9	42.983	16	+ 2	42.985			
	Febr. 13	4.3	42.872	13	+ 1	42.873			
42—43	1888, März 8	6.2	+ 7.643	10	+ 6	+ 7.649	+ 7.657	24	5
	Dec. 21	21.9	7.661	14	+ 1	7.662			
42—44	1888, April 16	7.4	+ 20.933	14	+ 11	+ 20.944	+ 20.884	26	5
	Dec. 21	21.9	20.812	12	+ 3	20.815			
43—1	1888, März 1	6.4	+ 35.431	9	+ 4	+ 35.435	+ 35.403	97	19
	— 16	6.5	35.342	36	+ 4	35.346			
	— 23	7.7	35.450	1	+ 3	35.453			
	April 28	11.2	35.445	16	+ 11	35.456			
	Mai 23	11.5	35.478	17	+ 11	35.489			
	1889, Jan. 29	3.9	35.446	10	+ 3	35.449			
	Febr. 13	4.3	35.271	8	+ 2	35.273			
43—44	1888, März 8	6.2	+ 13.312	16	+ 5	+ 13.317	+ 13.345	36	7
	April 16	7.4	13.361	18	+ 6	13.367			
	Dec. 21	21.9	13.370	2	+ 2	13.372			
43—75	1888, März 8	6.2	— 35.023	12	— 8	— 35.031	— 35.050	15	3
	— 16	7.1	35.117	3	— 7	35.124			
44—1	1888, März 16	6.6	+ 22.046	24	0	+ 22.046	+ 22.129	53	11
	April 28	11.2	22.194	14	+ 7	22.201			
	Mai 23	11.5	22.188	15	+ 6	22.194			

Beobachtete Differenz	Datum	Stunden-winkel	$\Delta\alpha$ app.	Anzahl der Fäden	Summe der Correctionen	$\Delta\alpha$ 1890.0	Mittel	Summe der Fäden	Gewicht
		h	s			s	s		
44—83	1888, März 8	6.7	+ 15.414	16	+ 14	+ 15.428	+ 15.389	28	6
	Dec. 21	21.9	15.335	12	+ 5	15.340			
45—1	1888, Febr. 24	3.1	— 34.256	19	— 3	— 34.259	— 34.267	138	28
	März 1	6.0	34.326	8	— 5	34.331			
	— 23	8.3	34.299	18	— 5	34.304			
	April 16	10.0	34.269	13	— 10	34.279			
	— 29	11.2	34.268	34	— 9	34.277			
	Novbr. 10	19.3	34.231	26	— 7	34.238			
	Dec. 21	20.9	34.177	9	— 2	34.179			
	1889, Jan. 29	3.9	34.261	11	— 2	34.263			
45—46	1888, März 20	7.6	+ 3.060	3	0	+ 3.060	+ 3.127	22	4
	1889, Febr. 13	3.9	3.137	19	+ 1	3.138			
45—47	1888, März 20	7.6	+ 5.063	3	— 1	+ 5.062	+ 4.971	22	4
	1889, Febr. 13	3.9	4.956	19	+ 1	4.957			
45—48	1888, März 20	7.6	+ 15.110	1	0	+ 15.110	+ 14.696	22	4
	1889, Jan. 29	4.6	14.690	14	+ 1	14.691			
	Febr. 13	4.0	14.644	7	+ 1	14.645			
45—49	1888, April 29	11.0	+ 11.900	2	+ 3	+ 11.903	+ 11.973	11	2
	1889, Febr. 13	4.0	11.989	9	0	11.989			
45—49[a]	1889, Febr. 13	4.0	+ 9.890	14	+ 1	+ 9.891	+ 9.891	14	3
45—50	1888, April 29	11.0	+ 17.644	5	+ 5	+ 17.649	+ 17.694	29	5
	1889, Febr. 13	4.0	17.703	24	0	17.703			
45—52	1888, März 8	7.5	+ 2.024	17	— 5	+ 2.019	+ 2.054	75	15
	1889 Jan. 29	4.6	1.973	16	+ 4	1.977			
	Febr. 13	3.7	2.188	10	+ 3	2.191			
	März 11	3.9	2.061	32	+ 1	2.062			
45—54	1889, Jan. 29	4.6	+ 13.172	6	+ 4	+ 13.176	+ 13.203	12	2
	März 11	3.9	13.228	6	+ 2	13.230			
45—57	1889, Jan. 29	4.6	— 17.949	13	— 15	— 17.964	— 17.916	24	5
	März 11	3.9	17.842	11	— 18	17.860			
46—1	1888, Febr. 24	2.7	— 37.446	5	— 5	— 37.451	— 37.409	92	18
	März 1	6.0	37.365	6	— 6	37.371			
	— 23	8.3	37.519	7	— 4	37.523			
	April 16	10.0	37.422	13	— 11	37.433			
	— 29	11.5	37.337	14	— 10	37.347			
	Novbr. 10	19.4	37.330	28	— 9	37.339			
	1889, Febr. 13	4.0	37.500	19	— 1	37.501			
47—1	1888, Febr. 24	2.7	— 39.296	5	— 5	— 39.301	— 39.218	100	20
	März 1	6.0	39.130	8	— 6	39.136			
	— 23	8.3	39.223	15	— 5	39.228			
	April 16	10.0	39.247	7	— 11	39.258			
	— 29	11.4	39.178	18	— 11	39.189			
	Novbr. 10	19.4	39.155	28	— 10	39.165			
	1889, Febr. 13	4.0	39.313	19	— 2	39.315			
48—1	1888, Febr. 24	2.7	— 48.930	5	— 6	— 48.936	— 48.906	94	19
	März 1	6.0	48.903	8	— 7	48.910			
	— 23	8.3	48.942	17	— 6	48.948			
	April 16	10.0	48.817	6	— 14	48.831			
	— 29	11.0	48.917	19	— 15	48.932			
	Novbr. 10	19.3	48.880	1	— 12	48.892			
	— 27	21.9	48.837	21	— 7	48.844			

Beobachtete Differenz	Datum	Stundenwinkel	$\Delta\alpha$ app.	Anzahl der Fäden	Summe der Correctionen	$\Delta\alpha$ 1890.0	Mittel	Summe der Fäden	Gewicht
		h	s			s			
48—1	1889, Jan. 29	3.9	— 48.901	12	— 3	— 48.904			
	Febr. 13	4.0	48.988	5	— 1	48.989			
48—50	1888, März 8	7.5	+ 2.805	4	+ 2	+ 2.807			
	1889, Jan. 29	4.6	3.070	15	+ 2	3.072	+ 3.010	39	8
	Febr. 13	3.8	3.003	20	+ 2	3.005			
48—52	1888, März 8	7.5	— 12.677	20	— 8	— 12.685			
	1889, Jan. 29	4.6	12.739	16	— 6	12.745			
	— Febr. 13	3.7	12.712	12	— 6	12.718	— 12.709	56	11
	— März 11	3.9	12.678	8	— 8	12.686			
48—54	1888, März 8	7.5	— 1.740	17	— 6	— 1.746			
	1889, Jan. 29	4.6	1.698	5	— 6	1.704			
	Febr. 13	3.7	1.835	3	— 6	1.841	— 1.744	37	7
	März 11	3.9	1.728	12	— 7	1.735			
49—1	1888, März 1	6.0	— 46.395	8	— 6	— 46.401			
	— 23	8.3	46.349	15	— 7	46.356			
	April 16	10.0	46.318	4	— 13	46.331			
	Novbr. 10	19.3	46.390	1	— 9	46.399	— 46.373	69	14
	— 27	21.9	46.309	18	— 6	46.315			
	1889, Jan. 29	3.9	46.559	9	— 1	46.560			
	Febr. 13	3.8	46.342	14	0	46.342			
49—49a	1888, Novbr. 27	21.9	— 2.056	9	— 1	— 2.057			
	1889, Jan. 29	4.6	2.118	4	— 1	2.119	— 2.076	13	3
49a—1	1888, Novbr. 27	21.9	— 44.145	9	— 5	— 44.150			
	1889, Jan. 29	3.9	44.361	7	— 1	44.362	— 44.285	33	7
	Febr. 13	3.9	44.324	17	0	44.324			
50—1	1888, März 1	6.0	— 51.874	7	— 8	— 51.882			
	— 23	8.3	51.950	18	— 8	51.958			
	April 16	10.0	51.835	11	— 14	51.849			
	— 29	11.0	51.870	2	— 16	51.886	— 51.990	94	19
	Novbr. 27	21.9	51.982	21	— 7	51.989			
	1889, Jan. 29	3.9	52.057	10	— 2	52.059			
	Febr. 13	3.8	52.086	25	— 1	52.087			
51—52	1888, März 1	7.2	+ 0.326	5	0	+ 0.326			
	1889, Febr. 13	3.3	0.350	2	0	0.350	+ 0.391	26	5
	März 11	3.9	0.413	19	0	0.413			
51—53	1888, April 29	10.2	— 4.107	35	— 2	— 4.109			
	1889, Febr. 13	3.3	4.165	2	— 3	4.168	— 4.121	55	11
	März 11	3.9	4.136	18	— 3	4.139			
52—1	1888, April 29	10.7	— 36.210	24	— 14	— 36.224			
	1889, Febr. 13	3.7	36.468	12	— 4	36.472	— 36.301	60	12
	März 11	3.9	36.289	24	— 3	36.292			
52—53	1888, März 1	7.2	— 4.415	11	— 1	— 4.416			
	— 8	7.5	4.684	14	— 1	4.685			
	— 21	8.3	4.603	21	— 1	4.604			
	April 16	9.7	4.445	14	— 1	4.446	— 4.587	122	24
	— 29	10.9	4.627	33	— 2	4.629			
	1889, Jan. 29	4.6	4.658	17	0	4.658			
	Febr. 13	3.3	4.430	2	0	4.430			
	März 11	3.9	4.567	10	0	4.567			
52—54	1888, März 1	7.1	+ 11.044	5	+ 2	+ 11.046			
	— 21	8.5	10.851	28	+ 2	10.853			

Beobachtete Differenz	Datum	Stunden-winkel	$\Delta\alpha$ app.	Anzahl der Fäden	Summe der Correctionen	$\Delta\alpha$ 1890.0	Mittel	Summe der Fäden	Gewicht
		h	s			s	s		
52—54	April 16	9.7	+ 10.953	11	+ 3	+ 10.956			
	— 29	10.9	11.085	12	+ 3	11.088			
	Novbr. 11	21.5	10.935	23	+ 2	10.937	+ 10.943	105	21
	— 26	20.5	10.872	5	+ 1	10.873			
	1889, Febr. 13	3.3	11.003	11	0	11.003			
	März 11	3.9	10.938	10	0	10.938			
52—55	1888, März 1	7.1	— 5.624	9	— 4	— 5.628			
	April 16	9.7	5.640	11	— 9	5.649			
	— 29	11.0	5.917	3	— 8	5.925			
	Novbr. 11	21.5	5.901	46	— 3	5.904	— 5.815	98	20
	— 26	20.5	5.783	18	— 3	5.786			
	1889, Febr. 13	3.3	5.778	11	— 4	5.782			
52—55ᵃ	1888, Novbr. 11	21.5	— 5.726	35	— 5	— 5.731			
	— 26	20.5	5.606	17	— 2	5.608	— 5.665	59	12
	1889, Febr. 13	3.3	5.472	7	— 3	5.475			
52—56	1888, März 1	7.1	+ 8.620	2	0	+ 8.620			
	— 21	8.7	8.757	29	0	8.757			
	April 16	9.7	8.835	13	+ 3	8.838			
	— 29	11.0	8.860	1	+ 4	8.864	+ 8.743	105	21
	Novbr. 11	21.5	8.719	46	+ 4	8.723			
	— 26	20.5	8.695	14	+ 4	8.699			
52—57	1888, März 1	7.2	— 19.666	8	— 8	— 19.674			
	— 21	8.2	19.831	23	— 9	19.840			
	April 16	9.7	19.591	15	— 15	19.606	— 19.757	58	12
	— 29	10.7	19.828	12	— 16	19.844			
52—58	1888, März 21	8.9	— 17.497	11	— 10	— 17.507			
	1889, März 11	3.9	17.363	6	— 8	17.371	— 17.488	21	4
	— 18	9.4	17.603	4	— 9	17.612			
52—59	1888, März 1	7.2	— 20.670	1	— 4	— 20.674			
	— 8	7.5	20.669	13	— 5	20.674			
	1889, Jan. 29	4.6	20.776	7	— 2	20.778	— 20.684	29	6
	März 11	3.9	20.577	6	— 2	20.579			
	— 18	9.4	20.730	2	— 3	20.733			
52—60	1888, März 1	7.2	— 25.480	1	— 3	— 25.483			
	— 8	7.5	25.372	17	— 4	25.376			
	1889, Jan. 29	4.6	25.490	8	0	25.490	— 25.412	37	7
	März 11	3.9	25.412	9	— 1	25.413			
	— 18	9.4	25.365	2	— 1	25.366			
52—61	1888, März 1	7.1	+ 17.360	1	+ 1	+ 17.361			
	— 21	8.9	17.437	7	+ 3	17.440			
	April 16	9.7	17.330	6	+ 6	17.336	+ 17.350	66	13
	Novbr. 11	21.5	17.351	41	+ 5	17.356			
	— 26	20.5	17.272	11	+ 4	17.276			
52—70	1888, März 1	7.1	+ 48.243	13	+ 8	+ 48.251			
	— 21	8.0	48.342	12	+ 10	48.352			
	April 29	10.7	48.233	15	+ 16	48.249	+ 48.266	57	11
	Novbr. 26	20.5	48.227	17	+ 6	48.233			
52—71	1888, März 21	8.9	— 19.223	13	— 21	— 19.244	— 19.205	31	6
	1889, Febr. 13	3.3	19.162	18	— 14	19.176			
52—72	1888, März 21	8.9	— 69.745	2	— 27	— 69.772			
	April 16	9.7	69.430	4	— 37	69.467			
	— 29	10.7	69.630	11	— 40	69.670	— 69.613	32	6
	1889, Jan. 29	4.6	69.576	15	— 12	69.588			
52—74	1888, April 16	9.7	— 86.103	3	— 57	— 86.160			
	— 29	10.7	86.127	10	— 61	86.188	— 86.199	28	6
	1889, Jan. 29	4.6	86.195	15	— 20	86.215			

Beobachtete Differenz	Datum	Stunden-winkel	$\Delta\alpha$ app.	Anzahl der Fäden	Summe der Correctionen	$\Delta\alpha$ 1890.0	Mittel	Summe der Fäden	Gewicht
		h	s			s			
52—80	1888, März 21	8.9	— 48.450	4	— 18	— 48.468			
	April 16	9.7	48.347	3	— 26	48.373	— 48.547	29	6
	— 29	10.7	48.498	10	— 28	48.526			
	1889, Jan. 29	4.6	48.626	12	— 8	48.634			
52—96	1888, Novbr. 11	21.5	+ 0.525	42	+ 4	+ 0.529	+ 0.514	58	12
	— 26	20.5	0.472	16	+ 4	0.476			
52—97	1888, Novbr. 11	21.6	— 4.362	48	— 5	— 4.367	— 4.373	64	13
	— 26	20.5	4.383	16	— 9	4.392			
52—98	1888, Novbr. 11	21.5	+ 12.978	45	+ 5	+ 12.983	+ 12.971	61	12
	— 26	20.5	12.931	16	+ 5	12.936			
53—54	1888, April 29	10.2	+ 15.422	25	+ 5	+ 15.427			
	1889, Febr. 13	3.3	15.474	11	0	15.474	+ 15.463	53	11
	März 11	3.9	15.502	15	+ 1	15.503			
	— 18	9.4	15.560	2	+ 1	15.561			
53—55	1888, April 29	10.2	— 1.205	19	— 7	— 1.212			
	1889, Jan. 29	4.6	1.230	5	— 3	1.233	— 1.243	35	7
	Febr. 13	3.3	1.299	11	— 3	1.302			
53—55[a]	1888, April 29	10.2	— 1.023	18	— 6	— 1.029	— 1.011	25	5
	1889, Febr. 13	3.3	0.961	7	— 3	0.964			
53—56	1888, April 29	10.2	+ 13.236	24	+ 6	+ 13.242	+ 13.210	27	5
	1889, März 18	9.4	12.953	3	+ 2	12.955			
53—57	1889, Jan. 29	4.6	— 15.261	17	— 6	— 15.267			
	März 11	3.9	15.230	16	— 6	15.236	— 15.320	50	10
	— 18	9.4	15.444	17	— 8	15.452			
53—61	1888, April 29	10.2	+ 21.797	3	+ 7	+ 21.804	+ 21.804	3	1
53—96	1888, April 29	10.2	+ 5.119	18	+ 3	+ 5.122	+ 5.122	18	4
54—56	1888, Novbr. 11	21.5	— 2.200	8	— 2	— 2.202	— 2.202	8	2
54—61	1888, März 21	8.0	+ 6.473	13	— 1	+ 6.472	+ 6.441	41	8
	April 29	10.2	6.423	28	+ 3	6.426			
54—96	1888, April 29	10.2	— 10.393	3	— 9	— 10.402	— 10.402	3	1
54—98	1888, April 29	10.2	+ 2.133	31	+ 3	+ 2.136	+ 2.136	31	6
54—98[a]	1888, April 29	10.2	+ 4.538	24	+ 4	+ 4.542	+ 4.542	24	5
55—56	1888, Novbr. 11	21.6	+ 14.496	5	+ 3	+ 14.499	+ 14.499	5	1
55[a] —56	1888, Novbr. 11	21.6	+ 14.198	4	+ 3	+ 14.201	+ 14.201	4	1
56—61	1888, Novbr. 11	21.6	+ 8.620	10	+ 1	+ 8.621	+ 8.607	11	2
	1889, März 18	9.4	8.470	1	+ 2	8.472			
56—96	1888, Novbr. 11	21.6	— 8.026	7	— 2	— 8.028	— 8.028	7	1
56—97	1888, Novbr. 11	21.6	— 12.879	8	— 3	— 12.882	— 12.882	8	2
56—98	1888, Novbr. 11	21.6	+ 4.306	10	+ 2	+ 4.308	+ 4.308	10	2

Beobachtete Differenz	Datum	Stunden-winkel	$\Delta\alpha$ app.	Anzahl der Fäden	Summe der Correc-tionen	$\Delta\alpha$ 1890.0	Mittel	Summe der Fäden	Gewicht
		h	s			s	s		
57—58	1888, März 1	7.2	+ 2.128	6	0	+ 2.128			
	— 21	8.3	2.247	21	0	2.247			
	April 16	9.7	2.133	10	0	2.133			
	— 29	10.7	2.333	7	+ 1	2.334	+ 2.255	54	11
	1889, März 11	3.9	2.307	6	+ 4	2.311			
	— 18	9.4	2.565	4	0	2.565			
57—59	1888, März 1	7.2	— 0.940	5	+ 1	— 0.939			
	— 21	8.0	1.023	17	+ 3	1.020			
	April 16	9.7	1.107	9	— 2	1.109			
	1889, Jan. 29	4.6	0.934	7	— 2	0.936	— 0.986	46	9
	März 11	3.9	0.890	6	0	0.890			
	— 18	9.4	0.725	2	— 2	0.727			
57—60	1888, März 1	7.2	— 5.716	7	+ 1	— 5.715			
	— 21	8.0	5.807	13	+ 3	5.804			
	April 16	9.7	5.743	4	— 3	5.746			
	1889, Jan. 29	4.6	5.584	7	— 2	5.586	— 5.711	42	8
	März 11	3.9	5.734	9	— 1	5.735			
	— 18	9.4	5.360	2	— 2	5.362			
57—72	1888, März 21	8.0	— 49.966	16	— 13	— 49.979			
	April 16	9.7	49.953	13	— 23	49.976	— 49.911	39	8
	1889, Jan. 29	4.6	49.712	10	— 6	49.718			
57—74	1888, April 16	9.7	— 66.448	10	— 41	— 66.489	— 66.423	20	4
	1889, Jan. 29	4.6	66.343	10	— 14	66.357			
57—80	1888, März 21	8.0	— 28.802	12	— 7	— 28.809			
	April 16	9.7	28.842	15	— 11	28.853	— 28.841	41	8
	1889, Jan. 29	4.6	28.853	14	— 2	28.855			
58—71	1888, März 21	8.9	— 1.769	14	— 10	— 1.779	— 1.674	24	5
	1889, Febr. 13	3.3	1.518	10	— 8	1.526			
62—1	1888, April 28	11.2	— 130.396	14	— 61	— 130.457			
	Dec. 21	20.9	130.431	27	— 14	130.445	— 130.426	68	14
	1889, Jan. 29	3.9	130.376	27	— 15	130.391			
62—63	1888, März 1	6.7	+ 5.014	9	+ 6	+ 5.020			
	— 20	8.5	5.068	24	+ 6	5.074	+ 5.094	61	12
	April 16	7.4	5.129	28	+ 6	5.135			
62—64	1888, März 8	6.1	— 8.041	13	— 12	— 8.053			
	April 16	7.4	8.071	16	— 10	8.081			
	Novbr. 11	20.9	8.195	24	— 6	8.201	— 8.159	65	13
	— 26	21.0	8.288	12	— 5	8.293			
62—65	1888, März 1	6.7	— 57.130	2	— 15	— 57.145			
	April 16	7.4	57.129	29	— 22	57.151			
	— 28	11.2	57.192	12	— 27	57.219	— 57.193	67	13
	Novbr. 11	20.9	57.223	24	— 12	57.235			
62—66	1888, März 1	6.7	— 42.640	4	— 12	— 42.652			
	— 8	6.1	42.640	14	— 15	42.655	— 42.643	41	8
	Novbr. 11	20.9	42.626	23	— 9	42.635			
62—67	1888, März 1	6.7	— 46.844	5	— 14	— 46.858	— 46.838	11	2
	1889, Jan. 29	3.9	46.815	6	— 7	46.822			
62—68	1888, April 16	7.4	— 5.330	4	— 14	— 5.344	— 5.344	4	1
62—69	1888, März 8	6.1	+ 7.491	7	0	+ 7.491			
	April 16	7.4	7.535	2	— 2	7.533			
	Novbr. 11	20.9	7.512	23	+ 7	7.519	+ 7.520	45	9
	— 26	21.0	7.530	13	+ 5	7.535			

Beobachtete Differenz	Datum	Stunden-winkel	$\Delta\alpha$ app.	Anzahl der Fäden	Summe der Correctionen	$\Delta\alpha$ 1890.0	Mittel	Summe der Fäden	Gewicht
		h	s			s	s		
62—99	1888, Novbr. 26	21.0	— 52.593	3	— 7	— 52.600	— 52.594	4	1
	1889, Jan. 29	3.9	52.570	1	— 5	52.575			
62—100	1888, März 1	6.7	— 44.788	6	— 6	— 44.794	— 44.699	65	13
	Novbr. 11	20.7	44.686	35	— 6	44.692			
	— 26	21.0	44.681	24	— 4	44.685			
62—101	1888, März 1	6.7	— 46.987	3	— 6	— 46.993	— 46.890	55	11
	Novbr. 11	20.5	46.860	27	— 9	46.869			
	— 26	21.0	46.896	25	— 5	46.901			
62—102	1888, Novbr. 11	20.5	— 34.417	26	— 7	— 34.424	— 34.441	52	10
	— 26	21.0	34.452	26	— 5	34.457			
62—103	1888, Novbr. 11	20.5	— 40.809	24	— 9	— 40.818	— 40.841	47	9
	— 26	21.0	40.857	23	— 7	40.864			
62—104	1888, März 1	6.7	+ 18.561	9	+ 7	+ 18.568	+ 18.685	48	10
	— 8	6.1	18.632	5	+ 8	18.640			
	— 20	8.5	18.664	5	+ 7	18.671			
	April 16	7.4	18.732	29	+ 8	18.731			
63—1	1888, Dec. 21	20.9	— 135.593	27	— 16	— 135.609	— 135.617	53	11
	1889, Jan. 29	3.9	135.606	26	— 20	135.626			
64—1	1888, April 28	11.2	— 122.206	14	— 47	— 122.253	— 122.379	64	13
	Novbr. 10	21.4	122.397	27	— 21	122.418			
	Dec. 21	20.9	122.470	2	— 8	122.478			
	1889, Jan. 29	3.9	122.396	21	— 8	122.404			
64—65	1888, April 28	11.2	+ 49.057	12	+ 15	+ 49.072	+ 49.056	43	9
	Dec. 14	21.7	49.056	19	+ 2	49.058			
	— 21	21.3	49.034	12	+ 3	49.037			
64—68	1888, Dec. 14	21.7	+ 2.649	14	+ 2	+ 2.651	+ 2.649	25	5
	— 21	21.3	2.643	11	+ 3	2.646			
64—106	1888, März 8	7.2	— 20.058	5	— 4	— 20.062	— 20.072	80	16
	April 16	9.7	20.030	5	— 6	20.036			
	Novbr. 11	20.9	20.097	9	— 3	20.100			
	Dec. 14	21.7	20.118	32	— 1	20.119			
	— 21	21.3	20.055	20	— 1	20.056			
	1889, Jan. 29	3.9	19.936	9	0	19.936			
64—107	1888, Novbr. 11	20.9	— 25.085	2	— 5	— 25.090	— 25.110	70	14
	Dec. 14	21.7	25.096	31	— 2	25.098			
	— 21	21.3	25.106	21	— 2	25.108			
	1889, Jan. 29	3.9	25.137	16	— 2	25.139			
65—1	1888, März 1	6.0	— 73.530	1	— 20	— 73.550	— 73.388	90	18
	April 28	11.2	73.393	4	— 14	73.407			
	Novbr. 10	21.4	73.381	31	— 14	73.395			
	Dec. 21	20.9	73.297	26	— 8	73.305			
	1889, Jan. 29	3.9	73.442	28	— 8	73.450			
65—66	1888, März 1	6.0	+ 14.430	1	+ 3	+ 14.433	+ 14.521	126	25
	— 8	6.1	14.471	15	+ 4	14.475			
	— 20	8.2	14.559	16	+ 3	14.562			
	April 16	7.4	14.476	28	+ 4	14.480			
	— 28	11.2	14.556	23	+ 6	14.562			
	Dec. 14	21.7	14.517	22	+ 1	14.518			
	— 21	21.3	14.537	21	+ 1	14.538			
65—67	1888, März 1	6.0	+ 10.420	1	+ 2	+ 10.422	+ 10.345	59	12
	April 16	7.4	10.360	2	+ 2	10.362			
	Novbr. 10	21.4	10.376	29	+ 2	10.378			

Beobachtete Differenz	Datum	Stunden-winkel	$\Delta\alpha$ app.	Anzahl der Fäden	Summe der Correc-tionen	$\Delta\alpha$ 1890.0	Mittel	Summe der Fäden	Gewicht
		h	s			s			
65—67	1888, Novbr. 11	20.9	+ 10.323	3	+ 2	+ 10.325			
	Dec. 14	21.7	10.337	3	+ 1	10.338			
	1889, Jan. 29	3.9	10.298	21	0	10.298			
65—67ª	1888, März 1	6.0	+ 6.840	1	+ 1	+ 6.841			
	April 16	7.4	6.485	2	+ 1	6.486			
	Novbr. 10	21.4	6.652	28	+ 2	6.654			
	— 11	20.9	6.670	8	+ 2	6.672	+ 6.593	67	13
	Dec. 14	21.7	6.630	5	+ 1	6.631			
	1889, Jan. 29	3.9	6.482	23	0	6.482			
65—68	1888, April 28	11.2	+ 51.749	14	+ 15	+ 51.764			
	Dec. 14	21.7	51.713	15	+ 5	51.718	+ 51.719	43	9
	— 21	21.3	51.671	14	+ 4	51.675			
65—69	1888, Dec. 14	21.7	+ 64.725	17	+ 4	+ 64.729	+ 64.750	27	5
	— 21	21.3	64.784	10	+ 3	64.787			
65—95	1888, März 1	6.0	— 6.870	1	— 9	— 6.879			
	April 16	7.4	6.844	21	— 9	6.853	— 6.874	39	8
	Novbr. 11	20.9	6.890	8	— 10	6.900			
	Dec. 14	21.7	6.897	9	— 3	6.900			
65—99	1888, Novbr. 10	21.4	+ 4.683	21	+ 2	+ 4.685			
	— 11	20.9	4.589	21	+ 2	4.591	+ 4.581	82	16
	Dec. 14	21.7	4.528	21	+ 1	4.529			
	1889, Jan. 29	3.9	4.508	19	+ 2	4.510			
66—1	1888, April 28	11.2	— 87.875	19	— 39	— 87.914			
	Novbr. 10	21.4	87.923	32	— 17	87.940	— 87.939	101	20
	Dec. 21	20.9	87.838	24	— 8	87.846			
	1889, Jan. 29	3.3	87.996	26	— 9	88.005			
66—67	1888, März 8	6.1	— 4.114	14	— 3	— 4.117			
	April 16	7.4	4.175	24	— 2	4.177			
	— 28	11.2	4.200	2	— 3	4.203	— 4.157	86	17
	Novbr. 10	21.4	3.920	1	— 2	3.922			
	— 11	20.9	4.231	19	— 2	4.233			
	Dec. 14	21.7	4.108	26	— 1	4.109			
66—67ª	1888, März 8	6.1	— 7.970	1	— 6	— 7.976			
	April 16	7.4	7.970	20	— 5	7.975	— 7.980	57	11
	Novbr. 11	20.9	8.042	18	— 3	8.045			
	Dec. 14	21.7	7.919	18	— 2	7.921			
68—1	1888, April 28	11.2	— 125.045	14	— 39	— 125.084			
	Novbr. 10	21.4	125.017	27	— 19	125.036	— 125.064	51	10
	1889, Jan. 29	3.3	125.112	10	— 3	125.115			
68—69	1888, Dec. 14	21.7	+ 13.031	16	+ 3	+ 13.034	+ 13.063	29	6
	— 21	21.3	13.095	13	+ 3	13.098			
69—1	1888, Novbr. 10	21.4	— 138.085	27	— 23	— 138.108	— 138.143	49	10
	1889, Jan. 29	3.9	138.180	22	— 7	138.187			
70—1	1888, März 23	8.3	— 84.586	18	— 5	— 84.591			
	April 29	11.0	84.487	18	— 28	84.515	— 84.581	51	10
	1889, Febr. 13	3.7	84.647	15	— 2	84.649			
71—72	1888, März 21	8.9	— 50.458	13	— 9	— 50.467	— 50.439	31	6
	1889, Febr. 13	3.3	50.418	18	— 1	50.419			
71—73	1888, März 21	8.4	+ 7.531	25	+ 1	+ 7.532	+ 7.533	49	10
	April 29	11.8	7.533	24	+ 1	7.534			

Beobachtete Differenz	Datum	Stunden-winkel	$\Delta\alpha$ app.	Anzahl der Fäden	Summe der Correctionen	$\Delta\alpha$ 1890.0	Mittel	Summe der Fäden	Gewicht
		h	s			s	s		
71—74	1888, März 21	8.8	— 66.876	9	— 20	— 66.896	— 66.964	27	5
	1889, Febr. 13	3.3	66.992	18	— 6	66.998			
71—78	1888, März 21	8.4	+ 5.858	16	+ 2	+ 5.860	+ 5.814	40	8
	April 29	11.8	5.782	24	+ 2	5.784			
71—79	1888, März 21	8.4	+ 13.827	24	0	+ 13 827	+ 13.835	48	10
	April 29	11.8	13.842	24	0	13.842			
71—80	1888, März 21	8.9	— 29.263	11	— 4	— 29.267	— 29.317	29	6
	1889, Febr. 13	3.3	29.346	18	— 2	28.348			
75—1	1888, März 16	6.2	+ 70.479	29	+ 12	+ 70.491	+ 70.481	62	12
	1889, Jan. 29	3.9	70.473	27	+ 3	70.476			
	Febr. 13	4.0	70.452	6	+ 1	70.453			
75—76	1888, März 8	6.7	+ 3.661	12	0	+ 3.661	+ 3.646	70	14
	— 16	7.0	3.677	25	0	3.677			
	— 23	7.7	3.572	5	— 1	3.571			
	1889, Jan. 29	3.9	3.613	27	+ 1	3.614			
	Febr. 13	4.0	3.940	1	+ 1	3.941			
75—77	1888, März 16	6.5	+ 9.628	21	+ 1	+ 9.629	+ 9.671	47	9
	— 23	7.7	9.690	4	0	9.690			
	1889, Jan. 29	3.9	9.687	21	+ 2	9.689			
	Febr. 13	4.0	10.080	1	+ 1	10.081			
81—83	1888, April 16	8.9	— 21.208	5	— 6	— 21.214	— 21.352	20	4
	Dec. 21	21.7	21.397	15	— 1	21.398			
82—83	1888, April 16	8.9	— 15.026	5	— 4	— 15.030	— 15.037	32	6
	Dec. 21	21.7	15.067	15	— 1	15.068			
	1889, Febr. 13	4.8	15.002	12	0	15.002			
83—84	1888, April 16	8.9	+ 23.948	4	+ 12	+ 23.960	+ 24.142	22	4
	Dec. 21	21.7	24.175	12	+ 3	24.178			
	1889, Febr. 13	4.8	24.158	6	+ 4	24.192			
83—85	1888, März 8	6.7	— 13.073	15	— 2	— 13.075	— 13.037	63	13
	— 23	9.4	13.066	20	— 3	13.069			
	April 16	8.9	13.060	9	— 3	13.063			
	1889, Febr. 13	4.8	12.959	19	— 2	12.961			
83—88	1888, März 8	6.7	— 36.477	6	— 7	— 36.484	— 36.333	63	13
	— 21	7.4	36.361	9	— 6	36.367			
	— 23	9.4	36.296	15	— 7	36.303			
	April 16	8.9	36.293	15	— 9	36.302			
	1889, Febr. 13	4.8	36.318	18	0	36.318			
83—90	1888, März 23	9.4	— 33.767	3	— 6	— 33.773	— 33.835	7	1
	1889, Febr. 13	4.8	33.883	4	+ 1	33.882			
83—91	1888, März 8	6.7	— 77.668	6	— 14	— 77.682	— 77.514	35	7
	April 16	8.9	77.514	5	— 9	77.523			
	1889, Febr. 13	4.8	77.469	24	— 1	77.470			
83—92	1888, März 21	7.4	— 31.736	7	— 1	— 31.737	— 31.754	57	11
	— 23	9.4	31.759	15	— 7	31.766			
	April 16	8.9	31.854	11	— 6	31.860			
	1889, Febr. 13	4.8	31.700	24	— 3	31.703			
83—105	1888, März 23	9.7	+ 5.319	16	+ 20	+ 5.339	+ 5.316	38	8
	Dec. 21	21.6	5.293	22	+ 6	5.299			

Beobachtete Differenz	Datum	Stunden-winkel	$\Delta\alpha$ app.	Anzahl der Fäden	Summe der Correc-tionen	$\Delta\alpha$ 1890.0	Mittel	Summe der Fäden	Gewicht
		h	s			s			
85—86	1888, März 8	6.7	— 1.614	5	— 2	— 1.616			
	— 21	7.4	1.672	11	— 1	1.673	s		
	— 23	9.4	1.601	16	— 2	1.603	— 1.706	58	12
	April 16	8.9	1.770	7	— 3	1.773			
	1889, Febr. 13	4.8	1.808	19	— 2	1.810			
85—89	1888, März 23	9.4	— 21.060	3	— 4	— 21.064	— 21.096	7	1
	1889, Febr. 13	4.8	21.120	4	0	21.120			
87—88	1888, März 21	7.4	+ 11.190	2	+ 1	+ 11.191			
	— 23	9.4	11.198	6	+ 2	11.200	+ 11.093	21	4
	April 16	8.9	10.954	5	+ 3	10.957			
	1889, Febr. 13	4.8	11.074	8	0	11.074			
88—89	1888, März 8	6.7	+ 2.412	5	+ 3	+ 2.415			
	— 21	7.4	2.330	2	+ 3	2.333	+ 2.324	27	5
	— 23	9.4	2.320	7	+ 4	2.324			
	1889, Febr. 13	4.8	2.285	13	+ 3	2.288			
88—90	1888, März 21	7.4	+ 2.357	3	0	+ 2.357			
	— 23	9.4	2.322	6	+ 1	2.323	+ 2.347	30	6
	April 16	8.9	2.300	9	+ 1	2.301			
	1889, Febr. 13	4.8	2.389	12	+ 1	2.390			
91—93	1888, März 21	7.4	— 5.082	13	— 4	— 5.086			
	— 23	9.4	5.026	19	— 5	5.031			
	April 16	8.9	5.430	9	— 4	5.434	— 5.164	81	16
	1889, Jan. 29	3.9	5.110	6	— 3	5.113			
	Febr. 13	4.5	5.203	34	— 3	5.206			
95—1	1888, April 16	10.0	— 66.253	4	— 21	— 66.274			
	Novbr. 10	21.6	66.523	9	— 11	66.534	— 66.528	23	5
	1889, Jan. 29	3.3	66.623	10	— 2	66.625			

Declinationsdifferenzen.

Beob. Differenz	Datum	Lage der Schraube	Stundenwinkel	$\varDelta\delta$ app.	Anzahl der Einstellgn.	Summe der Correctionen	$\varDelta\delta$ 1890.0	Mittel	Summe der Einstellgn.	Gewicht
			h m	rev			rev	rev		
2—1	1887, Jan. 22	*r*	3 57	— 1.3678	6	— 12	— 1.3690	— 1.3611	21	4
	— 22	*r*	4 35	1.3587	5	— 13	1.3600			
	— 25	*l*	4 45	1.3540	5	— 18	1.3558			
	— 25	*l*	5 59	1.3578	5	— 19	1.3597			
2—4	1887, Jan. 25	*l*	5 50	— 0.4154	5	— 4	— 0.4158	— 0.4158	10	2
	Febr. 5	*r*	4 16	0.4149	5	— 8	0.4157			
2—5	1887, Jan. 22	*r*	4 40	— 1.3161	5	— 12	— 1.3173	— 1.3202	21	4
	— 25	*l*	5 22	1.3230	6	— 16	1.3246			
	Febr. 5	*r*	4 2	1.3089	5	— 19	1.3108			
	— 24	*l*	2 58	1.3271	5	— 10	1.3281			
2—6	1887, Jan. 25	*l*	5 42	— 0.6746	6	+ 16	— 0.6730	— 0.6675	11	2
	Febr. 24	*r*	5 16	0.6631	5	+ 12	0.6619			
2—7	1887, Jan. 22	*r*	4 30	— 0.1699	5	— 14	— 0.1713	— 0.1700	21	4
	— 25	*l*	5 54	0.1716	6	— 19	0.1735			
	Febr. 5	*r*	4 23	0.1649	5	— 12	0.1661			
	— 24	*l*	3 3	0.1682	5	— 9	0.1691			
3—1	1887, Jan. 22	*r*	4 14	— 1.4243	5	— 8	1.4251	— 1.4252	12	2
	— 25	*l*	4 48	1.4238	7	— 15	1.4253			
3—5	1887, Jan. 25	*l*	5 17	— 1.3879	7	— 14	— 1.3893	— 1.3871	13	3
	Febr. 5	*r*	3 44	1.3829	6	— 19	1.3848			
3—6	1887, Jan. 25	*l*	5 37	— 0.7294	5	+ 17	— 0.7277	— 0.7262	10	2
	Febr. 5	*r*	3 50	0.7259	5	+ 13	0.7246			
4—1	1887, Jan. 22	*r*	3 53	— 0.9369	5	— 2	— 0.9371	— 0.9369	11	2
	— 25	*l*	4 41	0.9366	6	— 2	0.9368			
4—5	1887, Jan. 22	*r*	4 45	— 0.8929	5	+ 6	— 0.8923	— 0.8948	10	2
	— 25	*l*	5 11	0.8978	5	+ 5	0.8973			
4—6	1887, Jan. 22	*r*	4 22	— 0.2655	5	— 16	— 0.2671	— 0.2560	17	3
	— 25	*l*	5 27	0.2440	6	— 20	0.2460			
	Febr. 5	*r*	3 56	0.2533	6	— 17	0.2550			
4—7	1887, Jan. 22	*r*	4 26	+ 0.2647	5	+ 19	+ 0.2666	+ 0.2586	20	4
	— 25	*l*	5 46	0.2538	5	+ 16	0.2554			
	Febr. 5	*r*	4 9	0.2507	5	+ 17	0.2524			
	— 24	*l*	2 53	0.2589	5	+ 11	0.2600			
5—1	1887, Jan. 22	*r*	4 10	— 0.0503	5	— 8	— 0.0511	— 0.0500	10	2
	— 25	*l*	4 54	0.0482	5	— 7	0.0489			
5—6	1887, Jan. 22	*r*	4 18	+ 0.6593	5	— 15	+ 0.6578	+ 0.6546	11	2
	— 25	*l*	5 1	0.6525	6	— 11	0.6514			
5—7	1887, Jan. 22	*r*	4 50	+ 1.1488	6	+ 16	+ 1.1504	+ 1.1514	12	2
	— 25	*l*	5 6	1.1505	6	+ 18	1.1523			
5—8	1888, März 8	*l*	4 20	+ 1.4285	5	+ 34	+ 1.4319	+ 1.4519	14	3
	Oct. 16	*r*	19 0	1.4651	5	+ 25	1.4676			
	— 19	*l*	19 55	1.4575	4	— 12	1.4563			
6—1	1887, Jan. 22	*r*	3 44	— 0.6901	5	+ 12	— 0.6889	— 0.6867	22	4
	— 25	*l*	4 33	0.6813	6	+ 8	0.6805			
	— 28	*l*	6 0	0.6955	5	+ 4	0.6951			
	Febr. 5	*r*	3 26	0.6836	6	+ 12	0.6824			

Beob. Differenz	Datum	Lage der Schraube	Stunden-winkel	$\Delta\delta$ app.	Anzahl der Einstellgn.	Summe der Correctionen	$\Delta\delta$ 1890.0	Mittel	Summe der Einstellgn.	Gewicht
			h m	rev			rev	rev		
6—7	1887, Jan. 22	r	4 55	+ 0.5019	5	— 4	+ 0.5015	+ 0.5053	11	2
	— 25	l	5 33	0.5090	6	+ 1	0.5091			
6—8	1887, Dec. 2	r	21 8	+ 0.7969	5	— 13	+ 0.7956	+ 0.7891	7	2
	1888, März 21	l	7 1	0.7755	2	+ 6	0.7761			
6—19	1887, Febr. 25	r	2 7	— 5.6130	6	— 2	— 5.6132	— 5.6207	28	6
	März 4	r	2 40	5.6099	5	— 3	5.6102			
	April 5	l	8 10	5.6286	5	— 34	5.6320			
	— 6	l	6 47	5.6202	5	— 5	5.6207			
	— 20	l	9 45	5.6172	7	— 102	5.6274			
6—20	1887, März 4	r	6 31	— 2.9888	5	— 14	— 2.9902	— 2.9867	10	2
	Novbr. 17	l	19 58	2.9824	5	— 8	2.9832			
6—21	1887, Oct. 23	l	20 29	— 2.4814	6	— 15	— 2.4829	— 2.4837	14	3
	— 28	r	19 27	2.4838	8	— 6	2.4844			
6—25	1887, Jan. 26	r	4 30	+ 4.9201	5	— 13	+ 4.9188	+ 4.9177	11	2
	— 27	l	4 42	4.9181	6	— 14	4.9167			
6—27	1887, Febr. 24	r	7 40	+ 4.4197	5	+ 15	+ 4.4212	+ 4.4238	20	4
	April 21	l	7 30	4.4224	5	— 3	4.4221			
	— 22	l	7 45	4.4335	5	0	4.4335			
	Oct. 27	r	18 4	4.4158	5	+ 27	4.4185			
6—30	1887, Febr. 24	r	7 32	+ 9.2556	5	+ 60	+ 9.2616	+ 9.2697	24	5
	April 20	l	8 2	9.2699	4	+ 68	9.2767			
	— 21	l	7 42	9.2654	9	+ 56	9.2710			
	Oct. 27	r	18 9	9.2631	6	+ 53	9.2684			
6—37	1887, Jan. 28	l	5 16	— 1.6448	5	+ 23	— 1.6425	— 1.6412	12	2
	Febr. 5	r	2 35	1.6415	7	+ 15	1.6400			
6—38	1887, Jan. 28	l	5 10	— 1.1716	6	— 2	— 1.1718	— 1.1774	26	5
	Febr. 5	r	2 29	1.1837	5	— 4	1.1841			
	März 4	r	2 45	1.1680	6	0	1.1680			
	April 6	l	8 0	1.1812	9	— 3	1.1815			
6—39	1887, Jan. 28	l	5 22	+ 2.2625	5	+ 39	+ 2.2664	+ 2.2618	12	2
	Febr. 5	r	2 41	2.2541	7	+ 31	2.2572			
6—40	1887, Jan. 28	l	5 28	+ 1.7573	5	+ 5	+ 1.7578	+ 1.7619	11	2
	Febr. 5	r	2 47	1.7659	6	0	1.7659			
6—41	1887, Jan. 28	l	2 28	— 0.5869	6	— 17	— 0.5886	— 0.5866	22	4
	Febr. 4	r	3 55	0.5854	5	— 8	0.5862			
	April 6	l	7 49	0.5771	6	— 30	0.5801			
	Oct. 27	r	17 50	0.5926	5	+ 9	0.5917			
6—42	1887, Jan. 28	l	5 40	+ 2.6996	6	+ 26	+ 2.7022	+ 2.7015	12	2
	Febr. 5	r	3 0	2.6989	6	+ 19	2.7008			
6—43	1887, Jan. 28	l	5 45	+ 5.4839	5	+ 49	+ 5.4888	+ 5.4892	11	2
	Febr. 5	r	3 7	5.4863	6	+ 33	5.4896			
6—44	1887, Jan. 28	l	5 50	+ 7.5166	5	+ 41	+ 7.5207	+ 7.5171	23	5
	Febr. 5	r	3 14	7.5026	6	+ 23	7.5049			
	April 6	l	7 55	7.5068	7	+ 85	7.5153			
	Oct. 27	r	17 58	7.5250	5	+ 26	6.5276			
6—45	1887, Febr. 28	r	2 46	— 2.7935	6	— 29	— 2.7964	— 2.7989	21	4
	April 6	l	7 35	2.7900	5	— 54	2.7954			
	— 20	l	7 51	2.7954	5	— 58	2.8012			
	Oct. 27	r	17 41	2.8024	5	— 1	2.8025			
6—52	1887, Oct. 28	r	17 43	— 11.1414	5	— 69	— 11.1483	— 11.1366	24	5
	Novbr. 13	r	21 7	11.1226	5	— 39	11.1265			
	— 16	r	19 22	11.1300	5	— 52	11.1352			
	— 16	l	21 26	11.1259	4	— 51	11.1310			
	— 17	l	19 6	11.1366	5	— 56	11.1422			

Beob. Differenz	Datum	Lage der Schraube	Stunden-winkel	Δδ app.	Anzahl der Einstellgn.	Summe der Correc-tionen	Δδ 1890.0	Mittel	Summe der Einstellgn.	Gewicht
			h m	rev			rev	rev		
7—I	1887, Jan. 22	r	3 48	— 1.2029	5	— 20	— 1.2049	— 1.2013	10	2
	— 25	l	4 37	1.1952	5	— 24	1.1976			
8—I	1887, Dec. 2	r	21 15	— 1.4897	5	— 4	— 1.4901	— 1.4924	9	2
	1888, März 8	l	4 28	1.4914	4	— 34	1.4948			
9—I	1887, Jan. 26	r	2 30	+ 0.5181	5	— 5	+ 0.5176	+ 0.5245	11	2
	— 27	l	2 47	0.5309	6	+ 5	0.5314			
9—11	1887, März 19	r	6 25	— 0.9411	4	0	— 0.9411	— 0.9351	9	2
	Oct. 23	l	18 37	0.9294	5	+ 3	0.9291			
9—19	1887, Jan. 26	r	5 12	— 4.4135	5	— 17	— 4.4152	— 4.4090	10	2
	— 27	l	5 14	4.4020	5	— 8	4.4028			
9—41	1887, Febr. 25	r	3 57	+ 0.6317	5	— 20	+ 0.6297	+ 0.6310	11	2
	1888, März 8	l	3 59	0.6361	6	— 38	0.6323			
10—I	1887, Jan. 26	r	3 18	+ 0.5900	6	— 9	+ 0.5891	+ 0.5842	11	2
	— 27	l	3 37	0.5790	5	+ 3	0.5793			
10—10ª	1888, Oct. 16	r	19 12	+ 0.4403	5	— 9	+ 0.4394	+ 0.4497	10	2
	— 19	l	20 6	0.4575	5	+ 24	0.4599			
10—11	1888, Oct. 16	r	19 16	— 0.8471	5	+ 12	— 0.8459	— 0.8583	11	2
	— 19	l	20 14	0.8710	6	+ 4	0.8706			
10—12	1888, Oct. 16	r	19 20	— 0.7943	5	+ 6	— 0.7937	— 0.7908	11	2
	— 19	l	20 20	0.7897	6	+ 19	0.7878			
10—41	1887, Febr. 25	r	4 2	+ 0.6915	7	+ 12	+ 0.6927	+ 0.6909	11	2
	1888, März 8	l	4 3	0.6926	4	— 35	0.6891			
10ª —I	1887, Jan. 26	r	3 29	+ 0.1403	5	+ 15	+ 0.1418	+ 0.1368	10	2
	— 27	l	3 47	0.1301	5	+ 17	0.1318			
10ª —13	1887, Dec. 2	r	20 20	— 0.2576	3	— 15	— 0.2591	— 0.2454	7	2
	1888, März 8	l	4 13	0.2294	4	— 24	0.2318			
10ª —41	1887, Febr. 25	r	4 6	+ 0.2471	5	+ 9	+ 0.2480	+ 0.2481	15	3
	Novbr. 16	r	19 47	0.2446	5	+ 18	0.2464			
	— 28	l	21 37	0.2486	5	+ 14	0.2500			
11—I	1887, Jan. 26	r	2 39	+ 1.4547	5	+ 5	+ 1.4552	+ 1.4626	10	2
	— 27	l	2 57	1.4684	5	+ 15	1.4699			
11—18	1887, März 19	r	6 28	— 0.7420	5	+ 10	— 0.7410	— 0.7443	10	2
	Oct. 13	l	21 18	0.7493	5	+ 17	0.7476			
11—19	1887, Jan. 26	r	5 18	— 3.4691	5	— 8	— 3.4699	— 3.4599	10	2
	— 27	l	5 19	3.4500	5	+ 2	3.4498			
11—20	1887, März 4	r	6 5	— 0.8288	5	+ 18	— 0.8270	— 0.8287	11	2
	Oct. 23	l	20 9	0.8319	6	+ 15	0.8304			
11—21	1887, März 4	r	6 10	— 0.3304	5	— 13	— 0.3317	— 0.3287	11	2
	Oct. 23	l	20 15	0.3246	6	— 12	0.3258			
11—41	1887, Febr. 25	r	3 27	+ 1.5644	6	— 11	+ 1.5633	+ 1.5633	12	2
	1888, März 8	l	3 43	1.5663	6	— 31	1.5632			
12—I	1887, Jan. 26	r	2 34	+ 1.3695	5	+ 14	+ 1.3709	+ 1.3818	11	2
	— 27	l	2 52	1.3904	6	+ 23	1.3927			

Beob. Differenz	Datum	Lage der Schraube	Stunden-winkel	Δδ app.	Anzahl der Einstellgn.	Summe der Correc-tionen	Δδ 1890.0	Mittel	Summe der Einstellgn.	Gewicht
			h m	rev			rev	rev		
12—12ª	1887, Dec. 2	r	20 42	— 0.3451	5	— 18	— 0.3469	— 0.3451	11	2
	1888, März 21	l	6 54	0.3437	6	+ 3	0.3434			
12—13	1888, Oct. 16	r	19 24	+ 0.9765	5	+ 1	+ 0.9766	+ 0.9785	10	2
	— 19	l	20 24	0.9801	5	+ 2	0.9803			
12—14	1887, März 19	r	6 48	+ 0.8200	6	— 15	+ 0.8185	+ 0.8237	12	2
	Oct. 13	l	21 24	0.8303	6	— 15	0.8288			
12—15	1887, März 19	r	6 43	— 0.9603	5	— 4	— 0.9607	— 0.9615	10	2
	Oct. 13	l	21 34	0.9623	5	0	0.9623			
12—19	1887, Jan. 26	r	5 24	— 3.5515	5	+ 3	— 3.5512	— 3.5520	10	2
	— 27	l	5 24	3.5541	5	+ 14	3.5527			
12—41	1887, Febr. 25	r	3 22	+ 1.4787	6	0	+ 1.4787	+ 1.4787	12	2
	1888, März 8	l	3 39	1.4811	6	— 24	1.4787			
12ª—1	1888, Oct. 16	r	19 8	+ 1.7299	5	0	+ 1.7299	+ 1.7200	10	2
	— 19	l	20 0	1.7121	5	— 20	1.7101			
12ª—41	1887, Dec. 2	r	20 46	+ 1.8087	5	— 11	+ 1.8076	+ 1.8127	10	2
	1888, März 21	l	6 59	1.8197	5	— 19	1.8178			
13—1	1887, Jan. 26	r	3 23	+ 0.3840	5	+ 15	+ 0.3855	+ 0.3862	15	3
	— 27	l	3 42	0.3808	5	+ 22	0.3830			
	Novbr. 16	r	19 37	0.3894	5	+ 7	0.3901			
13—14	1888, Oct. 16	r	19 28	— 0.1715	5	— 18	— 0.1733	— 0.1700	10	2
	— 19	l	20 28	0.1659	5	— 7	0.1666			
13—41	1887, Febr. 25	r	4 12	+ 0.4911	4	— 2	+ 0.4909	+ 0.4972	9	2
	1888, März 8	l	4 8	0.5061	5	— 27	0.5034			
14—1	1887, Jan. 26	r	3 36	+ 0.5367	6	+ 1	+ 0.5368	+ 0.5406	11	2
	— 27	l	3 52	0.5433	5	+ 12	0.5445			
14—14ª	1887, Dec. 2	l	20 38	— 0.4165	5	— 6	— 0.4171	— 0.4149	11	2
	1888, Novbr. 11	r	18 45	0.4105	6	— 23	0.4128			
14—15	1888, Oct. 16	r	19 32	— 1.7797	5	+ 15	— 1.7782	— 1.7828	10	2
	— 19	l	20 32	1.7873	5	0	1.7873			
14—19	1887, Jan. 26	r	5 52	— 4.3780	6	— 14	— 4.3794	— 4.3882	11	2
	— 27	l	5 50	4.3969	5	— 12	4.3971			
14—41	1887, Febr. 25	r	3 17	+ 0.6492	6	— 14	+ 0.6478	+ 0.6492	12	2
	1888, März 8	l	3 36	0.6536	6	— 30	0.6506			
14—45	1888, Oct. 16	r	19 35	— 1.5759	5	— 14	— 1.5773	— 1.5696	11	2
	— 19	l	20 36	1.5639	6	+ 20	1.5619			
14ª—1	1887, Jan. 26	r	3 42	+ 0.9612	4	+ 9	+ 0.9621	+ 0.9577	9	2
	— 27	l	3 57	0.9526	5	+ 8	0.9534			
14ª—14ᵇ	1887, Dec. 2	l	20 25	— 0.3559	5	— 17	— 0.3576	— 0.3484	10	2
	1888, Novbr. 11	r	18 40	0.3390	5	— 1	0.3391			
14ª—41	1887, Febr. 25	r	3 32	+ 1.0675	5	+ 6	+ 1.0681	+ 1.0613	16	3
	Dec. 2	r	20 30	1.0649	5	+ 8	1.0657			
	1888, März 21	l	6 44	1.0497	6	+ 4	1.0501			
14ᵇ—41	1887, Dec. 2	r	20 34	+ 1.3985	5	+ 17	+ 1.4002	+ 1.4057	11	2
	1888, März 21	l	6 49	1.4120	6	— 8	1.4112			

Beob. Differenz	Datum	Lage der Schraube	Stunden-winkel	$\Delta\delta$ app.	Anzahl der Einstellgn.	Summe der Correc-tionen	$\Delta\delta$ 1890.0	Mittel	Summe der Einstellgn.	Gewicht
			h m	rev			rev	rev		
14[c] —41	1887, Dec. 2	*l*	20 53	+ 1.2269	5	+ 20	+ 1.2289	+ 1.2159	10	2
	1888, Novbr. 11	*r*	18 35	1.2018	5	+ 11	1.2029			
15—1	1887, Jan. 26	*r*	2 48	+ 2.3333	5	+ 23	+ 2.3356	+ 2.3379	10	2
	— 27	*l*	3 7	2.3371	5	+ 30	2.3401			
15—15[a]	1887, Dec. 2	*r*	21 20	— 0.2667	6	— 20	— 0.2687	— 0.2687	6	1
15—16	1887, März 19	*r*	6 38	— 0.9297	4	+ 2	— 0.9295	— 0.9223	21	4
	Oct. 23	*l*	18 43	0.9188	7	+ 5	0.9183			
	1888, Oct. 16	*r*	19 38	0.9273	5	+ 2	0.9271			
	— 19	*l*	20 39	0.9151	5	+ 6	0.9145			
15—17	1888, Oct. 16	*r*	19 44	— 0.8123	5	+ 16	— 0.8107	— 0.8159	10	2
	— 19	*l*	20 42	0.8215	5	+ 4	0.8211			
15—19	1887, Jan. 26	*r*	5 46	— 2.5861	6	+ 9	— 2.5852	— 2.5897	12	2
	— 27	*l*	5 45	2.5963	6	+ 21	2.5942			
15—41	1887, Febr. 25	*r*	3 37	+ 2.4452	5	+ 9	+ 2.4461	+ 2.4445	9	2
	1888, März 8	*l*	3 46	2.4444	4	— 16	2.4428			
15[a] —41	1887, Dec. 2	*r*	21 25	+ 2.7017	5	— 8	+ 2.7009	+ 2.7009	5	1
16—1	1887, Jan. 26	*r*	3 7	+ 3.2481	5	+ 29	+ 3.2510	+ 3.2535	10	2
	— 27	*l*	3 27	3.2525	5	+ 34	3.2559			
16—18	1887, März 19	*r*	6 35	+ 1.0594	5	+ 17	+ 1.0611	+ 1.0586	10	2
	Oct. 23	*l*	18 48	1.0550	5	+ 10	1.0560			
16—19	1887, Jan. 26	*r*	5 35	— 1.6673	5	+ 20	— 1.6653	— 1.6669	10	2
	— 27	*l*	5 34	1.6713	5	+ 29	1.6684			
16—28	1887, März 19	*r*	6 58	— 3.2938	4	— 33	— 3.2971	— 3.3061	9	2
	Oct. 23	*l*	18 58	3.3126	5	— 24	3.3150			
16—41	1887, Febr. 25	*r*	3 42	+ 3.3625	5	+ 18	+ 3.3643	+ 3.3641	9	2
	1888, März 8	*l*	3 49	3.3644	4	— 5	3.3639			
17—1	1887, Jan. 26	*r*	3 12	+ 3.1595	5	+ 22	+ 3.1617	+ 3.1656	11	2
	— 27	*l*	3 32	3.1668	6	+ 26	3.1694			
17—18	1887, März 19	*r*	6 32	+ 0.9742	4	+ 2	+ 0.9744	+ 0.9665	10	2
	Oct. 23	*l*	18 53	0.9586	6	— 1	0.9585			
17—19	1887, Jan. 26	*r*	5 40	— 1.7585	6	+ 20	— 1.7565	— 1.7601	12	2
	— 27	*l*	5 40	1.7660	6	+ 24	1.7636			
17—29	1887, März 19	*r*	7 3	— 3.0905	5	— 25	— 3.0930	— 3.0976	10	2
	Oct. 23	*l*	19 3	3.1002	5	— 20	3.1022			
17—41	1887, Febr. 25	*r*	3 48	+ 3.2670	10	+ 14	+ 3.2684 (2)	+ 3.2669	15	3
	1888, März 8	*l*	3 53	3.2639	5	— 1	3.2638			
18—1	1887, Jan. 26	*r*	2 44	+ 2.1937	6	+ 20	+ 2.1957	+ 2.2057	11	2
	— 27	*l*	3 2	2.2132	5	+ 25	2.2157			
18—19	1887, Jan. 26	*r*	5 30	— 2.7135	5	— 10	— 2.7145	— 2.7218	14	3
	— 27	*l*	5 29	2.7332	4	+ 22	2.7310			
	Febr. 24	*l*	3 8	2.7225	5	+ 27	2.7198			
18—41	1887, Febr. 25	*r*	3 52	+ 2.3178	6	+ 10	+ 2.3188	+ 2.3220	10	2
	1888, März 8	*l*	3 55	2.3261	4	— 10	2.3251			

Beob. Differenz	Datum	Lage der Schraube	Stunden-winkel	Δδ app.	Anzahl der Einstellgn.	Summe der Correc-tionen	Δδ 1890.0	Mittel	Summe der Einstellgn.	Gewicht
			h m	rev			rev	rev		
19—I	1887, Jan. 8	r	1 49	+ 4.9360	10	— 1	+ 4.9359 (2)			
	— 22	r	2 36	4.9304	5	+ 9	4.9313			
	— 22	r	5 0	4.9327	10	— 2	4.9325 (2)			
	— 25	l	3 15	4.9325	6	+ 9	4.9334			
	— 25	l	6 3	4.9302	6	+ 2	4.9304			
	— 26	r	3 2	4.9297	5	— 5	4.9292			
	— 26	r	5 6	4.9348	5	— 2	4.9346			
	— 27	l	3 22	4.9221	5	— 6	4.9215	+ 4.9283	91	18
	— 27	l	5 9	4.9261	5	— 3	4.9258			
	Febr. 17	l	7 9	4.9175	6	+ 11	4.9186			
	1888, März 1	r	3 42	4.9247	6	— 2	4.9245			
	Novbr. 13	l	19 49	4.9157	5	+ 7	4.9164			
	— 14	r	20 2	4.9278	7	+ 11	4.9289			
	— 26	r	19 41	4.9330	5	+ 4	4.9334			
	— 27	l	19 53	4.9151	5	+ 5	4.9156			
19—19ᵃ	1887, Jan. 27	l	6 10	— 2.0134	5	— 6	— 2.0140			
	Febr. 4	r	3 15	2.0176	5	— 3	2.0179			
	— 5	r	3 32	2.0267	6	— 4	2.0271	— 2.0235	27	5
	— 11	l	4 52	2.0287	6	— 5	2.0292			
	— 17	l	3 14	2.0287	5	— 4	2.0291			
19—19ᵇ	1887, Febr. 5	r	3 38	— 3.0857	6	— 3	— 3.0860			
	— 11	l	5 2	3.0787	5	— 2	3.0789	— 3.0827	21	4
	— 17	l	3 20	3.0809	5	0	3.0809			
	— 24	r	5 24	3.0848	5	— 2	3.0850			
19—20	1887, Jan. 26	r	5 0	+ 2.6306	6	— 7	+ 2.6299			
	— 27	l	5 4	2.6284	6	— 16	2.6268	+ 2.6314	22	4
	März 4	r	6 27	2.6246	5	— 5	2.6241			
	Novbr. 17	l	19 47	2.6458	5	— 9	2.6449			
19—21	1887, Oct. 23	l	20 25	+ 3.1351	6	+ 20	+ 3.1371	+ 3.1475	11	2
	— 28	r	19 20	3.1556	5	+ 23	3.1579			
19—28	1887, Jan. 26	r	6 4	— 1.6291	4	— 2	— 1.6293	— 1.6210	9	2
	— 27	l	6 5	1.6113	5	— 14	1.6127			
19—29	1887, Jan. 26	r	6 10	— 1.3317	5	— 25	— 1.3342	— 1.3337	11	2
	— 27	l	6 0	1.3300	6	— 33	1.3333			
19—37	1887, Oct. 28	r	22 7	+ 3.9856	5	+ 13	+ 3.9869	+ 3.9854	10	2
	Novbr. 17	l	20 16	3.9828	5	+ 11	3.9839			
19—38	1887, Febr. 11	l	5 7	+ 4.4499	5	+ 36	+ 4.4535			
	— 17	l	3 40	4.4469	5	+ 34	4.4503			
	März 4	r	2 50	4.4458	4	+ 22	4.4480	+ 4.4540	26	5
	April 6	l	7 0	4.4514	6	+ 48	4.4562			
	Oct. 28	r	17 57	4.4599	6	+ 20	4.4619			
19—38ᵃ	1887, Febr. 17	l	3 34	+ 2.0662	4	+ 25	+ 2.0687	+ 2.0796	9	2
	Novbr. 16	r	20 7	2.0888	5	+ 16	2.0904			
19—38ᵇ	1887, Febr. 17	l	3 27	+ 0.7761	5	+ 2	+ 0.7763	+ 0.7783	10	2
	Novbr. 16	r	20 17	0.7818	5	— 15	0.7803			
19—41	1887, Jan. 26	r	5 58	+ 5.0331	5	0	+ 5.0331			
	— 27	l	5 55	5.0423	6	0	5.0423	+ 5.0371	24	5
	April 6	l	7 22	5.0463	7	— 4	5.0467			
	Oct. 28	r	18 27	5.0246	6	— 15	5.0261			
19—45	1887, Febr. 25	r	2 55	+ 2.8283	6	— 51	+ 2.8232			
	April 6	l	7 10	2.8267	5	— 54	2.8213			
	— 21	l	9 23	2.8300	6	— 16	2.8284	+ 2.8222	22	4
	Oct. 28	r	18 7	2.8166	5	— 8	2.8158			

Beob. Differenz	Datum	Lage der Schraube	Stunden-winkel	Δδ app.	Anzahl der Einstellgn.	Summe der Correctionen	Δδ 1890.0	Mittel	Summe der Einstellgn.	Gewicht
			h m	rev			rev	rev		
19—52	1887, Jan. 8	r	2 27	— 5.5157	6	— 35	— 5.5192	— 5.5131	69	14
	— 22	r	2 46	5.5093	6	— 17	5.5110			
	— 22	r	5 4	5.5067	5	— 41	5.5108			
	— 25	l	4 9	5.5135	6	— 52	5.5187			
	— 31	l	4 5	5.5098	5	— 54	5.5152			
	— 31	l	5 55	5.5091	6	— 60	5.5151			
	Febr. 1	r	5 7	5.5071	5	46	5.5117			
	— 4	r	3 30	5.5042	5	— 45	5.5087			
	— 17	l	7 16	5.5153	5	— 81	5.5234			
	Novbr. 13	l	19 53	5.5177	5	— 32	5.5209			
	— 14	r	20 7	5.5022	5	+ 11	5.5011			
	— 26	r	19 46	5.5036	5	+ 14	5.5022			
	— 27	l	19 58	5.5087	5	— 31	5.5118			
19—53	1888, März 1	r	3 53	— 5.9092	7	— 38	— 5.9130	— 5.9130	7	1
19—57	1887, Febr. 28	r	2 34	— 10.2126	5	— 62	— 10.2188	— 10.2144	21	4
	April 21	l	9 13	10.1945	6	— 220	10.2165			
	Oct. 13	l	20 11	10.1943	5	— 53	10.1996			
	— 28	r	18 2	10.2168	5	— 60	10.2228			
19—60	1887, Jan. 21	l	6 10	— 5.0280	6	— 36	— 5.0316	— 5.0273	11	2
	Febr. 4	r	3 45	5.0200	5	— 29	5.0229			
19^a—19^b	1887, Novbr. 13	r	20 10	— 1.0521	5	— 6	— 1.0527	— 1.0549	11	2
	— 28	l	21 50	1.0565	6	— 6	1.0571			
19^b—38^b	1887, Oct. 26	l	22 10	+ 3.8576	5	— 1	+ 3.8575	+ 3.8551	10	2
	Novbr. 16	r	19 57	3.8530	5	— 4	3.8526			
20—1	1887, Jan. 26	r	2 53	+ 2.2881	5	+ 22	+ 2.2903	+ 2.2866	11	2
	— 27	l	3 12	2.2813	6	+ 16	2.2829			
20—21	1887, März 4	r	6 22	+ 0.4914	5	+ 9	+ 0.4923	+ 0.5016	10	2
	Oct. 23	l	19 52	0.5112	5	— 4	0.5108			
20—37	1887, Oct. 28	r	19 40	+ 1.3530	5	+ 16	+ 1.3546	+ 1.3510	12	2
	Novbr. 17	l	20 4	1.3452	7	+ 23	1.3475			
20—38	1887, März 4	r	6 35	+ 1.8168	5	+ 12	+ 1.8180	+ 1.8179	10	2
	Novbr. 17	l	19 52	1.8184	5	— 6	1.8178			
20—41	1887, März 4	r	6 14	+ 2.3948	5	+ 3	+ 2.3951	+ 2.3973	11	2
	Oct. 23	l	20 2	2.3984	6	+ 11	2.3995			
21—1	1887, Jan. 26	r	2 58	+ 1.7905	5	— 12	+ 1.7893	+ 1.7963	15	3
	— 27	l	3 17	1.7978	5	— 16	1.7962			
	Oct. 23	l	20 20	1.8044	5	— 11	1.8033			
21—37	1887, Oct. 28	r	19 33	+ 0.8497	6	— 10	+ 0.8487	+ 0.8357	11	2
	Novbr. 17	l	20 10	0.8236	5	— 9	0.8227			
21—38	1887, Oct. 23	l	20 34	+ 1.3144	5	+ 25	+ 1.3169	+ 1.3178	10	2
	Novbr. 13	r	20 0	1.3169	5	+ 18	1.3187			
21—41	1887, März 4	r	6 18	+ 1.8984	5	— 22	+ 1.8962	+ 1.8950	10	2
	Oct. 23	l	19 57	1.8946	5	— 8	1.8938			
22—1	1887, Jan. 26	r	4 12	— 1.0943	4	— 5	— 1.0948	— 1.0979	10	2
	— 27	l	4 22	1.1007	6	— 3	1.1010			
22—41	1887, Febr. 4	r	4 5	— 0.9942	6	— 7	— 0.9949	— 0.9873	21	4
	— 11	l	5 46	0.9877	5	— 9	0.9886			
	— 17	l	3 0	0.9965	6	— 8	0.9973			
	Oct. 28	r	21 50	0.9682	4	— 2	0.9684			

Beob. Differenz	Datum	Lage der Schraube	Stunden-winkel	Δδ app.	Anzahl der Einstellgn.	Summe der Correctionen	Δδ 1890.0	Mittel	Summe der Einstellgn.	Gewicht
			h m	rev			rev	rev		
22ª — 1	1887, Jan. 27	*l*	4 27	— 1.0249	3	+ 2	— 1.0247	— 1.0308	13	3
	Febr. 24	*l*	2 43	1.0358	5	+ 1	1.0357			
	Dec. 2	*r*	21 0	1.0317	5	— 4	1.0321			
22ª — 41	1887, Febr 4	*r*	4 15	— 0.9457	3	— 6	— 0.9463 (½)	— 0.9154	14	3
	— 17	*l*	3 7	0.9014	6	— 2	0.9016			
	— 24	*r*	5 8	0.9134	5	— 2	0.9136			
23 — 1	1887, Jan. 26	*r*	4 6	— 2.0225	5	+ 4	— 2.0221	— 2.0166	10	2
	— 27	*l*	4 17	2.0117	5	+ 6	2.0111			
23 — 27	1887, März 4	*r*	6 53	+ 3.0864	5	+ 15	+ 3.0879	+ 3.0920	11	2
	Oct. 23	*l*	20 48	3.0944	6	+ 17	3.0961			
23 — 41	1887, Jan. 28	*l*	2 34	— 1.9158	6	+ 2	— 1.9156	— 1.9209	11	2
	Febr. 4	*r*	4 0	1.9264	5	+ 1	1.9263			
24 — 1	1887, Jan. 26	*r*	4 18	— 3.3702	5	— 16	— 3.3718	— 3.3679	10	2
	— 27	*l*	4 32	3.3633	5	— 7	3.3640			
24 — 25	1887, Oct. 28	*r*	21 17	+ 2.2468	5	+ 25	+ 2.2493	+ 2.2536	12	2
	Novbr. 28	*l*	21 55	2.2558	7	+ 21	2.2579			
24 — 27	1887, März 4	*r*	7 0	+ 1.7422	5	— 17	+ 1.7405	+ 1.7375	20	4
	Oct. 23	*l*	20 52	1.7440	5	— 16	1.7424			
	— 28	*r*	21 6	1.7338	5	— 11	1.7327			
	Novbr. 17	*l*	20 21	1.7360	5	— 16	1.7344			
24 — 41	1887, Jan. 28	*r*	2 40	— 3.2609	5	— 29	— 3.2638	— 3.2576	10	2
	Febr. 4	*l*	4 10	3.2488	5	— 25	3.2513			
24ª — 25	1887, Oct. 28	*r*	21 22	+ 2.3352	5	+ 24	+ 2.3376	+ 2.3343	9	2
	Novbr. 17	*l*	20 31	2.3291	4	+ 19	2.3310			
24ª — 27	1887, Oct. 28	*r*	21 12	+ 1.8318	5	— 10	+ 1.8308	+ 1.8239	9	2
	Novbr. 17	*l*	20 26	1.8183	4	— 13	1.8170			
24ª — 41	1887, Febr. 4	*r*	4 45	— 3.1448	5	— 21	— 3.1469	— 3.1531	10	2
	— 11	*l*	5 39	3.1565	5	— 27	3.1592			
25 — 1	1888, Oct. 16	*r*	20 38	— 5.6081	5	— 49	— 5.6130	— 5.6116	15	3
	Novbr. 10	*r*	18 7	5.6101	5	— 41	5.6142			
	— 13	*l*	19 23	5.6033	5	— 44	5.6077			
25 — 26	1887, Jan. 26	*r*	4 40	+ 0.6729	5	— 17	+ 0.6712	+ 0.6713	20	4
	— 27	*l*	4 52	0.6703	5	— 8	0.6695			
	Febr. 4	*r*	6 15	0.6732	5	— 17	0.6715			
	— 11	*l*	5 32	0.6737	5	— 8	0.6729			
25 — 27	1887, März 4	*r*	6 41	— 0.5013	8	— 7	— 0.5020	— 0.5001	22	4
	April 22	*l*	9 15	0.5047	8	— 24	0.5071			
	Oct. 23	*l*	20 39	0.4904	6	— 8	0.4912			
25 — 30	1887, Jan. 28	*l*	4 45	+ 4.3471	6	+ 19	+ 4.3490	+ 4.3481	11	2
	Febr. 4	*r*	6 0	4.3440	5	+ 31	4.3471			
25 — 41	1887, Jan. 28	*l*	2 50	— 5.5074	5	— 19	— 5.5093	— 5.5057	10	2
	Febr. 4	*r*	4 25	5.5012	5	— 8	5.5020			
26 — 1	1887, Jan. 26	*r*	4 35	— 6.2841	5	— 22	— 6.2863	— 6.2859	11	2
	— 27	*l*	4 47	6.2839	6	— 16	6.2855			

Beob. Differenz	Datum	Lage der Schraube	Stunden-winkel	$\varDelta\delta$ app.	Anzahl der Einstellgn.	Summe der Correctionen	$\varDelta\delta$ 1890.0	Mittel	Summe der Einstellgn.	Gewicht
			h m	rev			rev	rev		
26—27	1887, März 4	*r*	6 47	— 1.1742	5	— 28	— 1.1770			
	April 22	*l*	9 20	1.1840	4	— 48	1.1888	— 1.1784	14	3
	Oct. 23	*l*	20 43	1.1674	5	— 21	1.1695			
26—30	1887, März 4	*r*	7 27	+ 3.6535	6	+ 12	+ 3.6547	+ 3.6700	11	2
	Oct. 23	*l*	20 57	3.6862	5	— 8	3.6854			
26—41	1887, Jan. 28	*l*	2 55	— 6.1744	6	— 31	— 6.1775	— 6.1755	11	2
	Febr. 4	*r*	4 30	6.1706	5	— 28	6.1734			
27—1	1887, Jan. 8	*r*	3 28	— 5.1110	5	— 8	— 5.1118			
	— 22	*r*	2 28	5.1131	5	— 5	5.1136			
	— 25	*l*	3 7	5.1020	6	— 1	5.1021			
	— 26	*r*	4 24	5.1091	6	— 4	5.1095			
	— 27	*l*	4 37	5.1045	5	— 3	5.1048			
	Febr. 17	*l*	7 3	5.1031	6	— 15	5.1046	— 5.1110	63	13
	1888, März 1	*r*	3 37	5.1087	6	— 1	5.1088			
	Novbr. 13	*l*	19 45	5.1023	7	— 22	5.1045			
	— 14	*r*	19 57	5.1151	7	— 29	5.1180			
	— 26	*r*	19 33	5.1314	5	— 23	5.1337			
	— 27	*l*	19 48	5.1071	5	— 20	5.1091			
27—30	1887, Jan. 8	*r*	3 42	+ 4.8488	7	+ 1	+ 4.8489			
	— 22	*r*	2 19	4.8551	5	+ 1	4.8552			
	— 25	*l*	2 54	4.8409	7	+ 5	4.8414			
	— 28	*l*	3 12	4.8427	5	+ 4	4.8431			
	— 28	*l*	4 52	4.8472	6	+ 5	4.8477			
	Febr. 4	*r*	4 40	4.8410	5	+ 2	4.8412			
	— 4	*r*	6 5	4.8462	5	+ 7	4.8469			
	— 17	*l*	5 12	4.8409	5	+ 8	4.8417	+ 4.8441	90	18
	— 17	*l*	6 56	4.8397	5	+ 20	4.8417			
	1888, März 1	*r*	3 31	4.8464	7	+ 3	4.8467			
	— 7	*l*	3 47	4.8422	6	+ 21	4.8443			
	Novbr. 13	*l*	19 41	4.8463	6	+ 7	4.8470			
	— 14	*r*	19 52	4.8419	6	— 3	4.8416			
	— 26	*r*	19 25	4.8390	5	— 8	4.8382			
	— 27	*l*	19 43	4.8387	5	+ 6	4.8393			
	Dec. 14	*r*	20 39	4.8401	5	0	4.8401			
27—31	1887, Jan. 28	*l*	3 0	+ 4.0936	4	+ 8	+ 4.0944			
	— 28	*l*	3 6	4.0847	5	+ 19	4.0866			
	Febr. 4	*r*	4 35	4.0858	6	+ 18	4.0876	+ 4.0918	27	5
	— 17	*l*	5 4	4.0857	6	+ 22	4.0879			
	April 4	*r*	7 39	4.0985	6	+ 40	4.1025			
27—32	1887, Jan. 28	*l*	3 20	+ 3.7977	5	+ 11	+ 3.7988	+ 3.7945	10	2
	Febr. 4	*r*	4 50	3.7894	5	+ 8	3.7902			
27—32a	1887, Jan. 28	*l*	3 27	+ 3.1349	5	+ 34	+ 3.1383	+ 3.1433	10	2
	Febr. 4	*r*	4 55	3.1448	5	+ 34	3.1482			
27—32b	1887, Jan. 28	*l*	3 34	+ 1.5920	4	+ 26	+ 1.5946	+ 1.5924	9	2
	Oct. 28	*r*	21 42	1.5906	5	— 4	1.5902			
27—32c	1888, Novbr. 11	*r*	18 50	+ 1.5204	5	+ 17	+ 1.5221	+ 1.5277	9	2
	1889, Febr. 13	*l*	2 34	1.5345	4	— 11	1.5334			
27—35	1887, Febr. 7	*r*	3 57	+ 8.9774	5	+ 2	+ 8.9776			
	— 24	*r*	5 32	8.9733	5	+ 5	8.9738			
	April 20	*l*	9 30	8.9655	7	+ 150	8.9805	+ 8.9793	28	6
	Oct. 28	*l*	18 42	8.9730	5	+ 25	8.9755			
	1888, März 16	*r*	4 36	8.9890	6	+ 3	8.9893			
27—36	1887, Febr. 7	*r*	3 49	+ 7.3056	6	+ 17	+ 7.3073	+ 7.3062	12	2
	— 24	*l*	3 22	7.3044	6	+ 6	7.3050			

Beob. Differenz	Datum	Lage der Schraube	Stunden-winkel	$\Delta\delta$ app.	Anzahl der Einstellgn.	Summe der Correc-tionen	$\Delta\delta$ 1890.0	Mittel	Summe der Einstellgn.	Gewicht
			h m	rev			rev	rev		
27—41	1887, Jan. 28	l	2 45	— 5.0031	5	— 8	— 5.0039	— 5.0073	22	4
	— 28	l	4 58	5.0077	6	— 7	5.0084			
	Febr. 4	r	4 20	5.0066	5	— 6	5.0072			
	— 4	r	6 10	5.0085	6	— 12	5.0097			
27—44	1887, Febr. 4	r	5 2	+ 3.0978	5	+ 55	+ 3.1033	+ 3.1029	25	5
	— 5	r	4 37	3.1031	5	+ 55	3.1086			
	— 11	l	5 24	3.0870	4	+ 59	3.0929			
	— 11	l	6 24	3.0986	11	+ 63	3.1049 (2)			
27—45	1887, Febr. 25	r	2 48	— 7.2133	6	— 40	— 7.2173	— 7.2142	41	8
	— 28	r	2 22	7.2003	5	— 39	7.2042			
	April 21	l	8 3	7.2055	5	— 69	7.2124			
	— 22	l	7 54	7.2173	5	— 90	7.2263			
	1888, März 7	l	4 0	7.2075	9	— 40	7.2115 (2)			
	— 16	r	4 42	7.2125	5	— 33	7.2158			
	Dec. 14	r	20 43	7.2115	6	— 27	7.2142			
27—65	1887, Febr. 5	r	6 32	+ 1.6924	7	— 48	+ 1.6876	+ 1.6915	22	4
	— 12	l	5 22	1.6999	5	— 60	1.6939			
	— 17	l	4 18	1.7067	5	— 62	1.7005			
	April 4	r	7 46	1.6899	5	— 58	1.6841			
27—68	1887, Febr. 7	r	3 9	— 3.8896	5	— 85	— 3.8981	— 3.8858	10	2
	— 17	l	4 56	3.8639	5	— 96	3.8735			
28—1	1887, Jan. 26	r	3 48	+ 6.5545	5	+ 9	+ 6.5554	+ 6.5611	10	2
	— 27	l	4 2	6.5646	5	+ 21	6.5667			
28—29	1887, März 19	r	6 53	+ 0.3246	5	+ 19	+ 0.3265	+ 0.3200	10	2
	Oct. 23	l	19 9	0.3114	5	+ 20	0.3134			
28—41	1887, März 19	r	8 14	+ 6.6553	5	+ 51	+ 6.6604	+ 6.6574	10	2
	Oct. 23	l	19 21	6.6538	5	+ 5	6.6543			
28—45	1887, April 5	r	7 41	+ 4.4656	6	+ 9	+ 4.4665	+ 4.4563	11	2
	Novbr. 17	l	19 30	4.4450	5	+ 11	4.4461			
28—52	1887, Jan. 31	l	5 50	— 3.8685	5	— 25	— 3.8710	— 3.8723	10	2
	Febr. 4	r	3 20	3.8716	5	— 19	3.8735			
28—59	1887, März 19	r	7 9	— 4.9140	5	— 28	— 4.9168	— 4.9055	10	2
	Oct. 23	l	19 15	4.8934	5	— 8	4.8942			
29—1	1887, Jan. 26	r	3 54	+ 6.2511	5	+ 28	+ 6.2539	+ 6.2614	10	2
	— 27	l	4 7	6.2653	5	+ 36	6.2689			
29—41	1887, März 19	r	8 19	+ 6.3548	5	+ 70	+ 6.3618	+ 6.3644	10	2
	Oct. 23	l	19 27	6.3640	5	+ 29	6.3669			
29—45	1887, April 5	r	7 31	+ 4.1727	6	+ 6	+ 4.1733	+ 4.1612	11	2
	Novbr. 17	l	19 22	4.1470	5	+ 20	4.1490			
29—52	1887, Jan. 31	l	5 45	— 4.1645	5	— 57	— 4.1702	— 4.1758	10	2
	Febr. 4	r	3 25	4.1762	5	— 51	4.1813			
29—60	1887, Jan. 31	l	6 5	— 3.7026	7	— 7	— 3.7033	— 3.6950	12	2
	Febr. 4	r	3 40	3.6872	5	+ 5	3.6867			
30—1	1887, Febr. 24	r	7 25	— 9.9433	5	— 42	— 9.9475	— 9.9534	19	4
	April 5	l	8 17	9.9476	4	— 74	— 9.9550			
	— 20	l	7 57	9.9519	5	— 61	— 9.9580			
	Oct. 27	r	18 14	9.9498	5	— 31	— 9.9529			

Beob. Differenz	Datum	Lage der Schraube	Stunden-winkel	Δδ app.	Anzahl der Einstellgn.	Summe der Correctionen	Δδ 1890.0	Mittel	Summe der Einstellgn.	Gewicht
			h m	rev			rev	rev		
30—31	1887, Febr. 17	*l*	5 20	— 0.7631	5	+ 7	— 0.7624			
	— 28	*r*	7 45	0.7719	10	+ 9	0.7710 (2)	— 0.7649	25	5
	März 4	*r*	7 6	0.7723	5	— 10	0.7733			
	Oct. 26	*l*	18 9	0.7482	5	+ 12	0.7470			
30—32	1887, März 4	*r*	7 13	— 1.0472	5	+ 2	— 1.0470			
	Oct. 23	*l*	21 3	1.0576	5	— 7	1.0583	— 1.0509	16	3
	— 28	*r*	21 0	1.0470	6	— 5	1.0475			
30—32[a]	1887, März 4	*r*	7 20	— 1.6922	5	+ 11	— 1.6911	— 1.6895	10	2
	Oct. 23	*l*	21 8	1.6892	5	+ 14	1.6878			
30—32[b]	1887, Dec. 2	*r*	21 30	— 3.2457	5	— 23	— 3.2480	— 3.2481	9	2
	1888, März 8	*l*	4 59	3.2489	4	+ 7	3.2482			
30—33	1887, Jan. 28	*l*	4 9	+ 4.9341	6	— 3	+ 4.9338	+ 4.9330	11	2
	Febr. 4	*r*	5 30	4.9316	5	+ 5	4.9321			
30—34	1887, Jan. 28	*l*	3 55	+ 8.3811	3	+ 5	+ 8.3816			
	Febr. 24	*r*	5 50	8.3680	5	+ 19	8.3699	+ 8.3754	15	3
	April 21	*l*	10 10	8.3547	7	+ 199	8.3746			
30—35	1887, Jan. 8	*r*	3 55	+ 4.1307	7	+ 7	+ 4.1314			
	— 22	*r*	2 12	4.1324	7	+ 3	4.1327			
	— 25	*l*	2 43	4.1320	10	+ 1	4.1321 (2)			
	— 28	*l*	3 48	4.1322	5	+ 1	4.1323			
	Febr. 4	*r*	5 16	4.1376	5	+ 4	4.1380			
	— 17	*l*	6 49	4.1293	5	+ 8	4.1301			
	1888, März 1	*r*	3 25	4.1414	6	+ 1	4.1415	+ 4.1366	77	15
	— 7	*l*	3 37	4.1360	7	— 15	4.1345			
	Novbr. 13	*l*	19 37	4.1345	5	+ 20	4.1365			
	— 14	*r*	19 47	4.1400	5	+ 28	4.1428			
	— 26	*r*	19 20	4.1514	5	+ 23	4.1537			
	— 27	*l*	19 38	4.1299	5	+ 19	4.1318			
	Dec. 14	*r*	20 34	4.1403	5	+ 24	4.1427			
30—36	1887, Jan. 28	*l*	3 42	+ 2.4578	5	— 19	+ 2.4559	+ 2.4587	10	2
	Febr. 4	*r*	5 9	2.4622	5	— 8	2.4614			
30—41	1887, Febr. 24	*r*	7 17	— 9.8359	7	— 46	— 9.8405			
	April 20	*l*	8 7	9.8462	6	— 77	9.8539	— 9.8456	24	5
	— 21	*l*	7 49	9.8379	6	— 63	9.8442			
	Oct. 27	*r*	18 19	9.8414	5	— 25	9.8439			
30—44	1887, Febr. 25	*r*	2 40	— 1.7591	5	+ 48	— 1.7543			
	April 20	*l*	8 12	1.7608	6	+ 48	1.7560	— 1.7502	21	4
	— 21	*l*	7 56	1.7464	5	+ 50	1.7414			
	Novbr. 13	*r*	20 30	1.7505	5	+ 14	1.7491			
30—65	1887, Febr. 24	*r*	6 40	— 3.1553	5	— 84	— 3.1637			
	April 20	*l*	8 20	3.1498	7	— 118	3.1616			
	— 21	*l*	9 34	3.1465	6	— 147	3.1612	— 3.1604	23	5
	Oct. 28	*r*	18 54	3.1516	5	— 34	3.1550			
30—83	1887, März 4	*r*	3 7	+ 6.0518	4	+ 42	+ 6.0560	+ 6.0571	10	2
	Novbr. 19	*l*	20 55	6.0556	6	+ 25	6.0581			
31—35	1887, Jan. 28	*l*	4 37	+ 4.9039	5	14	+ 4.9025	+ 4.9059	11	2
	Febr. 4	*r*	5 55	4.9102	6	— 9	4.9093			
31—36	1887, Jan. 28	*l*	4 29	+ 3.2235	4	+ 4	+ 3.2239	+ 3.2215	9	2
	Febr. 4	*r*	5 50	3.2180	5	+ 10	3.2190			
33—34	1887, Febr. 28	*r*	6 30	+ 3.4332	6	+ 10	+ 3.4342	+ 3.4412	13	3
	Oct. 26	*l*	18 14	3.4467	7	+ 15	3.4482			

Beob. Differenz	Datum	Lage der Schraube	Stunden-winkel	$\Delta\delta$ app.	Anzahl der Einstellgn.	Summe der Correctionen	$\Delta\delta$ 1890.0	Mittel	Summe der Einstellgn.	Gewicht
			h m	rev			rev	rev		
33—35	1887, Jan. 28	*l*	4 16	— 0.7906	5	0	— 0.7906	— 0.7891	23	5
	Febr. 4	*r*	5 37	0.7910	5	+ 2	0.7908			
	— 28	*r*	3 30	0.7897	8	+ 1	0.7896 (2)			
	April 22	*l*	8 25	0.7834	5	— 13	0.7847			
34—35	1887, Jan. 8	*r*	4 4	— 4.2183	6	— 28	— 4.2211	— 4.2368	90	18
	— 22	*r*	2 6	4.2271	6	— 23	4.2294			
	— 22	*r*	5 22	4.2331	5	— 25	4.2356			
	— 25	*l*	2 29	4.2443	7	— 28	4.2471			
	— 28	*l*	4 2	4.2367	6	— 28	4.2395			
	Febr. 4	*r*	5 23	4.2380	5	— 25	4.2405			
	— 17	*l*	6 42	4.2523	5	— 39	4.2562			
	1888, Febr. 19	*r*	4 12	4.2377	5	— 18	4.2395			
	März 1	*r*	3 17	4.2414	9	— 11	4.2425 (2)			
	— 7	*l*	3 14	4.2401	6	— 28	4.2429			
	— 16	*r*	4 31	4.2352	5	— 15	4.2367			
	Novbr. 13	*l*	19 33	4.2361	4	— 36	4.2397			
	— 14	*r*	19 42	4.2308	5	— 13	4.2321			
	— 26	*r*	19 15	4.2165	6	— 13	4.2178			
	— 27	*l*	19 33	4.2283	5	— 33	4.2316			
	Dec. 14	*r*	20 30	4.2289	5	— 17	4.2306			
34—62	1887, Febr. 5	*r*	5 30	— 6.2003	6	— 108	— 6.2111	— 6.2134	12	2
	— 12	*l*	3 21	6.2044	6	— 113	6.2157			
34—63	1887, Febr. 5	*r*	5 7	— 2.4257	5	— 91	— 2.4348	— 2.4337	12	2
	— 12	*l*	3 30	2.4221	7	— 105	2.4326			
34—81	1887, Febr. 28	*r*	7 7	— 2.1613	6	0	— 2.1613	— 2.1665	16	3
	März 4	*r*	3 12	2.1715	5	+ 7	2.1708			
	Novbr. 26	*l*	20 20	2.1660	5	— 14	2.1674			
34—82	1887, Novbr. 26	*l*	20 25	— 2.0798	5	— 8	— 2.0806	— 2.0719	10	2
	Dec. 2	*r*	21 37	2.0625	5	— 6	2.0631			
34—83	1887, Febr. 28	*r*	6 32	— 2.3046	6	+ 20	— 2.3026	— 2.3143	11	2
	April 21	*l*	10 27	2.3239	5	— 22	2.3261			
34—84	1887, Febr. 28	*r*	6 48	+ 1.3528	5	+ 39	+ 1.3567	+ 1.3524	10	2
	Novbr. 26	*l*	20 14	1.3456	5	+ 25	1.3481			
34—85	1887, Febr. 28	*r*	6 53	+ 0.5553	5	+ 53	+ 0.5606	+ 0.5598	12	2
	Novbr. 26	*l*	19 59	0.5579	7	+ 11	0.5590			
34—86	1887, Febr. 28	*r*	7 9	— 0.6441	5	— 32	— 0.6473	— 0.6465	10	2
	Novbr. 26	*l*	20 42	0.6482	5	+ 25	0.6457			
34—87	1887, Febr. 28	*r*	6 37	— 0.3271	5	+ 76	— 0.3195	— 0.3215	10	2
	Novbr. 26	*l*	20 36	0.3238	5	+ 4	0.3234			
34—88	1887, Febr. 28	*r*	6 58	— 1.1424	5	+ 65	— 1.1359	— 1.1399	12	2
	Novbr. 26	*l*	20 7	1.1439	7	0	1.1439			
34—89	1887, Dec. 2	*r*	21 45	+ 0.6111	5	+ 4	+ 0.6115	+ 0.5984	10	2
	1888, März 8	*l*	4 38	0.5769	5	+ 84	0.5853			
34—90	1887, Novbr. 26	*l*	20 30	— 1.9604	5	+ 14	— 1.9590	— 1.9630	12	2
	1888, März 1	*r*	4 51	1.9732	7	+ 63	1.9669			
34—91	1887, Febr. 28	*r*	6 43	+ 2.0168	5	+ 138	+ 2.0306	+ 2.0344	12	2
	April 21	*l*	10 44	2.0165	7	+ 217	2.0382			
34—94	1887, Febr. 28	*r*	7 21	+ 1.8295	5	— 13	+ 1.8282	+ 1.8315	10	2
	Oct. 26	*l*	18 18	1.8358	5	— 10	1.8348			
34—105	1888, März 1	*r*	4 31	+ 7.3120	5	+ 47	+ 7.3167	+ 7.3195	11	2
	— 8	*l*	4 45	7.3144	6	+ 79	7.3223			

Beob. Differenz	Datum	Lage der Schraube	Stunden-winkel	Δδ app.	Anzahl der Einstellgn.	Summe der Correctionen	Δδ 1890.0	Mittel	Summe der Einstellgn.	Gewicht
			h m	rev			rev	rev		
35—36	1887, Jan. 28	*l*	4 22	— 1.6826	6	+ 4	— 1.6822	— 1.6854	11	2
	Febr. 4	*r*	5 44	1.6898	5	+ 11	1.6887			
35—44	1887, Febr. 28	*r*	3 18	— 5.8833	6	+ 61	— 5.8772	— 5.8822	20	5
	April 20	*l*	9 39	5.8705	5	— 31	5.8736			
	— 21	*l*	9 54	5.8888	4	— 52	5.8940			
	Novbr. 13	*r*	20 40	5.8843	5	+ 3	5.8840			
35—62	1887, Febr. 5	*r*	5 19	— 1.9688	6	— 80	— 1.9768	— 1.9791	11	2
	— 12	*l*	3 15	1.9729	5	— 85	1.9814			
35—63	1887, Febr. 5	*r*	4 55	+ 1.8097	6	— 90	+ 1.8007	+ 1.7979	13	3
	— 12	*l*	3 40	1.8052	7	— 100	1.7952			
35—65	1887, Febr. 7	*r*	3 25	— 7.2805	6	— 58	— 7.2863	— 7.2897	22	4
	— 17	*l*	4 25	7.2787	5	— 68	7.2855			
	April 20	*l*	8 29	7.2804	6	— 143	7.2947			
	Oct. 28	*r*	18 48	7.2878	5	— 43	7.2921			
35—66	1887, Febr. 7	*r*	3 17	— 6.5320	5	— 47	+ 6.5367	— 6.5410	11	2
	— 17	*l*	4 40	6.5390	6	— 63	6.5453			
35—81	1887, Febr. 28	*r*	3 39	+ 2.0664	5	+ 36	+ 2.0700	+ 2.0775	10	2
	Novbr. 17	*l*	21 35	2.0830	5	+ 19	2.0849			
35—82	1887, Febr. 28	*r*	3 44	+ 2.1519	6	+ 49	+ 2.1568	+ 2.1697	19	4
	Novbr. 17	*l*	21 40	2.1704	6	+ 27	2.1731			
	— 29	*r*	21 30	2.1766	7	+ 25	2.1791			
35—83	1887, Febr. 28	*r*	3 50	+ 1.9178	5	+ 43	+ 1.9221	+ 1.9268	22	4
	April 22	*l*	8 32	1.9189	6	+ 71	1.9261			
	Novbr. 17	*l*	21 45	1.9294	5	+ 5	1.9299			
	— 29	*r*	21 15	1.9283	6	+ 7	1.9290			
35—84	1887, Febr. 28	*r*	3 55	+ 5.5648	5	+ 24	+ 5.5672	+ 5.5848	21	4
	Novbr. 19	*l*	20 40	5.5901	5	+ 13	5.5914			
	— 26	*l*	19 51	5.5848	5	+ 50	5.5898			
	— 29	*r*	21 5	5.5879	6	+ 32	5.5911			
35—85	1887, Febr. 28	*r*	4 0	+ 4.7921	5	+ 54	+ 4.7975	+ 4.8006	11	2
	Novbr. 26	*l*	20 46	4.8027	6	+ 9	4.8036			
35—86	1887, Febr. 28	*r*	4 5	+ 3.5724	5	+ 59	+ 3.5783	+ 3.5866	11	2
	Novbr. 26	*l*	20 51	3.5934	6	+ 15	3.5949			
35—87	1887, Febr. 28	*r*	4 10	+ 3.9121	4	+ 96	+ 3.9217	+ 3.9266	10	2
	Novbr. 26	*l*	20 56	3.9294	6	+ 20	3.9314			
35—88	1887, März 4	*r*	3 24	+ 3.0889	5	+ 103	+ 3.0992	+ 3.1014	14	3
	April 22	*l*	8 45	3.0827	4	+ 144	3.0971			
	Novbr. 16	*r*	19 7	3.1046	5	+ 32	3.1078			
35—91	1887, März 4	*r*	3 18	+ 6.2485	6	+ 158	+ 6.2643	+ 6.2665	12	2
	April 22	*l*	8 39	6.2441	6	+ 246	6.2687			
35—94	1887, Febr. 28	*r*	7 28	+ 6.0410	5	+ 32	+ 6.0442	+ 6.0572	11	2
	Oct. 26	*l*	18 22	6.0672	6	+ 29	6.0701			
35—103	1888, Oct. 16	*r*	20 11	+ 2.2598	6	+ 16	+ 2.2614	+ 2.2582	12	2
	— 19	*l*	21 17	2.2516	6	+ 34	2.2550			
36—65	1887, Febr. 7	*r*	3 33	— 5.6032	5	— 23	— 5.6055	— 5.5989	10	2
	— 17	*l*	4 32	5.5885	5	— 38	5.5923			
36—66	1887, Febr. 7	*r*	3 41	— 4.8584	5	— 34	— 4.8618	— 4.8590	10	2
	— 17	*l*	4 48	4.8519	5	— 42	4.8561			

Beob. Differenz	Datum	Lage der Schraube	Stunden-winkel	Δδ app.	Anzahl der Einstellgn.	Summe der Correctionen	Δδ 1890.0	Mittel	Summe der Einstellgn.	Gewicht
			h m	rev			rev	rev		
37—1	1887, März, 19	r	7 15	+ 0.9554	4	— 20	+ 0.9534	— 0.9465	9	2
	Oct. 23	l	19 32	0.9402	5	— 6	0.9396			
37—38	1887, März 19	r	7 21	+ 0.4788	4	+ 5	+ 0.4793	+ 0.4778	9	2
	Oct. 23	l	19 38	0.4756	5	+ 8	0.4764			
37—39	1887, März 19	r	7 27	+ 3.9178	5	+ 22	+ 3.9200	+ 3.9117	11	2
	Oct. 23	l	19 42	3.9031	6	+ 4	3.9035			
37—40	1887, März 19	r	7 33	+ 3.4191	4	+ 35	+ 3.4226	+ 3.4176	9	2
	Oct. 23	l	19 46	3.4102	5	+ 24	3.4126			
38—1	1887, Jan. 28	l	5 4	+ 0.4846	5	— 22	+ 0.4824	+ 0.4833	22	4
	Febr. 5	r	2 23	0.4906	6	— 12	0.4894			
	März 4	r	2 56	0.4803	5	— 16	0.4787			
	April 6	l	6 35	0.4855	6	— 30	0.4825			
38—38^a	1887, Febr. 5	r	4 30	— 2.3795	5	— 24	— 2.3819	— 2.3745	15	3
	— 11	l	5 12	2.3673	5	— 12	2.3685			
	— 24	l	2 48	2.3720	5	— 10	2.3730			
38—38^b	1887, Febr. 11	l	5 17	— 3.6659	5	+ 12	— 3.6647	— 3.6680	11	2
	Novbr. 16	r	20 42	3.6711	6	— 1	3.6712			
38—39	1887, März 4	r	7 35	+ 3.4308	5	+ 36	+ 3.4344	+ 3.4356	10	2
	Oct. 13	l	21 10	3.4355	5	+ 13	3.4368			
38—40	1888, Oct. 16	r	20 17	+ 2.9601	5	+ 6	+ 2.9607	+ 2.9522	18	4
	— 19	l	19 30	2.9561	5	+ 5	2.9566			
	Novbr. 13	l	19 11	2.9411	8	+ 25	2.9436 (1½)			
38—41	1887, Febr. 25	r	2 25	+ 0.5861	8	— 41	+ 0.5820 (1½)	+ 0.5855	28	6
	April 21	l	8 50	0.5927	5	— 51	0.5876			
	— 22	l	7 59	0.5973	5	— 56	0.5917			
	Oct. 28	r	18 20	0.5818	5	— 7	0.5811			
	Novbr. 13	r	20 50	0.5873	5	— 7	0.5866			
38—42	1887, Febr. 8	r	3 40	+ 3.8779	6	+ 13	+ 3.8792	+ 3.8790	11	2
	— 8	l	5 17	3.8769	5	+ 18	3.8787			
38—44	1887, Febr. 28	r	7 34	+ 8.6684	6	+ 50	+ 8.6734	+ 8.6800	25	5
	April 21	l	8 57	8.6786	6	+ 109	8.6895			
	— 22	l	8 19	8.6737	8	+ 70	8.6807 (1½)			
	Novbr. 13	r	20 45	8.6755	5	+ 5	8.6760			
38—45	1887, Febr. 28	r	2 56	— 1.6209	5	— 46	— 1.6255	— 1.6281	23	5
	April 21	l	9 5	1.6209	7	— 87	1.6296			
	— 22	l	8 4	1.6197	6	— 76	1.6273			
	Oct. 28	r	18 12	1.6300	5	+ 1	1.6299			
38—52	1887, Oct. 28	r	17 48	— 9.9690	5	— 50	— 9.9740	— 9.9621	24	5
	Novbr. 13	r	21 14	9.9482	5	— 32	9.9514			
	— 16	r	19 27	9.9624	5	— 35	9.9659			
	— 16	l	21 26	9.9491	4	— 32	9.9523			
	— 17	l	19 14	9.9632	5	— 37	9.9669			
38—75	1887, Febr. 8	r	3 25	+ 5.5611	6	+ 43	+ 5.5654	+ 5.5674	13	3
	— 8	l	5 5	5.5637	7	+ 57	5.5694			
38—76	1887, Febr. 8	r	3 30	+ 3.5866	5	+ 33	+ 3.5899	+ 3.5912	10	2
	— 8	l	5 11	3.5879	5	+ 45	3.5924			
38—77	1887, Febr. 8	r	3 35	+ 1.8529	6	+ 23	+ 1.8552	+ 1.8556	11	2
	— 8	l	5 22	1.8533	5	+ 27	1.8560			
38^a—38^b	1887, Novbr. 16	r	20 27	— 1.3034	5	— 16	— 1.3050	— 1.3067	9	2
	— 28	l	21 45	1.3068	4	— 17	1.3085			

Beob. Differenz	Datum	Lage der Schraube	Stunden-winkel	$\Delta\delta$ app.	Anzahl der Einstellgn.	Summe der Correc-tionen	$\Delta\delta$ 1890.0	Mittel	Summe der Einstellgn.	Gewicht
			h m	rev			rev	rev		
39—1	1888, Oct. 16	*r*	18 34	— 2.9569	5	— 6	— 2.9575	— 2.9642	11	2
	— 19	*l*	19 9	2.9703	6	— 6	2.9709			
39—40	1887, März 4	*r*	7 41	— 0.5012	5	— 7	— 0.5019	— 0.5057	10	2
	Oct. 13	*l*	20 21	0.5099	5	+ 4	0.5095			
39—42	1887, März 4	*r*	7 47	+ 0.4501	6	+ 27	+ 0.4528	+ 0.4462	12	2
	Oct. 13	*l*	20 30	0.4382	6	+ 14	0.4396			
39—43	1887, Jan. 28	*l*	5 34	+ 3.2287	5	+ 40	+ 3.2327	+ 3.2253	11	2
	Febr. 5	*r*	2 53	3.2146	6	+ 33	3.2179			
39—44	1887, Oct. 26	*l*	18 50	+ 5.2414	5	+ 36	+ 5.2450	+ 5.2487	11	2
	— 28	*r*	21 57	5.2494	6	+ 30	5.2524			
40—1	1888, Oct. 16	*r*	18 29	— 2.4664	4	— 27	— 2.4691	— 2.4691	9	2
	— 19	*l*	19 2	2.4700	5	+ 9	2.4691			
40—42	1887, März 4	*r*	7 58	+ 0.9472	6	+ 28	+ 0.9500	+ 0.9421	12	2
	Oct. 13	*l*	20 40	0.9342	6	0	0.9342			
40—43	1887, März 4	*r*	7 52	+ 3.7360	6	+ 23	+ 3.7383	+ 3.7292	12	2
	Oct. 13	*l*	20 49	3.7202	6	— 1	3.7201			
40—44	1887, März 4	*r*	8 4	+ 5.7621	5	+ 50	+ 5.7671	+ 5.7463	22	4
	Oct. 13	*l*	21 0	5.7507	5	— 1	5.7506			
	— 23	*l*	19 48	5.7576	1	0	5.7576 (½)			
	— 28	*r*	22 2	5.7224	6	— 2	5.7222			
	Novbr. 13	*r*	19 50	5.7401	5	— 4	5.7397			
41—1	1887, Jan. 26	*r*	4 0	— 0.1095	5	+ 2	— 0.1093	— 0.1054	21	4
	— 27	*l*	4 12	0.1089	5	+ 3	0.1086			
	April 6	*l*	6 39	0.1065	6	+ 10	0.1055			
	Oct. 27	*r*	7 37	0.0974	5	— 7	0.0981			
41—44	1887, Febr. 25	*r*	2 32	+ 8.1007	6	+ 65	+ 8.1072	+ 8.1113	25	5
	April 21	*l*	8 42	8.0802	6	+ 159	8.0961			
	— 29	*l*	8 35	8.0972	8	+ 153	8.1125 (2)			
	Novbr. 16	*r*	18 47	8.1238	5	+ 43	8.1281			
41—45	1887, Jan. 31	*l*	2 47	— 2.2106	6	— 37	— 2.2143	— 2.2187	28	6
	Febr. 1	*r*	3 43	2.2198	10	— 33	2.2231 (2)			
	April 6	*l*	6 43	2.2149	6	— 30	2.2179			
	Oct. 27	*r*	17 39	2.2121	6	— 28	2.2149			
41—46	1887, Jan. 31	*l*	2 59	— 3.5435	5	— 26	— 3.5461	— 3.5447	11	2
	Febr. 1	*r*	3 55	3.5418	6	— 15	3.5433			
41—47	1887, Jan. 31	*l*	3 11	— 4.6486	6	— 20	— 4.6506	— 4.6523	11	2
	Febr. 1	*r*	4 7	4.6529	5	— 11	4.6540			
41—52	1887, Oct. 23	*l*	18 32	— 10.5430	5	— 40	— 10.5470	— 10.5411	25	5
	— 26	*l*	18 4	10.5414	5	— 45	10.5459			
	— 28	*r*	17 32	10.5312	5	— 45	10.5357			
	Novbr. 13	*r*	20 55	10.5396	5	— 2	10.5398			
	— 16	*r*	19 12	10.5342	5	— 27	10.5369			
41—65	1887, Febr. 24	*r*	6 55	+ 6.6942	8	— 37	+ 6.6905 (2)	+ 6.6970	23	5
	April 20	*l*	8 56	6.7139	5	+ 8	6.7147			
	— 21	*l*	8 19	6.6978	5	— 17	6.6961			
	Oct. 28	*r*	19 0	6.6930	5	+ 2	6.6932			
42—1	1888, Oct. 19	*l*	19 20	— 3.4079	5	+ 2	— 3.4077	— 3.4007	10	2
	Novbr. 10	*r*	18 12	3.3903	5	— 33	3.3936			

Beob. Differenz	Datum	Lage der Schraube	Stunden-winkel	Δδ app.	Anzahl der Einstellgn.	Summe der Correctionen	Δδ 1890.0	Mittel	Summe der Einstellgn.	Gewicht
			h m	rev			rev	rev		
42—43	1887, Febr. 8	r	3 50	+ 2.7742	5	— 14	+ 2.7728	+ 2.7799	10	2
	— 8	l	5 32	2.7885	5	— 16	2.7869			
42—44	1887, Oct. 26	l	19 0	+ 4.8057	6	— 3	+ 4.8054	+ 4.8058	12	2
	Novbr. 13	r	19 55	4.8064	6	— 3	4.8061			
42—75	1887, März 19	r	7 43	+ 1.7049	5	+ 25	+ 1.7074	+ 1.6847	11	2
	Oct. 23	l	21 23	1.6714	5	— 3	1.6711			
	— 26	l	18 27	1.6670	1	— 3	1.6667 (½)			
42—76	1887, März 19	r	7 50	— 0.2860	5	+ 4	— 0.2856	— 0.2874	10	2
	Oct. 23	l	21 13	0.2880	5	— 11	0.2891			
42—77	1887, März 19	r	7 58	— 2.0156	5	+ 1	— 2.0155	— 2.0143	11	2
	Oct. 23	l	21 18	2.0126	6	— 5	2.0131			
43—1	1888, Oct. 16	r	18 39	— 6.2181	5	— 40	— 6.2221	— 6.2058	18	4
	— 16	r	18 44	6.1959	5	— 39	6.1998			
	— 19	l	19 15	6.1931	8	— 25	6.1956			
43—44	1887, Jan. 28	l	5 55	+ 2.0199	5	— 2	+ 2.0197	+ 2.0257	11	2
	Febr. 5	r	3 20	2.0321	6	— 4	2.0317			
43—75	1887, Febr. 8	r	3 45	— 1.0802	5	+ 20	— 1.0782	— 1.0867	10	2
	— 8	l	5 27	1.0977	5	+ 26	1.0951			
43—76	1887, Febr. 8	r	3 55	— 3.0718	7	+ 13	— 3.0705	— 3.0776	12	2
	— 8	l	5 38	3.0859	5	+ 11	3.0848			
43—77	1887, Febr. 8	r	4 0	— 4.8116	5	+ 25	— 4.8091	— 4.8095	12	2
	— 8	l	5 44	4.8124	7	+ 25	4.8099			
44—1	1887, Febr. 25	r	2 17	— 8.1971	9	— 51	— 8.2022 (2)	— 8.2039	28	6
	März 4	r	3 2	8.2023	5	— 52	8.2075			
	April 21	l	7 24	8.1871	5	— 96	8.1967			
	— 29	l	8 50	8.1918	9	— 157	8.2075 (2)			
44—83	1887, Febr. 28	r	4 34	+ 7.8077	5	— 12	+ 7.8065	+ 7.8101	12	2
	April 22	l	8 55	7.8062	7	+ 75	7.8137			
44—88	1887, März 4	r	4 50	+ 8.9673	5	+ 16	+ 8.9689	+ 8.9692	10	2
	Novbr. 28	l	20 40	8.9670	5	+ 24	8.9694			
45—1	1887, Jan. 31	l	2 53	+ 2.1085	6	+ 43	+ 2.1128	+ 2.1099	29	6
	Febr. 1	r	3 49	2.1105	5	+ 42	2.1147			
	April 6	l	6 50	2.0977	7	+ 60	2.1037			
	— 20	l	7 45	2.1025	5	+ 68	2.1093			
	Oct. 13	l	19 46	2.0919	1	+ 23	2.0942 (½)			
	— 27	r	17 44	2.1144	5	+ 26	2.1170			
45—46	1887, Jan. 31	l	3 45	— 1.3445	6	— 24	— 1.3469	— 1.3300	33	7
	Febr. 1	r	4 53	1.3173	5	— 17	1.3190			
	— 4	r	2 50	1.3176	5	— 17	1.3193			
	— 11	l	4 40	1.3213	5	+ 4	1.3209			
	— 11	l	5 55	1.3368	6	— 25	1.3393			
	Oct. 28	r	20 2	1.3327	6	— 16	1.3343			
45—47	1887, Jan. 31	l	3 50	— 2.4571	6	— 19	— 2.4590	— 2.4531	11	2
	Febr. 1	r	4 49	2.4461	5	— 10	2.4471			
45—48	1887, Jan. 31	l	3 40	— 2.8883	5	— 8	— 2.8891	— 2.8844	10	2
	Febr. 1	r	4 37	2.8790	5	— 7	2.8797			
45—49	1887, Jan. 31	l	3 24	— 0.4638	6	— 21	— 0.4659	— 0.4658	12	2
	Febr. 1	r	4 19	0.4648	6	— 9	0.4657			

Beob. Differenz	Datum	Lage der Schraube	Stunden-winkel	$\Delta\delta$ app.	Anzahl der Einstellgn.	Summe der Correctionen	$\Delta\delta$ 1890.0	Mittel	Summe der Einstellgn.	Gewicht
			h m	rev			rev	rev		
45—50	1887, Jan. 31	*l*	3 34	— 1.4450	8	— 29	— 1.4479	— 1.4445	14	3
	Febr. 1	*r*	4 31	1.4393	6	— 18	1.4411			
45—52	1887, Jan. 31	*l*	4 0	— 8.3373	6	— 38	— 8.3411	— 8.3361	39	8
	Febr. 1	*r*	5 1	8.3299	5	— 33	8.3332			
	April 21	*l*	8 34	8.3262	5	— 121	8.3383			
	Oct. 28	*r*	17 52	8.3322	5	— 47	8.3369 (2)			
	1888, März 7	*l*	4 10	8.3338	8	— 47	8.3385			
	— 16	*r*	4 48	8.3344	5	19	8.3363			
	Dec. 14	*r*	20 47	8.3237	5	— 22	8.3259			
45—54	1888, Oct. 16	*r*	20 23	— 8.3300	6	— 50	— 8.3350	— 8.3343	11	2
	— 19	*l*	19 47	8.3313	5	— 23	8.3336			
45—65	1887, Febr. 28	*r*	3 6	+ 8.9136	5	— 29	+ 8.9107	+ 8.9112	21	4
	April 20	*l*	8 44	8.9062	5	+ 59	8.9121			
	— 21	*l*	8 27	8.9045	5	+ 43	8.9088			
	Oct. 28	*r*	19 12	8.9116	6	+ 14	8.9130			
45—70	1887, Novbr. 19	*l*	20 25	— 6.8453	5	— 14	— 6.8467	— 6.8453	12	2
	Dec. 2	*r*	22 10	6.8426	7	— 14	6.8440			
46—1	1887, Jan. 31	*l*	3 5	+ 3.4463	5	+ 49	+ 3.4512	+ 3.4526	11	2
	Febr. 1	*r*	4 1	3.4502	6	+ 38	3.4540			
46—47	1887, Jan. 31	*l*	3 55	— 1.1325	6	— 17	— 1.1342	— 1.1184	31	6
	Febr. 1	*r*	4 55	1.1036	5	— 13	1.1049			
	— 4	*r*	2 40	1.1234	5	— 14	1.1248			
	— 11	*l*	4 35	1.1111	5	+ 6	1.1105			
	— 11	*l*	6 5	1.1215	5	— 18	1.1233			
	Oct. 28	*r*	20 7	1.1114	5	— 14	1.1128			
47—1	1887, Jan. 31	*l*	3 16	+ 4.5521	6	+ 43	+ 4.5564	+ 4.5579	11	2
	Febr. 1	*r*	4 13	4.5562	5	+ 32	4.5594			
47—48	1887, März 19	*r*	8 46	— 0.4379	5	— 18	— 0.4397	— 0.4337	10	2
	Oct. 26	*l*	21 24	0.4264	5	— 12	0.4276			
47—49	1887, März 19	*r*	8 34	+ 1.9632	6	+ 14	+ 1.9646	+ 1.9781	16	3
	Oct. 23	*l*	21 48	1.9902	5	+ 5	1.9907			
	— 26	*l*	21 11	1.9788	5	+ 3	1.9791			
47—51	1887, April 5	*r*	6 10	— 4.0457	6	— 15	— 4.0472	— 4.0568	10	2
	Oct. 26	*l*	21 57	4.0643	4	— 20	4.0663			
48—1	1888, Oct. 16	*r*	18 54	+ 4.9939	6	+ 14	+ 4.9953	+ 4.9931	11	2
	— 19	*l*	19 35	4.9895	5	+ 13	4.9908			
48—49	1887, März 19	*r*	8 38	+ 2.3951	4	+ 40	+ 2.3991	+ 2.4008	10	2
	Oct. 26	*l*	21 19	2.4005	6	+ 19	2.4024			
48—50	1887, März 19	*r*	8 24	+ 1.4268	4	+ 26	+ 1.4294	+ 1.4435	9	2
	Oct. 23	*l*	21 30	1.4572	5	+ 4	1.4576			
48—51	1887, Febr. 17	*l*	6 0	— 3.6268	6	+ 16	— 3.6252	— 3.6215	11	2
	April 4	*r*	7 53	3.6171	5	— 7	3.6178			
48—52	1887, Febr. 7	*r*	4 27	— 5.4452	6	— 12	— 5.4464	— 5.4457	16	3
	— 24	*l*	3 45	5.4486	10	+ 32	5.4454 (2)			
48—54	1888, Oct. 16	*r*	20 28	— 5.4593	5	— 36	— 5.4629	— 5.4573	12	2
	— 19	*l*	19 40	5.4514	7	— 3	5.4517			
48—70	1887, Febr. 7	*r*	4 13	— 3.9570	5	— 36	— 3.9606	— 3.9621	11	2
	— 17	*l*	5 54	3.9592	6	— 43	3.9635			

Beob. Differenz	Datum	Lage der Schraube	Stunden-winkel	Δδ app.	Anzahl der Einstellgn.	Summe der Correctionen	Δδ 1890.0	Mittel	Summe der Einstellgn.	Gewicht
			h m	rev			rev	rev		
49—1	1887, Jan. 31	*l*	3 29	+ 2.5742	7	+ 42	+ 2.5784	+ 2.5768	13	3
	Febr. 1	*r*	4 25	2.5720	6	+ 32	2.5752			
49—49ª	1889, Febr. 13	*l*	2 42	+ 1.2310	7	+ 7	+ 1.2317	+ 1.2248	12	2
	— 13	*r*	2 49	1.2153	5	+ 25	1.2178			
49—50	1887, März 19	*r*	8 29	— 0.9958	4	— 17	— 0.9975	— 0.9715	14	3
	Oct. 23	*l*	21 38	0.9456	5	+ 1	0.9455			
	— 28	*r*	20 54	0.9712	5	— 3	0.9715			
49—70	1887, März 19	*r*	8 54	— 6.3669	6	— 147	— 6.3816	— 6.3810	15	3
	Novbr. 19	*l*	20 18	6.3769	9	— 38	6.3807 (2)			
49—95	1887, Oct. 19	*l*	19 51	+ 3.8603	5	+ 6	+ 3.8609	+ 3.8749	17	3
	Novbr. 10	*r*	18 27	3.8873	6	+ 4	3.8877			
	— 13	*l*	19 18	3.8760	6	+ 1	3.8761			
51—52	1887, Jan. 31	*l*	4 18	— 1.8459	5	+ 8	— 1.8451	— 1.8311	10	2
	Febr. 1	*r*	5 19	1.8183	5	+ 12	1.8171			
51—53	1887, April 5	*r*	6 1	— 2.2420	6	— 21	— 2.2441	— 2.2468	12	2
	Oct. 26	*l*	21 32	2.2472	6	— 22	2.2494			
51—54	1887, April 4	*r*	7 33	— 1.8437	7	— 9	— 1.8446	— 1.8340	14	3
	Oct. 26	*l*	21 45	1.8241	7	+ 7	1.8234			
51—59	1887, Oct. 26	*l*	18 42	— 2.8753	6	+ 4	— 2.8749	— 2.8770	11	2
	— 28	*r*	19 57	2.8796	5	+ 4	2.8792			
52—1	1887, Oct. 13	*l*	20 5	+ 10.4337	5	+ 50	+ 10.4387	+ 10.4362	27	5
	— 23	*l*	18 27	10.4297	6	+ 53	10.4350			
	— 28	*r*	17 38	10.4308	5	+ 55	10.4363			
	Novbr. 13	*r*	21 0	10.4284	5	+ 11	10.4295			
	— 16	*r*	19 17	10.4374	6	+ 39	10.4413			
52—53	1887, Jan. 31	*l*	4 11	— 0.3974	6	— 2	— 0.3976	— 0.4018	11	2
	Febr. 1	*r*	5 13	0.4048	5	— 12	0.4060			
52—55	1887, Jan. 31	*l*	4 32	— 3.2413	5	— 18	— 3.2431	— 3.2421	10	2
	Febr. 1	*r*	5 31	3.2386	5	— 24	3.2410			
52—55ª	1887, Oct. 26	*l*	22 0	— 2.7754	5	+ 9	— 2.7745	— 2.7740	10	2
	— 28	*r*	20 50	2.7740	5	+ 6	2.7734			
52—56	1887, Jan. 31	*l*	4 50	— 4.1369	5	— 31	— 4.1400	— 4.1438	23	5
	Febr. 4	*r*	2 45	4.1372	5	— 27	4.1399			
	April 4	*r*	8 33	4.1437	6	— 71	4.1508			
	Oct. 26	*l*	20 7	4.1416	7	— 27	4.1443			
52—57	1887, Jan. 8	*r*	2 47	— 4.7001	6	+ 15	— 4.6986	— 4.6970	74	15
	— 22	*r*	2 56	4.7110	5	— 21	4.7131			
	— 22	*r*	5 12	4.6995	5	+ 15	4.6980			
	— 25	*l*	3 37	4.6985	6	+ 25	4.6960			
	— 31	*l*	5 7	4.6997	5	+ 24	4.6973			
	Febr. 1	*r*	5 49	4.6946	5	+ 14	4.6932			
	— 17	*l*	7 24	4.6997	5	+ 7	4.6990			
	1888, März 8	*l*	5 9	4.7001	5	+ 31	4.6970			
	— 16	*r*	4 53	4.7023	6	+ 9	4.7014			
	Novbr. 13	*l*	19 58	4.6807	5	+ 13	4.6794			
	— 14	*r*	20 13	4.7005	6	— 18	4.7023			
	— 26	*r*	19 50	4.6936	5	— 8	4.6944			
	— 27	*l*	20 3	4.6943	5	+ 13	4.6930			
	Dec. 14	*r*	20 51	4.6945	5	— 14	4.6959			
52—58	1887, Jan. 31	*l*	5 15	— 4.8123	5	+ 20	— 4.8103	— 4.8233	10	2
	Febr. 1	*r*	5 55	4.8374	5	+ 12	4.8362			

Beob. Differenz	Datum	Lage der Schraube	Stunden-winkel	Δδ app.	Anzahl der Einstellgn.	Summe der Correctionen	Δδ 1890.0	Mittel	Summe der Einstellgn.	Gewicht
			h m	rev			rev	rev		
52—59	1887, Jan. 31	l	5 30	— 1.0495	5	+ 9	— 1.0486	— 1.0398	10	2
	Febr. 4	r	3 0	1.0322	5	+ 12	1.0310			
52—60	1887, Jan. 31	l	5 35	+ 0.4789	5	+ 30	+ 0.4819	+ 0.4817	10	2
	Febr. 4	r	3 5	0.4796	5	+ 19	0.4815			
52—61	1887, Febr. 4	r	2 55	— 2.9616	5	— 17	— 2.9633	— 2.9689	21	4
	— 11	l	4 46	2.9661	5	— 26	2.9687			
	— 11	l	4 57	2.9711	5	— 20	2.9731			
	April 4	r	8 51	2.9647	6	— 57	2.9704			
52—70	1887, Febr. 7	r	4 5	+ 1.4874	7	— 33	+ 1.4841	+ 1.4849	13	3
	— 17	l	5 47	1.4903	6	— 46	1.4857			
52—96	1887, Oct. 26	l	18 34	— 6.0367	6	— 26	— 6.0393	— 6.0342	12	2
	— 28	r	19 46	6.0271	6	— 19	6.0290			
52—97	1889, Febr. 13	r	1 42	— 6.1229	5	— 17	— 6.1246	— 6.1144	10	2
	— 13	l	2 21	6.1021	5	— 21	6.1042			
53—54	1887, Jan. 31	l	4 25	+ 0.4089	6	— 9	+ 0.4080	+ 0.4113	11	2
	Febr. 1	r	5 25	0.4145	5	+ 1	0.4146			
53—57	1887, April 5	r	6 7	— 4.3035	6	— 16	— 4.3051	— 4.3029	17	3
	Oct. 26	l	20 12	4.2934	5	— 26	4.2960			
	1888, März 1	r	4 0	4.3052	6	— 23	4.3075			
53—59	1887, Oct. 26	l	19 11	— 0.6418	9	+ 15	— 0.6403	— 0.6402	15	3
	— 28	r	19 52	0.6410	6	+ 9	0.6401			
54—56	1887, Jan. 31	l	4 59	— 4.1441	5	— 19	— 4.1460	— 4.1545	23	5
	Febr. 1	r	5 43	4.1589	6	— 25	4.1614			
	April 4	r	8 43	4.1438	4	— 61	4.1499			
	Oct. 26	l	20 2	4.1550	8	— 26	4.1576 (2)			
54—57	1889, Febr 13	r	2 3	— 4.6945	5	+ 31	— 4.6914	— 4.7023	11	2
	— 13	l	2 27	4.7135	6	+ 3	4.7132			
54—61	1887, April 5	r	7 1	— 2.9773	5	— 19	— 2.9792	— 2.9762	11	2
	Oct. 26	l	20 55	2.9725	6	— 7	2.9732			
55—55[a]	1887, Oct. 26	l	22 4	+ 0.4808	5	+ 5	+ 0.4813	+ 0.4904	10	2
	— 28	r	20 46	0.4988	5	+ 6	0.4994			
55—56	1887, April 5	r	6 17	— 0.8844	7	— 9	— 0.8853	— 0.8827	12	2
	Oct. 26	l	20 20	0.8806	5	+ 6	0.8800			
55—57	1887, April 5	r	6 24	— 1.4438	6	+ 1	— 1.4437	— 1.4475	11	2
	Oct. 26	l	20 34	1.4510	5	— 4	1.4514			
55—58	1887, April 5	r	6 30	— 1.5673	7	+ 10	— 1.5663	— 1.5713	12	2
	Oct. 26	l	20 39	1.5772	5	+ 8	1.5764			
55—71	1887, April 5	r	7 13	— 8.0014	7	— 29	— 8.0043	— 8.0071	12	2
	Novbr. 17	l	19 39	8.0078	5	— 22	8.0100			
56—61	1887, April 5	r	6 51	+ 1.1734	5	+ 12	+ 1.1746	+ 1.1839	13	3
	Oct. 26	l	20 47	1.1868	8	+ 17	1.1885 (2)			
56—96	1887, Oct. 28	r	20 17	— 1.8991	7	+ 3	— 1.8988	— 1.9009	12	2
	Novbr. 28	l	20 55	1.9036	5	+ 6	1.9030			
56—97	1887, Oct. 28	r	20 42	— 1.9982	5	— 2	— 1.9984	— 1.9911	10	2
	Novbr. 28	l	21 4	1.9836	5	— 2	1.9838			

Beob. Differenz	Datum		Lage der Schraube	Stunden-winkel	$\Delta\delta$ app.	Anzahl der Einstellgn.	Summe der Correctionen	$\Delta\delta$ 1890.0	Mittel	Summe der Einstellgn.	Gewicht
				h m	rev			rev	rev		
56—98	1887, Oct.	28	r	20 22	— 0.7192	5	+ 16	— 0.7176	— 0.7247	10	2
	Novbr.	28	l	21 30	0.7330	5	+ 13	0.7317			
57—58	1887, Jan.	31	l	5 23	— 0.1347	5	— 16	— 0.1363	— 0.1371	9	2
	Febr.	1	r	6 1	0.1365	4	— 14	0.1379			
57—59	1887, Jan.	31	l	6 15	+ 3.6746	7	+ 3	+ 3.6749	+ 3.6703	12	2
	Febr.	4	r	3 50	3.6666	5	— 10	3.6656			
57—60	1887, Jan.	31	l	6 0	+ 5.1753	5	+ 38	+ 5.1791	+ 5.1810	10	2
	Febr.	4	r	3 35	5.1800	5	+ 28	5.1828			
57—71	1887, Jan.	8	r	2 56	— 6.5709	7	— 13	— 6.5722	— 6.5673	92	18
	—	22	r	3 3	6.5649	6	— 2	6.5651			
	—	22	r	5 18	6.5641	5	— 17	6.5658			
	—	25	l	3 44	6.5615	6	— 15	6.5630			
	Febr.	7	r	4 35	6.5610	5	— 4	6.5614			
	—	8	l	5 50	6.5681	6	— 21	6.5702			
	—	11	l	4 29	6.5736	6	— 15	6.5751			
	—	17	l	7 32	6.5602	5	— 48	6.5650			
	1888, März	1	r	4 8	6.5613	6	— 31	6.5644			
	—	8	l	5 15	6.5609	6	+ 8	6.5601			
	—	16	r	4 58	6.5590	5	— 29	6.5619			
	Novbr.	13	l	20 3	6.5564	6	+ 7	6.5557			
	—	14	r	20 19	6.5681	7	— 36	6.5717			
	—	26	r	19 55	6.5838	6	— 21	6.5859			
	—	27	l	20 8	6.5701	5	+ 8	6.5693			
	Dec.	14	r	21 55	6.5673	5	— 32	6.5705			
57—72	1887, Febr.	11	l	4 10	— 4.5489	5	+ 46	— 4.5443	— 4.5406	15	3
	—	24	r	6 0	4.5388	5	+ 33	4.5355			
	Novbr.	13	r	19 5	4.5411	5	— 8	4.5419			
57—80	1887, Febr.	7	r	5 9	— 1.4265	2	+ 9	— 1.4256 (½)	— 1.4215	18	4
	—	8	r	3 20	1.4229	6	+ 9	1.4220			
	—	11	l	4 23	1.4251	5	+ 23	1.4228			
	—	24	l	3 15	1.4203	5	+ 25	1.4178			
57—96	1887, Oct.	28	r	20 12	— 1.3302	6	— 12	— 1.3314	— 1.3315	11	2
	Novbr.	19	l	20 10	1.3293	5	— 24	1.3317			
57—97	1887, Oct.	28	r	20 37	— 1.3930	5	— 13	— 1.3943	— 1.3945	10	2
	Novbr.	28	l	21 25	1.3924	5	— 22	1.3946			
58—78	1887, Novbr.	13	r	19 39	— 5.7035	5	+ 1	— 5.7034	— 5.6995	10	2
	—	28	l	21 14	5.6912	5	— 43	5.6955			
59—60	1887, Jan.	31	l	5 40	+ 1.5110	6	+ 14	+ 1.5124	+ 1.5133	11	2
	Febr.	4	r	3 10	1.5142	5	0	1.5142			
61—70	1887, März	19	r	9 0	+ 4.4514	5	+ 46	+ 4.4560	+ 4.4510	11	2
	Oct.	26	l	21 2	4.4448	6	+ 12	4.4460			
61—98	1887, Oct.	28	r	20 32	— 1.9186	5	+ 4	— 1.9182	— 1.9200	10	2
	Novbr.	28	l	20 48	1.9222	5	+ 4	1.9218			
62—63	1887, Jan.	8	r	1 36	+ 3.7856	5	— 6	+ 3.7850	+ 3.7756	28	6
	Febr.	5	r	4 44	3.7758	8	— 10	3.7748 (2)			
	—	11	l	6 34	3.7718	10	— 9	3.7709 (2)			
	—	12	l	3 50	3.7785	5	— 16	3.7769			
62—64	1887, Febr.	5	r	5 37	— 6.4806	7	— 19	— 6.4825	— 6.4760	12	2
	—	11	l	6 40	6.4677	5	— 17	6.4694			

Beob. Differenz	Datum	Lage der Schraube	Stunden-winkel	Δδ app.	Anzahl der Einstellgn.	Summe der Correctionen	Δδ 1890.0	Mittel	Summe der Einstellgn.	Gewicht
			h m	rev			rev	rev		
62—65	1887, Febr. 5	r	5 44	— 5.3079	6	+ 14	— 5.3065	— 5.3098	12	2
	— 11	l	6 46	5.3147	6	+ 17	5.3130			
62—66	1887, Febr. 5	r	5 50	— 4.5632	7	+ 24	— 4.5608	— 4.5605	12	2
	— 11	l	6 52	4.5629	5	+ 28	4.5601			
62—69	1887, Febr. 7	r	2 45	— 7.1952	5	— 35	— 7.1987	— 7.1960	19	4
	— 12	l	5 19	7.1891	3	— 43	7.1934			
	— 17	l	4 11	7.1915	5	— 41	7.1956			
	April 4	r	8 13	7.1869	6	— 93	7.1962			
62—104	1887, Novbr. 17	l	21 26	+ 2.6308	6	— 11	+ 2.6297	+ 2.6252	12	2
	— 29	r	20 40	2.6209	6	— 3	2.6206			
63—102	1888, Oct. 16	r	19 51	— 0.8521	5	+ 9	— 0.8512	— 0.8511	10	2
	— 19	l	20 46	0.8513	5	+ 3	0.8510			
63—104	1887, Novbr. 17	l	21 21	— 1.1464	5	— 19	— 1.1483	— 1.1434	11	2
	— 29	r	20 46	1.1368	6	— 17	1.1385			
64—65	1887, Febr. 5	r	6 4	+ 1.1543	6	+ 59	+ 1.1602	+ 1.1605	14	3
	— 12	l	4 15	1.1546	8	+ 61	1.1607			
64—66	1887, Febr. 5	r	5 57	+ 1.9008	6	+ 27	+ 1.9035	+ 1.9024	33	7
	— 12	l	4 0	1.8942	9	+ 26	1.8968 (2)			
	— 12	l	4 25	1.8913	6	+ 27	1.8940			
	— 28	r	8 15	1.9090	5	+ 47	1.9137			
	April 4	r	8 23	1.9046	7	+ 51	1.9097			
64—68	1887, Febr. 5	r	6 25	— 4.4295	5	— 20	— 4.4315	— 4.4283	10	2
	— 12	l	4 55	4.4223	5	— 27	4.4250			
64—69	1887, Febr. 7	r	2 37	— 0.7299	7	+ 5	— 0.7294	— 0.7264	12	2
	— 17	l	4 5	0.7231	5	— 3	0.7234			
64—106	1888, Dec. 14	r	21 10	— 0.5501	5	— 19	— 0.5520	— 0.5502	10	2
	— 21	l	22 20	0.5507	5	+ 24	0.5483			
64—107	1888, Dec. 14	r	21 15	— 1.8543	5	+ 2	— 1.8541	— 1.8514	10	2
	— 21	l	22 25	1.8484	5	— 2	1.8486			
65—1	1887, Febr. 24	r	7 10	— 6.8019	7	+ 49	— 6.7970	— 6.7961	26	5
	April 20	l	8 50	6.7993	6	+ 14	6.7979			
	— 21	l	8 11	6.7986	7	+ 40	6.7946			
	Oct. 28	r	19 6	6.7953	6	+ 3	6.7950			
65—66	1887, Febr. 5	r	6 11	+ 0.7498	9	— 24	+ 0.7474 (2)	+ 0.7469	19	4
	— 12	l	4 45	0.7497	5	— 29	0.7468			
	— 24	r	5 40	0.7485	5	— 26	0.7459			
65—67	1887, Novbr. 13	r	20 20	— 0.7357	5	+ 16	— 0.7341	— 0.7343	10	2
	— 17	l	20 41	0.7354	5	+ 10	0.7344			
65—67a	1887, Novbr. 16	r	20 37	— 1.7885	4	+ 12	— 1.7873	— 1.7815	9	2
	— 17	l	20 45	1.7766	5	+ 9	1.7757			
65—68	1887, Febr. 7	r	2 53	— 5.5820	5	— 44	— 5.5864	— 5.5839	12	2
	— 12	l	5 15	5.5754	7	— 60	5.5814			
65—95	1887, Febr. 28	r	8 1	— 5.5102	5	— 48	— 5.5150	— 5.5182	11	2
	Novbr. 17	l	21 30	5.5206	6	— 8	5.5214			
65—99	1888, Oct. 16	r	19 55	+ 1.5567	5	— 15	+ 1.5552	+ 1.5572	10	2
	— 19	l	20 50	1.5573	5	+ 19	1.5592			
65—100	1887, Novbr. 17	l	20 57	+ 5.9046	5	+ 4	+ 5.9050	+ 5.9080	12	2
	Dec. 2	r	22 0	5.9104	7	+ 6	5.9110			

Beob. Differenz	Datum	Lage der Schraube	Stunden-winkel	$\Delta\delta$ app.	Anzahl der Einstellgn.	Summe der Correctionen	$\Delta\delta$ 1890.0	Mittel	Summe der Einstellgn.	Gewicht
			h m	rev			rev	rev		
66—67	1887, Febr. 5	r	6 18	— 1.4881	5	— 9	— 1.4890	— 1.4800	23	5
	— 12	l	4 35	1.4767	5	+ 5	1.4762			
	— 17	l	3 46	1.4844	5	+ 31	1.4813			
	— 28	r	8 9	1.4750	8	— 18	1.4768 (2)			
66—67ª	1887, Febr. 17	l	3 52	— 2.5486	5	+ 29	— 2.5457	— 2.5457	10	2
	— 28	r	7 52	2.5443	5	— 14	2.5457			
66—68	1887, Febr. 7	r	3 1	— 6.3215	6	— 56	— 6.3271	— 6.3285	13	3
	— 12	l	5 5	6.3231	7	— 68	6.3299			
66—99	1887, Novbr. 17	l	20 53	+ 0.8072	4	— 10	+ 0.8062	+ 0.8033	9	2
	Dec. 2	r	21 50	0.8017	5	— 13	0.8004			
66—100	1887, Novbr. 17	l	20 49	+ 5.1490	5	+ 29	+ 5.1519	+ 5.1674	17	3
	— 29	r	20 55	5.1803	6	+ 27	5.1830			
	Dec. 2	r	21 55	5.1645	6	+ 27	5.1672			
67—67ª	1888, Oct. 16	r	19 59	— 1.0406	6	— 7	— 1.0413	— 1.0497	11	2
	— 19	l	20 56	1.0571	5	— 9	1.0580			
68—69	1887, Febr. 7	r	2 30	— 3.7118	5	+ 16	— 3.7102	— 3.7030	10	2
	— 17	l	3 59	3.6974	5	+ 16	3.6958			
68—70	1887, Febr. 7	r	4 21	— 10.1786	6	— 5	— 10.1791	— 10.1806	12	2
	— 17	l	5 40	10.1815	6	— 6	10.1821			
71—72	1887, Febr. 7	r	4 44	+ 2.0065	6	+ 49	+ 2.0114	+ 2.0192	13	3
	— 8	l	5 55	2.0213	2	+ 53	2.0266 ($\frac{1}{2}$)			
	— 11	l	3 12	2.0181	5	+ 52	2.0233			
71—73	1887, Febr. 7	r	5 1	— 1.6474	5	+ 7	— 1.6467	— 1.6542	16	3
	— 11	l	3 24	1.6585	6	— 2	1.6587			
	— 13	r	19 10	1.6585	5	+ 12	1.6573			
71—74	1887, Jan. 8	r	3 10	— 5.0079	6	+ 32	— 5.0047	— 4.9902	76	15
	— 22	r	3 12	4.9901	5	+ 42	4.9859			
	— 25	l	3 54	4.9980	5	+ 43	4.9937			
	Febr. 7	r	4 53	4.9974	5	+ 47	4.9927			
	— 11	l	3 17	4.9959	5	+ 52	4.9907			
	— 17	l	7 39	4.9880	6	+ 28	4.9852			
	1888, März 1	r	4 13	4.9938	7	+ 45	4.9893			
	— 8	l	5 22	4.9864	6	+ 46	4.9818			
	— 16	r	5 7	4.9905	5	+ 50	4.9855			
	Novbr. 13	l	20 10	4.9871	5	— 18	4.9889			
	— 14	r	20 25	4.9908	6	— 19	4.9927			
	— 26	r	20 0	4.9938	5	— 9	4.9947			
	— 27	l	20 14	4.9849	5	— 15	4.9864			
	Dec. 14	r	21 0	4.9901	5	— 10	4.9911			
71—78	1887, Febr. 11	l	4 3	+ 0.7417	5	— 25	+ 0.7392	+ 0.7451	10	2
	Novbr. 13	r	19 15	0.7521	5	— 12	0.7509			
71—79	1887, Febr. 11	l	3 30	— 5.1683	5	— 40	— 5.1723	— 5.1680	10	2
	Novbr. 13	r	19 21	5.1607	5	— 29	5.1636			
71—80	1887, Febr. 11	l	3 43	+ 5.1426	6	+ 52	+ 5.1478	+ 5.1462	11	2
	— 24	r	6 10	5.1387	5	+ 58	5.1445			
72—74	1887, Febr. 11	l	3 36	— 7.0027	5	0	— 7.0027	— 7.0025	10	2
	— 24	r	6 18	7.0013	5	— 9	7.0022			
72—80	1887, Febr. 11	l	4 17	+ 3.1171	5	— 2	+ 3.1169	+ 3.1176	13	3
	— 24	r	6 25	3.1176	8	+ 3	3.1179 (2)			

Beob. Differenz	Datum	Lage der Schraube	Stunden-winkel	$\Delta\delta$ app.	Anzahl der Einstellgn.	Summe der Correctionen	$\Delta\delta$ 1890.0	Mittel	Summe der Einstellgn.	Gewicht
			h m	rev			rev	rev		
73—78	1887, Febr. 11	*l*	3 56	+ 2.4008	6	+ 22	+ 2.4030	+ 2.4045	12	2
	Novbr. 13	*r*	19 33	2.4049	6	+ 11	2.4060			
73—79	1887, Febr. 11	*l*	3 50	— 3.5133	5	— 18	— 3.5151	— 3.5115	10	2
	Novbr. 13	*r*	19 27	3.5075	5	— 4	3.5079			
75—1	1888, Oct. 16	*r*	18 49	— 5.1030	6	— 24	— 5.1054	— 5.1100	11	2
	— 19	*l*	19 25	5.1127	5	— 19	5.1146			
78—79	1887, Novbr. 13	*r*	19 45	— 5.8955	5	— 7	— 5.8962	— 5.8963	11	2
	— 28	*l*	21 20	5.8957	6	— 7	5.8964			
81—84	1887, März 4	*r*	3 39	+ 3.5005	5	+ 11	+ 3.5016	+ 3.5021	11	2
	Novbr. 26	*l*	21 56	3.5020	6	+ 5	3.5025			
82—84	1887, März 4	*r*	3 44	+ 3.4121	5	+ 11	+ 3.4132	+ 3.4168	11	2
	Novbr. 26	*l*	21 39	3.4193	6	+ 10	3.4203			
83—84	1887, März 4	*r*	3 40	+ 3.6589	5	— 28	+ 3.6561	+ 3.6575	11	2
	Novbr. 26	*l*	21 46	3.6600	6	— 12	3.6588			
83—85	1887, März 4	*r*	3 54	+ 2.8715	6	+ 6	+ 2.8721	+ 2.8707	13	3
	Novbr. 26	*l*	21 12	2.8694	7	— 1	2.8693			
83—86	1887, März 4	*r*	3 58	+ 1.6695	6	+ 1	+ 1.6696	+ 1.6644	11	2
	Novbr. 26	*l*	21 17	1.6594	5	— 3	1.6591			
83—87	1887, Febr. 28	*r*	4 19	+ 1.9905	5	+ 52	+ 1.9957	+ 1.9976	10	2
	Novbr. 26	*l*	21 4	1.9982	5	+ 13	1.9995			
83—88	1887, Febr. 28	*r*	4 17	+ 1.1595	6	+ 51	+ 1.1646	+ 1.1716	11	2
	Novbr. 26	*l*	21 0	1.1760	5	+ 26	1.1786			
83—89	1887, Febr. 28	*r*	4 22	+ 2.9092	5	+ 32	+ 2.9124	+ 2.9116	10	2
	Novbr. 26	*l*	21 22	2.9102	5	+ 6	2.9108			
83—90	1887, Febr. 28	*r*	6 21	+ 0.3558	6	+ 45	+ 0.3603	+ 0.3627	11	2
	Novbr. 26	*l*	21 27	0.3628	5	+ 23	0.3651			
83—91	1887, Febr. 28	*r*	4 29	+ 4.3286	5	+ 100	+ 4.3386	+ 4.3378	10	2
	Novbr. 26	*l*	21 7	4.3328	5	+ 42	4.3370			
83—92	1887, Febr. 28	*r*	7 15	+ 6.4936	5	+ 65	+ 6.5001	+ 6.4970	10	2
	Novbr. 26	*l*	22 6	6.4910	5	+ 28	6.4938			
83—93	1887, Febr. 28	*r*	7 17	+ 2.1610	5	+ 109	+ 2.1719	+ 2.1650	10	2
	Novbr. 26	*l*	21 32	2.1548	5	+ 33	2.1581			
84—85	1887, März 4	*r*	3 47	— 0.7835	5	+ 52	— 0.7783	— 0.7838	11	2
	Novbr. 26	*l*	22 1	0.7916	6	+ 23	0.7893			
84—92	1887, März 4	*r*	3 49	+ 2.8351	5	+ 49	+ 2.8400	+ 2.8425	10	2
	Novbr. 26	*l*	21 51	2.8444	5	+ 5	2.8449			
85—86	1887, März 4	*r*	4 2	— 1.2082	4	— 18	— 1.2100	— 1.2108	9	2
	Novbr. 26	*l*	22 12	1.2098	5	— 17	1.2115			
85—88	1887, März 4	*r*	4 12	— 1.7030	4	+ 33	— 1.6997	— 1.6987	10	2
	Novbr. 26	*l*	22 16	1.6995	6	+ 17	1.6978			

Beob. Differenz	Datum	Lage der Schraube	Stunden-winkel	$\varDelta\delta$ app.	Anzahl der Einstellgn.	Summe der Correc-tionen	$\varDelta\delta$ 1890.0	Mittel	Summe der Einstellgn.	Gewicht
			h m	rev			rev	rev		
85—92	1887, März 4	*r*	4 7	+ 3.6231	5	+ 11	+ 3.6242	+ 3.6232	10	2
	Novbr. 26	*l*	22 41	3.6218	5	+ 4	3.6222			
85—105	1888, März 1	*r*	4 41	+ 6.7778	6	— 2	+ 6.7776	+ 6.7767	10	2
	— 8	*l*	4 52	6.7781	4	— 23	6.7758			
87—88	1887, März 4	*r*	4 30	— 0.8229	5	+ 4	— 0.8225	— 0.8154	10	2
	Novbr. 28	*l*	20 30	0.8092	5	+ 10	0.8082			
87—91	1887, März 4	*r*	4 33	+ 2.3333	4	+ 47	+ 2.3380	+ 2.3387	10	2
	Novbr. 28	*l*	22 9	2.3365	6	+ 29	2.3394			
87—92	1887, März 4	*r*	4 45	+ 4.4960	6	— 13	+ 4.4947	+ 4.4950	11	2
	Novbr. 26	*l*	22 36	4.4950	5	+ 4	4.4954			
87—93	1887, März 4	*r*	4 37	+ 0.1665	4	+ 50	+ 0.1715	+ 0.1665	10	2
	Novbr. 28	*l*	22 15	0.1595	6	+ 21	0.1616			
88—89	1887, März 4	*r*	4 27	+ 1.7361	5	— 11	+ 1.7350	+ 1.7360	10	2
	Novbr. 28	*l*	22 2	1.7384	5	— 14	1.7370			
88—90	1887, März 4	*r*	4 24	— 0.8230	4	+ 14	— 0.8216	— 0.8161	9	2
	Novbr. 28	*l*	20 19	0.8118	5	+ 12	0 8106			
88—92	1887, März 4	*r*	4 16	+ 5.3163	5	+ 25	+ 5.3188	+ 5.3202	10	2
	Novbr. 26	*l*	22 26	5.3190	5	+ 25	5.3215			
89—92	1887, März 4	*r*	4 20	+ 3.5747	4	+ 3	+ 3.5750	+ 3.5824	9	2
	Novbr. 26	*l*	22 31	3.5902	5	— 3	3.5899			
91—93	1887, März 4	*r*	4 41	— 2.1795	4	— 15	— 2.1810	— 2.1804	10	2
	Novbr. 28	*l*	22 22	2.1780	6	— 19	2.1799			
99—100	1888, Oct. 16	*r*	20 4	+ 4.3573	5	+ 12	+ 4.3585	+ 4.3575	10	2
	— 19	*l*	21 3	4.3535	5	+ 29	4.3564			
100—101	1887, Novbr. 17	*l*	21 2	+ 1.8574	4	— 7	+ 1.8567	+ 1.8575	9	2
	Dec. 2	*r*	22 5	1.8591	5	— 9	1.8582			
100—102	1887, Novbr. 17	*l*	21 7	+ 2.3258	5	+ 16	+ 2.3274	+ 2.3274	9	2
	1888, März 16	*r*	5 12	2.3252	4	+ 23	2.3275			
101—102	1887, Novbr. 17	*l*	21 12	+ 0.4600	5	— 1	+ 0.4599	+ 0.4492	9	2
	1888, März 16	*r*	5 17	0.4371	4	+ 13	0.4384			
101—103	1888, Oct. 16	*r*	20 11	+ 1.7691	6	— 16	+ 1.7675	+ 1.7704	14	3
	— 19	*l*	21 10	1.7717	8	+ 1	1.7718 (2)			
102—103	1887, Novbr. 17	*l*	21 17	+ 1.2994	5	+ 21	+ 1.3015	+ 1.3068	11	2
	1888, März 16	*r*	5 22	1.3111	6	+ 10	1.3121			

In den vorstehenden beiden Auszügen aus den Beobachtungsheften sind alle beobachteten Differenzen nur einmal aufgeführt, weshalb es schwer ist, über die Verbindungen der einzelnen Sterne unter einander einen Ueberblick zu gewinnen. Diesem Uebelstand begegnen die nachfolgenden Zusammenstellungen.

Uebersicht der Verbindungen in AR.

Es ist in Rectascension verbunden

1 mit 2, 3, 4, 5, 6, 7, 8, 9, 10, 10a, 11, 12, 12a, 13, 14, 14a, 14b, 15, 15a, 16, 17, 18, 19, 20, 21, 22, 22a, 23, 24, 24a, 25, 26, 27, 28, 29, 30, 32, 32a, 32c, 37, 38, 38a, 38b, 39, 40, 41, 42, 43, 44, 45, 46, 47, 48, 49, 49a, 50, 52, 62, 63, 64, 65, 66, 68, 69, 70, 75, 95
2 „ 1
3 „ 1
4 „ 1, 38
5 „ 1
6 „ 1
7 „ 1
8 „ 1, 38, 41
9 „ 1, 41
10 „ 1, 14, 41
10a „ 1, 14, 41
11 „ 1, 41
12 „ 1, 41
12a „ 1, 41
13 „ 1, 14, 41
14 „ 1, 10, 10a, 13, 14a, 14b, 22, 22a, 23, 38, 41
14a „ 1, 14, 41
14b „ 1, 14, 41
14c „ —
15 „ 1, 41
15a „ 1, 41
16 „ 1, 41
17 „ 1, 41
18 „ 1, 41
19 „ 1, 19a, 19b, 38, 41, 52, 57
19a „ 19, 19b
19b „ 19, 19a
20 „ 1, 38
21 „ 1, 38
22 „ 1, 14, 41
22a „ 1, 14, 41
23 „ 1, 14, 41
24 „ 1, 41
24a „ 1, 41
25 „ 1, 27, 30, 41
26 „ 1, 27, 30
27 „ 1, 25, 26, 30, 31, 35, 41, 45, 62, 63, 64, 65, 66, 69
28 „ 1, 41, 52, 57
29 „ 1, 41, 52, 57
30 „ 1, 25, 26, 27, 31, 32, 32a, 32b, 32c, 34, 35, 42, 43, 44, 65, 83
31 mit 27, 30
32 „ 1, 30
32a „ 1, 30
32b „ 30
32c „ 1, 30
33 „ 34, 35, 83
34 „ 30, 33, 36, 62, 65, 81, 82, 83, 84, 85, 91, 92, 94, 105
35 „ 27, 30, 33, 36, 62, 65, 83
36 „ 34, 35
37 „ 1, 38
38 „ 1, 4, 8, 14, 19, 20, 21, 37, 38a, 38b, 39, 40, 41, 42, 43, 75
38a „ 1, 38
38b „ 1, 38
39 „ 1, 38, 40
40 „ 1, 38, 39, 44
41 „ 1, 8, 9, 10, 10a, 11, 12, 12a, 13, 14, 14a, 14b, 15, 15a, 16, 17, 18, 19, 22, 22a, 23, 24, 24a, 25, 27, 28, 29, 38, 45, 46, 47, 48, 49, 49a, 50, 52, 75
42 „ 1, 30, 38, 43, 44
43 „ 1, 30, 38, 42, 44, 75
44 „ 1, 30, 40, 42, 43, 83
45 „ 1, 27, 41, 46, 47, 48, 49, 49a, 50, 52, 54, 57
46 „ 1, 41, 45
47 „ 1, 41, 45
48 „ 1, 41, 45, 50, 52, 54
49 „ 1, 41, 45, 49a
49a „ 1, 41, 45, 49
50 „ 1, 41, 45, 48
51 „ 52, 53
52 „ 1, 19, 28, 29, 41, 45, 48, 51, 53, 54, 55, 55a, 56, 57, 58, 59, 60, 61, 70, 71, 72, 74, 80, 96, 97, 98
53 „ 51, 52, 54, 55, 55a, 56, 57, 61, 96
54 „ 45, 48, 52, 53, 56, 61, 96, 98, 98a
55 „ 52, 53, 56
55a „ 52, 53, 56
56 „ 52, 53, 54, 55, 55a, 61, 96, 97, 98
57 „ 19, 28, 29, 45, 52, 53, 58, 59, 60, 72, 74, 80
58 „ 52, 57, 71
59 „ 52, 57
60 „ 52, 57
61 „ 52, 53, 54, 56
62 „ 1, 27, 34, 35, 63, 64, 65, 66, 67, 68, 69, 99, 100, 101, 102, 103, 104
63 mit 1, 27, 62
64 „ 1, 27, 62, 65, 68, 106, 107
65 „ 1, 27, 30, 34, 35, 62, 64, 66, 67, 67a, 68, 69, 95, 99
66 „ 1, 27, 62, 65, 67, 67a, 99
67 „ 62, 65, 66
67a „ 65, 66
68 „ 1, 62, 64, 65, 69
69 „ 1, 27, 62, 65, 68
70 „ 1, 52
71 „ 52, 57, 72, 73, 74, 78, 79, 80
72 „ 52, 57, 71
73 „ 71
74 „ 52, 57, 71
75 „ 1, 38, 41, 43, 76, 77
76 „ 75
77 „ 75
78 „ 71
79 „ 71
80 „ 52, 57, 71
81 „ 34, 83
82 „ 34, 83
83 „ 30, 33, 34, 35, 44, 81, 82, 83, 85, 88, 90, 91, 92, 105
84 „ 34, 83
85 „ 34, 83, 86, 89
86 „ 85
87 „ 88
88 „ 83, 87, 89, 90
89 „ 85, 88
90 „ 83, 88
91 „ 34, 83, 93
92 „ 34, 83
93 „ 91
94 „ 34
95 „ 1, 65
96 „ 52, 53, 54, 56
97 „ 52, 56
98 „ 52, 54, 56
98a „ 54
99 „ 62, 65, 66
100 „ 62
101 „ 62
102 „ 62
103 „ 62
104 „ 62
105 „ 34, 83
106 „ 64
107 „ 64

Uebersicht der Verbindungen in Declination.

In Declination ist verbunden:

1 mit 2, 3, 4, 5, 6, 7, 8, 9, 10, 10^a, 11, 12, 12^a, 13, 14, 14^a, 15, 16, 17, 18, 19, 20, 21, 22, 22^a, 23, 24, 25, 26, 27, 28, 29, 30, 37, 38, 39, 40, 41, 42, 43, 44, 45, 46, 47, 48, 49, 52, 65, 75
2 „ 1, 4, 5, 6, 7
3 „ 1, 5, 6
4 „ 1, 2, 5, 6, 7
5 „ 1, 2, 3, 4, 6, 7, 8
6 „ 1, 2, 3, 4, 5, 7, 8, 19, 20, 21, 25, 27, 30, 37, 38, 39, 40, 41, 42, 43, 44, 45, 52
7 „ 1, 2, 4, 5, 6
8 „ 1, 5, 6
9 „ 1, 11, 19, 41
10 „ 1, 10^a, 11, 12, 41
10^a „ 1, 10, 13, 41
11 „ 1, 9, 10, 18, 19, 20, 21, 41
12 „ 1, 10, 12^a, 13, 14, 15, 19, 41
12^a „ 1, 12, 41
13 „ 1, 10^a, 12 14, 41
14 „ 1, 12, 13, 14^a, 15, 19, 41, 45
14^a „ 1, 14, 14^b, 41,
14^b „ 14^a, 41
14^c „ 41
15 „ 1, 12, 14, 15^a, 16, 17, 19, 41
15^a „ 15, 41
16 „ 1, 15, 18, 19, 28, 41
17 „ 1, 15, 18, 19, 29, 41
18 „ 1, 11, 16, 17, 19, 41
19 „ 1, 6, 9, 11, 12, 14, 15, 16, 17, 18, 19^a, 19^b, 20, 21, 28, 29, 37, 38, 38^a, 38^b, 41, 45, 52, 53, 57, 60
19^a „ 19, 19^b
19^b „ 19, 19^a, 38^b
20 „ 1, 6, 11, 19, 21, 37, 38, 41
21 „ 1, 6, 11, 19, 20, 37, 38, 41
22 „ 1, 41
22^a „ 1, 41
23 „ 1, 27, 41
24 „ 1, 25, 27, 41
24^a „ 25, 27, 41
25 „ 1, 6, 24, 24^a, 26, 27, 30, 41
26 „ 1, 25, 27, 30, 41
27 „ 1, 6, 23, 24, 24^a, 25, 26, 30, 31, 32, 32^a, 32^b, 32^c, 35, 36, 41, 44, 45, 65, 68
28 „ 1, 16, 19, 29, 41, 45, 52, 59
29 „ 1, 17, 19, 28, 41, 45, 52, 60
30 „ 1, 6, 25, 26, 27, 31, 32, 32^a, 32^b, 33, 34, 35, 36, 41, 44, 65, 83

31 mit 27, 30, 35, 36
32 „ 27, 30
32^a „ 27, 30
32^b „ 27, 30
32^c „ 27
33 „ 30, 34, 35
34 „ 30, 33, 35, 62, 63, 81, 82, 83, 84, 85, 86, 87, 88, 89, 90, 91, 94, 105
35 „ 27, 30, 31, 33, 34, 36, 44, 62, 63, 65, 66, 81, 82, 83, 84, 85, 86, 87, 88, 91, 94, 103
36 „ 27, 30, 31, 35, 65, 66
37 „ 1, 6, 19, 20, 21, 38, 39, 40
38 „ 1, 6, 19, 20, 21, 37, 38^a, 38^b, 39, 40, 41, 42, 44, 45, 52, 75, 76, 77
38^a „ 19, 38, 38^b
38^b „ 19, 19^b, 38, 38^a
39 „ 1, 6, 37, 38, 40, 42, 43, 44
40 „ 1, 6, 37, 38, 39, 42, 43, 44
41 „ 1, 6, 9, 10, 10^a, 11, 12, 12^a, 13, 14, 14^a, 14^b, 14^c, 15, 15^a, 16, 17, 18, 19, 20, 21, 22, 22^a, 23, 24, 24^a, 25, 26, 27, 28, 29, 30, 38, 44, 45, 46, 47, 52, 65
42 „ 1, 6, 38, 39, 40, 43, 44, 75, 76, 77,
43 „ 1, 6, 39, 40, 42, 44, 75, 76, 77,
44 „ 1, 6, 27, 30, 35, 38, 39, 40, 41, 42, 43, 83, 88
45 „ 1, 6, 14, 19, 27, 28, 29, 38, 41, 46, 47, 48, 49, 50 52, 54, 65, 70
46 „ 1, 41, 45, 47
47 „ 1, 41, 45, 46, 48, 49, 51
48 „ 1, 45, 47, 49, 50, 51, 52, 54, 70
49 „ 1, 45, 47, 48, 49^a, 50, 70, 95
49^a „ 49
50 „ 45, 48, 49
51 „ 47, 48, 52, 53, 54, 59
52 „ 1, 6, 19, 28, 29, 38, 41, 45, 48, 51, 53, 55, 55^a, 56, 57, 58, 59, 60, 61, 70, 96, 97
53 „ 19, 51, 52, 54, 57, 59
54 „ 45, 48, 51, 53, 56, 57, 61
55 „ 52, 55^a, 56, 57, 58, 71
55^a „ 52, 55
56 „ 52, 54, 55, 61, 96, 97, 98
57 „ 19, 52, 53, 54, 55, 58, 59, 60, 71, 72, 80, 96, 97
58 „ 52, 55, 57, 78
59 „ 28, 51, 52, 53, 57, 60
60 „ 19, 29, 52, 57, 59
61 „ 52, 54, 56, 70, 98

62 mit 34, 35, 63, 64, 65, 66, 69, 104
63 „ 34, 35, 62, 102, 104
64 „ 62, 65, 66, 98, 69, 106, 107
65 „ 1, 27, 30, 35, 36, 41, 45, 62, 64, 66, 67, 67^a, 68, 95, 99, 100
66 „ 35, 36, 62, 64, 65, 67, 67^a, 68, 99, 100
67 „ 65, 66, 67^a
67^a „ 65, 66, 67
68 „ 27, 64, 65, 66, 69, 70
69 „ 62, 64, 68
70 „ 45, 48, 49, 52, 61, 68
71 „ 55, 57, 72, 73, 74, 78, 79, 80
72 „ 57, 71, 74, 80
73 „ 71, 78, 79
74 „ 71, 72
75 „ 1, 38, 42, 43
76 „ 38, 42, 43
77 „ 38, 42, 43
78 „ 58, 71, 73, 79
79 „ 71, 73, 78
80 „ 57, 71, 72
81 „ 34, 35, 84
82 „ 34, 35, 84
83 „ 30, 34, 35, 44, 84, 85, 86, 87, 88, 89, 90, 91, 92, 93
84 „ 34, 35, 81, 82, 83, 85, 92
85 „ 34, 35, 83, 84, 86, 88, 92, 105
86 „ 34, 35, 83, 85
87 „ 34, 35, 83, 88, 91, 92, 93
88 „ 34, 35, 44, 83, 85, 87, 89, 90, 92
89 „ 34, 83, 88, 92
90 „ 34, 83, 88
91 „ 34, 35, 83, 87, 93
92 „ 83, 84, 85, 87, 88, 89
93 „ 83, 87, 91
94 „ 34, 35
95 „ 49, 65
96 „ 52, 56, 57
97 „ 52, 56, 57
98 „ 56, 61
98^a „ —
99 „ 65, 66, 100
100 „ 65, 66, 99, 101, 102
101 „ 100, 102, 103
102 „ 63, 100, 101, 103
103 „ 35, 101, 102
104 „ 62, 63
105 „ 34, 85
106 „ 64
107 „ 64

Genauigkeit der Beobachtungen.

Um einen Begriff über die Genauigkeit der Messungen zu erhalten, habe ich zunächst den mittleren Fehler eines Fadenantritts, bezw. einer Schraubeneinstellung aus den Beobachtungen wie folgt berechnet:

Rectascensionsdifferenzen. Es wurden in der vorstehenden Zusammenstellung 50 AR-Differenzen, die an wenigstens 4 Abenden beobachtet sind, beliebig ausgewählt und aus den Abweichungen λ der einzelnen Abendmittel gegen das zugehörige Gesamtmittel unter Berücksichtigung der Gewichte g (= Anzahl der Fadenantritte) die Summen $[\lambda\lambda g]$ berechnet; für die zugehörige Anzahl der Abendmittel n findet sich dann der mittlere Fehler einer auf einem Fadenantritt beruhenden AR-Differenz aus

$$\mu_1^2 = \frac{[\lambda\lambda g]}{n-1}$$

Im Mittel aus 50 AR-Differenzen ergibt sich dann wesentlich genauer

$$\mu_1^2 = \frac{\sum_1^{50} [\lambda\lambda g]}{\sum_1^{50} (n-1)}$$

Dementsprechend fand ich

Diffz.	$[\lambda\lambda g]$	$(n-1)$	Diffz.	$[\lambda\lambda g]$	$(n-1)$
1— 2	0.498464	9	30— 32	0.243468	6
1— 4	0.347899	9	33— 34	0.125086	6
1— 5	0.226850	8	34— 36	0.562112	8
1— 6	0.283323	10	34— 82	0.270147	6
1— 7	0.383239	7	35— 36	0.376334	6
1— 9	0 202947	6	38— 38[a]	0.137637	4
1—11	0.744786	7	38— 42	0.367135	4
1—14	0.592919	11	41— 47	0.122322	3
1—15	0.463251	8	45— 52	0.292099	3
1—19	0.401365	10	52— 53	0.937718	7
1—23	0.553310	8	52— 54	0.599182	7
1—27	0.041384	5	52— 56	0.213412	5
1—37	0.582680	8	52— 60	0.079986	4
1—38	0.207607	10	53— 54	0.076939	3
1—39	0.712500	10	57— 59	0.373816	5
1—40	0.513463	8	57— 60	0.474610	5
1—41	0.523901	11	62— 64	0.501220	3
1—43	0.456666	6	62—104	0.205570	3
1—48	0.200898	9	64—106	0.256308	5
1—49	0.407066	6	65— 66	0.158378	6
1—50	0.628134	6	66 - 67	0.261105	5
14—41	0.324727	4	75— 76	0.170707	4
22—41	0.149914	4	83— 88	0.179075	4
27—30	0.087172	5	85— 86	0.459150	4
30—31	0.440524	9	91— 93	1.146865	4
	9.974989	194		8.590381	120
				9.974989	194
				18.565370	314

Hieraus ergibt sich im Parallel des Sternhaufens der mittlere Fehler einer auf einem einfachen Fadenantritt beruhenden Differenz zu

$$\pm 0^s{,}243$$

somit der mittlere Fehler einer solchen Differenz, auf den Aequator bezogen, zu

$$\pm\ 0.^{s}134$$

und endlich der mittlere Fehler eines einzelnen Fadenantritts, gleichfalls auf den Aequator bezogen, zu

$$\pm\ 0.^{s}094$$

Declinationsdifferenzen. Das Verfahren war hier ganz dasselbe, wie bei den AR-Differenzen, nur trat insofern eine Vereinfachung ein, als hier alle Abendmittel gleiches Gewicht besitzen. Man findet also durch ein dem vorigen ganz analoges Verfahren:

Diffz.	[λλ g]	(n-1)	Diffz.	[λλ g]	(n-1)
1— 2	0.00009367	3	24—27	0.00006566	3
1— 6	13233	3	27—30	29058	15
1—19	63561	14	27—31	18114	4
1—27	78335	10	27—35	14902	4
1—30	05878	3	27—45	26911	6
1—38	05982	3	27—65	15673	3
1—41	07875	3	30—31	43443	3
1—44	08065	3	30—35	54473	12
1—45	36715	5	30—44	12910	3
1—52	07860	4	34—35	134310	15
1—65	00751	3	35—44	24144	3
6—19	33908	4	35—83	03718	3
6—27	13183	3	38—41	07567	4
6—30	11799	3	38—52	38962	4
6—44	27529	3	40—44	115319	4
6—45	03675	3	41—52	10634	4
6—52	30358	4	45—46	70889	5
15—16	15672	3	45—52	14830	6
19—19[a]	19842	4	45—65	01006	3
19—19[b]	03386	3	46—47	59063	5
19—20	25895	3	52—57	66348	13
19—38	11719	4	54—56	15063	3
19—52	53943	12	57—71	76247	15
19—57	31337	3	62—63	11278	3
22—41	51666	3	62—69	01425	3
	0.00571534	109		0.00872853	146
				0.00571534	109
				0.01444387	255

Hienach findet sich der mittlere Fehler der Gewichtseinheit der Declinationsdifferenzen zu

$$\pm\ 0.''187$$

da aber der Gewichtseinheit 5 einfache Beobachtungen entsprechen, ist der mittlere Fehler einer einfach gemessenen Differenz

$$\pm\ 0.''418$$

und daher der mittlere Fehler der Einstellung auf den festen oder beweglichen Faden (wenn man ihn beidemal gleich gross annimmt)

$$\pm\ 0.''295$$

Aus der Berechnungsweise der obigen mittleren Fehler geht hervor, dass dieselben nicht nur die wirklichen Beobachtungsfehler (also die Ungenauigkeiten beim Registrieren der Fadenan-

tritte oder bei der Einstellung der Sterne auf den festen oder beweglichen Faden) zum Ausdruck bringen, sondern auch den Einfluss aller anderen, etwaigen Fehlerursachen, welche die einzelnen Abendmittel der gemessenen Differenzen mehr oder weniger entstellen. Dieser Umstand wäre bei der Beurtheilung der gefundenen Zahlenwerthe zu berücksichtigen.

Ausgleichung der Beobachtungen.

Da zwischen 125 Sternen des Sternhaufens im Ganzen 290 verschiedene AR-Differenzen und 421 Declinationsdifferenzen gemessen wurden, sind allgemein für die Coordinatenbestimmung dieser Sterne 165, bezw. 296 Differenzen überschüssig und es sind daher die Coordinaten durch Ausgleichungen nach der Methode der kleinsten Quadrate zu ermitteln. Diese Ausgleichung der Beobachtungen gestaltet sich nun im vorliegenden Fall für beide Coordinaten äusserst einfach. Es sei a der Stern, in Bezug auf welchen die Coordinaten der übrigen Sterne $b, c, d \cdots r$ bestimmt werden sollen. Die gesuchten Coordinatendifferenzen dieser Sterne gegen a seien $x, u, t, v \cdots z$, die beobachteten Differenzen endlich $\overline{bc}, \overline{bd}, \overline{be} \cdots \overline{br}$; $\overline{cd}, \overline{ce} \cdots \overline{cr}$; $\overline{de}, \overline{df} \cdots \overline{dr}$; u. s. w. mit den Gewichten $p, p_1, p_2 \cdots p_r$. Dann haben die beobachteten Differenzen Bedingungsgleichungen von der folgenden einfachen Form zu erfüllen:

$$\begin{array}{rcl|l} x &=& \cdot + \overline{ab} & p_1 \\ x &=& u + \overline{bc} & p_2 \\ x &=& t + \overline{bd} & p_3 \\ x &=& v + \overline{be} & p_4 \\ \vdots & \vdots & \vdots & \vdots \\ x &=& z + \overline{br} & p_r \end{array}$$

woraus zur Bestimmung des wahrscheinlichsten Werthes von x sich die Normalgleichung ergibt

$$[p]\, x = \{ \overline{ab}\, p_1 + (u + \overline{bc})\, p_2 + (t + \overline{bd})\, p_3 \cdots\cdots + (z + \overline{br})\, p_r \}$$

Analoge Normalgleichungen, wie vorstehend für den Stern b, ergeben sich für alle übrigen Sterne, soferne dieselben nur mit mehr als einem andern Stern verbunden sind und es lassen sich diese Normalgleichungen mit grossem Vortheil nach einem von Herrn Professor L. von Seidel angegebenen und mehrfach angewendeten Verfahren auflösen.*)

Dasselbe besteht im Wesentlichen darin, für die Unbekannten $x, u, t, v \cdots z$ in die Normalgleichungen Näherungswerthe einzusetzen und diese letzteren durch mehrmalige Wiederholung der Rechnung so lange zu verbessern, bis sämtliche Normalgleichungen erfüllt sind. Es bietet nun ferner, wie Herr Prof. von Seidel a. a. O. zeigte, keinerlei Schwierigkeiten, die mittleren Fehler der auf die oben beschriebene Weise aus den Normalgleichungen berechneten Unbekannten zu bestimmen. Allein die Arbeit, welche eine derartige strenge Fehlerberechnung verursacht, ist doch, besonders wenn die Anzahl der Unbekannten sehr gross ist, auch hier ausserordentlich mühsam. Aus diesem Grunde zog ich es vor, von der strengen Berechnung der mittleren Fehler der ausgeglichenen Differenzen Umgang zu nehmen und mich mit Näherungswerthen derselben zu begnügen, welche sich in einfacher Weise wie folgt ergaben. Sind $x_0, u_0, t_0 \cdots z_0$ die durch die Ausgleichung gefundenen Werthe der Differenzen $\overline{ab}, \overline{ac} \cdots \overline{ar}$, so werden durch Einsetzung derselben in die Beobachtungsgleichungen noch Fehler $\lambda_1, \lambda_2 \cdots \lambda_r$ übrig bleiben. Wären nun die Werthe $u_0, t_0 \cdots z_0$ nicht durch Ausgleichung gefunden, sondern anderweitig unter sich und von x unabhängig bestimmt, so würde sich bekanntlich der mittlere Fehler der Gewichtseinheit für x_0 aus

$$\mu_1 = \frac{\sqrt{[p\lambda\lambda]}}{n-1}$$

*) Vgl. hierüber dessen Abhandlungen: »Resultate photometrischer Untersuchungen« (Abhdlgn. der K. Bayer. Akad. der Wissenschaften, Bd. IX, 1862) und »Ueber ein Verfahren, die Gleichungen, auf welche die Methode der kleinsten Quadrate führt, sowie lineare Gleichungen überhaupt, durch successive Annäherung aufzulösen.“ (Abhdlgn. d. K. Ak. d. Wissenschaften, Bd. XI, 1874).

finden, wenn n die Anzahl der Beobachtungs- (Fehler-) Gleichungen vorstellt. Es wurden nun die mittleren Fehler der ausgeglichenen Differenzen x_0, u_0 z_0 in der Weise berechnet, dass die Werthe der letzteren als von einander unabhängig bestimmte Grössen betrachtet und in die Beobachtungsgleichungen eingesetzt wurden (letzteres musste zur schliesslichen Controlle der Ausgleichung ohnedies geschehen.) Aus den übrig bleibenden Fehlern λ wurde dann nach der obigen Formel für alle Differenzen x_0, u_0 z_0 der mittlere Fehler der Gewichtseinheit, sowie jener der ausgeglichenen Differenzen selbst bestimmt.

Da die oben gemachte Annahme, dass die Werthe x_0, u_0 z_0 unabhängig von einander bestimmt seien, nicht zutrifft, durfte ich a priori nicht erwarten, die wirklichen Werthe der mittleren Fehler zu erhalten. Indessen mussten diese, auf so einfache Weise berechneten mittleren Fehler immerhin einen Begriff über die Genauigkeit der Beobachtungs- und Ausgleichungsresultate geben. Und da die aus der Zusammenfassung aller einzelnen Werthe von μ_1 berechneten mittleren Fehler der Gewichtseinheit, wie sich weiter unten zeigen wird, in beiden Coordinaten von den auf S. 63 und 64 hiefür berechneten Werthen nicht wesentlich abweichen, kann man wohl auch mit einiger Berechtigung annehmen, dass die aus den mittleren Fehlern der Gewichtseinheit nach Massgabe des jedesmaligen Gewichtes berechneten mittleren Fehler der ausgeglichenen Differenzen aller Sterne gegen den Hauptstern 1 den wirklich stattfindenden Werthen dieser Fehler annähernd entsprechen werden.

Dem Vorstehenden gemäss erfolgte für die beiden Coordinatendifferenzen eines jeden Sternes die Berechnung der in den nachfolgenden Tabellen angegebenen Summen $[\lambda\lambda p]$. Durch Addition dieser letzteren und der gleichfalls für jede Differenz notirten Zahlen $(n-1)$ fand sich der mittlere Fehler der Gewichtseinheit μ_1 und hieraus mit Rücksicht auf die gleichfalls angegebenen Gesamtgewichte $[p]$, mit denen die einzelnen Differenzen aus der Ausgleichung hervorgingen, die mittleren Fehler μ dieser letzteren. Diejenigen Sterne, welche nur an einen der übrigen angeschlossen sind, konnten naturgemäss zur $\Sigma[\lambda\lambda p]$ keinen Beitrag liefern. Es wurden ferner in den nachfolgenden Tabellen nicht nur die Werthe der ausgeglichenen Rectascensions-, bezw. Declinationsdifferenzen zusammengestellt, sondern zur Eintragung in die am Schluss sich befindenden beiden Karten auch noch die Werthe von $15\, \Delta\alpha \cos\delta$ und jene von $\Delta\delta$ im Gradmass.

Der Stern 14[c] liegt mit 14[a] fast genau auf demselben Stundenkreis und die Declinationsdifferenz beider beträgt noch nicht 5″, ausserdem sind beide Sterne sehr lichtschwach und nur selten waren sie bei ganz schwach beleuchtetem Gesichtsfeld noch getrennt sichtbar. Aus allen diesen Gründen gelang es mir nicht, den genannten Stern in Rectascension mit einem ihm benachbarten zu verbinden. Ebenso erging es mit dem Sterne 98[a], der ebenfalls sehr lichtschwach ist und deshalb auch nur sehr selten bei beleuchtetem Gesichtsfeld wahrgenommen werden konnte, wodurch eine Einmessung desselben in Declination vereitelt wurde.

Ausgeglichene Rectascensionsdifferenzen.

Stern	$[\lambda\lambda p]$	$n-1$	$[p]$	$\Delta\alpha$	μ	$15\, \Delta\alpha \cos\delta$
				s	s	′ ″
1	0.891118	60	1055	0.000	± 0.004	0 0.0
2	—	0	15	+ 1.960	—	+ 0 16.2
3	—	0	14	+ 4.319	—	+ 0 35.6
4	0.036177	1	23	+ 9.031	0.036	+ 1 14.5
5	—	0	14	+ 4.669	—	+ 0 38.5
6	—	0	14	+ 5.974	—	+ 0 49.3
7	—	0	17	+ 5.835	—	+ 0 48.2
8	0.018894	2	24	+ 13.229	0.020	+ 1 49.2
9	0.016696	1	41	— 1.294	0.020	— 0 10.7
10	0.060457	2	21	— 4.239	0.038	— 0 35.0

Stern	[λλ p]	n-1	[p]	Δα	μ	15 Δα cos δ
				s	s	′ ″
10[a]	0.041947	2	25	− 5.738	± 0.029	− 0 47.3
11	0.000263	1	23	− 4.284	0.003	− 0 35.3
12	0.048131	1	19	− 5.519	0.050	− 0 45.5
12[a]	0.005376	1	7	− 5.696	0.028	− 0 47.0
13	0.003816	2	24	− 6.738	0.009	− 0 55.6
14	0.062579	8	57	− 10.511	0.012	− 1 26.7
14[a]	0.026125	2	31	− 13.145	0.021	− 1 48.5
14[b]	0.020611	2	23	− 13.729	0.021	− 1 53.3
14[c]	—	0	0	− 13.1	0.000	− 1 48
15	0.000434	1	34	− 8.766	0.004	− 1 12.3
15[a]	—	0	5	− 7.054	—	− 0 58.2
16	0.048866	1	26	− 10.116	0.043	− 1 23.4
17	0.007512	1	18	− 5.543	0.020	− 0 45.7
18	0.000027	1	33	− 3.646	0.001	− 0 30.1
19	0.004542	6	74	+ 9.131	0.008	+ 1 15.3
19[a]	0.002273	1	7	+ 11.719	0.018	+ 1 36.6
19[b]	0.002653	1	8	+ 23.818	0.018	+ 3 16.4
20	0.005828	1	32	+ 2.370	0.013	+ 0 19.5
21	0.011795	1	35	+ 2.077	0.018	+ 0 17.1
22	0.014997	2	33	− 9.896	0.015	− 1 21.7
22[a]	0.092779	1	29	− 7.453	0.057	− 1 1.5
23	0.021727	1	23	− 14.776	0.031	− 2 1.9
24	0.156100	1	24	− 11.296	0.081	− 1 33.2
24[a]	0.026808	1	27	− 14.519	0.031	− 1 59.8
25	0.014274	2	36	− 14.578	0.014	− 2 0.4
26	0.245765	2	25	− 14.244	0.070	− 1 57.6
27	0.163686	13	132	− 23.648	0.010	− 3 15.2
28	0.018037	3	25	− 7.929	0.016	− 1 5.4
29	0.032371	3	28	− 3.025	0.020	− 0 24.9
30	0.382007	14	184	− 15.922	0.012	− 2 11.5
31	0.019242	1	37	− 21.097	0.023	− 2 54.2
32	0.011788	1	28	− 3.694	0.021	− 0 30.5
32[a]	0.056067	1	24	− 5.931	0.048	− 0 49.0
32[b]	—	0	9	− 0.489	—	− 0 4.0
32[c]	0.000667	1	19	− 2.422	0.006	− 0 20.0
33	0.098516	2	26	− 24.942	0.043	− 3 26.1
34	0.159399	12	167	− 40.170	0.009	− 5 32.0
35	0.151511	6	56	− 40.462	0.021	− 5 34.3
36	0.001440	1	45	− 43.530	0.006	− 5 59.6
37	0.008073	1	33	+ 18.023	0.016	+ 2 28.7
38	0.204584	15	131	+ 22.644	0.010	+ 3 6.8
38[a]	0.001887	1	23	+ 24.095	0.009	+ 3 18.8
38[b]	0.004900	1	21	+ 24.310	0.015	+ 3 20.5
39	0.123368	2	47	+ 21.457	0.037	+ 2 57.1
40	0.129477	3	29	+ 24.142	0.038	+ 3 19.3

Stern	$[\lambda\lambda p]$	$n-1$	$[p]$	$\Delta\alpha$	μ	$15\ \Delta\alpha\ \cos\delta$
				s	s	′ ″
41	0.455591	34	271	− 16.517	± 0.007	− 2 16.3
42	0.076693	4	36	+ 42.999	0.023	+ 5 54.9
43	0.075582	6	45	+ 35.390	0.017	+ 4 52.5
44	0.105045	5	45	+ 22.055	0.048	+ 3 2.1
45	0.225965	11	84	− 34.283	0.016	− 4 42.8
46	0.004172	2	27	− 37.416	0.009	− 5 8.6
47	0.012161	2	29	− 39.232	0.014	− 5 23.6
48	0.074206	5	53	− 48.951	0.017	− 6 43.7
49	0.025297	3	23	− 46.353	0.019	− 6 22.5
49[a]	0.039597	3	16	− 44.267	0.029	− 6 5.2
50	0.011235	3	38	− 51.985	0.010	− 7 8.8
51	0.005504	1	16	− 35.876	0.018	− 4 55.8
52	0.326522	25	280	− 36.294	0.007	− 4 59.2
53	0.152604	8	78	− 31.744	0.016	− 4 21.7
54	0.173658	7	58	− 47.223	0.021	− 6 29.3
55	0.002768	2	28	− 30.485	0.007	− 4 11.2
55[a]	0.056526	2	18	− 30.667	0.038	− 4 12.7
56	0.100130	8	37	− 45.000	0.018	− 6 10.8
57	0.239880	11	86	− 16.506	0.016	− 2 16.0
58	0.009545	2	20	− 18.765	0.015	− 2 34.6
59	0.029814	1	15	− 15.556	0.044	− 2 8.2
60	0.028260	1	15	− 10.836	0.043	− 1 29.3
61	0.015154	3	23	− 53.643	0.011	− 7 22.1
62	0.283912	11	94	− 130.515	0.017	− 17 55.5
63	0.004974	2	31	− 135.623	0.013	− 18 40.7
64	0.031603	4	42	− 122.391	0.014	− 16 50.4
65	0.194256	13	161	− 73.364	0.009	− 10 5.7
66	0.063232	5	88	− 87.906	0.012	− 12 5.9
67	0.016802	2	31	− 83.729	0.016	− 11 31.3
67[a]	0.005727	1	24	− 79.943	0.015	− 10 59.9
68	0.018391	2	31	− 125.067	0.012	− 17 12.1
69	0.102159	4	33	− 138.114	0.028	− 19 2.8
70	0.002310	1	21	− 84.570	0.010	− 11 37.3
71	0.013496	4	28	− 17.068	0.011	− 2 20.6
72	0.025392	3	20	+ 33.369	0.021	+ 4 34.8
73	—	0	10	− 24.601	—	− 3 22.6
74	0.000981	2	15	+ 49.905	0.006	+ 6 50.8
75	0.031501	3	28	+ 70.523	0.033	+ 9 42.2
76	—	0	14	+ 66.877	—	+ 9 12.0
77	—	0	9	+ 60.852	—	+ 8 22.2
78	—	0	8	− 22.882	—	− 3 8.4
79	—	0	10	− 30.903	—	− 4 14.4
80	0.033920	2	20	+ 12.285	0.029	+ 1 41.2
81	0.020108	1	23	− 14.659	0.030	− 2 1.1
82	0.069459	1	27	− 8.185	0.051	− 1 7.6

Stern	$[\lambda\lambda p]$	n-1	$[p]$	$\Delta\alpha$	μ	15 $\Delta\alpha$ cos δ
				s	s	′ ″
83	0.197908	13	100	+ 6.756	± 0.012	+ 0 55.8
84	0.003851	1	19	− 17.412	0.014	− 2 23.9
85	0.029750	2	18	+ 19.768	0.029	+ 2 43.5
86	—	0	12	+ 21.474	—	+ 2 57.5
87	—	0	4	+ 54.180	—	+ 7 27.8
88	0.003962	2	24	+ 43.087	0.009	+ 5 56.1
89	0.008501	1	6	+ 40.780	0.038	+ 5 37.1
90	0.019030	1	7	+ 40.718	0.052	+ 5 36.5
91	0.022399	1	18	+ 84.226	0.035	+ 11 36.3
92	0.007131	1	14	+ 38.499	0.023	+ 5 18.3
93	—	0	16	+ 89.390	—	+ 12 18.8
94	—	0	11	− 52.197	—	− 7 11.5
95	0.004680	1	13	− 66.505	0.019	− 9 8.8
96	0.010410	3	18	− 36.830	0.024	− 5 3.4
97	0.067270	1	15	− 31.947	0.067	− 4 23.2
98	0.035594	2	20	− 49.297	0.030	− 6 46.2
98[a]	—	0	5	− 51.765	—	− 7 6.6
99	0.000545	1	17	− 77.944	0.006	− 10 43.6
100	—	0	13	− 85.816	—	− 11 48.9
101	—	0	11	− 83.625	—	− 11 30.9
102	—	0	10	− 96.074	—	− 13 13.8
103	—	0	9	− 89.674	—	− 12 21.0
104	—	0	10	− 149.200	—	− 20 32.8
105	0.001768	1	16	+ 1.451	0.010	+ 0 12.0
106	—	0	16	− 102.319	—	− 14 4.7
107	—	0	14	− 97.281	—	− 13 23.1
	7.032521	431				

Aus der obigen Summe aller $[\lambda\lambda p]$ findet sich also im Mittel aus 101 einzelnen Werthen der mittlere Fehler der Gewichtseinheit für die Rectascensionsdifferenzen zu

$$\pm\, 0^{s}.128$$

und zwar gilt dieser Werth für den Parallel des Sternhaufens; auf den Aequator reducirt ergibt sich daraus der Werth dieses mittleren Fehlers zu

$$\pm\, 0^{s}.070$$

Da der Gewichtseinheit 5 einfache Beobachtungen entsprechen, berechnet sich weiterhin der mittlere Fehler einer auf einem Faden beruhenden AR-Differenz zu

$$\pm\, 0^{s}.176$$

und demnach endlich der mittlere Fehler eines einfachen Fadenantritts zu

$$\pm\, 0^{s}.125$$

Ausgeglichene Declinationsdifferenzen.

Stern	$[\lambda\lambda p]$	n-1	$[p]$	$(\Delta\delta)^{\text{rev}}$	$(\Delta\delta)''$	μ
					′ ″	″
1	0.00344036	48	156	— 0.0000	— 0 0.00	± 0.02
2	014426	4	16	— 1.3626	— 0 33.82	0.04
3	011560	2	7	— 1.4256	— 0 35.38	0.07
4	036177	4	13	— 0.9420	— 0 23.38	0.07
5	029900	6	18	— 0.0425	— 0 1.05	0.05
6	0.00201669	22	72	— 0.6936	— 0 17.21	0.03
7	019206	4	14	— 1.1972	— 0 29.71	0.05
8	017453	2	7	— 1.4904	— 0 36.99	0.09
9	005032	3	8	+ 0.5236	+ 0 12.99	0.04
10	047638	4	10	+ 0.5890	+ 0 14.62	0.09
10[a]	0.00004525	3	9	+ 0.1403	+ 0 3.48	0.03
11	053874	8	16	+ 1.4602	+ 0 36.24	0.05
12	042492	7	16	+ 1.3739	+ 0 34.10	0.05
12[a]	020418	2	6	+ 1.7154	+ 0 42.57	0.10
13	044581	4	11	+ 0.3869	+ 0 9.60	0.08
14	0.00072940	7	16	+ 0.5457	+ 0 13.54	0.06
14[a]	004479	3	9	+ 0.9570	+ 0 23.75	0.03
14[b]	002704	1	4	+ 1.3028	+ 0 32.33	0.06
14[c]	—	0	2	+ 1.1103	+ 0 27.56	—
15	041984	7	17	+ 2.3372	+ 0 58.01	0.05
15[a]	0.00005618	1	2	+ 2.6007	+ 1 4.54	0.13
16	012510	5	14	+ 3.2591	+ 1 20.89	0.03
17	041898	5	13	+ 3.1635	+ 1 18.51	0.06
18	044059	5	13	+ 2.2052	+ 0 54.73	0.06
19	122300	25	101	+ 4.9284	+ 2 2.31	0.02
19[a]	0.00000572	1	7	+ 6.9524	+ 2 52.55	0.02
19[b]	003906	2	8	+ 8.0088	+ 3 18.76	0.04
20	028500	7	18	+ 2.2934	+ 0 56.92	0.04
21	040664	7	18	+ 1.7900	+ 0 44.42	0.04
22	003468	1	6	— 1.0945	— 0 27.16	0.06
22[a]	0.00014703	1	6	— 1.0258	— 0 25.46	0.12
23	012426	2	6	— 2.0199	— 0 50.13	0.08
24	028452	3	10	— 3.3663	— 1 23.55	0.08
24[a]	073030	2	6	— 3.2734	— 1 21.24	0.19
25	025016	7	21	— 5.6111	— 2 19.26	0.03
26	0.00006837	4	13	— 6.2841	— 2 35.96	0.03
27	147319	18	92	— 5.1089	— 2 6.79	0.02
28	134752	7	16	+ 6.5635	+ 2 42.89	0.09
29	074400	7	16	+ 6.2602	+ 2 35.37	0.06
30	117305	16	81	— 9.9548	— 4 7.06	0.02
31	0.00051608	3	14	— 9.1923	— 3 48.14	0.09
32	000030	1	5	— 8.9036	— 3 40.97	0.01
32[a]	017162	1	4	— 8.2588	— 3 24.97	0.16
32[b]	002916	1	4	— 6.7040	— 2 46.38	0.07
32[c]	—	0	2	— 6.6366	— 2 44.71	—

Stern	$[\lambda\lambda p]$	n-1	$[p]$	$(\Delta\,\delta)^{\mathrm{rev}}$	$(\Delta\,\delta)''$	μ
					′ ″	″
33	0.00014528	2	10	− 14.8829	+ 6 9.37	± 0.07
34	072866	17	55	− 18.3272	+ 7 34.85	0.02
35	060238	21	93	− 14.0902	− 5 49.69	0.01
36	033838	5	12	− 12.4072	− 5 7.92	0.06
37	033438	7	16	+ 0.9488	− 0 23.55	0.04
38	0.00118648	17	61	+ 0.4773	+ 0 11.85	0.03
38[a]	005887	2	7	+ 2.8488	+ 1 10.70	0.05
38[b]	012152	3	8	+ 4.1511	+ 1 43.02	0.06
39	034392	7	16	− 2.9620	− 1 13.51	0.04
40	084116	7	20	− 2.4649	− 1 1.17	0.06
41	0.00244240	37	110	− 0.1056	− 0 2.62	0.02
42	059446	9	20	− 3.4040	− 1 24.48	0.05
43	017098	8	20	− 6.1912	− 2 33.65	0.07
44	118989	12	49	− 8.2093	− 3 23.74	0.03
45	103547	17	71	+ 2.1071	+ 0 52.29	0.02
46	0.00042695	3	17	+ 3.4391	+ 1 25.35	0.07
47	039136	6	19	+ 4.5551	+ 1 53.05	0.05
48	076004	8	19	+ 4.9882	+ 2 3.80	0.06
49	038254	6	19	+ 2.5784	+ 1 3.99	0.04
49[a]	—	0	2	+ 1.3536	+ 0 33.59	—
50	0.00005925	2	8	+ 3.5493	+ 1 28.09	0.05
51	053521	5	13	+ 8.6035	+ 3 33.52	0.07
52	121537	21	94	+ 10.4400	+ 4 19.10	0.02
53	036627	5	13	+ 10.8408	+ 4 29.05	0.06
54	071065	6	18	+ 10.4342	+ 4 18.96	0.06
55	0.00045836	5	12	+ 13.6945	+ 5 39.87	0.07
55[a]	009802	1	4	+ 13.2088	+ 5 27.82	0.12
56	138589	6	21	+ 14.5827	+ 6 1.92	0.08
57	138998	12	61	+ 15.1397	+ 6 15.74	0.03
58	022956	3	8	+ 15.2674	+ 6 18.91	0.08
59	0.00037528	5	13	+ 11.4754	+ 4 44.80	0.06
60	006104	4	10	+ 9.9578	+ 4 7.13	0.03
61	039625	4	13	+ 13.4043	+ 5 32.67	0.07
62	018080	7	22	− 12.1135	− 5 0.64	0.03
63	007219	4	15	− 15.8888	− 6 34.33	0.03
64	0.00018516	4	16	− 5.6439	− 2 20.07	0.04
65	083483	15	50	− 6.8007	− 2 48.78	0.03
66	033562	9	32	− 7.5484	− 3 7.34	0.03
67	004825	2	9	− 6.0666	− 2 30.56	0.04
67[a]	031946	2	6	− 5.0129	− 2 4.41	0.13
68	0.00016669	5	13	− 1.2194	− 0 30.26	0.04
69	003602	2	8	4.9186	− 2 2.07	0.04
70	019405	5	14	+ 8.9554	+ 3 42.26	0.04
71	020657	7	47	+ 21.7054	+ 8 58.69	0.02
72	023297	3	11	+ 19.6839	+ 8 8.52	0.07

Stern	$[\lambda\lambda p]$	n-1	$[p]$	$(\Delta\delta)^{rev}$	$(\Delta\delta)''$	μ
					′ ″	″
73	0.00019936	1	7	+ 23.3615	+ 9 39.79	± 0.08
74	014644	2	17	+ 26.6945	+ 11 2.51	0.07
75	072959	3	9	− 5.0974	− 2 6.51	0.13
76	001092	2	6	− 3.1147	− 1 17.30	0.02
77	013702	2	6	− 1.3832	− 0 34.33	0.08
78	0.00029318	3	8	+ 20.9642	+ 8 40.29	0.09
79	021522	2	6	+ 26.8690	+ 11 6.84	0.10
80	007186	2	9	+ 16.5623	+ 6 51.05	0.05
81	013082	2	7	− 16.1655	− 6 41.20	0.08
82	002854	2	8	− 16.2576	− 6 43.48	0.03
83	0.00021841	13	31	− 16.0145	− 6 37.45	0.02
84	024182	6	16	− 19.6727	− 8 8.24	0.04
85	020193	7	17	− 18.8864	− 7 48.73	0.03
86	003140	3	8	− 17.6779	− 7 18.73	0.03
87	033088	6	14	− 18.0113	− 7 27.01	0.05
88	0.00036286	8	19	− 17.1882	− 7 6.58	0.04
89	001116	3	8	− 18.9257	− 7 49.70	0.02
90	017162	2	6	− 16.3711	− 6 46.30	0.09
91	016940	4	10	− 20.3556	− 8 25.19	0.05
92	009838	5	12	− 22.5099	− 9 18.65	0.03
93	0.00000938	2	6	− 18.1775	− 7 31.13	0.02
94	012770	1	4	− 20.1530	− 8 20.16	0.14
95	023186	1	5	− 1.2908	− 0 32.04	0.17
96	016742	2	6	+ 16.4761	+ 6 48.91	0.09
97	156838	2	6	+ 16.5539	+ 6 50.84	0.28
98	0.00035594	2	4	+ 15.3159	+ 6 20.11	0.15
98[a]	—	0	0	—	+ 6 2	—
99	003852	2	5	− 8.3548	− 3 27.35	0.05
100	019819	4	10	− 12.7136	− 5 15.53	0.05
101	027495	2	7	− 14.5780	− 6 1.80	0.11
102	0.00024228	3	8	− 15.0365	− 6 13.18	0.08
103	003717	2	7	− 16.3469	− 6 45.70	0.04
104	004490	1	4	− 14.7420	− 6 5.87	0.08
105	013448	1	4	− 25.6549	− 10 36.71	0.14
106	—	0	2	− 5.0937	− 2 6.42	—
107	—	0	2	− 4.7925	− 1 58.94	—
	0.04966629	714				

Der mittlere Fehler der Gewichtseinheit bei den Declinationsdifferenzen findet sich hienach, im Mittel aus 120 einzelnen Werthen, zu

$$\pm\, 0.00834^{rev} = \pm\, 0.207''$$

Da der Gewichtseinheit wiederum 5 einzelne Messungen entsprechen, erhält man hieraus den mittleren Fehler einer einfachen Declinationsdifferenz zu

$$\pm\, 0.519''$$

und endlich jenen einer einmaligen Schraubeneinstellung zu

$$\pm\, 0.367''$$

Eine Vergleichung der hier abgeleiteten Fehlerbeträge mit den aus den directen Beobachtungen (S. 63 und 64) bestimmten zeigt, dass diese letzteren, wie es im Vornherein zu erwarten war, durchaus etwas kleiner ausfallen, als die eben gefundenen, in welchen auch noch die Widersprüche mit zum Ausdruck kommen, die durch die nicht vollständige Erfüllung der Bedingungs- (richtiger Beobachtungs-) Gleichungen hervorgerufen werden.

Grössenschätzungen.

Während der Messung der Differenzen habe ich mich mit Grössenschätzungen nicht weiter aufgehalten, ich stellte solche vielmehr erst nach Abschluss der eigentlichen Beobachtungen an drei klaren Abenden an, nämlich 1889, März 13 und März 18 mit dem grossen und März 23 mit dem kleinen (5zölligen) Steinheil'schen Refractor der hiesigen Sternwarte und zwar an beiden Instrumenten mit 120facher Vergrösserung und bei unbeleuchtetem Gesichtsfeld. Ich muss hier noch vorausschicken, dass ich im Schätzen von absoluten Sterngrössen nur sehr wenig Uebung besitze; aus diesem Grunde hielt ich es für das beste, von den mit der Argelander'schen Grössenscala gewiss sehr gut übereinstimmenden Grössenschätzungen des Herrn Prof. Krüger auszugehen. Für die ganz hellen Sterne (also hellere als 8. Gr.) wurden dieselben sogar unverändert herüber genommen, weil mir hiefür Vergleichungsobjekte fehlten. Zur Vergleichung habe ich übrigens die Krüger'schen Grössenangaben, mit einem * versehen, in die nachfolgende Tabelle ebenfalls mit aufgenommen.

Stern	Beob. Grösse	Mittel	Stern	Beob. Grösse	Mittel	Stern	Beob. Grösse	Mittel	Stern	Beob. Grösse	Mittel
1	6.5*; 6.5	6.5	24	11.5; 11.5	11.5	49^a	11.5	11.5	78	10.2; 11.5	10.8
2	9.5*; 9.5	9.5	24^a	12.0; 12.2	12.1	50	9.8; 10.0	9.9	79	9.7; 9.9	9.8
3	11.0; 10.5; 10.2 . . .	10.6	25	9.3*; 9.5; 9.3 . . .	9.4	51	9.6; 10.0	9.8	80	9.8	9.8
4	9.5*; 10.0; 9.8; 9.8; 9.7	9.8	26	9.8; 9.7; 9.8	9.8	52	8.1*; 8.1	8.1	81	10.2; 10.2	10.2
5	9.6*; 9.5	9.5	27	9.1*; 9.2	9.2	53	9.1*; 9.2; 9.2 . . .	9.2	82	10.0; 10.0	10.0
6	9.0*; 9.0	9.0	28	10.5; 9.7; 10.2 . . .	10.1	54	9.5*; 9.5; 9.5; 9.3 . .	9.4	83	9.4*; 9.5; 9.4 . . .	9.4
7	9.1*; 9.1	9.1	29	10.2; 9.6; 9.8. . . .	9.9	55_a	9.8; 9.8	9.8	84	9.8; 10.0	9.9
8	12.0; 11.5	11.8	30	8.6*; 8.6	8.6	55	10.3	10.3	85	9.5* 9.7; 9.5	9.6
9	11.0	11.0	31	10.0; 9.5; 9.8 . . .	9.8	56	9.5; 9.5	9.5	86	10.2; 10.2	10.2
10	11.0	11.0	32	9.8; 9.6; 9.8	9.7	57	9.1*; 9 2; 9.2 . . .	9.2	87	10.8; 10.5	10.7
10^a	11.2	11.2	32^a	10.5; 10.2	10.3	58	9.5; 9.8	9.7	88	10.4; 10.0	10.2
11	9.5*; 9.5; 9.5 . . .	9.5	32^b	11.0	11.0	59	9.7; 10.0	9.8	89	11.0; 10.5	10.8
12	9.5*; 9.5; 9.5 . . .	9.5	32^c	11.5	11.5	60	9.8; 10.0	9.9	90	10.8; 10.3	10.6
12^a	12.0	12.0	33	9.8; 10.2; 10.1 . . .	10.0	61	10.0; 10.3	10.2	91	7.9*; 7.5; 7.5; 7.8 . .	7.6
13	11.0	11.0	34	8.4*; 8.2	8.2	62	6.6*; 6.6	6.6	92	9.5*; 9.5; 9.4 . . .	9.5
14	9.5*; 9.5; 9.5 . . .	9.5	35	9.0*; 8.8	8.8	63	7.1*; 7.1	7.1	93	9.8; 10.2	10.0
14^a	10.7	10.7	36	9.7; 10.0	9.8	64	9.7; 9.8	9.8	94	10.8	10.8
14^b	11.5	11.5	37	10.5; 10.0; 10.0; 10.0	10.1	65	8.7* 8.7; 8.7	8.7	95	10.4; 10.2	10.3
14^c	11.7	11.7	38	9.0*; 9.5; 9.2; 9.2 . .	9.3	66	9.4*; 9.3; 9.4 . . .	9.4	96	10.5; 10.0	10.3
15	10.0; 9.7; 9.7 . . .	9.8	38^a	11.0; 10.2; 10.4 . . .	10.5	67	10.4; 10.0	10.2	97	11.0; 10.2	10.6
15^a	12.5	12.5	38^b	11.0; 10.3; 10.4 . . .	10.6	67^a	11.0; 10.5	10.8	98	10.5; 10.4	10.5
16	10.0; 9.6; 9.7 . . .	9.8	39	9.5*; 10.0; 9.7; 9.8; 9.6	9.8	68	8.9*; 8.8; 8.9 . . .	8.9	98^a	12.0	12.0
17	10.2; 9.5; 9.7 . . .	9.8	40	10.5; 10.0; 9.8 . . .	10.1	69	10.0	10.0	99	11.1; 10.4	10.8
18	10.5; 10.0; 10.0 . . .	10.1	41	9.0*; 9.0; 9.2	9.1	70	8.6*; 9.0	9.0	100	10.5; 10.2	10.4
19	6.5*; 6.5	6.5	42	10.3; 10.0; 10.0; 10.0; 9.8	10.0	71	8.5*; 8.8	8.8	101	10.7; 10.2	10.5
19^a	9.8; 9.8; 9.8	9.8	43	9.1*; 9.5; 9.3; 9.2; 9.0	9.2	72	9.5*; 9.5	9.5	102	10.5; 10.5	10.5
19^b	10.8; 10.0; 10.2 . . .	10.3	44	9.0*; 9.5; 9.0; 9.0; 9.1	9.1	73	9.8; 10.0	9.9	103	11.0; 11.0	11.0
20	10.0; 9.8	9.9	45	9.4*; 9.0; 9.0	9.0	74	7.2*; 8.2; 7.2 . . .	7.7	104	9.8; 10.5	10.1
21	10.7; 10.5	10.6	46	9.6; 10.0	9.8	75	8.2*; 8.2; 8.2; 8.8 . .	8.4	105	9.5*; 9.7; 9.5 . . .	9.6
22	11.5; 11.7; 9.8 (½) . .	11.2	47	9.5; 9.7	9.6	76	10.5; 10.0; 10.0; 10.0	10.1	106	11.0	11.0
22^a	12.5; 12.0; 10.2 (½) . .	11.8	48	9.2*; 9.2; 9.2	9.2	77	10.5; 10.0; 9.8; 9.8	10.0	107	11.0	11.0
23	10.0; 10.5; 10.0 . . .	10.2	49	10.0; 10.2;	10.1						

Nur bei einigen Sternen habe ich die Grösse abweichend von Herrn Krüger gefunden; ich möchte übrigens etwa hieraus zu ziehende Schlüsse auf die Veränderlichkeit der betreffenden Sterne im allgemeinen nicht als begründet annehmen.

Für den schwächsten, bei beleuchtetem Gesichtsfeld nur unter ausnahmsweise günstigen Umständen und auch bei Fadenbeleuchtung nicht immer sichtbaren Stern (15^a) habe ich die Grösse 12,5 gesetzt.

Auffallend erschien mir der Umstand, dass ich zwei von Lamont beobachtete Sterne, nämlich seine Nummern 4 und 4', auch bei ganz unbeleuchtetem Gesichtsfeld niemals sehen konnte, obwohl ich öfters, auch während der Messung der Differenzen selbst, speciell nach ihnen gesucht habe. Eine falsche Einzeichnung dieser beiden Sterne in Lamont's Karte kann bei ihrer so ausgeprägten Lage nicht wohl angenommen werden.

Absolute Positionen des Hauptsterns.

Als Hauptstern und Nullpunkt für die Beobachtungen und Rechnungen habe ich den nahezu in der Mitte des dichtesten Theiles des Sternhaufens stehenden Stern Bradley 316 gewählt, welcher nach Argelander 6.5ter Grösse ist. Obgleich dieser Stern von Bradley in AR. gar nicht, in Decl. nur einmal beobachtet wurde, er auch sonst in den Greenwicher Catalogen gänzlich fehlt, konnten doch seine absoluten Positionen mit genügender Genauigkeit aus den vorhandenen Meridianbeobachtungen abgeleitet werden. Ich bemerke noch, dass ich im nachfolgenden alles auf das System des Fundamentalcatalogs der A. G. bezog und hiezu hauptsächlich die Auwers' und Newcomb'schen systematischen Correctionen benützte. Wo solche fehlten, habe ich die letzteren nach eigenen Vergleichungen eingesetzt.

Rectascension.

Autorität	Beob. AR.	Epoche d. Catalogs	Epoche der Beob.	Anzahl der Beob.	Präcession	Systemat. Verbessg.	AR 1890.0	Gew.
	h m s				m s	s	h m s	
1. Piazzi . . .	2 5 8.15	1800	1804.9	5	+ 6 12.65	+ 0.32	2 11 21.12	1.5
2. Groombridge .	5 49.30	1810	11.0	6	5 31.53	+ 0.23	21.06	1.5
3. Taylor . . .	7 32.88	1835	37.0	1	3 48.42	− 0.03	21.27	0.5
4. Johnson . . .	8 14.21	1845	47.1	5	3 7.05	+ 0.02	21.28	3.0
5. Robinson . .	7 53.29	1840	53.9	2	3 27.74	+ 0.02	21.05	2.0
6. Main	9 16.17	1860	56.9	2	2 4.86	+ 0.01	21.04	3.0
7. Paris	9 16.31	1860	58.9	2	2 4.86	+ 0.08	21.25	2.0
8. Pulkowa VI .	8 55.52	1855	63.0	4	2 25.61	0.00	21.13	9.0
9. Brüssel . . .	9 37.07	1865	63.9	2	1 44.10	(0)	21.17	4.0
10. Bonn VI . .	8 55.46	1855	63.4	12	2 25.61	+ 0.03	21.10	8.0
11. Yarnall . . .	9 16.23	1860	65.3	2	2 4.86	+ 0.04	21.13	4.0
12. Pulkowa XI .	9 37.04	1865	65.9	7	1 44.10	0.00	21.14	9.0
13. Krüger, Zonen	10 18.47	1875	70.1	3	1 2.51	0.00	20.98	4.0
14. Becker . . .	10 18.60	1875	77.8	4	1 2.51	0.00	21.11	12.0
						Mittel:	$2^h 11^m 21^s.121$	$\pm 0^s.017$

Declination.

Autorität	Beob. Decl.	Epoche des Cat.	Epoche der Beob.	Anzahl der Beob.	Präcession	Systemat. Verbessg.	Decl. 1890.0	Gew.	Ausgegl.
	° ′ ″				′ ″	″	° ′ ″		″
1. Bradley (Auwers)	55 59 12.1	1755	1753.0	1	+ 38 23.79	0.00	56 37 35.89	1.0	37.04
2. Piazzi . . .	56 12 6.0	1800	1804.9	5	25 29.59	+0.51	36.10	1.5	36.38
3. Groombridge .	14 59.0	1810	1811.0	6	22 38.38	+0.49	37.87	1.0	36.30
4. Taylor . . .	22 4.51	1835	1837.0	3	15 31.68	+0.52	36.71	1.0	35.97
5. Johnson . . .	24 54.2	1845	1842.2	4	12 41.55	+0.18	35.93	3.0	35.90
6. Robinson . .	23 25.39	1840	1852.9	3	14 6.57	−0.37	(31.59)	0	35.76
7. Main	29 8.3	1860	1858.2	4	8 26.96	+0.25	35.51	4.5	35.70
8. Pulkowa VI .	27 44.4	1855	1863.0	4	9 51.75	0.00	36.15	9.0	35 64
9. Bonn VI . .	27 43.88	1855	1863.4	12	9 51.75	−0.06	35.57	8.0	35.63
10. Brüssel . . .	30 33.2	1865	1864.2	5	7 2.26	(0)	35.46	6.0	35.63
11. Yarnall . . .	29 9.2	1860	1866.9	2	8 26.96	+0 10	36.26	4.0	35.59
12. Krüger, Zonen .	33 21.7	1875	1870.1	3	4 13.11	0.00	34.81	4.0	35.54
13. Becker . . .	33 22.1	1875	1877.8	4	4 13.11	0.00	35.21	12.0	35.45

Da die nach ihrer Beobachtungsepoche geordneten Declinationen eine schwache Eigenbewegung vermuthen liessen, habe ich dieselben unter Annahme einer solchen ausgeglichen und erhalten

$$\delta\ 1890.0 = 56^\circ\ 37'\ 35''.29 \pm 0''.16$$

$$\text{Jährl. E. B.} = -0''.0128 \pm 0''.0069$$

Es sind demnach die Positionen des Hauptsternes 1 für die Epoche 1890.0

$$\alpha = 2^h\ 11^m\ 21^s.121$$

$$\delta = 56^\circ\ 37'\ 35''.29$$

Unter Benützung der eben erhaltenen absoluten Positionen des Nullpunktes der sämmtlichen Differenzen, sowie der ausgeglichenen Werthe dieser letzteren (S. 66 bis 72) ergab sich das nachfolgende Sternverzeichniss, zu dem vielleicht noch zu bemerken wäre, dass die Präcessionen (nach Struve) und deren hundertjährige Aenderungen unter Benutzung kleiner Hilfstafeln berechnet wurden und dass für alle Sterne die Coefficienten für die von der dritten Potenz der Zeit abhängigen Glieder + 0ˢ.029 und − 0″.348 sind.

Verzeichniss der Positionen von 126 Sternen des Sternhaufens 38h Persei für 1890.0

Nr.	Grösse	AR 1890.0	Präcession 1890	Var. Saec.	δ 1890.0	Präcession 1890	Var. Saec.
		h m s	s	s	° ′ ″	″	″
104	10.1	2 8 51.921	+ 4.1503	+ 0.0723	56 31 29.42	+ 16.966	− 0.330
69	10.0	2 9 3.007	4.1545	0.0726	56 35 33.22	16.957	0.331
63	7.1	2 9 5.498	4.1517	0.0723	56 31 0.96	16.955	0.330
62	6.6	2 9 10.606	4.1534	0.0724	56 32 34.65	16.951	0.331
68	8.9	2 9 16.054	4.1561	0.0726	56 37 5.03	16.947	0.331
64	9.8	2 9 18.730	+ 4.1562	+ 0.0725	56 35 15.22	+ 16.945	− 0.331
106	11.0	2 9 38.802	4.1589	0.0726	56 35 28.87	16.930	0.332
107	11.0	2 9 43.840	4.1596	0.0726	56 35 36.35	16.925	0.332
102	10.5	2 9 45.047	4.1568	0.0723	56 31 22.11	16.924	0.332
103	11.0	2 9 51.447	4.1573	0.0723	56 30 49.59	16.919	0.332

Nr.	Grösse	AR 1890.0	Präcession 1890	Var. Saec.	δ 1890.0	Präcession 1890.0	Var. Saec.
		h m s	s	s	° ′ ″	″	″
66	9.4	2 9 53.215	+4.1600	+0.0725	56 34 27.95	+16.918	−0.333
100	10.4	2 9 55.305	4.1588	0.0724	56 32 19.76	16.916	0.333
70	9.0	2 9 56.551	4.1651	0.0729	56 41 17.55	16.915	0.334
67	10.2	2 9 57.392	4.1609	0.0726	56 35 4.73	16.915	0.333
101	10.5	2 9 57.496	4.1585	0.0723	56 31 33.49	16.914	0.333
67a	10.8	2 10 1.178	+4.1617	+0.0726	56 35 30.88	+16.912	−0.333
99	10.8	2 10 3.177	4.1610	0.0725	56 34 7.94	16.911	0.333
65	8.7	2 10 7.757	4.1620	0.0726	56 34 46.51	16.906	0.333
95	10.3	2 10 14.616	4.1644	0.0727	56 37 3.25	16.901	0.334
61	10.2	2 10 27.478	4.1703	0.0730	56 43 7.96	16.891	0.336
94	10.8	2 10 28.924	+4.1608	+0.0722	56 29 15.13	+16.890	−0.334
50	9.9	2 10 29.136	4.1676	0.0728	56 39 3.38	16.890	0.336
98a	12.0	2 10 29.356	4.1713	0.0731	56 43 37.	16.890	0.336
98	10.5	2 10 31.824	4.1713	0.0731	56 43 55.40	16.888	0.336
48	9.2	2 10 32.170	4.1684	0.0728	56 39 39.09	16.888	0.336
54	9.4	2 10 33.898	+4.1702	+0.0730	56 41 54.25	+16.886	−0.336
49	10.1	2 10 34.768	4.1680	0.0728	56 38 39.28	16.885	0.336
56	9.5	2 10 36.121	4.1717	0.0731	56 43 37.21	16.884	0.336
49a	11.5	2 10 36.854	4.1680	0.0728	56 38 8.88	16.884	0.335
36	9.8	2 10 37.591	4.1641	0.0725	56 32 27.37	16.883	0.335
35	8.8	2 10 40.659	+4.1640	+0.0724	56 31 45.60	+16.881	−0.335
34	8.2	2 10 40.951	4.1628	0.0723	56 30 0.44	16.880	0.335
47	9.6	2 10 41.889	4.1695	0.0728	56 39 28.34	16.880	0.336
46	9.8	2 10 43.705	4.1694	0.0728	56 39 0.64	16.878	0.336
96	10.3	2 10 44.291	4.1732	0.0731	56 44 24.20	16.878	0.336
52	8.1	2 10 44.827	+4.1716	+0.0730	56 41 54.39	+16.877	−0.336
51	9.8	2 10 45.245	4.1711	0.0730	56 41 8.81	16.877	0.336
45	9.0	2 10 46.838	4.1694	0.0728	56 38 27.58	16.876	0.335
97	10.6	2 10 49.174	4.1739	0.0731	56 44 26.13	16.874	0.336
53	9.2	2 10 49.377	4.1722	0.0730	56 42 4.34	16.874	0.336
79	9.8	2 10 50.218	+4.1753	+0.0732	56 48 42.13	+16.873	−0.337
55a	10.3	2 10 50.454	4.1731	0.0731	56 43 3.11	16.873	0.337
55	9.8	2 10 50.636	4.1732	0.0731	56 43 15.16	16.872	0.337
33	10.0	2 10 56.179	4.1657	0.0724	56 31 25.92	16.868	0.336
73	9.9	2 10 56.520	4.1768	0.0733	56 47 15.08	16.868	0.337
27	9.2	2 10 57.473	+4.1685	+0.0726	56 35 28.50	+16.867	−0.336
78	10.8	2 10 58.239	4.1763	0.0732	56 46 15.58	16.866	0.337
31	9.8	2 11 0.024	4.1678	0.0725	56 33 47.15	16.865	0.336
58	9.7	2 11 2.356	4.1751	0.0731	56 43 54.20	16.864	0.337
84	9.9	2 11 3.709	4.1653	0.0722	56 29 27.05	16.862	0.336
71	8.8	2 11 4.053	+4.1772	+0.0733	56 46 33.98	+16.862	−0.337
41	9.1	2 11 4.604	4.1710	0.0727	56 37 32.67	16.862	0.336
57	9.2	2 11 4.615	4.1754	0.0731	56 43 51.03	16.862	0.337
30	8.6	2 11 5.199	4.1682	0.0725	56 33 28.23	16.861	0.336
59	9.8	2 11 5.565	4.1744	0.0730	56 42 20.09	16.861	0.337
23	10.2	2 11 6.345	+4.1706	+0.0727	56 36 45.16	+16.860	−0.336
81	10.2	2 11 6.462	4.1666	0.0724	56 30 54.09	16.860	0.336
25	9.4	2 11 6.543	4.1696	0.0726	56 35 16.03	16.860	0.336
24a	12.1	2 11 6.602	4.1703	0.0727	56 36 14.05	16.860	0.336
26	9.8	2 11 6.877	4.1695	0.0726	56 34 59.33	16.860	0.336

Nr.	Grösse	AR 1890.0	Präcession 1890	Var. Saec.	Decl. 1890.0	Präcession 1890	Var. Saec.
		h m s	s	s	° ′ ″	″	″
14^b	11.5	2 11 7.392	+4.1718	+0.0728	56 38 7.62	+16.859	−0.336
14^c	11.7	2 11 7.9	4.1717	0.0728	56 38 2.85	16.859	0.336
14^a	10.7	2 11 7.976	4.1717	0.0728	56 37 59.04	16.859	0.336
24	11.5	2 11 9.825	4.1707	0.0727	56 36 11.74	16.858	0.336
60	9.9	2 11 10.285	4.1746	0.0730	56 41 42.42	16.857	0.337
14	9.5	2 11 10.610	+4.1719	+0.0728	56 37 48.83	+16.857	−0.337
16	9.8	2 11 11.005	4.1727	0.0728	56 38 56.18	16.857	0.337
22	11.2	2 11 11.225	4.1715	0.0727	56 37 8.13	16.856	0.337
15	9.8	2 11 12.355	4.1726	0.0728	56 38 33.30	16.856	0.337
82	10.0	2 11 12.936	4.1674	0.0724	56 30 51.81	16.855	0.337
28	10.1	2 11 13.192	+4.1740	+0.0729	56 40 18.18	+16.855	−0.337
22^a	11.8	2 11 13.668	4.1718	0.0727	56 37 9.83	16.854	0.337
15^a	12.5	2 11 14.067	4.1729	0.0728	56 38 39.83	16.854	0.337
13	11.0	2 11 14.383	4.1723	0.0728	56 37 44.89	16.854	0.337
32^a	10.3	2 11 15.190	4.1699	0.0725	56 34 10.32	16.853	0.337
10^a	11.2	2 11 15.383	+4.1724	+0.0728	56 37 38.77	+16.853	−0.337
12^a	12.0	2 11 15.425	4.1729	0.0728	56 38 17.86	16.853	0.337
17	9.8	2 11 15.578	4.1733	0.0728	56 38 53.80	16.853	0.337
12	9.5	2 11 15.602	4.1728	0.0728	56 38 9.39	16.853	0.337
11	9.5	2 11 16.837	4.1723	0.0727	56 38 11.53	16.852	0.337
10	11.0	2 11 16.882	+4.1727	+0.0728	56 37 49.91	+16.852	−0.337
32	9.7	2 11 17.427	4.1700	0.0725	56 33 54.32	16.852	0.337
18	10.1	2 11 17.475	4.1732	0.0728	56 38 30.02	16.851	0.337
29	9.9	2 11 18.096	4.1745	0.0729	56 40 10.66	16.851	0.337
32^c	11.5	2 11 18.699	4.1704	0.0725	56 34 50.58	16.851	0.337
9	11.0	2 11 19.827	+4.1731	+0.0728	56 37 48.28	+16.850	−0.337
32^b	11.0	2 11 20.632	4.1711	0.0726	56 34 48.91	16.849	0.337
1	6.5	2 11 21.121	4.1731	0.0728	56 37 35.29	16.849	0.337
105	9.6	2 11 22.572	4.1659	0.0721	56 26 58.58	16.848	0.336
2	9.5	2 11 23.081	4.1729	0.0727	56 37 1.47	16.847	0.337
21	10.6	2 11 23.198	+4.1738	+0.0728	56 38 19.71	+16.847	−0.337
20	9.9	2 11 23.491	4.1740	0.0728	56 38 32.21	16.847	0.337
3	10.6	2 11 25.440	4.1732	0.0727	56 36 59.91	16.845	0.337
5	9.5	2 11 25.790	4.1736	0.0728	56 37 34.24	16.845	0.337
7	9.1	2 11 26.956	4.1734	0.0727	56 37 5.58	16.844	0.337
6	9.0	2 11 27.095	+4.1736	+0.0727	56 37 18.08	+16.844	−0.337
83	9.4	2 11 27.877	4.1692	0.0724	56 30 57.84	16.843	0.337
4	9.8	2 11 30.152	4.1739	0.0727	56 37 11.91	16.842	0.337
19	6.5	2 11 30.252	4.1756	0.0729	56 39 37.60	16.841	0.338
19^a	9.8	2 11 32.840	4.1765	0.0729	56 40 27.84	16.839	0.338
80	9.8	2 11 33.406	+4.1794	+0.0731	56 44 26.34	+16.839	−0.338
8	11.8	2 11 34.350	4.1743	0.0727	56 36 58.30	16.838	0.338
37	10.1	2 11 39.144	4.1756	0.0728	56 37 58.84	16.835	0.338
85	9.6	2 11 40.889	4.1701	0.0723	56 29 46.56	16.833	0.337
39	9.8	2 11 42.578	4.1749	0.0727	56 36 21.78	16.832	0.338
86	10.2	2 11 42.595	+4.1706	+0.0723	56 30 16.56	+16.832	−0.338
44	9.1	2 11 43.176	4.1734	0.0725	56 34 11.55	16.831	0.338
38	9.3	2 11 43.765	4.1760	0.0728	56 37 47.14	16.831	0.338
19^b	10.3	2 11 44.939	4.1783	0.0730	56 40 54.05	16.830	0.338
38^a	10.5	2 11 45.216	4.1769	0.0728	56 38 45.99	16.830	0.338

Nr.	Grösse	AR 1890.0	Präcession 1890	Var. Saec.	δ 1890.0	Präcession 1890.0	Var. Saec.
		h m s	s	s	° ′ ″	″	″
40	10.1	2 11 45.263	+4.1753	+0.0727	56 36 34.12	+16.830	−0.338
38ᵇ	10.6	2 11 45.431	4.1773	0.0728	56 39 18.31	16.830	0.338
72	9.5	2 11 54.490	4.1829	0.0732	56 45 43.81	16.822	0.340
43	9.2	2 11 56.511	4.1757	0.0726	56 35 1.64	16.821	0.339
92	9.5	2 11 59.620	4.1713	0.0722	56 28 16.64	16.818	0.338
90	10.6	2 12 1.839	+4.1734	+0.0724	56 30 48.99	+16.817	−0.339
89	10.8	2 12 1.901	4.1727	0.0723	56 29 45.59	16.816	0.339
42	10.0	2 12 4.120	4.1772	0.0727	56 36 10.81	16.816	0.339
88	10.2	2 12 4.208	4.1734	0.0723	56 30 28.71	16.816	0.339
74	7.7	2 12 11.026	4.1870	0.0734	56 48 37.80	16.809	0.340
87	10.7	2 12 15.301	+4.1746	+0.0723	56 30 8.28	+16.808	−0.340
77	10.0	2 12 21.973	4.1802	0.0727	56 37 0.96	16.801	0.340
76	10.1	2 12 27.998	4.1805	0.0727	56 36 17.99	16.796	0.340
75	8.4	2 12 31.644	4.1803	0.0726	56 35 28.78	16.793	0.341
91	7.6	2 12 45.347	4.1776	0.0723	56 29 10.10	16.782	0.340
93	10.0	2 12 50.511	4.1788	0.0723	56 30 4.16	16.777	0.341

Vergleichungen.

Zur Vergleichung der beobachteten Differenzen boten sich, wie schon früher bemerkt wurde, ausser den von Herrn Prof. Krüger ausgeführten Beobachtungen des gleichen Sternhaufens am Bonner Heliometer noch diejenigen Lamont's am hiesigen Refractor und endlich Meridianbeobachtungen mehrerer hellen Sterne des Sternhaufens auf verschiedenen Sternwarten.

1. Vergleichung mit Krüger.

Herr Prof. Krüger hat aus den von ihm gemessenen Distanzen und Positionswinkeln die Coordinaten des am Schluss seiner Abhandlung mitgetheilten Verzeichnisses von 43 Sternen für das mittlere Aequinoctium 1855.0 berechnet; die mittlere Epoche seiner Beobachtungen dagegen ist etwa 1862.0. Ich habe deshalb, da Herr Krüger die Bessel'sche Präcessionsconstante benutzte, die für 1855.0 gegebenen Positionen desselben zunächst mit der Bessel'schen Präcession auf 1860.0 und hierauf mit der gegenwärtig wohl mehr gebräuchlichen Struve'schen Präcessionsconstanten auf das mittlere Aequinoctium 1890.0 reducirt. Bei zwei Sternen des Krüger'schen Verzeichnisses habe ich noch zwei Druck- oder Schreibfehler aufgefunden; nach S. 21, bezw. S. 19 der Krüger'schen Abhandlung sind dies folgende:

bei Stern Nr. 20, Declination:	statt	56° 21′ 43.″52	muss stehen	56° 21′ 53.″52
» » » 6, Rectascension:	»	32 8 0.23	» »	32 7 59.83

Ich habe dann aus dem, in obenerwähnter Weise auf 1890.0 reducirten Krüger'schen Verzeichniss die Differenzen der Positionen gegen den auch dort mit Nr. 1 bezeichneten hellsten Stern berechnet und erhielt damit folgende Vergleichungen, denen ich zur besseren Uebersicht noch die genäherten Distanzen und Positionswinkel der einzelnen Sterne gegen den Hauptstern 1 beigefügt habe.

Nr. O.	Nr. K.	Distz.	Pos. W.	Rectascensionsdifferenzen Krüger	Rectascensionsdifferenzen Oertel	Rectascensionsdifferenzen K-O	Declinationsdifferenzen Krüger	Declinationsdifferenzen Oertel	Declinationsdifferenzen K-O
		"	°	m s	m s	s	' "	' "	"
63	19	1188	70.6	— 2 15.649	— 2 15.623	— 0.026	— 6 33.94	— 6 34.33	+ 0.39
62	18	1119	74.4	— 2 10.489	— 2 10.515	+ 0.026	— 5 0.42	— 5 0.64	+ 0.22
68	34	1033	88.3	— 2 4.968	— 2 5.067	+ 0.099	— 0 30.22	— 0 30.26	+ 0.04
66	29	750	75.5	— 1 27.871	— 1 27.906	+ 0.035	— 3 7.00	— 3 7.34	+ 0.34
70	30	732	107.7	— 1 24.442	— 1 24.570	+ 0.128	+ 3 42.18	+ 3 42.26	— 0.08
65	28	629	74.4	— 1 13.375	— 1 13.364	— 0.011	— 2 48.38	— 2 48.78	+ 0.40
48	27	432	107.1	— 0 48.827	— 0 48.951	+ 0.124	+ 2 4.09	+ 2 3.80	+ 0.29
54	42	468	123.6	— 0 47.062	— 0 47.223	+ 0.161	+ 4 19.36	+ 4 18.96	+ 0.40
35	20	484	43.7	— 0 40.488	— 0 40.462	— 0.026	— 5 49.06	— 5 49.69	+ 0.63
34	5	563	36.1	— 0 40.249	— 0 40.170	— 0.079	— 7 34.47	— 7 34.85	+ 0.38
52	4	396	130.9	— 0 36.170	— 0 36.294	+ 0.124	+ 4 19.05	+ 4 19.10	— 0.05
45	14	288	100.5	— 0 34.237	— 0 34.283	+ 0.046	+ 0 52.41	+ 0 52.29	+ 0.12
53	15	375	135.8	— 0 31.601	— 0 31.744	+ 0.143	+ 4 29.14	+ 4 29.05	+ 0.09
27	6	233	57.0	— 0 23.626	— 0 23.648	+ 0.022	— 2 6.63	— 2 6.79	+ 0.16
71	24	557	165.4	— 0 16.972	— 0 17.068	+ 0.096	+ 8 58.57	+ 8 58.69	— 0.12
57	25	400	160.1	— 0 16.355	— 0 16.506	+ 0.151	+ 6 15.74	+ 6 15.74	0.00
41	9	136	88.9	— 0 16.460	— 0 16.517	+ 0.057	— 0 2.41	— 0 2.62	+ 0.21
30	13	280	28.0	— 0 15.933	— 0 15.922	— 0.011	— 4 6.88	— 4 7.06	+ 0.18
25	23	184	40.8	— 0 14.585	— 0 14.578	— 0.007	— 2 18.86	— 2 19.26	+ 0.40
14	8	88	98.9	— 0 10.477	— 0 10.511	+ 0.034	+ 0 13.59	+ 0 13.54	+ 0.05
12	17	57	126.8	— 0 5.456	— 0 5.519	+ 0.063	+ 0 34.24	+ 0 34.10	+ 0.14
11	16	52	135.7	— 0 4.224	— 0 4.284	+ 0.060	+ 0 36.39	+ 0 36.24	+ 0.15
105	46	637	358.9	+ 0 1.358	+ 0 1.451	— 0.093	— 10 36.19	— 10 36.71	+ 0.52
2	10	38	334.5	+ 0 1.992	+ 0 1.960	+ 0.032	— 0 33.56	— 0 33.82	+ 0.26
5	3	39	271.6	+ 0 4.714	+ 0 4.669	+ 0.045	— 0 0.70	— 0 1.05	+ 0.35
7	*d*	57	301.7	+ 0 5.821	+ 0 5.835	— 0.014	— 0 29.52	— 0 29.71	+ 0.19
6	*d*	52	289.3	+ 0 5.937	+ 0 5.974	— 0.037	— 0 16.82	— 0 17.21	+ 0.39
83	22	401	352.0	+ 0 6.682	+ 0 6.756	— 0.074	— 6 37.10	— 6 37.45	+ 0.35
4	36	78	287.4	+ 0 9.129	+ 0 9.031	+ 0.098	— 0 23.14	— 0 23.38	+ 0.24
19	2	144	211.6	+ 0 9.213	+ 0 9.131	+ 0.082	+ 2 2.46	+ 2 2.31	+ 0.15
85	43	496	340.8	+ 0 19.597	+ 0 19.768	— 0.171	— 7 48.04	— 7 48.73	+ 0.69
39	37	192	247.5	+ 0 21.533	+ 0 21.457	+ 0.076	— 1 13.25	— 1 13.51	+ 0.26
44	11	273	318.2	+ 0 22.041	+ 0 22.055	— 0.014	— 3 23.33	— 3 23.74	+ 0.41
38	7	187	266.4	+ 0 22.674	+ 0 22.644	+ 0.030	+ 0 12.14	+ 0 11.85	+ 0.29
72	35	561	209.4	+ 0 33.522	+ 0 33.369	+ 0.153	+ 8 8.70	+ 8 8.52	+ 0.18
43	21	330	287.7	+ 0 35.323	+ 0 35.390	— 0.067	— 2 33.32	— 2 33.65	+ 0.33
92	44	643	330.3	+ 0 38.413	+ 0 38.499	— 0.086	— 9 18.32	— 9 18.65	+ 0.33
74	12	780	211.8	+ 0 50.092	+ 0 49.905	+ 0.187	+ 11 2.66	+ 11 2.51	+ 0.15
75	26	596	282.3	+ 1 10.459	+ 1 10.523	— 0.064	— 2 6.19	— 2 6.51	+ 0.32
91	31	860	306.0	+ 1 24.082	+ 1 24.226	— 0.144	— 8 24.61	— 8 25.19	+ 0.58

Von den 40 Differenzen (*K-O*) sind in AR. 24 positiv, 16 negativ; in Decl. 36 positiv, 3 negativ, 1 null. Würde man schlechthin aus allen Differenzen in jeder der beiden Coordinaten das Mittel nehmen, so wäre

$$d\alpha = +\ 0^s\!.0288 \pm 0^s\!.0139$$

oder im Bogen grössten Kreises

$$d\alpha = +\ 0''\!.24 \pm 0''\!.12$$

und ferner

$$d\delta = +\ 0.26 \pm 0.03$$

und es würde, wenn man als alleinige Ursache dieser Differenzen etwa eine kleine relative Eigenbewegung des Nullpunktes annehmen würde, diese letztere in einem Positionswinkel von $42^\circ\, 42'.5$ (v. Nord über West gez.) stattfinden und in Distanz in etwa 26 Jahren $0''.35$, pro Jahr also $0''.013$ betragen.

Die schlechte Uebereinstimmung der Unterschiede in den AR-Differenzen veranlasste mich jedoch zu einer strengen Ausgleichung aller Unterschiede unter Annahme einer bestimmten Form der Fehlergleichungen umsomehr, als diese Unterschiede besonders in AR. für die meisten Sterne mit ihrer Distanz vom Hauptstern zu wachsen schienen und die Wirkung der Positionswinkel auf das Vorzeichen dieser Unterschiede aus der obigen Zusammenstellung nicht ohne weiters ersichtlich ist. Indem ich zunächst die Unterschiede in beiden Coordinaten getrennt untersuchte, gab ich den Fehlergleichungen folgende Form

1) in AR:

$$\Delta\alpha \cos\delta = x + D \sin p \cdot y + D \cos p \cdot z$$

2) in Decl.:

$$\Delta\delta = x' + D \cos p \cdot y - D \sin p \cdot z$$

wo D die Distanz, p den Positionswinkel des betreffenden Sternes gegen den Hauptstern 1 bedeutet und ferner entspricht

x, x' der relativen Eigenbewegung des letzteren in AR, bezw. in Decl.
y einem etwaigen Fehler in den Distanzen
z einer Drehung des ganzen Sternhaufens.

Da $D \sin p = (\alpha' - \alpha) \cos\delta$ und $D \cos p = \delta' - \delta$ ist, kann man den obigen Fehlergleichungen auch die Form geben

$$\Delta\alpha \cos\delta = x + (\alpha' - \alpha) \cos\delta \cdot y + (\delta' - \delta)\, z$$

$$\Delta\delta = x' + (\delta' - \delta)\, y - (\alpha' - \alpha) \cos\delta \cdot z$$

und es sind alsdann die Coefficienten von y und z in beiden Gleichungen schon bekannt (vgl. die Zusammenstellungen auf S. 66 bis 72).

Um nicht zu grosse Zahlen zu erhalten, dividirte ich in beiden Systemen die Coefficienten von y und z mit 100, indem ich nunmehr unter y und z den Fehler der Distanz und den Betrag der Drehung für je 100 Secunden Distanz verstand. Damit erhielt ich die nachstehenden Fehlergleichungen:

Stern	In AR.	In Decl.
63	$x - 11.2\,y - 3.9\,z = -0''.21$	$x' - 3.9\,y + 11.2\,z = +0''.39$
62	$x - 10.8\,y - 3.0\,z = +0.21$	$x' - 3.0\,y + 10.8\,z = +0.22$
68	$x - 10.3\,y - 0.3\,z = +0.82$	$x' - 0.3\,y + 10.3\,z = +0.04$
66	$x - 7.3\,y - 1.9\,z = +0.29$	$x' - 1.9\,y + 7.3\,z = +0.34$
70	$x - 7.0\,y + 2.2\,z = +1.06$	$x' + 2.2\,y + 7.0\,z = -0.08$
65	$x - 6.1\,y - 1.7\,z = -0.09$	$x' - 1.7\,y + 6.1\,z = +0.40$
48	$x - 4.0\,y + 1.2\,z = +1.02$	$x' + 1.2\,y + 4.0\,z = +0.29$
54	$x - 3.9\,y + 2.6\,z = +1.33$	$x' + 2.6\,y + 3.9\,z = +0.40$
35	$x - 3.3\,y - 3.5\,z = -0.21$	$x' - 3.5\,y + 3.3\,z = +0.63$
34	$x - 3.3\,y - 4.5\,z = -0.65$	$x' - 4.5\,y + 3.3\,z = +0.38$
52	$x - 3.0\,y + 2.6\,z = +1.02$	$x' + 2.6\,y + 3.0\,z = -0.05$
45	$x - 2.8\,y + 0.5\,z = +0.38$	$x' + 0.5\,y + 2.8\,z = +0.12$
53	$x - 2.6\,y + 2.7\,z = +1.18$	$x' + 2.7\,y + 2.6\,z = +0.09$
27	$x - 2.0\,y - 1.3\,z = +0.18$	$x' - 1.3\,y + 2.0\,z = +0.16$
71	$x - 1.4\,y + 5.4\,z = +0.79$	$x' + 5.4\,y + 1.4\,z = -0.12$
57	$x - 1.4\,y + 3.2\,z = +1.24$	$x' + 3.2\,y + 1.4\,z = 0.00$
41	$x - 1.4\,y - 0.0\,z = +0.47$	$x' - 0.0\,y + 1.4\,z = +0.21$
30	$x - 1.3\,y - 2.5\,z = -0.09$	$x' - 2.5\,y + 1.3\,z = +0.18$
25	$x - 1.2\,y - 1.4\,z = -0.06$	$x' - 1.4\,y + 1.2\,z = +0.40$
14	$x - 0.9\,y + 0.1\,z = +0.28$	$x' + 0.1\,y + 0.9\,z = +0.05$
12	$x - 0.5\,y + 0.3\,z = +0.52$	$x' + 0.3\,y + 0.5\,z = +0.14$

Stern	In AR.	In Decl.
11	$x - 0.4\,y + 0.4\,z = +0''.50$	$x' + 0.4\,y + 0.4\,z = +0''.15$
105	$x + 0.1\,y - 6.4\,z = -0.77$	$x' - 6.4\,y - 0.1\,z = +0.52$
2	$x + 0.2\,y - 0.3\,z = +0.26$	$x' - 0.3\,y - 0.2\,z = +0.26$
5	$x + 0.4\,y - 0.0\,z = +0.37$	$x' - 0.0\,y - 0.4\,z = +0.35$
7	$x + 0.5\,y - 0.3\,z = -0.12$	$x' - 0.3\,y - 0.5\,z = +0.19$
6	$x + 0.5\,y - 0.2\,z = -0.31$	$x' - 0.2\,y - 0.5\,z = +0.39$
83	$x + 0.6\,y - 4.0\,z = -0.61$	$x' - 4.0\,y - 0.6\,z = +0.35$
4	$x + 0.8\,y - 0.2\,z = +0.81$	$x' - 0.2\,y - 0.8\,z = +0.24$
19	$x + 0.8\,y + 1.2\,z = +0.68$	$x' + 1.2\,y - 0.8\,z = +0.15$
85	$x + 1.6\,y - 4.7\,z = -1.41$	$x' - 4.7\,y - 1.6\,z = +0.69$
39	$x + 1.8\,y - 0.7\,z = +0.66$	$x' - 0.7\,y - 1.8\,z = +0.26$
44	$x + 1.8\,y - 2.0\,z = -0.12$	$x' - 2.0\,y - 1.8\,z = +0.41$
38	$x + 1.9\,y + 0.1\,z = +0.25$	$x' + 0.1\,y - 1.9\,z = +0.29$
72	$x + 2.7\,y + 4.9\,z = +1.26$	$x' + 4.9\,y - 2.7\,z = +0.18$
43	$x + 2.9\,y - 1.2\,z = -0.55$	$x' - 1.2\,y - 2.9\,z = +0.33$
92	$x + 3.2\,y - 5.6\,z = -0.71$	$x' - 5.6\,y - 3.2\,z = +0.33$
74	$x + 4.1\,y + 6.6\,z = +1.54$	$x' + 6.6\,y - 4.1\,z = +0.15$
75	$x + 5.8\,y - 1.3\,z = -0.53$	$x' - 1.3\,y - 5.8\,z = +0.32$
91	$x + 7.0\,y - 5.1\,z = -1.19$	$x' - 5.1\,y - 7.0\,z = +0.58$

Aus den vorstehenden Fehlergleichungen ergaben sich zunächst in Rectascension die Normalgleichungen

$$\begin{aligned} +\,40.00\,x - 49.40\,y - 22.00\,z &= +\,9.49 \\ -\,49.40\,x + 718.88\,y + 39.25\,z &= -\,40.94 \\ -\,22.00\,x + 39.25\,y + 353.52\,z &= +\,67.18 \end{aligned}$$

deren Auflösung die gesuchten Unbekannten und deren mittlere Fehler wie folgt lieferte

$$\begin{aligned} x &= +\,0''.2951 \pm 0''.0542 \\ y &= -\,0.0484 \pm 0.0113 \\ z &= +\,0.2138 \pm 0.0157 \end{aligned}$$

Es wäre sonach in der Zeit von 25 Jahren, um welche im Mittel die neuen Beobachtungen von denen des Herrn Prof. Krüger abstehen werden, aus den AR-Differenzen

a) Die Verschiebung (relative Eigenbewegung) des Nullpunktes in AR . . $+\,0''.30$
b) Der Fehler für 100″ Distanz $-\,0''.0484$
c) Der Fehler der Positionswinkel, i. e. die Drehung des Sternhaufens . . $+\,7'.35$

In Declination fanden sich weiter folgende Normalgleichungen

$$\begin{aligned} +\,40.00\,x' - 22.00\,y + 49.40\,z &= +\,10.33 \\ -\,22.00\,x' + 353.52\,y - 39.25\,z &= -\,20.61 \\ +\,49.40\,x' - 39.25\,y + 718.88\,z &= +\,6.35 \end{aligned}$$

und durch deren Auflösung

$$\begin{aligned} x' &= +\,0''.2471 \pm 0''.0212 \\ y &= -\,0.0441 \pm 0.0068 \\ z &= -\,0.0106 \pm 0.0049 \end{aligned}$$

Somit aus den Declinationsdifferenzen:

a) die relative Eigenbewegung des Nullpunktes in Declination $+\,0''.25$
b) der Fehler für 100″ Distanz $-\,0''.0441$
c) die Drehung des Sternhaufens $-\,0'.36$

Die Ausgleichung der Unterschiede in AR. und Decl. für sich lieferte also die relative Eigenbewegung des Nullpunktes nicht wesentlich verschieden von den durch einfaches Mittelziehen

erhaltenen Werthen (S. 79); den Fehler der Distanzen in sehr guter Uebereinstimmung zu etwa — 0."046 pro 100" Distanz; den Betrag der Drehung des Sternhaufens in beiden Fällen dagegen sehr verschieden, freilich auch nicht sehr sicher.

Da die Unbekannten y und z in beiden Gleichungssystemen die nämlichen sind, empfahl es sich noch, die sämmtlichen 80 Fehlergleichungen zusammen zu fassen, neue Normalgleichungen aufzustellen und aus denselben die Werthe der vier Unbekannten gemeinsam und endgiltig abzuleiten. Diese neuen Normalgleichungen liessen sich aus den vorigen direct anschreiben, sie lauten:

$$\begin{array}{rrrrl} +40.00\,x & \cdot & -49.40\,y & -22.00\,z & = +9.49 \\ \cdot & +40.00\,x' & -22.00\,y & +49.40\,z & = +10.33 \\ -49.40\,x & -22.00\,x' & +1072.40\,y & \cdot & = -61.55 \\ -22.00\,x & +49.40\,x' & \cdot & +1072.40\,z & = +73.53 \end{array}$$

und ihre Auflösung gibt

$$\begin{aligned} x &= +0.''2190 \pm 0.''073 \\ x' &= +0.1524 \pm 0.073 \\ y &= -0.0442 \pm 0.014 \\ z &= +0.0660 \pm 0.014 \end{aligned}$$

Hält man diese letzteren Resultate fest, so liefert die Vergleichung der hiesigen neuen Messungen mit denen des Herrn Prof. Krüger folgende, nicht uninteressante Ergebnisse:

1) Der Hauptstern 1 besitzt gegen den ganzen Sternhaufen eine relative Eigenbewegung, welche nach Grösse und Richtung wie folgt gegeben ist

Eigenbewegung in 25 Jahren (1887.5 — 1862.5) $\Delta d = +0.''267$
also rund für 1 Jahr $\Delta d = +0.011$
und zwar im Positionswinkel $p = 55.^\circ2$

Ich möchte hier daran erinnern, dass bei Ableitung der absoluten Positionen des Hauptsternes in Declination (S. 75) eine schwache, nach Süden gerichtete Eigenbewegung desselben aus den Meridianbeobachtungen hervorging. Es müsste also der ganze Sternhaufen eine stärkere, nach Süden gerichtete absolute Eigenbewegung haben, damit die relative E. B. des Nullpunktes eine nördliche werden kann. Ob dies wirklich der Fall ist, können nur die Vergleichungen ausreichend vieler Meridianbeobachtungen von anderen Sternen des Sternhaufens zeigen.

2) Der von Herrn Prof. Krüger benützte Schraubenwerth des Bonner Heliometers lieferte etwas zu grosse Distanzen, seine Correction beträgt für 100" Distanz — 0."044. Diese Thatsache dürfte aus den vorstehenden Vergleichungen unwiderlegbar hervorgehen, indem sowohl die Rectascensionsdifferenzen, welche ich nur mit der Uhr beobachtete, als auch die Declinationsdifferenzen je für sich und auch zusammengenommen völlig übereinstimmende Werthe von y liefern. Diese letztere Uebereinstimmung glaube ich auch als ein günstiges Zeichen für die Richtigkeit des von mir bestimmten und benutzten Schraubenwerthes des hiesigen Refractormikrometers betrachten zu dürfen.

3) Eine bemerkenswerthe Drehung des ganzen Sternhaufens scheint nicht stattzufinden; jedenfalls ist dieselbe nur sehr gering, da sie nach unseren Ausgleichungen für 100" Distanz in 25 Jahren erst den Betrag von + 2.'27, pro Jahr also höchstens den von + 0.'09 erreicht.

2. Vergleichungen mit von Lamont.

Es wurde schon Eingangs erwähnt, dass v. Lamont in der Hauptsache nur Positionswinkel gemessen hat. Einige wenige Schraubenmessungen und die einzige mit der Uhr gemessene AR-Differenz, welche sich auf S. 316 des XVII. Bandes der „Annalen der Münchener Sternwarte“ abgedruckt finden, möchte ich vorweg erledigen. Zunächst ergaben sich noch durch Vergleichung der Lamont'schen Originalaufschreibungen mit S. 316 des eben erwähnten Bandes folgende Verbesserungen zu demselben:

Zeile 12 v. unten sind die Buchstaben x und y mit einander zu vertauschen
„ 9 „ „ statt Nr. 3 ist zu lesen Nr. 7
„ 8 „ „ bei Nr. 2 statt $+ 1^r\ 26p$ ist zu lesen $+ 1^r 26.5p$
und entsprechend statt $+ 17''.28$ ist zu lesen $+ 17''.34$

Nach diesen Vorausschickungen gehe ich zur Vergleichung der, mit Ausnahme der Differenz 1—41, welche auf 10 einfachen Fadendurchgängen beruht, nur durch je eine einzige Schraubeneinstellung gemessenen Coordinaten v. Lamont's über. Ich habe dieselben mit Hilfe der Ausdrücke

$$\Delta\alpha \cos\delta = +\ 0.3650\ \frac{(\alpha'-\alpha)''}{100} + 0.5024\ \frac{(\delta'-\delta)''}{100}$$

$$\Delta\delta = -\ 0.2773\ \frac{(\alpha'-\alpha)''}{100}$$

auf das mittlere Aequinoctium 1890.0 reducirt und erhielt

a. von Lamont—Oertel.

Nr. O.	Nr. v. L.	Distz.	Pos.W.	Rectascensionsdifferenzen v. Lamont	Oertel	v. L.—O.	Declinationsdifferenzen v. Lamont	Oertel	v. L.—O.
		"	°	"	"	"			
41	41	136	88.9	— 136.09	— 136.29	+ 0.20	—	—	—
19	19	144	211.6	+ 77.13	+ 75.31	+ 1.82	+ 125''.36	+ 122''.31	+ 3''.05
4	10	78	287.4	—	—	—	— 22.01	— 23.38	+ 1.37
6	6	52	289.3	+ 50.41	+ 49.30	+ 1.11	— 15.77	— 17.21	+ 1.44
7	7	57	301.7	—	—	—	— 28.51	— 29.71	+ 1.20
2	2	38	334.5	+ 17.24	+ 16.17	+ 1.07	— 31.58	— 33.82	+ 2.24
20	25	60	199.0	+ 19.88	+ 19.55	+ 0.33	+ 56.43	+ 56.92	— 0.49
18	57	62	151.2	— 27.72	— 30.08	+ 2.36	+ 56.56	+ 54.73	+ 1.83
12ª	54	63	132.2	— 44.56	— 46.99	+ 2.43	+ 43.30	+ 42.57	+ 0.73
13	34	56	99.8	— 53.63	— 55.60	+ 1.97	+ 11.53	+ 9.60	+ 1.93
22ª	38	67	67.5	— 80.62	— 81.67	+ 1.05	— 25.83	— 27.16	+ 1.33
16	50	116	134.1	— 82.14	— 83.45	+ 1.31	+ 81.25	+ 80.89	+ 0.36
14	47	88	98.9	— 86.47	— 86.73	+ 0.26	+ 15.32	+ 13.54	+ 1.78

Im Mittel aus 11, bezw. 12 gemeinschaftlichen Differenzen folgt sonach aus der obigen Vergleichung

in AR. *v. L.—O.* = + 1''.265
„ Decl. *v. L.—O.* = + 1''.398

und es würde hieraus sich eine relative Eigenbewegung des Nullpunktes ergeben, welche im Positionswinkel 42°.8 erfolgte und in 52 Jahren den Betrag von 1''.885, pro Jahr also rund 0''.036 erreichen würde, d. i. über dreimal soviel, als S. 81 die Vergleichungen mit Herrn Krüger lieferten. Bei der grossen Ungenauigkeit, welche den Lamont'schen Coordinaten anhaftet (die ja mit einer einzigen Ausnahme sämtlich nur auf einer einzigen Schraubeneinstellung beruhen), wird man auf diese Disharmonie nicht viel Gewicht legen dürfen. Immerhin muss die Erscheinung, dass nahezu alle Differenzen das gleiche Vorzeichen haben, als eine auffallende, durch das Obige nicht ausreichend erklärbare bezeichnet werden; auch ein falscher Schraubenwerth bei v. Lamont könnte hievon nicht die Ursache sein.

Als Herr Prof. Krüger seine Beobachtungen des Sternhaufens 38 h Persei veröffentlichte, waren jene v. Lamont's noch nicht gedruckt, also Vergleichungen nicht möglich. Es dürfte deshalb von Interesse sein, für die wenigen Sterne, welche beide Beobachter gemeinschaftlich haben, die entsprechenden Vergleichungen, zunächst für die Coordinatendifferenzen, hier einzuschalten. Ich

habe diese Vergleichungen für das mittlere Aequinoctium 1860.0 angestellt; indem ich die v. Lamont'schen Differenzen nach Massgabe der folgenden Quantitäten verbesserte

$$\varDelta\alpha \cos\delta = +\ 0.1600\ \frac{(\alpha'-\alpha)''}{100} +\ 0.2180\ \frac{(\delta'-\delta)''}{100}$$

$$\varDelta\delta = -\ 0.1206\ \frac{(\alpha'-\alpha)''}{100}$$

erhielt ich

b. von Lamont—Krüger.

Nr.		Distz.	Pos. W.	Rectascensionsdifferenzen			Declinationsdifferenzen		
K.	*v. L.*			*v. Lamont*	*Krüger*	*v. L.—K.*	*v. Lamout*	*Krüger*	*v. L.—K.*
		"	°	"	"	"			
9	41	136	88.9	— 135.79	— 135.83	+ 0.04	—	—	—
2	19	144	211.6	+ 76.62	+ 75.60	+ 1.02	+ 125."48	+ 122."67	+ 2."81
36	10	78	287.4	—	—	—	— 21.89	— 22.93	+ 1.04
d	6	52	289.3	+ 50.36	+ 49.03	+ 1.33	— 15.69	— 16.67	+ 0.98
d	7	57	301.7	—	—	—	— 28.44	— 29.37	+ 0.93
10	2	38	334.5	+ 17.30	+ 16.53	+ 0.77	— 31.55	— 33.50	+ 1.95
8	47	88	98.9	— 86.34	— 86.49	+ 0.25	+ 15.18	+ 13.35	+ 1.83

Es folgen hieraus die Mittelwerthe

in AR: *v. L.—K.* = + 0."682
in Decl.: *v. L.—K.* = + 1.590

wonach eine relative Eigenbewegung des Hauptsternes im Positionswinkel 23°13' und für 26 Jahre im Betrag von 1."730, also pro Jahr von 0."067 stattfinden würde. Man wird diesem Resultat noch weniger Zutrauen schenken dürfen, als dem vorigen, weil die Anzahl der gemeinschaftlichen Differenzen hier auf 5, bezw. 6 herabsinkt. Dagegen fällt auch hier wieder auf, dass alle Differenzen *v. L.—K.* positives Vorzeichen besitzen und es lässt sich also die Annahme, dass die v. Lamont'schen Schraubenmessungen durch constante Fehler entstellt seien, nicht zurückweisen. Ich unterliess es, hierüber nähere Untersuchungen anzustellen, weil mir dieselben völlig aussichtslos erschienen. Da v. Lamont alle Messungen an einem Abend ausführte, könnte recht wohl eine fehlerhafte Coincidenzbestimmung des festen und des messenden Fadens Schuld sein; auch könnten starke fortschreitende Fehler der Schraube die Messungen im obigen Sinne entstellt haben. Es ist jedoch nicht wahrscheinlich, dass einem Beobachter vom Range v. Lamont's die letzteren entgangen wären.

Ich gehe nun dazu über, v. Lamont's gemessene Positionswinkel mit den aus meinen Beobachtungen berechneten zu vergleichen. Vor allem habe ich das auf S. 317 bis 323 des XVII. Bandes der Annalen der Münchener Sternwarte gedruckte Verzeichniss der v. Lamont'schen Positionswinkel an der Hand der Originalaufschreibungen näher untersucht und fand hiebei, dass dieses Verzeichniss nachfolgender Verbesserungen und Ergänzungen bedarf:

Seite 319, erste Reihe, Zeile 22 v. unten statt 45° 59' muss stehen 45° 57'
» 319, » » » 1 » » » 42—58, 76° 44' » » 52—58, 76° 14'
» 319, zweite » » 23 » » » 58—46 » » 38—46
» 319, » » » 9 » » » 93° 38' » » 93° 58'
» 319, » » » 1 » » nach 141° 4' ist noch einzuschalten: 141° 7'
» 320, erste » » 8 » oben: Im Original ist bemerkt »Gewiss unrichtig! Vielleicht 10—12.«
» 321, » » » 13 » unten: statt 101° 5' muss stehen 101° 25'

Seite 321,	erste	Reihe, Zeile	11	v. unten	nach	108° 7′	ist noch einzuschalten	108° 4′
» 321,	zweite	» »	10	» oben	statt	66—58	muss stehen	66—68
» 322,	erste	» »	17	» »	»	103°	» »	143°
» 322,	»	» »	18 u. 19	» »	»	102°	» »	142
» 322,	zweite	» »	7	» »	»	117° 28′	» »	117° 26′
» 323,	erste	» »	7	» »	»	66° 17′	» »	66° 57′

Eine nicht unbedeutende Anzahl von Positionswinkelmessungen aus den Jahren 1841 und 1842, welche hauptsächlich für die nachfolgenden Vergleichungen von Wichtigkeit sind, konnten im v. Lamont'schen Beobachtungsverzeichniss nicht abgedruckt werden, weil, wie v. Lamont am Schluss der Einleitung zu den Refractorbeobachtungen, S. 290 des XVII. Bandes der Annalen bemerkte, die beiden Refractorhefte von October 1839 bis Ende August 1842 verlegt worden waren. Diese zwei Hefte sind nunmehr wieder aufgefunden worden, sie enthalten die nachfolgenden Positionswinkelbeobachtungen unseres Objectes:

1841, März 26	1—19	32° 25′ — 1° 0′	1841, März 26	6—10	102° 55′ — 1° 0′	1842, April 21	1—2	334° 27′ — 46′.8
		32 10		7—10	78 3		1—3	318 47
	5—19	16 55			77 3			316 35
	6—19	11 25			77 25			314 35
		11 42		1—2	337 22		1—5	276 4
	7—19	10 55			336 15			272 34
	10—19	0 5	April 15	4—5	5 55			272 25
		0 15	1842, April 20	1—2	334 30—46′.8			276 2
	6—7	0 0			334 42		1—6	293 39
		3 35		2—7	267 28			288 47
		2 30	April 21	1—2	335 28			288 55
	10—19	329 28			334 47		1—7	304 32
	1—5	91 40			334 10			303 29
		91 10			333 12			302 6
	1—6	109 48			331 42			302 27
		109 55			334 42			303 42

Die Positionswinkel v. Lamont's habe ich zunächst wegen des von ihm für jeden Abend mitgetheilten Indexfehlers des Positionskreises verbessert und dann mit Hilfe des nachfolgenden Täfelchens auf das mittlere Aequinoctium 1890.0 reducirt:

Beob. Zeit bei *v. L.*	Δp	Beob. Zeit bei *v. L.*	Δp
1836.0	+ 17′.5	1839.5	+ 16′.4
36.5	17.3	40.0	16.2
37.0	17.2	40.5	16.0
37.5	17.0	41.0	15.9
38.0	16.9	41.5	15.7
38.5	16.7	42.0	15.6
39.0	16.5	42.5	15.4

Weitere Verbesserungen, insbesondere eine solche wegen Refraction habe ich aus den von v. Lamont selbst angegebenen Gründen (Annalen, Bd. XVII, S. 290), wie schon früher, so auch hier nicht angebracht. Um nicht alle einzelnen Beobachtungen v. Lamont's anführen zu müssen, habe ich dieselben, soweit sie sich auf die gleichen Positionswinkel bezogen, zu Mitteln vereinigt.

In der nachfolgenden Zusammenstellung sind nun die Positionswinkel der mit v. Lamont gemeinschaftlichen Sterne, gegen den Hauptstern 1 und unter sich, enthalten: zunächst die beiderseitige Bezeichnung des verbundenen Sternpaares; dann, aus meinen Beobachtungen berechnet, die genäherte Distanz desselben; hierauf die von v. Lamont beobachteten und die aus meinen Messungen berechneten Positionswinkel; weiter die Anzahl der Beobachtungen (n) und die mittleren Fehler (μ)

der v. Lamont'schen Werthe, letztere aus den einzelnen Beobachtungen direct berechnet. Diese mittleren Fehler sind, gleichwie die ihnen unmittelbar folgenden Differenzen (*v. L.—O.*) zunächst in Bogenminuten und dann durch Multiplication mit D sin 1′ in Secunden des grössten Kreises ausgedrückt.

a. v. Lamont—Oertel.

Verbindung		Distanz	Positionswinkel		n	Mittl. Fehler μ		*v. L.—O.*	
Oertel	*v. Lamont*		*v. Lamont*	*Oertel*		in Min.	in Sec.	in Min.	in Sec.
		″	° ′	° ′		′	″	′	″
1—2	1—2	37.5	154 4.5	154 26.3	14	±20.4	±0.22	−21.8	−0.24
1—3	1—3	50.2	135 21.2	134 47.4	3	36.9	0.53	+33.8	+0.50
1—4	1—10	78.1	106 50.3	107 25.0	2	17.0	0.38	−34.7	−0.79
1—5	1—5	38.5	92 6.4	91 34.1	11	31.8	0.36	+32.3	+0.36
1—6	1—6	52.2	109 26.0	109 14.9	7	38.3	0.59	+11.1	+0.17
1—7	1—7	56.6	122 24.6	121 40.6	7	24.2	0.40	+44.0	+0.72
1—9	1—30	16.8	141 41.2	140 35.6	5	28.3	0.14	+65.6	+0.32
1—10	1—32	37.9	113 11.7	112 40.9	2	2.5	0.03	+30.8	+0.34
1—10a	1—33	47.5	94 28.2	94 12.4	2	9.0	0.12	+15.8	+0.22
1—11	1—56	50.6	136 13.5	135 43.0	3	13.9	0.20	+30.5	+0.45
1—12	1—55	56.9	126 59.3	126 49.6	2	0.0	0.00	+9.7	+0.16
1—12a	1—54	63.4	133 7.3	132 10.5	1	—	—	+56.8	+1.05
1—13	1—34	56.4	99 15.7	99 48.0	2	4.5	0.07	−32.3	−0.53
1—14	1—47	87.8	98 42.2	98 52.5	4	12.9	0.32	−10.3	−0.26
1—14a	1—45	111.0	102 3.3	102 21.1	1	—	—	−17.8	−0.58
1—15	1—52	92.7	128 44.6	128 44.0	3	8.9	0.24	+0.6	+0.02
1—15a	1—53	86.9	137 22.2	137 57.6	1	—	—	−35.4	−0.90
1—16	1—50	116.2	133 47.3	134 6.4	3	5.0	0.18	−19.1	−0.65
1—17	1—59	91.1	149 54.6	149 47.1	3	8.9	0.24	+7.5	+0.20
1—18	1—57	62.4	151 42.3	151 12.4	3	17.1	0.31	+29.9	+0.54
1—19	1—19	143.6	31 44.4	31 37.3	28	3.1	0.13	+7.1	+0.30
1—20	1—25	60.2	198 29.2	198 57.5	1	—	—	−28.3	−0.49
1—21	1—27	46.7	201 55.3	201 5.6	2	12.0	0.16	+49.7	+0.68
1—22	1—38	86.1	71 35.3	71 36.1	1	—	—	−0.8	−0.02
1—22a	1—37	66.6	66 52.3	67 30.8	1	—	—	−38.5	−0.75
1—24	1—69	125.2	48 1.0	48 8.3	3	9.0	0.32	−7.3	−0.26
1—24a	1—68	144.8	55 27.8	55 52.0	3	5.2	0.22	−24.2	−1.02
1—25	1—70	184.1	40 53.1	40 50.0	1	—	—	+3.1	+0.17
1—26	1—71	195.3	37 7.1	37 1.0	1	—	—	+6.1	+0.35
1—27	1—66	232.8	57 6.1	56 59.7	1	—	—	+6.4	+0.44
1—30	1—73	279.9	28 6.1	28 1.5	1	—	—	+4.6	+0.36
1—31	1—72	287.1	37 14.1	37 22.0	1	—	—	−7.9	−0.66
1—37	1—13	150.6	81 14.4	81 0.1	5	3.7	0.17	+14.3	+0.63
1—38	1—12	187.2	86 22.2	86 22.3	4	2.0	0.11	−0.1	0.00
1—41	1—41	136.3	88 55.6	88 53.9	5	5.7	0.23	+1.7	+0.07
2—3	2—3	15.5	94 59.7	95 45.6	4	34.5	0.16	−45.9	−0.21
2—5	2—5	39.7	34 18.7	34 18.1	2	8.5	0.10	+0.6	+0.01
2—6	2—6	37.1	62 54.2	63 22.2	3	13.8	0.15	−28.0	−0.30
2—7	2—7	32.2	84 29.7	82 40.6	4	40.7	0.38	+109.1	+1.03
3—5	3—5	32.8	185 3.2	184 48.6	1	—	—	+14.6	+0.14
3—6	3—6	22.7	36 55.2	36 56.0	1	—	—	−0.8	−0.00
3—7	3—7	13.7	66 53.3	65 37.3	1	—	—	+76.0	+0.30
4—5	10—5	42.4	121 30.2	121 48.8	3	22.9	0.28	−18.6	−0.23
4—6	10—6	26.0	103 20.5	103 44.6	2	69.0	0.52	−24.1	−0.18
4—7	10—7	27.1	76 49.8	76 30.3	6	8.7	0.07	+19.5	+0.15

Verbindung		Distanz	Positionswinkel		n	Mittl. Fehler μ		*v. L.—O.*	
Oertel	*v. Lamont*		*v. Lamont*	*Oertel*		in Min.	in Sec.	in Min.	in Sec.
		"	° '	° '		'	"	'	"
4—8	10—83	37.2	111 47.6	111 26.8	5	±21.0	±0.23	+20.8	+0.23
4—19	10—19	145.5	179 11.9	179 40.5	3	14.3	0.60	−28.6	−1.21
4—37	10—13	87.8	57 38.1	57 41.2	3	7.0	0.18	−3.1	−0.08
5—6	5—6	20.5	148 57.5	146 19.2	4	31.8	0.19	+158.3	+0.96
5—19	5—19	128.8	15 50.9	16 36.5	1	—	—	−45.6	−1.70
5—21	5—27	52.3	155 51.2	154 48.7	1	—	—	+62.5	+0.95
6—7	6—7	12.6	3 26.3	5 14.6	8	31.2	0.11	−108.3	−0.40
6—19	6—19	141.9	10 49.3	10 34.3	2	8.5	0.35	+15.0	+0.62
7—19	7—19	154.4	10 10.9	10 8.4	1	—	—	+2.5	+0.11
7—44	7—80	219.6	142 25.8	142 24.9	7	3.8	0.24	+0.9	+0.07
8—39	83—82	77.1	117 40.9	118 16.7	4	25.8	0.58	−35.8	−0.80
9—10	30—32	24.4	93 30.2	93 50.3	2	23.0	0.16	−20.1	−0.14
9—10a	30—33	37.9	75 2.2	75 27.6	1	—	—	−25.4	−0.28
9—21	30—27	42.0	40 49.2	41 30.2	2	44.0	0.54	−41.0	−0.50
10—10a	32—33	16.6	50 14.2	47 59.4	1	—	—	+134.8	+0.65
10—11	32—56	23.2	179 19.2	179 1.0	5	27.0	0.18	+18.2	+0.12
10—12	32—55	22.2	154 18.7	151 32.3	2	3.5	0.02	+166.4	+1.08
10—13	32—34	21.2	77 6.2	76 19.0	4	34.8	0.21	+47.2	+0.29
10a—12	33—55	30.7	185 15.2	183 22.6	1	—	—	+112.6	+1.01
10a—13	33—34	10.3	127 47.0	126 33.9	4	42.5	0.13	+73.1	+0.21
10a—14	33—47	40.7	105 13.2	104 19.8	1	—	—	+53.4	+0.63
10a—22a	33—37	32.2	25 39.2	26 3.5	2	4.0	0.04	−24.3	−0.23
11—12	56—55	10.4	78 10.2	78 8.2	3	16.8	0.05	+2.0	+0.01
11—12a	56—54	13.3	120 26.2	118 31.3	5	10.3	0.04	+114.9	+0.44
11—15	56—52	42.9	119 52.3	120 29.6	1	—	—	−37.3	−0.47
11—16	56—50	65.6	132 31.2	132 52.1	2	21.0	0.40	−20.9	−0.40
11—17	56—59	43.5	166 33.7	166 11.9	2	8.5	0.11	+21.8	+0.27
11—18	56—57	19.2	17 17.2	15 53.2	3	23.3	0.13	+84.0	+0.47
12—13	55—34	26.5	23 0.2	22 19.0	1	—	—	+41.2	+0.32
12—14	55—47	46.0	63 30.2	63 28.2	3	20.5	0.28	+2.0	+0.03
12—15	55—52	35.9	132 45.6	131 45.4	5	25.1	0.26	+60.2	+0.63
12—15a	55—53	33.0	155 33.7	157 24.9	2	54.5	0.52	−111.2	−1.07
12—18	55—57	25.8	36 51.2	36 49.8	2	74.0	0.56	+1.4	+0.01
12a—18	54—57	20.8	56 11.2	54 16.7	1	—	—	+114.5	+0.70
13—14	34—47	31.4	97 10.7	97 12.8	2	51.5	0.48	−2.1	−0.00
13—15	34—52	51.2	160 12.2	160 56.2	1	—	—	−44.0	−0.66
14—14a	47—45	24.0	116 14.7	115 9.9	2	137.5	0.95	+64.8	+0.46
14—14b	47—43	32.6	124 49.7	125 17.3	2	22.5	0.21	−27.6	−0.26
14—15	47—52	46.7	18 19.2	17 56.2	1	—	—	+23.0	+0.31
14—22	47—38	41.0	173 50.2	172 53.7	2	8.0	0.09	+56.5	+0.67
14—22a	47—37	46.5	147 2.2	147 5.8	1	—	—	−3.6	−0.05
14—41	47—41	52.2	72 16.2	71 56.4	1	—	—	+19.8	+0.30
14a—14b	45—43	9.8	149 41.2	150 41.1	2	104.0	0.30	−59.9	−0.17
14a—41	45—41	38.3	46 51.5	46 32.0	3	41.7	0.46	+19.5	+0.22
14b—41	43—41	41.8	31 39.5	33 21.0	3	22.2	0.27	−101.5	−1.23
15—15a	52—53	15.6	63 52.8	65 10.9	5	69.8	0.32	−78.1	−0.36
15—16	52—50	25.4	153 4.2	154 3.1	1	—	—	−58.9	−0.44
15—17	52—59	33.6	52 43.0	52 21.6	5	13.2	0.13	+21.4	+0.21
15—18	52—57	42.4	94 8.3	94 26.5	2	17.0	0.21	−18.2	−0.22
15—28	52—62	105.1	184 15.2	183 45.9	1	—	—	+29.3	+0.89

Verbindung		Distanz	Positionswinkel		n	Mittl. Fehler μ		v. L.—O.	
Oertel	*v. Lamont*		*v. Lamont*	*Oertel*		in Min.	in Sec.	in Min.	in Sec.
		″	° ′	° ′		′		′	″
15—29	52—61	108.2	206 22.2	205 55.6	1	—	—	+ 26.6	+ 0.83
15ª—16	53—50	30.1	123 12.2	122 55.3	1	—	—	+ 16.9	+ 0.15
15ª—18	53—57	29.8	107 26.6	109 14.3	5	± 15.2	± 0.13	— 107.7	— 0.93
16—17	50—59	37.8	94 42.2	93 36.6	1	—	—	+ 65.6	+ 0.72
16—28	50—62	84.0	193 33.5	192 24.1	3	9.8	0.24	+ 69.4	+ 1.70
16—29	50—61	94.7	218 43.2	218 7.7	1	—	—	+ 35.5	+ 0.98
17—18	59—57	28.5	145 48.5	146 39.5	6	22.7	0.19	— 51.0	— 0.42
17—28	59—62	86.6	167 57.2	166 52.6	1	—	—	+ 64.6	+ 1.62
17—29	59—61	79.6	195 27.2	195 6.9	1	—	—	+ 20.3	+ 0.47
18—20	57—25	49.7	87 10.3	87 28.4	1	—	—	— 18.1	— 0.26
18—21	57—27	48.3	101 37.2	102 19.2	2	40.0	0.56	— 42.0	— 0.59
19—20	19—25	86.3	220 51.3	220 42.8	1	—	—	+ 8.5	+ 0.22
19—29	19—61	105.5	108 32.9	108 15.6	3	5.2	0.16	+ 17.3	+ 0.53
19—37	19—13	123.0	143 16.6	143 24.2	5	6.1	0.21	— 7.6	— 0.27
19—38	19—12	156.9	134 41.2	134 44.7	4	1.5	0.06	— 3.5	— 0.16
20—21	25—27	10.1	188 49.7	190 56.6	2	21.5	0.06	— 126.9	— 0.37
22—22ª	38—37	20.2	84 53.2	85 10.8	1	—	—	— 17.6	— 0.10
22—24	38—69	57.6	191 53.7	191 34.9	2	16.5	0.28	+ 18.8	+ 0.32
22—41	38—41	57.7	114 39.3	115 11.3	1	—	—	— 32.0	— 0.54
24—25	69—70	62.0	25 38.2	25 56.6	1	—	—	— 18.4	— 0.33
24—27	69—66	110.8	67 0.7	67 1.7	2	6.5	0.21	— 1.0	— 0.03
24ª—25	68—70	58.0	1 18.5	359 31.1	4	20.5	0.35	+ 107.4	+ 1.81
24ª—27	68—66	88.1	59 19.7	58 51.4	2	2.5	0.06	+ 28.3	+ 0.72
25—26	70—71	16.9	168 51.2	170 37.2	3	22.0	0.11	— 106.0	— 0.52
25—27	70—66	75.9	99 31.0	99 27.1	4	16.1	0.36	+ 3.9	+ 0.08
25—41	70—41	137.6	353 24.2	353 19.1	1	—	—	+ 5.1	+ 0.21
26—32	71—75	108.7	127 48.2	126 42.9	1	—	—	+ 65.3	+ 2.07
26—32ª	71—74	84.4	126 7.2	125 30.6	1	—	—	+ 36.6	+ 0.90
26—32ᵇ	71—77	114.1	95 52.2	95 14.4	1	—	—	+ 37.8	+ 1.26
26—32ᶜ	71—76	98.1	94 40.2	95 7.2	1	—	—	— 27.0	— 0.78
26—41	71—41	154.5	352 54.2	353 1.4	1	—	—	— 7.2	— 0.33
27—41	66—41	137.4	25 11.2	25 21.9	3	6.6	0.26	— 10.7	— 0.43
28—29	62—61	41.1	101 15.5	100 32.4	3	32.2	0.38	+ 43.1	+ 0.51
30—32	73—75	104.4	75 38.2	75 31.6	1	—	—	+ 6.6	+ 0.20
30—32ª	73—74	92.7	63 24.2	62 59.6	1	—	—	+ 24.6	+ 0.67
30—41	73—41	244.5	359 6.2	358 50.9	1	—	—	+ 15.3	+ 1.10
31—41	72—41	228.7	9 42.2	9 31.2	1	—	—	+ 11.0	+ 0.73
32—44	75—80	213.5	85 22.2	85 22.2	1	—	—	0.0	0.00
37—38	13—12	39.9	107 43.6	107 3.6	7	29.8	0.35	+ 40.0	+ 0.46
37—39	13—82	101.1	164 21.5	163 44.5	3	1.4	0.04	+ 37.0	+ 1.09
38—40	12—81	74.0	171 20.9	170 23.4	3	7.5	0.16	+ 57.5	+ 1.24
38—44	12—80	215.7	1 29.9	1 17.5	3	9.0	0.56	+ 12.4	+ 0.78
39—40	82—81	25.4	60 52.8	60 55.8	3	15.5	0.11	— 3.0	— 0.02
39—44	82—80	130.3	358 1.1	357 48.8	3	8.5	0.33	+ 12.3	+ 0.47

Zieht man aus den 139 Differenzen (*v. L.—O.*), von denen 82 positiv, 46 negativ und 1 null sind, mit Rücksicht auf die Beobachtungszahlen das Mittel, so kommt

$$\Delta p\ (v.\ L.-O.) = +\ 0\overset{''}{.}157 \pm 0\overset{''}{.}046$$

Der mittlere Fehler einer Differenz vom Gewichte 1, also einer auf einer einmaligen Messung v. Lamont's beruhenden Differenz beträgt ± 0".91; aus den von v. Lamont öfter als einmal beobachteten Positionswinkeln würde sich (durch Zusammenziehen der obigen 86 Werthe von μ mit Rücksicht auf die zugehörigen Werthe von n) der mittlere Fehler einer einfachen v. Lamont'schen Positionswinkelmessung dagegen nur zu ± 0".58 ergeben.

Dem obigen Werthe von Δp entsprechend, ergibt sich für eine Distanz von 100" in rund 50 Jahren eine Drehung des Sternhaufens um + 5'.40, d. i. pro Jahr rund um + 0'.11.

Es scheint sonach der durch Ausgleichung der Coordinatendifferenzen (*Kr.* — *O.*) S. 82 erhaltene Betrag für die Drehung des Sternhaufens reell zu sein.

Der Vollständigkeit halber habe ich auch für jene Sterne, welche v. Lamont und Krüger gemeinschaftlich haben, die Lamont'schen Positionswinkel auf die Epoche 1855.0 reducirt, die denselben entsprechenden Winkel aus den Krüger'schen Positionen für 1855.0 berechnet und in der gleichen Weise, wie oben, alles zusammengestellt. Ich erhielt so

b. von Lamont—Krüger.

Verbindung		Distanz	Positionswinkel		n	Mittl. Fehler μ		*v. L.—K.*	
K.	*v. L.*		*v. Lamont*	*Krüger*		Min.	Sec.	Min.	Sec.
		"	° '	° '		'	"	'	"
1 — 2	1 — 19	143.6	31 33.0	31 37.2	28	± 3.1	± 0.13	— 4.2	— 0.17
1 — 3	1 — 5	38.5	91 55.0	90 49.5	11	31.8	0.36	+ 65.5	+ 0.73
1 — d_1	1 — 7	56.6	122 13.2	121 22.6	7	24.2	0.40	+ 50.6	+ 0.82
1 — d_2	1 — 6	52.2	109 14.6	108 45.4	7	38.3	0.59	+ 29.2	+ 0.44
1 — 6	1 — 66	232.8	56 54.7	56 49.2	1	—	—	+ 5.5	+ 0.37
1 — 7	1 — 12	187.2	86 10.8	86 5.7	4	2.0	0.11	+ 5.1	+ 0.28
1 — 8	1 — 47	87.8	98 30.8	98 44.9	4	12.9	0.32	— 14.1	— 0.36
1 — 9	1 — 41	136.3	88 44.2	88 47.4	5	5.7	0.23	— 3.2	— 0.12
1 — 10	1 — 2	37.5	153 53.1	153 42.8	14	20.4	0.22	+ 10.3	+ 0.11
1 — 13	1 — 73	279.9	27 54.7	27 52.5	1	—	—	+ 2.2	+ 0.17
1 — 16	1 — 56	50.6	136 2.1	136 3.0	3	13.9	0.20	— 0.9	— 0.02
1 — 17	1 — 55	56.9	126 47.9	127 3.5	2	0.0	0.00	— 15.6	— 0.26
1 — 23	1 — 70	184.1	40 41.7	40 44.8	1	—	—	— 3.1	— 0.17
1 — 36	1 — 10	78.1	106 38.9	106 53.7	2	17.0	0.49	— 14.8	— 0.34
2 — d_1	19 — 7	154.4	9 59.5	10 13.9	1	—	—	— 14.4	— 0.65
2 — d_2	19 — 6	141.9	10 37.9	10 46.9	2	8.5	0.35	— 9.0	— 0.37
2 — 7	19 — 12	156.9	134 29.8	134 37.0	4	1.5	0.06	— 7.2	— 0.33
3 — d_2	5 — 6	20.5	148 46.1	147 47.8	4	31.8	0.19	+ 58.3	+ 0.35
3 — 10	5 — 2	39.7	34 7.3	34 10.8	2	8.5	0.10	— 3.5	— 0.04
3 — 36	5 — 10	42.4	121 18.8	121 28.1	3	22.9	0.28	— 9.3	— 0.11
d_1 — d_2	7 — 6	12.6	3 14.9	4 4.9	8	31.2	0.11	— 50.0	— 0.18
d_1 — 10	7 — 2	32.2	84 18.3	82 32.1	4	40.7	0.38	+ 106.2	+ 0.99
d_1 — 36	7 — 10	27.1	76 38.4	76 41.8	6	8.7	0.07	— 3.4	— 0.03
d_2 - 10	6 — 2	37.1	62 42.8	62 36.4	3	13.8	0.15	+ 6.4	+ 0.07
d_2 - 36	6 — 10	26.0	103 9.1	103 20.1	2	69.0	0.52	— 11.0	— 0.08
6 — 9	66 — 41	137.4	24 59.8	25 16.8	3	6.6	0.26	— 17.0	— 0.69
6 — 23	66 — 70	75.9	99 19.6	99 7.1	4	16.1	0.36	+ 12.5	+ 0.27
8 — 9	47 — 41	52.2	72 4.8	71 50.3	1	—	—	+ 14.5	+ 0.22
8 — 17	47 — 55	46.0	63 18.8	63 18.0	3	20.5	0.28	+ 0.8	+ 0.01
9 — 13	41 — 73	244.5	178 54.8	178 47.5	1	—	—	+ 7.3	+ 0.51
9 — 23	41 — 70	137.6	173 12.8	173 20.5	1	—	—	— 7.7	— 0.30
16 — 17	56 — 55	10.4	77 58.8	77 54.8	3	16.8	0.05	+ 4.0	+ 0.01

Die Distanzen und mittleren Fehler μ habe ich aus dem vorigen Tableau unverändert herübergenommen, weil es hiebei auf die äusserste Genauigkeit nicht ankommt. Die v. Lamont'schen Positionswinkel für das mittlere Aequinoctium 1855.0 ergeben sich aus jenen für 1890.0 durch Subtraction von 11'.4.

Zieht man wieder aus den in der letzten Spalte enthaltenen Differenzen *(v. L.—K.)* das Mittel mit Rücksicht auf die v. Lamont'schen Beobachtungszahlen, so kommt hier

$$\Delta p \ (v.\ L.-K.) = +\ 0''.083 \pm 0''.069$$

sonach für eine Distanz von 100" die Drehung des Sternhaufens in 25 Jahren zu + 2'.84, also auch hieraus pro Jahr = + 0'.11.

Die aus den Vergleichungen *(K.—O.)* und *(v. L.—O.)* hervorgehenden Beträge dieser letzteren Grösse finden also durch das aus der Vergleichung *(v. L.—K.)* erwachsende Resultat eine sehr gute Bestätigung.

3. Vergleichungen mit Meridianbeobachtungen.

Ausser dem Hauptstern 1 sind noch mehrere andere hellere Sterne des Sternhaufens an verschiedenen Sternwarten und zwar meistens gleichzeitig mit 1 im Meridian beobachtet worden. Man könnte aus diesen Beobachtungen für jeden der betheiligten Sterne dessen absolute Positionen für 1890.0 ableiten und im Zusammenhalt mit den auf S. 74 und 75 ermittelten absoluten Positionen des Sternes 1 die Coordinatendifferenzen der einzelnen Sterne gegen diesen letzteren berechnen. Ich habe es aber der Kürze der Rechnung halber vorgezogen, diese Differenzen gleich für die Epoche der Beobachtung zu bilden und dieselben auf 1890.0 zu reduciren. Aus demselben Grunde enthält die nachfolgende Zusammenstellung die schon auf das mittlere Aequinoctium 1890.0 reducirten Differenzen, von den Beobachtungszahlen n beziehen sich die in erster Reihe stehenden stets auf den Stern 1. Unter die abgeleiteten Mittelwerthe habe ich noch zur leichteren Vergleichung die von Herrn Prof. Krüger und von mir gefundenen Werthe der betreffenden Differenzen gesetzt.

1—63.

	$(\alpha'-\alpha)$ 1890.0	Mittl. Ep.	n	p	$(\delta'-\delta)$ 1890.0	Mittl. Ep.	n	p
Piazzi	— 2m 15s.453	1803.4	5.5	1.5	— 6' 33".69	1803.4	5.5	1.5
Groombridge	2 15.515	12.3	6.5	1.5	6 36.30	12.3	6.5	1.5
Taylor	2 15.568	36.5	1.3	1.0	6 36.64	36.5	3.2	2.0
Johnson	2 15.567	47.2	5.4	1.0	6 32.97	45.4	4.2	2.0
Brüssel	2 15.853	64.4	2.3	2.0	6 33.31	67.3	5.2	3.0
Pulkowa XII	2 15.736	65.9	7.1	4.0	—	—	—	—
Krüger, Zonen	2 15.730	70.1	3.2	4.0	6 32.96	70.1	3.2	3.0
Mittel:	— 2m 15s.690			15.0	— 6' 34".31			13.0
Krüger:	— 2 15.649				— 6 33.94			
Oertel:	— 2 15.623				— 6 34.33			

1—62.

	$(\alpha'-\alpha)$ 1890.0	Mittl. Ep.	n	p	$(\delta'-\delta)$ 1890.0	Mittl. Ep.	n	p
Piazzi	— 2m 10s.505	1803.4	5. 5	1.5	— 5' 1".84	1803.4	5.5	1.5
Groombridge	2 10.515	12.4	6. 6	1.5	4 59.81	12.4	6.6	1.5
Taylor	2 10.546	36.5	1. 5	1.0	5 1.73	36.5	3.4	1.0
Johnson	2 10.713	46.6	5. 3	1.0	5 1.85	44.4	4.3	1.0
Brüssel	2 10.620	64.6	2. 3	2.0	5 0.22	67.3	5.2	2.0
Pulkowa XII	2 10.578	66.0	7.11	8.0	—	—	—	—
Krüger Zonen	2 10.504	70.1	3. 2	4.0	5 0.37	70.1	3.2	4.0
Mittel:	— 2m 10s.562			19.0	— 5' 0".72			11.0
Krüger:	— 2 10.489				— 5 0.42			
Oertel:	— 2 10.515				— 5 0.64			

1—65

	$(\alpha'-\alpha)$ 1890.0	Mittl. Ep.	n	p	$(\delta'-\delta)$ 1890.0	Mittl. Ep.	n	p
Brüssel	$-1^m 13^s.445$	1864.4	2.3	3.0	$-2' 46''.73$	1868.3	5.2	2.0
Pulkowa XII . . .	1 13.358	66.0	7.9	12.0	—	—	—	—
Krüger, Zonen . . .	1 12.925	75.0	3.2	2.0	2 47.79	75.3	3.2	2.0
Mittel:	$-1^m 13^s.358$			17.0	$-2' 47''.26$			4.0
Krüger:	— 1 13.375				— 2 48.38			
Oertel:	— 1 13.364				— 2 48.78			

1—52

	$(\alpha'-\alpha)$ 1890.0	Mittl. Ep.	n	p	$(\delta'-\delta)$ 1890.0	Mittl. Ep.	n	p
Johnson	$-0^m 36^s.189$	1846.4	5.3	1.0	$+4' 19''.87$	1842.9	4.3	1.0
Brüssel	0 36.208	65.6	2.3	2.0	4 18.84	65.1	5.2	2.0
Pulkowa XII. . . .	0 36.002	65.9	7.1	2.0	—	—	—	—
Krüger, Zonen . . .	0 35.962	74.6	2.3	2.0	4 19.03	74.6	3.2	2.0
Mittel:	$-0^m 36^s.076$			7.0	$+4' 19''.12$			5.0
Krüger:	— 0 36.170				+ 4 19.05			
Oertel:	— 0 36.294				+ 4 19.10			

1—19

	$(\alpha'-\alpha)$ 1890.0	Mittl. Ep.	n	p	$(\delta'-\delta)$ 1890.0	Mittl. Ep.	n	p
Piazzi	$+0^m 9^s.327$	1804.9	5. 5	1.5	$+2' 2''.96$	1804.9	5. 5	1.5
Groombridge . . .	0 9.393	12.1	6. 6	1.5	2 3.73	12.1	6. 6	2.0
Taylor	0 8.829	35.5	3. 1	0	—	—	—	—
Johnson	0 9.013	47.2	3. 5	0	2 2.38	42.2	4. 4	3.0
Robinson	0 9.237	53.9	2. 2	2.0	2 4.45	52.9	3. 3	1.0
Brüssel	0 9.215	63.2	2. 2	4.0	2 2.01	63.8	5. 5	6.0
Bonn VI	0 9.209	63.3	12.12	8.0	2 2.10	63.3	12.12	8.0
Yarnall	0 9.225	65.3	2. 2	4.0	2 1.99	66.9	2. 2	4.0
Pulkowa XII . . .	0 9.206	65.9	3. 7	6.0	—	—	—	—
Krüger, Zonen . . .	0 9.199	70.1	3. 3	3.0	2 2.66	70.1	3. 3	2.0
Mittel:	$+0^m 9^s.147 \pm 0^s.007$			30.0	$+2' 2''.38$			27.5
E.B. =	$-0^s.0026 \pm 0^s.0004$							
Krüger:	$+0^m 9.213$				+ 2 2.46			
mit E.B.:	+ 0 9.136							
Oertel:	+ 0 9.131				+ 2 2.31			

Aus dieser Zusammenstellung geht zunächst hervor, dass bei den Meridianbeobachtungen, obwohl dieselben unter sich im Allgemeinen keine sehr gute Uebereinstimmung zeigen, die Mittelwerthe der Differenzen doch leidlich gut mit den ausserhalb des Meridianes ausgeführten Beobachtungen harmonieren. In den AR-Differenzen 1—63 scheint auf den ersten Blick eine relative Eigenbewegung in dem Sinne ausgesprochen zu sein, dass diese Differenz im Lauf der Zeit vergrössert wird. Da aber die Annahme einer solchen Eigenbewegung in den Beobachtungen des Herrn Prof. Krüger sowohl, als noch mehr in den meinigen so beträchtliche Fehler bedingen würde, wie sie unmöglich zugegeben werden können, habe ich hier von der Ableitung einer relativen Eigenbewegung Abstand genommen und einfach das Mittel nach Massgabe der Gewichte berechnet. Anders verhielt es sich mit der AR-Differenz 1—19. Hier schien mir schon aus dem Grunde eine relative Eigenbewegung vorzuliegen, weil die Bonner Beobachtungen im Meridian sowohl, als auch am Heliometer, diese Differenz um etwa $0^s.1$ grösser ergaben, als die hiesigen Refractorbeobachtungen, welche gerade für diese Differenz sehr zahlreich und sicher sind. Ich habe deshalb, indem ich die beiden stark abweichenden Werthe von Taylor und Johnson ausschloss, diese Differenzen unter Annahme einer relativen Eigenbewegung ausgeglichen und erhalten

$$\Delta\alpha \ 1890.0 = +\ 9^s.147 \pm 0^s.007$$
$$\text{Eigenbewegung in AR.} = -\ 0^s.0026 \pm 0^s.0004$$

Der Stern 19 scheint demnach ebenso, wie der Hauptstern 1, blos optisch zu unserem Sternhaufen zugehörig zu sein. Dem entspricht die auch an andern Objecten mehrfach gemachte Er-

fahrung, dass einzelne hellere Sterne in Sternanhäufungen nicht zu den letzteren wirklich (physisch) gehören. In unserem Falle würden die hellen Sterne 1 und 19 (beide 6.5^m) zunächst als Doppelsternpaar Interesse bieten.

Die weitere Vergleichung der aus den Meridianbeobachtungen abgeleiteten Differenzen ist im Nachstehenden enthalten:

Differenz	$(\alpha-\alpha_1)$ 1890.0			$M-K$	$M-O$	$(\delta-\delta_1)$ 1890.0			$M-K$	$M-O$
	Merid. Beob.	*Krüger*	*Oertel*			*Merid. Beob.*	*Krüger*	*Oertel*		
1—63	$-2^m 15^s.690$	$-2^m 15^s.649$	$-2^m 15^s.623$	$-0^s.041$	$-0^s.067$	$-6'$ $34''.31$	$-6'$ $33''.94$	$-6'$ $34''.33$	$-0''.37$	$+0''.02$
1—62	−2 10.562	−2 10.489	−2 10.515	−0.073	−0.047	−5 0.72	−5 0.42	−5 0.64	−0.30	−0.08
1—65	−1 13.358	−1 13.375	−1 13.364	+0.017	+0.006	−2 47.26	−2 48.38	−2 48.78	+1.12	+1.52
1—52	−0 36.076	−0 36.170	−0 36.294	+0.094	+0.218	+4 19.12	+4 19.05	+4 19.10	+0.07	+0.02
1—19	+0 9.147	+0 9.136	+0 9.131	+0.011	+0.016	+2 2.38	+2 2.46	+2 2.31	−0.08	+0.07

Die mittlere Epoche der Meridianbeobachtungen ist fast durchgehends von 1860 nicht sehr weit entfernt, es müssten also, wenn die verglichenen Sterne dem Sternhaufen angehören sollen, die Differenzen $(M-K)$ im Mittel in beiden Coordinaten gleich Null sein, die Differenzen $(M-O)$ dagegen sollten mit Rücksicht auf die auf Seite 75 abgeleitete relative Eigenbewegung des Hauptsternes 1 in AR. und Decl. sämmtlich positiv sein. Keine dieser Voraussetzungen trifft vollständig zu, doch zeigen die Declinationsdifferenzen wenigstens annähernd ein entsprechendes Verhalten und was die Rectascensionsdifferenzen anlangt, so sind hier ohne Zweifel die Meridianbestimmungen zur Zeit noch nicht zahlreich und sicher genug, um über die Frage, ob die Differenzen $(M-K)$ und $(M-O)$ in AR. durch Fehler in den Meridianbeobachtungen oder durch relative Eigenbewegung der verglichenen Sterne entstellt werden, endgiltig Aufschluss geben zu können. Eine relative Eigenbewegung des einen oder andern der zuletzt verglichenen helleren Sterne des Sternhaufens könnte übrigens recht wohl vorhanden sein, doch sind, wie gesagt, die gegenwärtig vorliegenden Meridianbeobachtungen derselben bei weitem nicht ausreichend, um mit Sicherheit hierüber entscheiden zu können. Es wäre also eine gelegentliche Beobachtung der helleren Sterne unseres Sternhaufens an einigen Sternwarten mit guten Meridiankreisen recht erwünscht, wenn man sich nicht etwa darauf vertrösten will, durch photographische Aufnahmen des Sternhaufens über das Verhalten dieser Sterne innerhalb desselben Aufschluss zu erhalten.

Berichtigungen:

Seite 7 Zeile 8 v. oben: lies S. 4 statt S. 3.

„ 7 „ 14 „ unten: im Nenner lies $15 \sin^2 (N+\delta)$ statt $15 \sin^2 (N-\delta)$

„ 9 Gleichung für $\Delta\delta$ in der Mitte, zweites Glied: im Nenner lies 10 statt 100.

„ 14 Zeile 3 von unten: lies Einzeleinstellungen statt Einzelneistellungen.

Nachtrag zur vorstehenden Abhandlung.

Nach Fertigstellung des Druckes der vorstehenden Abhandlung stellte sich heraus, dass die Correctionen der gemessenen Rectascensions-Differenzen wegen der Refraction bei etwa dem dritten Theil dieser Differenzen mit falschem Vorzeichen in Rechnung gebracht worden sind.

Am Schluss von Seite B 7 findet sich die Bemerkung, dass wegen Refraction alle Differenzen zu klein gemessen würden und dass dementsprechend das Vorzeichen der Refractions-Correction mit dem der zugehörigen Coordinatendifferenz stets identisch sei. Für die Declinations-Differenzen ist diese Bemerkung ohne Zweifel richtig; anders bei den AR-Differenzen, wo ihre Ungiltigkeit aus der a. a. O., weiter oben abgedruckten Formel für $\varDelta\alpha$ unmittelbar hervorgeht. In dieser Formel hat bekanntlich $\cot n$ das Vorzeichen von $\sin t$, N jenes von $\cos t$ und infolge dessen ist das Vorzeichen von ϱ_α, dessen Zahlenwerth der Tafel auf S. B 8 zu entnehmen ist, negativ für die Stundenwinkel zwischen $t = 0^h$ und $t = 7^h9$, sowie zwischen $t = 12^h$ und $t = 16^h1$; für alle übrigen Stundenwinkel ist ϱ_α positiv. Dementsprechend ist das Vorzeichen der Refractions-correction $\varDelta\alpha = \varrho_\alpha \cdot (\delta' - \delta)$ für die in den ersteren Stundenwinkeln beobachteten AR-Differenzen entgegengesetzt, für die übrigen gleich dem der zugehörigen Declinations-Differenzen zu nehmen.

Den auf den Seiten 15—36, Spalte 8, zusammengestellten Mittelwerthen der reducirten AR-Differenzen wären aus diesem Grunde nach nunmehr richtig gestellter Rechnung folgende Correctionen (in Einheiten der 3. Decimalstelle) zuzufügen:

Beob. Differenz	Corr.	Gew.	Beob. Differenz	Corr.	Gew.	Beob. Differenz	Corr.	Gew.	Beob. Differenz	Corr.	Gew.	Beob. Differenz	Corr.	Gew.
2 — 1	0	15	12 — 1	+ 1	17	16 — 1	+ 2	21	22^{a} — 1	0	10	27 — 62	— 5	8
3 — 1	0	14	12 — 41	0	2	16 — 41	— 5	5	22^{a} — 41	— 2	19	27 — 63	— 7	8
4 — 1	— 1	20	12^{a} — 1	+ 3	3	17 — 1	+ 4	16	23 — 1	+ 1	13	27 — 64	— 2	2
4 — 38	+ 2	3	12^{a} — 41	0	4	17 — 41	— 1	2	23 — 41	— 1	10	27 — 65	— 1	10
5 — 1	0	14	13 — 1	0	18	18 — 1	+ 3	30	24 — 1	0	7	27 — 66	— 2	7
6 — 1	0	14	13 — 14	0	2	18 — 41	— 1	3	24 — 41	— 5	17	27 — 69	0	3
7 — 1	0	17	13 — 41	0	4	19 — 1	— 3	36	24^{a} — 1	0	8	28 — 1	+ 4	13
8 — 1	— 2	19	14 — 1	0	34	19 — 19^{a}	+ 2	6	24^{a} — 41	— 4	19	28 — 41	— 2	4
8 — 38	+ 4	2	14 — 14^{a}	0	1	19 — 19^{b}	+ 3	7	25 — 1	+ 1	18	28 — 52	— 1	5
8 — 41	— 2	3	14 — 14^{b}	0	1	19 — 38	0	1	25 — 27	0	11	28 — 57	— 2	3
9 — 1	0	37	14 — 22	0	1	19 — 41	— 6	5	25 — 30	— 4	7	29 — 1	+ 4	17
9 — 41	0	4	14 — 38	0	1	19 — 52	— 3	13	26 — 1	+ 3	12	29 — 41	— 12	4
10 — 1	0	15	14 — 41	0	13	19 — 57	— 13	6	26 — 27	— 1	8	29 — 52	0	5
10 — 14	0	2	14^{a} — 1	+ 2	18	19^{a} — 19^{b}	0	1	26 — 30	— 3	5	29 — 57	0	2
10 — 41	0	4	14^{a} — 41	0	12	20 — 1	— 1	23	27 — 1	0	23	30 — 1	+ 2	17
10^{a} — 1	0	19	14^{b} — 1	+ 1	11	20 — 38	+ 2	9	27 — 30	+ 1	21	30 — 31	0	24
10^{a} — 14	0	2	14^{b} — 41	0	11	21 — 1	0	26	27 — 31	+ 3	13	30 — 32	+ 1	17
10^{a} — 41	0	4	15 — 1	+ 2	29	21 — 38	+ 2	9	27 — 35	— 11	8	30 — 32^{a}	+ 1	13
11 — 1	+ 2	20	15 — 41	— 1	5	22 — 1	0	12	27 — 41	+ 3	6	30 — 32^{b}	0	9
11 — 41	0	3	15^{a} — 1	+ 2	5	22 — 41	— 2	20	27 — 45	— 5	4	30 — 32^{c}	0	8

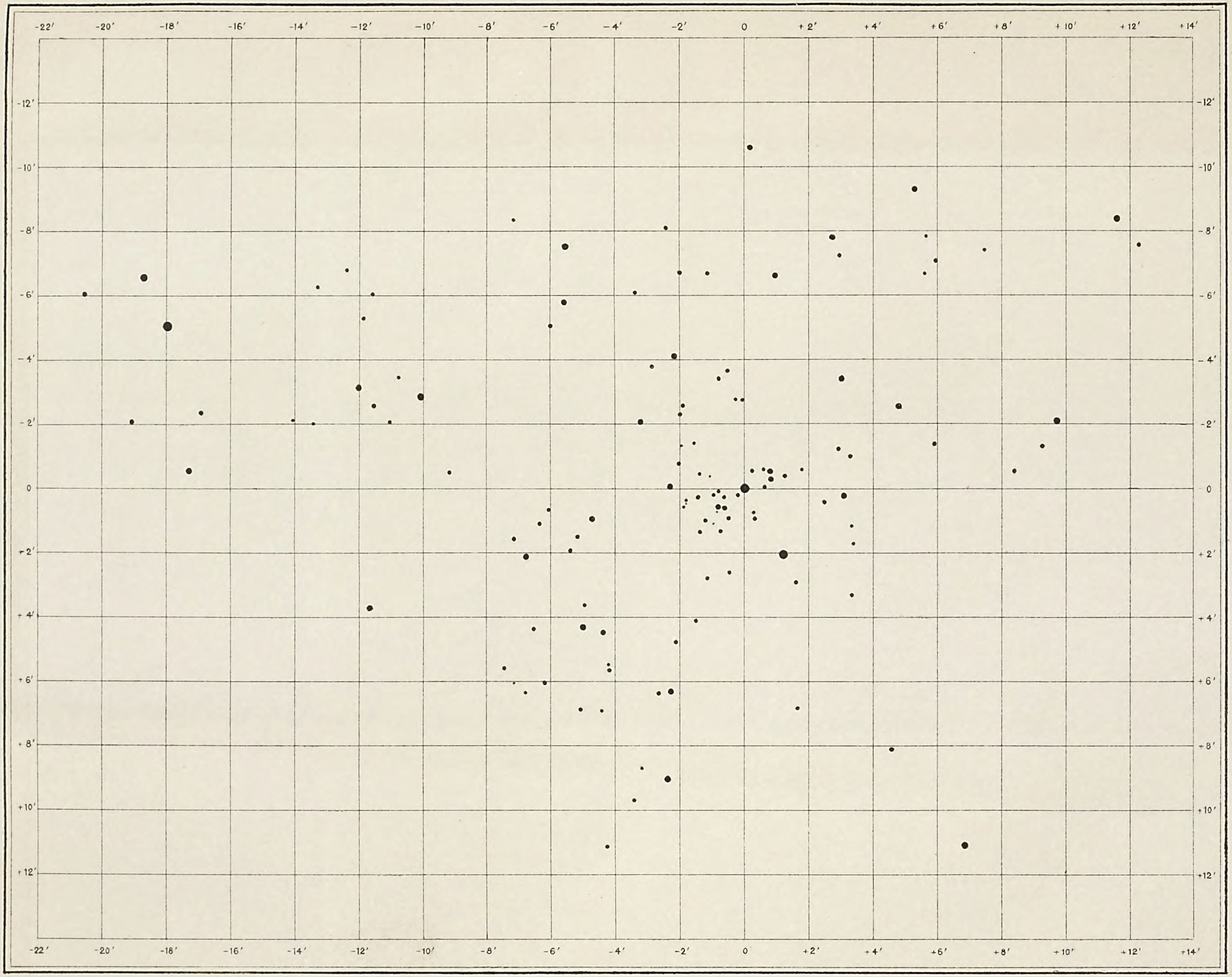
Beob. Differenz	Corr.	Gew.	Beob. Differenz	Corr.	Gew.	Beob. Differenz	Corr.	Gew.	Beob. Differenz	Corr.	Gew.	Beob. Differenz	Corr.	Gew.
30 — 34	— 4	12	38 — 43	0	4	48 — 1	+ 4	19	54 — 96	0	1	65 — 67	0	12
30 — 35	— 1	15	38 — 75	0	8	48 — 50	— 2	8	54 — 98	— 14	6	65 — 67^a	— 1	13
30 — 42	+ 1	7	38^a — 1	— 1	15	48 — 52	+ 6	11	54 — 98^a	— 14	5	65 — 68	— 7	9
30 — 43	+ 1	7	38^b — 1	— 1	12	48 — 54	+ 5	7	55 — 56	— 2	1	65 — 69	— 2	5
30 — 44	+ 1	12	39 — 1	— 2	27	49 — 1	+ 1	14	55^a — 56	— 2	1	65 — 95	+ 5	8
30 — 65	— 2	10	39 — 40	0	4	49 — 49^a	+ 1	3	56 — 61	0	2	65 — 99	0	16
30 — 83	+ 1	9	40 — 1	— 1	15	49^a — 1	+ 1	7	56 — 96	0	1	66 — 1	+ 3	20
32 — 1	0	11	40 — 44	0	4	50 — 1	+ 2	19	56 — 97	0	2	66 — 67	0	17
32^a — 1	0	11	41 — 1	0	39	51 — 52	0	5	56 — 98	— 2	2	66 — 67^a	+ 1	11
32^c — 1	0	11	41 — 45	— 2	7	51 — 53	+ 5	11	57 — 58	— 1	11	68 — 1	0	10
33 — 34	— 1	20	41 — 46	— 4	5	52 — 1	+ 10	12	57 — 59	+ 2	9	68 — 69	0	6
33 — 35	0	2	41 — 47	— 5	5	52 — 53	0	24	57 — 60	+ 2	8	69 — 1	+ 4	10
33 — 83	+ 1	4	41 — 48	— 1	4	52 — 54	0	21	57 — 72	+ 2	8	70 — 1	+ 8	10
34 — 36	— 5	30	41 — 49	— 2	4	52 — 55	+ 1	20	57 — 74	+ 10	4	71 — 72	+ 1	6
34 — 62	— 9	11	41 — 49^a	0	3	52 — 55^a	0	12	57 — 80	+ 1	8	71 — 73	— 1	10
34 — 65	— 3	3	41 50	— 1	5	52 — 56	— 5	21	58 — 71	+ 4	5	71 — 74	+ 5	5
34 — 81	0	19	41 — 52	0	4	52 — 57	+ 1	12	62 — 1	+ 8	14	71 — 78	0	8
34 — 82	0	21	41 — 75	0	5	52 — 58	+ 2	4	62 — 63	— 1	12	71 — 79	— 3	10
34 — 83	0	10	42 — 1	0	12	52 — 59	+ 1	6	62 — 64	+ 3	13	71 — 80	+ 3	6
34 — 84	+ 2	15	42 — 43	— 2	5	52 — 60	0	7	62 — 65	+ 1	13	75 — 1	0	12
34 — 85	0	4	42 — 44	— 1	5	52 — 61	— 4	13	62 — 66	+ 3	8	75 — 76	0	14
34 — 91	+ 2	11	43 — 1	— 3	19	52 — 70	0	11	62 — 67	+ 8	2	75 — 77	0	9
34 — 92	+ 1	3	43 — 44	— 2	7	52 — 71	+ 10	6	62 — 68	+ 6	1	81 — 83	0	4
34 — 94	0	11	43 — 75	+ 2	3	52 — 72	+ 8	6	62 — 69	— 8	9	82 — 83	0	6
34 — 105	+ 11	8	44 — 1	— 7	11	52 — 74	+ 15	6	62 — 99	+ 1	1	83 — 84	0	4
35 — 36	— 1	15	44 — 83	— 6	6	52 — 80	+ 4	6	62 — 100	0	13	83 — 85	+ 2	13
35 — 62	0	2	45 — 1	+ 1	28	52 — 96	— 6	12	62 — 101	+ 3	11	83 — 88	+ 1	13
35 — 65	0	10	45 — 46	0	4	52 — 97	0	13	62 — 102	+ 4	10	83 — 90	0	1
35 — 83	+ 1	4	45 — 47	0	4	52 — 98	— 6	12	62 — 103	+ 6	9	83 — 91	+ 1	7
37 — 1	0	20	45 — 48	0	4	53 — 54	0	11	62 — 104	— 2	10	83 — 92	+ 5	11
37 — 38	0	13	45 — 49	0	2	53 — 55	+ 2	7	63 — 1	+ 13	11	83 — 105	0	8
38 — 1	0	29	45 — 49^a	0	3	53 — 55^a	+ 1	5	64 — 1	+ 3	13	85 — 86	+ 1	12
38 — 38^a	+ 1	8	45 — 50	0	5	53 — 56	— 10	5	64 — 65	— 1	9	85 — 89	0	1
38 — 38^b	+ 2	9	45 — 52	0	15	53 — 57	+ 5	10	64 — 68	— 5	5	87 — 88	— 1	4
38 — 39	— 2	16	45 — 54	0	2	53 — 61	0	1	64 — 106	0	16	88 — 89	— 2	5
38 — 40	0	6	45 — 57	+ 20	5	53 — 96	— 14	4	64 — 107	0	14	88 — 90	— 1	6
38 — 41	0	6	46 — 1	+ 3	18	54 — 56	0	2	65 — 1	+ 3	18	91 — 93	+ 2	16
38 — 42	0	7	47 — 1	+ 4	20	54 — 61	— 5	8	65 — 66	0	25	95 — 1	+ 1	5

Die vorstehenden Correctionen sind in überwiegender Anzahl Null oder doch sehr klein. Da sie ausserdem noch in Betreff der Vorzeichen sich ungefähr das Gleichgewicht halten (es sind 109 Null, 98 +, 83 —), so habe ich es für überflüssig gehalten, die Sache weiter zu verfolgen. Insbesondere ist von vornherein zu erwarten, dass eine neue Ausgleichung der Rectascensions-Differenzen nur sehr geringe Veränderungen gegen früher ergeben würde, namentlich für die helleren Sterne, bei welchen durch die vielfachen Verbindungen der Einfluss der obigen Correctionen sicher verschwinden wird.

Annalen der k.Sternwarte.

STERNHAUFEN 38h PERSEI

im umkehrenden Fernrohr.



Lith.art.Anstalt München (vorm. Gebr. Obpacher.)

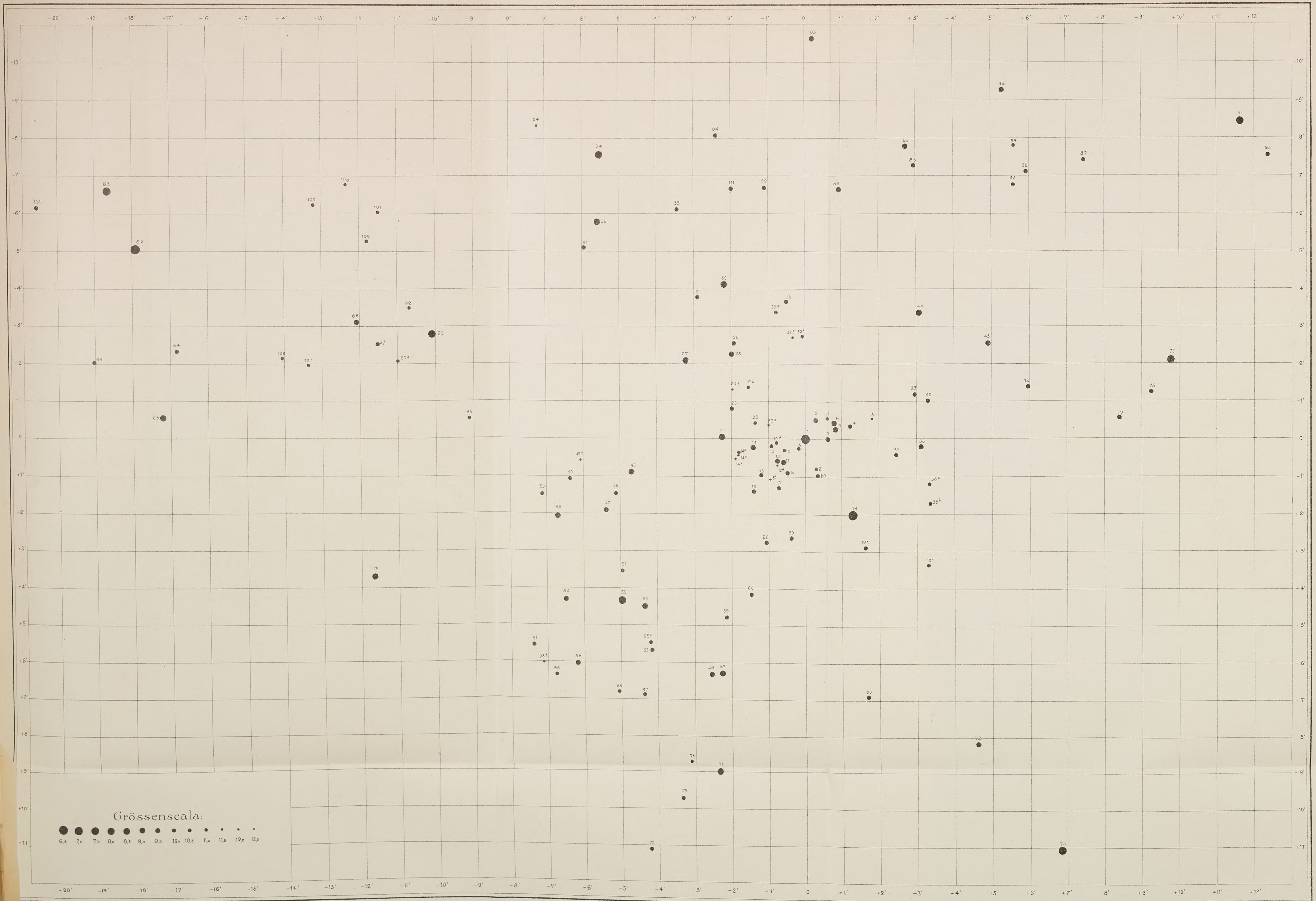
Nord.

Grössenscala:

6,5 7 8 9 10 11 12

STERNHAUFEN 38 h PERSEI

im umkehrenden Fernrohr.



Lith. art. Anstalt München (vorm. Gebr. Obpacher.)

Die Vertheilung

der

in beiden Bonner Durchmusterungen

enthaltenen

Sterne am Himmel.

Die folgenden Blätter enthalten die Resultate einer Abzählung der in beiden Bonner Durchmusterungen enthaltenen Sterne. Das Nähere über die Umstände, unter welchen diese Arbeit zu Stande gekommen ist, sowie Bemerkungen, zu welchen die gewonnenen Zahlen Anlass gegeben haben, findet man in den beiden Abhandlungen:

1) Ueber die Vertheilung der Sterne auf der nördlichen Halbkugel nach der Bonner Durchmusterung.

2) Ueber die Vertheilung der Sterne auf der südlichen Halbkugel nach Schoenfeld's Durchmusterung,

welche ich in den Sitzungsberichten der mathematisch-physikalischen Classe der k. bayerischen Akademie der Wissenschaften 1884 und 1886 veröffentlicht habe. Die dort gegebenen Auszüge aus den folgenden Tabellen werden wohl für die meisten Zwecke ausreichen. Indessen wird vielleicht unter Umständen ein Abdruck der ursprünglichen Abzählungsergebnisse nicht ganz ohne Werth sein, in welcher Auffassung ich durch Meinungsäusserungen geehrter Fachgenossen bestärkt worden bin.

Das Format der vorliegenden Publikation ermöglicht ein Zusammendrängen des ganzen Zahlenmateriales auf einen verhältnissmässig kleinen Raum ohne die Uebersichtlichkeit zu gefährden. Die Anordnung ist eine solche, dass eine Erläuterung der Tabellen wohl nicht nöthig sein wird. Nur zwei Bemerkungen werden vielleicht nicht überflüssig sein.

1) Die Sterne der nördlichen Durchmusterung von der Grösse 1.0 bis 6.5 wurden nicht wie die übrigen in Intervallen von 20 zu 20 Minuten Rectascension abgezählt, sondern wegen ihrer geringen Anzahl in Intervallen von 40 Minuten. Um nun die Gleichförmigkeit des Druckes nicht zu beeinträchtigen, wurden diese Zahlen in diejenigen Rubriken gesetzt, welche den zweiten Hälften der Intervalle zugehören, auf welche sie sich beziehen. Beispielsweise steht bei der Declination $+0°$ unter der Rubrik $1^h 0^m - 1^h 20^m$ die Zahl 2. Das bedeutet also: in dem Intervalle $0^h 40^m - 1^h 20^m$ kommen 2 Sterne von der Grösse 1.0 — 6.5 vor.

Bei der südlichen Durchmusterung wurden dagegen auch diese hellsten Sterne genau so wie alle andern abgezählt.

2) Schoenfeld's Durchmusterung enthält bekanntlich auch Sterne von der Grösse 9.6 — 10.0 und die auf diese sich beziehenden Abzählungsergebnisse haben demnach eine verticale Reihe mehr. Um nun auch für die südlichen Declinationsgrade mit demselben Raume auszukommen, wurden hier die Köpfe der verticalen Reihen in abgekürzter Form bezeichnet und zwar so, dass unter 1.0, 6.6 etc. bis 9.6 die Anzahl der Sterne von der Grösse 1.0 — 6.5, 6.6 — 7.0 etc. bis 9.6 — 10.0 steht.

Die folgenden Blätter enthalten die Resultate einer Abzählung der in beiden Bonner Durchmusterungen enthaltenen Sterne. Das Nähere über die Umstände, unter welchen diese Arbeit zu Stande gekommen ist, sowie Bemerkungen, zu welchen die gewonnenen Zahlen Anlass gegeben haben, findet man in den beiden Abhandlungen:

1) Ueber die Vertheilung der Sterne auf der nördlichen Halbkugel nach der Bonner Durchmusterung.

2) Ueber die Vertheilung der Sterne auf der südlichen Halbkugel nach Schoenfeld's Durchmusterung,

welche ich in den Sitzungsberichten der mathematisch-physikalischen Classe der k. bayerischen Akademie der Wissenschaften 1884 und 1886 veröffentlicht habe. Die dort gegebenen Auszüge aus den folgenden Tabellen werden wohl für die meisten Zwecke ausreichen. Indessen wird vielleicht unter Umständen ein Abdruck der ursprünglichen Abzählungsergebnisse nicht ganz ohne Werth sein, in welcher Auffassung ich durch Meinungsäusserungen geehrter Fachgenossen bestärkt worden bin.

Das Format der vorliegenden Publication erzwingt ein Zusammendrängen des ganzen Zahlenmateriales auf einen verhältnissmässig kleinen Raum ohne die Uebersichtlichkeit zu gefährden. Die Anordnung ist eine solche, dass eine Erläuterung der Tabellen wohl nicht nöthig sein wird. Nur zwei Bemerkungen werden vielleicht nicht überflüssig sein.

1) Die Sterne der nördlichen Durchmusterung von der Grösse 1.0 bis 6.5 wurden nicht wie die übrigen in Intervallen von 20 zu 20 Minuten Rectascension abgezählt, sondern wegen ihrer geringen Anzahl in Intervallen von 40 Minuten. Um nun die Gleichförmigkeit des Druckes nicht zu beeinträchtigen, wurden diese Zahlen in diejenigen Rubriken gesetzt, welche den zweiten Hälften der Intervalle zugehören, auf welche sie sich beziehen. Beispielsweise steht bei der Declination $+0°$ unter der Rubrik 1^h0^m—1^h20^m die Zahl 2. Das bedeutet also, in dem Intervalle 0^h40^m—1^h20^m kommen 2 Sterne von der Grösse 1.0—6.5 vor.

Bei der südlichen Durchmusterung wurden dagegen auch diese hellsten Sterne genau so wie alle andern abgezählt.

2) Schoenfeld's Durchmusterung enthält bekanntlich noch Sterne von der Grösse 0.6—10.0 und die auf diese sich beziehenden Abzählungsergebnisse haben demnach eine verticale Reihe mehr. Um nun auch für die südlichen Declinationsgrade mit demselben Raume auszukommen, wurden hier die Köpfe der verticalen Reihen in abgekürzter Form bezeichnet und zwar so, dass unter 1.0, 6.6 etc. bis 9.6 die Anzahl der Sterne von der Grösse 1.0—6.5, 6.6—7.0 etc. bis 9.6—10.0 steht.

Rectascens.	Declination + 0^0							Declination + 1^0							Declination + 2^0						
Grösse:	1.0-6.5	6.6-7.0	7.1-7.5	7.6-8.0	8.1-8.5	8.6-9.0	9.1-9.5	1.0-6.5	6.6-7.0	7.1-7.5	7.6-8.0	8.1-8.5	8.6-9.0	9.1-9.5	1.0-6.5	6.6-7.0	7.1-7.5	7.6-8.0	8.1-8.5	8.6-9.0	9.1-9.5
$0^h\ 0^m - 20^m$	—	2	1	3	3	9	40	—	—	1	3	3	7	50	—	—	1	2	5	7	39
20 — 40	—	—	—	2	11	8	40	1	—	1	2	4	18	48	—	1	1	3	3	16	26
40 — 0	—	1	—	3	3	17	43	—	—	3	3	5	14	47	—	—	—	2	3	11	38
1 0 — 20	2	1	—	2	4	10	32	1	2	—	2	4	14	29	2	1	1	2	2	13	33
20 — 40	—	—	—	3	4	9	37	—	—	—	3	6	16	31	—	2	1	4	4	11	35
40 — 0	—	—	—	2	2	16	46	1	—	—	—	6	11	37	4	—	—	2	3	15	40
2 0 — 20	—	—	2	—	2	9	35	—	—	—	2	5	11	36	—	—	2	2	1	8	33
20 — 40	—	—	2	1	6	11	37	2	1	—	—	6	11	39	1	—	1	1	7	12	30
40 — 0	—	—	1	3	7	15	35	—	1	2	4	6	15	33	—	—	1	3	6	14	26
3 0 — 20	—	—	1	3	9	16	41	1	—	2	1	4	14	28	1	—	—	2	9	10	44
20 — 40	—	1	—	—	6	15	41	—	—	—	1	4	18	42	—	—	1	4	9	8	35
40 — 0	—	—	—	1	4	10	29	—	2	1	4	5	14	15	3	1	—	2	6	3	29
4 0 — 20	—	—	3	1	5	12	42	—	—	—	2	6	9	33	—	—	2	4	8	16	34
20 — 40	1	1	1	3	5	14	65	3	—	—	—	2	17	44	—	—	—	2	7	13	37
40 — 0	—	—	1	2	8	23	63	—	—	2	2	9	19	51	—	—	1	—	7	19	67
5 0 — 20	4	2	—	2	2	18	101	3	2	—	1	6	13	91	5	1	3	3	3	9	77
20 — 40	—	—	1	2	2	18	82	—	—	3	3	3	14	87	—	—	—	2	6	18	71
40 — 0	1	2	1	3	2	11	90	4	—	2	1	3	16	65	—	—	—	4	3	9	58
6 0 — 20	—	—	1	5	9	21	100	—	1	—	1	3	16	110	—	2	3	6	3	15	70
20 — 40	2	1	—	6	8	24	130	1	1	—	2	5	18	135	3	1	2	4	7	33	110
40 — 0	—	—	—	3	12	33	161	—	2	—	1	4	32	143	—	1	1	4	8	29	117
7 0 — 20	—	2	2	4	12	30	93	—	—	—	—	7	19	91	2	—	—	4	8	27	80
20 — 40	—	—	1	2	8	27	98	—	—	—	4	3	22	64	—	—	3	3	4	20	72
40 — 0	2	—	—	1	7	32	66	1	—	—	3	7	21	60	4	—	—	2	4	21	66
8 0 — 20	—	—	1	3	12	22	70	—	—	1	6	5	31	54		—	2	3	11	33	51
20 — 40	—	1	3	3	12	16	54	—	—	3	6	7	22	34	1	—	1	2	8	21	55
40 — 0	—	—	—	—	11	14	44	—	—	1	7	5	11	47	—	1	4	3	6	18	48
9 0 — 20	1	—	2	3	5	12	37	—	1	1	2	3	16	45	1	—	2	1	7	17	30
20 — 40	—	—	1	3	3	8	24	—	—	—	1	3	11	38	—	—	2	7	3	5	27
40 — 0	—	1	1	1	5	9	38	—	—	1	—	4	10	29	2	—	—	—	5	8	27
10 0 — 20	—	—	—	3	1	5	32	—	1	1	—	4	14	21	—	—	—	2	4	10	16
20 — 40	2	—	—	1	2	8	36	—	—	1	1	1	5	29	—	3	3	1	6	6	20
40 — 0	—	—	2	1	5	5	29	—	1	—	2	3	5	29	—	—	—	2	2	11	14
11 0 — 20	4	—	—	—	4	14	25	1	—	—	1	7	8	28	4	—	—	2	1	9	29
20 — 40	—	—	1	4	1	7	32	—	—	1	2	4	11	27	—	—	—	2	3	13	32
40 — 0	1	—	—	1	5	6	44	—	2	1	1	4	10	26	1	—	1	1	2	4	24
12 0 — 20	—	—	—	5	3	12	29	—	—	1	1	4	11	27	—	—	—	3	2	9	13
20 — 40	2	—	—	1	3	8	25	—	—	—	1	5	9	40	2	—	—	1	1	9	25
40 — 0	—	—	1	2	4	8	25	—	—	1	3	4	6	22	—	—	—	3	4	10	29
13 0 — 20	—	1	—	—	4	8	24	—	—	—	1	1	7	17	1	1	2	2	3	8	36
20 — 40	—	—	—	1	3	6	31	—	—	1	3	3	6	20	—	—	—	1	2	10	31
40 — 0	1	—	1	—	3	12	15	1	—	—	1	2	15	22	1	1	—	2	5	9	33
14 0 — 20	—	3	2	—	2	9	35	—	2	—	—	4	9	28	—	1	—	2	5	9	30
20 — 40	—	—	1	1	3	14	39	4	—	1	—	1	12	31	1	1	—	3	4	7	26
40 — 0	—	—	—	1	6	9	43	—	—	—	1	5	6	35	—	—	2	1	5	10	33
15 0 — 20	5	—	1	1	2	10	37	1	—	2	—	1	7	40	2	—	—	1	—	9	36
20 — 40	—	—	2	3	1	7	33	—	1	1	2	2	9	36	—	—	1	1	—	4	24
40 — 0	—	—	—	1	5	6	43	—	1	3	—	—	3	26	3	—	2	2	3	3	41
16 0 — 20	—	—	—	1	5	9	50	—	2	1	—	3	10	57	—	1	1	1	1	6	49
20 — 40	1	—	2	—	5	10	39	2	1	1	2	2	7	52	1	1	1	—	5	10	51
40 — 0	—	2	—	—	3	7	44	—	—	—	3	2	14	60	—	—	—	1	2	11	59
17 0 — 20	1	2	2	—	3	7	43	2	1	1	1	3	8	36	1	1	—	1	3	12	53
20 — 40	—	1	—	1	3	11	64	—	1	2	4	3	9	51	—	1	—	5	7	13	53
40 — 0	3	—	2	2	5	11	58	3	2	1	5	7	18	57	6	2	3	3	5	12	65
18 0 — 20	—	2	1	4	4	12	59	—	1	—	1	8	9	61	—	3	2	1	5	16	76
20 — 40	1	1	—	2	7	10	62	1	—	—	5	8	13	79	1	—	—	4	5	16	62
40 — 0	—	1	2	3	3	8	72	—	1	1	6	8	12	83	—	1	3	3	7	16	74
19 0 — 20	3	2	2	4	1	12	77	2	—	1	1	3	13	86	3	1	—	2	4	16	75
20 — 40	—	1	—	1	8	10	80	—	—	1	5	3	14	75	—	2	1	1	7	12	77
40 — 0	—	3	1	1	4	20	84	1	—	2	2	9	20	73	—	—	1	3	4	13	82
20 0 — 20	—	2	1	1	10	13	55	—	—	2	1	7	9	68	—	—	2	2	5	13	56
20 — 40	1	—	1	1	5	18	55	—	—	1	2	5	17	45	—	1	2	1	6	14	56
40 — 0	—	—	—	4	3	18	49	—	2	1	5	6	13	36	—	1	3	2	7	11	30
21 0 — 20	—	1	1	1	6	12	45	—	—	—	3	5	12	39	1	1	2	5	3	9	36
20 — 40	—	—	1	1	3	14	31	—	—	—	2	4	8	41	—	—	1	2	1	13	37
40 — 0	1	—	—	1	5	6	31	1	1	1	—	1	9	36	1	—	—	1	—	16	40
22 0 — 20	—	—	—	—	5	8	38	—	—	—	—	2	6	20	—	—	2	—	1	11	21
20 — 40	1	—	1	1	5	13	29	—	—	—	4	2	8	21	—	—	—	3	3	14	35
40 — 0	—	1	1	—	4	7	30	—	—	—	1	3	6	23	—	1	1	2	5	10	30
23 0 — 20	2	—	1	1	1	2	26	1	—	—	5	2	7	26	2	—	—	3	6	18	27
20 — 40	—	—	1	1	1	7	38	—	1	—	2	7	9	27	—	—	—	2	3	14	24
40 — 0	2	—	—	—	2	9	27	—	—	2	2	3	12	44	2	—	—	3	11	9	20
Summa	44	38	57	127	347	897	3577	38	34	56	149	304	896	3356	62	35	71	166	324	914	3185

Rectascens.	Declination + 3°							Declination + 4°							Declination + 5°						
Grösse:	1.0-6.5	6.6-7.0	7.1-7.5	7.6-8.0	8.1-8.5	8.6-9.0	9.1-9.5	1.0-6.5	6.6-7.0	7.1-7.5	7.6-8.0	8.1-8.5	8.6-9.0	9.1-9.5	1.0-6.5	6.6-7.0	7.1-7.5	7.6-8.0	8.1-8.5	8.6-9.0	9.1-9.5
0^h 0^m —20^m	—	1	1	1	3	7	33	—	—	—	1	4	8	44	—	—	—	3	2	12	37
20 —40	—	—	1	2	3	12	41	—	1	—	2	4	16	38	—	1	—	—	3	9	37
40 — 0	—	—	1	3	3	10	38	—	1	1	1	4	17	41	—	1	1	1	1	9	29
1 0 —20	—	—	1	—	7	12	20	3	—	—	1	5	13	43	—	—	—	1	4	10	25
20 —40	—	—	—	1	6	13	23	—	—	—	1	4	12	43	—	—	1	—	5	14	36
40 — 0	—	—	1	—	4	12	25	1	—	—	1	3	7	31	1	—	1	2	5	9	24
2 0 —20	—	—	2	2	6	13	30	—	—	1	1	8	6	28	—	—	2	3	4	13	34
20 —40	—	—	1	2	2	18	22	1	—	1	1	3	12	30	—	1	—	1	8	7	36
40 — 0	—	1	1	3	3	12	28	—	1	—	3	3	11	34	—	—	2	4	10	14	28
3 0 —20	2	—	—	1	1	11	29	—	—	—	1	2	6	32	—	—	1	1	2	12	28
20 —40	—	—	1	—	6	16	26	—	1	—	2	3	16	30	—	1	1	3	3	11	27
40 — 0	—	—	—	1	2	7	27	—	—	—	1	3	14	29	3	1	—	1	5	8	30
4 0 —20	—	—	—	—	5	12	26	—	—	1	1	5	16	34	—	—	2	—	2	14	49
20 —40	—	—	—	1	6	15	46	—	—	—	2	5	14	38	3	—	3	—	6	14	47
40 — 0	—	1	—	4	8	22	64	—	1	—	1	6	18	62	—	—	1	2	6	21	52
5 0 —20	1	1	3	5	4	20	101	1	—	—	3	6	15	71	1	1	1	2	8	25	77
20 —40	—	1	1	3	4	19	100	—	—	2	3	11	19	67	—	—	2	2	11	16	58
40 — 0	3	—	1	4	8	14	66	4	—	—	2	7	22	55	2	—	1	2	7	12	61
6 0 —20	—	—	1	4	8	22	89	—	1	1	5	12	20	96	—	—	2	—	9	28	104
20 —40	—	1	2	6	3	18	120	2	1	2	1	13	31	130	1	3	2	6	11	35	106
40 — 0	—	2	—	1	9	23	115	—	—	—	4	7	19	118	—	2	2	1	6	31	97
7 0 —20	1	1	1	1	9	34	87	—	—	—	2	8	32	71	3	—	—	3	10	23	85
20 —40	—	1	3	5	11	17	69	—	—	1	2	11	40	63	—	—	2	5	10	19	81
40 — 0	1	1	2	5	7	20	66	—	1	2	2	7	25	49	2	1	—	1	10	24	53
8 0 —20	—	—	2	4	4	18	57	—	2	—	1	11	19	41	—	—	1	4	17	23	49
20 —40	2	1	—	2	2	19	45	—	—	1	2	6	15	39	1	—	2	2	6	18	54
40 — 0	—	—	5	2	6	24	54	—	1	—	4	5	20	49	—	—	1	1	3	22	35
9 0 —20	—	—	2	4	4	16	36	—	—	1	4	9	8	47	1	—	2	1	4	12	39
20 —40	—	—	2	1	2	13	42	—	—	1	1	9	9	36	—	—	—	1	4	19	29
40 — 0	2	—	—	—	3	10	34	1	—	2	1	10	12	21	1	1	1	1	8	10	36
10 0 —20	—	2	2	2	6	10	29	—	1	1	—	4	7	28	—	—	—	2	1	14	29
20 —40	2	—	1	3	6	7	25	—	—	1	2	4	12	28	2	—	—	2	6	16	38
40 — 0	—	—	—	1	5	13	30	—	—	2	3	4	7	25	—	—	1	1	2	6	39
11 0 —20	—	—	2	3	2	7	29	1	1	1	2	5	8	30	—	—	—	4	8	13	23
20 —40	—	—	2	—	6	7	32	—	—	1	2	3	6	45	—	—	—	2	7	1	35
40 — 0	2	—	—	—	3	9	33	1	—	2	2	4	9	30	—	—	1	2	2	8	32
12 0 —20	—	1	—	—	2	8	37	—	—	1	2	2	6	31	—	—	—	3	5	11	25
20 —40	—	—	—	3	6	14	30	2	—	1	1	7	5	19	—	—	3	4	4	10	28
40 — 0	—	—	1	1	3	7	25	—	1	—	2	3	4	29	—	—	1	1	2	8	27
13 0 —20	—	1	—	4	6	6	23	1	1	1	3	4	8	38	1	—	2	2	1	5	17
20 —40	—	1	—	—	1	6	33	—	—	—	1	3	4	25	—	—	1	1	4	9	37
40 — 0	—	—	2	2	2	10	24	2	—	1	1	4	6	35	1	—	—	2	1	13	30
14 0 —20	—	1	1	1	2	6	24	—	1	1	1	8	5	19	—	—	—	1	—	8	26
20 —40	1	—	1	—	1	15	28	—	—	2	6	3	11	29	1	—	1	1	4	8	28
40 — 0	—	—	2	1	5	9	24	—	—	1	2	3	8	37	—	—	1	1	1	6	40
15 0 —20	—	1	—	1	1	10	40	—	1	—	3	2	5	39	2	—	—	1	2	11	20
20 —40	—	1	—	2	1	9	40	—	—	—	—	3	7	33	—	1	1	—	7	6	59
40 — 0	—	—	1	2	2	8	29	2	—	—	—	7	13	34	1	—	2	1	1	14	38
16 0 —20	—	1	2	—	2	10	56	—	—	—	1	1	15	50	—	—	—	2	4	8	52
20 —40	1	1	—	2	2	11	54	1	1	1	3	2	9	57	2	1	1	1	5	12	43
40 — 0	—	—	1	2	3	7	65	—	—	—	—	4	17	56	—	—	—	3	4	3	47
17 0 —20	—	1	1	—	9	9	44	1	1	2	2	5	18	60	1	1	—	3	8	13	43
20 —40	—	—	1	—	4	17	57	—	—	1	1	8	16	57	—	3	3	4	12	16	63
40 — 0	1	1	1	3	8	18	70	2	1	1	3	5	23	65	—	2	—	3	3	19	86
18 0 —20	—	—	—	2	4	21	92	—	—	1	2	8	17	116	—	2	—	2	5	13	113
20 —40	4	3	1	4	6	8	63	—	2	5	2	9	14	99	1	2	1	5	9	25	163
40 — 0	—	1	1	—	7	24	69	—	—	3	—	7	10	75	—	—	1	2	3	17	61
19 0 —20	—	—	—	3	8	23	90	4	2	2	3	6	17	99	2	2	4	2	3	13	88
20 —40	—	2	2	2	5	16	93	—	1	2	3	8	16	89	—	3	—	1	7	24	108
40 — 0	—	1	—	1	5	21	84	1	1	1	2	3	15	95	1	1	—	4	9	18	89
20 0 —20	—	—	—	3	6	16	60	—	—	—	2	5	17	75	—	1	—	2	6	26	64
20 —40	—	—	1	2	4	24	52	2	2	—	1	6	20	68	—	1	—	4	6	22	65
40 — 0	—	1	—	1	10	16	46	—	—	1	1	4	12	49	—	—	—	2	6	17	66
21 0 —20	4	1	1	5	3	14	39	3	—	1	3	2	13	40	3	—	—	—	2	8	63
20 —40	—	1	1	2	4	10	29	—	2	2	2	6	16	37	—	—	2	4	5	15	60
40 — 0	—	—	2	2	4	10	32	2	—	2	5	4	20	34	4	1	1	1	12	14	55
22 0 —20	—	1	2	1	4	9	26	—	—	—	1	4	17	30	—	—	—	2	8	12	48
20 —40	4	1	1	3	9	15	33	—	1	1	1	4	12	29	2	—	1	1	8	12	29
40 — 0	—	2	3	2	4	12	29	—	2	—	3	5	12	33	—	—	1	2	4	16	37
23 0 —20	2	—	—	—	3	10	23	1	1	1	1	6	20	20	—	—	1	1	3	9	22
20 —40	—	—	—	1	2	7	22	—	1	1	1	2	10	23	—	—	—	2	5	12	29
40 — 0	—	—	2	3	2	13	21	1	—	—	1	5	8	28	1	—	—	1	6	14	23
Summa	33	38	73	138	327	981	3343	40	35	61	134	386	987	3448	44	34	64	139	391	1019	3571

Rectascens.	Declination + 6°							Declination + 7°							Declination + 8°						
Grösse:	1.0-6.5	6.6-7.0	7.1-7.5	7.6-8.0	8.1-8.5	8.6-9.0	9.1-9.5	1.0-6.5	6.6-7.0	7.1-7.5	7.6-8.0	8.1-8.5	8.6-9.0	9.1-9.5	1.0-6.5	6.6-7.0	7.1-7.5	7.6-8.0	8.1-8.5	8.6-9.0	9.1-9.5
0^h 0^m — 20^m	—	—	1	1	2	8	39	—	—	3	2	1	7	37	—	1	—	3	1	15	33
20 — 40	1	—	—	1	3	11	33	2	—	—	2	3	8	44	1	1	1	3	2	11	36
40 — 0	—	1	1	3	6	8	36	—	—	1	1	9	5	44	—	—	3	4	3	12	46
1 0 — 20	3	—	—	3	4	17	39	1	—	—	—	5	10	26	—	—	2	2	6	9	39
20 — 40	—	1	1	—	2	14	29	—	3	2	—	1	18	45	—	1	—	1	3	11	25
40 — 0	—	1	1	3	2	14	35	—	2	2	1	3	10	32	1	1	—	1	5	12	33
2 0 — 20	—	—	—	1	6	9	26	—	—	2	1	4	12	36	—	—	—	1	2	8	33
20 — 40	1	1	—	2	6	10	33	3	—	1	2	7	11	19	2	—	1	3	2	11	33
40 — 0	—	—	—	1	9	12	38		1	—	1	7	12	27	—	1	—	1	5	4	27
3 0 — 20	1	—	1	2	4	8	34	—	1	1	2	3	7	21	1	—	—	5	6	10	34
20 — 40	—	1	1	4	4	13	31	—	—	—	1	5	5	22	—	—	3	2	2	8	33
40 — 0	1	—	1	2	1	11	31	1	—	—	3	3	13	35	1	3	—	2	5	11	47
4 0 — 20	—	2	1	2	2	12	35	—	—	—	1	3	3	40	—	2	—	—	4	9	40
20 — 40	—	1	—	1	3	11	51	2	2	1	3	6	11	49	3	—	1	1	2	11	55
40 — 0	—	—	1	2	2	19	63	—	1	3	2	8	21	52	—	1	1	3	3	21	71
5 0 — 20	2	—	2	4	9	13	59	1	—	1	6	6	16	63	3	—	1	2	11	16	72
20 — 40	—	—	3	2	10	18	63	—	—	—	1	9	16	85	—	1	1	1	10	12	78
40 0	1	—	1	1	13	17	67	1	—	1	3	11	17	93	—	—	—	2	8	20	95
6 0 — 20	—	1	2	—	9	18	96	—	—	5	2	12	20	119	—	—	1	2	5	29	112
20 — 40	1	1	1	7	6	17	99	1	—	3	1	12	15	124	3	—	1	3	12	20	115
40 — 0	—	—	1	7	13	13	108	—	2	—	2	8	25	116	—	1	1	3	12	26	113
7 0 — 20	—	1	—	4	13	28	101	1	1	1	2	9	32	75	2	1	—	2	9	27	80
20 40	—	1	1	2	11	22	72	—	—	1	1	9	30	67	—	—	—	4	12	21	59
40 — 0	—	—	1	2	10	21	59	1	1	2	2	12	20	49	—	—	2	1	6	17	69
8 0 — 20	—	1	2	1	6	17	56	—	—	1	2	3	19	31	—	—	2	3	4	15	63
20 — 40	2	1	1	1	4	17	55	1	—	—	2	6	11	30	1	2	1	—	2	13	44
40 — 0	—	—	—	3	4	19	39	—	1	1	2	5	10	31	—	1	—	1	5	13	27
9 0 — 20	3	1	2	4	7	14	43	1	—	—	1	2	6	41	—	—	3	2	7	13	32
20 — 40	—	—	—	2	1	8	21	—	—	1	—	4	6	41	—	—	—	3	2	10	27
40 — 0	1	1	—	2	1	12	34	2	—	—	—	3	8	43	2	—	3	2	3	10	34
10 0 — 20	—	1	1	2	4	10	30	—	—	—	1	6	8	53	—	—	—	—	1	13	30
20 — 40	—	—	—	3	4	8	24	2	—	2	1	4	10	35	—	—	—	1	4	7	38
40 — 0	—	—	—	4	3	12	34	—	—	—	—	8	8	40	—	—	—	2	6	5	33
11 0 — 20	3	—	—	1	6	12	28	—	—	2	—	1	5	25	1	1	—	1	4	6	34
20 — 40	—	—	1	—	5	7	38	—	—	2	1	2	6	21	—	—	1	1	3	8	21
40 — 0	—	—	1	2	1	9	37	2	—	—	1	6	7	18	1	—	—	—	2	8	20
12 0 — 20	—	—	1	3	7	8	42	—	—	—	1	4	8	17	—	—	—	2	3	9	16
20 — 40	1	1	—	3	3	6	35	1	—	—	—	3	6	21	2	—	3	1	6	6	18
40 — 0	—	—	—	1	—	9	25	—	—	1	1	3	10	21	—	—	—	—	4	7	27
13 0 — 20	1	1	—	1	2	7	37	—	1	—	1	2	6	26	—	1	—	—	3	6	25
20 — 40	—	2	—	1	1	6	37	—	1	—	1	1	9	29	—	—	—	—	2	12	36
40 — 0	1	—	—	—	4	9	30	1	1	1	1	1	6	48	—	1	1	1	4	10	36
14 0 — 20	—	—	2	5	2	7	32	—	—	—	1	3	4	30	—	1	2	2	1	12	31
20 — 40	1	—	—	1	3	10	42	—	—	—	3	2	6	45	1	—	1	2	3	6	42
40 — 0	—	1	2	1	1	7	44	—	—	1	—	2	6	44	—	—	2	2	3	5	45
15 0 — 20	2	—	—	1	2	3	38	—	—	1	—	2	5	57	—	—	—	2	1	12	41
20 — 40	—	—	1	2	2	8	40	—	—	1	—	4	12	48	—	—	1	—	5	8	36
40 — 0	1	—	—	3	1	10	46	1	—	—	—	4	8	58	—	1	—	1	2	15	37
16 0 — 20	—	1	—	2	6	13	49	—	—	1	—	9	8	61	—	1	—	3	2	13	39
20 — 40	2	1	—	2	—	9	51	1	—	—	2	3	14	51	2	—	2	1	1	17	56
40 — 0	—	2	1	—	3	8	44	—	—	1	—	2	10	48	—	1	—	1	5	10	55
17 0 — 20	—	1	1	2	5	11	50	2	—	1	1	1	13	48	3	—	1	1	4	13	45
20 — 40	—	1	—	7	5	21	73	—	—	1	3	7	17	64	—	—	1	2	4	17	50
40 — 0	2	2	2	4	4	21	63	—	—	2	2	3	16	67	—	3	—	4	3	15	70
18 0 — 20	—	1	2	1	7	16	114	—	1	2	4	1	26	102	—	1	1	2	6	17	88
20 — 40	2	—	4	3	5	28	125	3	—	2	7	7	22	106	2	—	3	1	5	17	119
40 — 0	—	3	2	2	5	11	67	—	1	—	2	9	14	101	—	—	—	2	9	27	93
19 0 — 20	1	1	2	2	3	15	87	—	—	2	4	4	18	80	1	—	3	5	4	19	91
20 — 40	—	—	—	4	9	25	129	—	—	3	6	6	16	114	—	2	1	3	7	24	79
40 — 0	2	1	—	2	9	15	105	2	1	1	11	8	26	99	3	—	—	4	6	10	99
20 0 — 20	—	1	1	4	3	14	73	—	—	5	—	7	16	77	—	2	2	1	4	20	73
20 — 40	—	1	3	3	9	19	76	1	—	—	2	5	10	55	2	—	1	6	2	26	56
40 — 0	—	2	1	4	5	14	78	—	—	3	3	8	23	40	—	2	—	1	6	13	62
21 0 — 20	4	—	1	3	4	11	57	1	1	—	3	4	19	39	—	1	1	7	6	8	39
20 — 40	—	—	—	4	4	20	44	—	—	1	—	9	12	33	—	—	1	1	5	12	42
40 — 0	3	—	—	1	4	13	41	2	—	—	1	4	10	34	—	—	—	2	5	14	33
22 0 — 20	—	—	—	4	7	7	43	—	2	1	4	5	12	55	—	—	1	5	4	16	51
20 — 40	—	1	—	—	3	8	28	—	—	—	4	2	11	35	1	—	1	3	2	9	44
40 — 0	—	—	1	4	4	4	43	—	—	—	1	4	9	35	—	1	—	1	6	11	46
23 0 — 20	—	—	1	2	6	10	19	2	—	2	1	2	9	40	2	—	1	1	5	14	45
20 — 40	—	—	1	2	3	5	31	—	—	1	1	9	7	32	—	—	—	3	3	7	38
40 — 0	3	1	—	3	2	6	29	2	2	1	—	8	11	23	2	1	1	—	5	9	39
Summa	46	42	58	169	339	903	3683	41	26	74	124	364	883	3612	43	37	60	141	325	938	3623

Rectascens.	Declination + 9°							Declination + 10°							Declination + 11°						
Grösse:	1.0-6.5	6.6-7.0	7.1-7.5	7.6-8.0	8.1-8.5	8.6-9.0	9.1-9.5	1.0-6.5	6.6-7.0	7.1-7.5	7.6-8.0	8.1-8.5	8.6-9.0	9.1-9.5	1.0-6.5	6.6-7.0	7.1-7.5	7.6-8.0	8.1-8.5	8.6-9.0	9.1-9.5
0^{h} 0^{m} — 20^{m}	—	1	1	—	2	7	33	—	1	2	—	3	7	36	—	—	1	7	3	7	38
20 — 40	1	1	—	1	3	6	31	1	—	3	2	3	10	21	2	—	—	—	4	9	26
40 — 0	—	—	—	—	4	10	28	—	—	—	2	3	7	27	—	1	—	2	4	8	32
1 0 — 20	1	4	—	1	2	4	28	1	1	1	—	7	13	34	—	2	—	1	5	11	20
20 — 40	—	—	—	—	7	5	38	—	1	1	—	3	12	40	—	1	1	—	5	6	36
40 — 0	—	—	3	3	1	5	39	1	1	—	2	3	3	39	2	—	3	1	2	11	29
2 0 — 20	—	1	2	3	4	7	35	—	—	—	2	3	4	25	—	—	1	2	5	12	40
20 — 40	2	—	1	—	—	8	28	—	2	1	—	2	7	35	2	—	2	2	1	9	34
40 — 0	—	—	—	5	4	6	19	—	1	—	4	6	8	25	—	—	1	—	2	11	34
3 0 — 20	1	1	1	2	6	5	28	—	—	1	3	2	3	17	1	—	1	2	3	9	22
20 — 40	—	1	1	2	1	9	35	—	1	1	—	4	5	30	—	—	1	—	2	12	32
40 — 0	2	1	1	1	5	6	36	2	—	—	3	5	7	38	—	—	—	1	2	7	40
4 0 — 20	—	—	1	1	4	2	30	—	—	—	2	7	8	21	—	3	2	—	4	5	28
20 — 40	5	2	2	1	3	8	54	2	1	—	1	3	4	46	2	1	—	2	3	3	25
40 — 0	—	2	—	2	3	12	61	—	—	3	1	4	11	66	—	—	3	—	3	7	54
5 0 — 20	3	1	—	3	5	14	78	—	2	1	1	3	9	50	2	1	1	2	9	14	67
20 — 40	—	—	2	3	5	22	82	—	—	4	2	4	8	84	—	—	—	3	4	27	95
40 — 0	7	—	—	3	2	23	111	3	—	1	2	7	13	105	2	1	3	2	9	13	62
6 0 — 20	—	1	1	5	8	16	118	—	2	1	3	2	19	99	—	—	3	8	13	24	104
20 — 40	1	2	1	4	11	22	98	2	2	2	1	10	24	82	1	3	2	—	12	26	76
40 — 0	—	1	1	3	5	20	105	—	—	1	1	6	25	122	—	2	—	8	11	20	112
7 0 — 20	2	—	2	7	14	27	84	1	2	2	4	6	25	76	2	1	1	4	5	24	92
20 — 40	—	—	2	1	5	17	83	—	1	—	1	7	21	59	—	—	2	1	7	21	56
40 — 0	2	2	1	3	8	19	75	—	—	—	6	8	19	73	1	—	1	3	5	17	54
8 0 — 20	—	—	2	5	6	17	69	—	—	—	2	7	13	46	—	—	2	5	2	19	57
20 — 40	1	—	1	1	4	14	61	3	1	2	2	2	15	46	1	—	3	5	3	13	48
40 — 0	—	—	1	1	3	9	50	—	—	1	1	9	9	49	—	—	1	1	4	18	44
9 0 — 20	1	1	—	1	3	11	49	—	—	1	2	5	8	44	1	—	—	2	7	11	36
20 — 40	—	1	1	1	4	7	38	—	—	—	2	5	10	33	—	—	—	8	2	13	40
40 — 0	2	1	—	—	1	7	53	2	—	1	2	4	10	41	1	—	2	1	3	10	52
10 0 — 20	—	1	—	2	5	7	39	—	1	1	1	2	2	33	—	—	1	3	3	9	42
20 — 40	2	—	—	1	2	4	42	2	—	—	1	4	10	36	—	—	1	2	2	3	41
40 — 0	—	—	1	—	6	3	32	—	—	2	2	3	10	30	—	—	—	1	—	4	27
11 0 — 20	—	1	1	—	2	10	33	—	—	—	—	2	9	25	2	—	1	—	4	10	26
20 — 40	—	1	—	—	4	16	28	—	—	—	—	3	11	35	—	3	—	—	6	12	25
40 — 0	4	—	—	1	2	9	23	—	—	—	4	8	5	28	—	—	—	1	7	8	14
12 0 — 20	—	—	—	3	3	6	29	—	—	—	3	6	10	24	—	—	—	1	4	4	23
20 — 40	1	1	—	2	3	10	28	1	—	—	2	3	12	30	3	1	1	2	1	8	19
40 — 0	—	—	1	—	5	14	27	—	—	1	1	3	8	25	—	—	—	—	4	9	28
13 0 — 20	—	—	—	1	5	12	20	2	1	—	1	1	10	21	1	—	—	—	3	9	17
20 — 40	—	—	1	2	5	10	32	—	1	1	2	3	8	31	—	1	1	—	2	5	21
40 — 0	2	1	—	1	2	7	29	—	2	1	1	4	10	22	2	2	1	—	3	4	26
14 0 — 20	—	—	—	2	3	9	28	—	—	1	2	1	7	42	—	2	—	1	1	8	33
20 — 40	1	—	—	1	4	11	34	1	—	3	2	6	10	33	1	—	1	5	—	9	24
40 — 0	—	—	—	1	5	12	38	—	1	1	2	5	9	31	—	—	1	1	7	9	33
15 0 — 20	—	1	1	2	3	8	29	—	3	3	4	4	9	42	—	1	3	—	5	5	21
20 — 40	—	1	—	—	7	8	41	—	—	2	1	3	7	37	—	—	4	2	4	7	37
40 — 0	—	1	—	1	2	13	33	1	—	1	2	6	11	31	2	—	2	1	2	8	38
16 0 — 20	—	2	1	—	3	14	41	—	1	3	—	7	5	31	—	1	2	3	3	18	45
20 — 40	—	1	—	—	6	14	39	1	1	—	1	4	6	51	2		—	2	4	12	34
40 — 0	—	3	—	1	4	7	38	—	1	2	1	7	11	54	—	1	4	4	3	6	52
17 0 — 20	1	—	3	5	6	11	45	2	—	1	1	4	9	50	1	—	2	1	3	11	48
20 — 40	—	1	—	1	8	11	52	—	—	2	1	8	20	55	—	1	2	3	5	15	52
40 — 0	—	3	—	2	—	15	76	—	—	—	1	5	17	72	2	—	1	—	5	17	62
18 0 — 20	—	—	1	5	10	20	114	—	—	3	4	6	12	100	—	1	3	1	5	21	90
20 — 40	2	—	1	4	11	28	107	—	3	1	1	4	18	108	3	2	1	6	10	21	95
40 — 0	—	1	2	6	10	18	82	—	2	1	3	11	14	103	—	—	4	6	5	18	103
19 0 — 20	3	2	—	4	11	13	86	1	1	4	3	11	15	78	3	3	3	5	7	18	66
20 — 40	—	2	—	2	14	27	103	—	2	2	4	6	22	112	—	2	1	6	4	20	103
40 — 0	—	1	3	1	6	23	115	3	4	1	5	8	17	91	4	2	2	3	11	27	107
20 0 — 20	—	1	1	3	7	28	92	—	2	1	5	6	19	77	—	2	1	2	9	18	95
20 — 40	2	1	1	2	13	22	63	5	1	—	3	5	12	66	2	—	—	3	6	14	90
40 — 0	—	—	2	3	1	16	68	—	—	1	1	8	12	62	—	—	4	4	3	16	79
21 0 — 20	5	1	1	1	5	18	57	2	1	3	3	6	17	54	—	—	1	2	6	11	64
20 — 40	—	—	1	7	7	22	47	—	1	—	4	9	10	51	—	2	1	4	5	12	67
40 — 0	1	1	4	1	3	14	64	4	1	—	—	11	12	44	2	—	4	2	3	8	54
22 0 — 20	—	—	—	3	3	11	42	—	—	—	2	7	11	38	—		1	2	4	8	52
20 — 40	—	—	—	2	3	8	45	2	—	2	4	—	10	51	2	1	1	—	3	5	67
40 — 0	—	1	2	2	5	9	37	—	—	—	2	2	7	49	—	1	—	—	3	6	50
23 0 — 20	2	—	—	—	3	8	45	2	1	—	1	2	7	41	1	—	—	2	2	11	53
20 — 40	—	—	—	2	4	10	43	—	—	1	4	6	8	33	—	—	—	2	2	11	37
40 — 0	2	—	1	—	—	12	32	1	2	1	—	5	8	20	1	2	1	2	2	7	27
Summa	59	53	57	140	344	893	3775	48	52	76	139	358	794	3556	54	47	93	158	315	859	3572

Rectascens.	Declination + 12°							Declination + 13°							Declination + 14°						
Grösse:	1o.-6.5	6.6-7.0	7.1-7.5	7.6-8.0	8.1-8.5	8.6-9.0	9.1-9.5	1.0-6.5	6.6-7.0	7.1-7.5	7.6-8.0	8.1-8.5	8.6-9.0	9.1-9.5	1.0-6.5	6.6-7.0	7.1-7.5	7.6-8.0	8.1-8.5	8.6-9.0	9.1-9.5
$0^h\ 0^m - 20^m$	—	—	—	1	5	3	25	—	1	1	1	2	5	41	—	—	—	—	2	4	42
20 —40	3	—	2	1	3	10	35	—	—	2	—	2	3	48	3	—	—	1	6	7	48
40 — 0	—	—	1	2	3	6	36	—	—	1	—	3	12	42	—	1	—	1	3	8	44
1 0 —20	2	—	—	—	2	11	29	1	1	—	—	5	10	33	2	—	1	—	3	4	40
20 —40	—	—	—	1	2	10	38	—	1	1	2	3	12	39	—	—	—	1	1	20	33
40 — 0	1	—	1	1	3	3	44	—	—	—	3	4	12	44	1	1	—	1	7	10	46
2 0 —20	—	1	1	2	1	7	38	—	—	1	3	3	13	36	—	—	1	1	3	11	45
20 —40	1	—	1	4	6	6	35	—	—	1	2	6	5	43	3	—	2	3	5	12	41
40 — 0	—	—	—	2	6	12	32	—	—	2	3	1	13	38	—	1	1	3	2	12	27
3 0 —20	3	3	1	1	2	9	19	—	1	—	1	4	10	31	1	—	1	1	1	4	39
20 —40	—	—	—	1	2	8	19	—	2	1	1	4	13	26	—	—	1	1	3	7	34
40 — 0	1	1	—	2	2	14	26	—	2	2	5	4	8	25	2	—	—	3	7	6	30
4 0 —20	—	—	1	1	3	3	33	—	1	1	1	1	6	25	—	—	2	3	2	10	25
20 —40	3	2	—	—	2	10	40	6	—	1	1	3	5	19	4	1	2	3	4	9	39
40 — 0	—	—	3	3	8	9	57	—	1	1	4	5	12	68	—	1	1	4	6	8	53
5 0 —20	—	—	1	2	6	13	44	1	1	—	3	5	15	67	3	—	—	4	6	10	64
20 —40	—	3	3	2	9	18	69	—	—	—	—	7	8	65	—	1	1	2	9	12	80
40 — 0	2	—	2	2	16	33	72	2	1	—	2	6	19	110	5	1	4	2	11	21	90
6 0 —20	—	1	—	3	5	34	89	—	1	2	4	4	22	105	—	2	—	7	9	20	103
20 —40	2	—	—	3	9	24	94	4	1	1	4	4	22	122	5	1	2	—	9	15	112
40 — 0	—	1	—	6	7	22	100	—	1	—	2	7	17	117	—	1	1	5	8	16	97
7 0 —20	2	—	1	—	7	19	97	1	—	1	4	3	16	93	1	—	—	5	6	12	75
20 —40	—	—	1	3	7	20	87	—	1	1	—	3	19	64	—	—	1	3	4	13	62
40 — 0	1	1	2	4	9	19	64	4	—	3	5	8	8	48	4	—	2	4	4	12	49
8 0 —20	—	—	—	—	2	6	56	—	—	1	2	5	9	63	—	1	1	2	2	14	45
20 —40	1	—	—	2	3	14	45	2	1	—	1	3	9	54	2	—	—	6	4	11	58
40 — 0	—	—	—	2	4	5	50	—	—	2	1	3	7	41	—	1	—	3	2	9	42
9 0 —20	2	2	1	—	5	9	51	—	1	—	1	2	6	37	—	—	1	1	1	12	49
20 —40	—	1	—	1	4	4	45	—	4	3	1	3	8	46	—	—	1	1	3	12	33
40 — 0	1	1	1	1	2	4	39	3	—	1	1	3	6	38	1	—	—	1	5	8	42
10 0 —20	—	—	1	1	6	10	49	—	—	1	1	6	5	38	—	1	—	1	1	10	29
20 —40	1	—	—	4	2	1	36	1	—	1	3	2	9	29	3	—	—	4	5	6	35
40 — 0	—	1	—	2	2	11	30	—	—	2	2	6	8	36	—	1	1	2	3	5	34
11 0 —20	2	2	—	1	2	6	22	1	2	—	1	6	12	27	1	2	1	—	1	4	41
20 —40	—	1	—	—	3	13	22	—	2	—	1	2	11	29	—	—	—	—	4	13	28
40 — 0	—	—	1	—	6	11	28	1	—	2	1	3	5	25	—	—	1	1	6	5	23
12 0 —20	—	—	—	4	5	10	25	—	—	—	—	2	11	29	—	—	1	—	4	7	17
20 —40	1	—	4	3	5	10	20	—	—	—	1	6	12	25	1	—	1	—	3	9	28
40 — 0	—	—	2	1	3	7	28	—	—	—	2	5	7	37	—	—	1	1	5	2	24
13 0 —20	2	—	—	1	3	7	27	2	—	—	—	8	9	18	3	1	2	2	1	4	24
20 —40	—	—	—	—	5	11	15	—	1	—	1	3	5	29		—	—	2	4	6	35
40 — 0	—	1	1	1	4	8	14	—	2	2	1	4	5	26	1	1	1	1	4	6	26
14 0 —20	—	1	—	3	—	6	31	—	—	—	—	2	10	36	—	1	—	1	2	7	25
20 —40	1	—	—	1	4	4	35	2	1	2	—	2	4	33	2	1	—	1	2	7	35
40 — 0	—	—	—	4	4	4	34	—	—	1	1	3	6	41	—	1	—	2	3	11	34
15 0 —20	1	—	—	1	4	9	35	3	1	—	1	5	6	36	—	1	—	2	4	7	25
20 —40	—	3	2	1	—	10	43	—	1	2	1	3	3	47	—	1	—	2	1	6	49
40 — 0	1	1	1	2	6	8	34	2	2	2	1	5	10	45	2	1	—	2	3	12	37
16 0 —20	—	—	2	1	6	10	50	—	1	3	1	13	16	44	—	—	—	2	3	14	45
20 —40	1	—	2	—	5	12	49	1	1	2	5	4	5	52	1	1	—	—	1	9	45
40 — 0	—	—	—	—	6	11	46	—	2	2	—	5	8	71	—	1	—	4	3	11	54
17 0 —20	1	2	—	1	5	12	50	4	—	2	2	6	6	47	4	—	1	1	8	12	40
20 —40	—	2	1	1	8	13	43	—	1	3	6	—	12	58	—	1	1	1	4	8	63
40 — 0	3	—	2	5	5	14	72	2	—	—	2	4	9	54	4	1	2	3	8	12	53
18 0 —20	—	3	4	2	4	15	110	—	1	—	3	8	12	98	—	—	3	5	5	18	90
20 —40	1	4	—	5	3	19	91	1	2	1	2	5	15	73	4	2	2	4	7	4	76
40 — 0	—	2	2	6	9	20	119	—	3	—	2	7	24	123	—	2	3	4	4	11	126
19 0 —20	2	1	2	5	3	14	76	5	1	2	1	4	16	85	6	1	3	6	11	11	93
20 —40	—	1	4	8	10	26	116	—	—	—	4	8	24	92	—	—	1	3	11	11	91
40 — 0	1	1	3	2	8	19	118	3	1	1	1	4	24	93	4	4	3	4	7	22	101
20 0 —20	—	—	1	6	5	14	78	—	2	2	1	6	22	87	—	2	4	3	9	22	76
20 —40	3	—	5	6	19	14	83	2	1	2	2	7	16	94	7	—	1	3	15	26	74
40 — 0	—	—	2	1	11	16	55	—	—	2	1	6	30	64	—	3	4	1	5	26	78
21 0 —20	2	—	1	2	6	22	52	1	1	2	1	9	9	69	—	1	—	2	8	8	55
20 —40	—	—	—	1	3	12	41	—	1	—	1	4	8	59	—	1	—	2	4	11	45
40 — 0	1	2	—	1	2	9	54	1	—	1	2	4	13	46	2	1	—	4	4	12	42
22 0 —20	—	1	2	—	5	10	50	—	2	1	—	2	12	53	—	3	1	2	3	7	46
20 —40	—	1	2	2	2	13	42	4	1	1	1	6	11	46	—	—	2	2	8	11	46
40 — 0	—	—	—	3	1	12	36	—	1	2	5	4	12	44	—	1	1	2	4	9	45
23 0 —20	—	—	—	—	3	6	40	—	—	—	2	3	3	47	1	—	1	1	4	8	49
20 —40	—	—	1	—	1	7	28	—	—	—	1	7	15	36	—	—	—	2	3	11	44
40 — 0	1	—	1	2	9	8	26	—	1	—	1	1	4	32	—	—	2	1	4	7	29
Summa	50	47	72	143	348	839	3561	60	57	74	123	316	794	3781	83	50	70	158	337	757	3642

Rectascens.	Declination + 15°							Declination + 16°							Declination + 17°						
Grösse:	1.0-6.5	6.6-7.0	7.1-7.5	7.6-8.0	8.1-8.5	8.6-9.0	9.1-9.5	1.0-6.5	6.6-7.0	7.1-7.5	7.6-8.0	8.1-8.5	8.6-9.0	9.1-9.5	1.0-6.5	6.6-7.0	7.1-7.5	7.6-8.0	8.1-8.5	8.6-9.0	9.1-9.5
0^h 0^m —20^m	—	2	1	1	4	11	40	—	1	1	2	2	6	23	—	—	1	—	3	11	37
20 —40	1	2	2	3	2	8	38	—	—	—	—	1	10	27	2	—	1	—	4	10	33
40 — 0	—	—	—	2	5	4	37	—	—	—	1	3	9	27	—	—	4	3	2	11	34
1 0 —20	1	—	—	5	2	6	36	1	—	—	3	3	7	26	—	—	2	2	3	10	34
20 —40	—	1	—	2	3	7	36	—	1	1	1	3	11	30	—	—	—	—	2	9	45
40 — 0	1	—	—	3	2	4	29	3	—	—	—	11	5	24	3	1	2	2	4	9	30
2 0 —20	—	1	—	2	3	7	23	—	3	1	—	4	12	30	—	—	1	—	1	8	43
20 —40	—	—	—	—	1	4	42	—	—	—	3	2	5	46	2	—	—	2	2	6	60
40 — 0	—	—	1	1	3	5	38	—	—	—	1	2	6	34	—	3	1	—	—	9	43
3 0 —20	2	1	2	2	2	8	35	1	—	—	3	6	5	37	3	—	1	1	5	8	44
20 —40	—	—	—	5	3	5	33	—	—	3	—	3	6	56	—	1	—	1	9	7	52
40 — 0	—	—	—	2	6	9	36	4	1	1	1	2	5	34	3	—	—	1	2	7	42
4 0 —20	—	1	2	2	1	2	32	—	—	2	5	5	9	19	—	1	—	3	1	5	31
20 —40	13	1	2	3	5	10	21	5	1	2	1	2	5	36	4	1	1	2	5	6	44
40 — 0	—	1	2	5	4	10	44	—	2	4	—	1	6	36	—	—	1	—	—	12	51
5 0 —20	6	—	2	5	3	10	55	1	3	1	2	5	6	63	3	—	—	1	3	10	64
20 —40	—	—	2	4	5	14	83	—	1	1	2	3	10	74	—	—	—	1	3	11	64
40 — 0	2	—	—	3	7	17	106	3	1	4	5	8	20	95	1	—	1	3	6	14	99
6 0 —20	—	1	3	2	3	28	98	—	3	—	3	5	18	117	—	1	2	—	12	24	79
20 —40	—	1	3	5	6	23	79	4	1	5	2	7	20	89	7	—	4	8	9	15	103
40 — 0	—	2	3	4	8	25	109	—	—	2	4	5	19	79	—	1	1	1	6	15	79
7 0 —20	1	3	3	—	9	18	68	6	—	2	4	8	14	58	1	1	1	2	2	14	55
20 —40	—	1	1	3	2	17	62	—	—	—	3	3	13	53	—	—	—	4	7	17	67
40 — 0	—	1	3	3	8	17	64	4	1	—	2	5	11	63	2	—	2	2	2	12	75
8 0 —20	—	—	1	—	5	15	46	—	2	4	—	4	11	67	—	1	1	1	2	8	68
20 —40	2	—	3	3	4	12	55	1	—	—	3	4	14	67	1	—	—	3	5	12	71
40 — 0	—	2	—	—	8	13	55	—	—	1	2	4	6	76	—	1	2	3	1	7	61
9 0 —20	2	2	1	1	5	8	53	1	—	—	1	3	7	47	2	1	—	6	2	12	51
20 —40	—	2	—	—	4	8	43	—	—	1	2	—	9	49	—	—	—	1	3	5	35
40 — 0	—	—	1	5	5	6	40	—	1	1	1	5	8	36	2	—	1	1	4	11	18
10 0 —20	—	—	—	—	3	6	25	—	—	3	1	4	7	27	—	—	1	1	6	11	37
20 —40	1	—	1	2	3	12	27	1	1	—	—	3	1	37	—	1	2	1	4	9	30
40 — 0	—	—	1	2	4	7	31	—	—	1	4	—	9	35	—	1	—	2	4	10	24
11 0 —20	—	1	1	1	6	—	31	1	1	—	2	3	2	38	1	1	1	2	3	9	27
20 —40	—	—	1	1	2	8	34	—	—	—	—	2	5	23	—	—	—	1	4	8	24
40 — 0	2	1	—	—	4	4	23	2	1	1	1	1	7	35	2	—	1	1	1	4	27
12 0 —20	—	2	1	1	4	7	37	—	—	1	1	1	3	29	—	3	2	1	3	7	33
20 —40	1	—	1	2	3	5	31	1	—	1	3	1	6	34	4	—	1	1	1	9	39
40 — 0	—	—	—	1	3	5	28	—	—	—	—	1	12	28	—	1	1	—	2	6	41
13 0 —20	—	—	—	—	4	6	24	2	1	3	4	2	6	30	1	2	—	1	3	7	26
20 —40	—	1	2	2	3	5	34	—	—	—	1	4	8	34	—	—	1	1	1	6	33
40 — 0	—	2	—	1	1	9	26	1	—	1	3	4	6	38	—	2	2	—	2	2	26
14 0 —20	—	—	1	1	3	11	29	—	1	1	1	2	7	26	—	—	—	3	3	6	22
20 —40	2	2	1	1	5	7	34	1	—	1	1	2	12	28	2	—	—	1	4	11	30
40 — 0	—	—	4	2	7	10	32	—	1	—	1	6	2	30	—	—	—	2	—	6	28
15 0 —20	2	—	1	1	2	9	31	2	—	—	4	4	8	35	—	—	—	3	1	10	28
20 —40	—	2	1	1	5	11	29	—	1	2	1	2	8	23	—	2	—	1	2	6	37
40 — 0	1	—	1	1	4	9	23	6	—	1	—	4	10	37	2	—	—	1	4	13	29
16 0 —20	—	—	1	—	7	12	29	—	—	2	3	8	12	37	—	1	1	3	6	10	41
20 —40	1	1	3	2	4	12	23	1	1	—	5	2	9	57	4	1	1	3	8	8	37
40 — 0	—	3	3	2	2	10	39	—	—	3	3	2	4	66	—	1	1	1	6	16	56
17 0 —20	4	1	3	2	8	8	50	4	—	1	4	7	8	64	2	1	3	3	5	12	52
20 —40	—	—	—	2	5	18	58	—	4	1	3	5	7	69	—	2	—	5	6	4	70
40 — 0	3	1	1	7	8	8	64	3	2	2	2	3	20	65	1	—	1	3	7	17	79
18 0 —20	—	1	3	4	5	21	73	—	—	—	5	9	17	103	—	—	1	1	5	21	110
20 —40	4	1	—	3	3	11	64	6	—	2	4	6	13	74	2	—	5	7	6	20	98
40 — 0	—	3	2	3	6	18	107	—	2	2	2	7	23	87	—	2	1	1	8	16	109
19 0 —20	—	3	2	4	9	15	90	3	3	1	3	8	16	85	2	1	2	2	8	19	84
20 —40	—	2	1	1	3	16	98	—	4	3	3	13	22	99	—	2	1	2	11	17	75
40 — 0	4	1	1	4	8	14	77	4	2	4	4	14	22	101	4	—	4	4	16	21	91
20 0 —20	—	7	3	4	10	17	80	—	3	—	5	7	14	84	—	—	1	4	3	23	74
20 —40	4	—	5	—	6	12	65	2	1	2	3	6	16	77	2	4	—	—	8	10	59
40 — 0	—	2	3	4	2	16	49	—	1	1	3	9	9	68	—	—	1	2	9	26	56
21 0 —20	2	1	1	1	3	20	56	2	1	1	2	2	18	48	2	4	4	1	5	13	56
20 —40	—	—	—	2	6	19	54	—	—	—	2	4	12	48	—	—	2	1	4	8	32
40 — 0	1	2	2	1	4	17	45	3	—	2	4	3	10	50	1	—	1	1	4	12	38
22 0 —20	—	—	2	2	4	11	62	—	1	2	—	8	16	47	—	2	—	1	9	8	40
20 —40	1	1	—	2	4	8	40	—	—	1	4	4	12	50	1	—	—	1	1	8	48
40 — 0	—	1	—	3	7	14	32	—	1	—	—	4	13	33	—	1	2	5	8	11	34
23 0 —20	1	—	—	2	5	13	41	2	1	—	3	7	14	36	—	1	1	3	3	8	29
20 —40	—	1	1	2	2	10	42	—	—	1	5	5	8	36	—	1	3	2	1	10	47
40 — 0	1	1	—	1	1	12	40	2	—	1	5	3	5	44	2	1	1	4	5	5	44
Summa	66	69	92	154	316	794	3443	83	56	85	162	311	732	3613	71	51	79	137	310	778	3612

Rectascens.	Declination + 18°							Declination + 19°							Declination + 20°						
Grösse :	1.0-6.5	6.6-7.0	7.1-7.5	7.6-8.0	8.1-8.5	8.6-9.0	9.1-9.5	1.0-6.5	6.6-7.0	7.1-7.5	7.6-8.0	8.1-8.5	8.6-9.0	9.1-9.5	1.0-6.5	6.6-7.0	7.1-7.5	7.6-8.0	8.1-8.5	8.6-9.0	9.1-9.5
0^h 0^m —20^m	—	—	—	2	4	8	34	—	2	—	4	4	10	48	—	—	2	—	4	7	31
20 —40	1	2	1	2	2	11	37	3	—	2	1	2	10	39	2	1	4	2	7	11	33
40 — 0	—	—	3	1	4	11	26	—	—	—	1	5	15	35	—	2	2	1	5	11	32
1 0 —20	4	—	—	1	3	7	28	3	2	1	2	2	14	35	5	1	—	—	2	15	42
20 —40	—	—	—	—	3	11	30	—	1	—	1	4	9	30	—	—	—	2	6	10	45
40 — 0	1	—	—	—	1	10	24	1	—	1	1	1	14	24	3	—	—	—	7	16	27
2 0 —20	—	—	1	2	2	5	26	—	—	2	2	2	5	20	—	—	2	—	4	8	46
20 —40	1	3	—	—	4	3	33	3	—	1	2	5	12	42	1	—	4	5	8	14	34
40 — 0	—	—	1	1	4	10	44	—	2	—	1	2	6	28	—	—	1	1	3	8	31
3 0 —20	2	2	1	3	4	9	54	1	1	3	2	5	9	56	6	2	—	4	2	10	41
20 —40	—	1	1	1	6	6	41	—	1	—	4	5	6	40	—	1	1	3	4	6	48
40 — 0	—	—	1	3	3	3	29	2	1	—	1	7	12	50	2	—	1	3	5	13	44
4 0 —20	—	1	3	2	1	5	42	—	—	—	4	3	10	40	—	1	1	—	1	13	36
20 —40	6	1	—	4	2	12	72	2	1	1	2	4	12	36	5	—	—	—	4	12	46
40 — 0	—	1	—	2	—	5	38	—	1	—	—	4	9	54	—	—	—	1	4	4	54
5 0 —20	2	—	—	4	1	13	58	5	1	2	2	5	13	53	1	—	1	—	4	9	59
20 —40	—	1	4	3	9	18	75	—	—	1	3	7	22	111	—	—	5	2	10	17	116
40 — 0	2	1	3	7	10	26	86	3	1	1	1	7	21	113	3	—	1	3	7	23	129
6 0 —20	—	2	2	4	5	11	102	—	—	1	5	8	24	98	—	3	—	2	6	20	129
20 —40	2	1	2	4	4	17	95	2	—	2	3	8	16	92	1	—	2	6	7	24	101
40 — 0	—	—	4	3	3	25	109	—	—	2	4	7	18	103	—	—	1	2	7	20	108
7 0 —20	—	2	—	2	9	19	96	—	—	2	6	10	23	81	2	1	1	5	4	14	71
20 —40	—	—	—	2	8	20	86	—	2	—	1	1	9	88	—	1	4	—	4	13	72
40 — 0	2	1	1	6	—	10	91	1	2	—	—	3	11	78	2	1	1	1	4	10	80
8 0 —20	—	—	1	2	7	9	74	—	—	—	1	2	6	74	—	—	2	2	6	6	69
20 —40	4	—	—	2	3	12	77	—	1	3	3	10	8	61	1	3	6	7	14	23	75
40 — 0	—	4	1	2	8	10	59	—	—	—	1	5	8	44	—	—	1	2	3	5	38
9 0 —20	—	4	—	2	5	6	57	1	1	3	1	4	5	37	1	—	1	—	2	7	41
20 —40	—	—	1	4	4	4	57	—	1	—	1	3	6	31	—	1	2	—	2	2	47
40 — 0	—	—	1	5	1	13	29	1	—	—	5	8	5	28	2	—	2	3	1	12	38
10 0 —20	—	1	2	—	5	8	30	—	—	1	1	4	5	29	—	1	—	1	3	5	42
20 —40	—	1	1	3	1	5	30	1	1	1	—	7	3	17	2	1	—	1	2	2	24
40 — 0	—	1	1	3	3	7	30	—	—	—	—	4	7	35	—	1	—	1	—	10	28
11 0 —20	1	1	2	—	1	4	33	—	—	—	1	6	3	26	1	—	1	1	2	7	32
20 —40	—	—	3	1	2	5	24	—	1	1	—	3	10	28	—	—	4	3	3	11	26
40 — 0	1	1	1	1	2	4	29	1	—	1	4	4	6	14	—	1	—	2	3	8	19
12 0 —20	—	—	—	2	4	3	31	—	1	—	2	3	9	23	—	—	1	2	1	5	29
20 —40	1	1	2	1	2	5	42	1	—	—	2	4	7	24	—	—	—	1	5	11	22
40 — 0	—	—	—	—	3	4	20	—	3	2	—	1	7	19	—	1	1	1	4	6	20
13 0 —20	2	—	2	5	3	7	27	3	1	3	1	6	5	17	1	1	1	3	3	10	22
20 —40	—	—	—	1	4	3	37	—	—	1	3	3	7	24	—	—	1	1	2	4	26
40 — 0	2	2	—	1	5	9	25	2	—	1	4	1	6	29	1	—	—	1	5	14	31
14 0 —20	—	—	1	4	6	8	37	—	1	2	—	3	14	33	—	1	1	3	8	11	34
20 —40	1	1	—	1	3	6	36	3	—	3	—	6	6	33	—	—	—	—	4	6	34
40 — 0	—	—	2	4	3	3	34	—	1	1	1	6	4	48	—	1	4	2	1	5	25
15 0 —20	—	—	2	—	1	7	34	4	2	2	1	6	6	26	—	—	1	—	3	10	34
20 —40	—	—	1	3	2	8	31	—	—	2	—	3	7	34	—	—	2	2	2	9	21
40 — 0	4	1	1	2	—	14	32	1	—	—	—	6	10	25	2	—	—	3	5	15	40
16 0 —20	—	—	1	4	4	3	43	—	2	1	3	2	10	24	—	—	—	1	7	6	41
20 —40	—	1	—	3	6	9	43	2	2	—	3	3	8	43	1	—	1	—	3	9	50
40 — 0	—	3	1	3	5	11	41	—	1	—	3	3	8	52	—	1	1	3	3	11	48
17 0 —20	3	—	3	1	3	7	56	2	1	1	2	1	13	67	—	—	—	—	9	10	64
20 —40	—	—	—	5	5	16	58	—	1	4	4	6	11	86	—	—	2	2	3	13	62
40 — 0	2	1	—	2	4	24	59	5	1	1	3	4	11	75	3	—	4	6	8	22	58
18 0 —20	—	—	1	6	5	14	108	—	—	—	5	8	18	87	—	1	3	3	7	12	95
20 —40	2	2	2	4	16	22	84	—	1	2	4	11	14	107	5	—	1	3	9	20	108
40 — 0	—	—	2	5	17	25	85	—	2	2	5	6	19	89	—	1	—	—	7	20	86
19 0 —20	4	3	2	6	8	15	87	8	2	5	5	5	18	69	4	—	1	5	9	6	71
20 —40	—	5	3	4	6	24	118	—	2	1	3	5	22	94	—	3	1	5	7	25	91
40 — 0	2	2	1	4	8	27	105	4	—	3	6	13	17	102	—	1	1	2	8	21	122
20 0 —20	—	—	2	4	12	17	78	—	—	1	6	7	24	83	—	1	1	8	14	16	95
20 —40	—	1	2	1	11	21	78	5	2	2	7	4	6	71	6	3	—	4	10	29	101
40 — 0	—	—	2	1	4	17	67	—	2	2	6	7	18	80	—	—	2	5	6	22	79
21 0 —20	1	2	2	—	5	10	74	1	—	3	3	2	14	65	2	—	2	3	—	15	70
20 —40	—	1	—	5	5	9	42	—	1	—	2	1	8	59	—	4	2	1	8	18	56
40 — 0	2	1	3	1	1	13	51	4	3	2	1	7	13	47	3	1	—	6	8	8	48
22 0 —20	—	1	—	2	4	7	45	—	1	—	—	—	13	54	—	—	1	3	2	11	55
20 —40	4	—	—	2	2	13	41	2	—	1	—	3	17	52	2	—	2	3	6	11	46
40 — 0	—	1	2	2	12	13	28	—	1	2	—	6	8	40	—	2	1	2	2	11	35
23 0 —20	1	—	1	3	5	6	28	2	3	2	—	3	5	34	2	1	—	2	2	7	42
20 —40	—	—	—	—	3	8	51	—	1	1	1	1	11	33	—	1	—	—	2	9	21
40 — 0	1	—	1	1	3	8	41	2	—	2	4	1	4	45	3	2	1	1	5	13	39
Summa	61	61	84	177	324	778	3782	81	61	87	161	328	780	3711	75	48	92	153	348	857	3855

Rectascens.	Declination + 21°							Declination + 22°							Declination + 23°						
Grösse:	1.0-6.5	6.6-7.0	7.1-7.5	7.6-8.0	8.1-8.5	8.6-9.0	9.1-9.5	1.0-6.5	6.6-7.0	7.1-7.5	7.6-8.0	8.1-8.5	8.6-9.0	9.1-9.5	1.0-6.5	6.6-7.0	7.1-7.5	7.6-8.0	8.1-8.5	8.6-9.0	9.1-9.5
0^h 0^m — 20^m	—	—	2	1	4	10	27	—	1	—	5	2	8	46	—	1	2	3	8	17	30
20 — 40	1	—	—	1	7	12	39	2	1	2	2	7	10	38	4	1	—	2	5	8	28
40 — 0	—	1	—	—	4	6	34	—	—	—	3	4	6	37	—	1	1	2	2	8	21
1 0 — 20	—	1	4	1	4	6	30	3	1	2	1	5	13	35	1	1	—	1	3	17	26
20 — 40	—	1	1	2	3	7	30	—	1	2	1	2	6	24	—	—	1	1	2	13	27
40 — 0	2	—	1	—	4	11	26	4	1	—	1	2	4	26	—	1	2	2	2	5	37
2 0 — 20	—	—	—	3	10	14	29	—	1	—	2	3	5	30	—	2	—	2	3	7	25
20 — 40	1	—	1	4	3	6	23	3	—	—	2	4	5	31	1	1	1	1	—	11	30
40 — 0	—	1	—	2	4	2	24	—	1	2	1	2	7	34	—	1	—	2	3	4	29
3 0 — 20	—	1	—	3	6	8	37	1	1	2	1	3	13	33	—	2	—	1	1	13	29
20 — 40	—	—	1	—	2	11	48	—	3	1	3	7	10	45	—	1	2	12	14	14	49
40 — 0	3	—	2	1	3	16	43	1	1	3	4	12	13	38	9	1	5	5	2	6	46
4 0 — 20	—	—	1	1	1	12	33	—	2	1	2	1	9	48	—	1	6	3	1	8	57
20 — 40	5	—	1	2	3	10	42	4	—	1	2	4	7	37	2	3	2	1	2	4	31
40 — 0	—	1	—	1	4	13	42	—	1	2	—	1	14	64	—	—	1	6	12	12	81
5 0 — 20	4	—	—	3	2	14	65	—	1	—	1	2	8	67	2	1	—	1	3	11	48
20 — 40	—	1	1	2	7	23	108	—	1	1	2	10	16	98	—	1	—	4	5	18	111
40 — 0	1	—	1	4	8	13	104	—	2	2	2	11	17	111	3	—	3	4	12	22	116
6 0 — 20	—	—	3	5	4	17	93	—	1	—	2	8	24	115	—	3	6	1	10	15	113
20 — 40	—	—	—	1	9	23	103	3	1	4	4	3	19	108	1	—	3	3	5	19	103
40 — 0	—	—	2	5	7	13	102	—	1	3	3	7	20	75	—	—	—	4	5	16	83
7 0 — 20	2	1	1	2	4	10	69	1	1	1	3	4	17	74	2	—	—	2	8	11	92
20 — 40	—	—	2	3	6	10	64	—	2	2	2	4	14	64	—	2	1	3	10	13	54
40 — 0	—	1	2	2	4	5	61	2	1	2	3	4	10	63	5	—	2	1	4	14	60
8 0 — 20	—	2	1	2	5	8	59	—	—	1	1	4	13	52	—	—	—	1	6	8	52
20 — 40	2	1	—	—	2	10	54	—	—	1	1	2	10	44	1	—	—	—	1	7	29
40 — 0	—	—	2	—	4	12	45	—	1	2	3	4	9	44	—	1	1	3	9	4	31
9 0 — 20	1	—	—	2	1	9	44	2	—	—	2	2	3	28	2	—	1	9	2	13	26
20 — 40	—	—	2	3	6	8	58	—	1	2	2	4	5	23	—	1	1	2	—	10	31
40 — 0	—	1	—	1	2	9	31	1	1	1	—	4	13	32	1	—	1	4	1	7	17
10 0 — 20	—	1	—	1	2	4	34	—	—	2	3	2	10	20	—	—	—	1	2	8	40
20 — 40	3	—	1	1	5	8	23	—	2	1	1	6	8	35	2	—	—	1	—	7	24
40 — 0	—	—	2	3	6	5	33	—	1	3	2	2	8	28	—	—	1	1	4	6	31
11 0 — 20	1	1	1	6	1	7	19	—	2	1	3	3	8	29	2	1	1	1	2	7	29
20 — 40	—	—	—	3	3	4	23	—	1	1	2	3	6	27	—	—	1	1	2	8	25
40 — 0	2	1	—	—	4	11	21	2	1	—	1	2	8	24	1	—	—	1	4	7	17
12 0 — 20	—	—	—	—	—	3	24	—	—	2	1	2	6	21	—	1	3	3	7	7	24
20 — 40	3	—	2	5	1	6	18	1	1	2	3	2	4	26	2	1	1	1	3	2	21
40 — 0	—	—	—	1	2	6	23	—	3	2	—	3	4	17	—	2	1	1	2	8	29
13 0 — 20	1	—	2	1	5	8	26	1	1	2	—	1	5	27	3	—	—	1	6	7	18
20 — 40	—	—	1	3	5	8	25	—	—	1	3	3	11	32	—	—	2	2	3	5	26
40 — 0	1	1	3	1	1	6	20	2	1	1	2	3	5	22	5	—	2	3	1	10	19
14 0 — 20	—	—	3	3	3	8	30	—	—	1	2	7	5	24	—	—	1	—	7	6	33
20 — 40	1	1	—	2	1	7	21	3	—	—	1	4	5	29	1	—	—	—	—	7	30
40 — 0	—	—	—	2	3	7	28	—	—	—	—	2	9	24	—	1	—	2	4	4	29
15 0 — 20	1	—	—	1	8	8	28	2	2	1	—	4	10	35	1	—	1	2	3	6	24
20 — 40	—	2	—	2	6	9	27	—	—	—	5	2	4	34	—	—	2	3	7	4	27
40 — 0	1	—	—	1	5	8	39	1	2	2	3	7	7	20	2	1	1	1	4	11	23
16 0 — 20	—	1	—	2	7	12	26	—	1	1	2	5	7	32	—	1	1	1	2	5	25
20 — 40	2	—	1	3	8	11	38	2	—	2	4	1	5	29	1	3	1	2	8	10	35
40 — 0	—	—	2	4	3	10	45	—	—	—	1	3	15	39	—	—	1	1	4	9	44
17 0 — 20	2	1	2	1	4	12	53	3	—	2	1	6	11	44	2	1	—	3	2	7	46
20 — 40	—	—	2	3	11	13	59	—	—	—	3	10	15	42	—	—	—	2	5	14	45
40 — 0	2	—	2	3	8	18	62	3	1	3	2	3	11	43	—	—	1	1	5	21	57
18 0 — 20	—	1	1	4	9	18	90	—	—	3	3	4	12	66	—	1	2	2	2	14	49
20 — 40	2	2	1	7	6	17	90	—	—	2	2	6	15	91	5	—	—	2	4	12	92
40 — 0	—	2	1	5	3	15	80	—	—	—	2	5	17	80	—	2	2	6	12	15	74
19 0 — 20	4	1	2	5	9	11	89	4	1	2	4	10	12	77	1	2	2	4	4	14	70
20 — 40	—	2	5	5	15	18	78	—	2	3	5	6	23	69	—	—	2	7	9	15	79
40 — 0	1	2	1	4	13	27	106	3	2	3	5	9	16	87	3	2	2	3	4	17	96
20 0 — 20	—	6	2	3	5	19	116	—	—	1	3	8	28	85	—	1	1	4	9	24	84
20 — 40	4	—	3	3	11	28	90	—	1	—	3	2	24	102	4	1	3	2	7	22	90
40 — 0	—	1	3	6	6	18	85	—	1	2	7	6	18	87	—	—	3	6	3	10	74
21 0 — 20	3	2	5	3	1	12	52	—	—	—	4	8	12	65	3	—	—	3	8	9	50
20 — 40	—	3	1	1	2	13	51	—	3	2	1	4	15	55	—	—	2	3	15	15	37
40 — 0	1	3	3	5	5	12	45	2	—	—	4	6	11	56	3	1	2	3	8	9	50
22 0 — 20	—	2	4	3	2	7	49	—	1	2	1	2	15	69	—	1	2	2	4	10	56
20 — 40	1	1	3	1	5	8	55	2	1	1	1	5	11	47	1	—	3	1	3	12	47
40 — 0	—	—	2	—	2	12	37	—	3	1	2	7	8	46	—	2	1	3	10	11	45
23 0 — 20	—	—	—	1	4	8	37	4	—	2	3	7	11	31	2	1	2	3	5	12	46
20 — 40	—	—	2	3	3	6	36	—	2	—	1	4	12	50	—	2	4	1	8	10	37
40 — 0	2	—	—	4	2	6	32	—	1	1	5	5	12	29	2	1	—	2	5	5	30
Summa	60	50	94	172	338	782	3530	62	66	95	162	322	787	3459	80	55	96	178	348	757	3339

Rectascens.	Declination + 24°							Declination + 25°							Declination + 26°						
Grösse:	1.0-6.5	6.6-7.0	7.1-7.5	7.6-8.0	8.1-8.5	8.6-9.0	9.1-9.5	1.0-6.5	6.6-7.0	7.1-7.5	7.6-8.0	8.1-8.5	8.6-9.0	9.1-9.5	1.0-6.5	6.6-7.0	7.1-7.5	7.6-8.0	8.1-8.5	8.6-9.0	9.1-9.5
0^h 0^m—20^m	—	—	2	2	6	12	31	—	1	3	1	3	7	42	—	—	1	2	4	7	44
20 —40	2	—	2	3	4	10	41	1	1	—	2	6	14	36	3	1	1	2	6	10	44
40 — 0	—	1	2	3	3	20	37	—	2	—	3	5	4	37	—	—	2	2	1	11	44
1 0 —20	2	1	—	3	3	6	21	—	1	2	1	7	12	57	4	1	—	1	7	7	40
20 —40	—	—	1	—	3	9	32	—	2	3	2	3	11	31	—	—	—	1	6	12	33
40 — 0	1	—	1	5	—	9	26	4	1	3	5	4	10	26	—	1	1	3	7	3	46
2 0 —20	—	—	2	3	2	8	32	—	1	2	—	3	11	33	—	—	—	2	6	7	38
20 —40	2	1	1	—	3	3	31	2	1	—	2	1	9	33	2	—	1	5	4	10	33
40 — 0	—	—	—	—	5	9	30	—	—	—	1	3	7	33	—	—	2	3	4	10	24
3 0 —20	3	—	1	1	4	12	37	2	—	—	3	3	5	44	4	1	—	1	5	4	34
20 —40	—	4	2	4	6	14	45	—	1	1	3	9	7	47	—	—	—	2	7	7	43
40 — 0	2	1	1	3	5	11	32	1	1	2	1	9	10	34	—	1	2	—	4	8	50
4 0 —20	—	—	1	—	2	8	23	—	—	—	4	3	4	25	—	—	—	—	2	3	32
20 —40	1	—	1	1	1	4	23	1	—	2	—	3	2	13	1	1	—	1	1	4	24
40 — 0	—	—	—	2	4	9	51	—	—	1	1	3	8	36	—	—	4	3	4	7	21
5 0 —20	3	—	—	2	4	17	57	—	—	1	3	4	5	41	1	1	—	—	1	11	20
20 —40	—	3	1	7	6	22	91	—	3	—	5	11	20	110	—	2	2	4	9	24	99
40 — 0	2	—	2	3	3	21	122	3	1	2	7	10	19	102	—	1	2	4	3	24	102
6 0 —20	—	1	—	3	9	18	124	—	—	1	5	11	17	121	—	—	1	1	7	23	110
20 —40	1	3	—	3	5	25	95	2	—	—	4	7	21	121	—	—	—	1	5	16	97
40 — 0	—	2	2	1	3	24	97	—	3	7	2	11	15	107	—	—	1	2	5	21	72
7 0 —20	2	—	2	4	11	22	88	3	1	1	1	8	17	65	3	1	2	6	6	14	72
20 —40	—	2	1	4	6	16	78	—	—	—	2	5	11	65	—	—	—	1	6	18	61
40 — 0	1	2	2	5	7	21	57	1	1	1	2	8	11	67	1	1	1	1	4	13	50
8 0 —20	—	1	1	1	7	7	46	—	—	2	2	6	12	47	—	2	1	—	5	6	50
20 —40	5	2	—	1	3	8	40	2	—	—	2	2	13	46	—	1	2	2	6	7	40
40 — 0	—	—	1	1	3	13	33	—	1	1	—	4	14	39	—	2	4	2	6	8	34
9 0 —20	—	2	2	—	3	7	30	2	2	2	2	5	8	29	1	2	—	1	6	9	29
20 —40	—	2	—	1	2	7	33	—	—	—	1	3	14	33	—	1	—	4	1	5	45
40 — 0	2	—	—	1	2	7	40	2	1	2	3	8	12	24	2	—	1	1	1	9	29
10 0 —20	—	1	1	1	2	7	28	—	1	2	4	5	11	29	—	1	1	1	4	4	29
20 —40	1	1	—	4	2	7	33	—	1	1	1	2	11	30	1	—	2	—	6	9	26
40 — 0	—	1	1	2	5	3	34	—	—	—	2	2	2	34	—	3	1	1	4	14	22
11 0 —20	1	—	—	1	2	6	33	2	—	2	—	4	6	24	1	—	2	—	4	7	24
20 —40	—	4	—	2	4	5	20	—	1	3	1	3	9	23	—	—	3	4	5	1	24
40 — 0	—	1	—	1	2	6	21	—	—	2	3	1	5	30	1	1	1	—	2	9	37
12 0 —20	—	1	2	1	2	8	19	—	1	3	1	7	5	28	—	2	2	—	6	10	23
20 —40	4	—	2	2	1	10	16	3	—	1	5	8	6	32	7	1	2	1	3	4	27
40 — 0	—	1	2	—	2	8	29	—	—	1	2	2	8	24	—	—	1	—	2	10	22
13 0 —20	2	—	—	1	4	3	37	2	2	—	2	—	9	24	—	—	3	2	2	4	23
20 —40	—	1	2	3	2	7	37	—	—	—	—	4	4	31	—	—	—	1	3	2	25
40 — 0	—	—	1	3	8	6	33	2	1	5	2	1	7	35	1	2	1	—	1	6	21
14 0 —20	—	—	—	3	3	14	27	—	—	—	2	—	15	29	—	1	1	2	4	7	31
20 —40	1	—	—	3	1	6	26	3	—	2	2	7	8	33	—	1	—	1	2	4	18
40 — 0	—	3	1	1	4	5	31	—	3	2	1	7	3	25	—	—	—	2	4	6	42
15 0 —20	2	1	—	1	—	5	37	4	—	2	4	4	4	25	1	1	1	1	4	1	27
20 —40	—	1	3	1	8	9	37	—	—	1	1	3	13	32	—	—	1	1	4	3	29
40 — 0	—	—	2	1	2	7	36	1	—	1	2	8	12	41	2	—	—	1	8	6	39
16 0 —20	—	—	—	1	3	5	29	—	—	1	1	5	6	41	—	—	—	2	6	4	46
20 —40	—	—	1	1	7	7	29	1	—	—	4	4	8	30	2	—	3	3	4	7	37
40 — 0	—	—	—	2	7	12	45	—	—	2	1	8	11	43	—	1	—	3	4	8	36
17 0 —20	5	—	1	3	2	8	44	5	—	1	2	3	10	47	—	1	2	1	6	20	40
20 —40	—	—	1	3	7	15	39	—	—	1	1	5	12	57	—	1	—	2	5	9	39
40 — 0	5	—	3	3	10	7	50	1	2	1	4	6	22	51	2	1	1	1	8	17	62
18 0 —20	—	1	3	4	7	19	56	—	—	1	4	11	10	70	—	1	1	4	4	11	65
20 —40	1	1	1	6	6	18	80	—	—	2	2	10	16	72	3	1	1	3	2	20	66
40 — 0	—	1	1	—	12	18	75	—	—	3	8	7	14	69	—	1	1	2	6	18	67
19 0 —20	4	—	2	5	7	12	79	1	3	4	2	6	26	66	3	—	6	4	10	21	64
20 —40	—	—	3	2	10	21	90	—	2	3	2	8	18	88	—	3	1	4	10	15	78
40 — 0	6	—	3	4	6	23	89	4	1	2	7	9	17	106	1	1	2	6	10	21	84
20 0 —20	—	—	1	4	4	16	102	—	—	4	3	15	21	93	—	1	2	3	10	15	79
20 —40	2	—	—	1	9	22	78	3	1	3	4	5	29	90	4	—	2	3	8	13	54
40 — 0	—	1	—	1	6	14	64	—	1	2	4	7	11	68	—	1	1	5	3	21	58
21 0 —20	2	1	—	2	6	12	55	1	1	2	2	9	10	50	2	1	1	3	6	11	66
20 —40	—	3	1	4	7	11	45	—	—	1	3	10	21	44	—	—	2	—	3	20	78
40 — 0	1	—	2	2	6	13	34	3	—	1	1	5	17	32	1	—	—	3	5	17	59
22 0 —20	—	1	1	—	8	5	42	—	2	1	5	5	5	41	—	1	1	1	7	23	50
20 —40	2	1	2	1	6	8	48	—	1	—	4	7	15	50	2	2	—	2	5	12	46
40 — 0	—	—	—	—	4	10	45	—	1	1	3	3	8	53	—	—	—	3	3	18	39
23 0 —20	1	1	1	4	7	13	34	1	1	2	4	2	9	39	1	1	2	4	4	9	48
20 —40	—	—	—	1	9	7	38	—	—	3	1	4	14	44	—	—	1	—	4	7	41
40 — 0	2	4	—	1	6	17	25	2	—	3	2	6	4	53	3	1	3	1	4	9	41
Summa	71	59	75	153	341	814	3372	65	51	111	179	395	802	3470	60	52	86	139	344	771	3292

Rectascens.	Declination + 27°							Declination + 28°							Declination + 29°						
Grösse:	1.0-6.5	6.6-7.0	7.1-7.5	7.6-8.0	8.1-8.5	8.6-9.0	9.1-9.5	1.0-6.5	6.6-7.0	7.1-7.5	7.6-8.0	8.1-8.5	8.6-9.0	9.1-9.5	1.0-6.5	6.6-7.0	7.1-7.5	7.6-8.0	8.1-8.5	8.6-9.0	9.1-9.5
0h 0m—20m	—	1	1	4	5	8	43	—	—	1	1	4	16	45	—	—	—	3	4	17	52
20 —40	—	1	—	1	7	10	41	3	—	—	1	7	17	35	—	—	—	1	6	12	40
40 — 0	—	—	2	2	3	14	33	—	—	1	2	6	11	31	—	—	1	3	3	9	26
1 0 —20	1	—	1	3	3	13	35	2	—	2	—	6	7	39	2	—	3	1	5	9	44
20 —40	—	—	3	2	2	8	37	—	—	2	1	8	11	39	—	—	1	1	4	5	50
40 — 0	2	—	1	1	4	10	31	1	2	1	2	9	6	45	1	—	1	2	6	10	38
2 0 —20	—	—	—	3	4	14	28	—	2	2	1	2	7	41	—	—	2	4	9	9	30
20 —40	2	—	—	2	4	12	39	2	1	1	1	4	5	31	4	—	3	3	2	7	39
40 — 0	—	—	1	2	6	—	26	—	1	1	1	1	5	23	—	—	2	3	3	11	35
3 0 —20	3	—	—	1	1	4	23	2	1	1	—	4	6	26	—	1	—	3	1	6	28
20 —40	—	2	—	4	4	10	37	—	3	—	1	4	11	36	—	—	2	2	7	7	40
40 — 0	2	—	1	4	7	8	50	1	1	—	1	3	5	23	—	—	1	2	3	4	39
4 0 —20	—	1	1	1	2	2	14	—	—	—	1	3	6	22	—	1	—	4	1	5	31
20 —40	3	—	1	1	1	6	25	3	1	—	—	3	9	25	2	—	—	—	2	4	18
40 — 0	—	—	1	—	2	5	24	—	1	2	2	3	9	38	—	2	—	4	5	13	53
5 0 —20	5	—	1	1	1	12	30	2	1	2	1	4	15	29	3	1	1	2	6	14	61
20 —40	—	—	2	6	6	9	75	—	—	1	1	8	12	79	—	4	3	4	6	13	71
40 — 0	2	3	1	6	6	10	100	1	1	2	1	7	18	87	2	1	3	2	8	19	83
6 0 —20	—	1	1	5	8	13	92	—	1	4	6	5	14	78	—	3	—	6	7	21	73
20 —40	—	2	4	2	4	15	86	3	1	—	5	3	17	84	4	—	1	3	8	17	85
40 — 0	—	—	3	2	7	11	64	—	1	—	2	4	14	54	—	—	2	3	5	20	82
7 0 —20	1	2	3	—	5	11	52	2	—	—	3	3	13	54	1	—	1	3	2	12	52
20 —40	—	—	—	2	6	10	68	—	1	1	4	1	10	59	—	—	2	1	3	16	59
40 — 0	2	1	1	3	1	7	48	4	—	3	1	6	14	61	1	—	2	1	7	10	56
8 0 —20	—	—	1	5	8	12	41	—	—	1	1	7	8	32	—	1	—	4	3	5	50
20 —40	2	—	1	—	5	3	47	2	2	1	—	4	4	28	1	—	2	2	6	14	45
40 — 0	—	—	2	—	4	9	30	—	—	—	1	4	6	33	—	—	1	5	4	7	26
9 0 —20	1	—	—	—	4	5	33	5	1	—	3	3	14	43	—	1	—	4	2	4	22
20 —40	—	1	—	3	6	5	40	—	1	2	2	3	11	26	—	1	1	3	2	6	31
40 — 0	—	—	1	3	1	6	29	1	—	3	3	2	4	21	—	—	2	2	4	18	28
10 0 —20	—	—	—	1	6	6	29	—	2	—	4	1	6	32	—	1	1	1	3	6	35
20 —40	2	—	2	—	3	4	31	1	1	1	2	5	6	27	—	1	—	3	4	6	29
40 — 0	—	—	—	1	3	9	33	—	—	—	1	3	6	29	—	1	—	2	—	6	21
11 0 —20	—	1	2	3	3	7	26	2	1	—	—	2	4	28	—	—	2	1	2	6	29
20 —40	—	—	—	1	1	5	26	—	—	2	4	4	6	22	—	2	1	—	2	3	42
40 — 0	—	1	1	—	4	4	30	3	—	2	1	3	4	26	—	3	—	4	2	5	27
12 0 —20	—	1	1	2	2	8	21	—	—	1	1	4	3	23	—	2	1	1	3	5	20
20 —40	4	—	—	1	2	11	20	4	—	1	2	7	3	21	2	—	1	3	3	9	21
40 — 0	—	—	3	2	2	2	37	—	—	2	2	2	7	19	—	2	—	3	4	12	22
13 0 —20	—	—	1	2	3	7	22	4	1	—	1	3	8	28	—	—	2	—	6	8	24
20 —40	—	1	2	3	4	3	25	—	1	—	3	5	8	15	—	—	—	2	7	5	34
40 — 0	—	1	—	—	5	6	30	—	1	1	2	3	5	18	1	1	1	2	—	7	21
14 0 —20	—	—	—	4	5	7	28	—	1	—	1	3	3	22	—	2	2	1	—	9	29
20 —40	3	—	—	1	5	7	26	—	2	1	3	4	8	24	—	—	2	2	4	9	26
40 — 0	—	1	1	1	2	6	19	—	1	—	2	1	5	24	—	—	—	4	1	5	34
15 0 —20	2	—	—	3	5	4	24	—	—	1	1	1	9	21	2	—	2	1	2	12	25
20 —40	—	—	1	2	8	10	27	—	—	1	2	5	7	25	—	—	—	1	4	9	29
40 — 0	2	—	—	2	2	14	30	—	—	1	2	2	2	36	1	1	1	2	6	8	40
16 0 —20	—	1	3	1	4	3	44	—	1	1	1	2	6	39	—	—	4	—	3	8	45
20 —40	4	—	—	1	2	8	26	4	—	1	1	2	6	32	1	1	1	4	3	10	31
40 — 0	—	—	1	—	6	4	62	—	2	2	1	5	10	38	—	—	2	4	3	9	40
17 0 —20	1	1	1	4	2	11	34	2	1	1	2	7	13	47	—	1	—	3	4	11	56
20 —40	—	1	2	3	3	11	57	—	—	—	3	4	10	64	—	—	2	3	6	17	66
40 — 0	2	—	1	5	8	12	38	1	—	2	2	9	11	70	3	—	1	2	2	19	50
18 0 —20	—	1	—	1	8	8	49	—	2	—	1	6	9	62	—	1	2	3	6	13	48
20 —40	1	—	2	3	4	13	63	1	1	3	4	7	12	49	3	2	—	2	5	19	53
40 — 0	—	—	2	7	7	20	100	—	2	—	3	10	12	83	—	2	1	3	12	14	101
19 0 —20	2	3	1	1	2	25	114	1	1	1	3	8	26	103	2	—	2	6	7	22	81
20 —40	—	—	2	7	11	28	68	—	1	2	1	7	26	102	—	2	2	3	10	19	101
40 — 0	3	2	3	7	6	26	61	—	2	3	3	11	27	105	3	2	2	3	22	26	105
20 0 —20	—	—	1	3	15	24	74	—	1	3	4	12	26	81	—	2	1	7	7	28	94
20 —40	1	—	1	5	10	19	93	1	—	—	4	4	17	111	3	—	3	3	9	23	98
40 — 0	—	2	2	5	2	12	87	—	1	1	9	8	12	74	—	2	1	3	12	21	101
21 0 —20	2	—	—	—	9	8	75	—	—	1	2	5	18	77	3	2	1	6	7	20	64
20 —40	—	2	—	2	5	14	75	—	—	3	5	3	16	67	—	—	1	3	11	15	63
40 — 0	—	1	—	2	10	11	71	3	—	2	3	7	16	74	2	1	3	2	9	13	50
22 0 —20	—	1	2	—	7	18	35	—	1	3	2	6	13	58	—	—	3	1	3	14	54
20 —40	2	—	1	3	4	20	57	1	2	—	5	6	21	47	2	1	3	2	11	15	67
40 — 0	—	—	2	1	4	12	68	—	—	1	1	6	14	52	—	—	1	3	10	15	71
23 0 —20	1	2	—	3	7	10	39	1	3	1	1	4	9	38	1	1	3	5	8	9	42
20 —40	—	2	3	—	3	6	50	—	—	—	—	5	11	39	—	—	—	3	2	14	49
40 — 0	2	3	2	2	5	15	33	2	—	2	—	4	18	45	—	—	—	4	3	6	55
Summa	60	43	80	164	336	720	3278	65	55	81	144	337	764	3264	50	52	92	192	362	834	3480

Rectascens.	Declination + 30°							Declination + 31°							Declination + 32°						
Grösse:	1.0-6.5	6.6-7.0	7.1-7.5	7.6-8.0	8.1-8.5	8.6-9.0	9.1-9.5	1.0-6.5	6.6-7.0	7.1-7.5	7.6-8.0	8.1-8.5	8.6-9.0	9.1-9.5	1.0-6.5	6.6-7.0	7.1-7.5	7.6-8.0	8.1-8.5	8.6-9.0	9.1-9.5
0h 0m —20m	—	3	1	3	3	8	41	—	—	—	2	4	3	47	—	1	2	1	4	10	46
20 —40	4	—	1	4	1	8	39	—	1	—	2	5	8	47	4	1	3	1	8	17	35
40 — 0	—	—	1	3	1	9	39	—	1	3	5	4	11	40	—	—	2	6	3	10	39
1 0 —20	1	1	—	2	8	13	32	1	2	1	2	4	11	50	1	—	—	5	5	5	45
20 —40	—	—	—	3	5	7	38	—	—	1	1	6	5	46	—	—	1	3	4	12	49
40 — 0	—	1	—	4	10	10	33	2	—	—	2	2	9	41	1	1	—	2	5	13	34
2 0 —20	—	—	3	2	5	8	42	—	—	2	3	5	11	42	—	1	—	4	6	8	46
20 —40	2	1	4	5	5	6	28	1	—	4	—	1	6	37	2	1	2	5	5	8	39
40 — 0	—	1	1	3	4	6	29	—	2	2	2	3	17	36	—	—	2	2	5	8	46
3 0 —20	2	—	3	—	4	11	34	4	2	1	2	9	7	38	1	—	3	9	4	3	40
20 —40	—	—	1	1	2	3	22	—	2	1	1	6	13	22	—	1	1	—	—	12	23
40 — 0	2	—	—	—	2	12	29	5	1	1	1	4	12	37	2	—	1	4	7	8	39
4 0 —20	—	—	—	1	4	8	30	—	1	1	3	10	13	40	—	—	2	—	3	13	55
20 —40	1	—	1	1	4	7	43	3	1	—	1	5	5	21	4	—	1	2	5	4	24
40 — 0	—	3	—	1	5	15	52	—	2	1	2	4	3	37	—	1	2	1	4	6	42
5 0 —20	2	2	1	4	6	22	75	1	2	1	3	8	16	85	2	—	3	—	8	25	70
20 —40	—	—	3	2	10	12	84	—	3	2	7	4	18	91	—	3	—	4	2	10	71
40 — 0	1	—	1	4	6	17	78	3	2	2	8	1	14	73	2	2	2	2	6	19	70
6 0 —20	—	2	1	6	11	10	83	—	—	1	5	2	19	66	—	—	2	4	8	17	76
20 —40	1	1	—	5	6	20	64	1	2	2	7	11	20	72	3	2	2	2	7	13	79
40 — 0	—	—	2	3	7	15	67	—	1	1	4	6	12	57	—	2	—	2	7	9	57
7 0 —20	1	—	1	2	3	17	57	1	1	1	1	7	15	67	2	3	2	2	6	14	48
20 —40	—	1	1	—	6	9	44	—	—	1	3	8	13	53	—	1	1	2	3	11	43
40 — 0	—	1	1	2	7	11	54	1	1	—	1	7	11	50	1	—	1	3	6	8	43
8 0 —20	—	—	—	—	10	8	44	—	—	1	4	7	13	52	—	3	1	4	6	8	29
20 —40	1	—	—	—	4	6	50	1	—	1	1	6	12	46	1	2	3	2	5	12	28
40 — 0	—	1	1	1	5	5	34	—	1	—	1	4	9	37	—	1	1	2	4	11	30
9 0 —20	2	—	—	2	6	8	33	2	—	2	1	2	9	34	2	1	—	—	5	7	31
20 —40	—	—	2	1	—	10	32	—	—	2	2	3	11	42	—	1	1	—	3	7	35
40 — 0	2	1	—	2	5	12	29	2	1	1	4	4	3	37	2	—	2	1	6	8	29
10 0 —20	—	—	2	1	7	9	30	—	1	3	—	3	10	27	—	—	—	4	3	10	34
20 —40	2	1	1	1	4	8	36	1	—	—	1	4	13	26	3	—	—	1	7	6	24
40 — 0	—	2	—	1	1	11	25	—	2	—	5	4	9	27	—	1	1	3	1	2	29
11 0 —20	2	1	2	—	4	9	34	—	—	—	1	3	5	22	1	—	—	3	1	4	28
20 —40	—	1	2	—	2	9	20	—	1	2	2	4	2	22	—	—	3	1	—	10	26
40 — 0	—	—	2	2	—	4	24	—	—	1	1	2	6	20	1	—	—	1	4	5	26
12 0 —20	—	—	—	2	1	7	36	—	—	4	2	4	4	22	—	—	1	1	5	5	10
20 —40	—	—	2	3	9	3	37	1	1	1	—	1	7	29	—	—	2	2	3	2	18
40 — 0	—	1	—	—	2	5	33	—	2	1	1	2	10	28	—	1	3	—	2	1	39
13 0 —20	—	—	—	1	4	4	23	1	1	2	1	2	9	25	—	1	2	1	1	5	23
20 —40	—	—	—	—	5	10	30	—	1	2	—	4	7	35	—	—	—	1	1	7	24
40 — 0	—	—	1	1	4	6	27	3	—	—	2	1	5	32	1	1	1	1	4	4	31
14 0 —20	—	—	1	1	2	11	22	—	—	3	1	—	11	20	—	1	—	1	2	10	26
20 —40	2	—	1	1	1	8	35	2	—	2	4	7	4	20	2	—	—	4	2	1	35
40 — 0	—	1	—	2	2	15	23	—	—	—	2	7	3	28	—	2	2	1	2	6	17
15 0 —20	2	—	—	1	4	10	29	—	1	1	1	3	9	24	2	—	—	4	4	5	23
20 —40	—	—	1	2	5	9	29	—	1	1	—	—	8	27	—	—	2	1	2	5	33
40 — 0	2	—	2	—	4	6	32	1	1	2	2	3	11	23	1	—	2	1	7	10	30
16 0 —20	—	—	1	2	2	13	44	—	—	—	1	2	6	24	—	1	1	4	3	7	32
20 —40	—	1	1	1	7	9	41	2	—	3	1	4	2	39	1	—	—	1	2	10	44
40 — 0	—	1	—	1	4	4	46	—	—	—	4	1	17	38	—	1	1	3	4	21	36
17 0 —20	1	—	—	2	7	7	40	2	1	3	—	5	6	44	1	3	1	2	5	11	44
20 —40	—	—	2	-	5	7	54	—	2	1	2	3	13	46	—	1	—	2	3	8	52
40 — 0	2	3	1	5	3	11	42	3	—	—	2	1	9	60	—	3	—	1	4	8	49
18 0 —20	—	—	3	4	2	12	58	—	—	—	4	4	14	79	—	—	3	3	4	12	53
20 —40	3	2	3	3	6	13	61	3	—	—	8	8	18	58	1	—	1	1	5	10	58
40 — 0	—	—	1	2	7	28	81	—	1	2	1	9	24	60	—	1	3	4	5	27	77
19 0 —20	2	6	—	6	3	19	112	4	2	2	3	11	19	93	4	1	3	4	6	20	79
20 —40	—	1	4	3	13	28	120	—	1	5	7	16	22	116	—	2	1	5	7	19	88
40 — 0	4	3	3	6	13	21	109	2	2	2	3	14	29	126	2	1	2	4	14	21	103
20 0 —20	—	1	1	6	7	30	98	—	4	3	9	8	30	87	—	1	—	5	10	20	84
20 —40	2	1	3	2	9	20	105	5	—	2	4	9	21	95	—	2	3	1	6	10	83
40 — 0	—	1	2	5	9	19	111	—	3	2	6	10	14	88	—	1	2	2	5	15	98
21 0 —20	1	3	1	6	6	20	81	—	1	4	1	7	16	83	2	1	4	2	5	18	78
20 —40	—	—	—	2	10	17	57	—	2	—	3	8	22	62	—	3	4	6	8	14	60
40 — 0	—	1	1	4	7	15	64	1	2	4	2	4	11	62	1	5	1	2	6	15	55
22 0 —20	—	2	1	4	6	13	72	—	—	2	3	4	14	45	—	1	3	3	5	14	60
20 —40	1	4	2	1	9	20	54	2	—	—	2	9	12	56	2	—	4	7	10	15	49
40 — 0	—	1	2	4	5	11	51	—	—	1	5	4	11	42	—	—	2	3	8	9	51
23 0 —20	2	1	3	1	5	7	51	3	1	3	1	3	11	45	2	1	1	3	4	10	43
20 —40	—	—	1	4	6	12	53	—	2	—	3	3	16	37	—	1	2	2	3	12	39
40 — 0	1	1	1	2	7	11	47	1	—	1	2	8	16	42	2	1	1	2	4	18	41
Summa	51	59	84	162	374	824	3536	65	65	101	184	361	835	3427	59	66	105	178	337	758	3273

Rectascens.	Declination + 33°							Declination + 34°							Declination + 35°						
Grösse:	1.0-6 5	6.6-7.0	7.1-7.5	7.6-8.0	8.1-8.5	8.6-9.0	9.1-9 5	1.0-6.5	6.6-7.0	7.1-7.5	7.6-8 0	8.1-8.5	8.6-9.0	9.1-9.5	1.0-6 5	6.6-7.0	7.1-7.5	7.6-8.0	8.1-8.5	8.6-9 0	9.1-9.5
$0^h\ 0^m$ —20^m	—	—	1	1	4	13	28	—	2	4	1	8	10	31	—	—	3	5	6	12	45
20 —40	—	1	1	2	3	6	49	2	—	—	3	2	6	46	2	—	—	4	4	11	51
40 — 0	—	1	—	2	7	17	35	—	1	4	6	8	14	39	—	—	3	2	3	8	47
1 0 —20	3	5	1	3	8	13	32	1	—	1	5	7	12	38	—	1	—	4	5	13	47
20 —40	—	—	—	2	3	9	49	—	2	2	2	1	11	39	—	1	1	2	7	12	44
40 — 0	1	—	1	3	7	10	50	1	—	1	6	2	9	49	1	1	2	2	4	9	47
2 0 —20	—	—	2	6	4	7	45	—	2	1	—	7	6	50	—	—	1	—	6	9	53
20 —40	4	1	3	6	10	7	49	3	1	4	2	2	14	45	1	1	1	4	3	16	59
40 — 0	—	—	3	2	8	11	47	—	1	—	3	9	9	48	—	1	1	4	12	6	43
3 0 —20	3	1	—	2	5	9	54	3	—	1	6	15	14	41	—	2	1	3	5	13	45
20 —40	—	2	2	4	1	8	41	—	—	2	3	5	14	50	—	—	5	—	4	11	29
40 — 0	3	2	3	1	6	21	47	2	2	2	2	6	16	54	1	1	1	2	7	8	39
4 0 —20	—	1	—	6	6	7	44	—	2	4	2	2	18	33	—	—	2	4	5	6	47
20 —40	3	—	2	1	7	5	20	1	1	3	—	1	7	16	1	1	2	2	6	2	23
40 — 0	—	1	—	2	4	9	44	—	—	—	5	5	6	31	—	1	—	3	3	16	59
5 0 —20	5	1	2	3	6	17	65	1	4	1	4	8	18	69	3	—	3	2	9	19	109
20 —40	—	2	2	3	5	17	73	—	1	1	5	12	26	75	—	3	1	3	10	17	79
40 — 0	2	1	1	2	4	11	71	—	1	—	5	2	17	67	2	—	2	5	9	11	71
6 0 —20	—	1	2	2	9	16	47	—	1	3	2	3	7	69	—	2	1	1	10	13	47
20 —40	1	—	2	3	9	15	52	—	—	—	4	5	17	82	2	1	—	2	3	14	49
40 — 0	—	—	1	5	8	12	39	—	2	1	1	1	12	52	—	1	—	—	6	14	46
7 0 —20	1	1	3	1	9	10	35	3	—	2	2	4	10	61	1	1	3	1	7	12	37
20 —40	—	1	3	3	3	13	30	—	—	1	2	5	6	49	—	1	2	1	4	10	43
40 — 0	2	1	1	2	6	8	33	2	—	3	3	7	14	47	3	1	—	2	3	15	55
8 0 —20	—	—	2	1	2	9	42	—	1	3	2	6	16	53	—	—	2	2	5	11	44
20 —40	1	3	3	3	4	10	35	—	1	2	1	5	7	41	2	1	—	4	4	11	25
40 — 0	—	1	2	3	1	9	32	—	—	1	1	2	11	37	—	1	1	10	8	14	39
9 0 —20	3	1	1	2	3	12	35	1	—	1	2	6	4	33	2	1	—	5	6	16	28
20 —40	—	—	2	1	1	6	31	—	1	1	2	4	4	27	—	2	3	2	3	9	34
40 — 0	2	2	—	—	5	4	24	1	—	—	1	5	8	38	3	3	2	—	6	4	35
10 0 —20	—	—	—	2	9	2	36	—	1	3	1	8	3	26	—	2	—	—	2	4	26
20 —40	1	—	2	1	3	7	28	4	—	—	—	3	3	21	1	—	—	1	7	7	24
40 — 0	—	—	2	1	1	6	33	—	1	—	—	2	3	29	—	—	—	—	2	6	18
11 0 —20	1	—	1	2	2	7	25	2	2	—	—	2	3	21	—	—	3	—	6	9	26
20 —40	—	1	—	1	2	3	31	—	—	—	1	—	4	27	—	—	—	—	2	4	19
40 — 0	1	1	—	3	3	5	24	2	2	2	1	2	5	16	2	—	1	—	1	7	22
12 0 —20	—	1	1	2	1	11	28	—	—	—	2	—	4	22	—	2	—	—	3	3	17
20 —40	1	—	1	1	3	6	20	1	3	1	—	4	8	22	—	1	1	2	2	6	22
40 — 0	—	—	1	1	6	2	23	—	—	—	1	2	4	28	—	—	2	1	—	4	25
13 0 —20	—	1	1	—	1	6	27	2	—	—	3	1	5	23	—	2	—	2	3	8	31
20 —40	—	—	—	2	3	6	24	—	—	1	1	3	4	14	—	1	1	2	5	9	15
40 — 0	—	—	1	4	2	7	24	2	—	1	—	3	4	33	3	1	—	1	6	10	19
14 0 —20	—	—	2	—	3	10	38	—	—	—	—	4	7	27	—	1	—	1	3	4	26
20 —40	—	2	—	—	4	5	16	—	—	1	1	1	10	21	—	—	—	1	3	12	34
40 — 0	—	1	2	—	2	9	34	—	—	—	1	3	7	29	—	—	3	2	2	4	28
15 0 —20	2	1	1	1	2	4	39	—	1	2	2	—	7	30	1	—	—	3	4	4	25
20 —40	—	—	—	—	3	10	25	—	—	1	—	2	2	32	—	1	—	—	2	11	26
40 — 0	1	—	—	2	1	6	37	1	1	1	1	4	4	41	—	—	—	—	4	7	35
16 0 —20	—	1	—	1	—	11	42	—	—	—	1	8	2	32	—	—	2	2	3	4	32
20 —40	—	—	3	1	3	8	35	4	2	1	1	3	8	39	—	1	—	3	6	3	39
40 — 0	—	—	—	—	4	6	35	—	1	4	3	7	8	36	—	1	1	1	6	8	30
17 0 —20	2	—	2	3	7	12	42	1	1	—	2	2	14	50	1	—	2	5	1	9	38
20 —40	—	1	—	1	5	9	39	—	1	—	9	6	15	43	—	1	3	6	4	20	57
40 — 0	4	1	1	1	5	8	55	3	—	—	4	9	10	52	—	3	1	3	12	23	45
18 0 —20	—	—	3	2	5	17	47	—	—	1	3	10	10	62	—	—	1	1	5	15	68
20 —40	2	—	2	3	8	15	69	1	2	1	3	12	13	70	—	1	2	3	9	12	85
40 — 0	—	3	4	4	7	21	83	—	—	2	5	7	21	77	—	1	3	4	6	15	94
19 0 —20	1	1	1	4	9	19	95	3	—	2	5	9	22	81	1	2	3	5	7	28	93
20 —40	—	3	3	4	10	13	100	—	3	1	6	8	25	116	—	—	2	3	18	28	120
40 — 0	2	1	2	5	6	22	112	3	3	1	2	13	34	114	3	2	3	3	10	27	117
20 0 —20	—	—	2	3	17	21	125	—	—	3	6	15	21	100	—	2	6	8	14	26	105
20 —40	1	2	1	2	10	24	78	3	—	4	2	10	20	93	3	—	2	4	13	22	103
40 — 0	—	—	3	3	11	22	99	—	1	1	5	8	26	92	—	—	1	3	5	26	102
21 0 —20	2	3	2	4	7	24	62	2	—	2	8	14	13	95	3	2	1	2	10	21	93
20 —40	—	—	2	3	8	14	56	—	3	—	4	9	12	80	—	1	2	5	9	12	77
40 — 0	—	2	1	6	3	13	56	2	2	1	2	7	13	55	1	1	2	4	4	14	54
22 0 —20	—	—	3	2	8	12	55	—	1	3	3	7	15	56	—	2	—	1	2	9	74
20 —40	1	—	3	1	6	10	60	3	—	2	1	4	13	61	2	—	1	—	5	19	54
40 — 0	—	3	2	2	8	9	40	—	1	3	2	7	11	51	—	—	1	7	4	12	54
23 0 —20	—	1	—	1	6	15	38	2	2	2	1	8	11	58	2	3	1	2	5	11	49
20 —40	—	1	3	3	5	14	36	—	—	2	3	4	14	57	—	1	2	2	3	12	46
40 — 0	1	1	1	2	7	15	39	2	3	3	1	3	10	38	2	2	—	3	8	15	47
Summa	57	62	105	161	374	787	3288	64	63	101	180	389	791	3480	49	65	96	177	399	852	3533

Rectascens.	Declination + 36°							Declination + 37°							Declination + 38°						
Grösse:	1.0-6.5	6.6-7.0	7.1-7.5	7.6-8.0	8.1-8.5	8.6-9.0	9.1-9.5	1.0-6.5	6.6-7.0	7.1-7.5	7.6-8.0	8.1-8.5	8.6-9.0	9.1-9.5	1.0-6.5	6.6-7.0	7.1-7.5	7.6-8.0	8.1-8.5	8.6-9.0	9.1-9.5
0^h 0^m—20^m	—	1	4	1	5	10	36	—	2	1	2	3	9	50	—	—	1	—	8	7	35
20 —40	1	1	—	4	5	13	45	2	—	2	—	3	12	48	1	1	1	4	7	13	35
40 — 0	—	—	1	4	2	14	46	—	4	2	1	3	8	61	—	1	—	6	6	15	53
1 0 —20	4	—	2	2	4	13	40	1	—	1	3	3	10	55	—	1	1	4	4	6	58
20 —40	—	1	1	1	3	8	41	—	1	2	4	10	14	51	—	2	3	2	8	10	61
40 — 0	5	1	1	5	9	17	65	2	2	1	4	10	30	68	—	—	1	2	5	17	36
2 0 —20	—	—	4	7	12	13	47	—	1	2	2	3	17	47	—	—	3	1	5	17	45
20 —40	2	1	2	2	1	6	50	2	2	2	—	9	19	48	2	2	2	4	4	14	48
40 — 0	—	2	—	2	5	14	51	—	3	—	4	7	8	49	—	2	—	3	9	17	54
3 0 —20	3	3	1	3	6	7	36	2	1	4	7	5	10	33	1	—	2	4	7	13	56
20 —40	—	1	1	1	5	7	47	—	2	4	1	3	11	37	—	2	2	2	6	16	51
40 — 0	1	2	2	3	9	18	40	4	2	2	3	4	13	24	2	1	3	2	6	6	16
4 0 —20	—	2	4	3	5	7	44	—	1	1	2	4	6	26	—	2	2	3	3	9	34
20 —40	4	1	3	—	6	13	16	3	1	2	4	1	4	31	—	1	—	2	7	11	26
40 — 0	—	—	3	—	3	15	56	—	1	1	2	6	9	72	—	—	1	2	7	19	68
5 0 —20	2	3	2	4	5	22	101	4	1	2	5	14	22	100	1	—	—	—	10	24	103
20 —40	—	1	—	5	8	15	81	—	1	4	6	9	16	89	—	1	2	9	12	20	82
40 — 0	—	2	4	4	6	19	71	2	2	2	3	7	21	59	1	3	5	2	6	7	62
6 0 —20	—	1	1	4	5	10	53	—	2	1	2	6	18	62	—	3	1	3	4	18	82
20 —40	1	1	1	1	5	19	36	3	1	3	8	11	11	36	1	1	3	1	4	20	84
40 — 0	—	2	1	1	4	4	49	—	2	1	2	7	14	44	—	1	1	2	5	11	58
7 0 —20	—	—	1	3	1	7	49	2	—	1	—	3	9	47	4	—	2	4	2	13	51
20 —40	—	—	—	1	6	5	45	—	—	—	4	6	4	39	—	1	—	2	3	9	33
40 — 0	—	4	1	5	1	9	42	3	1	1	2	4	10	30	1	2	—	3	4	7	35
8 0 —20	—	1	4	3	8	10	51	—	—	4	2	2	5	24	—	—	—	1	9	8	25
20 —40	2	—	2	3	4	10	24	1	2	2	2	3	5	31	—	1	2	2	3	6	33
40 — 0	—	2	1	2	4	6	28	—	1	—	4	1	6	23	—	—	3	1	5	8	23
9 0 —20	1	—	—	4	4	14	25	1	1	1	1	5	10	24	2	1	—	3	2	7	22
20 —40	—	—	—	2	2	8	17	—	2	2	1	3	5	17	—	—	—	—	2	6	24
40 — 0	2	1	1	1	1	6	27	2	—	1	2	3	4	20	—	—	—	3	4	5	21
10 0 —20	—	1	—	1	1	5	30	—	—	1	—	3	5	20	—	—	—	1	4	9	24
20 —40	1	—	2	—	2	12	36	2	1	—	1	3	10	23	3	—	—	3	3	6	22
40 — 0	—	—	2	—	1	7	21	—	2	—	4	7	7	17	—	1	—	1	1	6	23
11 0 —20	1	2	2	3	4	1	19	1	—	1	—	3	6	11	1	2	1	1	3	5	24
20 —40	—	1	—	—	4	7	18	—	—	1	1	6	1	25	—	—	1	—	2	3	24
40 — 0	2	1	1	—	1	4	13	2	—	—	5	7	5	18	1	—	—	1	1	4	16
12 0 —20	—	—	1	—	3	9	17	—	—	—	1	3	3	20	—	—	2	1	1	4	27
20 —40	1	1	—	2	3	10	22	—	1	1	3	8	6	28	2	1	—	1	4	6	20
40 — 0	—	—	1	2	1	3	23	—	—	—	2	6	4	24	—	1	—	2	6	6	18
13 0 —20	1	2	1	2	1	11	18	2	2	2	1	6	5	29	1	2	2	2	6	7	25
20 —40	—	—	—	3	3	7	21	—	1	1	1	1	10	29	—	—	2	1	4	7	15
40 — 0	—	2	—	1	1	7	23	4	1	—	1	1	10	27	1	1	—	3	3	9	19
14 0 —20	—	1	—	3	4	3	37	—	1	1	3	3	11	18	—	—	4	3	1	6	28
20 —40	3	—	2	1	2	5	24	1	2	1	1	3	8	23	—	1	2	1	2	7	21
40 — 0	—	—	3	—	4	9	30	—	—	1	2	2	10	19	—	—	—	1	2	2	18
15 0 —20	—	—	—	1	1	3	26	4	2	—	1	1	8	18	2	1	1	1	4	7	27
20 —40	—	—	2	—	3	10	24	—	1	—	1	3	5	21	—	1	1	2	2	8	25
40 — 0	1	—	—	1	1	5	36	5	—	1	1	3	8	25	2	1	1	1	—	5	19
16 0 —20	—	1	2	2	3	13	29	—	1	1	—	2	10	21	—	2	2	2	2	7	32
20 —40	2	—	1	2	4	4	26	1	—	1	1	7	6	30	1	1	2	2	5	13	36
40 — 0	—	—	1	2	3	11	29	—	—	1	2	7	7	29	—	—	—	2	7	12	30
17 0 —20	2	—	1	3	1	4	34	2	1	—	1	3	12	23	—	1	—	3	4	9	34
20 —40	—	1	—	1	4	21	38	—	—	3	1	3	7	42	—	—	1	1	3	11	45
40 — 0	3	2	4	2	5	17	46	3	1	—	2	4	10	49	1	1	4	4	7	18	45
18 0 —20	—	—	2	2	7	24	67	—	—	2	4	10	19	68	—	2	—	5	9	13	60
20 —40	4	1	3	7	7	21	96	2	2	2	7	8	15	77	3	2	4	3	5	19	81
40 — 0	—	1	3	4	6	22	100	—	—	2	7	6	16	78	—	—	4	3	8	23	107
19 0 —20	3	2	1	5	16	19	113	4	1	3	4	6	15	84	2	4	3	9	20	16	101
20 —40	—	1	1	4	9	25	93	—	—	1	5	4	17	113	—	3	1	2	5	24	126
40 — 0	5	3	—	2	11	34	125	2	3	3	2	10	27	121	4	3	1	5	11	26	108
20 0 —20	—	6	2	5	21	30	133	—	—	3	11	9	33	113	—	6	5	3	16	38	111
20 —40	4	—	2	4	12	31	112	4	—	1	4	6	21	82	2	1	2	5	14	30	90
40 — 0	—	—	4	4	11	29	130	—	—	2	5	7	15	98	—	1	3	7	2	12	90
21 0 —20	5	1	2	5	13	16	115	2	—	3	5	6	29	89	6	2	3	4	12	23	108
20 —40	—	—	2	4	9	9	91	—	—	2	4	6	11	87	—	—	1	6	6	18	72
40 — 0	1	—	1	6	8	17	53	3	—	—	1	12	13	42	3	1	4	7	5	13	49
22 0 —20	—	1	2	1	5	17	47	—	1	2	1	6	16	57	—	—	2	5	4	16	56
20 —40	4	1	3	10	7	14	57	3	2	1	4	6	15	87	4	1	—	5	7	15	67
40 — 0	—	—	2	—	5	16	51	—	2	1	3	6	17	50	—	—	1	2	5	5	55
23 0 —20	3	2	1	3	5	10	40	1	—	3	2	2	4	62	1	2	2	1	2	9	57
20 —40	—	—	2	—	4	7	37	—	—	1	1	6	8	30	—	—	—	2	3	7	54
40 — 0	2	—	1	—	3	7	26	3	1	—	2	2	14	28	3	1	—	1	4	3	36
Summa	76	68	108	179	363	875	3485	85	68	101	191	371	819	3300	59	75	103	192	382	846	3459

Rectascens.	Declination + 39°							Declination + 40°							Declination + 41°						
Grösse:	1.0-6.5	6.6-7.0	7.1-7.5	7.6-8.0	8.1-8.5	8.6-9.0	9.1-9.5	1.0-6.5	6.6-7.0	7.1-7.5	7.6-8.0	8.1-8.5	8.6-9.0	9.1-9.5	1.0-6.5	6.6-7.0	7.1-7.5	7.6-8.0	8.1-8.5	8.6-9.0	9.1-9.5
$0^h\ 0^m - 20^m$	—	3	2	3	9	9	60	—	2	1	1	2	14	68	—	—	—	1	5	9	51
20 — 40	1	2	2	1	8	13	68	1	—	3	1	6	13	47	—	—	1	3	4	17	44
40 — 0	—	1	1	1	2	12	61	—	1	2	2	5	10	39	—	—	1	2	4	11	59
1 0 — 20	3	—	1	5	7	9	51	4	2	5	2	5	8	43	1	1	1	2	7	16	40
20 — 40	—	2	1	1	6	9	51	—	3	2	3	7	10	54	—	1	1	2	9	13	42
40 — 0	1	2	1	6	6	16	41	2	4	2	2	7	12	40	2	1	—	3	5	14	36
2 0 — 20	—	3	1	3	2	17	45	—	—	1	6	10	10	60	—	1	1	4	4	10	38
20 — 40	2	4	1	5	8	16	55	1	—	2	1	6	22	48	—	—	5	4	7	10	53
40 — 0	—	1	1	5	6	11	56	—	—	2	2	7	12	44	—	1	1	2	9	8	53
3 0 — 20	2	3	2	1	5	19	40	3	1	2	2	11	12	57	1	1	—	2	10	10	47
20 — 40	—	2	—	2	2	10	60	—	1	3	4	7	18	46	—	1	2	2	7	7	48
40 — 0	2	2	4	3	6	15	39	1	—	1	2	3	14	31	—	2	4	1	5	10	41
4 0 — 20	—	1	2	4	3	9	45	—	1	1	2	8	17	45	—	2	2	7	3	6	39
20 — 40	—	2	—	4	7	8	53	5	—	—	1	5	15	66	2	2	2	—	2	10	75
40 — 0	—	1	2	10	11	11	81	—	—	1	4	8	16	98	—	—	1	5	4	17	85
5 0 — 20	2	1	3	4	8	31	74	3	1	1	5	7	21	84	3	—	—	4	14	23	76
20 — 40	—	—	—	8	6	12	76	—	2	2	1	8	18	83	—	5	3	—	4	10	53
40 — 0	4	—	2	4	7	17	82	—	—	3	4	8	11	54	1	2	2	2	9	14	67
6 0 — 20	—	2	3	6	9	15	75	—	1	4	8	9	17	75	—	—	2	5	6	11	49
20 — 40	1	5	3	1	3	22	75	1	2	2	4	8	27	67	—	3	1	3	5	13	57
40 — 0	—	—	2	5	5	23	85	—	2	5	2	14	15	32	—	2	1	6	2	12	48
7 0 — 20	2	2	1	—	6	12	57	1	—	1	1	7	10	51	2	—	3	1	2	14	43
20 — 40	—	2	2	3	3	9	40	—	1	2	1	3	12	59	—	2	—	7	2	6	46
40 — 0	—	1	1	1	2	5	38	—	2	2	2	3	11	34	—	2	2	2	7	10	37
8 0 — 20	—	—	1	2	6	7	28	—	—	3	2	5	15	34	—	—	1	1	6	5	36
20 — 40	1	—	—	3	6	6	36	—	1	4	2	1	11	31	—	1	—	2	3	6	24
40 — 0	—	2	1	4	2	11	30	—	—	1	—	4	8	37	—	—	1	1	7	11	27
9 0 — 20	1	1	1	—	4	12	24	2	2	3	4	6	9	27	—	—	2	1	6	9	25
20 — 40	—	1	—	—	5	5	16	—	1	1	—	4	10	28	—	—	1	1	2	12	29
40 — 0	—	—	—	5	3	11	21	3	2	2	—	3	5	18	1	—	1	4	5	11	25
10 0 — 20	—	—	1	2	6	7	20	—	—	1	3	5	9	23	—	—	2	1	4	9	19
20 — 40	1	—	1	3	4	4	15	—	1	—	2	5	6	26	3	1	3	2	3	1	18
40 — 0	—	1	4	1	2	9	24	—	1	1	2	2	3	21	—	—	—	1	4	4	29
11 0 — 20	2	—	—	1	3	7	9	1	—	—	1	1	3	23	2	—	2	1	4	4	16
20 — 40	—	1	1	5	2	1	15	—	—	—	2	5	6	23	—	1	1	1	2	5	30
40 — 0	1	—	—	2	2	5	16	1	—	—	2	3	4	21	2	2	—	1	6	7	23
12 0 — 20	—	1	2	2	2	5	16	—	1	2	5	6	11	15	—	—	3	1	3	3	11
20 — 40	1	—	2	1	2	8	22	2	2	2	—	5	8	15	1	1	4	2	3	7	19
40 — 0	—	—	1	4	4	9	23	—	2	1	1	4	8	36	—	1	1	2	2	—	18
13 0 — 20	3	3	2	—	4	18	15	2	—	—	3	6	5	19	2	1	—	2	3	6	28
20 — 40	—	—	1	1	4	6	19	—	—	1	2	3	9	16	—	—	—	2	2	3	18
40 — 0	4	—	—	—	4	8	27	—	1	1	3	3	8	23	3	1	—	3	4	10	19
14 0 — 20	—	2	3	2	6	7	23	—	—	4	1	1	6	36	—	2	2	—	4	10	19
20 — 40	2	—	1	1	1	10	21	1	—	1	4	5	6	21	2	—	—	1	4	4	16
40 — 0	—	1	—	3	3	6	21	—	1	2	2	2	8	17	—	1	2	—	2	7	20
15 0 — 20	1	—	4	3	4	6	19	3	—	—	2	4	7	19	—	1	—	1	5	7	27
20 — 40	—	2	—	1	2	11	24	—	2	1	4	4	6	17	—	—	—	—	6	4	21
40 — 0	2	1	—	1	3	10	21	2	1	2	2	4	8	32	2	—	2	1	5	5	20
16 0 — 20	—	—	1	2	4	13	21	—	3	2	2	2	10	28	—	1	3	—	3	6	23
20 — 40	2	1	1	—	3	7	34	1	1	—	1	4	7	29	2	—	2	3	5	5	27
40 — 0	—	1	1	4	5	4	25	—	—	2	2	3	9	22	—	1	1	1	2	6	30
17 0 — 20	—	1	1	2	6	15	27	3	—	1	4	4	10	25	—	2	—	1	5	11	22
20 — 40	—	—	—	2	4	14	60	—	—	1	3	4	13	43	—	2	3	1	7	11	38
40 — 0	2	2	1	5	8	22	64	2	2	2	3	7	9	45	2	—	1	2	7	12	53
18 0 — 20	—	2	4	7	5	14	67	—	1	4	—	7	20	53	—	2	1	1	5	7	60
20 — 40	5	—	—	4	12	16	65	4	4	2	2	6	26	73	2	4	—	2	5	18	57
40 — 0	—	6	3	3	11	13	80	—	2	—	4	5	13	82	—	1	6	6	6	10	60
19 0 — 20	3	—	4	6	4	22	88	2	3	2	4	7	26	80	4	2	2	4	9	33	67
20 — 40	—	4	1	5	8	19	101	—	1	1	5	9	30	114	—	1	3	1	11	18	98
40 — 0	2	1	3	3	9	26	87	2	2	2	8	10	18	97	2	3	3	3	9	12	97
20 0 — 20	—	3	3	1	12	35	93	—	2	6	10	9	29	94	—	1	1	6	6	28	93
20 — 40	2	—	5	10	10	24	81	5	2	6	5	11	33	87	4	5	1	6	8	18	96
40 — 0	—	2	2	6	8	16	91	—	2	2	3	15	16	63	—	5	5	2	8	19	82
21 0 — 20	1	2	1	1	8	16	93	2	2	1	6	5	19	78	3	—	—	4	10	23	94
20 — 40	—	—	2	6	4	23	75	—	—	4	2	10	22	79	—	2	3	8	8	21	87
40 — 0	1	—	—	—	4	12	71	4	—	2	5	10	14	52	—	—	6	4	13	21	78
22 0 — 20	—	—	—	6	4	15	56	—	—	1	2	7	27	62	—	—	1	3	4	21	88
20 — 40	4	—	2	3	6	16	64	1	2	4	2	6	20	48	2	—	5	1	12	16	73
40 — 0	—	1	1	3	3	10	61	—	1	1	5	6	18	57	—	1	2	3	7	14	44
23 0 — 20	1	—	2	3	3	16	56	3	1	4	4	7	14	54	4	1	1	3	8	15	73
20 — 40	—	—	1	1	6	12	56	—	—	1	—	2	12	53	—	3	1	5	4	14	55
40 — 0	1	2	1	2	5	11	39	—	2	—	5	5	3	74	3	2	—	8	6	8	48
Summa	63	86	104	218	373	910	3468	68	77	134	199	416	942	3395	58	81	115	180	399	798	3307

Rectascens.	Declination + 42°							Declination + 43°							Declination + 44°						
Grösse:	1.0-6.5	6.6-7.0	7.1-7.5	7.6-8.0	8.1-8.5	8.6-9.0	9.1-9.5	1.0-6.5	6.6-7.0	7.1-7.5	7.6-8.0	8.1-8.5	8.6-9.0	9.1-9.5	1.0-6.5	6.6-7.0	7.1-7.5	7.6-8.0	8.1-8.5	8.6-9.0	9.1-9.5
$0^h\ 0^m$ — 20^m	—	1	—	1	3	11	59	—	5	2	3	7	12	55	—	—	1	6	8	17	60
20 — 40	3	—	—	4	9	20	62	5	3	1	1	5	5	49	1	—	1	2	4	12	55
40 — 0	—	1	4	2	3	12	44	—	—	1	3	5	13	57	—	1	3	1	6	8	58
1 0 — 20	5	2	2	4	4	11	41	3	1	1	3	6	12	46	4	—	3	3	4	10	42
20 — 40	—	—	3	3	4	19	43	—	—	1	—	4	12	50	—	2	—	1	8	14	38
40 — 0	1	—	3	7	3	19	39	1	2	1	3	3	9	42	—	—	1	3	7	5	43
2 0 — 20	—	1	3	1	6	10	53	—	—	—	3	5	10	50	—	—	—	1	3	8	65
20 — 40	1	2	1	8	11	22	65	4	1	3	2	7	11	53	—	—	2	4	4	10	52
40 — 0	—	1	1	2	5	15	52	—	1	1	3	2	8	43	—	1	—	1	1	8	40
3 0 — 20	2	—	—	2	1	14	41	1	1	2	3	4	12	73	1	1	2	3	2	10	66
20 — 40	—	2	3	4	2	12	33	—	1	—	3	6	13	62	—	—	3	6	8	8	58
40 — 0	2	1	1	4	6	15	48	1	—	1	2	5	12	69	2	—	1	2	—	11	50
4 0 — 20	—	1	3	3	4	8	50	—	2	2	—	5	13	53	—	—	1	5	3	10	77
20 — 40	2	2	1	4	9	13	61	1	—	2	6	5	15	72	—	5	—	4	2	17	46
40 — 0	—	1	—	4	8	20	89	—	2	2	4	7	22	76	—	—	4	3	2	12	56
5 0 — 20	2	2	3	9	4	21	78	1	1	1	3	6	13	56	—	2	2	4	4	14	78
20 — 40	—	1	3	2	9	17	75	—	—	5	1	8	19	48	—	—	4	3	5	15	52
40 — 0	1	2	—	1	10	12	58	—	—	3	4	7	13	82	—	1	1	3	7	15	55
6 0 — 20	—	1	1	4	3	11	42	—	4	1	1	3	9	58	—	1	4	4	6	7	63
20 — 40	2	1	—	1	6	6	30	1	—	2	4	2	9	41	1	3	—	2	7	14	51
40 — 0	—	—	—	4	9	9	38	—	—	1	1	2	11	30	—	1	1	2	6	6	35
7 0 — 20	2	—	—	7	5	5	37	—	1	—	2	2	12	30	2	1	1	1	—	4	33
20 — 40	—	1	6	—	3	8	32	—	—	—	1	6	14	22	—	1	1	1	6	6	32
40 — 0	—	1	1	4	3	10	29	2	—	1	—	2	4	22	—	—	2	2	1	8	26
8 0 — 20	—	—	—	1	4	5	47	—	—	2	1	3	6	39	—	—	—	—	3	5	24
20 — 40	1	1	—	4	3	12	32	2	—	1	1	3	10	20	1	—	3	1	2	9	22
40 — 0	—	1	—	—	2	11	26	—	—	—	—	1	6	18	—	1	—	2	6	11	23
9 0 — 20	2	—	—	3	3	6	32	1	1	1	—	5	4	26	1	—	—	2	3	6	24
20 — 40	—	1	2	1	2	7	20	—	—	1	4	5	7	22	—	1	4	—	5	3	28
40 — 0	—	1	1	1	6	8	24	1	1	—	1	2	6	19	—	—	—	3	3	11	28
10 0 — 20	—	3	2	—	4	6	18	—	1	—	3	2	3	19	—	—	1	1	3	8	20
20 — 40	1	—	4	1	5	3	12	1	—	1	1	—	4	20	1	1	—	2	—	3	24
40 — 0	—	—	2	2	2	6	27	—	1	—	1	2	9	20	—	—	1	2	9	6	21
11 0 — 20	1	—	1	—	4	2	13	3	1	1	5	3	5	20	—	—	1	—	3	5	25
20 — 40	—	1	1	1	4	9	22	—	—	1	2	1	7	21	—	1	2	3	3	5	19
40 — 0	2	1	—	1	3	6	16	2	2	3	2	3	12	14	2	—	—	3	3	8	21
12 0 — 20	—	1	3	1	2	3	22	—	1	1	5	4	9	16	—	1	1	3	2	5	19
20 — 40	2	—	1	—	1	8	21	1	1	1	2	3	5	22	—	—	1	1	3	8	18
40 — 0	—	—	3	6	6	5	15	—	—	2	1	7	10	19	—	—	1	—	5	3	16
13 0 — 20	—	—	—	1	1	6	19	2	1	1	1	4	4	21	2	—	—	—	1	5	14
20 — 40	—	—	2	1	1	6	25	—	—	—	2	2	2	14	—	—	—	1	—	8	17
40 — 0	3	1	1	3	1	3	15	—	2	—	2	2	6	13	3	1	1	2	1	7	11
14 0 — 20	—	2	—	2	3	7	20	—	1	—	2	2	7	21	—	—	1	2	1	9	17
20 — 40	2	—	—	—	3	10	19	1	1	—	—	4	6	12	1	1	—	—	3	13	17
40 — 0	—	1	—	1	1	2	29	—	—	—	3	4	7	16	—	—	—	3	1	8	16
15 0 — 20	1	—	—	3	2	6	19	—	1	1	—	7	7	14	2	—	2	—	6	7	30
20 — 40	—	—	1	3	3	4	26	—	1	2	1	4	8	14	—	3	2	1	2	4	30
40 — 0	2	—	2	2	5	8	18	1	—	—	2	3	9	23	1	—	1	1	4	4	22
16 0 — 20	—	—	1	—	4	7	24	—	—	—	3	2	7	25	—	1	3	3	4	8	16
20 — 40	3	—	3	1	6	6	18	—	—	2	1	4	5	30	1	—	—	1	3	7	24
40 — 0	—	2	2	3	4	12	24	—	2	1	—	4	9	27	—	—	1	2	4	6	30
17 0 — 20	1	—	3	3	1	12	28	2	1	—	—	2	7	29	3	—	—	3	5	9	33
20 — 40	—	—	2	—	5	9	50	—	1	1	5	5	9	52	—	1	—	1	6	10	39
40 — 0	—	1	3	7	5	12	62	2	1	1	1	6	17	50	1	—	3	4	7	12	32
18 0 — 20	—	2	2	2	8	14	50	—	2	2	3	5	15	65	—	2	—	3	5	13	50
20 — 40	1	—	1	1	4	18	49	2	1	1	4	11	11	57	—	1	2	6	8	16	57
40 — 0	—	3	1	3	8	14	63	—	5	4	3	8	18	52	—	—	3	3	2	12	52
19 0 — 20	2	1	—	—	4	15	71	2	—	3	3	6	16	53	—	2	1	1	8	14	44
20 — 40	—	2	1	4	11	20	66	—	2	1	2	6	18	86	—	3	—	3	4	15	81
40 — 0	2	—	1	2	8	26	107	—	1	1	5	14	19	91	3	—	1	3	7	17	73
20 0 — 20	—	—	3	5	13	21	111	—	2	7	3	11	10	86	—	3	2	10	9	13	88
20 — 40	5	1	7	1	9	28	65	—	2	1	1	8	21	77	1	1	1	6	8	17	75
40 — 0	—	1	2	2	13	19	70	—	4	4	2	6	15	60	—	2	2	5	11	22	83
21 0 — 20	3	—	1	1	5	18	109	6	1	3	5	12	15	80	1	1	4	2	4	19	81
20 — 40	—	—	1	5	12	18	68	—	3	1	3	11	24	79	—	3	—	3	5	20	94
40 — 0	2	2	4	4	10	16	61	1	3	5	9	7	12	50	3	1	—	3	4	22	79
22 0 — 20	—	2	2	6	7	9	69	—	1	3	5	9	11	45	—	2	2	2	4	13	64
20 — 40	2	1	—	5	6	18	74	2	3	2	1	4	17	73	3	3	3	1	4	16	71
40 — 0	—	1	1	4	6	8	61	—	2	1	6	4	12	61	—	—	—	4	8	9	78
23 0 — 20	2	—	4	3	6	19	56	5	—	1	5	3	6	53	3	1	3	2	8	14	60
20 — 40	—	2	3	2	9	14	58	—	4	1	4	10	12	53	—	2	2	3	8	7	46
40 — 0	2	1	3	3	6	14	51	2	2	2	4	7	19	57	4	—	2	1	4	11	46
Summa	65	60	116	190	371	836	3201	59	84	101	176	355	767	3093	48	59	95	175	316	732	3133

Rectascens.	Declination + 45°							Declination + 46°							Declination + 47°						
Grösse:	1.0-6.5	6.6-7.0	7.1-7.5	7.6-8.0	8.1-8.5	8.6-9.0	9.1-9.5	1.0-6.5	6.6-7.0	7.1-7.5	7.6-8.0	8.1-8.5	8.6-9.0	9.1-9.5	1.0-6.5	6.6-7.0	7.1-7.5	7.6-8.0	8.1-8.5	8.6-9.0	9.1-9.5
0^h 0^m — 20^m	—	3	2	3	4	18	74	—	—	1	2	6	11	63	—	1	1	2	9	12	78
20 — 40	1	1	2	2	7	12	74	1	2	4	3	4	11	60	4	2	1	4	5	17	69
40 — 0	—	1	1	2	4	13	55	—	3	5	5	9	10	66	—	2	5	7	10	17	69
1 0 — 20	1	2	—	4	—	6	58	4	1	3	5	6	10	69	2	1	5	5	9	25	58
20 — 40	—	3	1	1	8	12	75	—	1	1	1	3	13	68	—	2	1	5	7	14	55
40 — 0	—	—	—	3	6	19	75	1	2	3	2	4	9	51	3	—	—	1	9	13	40
2 0 — 20	—	—	1	3	3	10	42	—	1	1	2	2	10	35	—	1	2	2	6	10	46
20 — 40	2	—	2	1	4	9	32	3	1	1	5	1	7	50	—	1	3	6	5	8	44
40 — 0	—	—	—	3	2	7	39	—	2	1	1	2	7	38	—	3	4	3	6	8	45
3 0 — 20	—	1	3	1	4	12	37	5	—	2	5	10	6	40	1	2	4	7	6	13	33
20 — 40	—	—	1	2	4	5	33	—	1	1	3	3	6	32	—	1	3	2	7	6	31
40 — 0	3	—	1	2	6	9	48	—	—	1	2	4	6	26	6	—	1	1	7	9	31
4 0 — 20	—	1	4	3	6	7	35	—	1	—	5	2	6	28	—	—	—	1	4	5	43
20 — 40	1	3	1	—	2	6	35	1	—	—	—	3	6	26	—	2	2	2	3	6	39
40 — 0	—	3	1	2	1	8	52	—	—	—	1	1	6	36	—	—	1	1	4	12	33
5 0 — 20	2	—	1	2	5	18	44	2	2	1	5	6	5	31	—	1	—	3	2	13	42
20 — 40	—	—	3	6	3	11	31	—	—	1	2	1	8	20	—	—	6	—	2	8	22
40 — 0	1	2	2	4	8	16	38	1	2	2	2	5	11	31	2	1	2	3	4	8	38
6 0 — 20	—	1	1	5	4	6	39	—	1	2	2	4	7	27	—	2	1	2	2	7	30
20 — 40	—	—	—	—	1	7	40	3	1	1	1	1	9	31	—	1	2	4	2	2	34
40 — 0	—	1	1	—	3	6	24	—	1	1	2	3	5	24	—	2	1	2	4	11	36
7 0 — 20	2	1	1	5	1	8	28	4	1	1	5	3	8	20	1	1	2	5	4	9	26
20 — 40	—	—	2	3	11	8	32	—	—	3	3	4	8	28	—	—	1	1	4	8	21
40 — 0	—	—	—	4	3	3	35	1	1	2	2	3	4	29	2	—	2	2	2	4	41
8 0 — 20	—	—	4	5	7	13	22	—	—	1	—	6	7	29	—	2	1	3	5	5	24
20 — 40	—	1	1	5	4	10	31	2	—	1	1	3	8	23	2	1	1	1	2	7	19
40 — 0	—	—	—	2	4	4	31	—	—	2	1	—	8	20	—	—	—	2	3	7	17
9 0 — 20	1	1	1	1	2	15	21	2	—	—	3	5	6	23	2	—	2	1	2	4	22
20 — 40	—	1	3	2	2	9	23	—	1	—	1	5	10	21	—	1	—	—	3	4	23
40 — 0	—	—	1	2	1	11	25	1	2	—	2	6	4	23	—	—	1	—	5	3	26
10 0 — 20	—	—	1	1	3	1	20	—	—	2	1	6	12	23	—	—	—	1	1	7	26
20 — 40	1	—	—	3	1	5	25	1	1	1	3	2	5	19	1	1	1	1	3	6	25
40 — 0	—	1	1	1	1	6	17	—	—	1	3	1	8	21	—	1	—	1	1	5	21
11 0 — 20	1	2	1	2	1	5	20	1	—	—	2	3	4	15	—	—	1	—	8	3	17
20 — 40	—	2	1	4	2	5	20	—	—	—	2	1	6	13	—	1	—	—	1	2	25
40 — 0	2	1	—	4	4	8	18	—	—	—	2	—	9	14	1	1	4	1	1	5	12
12 0 — 20	—	—	—	3	4	10	22	—	1	—	—	—	6	9	—	—	2	2	—	8	20
20 — 40	—	1	—	—	1	5	20	1	2	2	1	4	2	21	1	1	1	1	1	8	17
40 — 0	—	—	—	—	1	3	19	—	—	—	3	1	8	15	—	1	—	5	1	3	17
13 0 — 20	—	—	—	2	3	4	14	2	—	2	2	2	2	11	1	1	1	4	4	10	20
20 — 40	—	—	—	3	4	—	14	—	—	2	—	4	5	19	—	—	2	1	2	5	19
40 — 0	—	—	1	1	2	7	15	3	—	—	2	2	6	19	—	1	—	1	4	4	17
14 0 — 20	—	—	—	1	2	8	13	—	1	1	—	3	7	19	—	—	—	2	4	4	17
20 — 40	1	1	—	3	2	8	23	2	—	1	2	3	4	13	1	1	—	1	3	2	22
40 — 0	—	2	3	1	4	7	18	—	—	—	1	10	7	20	—	2	—	1	1	5	16
15 0 — 20	2	—	1	2	1	8	18	3	—	—	1	4	10	23	2	—	1	1	4	2	16
20 — 40	—	—	1	4	6	8	23	—	3	1	—	5	7	22	—	2	—	2	3	12	21
40 — 0	—	1	1	—	5	13	24	2	1	—	1	5	7	28	2	3	—	3	2	6	15
16 0 — 20	—	2	—	1	5	8	12	—	—	2	1	1	8	16	—	1	3	2	4	9	24
20 — 40	2	1	2	—	3	14	25	2	—	—	3	2	3	25	—	—	1	2	3	12	19
40 — 0	—	—	1	1	5	11	25	—	3	1	4	2	13	26	—	1	3	3	7	9	23
17 0 — 20	2	—	1	2	7	6	24	2	1	2	3	6	12	21	1	—	3	3	1	13	28
20 — 40	—	—	2	6	3	14	34	—	1	—	5	6	9	32	—	1	1	1	5	10	41
40 — 0	4	2	—	3	9	13	32	2	—	—	3	8	10	35	2	1	2	2	6	10	23
18 0 — 20	—	—	3	2	5	8	36	—	1	2	2	5	11	41	—	—	2	3	2	10	37
20 — 40	2	3	1	6	4	11	32	3	—	2	2	4	9	43	1	1	1	3	6	10	32
40 — 0	—	2	—	3	8	13	34	—	1	1	2	5	11	45	—	1	2	2	3	12	46
19 0 — 20	—	2	—	2	8	10	44	3	1	2	2	7	14	47	1	—	1	2	9	25	35
20 — 40	—	2	1	2	6	13	48	—	2	3	2	8	21	49	—	2	2	2	9	14	52
40 — 0	3	—	1	2	7	13	61	1	—	4	1	5	18	45	4	2	—	5	2	24	61
20 0 — 20	—	1	1	6	9	26	78	—	—	1	3	5	16	60	—	—	1	4	9	17	63
20 — 40	3	1	2	2	8	16	53	5	—	1	4	7	20	70	3	1	2	5	13	18	40
40 — 0	—	5	1	4	9	23	94	—	1	3	5	4	24	94	—	2	3	7	9	16	66
21 0 — 20	4	1	4	6	7	29	88	4	1	3	6	11	21	93	3	2	4	4	7	9	88
20 — 40	—	1	4	3	10	16	89	—	1	1	2	9	23	87	—	2	3	7	15	22	95
40 — 0	3	1	—	4	8	19	111	4	—	3	6	4	14	118	5	—	4	6	9	23	102
22 0 — 20	—	1	1	5	8	17	96	—	—	1	5	4	10	102	—	3	1	3	9	17	68
20 — 40	2	4	2	6	10	15	80	2	1	—	2	11	21	84	1	—	—	3	6	28	87
40 — 0	—	1	1	5	13	13	61	—	—	—	13	8	19	73	—	2	2	3	16	22	76
23 0 — 20	4	—	1	2	9	12	56	—	1	1	3	10	21	79	3	—	5	2	9	22	85
20 — 40	—	6	2	6	6	17	61	—	2	—	3	14	27	72	—	—	2	3	9	22	84
40 — 0	3	1	—	5	10	12	65	2	2	2	4	10	14	65	2	—	3	2	11	19	65
Summa	53	74	83	197	344	758	2910	76	55	90	186	327	716	2814	60	68	119	185	366	765	2818

Rectascens.	Declination + 48°							Declination + 49°							Declination + 50°						
Grösse:	1.0-6.5	6.6-7.0	7.1-7.5	7.6-8.0	8.1-8.5	8.6-9.0	9.1-9.5	1.0-6.5	6.6-7.0	7.1-7.5	7.6-8.0	8.1-8.5	8.6-9.0	9.1-9.5	1.0-6.5	6.6-7.0	7.1-7.5	7.6-8.0	8.1-8.5	8.6-9.0	9.1-9.5
0^h 0^m—20^m	—	2	3	5	13	18	92	—	1	3	6	6	17	62	—	—	—	2	5	14	53
20 —40	3	2	—	3	3	20	74	1	—	1	3	10	16	72	1	—	2	2	6	10	49
40 — 0	—	2	6	5	4	16	71	—	—	1	5	5	18	76	—	4	—	1	8	9	55
1 0 —20	2	3	3	4	9	13	70	1	—	1	5	3	23	54	2	2	3	2	3	9	40
20 —40	—	1	3	1	7	12	63	—	—	—	1	5	13	58	—	2	—	—	2	12	66
40 — 0	1	—	2	2	4	10	58	1	3	1	1	9	13	71	1	1	1	2	4	14	72
2 0 —20	—	2	1	5	14	14	39	—	—	2	1	5	19	74	—	1	2	—	4	13	83
20 —40	1	2	—	1	13	12	51	4	3	1	4	6	23	74	1	—	—	2	12	7	54
40 — 0	—	—	2	2	7	15	66	—	—	—	1	8	8	61	—	1	—	1	4	12	50
3 0 —20	4	1	2	5	11	13	42	6	—	3	3	6	19	52	3·	2	1	3	3	13	39
20 —40	—	3	2	3	7	11	45	—	1	—	3	4	20	57	—	1	3	2	—	14	46
40 — 0	3	2	1	1	2	11	28	1	—	1	—	8	15	56	2	—	1	3	2	12	63
4 0 —20	—	1	1	2	6	3	35	—	—	1	2	4	15	54	—	2	1	4	3	15	62
20 —40	2	—	1	—	5	5	45	3	1	3	1	4	13	39	1	—	2	4	4	8	46
40 — 0	—	1	—	1	7	8	55	—	1	2	4	6	10	39	—	—	1	—	6	15	36
5 0 —20	3	1	—	1	3	12	26	—	—	—	3	2	11	28	—	—	—	2	4	8	38
20 —40	—	1	3	1	—	5	23	—	1	1	1	4	10	32	—	2	1	2	6	5	39
40 — 0	1	1	—	1	4	8	26	5	—	—	2	7	9	29	—	—	—	—	7	11	23
6 0 —20	—	1	—	2	—	5	34	—	—	1	2	5	7	25	—	—	—	1	1	9	25
20 —40	2	—	—	4	4	8	34	1	—	2	1	5	12	28	—	—	1	1	5	9	28
40 — 0	—	—	1	3	4	5	25	—	1	1	1	2	11	31	—	—	2	1	7	8	24
7 0 —20	1	—	2	7	2	10	35	3	—	1	—	5	7	20	—	1	1	3	5	10	19
20 —40	—	2	3	1	2	7	24	—	—	1	1	2	5	33	—	—	2	2	—	6	28
40 — 0	1	1	1	4	4	3	21	1	1	1	3	2	9	14	1	—	4	2	6	4	22
8 0 —20	—	—	1	2	6	10	17	—	1	—	2	3	7	17	—	—	1	3	6	6	14
20 —40	1	—	—	1	1	7	25	1	1	3	1	5	7	20	—	—	—	1	5	1	24
40 — 0	—	—	—	4	1	8	30	—	—	1	2	4	5	24	—	—	2	2	6	5	23
9 0 —20	1	—	1	1	4	4	35	1	—	1	4	2	4	18	—	1	1	2	—	4	24
20 —40	—	—	1	3	2	7	21	—	2	—	2	2	6	26	—	1	—	2	1	5	32
40 — 0	—	—	—	2	1	8	19	1	—	2	2	2	11	25	1	2	3	—	2	4	20
10 0 —20	—	—	3	1	2	4	20	—	1	—	1	4	8	24	—	1	2	—	1	3	16
20 —40	—	—	—	3	2	5	15	2	2	1	2	3	6	13	—	1	—	2	2	2	20
40 — 0	—	—	3	1	3	6	10	—	—	1	1	3	5	21	—	1	1	—	—	2	22
11 0 —20	—	1	2	—	—	3	21	—	—	2	—	2	6	24	1	—	1	1	2	5	15
20 —40	—	—	—	2	1	2	19	—	1	—	2	4	6	17	—	—	—	2	3	4	32
40 — 0	2	—	1	3	3	10	15	1	1	1	1	3	2	18	—	1	1	—	2	6	20
12 0 —20	—	—	—	1	1	5	11	—	—	4	2	3	4	13	—	—	—	—	3	4	25
20 —40	—	—	1	1	1	4	28	1	—	—	1	2	5	14	1	—	1	1	—	6	14
40 — 0	—	—	1	2	1	5	23	—	—	—	—	3	8	13	—	—	1	1	3	5	22
13 0 —20	1	—	—	—	1	5	21	2	—	—	—	2	6	17	2	—	—	1	2	3	14
20 —40	—	1	—	4	3	8	19	—	—	—	1	—	3	26	—	—	1	1	2	6	12
40 — 0	—	1	—	1	3	2	17	1	1	2	2	3	4	13	2	—	1	1	4	2	11
14 0 —20	—	2	1	—	2	6	15	—	—	2	1	2	6	20	—	—	3	1	4	7	18
20 —40	—	—	1	2	2	6	25	1	1	—	3	1	5	10	3	1	—	2	2	6	21
40 — 0	—	—	2	—	5	6	10	—	1	1	2	—	11	18	—	—	1	2	3	5	13
15 0 —20	2	—	2	1	3	3	22	1	1	1	—	7	3	17	1	2	3	—	6	5	22
20 —40	—	1	1	2	1	6	19	—	—	—	1	2	10	22	—	2	2	—	8	6	18
40 — 0	—	—	1	3	1	9	20	—	—	—	—	5	8	21	2	—	—	3	3	9	23
16 0 —20	—	1	—	3	5	7	25	—	1	1	2	2	9	32	—	—	2	—	2	9	20
20 —40	1	1	1	1	9	3	20	3	—	1	1	1	12	23	1	1	—	3	2	1	31
40 — 0	—	2	1	4	5	10	17	—	1	1	1	4	4	29	—	—	3	—	2	6	27
17 0 —20	2	—	—	—	4	10	27	2	—	1	3	6	11	24	1	—	—	1	2	7	26
20 —40	—	—	3	1	2	10	28	—	2	1	1	10	8	32	—	4	2	—	5	6	40
40 — 0	4	1	2	4	8	12	42	1	—	1	2	6	6	25	1	—	1	4	2	8	43
18 0 —20	—	2	4	4	5	9	31	—	1	4	3	4	11	37	—	2	1	2	7	9	39
20 —40	1	1	2	4	5	13	42	3	—	5	2	4	8	47	1	—	1	4	5	14	56
40 — 0	—	—	—	—	5	12	49	—	1	—	1	10	13	49	—	—	—	2	2	13	44
19 0 —20	3	3	3	5	10	14	32	4	1	1	8	2	12	41	3	—	2	1	5	17	46
20 —40	—	3	2	6	4	8	28	—	1	3	5	2	18	66	—	—	—	5	6	14	44
40 — 0	1	—	1	1	3	15	53	4	1	1	1	5	15	60	4	—	5	8	9	14	72
20 0 —20	—	—	2	2	10	15	71	—	1	1	4	4	15	73	—	2	3	4	5	25	71
20 —40	3	1	4	3	6	13	55	2	2	4	4	2	14	61	—	—	1	5	9	25	63
40 — 0	—	1	1	4	6	11	54	—	1	1	5	6	18	59	—	1	2	1	4	14	51
21 0 —20	4	2	1	6	9	18	58	2	1	1	3	5	24	28	3	1	1	3	2	12	53
20 —40	—	1	1	6	12	21	77	—	4	—	2	5	26	55	—	1	4	2	7	17	60
40 — 0	3	1	2	2	6	17	78	1	—	2	2	4	22	91	1	—	3	3	8	21	92
22 0 —20	—	2	3	6	3	22	85	—	1	2	4	10	16	83	—	1	2	5	14	26	110
20 —40	1	1	1	5	12	17	68	2	—	1	3	9	15	59	3	1	4	7	9	15	73
40 — 0	—	1	2	6	10	15	72	—	2	2	4	6	15	74	—	1	1	4	4	18	96
23 0 —20	4	1	4	5	10	24	66	2	1	4	2	3	7	62	—	—	1	3	4	17	76
20 —40	—	2	1	3	7	31	62	—	1	2	4	7	17	71	—	1	2	5	5	22	70
40 — 0	1	—	4	2	5	16	67	2	3	3	7	5	23	73	—	2	1	3	7	11	64
Summa	59	62	104	187	346	726	2766	67	52	93	161	312	808	2844	43	50	95	145	304	699	2902

Rectascens.	Declination + 51°							Declination + 52°							Declination + 53°						
Grösse:	1.0-6.5	6.6-7.0	7.1-7.5	7.6-8.0	8.1-8.5	8.6-9.0	9.1-9.5	1.0-6.5	6.6-7.0	7.1-7.5	7.6-8.0	8.1-8.5	8.6-9.0	9.1-9.5	1.0-6.5	6.6-7.0	7.1-7.5	7.6-8.0	8.1-8.5	8.6-9.0	9.1-9.5
$0^{h}\ 0^{m} - 20^{m}$	—	—	1	7	3	19	46	—	—	2	6	6	13	42	—	2	3	1	9	12	47
20 —40	1	2	—	3	7	12	50	3	—	1	2	2	14	77	3	—	5	1	8	5	49
40 — 0	—	1	4	3	4	7	60	—	—	3	1	6	15	73	—	2	—	2	5	20	55
1 0 —20	2	3	2	4	4	11	58	1	—	1	2	7	12	63	—	1	1	2	3	14	59
20 —40	—	—	1	3	5	17	67	—	2	1	—	6	19	63	—	2	3	3	7	14	55
40 — 0	1	1	—	2	3	10	82	—	—	1	4	6	13	57	1	1	—	2	5	13	42
2 0 —20	—	2	—	1	7	9	56	—	1	1	2	3	17	40	—	—	1	—	11	12	48
20 —40	2	1	—	—	4	15	30	1	—	2	2	4	6	27	2	2	1	3	5	7	29
40 — 0	—	1	1	1	3	8	38	—	2	—	2	2	6	17	—	—	1	3	7	7	29
3 0 —20	1	—	1	5	3	8	37	2	3	2	2	4	8	19	1	—	1	1	2	8	29
20 —40	—	1	1	1	5	4	36	—	2	1	—	1	6	5	—	—	—	1	3	9	24
40 — 0	2	—	1	4	4	12	62	2	—	1	2	7	15	38	1	2	—	2	3	5	23
4 0 —20	—	2	2	2	2	8	52	—	—	1	4	3	6	43	—	1	—	3	7	7	18
20 —40	—	—	—	—	5	6	29	1	2	1	3	5	11	27	3	1	—	1	4	9	27
40 — 0	—	1	—	3	5	13	32	—	—	1	1	2	9	29	—	—	—	3	2	5	31
5 0 —20	1	—	1	3	4	7	26	2	—	—	1	4	4	24	2	—	2	2	4	16	28
20 —40	—	—	1	2	4	7	25	—	1	1	4	8	5	20	—	—	—	—	3	9	26
40 — 0	3	2	—	1	8	10	20	—	—	—	1	6	12	19	1	1	—	3	3	8	25
6 0 —20	—	1	1	2	3	7	28	—	1	1	6	4	8	26	—	—	2	1	4	3	24
20 —40	1	—	2	2	3	7	25	—	1	2	1	5	12	26	2	—	1	3	3	6	31
40 — 0	—	—	2	4	5	10	25	—	2	—	2	4	8	29	—	—	1	—	3	11	21
7 0 —20	1	—	1	1	2	6	24	2	2	—	3	2	9	22	—	—	—	2	1	7	33
20 —40	—	—	1	—	7	2	29	—	—	1	4	5	9	18	—	—	—	—	2	8	28
40 — 0	2	—	—	1	5	5	18	—	—	1	—	—	6	20	—	—	—	1	2	4	20
8 0 —20	—	—	—	2	4	8	22	—	—	—	1	4	3	24	—	1	—	2	3	7	23
20 —40	—	1	1	1	2	8	13	—	—	1	2	1	2	20	3	2	—	—	2	4	18
40 — 0	—	1	1	1	3	5	19	—	1	1	2	2	5	19	—	1	2	3	3	5	14
9 0 —20	2	—	—	—	5	4	21	1	1	—	—	1	3	20	—	1	—	2	2	7	13
20 —40	—	—	1	1	1	4	23	—	—	—	1	1	6	17	—	—	2	1	5	4	11
40 — 0	—	2	3	—	4	6	14	2	—	1	4	3	6	21	1	—	1	2	3	5	19
10 0 —20	—	—	—	1	2	4	18	—	1	1	1	1	3	18	—	—	1	1	—	2	12
20 —40	3	1	—	—	1	4	13	—	1	—	1	3	4	19	—	1	1	—	—	7	18
40 — 0	—	—	—	2	3	5	15	—	—	1	2	3	5	15	—	—	3	3	4	7	13
11 0 —20	1	—	1	—	—	7	8	3	—	4	1	2	—	18	3	—	1	1	1	5	13
20 —40	—	—	2	—	—	4	26	—	—	1	2	4	4	12	—	1	—	1	—	3	16
40 — 0	1	—	—	1	2	5	19	—	—	2	—	3	4	12	—	—	—	2	2	1	12
12 0 —20	—	—	1	2	1	2	23	—	—	1	1	2	2	12	—	—	—	—	5	3	14
20 —40	—	—	—	1	2	4	20	2	—	1	4	1	8	9	1	—	—	—	—	2	15
40 — 0	—	—	1	2	1	5	18	—	—	1	—	1	3	15	—	1	2	—	2	7	17
13 0 —20	—	—	1	2	3	8	17	—	—	2	1	2	5	21	1	—	—	1	3	5	15
20 —40	—	2	1	1	2	5	14	—	1	1	—	2	3	27	—	1	3	2	1	4	19
40 — 0	2	—	—	2	4	5	11	1	—	1	1	2	8	19	3	—	3	2	1	5	20
14 0 —20	—	1	2	2	6	4	12	—	1	1	3	4	4	19	—	2	1	1	—	7	12
20 —40	—	—	—	2	4	12	15	3	3	2	1	2	—	13	—	—	1	1	3	5	13
40 — 0	—	1	1	1	2	7	15	—	—	1	—	4	7	11	—	—	3	—	2	8	13
15 0 —20	2	—	—	1	—	7	14	1	1	—	2	5	6	11	—	—	4	1	2	2	11
20 —40	—	2	—	—	3	3	17	—	1	—	—	2	6	13	—	—	—	—	2	2	23
40 — 0	—	—	—	4	6	3	17	2	—	1	2	5	5	21	2	1	1	2	1	4	22
16 0 —20	—	—	—	2	6	8	24	—	1	—	1	3	7	19	—	1	1	1	2	3	18
20 —40	1	2	2	3	—	5	22	1	2	1	1	—	2	22	2	—	—	2	2	3	15
40 — 0	—	—	2	3	4	4	21	—	2	1	3	1	4	17	—	1	1	—	2	7	15
17 0 —20	1	—	1	3	3	8	27	1	—	1	4	4	8	14	1	—	—	1	4	6	15
20 —40	—	—	3	2	4	5	28	—	—	—	3	2	6	26	—	—	1	—	3	8	24
40 — 0	2	1	1	2	6	13	29	2	1	2	2	2	5	31	1	—	1	2	2	10	28
18 0 —20	—	4	1	3	6	12	41	—	—	4	2	6	16	40	—	—	1	4	4	12	36
20 —40	1	1	—	5	7	4	28	3	1	—	2	4	9	53	1	1	—	—	4	4	37
40 — 0	—	—	1	3	8	16	46	—	—	—	2	1	11	39	—	—	—	—	7	8	35
19 0 —20	—	—	4	4	1	14	60	4	—	2	4	10	7	60	3	—	1	2	5	16	33
20 —40	—	—	—	2	5	15	75	—	—	1	1	8	11	62	—	1	—	2	4	14	41
40 — 0	2	1	1	2	4	16	58	4	—	2	1	8	22	80	—	—	1	3	6	11	26
20 0 —20	—	—	3	6	11	19	64	—	—	1	1	7	14	59	—	2	—	2	1	8	35
20 —40	4	—	4	—	7	9	60	3	—	3	6	4	13	63	3	2	1	4	9	14	52
40 — 0	—	2	—	2	3	2	39	—	—	1	4	3	11	53	—	1	3	5	5	16	37
21 0 —20	2	1	4	2	6	12	44	4	2	1	4	5	9	46	3	1	5	5	10	14	36
20 —40	—	1	3	2	5	6	56	—	1	4	5	8	12	61	—	1	3	4	5	11	53
40 — 0	2	—	2	1	6	20	81	5	1	—	2	10	14	42	2	—	2	6	6	16	54
22 0 —20	—	1	4	4	13	24	81	—	—	3	4	10	13	82	—	—	—	4	11	23	53
20 —40	1	2	1	2	5	18	63	1	—	3	4	6	10	57	4	—	6	2	6	19	68
40 — 0	—	1	2	4	1	15	52	—	2	1	3	5	13	56	—	—	1	4	13	12	66
23 0 —20	1	—	1	2	4	7	57	2	1	1	3	6	15	51	1	1	—	2	9	15	56
20 —40	—	—	2	3	12	18	63	—	2	1	2	4	16	47	—	—	2	1	14	10	46
40 — 0	3	—	—	1	5	19	50	1	1	4	1	6	20	48	—	1	1	5	5	15	36
Summa	48	46	81	147	298	638	2528	60	47	86	152	285	613	2358	51	40	82	129	292	605	2092

Rectascens.	Declination + 54°							Declination + 55°							Declination + 56°						
Grösse:	1.0-6.5	6.6-7.0	7.1-7.5	7.6-8.0	8.1-8.5	8.6-9.0	9.1-9.5	1.0-6.5	6.6-7.0	7.1-7.5	7.6-8.0	8.1-8.5	8.6-9.0	9.1-9.5	1.0-6.5	6.6-7.0	7.1-7.5	7.6-8.0	8.1-8.5	8.6-9.0	9.1-9.5
0^h 0^m—20^m	—	1	4	4	10	7	39	—	2	1	3	8	11	53	—	2	3	5	5	11	35
20 —40	2	2	2	7	6	24	49	1	—	—	5	3	13	64	—	2	5	8	6	13	35
40 — 0	—	—	1	3	5	13	48	—	—	3	3	11	6	60	—	2	6	1	5	14	43
1 0 —20	2	1	1	3	2	9	53	—	—	1	3	4	15	64	—	1	—	4	8	16	54
20 —40	—	1	3	1	9	14	57	—	—	4	—	1	13	64	—	—	—	1	6	9	56
40 — 0	1	2	1	4	4	10	63	—	1	—	1	5	15	89	2	—	1	6	3	12	55
2 0 —20	—	3	—	2	7	7	69	—	1	1	5	12	17	67	—	8	1	2	17	31	143
20 —40	5	—	4	2	5	7	31	2	—	4	4	6	10	54	3	2	—	4	8	9	62
40 — 0	—	—	—	3	1	5	24	—	—	—	3	6	4	19	—	1	—	4	2	8	45
3 0 —20	1	2	1	1	3	7	29	2	—	1	2	5	4	36	2	—	—	—	2	4	23
20 —40	—	—	—	2	4	3	17	—	2	—	—	11	4	17	—	2	1	—	2	7	23
40 — 0	3	1	—	1	2	4	18	1	—	2	—	3	4	15	1	1	—	3	4	10	19
4 0 —20	—	1	2	1	2	8	17	—	1	—	2	2	11	21	—	—	1	2	1	9	29
20 —40	—	—	—	2	5	13	34	1	—	2	1	4	8	32	2	—	1	3	5	12	26
40 — 0	—	—	2	5	2	5	24	—	—	5	1	—	5	16	—	—	—	6	3	7	16
5 0 —20	1	—	2	2	5	1	27	2	—	1	—	—	4	24	—	—	1	1	1	3	16
20 —40	—	1	—	1	3	5	36	—	—	1	4	—	5	17	—	3	1	1	2	8	21
40 — 0	3	1	—	—	3	14	23	2	1	2	1	1	11	19	3	—	1	3	3	3	14
6 0 —20	—	—	2	3	6	12	25	—	—	—	5	1	6	16	—	2	1	2	5	5	17
20 —40	—	—	1	3	5	12	16	1	2	—	4	5	9	23	2	1	1	2	1	8	16
40 — 0	—	—	1	3	7	9	17	—	1	1	2	6	11	23	—	—	—	2	6	6	17
7 0 —20	—	1	—	1	1	9	21	1	—	—	1	3	7	20	—	—	1	1	1	12	13
20 —40	—	1	1	2	2	11	11	—	1	2	1	2	2	11	—	—	—	1	4	5	14
40 — 0	1	3	1	2	2	7	17	1	2	2	2	2	8	15	1	1	—	1	3	8	16
8 0 —20	—	1	3	1	2	3	11	—	1	—	3	2	4	14	—	2	—	1	—	4	23
20 —40	1	—	—	—	4	4	20	—	—	2	—	—	2	8	1	—	1	2	4	3	24
40 — 0	—	—	—	—	5	7	9	—	1	2	3	1	6	14	—	—	1	1	1	1	25
9 0 —20	2	—	1	1	4	6	14	—	—	—	2	—	4	11	1	1	1	—	2	4	12
20 —40	—	1	4	—	2	4	11	—	1	1	—	1	3	6	—	—	1	—	1	3	16
40 — 0	2	1	—	—	2	4	12	—	—	—	—	2	6	7	1	—	1	3	2	4	14
10 0 —20	—	1	—	3	5	2	14	—	1	—	1	1	4	21	—	—	1	1	3	3	14
20 —40	2	1	—	1	3	2	12	—	—	1	1	—	6	11	1	—	1	1	1	5	8
40 — 0	—	—	1	1	1	6	13	—	—	1	2	3	9	15	—	—	1	2	1	8	15
11 0 —20	—	1	1	1	2	3	16	1	1	—	—	3	4	13	1	—	2	1	2	3	11
20 —40	—	—	1	2	4	4	11	—	1	—	1	1	2	15	—	—	1	5	2	3	12
40 — 0	1	—	—	3	2	8	12	2	1	—	1	4	7	11	1	—	—	—	1	6	16
12 0 —20	—	2	2	1	4	3	21	—	1	—	3	1	4	13	—	—	1	1	6	6	14
20 —40	1	—	—	1	—	6	16	—	1	—	2	—	5	11	1	—	1	—	4	4	18
40 — 0	—	—	2	—	2	3	14	—	1	—	1	4	4	13	—	—	—	2	—	2	11
13 0 —20	1	—	—	—	7	5	13	2	—	—	2	2	8	16	1	—	—	—	—	6	11
20 —40	—	—	1	—	4	6	15	—	1	—	2	1	4	20	—	2	1	1	—	4	18
40 — 0	1	1	1	1	2	4	14	2	1	—	2	1	5	15	1	—	—	—	2	3	17
14 0 —20	—	—	1	3	1	3	24	—	1	1	2	1	4	16	—	—	1	4	2	7	14
20 —40	1	2	1	—	3	5	12	1	—	1	3	4	4	11	1	—	—	2	2	7	11
40 — 0	—	—	3	1	2	5	16	—	—	—	1	3	5	14	—	2	1	—	1	1	19
15 0 —20	—	—	1	—	2	4	9	1	—	—	1	1	5	14	—	—	3	1	1	2	13
20 —40	—	—	—	—	1	5	11	—	—	—	1	2	6	11	—	—	1	2	2	5	17
40 — 0	4	1	—	2	1	5	16	5	—	—	3	3	4	19	1	—	1	1	1	2	22
16 0 —20	—	—	—	1	1	5	14	—	—	—	—	3	5	28	—	1	—	—	4	8	19
20 —40	—	—	—	1	3	9	6	1	—	1	—	1	5	21	1	—	—	2	—	5	18
40 — 0	—	1	—	1	5	5	14	—	2	—	1	3	6	19	—	—	—	1	2	6	13
17 0 —20	1	1	—	—	1	6	10	1	1	1	1	2	2	25	1	1	2	5	1	4	28
20 —40	—	—	1	—	2	5	21	—	—	2	1	2	2	25	—	1	—	2	5	6	20
40 — 0	1	—	1	—	—	11	16	3	—	—	1	11	6	27	1	—	2	1	6	6	29
18 0 —20	—	1	—	1	5	10	26	—	—	3	2	2	12	28	—	1	4	1	2	6	21
20 —40	1	—	2	3	4	4	41	1	—	3	—	3	17	22	1	—	—	—	—	8	25
40 — 0	—	—	1	2	4	12	28	—	—	—	4	—	14	14	—	1	1	2	9	12	33
19 0 —20	2	—	3	3	5	6	38	1	1	1	6	4	13	28	1	—	—	4	5	11	32
20 —40	—	1	3	1	4	14	54	—	3	1	1	3	14	30	—	2	—	3	3	10	33
40 — 0	2	—	1	2	10	9	44	3	—	1	2	8	11	44	3	1	3	2	2	9	37
20 0 —20	—	2	1	2	7	13	35	—	2	—	3	2	12	54	—	—	2	2	5	7	43
20 —40	1	3	4	3	5	10	43	4	—	—	2	8	14	43	2	3	—	2	9	14	44
40 — 0	—	3	2	—	5	14	36	—	2	1	5	4	14	27	—	2	2	3	5	8	24
21 0 —20	1	2	2	5	6	8	39	2	—	5	7	4	7	38	3	—	3	1	3	9	27
20 —40	—	—	4	6	10	7	51	—	—	1	1	3	16	28	—	—	2	4	10	18	31
40 — 0	2	2	1	1	1	12	51	2	—	2	2	2	14	31	1	1	1	2	4	10	46
22 0 —20	—	—	1	3	9	9	69	—	1	3	3	7	15	43	—	2	1	—	8	12	50
20 —40	—	—	—	2	6	13	59	2	2	—	1	1	9	40	4	—	1	5	10	15	46
40 — 0	—	—	1	2	5	15	36	—	3	2	3	6	16	61	—	—	—	3	6	18	63
23 0 —20	1	—	2	3	1	12	45	1	—	—	5	8	7	43	3	3	2	1	2	7	48
20 —40	—	1	2	5	6	16	41	—	—	—	—	5	7	44	—	1	1	3	7	10	54
40 — 0	2	1	—	2	5	20	40	1	—	2	1	9	12	51	2	—	2	4	8	7	38
Summa	49	51	84	129	276	568	1958	50	44	71	142	243	568	1972	50	55	75	147	260	552	2005

Rectascens.	Declination + 57°							Declination + 58°							Declination + 59°						
Grösse:	1.0-6.5	6.6-7.0	7.1-7.5	7.6-8.0	8.1-8.5	8.6-9.0	9.1-9.5	1.0-6.5	6.6-7.0	7.1-7.5	7.6-8.0	8.1-8.5	8.6-9.0	9.1-9.5	1.0-6.5	6.6-7.0	7.1-7.5	7.6-8.0	8.1-8.5	8.6-9.0	9.1-9.5
$0^h\ 0^m - 20^m$	—	—	3	2	8	18	54	—	—	3	4	4	13	31	—	—	1	5	4	13	38
20 —40	1	1	1	1	5	9	45	2	1	1	3	4	13	30	3	1	2	2	7	8	37
40 — 0	—	3	—	3	3	12	29	—	—	—	4	5	10	45	—	—	3	2	4	12	45
1 0 —20	3	2	—	2	7	21	64	3	—	1	3	4	4	58	3	—	1	2	3	8	55
20 —40	—	2	2	—	5	20	73	—	1	4	2	4	13	34	—	1	5	3	10	9	41
40 — 0	3	—	—	2	14	22	64	2	1	1	1	8	16	56	1	1	2	11	7	14	56
2 0 —20	—	3	1	3	6	16	45	—	—	3	2	9	21	54	—	4	2	1	4	7	61
20 —40	2	1	3	9	11	9	34	—	2	2	1	5	8	27	1	3	2	2	4	5	36
40 — 0	—	—	2	1	6	10	34	—	—	1	4	5	12	24	—	2	—	5	1	15	27
3 0 —20	1	—	—	4	1	6	16	1	2	1	1	6	7	25	1	1	4	4	6	12	37
20 —40	—	1	—	2	3	6	11	—	1	2	2	3	7	32	—	1	1	3	4	9	40
40 — 0	1	1	—	1	1	4	21	2	—	1	2	3	7	41	2	1	1	1	2	8	27
4 0 —20	—	1	—	—	4	4	19	—	—	1	—	4	7	26	—	—	—	2	5	9	23
20 —40	2	1	1	1	—	11	19	—	—	—	1	4	9	15	1	1	2	—	4	8	15
40 — 0	—	—	—	2	1	4	12	—	1	1	3	2	5	24	—	—	—	—	2	3	11
5 0 —20	2	—	—	—	1	5	19	2	—	1	2	2	4	14	1	1	—	—	—	5	25
20 —40	—	1	—	2	2	3	21	—	—	1	1	2	3	14	—	—	—	2	3	10	18
40 — 0	—	—	1	—	4	8	15	2	—	—	1	5	12	18	1	1	1	2	1	5	20
6 0 —20	—	2	—	2	3	3	20	—	—	—	6	—	5	20	—	1	1	4	3	6	22
20 —40	1	1	1	2	5	15	12	2	1	—	3	3	12	18	3	1	—	1	7	7	21
40 — 0	—	—	—	3	3	5	22	—	—	—	3	3	7	20	—	—	1	1	2	6	21
7 0 —20	1	—	1	2	8	6	19	1	—	1	—	1	4	32	2	1	—	3	3	7	14
20 —40	—	—	2	4	3	3	12	—	—	—	—	2	4	20	—	—	3	3	1	1	18
40 — 0	2	—	1	—	2	—	13	1	—	2	—	3	8	20	2	1	—	—	4	7	20
8 0 —20	—	—	1	5	3	2	13	—	—	—	—	1	1	20	—	—	1	1	4	6	14
20 —40	—	—	—	2	4	6	15	1	—	—	1	2	4	17	—	1	1	1	—	4	15
40 — 0	—	1	—	—	2	6	18	—	1	—	3	1	7	12	—	1	—	3	3	4	15
9 0 —20	2	1	—	—	—	3	11	—	—	3	1	1	3	10	2	—	—	1	—	4	9
20 —40	—	1	—	1	—	2	11	—	—	—	—	—	4	18	—	1	1	2	3	6	17
40 — 0	2	—	1	2	—	4	6	1	—	2	—	3	5	16	1	—	1	1	2	3	15
10 0 —20	—	—	—	1	4	4	12	—	1	—	—	1	4	11	—	—	1	2	3	2	13
20 —40	3	1	—	1	2	2	12	1	—	—	1	2	7	13	—	—	—	—	—	3	16
40 — 0	—	—	1	1	1	3	8	—	—	1	1	—	4	13	—	2	—	—	1	4	13
11 0 —20	3	—	1	1	1	1	11	—	1	—	1	—	2	12	—	1	2	3	3	8	13
20 —40	—	—	2	—	2	2	8	—	—	—	1	1	3	12	—	—	1	1	3	4	12
40 — 0	2	—	—	1	2	3	9	1	—	2	1	3	4	12	—	—	—	1	3	2	10
12 0 —20	—	—	1	—	1	4	10	—	—	—	—	4	3	10	—	—	1	1	2	6	13
20 —40	3	—	2	1	4	4	7	1	—	—	1	1	5	11	2	—	—	2	3	3	14
40 — 0	—	—	1	—	2	11	10	—	—	—	4	3	2	10	—	—	—	—	4	5	11
13 0 —20	1	3	—	—	4	5	9	—	—	1	2	4	5	19	—	—	—	2	3	3	17
20 —40	—	—	—	1	4	5	12	—	—	1	1	3	3	14	—	—	—	1	2	3	15
40 — 0	1	—	—	1	2	2	21	—	—	—	—	1	4	14	1	—	—	—	4	4	15
14 0 —20	—	1	—	1	4	2	12	—	—	1	1	1	2	8	—	—	1	2	4	3	16
20 —40	3	—	—	1	3	5	11	—	1	2	1	—	6	16	1	—	—	1	2	4	17
40 — 0	—	—	—	1	—	4	15	—	1	—	3	2	5	12	—	—	—	1	1	2	16
15 0 —20	1	—	1	1	3	5	19	—	—	1	1	2	1	15	1	2	—	1	—	4	17
20 —40	—	2	—	1	1	6	13	—	—	—	—	1	2	15	—	—	—	—	4	2	12
40 — 0	—	—	2	1	1	5	21	2	—	1	—	—	2	18	1	2	—	1	3	5	16
16 0 —20	—	—	1	3	6	9	22	—	1	—	2	3	1	19	—	—	2	—	2	1	17
20 —40	—	—	—	—	4	8	14	—	—	2	3	1	8	15	1	—	—	2	5	3	17
40 — 0	—	—	1	1	2	4	20	—	1	—	2	2	9	16	—	—	—	2	1	5	24
17 0 —20	1	—	—	1	1	4	22	1	2	—	1	1	5	20	—	—	—	—	2	4	22
20 —40	—	2	—	4	4	7	19	—	—	—	1	2	5	15	—	—	—	1	5	3	21
40 — 0	2	—	—	2	1	6	30	1	—	—	1	4	1	26	—	—	2	1	4	5	24
18 0 —20	—	—	3	3	—	5	22	—	—	2	1	—	6	18	—	—	—	—	3	2	16
20 —40	—	—	2	1	3	7	15	2	—	—	—	1	7	12	1	1	1	1	1	5	10
40 — 0	—	—	—	4	5	10	22	—	1	—	1	—	4	25	—	1	2	2	—	3	14
19 0 —20	4	—	3	2	5	12	33	—	2	—	2	2	2	32	1	3	3	—	8	13	49
20 —40	—	—	—	1	3	16	40	—	—	—	—	5	8	50	—	1	1	4	9	20	52
40 — 0	4	—	2	3	5	12	42	2	—	—	1	6	17	49	4	—	1	2	8	11	42
20 0 —20	—	—	2	2	4	8	46	—	1	1	1	4	5	51	—	—	4	1	8	12	28
20 —40	—	—	1	5	5	4	38	—	—	1	5	10	8	40	3	1	4	7	3	7	31
40 — 0	—	2	—	3	3	5	25	—	2	1	4	3	13	28	—	—	1	2	1	7	24
21 0 —20	3	1	2	2	3	10	22	3	—	1	4	5	8	24	1	1	2	1	5	16	33
20 —40	—	—	2	1	4	15	47	—	2	—	8	4	8	36	—	1	2	—	1	12	25
40 — 0	1	—	1	2	9	12	35	—	—	1	1	4	14	43	2	4	1	9	2	11	23
22 0 —20	—	—	1	3	6	15	51	—	1	2	2	4	5	31	—	1	—	4	6	9	33
20 —40	1	1	3	3	4	8	54	3	1	—	4	6	10	26	—	—	—	2	8	8	32
40 — 0	—	2	1	2	6	15	64	—	1	1	5	12	9	37	—	2	2	2	4	6	56
23 0 —20	2	—	—	3	4	6	34	3	—	1	3	4	14	26	3	1	1	—	7	17	56
20 —40	—	—	5	4	4	15	36	—	—	6	1	7	9	31	—	2	—	3	—	11	32
40 — 0	4	—	1	1	4	15	43	1	1	1	4	4	6	40	1	2	1	1	4	12	39
Summa	62	38	63	128	251	544	1783	41	31	62	130	222	481	1736	47	53	72	134	245	491	1789

Rectascens.	Declination + 60°							Declination + 61°							Declination + 62°						
Grösse:	1.0-6.5	6.6-7.0	7.1-7.5	7.6-8.0	8.1-8.5	8.6-9.0	9.1-9.5	1.0-6.5	6.6-7.0	7.1-7.5	7.6-8.0	8.1-8.5	8.6-9.0	9.1-9.5	1.0-6.5	6.6-7.0	7.1-7.5	7.6-8.0	8.1-8.5	8.6-9.0	9.1-9.5
0^h 0^m —20^m	—	1	1	2	—	9	42	—	1	2	4	5	12	63	—	—	2	1	2	10	66
20 —40	1	—	—	—	6	7	39	1	1	1	4	3	9	66	2	—	3	—	4	17	43
40 — 0	—	1	—	1	5	9	42	—	—	—	2	4	9	24	—	1	—	5	6	6	43
1 0 —20	3	1	3	2	3	12	54	2	—	1	1	5	13	38	—	—	—	2	6	9	29
20 —40	—	—	2	5	6	17	82	—	1	1	3	6	11	41	—	1	2	2	5	5	35
40 — 0	2	1	2	3	3	13	62	1	—	1	1	1	6	42	2	—	—	2	5	5	36
2 0 —20	—	1	1	2	6	12	29	—	—	—	5	3	8	18	—	1	5	2	4	8	33
20 —40	—	—	3	5	2	8	68	1	3	1	1	4	8	54	—	1	3	2	9	9	43
40 — 0	—	—	1	1	4	10	39	—	1	—	—	5	7	27	—	2	2	2	2	7	38
3 0 —20	1	1	—	2	3	9	41	2	1	—	2	4	13	47	—	—	2	1	1	8	31
20 —40	—	—	1	—	3	15	48	—	2	—	1	2	8	31	—	1	—	2	7	2	28
40 — 0	1	—	—	2	3	3	18	1	1	4	1	2	9	21	4	—	2	3	5	7	30
4 0 —20	—	1	—	—	1	9	18	—	2	1	3	3	3	21	—	—	—	2	2	3	14
20 —40	1	1	—	2	—	4	18	1	1	—	1	1	6	11	—	—	1	2	1	4	17
40 — 0	—	2	—	—	1	4	14	—	2	1	—	2	9	16	—	1	—	—	3	5	13
5 0 —20	1	1	—	—	1	5	18	—	—	—	2	1	7	16	2	1	2	1	3	6	17
20 —40	—	1	—	2	—	4	13	—	1	—	3	2	3	28	—	—	—	1	2	4	18
40 — 0	—	1	1	1	2	5	15	1	—	—	—	3	5	24	1	—	—	3	2	4	24
6 0 —20	—	2	1	2	3	7	27	—	1	—	1	1	6	18	—	—	3	1	1	8	19
20 —40	1	—	—	1	6	6	18	2	—	1	—	1	8	11	—	—	1	1	—	8	19
40 — 0	—	1	2	—	3	5	17	—	1	1	1	1	5	21	—	—	—	3	3	11	14
7 0 —20	1	—	1	2	1	8	13	—	—	—	—	3	8	19	—	2	—	2	3	4	9
20 —40	—	3	—	1	1	3	19	—	—	1	1	—	6	22	—	—	—	—	2	3	18
40 — 0	1	—	—	2	2	6	17	1	—	—	—	1	5	19	—	—	1	—	2	6	15
8 0 —20	—	1	—	1	3	4	12	—	1	—	1	4	4	15	—	—	—	1	1	5	16
20 —40	1	1	1	—	1	3	11	1	—	1	2	1	6	14	1	—	—	2	1	3	13
40 — 0	—	—	—	1	4	4	11	—	—	1	1	4	3	15	—	—	—	2	1	6	16
9 0 —20	—	—	1	1	2	3	12	—	—	2	1	2	4	16	2	—	—	4	2	5	11
20 —40	—	—	1	—	1	4	10	—	—	1	1	2	5	8	—	—	—	—	1	5	7
40 — 0	1	1	—	2	3	7	18	1	1	—	—	3	8	9	—	—	—	1	3	5	12
10 0 —20	—	1	1	1	3	6	10	—	—	2	2	—	8	12	—	—	—	—	2	6	16
20 —40	2	1	1	1	3	3	17	—	—	—	—	—	2	9	—	—	1	—	—	4	8
40 — 0	—	—	—	3	2	7	7	—	—	—	1	1	6	9	—	—	—	1	2	5	9
11 0 —20	1	1	1	—	—	3	13	1	—	1	2	4	6	10	2	—	1	—	2	—	16
20 —40	—	1	1	2	1	3	18	—	1	—	—	1	4	14	—	1	—	1	1	1	10
40 — 0	—	—	1	2	4	—	12	1	—	1	1	—	4	10	4	2	2	1	—	1	10
12 0 —20	—	—	2	1	4	6	12	—	—	3	3	1	—	7	—	—	3	—	1	2	14
20 —40	—	—	—	—	3	3	12	1	2	1	—	1	—	18	1	—	—	—	—	3	12
40 — 0	—	—	—	4	2	3	13	—	—	—	1	2	2	12	—	1	1	—	2	2	15
13 0 —20	1	—	—	4	—	4	11	1	—	—	3	1	2	12	1	—	1	—	—	3	12
20 —40	—	1	1	—	5	7	10	—	—	1	2	—	5	10	—	—	—	1	3	—	19
40 — 0	2	—	—	—	3	5	11	—	—	1	—	4	9	16	1	1	1	1	1	3	11
14 0 —20	—	—	1	—	2	5	20	—	1	1	1	1	3	15	—	—	—	—	4	5	7
20 —40	2	—	1	3	3	—	16	1	—	1	1	4	4	17	—	—	—	—	1	3	13
40 — 0	—	1	2	—	2	1	17	—	—	1	—	1	5	18	—	1	—	—	2	5	9
15 0 —20	2	—	3	2	4	7	10	1	1	—	—	1	4	14	1	—	2	1	2	4	17
20 —40	—	—	—	4	2	3	11	—	—	2	1	—	5	24	—	1	1	1	1	—	10
40 — 0	1	—	2	—	3	3	8	1	—	—	2	—	2	18	2	—	—	3	—	2	18
16 0 —20	—	3	—	3	2	4	11	—	—	1	3	1	7	23	—	—	2	2	5	1	17
20 —40	1	1	1	2	2	4	13	2	1	—	2	1	2	9	1	—	1	1	3	6	14
40 — 0	—	—	—	2	2	7	22	—	—	2	2	1	3	18	—	1	1	—	1	6	14
17 0 —20	3	1	1	1	—	—	13	—	1	—	2	2	3	16	—	—	1	2	3	4	8
20 —40	—	—	—	1	1	5	21	—	1	—	2	5	8	21	—	—	1	1	1	6	14
40 — 0	2	—	1	1	2	4	16	1	1	1	—	—	1	21	1	1	1	1	3	5	16
18 0 —20	—	—	—	1	4	3	15	—	1	—	1	2	8	13	—	—	—	—	3	6	10
20 —40	1	1	—	1	1	3	13	—	—	—	—	3	7	15	2	1	—	1	2	4	20
40 — 0	—	2	—	2	2	8	18	—	—	1	2	3	5	27	—	—	—	4	4	5	17
19 0 —20	1	1	—	1	6	19	31	—	1	4	4	3	8	24	2	1	—	2	1	4	21
20 —40	—	2	2	3	3	6	47	—	—	—	1	3	9	32	—	1	3	5	4	9	24
40 — 0	2	2	2	1	15	10	44	—	—	1	2	6	11	50	—	1	2	—	9	5	16
20 0 —20	—	—	—	3	4	12	30	—	1	—	—	3	5	29	—	1	—	—	3	4	18
20 —40	2	2	—	2	7	2	17	3	—	1	3	6	8	22	1	—	—	2	2	11	27
40 — 0	—	—	1	3	2	10	24	—	—	1	5	5	7	22	—	—	—	3	2	9	20
21 0 —20	1	2	—	2	3	8	22	2	1	3	4	4	10	19	1	2	—	3	2	12	28
20 —40	—	1	2	2	5	4	38	—	—	—	8	8	8	33	—	1	1	1	5	9	23
40 — 0	4	—	3	5	4	6	26	4	1	2	5	3	10	32	2	2	1	3	1	11	35
22 0 —20	—	—	4	1	10	10	34	—	—	1	1	—	12	34	—	1	3	4	3	7	26
20 —40	1	2	3	1	—	5	31	3	2	—	1	3	4	37	4	1	—	—	5	2	26
40 — 0	—	—	1	2	4	5	29	—	—	2	6	3	13	25	—	2	2	3	6	8	35
23 0 —20	1	3	1	1	5	11	42	4	—	3	2	6	12	33	4	2	1	1	8	1	44
20 —40	—	—	—	1	7	9	60	—	—	—	5	8	15	45	—	1	2	5	1	8	50
40 — 0	3	3	1	—	3	10	32	3	1	3	1	4	13	48	1	1	1	1	4	8	59
Summa	48	54	62	112	219	449	1722	44	38	62	125	184	474	1668	45	38	65	104	194	388	1535

Rectascens.	Declination + 63°							Declination + 64°							Declination + 65°						
Grösse:	1.0-6.5	6.6-7.0	7.1-7.5	7.6-8.0	8.1-8.5	8.6-9.0	9.1-9.5	1.0-6.5	6.6-7.0	7.1-7.5	7.6-8.0	8.1-8.5	8.6-9.0	9.1-9.5	1.0-6.5	6.6-7.0	7.1-7.5	7.6-8.0	8.1-8.5	8.6-9.0	9.1-9.5
0h 0m—20m	—	—	—	2	4	8	36	—	2	2	1	2	3	36	—	1	1	4	10	13	29
20 —40	—	1	1	2	2	7	31	—	1	—	—	4	6	24	3	1	—	1	—	9	24
40 — 0	—	1	—	1	11	5	31	—	—	—	2	2	3	35	—	2	—	2	4	9	17
1 0 —20	2	1	—	3	1	9	30	2	—	1	2	—	6	34	1	—	1	1	4	5	29
20 —40	—	—	—	4	13	10	30	—	1	—	1	5	14	52	—	1	1	1	1	7	24
40 — 0	3	—	—	2	2	5	42	2	1	1	1	3	8	44	1	—	—	—	1	5	20
2 0 —20	—	3	—	3	2	5	22	—	3	3	—	3	2	17	—	1	—	—	4	6	21
20 —40	—	—	1	—	3	4	17	—	—	1	1	4	2	15	2	1	—	—	2	3	26
40 — 0	—	3	—	1	6	5	21	—	1	2	3	2	3	12	—	2	—	1	2	6	16
3 0 —20	3	—	—	—	1	6	15	1	—	—	—	5	6	8	2	2	—	1	1	2	13
20 —40	—	1	2	1	3	6	23	—	—	—	—	1	7	7	—	1	1	2	2	4	16
40 — 0	—	1	—	1	4	10	14	—	—	—	1	3	1	13	1	1	—	1	2	4	13
4 0 —20	—	1	—	1	3	5	14	—	—	—	2	2	4	19	—	—	—	—	3	2	15
20 —40	2	1	—	—	—	2	28	1	—	1	3	2	2	18	—	—	1	—	1	4	14
40 — 0	—	1	—	1	3	6	16	—	1	—	1	3	2	15	—	—	2	1	2	5	20
5 0 —20	—	1	—	1	3	2	11	—	—	1	—	1	3	22	—	—	—	—	—	4	9
20 —40	—	1	2	1	1	6	12	—	1	1	1	—	7	9	—	1	—	2	—	6	13
40 — 0	1	—	—	2	1	7	16	—	—	—	1	3	2	12	2	1	2	—	1	1	10
6 0 —20	—	—	—	—	2	3	5	—	—	1	—	1	6	13	—	—	1	1	5	4	5
20 —40	1	—	1	1	—	4	7	—	—	—	3	2	4	5	—	—	—	1	1	3	9
40 — 0	—	—	2	—	4	3	21	—	—	—	—	3	4	11	—	—	1	—	1	—	10
7 0 —20	—	—	—	1	2	5	17	—	—	1	2	—	4	9	—	1	—	1	—	2	12
20 —40	—	1	—	3	2	4	13	—	—	1	3	1	1	11	—	1	2	1	4	2	12
40 — 0	1	—	—	—	3	3	11	—	—	—	—	—	4	12	1	1	1	—	—	3	12
8 0 —20	—	—	—	2	—	6	17	—	—	—	—	5	2	10	—	—	1	2	5	3	9
20 —40	—	—	—	3	2	3	13	1	1	—	—	2	1	17	2	—	—	1	3	5	18
40 — 0	—	—	2	3	1	5	11	—	—	1	1	1	2	7	—	—	—	—	1	8	22
9 0 —20	—	—	—	3	1	4	10	2	—	—	1	1	3	10	1	—	1	1	—	2	19
20 —40	—	1	2	2	1	3	8	—	1	—	—	—	2	14	—	—	1	—	3	4	9
40 — 0	2	1	—	—	2	3	17	—	1	2	1	—	2	10	1	—	2	—	—	3	11
10 0 —20	—	—	1	—	—	3	12	—	—	—	1	2	4	8	—	—	—	3	2	6	16
20 —40	—	—	—	—	2	3	17	1	1	1	—	3	3	14	2	—	—	1	4	4	11
40 — 0	—	—	—	—	1	6	12	—	1	—	—	1	4	17	—	—	2	—	1	4	8
11 0 —20	—	—	1	4	2	2	10	—	—	1	—	3	2	8	1	1	—	1	—	2	9
20 —40	—	2	—	—	—	5	9	—	—	1	1	2	7	9	—	1	1	1	—	5	12
40 — 0	1	—	—	4	1	3	12	—	—	—	—	—	4	8	—	1	—	1	—	—	11
12 0 —20	—	1	1	—	—	2	12	—	1	—	—	4	4	8	—	—	1	—	1	6	9
20 —40	1	—	—	—	—	1	13	1	—	1	1	1	4	11	—	—	—	—	2	4	10
40 — 0	—	—	1	—	2	3	13	—	—	—	—	2	3	7	—	1	—	1	1	5	8
13 0 —20	2	—	2	1	4	2	13	1	—	1	1	3	3	12	—	—	—	1	2	4	9
20 —40	—	—	1	1	—	3	10	—	1	—	—	2	1	11	—	2	—	2	1	8	12
40 — 0	—	1	1	4	—	4	14	1	—	1	—	2	5	12	2	—	1	2	—	3	12
14 0 —20	—	—	1	2	3	4	7	—	—	1	—	2	2	8	—	—	1	1	1	2	11
20 —40	1	—	2	1	2	2	9	—	1	2	—	3	4	16	1	—	1	—	1	4	8
40 — 0	—	1	1	1	1	5	10	—	—	—	1	2	3	12	—	—	2	3	2	7	11
15 0 —20	—	2	—	—	5	1	18	—	—	2	2	2	1	16	—	1	1	1	—	4	11
20 —40	—	1	—	—	1	4	22	—	—	—	1	1	8	9	—	1	1	—	2	4	13
40 — 0	2	—	—	1	1	4	18	1	—	—	—	4	5	13	2	1	—	1	1	4	16
16 0 —20	—	—	—	—	2	6	12	—	—	—	—	1	2	16	—	1	—	1	4	5	9
20 —40	2	1	1	2	2	3	17	1	—	—	2	1	3	13	-	—	1	—	1	9	11
40 — 0	—	1	—	4	3	1	17	—	—	—	2	—	3	15	—	1	—	2	—	1	19
17 0 —20	1	—	3	1	3	3	14	1	—	1	—	2	6	22	2	—	—	—	1	3	8
20 —40	—	1	2	1	3	3	17	—	—	—	2	3	3	9	—	—	1	1	2	4	22
40 — 0	—	1	2	1	5	2	17	—	2	—	1	—	5	15	—	—	—	1	2	3	20
18 0 —20	—	—	1	—	—	10	10	—	3	—	1	3	2	16	—	2	2	2	1	9	15
20 —40	—	—	1	2	3	6	16	1	—	1	1	1	6	11	2	1	—	—	3	3	14
40 — 0	—	—	1	2	1	11	16	—	—	—	2	3	10	14	—	—	—	—	3	4	19
19 0 —20	—	—	1	1	1	14	21	1	—	1	2	6	7	16	2	1	1	3	2	10	15
20 —40	—	—	2	3	6	11	16	—	—	—	—	3	9	17	—	—	2	2	5	8	27
40 — 0	2	1	2	1	5	9	15	2	—	—	1	1	7	20	—	—	1	—	4	6	22
20 0 —20	—	—	1	3	4	7	14	—	1	3	1	6	7	13	—	1	—	2	2	3	22
20 —40	2	—	—	3	3	5	19	1	1	—	1	3	6	12	1	—	—	—	3	7	31
40 — 0	—	—	—	3	4	4	27	—	—	—	—	2	9	18	—	1	1	1	3	3	30
21 0 —20	2	—	1	6	5	4	18	1	—	3	1	3	8	29	—	3	—	3	1	7	33
20 —40	—	3	2	4	8	9	19	—	1	4	4	9	11	20	—	—	1	6	10	12	29
40 — 0	1	—	—	2	1	4	26	2	2	1	2	5	9	15	1	3	2	—	5	10	55
22 0 —20	—	—	1	2	7	7	24	—	—	—	3	4	3	29	—	1	—	3	2	6	38
20 —40	1	1	1	3	3	5	27	2	1	3	1	3	8	32	1	1	2	1	4	6	24
40 — 0	—	1	1	—	1	13	27	—	1	1	—	1	9	32	—	1	1	2	3	10	26
23 0 —20	1	6	1	4	6	7	39	1	4	2	2	4	8	34	1	—	—	2	5	6	30
20 —40	—	3	1	5	5	11	37	—	1	1	1	8	8	28	—	—	—	2	5	7	38
40 — 0	2	1	1	4	1	10	38	3	1	3	3	1	6	29	3	2	2	6	4	6	36
Summa	36	47	51	120	190	376	1293	30	37	54	72	173	338	1195	38	46	47	84	159	358	1267

Rectascens.	Declination + 66°							Declination + 67°							Declination + 68°						
Grösse:	1.0-6.5	6.6-7.0	7.1-7.5	7.6-8.0	8.1-8.5	8.6-9.0	9.1-9.5	1.0-6.5	6.6-7.0	7.1-7.5	7.6-8.0	8.1-8.5	8.6-9.0	9.1-9.5	1.0-6.5	6.6-7.0	7.1-7.5	7.6-8.0	8.1-8.5	8.6-9.0	9.1-9.5
0^h 0^m — 20^m	—	1	1	—	4	5	20	—	—	—	2	5	6	25	—	—	1	—	—	4	19
20 — 40	—	1	2	2	2	3	19	1	1	—	2	4	3	21	1	—	1	1	4	4	20
40 — 0	—	—	—	—	2	9	25	—	1	—	2	—	3	21	—	1	1	1	4	8	5
1 0 — 20	—	—	—	2	4	4	15	1	2	—	1	1	6	21	1	—	—	—	3	6	23
20 — 40	—	1	2	2	3	3	30	—	—	1	—	4	6	21	—	1	1	1	1	3	16
40 — 0	—	—	1	1	1	5	18	2	—	1	1	3	3	15	—	—	—	2	1	3	13
2 0 — 20	—	—	1	1	2	7	17	—	—	—	2	—	9	12	—	—	1	1	1	5	13
20 — 40	1	1	—	—	3	1	12	—	1	1	4	1	4	12	1	—	1	1	4	6	16
40 — 0	—	—	—	3	1	2	7	—	—	—	1	—	9	7	—	—	—	2	2	5	17
3 0 — 20	—	—	2	2	1	7	12	—	—	3	1	1	4	18	—	1	1	2	1	4	22
20 — 40	—	—	—	1	2	4	13	—	—	—	3	—	3	14	—	—	1	1	2	1	26
40 — 0	1	—	—	—	1	2	15	—	—	2	—	2	2	11	3	—	—	—	1	4	14
4 0 — 20	—	—	1	—	1	7	13	—	—	1	2	4	5	10	—	—	—	—	2	4	18
20 — 40	1	—	—	5	1	6	14	—	2	2	2	1	4	9	—	—	1	—	4	1	10
40 — 0	—	1	—	—	2	2	15	—	3	2	—	3	2	10	—	1	—	1	2	5	12
5 0 — 20	—	1	—	3	1	5	11	—	1	1	2	4	1	7	1	—	—	—	2	6	11
20 — 40	—	1	—	1	—	3	5	—	—	—	—	2	1	9	—	—	—	—	5	1	13
40 — 0	—	2	—	1	2	2	16	—	—	—	—	4	2	9	1	—	1	2	2	5	10
6 0 — 20	—	—	—	1	3	1	12	—	—	—	—	1	5	10	—	—	1	—	1	1	7
20 — 40	—	1	1	1	2	3	13	1	—	—	2	2	3	18	—	—	—	1	2	2	9
40 — 0	—	—	—	2	2	5	8	—	1	—	1	1	2	14	—	—	—	1	3	3	4
7 0 — 20	1	1	3	—	1	1	15	—	—	—	4	4	3	4	1	—	1	1	2	4	11
20 — 40	—	—	1	1	3	7	4	—	—	—	2	1	4	10	—	—	—	—	—	4	17
40 — 0	1	1	—	1	3	2	4	—	—	—	—	1	3	12	1	—	1	2	—	2	12
8 0 — 20	—	—	1	—	4	3	9	—	2	1	1	3	3	11	—	—	—	1	3	3	2
20 — 40	1	—	—	2	3	4	18	2	—	—	—	1	2	10	—	—	—	—	—	3	9
40 — 0	—	1	1	—	1	—	11	—	—	—	—	—	4	9	—	—	—	1	1	1	9
9 0 — 20	—	—	—	2	4	4	12	2	—	1	1	2	5	7	1	1	—	—	—	2	11
20 — 40	—	1	2	1	—	4	11	—	—	1	2	4	4	13	—	—	—	—	—	1	6
40 — 0	—	—	1	—	4	2	6	1	1	—	3	4	1	8	—	—	—	—	3	3	6
10 0 — 20	—	1	—	1	—	—	17	—	—	1	—	2	5	12	—	—	1	—	1	—	14
20 — 40	2	—	—	2	2	3	5	—	—	1	—	—	1	11	1	—	—	1	—	5	4
40 — 0	—	1	—	3	3	1	10	—	1	—	1	1	5	6	—	—	—	—	1	2	9
11 0 — 20	—	—	—	1	1	8	8	1	1	1	2	1	3	7	2	—	—	—	2	1	7
20 — 40	—	—	1	1	1	1	8	—	—	1	2	5	5	7	—	—	1	1	1	8	6
40 — 0	1	1	—	—	1	1	9	1	—	1	1	1	3	7	—	3	—	—	1	—	9
12 0 — 20	—	1	—	1	3	—	7	—	1	—	—	3	1	6	—	—	—	—	1	2	8
20 — 40	1	—	2	—	—	6	4	1	—	—	—	—	2	16	—	—	—	1	3	2	6
40 — 0	—	—	1	—	—	4	12	—	—	—	—	1	1	6	—	—	—	1	—	5	8
13 0 — 20	1	—	1	3	2	1	11	2	—	—	1	—	—	10	1	3	—	—	1	3	5
20 — 40	—	—	1	—	—	3	6	—	1	—	—	—	4	8	—	—	—	—	4	3	9
40 — 0	—	—	2	1	1	4	3	1	—	—	3	2	5	13	—	—	—	1	2	5	8
14 0 — 20	—	1	—	1	—	4	9	—	—	1	2	2	1	9	—	1	1	2	—	2	20
20 — 40	—	3	2	2	—	1	16	—	—	1	—	2	4	5	—	—	1	—	1	—	13
40 — 0	—	—	2	1	3	3	8	—	—	1	1	1	1	11	—	—	—	1	—	4	15
15 0 — 20	3	1	2	1	2	8	8	1	—	—	1	2	6	12	1	—	—	1	1	3	6
20 — 40	—	1	—	—	—	3	5	—	—	—	1	1	10	15	—	1	—	—	1	2	15
40 — 0	—	—	—	3	1	2	6	—	—	—	—	2	3	4	—	—	—	2	1	3	5
16 0 — 20	—	—	—	2	1	4	11	—	—	—	—	—	5	11	—	—	—	—	1	2	5
20 — 40	—	—	—	—	—	8	16	1	1	1	1	4	4	12	2	—	1	—	4	3	4
40 — 0	—	—	—	1	—	2	12	—	1	—	3	2	5	10	—	—	2	3	4	3	16
17 0 — 20	—	—	—	—	7	2	17	1	—	1	1	3	3	14	—	—	—	1	—	4	15
20 — 40	—	1	—	—	3	2	21	—	—	—	4	2	5	11	—	—	1	3	4	7	6
40 — 0	—	—	1	—	2	6	19	1	1	—	1	1	7	6	2	—	1	1	2	1	13
18 0 — 20	—	—	1	1	1	6	22	—	1	2	1	2	4	12	—	1	—	1	2	3	14
20 — 40	1	—	2	—	—	5	12	1	—	1	1	—	4	15	1	—	1	—	4	3	16
40 — 0	—	—	1	—	1	9	19	—	1	—	—	—	4	13	—	1	—	1	2	4	15
19 0 — 20	—	—	1	3	4	4	32	1	—	—	—	—	11	25	—	1	—	1	2	1	14
20 — 40	—	—	—	1	3	3	27	—	—	1	2	1	4	27	—	—	2	—	1	2	15
40 — 0	—	2	—	2	3	7	23	—	—	2	3	3	5	28	2	—	2	—	2	2	12
20 0 — 20	—	—	—	1	1	6	14	—	2	—	1	2	3	12	—	—	1	—	1	2	20
20 — 40	1	—	2	—	2	3	19	1	—	—	—	2	6	14	1	1	1	—	2	3	12
40 — 0	—	—	—	3	1	9	23	—	1	1	—	—	3	15	—	—	—	—	6	2	26
21 0 — 20	1	1	—	4	3	7	29	1	1	1	2	—	6	16	1	—	—	1	2	8	24
20 — 40	—	2	—	2	1	9	21	—	1	1	—	5	8	27	—	1	—	—	—	9	22
40 — 0	3	—	1	1	2	11	24	—	3	1	1	7	5	21	—	—	—	1	3	4	16
22 0 — 20	—	—	1	—	6	3	25	—	—	2	2	1	6	35	—	—	1	2	2	8	20
20 — 40	—	—	1	—	4	9	21	—	—	1	1	2	7	16	—	—	2	2	—	5	18
40 — 0	—	—	—	2	4	7	26	—	—	3	4	4	5	19	—	—	—	—	2	7	16
23 0 — 20	1	1	1	1	5	3	15	2	—	—	2	2	3	18	—	—	1	2	3	3	15
20 — 40	—	1	—	4	3	3	22	—	—	1	5	3	6	22	—	1	—	1	1	3	12
40 — 0	1	1	1	3	4	7	26	1	—	—	5	4	8	22	—	1	1	3	3	5	22
Summa	22	33	47	87	144	301	1048	27	32	44	96	139	299	964	25	20	34	56	130	248	916

Rectascens.	Declination + 69°							Declination + 70°							Declination + 71°						
Grösse:	1.0-6.5	6.6-7.0	7.1-7.5	7.6-8.0	8.1-8.5	8.6-9.0	9.1-9.5	1.0-6.5	6.6-7.0	7.1-7.5	7.6-8.0	8.1-8.5	8.6-9.0	9.1-9.5	1.0-6.5	6.6-7.0	7.1-7.5	7.6-8.0	8.1-8.5	8.6-9.0	9.1-9.5
$0^h\ 0^m - 20^m$	—	—	—	—	3	5	11	—	—	1	1	1	1	15	—	1	—	—	1	1	15
20 — 40	—	1	—	1	—	4	18	1	1	—	1	1	5	21	1	—	—	—	2	4	13
40 — 0	—	2	2	2	3	1	20	—	1	2	—	1	7	20	—	—	—	—	—	2	14
1 0 — 20	—	—	—	1	1	6	18	3	—	—	2	4	1	17	—	1	—	—	1	3	22
20 — 40	—	1	—	—	4	1	12	—	—	—	1	3	3	21	—	—	—	2	2	7	15
40 — 0	2	—	—	2	1	9	7	1	—	4	—	—	8	17	1	—	1	1	1	2	7
2 0 — 20	—	—	—	2	2	4	11	—	—	—	—	3	2	11	—	—	—	1	3	3	20
20 — 40	1	—	—	3	1	6	16	1	1	—	4	3	10	11	—	—	1	2	3	2	17
40 — 0	—	—	—	2	1	—	13	—	—	1	1	5	4	10	—	—	—	2	1	1	11
3 0 — 20	1	—	—	1	—	4	10	—	—	1	2	1	3	7	1	—	1	1	2	4	11
20 — 40	—	—	1	1	1	3	7	—	—	1	—	2	3	12	—	1	—	—	1	3	8
40 — 0	—	—	1	1	3	4	5	2	1	1	—	2	6	5	2	—	—	—	—	4	13
4 0 — 20	—	1	—	—	1	5	11	—	—	1	4	4	7	9	—	—	1	1	—	6	14
20 — 40	—	—	—	2	4	2	13	1	—	—	—	3	5	12		—	—	1	1	6	8
40 — 0	—	1	—	1	5	9	9	—	—	—	—	3	3	8	—	—	—	2	5	4	8
5 0 — 20	1	—	1	5	1	1	13	—	1	—	1	—	5	11	—	1	1	1	1	2	9
20 — 40	—	—	1	—	—	3	14	—	1	—	1	1	3	14	—	2	—	2	—	2	8
40 — 0	—	—	1	—	3	1	15	—	1	—	2	1	1	12	—	1	—	—	—	3	16
6 0 — 20	—	2	—	—	—	1	13	—	—	—	—	—	1	7	—	—	—	—	2	3	5
20 — 40	2	—	—	2	—	2	7	1	—	1	1	2	3	12	1	—	—	1	1	4	6
40 — 0	—	1	1	2	3	1	9	—	—	—	2	—	4	9	—	—	—	1	—	5	12
7 0 — 20	—	—	1	—	2	2	11	2	—	1	—	2	4	15	—	—	2	—	2	2	14
20 — 40	—	1	1	1	1	5	6	—	1	—	1	—	4	14	—	1	—	1	1	3	16
40 — 0	—	—	—	1	1	4	8	1	—	—	1	1	4	11	—	—	—	1	—	4	11
8 0 — 20	—	1	1	1	2	2	8	—	1	1	—	—	4	9	—	—	—	1	—	6	8
20 — 40	1	—	—	1	1	—	11	—	3	—	—	2	1	15	—	—	—	1	1	3	16
40 — 0	—	—	1	1	4	4	15	—	—	—	—	2	3	11	—	2	—	—	2	3	3
9 0 — 20	—	—	1	1	—	4	3	—	1	2	—	1	2	5	1	—	—	—	1	3	7
20 — 40	—	—	—	1	1	2	12	—	1	1	2	—	3	10	—	—	1	1	—	1	9
40 — 0	1	1	—	4	1	3	14	1	—	1	1	3	—	13	—	—	1	2	1	3	9
10 0 — 20	—	—	1	1	—	3	5	—	—	—	—	4	1	10	—	—	—	—	—	1	8
20 — 40	3	—	—	3	2	—	9	—	—	—	1	3	2	8	1	—	—	—	—	2	7
40 — 0	—	—	—	—	2	1	7	—	—	1	3	2	6	5	—	—	—	1	—	2	7
11 0 — 20	1	—	—	—	3	—	4	2	—	—	—	4	—	9	—		1	—	—	1	11
20 — 40	—	—	—	1	3	6	8	—	—	2	—	—	—	9	—	—	—	—	1	2	10
40 — 0	—	4	1	2	1	4	7	2	—	—	—	—	4	6	1	—	1	3	1	2	10
12 0 — 20	—	—	—	2	3	1	12	—	—	—	2	1	4	6	—	—	—	—	2	—	9
20 — 40	—	1	1	2	—	2	6	3	1	—	—	2	2	6	1	—	—	—	—	—	11
40 — 0	—	—	2	1	—	2	6	—	—	—	1	2	6	6	—	1	1	1	—	2	10
13 0 — 20	1	—	1	—	2	2	6	—	—	—	1	2	2	8	—	—	—	—	—	—	7
20 — 40	—	—	—	1	—	5	10	—	1	1	1	1	4	10	—	—	2	—	—	1	10
40 — 0	2	—	2	2	1	4	8	—	1	—	2	—	—	8	1	—	—	2	—	3	6
14 0 — 20	—	—	1	1	—	2	8	—	—	2	4	—	—	7	—	—	—	—	1	1	8
20 — 40	1	—	1	—	3	4	10	1	—	—	1	1	2	15	—	—	—	—	1	3	5
40 — 0	—	—	—	1	2	4	8	—	—	—	1	1	6	10	—	1	—	1	1	1	9
15 0 — 20	1	1	—	—	2	3	8	—	—	1	—	2	2	8	—	—	1	2	1	3	10
20 — 40	—	—	—	2	1	3	8	—	—	—	—	—	5	4	—	—	1	1	2	6	9
40 — 0	1	2	1	—	2	8	10	—	—	1	—	1	4	10	—	1	—	1	1	2	15
16 0 — 20	—	—	—	—	—	2	8	—	—	—	1	2	2	10	—	—	2	1	1	3	9
20 — 40	2	—	—	1	1	5	12	1	—	2	2	3	2	11	—	—	2	1	—	4	19
40 — 0	—	—	1	—	4	5	10	—	1	—	2	2	2	6	—	—	—	2	1	1	9
17 0 — 20	1	—	—	3	1	7	12	—	—	—	1	—	4	12	—	1	1	—	4	4	10
20 — 40	—	1	1	1	1	5	19	—	1	—	—	—	4	18	—	1	1	—	3	1	7
40 — 0	2	2	—	1	3	4	14	—	—	—	1	4	4	12	—	—	—	—	—	3	8
18 0 — 20	—	—	—	1	2	5	5	—	—	1	—	—	4	16	—	—	—	2	—	5	15
20 — 40	—	—	—	1	3	3	14	—	—	1	—	1	3	20	1	—	1	1	1	2	12
40 — 0	—	—	1	—	1	4	16	—	—	—	3	4	5	11	—	—	1	—	1	5	10
19 0 — 20	1	—	—	1	3	4	15	1	—	—	1	1	2	13	1	1	2	—	4	6	14
20 — 40	—	—	—	1	3	7	8	—	—	1	1	—	6	17	—	1	2	—	5	2	12
40 — 0	3	—	—	3	2	2	16	1	—	—	—	—	4	15	—	—	—	2	—	7	12
20 0 — 20	—	—	—	—	2	1	7	—	—	1	3	4	—	8	—	—	1	—	4	4	16
20 — 40	—	1	—	2	1	4	14	—	1	—	2	1	6	11	—	—	—	—	3	2	6
40 — 0	—	2	2	—	1	4	13	—	—	—	1	—	3	16	—	—	1	—	2	1	10
21 0 — 20	1	1	—	1	2	1	16	1	—	1	3	3	2	12	—	—	—	2	1	3	16
20 — 40	—	—	2	3	1	3	19	—	1	2	2	—	—	8	—	1	—	1	3	2	13
40 — 0	1	1	2	—	2	6	12	1	—	1	—	—	3	13	1	2	1	—	3	2	14
22 0 — 20	—	1	1	7	5	4	15	—	—	—	3	1	7	12	—	1	2	1	2	6	11
20 — 40	3	1	2	1	2	1	20	1	1	—	2	1	7	21	1	—	—	1	2	3	28
40 — 0	—	1	—	1	2	5	18	—	—	—	2	2	5	24	—	—	—	4	2	2	12
23 0 — 20	—	—	—	1	3	5	17	1	—	—	1	2	2	13	—	—	—	—	—	1	17
20 — 40	—	1	—	1	2	4	22	—	—	—	—	2	3	9	—	1	—	2	2	4	17
40 — 0	1	—	—	3	3	6	10	1	—	1	2	—	2	7	—	1	—	3	1	6	14
Summa	34	32	36	91	127	249	812	30	22	38	78	110	242	824	15	23	33	60	91	210	818

Rectascens.	Declination + 72°							Declination + 73°							Declination + 74°						
Grösse:	1.0-6.5	6.6-7.0	7.1-7.5	7.6-8.0	8.1-8.5	8.6-9.0	9.1-9.5	1.0-6.5	6.6-7.0	7.1-7.5	7.6-8.0	8.1-8.5	8.6-9.0	9.1-9.5	1.0-6.5	6.6-7.0	7.1-7.5	7.6-8.0	8.1-8.5	8.6-9.0	9.1-9.5
0^h 0^m —20^m	—	1	1	—	2	5	17	—	2	—	—	—	1	16	—	—	—	—	1	2	9
20 —40	—	1	—	1	—	2	11	—	—	—	1	1	3	13	2	—	—	—	3	1	13
40 — 0	—	—	1	—	2	4	13	—	1	1	1	2	3	11	—	—	—	1	—	3	17
1 0 —20	—	2	—	1	1	1	9	—	2	2	1	2	2	12	—	—	—	—	—	3	9
20 —40	—	—	—	1	2	4	18	—	1	—	—	2	3	14	—	1	—	1	3	1	15
40 — 0	1	—	1	—	1	4	10	2	—	1	—	1	3	16	2	—	1	—	—	3	10
2 0 —20	—	—	1	1	4	3	11	—	1	—	2	2	4	14	—	—	—	—	—	1	7
20 —40	1	—	2	—	1	2	4	1	—	—	—	1	1	12	—	—	4	—	2	1	5
40 — 0	—	1	—	2	2	2	5	—	2	2	—	3	—	6	—	—	1	2	5	2	12
3 0 —20	1	1	1	2	—	1	13	1	1	1	—	—	1	12	—	—	1	1	1	3	9
20 —40	—	—	—	3	1	4	11	—	—	—	—	1	3	12	—	1	2	1	1	4	9
40 — 0	—	1	—	1	2	2	8	3	—	—	—	1	2	7	1	—	—	1	1	1	14
4 0 —20	—	—	1	1	3	3	9	—	—	—	1	1	8	10	—	—	—	1	2	4	9
20 —40	1	—	—	3	2	3	8	—	—	—	—	2	1	19	—	—	—	1	1	2	12
40 — 0	—	—	—	1	4	4	9	—	—	—	1	1	1	13	—	—	1	—	—	1	10
5 0 —20	—	—	—	—	1	1	14	5	—	—	1	1	2	10	1	1	3	—	—	2	7
20 —40	—	—	—	1	2	1	10	—	1	—	—	1	1	6	—	—	1	—	—	4	8
40 0	—	—	—	1	3	2	8	—	—	1	—	1	5	12	1	—	—	—	2	3	9
6 0 —20	—	—	1	—	1	3	10	—	—	1	1	3	3	10	—	—	—	1	—	3	8
20 —40	1	—	—	1	1	1	12	1	—	—	—	2	—	14	—	—	—	2	—	1	10
40 — 0	—	1	1	1	—	3	9	—	—	2	—	1	2	5	—	—	—	—	2	2	10
7 0 —20	1	—	—	1	—	5	9	—	—	1	1	1	4	7	—	—	1	2	—	5	3
20 40	—	—	1	—	—	2	12	—	—	1	—	1	2	6	—	—	1	1	—	2	4
40 — 0	—	1	2	1	1	2	13	—	—	—	—	1	5	6	1	—	—	—	3	4	6
8 0 —20	—	—	1	1	1	4	11	—	—	2	—	3	—	13	—	—	—	—	3	1	12
20 —40	1	1	—	1	1	2	4	1	1	—	—	2	—	12	1	—	1	—	2	2	8
40 — 0	—	—	—	2	1	—	8	—	—	—	1	1	1	10	—	—	—	—	2	1	7
9 0 —20	1	—	1	1	3	1	10	1	—	—	—	1	3	13	1	—	—	1	—	—	7
20 —40	—	—	1	1	—	2	6	—	1	—	—	—	—	7	—	—	1	—	1	2	8
40 — 0	2	—	2	1	—	3	3	2	—	—	1	1	1	7	—	—	—	1	—	5	10
10 0 —20	—	—	—	—	2	3	5	—	—	—	1	—	2	5	—	1	—	1	1	1	5
20 —40	—	—	—	1	—	3	9	1	1	—	—	—	—	7	—	—	2	—	1	—	6
40 — 0	—	1	—	—	2	2	9	—	—	—	—	1	3	9	—	—	—	—	1	2	5
11 0 —20	—	1	—	1	1	4	9	—	—	—	1	1	2	4	1	—	—	—	—	2	5
20 —40	—	—	—	—	—	3	8	—	1	—	—	1	3	5	—	—	—	2	—	2	6
40 — 0	—	—	1	2	—	3	6	—	—	—	1	1	—	7	—	1	2	—	—	5	5
12 0 —20	—	—	—	—	1	1	5	—	—	—	—	—	3	5	—	—	—	1	1	—	8
20 —40	1	1	—	2	2	1	10	1	1	1	—	1	1	11	—	—	—	—	—	4	8
40 — 0	—	—	—	2	2	3	11	—	—	—	1	1	3	9	—	—	—	—	2	3	7
13 0 —20	—	1	1	1	1	2	10	1	1	—	—	—	1	4	—	—	—	1	2	1	15
20 —40	—	—	—	1	—	2	9	—	—	1	1	—	2	5	—	—	—	—	1	2	5
40 — 0	—	—	—	—	2	—	4	1	—	—	1	2	2	10	—	—	2	—	—	2	14
14 0 —20	—	—	—	—	—	1	4	—	—	—	1	1	2	7	—	—	—	—	—	2	13
20 —40	—	—	1	—	2	3	6	—	—	—	—	1	1	12	—	—	—	—	1	2	6
40 — 0	—	1	1	—	1	1	8	—	—	—	1	1	5	7	—	—	—	—	—	2	9
15 0 —20	2	1	—	3	1	4	5	—	—	—	2	2	5	8	1	1	1	—	—	—	8
20 —40	—	—	—	—	1	5	4	—	—	2	—	3	5	5	—	—	—	1	2	4	8
40 — 0	1	1	—	—	2	3	9	—	—	—	1	2	1	13	—	—	—	1	3	6	9
16 0 —20	—	1	—	2	—	3	11	—	1	—	—	—	1	10	—	—	1	1	1	5	8
20 —40	1	—	—	2	2	5	13	1	—	—	—	4	4	9	—	—	—	—	—	3	13
40 — 0	—	1	—	—	2	1	12	—	—	—	1	4	1	12	—	—	—	2	1	4	10
17 0 —20	—	—	1	—	1	4	13	1	1	1	1	—	1	10	1	—	1	1	1	1	9
20 —40	—	—	2	—	3	1	14	—	—	—	1	3	3	10	—	2	—	2	—	1	7
40 — 0	4	—	1	1	4	—	9	—	—	2	2	1	4	15	—	1	1	2	2	5	13
18 0 —20	—	—	—	1	—	4	12	—	—	—	—	1	2	8	—	—	1	—	2	3	13
20 —40	2	2	—	1	4	5	9	—	1	—	1	1	—	11	—	—	—	—	2	5	16
40 — 0	—	—	—	2	1	3	10	—	—	—	1	—	1	10	—	—	1	—	2	1	9
19 0 —20	—	—	—	1	—	2	9	2	1	—	2	1	4	6	—	—	—	1	—	2	12
20 —40	—	—	1	1	—	3	14	—	—	—	2	—	4	7	—	1	—	1	4	3	9
40 — 0	—	1	—	1	3	3	13	—	—	—	—	2	2	14	—	—	—	—	1	3	8
20 0 —20	—	2	1	2	1	1	14	—	1	—	1	5	1	5	—	—	—	2	1	—	8
20 —40	1	—	—	2	4	3	4	—	—	—	—	—	—	8	1	—	—	—	1	4	15
40 — 0	—	1	2	—	2	1	5	—	—	—	—	1	—	9	—	—	1	1	3	2	14
21 0 —20	—	—	1	—	3	3	5	—	—	1	—	—	2	5	—	1	—	1	2	—	13
20 —40	—	—	2	—	—	4	8	—	—	—	—	1	4	7	—	—	1	—	—	1	10
40 — 0	2	—	—	—	—	1	12	—	—	—	—	1	1	10	1	—	—	—	2	4	16
22 0 —20	—	—	1	—	3	3	11	—	—	—	1	2	2	18	—	—	—	2	1	3	5
20 —40	2	1	1	2	2	4	15	—	—	2	—	1	2	8	1	—	—	3	1	1	15
40 — 0	—	1	1	—	1	2	22	—	—	3	1	1	3	12	—	—	—	1	1	6	11
23 0 —20	—	1	—	—	—	2	13	1	—	—	3	1	6	14	1	1	1	1	—	3	11
20 —40	—	—	1	—	1	4	13	—	—	1	3	3	8	9	—	1	—	2	—	3	11
40 — 0	1	1	—	2	—	3	14	1	1	1	2	1	1	8	2	—	1	—	1	3	17
Summa	27	29	37	63	99	185	701	27	23	30	45	92	163	693	19	13	34	47	79	175	692

Rectascens.	Declination + 75°							Declination + 76°							Declination + 77°						
Grösse:	1.0-6.5	6.6-7.0	7.1-7.5	7.6-8.0	8.1-8.5	8.6-9.0	9.1-9.5	1.0-6.5	6.6-7.0	7.1-7.5	7.6-8.0	8.1-8.5	8.6-9.0	9.1-9.5	1.0-6.5	6.6-7.0	7.1-7.5	7.6-8.0	8.1-8.5	8.6-9.0	9.1-9.5
0^h 0^m — 20^m	—	—	2	2	1	4	8	—	—	—	—	—	1	7	—	—	—	—	2	1	9
20 — 40	—	—	—	2	—	2	21	2	1	—	1	1	3	9	—	1	—	—	—	1	12
40 — 0	—	—	—	—	—	1	8	—	—	—	1	2	3	4	—	1	—	—	5	1	6
1 0 — 20	1	—	1	—	—	1	9	1	1	—	1	—	1	8	1	—	—	—	3	2	9
20 — 40	—	1	—	—	1	—	10	—	—	—	1	2	2	7	—	—	—	—	1	2	5
40 — 0	1	1	1	2	—	2	5	1	—	—	—	—	3	10	3	—	—	—	1	3	7
2 0 — 20	—	—	1	—	1	6	6	—	1	—	—	—	2	6	—	—	1	2	—	1	7
20 — 40	—	—	1	1	1	1	5	—	—	—	—	—	1	13	—	—	—	—	4	1	7
40 — 0	—	—	1	—	2	4	12	—	1	—	—	—	5	14	—	1	1	1	2	1	8
3 0 — 20	—	—	—	—	2	6	4	—	—	—	1	3	4	3	1	—	2	—	1	2	9
20 — 40	—	—	—	—	2	3	5	—	—	1	—	2	4	9	—	—	1	1	1	2	3
40 — 0	1	—	1	1	3	4	10	—	—	—	—	—	5	8	—	2	—	—	1	2	9
4 0 — 20	—	1	—	1	1	—	11	—	—	—	1	—	4	7	—	—	—	1	—	2	11
20 — 40	1	1	—	—	—	1	8	1	—	—	1	—	2	12	—	—	1	1	1	2	9
40 — 0	—	—	1	2	4	3	11	—	1	—	1	2	2	3	—	—	—	—	2	—	8
5 0 — 20	—	—	1	—	—	6	4	—	—	—	1	2	—	8	—	1	—	1	2	1	8
20 — 40	—	—	1	1	1	1	8	—	—	—	—	3	1	9	—	—	—	—	2	7	10
40 — 0	1	—	—	—	—	1	8	—	—	2	—	3	2	10		—	1	—	1	2	8
6 0 — 20	—	—	—	2	1	1	5	—	—	1	1	1	2	8	—	—	1	1	4	3	11
20 — 40	—	—	1	1	1	3	8	—	—	1	—	—	1	4	1	—	—	1	1	2	10
40 — 0	—	2	—	—	3	5	11	—	—	—	1	—	—	15	—	—	—	—	1	7	6
7 0 — 20	—	1	—	3	—	—	12	—	—	1	—	—	2	12	—	—	1	1	1	2	6
20 — 40	—	—	—	1	—	2	5	—	—	—	1	1	4	9	—	1	—	1	1	3	5
40 — 0	—	—	—	—	2	3	8	—	—	1	1	2	3	3	—	—	—	1	—	5	13
8 0 — 20	—	—	—	—	1	1	7	—	—	—	—	2	2	12	—	1	1	1	—	1	13
20 — 40	2	—	—	—	1	3	6	1	—	—	—	—	—	5	—	—	—	—	—	—	7
40 — 0	—	1	—	—	1	4	8	—	—	1	—	1	1	8	—	1	—	—	—	3	9
9 0 — 20	1	—	1	—	1	1	9	—	—	—	—	1	2	11	—	—	—	—	2	3	10
20 — 40	—	2	—	—	1	5	9	—	—	1	1	2	3	4	—	—	—	1	1	1	9
40 — 0	—	—	1	—	1	3	4	—	—	—	1	1	2	5	—	—	1	—	1	3	5
10 0 — 20	—	—	—	—	2	—	6	—	—	—	2	2	4	8	—	—	—	—	—	3	3
20 — 40	—	—	—	—	1	3	8	1	1	—	—	—	—	8	—	—	—	2	2	—	4
40 — 0	—	—	—	2	1	1	6	—	—	1	1	—	8	4	—	1	—	—	2	—	11
11 0 — 20	—	—	1	1	—	1	4	—	—	—	1	1	—	7	—	—	—	—	2	3	6
20 — 40	—	—	—	2	—	3	12	—	—	—	—	—	—	8	—	—	—	—	1	1	4
40 — 0	—	—	—	—	—	2	7	—	—	1	1	—	2	4	1	—	1	—	—	3	15
12 0 — 20	—	1	—	—	—	—	2	—	—	—	—	1	2	4	—	—	—	1	—	2	9
20 — 40	1	1	—	—	1	5	6	—	1	1	—	4	1	10	—	—	1	—	2	—	9
40 — 0	—	—	—	—	1	1	7	—	1	—	—	1	2	5	—	—	—	1	1	2	11
13 0 — 20	—	—	—	2	1	2	8	1	—	—	—	—	4	5	—	—	—	1	2	1	4
20 — 40	—	—	1	2	2	—	6	—	2	—	2	1	1	6	—	—	1	—	1	1	6
40 — 0	—	—	—	—	—	1	7	—	1	1	—	1	1	6	2	—	1	—	—	1	4
14 0 — 20	—	1	1	—	2	1	2	—	—	—	1	—	1	14	—	—	—	1	—	2	11
20 — 40	—	—	1	2	—	—	7	1	—	—	—	1	1	8	—	—	—	—	2	4	4
40 — 0	—	1	1	—	—	—	6	—	—	1	—	—	4	6	—	—	—	—	—	1	14
15 0 — 20	—	—	—	—	1	4	6	—	—	—	3	—	2	10	—	—	—	2	2	2	11
20 — 40	—	—	—	—	1	2	9	—	—	1	—	1	—	5	—	—	—	3	1	1	10
40 — 0	1	—	—	1	1	3	—	—	—	—	—	3	3	7	1	—	—	2	3	—	11
16 0 — 20	—	1	—	—	1	4	4	—	—	1	—	3	3	7	—	—	—	—	—	1	5
20 — 40	—	—	—	—	1	4	5	2	—	2	1	3	2	11	2	—	1	1	—	1	4
40 — 0	—	2	—	—	1	2	5	—	—	—	—	2	1	9	—	—	1	1	2	2	5
17 0 — 20	2	1	1	—	2	2	2	—	—	—	1	1	1	9	2	—	—	1	2	2	7
20 — 40	—	—	—	—	3	3	12	—	2	—	1	2	2	8	—	—	1	1	1	—	10
40 — 0	—	2	1	—	—	1	6	1	—	1	—	1	4	12	—	—	1	—	—	1	6
18 0 — 20	—	—	—	—	—	4	11	—	—	1	—	—	2	7	—	—	1	—	3	4	6
20 — 40	1	—	—	1	1	2	6	—	—	—	1	—	4	8	1	—	—	2	2	1	6
40 — 0	—	—	1	—	1	1	7	—	—	—	—	1	1	15	—	1	—	—	—	—	10
19 0 — 20	2	—	—	1	—	—	6	2	—	—	1	1	2	8	—	—	1	—	1	—	8
20 — 40	—	—	—	—	1	1	10	—	—	1	2	—	3	15	—	1	—	2	2	—	10
40 — 0	—	—	—	—	4	—	9	1	—	—	—	2	4	11	—	—	—	—	1	2	13
20 0 — 20	—	—	1	1	—	3	9	—	—	—	—	2	5	18	—	—	—	2	1	—	12
20 — 40	—	—	1	—	3	2	14	1	—	—	—	1	5	11	1	—	—	1	1	3	14
40 — 0	—	1	1	1	1	3	6	—	—	1	—	—	—	13	—	—	—	2	—	1	6
21 0 — 20	1	1	—	1	2	3	11	1	—	—	—	1	4	8	1	1	—	—	—	—	14
20 — 40	—	2	1	1	—	—	8	—	—	—	—	—	1	7	—	—	1	—	—	—	13
40 — 0	—	—	1	—	1	2	11	1	—	—	—	1	—	3	—	1	1	—	1	3	8
22 0 — 20	—	2	1	2	—	3	7	—	—	—	1	1	1	6	—	—	—	—	—	—	17
20 — 40	1	—	—	1	—	4	18	—	—	2	—	1	3	8	—	1	—	1	2	2	6
40 — 0	—	—	1	2	1	4	12	—	—	1	1	4	6	12	—	—	2	1	—	1	10
23 0 — 20	—	—	—	—	1	1	7	—	—	—	3	2	4	12	—	—	1	—	4	1	12
20 — 40	—	—	—	—	2	3	10	—	—	—	—	2	4	7		2	—	—	—	2	16
40 — 0	—	—	—	1	3	4	6	1	1	—	—	1	5	12	—	—	—	1	—	1	13
Summa	17	26	29	43	75	162	556	19	14	25	38	79	170	605	17	17	26	43	85	121	627

Rectascens.	Declination + 78°							Declination + 79°							Declination + 80°						
Grösse:	1.0-6.5	6.6-7.0	7.1-7.5	7.6-8.0	8.1-8.5	8.6-9.0	9.1-9.5	1.0-6.5	6.6-7.0	7.1-7.5	7.6-8.0	8.1-8.5	8.6-9.0	9.1-9.5	1.0-6.5	6.6-7.0	7.1-7.5	7.6-8.0	8.1-8.5	8.6-9.0	9.1-9.5
$0^h\ 0^m—20^m$	—	—	—	—	—	1	11	—	1	—	—	—	3	7	—	—	—	—	—	3	6
20 —40	1	—	—	1	—	—	8	—	—	—	—	1	2	4	—	—	—	1	1	3	7
40 — 0	—	—	—	—	1	1	9	—	—	—	1	—	3	8	—	—	—	—	1	1	8
1 0 —20	1	—	1	—	3	1	6	3	—	—	1	—	1	10	—	1	1	1	1	1	11
20 —40	—	—	—	1	1	1	12	—	—	—	1	—	3	6	—	1	3	—	—	1	6
40 — 0	—	—	3	—	3	3	4	—	1	1	—	—	2	7	1	1	—	—	—	2	5
2 0 —20	—	—	—	2	1	3	13	—	—	1	1	1	—	6	—	—	—	1	1	1	11
20 —40	—	—	—	2	1	2	2	—	1	—	—	2	3	7	1	—	—	1	1	3	5
40 — 0	—	1	—	—	—	3	5	—	—	1	—	2	3	2	—	—	—	—	—	3	8
3 0 —20	1	—	—	—	—	2	12	—	—	—	—	1	2	7	1	—	—	—	—	2	6
20 —40	—	—	—	—	—	2	9	—	—	—	1	1	7	6	—	—	—	1	—	—	8
40 — 0	—	—	1	1	2	5	7	—	—	—	—	2	6	8	1	1	—	—	2	—	6
4 0 —20	—	—	1	—	1	—	7	—	—	—	1	1	2	7	—	—	2	1	—	3	8
20 —40	—	—	—	—	2	—	9	—	1	—	—	2	—	7	2	—	—	1	1	—	8
40 — 0	—	—	—	1	—	4	6	—	—	—	—	—	5	5	—	—	—	—	—	1	6
5 0 —20	—	2	—	2	—	3	8	1	—	—	1	1	3	8	—	—	—	—	2	2	9
20 —40	—	—	—	—	1	—	8	—	—	—	1	—	1	7	—	—	—	1	—	1	8
40 — 0	—	—	—	1	3	2	8	—	—	1	1	—	4	1	—	—	—	1	2	5	10
6 0 —20	—	—	2	1	1	1	4	—	1	1	1	1	1	7	—	—	1	—	2	1	7
20 —40	1	—	1	1	—	—	4	2	—	—	1	—	1	8	—	—	1	—	—	—	8
40 — 0	—	1	—	1	—	—	8	—	—	—	—	—	2	5	—	—	1	—	—	1	4
7 0 —20	1	3	—	—	—	1	7	—	—	—	—	3	3	11	—	—	—	1	—	—	1
20 —40	—	—	—	2	—	3	11	—	—	—	1	1	2	13	—	—	—	—	—	1	4
40 — 0	—	—	1	—	1	1	5	1	—	—	1	2	2	1	2	—	—	—	—	2	4
8 0 —20	—	1	1	—	—	1	6	—	—	—	—	1	2	5	—	—	—	—	—	1	15
20 —40	1	2	—	—	—	1	3	—	—	—	—	1	3	9	—	—	1	—	3	2	8
40 — 0	—	—	—	—	—	1	2	—	1	1	—	1	1	6	—	—	—	—	—	1	9
9 0 —20	—	—	—	1	1	3	6	—	—	1	—	—	1	7	—	—	—	1	1	1	1
20 —40	—	1	—	—	1	2	10	—	—	1	—	—	1	10	—	—	—	—	—	2	10
40 — 0	—	—	1	—	1	2	10	1	—	—	—	—	1	3	—	—	—	—	—	—	10
10 0 —20	—	—	1	—	—	1	9	—	1	1	1	—	1	4	—	—	—	—	—	2	11
20 —40	—	1	—	1	—	1	8	—	—	—	—	—	1	8	—	—	—	—	—	3	7
40 — 0	—	—	—	1	—	1	11	—	—	1	—	—	—	6	—	—	1	1	1	2	8
11 0 —20	2	1	—	1	2	—	6	—	—	1	1	—	1	10	—	—	—	1	1	—	6
20 —40	—	—	—	—	—	2	7	—	—	—	—	1	2	7	—	—	—	—	1	1	7
40 — 0	1	—	—	—	—	2	7	—	—	—	—	1	2	7	—	—	1	—	—	1	5
12 0 —20	—	1	1	—	—	3	7	—	—	—	—	—	1	6	—	—	—	—	3	—	10
20 —40	1	—	—	—	—	5	7	—	—	—	—	—	5	7	—	1	—	—	1	—	7
40 — 0	—	—	—	—	—	3	12	—	1	—	—	—	2	6	—	—	1	—	1	—	5
13 0 —20	—	—	—	1	1	5	7	—	—	1	—	1	1	4	—	—	1	—	—	2	5
20 —40	—	—	—	1	1	—	3	—	—	—	—	—	1	6	—	—	1	—	—	1	8
40 — 0	1	—	—	—	—	—	8	1	1	—	2	1	1	3	—	—	2	—	—	—	5
14 0 —20	—	—	—	—	—	1	6	—	—	—	1	—	—	7	—	—	—	—	1	—	8
20 —40	1	—	—	—	—	—	8	—	1	—	—	—	2	4	1	—	—	—	2	2	9
40 — 0	—	—	—	1	1	1	9	—	—	—	—	—	1	6	—	1	—	—	2	1	7
15 0 —20	1	—	—	—	2	—	4	—	—	—	—	—	2	4	—	—	—	1	1	—	5
20 —40	—	—	1	—	1	4	8	—	—	—	—	—	1	5	—	1	—	1	2	2	9
40 — 0	1	—	—	—	2	2	9	—	—	—	1	—	—	4	—	1	—	1	—	—	7
16 0 —20	—	—	—	—	—	2	13	—	—	—	—	—	4	10	—	—	—	—	—	1	10
20 —40	—	—	—	—	—	1	9	1	—	—	—	—	6	8	—	—	—	1	—	4	8
40 — 0	—	1	—	1	3	—	4	—	1	—	2	1	4	10	—	1	—	1	—	2	11
17 0 —20	—	2	—	—	1	3	14	1	—	—	—	—	2	11	—	—	—	—	—	1	11
20 —40	—	—	—	—	—	4	7	—	—	1	1	3	3	7	—	—	—	—	2	—	2
40 — 0	1	—	—	1	—	2	12	—	—	2	1	—	2	11	1	1	—	—	1	3	8
18 0 —20	—	—	1	—	—	3	8	—	—	—	—	4	3	3	—	—	—	—	—	3	8
20 —40	—	—	—	1	2	1	10	2	1	1	1	3	2	7	—	—	—	1	—	2	12
40 — 0	—	—	2	—	—	3	13	—	—	—	1	—	—	12	—	—	—	—	2	2	6
19 0 —20	—	—	—	—	—	2	11	1	—	1	—	—	3	11	—	1	2	1	1	2	6
20 —40	—	—	—	—	1	2	7	—	—	—	1	—	4	10	—	—	—	—	1	2	8
40 — 0	—	—	1	—	1	2	7	1	—	2	1	1	2	7	—	—	—	1	1	—	12
20 0 —20	—	—	—	—	—	3	11	—	1	—	1	2	1	12	—	—	—	—	1	1	11
20 —40	—	—	—	—	1	—	5	1	—	1	—	—	3	5	2	1	1	1	1	2	8
40 — 0	—	1	—	2	2	3	8	—	1	—	—	—	2	9	—	—	—	—	—	1	9
21 0 —20	—	1	1	—	2	2	10	—	—	—	—	2	2	7	3	2	—	—	1	2	10
20 —40	—	—	—	—	—	5	7	—	—	—	1	—	2	10	—	—	—	—	1	2	6
40 — 0	1	—	—	1	2	1	11	2	—	—	1	1	—	6	—	—	—	—	1	1	8
22 0 —20	—	—	—	1	1	2	7	—	—	—	—	3	1	9	—	—	—	—	—	—	11
20 —40	2	—	—	—	—	3	15	—	—	1	—	—	4	9	—	1	—	—	—	3	6
40 — 0	—	—	—	1	1	2	9	—	1	3	1	—	1	8	—	—	—	1	—	2	14
23 0 —20	—	—	1	1	1	2	8	—	—	1	2	1	3	9	—	—	—	—	1	3	11
20 —40	—	—	1	1	—	2	8	—	—	—	—	2	4	7	—	—	—	1	4	4	11
40 — 0	—	—	—	1	—	—	10	—	—	1	—	2	—	8	—	—	—	1	1	2	6
Summa	18	19	22	34	52	130	580	18	15	26	33	53	152	508	15	15	20	25	53	106	559

Rectascens.	Declination + 81°							Declination + 82°							Declination + 83°						
Grösse:	1.0-6.5	6.6-7.0	7.1-7.5	7.6-8.0	8.1-8.5	8.6-9.0	9.1-9.5	1.0-6.5	6.6-7.0	7.1-7.5	7.6-8.0	8.1-8.5	8.6-9.0	9.1-9.5	1.0-6.5	6.6-7.0	7.1-7.5	7.6-8.0	8.1-8.5	8.6-9.0	9.1-9.5
0^h 0^m—20^m	—	—	—	—	—	—	9	—	—	—	—	—	4	7	—	—	—	—	1	1	5
20 —40	1	—	—	1	—	—	8	—	—	—	—	1	—	6	—	—	—	1	—	2	7
40 — 0	—	—	1	—	1	6	7	—	—	—	—	1	1	10	—	1	—	—	—	1	4
1 0 —20	—	—	—	—	—	2	6	1	—	—	—	—	2	7	—	—	—	—	—	1	8
20 —40	—	1	—	—	—	4	15	—	—	—	—	—	1	3	—	—	—	—	—	4	7
40 — 0	—	—	—	—	1	2	9	—	1	—	—	—	—	6	—	—	—	—	—	—	9
2 0 —20	—	—	—	—	—	4	7	—	—	—	—	—	1	6	—	—	—	1	—	2	4
20 —40	—	—	—	—	2	1	9	—	—	—	—	—	1	12	—	—	1	—	—	1	5
40 — 0	—	—	1	—	—	—	9	—	—	1	1	—	2	7	—	—	—	—	—	1	12
3 0 —20	—	—	—	—	1	2	10	—	—	—	—	1	1	8	—	—	1	—	1	—	8
20 —40	—	—	—	3	—	2	11	—	—	—	—	1	1	11	—	—	—	—	—	2	6
40 — 0	—	—	1	1	1	—	11	1	—	—	—	—	1	7	1	—	—	—	—	2	11
4 0 —20	—	—	—	—	—	—	9	—	—	—	—	—	1	8	—	—	1	—	—	2	5
20 —40	—	—	—	—	2	1	10	—	—	—	—	1	1	7	—	—	—	—	2	4	7
40 — 0	—	—	—	—	—	1	6	—	—	—	—	—	1	8	—	—	—	—	—	3	6
5 0 —20	—	—	—	—	—	2	9	—	—	—	—	—	2	4	—	—	—	—	—	2	8
20 —40	—	—	—	1	1	—	8	—	—	—	1	—	1	6	—	—	—	—	—	—	4
40 — 0	—	—	—	—	—	4	11	—	—	—	—	—	—	10	—	—	—	—	—	1	8
6 0 —20	—	—	—	—	—	1	8	—	1	1	—	1	3	10	—	—	—	—	—	—	3
20 —40	—	—	—	—	1	2	3	—	—	—	—	—	3	8	—	—	—	—	1	3	7
40 — 0	—	—	—	1	—	2	9	—	—	—	1	—	1	7	—	—	—	—	1	1	5
7 0 —20	1	1	—	—	—	—	9	1	—	—	—	1	1	9	—	—	—	1	—	—	8
20 —40	—	—	1	—	—	—	5	—	—	—	—	—	—	9	—	—	—	—	—	1	10
40 — 0	—	—	—	—	1	—	5	1	—	—	—	1	2	12	—	—	—	—	1	—	8
8 0 —20	—	—	—	—	—	—	1	—	1	—	—	—	2	12	—	—	—	—	1	—	9
20 —40	—	—	—	—	2	2	4	—	—	—	—	—	—	7	—	2	—	—	—	—	9
40 — 0	—	1	—	1	1	2	10	—	—	—	—	—	1	4	—	—	—	—	2	4	4
9 0 —20	1	—	—	—	—	2	12	—	—	—	—	2	2	9	—	—	2	—	1	1	13
20 —40	—	—	—	—	—	2	12	—	—	—	—	1	2	7	—	—	—	1	1	3	5
40 — 0	—	—	1	—	1	—	10	—	—	—	—	—	—	7	—	—	1	—	1	1	8
10 0 —20	—	—	—	1	—	—	11	—	—	—	—	2	3	7	—	1	—	—	1	4	12
20 —40	2	—	—	—	1	1	7	—	—	—	1	—	2	7	1	—	—	—	—	2	7
40 — 0	—	—	—	—	2	2	5	—	1	—	—	1	2	4	—	—	—	—	2	2	6
11 0 —20	—	—	—	1	1	2	5	—	—	—	—	1	1	5	—	—	—	—	—	1	9
20 —40	—	—	—	—	1	4	8	—	—	—	1	—	3	10	—	—	—	1	—	1	4
40 — 0	2	—	—	1	—	1	4	—	—	—	1	1	3	4	—	—	—	1	1	4	2
12 0 —20	—	—	—	—	1	1	3	—	1	—	—	—	1	5	—	—	—	—	1	2	6
20 —40	—	1	—	—	1	—	2	—	—	—	1	—	2	6	—	—	—	—	—	—	5
40 — 0	—	1	—	1	—	—	8	—	—	—	—	2	—	7	—	—	1	—	2	2	10
13 0 —20	2	—	—	—	—	1	8	—	—	—	—	2	1	8	—	—	—	—	—	3	8
20 —40	—	—	—	—	—	4	14	—	—	—	—	2	2	6	—	—	—	—	—	—	7
40 — 0	—	1	—	—	1	2	12	—	—	—	—	—	2	3	1	—	—	—	—	—	10
14 0 —20	—	—	—	—	—	1	14	—	—	—	—	2	1	6	—	—	—	—	—	1	7
20 —40	—	1	—	—	—	4	8	—	—	—	—	1	2	10	—	—	—	—	1	1	5
40 — 0	—	1	—	—	—	2	8	—	—	—	—	—	1	10	—	—	—	—	1	2	9
15 0 —20	—	—	—	—	—	1	8	—	—	—	—	—	1	7	1	—	—	—	1	3	7
20 —40	—	1	—	1	—	1	10	—	—	—	—	1	1	10	—	—	—	—	—	—	3
40 — 0	—	—	2	—	1	1	12	—	—	1	—	2	1	7	—	—	1	—	1	2	5
16 0 —20	—	—	1	1	1	1	5	—	—	—	—	—	4	6	—	—	—	—	3	1	12
20 —40	—	—	—	—	3	—	9	—	—	—	1	1	1	8	—	—	—	—	—	—	10
40 — 0	—	—	—	—	—	—	9	—	—	—	—	2	1	3	—	—	—	—	—	1	9
17 0 —20	—	—	1	—	2	2	8	1	—	—	—	1	4	5	—	—	—	—	—	1	9
20 —40	—	—	—	—	—	2	13	—	—	—	—	2	1	12	—	—	1	—	1	4	6
40 — 0	—	—	—	—	—	—	14	—	—	—	—	—	1	9	—	—	—	—	—	—	8
18 0 —20	—	—	—	—	1	3	10	—	—	—	—	1	2	2	—	—	—	1	—	1	5
20 —40	—	—	1	—	—	1	11	—	—	1	—	3	1	1	—	—	—	1	2	2	2
40 — 0	—	—	—	—	1	1	10	—	—	—	1	1	—	16	—	—	—	1	—	1	4
19 0 —20	—	—	—	—	—	1	8	1	—	—	1	—	—	15	2	—	—	—	—	2	4
20 —40	—	—	1	2	2	2	10	—	—	—	—	—	—	9	—	—	—	—	—	1	5
40 — 0	—	—	—	1	—	1	15	—	—	—	—	2	—	5	1	—	—	—	—	2	7
20 0 —20	—	—	1	—	—	3	9	—	—	—	1	2	1	10	—	—	—	—	—	1	5
20 —40	—	—	1	—	—	—	8	—	1	—	—	1	—	6	—	—	—	—	1	1	15
40 — 0	—	—	1	—	1	2	9	—	—	—	—	—	1	13	—	—	—	—	—	1	6
21 0 —20	1	—	—	1	—	2	5	—	—	—	—	1	—	11	1	—	—	1	—	—	5
20 —40	—	—	1	3	—	—	12	—	—	—	1	1	2	6	—	—	1	—	—	2	9
40 — 0	—	—	—	—	—	—	12	—	—	—	—	2	1	13	—	—	1	—	1	3	2
22 0 —20	—	—	—	1	—	1	10	—	—	1	1	2	—	12	—	—	—	—	—	2	7
20 —40	—	1	—	—	1	1	12	—	—	—	—	1	1	10	—	1	—	—	—	—	3
40 — 0	—	—	—	3	—	3	11	—	—	—	2	1	—	6	—	—	—	—	—	—	7
23 0 —20	—	—	—	1	5	2	9	1	—	—	—	—	4	7	1	—	—	1	—	—	8
20 —40	—	—	—	—	1	1	7	—	—	1	—	2	1	13	—	—	—	—	—	1	11
40 — 0	—	—	—	1	—	2	12	1	1	—	—	1	1	12	—	—	—	—	—	—	13
Summa	10	10	15	27	42	103	637	8	7	6	15	55	94	566	9	5	11	11	32	100	507

Rectascens.	Declination + 84°							Declination + 85°							Declination + 86°						
Grösse:	1.0-6.5	6.6-7.0	7.1-7.5	7.6-8.0	8.1-8.5	8.6-9.0	9.1-9.5	1.0-6.5	6.6-7.0	7.1-7.5	7.6-8.0	8.1-8.5	8.6-9.0	9.1-9.5	1.0-6.5	6.6-7.0	7.1-7.5	7.6-8.0	8.1-8.5	8.6-9.0	9.1-9.5
$0^h\ 0^m - 20^m$	—	—	—	1	—	—	6	—	—	—	—	—	2	5	—	—	—	—	—	—	5
20 —40	—	—	—	—	1	3	3	—	—	—	—	1	2	6	—	—	—	—	—	2	6
40 — 0	—	—	—	—	1	1	2	—	—	—	—	—	1	5	—	—	1	—	—	2	3
1 0 —20	—	—	—	—	—	2	4	1	—	—	—	—	—	6	—	—	—	—	—	1	3
20 —40	—	—	—	1	1	2	6	—	—	—	—	—	1	7	—	—	—	—	—	1	3
40 — 0	—	—	—	—	—	—	3	—	—	—	1	—	1	3	—	—	—	—	—	—	7
2 0 —20	—	—	—	—	1	1	5	—	—	—	—	—	1	2	—	—	—	—	—	1	3
20 —40	—	—	—	—	—	1	3	—	—	—	—	—	3	3	—	—	—	—	—	3	3
40 — 0	—	—	—	—	1	2	9	—	—	—	—	—	1	2	—	—	—	—	—	—	4
3 0 —20	1	—	—	—	—	1	3	—	—	—	—	—	—	2	1	—	—	—	—	—	2
20 —40	—	—	—	—	1	3	6	—	—	—	—	1	—	2	—	—	—	—	—	2	2
40 — 0	—	—	1	—	—	—	3	1	1	—	—	—	1	2	—	—	—	—	—	—	3
4 0 —20	—	—	—	—	—	1	6	—	—	—	—	1	1	3	—	—	—	—	1	—	6
20 —40	—	—	—	1	1	1	4	—	—	—	—	—	—	5	—	—	—	1	—	1	2
40 — 0	—	—	—	—	—	1	10	—	—	—	—	1	1	1	—	—	—	—	—	—	1
5 0 —20	—	—	—	—	—	1	3	2	—	—	—	—	—	1	—	—	—	—	—	1	5
20 —40	—	—	—	—	—	4	5	—	—	—	1	—	2	4	—	—	—	—	—	1	1
40 — 0	—	—	—	—	—	1	6	—	—	—	—	—	—	6	—	1	—	—	—	—	3
6 0 —20	—	—	—	—	—	—	10	—	—	—	—	—	1	3	—	—	—	—	—	3	8
20 —40	—	—	—	—	1	—	11	—	—	—	—	1	4	3	—	—	—	—	1	—	4
40 — 0	—	—	—	—	—	—	5	—	—	—	—	—	—	2	—	—	—	—	1	—	6
7 0 —20	—	—	—	1	—	1	6	—	—	—	—	1	1	6	—	—	—	—	—	—	2
20 —40	—	—	—	1	—	1	7	—	—	—	—	—	1	5	—	—	1	—	—	1	6
40 — 0	1	—	—	—	—	1	7	—	—	—	—	—	2	3	—	—	—	—	—	—	4
8 0 —20	—	—	—	—	1	1	6	—	—	1	—	1	1	1	—	—	—	—	1	—	3
20 —40	—	—	—	1	—	—	7	—	—	—	—	1	1	2	—	—	—	1	—	—	5
40 — 0	—	—	—	—	—	1	7	—	—	—	—	1	1	8	—	—	—	—	—	2	4
9 0 —20	1	—	—	1	1	—	8	—	—	—	—	1	—	3	—	—	—	—	—	—	4
20 —40	—	—	—	1	2	4	4	—	—	—	1	1	—	3	—	—	—	—	—	—	3
40 — 0	1	—	—	—	—	—	5	—	—	—	—	—	2	1	—	—	—	—	—	2	5
10 0 —20	—	—	—	—	1	—	6	—	—	1	—	1	1	5	—	—	—	—	1	1	2
20 —40	1	—	—	—	—	—	6	—	—	—	—	1	1	3	—	—	1	—	1	—	3
40 — 0	—	—	—	—	—	—	8	—	—	—	—	—	2	4	—	—	—	—	1	1	2
11 0 —20	—	—	—	—	1	—	2	—	—	—	—	—	—	7	—	—	—	—	—	2	5
20 —40	—	—	—	—	1	3	3	—	—	1	—	—	—	6	—	1	—	—	1	1	1
40 — 0	—	—	—	—	1	—	1	—	—	—	—	1	1	4	1	—	—	—	—	1	2
12 0 —20	—	—	2	1	1	1	10	—	—	—	—	2	1	3	—	—	—	—	2	1	1
20 —40	—	1	—	—	—	1	7	—	—	—	—	—	1	5	1	—	—	—	—	—	2
40 — 0	—	—	—	—	—	1	3	—	—	—	—	1	2	2	—	—	—	—	—	1	2
13 0 —20	2	—	—	—	1	4	8	—	—	—	—	1	2	4	—	1	—	—	—	—	2
20 —40	—	—	1	1	1	1	4	—	1	—	—	—	3	6	—	—	1	—	—	3	—
40 — 0	—	—	—	—	—	1	4	—	1	—	—	1	—	3	—	—	—	—	1	—	5
14 0 —20	—	—	—	—	—	1	1	—	—	—	—	—	1	2	—	—	1	—	—	—	5
20 —40	—	—	—	1	—	2	1	—	—	—	—	1	1	2	—	—	—	—	1	—	5
40 — 0	—	—	—	—	1	2	5	—	—	—	1	1	—	4	—	1	—	—	—	2	4
15 0 —20	—	—	1	—	1	1	5	—	—	—	1	—	1	3	—	—	—	—	1	1	2
20 —40	—	—	—	—	1	1	2	—	—	—	—	—	1	5	—	—	—	—	—	—	6
40 — 0	—	—	—	—	—	1	2	—	—	1	—	—	3	4	—	—	—	—	—	—	5
16 0 —20	—	—	—	1	1	—	3	—	—	1	—	—	—	3	—	—	—	—	—	—	3
20 —40	—	—	—	—	1	1	4	—	—	—	—	—	—	2	—	—	—	—	—	2	5
40 — 0	—	—	1	—	1	—	7	—	—	—	—	—	—	5	—	—	—	—	—	1	4
17 0 —20	—	—	—	—	1	1	5	—	—	—	—	—	1	1	—	—	—	—	—	—	5
20 —40	—	—	—	1	1	—	5	—	—	—	—	—	—	3	—	—	—	—	1	—	4
40 — 0	—	—	—	—	—	4	6	—	—	—	—	—	—	5	—	—	—	—	1	—	6
18 0 —20	—	—	—	—	2	1	11	—	—	1	—	—	—	7	—	—	—	—	—	—	4
20 —40	—	—	1	—	2	1	2	—	—	—	—	—	1	11	2	—	—	—	—	—	3
40 — 0	—	—	—	—	1	2	8	—	—	—	—	—	—	10	—	—	—	—	1	1	4
19 0 —20	—	—	—	—	—	—	6	—	—	—	—	—	1	5	—	1	—	—	—	2	3
20 —40	—	—	—	—	—	2	6	—	—	—	—	—	1	4	—	—	—	—	—	2	3
40 — 0	—	—	—	—	—	—	5	—	—	—	—	1	1	2	—	—	—	—	—	1	6
20 0 —20	—	—	—	—	2	1	4	—	—	—	—	1	1	5	—	—	—	—	—	1	6
20 —40	—	2	1	—	1	1	11	—	—	1	1	—	—	8	—	—	—	—	—	—	4
40 — 0	—	—	—	—	1	—	9	—	—	—	1	—	—	6	—	—	—	—	—	—	4
21 0 —20	—	—	—	—	—	—	4	—	—	—	—	1	1	2	—	—	—	—	—	1	2
20 —40	—	—	—	—	—	—	11	—	—	—	—	—	1	2	—	1	—	1	—	1	3
40 — 0	—	—	—	—	—	—	7	—	—	—	—	2	1	5	—	—	—	—	3	—	3
22 0 —20	—	—	—	1	—	1	6	—	—	—	—	1	—	10	—	—	—	—	—	—	2
20 —40	—	—	1	—	—	—	4	2	—	—	—	—	1	2	—	—	—	—	—	1	1
40 — 0	—	—	1	1	—	—	7	—	—	—	—	—	1	5	—	—	—	1	—	—	4
23 0 —20	1	—	—	—	1	—	8	—	—	—	—	1	—	4	—	—	—	—	—	—	3
20 —40	—	—	—	—	1	3	4	—	—	1	3	—	—	3	—	—	—	—	—	—	4
40 — 0	—	—	—	—	2	—	7	—	—	—	1	—	2	4	1	—	—	—	—	1	1
Summa	8	3	10	15	40	72	398	6	3	8	11	28	65	291	6	6	5	4	19	51	257

Rectascens.	Declination + 87°							Declination + 88°							Declination + 89°						
Grösse:	1.0-6.5	6.6-7.0	7.1-7.5	7.6-8.0	8.1-8.5	8.6-9.0	9.1-9.5	1.0-6.5	6.6-7.0	7.1-7.5	7.6-8.0	8.1-8.5	8.6-9.0	9.1-9.5	1.0-6.5	6.6-7.0	7.1-7.5	7.6-8.0	8.1-8.5	8.6-9.0	9.1-9.5
$0^h\ 0^m - 20^m$	—	—	—	—	—	1	1	—	—	—	—	—	1	1	—	—	—	—	—	—	1
20 — 40	—	—	—	—	—	—	5	—	—	—	—	—	—	1	—	—	—	—	—	—	—
40 — 0	—	—	—	—	—	1	3	—	—	1	—	—	—	1	—	—	—	—	—	—	—
1 0 — 20	—	—	—	1	—	—	2	1	—	—	—	—	—	2	—	—	—	—	—	—	1
20 — 40	—	—	—	—	1	—	—	—	—	—	—	—	—	—	—	—	—	—	—	—	—
40 — 0	—	—	—	—	—	1	1	—	—	—	1	—	2	—	—	—	—	—	—	1	2
2 0 — 20	—	—	—	—	—	—	2	—	—	—	—	1	1	—	—	—	—	—	—	—	1
20 — 40	—	—	—	—	—	1	5	—	—	—	—	—	—	2	—	—	—	—	—	—	—
40 — 0	—	—	—	—	—	2	1	—	—	—	—	—	—	2	—	—	—	—	—	—	—
3 0 — 20	—	—	—	—	—	—	1	—	—	—	—	—	—	—	—	—	—	—	—	—	1
20 — 40	—	—	—	—	1	—	4	—	—	—	—	—	—	3	—	—	—	—	—	—	—
40 — 0	—	—	—	—	—	—	—	—	—	—	—	—	—	2	—	—	—	—	—	—	1
4 0 — 20	—	—	—	—	—	1	—	—	—	—	—	—	—	2	—	—	—	—	—	—	—
20 — 40	—	—	—	—	—	—	1	—	—	—	—	—	—	3	—	—	—	—	—	—	—
40 — 0	—	—	—	—	—	—	2	—	—	—	—	—	—	1	—	—	—	—	—	—	1
5 0 — 20	—	—	—	—	—	—	2	—	—	—	—	—	2	2	—	—	—	—	—	—	—
20 — 40	—	—	—	1	—	—	2	—	—	—	—	—	—	1	—	—	—	—	—	—	—
40 — 0	—	—	—	—	—	—	1	—	—	—	—	—	1	2	—	—	—	—	—	—	2
6 0 — 20	—	—	—	—	1	1	2	—	—	—	—	—	—	1	—	—	—	—	—	—	1
20 — 40	1	—	—	—	—	—	2	—	—	—	—	—	—	1	—	—	—	—	—	—	—
40 — 0	—	—	—	—	—	—	4	—	—	—	—	1	—	1	—	—	—	—	—	—	—
7 0 — 20	—	—	—	—	—	1	3	—	—	—	—	—	—	1	—	1	—	—	—	—	1
20 — 40	—	—	—	—	—	—	3	—	—	—	—	—	—	3	—	—	—	—	—	—	1
40 — 0	—	—	—	—	—	—	2	—	—	—	—	—	—	4	—	—	—	—	—	—	—
8 0 — 20	—	—	—	—	—	1	6	—	—	—	—	—	—	1	—	—	—	—	—	—	—
20 — 40	—	—	—	—	—	1	2	—	—	—	—	—	—	4	—	—	—	—	—	—	—
40 — 0	—	—	—	—	—	—	3	—	—	—	—	—	—	1	—	—	—	—	—	—	1
9 0 — 20	—	—	—	1	2	—	1	—	—	—	—	—	—	3	—	—	—	—	—	—	—
20 — 40	—	—	—	1	—	1	1	—	—	—	—	—	—	1	—	—	—	—	—	—	—
40 — 0	—	—	—	—	1	—	1	—	—	—	—	1	—	1	—	—	—	—	—	—	—
10 0 — 20	—	—	—	—	—	—	5	—	—	—	—	—	—	2	—	—	—	—	—	—	—
20 — 40	—	—	—	—	—	—	—	—	—	—	—	—	—	1	—	—	—	—	—	1	—
40 — 0	—	—	—	—	—	—	4	—	—	1	—	—	—	—	—	—	—	—	—	—	—
11 0 — 20	—	—	—	—	—	—	2	—	—	—	—	—	—	2	—	—	—	—	—	1	1
20 — 40	—	—	—	—	—	—	1	—	—	—	—	—	—	3	—	—	—	—	—	—	—
40 — 0	—	—	—	1	—	3	1	—	—	—	—	—	—	1	—	—	—	—	—	—	—
12 0 — 20	—	—	—	—	1	—	3	—	—	—	—	—	—	1	—	—	—	—	—	—	1
20 — 40	1	—	—	—	—	—	3	1	—	—	—	—	—	1	—	—	—	—	—	—	—
40 — 0	—	—	—	—	—	1	2	—	—	—	—	—	1	1	—	—	—	—	—	1	—
13 0 — 20	—	—	—	—	1	1	2	—	—	—	1	—	—	—	—	—	—	—	—	1	—
20 — 40	—	—	—	—	—	2	3	—	—	—	—	1	—	—	—	—	—	—	—	—	1
40 — 0	—	—	—	—	1	3	2	—	—	—	—	—	—	2	—	—	—	—	—	—	—
14 0 — 20	—	—	—	—	—	2	2	—	—	—	—	—	1	2	—	—	—	—	—	—	—
20 — 40	—	—	—	—	—	—	5	—	—	—	—	1	—	4	—	—	—	—	—	—	—
40 — 0	—	—	—	—	—	—	3	—	—	—	—	—	—	1	—	—	—	—	—	—	—
15 0 — 20	—	—	—	—	—	—	1	—	—	—	—	—	—	1	—	—	—	—	—	1	1
20 — 40	—	1	—	—	—	—	3	—	—	—	—	—	1	1	—	—	—	—	—	—	—
40 — 0	—	—	—	1	—	—	2	—	—	—	—	—	—	—	—	—	—	—	—	—	2
16 0 — 20	—	—	—	—	—	—	—	—	—	—	—	—	—	2	—	—	—	—	—	—	—
20 — 40	—	—	—	—	—	1	2	—	—	—	—	—	1	1	—	—	—	—	—	—	—
40 — 0	—	—	—	—	—	—	4	—	—	—	—	—	—	2	—	—	—	—	—	—	—
17 0 — 20	—	—	—	—	—	—	4	—	—	—	—	—	—	2	—	—	—	—	—	—	—
20 — 40	—	—	—	—	—	—	2	—	—	—	—	—	1	—	—	—	—	—	—	1	—
40 — 0	—	—	—	—	—	—	1	—	—	—	—	—	—	—	—	—	—	—	—	—	—
18 0 — 20	—	—	—	—	—	1	4	—	—	—	—	—	1	—	—	—	—	—	—	—	1
20 — 40	—	—	—	—	1	—	3	—	—	—	1	1	1	1	—	—	—	—	—	—	—
40 — 0	—	—	—	—	—	1	2	—	—	—	—	—	—	2	—	—	—	—	—	—	1
19 0 — 20	—	—	—	—	—	—	1	—	—	—	—	—	—	1	—	—	—	—	—	—	—
20 — 40	—	—	—	2	—	—	3	—	—	—	—	—	3	—	—	—	—	—	—	—	2
40 — 0	—	—	—	—	—	—	—	—	—	—	—	—	—	—	—	—	—	—	—	—	2
20 0 — 20	—	—	—	—	—	3	2	—	—	—	1	—	—	1	—	—	—	—	—	—	1
20 — 40	—	—	—	—	—	—	—	1	—	—	—	—	1	1	—	—	—	—	—	—	—
40 — 0	—	—	—	1	—	—	2	—	—	—	—	—	1	1	—	—	—	—	—	—	—
21 0 — 20	—	—	—	—	—	—	3	—	—	—	—	—	1	2	—	—	—	—	—	—	1
20 — 40	—	—	—	—	—	—	3	—	—	—	—	—	—	5	—	—	—	—	—	—	—
40 — 0	—	—	—	—	—	—	3	—	—	—	—	—	—	1	—	—	—	—	—	—	—
22 0 — 20	—	—	—	—	1	1	1	—	—	—	—	—	1	1	—	—	—	—	—	—	1
20 — 40	—	—	1	—	—	—	3	—	—	—	—	—	1	1	—	—	—	—	—	—	—
40 — 0	—	—	—	—	—	—	4	—	—	—	—	—	—	1	—	—	—	—	—	—	—
23 0 — 20	—	—	—	—	—	—	5	—	—	—	—	—	—	2	—	—	—	—	—	—	—
20 — 40	—	—	—	—	—	—	2	—	—	—	—	—	—	2	—	—	—	—	—	—	—
40 — 0	—	—	—	—	1	1	2	—	—	—	—	—	1	5	—	—	—	—	—	1	—
Summa	2	1	1	9	12	32	163	3	0	2	4	6	23	104	0	1	0	0	0	8	29

Rectascens.	Declination — 0°							Declination — 1°							Declination — 2°							
Grösse:	1.0-6.5	6.6-7.0	7.1-7.5	7.6-8.0	8.1-8.5	8.6-9.0	9.1-9.5	1.0-6.5	6.6-7.0	7.1-7.5	7.6-8.0	8.1-8.5	8.6-9.0	9.1-9.5	1.0	6.6	7.1	7.6	8.1	8.6	9.1	9.6
0^h 0^m — 20^m	1	1	2	1	6	7	45	—	—	—	4	3	8	31	—	2	1	—	4	3	22	24
20 — 40	—	1	—	2	2	10	36	1	1	1	2	6	17	25	1	—	—	—	5	8	16	21
40 — 0	—	—	1	2	7	7	41	1	1	—	3	8	15	21	1	1	2	—	4	14	18	13
1 0 — 20	—	—	—	2	5	7	45	2	—	2	3	2	10	22	—	—	1	3	5	6	24	17
20 — 40	—	—	1	3	7	12	18	1	—	—	2	9	16	24	—	—	2	2	4	10	41	19
40 — 0	1	—	1	2	7	12	25	—	—	1	2	4	18	26	1	1	1	1	8	18	23	17
2 0 — 20	1	—	—	1	8	9	24	1	—	1	3	6	13	20	1	—	—	2	6	7	19	12
20 — 40	2	—	1	—	13	13	39	2	—	—	3	2	23	26	—	—	1	4	7	9	28	26
40 — 0	—	1	1	2	1	21	37	—	—	1	3	6	8	33	—	1	1	3	4	8	26	25
3 0 — 20	—	—	2	1	7	10	35	2	—	—	1	4	12	36	—	—	1	2	6	11	25	31
20 — 40	2	1	—	4	6	8	28	1	1	—	1	3	4	25	—	—	3	6	3	20	19	35
40 — 0	2	—	1	—	11	17	14	1	2	3	1	3	16	27	—	1	1	3	5	12	36	39
4 0 — 20	1	—	3	4	3	21	27	—	—	3	—	5	13	38	—	1	1	2	8	12	30	37
20 — 40	1	—	—	3	7	17	40	—	—	1	2	9	19	44	1	—	1	4	5	14	26	59
40 — 0	—	—	1	3	16	17	41	—	—	1	1	9	17	56	2	1	—	2	6	15	44	52
5 0 — 20	3	2	2	1	1	14	83	3	—	1	3	6	15	67	2	2	1	3	10	14	66	17
20 — 40	1	1	1	2	8	29	87	4	—	3	3	8	27	83	2	—	3	2	17	29	45	22
40 — 0	—	—	—	6	4	10	74	—	1	2	2	8	8	65	—	—	1	5	10	24	55	16
6 0 — 20	3	—	—	4	10	22	83	2	—	1	4	12	22	90	1	2	1	2	2	18	75	30
20 — 40	—	—	1	3	3	30	94	1	—	—	2	8	20	102	1	1	2	3	9	21	83	31
40 — 0	1	1	—	4	6	42	119	—	2	1	4	4	35	133	2	1	—	7	6	18	72	64
7 0 — 20	2	—	—	3	4	25	88	—	—	—	2	9	36	118	1	—	—	2	11	23	93	51
20 — 40	—	—	1	2	4	28	62	1	—	—	3	8	21	82	—	1	1	2	6	18	98	47
40 — 0	1	1	1	1	8	11	66	—	—	—	7	9	29	77	—	2	1	3	11	26	69	34
8 0 — 20	—	—	3	3	10	20	46	—	2	—	2	—	27	54	2	2	1	1	6	31	61	37
20 — 40	—	—	1	1	10	9	51	2	1	—	2	5	19	58	—	2	2	2	6	11	49	35
40 — 0	—	—	1	5	9	11	38	—	—	—	3	5	17	50	1	2	—	2	5	15	42	43
9 0 — 20	1	1	1	2	8	16	40	—	1	1	1	2	11	40	—	—	2	1	5	14	39	36
20 — 40	2	1	—	—	3	9	34	—	1	—	1	4	13	23	2	1	6	2	8	14	28	28
40 — 0	—	1	1	1	5	14	26	—	—	2	—	4	13	25	—	3	2	2	5	8	38	30
10 0 — 20	1	1	1	3	5	8	29	—	—	—	2	3	11	27	—	1	1	2	2	6	28	38
20 — 40	1	—	—	—	3	10	17	1	—	1	—	7	17	26	1	—	—	—	2	11	20	39
40 — 0	—	—	—	1	7	10	12	3	1	—	—	6	8	25	1	1	1	1	7	12	21	28
11 0 — 20	—	1	2	2	8	8	15	—	—	2	—	6	9	24	1	—	—	1	2	9	19	27
20 — 40	1	—	1	3	5	6	35	—	1	—	1	3	8	30	1	—	3	1	2	10	31	17
40 — 0	—	1	—	1	4	7	31	—	—	—	3	1	5	43	1	1	1	2	2	5	21	17
12 0 — 20	—	—	1	1	—	4	35	—	2	—	1	1	12	31	—	1	1	2	4	7	25	19
20 — 40	1	—	1	3	2	5	19	—	—	1	2	1	10	43	—	1	—	3	3	6	19	22
40 — 0	—	—	—	1	4	17	27		—	—	—	3	13	32	2	1	2	1	3	8	14	21
13 0 — 20	—	1	2	—	—	10	19	—	—	—	2	4	6	38	—	—	1	1	2	5	25	20
20 — 40	—	1	—	2	2	11	30	—	—	1	4	3	8	19	—	1	1	—	5	7	19	13
40 — 0	1	—	—	—	1	12	33	—	—	—	—	3	7	37	2	—	2	—	2	8	18	20
14 0 — 20	1	—	—	—	3	9	30	1	1	1	2	2	6	37	1	—	—	3	2	9	25	23
20 — 40	1	—	—	2	1	11	41	1	1	—	2	2	6	20	—	1	2	2	4	9	20	12
40 — 0	—	1	—	1	1	9	32	1	—	—	1	6	14	13	2	1	—	—	3	7	23	13
15 0 — 20	1	1	1	3	6	9	22	1	1	1	1	5	9	17	—	1	—	1	3	6	21	20
20 — 40	1	1	—	—	6	7	24	1	—	—	2	2	10	23	—	—	—	6	4	8	22	7
40 — 0	—	—	2	4	1	8	30	—	1	—	3	3	6	23	2	—	1	3	5	6	26	25
16 0 — 20	—	1	1	1	5	10	44	—	2	3	2	5	5	42	—	1	—	2	4	4	34	36
20 — 40	1	1	1	3	5	9	47	2	—	1	—	8	9	34	1	2	1	3	5	6	22	15
40 — 0	1	—	1	—	1	10	33	2	—	1	—	1	6	39	1	2	1	1	6	5	25	15
17 0 — 20	2	—	—	4	6	9	38	—	1	—	—	2	5	32	2	1	2	—	6	1	28	15
20 — 40	2	—	—	1	4	7	59	—	—	1	4	5	9	40	1	2	4	4	3	8	48	23
40 — 0	1	—	—	2	1	9	45	1	—	2	2	4	11	39	—	—	2	3	11	13	37	34
18 0 — 20	—	—	—	1	4	9	55	1	—	2	5	3	7	23	2	—	1	3	7	12	36	12
20 — 40	1	1	1	3	5	8	47	1	2	1	2	5	13	46	1	1	2	2	4	19	52	37
40 — 0	—	—	1	5	13	12	69	2	1	2	2	7	8	72	—	—	—	1	3	17	49	51
19 0 — 20	1	1	—	—	5	15	70	1	1	3	—	4	14	65	—	2	2	4	8	16	64	38
20 — 40	1	1	3	2	5	22	62	1	—	—	4	8	13	56	—	—	1	4	5	18	64	25
40 — 0	1	1	1	1	5	7	57	1	—	—	—	3	14	50	—	2	2	2	—	13	33	14
20 0 — 20	—	—	1	2	10	19	61	2	2	1	6	7	17	52	—	1	—	7	5	7	54	28
20 — 40	1	2	—	4	7	22	48	1	—	—	5	4	18	42	—	1	1	3	3	14	34	28
40 — 0	—	2	1	3	7	13	45	—	3	2	1	5	14	31	—	1	1	1	2	13	43	26
21 0 — 20	1	1	2	—	3	14	36	—	1	2	3	5	12	36	—	2	—	2	5	9	43	26
20 — 40	—	—	3	2	3	4	33	1	—	—	—	1	9	24	—	1	—	1	4	16	42	31
40 — 0	1	—	—	3	5	7	28	2	—	1	2	6	16	20	1	—	—	1	3	10	19	28
22 0 — 20	—	1	2	3	5	13	27	—	—	1	1	6	15	24	2	—	2	2	3	9	26	23
20 — 40	2	—	2	4	3	12	35	—	—	1	1	10	13	25	1	—	—	—	3	6	28	22
40 — 0	—	1	—	1	2	8	34	—	—	3	2	3	12	25	—	2	—	1	1	7	31	18
23 0 — 20	—	1	—	1	1	9	41	—	—	2	—	2	15	27	—	1	—	3	4	10	31	24
20 — 40	—	—	1	1	4	8	36	1	1	2	1	2	16	27	2	—	—	—	2	8	33	34
40 — 0	1	—	—	2	3	13	35	—	2	2	1	4	10	23	—	—	2	2	4	9	25	20
Summa	51	34	59	144	370	908	3052	53	37	65	140	342	968	2923	49	59	79	154	355	840	2608	1952

Rectascens.	Declination −3°								Declination −4°								Declination −5°							
Grösse:	1.0	6.6	7.1	7.6	8.1	8.6	9.1	9.6	1.0	6.6	7.1	7.6	8.1	8.6	9.1	9.6	1.0	6.6	7.1	7.6	8.1	8.6	9.1	9.6
$0^h\ 0^m - 20^m$	2	3	2	4	—	4	19	19	—	1	1	3	1	9	23	8	—	2	—	1	3	11	22	26
20 — 40	—	—	1	1	3	10	24	6	2	—	3	—	1	8	25	9	2	1	—	2	2	9	15	29
40 — 0	—	2	1	1	1	5	32	12	—	—	1	1	2	6	20	18	2	—	2	3	6	4	22	27
1 0 — 20	3	1	1	2	3	9	19	11	1	1	—	1	3	11	22	29	—	—	3	3	9	6	23	24
20 — 40	—	1	2	2	4	13	18	18	2	1	—	2	2	8	20	25	1	—	1	1	3	9	21	22
40 — 0	—	2	—	2	3	8	25	16	1	1	2	3	2	15	22	22	—	—	2	—	6	9	29	28
2 0 — 20	1	1	1	1	3	14	23	23	—	1	—	—	7	11	18	27	—	1	—	1	4	12	29	23
20 — 40	1	1	—	—	7	7	18	19	1	1	—	—	6	4	33	19	—	—	1	1	4	5	21	24
40 — 0	2	1	—	2	3	7	18	29	1	1	2	4	—	5	29	17	—	2	3	2	4	6	22	24
3 0 — 20	—	—	1	1	2	12	19	20	1	2	2	1	4	4	36	23	—	1	—	4	4	10	35	29
20 — 40	1	—	2	2	4	7	18	24	—	—	1	2	6	8	25	24	3	—	—	1	4	8	33	32
40 — 0	1	—	2	1	3	14	26	26	—	—	5	2	6	11	28	20	2	2	1	2	4	13	30	29
4 0 — 20	1	—	—	1	6	15	48	25	1	1	4	5	8	17	35	30	—	—	5	5	5	14	31	33
20 — 40	4	—	2	2	4	12	49	35	—	—	1	4	10	12	39	37	—	1	1	5	3	14	63	27
40 — 0	1	1	2	2	7	15	63	36	2	—	1	2	9	10	43	41	4	—	2	3	5	20	52	37
5 0 — 20	—	—	2	4	7	10	48	17	1	—	2	1	6	18	41	15	2	2	2	1	9	29	45	7
20 — 40	2	2	2	4	4	16	46	17	3	5	4	7	4	18	46	17	2	—	—	8	11	28	73	19
40 — 0	1	1	—	1	7	17	58	17	3	3	—	1	3	18	61	39	1	2	—	3	9	13	51	28
6 0 — 20	1	—	3	4	6	24	74	27	2	4	4	5	6	22	74	34	1	—	1	4	11	22	52	46
20 — 40	—	—	—	5	9	25	66	48	1	1	2	2	11	25	59	41	2	1	—	6	6	26	58	60
40 — 0	—	1	—	5	6	19	76	45	1	—	1	3	9	33	74	47	5	1	4	2	8	27	72	52
7 0 — 20	1	1	2	4	6	21	77	46	1	—	2	5	10	21	63	24	2	1	2	4	6	25	71	40
20 — 40	1	—	1	3	8	18	76	55	—	2	2	4	8	23	66	29	—	1	2	3	6	19	68	26
40 — 0	1	2	2	5	5	22	69	44	—	1	1	6	13	18	77	22	2	2	1	1	5	24	59	27
8 0 — 20	3	—	2	5	8	17	66	40	2	—	3	1	6	21	52	35	1	—	2	3	10	25	77	45
20 — 40	—	1	1	1	10	17	48	40	1	1	2	3	3	14	41	44	—	1	—	4	9	13	35	38
40 — 0	—	3	1	2	13	9	50	28	1	2	2	—	9	16	32	29	—	—	1	2	12	14	29	28
9 0 — 20	—	1	1	3	5	16	42	37	1	—	2	4	11	11	32	22	1	—	2	2	3	13	29	34
20 — 40	1	—	4	3	14	12	33	25	—	—	1	2	3	8	48	30	1	2	—	1	6	13	30	50
40 — 0	1	—	1	—	5	15	34	24	—	—	2	1	6	10	36	28	—	1	1	—	3	10	26	47
10 0 — 20	1	1	—	4	7	15	17	25	1	3	2	3	1	7	20	35	—	—	1	3	4	11	27	31
20 — 40	—	2	—	1	3	10	32	20	—	—	2	1	1	12	24	34	—	—	1	4	1	10	23	38
40 — 0	—	1	2	2	3	10	16	25	—	—	1	1	2	12	23	27	—	—	—	2	4	8	18	28
11 0 — 20	—	1	—	1	5	12	27	22	—	—	3	2	3	8	20	24	—	1	—	—	3	11	26	45
20 — 40	1	—	—	4	6	8	18	17	—	1	—	4	7	4	23	27	2	—	—	2	4	14	14	26
40 — 0	—	2	—	—	3	12	22	26	1	1	1	3	2	10	26	24	—	2	—	5	3	10	32	24
12 0 — 20	—	1	3	5	1	5	25	17	1	2	—	2	4	8	36	22	—	—	1	2	6	9	34	22
20 — 40	1	2	1	2	4	7	26	21	1	—	1	1	5	9	26	29	2	—	1	2	3	4	20	31
40 — 0	1	1	1	1	5	6	18	17	—	—	2	2	3	8	26	26	1	—	1	1	7	11	26	21
13 0 — 20	—	1	—	1	4	18	24	16	3	—	1	4	2	4	20	28	—	—	2	3	4	6	19	27
20 — 40	—	1	—	1	1	11	24	21	1	1	—	2	4	10	21	36	1	3	1	1	3	8	15	35
40 — 0	—	—	1	3	3	6	24	12	1	1	—	4	6	8	21	20	—	—	1	3	5	12	14	12
14 0 — 20	—	—	—	2	5	12	18	11	—	1	—	3	4	13	26	25	3	2	2	4	1	6	26	26
20 — 40	—	2	1	2	1	6	18	14	—	1	2	4	2	10	14	23	1	—	1	3	3	8	30	23
40 — 0	1	—	—	3	1	12	25	13	1	—	2	—	3	5	20	33	—	—	1	4	—	8	27	23
15 0 — 20	—	—	3	3	2	8	22	19	1	2	2	2	2	8	37	24	1	—	2	2	4	14	30	13
20 — 40	—	—	1	2	4	7	18	10	—	—	—	2	5	12	34	32	2	2	1	7	3	11	31	26
40 — 0	1	2	2	3	1	5	20	15	—	—	—	5	6	8	26	26	1	4	—	1	3	18	34	19
16 0 — 20	4	—	1	3	4	14	31	11	1	—	—	1	3	17	34	13	—	1	—	1	4	7	29	14
20 — 40	—	1	1	4	1	6	28	8	—	—	—	1	1	4	27	14	—	1	—	2	7	6	26	10
40 — 0	—	—	2	2	5	8	34	16	1	2	3	2	2	14	30	15	1	—	1	1	1	8	29	16
17 0 — 20	—	1	2	1	3	3	23	10	1	—	2	2	3	6	24	13	1	—	—	2	3	4	16	14
20 — 40	—	—	2	3	5	9	29	23	1	1	—	2	5	11	36	13	1	1	2	—	4	7	26	12
40 — 0	2	1	2	2	4	9	27	14	3	—	1	4	1	4	26	11	—	2	3	3	3	9	31	21
18 0 — 20	2	1	1	3	5	6	23	9	—	1	3	6	6	5	37	11	1	2	2	3	7	17	42	16
20 — 40	1	—	3	1	7	13	43	25	1	1	2	3	6	16	57	26	1	1	1	1	6	9	45	34
40 — 0	2	1	3	2	3	13	56	24	1	1	2	1	8	24	58	21	2	2	1	2	15	15	56	28
19 0 — 20	—	1	—	4	7	13	57	31	—	1	—	5	10	10	61	29	1	1	4	3	6	17	48	14
20 — 40	1	1	—	2	11	13	59	23	1	—	2	5	10	19	53	17	—	2	2	4	4	16	46	8
40 — 0	1	1	1	—	2	7	50	18	1	—	2	4	10	13	44	25	2	1	—	3	4	11	47	40
20 0 — 20	2	1	1	1	9	19	57	25	—	—	—	3	2	15	49	46	—	3	—	3	4	8	53	37
20 — 40	3	2	—	2	7	14	56	33	—	2	—	3	5	17	57	42	1	1	—	5	4	17	41	33
40 — 0	—	—	—	4	1	11	51	36	—	3	2	2	4	11	43	36	2	1	1	4	4	8	41	33
21 0 — 20	—	2	1	—	7	6	35	39	1	1	—	5	6	10	38	31	2	—	—	2	3	10	31	35
20 — 40	—	—	1	3	3	12	46	23	1	—	1	1	4	12	35	30	1	1	1	2	6	12	30	33
40 — 0	1	1	—	1	6	11	31	28	1	—	1	1	1	16	30	28	—	1	—	2	2	10	34	22
22 0 — 20	—	—	1	1	3	10	26	25	1	1	1	2	5	11	23	20	1	1	1	1	1	14	43	22
20 — 40	1	—	1	—	9	3	22	24	1	1	—	2	4	7	45	15	—	1	—	2	4	6	28	25
40 — 0	1	—	—	3	6	10	22	20	—	2	—	2	2	8	37	18	3	1	1	1	3	6	24	29
23 0 — 20	—	—	2	1	2	7	33	27	2	—	—	—	3	6	27	24	1	1	—	1	3	13	20	26
20 — 40	—	2	—	2	3	8	21	28	—	1	—	1	4	10	31	22	1	—	1	1	—	11	17	21
40 — 0	3	—	2	—	2	9	25	19	1	—	—	3	4	8	28	27	—	—	2	2	4	6	25	32
Summa	59	58	81	158	340	814	2561	1689	59	60	94	181	346	845	2593	1847	70	63	78	178	343	877	2497	2006

Rectascens.	Declination — 6°								Declination — 7°								Declination — 8°							
Grösse:	1.0	6.6	7.1	7.6	8.1	8.6	9.1	9.6	1.0	6.6	7.1	7.6	8.1	8.6	9.1	9.6	1.0	6.6	7.1	7.6	8.1	8.6	9.1	9.6
0^h 0^m —20^m	—	1	—	3	2	6	32	29	—	—	—	2	5	3	18	30	2	—	1	3	6	5	26	24
20 —40	1	—	—	1	5	6	26	24	—	—	—	2	6	9	22	25	—	1	—	3	3	8	30	27
40 — 0	—	1	—	4	5	12	18	31	—	—	1	—	1	6	19	25	1	—	—	3	3	6	20	21
1 0 —20	1	2	2	2	1	7	31	19	2	—	—	2	2	15	20	18	2	1	1	1	2	9	20	20
20 —40	1	1	1	1	6	5	27	25	1	1	—	3	7	10	19	19	—	—	1	1	4	9	24	22
40 — 0	—	—	2	—	2	9	24	31	—	2	1	2	6	9	24	23	—	—	1	—	9	7	34	22
2 0 —20	—	1	1	1	3	11	30	27	1	1	1	1	9	7	24	27	—	—	2	1	3	15	28	20
20 —40	—	2	—	1	5	9	26	17	—	1	—	2	4	7	31	17	2	1	1	1	6	10	31	20
40 — 0	1	—	1	1	6	12	31	15	1	1	1	1	2	9	23	16	3	2	—	2	2	4	34	12
3 0 —20	2	—	—	—	5	10	36	15	—	—	2	2	3	7	25	14	1	—	1	1	3	7	34	23
20 —40	1	—	—	—	3	20	35	14	2	1	1	3	4	8	41	19	—	—	3	3	6	7	28	25
40 — 0	—	—	—	2	7	11	33	18	—	2	—	3	9	7	26	18	—	—	—	2	9	7	25	20
4 0 —20	—	3	3	1	2	12	37	30	4	—	1	—	3	12	30	20	—	—	4	2	1	14	30	23
20 —40	—	1	—	2	1	17	29	32	2	—	2	1	6	14	27	30	2	1	—	3	6	10	33	21
40 — 0	—	—	2	4	7	15	38	32	1	—	1	2	6	10	41	21	—	1	2	4	7	22	33	26
5 0 —20	1	—	3	5	8	22	44	10	2	1	1	8	12	13	51	13	2	4	1	3	3	16	46	14
20 —40	5	3	1	2	14	24	59	21	3	5	2	4	5	20	43	8	—	1	1	2	4	15	36	32
40 — 0	3	1	—	4	10	22	47	15	1	2	2	4	11	17	60	19	—	2	2	1	6	14	63	21
6 0 —20	3	2	1	3	10	25	52	45	2	4	1	3	11	24	74	25	1	2	2	3	7	14	53	33
20 —40	2	—	1	1	7	20	83	67	—	—	4	1	11	14	67	35	1	1	3	2	6	19	57	24
40 — 0	—	—	2	1	9	41	67	73	1	2	2	2	6	33	76	61	2	3	—	5	12	35	77	62
7 0 —20	1	—	—	2	1	41	73	67	—	—	1	7	9	25	95	87	1	1	6	1	11	23	53	75
20 —40	1	1	1	4	16	27	71	58	3	—	3	1	12	28	82	89	1	—	—	7	6	24	65	45
40 — 0	—	1	2	2	10	26	78	52	—	1	2	—	12	38	66	47	2	1	1	3	7	22	69	57
8 0 —20	1	—	3	4	11	24	56	32	2	2	1	1	6	22	69	31	1	3	2	4	10	16	75	22
20 —40	1	1	5	2	9	22	42	47	1	1	—	4	9	14	42	53	2	1	3	4	6	17	63	31
40 — 0	1	1	—	1	8	12	31	44	1	—	1	3	7	13	38	47	—	3	3	4	8	22	33	22
9 0 —20	1	—	—	3	6	9	36	36	—	1	1	2	8	16	29	32	4	—	1	3	6	12	37	31
20 —40	—	1	—	3	7	8	37	30	—	1	2	3	4	12	31	27	2	1	1	1	—	9	44	27
40 — 0	—	1	3	—	4	16	28	25	1	—	—	1	4	8	38	18	1	2	—	3	7	8	41	24
10 0 —20	1	1	2	3	1	7	33	33	3	—	3	2	5	8	30	26	1	1	—	1	3	13	23	33
20 —40	1	—	—	—	4	1	26	40	—	1	1	2	6	13	33	20	—	1	1	2	4	15	29	25
40 — 0	—	—	2	2	6	9	22	40	—	—	—	1	6	9	27	18	1	—	3	2	5	15	34	24
11 0 —20	1	1	—	—	6	13	27	25	—	—	1	1	3	10	33	14	1	—	2	3	2	10	40	32
20 —40	—	—	—	1	4	9	25	24	1	1	—	—	3	5	30	10	2	2	2	—	5	7	31	16
40 — 0	1	1	1	1	2	12	23	22	—	2	—	3	4	6	28	15	—	—	3	3	4	6	26	7
12 0 —20	1	1	1	1	2	14	28	16	—	1	—	—	4	11	37	11	—	1	3	6	2	11	27	13
20 —40	—	1	—	2	2	11	40	20	2	—	3	—	2	11	45	14	1	1	2	2	2	8	29	28
40 — 0	—	2	1	1	4	14	50	19	—	—	—	3	6	10	35	12	1	1	4	—	3	8	30	19
13 0 —20	—	—	2	1	5	8	39	23	—	1	—	1	5	13	21	26	1	1	1	—	5	8	29	24
20 —40	—	2	—	2	4	5	32	21	1	3	1	—	8	13	25	33	1	—	1	3	5	15	39	17
40 — 0	2	—	2	4	3	11	16	15	2	1	—	5	5	7	24	26	3	1	1	2	2	11	28	14
14 0 —20	2	—	2	2	3	8	24	29	—	2	2	—	4	5	30	35	2	—	—	—	2	8	46	19
20 —40	1	—	—	5	6	10	27	18	1	1	1	—	—	9	27	16	—	—	1	2	3	15	24	8
40 — 0	—	—	1	4	4	10	19	24	1	2	2	2	1	10	19	19	—	—	3	2	7	11	29	23
15 0 —20	—	2	1	2	4	7	45	11	—	—	3	1	3	9	32	19	1	1	2	4	1	10	24	28
20 —40	—	—	1	—	3	10	36	22	—	—	—	6	6	11	21	30	1	2	1	5	7	12	37	35
40 — 0	1	—	—	3	4	8	38	31	1	—	2	2	6	12	39	34	—	1	—	3	7	13	29	31
16 0 —20	—	1	1	3	1	11	32	21	2	1	1	1	3	13	37	36	2	1	—	3	2	10	26	36
20 —40	1	—	1	1	5	7	25	24	—	1	1	4	1	5	18	29	—	3	—	1	6	6	28	28
40 — 0	—	1	3	—	2	3	32	12	—	—	1	3	2	2	22	16	—	—	1	3	7	12	30	20
17 0 —20	1	2	—	2	4	6	23	6	—	—	—	5	1	8	20	11	—	1	1	2	4	9	24	13
20 —40	—	1	—	2	3	10	31	8	—	2	1	4	3	4	32	13	2	—	1	—	7	11	32	7
40 — 0	1	—	—	2	8	12	23	18	—	1	1	2	1	13	21	20	2	—	4	1	4	11	21	16
18 0 —20	—	1	—	1	5	11	28	5	1	1	2	2	2	7	18	9	1	2	3	3	1	9	24	8
20 —40	2	3	—	2	6	14	60	54	2	—	3	2	4	21	42	35	2	1	1	2	3	18	46	24
40 — 0	1	1	4	2	6	20	58	41	—	—	2	3	10	18	61	50	—	2	5	1	9	25	61	43
19 0 —20	1	2	—	4	2	12	55	36	—	2	1	4	11	22	45	19	1	3	1	2	5	14	76	29
20 —40	—	1	—	5	3	12	64	27	1	3	1	3	3	18	60	11	—	—	2	3	5	21	47	39
40 — 0	—	—	1	—	5	19	69	21	1	2	1	2	5	15	52	35	2	—	2	4	5	21	67	36
20 0 —20	1	2	2	4	3	11	48	36	—	2	—	4	9	23	52	36	—	2	—	3	6	17	59	38
20 —40	—	—	3	3	5	17	30	41	—	—	—	3	6	17	44	32	—	—	1	6	8	15	46	35
40 — 0	4	—	—	—	8	12	49	24	1	—	1	4	5	7	51	24	—	1	1	1	8	8	55	33
21 0 —20	—	3	3	5	5	7	26	28	—	—	4	6	3	8	30	20	—	—	1	2	9	7	33	19
20 —40	2	—	—	—	7	6	30	23	—	1	—	2	4	13	30	20	1	—	—	3	6	11	44	19
40 — 0	1	1	4	4	1	7	45	21	1	—	1	3	1	6	45	11	—	—	—	2	7	8	32	17
22 0 —20	1	—	1	3	7	5	41	26	1	—	1	2	5	10	37	27	3	3	—	—	3	16	25	19
20 —40	—	—	—	2	—	6	39	27	1	1	2	1	6	7	16	37	—	2	1	2	2	6	25	35
40 — 0	—	1	—	1	3	19	26	26	—	3	—	1	3	10	27	32	2	1	1	3	5	8	31	27
23 0 —20	2	1	—	—	4	8	25	30	—	1	1	1	3	9	37	30	1	—	—	3	7	11	30	37
20 —40	—	1	1	1	3	11	29	29	—	1	—	2	3	9	22	30	1	1	1	1	3	9	25	34
40 — 0	2	1	—	6	3	7	28	28	1	—	—	1	1	10	30	27	—	1	—	3	2	6	15	31
Summa	58	58	74	147	356	921	2723	2026	55	66	78	164	372	877	2636	1902	69	69	100	170	362	891	2698	1885

Rectascens.	Declination — 9⁰								Declination — 10⁰								Declination — 11⁰							
Grösse:	1.0	6.6	7.1	7.6	8.1	8 6	9.1	9.6	1.0	6.6	7.1	7.6	8.1	8.6	9.1	9.6	1.0	6.6	7.1	7.6	8.1	8.6	9.1	9.6
0ʰ 0ᵐ—20ᵐ	2	—	1	3	4	11	36	22	1	—	1	4	3	7	30	30	—	—	—	1	3	12	29	27
20 —40	—	—	—	1	2	6	34	29	—	1	1	1	4	18	31	29	1	1	1	2	2	8	28	24
40 — 0	1	1	1	1	3	4	27	30	3	1	—	2	2	10	24	31	1	—	1	3	2	11	28	25
1 0 —20	1	1	—	2	2	5	22	23	2	—	1	1	4	15	22	28	1	—	—	2	3	10	24	20
20 —40	—	2	—	2	4	3	18	33	1	—	2	3	3	9	25	25	1	—	2	4	7	7	30	23
40 — 0	1	1	1	—	8	10	26	18	—	2	1	2	4	10	22	16	2	1	2	1	3	8	29	13
2 0 —20	—	1	1	2	4	10	24	17	1	2	1	—	7	4	30	15	1	—	—	1	3	10	32	12
20 —40	—	1	1	—	5	6	27	26	1	1	—	2	3	7	28	14	—	1	1	—	2	13	29	15
40 — 0	1	—	—	3	6	12	24	21	3	1	—	1	5	5	23	24	—	1	1	2	2	5	38	22
3 0 —20	2	1	—	—	3	18	14	31	—	—	2	2	3	9	24	28	—	—	2	1	1	10	27	27
20 —40	1	1	1	1	5	13	27	32	4	2	—	3	2	7	27	20	2	1	—	2	6	6	30	25
40 — 0	1	1	—	1	3	11	31	20	1	1	—	3	8	7	37	36	—	—	1	1	4	7	34	19
4 0 —20	1	1	—	3	5	11	41	23	1	2	2	3	7	10	25	33	—	—	—	2	—	13	36	25
20 —40	1	1	—	3	5	10	40	21	—	—	1	1	8	16	31	33	1	—	2	—	6	10	33	29
40 — 0	—	—	1	3	6	14	44	31	1	—	2	4	4	18	38	22	—	2	—	2	7	18	45	35
5 0 —20	—	—	—	4	4	14	39	16	1	—	1	3	7	16	40	22	—	1	1	4	9	16	43	33
20 —40	1	—	1	1	5	4	42	20	—	3	2	3	6	21	31	23	1	1	1	5	4	22	54	22
40 — 0	3	1	2	5	3	19	47	23	3	—	—	5	7	18	42	24	1	1	—	2	6	22	40	28
6 0 —20	2	—	3	3	14	19	60	32	—	1	3	5	9	27	48	54	2	4	1	—	6	18	42	35
20 —40	3	—	—	1	12	24	64	76	—	—	—	1	6	29	66	62	—	1	2	4	8	19	48	57
40 — 0	1	1	2	5	13	38	80	66	1	2	3	3	9	29	68	69	2	—	2	3	5	30	60	59
7 0 —20	1	1	2	5	12	20	81	76	2	1	1	1	7	30	81	54	1	—	2	2	13	15	58	57
20 —40	2	2	3	4	9	26	70	55	1	—	1	1	10	22	82	49	1	1	2	1	7	32	57	59
40 — 0	—	1	1	4	13	17	75	44	1	2	2	5	8	27	86	39	1	—	—	1	11	27	58	42
8 0 —20	1	—	3	4	11	20	59	46	1	3	—	5	1	25	76	26	—	—	1	2	15	21	59	24
20 —40	2	2	3	8	5	18	60	39	1	1	—	4	9	7	61	35	1	2	—	4	4	9	46	28
40 — 0	—	1	3	—	6	13	42	21	—	2	3	4	11	10	40	34	—	—	1	3	4	10	40	36
9 0 —20	—	1	5	2	2	13	43	27	1	1	3	5	8	14	29	32	2	—	1	2	6	11	34	35
20 —40	3	2	3	4	3	9	42	21	1	—	1	4	2	11	36	25	1	1	—	5	4	11	36	22
40 — 0	—	1	2	2	5	15	27	23	1	2	1	1	3	19	28	21	1	—	1	2	10	8	41	22
10 0 —20	—	—	—	2	3	8	43	25	1	1	—	4	5	9	36	14	2	1	3	3	7	9	29	22
20 —40	1	—	3	—	2	7	24	23	—	2	1	3	7	8	31	12	2	—	1	3	6	6	24	18
40 — 0	1	2	—	4	6	8	22	26	1	2	1	1	5	11	28	22	—	1	2	5	7	14	28	29
11 0 —20	1	—	2	1	5	13	27	33	1	—	1	2	4	13	20	27	2	—	1	2	7	7	18	34
20 —40	—	1	1	1	4	8	35	24	—	—	—	1	2	10	28	31	—	—	4	2	1	12	34	29
40 — 0	2	2	1	2	5	10	26	23	—	—	—	—	4	9	28	24	2	—	1	2	4	7	22	23
12 0 —20	1	—	1	1	4	10	26	23	1	—	—	2	2	11	23	30	—	2	—	2	3	13	17	27
20 —40	—	—	—	2	3	5	26	22	—	—	1	2	6	12	30	26	3	1	—	2	8	12	23	11
40 — 0	1	—	—	1	2	9	29	25	1	—	—	1	2	8	26	26	—	1	3	2	4	9	33	25
13 0 —20	2	1	2	3	1	8	20	34	1	3	2	3	3	8	23	22	1	2	3	2	2	9	32	24
20 —40	1	—	1	3	4	12	21	37	—	—	—	4	3	11	30	25	1	1	1	2	2	10	40	23
40 — 0	—	1	2	1	3	8	28	36	—	—	2	4	4	11	28	24	—	1	1	2	7	6	28	25
14 0 —20	2	1	1	—	2	15	32	36	—	—	—	3	1	5	30	39	3	—	2	3	5	14	26	23
20 —40	2	2	—	2	4	5	17	20	—	—	—	1	7	13	15	23	1	1	—	—	7	5	26	23
40 — 0	—	—	—	1	3	12	37	26	2	1	1	3	1	7	35	26	1	2	1	1	3	6	23	36
15 0 —20	1	—	—	1	3	9	42	17	—	1	1	4	6	9	27	21	1	—	1	1	4	15	21	28
20 —40	1	2	—	4	4	9	35	31	—	1	1	—	5	5	22	25	—	—	—	1	2	12	30	16
40 — 0	—	1	—	—	3	10	34	23	1	1	1	2	3	21	27	30	—	—	2	4	6	10	20	22
16 0 —20	2	—	1	3	7	10	30	37	—	—	1	5	5	11	27	20	1	—	1	1	5	13	40	10
20 —40	—	2	1	1	1	4	30	17	1	2	2	2	5	7	20	31	1	—	—	1	5	12	23	24
40 — 0	—	—	—	1	3	9	21	18	1	2	—	3	2	3	19	21	1	—	2	1	4	15	32	34
17 0 —20	—	2	1	1	2	5	32	9	1	1	3	1	5	8	24	12	—	—	3	4	2	11	27	32
20 —40	—	—	1	2	2	12	22	11	1	1	—	2	2	5	29	14	1	—	—	4	7	10	39	17
40 — 0	1	1	1	1	2	10	17	16	1	—	1	3	5	10	21	23	1	2	—	3	7	11	36	21
18 0 —20	2	1	1	1	7	15	40	19	1	—	—	2	7	12	40	22	—	1	5	4	2	12	49	28
20 —40	1	—	—	2	5	17	45	28	2	1	—	2	11	16	39	33	1	2	1	—	7	14	59	28
40 — 0	1	2	2	2	4	26	90	43	1	—	1	3	1	30	79	49	—	1	3	6	1	25	58	31
19 0 —20	—	—	2	3	7	21	62	38	—	1	1	1	11	15	41	48	—	1	5	1	9	29	53	30
20 —40	—	1	—	2	5	10	47	40	1	1	3	1	6	15	38	34	—	1	1	1	12	20	59	29
40 — 0	—	—	2	4	7	13	57	35	1	1	2	1	2	10	44	36	2	1	3	3	4	12	53	32
20 0 —20	1	1	1	—	2	10	54	36	2	—	1	3	6	16	39	49	1	—	1	5	2	16	38	35
20 —40	—	1	—	2	6	13	40	49	2	—	—	2	6	12	46	41	—	1	2	2	8	10	28	38
40 — 0	1	—	—	1	4	11	39	25	1	1	1	2	4	14	33	43	—	—	3	3	4	14	43	37
21 0 —20	1	3	2	2	3	9	35	35	1	—	1	2	2	11	27	24	2	—	—	1	5	10	26	30
20 —40	1	1	1	4	8	7	30	38	—	1	1	3	4	13	33	34	1	—	—	—	4	8	20	33
40 — 0	—	1	2	1	3	10	33	31	—	1	1	2	6	3	26	35	—	2	1	—	3	8	39	35
22 0 —20	1	—	1	1	4	5	17	31	—	1	—	1	7	10	29	34	1	1	1	2	5	11	37	19
20 —40	—	1	—	—	4	15	21	34	—	4	2	3	5	5	29	25	1	1	1	—	4	12	31	33
40 — 0	—	1	—	1	1	4	29	32	—	1	—	2	1	7	24	36	1	—	1	1	7	12	25	37
23 0 —20	2	—	2	1	6	11	21	27	1	1	1	2	2	5	19	23	1	—	—	5	5	11	33	21
20 —40	—	—	4	2	6	6	27	22	—	1	—	4	4	7	20	16	—	1	1	1	2	11	21	23
40 — 0	1	—	—	3	3	9	28	20	1	1	1	2	6	9	29	13	1	1	—	3	1	8	29	25
Summa	62	56	79	147	345	841	2657	2137	61	65	70	176	355	892	2493	2116	60	48	89	155	363	910	2560	2020

Rectascens.	Declination — 12°								Declination — 13°								Declination — 14°							
Grösse:	1.0	6.6	7.1	7.6	8.1	8.6	9.1	9.6	1.0	6.6	7.1	7.6	8.1	8.6	9.1	9.6	1.0	6.6	7.1	7.6	8.1	8.6	9.1	9.6
0^h 0^m — 20^m	—	—	—	1	9	4	23	31	2	1	1	2	2	7	28	34	1	3	—	3	5	10	26	19
20 — 40	1	3	1	3	3	5	29	22	1	—	—	—	2	3	34	17	—	—	1	2	5	7	16	36
40 — 0	2	—	—	—	2	7	36	22	—	—	1	3	3	7	30	23	1	1	1	2	2	10	19	42
1 0 — 20	—	—	2	2	7	10	20	16	1	—	1	2	1	6	29	22	—	3	—	3	7	9	20	28
20 — 40	1	—	2	1	6	11	29	20	—	—	1	2	6	10	18	20	—	1	1	—	6	7	26	12
40 — 0	2	—	—	3	6	6	20	21	—	1	1	4	4	8	20	23	—	1	—	2	8	10	20	18
2 0 — 20	1	—	2	—	4	5	23	29	—	2	—	2	4	13	21	26	—	1	1	—	2	9	29	19
20 — 40	1	1	1	1	8	13	27	17	—	1	3	2	5	11	24	28	1	—	—	3	7	8	33	21
40 — 0	—	1	1	1	3	6	35	26	2	—	—	4	6	9	29	19	—	2	1	3	1	7	37	24
3 0 — 20	—	—	1	2	3	9	28	14	1	—	—	1	4	11	21	18	2	—	5	3	4	8	23	26
20 — 40	1	2	—	3	3	8	24	17	1	1	3	1	4	13	21	47	—	1	2	1	1	12	27	29
40 — 0	2	—	2	2	7	8	30	37	2	—	1	2	5	7	30	26	—	1	1	3	2	11	26	30
4 0 — 20	1	—	1	—	6	8	41	38	—	—	—	3	3	15	25	23	—	1	1	4	7	5	27	35
20 — 40	1	3	—	2	6	12	33	37	1	2	1	3	8	11	40	23	2	—	—	1	6	5	27	18
40 — 0	1	—	—	5	6	10	27	36	1	—	1	3	6	19	29	33	3	1	1	3	5	9	29	34
5 0 — 20	4	2	—	2	7	12	40	28	3	—	1	5	4	10	33	32	2	—	2	5	7	13	33	26
20 — 40	1	—	2	6	4	16	36	34	—	—	3	3	11	18	26	31	—	—	—	2	1	15	41	38
40 — 0	1	1	3	1	7	17	39	41	—	1	1	4	7	16	34	48	4	2	1	3	6	8	41	37
6 0 — 20	1	—	—	2	9	18	45	40	1	1	1	2	4	21	58	52	2	1	1	—	11	12	39	51
20 — 40	1	1	2	4	8	17	54	43	2	—	2	2	6	29	47	62	2	1	1	1	7	20	43	55
40 — 0	—	2	2	6	7	28	72	51	1	—	—	6	13	23	57	75	2	—	1	4	6	16	49	59
7 0 — 20	—	—	3	2	8	30	61	79	1	1	3	7	9	24	70	79	1	—	3	—	12	30	65	73
20 — 40	—	1	1	3	12	30	50	66	—	1	1	3	7	32	82	82	3	5	2	6	7	34	90	156
40 — 0	—	3	1	2	13	24	62	98	1	—	4	4	7	23	65	62	1	—	1	3	9	27	80	47
8 0 — 20	3	3	—	1	3	20	71	88	1	1	2	4	9	18	79	41	1	1	4	3	9	22	64	46
20 — 40	—	2	2	4	12	14	71	36	1	1	—	6	8	18	53	45	—	2	—	4	11	13	52	42
40 — 0	1	1	—	1	12	18	55	40	—	—	1	3	8	14	29	37	1	—	—	2	11	12	32	44
9 0 — 20	—	2	2	2	4	13	41	34	—	1	1	4	4	12	32	35	—	3	3	4	3	14	42	39
20 — 40	1	1	1	—	8	13	33	35	1	1	2	3	3	15	37	31	1	—	1	1	6	8	30	42
40 — 0	1	3	4	1	5	17	47	18	—	—	3	3	2	14	32	27	1	—	1	1	4	12	33	31
10 0 — 20	1	4	3	1	7	15	20	33	1	—	—	1	1	19	33	36	1	2	2	3	4	11	31	38
20 — 40	1	3	1	3	2	11	39	39	1	1	—	3	3	17	34	34	—	1	3	1	4	13	19	20
40 — 0	2	1	—	4	2	10	22	41	1	—	—	—	4	10	30	48	—	2	3	4	7	7	18	40
11 0 — 20	—	1	1	1	4	13	25	37	1	—	2	3	2	7	17	32	—	—	1	1	1	12	23	26
20 — 40	1	1	1	1	2	5	18	28	1	—	—	1	4	9	30	29	—	1	—	2	3	9	21	43
40 — 0	—	1	3	1	3	6	29	32	—	1	—	2	3	10	15	14	—	—	1	1	6	9	17	20
12 0 — 20	1	—	—	4	3	7	39	22	—	1	2	1	3	2	26	13	—	2	—	2	7	6	24	17
20 — 40	3	1	—	1	2	10	26	12	1	3	—	—	2	1	31	21	—	1	2	4	6	6	14	26
40 — 0	—	1	2	3	4	11	30	11	—	1	1	2	4	6	28	17	1	1	5	—	2	6	29	27
13 0 — 20	—	1	2	2	8	4	25	21	1	1	2	1	1	7	33	8	—	1	1	2	6	9	27	29
20 — 40	1	1	1	1	5	14	32	26	—	1	—	1	2	12	28	16	1	—	2	2	5	9	30	30
40 — 0	—	2	1	4	—	4	24	29	—	2	2	—	3	8	22	22	1	—	1	2	5	8	30	31
14 0 — 20	1	3	—	1	3	12	33	37	—	1	—	5	4	9	21	33	—	1	—	4	3	9	32	32
20 — 40	—	1	—	1	6	16	29	25	—	1	—	—	5	14	27	33	1	—	1	1	5	6	19	34
40 — 0	1	1	2	5	2	8	25	26	1	—	1	1	1	6	32	48	—	1	1	8	8	10	32	36
15 0 — 20	—	1	1	2	7	4	23	18	—	1	3	1	2	17	34	39	1	—	3	1	4	10	39	27
20 — 40	—	1	2	3	3	7	35	27	—	—	2	1	8	11	33	26	1	2	1	—	4	6	40	19
40 — 0	1	—	1	1	5	9	38	34	2	3	1	4	3	9	40	34	—	1	—	4	3	11	38	18
16 0 — 20	1	—	3	1	6	16	33	28	—	1	2	1	5	15	33	32	2	—	1	2	2	7	28	27
20 — 40	—	2	1	1	6	8	27	33	—	1	3	2	2	11	23	30	1	—	1	2	9	8	23	16
40 — 0	—	2	1	2	5	13	31	20	—	1	1	—	2	9	13	14	2	1	1	—	7	10	24	21
17 0 — 20	3	2	1	5	2	13	40	22	—	—	—	1	4	13	39	20	1	1	—	2	6	8	54	27
20 — 40	1	—	—	1	6	12	38	24	2	1	2	5	8	17	49	46	1	—	1	3	12	16	53	38
40 — 0	—	—	3	3	4	14	36	29	—	—	1	3	4	15	46	36	—	—	1	3	7	15	61	38
18 0 — 20	1	—	3	4	5	14	64	38	1	—	—	2	7	16	66	39	—	2	—	2	10	20	80	52
20 — 40	1	2	2	4	6	19	48	31	—	—	2	5	10	18	44	34	2	6	2	—	7	16	64	33
40 — 0	—	2	2	1	4	19	67	24	2	—	1	6	5	22	68	32	—	1	1	3	8	8	52	27
19 0 — 20	1	—	2	1	4	22	59	30	—	—	2	2	6	17	57	41	2	1	3	4	8	17	70	38
20 — 40	1	—	2	4	5	16	69	30	—	1	2	3	7	10	49	45	2	—	3	2	5	15	52	38
40 — 0	2	1	3	4	6	19	49	31	2	—	1	—	8	12	35	47	1	1	2	—	3	10	40	32
20 0 — 20	3	1	—	3	5	6	47	21	2	1	—	3	4	11	31	37	—	1	2	4	11	11	41	37
20 — 40	—	3	2	1	12	12	38	34	—	—	2	3	3	9	31	36	1	—	1	1	4	12	48	31
40 — 0	1	1	1	1	4	6	28	31	1	3	1	2	9	12	35	33	—	1	1	4	3	16	29	33
21 0 — 20	—	—	2	2	3	16	26	39	2	1	2	1	3	12	32	25	—	1	3	3	3	20	37	25
20 — 40	1	2	1	2	4	10	35	38	—	1	—	2	4	8	41	31	1	3	—	4	3	16	46	24
40 — 0	—	—	—	1	3	10	32	40	1	—	3	1	1	11	29	40	2	—	3	1	4	14	31	31
22 0 — 20	1	1	1	2	7	11	29	43	1	—	—	1	2	16	43	27	3	—	1	2	6	8	33	21
20 — 40	—	—	1	1	4	7	30	33	—	1	—	3	2	10	34	25	—	—	—	2	4	11	27	14
40 — 0	1	1	—	3	2	4	34	32	1	—	—	—	6	13	34	19	2	—	—	2	2	12	25	21
23 0 — 20	1	1	1	2	2	4	27	30	—	1	2	1	5	8	24	22	1	2	3	3	4	13	26	13
20 — 40	3	1	2	1	1	5	29	24	2	—	—	1	4	4	26	18	—	—	1	5	5	10	24	29
40 — 0	—	—	1	4	5	8	21	18	—	—	2	1	2	5	28	21	1	1	1	1	5	13	24	27
Summa	63	78	92	156	377	859	2651	2335	51	46	84	169	333	905	2557	2374	63	69	95	169	399	846	2594	2383

Rectascens.	Declination —15°								Declination —16°								Declination —17°							
Grösse:	1.0	6.6	7.1	7.6	8.1	8.6	9.1	9.6	1.0	6.6	7.1	7.6	8.1	8.6	9.1	9.6	1.0	6.6	7.1	7.6	8.1	8.6	9.1	9.6
0h 0m—20m	—	3	—	1	9	13	26	18	1	1	—	—	5	19	22	25	—	—	1	3	3	13	26	14
20 —40	1	1	—	1	4	10	29	26	—	—	—	1	2	11	24	21	2	—	1	3	5	8	33	26
40 — 0	—	—	—	2	6	8	25	18	—	1	1	3	5	4	10	24	—	1	—	1	4	7	18	25
1 0 —20	1	—	2	3	1	10	29	22	2	1	—	1	2	8	25	24	—	1	3	—	3	8	24	28
20 —40	—	—	1	4	2	8	12	18	3	—	2	4	5	4	25	18	—	—	1	2	2	7	21	22
40 — 0	—	1	1	2	4	10	20	15	1	2	1	3	5	13	25	20	1	—	3	3	4	9	27	25
2 0 —20	1	1	3	4	3	8	23	19	1	—	1	3	6	5	23	30	—	—	1	2	8	14	20	38
20 —40	2	3	2	1	5	14	20	14	—	1	2	2	3	13	22	15	—	—	1	3	2	9	20	28
40 — 0	—	—	2	2	2	7	26	13	—	—	1	3	4	6	24	23	—	2	2	3	2	7	26	25
3 0 —20	—	—	3	3	2	5	23	20	1	2	—	1	7	13	30	22	1	—	1	2	3	8	30	19
20 —40	2	2	—	2	2	5	26	17	—	—	1	1	8	12	25	15	1	2	2	2	3	12	18	19
40 — 0	—	2	—	4	5	5	25	22	1	—	1	1	8	7	28	33	—	—	2	5	4	13	27	17
4 0 —20	—	—	1	2	5	8	32	21	1	3	2	3	4	12	27	28	1	1	1	2	8	16	25	32
20 —40	—	1	—	1	3	5	39	25	—	—	1	—	4	11	34	35	—	—	2	3	7	7	24	26
40 — 0	—	—	1	6	8	9	32	29	5	—	1	3	6	17	35	31	1	2	1	1	3	11	32	25
5 0 —20	1	—	3	2	8	15	34	27	1	—	—	2	6	17	44	31	2	4	1	3	7	14	26	47
20 —40	—	—	3	3	10	19	54	35	1	1	2	2	11	14	26	35	2	1	1	5	8	16	38	39
40 — 0	—	—	3	3	6	18	38	40	2	—	1	5	2	18	43	49	—	1	—	3	6	16	41	48
6 0 —20	—	1	3	2	3	20	40	47	1	2	2	3	9	20	43	47	2	1	1	2	7	18	55	52
20 —40	—	—	2	7	8	18	40	47	2	—	2	2	7	24	48	30	2	—	1	3	7	27	40	46
40 — 0	1	—	3	3	6	18	53	58	2	—	3	2	13	24	64	62	—	1	1	6	7	18	58	70
7 0 —20	2	2	4	3	4	26	61	71	2	—	2	3	3	21	71	89	—	2	1	5	8	25	68	87
20 40	—	2	3	4	12	24	85	84	1	1	—	4	8	22	51	76	1	—	2	3	4	34	67	65
40 — 0	1	1	4	4	11	29	85	86	1	2	2	3	8	27	65	64	1	2	—	4	5	25	74	70
8 0 —20	3	—	2	6	9	31	56	72	—	3	—	3	7	24	61	59	1	—	—	2	5	25	70	61
20 —40	2	1	3	3	7	23	70	41	1	—	—	5	10	22	52	42	—	2	1	2	8	21	64	52
40 — 0	1	1	2	3	6	14	50	38	2	2	3	2	6	17	40	30	1	—	1	—	7	17	48	30
9 0 —20	1	1	—	2	5	11	35	40	—	1	3	—	11	6	38	41	1	1	2	3	2	16	41	42
20 —40	—	—	1	5	7	18	39	34	—	—	2	1	5	22	25	44	—	1	—	1	7	14	35	45
40 — 0	1	1	1	6	6	9	26	29	—	2	1	2	3	18	33	27	—	1	1	6	4	13	45	34
10 0 —20	—	—	1	3	3	12	24	38	2	—	1	3	4	13	32	33	1	—	3	—	5	12	40	23
20 —40	1	—	—	3	3	15	23	23	2	—	1	5	4	11	26	20	—	2	1	1	5	14	25	30
40 — 0	2	1	1	1	4	13	28	21	—	—	1	4	4	10	23	23	1	1	—	—	7	6	25	34
11 0 —20	—	—	—	3	5	5	22	33	1	—	1	3	1	11	21	25	2	—	1	2	5	13	31	29
20 —40	2	2	1	3	8	6	29	35	—	2	1	1	2	10	22	32	1	1	1	2	5	11	37	27
40 — 0	1	—	3	3	2	8	28	20	1	—	—	—	6	11	28	22	—	1	—	—	9	9	25	42
12 0 —20	—	1	2	2	2	6	21	17	1	1	—	1	9	5	28	28	—	2	1	2	7	6	24	28
20 —40	2	1	—	4	4	7	28	18	—	1	2	2	4	12	17	30	1	1	3	2	5	9	35	28
40 — 0	1	—	—	1	4	6	28	25	—	—	1	2	7	12	22	25	—	3	1	1	3	13	19	23
13 0 —20	2	1	—	—	4	8	28	28	1	1	2	1	2	7	22	28	1	1	1	1	6	11	33	24
20 —40	2	1	—	2	4	12	24	24	—	—	—	2	4	14	21	39	2	1	1	2	6	8	29	33
40 — 0	—	1	1	4	4	7	23	32	—	2	—	—	3	9	24	24	1	1	1	2	3	15	34	20
14 0 —20	1	1	—	3	3	9	21	28	—	—	—	1	4	5	20	33	2	—	—	2	3	15	32	31
20 —40	—	1	2	—	5	9	24	37	—	—	1	2	5	9	28	22	—	—	1	3	6	6	34	32
40 — 0	3	1	—	1	7	12	29	26	—	3	—	1	1	12	39	17	1	2	—	—	4	14	27	30
15 0 —20	2	—	1	1	8	6	35	29	—	—	1	3	2	9	36	25	2	2	1	1	1	7	33	36
20 —40	1	1	1	3	3	11	38	17	3	2	3	1	8	6	31	19	—	—	1	2	1	9	41	32
40 — 0	—	1	—	3	5	10	32	8	2	—	1	1	5	9	31	13	1	1	2	4	3	10	26	23
16 0 —20	—	1	—	2	3	8	44	15	—	1	—	1	6	5	33	19	1	1	2	1	3	8	41	25
20 —40	—	—	2	2	3	9	34	18	1	—	—	3	4	6	30	17	1	—	3	1	3	11	27	12
40 — 0	1	—	2	2	3	17	28	10	1	1	—	3	1	8	34	24	1	1	2	4	6	12	36	19
17 0 —20	1	4	3	2	5	24	47	14	1	—	3	2	5	15	45	31	1	—	1	6	8	14	38	26
20 —40	2	—	2	2	3	18	64	36	—	1	—	2	3	11	34	45	—	2	2	4	7	13	43	40
40 — 0	1	—	—	5	5	17	77	38	—	1	2	6	3	13	43	32	2	1	2	3	3	7	53	38
18 0 —20	1	2	5	5	5	18	86	26	—	—	3	4	10	24	77	49	1	1	2	3	8	28	82	49
20 —40	—	—	2	4	5	16	57	37	—	1	3	5	13	22	72	33	—	2	2	3	2	13	66	27
40 — 0	3	—	1	2	7	20	64	50	2	—	3	4	11	11	72	25	—	1	2	6	9	25	85	39
19 0 —20	2	—	1	1	6	15	64	27	1	2	2	9	6	30	71	36	—	2	1	6	9	20	81	31
20 —40	1	1	2	2	5	19	59	22	2	—	4	5	4	16	67	20	—	2	1	3	6	19	46	36
40 — 0	1	1	1	6	6	13	45	18	—	—	3	4	5	15	24	15	—	—	3	2	4	11	59	35
20 0 —20	1	2	2	4	7	21	58	19	—	1	2	4	4	10	53	26	—	1	1	6	7	9	51	45
20 —40	2	1	1	3	6	20	53	33	2	2	1	3	3	14	40	32	1	1	4	3	2	11	37	42
40 — 0	1	—	2	—	8	12	54	22	1	—	4	3	7	8	35	40	1	1	1	4	4	11	33	44
21 0 —20	2	—	2	5	6	8	32	39	—	1	2	2	6	7	27	20	2	1	—	—	3	5	41	45
20 —40	2	—	2	1	5	10	29	32	1	—	1	1	8	10	21	39	1	—	2	2	8	7	32	41
40 — 0	—	4	2	1	6	6	26	28	—	1	—	2	4	12	32	30	—	2	—	2	3	8	29	25
22 0 —20	—	1	2	4	4	13	33	26	1	—	1	3	7	11	15	20	2	1	2	1	2	12	38	25
20 —40	—	2	1	2	3	8	22	10	—	1	1	1	5	10	25	25	—	2	1	3	3	12	17	25
40 — 0	—	—	1	3	9	14	29	20	1	—	—	1	6	11	22	20	2	1	—	4	6	8	22	39
23 0 —20	2	—	—	1	6	11	28	29	1	2	—	—	4	10	27	33	—	—	2	2	4	13	26	32
20 —40	3	—	—	4	5	9	25	24	2	2	1	1	2	9	25	28	—	—	1	3	4	8	32	16
40 — 0	2	—	3	—	5	9	22	7	2	—	—	1	5	7	22	20	1	1	3	1	2	9	25	19
Summa	68	56	105	197	373	915	2718	2105	64	54	89	171	390	921	2500	2227	53	69	94	183	353	930	2731	2457

Rectascens.	Declination —18°								Declination —19°								Declination —20°							
Grösse:	1.0	6.6	7.1	7.6	8.1	8.6	9.1	9.6	1.0	6.6	7.1	7.6	8.1	8.6	9.1	9.6	1.0	6.6	7.1	7.6	8.1	8.6	9.1	9.6
0^h 0^m—20^m	2	2	1	2	1	9	23	18	1	2	3	2	—	10	27	16	1	—	—	3	1	8	25	27
20 —40	1	—	—	—	4	17	27	19	—	1	—	3	5	6	21	23	1	1	—	2	2	13	22	26
40 — 0	1	—	2	1	3	6	17	25	—	—	1	2	5	7	22	22	—	1	1	5	6	6	23	25
1 0 —20	—	1	1	1	3	6	20	20	—	2	—	—	3	11	28	23	—	—	2	2	7	8	17	34
20 —40	1	2	2	1	5	15	22	23	—	1	2	2	3	5	22	28	—	1	—	1	5	10	22	30
40 — 0	—	2	1	1	6	9	26	18	—	—	—	3	1	11	26	35	—	—	1	—	1	8	27	23
2 0 —20	2	1	1	2	3	14	14	22	2	—	2	1	2	7	22	35	1	1	2	1	3	12	17	20
20 —40	—	1	—	1	3	12	13	16	1	—	—	1	5	11	21	29	—	1	2	1	3	11	23	20
40 — 0	—	1	—	3	4	10	27	19	—	—	1	2	4	17	21	38	—	—	1	—	5	7	22	30
3 0 —20	—	1	—	4	8	10	23	27	1	—	2	2	6	10	23	24	1	2	2	1	2	5	22	22
20 —40	—	—	1	—	6	7	23	19	—	2	3	2	7	6	25	20	1	2	2	2	6	8	25	19
40 — 0	1	—	2	3	3	11	40	25	—	3	2	1	2	9	33	28	2	2	1	5	7	14	22	25
4 0 —20	1	2	1	4	4	10	36	29	1	2	1	4	9	15	30	36	2	—	—	2	6	13	30	14
20 —40	1	1	3	2	7	12	24	29	2	—	1	2	4	14	31	38	1	1	1	2	4	14	36	22
40 — 0	—	1	2	1	6	10	33	30	—	—	2	1	2	13	37	30	1	—	1	1	4	14	37	19
5 0 —20	1	1	2	5	3	14	40	25	1	1	1	2	4	9	39	24	—	—	2	2	7	12	36	19
20 —40	1	1	2	2	6	21	30	29	—	—	1	3	7	13	41	23	3	1	1	1	10	9	48	25
40 — 0	—	1	1	4	8	19	50	37	1	—	3	3	3	11	42	23	1	—	—	3	8	15	53	20
6 0 —20	2	1	1	2	5	22	51	35	2	2	—	2	9	8	52	20	2	—	1	2	6	13	58	21
20 —40	2	—	3	3	6	19	50	39	2	—	3	4	7	14	61	14	—	3	2	6	9	30	80	46
40 — 0	1	1	1	—	4	27	63	42	2	2	3	3	8	24	77	17	2	1	3	2	9	21	72	47
7 0 —20	1	2	2	5	11	22	64	47	1	1	2	3	6	24	84	77	1	1	4	4	10	29	87	82
20 —40	—	—	3	4	7	27	80	57	3	1	1	2	3	21	78	57	—	—	—	6	8	33	88	105
40 — 0	1	—	1	3	8	17	72	55	2	2	1	5	6	21	99	56	1	—	4	3	9	17	101	74
8 0 —20	1	—	2	3	5	19	87	48	1	2	—	2	8	27	88	33	2	1	1	2	7	26	71	33
20 —40	—	1	1	5	3	24	66	36	1	1	3	3	5	21	64	22	1	3	1	4	9	27	75	27
40 — 0	2	2	1	3	6	12	46	29	—	—	1	4	6	10	41	34	1	1	1	2	9	11	47	46
9 0 —20	—	1	1	1	6	12	43	40	1	—	1	2	5	15	29	40	—	1	3	2	6	14	35	50
20 —40	1	1	1	5	6	14	34	38	—	2	—	1	6	11	39	48	2	1	—	6	8	15	39	41
40 — 0	1	—	2	2	5	4	29	25	1	1	—	4	5	11	31	42	—	—	1	5	8	19	27	27
10 0 —20	—	4	1	3	6	9	34	32	1	1	3	1	5	18	37	33	—	3	—	2	4	9	20	34
20 —40	1	2	1	1	9	12	40	25	—	—	1	2	2	14	33	36	—	—	—	2	4	11	40	36
40 — 0	1	1	2	—	1	18	33	24	2	1	—	3	5	12	30	24	—	2	1	4	3	14	23	33
11 0 —20	1	2	1	—	5	14	27	23	—	1	3	5	4	15	26	37	1	1	—	4	6	5	24	32
20 —40	—	—	—	1	4	10	24	22	2	—	2	2	1	10	30	27	—	—	2	3	4	8	36	33
40 — 0	1	—	1	3	5	12	29	36	—	—	1	2	3	12	20	29	—	—	2	3	4	6	27	30
12 0 —20	—	2	1	4	2	8	22	27	—	–	3	2	5	16	27	31	1	—	1	5	2	11	34	16
20 —40	3	—	1	1	7	14	19	28	—	1	2	—	5	8	27	30	1	—	2	1	8	6	33	17
40 — 0	—	—	1	5	4	9	24	33	1	1	2	2	6	9	24	25	—	1	1	1	3	9	25	24
13 0 —20	2	—	1	—	3	9	32	18	2	—	1	—	3	8	25	13	—	1	1	3	1	7	21	13
20 —40	—	—	2	1	3	9	35	25	—	—	1	1	3	7	19	24	—	—	—	1	4	11	27	19
40 — 0	—	1	—	—	4	7	26	32	—	1	1	—	3	12	24	33	—	1	1	3	5	12	28	25
14 0 —20	1	—	1	2	2	16	32	19	—	1	2	2	3	5	30	26	—	—	2	3	5	7	29	22
20 —40	—	1	—	2	5	15	27	25	—	1	1	2	3	7	38	21	2	—	1	1	2	5	26	27
40 — 0	—	—	2	3	6	14	20	34	—	—	3	1	3	11	31	20	1	—	—	1	4	8	27	17
15 0 —20	—	1	2	—	3	9	43	33	3	—	2	—	4	12	34	25	—	1	—	3	5	8	38	29
20 —40	1	—	—	3	4	11	30	47	2	2	—	2	3	17	42	42	1	1	—	3	5	10	32	32
40 — 0	1	1	2	1	3	9	32	24	2	—	1	5	3	14	27	43	3	—	4	2	10	12	32	24
16 0 —20	2	1	1	1	3	5	19	13	4	—	4	1	4	6	23	14	—	2	—	1	2	5	28	42
20 —40	—	1	1	2	3	7	19	10	1	—	—	1	6	10	27	12	1	—	1	—	2	6	34	25
40 — 0	1	1	1	2	6	14	47	24	—	1	—	4	10	14	52	25	1	2	—	3	6	10	46	16
17 0 —20	1	—	1	1	11	20	43	34	1	1	—	6	3	12	54	28	1	—	4	4	11	19	50	41
20 —40	—	3	—	2	4	13	61	31	—	—	—	5	4	12	30	15	—	1	—	2	8	14	46	30
40 — 0	1	—	3	2	9	28	59	48	—	5	1	6	10	24	66	40	2	—	1	2	7	19	63	31
18 0 —20	1	2	3	4	13	24	78	50	—	1	1	6	9	24	83	32	3	—	2	3	4	19	84	35
20 —40	2	—	2	2	5	13	65	12	1	4	1	2	10	24	88	24	2	1	3	2	3	19	60	28
40 — 0	1	2	2	2	7	24	69	34	2	3	2	3	7	17	83	27	2	—	—	6	11	26	54	37
19 0 —20	2	1	2	5	9	19	91	31	2	—	1	3	10	17	72	42	1	1	1	4	16	22	70	44
20 —40	1	—	1	3	7	17	55	32	1	1	1	4	7	15	51	63	1	—	—	3	5	17	78	45
40 — 0	—	—	2	4	8	16	51	31	1	3	1	5	6	19	46	34	—	1	—	—	8	16	55	29
20 0 —20	1	—	5	6	5	14	37	15	1	2	—	2	6	11	47	33	—	—	2	2	8	19	58	30
20 —40	2	—	2	—	3	5	43	35	1	1	2	3	7	15	46	30	—	—	—	—	1	14	42	37
40 — 0	2	1	1	2	4	10	40	28	2	3	1	—	7	9	46	31	1	2	—	1	8	19	38	32
21 0 —20	1	—	1	1	2	6	45	21	—	—	1	3	3	14	23	30	—	3	3	1	8	7	27	29
20 —40	—	—	1	1	3	4	40	22	2	—	3	3	5	8	23	18	3	—	4	—	2	8	36	26
40 — 0	—	2	—	2	4	6	28	18	—	1	1	2	1	11	24	19	—	—	1	1	5	12	29	22
22 0 —20	—	—	—	4	4	5	22	21	2	—	—	2	2	9	24	19	—	—	2	1	4	15	22	25
20 —40	1	1	—	1	7	13	22	20	1	1	—	3	5	4	17	26	1	—	—	1	4	6	17	24
40 — 0	—	—	—	1	1	6	26	26	1	1	1	—	2	12	25	24	1	—	—	3	5	7	13	29
23 0 —20	1	—	—	3	7	10	22	13	—	3	3	1	3	8	21	15	1	1	—	—	4	4	18	23
20 —40	2	—	—	1	6	6	20	24	2	—	—	1	3	5	22	20	—	—	—	3	1	13	19	24
40 — 0	2	—	2	—	5	8	24	19	1	—	2	3	4	7	24	19	1	—	1	2	1	11	24	29
Summa	60	57	91	155	367	929	2728	2040	67	69	95	172	344	906	2795	2114	59	50	83	168	398	928	2820	2215

Rectascens.	Declination — 21°								Declination — 22°							
Grösse:	1.0-6.5	6.6-7.0	7.1-7.5	7.6-8.0	8.1-8.5	8.6-9.0	9.1-9.5	9.6-10.0	1.0-6.5	6.6-7.0	7.1-7.5	7.6-8.0	8.1-8.5	8.6-9.0	9.1-9.5	9.6-10.0
$0^h\ 0^m - 20^m$	1	3	—	—	1	4	22	21	—	1	5	1	6	7	21	30
20 — 40	2	—	2	—	2	13	18	22	1	—	—	3	5	11	23	19
40 — 0	—	1	2	3	3	8	17	25	1	—	—	5	5	4	27	24
1 0 — 20	—	—	2	2	1	8	25	25	—	—	—	4	1	12	15	16
20 — 40	—	2	1	3	3	8	21	24	2	1	—	3	2	5	23	11
40 — 0	3	—	2	—	5	9	37	25	—	1	—	4	9	7	18	24
2 0 — 20	1	—	—	3	6	10	21	18	—	—	—	3	4	7	26	16
20 — 40	—	3	1	1	6	6	22	22	—	2	2	1	4	5	29	22
40 — 0	1	—	3	4	6	6	26	19	1	1	1	1	4	10	31	21
3 0 — 20	—	2	1	3	—	11	31	17	1	—	—	—	5	10	24	18
20 — 40	—		—	4	3	17	30	15	1	—	—	2	8	15	27	15
40 — 0	1	2	2	2	5	16	26	33	—	3	—	1	4	14	30	22
4 0 — 20	1	—	2	1	10	12	46	13	1	1	1	1	3	18	36	14
20 — 40	2	1	4	4	7	22	34	29	—	1	—	2	4	9	40	33
40 — 0	—	2	1	3	8	13	47	27	1	—	1	2	5	19	42	25
5 0 — 20	1	—	1	3	3	11	47	30	—	—	1	5	7	16	39	31
20 — 40	1	1	3	3	5	17	42	16	2	2	—	4	3	17	54	35
40 — 0	—	2	—	5	8	17	33	29	—	2	—	1	2	17	41	26
6 0 — 20	1	—	—	—	8	12	54	33	2	1	1	1	7	21	36	26
20 — 40	—	2	2	4	4	17	52	45	1	3	1	2	7	9	53	40
40 — 0	1	2	3	2	8	15	71	61	1	—	1	4	11	27	88	45
7 0 — 20	—	1	3	2	7	25	84	68	1	4	—	2	6	34	69	51
20 — 40	1	3	2	3	13	24	72	57	2	1	—	4	5	14	58	65
40 — 0	—	—	1	6	9	15	77	41	3	—	2	3	3	15	60	48
8 0 — 20	—	2	1	1	13	24	87	48	2	—	1	1	2	13	59	40
20 — 40	—	1	1	6	7	24	48	58	1	2	—	2	4	12	63	37
40 — 0	—	—	—	2	13	22	47	27	—	1	3	2	10	9	53	30
9 0 — 20	—	—	2	1	4	18	47	33	1	2	2	6	9	20	41	32
20 — 40	1	—	2	4	7	18	44	32	3	1	3	6	3	16	44	27
40 — 0	1	—	2	3	2	7	41	20	—	1	2	3	7	19	45	41
10 0 — 20	—	2	—	5	6	12	34	27	1	—	5	2	3	13	35	29
20 — 40	—	1	5	1	3	14	24	36	1	2	1	3	2	15	36	26
40 — 0	—	—	1	4	3	12	29	37	—	—	—	4	6	13	26	26
11 0 — 20	—	1	2	3	7	10	31	21	1	—	3	3	2	10	23	22
20 — 40	—	—	1	—	5	10	28	23	—	1	1	1	4	13	22	28
40 — 0	1	—	3	3	4	13	34	39	—	1	2	2	5	8	27	32
12 0 — 20	3	—	—	2	6	9	25	22	1	1	—	1	4	11	28	37
20 — 40	—	—	1	2	3	14	29	14	2	—	1	1	5	14	18	31
40 — 0	1	1	—	2	3	6	25	9	—	1	2	1	2	7	33	15
13 0 — 20	—	—	2	4	5	5	26	21	2	2	2	1	7	13	26	34
20 — 40	1	—	1	3	4	7	21	20	—	2	—	2	5	11	27	19
40 — 0	1	1	1	2	3	13	24	27	—	1	—	4	3	13	21	23
14 0 — 20	—	1	2	6	1	4	24	26	—	—	1	—	4	10	24	27
20 — 40	—	1	3	5	3	8	20	17	1	1	2	2	1	8	28	13
40 — 0	1	—	1	5	4	10	24	25	—	—	1	2	4	3	28	17
15 0 — 20	1	—	1	1	2	16	33	25	—	—	—	1	6	8	24	18
20 — 40	—	1	2	1	6	6	33	30	1	2	—	3	2	10	27	23
40 — 0	—	2	3	1	5	12	43	22	1	1	2	3	3	7	26	23
16 0 — 20	—	2	3	1	6	6	40	20	—	—	3	4	5	12	28	19
20 — 40	1	—	—	4	2	10	23	19	1	3	1	2	1	8	23	10
40 — 0	2	3	2	2	6	13	53	19	1	—	1	1	2	6	34	23
17 0 — 20	1	2	1	—	9	18	41	25	—	—	1	2	3	10	32	16
20 — 40	3	—	—	—	7	19	57	39	—	1	3	—	2	15	43	17
40 — 0	1	1	1	3	6	11	60	40	1	2	5	5	7	16	72	42
18 0 — 20	2	—	—	—	6	17	76	49	—	—	1	3	7	16	75	55
20 — 40	2	1	2	1	10	17	60	35	1	—	1	4	7	22	56	37
40 — 0	3	1	—	2	11	14	68	24	3	3	1	1	9	11	64	31
19 0 — 20	1	1	1	2	8	12	82	25	2	—	1	3	7	25	54	39
20 — 40	1	2	2	5	10	16	60	32	—	—	1	2	5	13	55	45
40 — 0	—	1	—	4	6	8	42	35	1	1	—	5	—	9	54	30
20 0 — 20	—	1	1	4	9	13	43	28	1	—	2	3	6	8	42	31
20 — 40	1	3	—	2	5	21	36	44	2	—	1	4	1	10	49	35
40 — 0	—	1	2	1	6	11	32	44	—	—	1	1	7	13	28	26
21 0 — 20	5	—	3	1	5	13	29	35	—	1	—	3	7	13	27	27
20 — 40	—	—	—	—	5	11	36	19	1	—	1	4	3	11	32	23
40 — 0	1	—	2	2	1	7	32	29	—	1	—	2	5	9	33	20
22 0 — 20	2	—	1	1	3	11	19	22	1	—	1	3	5	11	33	26
20 — 40	1	1	1	2	3	12	30	27	—	1	—	1	2	13	40	27
40 — 0	1	—	2	—	6	6	24	17	—	—	—	1	3	7	32	25
23 0 — 20	2	—	—	2	8	10	18	20	1	1	—	2	4	10	28	19
20 — 40	1	—	—	2	2	4	14	28	—	1	2	4	8	12	17	16
40 — 0	1	1	1	1	5	13	22	21	—	3	1	1	6	4	27	30
Summa	60	62	100	170	395	903	2773	2070	55	64	78	176	335	883	2672	1996

Über die

Biegung von Meridianfernrohren

von

Dr. Julius Bauschinger
Observator der K. Sternwarte.

Über die Biegung von Meridianfernrohren.

I.

Bekanntlich zeigen die Bestimmungen der absoluten Declinationen der Gestirne, wie sie von verschiedenen gleichwerthigen Instrumenten geliefert werden, Unterschiede, die man in Folge der Kleinheit der jeweiligen mittleren Fehler der durch ein und dasselbe Instrument gelieferten Beobachtungsreihe, nicht durch die unvermeidlichen zufälligen Beobachtungsfehler erklären kann. Man hat mit Recht auf die Biegung der verschiedenen Theile des Meridianinstrumentes als auf jene Fehlerquelle hingewiesen, welche in Folge der Schwierigkeiten, die ihre Berücksichtigung bei der Reduction der Beobachtungen noch immer darbietet, am meisten den Verdacht erweckt, Ursache der genannten Differenzen zu sein. Natürlicherweise ergibt sich hieraus für den beobachtenden Astronomen die Aufgabe, diesem Elemente besondere Aufmerksamkeit zu widmen und alle sich ihm darbietenden Mittel zu ergreifen, sowohl um dasselbe mit einer die zufälligen Beobachtungsfehler übertreffenden Sicherheit zu bestimmen, als auch um die äusseren Einflüsse, die modificirend auf dasselbe einwirken, zu studiren, beziehungsweise zu beseitigen. Trotz aller Bemühungen, welche seit Bessel und namentlich in neuester Zeit wieder in diesen beiden Richtungen gemacht worden sind, will mir doch scheinen, als ob weder in der einen noch in der anderen das letzte Ziel erreicht sei. Meines Erachtens muss eine Methode, die Biegung zu bestimmen, es möglich machen, dass man mit hinreichender Leichtigkeit und Sicherheit den Betrag der Biegung in jeder Zenithdistanz direct messen könne, ohne über die Abhängigkeit des Biegungscoefficienten von der Zenithdistanz eine Hypothese machen zu müssen, und ohne dass man genöthigt wäre, durch zeitraubende Anbringung eines Hilfsapparates, der bei den Beobachtungen der Gestirne zu entfernen ist, zu viel Zeit zwischen der Beobachtung des Gestirnes und der Messung der Biegung verstreichen lassen zu müssen; ein Meridian-Instrument aber, das einwurfsfreie Beobachtungen liefern soll, muss so construirt sein, dass äussere Einflüsse, welche erfahrungsgemäss den Betrag der Biegung stark modificiren, von demselben ferngehalten werden können — wenigstens für die Dauer der Beobachtung. Diesen Anforderungen ist, wie ich nunmehr auseinandersetzen muss, durch die bisher angewandten Methoden nicht vollständig genügt.

II.

Die Methoden, die Beobachtungen von dem Einflusse der Biegung zu befreien, unterscheiden sich wesentlich darin von einander, dass bei den einen die Beobachtungen so angeordnet werden, dass aus dem Mittel aller Beobachtungen eines Objectes die Biegung verschwinden muss, während die anderen zeigen, wie man den Betrag der Biegung direct messen und dann an die Beobachtungen anbringen könne. Zu den ersteren gehört 1. die von Bessel vorgeschlagene Anwendung eines Quecksilberhorizontes in beiden Lagen des Instrumentes, und 2. die von Repsold angegebene

Vertauschung von Objectiv und Ocular. Diese beiden Methoden sind vielfach angewandt und durch umfassende Untersuchungen geprüft worden. Das Ergebniss war kein so günstiges, als es die Theorie derselben erwarten liess. Ohne die längst bekannten Mängel weiter zu berühren, will ich hier nur anführen, dass sie erstens eine nicht geringe Vermehrung der Beobachtungen voraussetzen, zweitens, dass der Betrag der Biegung, den man für vereinzelte Beobachtungen kennen muss, nur getrübt durch die zufälligen Beobachtungsfehler aus ihnen bestimmt werden kann, ein Verfahren, das immer bedenklich ist, selbst wenn nicht, wie hier bei der Bessel'schen Methode, die zufälligen Fehler sich vergrössern müssen; und drittens, dass man den Betrag der Biegung bei ihrer Anwendung, wenn sie noch bequem sein soll, für längere Perioden als constant voraussetzen muss, was man sonst für kein anderes Fehlerelement als zulässig erachtet.

Die Methoden, welche die Biegung direct messen, sind abgesehen von einigen nicht zur Anwendung gelangten, die Bessel'sche mittelst Horizontalcollimatoren und die Loewy'sche mittelst einer eigenthümlichen in den Cubus eingesetzten Linse. Erstere erfreut sich gegenwärtig trotz des nicht geringen Hilfsapparates, den ihre Anwendung voraussetzt, des allgemeinen Gebrauches an neueren Meridian-Instrumenten und mit Recht; denn, wenn hinreichende Vorsichtsmassregeln bezüglich der Temperaturvertheilung im Beobachtungsraume getroffen sind und wenn die Collimatoren nicht zu geringe Öffnung haben, ist sie im Stande, zuverlässige Messungen von grosser Genauigkeit zu liefern und zudem gibt der Hilfsapparat ohne weitere Änderung noch andere werthvolle Bestimmungselemente. Neben geringer anzuschlagenden Unvollkommenheiten ist aber mit dieser Methode der grosse Nachtheil verbunden, dass sie die Biegung nur im Horizonte zu bestimmen erlaubt und daher die Hypothese machen muss, dass sich die Biegung proportional dem Sinus der Zenithdistanz ändere. Theoretisch ist diese Hypothese vollkommen berechtigt, man kann sogar bis jetzt unter Zugrundelegung der mathematischen Elasticitätstheorie eine andere plausible gar nicht aufstellen, in der Anwendung aber zeigt es sich, dass die Biegungscorrection Glieder enthält, die vom Cosinus der einfachen und vom Sinus und Cosinus der doppelten Zenithdistanz abhängig sind. Diese Glieder, deren Betrag die zufälligen Beobachtungsfehler übertrifft, bleiben bei dieser Methode unbestimmt; die Versuche, die man gemacht hat, durch Hinzufügung weiterer Vorrichtungen, auch sie zu bestimmen, sind als gescheitert zu betrachten. Wenn man also auch nicht aufhören wird, Meridiankreise mit Collimatoren zu versehen, so muss man doch darauf verzichten, durch sie den vollen Betrag der Biegung kennen zu lernen.

Die Loewy'sche Methode (Annales de l'Observatoire de Paris Vol. 16) ist ganz neu und bisher nur auf der Pariser Sternwarte zur practischen Prüfung gelangt; sie beruht auf einem Gedanken, den zuerst Marth (A. N. Band 57 Seite 257) auseinandergesetzt hat, erhielt aber in der Ausführung eine andere, ohne Zweifel vorzuziehende Gestalt. Von den bisher erwähnten Mängeln scheint diese Methode, soweit ich sie ohne practische Kenntnissnahme beurtheilen kann, frei zu sein und sie ist ohne Zweifel als ein schöner Fortschritt auf diesem Gebiete der Beobachtungskunst zu bezeichnen. Sie scheint mir aber neben den beträchtlichen Anforderungen, den der Apparat an den mechanischen Künstler stellt, auch den Nachtheil zu haben, dass der Apparat vor der Beobachtung der Gestirne entfernt werden muss und nur mit einem grossen Aufwand an Zeit und Geschicklichkeit wieder in jene Lage gebracht werden kann, in der er richtig functionirt. Es werden sich also einer häufigeren Bestimmung und Controle der Biegung kaum zu beseitigende Schwierigkeiten in den Weg stellen. An untergeordneteren Bedenken möchte ich erwähnen, dass die bekannten persönlichen Fehler der Einstellung ebenso wie beim Gebrauch von Horizontalcollimatoren in ihrem vollen Betrag in die Messung eintreten, sowie dass die Beleuchtungsvorrichtung für die Scala am Objectiv durch einseitige Erwärmung des Rohres die Biegung beeinflussen kann, jene aber für die Fäden im Focus sehr unbequem ist.

III.

Ich begnüge mich mit dem in voriger Nummer Gesagten, die gebräuchlichen Methoden für die Bestimmung der Biegung zu beleuchten und komme nun zur Besprechung der Vorsichtsmassregeln, die man nach meiner Erfahrung nicht ausser Acht lassen darf, wenn die Biegung sich auf längere Zeit constant erhalten soll. Aus Versuchen, die weiter unten mitgetheilt werden, hat sich

nemlich ergeben, dass die Biegung des Rohres in ganz ausserordentlicher Weise von der strahlenden Wärme beeinflusst wird. Das Rohr krümmt sich bei der geringsten Temperaturverschiedenheit seiner beiden Seiten nach der kälteren Seite zu und behält diese Lage längere Zeit bei. Wenn man nur die Hand ohne Berührung unter das horizontal gestellte Rohr hielt, bog sich dasselbe um 0."3 auf und kehrte erst 3 Minuten nach entfernter Hand in die ursprüngliche Lage zurück; eine kleine geschlossene Beobachtungslampe in 1 Meter Entfernung drei Sekunden lang unter das Rohr gehalten, änderte die Biegung dieser Rohrhälfte um 1."2 und erst nach $5\frac{1}{2}$ Minuten trat der Normalzustand wieder ein. Wenn ich das Rohr in eine beliebige Zenithdistanz stellte und dann die gewöhnliche Stellung eines Beobachters etwa 10 Minuten lang unter demselben einnahm, änderte sich, ohne dass das Rohr berührt wurde, die Biegung der Ocularhälfte um 0."1 bis 0."2.

Vorkommnisse und Lagen des Beobachters, wie die oben beschriebenen, sind in jedem Beobachtungssaale, auch wenn, was aber selten der Fall sein dürfte, alle Horizontalschichten desselben gleiche Temperatur zeigen, unvermeidlich. Es ergibt sich hieraus nach meiner Ansicht die Forderung, dass das Fernrohr gegen Temperatureinflüsse besser geschützt werden muss, als dies bis jetzt der Fall ist und ich sehe nicht, wie dies anders geschehen könnte, als dadurch, dass man das ganze Rohr mit einem Metallmantel umgibt, der, nirgends in Berührung mit dem eigentlichen Rohr, durch seine eigene Wirkung und durch die zwischenliegende Luftschicht alle vorübergehenden Temperaturänderungen, wie sie schon durch die Anwesenheit des Beobachters veranlasst werden, von dem die Visirlinie bestimmenden Rohr abhält. Ich werde weiter unten zeigen, wie ein solcher Mantel, wenn er in zweckentsprechender Weise construirt wird, in directe Verbindung mit einem Apparat gebracht werden kann, der es erlaubt, die Biegung sicher und genau zu messen.

Ein zweiter Umstand, der die Biegung nachtheilig beeinflusst, ist die elastische Nachwirkung. Ich habe beobachtet, dass das Rohr erst zwei bis drei Minuten nach der Einstellung in eine beliebige Zenithdistanz sich in eine constant bleibende Normallage begibt, und dass die Bewegung während dieser Zeit 0."12 bis 0."18 beträgt. Es geschah dies allerdings an einem Rohre, wie es die älteren Reichenbach'schen Meridiankreise haben, aber es dürfte diese Wahrnehmung doch darauf aufmerksam machen, dass es unbedingt nothwendig ist, den Rohren eine solche Construction zu geben, dass die Biegung an und für sich sehr klein wird, und dass die elastische Nachwirkung für beide Rohrhälften möglichst denselben Betrag erreicht. Man muss also 1. ein Material verwenden, das weniger elastisch ist als Messing z. B. Eisen, 2. die beiden Rohrhälften conusförmig gestalten und die Wände möglichst stark machen, 3. die beiden Rohrhälften, soweit irgend möglich, ganz gleich und homogen herstellen, d. h. von gleicher Gestalt und von demselben Gewicht.

IV.

Es macht keine Schwierigkeiten, die in III. nachgewiesenen Einflüsse der Temperatur auf die Biegung des Rohres unter Zugrundelegung der bekannten Fundamentalgleichungen der Elasticitätstheorie theoretisch zu verfolgen. Ich füge diese Untersuchung in Kürze hier ein mit dem Bemerken, dass eine ganz ähnliche Untersuchung für den getheilten Kreis bereits von Herrn Dr. Leitzmann[1]) gegeben ist.

Ich kann mich hiebei auf den einfachsten Fall, dass das cylindrische Rohr horizontal gestellt sei und die Aenderung der Temperatur in horizontalen Schichten erfolge, beschränken, um so mehr, als es sich bei derartigen Aufgaben wohl weniger um Formeln handelt, die für alle practisch vorkommenden Fälle gelten, als um die Möglichkeit, kleine Ueberschlagsrechnungen auszuführen.

Die X-Axe sei parallel der Cylinderaxe und gehe durch die oberste Mantellinie des Cylinders, die Z-Axe gehe vertical abwärts; der Befestigungspunkt liege im Anfangspunkt des Coordinatensystems, das feste Linienelement in der Z-Axe, das feste Flächenelement in der YZ-Ebene. Dann ist die statische Lage des starren Körpers gegeben durch die 6 Gleichungen: Für $x = 0$, $y = 0$, $z = 0$ muss sein:

[1]) Von dem Einfluss der Wärmevertheilung auf die Theilung des Meridiankreises. Magdeburg 1885.

$$u = 0,\ v = 0,\ w = 0,\ \frac{\partial u}{\partial y} = 0,\ \frac{\partial u}{\partial z} = 0,\ \frac{\partial v}{\partial z} = 0, \tag{1}$$

wenn in bekannter Weise mit u, v, w die Verschiebungen des Punktes x, y, z bezeichnet werden.

Sei ferner M der Elasticitätsmodul und α der Längenausdehnungscoefficient des Materials, so werde gesetzt:

$$p = M\alpha,$$

und die Temperatur des Punktes x, y, z sei gegeben durch:

$$s = fz + c. \tag{2}$$

Dann werden die Grundgleichungen des Problems[1]):

$$\begin{aligned}
0 &= p\frac{\partial s}{\partial x} + \frac{\partial X_x}{\partial x} + \frac{\partial X_y}{\partial y} + \frac{\partial X_z}{\partial z} \\
0 &= p\frac{\partial s}{\partial y} + \frac{\partial Y_x}{\partial x} + \frac{\partial Y_y}{\partial y} + \frac{\partial Y_z}{\partial z} \\
0 &= p\frac{\partial s}{\partial z} + \frac{\partial Z_x}{\partial x} + \frac{\partial Z_y}{\partial y} + \frac{\partial Z_z}{\partial z}
\end{aligned} \tag{3}$$

und die Oberflächenbedingungen:

$$\begin{aligned}
0 &= ps\cos(nx) + X_x\cos(nx) + X_y\cos(ny) + X_z\cos(nz) \\
0 &= ps\cos(ny) + Y_x\cos(nx) + Y_y\cos(ny) + Y_z\cos(nz) \\
0 &= ps\cos(nz) + Z_x\cos(nx) + Z_y\cos(ny) + Z_z\cos(nz).
\end{aligned} \tag{4}$$

Führt man hier die bekannten Ausdrücke der Druckkräfte in den Verschiebungen ein, so entstehen zunächst aus (3) die Differentialgleichungen:

$$\begin{aligned}
&\mu\left(\frac{\partial^2 u}{\partial x^2} + \frac{\partial^2 u}{\partial y^2} + \frac{\partial^2 u}{\partial z^2}\right) + (\mu + \lambda)\frac{\partial \Delta}{\partial x} = 0 \\
&\mu\left(\frac{\partial^2 v}{\partial x^2} + \frac{\partial^2 v}{\partial y^2} + \frac{\partial^2 v}{\partial z^2}\right) + (\mu + \lambda)\frac{\partial \Delta}{\partial y} = 0 \\
&\mu\left(\frac{\partial^2 w}{\partial x^2} + \frac{\partial^2 w}{\partial y^2} + \frac{\partial^2 w}{\partial z^2}\right) + (\mu + \lambda)\frac{\partial \Delta}{\partial z} + pf = 0, \\
&\Delta = \frac{\partial u}{\partial x} + \frac{\partial v}{\partial y} + \frac{\partial w}{\partial z},
\end{aligned} \tag{5}$$

deren Lösung, in der bekannten St. Venant'schen Form angesetzt, gibt:

$$\begin{aligned}
u &= d_1 + a_1 x + b_1 y + c_1 z - \gamma xz \\
v &= d_2 + a_2 x + b_2 y + c_2 z + \tfrac{1}{2}\frac{\lambda}{\mu + \lambda}\gamma yz \\
w &= d_3 + a_3 x + b_3 y + c_3 z + \tfrac{1}{2}\gamma\left(x^2 + \tfrac{1}{2}\frac{\lambda}{\mu + \lambda}(z^2 - y^2)\right) - \tfrac{1}{2}\frac{pf}{2\mu + \lambda}z^2.
\end{aligned}$$

Die hierin auftretenden 13 Constanten werden durch die Bedingungsgleichungen der Aufgabe bestimmt; die Gleichungen (1) geben:

$$d_1 = d_2 = d_3 = 0;\quad b_1 = c_1 = c_2 = 0 \tag{6}$$

und die Gleichungen (4), auf die Seitenflächen des Cylinders angewandt:

$$a_2 = a_3 = 0 \text{ und } pfz + pc = -\left(\gamma\frac{\mu(2\mu + 3\lambda)}{\mu + \lambda} + pf\frac{\lambda}{2\mu + \lambda}\right)z + 2\mu a_1 + \lambda(a_1 + b_2 + c_3)$$

[1]) Vorlesungen über die Theorie der Elasticität von F. Neumann, herausgegeben von O. E. Meyer. Leipzig 1885. p. 113.

Letztere Gleichung muss eine Identität sein und zerfällt daher in folgende zwei Gleichungen:

$$pc = 2\mu a_1 + \lambda(a_1 + b_2 + c_3)$$

$$\gamma = -2pf\frac{(\mu+\lambda)^2}{\mu(2\mu+\lambda)(2\mu+3\lambda)}, \tag{7}$$

von denen die zweite γ bestimmt. Die Gleichungen (4), auf die Mantelfläche des Cylinders angewandt, geben:

$$\left(pfz\frac{2(\mu+\lambda)}{2\mu+\lambda} + 2\mu(a_1 - b_2)\right)y - \mu b_3(z-R) = 0$$

$$\left(pfz\frac{2(\mu+\lambda)+1}{2\mu+\lambda} + 2\mu(a_1 - c_3)\right)(z-R) - \mu b_3 y = 0,$$

und da dies wieder Identitäten sein müssen:

$$b_3 = 0;\ a_1 = b_2 = c_3 = \frac{pc}{2\mu+3\lambda}. \tag{8}$$

Mit den Werthen 6) 7) und 8) werden nunmehr die Ausdrücke der Verschiebungen:

$$u = \frac{pc}{2\mu+3\lambda}x + \frac{2fp}{\mu}\lambda_1 xz$$

$$v = \frac{pc}{2\mu+3\lambda}y - \frac{fp}{\mu}\lambda_2 yz \tag{9}$$

$$w = \frac{pc}{2\mu+3\lambda}z - \frac{fp}{\mu}(\lambda_1 x^2 - \tfrac{1}{2}\lambda_2 y^2 + \tfrac{1}{2}\lambda_3 z^2),$$

wenn zur Abkürzung gesetzt wird:

$$\lambda_1 = \frac{(\mu+\lambda)^2}{(2\mu+\lambda)(2\mu+3\lambda)}$$

$$\lambda_2 = \frac{\lambda(\mu+\lambda)}{(2\mu+\lambda)(2\mu+3\lambda)}$$

$$\lambda_3 = \frac{\lambda(\mu+\lambda)+\mu(2\mu+3\lambda)}{(2\mu+\lambda)(2\mu+3\lambda)}$$

Setzt man, theoretischen Erwägungen folgend, die durch die Beobachtung grösstentheils bestätigt werden: (Neumann a. a. O. p. 115).

$$\mu = \lambda = \frac{M}{5},$$

so folgt:

$$\lambda_1 = \frac{4}{15},\ \lambda_2 = \frac{2}{15},\ \lambda_3 = \frac{7}{15}$$

und die Verschiebungen werden, da $p = M\alpha$:

$$\mu = \alpha cx + \frac{8}{3}\alpha fxz$$

$$v = \alpha cy - \frac{1}{3}\alpha fyz \tag{10}$$

$$w = \alpha cz - \frac{4}{3}\alpha fx^2 + \frac{1}{3}\alpha fy^2 - \frac{7}{6}\alpha fz^2$$

Eine Controle dieser Ausdrücke bietet sich dar durch Berechnung der Volumenänderung des Cylinders von 0^0 auf c^0; dieselbe ist mit Umgehung höherer Potenzen von α proportional $3\alpha c$;

berechnet man sie mittelst der Formeln (10) durch Bildung von $\Delta = \frac{\partial u}{\partial x} + \frac{\partial v}{\partial y} + \frac{\partial w}{dz}$ (Neumann a. a. O. § 29), so erhält man ebenso:

$$\frac{\partial u}{\partial x} + \frac{\partial v}{\partial y} + \frac{\partial w}{\partial z} = 3\alpha c$$

Zugleich wird ersichtlich, dass durch die Ungleichmässigkeit der Temperatur innerhalb des Cylinders nur dessen Gestalt, nicht aber sein Volumen geändert wird.

Für die Biegung kommt nur die Verschiebung w in Betracht und zwar nur die quadratischen Glieder, da das lineare Glied an sich sehr klein ist und aus der Differenz der Biegungen der beiden Rohrhälften wohl ganz verschwindet. Für $x = l =$ der Länge der Rohrhälfte, $y = 0$, $z = r =$ dem Halbmesser des Cylinders wird:

$$w = -\alpha f\left(\frac{4}{3} l^2 + \frac{7}{6} r^2\right),$$

also z. B. für $l = 600\,mm$ und $r = 46\,mm$, $\alpha = 0.000019$ (Messing),

$$w = -0.9589 f$$

und für einen Unterschied von $0^0.1$ C zwischen der oberen und der unteren Mantellinie des Cylinders (unten wärmer)

$$w = -0.00104\,mm.$$

Dies ist in Anbetracht der kleinen, so leicht eintretenden Temperaturdifferenz ein ganz enormer Betrag, der darauf hinweist, mit welcher Sorgfalt auf die Temperaturausgleichung im Beobachtungssaale auch im Interesse der Biegung gesehen werden muss.

V.

Nach dieser Abschweifung über den thermischen Einfluss kehre ich zur Biegung, soweit sie Resultat der Schwerewirkung ist, zurück.

Die in N° II und III mitgetheilten Überlegungen haben mich veranlasst, die Construction eines Apparates zu versuchen, der von den angegebenen Einwürfen möglichst frei wäre. Indem ich mich eines Principes bediente, das von meinem Vater[1]) schon seit längerer Zeit zu den feinsten Messungen über Elasticität mit Erfolg angewandt wird, gelang es mir auch, an einem provisorisch zusammengestellten Fernrohr die Biegung mit einer Genauigkeit zu messen, die meines Erachtens nichts zu wünschen übrig lässt. Ich hätte nur noch gewünscht, die erlangten Resultate durch die bekannten Methoden einigermassen zu controliren; die hiesige Sternwarte verfügt aber nicht über die hiezu nöthigen Apparate, und so blieb mir nur übrig, meine Resultate mit denen, welche die Theorie der Biegung liefert, zu vergleichen. Bevor ich daher an die Beschreibung der neuen Apparate gehe, will ich hier in Kürze einige theoretische Formeln zusammenstellen.

Ein an dem einen Ende befestigter Hohlcylinder von der Länge l, dem äusseren Radius R, dem inneren Radius r und aus einem Material gefertigt, dessen Elasticitätsmodul E ist, erleidet durch sein eigenes Gewicht G und durch ein am freien Ende angebrachtes Gewicht P, falls diese beiden Gewichte senkrecht zur Axe wirken, folgende Durchbiegung seines freien Endes:[2])

$$w = \frac{4 l^3}{\pi E (R^4 - r^4)} \left(\frac{P}{3} + \frac{G}{8}\right) \tag{1}$$

d. h. der Betrag der Biegung ist den biegenden Kräften proportional. Wenn die biegende Kraft F nicht senkrecht zur Axe wirkt, also in unserem Falle, wenn das Rohr gegen den Horizont um den Winkel h geneigt ist, muss man sie in 2 Componenten zerlegen, von denen die eine $F \cos h$ nun wieder senkrecht wirkt, während die andere $F \sin h$ eine in Richtung der Cylinderaxe wirkende Zug- bezw. Druckkraft repräsentirt. Die Theorie erfordert also, dass die Biegung proportional dem

[1]) Mittheilungen aus dem mech.-techn. Laboratorium der techn. Hochschule zu München. Heft V. u. A.

[2]) Clebsch, Theorie der Elasticität p. 370.

Cosinus der Höhe sei und wenn die Messungen dies nicht bestätigen, so kann man an folgende drei Ursachen denken: 1. Mangelhafte Festigkeit der die Visirlinie bestimmenden Theile des Instrumentes, also: Bewegungen des Objectives in seiner Fassung, ungenügende Befestigung der Rohrhälften am Cubus, Beweglichkeit der Fadenplatte. Alle diese Mängel sind an älteren Instrumenten schon constatirt worden, dürften aber bei den neueren wohl grösstenteils beseitigt sein, vielleicht nur abgesehen von dem letzteren. Ich bin der Ansicht, dass man den Meridiankreis, der Fundamentalbestimmungen zu geben hat, in möglichster Einfachheit erhalten, also namentlich von der Anbringung eines Mikrometerapparates (beweglicher Horizontalfaden) absehen soll; nur dann wird man die Fadenplatte direct am Rohr befestigen und dadurch genannten Mangel beseitigen können. 2. Die in der Richtung der Cylinderaxe entstehenden Druck- bezw. Zugkräfte ändern die Elasticitätsverhältnisse des Rohres. 3. Die Theorie der Elasticität, welche die Formel (1) liefert, entspricht nicht vollkommen den Beobachtungen. Über diese beiden Punkte kann ich jetzt die Entscheidung noch nicht treffen; ich habe zwar hierauf bezügliche Beobachtungen gemacht, indem ich verschiedene Gewichte an die Enden des horizontal gestellten Rohres anhängte und die entsprechende Biegung beobachtete und ich habe auch eine bestimmte Andeutung dafür erhalten, dass die Biegung (innerhalb der Elasticitätsgränze) nicht proportional der Gewichtszunahme ist, aber diese, auch für die Theorie so wichtigen, Versuche werden in Bälde an einem viel vollkommeneren Apparate im mechanisch-technischen Laboratorium der hiesigen technischen Hochschule wiederholt werden und deren Ergebnis erst wird sicher in dieser Frage entscheiden lassen.

An zweiter Stelle werde ich eine Formel geben für die Gestalt eines ebenen Stabes von constanter Dicke b, welcher, wenn er an dem einen Ende befestigt ist, durch sein Eigenwicht die geringste Durchbiegung erleidet. Gegeben sei noch seine Länge l und die Bedingungen, dass die Schwerpunkte seiner Querschnitte in der ungebogenen Lage eine Gerade bilden und dass sein Gewicht beziehungsweise seine Seitenfläche ein Minimum sei.

Versucht man diese Aufgabe allgemein zu lösen, so stösst man sofort auf unüberwindliche Schwierigkeiten; folgende Überlegung ebnet jedoch den Weg zu einer Lösung, die, wenn auch theoretisch nicht unanfechtbar, so doch erfahrungsgemäss richtig ist. Wir machen nämlich die höchst wahrscheinliche Hypothese, dass die geringste Durchbiegung dann stattfindet, wenn alle Querschnitte des Stabes constante „grösste Spannung" besitzen; dass dann auch das Gewicht ein Minimum wird, versteht sich von selbst.

Die genannte Schwerpunktslinie wählen wir zur X-Axe, die Y-Axe falle mit der Richtung der Schwerkraft zusammen; die X-Axe wird also Symmetrie-Axe der Contouren des Stabes. Sei T die grösste Spannung, h die Entfernung der obersten (untersten) Faser von der X-Axe, ϱ der Krümmungsradius der Biegungscurve, $q = 2hb$ der Querschnitt, $q\lambda^2 = \frac{2}{3} h^3 b$ das Trägheitsmoment — alle diese Ausdrücke auf den Querschnitt mit der Abscisse x bezogen — ausserdem E der Elasticitätsmodul und G das specifische Gewicht des Materials, so berechnet sich die Biegung, wenn man nur innere Kräfte in Betracht zieht, aus der Gleichung (Clebsch a. a. O. pag. 368):

$$E q \lambda^2 \frac{\partial^2 v}{\partial x^2} = \int_x^l 2 \bar{h}\, b\, G\, d\bar{x}\, (\bar{x} - x). \tag{2}$$

Durch Benützung der bekannten Formeln

$$\frac{\partial^2 v}{\partial x^2} = \frac{1}{\varrho} \text{ und } T = \frac{h}{\varrho} E = const. \tag{3}$$

gewinnen wir hieraus sofort folgende Differentialgleichung für h:

$$\frac{T}{3\,G} h^2 = \int_x^l \bar{h}\,(\bar{x} - x)\, d\bar{x},$$

in deren Integral

$$h = \frac{1}{4} \frac{G}{T} (l - x)^2 \tag{4}$$

die Constanten bereits den Bedingungen der Aufgabe gemäss bestimmt sind. — Die Gleichung (4) stellt eine Parabel dar, welche man in allen Fällen der Anwendung durch die gerade Linie:

$$h = \frac{1}{4} \frac{G}{T} l (l - x), \tag{5}$$

die nur sehr wenig abweicht, ersetzen wird. Um für diese Form des Stabes die Biegung zu berechnen, combiniren wir aus den Gleichungen (3) die folgende

$$\frac{\partial^2 v}{\partial x^2} = \frac{T}{E} \cdot \frac{1}{h};$$

oder mittelst (5), wenn wir darin $\frac{1}{4} \frac{G}{T} l^2 = a$ setzen:

$$\frac{\partial^2 v}{\partial x^2} = \frac{l T}{a E} \cdot \frac{1}{l - x}.$$

Die Behandlung dieser Gleichung gibt, wenn wir die beiden Constanten den statischen Bedingungen gemäss bestimmen, dass für $x = 0$ auch $v = 0$ und $\frac{\partial v}{\partial x} = 0$ sei, folgendes Integral:

$$v = \frac{l T}{a E} \Big((l - x) \log (l - x) + (1 + \log l) x - l \log l \Big)$$

Für $x = l$ nähert sich das erste Glied der Grenze 0 und es wird daher für das Ende des Stabes die Biegung einfach:

$$v_l = \frac{l^2 T}{a E}$$

oder, wenn man auch noch T durch a ausdrückt:

$$v_l = \frac{l^4 G}{4 a^2 E}. \tag{6}$$

Die Grösse a, welche die halbe Höhe des Querschnitts am Befestigungsende des Stabes darstellt, ist mittelst dieser Gleichung so zu bestimmen, dass die Durchbiegung des Endes so klein wird als man wünscht.

VI.

Der neue Apparat, mit dem wir uns nun ausführlich beschäftigen wollen, beruht auf der Verbindung der Gauss'schen Spiegelablesung mit einer Rolle, die durch Reibung bewegt wird. In der schematischen Fig. 1 sei FG die in F befestigte, bei G freie Linie, deren Biegung gegen eine gewisse etwa in den Vertikalen bestimmte Normallage gemessen werden soll, HK sei ein in H befestigter, als unbiegsam gedachter Stab, der am freien Ende K die Rolle r trägt, gegen welche eine in G befestigte Lamelle f drückt; ein kleiner Planspiegel s, dessen Ebene durch die Axe der cylindrischen Rolle geht, sei fest mit dieser verbunden. Oberhalb der Befestigungspunkte F und H sei ein festes Ablesungsfernrohr a mit Scala t angebracht, Objectiv und Teilung gegen den genannten Spiegel s gerichtet. Man sieht nun leicht, wie diese Combination functionirt. In der verticalen Normallage werde durch das Fernrohr a die durch den Spiegel s reflectirte Scala t abgelesen; wird nun die Linie FG in eine beliebige Zenithdistanz gebracht und biegt sich in Folge des Eigengewichts das Ende G um den Betrag λ nach abwärts, so wird die Rolle und mit ihr der Spiegel durch Reibung an der Lamelle gedreht und ein anderer Punkt der Scala an das Fadenkreuz des Ablesungsfernrohres a gebracht. Aus der Differenz der beiden Ablesungen berechnet sich die Biegung der Linie FG, wie folgt: sei r der Radius der Rolle, K die Entfernung des Spiegels von der Scala, λ der Betrag der Biegung in Linearmass, $l_0 - l$ die Differenz der Scalenablesungen, so wird der Winkel α, um den sich der Spiegel dreht, einerseits:

$$\alpha = \frac{\lambda}{r}$$

und andererseits, da der Winkel sehr klein ist:

$$\alpha = \tfrac{1}{2}\,\frac{l_o - l}{K},$$

und daher:

$$\lambda = \frac{r}{2K}(l_o - l)$$

d. h. die wirkliche Durchbiegung wird mit einer Vergrösserung gleich $\frac{2K}{r}$ an der Scala abgelesen

Der Betrag K ist durch die Länge der Linie FG bestimmt, der Radius r kann so klein genommen werden, als es sich mit der mechanischen Herstellung der Rolle und der Anbringung des Spiegels verträgt, also nach practischer Erfahrung bis zu $r = 2.5\,mm$ herab. Daraus folgt z. B. für eine Länge der Linie $FG = 1000\,mm$ eine Vergrösserung $= 800$ fach. Ist nun noch die Scala in Millimeter getheilt und schätze ich im Fernrohr noch Zehntel eines Scalentheiles, was mit voller Sicherheit geschieht, so ist zu ersehen, dass ich die Durchbiegung bis auf

$$\frac{0.10}{800} = 0.000125\,mm$$

genau messen kann; in Winkelmass umgesetzt gibt dies für den angenommenen Radius $0''.025$, also eine für astronomische Zwecke mehr als genügende Genauigkeit.

Es ist nun mit Rücksicht auf die Anbringung dieses Apparates an ein Meridianfernrohr zu untersuchen, ob diese theoretische Genauigkeit nicht durch Fehlerquellen illusorisch gemacht wird.

Vorausgesetzt ist in erster Linie, dass der Rollenträger HK durch sein Eigengewicht keine merkbare Durchbiegung erleide. Zu dem Ende brauchen wir ihm nur die durch Formel (5) der N° V vorgeschriebene dreieckige Gestalt zu geben, indem wir noch die Höhe der zu befestigenden Grundfläche aus Formel (6) berechnen. Wollen wir z. B. für eine Länge der Rohrhälfte $= 1000\,mm$ eine Genauigkeit der Biegungsmessung von rund $0.0005\,mm = 0''.10$, was für astronomische Zwecke genügt, so muss $v_l < 0.0005$ werden; nimmt man also als Material Stahl, wofür $E = 20\,000$ Kilogramm pro Quadratmillimeter, $G = 0.000008$ Kilogramm pro Cubikmillimeter ist, so muss werden:

$$a > \sqrt{\frac{l^4 G}{4\,v_l E}}$$

oder für die angegebenen Zahlenwerthe:

$$a > 450\,mm.$$

Diese Form des Rollenträgers, die theoretisch eine für astronomische Messungen unmerkliche Durchbiegung gibt, lässt sich noch bequem an der Ost- und West-Seite des Cubus befestigen, ohne das Gewicht des Instruments zu sehr zu erhöhen oder dessen bequeme Handhabung zu gefährden. Controliren kann man die Unbiegsamkeit des Trägers durch Anhängung von Gewichten in seiner horizontalen Lage und Beobachtung der hiedurch entstehenden Durchbiegung.

In zweiter Linie ist vorausgesetzt, dass die Durchbiegung desjenigen Punktes des Rohres, an welchem die Lamelle f befestigt werden kann, identisch ist mit der Durchbiegung des Objectivmittelpunktes, beziehungsweise des Horizontalfadens der Ocularrohrhälfte; denn aus der Differenz dieser beiden setzt sich die zu bestimmende astronomische Biegung zusammen. Nun besteht die Bewegung des Objectives bei der Durchbiegung des Rohres aus einer Drehung um seinen Horizontaldurchmesser und aus einer fortschreitenden seines Mittelpunktes; da, wie man sich rasch überzeugt, nur diese letztere bei der Beobachtung des Gestirnes zur Geltung kommt und nicht abzusehen ist, wie die fortschreitende Bewegung des Objectivmittelpunktes eine andere sein könnte, als die irgend eines Punktes seiner Fassung, vorausgesetzt, dass das Objectiv nicht schlottert, so ist klar, dass wir die Lamelle an irgend einem Punkte der Objectivfassung anbringen dürfen. Andererseits kommt bei der Biegung der Ocularrohrhälfte die Biegung des Rohres und die des Fadens in Betracht; da letztere noch in allen Fällen sich als unmerklich herausgestellt hat, so wird man auch hier die Lamelle an der äusseren Seite des Rohres in der Höhe der Fadenplatte anbringen dürfen.

Drittens ist die Unbiegsamkeit des Spiegels, der Scala und des Ablesungsfernrohres vorausgesetzt. Abgesehen davon, dass aus der Differenz der Biegungen der beiden Rohrhälften sich die Biegung dieser Teile bei practischer Anordnung eliminiren würde, können dieselben so klein und massiv hergestellt werden, dass überhaupt keine Biegung derselben zu befürchten ist.

Viertens ist angenommen, dass die Reibung so gross ist, dass die Rolle den kleinsten Bewegungen der Lamelle folgt und kein todter Gang stattfindet. Wenn man die Rolle sehr leicht beweglich macht und etwa aus Hartgummi herstellt und wenn man die Lamelle an der Reibungsstelle mit feinstem Schmirgelpapier oder mit einem matten Glasplättchen beklebt und sie ausserdem als eine zu regulirende Feder herstellt, so zeigt die Erfahrung, wie die unten mitgetheilten Beobachtungen erweisen, dass der Apparat mit vollständiger Sicherheit functionirt.

Endlich fünftens muss man im Stande sein, das Uebersetzungsverhältniss $\frac{2K}{r}$ zur Umwandlung der Scalentheile in Bogensecunden genügend genau zu messen. Es macht keine Schwierigkeit, die Entfernung K des Spiegels von der Scala mittelst eines Massstabes bis auf 0.1 *mm* genau zu messen, und den Halbmesser r des Röllchens bestimmt man mittelst eines sogenannten Dickemessers bis auf 0.001 *mm*. Trägt man diese Werthe in das vollständige Differential von $\frac{2K}{r}$:

$$\frac{2}{r}\,dK - \frac{2K}{r^2}\,dr$$

ein, so erhält man, wenn man z. B. noch $K = 1000\,mm$, $r = 2.5\,mm$ setzt

$$d\left(\frac{2K}{r}\right) = \pm\,0.40 \text{ im Maximum.}$$

Diese Unsicherheit erzeugt im Betrag der Biegung

$$\lambda = \frac{l_0 - l}{\left(\frac{2K}{r}\right)}$$

die folgende

$$d\lambda = (l_0 - l)\cdot\frac{d\left(\frac{2K}{r}\right)}{\left(\frac{2K}{r}\right)^2} = (l_0 - l)\cdot\frac{0.40}{(800)^2},$$

also für Beträge von $l_0 - l$, wie sie hier in Betracht kommen, vollkommen unmerklich.

Nachdem ich hiemit die theoretische Möglichkeit des Apparates dargethan zu haben glaube, wende ich mich nun zur practischen Ausführung desselben.

VII.

Als Versuchsobject diente ein ausser Gebrauch gesetztes Fernrohr der Sternwarte von 8.5 *cm* Oeffnung und 135 *cm* Brennweite, bestehend aus zwei cylindrischen, messingenen Röhren, die an einen regelmässigen Cubus geschraubt sind. Die kurzen conischen Ansätze des letzteren wurden auf ein hölzernes Pfeilergestell gelegt und dadurch ein provisorisches Instrument hergestellt, das zwar in allen hier wesentlichen Punkten die Verhältnisse an einem wirklichen Meridiankreise imitirte, jedoch was Festigkeit der Aufstellung und Bequemlichkeit der Ablesung betrifft, hinter einem solchen zurücktrat Dieser ganze provisorische Character des zur Verfügung stehenden Instrumentes ist der Grund, wesshalb einerseits der Construction des an dasselbe anzubringenden Biegungsapparates nicht jene vollkommenste Form gegeben werden konnte, wie man sie bei einem neuen Meridiankreis würde wählen können, und wesshalb andererseits den Beobachtungen nicht jene Ausdehnung auf alle vier Quadranten gegeben werden konnte, wie sie nothwendig ist. Die hier vorliegende detaillirte Skizze des Apparates, wie er wirklich zur Ausführung gekommen ist, wird daher nicht in allen Einzelheiten als Muster dienen können.

Der Zeichnung selbst habe ich nur Weniges zur Erläuterung hinzuzufügen. Die beiden rhombusförmigen Träger *OPQR* aus Eisenblech von 4 *mm* Dicke wurden an beiden Seiten des Cubus durch vier starke durchgehende Schrauben befestigt und durch vier die Rohrhälften von oben und unten fast vollständig verdeckende Bleche *T* gegen seitliche Bewegungen versteift. Zwischen die etwas abgestumpften Enden der beiden Träger wurden die messingenen Ringe *S*, deren Durchmesser den Abständen der beiden Träger entspricht, eingesetzt und dadurch ein vollständig symmetrischer Bau des Trägers der beiden Rollen erzielt. Am oberen Rande der Ringe sind die Lager *L* für die Rollen festgeschraubt, die sich auf fein polirten Stahlspitzen in conischen Löchern reibungsfrei und in Folge der federnden Kraft des einen Lagers ohne todten Gang bewegen; derjenige Theil der Rolle, gegen den die Federn *f* drücken, ist aus Hartgummi hergestellt und genau cylindrisch abgedreht. Die Federn *f*, die durch die Schrauben *b* regulirt werden können, sind an der vorderen Fläche mit feinstem Schmirgelpapier beklebt (mittelst Schellack) und können nach Belieben an die Rollen an- oder abgedrückt werden. Die an den Rollen befestigten Spiegel werden durch kleine Gegengewichte balancirt. Die Ablesungsvorrichtung endlich (Fig. 4) ist so eingerichtet, dass beide Scalen *t*, die auf ein und dieselbe Metallplatte gravirt sind, gleichzeitig im Gesichtsfeld erscheinen; es gelingt dies sehr einfach durch die beiden Prismen *p*. Würde man die eine Scala so theilen, dass sie als Nonius für die andere benützt werden könnte, so könnte man, ohne im Ablesungsfernrohr ein Fadenkreuz zu gebrauchen, direct die Differenz der Biegungen der beiden Rohrhälften, d. h. eben die astronomische Biegung ablesen. Aus verschiedenen Gründen habe ich es aber vorgezogen, die Biegung jeder Rohrhälfte gesondert zu messen, die Scalen also auf ein Fadenkreuz im Ablesefernrohr bezogen. Die Beleuchtung der Scala geschieht durch eine kleine Lampe mit Linse, die ihr Licht auf einen senkrecht zur Scala aufgestellten Carton wirft und die bei der Bewegung des Fernrohrs sich um eine horizontale Axe dreht, welche am Cubus befestigt ist.

Fig. 2 stellt den ganzen Apparat nach Entfernung des vorderen Trägerbleches vor, nur sind, um übersichtlicher zu sein, die Ringe *S* nach aussen gesetzt, während sie natürlich in Wirklichkeit auf der anderen Seite der Lamelle sich befinden, also das Rohr umgeben. Fig. 3 zeigt die Rollenvorrichtung im Detail in zwei Ansichten, Fig. 4 endlich den Durchschnitt des Ableseapparates.

Durch starkes Anziehen der Schraube *n* am Rollenlager kann man Rolle und Spiegel feststellen. Wird nun die Feder *f* von der Rolle abgedrückt, so kann man sehr leicht controliren, ob sich der Spiegel-Träger und der Spiegel bei der Bewegung des Fernrohres infolge ihres Eigengewichtes durchbiegen. Zeigt der Spiegel während der ganzen Bewegung immer auf dieselbe Stelle der Scala, so hat offenbar keine Durchbiegung stattgefunden.

VIII.

Die Biegungsbestimmungen mit dem provisorischen Instrumente haben, wie bereits erwähnt, nur auf zwei Quadranten ausgedehnt werden können, weil bei der geringen Länge der Umdrehungsaxe die Pfeiler so eng an einander zu setzen waren, dass in den beiden anderen Quadranten das Ablesefernrohr unzugänglich war. Nichtsdestoweniger haben die angestellten Beobachtungen es ausser Zweifel gestellt, dass der Apparat mit vollkommener Sicherheit functionirt und Resultate von höchster Genauigkeit liefert. Man darf bei der Beurtheilung derselben nicht übersehen, dass die Dimensionen des benützten Instrumentes sehr kleine sind und dass bei einem grösseren Instrument sich die Genauigkeit entsprechend erhöht.

Die Biegung ist in den folgenden Beobachtungen von 30° zu 30° bestimmt worden, ausgehend von der Normallage, wenn das Fernrohr nach dem Zenith gerichtet war. Es sind im Ganzen an vier verschiedenen Tagen (1887 November 25 bis 30) elf vollständige Reihen durchgeführt worden; zur Absolvirung einer Reihe war eine halbe Stunde nothwendig. Ich führe zunächst die direct an den Scalen, die in Millimeter getheilt waren, abgelesenen Zahlen an.

Tabelle 1.

Zenithdistanz	1. Reihe Nov. 25		2. Reihe Nov. 25		3. Reihe Nov. 25	
	Ocular	Objectiv	Ocular	Objectiv	Ocular	Objectiv
0°	35.8	39.2	36.2	39.0	36.6	38.7
30	24.8	26.3	25.0	26.8	25.4	26.7
0	35.8	38.1	36.0	38.4	36.5	38.6
60	17.0	17.0	17.0	17.0	17.3	17.2
0	36.1	38.8	36.0	38.3	36.4	38.3
90	13.6	13.4	13.6	13.2	13.9	13.3
0	35.8	38.7	36.2	38.8	36.3	38.5
120	16.2	16.3	16.3	16.1	16.7	16.1
0	36.2	38.8	36.2	38.7	36.6	38.7
150	24.2	25.2	23.9	24.9	24.4	25.1
0	36.5	39.2	36 6	38.7	36.7	38.8
180	35.8	37.8	35.7	37.2	35.9	37.4
0	36.3	39.2	36.4	38.6	36.9	39.2

Zenithdistanz	4. Reihe Nov. 25		5. Reihe Nov. 26		6. Reihe Nov. 26	
	Ocular	Objectiv	Ocular	Objectiv	Ocular	Objectiv
0°	36.9	39.2	27.3	40.8	28.6	40.9
30	25.8	27.2	16.1	28.6	16.7	28.9
0	36.8	39.0	27.3	40.4	27.7	40.6
60	17.3	17.3	7.0	18.9	7.3	19.3
0	36.7	38.8	27.1	40.3	27.1	40.8
90	14.2	13.8	3.5	15.1	3.8	15.7
0	36.8	39.0	27.1	40.3	26.9	40 4
120	16.8	16.5	6.3	17.8	6.7	17.9
0	36.4	38.9	27.0	40.3	26.9	40.8
150	23.9	25.2	15.4	26.8	14.7	26.7
0	36.2	38.9	27.8	40.6	27.0	40.8
180	35.3	37.3	26.4	39.2	26.7	39.8
0	36 0	38.8	28.7	40.8	27.1	40.8

Zenithdistanz	7. Reihe Nov. 26		8. Reihe Nov. 28		9. Reihe Nov. 28	
	Ocular	Objectiv	Ocular	Objectiv	Ocular	Objectiv
0°	27.1	40.9	26.7	40.0	27.1	41.0
30	15.7	28.8	16.1	28.3	16.0	28.8
0	26.9	40.7	26.8	40.0	27.0	40.6
60	7.1	19.2	6.9	18.8	7.0	19.0
0	26.9	40.8	26.3	40.0	27.2	41.0
90	3.6	15.2	3.3	15.2	3.8	15.8
0	27.1	40.4	27.2	40.7	26.8	40.8
120	6.4	17.8	6.5	17.9	6.3	17.8
0	26.7	40.3	27.1	40.6	26.9	40.6
150	14.4	26.6	14.7	26.8	14.6	26.7
0	27.3	40.7	27.0	40.6	26.9	40.3
180	26.1	39.2	26.8	39.4	26.3	39.2
0	27.1	40.3	27.4	40.9	26.8	40.3

Zenithdistanz	10. Reihe Nov. 30		11. Reihe Nov. 30.	
	Ocular	Objectiv	Ocular	Objectiv
0°	39.9	32.2	39.8	32.7
30	29.0	20.3	29.6	21.0
0	39.8	32.2	39.7	32.3
60	19.9	10.9	20.3	11.2
0	39.8	32.2	39.6	32.2
90	16.7	7.3	16.9	7.4
0	39.8	32.3	39.8	42.5
120	18.9	9.9	19.1	9.9
0	39.3	32.3	39.5	32.5
150	26.8	19.1	26.3	18.6
0	39.3	32.5	39.3	32.3
180	39.0	31.2	38.8	31.0
0	39.6	32.3	39.0	32.0

Unter der Annahme, dass für die Normalstellung (die Zenithdistanz 0°) die Biegung 0ᵖ.00 sei, erhält man hieraus durch Bildung der Differenzen die in folgender Tabelle zusammengestellten Werthe der Biegungen für die betreffenden Zenithdistanzen.

Tabelle 2.

Reihe	Z. D. 30°		Z. D. 60°		Z. D. 90°		Z. D. 120°		Z. D. 150°		Z. D. 180°	
	Oc.	Ob.	Oc.	Ob.	Oc.	Ob.	Oc.	Ob.	Oc.	Ob.	Oc.	Ob.
1	11.0	12.9	18.8	21.1	22.5	25.4	19.6	22.4	12.0	13.6	0.4	1.4
	11.0	11.8	19.1	21.8	22.2	25.3	20.0	22.5	12.3	14.0	0.5	1.4
2	11.2	12.2	19.0	21.4	22.4	25.1	19.9	22.7	12.3	13.8	0.9	1.5
	11.0	11.6	19.0	21.3	22.6	25.6	19.9	22.6	12.7	13.8	0.7	1.4
3	11.2	12.0	19.2	21.4	22.5	25.0	19.6	22.4	12.2	13.6	0.8	1.4
	11.1	11.9	19.1	21.1	22.4	25.2	19.9	22.6	12.3	13.7	1.0	1.6
4	11.1	12.0	19.5	21.7	22.5	25.0	20.0	22.5	12.5	13.7	0.9	1.6
	11.0	11.8	19.4	21.5	22.6	25.2	19.6	22.4	12.3	13.7	0.7	1.5
5	11.2	12.2	20.3	21.5	23.6	25.2	20.8	22.5	11.6	13.5	1.4	1.4
	11.2	11.8	20.1	21.4	23.6	25.2	20.7	22.5	12.4	13.8	2.3	1.6
6	11.9	12.0	20.4	21.3	23.3	25.1	20.2	22.5	12.2	14.1	0.3	1.0
	11.0	11.7	19.8	21.5	23.1	24.7	20.2	22.9	12.3	14.1	0.4	1.0
7	11.4	12.1	19.8	21.5	23.3	25.6	20.7	22.6	12.3	13.7	1.2	1.5
	11.2	11.9	19.8	21.6	23.5	25.2	20.3	22.5	12.9	14.1	1.0	1.1
8	10.6	11.7	19.9	21.2	23.0	24.8	20.7	22.8	12.3	13.8	0.2	1.2
	10.7	11.7	19.4	21.2	23.9	25.5	20.6	22.7	12.3	13.8	0.6	1.5
9	11.1	12 2	20.0	21.6	23.4	25.2	20.5	23.0	12.3	13.9	0.6	1.1
	11.0	11.8	20.2	22.0	23.0	25.0	20.6	22.8	12.3	13.6	0.5	1.1
10	10.9	11.9	19.9	21.3	23.1	24.9	20.9	22.4	12.5	13.2	0.3	1.3
	10.8	11.9	19.9	21.3	23.1	25.0	20.4	22.4	12.5	13.4	0.6	1.1
11	10.2	11.7	19.4	21.1	22.7	24.8	20.7	22.6	13.2	13.9	0.5	1.3
	10.1	11.3	19.3	21.0	22.9	25.1	20.4	22.6	13.0	13.7	0.2	1.0
Mittel	11.00	11.91	19.60	21.39	22.96	25.14	20.28	22.58	12.40	13.75	0.73	1.32
	0.08	0.06	0.10	0.05	0.11	0.05	0.09	0.04	0.07	0.05	0.10	0.04
	0.37	0.30	0.47	0.25	0.51	0.24	0.42	0.17	0.33	0.22	0.48	0.21

Unter jedes Mittel ist gesetzt zunächst der mittlere Fehler desselben und sodann der mittlere Fehler einer Beobachtung. Hiernach stellt sich der mittlere Fehler des Resultates durchschnittlich auf 0.09 für das Ocular und auf 0.05 für das Objectiv; der mittlere Fehler einer Beobachtung durchschnittlich auf 0.43 für das Ocular und auf 0.23 für das Objectiv. Dass die Fehler für das Ocular wesentlich grösser sind, hat einen rein äusseren Grund; weil nämlich die Ocularhälfte des Fernrohrs kürzer war, als die Objectivhälfte, musste, da sich dies bei den Trägerblechen nicht berücksichtigen liess, ein Stück angesetzt werden und dies hat sich wohl nicht mit der nothwendigen Sicherheit thun lassen. Als Massstab der Beurtheilung haben uns also die Zahlen für die Objectivhälfte zu gelten.

Die Unsicherheit, welche sich durch die Fehler documentirt, rührt natürlich nicht von der Schätzung in Ablesung der Scalen her, sondern zum Theil fallen sie dem Apparat selbst zur Last, zum Theil sind sie die unvermeidlichen Folgen der elastischen Nachwirkung.

Zur Reduction der gewonnenen Zahlen auf das gewöhnliche Mass sind folgende Zahlenangaben nothwendig:

Entfernung der Scala vom Spiegel: 670 *mm* für das Ocular und 674 *mm* für das Objectiv; Halbmesser der Rollen: 2.556 *mm* am Ocular, 2.588 *mm* am Objectiv. Diese letzteren sind mit einem von der Aichanstalt zu Berlin geprüften Dickemesser gemessen; an demselben wurde zugleich constatirt, dass die Rollen genau kreiscylindrisch sind. Aus diesen Zahlen ergibt sich das Vergrösserungsverhältniss

für die Ocularseite zu 524.3
für die Objectivseite zu 521.0.

Die Durchbiegung in Linearmass wird daher:

Tabelle 3.

	Ocular			Objectiv		
Zenithdistanz:	Biegung	Mittl. Fehler	Mittl. Fehler einer Beob.	Biegung	Mittl. Fehler	Mittl. Fehler einer Beob.
	mm	mm	mm	mm	mm	mm
30°	0.02098	0.00015	0.00071	0.02286	0.00012	0.00058
60	0.03758	0.00019	0.00090	0.04106	0.00010	0.00048
90	0.04376	0.00021	0.00097	0.04827	0.00010	0.00046
120	0.03868	0.00017	0.00080	0.04334	0.00008	0.00033
150	0.02365	0.00013	0.00063	0.02633	0.00010	0.00043
180	0.00139	0.00019	0.00092	0.00253	0.00008	0.00040

In Bogenmass umgesetzt geben diese Zahlen, wenn wir die Mitte des Cubus als Mittelpunkt der Bögen mit den Radien zu 670 und 674 *mm* rechnen:

Tabelle 4.

	Ocular			Objectiv		
Zenithdistanz	Biegung	Mittl. Fehler	Mittl. Fehler einer Beob.	Biegung	Mittl. Fehler	Mittl. Fehler einer Beob.
30°	+ 6.″46	± 0.″047	± 0.″217	+ 7.″00	± 0.″037	± 0.″176
60	11.51	0.059	0.276	12.56	0.031	0.147
90	13.48	0.065	0.299	14.77	0.031	0.141
120	11.91	0.053	0.247	13.26	0.025	0.100
150	7.28	0.041	0.194	8.08	0.031	0.129
180	0.43	0.059	0.282	0.78	0.025	0.123

Endlich berechnen wir noch die astronomische Biegung nach der Formel

$$b = \frac{n - m}{f} \, 206265'',$$

wo n und m die Biegungen von Objectiv und Fadenkreuz in Linearmass, f die Brennweite des Fernrohrs bedeuten:

Tabelle 5.

Zenithdistanz	Astron. Biegung	Mittlerer Fehler
0^0	$+0''.000$	$\pm 0''.000$
30	0.258	0.030
60	0 534	0 033
90	0.689	0.036
120	0.715	0.029
150	0.411	0.025
180	0.175	0.032

Nach Ausweis der mittleren Fehler übertrifft also diese Methode, die Biegung zu bestimmen, jede andere an Genauigkeit. Sie hat ausserdem den Vortheil, dass man zu jeder Beobachtung eines Gestirnes unmittelbar die zugehörige Biegungscorrection ablesen kann, wenn man es für nothwendig hält. Man braucht nur nach der Beobachtung in die Normallage zurückzugehen und die Differenz der Ablesungen zu bilden. Der mittlere Fehler einer derartigen vereinzelten Beobachtung würde sich dem obigen gemäss auf etwa $0''.15$ stellen.

IX.

Mangels einer anderen Controle für die erhaltenen Resultate habe ich es für geeignet gehalten, dieselben wenigstens durch die theoretische Formel für die Horizontalbiegung (N° V Formel 1) zu prüfen. Hiezu ist der Werth des Elasticitätsmoduls des Materiales, aus dem das Rohr hergestellt ist, nothwendig. Unser Apparat gibt denselben mit grosser Genauigkeit; man braucht nur verschiedene Gewichte an das freie Ende anzubringen und die entsprechende Durchbiegung b zu beobachten. Unter Beibehaltung der in N° V eingeführten Bezeichnungen wird dann:

$$E = \frac{4}{3} \frac{l^3}{\pi (R^4 - r^4)} \frac{P}{b}$$

Im Mittel aus 6 Beobachtungen ergab sich, dass ein Gewicht von 1 Kilogramm am Ocularrohr eine Durchbiegung von $9^p.67 = 0.01844\ mm$ hervorbringt. Damit wird

$$E = 5500 \text{ (Kgr. pro Quadratmillimeter)},$$

etwas kleiner als der sonst gebräuchliche Werth für Messing.

Für die Objectivhälfte des Fernrohrs hat man nun folgende Dimensionen:

$l = 600\ mm$, $R = 45.75\ mm$, $r = 44.30\ mm$,

P (= Gewicht des Rohres) = 1.44 *Kilogr.* G (= Gewicht des Objectives) = 0.50 *Kilogr.*

und daher für die Durchbiegung im Horizont:

$$b = 0.0521\ mm.$$

Dieser Werth stimmt, so weit man nur erwarten kann, sehr schön mit dem in Tab. 3 gefundenen (0.0483).

X.

Schliesslich komme ich noch zur Besprechung einiger Beobachtungsreihen, welche ich angestellt habe, um über den Einfluss der Temperaturverschiedenheit auf die Biegung numerisches Material zu erhalten; die Versuche machen keinen Anspruch auf grosse Genauigkeit, sondern sollen nur die Abhängigkeit der Biegung von der Temperaturänderung illustriren.

Das Rohr wurde horizontal gestellt und an die obere und untere Mantellinie in inniger Berührung mit dem Metall je ein Thermometer etwa in der Mitte der Ocularrohrhälfte befestigt. Von dem unteren Thermometer aus ging eine hölzerne Röhre von etwa 1.5 Meter Länge und 4 Quadratcentimeter innerer Oeffnung vertical abwärts nach dem Boden, von wo aus ein Bunsenbrenner mit ganz schwach brennender Flamme die Luft in der Röhre erwärmte. Dadurch wurde erreicht, dass nach Eintritt einer constanten Temperatur im Holzrohr das Fernrohr unten durch eine wärmere

Luftschicht umspült wurde, als oben. Die dadurch entstehende Durchbiegung wurde am Biegungsapparate abgelesen. Ich lasse zunächst eine derartige Beobachtungsreihe folgen:

Zeit: h m	Scalenablesung p	Unterer Therm. °	Oberer Therm. °
3 18.0	22.7	14.0	14.8
18.5	Bunsenbrenner angezündet.		
19.0	25.0	15.1	14.8
19.5	28.0	18.1	14.8
20.0	32.0	20.2	14.9
20.5	34.0	21.5	15.0
21.0	35.0	22.6	15.2
22.0	35.7	23.5	15.4
24.0	36.2	24.3	15.8
26.0	36.9	25.3	16.3
28.0	36.8	25.3	16.4
30.0	37.7	25.4	16.4
32.0	38.0	25.8	16.5
34.0	Bunsenbrenner ausgelöscht.		
35.0	31.0	22.8	16.6
36.0	27.0	20.3	16.4
37.0	24.0	17.8	16.3
39.0	23.5	16.0	15.9
41.0	23.2	14.3	15.4
43.0	23.2	14.0	15.3
45.0	23.2	13.7	15.1

Solcher Reihen habe ich mehrere beobachtet, alle aber nehmen denselben Verlauf. Wir sehen, dass in der vorliegenden Reihe etwa um $3^h\ 28^m$ ein constanter Temperaturunterschied von etwa $9^0.0$ R. zwischen dem oberen und dem unteren Theil der Röhre sich eingestellt hat, dem eine mittlere Ablesung der Scala von $37^p.3$ entsprach. Am Anfang der Beobachtung hatten wir bei einem Temperaturunterschied von $-0^0.8$ die Scalenablesung $22^p.7$. Die Biegung der Ocularröhre hat sich also in Folge dieser Temperaturverschiebung von $9^0.8$ R. um $14^p.6$, d. h. um 0.0279 *mm* oder um $8''.57$ geändert. Dies würde für $0^0.1$ C. Temperaturdifferenz geben als Aenderung der Biegung 0.00023 *mm*. Dass dies mit dem in N° IV gefundenen theoretischen Werth nicht vollständig stimmt, darf nicht überraschen, sowohl da wir dort einen Vollcylinder vorausgesetzt haben, als auch da wir bei den Versuchen nur einen verhältnissmässig kleinen Theil des Rohres erwärmen konnten, während dort die Temperaturdifferenz durch die ganze Länge des Cylinders vorauszusetzen war.

Indem ich schliesslich die Hoffnung ausspreche, dass durch die im Vorigen mitgetheilten Untersuchungen ein und der andere Punkt im Probleme der Biegung, der bisher nur andeutungsweise berührt wurde, in ein schärferes Licht gesetzt ist, obliegt mir nur noch die angenehme Pflicht, meinem Vater, Herrn Prof. J. Bauschinger, für seine thatkräftige Unterstützung bei Construction des Apparates, und Herrn Assistenten Klebe für die geschickte Ausführung desselben auch hier meinen verbindlichsten Dank auszudrücken.

Biegung von Meridianfernrohren.

Fig 2.

M: 1/6 d. n. Grösse.

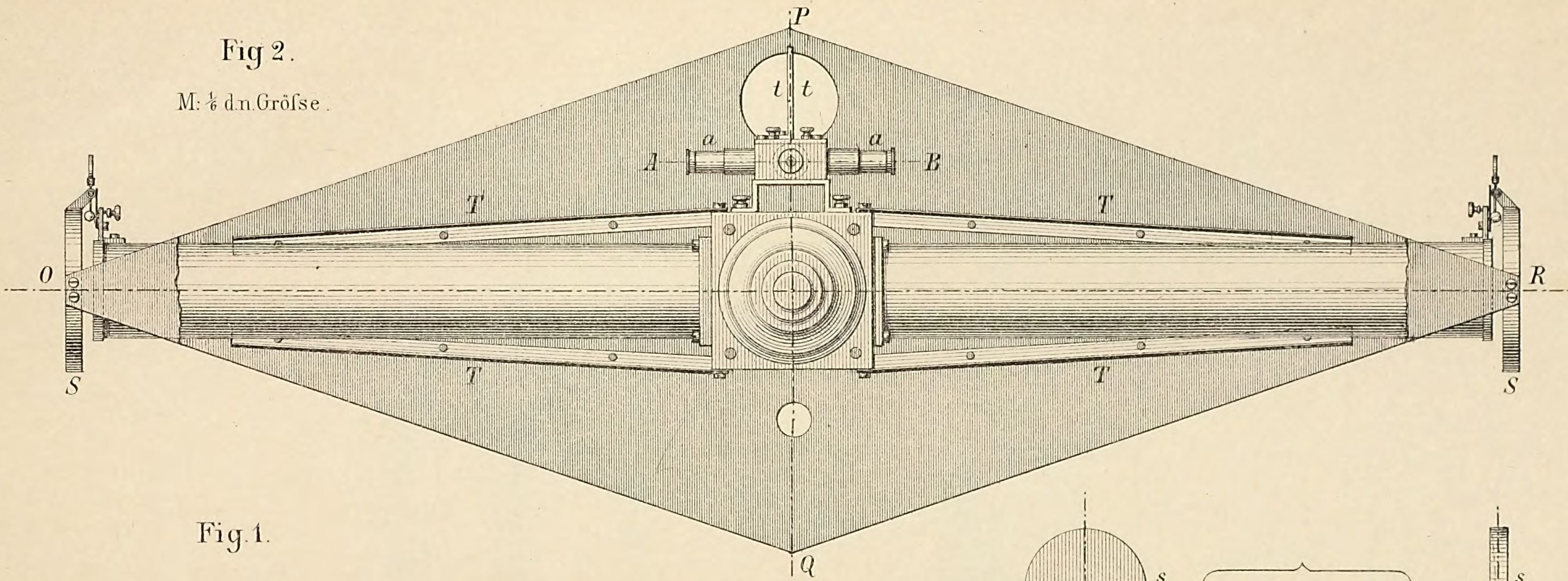


Fig. 1.

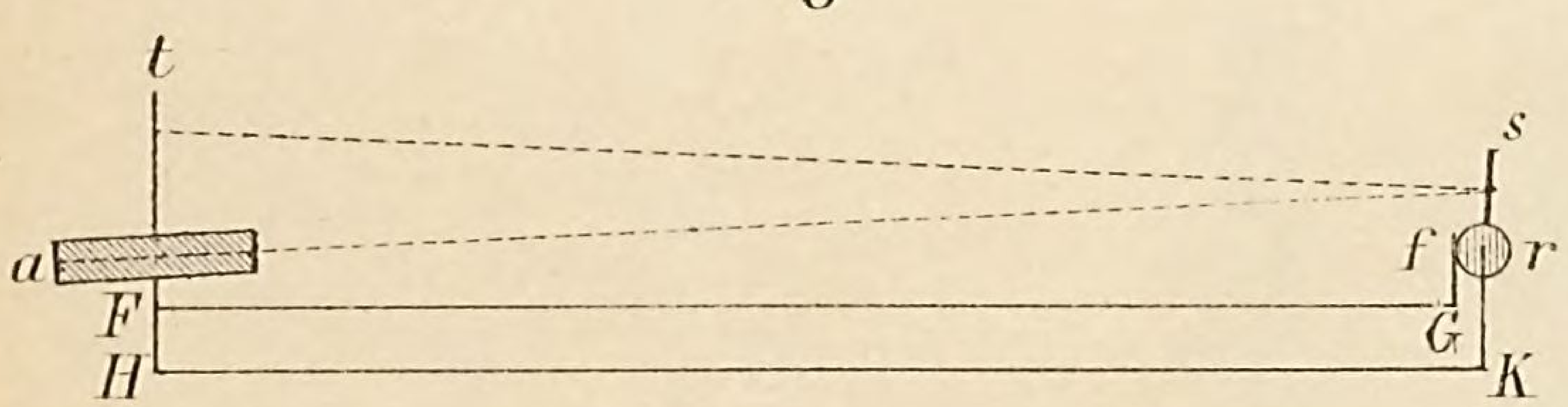


Fig. 4.
Schnitt A-B.

M: 1/2 d. n. Grösse.

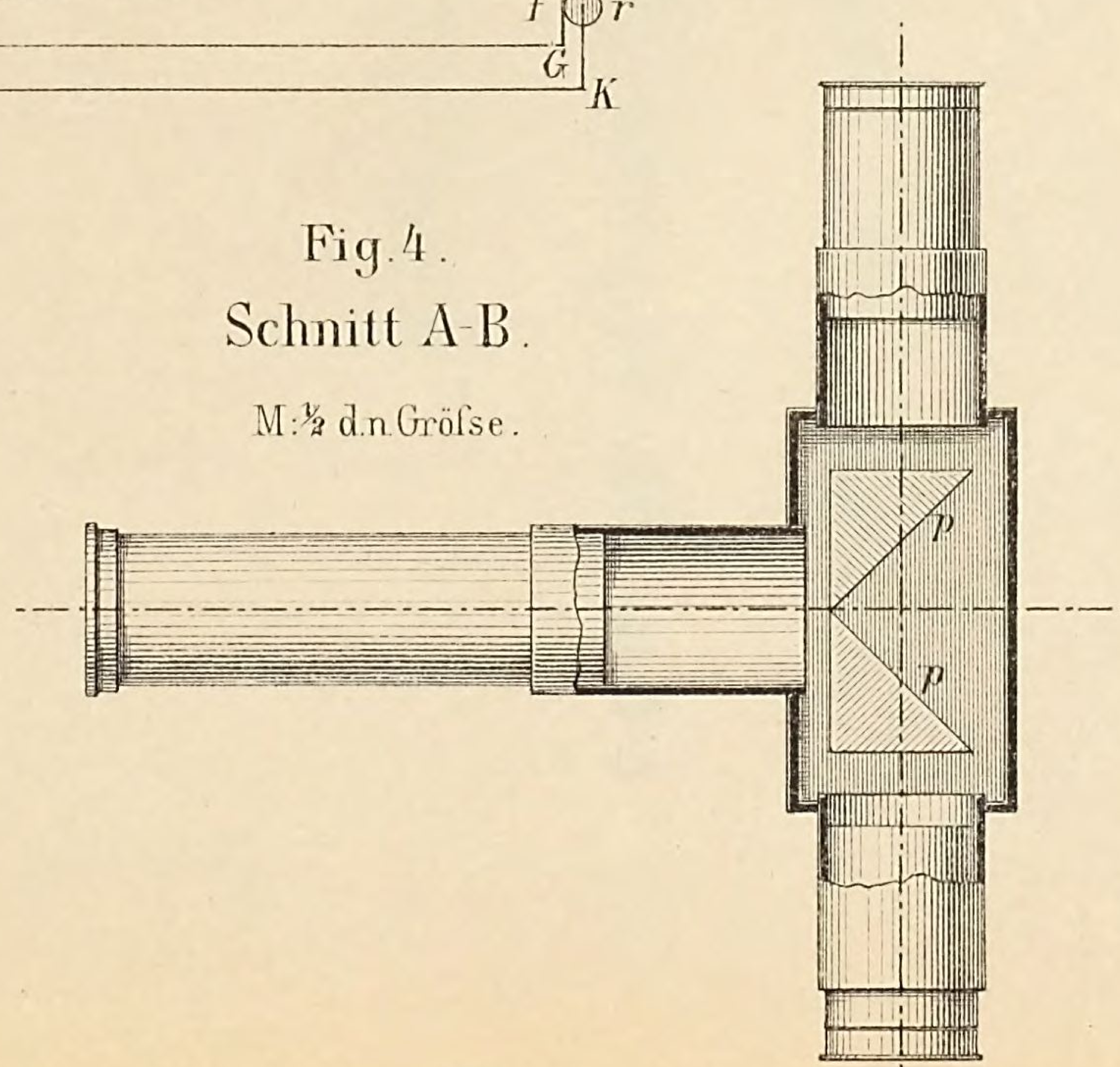
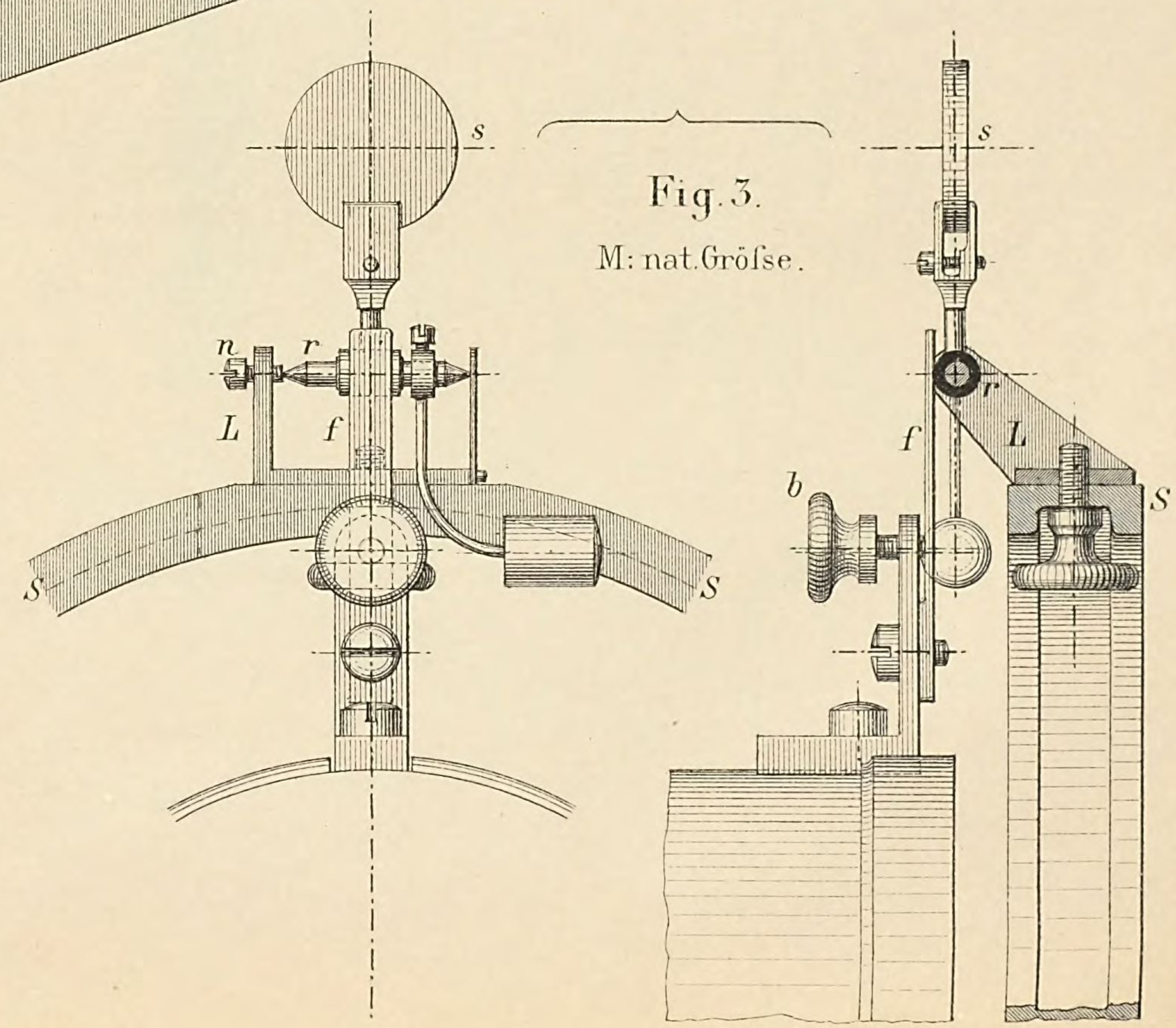


Fig. 3.

M: nat. Grösse.



Ableitung der Eigenbewegung

von 90 telescopischen Sternen,

welche in den Münchener Zonen vorkommen

von

Dr. Julius Bauschinger
Observator der Sternwarte.

Ableitung der Eigenbewegung von 90 telescopischen Sternen, welche in den Münchener Zonen vorkommen.

Bei Gelegenheit der zahlreichen Vergleichungen mit anderen Sternverzeichnissen, welchen der aus den Münchener Zonenbeobachtungen hergestellte Katalog zur Sicherung seiner Positionen unterworfen wurde, sind zahlreiche Sterne mit merklicher Eigenbewegung aufgefunden worden. Lamont selbst hat in den Anhängen seiner bekannten Sternverzeichnisse auf eine Menge derartiger Sterne hingewiesen, leider hat aber eine genauere Untersuchung die vermuthete Eigenbewegung nur in wenigen Fällen bestätigt. Erst die genaueren Vergleichungen, welche in den letzten acht Jahren von Herrn Prof. Seeliger, Herrn Feldkirchner und mir ausgeführt wurden, haben es mir ermöglicht, eine Liste von etwa 200 Sternen der Münchener Zonen aufzustellen, für welche eine E.B. sicher zu constatiren war. Diese Sterne habe ich im Laufe der letzten Jahre am Meridiankreis neu beobachtet und die erhaltenen Positionen in den neuen Sternkatalog der Münchener Sternwarte aufgenommen. Da die Bearbeitung dieser Eigenbewegungen erst nach Abschluss der Münchener Zonenarbeiten unternommen wurde, konnte es nicht ausbleiben, dass in der Zwischenzeit eine beträchtliche Anzahl anderweitig veröffentlicht wurde; ferner fanden sich darunter auch nicht wenige, für welche schon früher die E.B. erkannt und abgeleitet worden war, so dass die Zahl der Fälle, welche jetzt als neu zu bezeichnen sind, sich bedeutend reducirte. Ich hatte Anfangs die Absicht, alle uns bekannt gewordenen Sterne der Münchener Zonen mit Eigenbewegung zu bearbeiten und zu diesem Ende die oben genannten Beobachtungen angestellt, bin hievon aber zurückgetreten, da auf einigen Sternwarten Arbeiten im Gange sind, welche in kurzer Zeit zu einer neuen Bestimmung der Eigenbewegung vieler dieser Sterne Anlass geben werden. Im Folgenden habe ich daher nur jene Sterne bearbeitet, für welche entweder die Eigenbewegung bis jetzt noch gar nicht bekannt war oder für welche die bereits bekannt gewordene mir nicht hinreichend sicher zu sein schien, dagegen ausgeschlossen alle jene, für welche Argelander im VII. Bande der Bonner Beobachtungen die E.B. abgeleitet hat, und alle Bradley'schen Sterne.

Ueber die Art und Weise der Bearbeitung habe ich folgende Bemerkungen vorauszuschicken. Benützt habe ich sämmtliche mir zugängliche Beobachtungen eines jeden Sternes. Indem ich im Folgenden die einzelnen Quellen aufzähle, füge ich zugleich die gebrauchte Abkürzung und etwaige Bemerkungen bei.

1. Lalande, Histoire céleste (Ll). Die Sterne sind direct aus den Zonen mit Hilfe der v. Asten'schen Tafeln reducirt und durch den Baily'schen Katalog controlirt.

2. Piazzi, Positiones mediae (Piazzi). Die Epochen sind aus der Wiener Ausgabe der Storia celeste, soweit dies möglich war, berechnet.

3. Bessel, Königsberger Zonenbeobachtungen (B). Die Sterne sind direct aus den Zonen mit Hilfe der neuen Reductionstafeln und unter Benützung der von Luther zusammengestellten Bemerkungen (Königsberger Beobachtungen 37. Abth.) reducirt und durch die Weisse'schen Kataloge controlirt.

4. Santini, Posizioni medie, 5 Verzeichnisse (Sa).

5. Rümker, Mittlere Oerter von 12000 Fixsternen. Vollständige Ausgabe (R).

6. Taylor, General Catalogue (Taylor). Als Epoche habe ich stets 1835.0 angenommen, da sie sich nicht ohne Mühe feststellen lässt und es auch oft unsicher bleibt, ob Taylor die von ihm berechnete E.B. bei der Reduction benützt hat oder nicht.

7. Oeltzen, Argelander's Zonen-Beobachtungen (A-Ö); die Epochen sind aus B.B. II berechnet.

8. Münchener Sternverzeichniss für 1880.0, zusammengestellt aus den Lamont'schen Zonenbeobachtungen (M_1).

9. Bonner Beobachtungen Band VI, VII und VIII (B.B.).

10. Schjellerup, Stjernefortegnelse (Sj).

11. Copeland und Börgen, Göttinger Katalog (Gött.).

12. Robinson und Dreyer, Armagh Catalogues ($Arm._1$ und $Arm._2$).

13. Yarnall, Washington Catalogue (Yarn.).

14. Washington Zones of Stars (W mit Hinzufügung des Instrumentes).

15. Pulkowa, Positions moyennes de 3542 étoiles (Pulk.).

16. Catalogue de l'Observatoire de Paris Tome I (Paris).

17. Quetelet, Catalogue de 10792 étoiles (Q).

18. Grant, Glasgow-Catalogue (Grant).

19. Gould, Catálogo General Argentino (G.G.C.).

20. Gould, Catálogo de las Zonas (G.Z.C.).

21. Stone, Cape Catalogue for 1880 (Stone).

22. Kam, Katalog von Sternen aus den Astr. Nachr. (Kam).

23. Porter, Zone Catalogue (Cinc.).

24. Rambaut, Dunsink Catalogue (Duns.).

25. Valentiner, Veröffentlichungen der Karlsruher Sternwarte Heft II (Karlsr.)

26. Neues Münchener Sternverzeichniss (M_2).

Andere Quellen sind vollständig citirt, namentlich die Astr. Nachr. von Band 67 an.

Systematische Correctionen zur Reduction auf ein einheitliches System habe ich an die Katalogörter nur in den Fällen angebracht, wo sie mir sicher constatirt schienen und ohne umfangreiche Untersuchungen zu erreichen waren. Ich habe mich für die älteren Kataloge der von Bruhns in A. N. No. 2381 zusammengestellten Tabelle bedient, ferner nur noch an die Göttinger Declinationen eine Correction von $+ 0''.8$, und an die Declinationen des ersten Münchener Kataloges eine Correction von $- 0''.7$ angebracht. Ich weiss wohl, dass diese Behandlung keine zufriedenstellende ist, muss es aber so lange für unökonomisch halten, diese grösstentheils kleinen und oft unsicheren Correctionen an alle Positionen anzubringen, als nicht von authentischer Seite eine leicht zugängliche Zusammenstellung dieser Correctionen für möglichst alle Kataloge vorliegt.

Die Reduction der Katalogörter auf die Hauptepoche, als welche ich die Epoche der Münchener Sternverzeichnisse 1880.0 wählte, geschah mit den Struve'schen Constanten der Praecession und zwar vollkommen unabhängig von den in den Katalogen gegebenen Praecessionszahlen. Ich bediente mich des Verfahrens, wie es Herr Dr. H. Kreutz in A. N. No. 2563 vorgeschlagen hat. Sind t_0, α_0, δ_0 Epoche und Coordinaten des Kataloges, t, α, δ dasselbe für 1880.0, so hat man, wenn α' und δ' genäherte Coordinaten für $\frac{1}{2}(t + t_0)$ sind, einfach:

$$\alpha = \alpha_0 + [m^s (t - t_0)] + [n^s (t - t_0)] \sin \alpha' \tan \delta'$$

$$\delta = \delta_0 + [n'' (t - t_0)] \cos \alpha'$$

wo m und n die Struve'schen Praecessionsconstanten für $\frac{1}{2}(t + t_0)$ sind. Die Ausdrücke in den eckigen Klammern sind constant für einen Katalog und konnten aus folgender Tafel entnommen werden.

$t = 1880.0$

t_0	$[m^s(t-t_0)]$	$\log[n^s(t-t_0)]$	$\log[n''(t-t_0)]$
	m s		
1800	+4 5.726	2.029269	3.205360
1825	+2 48.950	1.866520	3.042611
1835	+2 18.236	1.779377	2.955468
1836	+2 15.165	1.769600	2.945691
1840	+2 2.878	1.728202	2.904293
1845	+1 47.520	1.67021	2.84630
1850	+1 32.161	1.60325	2.77935
1855	+1 16.802	1.52407	2.70016
1860	+1 1.443	1.42715	2.60325
1865	+0 46.083	1.30221	2.47830
1870	+0 30.722	1.12612	2.30221
1875	+0 15.361	0.82508	2.00117

Die Rechnung ist überdiess fast immer durch das gewöhnliche Verfahren revidirt worden, so dass hier sich schwerlich ein Fehler finden dürfte.

Die nach dieser Operation auszuführende Aufstellung der Haupt-Position für 1880.0 und Ableitung der Eigenbewegung geschah durch die Methode der kleinsten Quadrate. Ich darf hiebei nicht unerwähnt lassen, dass ich mich bei Bildung und Auflösung der Normalgleichungen durchweg der neuen von Prof. Selling construirten Rechenmaschine bediente, durch welche diese sonst so zeitraubenden Rechnungen mit grosser Sicherheit und Schnelligkeit sich ausführen liessen; abgesehen von der Annehmlichkeit, während der ganzen Operation keine Tafel gebrauchen und keine Ziffer schreiben zu müssen, schätze ich den Zeitgewinn auf mindestens die Hälfte des gewöhnlichen Verfahrens.

Die folgende Zusammenstellung enthält in der ersten Columne die Quelle der Position mit den oben angegebenen Abkürzungen, in der zweiten die Epoche der Beobachtungen, in der dritten und vierten die Rectascension und Declination, bezogen auf das mittlere Aequinoctium 1880.0 und ohne Berücksichtigung der Eigenbewegung reducirt, in der fünften das Gewicht, das ich den betreffenden Beobachtungen gegeben habe. In Bezug hierauf ist zu bemerken, dass dasselbe relativ aufzufassen ist, also den Werth ausdrückt, den ich einer einzelnen Position im Verhältniss zu den anderen desselben Sternes zuschreiben wollte; die übrigbleibenden Fehler lassen entscheiden, wie weit ich mich hiebei von der vollständig nie zu vermeidenden Willkür ferngehalten habe. In der sechsten und siebenten Columne folgen die Sekunden der einzelnen Positionen, unter Anwendung der abgeleiteten Eigenbewegung reducirt, in der achten und neunten die übrigbleibenden Fehler. Unter der Tabelle der Einzelpositionen für jeden Stern findet man die gefundene Eigenbewegung y und y' für Rectascension und Declination, ferner die Hauptposition für 1880.0, abgeleitet aus sämmtlichen Beobachtungen, und schliesslich die Grösse nach der Bonner Durchmusterung.

Am Schluss sind die Resultate nochmals übersichtlich unter Hinzufügung der Praecessionen zusammengestellt; letztere sind doppelt von den Herren Dr. E. Anding und W. List gerechnet.

Ich führe endlich noch jene Nummern an, auf deren E.B. inzwischen anderweitig aufmerksam gemacht wurde, welche ich aber doch hier aufgenommen habe, weil die Hinzufügung der neuen Beobachtungen sicherere Resultate abzuleiten gestattete. Im Verzeichniss des Schjellerup'schen Sternkataloges stehen die Nummern 14, 36, 53, 60, 67, 68; im Verzeichniss des Herrn Dreyer (Monthly Notices 1886, pag. 379) kommen vor die Nummern 18, 27, 49, 50, 72, 75, 79; in der Südlichen Durchmusterung pag. [34] sind angeführt die Nummern 41, 46, 47; im Pariser Katalog die Nummern 1, 9, 10, 12 und im Zonenkatalog von Porter (Cincinnati) die Nummern 65 und 70. Die Dissertation von J. Bischof (Ueber die Eigenbewegung des Sonnensystems, Bonn 1884), in welcher die Resultate der von Argelander bearbeiteten, aber noch nicht publicirten Eigenbewegungen

von 280 Sternen mitgetheilt werden, kam erst nach Abschluss der Arbeit in meine Hände; die hierin enthaltenen Sterne wollte ich, nachdem sie einmal berechnet waren und da für sie ebenfalls viele neue Beobachtungen hinzugekommen sind, nicht ausschliessen; es sind (mit Weglassung der schon oben angeführten) folgende Nummern: 3, 6, 8, 21, 25, 32, 33, 37, 52, 54, 57, 63, 66, 76, 77, 81, 84, 85, 88, 89. Zweiundvierzig von den behandelten neunzig Sternen kommen also bereits in anderen Publicationen vor.

1.

Aut.	Ohne E.B.				Mit E.B.			
	Epoche	A.R. 1880.0	Decl. 1880.0	Gew.	A.R.	Decl.	$\Delta\alpha$	$\Delta\delta$
		h m s	° ′ ″			″	s	″
Ll	1796.7	0 11 46.87	— 14 7 19.3	1	49.34	—	+ 0.04	— 1.9
B	1823.9	0 11 47.91	— 14 7 18.0	1	49.57	—	— 0.19	— 3.2
M_1	1845.9	0 11 48.66	— 14 7 21.3	1	49.67	—	— 0.29	+ 0.1
Pulk.	1856.4	0 11 48.58	— 14 7 21.8	4	49.28	—	+ 0.10	+ 0.6
Paris II.	1857.9	0 11 48.73	— 14 7 21.4	2	49.39	—	— 0.01	+ 0.2
Sa	1857.9	0 11 48.55	— 14 7 21.1	1	49.21	—	+ 0.17	— 0.1
Q	1871.3	0 11 48.97	— 14 7 21.5	3	49.23	—	+ 0.15	+ 0.3
Paris III.	1879.8	0 11 49.38	— 14 7 21.1	4	49.38	—	0.00	— 0.1
G.G.C.	1880.6	0 11 49.50	— 14 7 21.8	4	49.48	—	— 0.10	+ 0.6
M_2	1886.0	0 11 49.62	— 14 7 21.3	2	49.44	—	— 0.06	+ 0.1

$y = +0^s.0297. \quad y' = —.$

1880.0 $\alpha = 0^h\ 11^m\ 49^s.380 \quad \delta = -14^\circ\ 7'\ 21''.24.$ Grösse $6^m.5$.

2.

Aut.	Ohne E.B.				Mit E.B.			
	Epoche	A.R. 1880.0	Decl. 1880.0	Gew.	A.R.	Decl.	$\Delta\alpha$	$\Delta\delta$
		h m s	° ′ ″		s	″	s	″
Ll	1794.8	0 16 42.43	+ 21 43 19.5	2	44.00	60.7	+ 0.07	— 0.2
M_1	1842.9	0 16 43.59	+ 21 43 8.0	1	44.27	59.8	— 0.20	+ 0.7
R	1846.0	0 16 43.51	+ 21 43 8.3	1	44.14	60.8	— 0.07	— 0.3
Paris II.	1859.9	0 16 43.86	+ 21 43 4.2	1	44.23	59.8	— 0.16	+ 0.7
Paris III.	1873.9	0 16 43.90	+ 21 43 2.3	3	44.01	61.0	+ 0.06	— 0.5
M_2	1886.0	0 16 44.09	+ 21 42 58.9	1	43.98	60.2	+ 0.09	+ 0.3

$y = +0^s.0185. \quad y' = -0''.221.$

1880.0 $\alpha = 0^h\ 16^m\ 44^s.074 \quad \delta = +21^\circ\ 43'\ 0''.53.$ Grösse $7^m.5$.

3.

Aut.	Ohne E.B.				Mit E.B.			
	Epoche	A.R. 1880.0	Decl. 1880.0	Gew.	A.R.	Decl.	$\Delta\alpha$	$\Delta\delta$
		h m s	° ′ ″		s	″	s	″
M_1	1841.6	0 37 18.17	— 1 32 28.6	1	17.37	41.1	— 0.07	— 1.2
B.B. VII.	1865.0	0 37 17.50	— 1 32 38.1	2	17.19	43.0	+ 0.11	+ 0.7
Gött.	1867.8	0 37 17.65	— 1 32 39.4	1	17.39	43.4	— 0.09	+ 1.1
M_2	1885.5	0 37 17.25	— 1 32 42.6	1	17.37	40.8	— 0.07	— 1.5

$y = -0^s.0209. \quad y' = -0''.326.$

1880.0 $\alpha = 0^h\ 37^m\ 17^s.300 \quad \delta = -1^\circ\ 32'\ 42''.26.$ Grösse $8^m.7$.

4.

Aut.	Ohne E.B. Epoche	A.R. 1880.0	Decl. 1880.0	Gew.	Mit E.B. A.R.	Decl.	Δα	Δδ
		h m s	° ′ ″		s	″	s	″
Ll	1794.9	0 58 34.35	+ 6 24 26.3	1	35.28	18.4	+ 0.08	+ 0.4
B	1822.0	0 58 34.91	+ 6 24 24.6	1	35.54	19.2	— 0.18	— 0.4
Paris I.	1843.6	0 58 35.04	—	2	35.44	—	— 0.08	—
Paris II.	1858.7	0 58 34.84	+ 6 24 21.5	1	35.07	19.5	+ 0.29	— 0.7
Q	1870.3	—	+ 6 24 20.1	1	—	19.2	—	— 0.4
Q	1872.6	0 58 35.24	—	2	35.32	—	+ 0.04	—
Berlin[1])	1876.0	0 58 35.25	+ 6 24 18.9	1	35.29	18.5	+ 0.07	+ 0.3
Paris III.	1875.9	0 58 35.34	+ 6 24 19.2	2	35.38	18.8	— 0.02	0.0
M_2	1886.5	0 58 35.52	+ 6 24 18.0	2	35.45	18.6	— 0.09	+ 0.2

1) A.N. Bd. 94, pag. 307.

$y = + 0^s.0109. \quad y' = - 0''.093.$

1880.0 $\alpha = 0^h\ 58^m\ 35^s.363 \quad \delta = + 6^0\ 24'\ 18''.85$. Grösse $7^m.8$.

5.

Aut.	Ohne E.B. Epoche	A.R. 1880.0	Decl. 1880.0	Gew.	Mit E.B. A.R.	Decl.	Δα	Δδ
		h m s	° ′ ″		s	″	s	″
B	1825.9	1 1 41.51	+ 21 20 14.4	1	42.55	—	— 0.15	— 1.0
M_1	1842.9	1 1 41.46	+ 21 20 13.0	1	42.17	—	+ 0.23	+ 0.4
M_2	1886.4	1 1 42.60	+ 21 20 12.8	1	42.48	—	— 0.08	+ 0.6

$y = + 0^s.0192. \quad y' = —.$

1880.0 $\alpha = 1^h\ 1^m\ 42^s.397 \quad \delta = + 21^0\ 20'\ 13''.40$. Grösse $7^m.5$.

Da die Positionen der 3 Epochen auf je zwei Beobachtungen beruhen, so kann die Realität der E.B. in A.R. nicht wohl bezweifelt werden.

6.

Aut.	Ohne E.B. Epoche	A.R. 1880.0	Decl. 1880.0	Gew.	Mit E.B. A.R.	Decl.	Δα	Δδ
		h m s	° ′ ″		s	″	s	″
B	1823.0	1 12 28.16	— 1 29 15.7	1	29.78	30.3	+ 0.10	+ 1.5
M_1	1841.0	1 12 28.92	— 1 29 16.6	1	30.03	26.6	— 0.15	— 2.2
Sa	1861.9	1 12 29.33	— 1 29 23.5	1	29.84	28.2	+ 0.04	— 0.6
Gött.	1868.0	1 12 29.59	— 1 29 26.9	1	29.93	30.0	— 0.05	+ 1.2
M_2	1884.9	1 12 29.97	— 1 29 30.3	1	29.83	29.0	+ 0.05	+ 0.2

$y = + 0^s.0284. \quad y' = — 0''.257.$

1880.0 $\alpha = 1^h\ 12^m\ 29^s.884 \quad \delta = — 1^0\ 29'\ 28''.83$. Grösse $8^m.0$.

7.

Aut.	Ohne E.B. Epoche	A.R. 1880.0	Decl. 1880.0	Gew.	Mit E.B. A.R.	Decl.	Δα	Δδ
		h m s	° ′ ″		s	″	s	″
M_1	1843.9	1 13 54.56	+ 11 9 9.4	1	53.91	3.2	— 0.05	0.0
B.B. VI.	1861.8	1 13 54.15	+ 11 9 6.3	2	53.82	3.2	+ 0.04	0.0
M_2	1886.5	1 13 53.76	+ 11 9 2.1	2	53.88	3.2	— 0.02	0.0

$y = — 0^s.0181. \quad y' = — 0''.171.$

1880.0 $\alpha = 1^h\ 13^m\ 53^s.861 \quad \delta = + 11^0\ 9'\ 3''.20$. Grösse $8^m.3$.

8.

Aut.	Ohne E.B.				Mit E.B.			
	Epoche	A.R. 1880.0	Decl. 1880.0	Gew.	A.R.	Decl.	$\Delta\alpha$	$\Delta\delta$
		h m s	° ′ ″		s	″	s	″
B	1822.1	2 8 22.07	— 1 45 29.0	1	25.74	34.6	+ 0.04	— 0.8
M_1	1840.9	2 8 23.36	— 1 45 32.4	1	25.84	36.2	— 0.06	+ 0.8
Gött.	1867.9	2 8 25.01	— 1 45 35.1	1	25.77	36.3	+ 0.01	+ 0.9
M_2	1885.0	2 8 26.08	— 1 45 35.0	1	25.76	34.5	+ 0.02	— 0.9

$y = +0^s.0634. \quad y' = -0''.097.$

1880.0 $\alpha = 2^h\, 8^m\, 25^s.779 \quad \delta = -1^0\, 45'\, 35''.39.$ Grösse $8^m.3$.

9.

Aut.	Ohne E.B.				Mit E.B.			
	Epoche	A.R. 1880.0	Decl. 1880.0	Gew.	A.R.	Decl.	$\Delta\alpha$	$\Delta\delta$
		h m s	° ′ ″		s	″	s	″
Ll	1793.9	2 9 57.04	+ 11 50 2.7	1	58.16	42.4	+ 0.01	— 0.6
B	1822.9	2 9 57.58	+ 11 49 53.9	1	58.32	40.5	— 0.15	+ 1.3
M_1	1842.6	2 9 57.55	+ 11 49 51.4	1	58.03	42.6	+ 0.14	— 0.8
Paris II.	1856.9	2 9 57.79	+ 11 49 47.0	1	58.09	41.6	+ 0.08	+ 0.2
Grant	1871.8	2 9 58.07	—	1	58.18	—	— 0.01	—
Grant	1875.4	—	+ 11 49 42.2	1	—	41.1	—	+ 0.7
Paris III.	1879.9	2 9 58.29	+ 11 49 42.8	1	58.29	42.8	— 0.12	— 1.0
M_2	1885.0	2 9 58.21	+ 11 49 40.5	1	58.14	41.7	+ 0.03	+ 0.1

$y = +0^s.0130. \quad y' = -0''.235.$

1880.0 $\alpha = 2^h\, 9^m\, 58^s.173 \quad \delta = +11^0\, 49'\, 41''.81.$ Grösse $8^m.0$.

10.

Aut.	Ohne E.B.				Mit E.B.			
	Epoche	A.R. 1880.0	Decl. 1880.0	Gew.	A.R.	Decl.	$\Delta\alpha$	$\Delta\delta$
		h m s	° ′ ″		s	″	s	″
Ll	1797.1	3 51 25.85	— 1 29 57.2	1	24.76	10.7	— 0.08	+ 1.6
B	1822.1	3 51 25.34	— 1 29 58.0	1	24.58	7.4	+ 0.10	— 1.7
M_1	1841.7	3 51 25.20	— 1 30 1.7	1	24.69	7.9	— 0.01	— 1.2
$Arm._1$	1842.5	3 51 25.16	—	1	24.67	—	+ 0.01	—
$Arm._1$	1850.7	—	— 1 30 5.1	2	—	9.9	—	+ 0.8
Paris II.	1857.9	3 51 24.97	— 1 30 4.2	1	24.70	7.8	— 0.02	— 1.3
Gött.	1868.1	3 51 24.80	— 1 30 7.0	1	24.64	8.9	+ 0.04	— 0.2
Paris III.	1879.0	3 51 24.63	— 1 30 10.0	1	24.62	10.2	+ 0.06	+ 1.1
M_2	1884.9	3 51 24.72	— 1 30 10.1	1	24.78	9.3	— 0.10	+ 0.2

$y = -0^s.0132. \quad y' = -0''.162.$

1880.0 $\alpha = 3^h\, 51^m\, 24^s.677 \quad \delta = -1^0\, 30'\, 9''.10.$ Grösse $8^m.7$.

11.

Aut.	Ohne E.B.				Mit E.B.			
	Epoche	A.R. 1880.0	Decl. 1880.0	Gew.	A.R.	Decl.	$\Delta\alpha$	$\Delta\delta$
		h m s	° ′ ″		s	″	s	″
Ll¹)	1799.1	5 22 1.—	— 13 40 [12.8]	0	—	—	—	—
B	1824.1	5 22 1.65	— 13 40 7.8	1	—	24.5	+ 0.04	— 0.7
M_1	1846.2	5 22 1.72	— 13 40 14.5	1	—	24.6	— 0.03	— 0.6
Paris I.	1848.1	5 22 1.—	— 13 40 16.6	1	—	26.1	—	+ 0.9
Sa	1859.1	5 22 1.64	— 13 40 18.9	1	—	25.1	+ 0.05	— 0.1
Q	1865.8	—	— 13 40 21.8	2	—	26.0	—	+ 0.8
Q	1871.1	5 22 1.67	—	2	—	—	+ 0.02	—
M_2	1885.6	5 22 1.73	— 13 40 26.2	2	—	24.5	— 0.04	— 0.7

1) Die Beobachtnng der H.C., in A.R. nur auf ganze Minuten angegeben, ist offenbar in Decl. verfehlt und wird daher ausgeschlossen.

$y = —. \quad y' = — 0''.298.$

1880.0 $\alpha = 5^h\ 22^m\ 1^s.687 \quad \delta = — 13^0\ 40'\ 25''.17.$ Grösse $7^m.5$.

12.

Aut.	Ohne E.B.				Mit E.B.			
	Epoche	A.R. 1880.0	Decl. 1880.0	Gew.	A.R.	Decl.	$\Delta\alpha$	$\Delta\delta$
		h m s	° ′ ″		s	″	s	″
Ll	1799.1	5 36 25.94	— 15 41 8.5	1	27.60	16.4	— 0.05	+ 2.0
M_1	1846.1	5 36 27.21	— 15 41 8.6	1	27.90	11.9	— 0.35	— 2.5
B.B. VI.	1853.1	5 36 26.44	— 15 41 10.0	1	26.99	12.6	+ 0.56	— 1.8
Paris II.	1859.1	--	— 15 41 11.6	1	—	13.6	—	— 0.8
Paris III.	1880.1	5 36 27.69	— 15 41 15.5	1	27.69	15.5	— 0.14	+ 1.1
M_2	1886.8	5 36 27.71	— 15 41 16.0	2	27.57	15.3	— 0.02	+ 0.9

$y = + 0^s.0205. \quad y' = — 0''.097.$

1880.0 $\alpha = 5^h\ 36^m\ 27^s.554 \quad \delta = — 15^0\ 41'\ 14''.38.$ Grösse $8^m.0$.

Da einige der obigen Positionen mangelhaft zu sein scheinen, ist die abgeleitete E.B. in beiden Coordinaten ziemlich unsicher.

13.

Aut.	Ohne E.B.				Mit E.B.			
	Epoche	A.R. 1880.0	Decl. 1880.0	Gew.	A.R.	Decl.	$\Delta\alpha$	$\Delta\delta$
		h m s	° ′ ″		s	″	s	″
Ll	1794.1	6 9 29.04	— 0 27 53.6	1	28.07	7.6	+ 0.09	+ 2.2
B	1822.1	6 9 29.00	— 0 27 53.5	1	28.35	2.9	— 0.19	— 2.5
Sa	1838.2	6 9 28.67	— 0 27 57.9	1	28.20	4.7	— 0.04	— 0.7
M_1	1841.9	6 9 28.55	— 0 27 58.8	1	28.12	5.0	+ 0.04	— 0.4
Pulk.	1862.1	6 9 28.30	— 0 28 2.6	2	28.10	5.5	+ 0.06	+ 0.1
Gött.	1868.5	6 9 28.26	— 0 28 3.8	1	28.13	5.7	+ 0.03	+ 0.3
G.G.C.	1877.0	6 9 28.24	— 0 28 5.5	2	28.21	6.0	— 0.05	+ 0.6

$y = — 0^s.0113. \quad y' = — 0''.162.$

1880.0 $\alpha = 6^h\ 9^m\ 28^s.164 \quad \delta = — 0^0\ 28'\ 5''.42.$ Grösse $6^m.5$.

14.

Aut.	Ohne E.B.				Mit E.B.			
	Epoche	A.R. 1880.0	Decl. 1880.0	Gew.	A.R.	Decl.	$\Delta\alpha$	$\Delta\delta$
		h m s	° ′ ″		s	″	s	″
Ll	1794.1	6 19 7.01	— 0 52 8.5	1	8.46	25.5	— 0.03	— 0.1
B	1822.1	6 19 7.37	— 0 52 13.0	1	8.35	24.4	+ 0.08	— 1.2
Sa	1838.2	6 19 7.78	— 0 52 19.1	1	8.48	27.3	— 0.05	+ 1.7
M_1	1841.5	6 19 7.83	— 0 52 19.5	1	8.47	27.1	— 0.04	+ 1.5
Sj	1863.2	6 19 8.14	— 0 52 21.2	2	8.42	24.5	+ 0.01	— 1.1
Gött.	1868.1	6 19 8.30	— 0 52 23.6	2	8.50	25.9	— 0.07	+ 0.3
Q	1871.7	6 19 8.23	— 0 52 24.6	2	8.37	26.2	+ 0.06	+ 0.6
G.G.C.	1877.1	6 19 8.34	— 0 52 24.5	2	8.39	25.1	+ 0.04	— 0.5
M_2	1885.6	6 19 8.57	— 0 52 27.0	2	8.48	25.9	— 0.05	+ 0.3

$y = + 0^s.0168. \quad y' = - 0''.197.$

1880.0 $\alpha = 6^h\ 19^m\ 8^s.434 \quad \delta = -0^0\ 52'\ 25''.63.$ Grösse $6^m.4$.

15.

Aut.	Ohne E.B.				Mit E.B.			
	Epoche	A.R. 1880.0	Decl. 1880.0	Gew.	A.R.	Decl.	$\Delta\alpha$	$\Delta\delta$
		h m s	° ′ ″		s	″	s	″
Ll	1797.2	6 29 28.38	— 12 30 18.7	1	—	32.2	+ 0.22	+ 1.3
B	1825.0	6 29 28.56	— 12 30 21.6	1	—	30.6	+ 0.04	— 0.3
M_1	1846.2	6 29 28.72	— 12 30 22.9	1	—	28.4	— 0.12	— 2.5
Sa	1857.-	6 29 28.51	— 12 30 27.0	1	—	30.8	+ 0.09	— 0.1
M_2	1886.4	6 29 28.72	— 12 30 32.7	2	—	31.6	— 0.12	+ 0.7

$y = -. \quad y' = - 0''.164.$

1880.0 $\alpha = 6^h\ 29^m\ 28^s.602 \quad \delta = -12^0\ 30'\ 30''.89.$ Grösse $7^m.8$.

16.

Aut.	Ohne E.B.				Mit E.B.			
	Epoche	A.R. 1880.0	Decl. 1880.0	Gew.	A.R.	Decl.	$\Delta\alpha$	$\Delta\delta$
		h m s	° ′ ″		s	″	s	″
M_1	1841.6	7 16 9.45	— 1 38 51.5	1	8.63	41.6	+ 0.01	+ 0.4
Gött.	1868.2	7 16 8.94	— 1 38 43.3	1	8.69	40.3	— 0.05	— 0.9
M_2	1885.5	7 16 8.50	— 1 38 40.4	1	8.62	41.8	+ 0.02	+ 0.6

$y = - 0^s.0214. \quad y' = + 0''.258.$

1880.0 $\alpha = 7^h\ 16^m\ 8^s.644 \quad \delta = -1^0\ 38'\ 41''.23.$ Grösse $9^m.0$.

17.

Aut.	Ohne E.B.				Mit E.B.			
	Epoche	A.R. 1880.0	Decl. 1880.0	Gew.	A.R.	Decl.	$\Delta\alpha$	$\Delta\delta$
		h m s	° ′ ″		s	″	s	″
M_1	1841.8	7 33 43.01	— 1 14 16.7	2	43.40	25.9	+ 0.01	+ 0.1
Gött.	1869.0	7 33 43.36	— 1 14 22.6	1	43.47	25.3	— 0.06	— 0.5
M_2	1884.6	7 33 43.44	— 1 14 27.1	2	43.39	26.0	+ 0.02	+ 0.2

$y = + 0^s.0102. \quad y' = - 0''.241.$

1880.0 $\alpha = 7^h\ 33^m\ 43^s.412 \quad \delta = -1^0\ 14'\ 25''.81.$ Grösse $9^m.3$.

Da M_1 und M_2 auf 3 bez. 2 gut stimmenden Beobachtungen beruhen (Gött. hat nur eine) so ist an der Realität einer E.B. wenigstens in Decl. kein Zweifel möglich, wenn auch der Betrag derselben noch unsicher sein mag.

18.

Aut.	Ohne E.B.				Mit E.B.			
	Epoche	A.R. 1880.0	Decl. 1880.0	Gew.	A.R.	Decl.	$\Delta\alpha$	$\Delta\delta$
		h m s	° ′ ″		s	″	s	″
Ll	1794.1	8 18 25.22	— 0 45 1.4	1	26.05	18.5	+ 0.12	— 1.5
B	1824.0	8 18 25.64	— 0 45 10.6	1	26.18	21.7	— 0.01	+ 1.7
Sa	1839.3	8 18 25.78	— 0 45 11.0	1	26.18	19.1	— 0.01	— 0.9
M_1	1841.6	8 18 25.87	— 0 45 12.5	2	26.24	20.1	— 0.07	+ 0.1
Sa	1862.2	8 18 26.03	— 0 45 18.5	1	26.20	22.0	— 0.03	+ 2.0
Gött.	1868.6	8 18 25.91	— 0 45 16.1	1	26.02	18.4	+ 0.15	— 1.6
$Arm._2$	1879.2	8 18 26.24	— 0 45 18.7	1	26.35	20.9	— 0.18	+ 0.9
G.G.C.	1879.2	8 18 26.07	— 0 45 18.4	2	26.18	20.6	— 0.01	+ 0.6
M_2	1887.5	8 18 26.16	— 0 45 20.6	2	26.09	19.1	+ 0.08	— 0.9

$y = + 0^s.0097. \quad y' = - 0''.199.$

1880.0 $\alpha = 8^h\ 18^m\ 26^s.166 \quad \delta = - 0^0\ 45'\ 20''01.$ Grösse $7^m.5.$

19.

Aut.	Ohne E.B.				Mit E.B.			
	Epoche	A.R. 1880.0	Decl. 1880.0	Gew.	A.R.	Decl.	$\Delta\alpha$	$\Delta\delta$
		h m s	° ′ ″		s	″	s	″
Ll	1798.2	9 3 6.46	— 10 16 3.4	1	4.39	9.8	+ 0.10	+ 0.1
B	1824.1	9 3 6.07	— 10 16 5.9	1	4.66	10.3	— 0.17	+ 0.6
Sa	1851.0	9 3 5.21	— 10 16 7.6	1	4.48	9.9	+ 0.01	+ 0.2
Q	1867.5	—	— 10 16 7.3	2	—	8.3	—	— 1.4
Q	1868.2	9 3 4.76	—	2	4.46	—	+ 0.03	—
M_2	1887.2	9 3 4.31	— 10 16 11.2	2	4.49	10.6	0.00	+ 0.9

$y = - 0^s.0253. \quad y' = - 0''.079.$

1880.0 $\alpha = 9^h\ 3^m\ 4^s.490 \quad \delta = - 10^0\ 16'\ 9''.69.$ Grösse $7^m.1.$

20.

Aut.	Ohne E.B.				Mit E.B.			
	Epoche	A.R. 1880.0	Decl. 1880.0	Gew.	A.R.	Decl.	$\Delta\alpha$	$\Delta\delta$
		h m s	° ′ ″		s	″	s	″
Ll	1796.3	9 45 11.75	— 1 17 24.7	1	12.39	36.4	+ 0.18	— 1.9
B	1823.1	9 45 12.29	— 1 17 31.5	1	12.72	39.4	— 0.15	+ 1.1
M_1	1844.9	9 45 12.35	— 1 17 33.3	1	12.69	39.6	— 0.12	+ 1.3
Sa	1853.8	9 45 12.42	— 1 17 36.5	1	12.62	40.1	— 0.05	+ 1.8
Gött.	1868.2	9 45 12.46	— 1 17 35.7	1	12.55	37.3	+ 0.02	— 1.0
G.G.C.	1880.2	9 45 12.58	— 1 17 38.2	2	12.58	38.2	— 0.01	— 0.1
Karlsr.	1883.2	9 45 12.53	— 1 17 38.2	2	12.51	37.8	+ 0.06	— 0.5

$y = + 0^s.0076. \quad y' = - 0''.139.$

1880.0 $\alpha = 9^h\ 45^m\ 12^s.571 \quad \delta = - 1^0\ 17'\ 38''.30.$ Grösse $7^m.5.$

21.

Aut.	Ohne E.B.				Mit E.B.			
	Epoche	A.R. 1880.0	Decl. 1880.0	Gew.	A.R.	Decl.	$\Delta\alpha$	$\Delta\delta$
		h m s	° ′ ″		s	″	s	″
Ll	1798.2	10 7 51.96	+ 3 45 61.7	1	53.22	30.9	+ 0.07	+ 1.5
B	1823.3	10 7 52.61	+ 3 45 54.7	1	53.49	33.4	— 0.20	— 1.0
M_1	1850.3	10 7 52.75	+ 3 45 44.8	2	53.21	33.6	+ 0.08	— 1.2
B.B. VI.	1861.9	10 7 53.02	+ 3 45 40.0	2	53.30	33.2	— 0.01	— 0.8
Sj	1862.3	10 7 53.07	+ 3 45 38.4	1	53.34	31.7	— 0.05	+ 0.7
Grant	1872.2	10 7 53.14	+ 3 45 34.0	2	53.26	31.1	+ 0.03	+ 1.3

$y = + 0^s.0154. \quad y' = - 0''.376.$

1880.0 $\alpha = 10^h\ 7^m\ 53^s.288 \quad \delta = + 3^0\ 45'\ 32''.42.$ Grösse $7^m.8$.

22.

Aut.	Ohne E.B.				Mit E.B.			
	Epoche	A.R. 1880.0	Decl. 1880.0	Gew.	A.R.	Decl.	$\Delta\alpha$	$\Delta\delta$
		h m s	° ′ ″		s	″	s	″
Ll	1797.2	10 15 2.80	— 14 53 37.7	1	1.87	12.8	— 0.03	+ 0.2
M_1	1845.3	10 15 2.17	— 14 53 22.2	1	1.78	11.8	+ 0.06	— 0.8
Duns.	1882.7	10 15 1.82	— 14 53 12.4	1	1.85	13.2	— 0.01	+ 0.6
G.G.C.	1883.3	10 15 1.82	— 14 53 11.6	2	1.86	12.6	— 0.02	0.0

$y = - 0^s.0112. \quad y' = + 0''.300.$

1880.0 $\alpha = 10^h\ 15^m\ 1^s.843 \quad \delta = - 14^0\ 53'\ 12''.64.$ Grösse $7^m.0$.

23.

Aut.	Ohne E.B.				Mit E.B.			
	Epoche	A.R. 1880.0	Decl. 1880.0	Gew.	A.R.	Decl.	$\Delta\alpha$	$\Delta\delta$
		h m s	° ′ ″		s	″	s	″
Ll	1797.2	10 28 45.13	— 3 16 14.7	1	—	27.7	+ 0.11	— 2.6
B	1823.3	10 28 45.42	— 3 16 23.3	1	—	32.2	— 0.18	+ 1.9
Sa	1844.1	10 28 45.29	— 3 16 25.7	2	—	31.1	— 0.05	+ 0.8
M_1	1845.2	10 28 45.69	— 3 16 —	0	—	—	[— 0.45]	—
Sj	1863.3	10 28 45.43	— 3 16 28.4	1	—	31.0	— 0.19	+ 0.7
$Arm._2$	1870.6	10 28 45.27	— 3 16 28.7	2	—	30.2	— 0.03	— 0.1
Grant	1874.6	10 28 45.08	— 3 16 30.5	2	—	31.3	+ 0.16	+ 1.0
G.G.C.	1877.4	10 28 45.26	— 3 16 28.9	2	—	29.3	— 0.02	— 1.0
Karlsr.	1883.6	10 28 45.16	— 3 16 30.7	2	—	30.1	+ 0.08	— 0.2
M_2	1885.2	10 28 45.27	— 3 16 30.5	2	—	29.7	— 0.03	— 0.6

$y = -. \quad y' = \mp 0''.157.$

1880.0 $\alpha = 10^h\ 28^m\ 45^s.244 \quad \delta = - 3^0\ 16'\ 30''.33.$ Grösse $7^m.0$.

24.

Aut.	Ohne E.B.				Mit E.B.			
	Epoche	A.R. 1880.0	Decl. 1880.0	Gew.	A.R.	Decl.	$\Delta\alpha$	$\Delta\delta$
		h m s	° ′ ″		s	″	s	″
B	1824.3	10 30 3.87	— 11 16 48.4	1	4.49	1.8	— 0.09	— 0.4
M_1	1843.3	10 30 3.75	— 11 16 53.4	1	4.16	2.2	+ 0.24	0.0
Sa	1857.-	10 30 4.32	— 11 16 57.5	1	4.58	3.0	— 0.18	+ 0.8
M_2	1886.0	10 30 4.46	— 11 17 3.4	2	4.39	2.0	+ 0.01	— 0.2

$y = + 0^s.0111. \quad y' = - 0''.240.$

1880.0 $\alpha = 10^h\ 30^m\ 4^s.402 \quad \delta = - 11^0\ 17'\ 2''.19.$ Grösse $7^m.8$.

25.

Aut.	Ohne E.B.				Mit E.B.			
	Epoche	A.R. 1880.0	Decl. 1880.0	Gew.	A.R.	Decl.	$\Delta\alpha$	$\Delta\delta$
		h m s	° ′ ″		s	″	s	″
Ll	1798.3	10 36 14.27	— 13 9 4.5	1	15.69	17.3	+ 0.30	— 1.0
B	1824.2	10 36 15.20	— 13 9 10.4	2	16.17	19.1	— 0.18	+ 0.8
M_1	1845.3	10 36 15.57	— 13 9 12.1	1	16.17	17.5	— 0.18	— 0.8
Sa	1861.2	10 36 15.63	— 13 9 15.9	1	15.96	18.8	+ 0.03	+ 0.5
G.G.C.	1877.4	10 36 15.85	— 13 9 17.6	2	15.89	18.0	+ 0.10	— 0.3

$y = + 0^s.0174. \quad y' = - 0''.157.$

1880.0 $\alpha = 10^h\ 36^m\ 15^s.992 \quad \delta = - 13^0\ 9'\ 18''.29.$ Grösse $7^m.0$.

26.

Aut.	Ohne E.B.				Mit E.B.			
	Epoche	A.R. 1880.0	Decl. 1880.0	Gew.	A.R.	Decl.	$\Delta\alpha$	$\Delta\delta$
		h m s	° ′ ″		s	″	s	″
Ll	1796.3	10 46 25.33	+ 5 38 29.6	2	23.50	—	+ 0.02	— 1.4
B [1])	1822.2	10 46 24.83	+ 5 38 29.3	1	23.57	—	— 0.05	— 1.1
M_1	1842.3	10 46 24.38	+ 5 38 26.3	1	23.56	—	— 0.04	+ 1.9
M_2	1885.8	10 46 23.38	+ 5 38 27.3	2	23.51	—	+ 0.01	+ 0.9

1) Die A.R. aus B. Z. 64 ist um — $0^s.36$ corrigirt worden, im Mittel aus den Corr. der 5 Sterne dieser Zone, die in Königsberg beobachtet sind (Königsb. Beob. Abth. 37. II).

$y = - 0^s.0219. \quad y' = -.$

1880.0 $\alpha = 10^h\ 46^m\ 23^s.522 \quad \delta = + 5^0\ 38'\ 28''.23.$ Grösse $7^m.3$.

In Decl. ist die E.B. jedenfalls sehr klein und nicht mit Sicherheit abzuleiten.

27.

Aut.	Ohne E.B.				Mit E.B.			
	Epoche	A.R. 1880.0	Decl. 1880.0	Gew.	A.R.	Decl.	$\Delta\alpha$	$\Delta\delta$
		h m s	° ′ ″		s	″	s	″
Ll	1798.2	11 3 33.45	+ 3 6 16.8	1	32.04	—	— 0.06	+ 0.7
B	1823.3	11 3 32.84	+ 3 6 15.4	1	31.86	—	+ 0.12	+ 2.1
M_1	1842.3	11 3 32.73	+ 3 6 17.3	1	32.08	—	— 0.10	+ 0.2
$Arm._1$	1851.3	11 3 32.44	+ 3 6 16.4	1	31.94	—	+ 0.04	+ 1.1
Sj	1862.2	11 3 32.28	+ 3 6 19.0	1	31.97	—	+ 0.01	— 1.5
Grant	1868.9	11 3 32.12	+ 3 6 16.5	2	31.93	—	+ 0.05	+ 1.0
$Arm._2$	1883.3	11 3 31.98	+ 3 6 [12.0]	1	32.04	—	— 0.06	[+ 5.5]
M_2	1887.3	11 3 31.86	+ 3 6 19.8	2	31.99	—	— 0.01	— 2.3

$y = - 0^s.0173. \quad y' = -.$

1880.0 $\alpha = 11^h\ 3^m\ 31^s.976 \quad \delta = + 3^0\ 6'\ 17''.50.$ Grösse $8^m.0$.

28.

Aut.	Ohne E.B.				Mit E.B.			
	Epoche	A.R. 1880.0	Decl. 1880.0	Gew.	A.R.	Decl.	$\Delta\alpha$	$\Delta\delta$
		h m s	° ′ ″		s	″	s	″
Ll[1])	1796.3	11 6 (6.49)	— 0 31 32.0	1	(6.91)	46.6	(+ 0.51)	— 1.0
B	1823.3	11 6 7.19	— 0 31 38.3	1	7.47	48.2	— 0.05	+ 0.6
M_1	1845.4	11 6 7.26	— 0 31 42.1	2	7.43	48.1	— 0.01	+ 0.5
Gött.	1868.3	11 6 7.31	— 0 31 45.9	2	7.37	47.9	+ 0.05	+ 0.3
Q	1870.3	11 6 7.33	— 0 31 46.1	2	7.38	47.8	+ 0.04	+ 0.2
Grant	1871.5	11 6 7.32	—	2	7.36	—	+ 0.06	—
Grant	1873.6	—	— 0 31 46.4	2	—	47.5	—	— 0.1
M_2	1886.8	11 6 7.55	— 0 31 48.1	2	7.52	46.9	— 0.10	— 0.7

1) Ll hat in A.R. nur ganze Sekunden beobachtet.

$y = + 0^s.0050. \quad y' = - 0''.174.$

1880.0 $\alpha = 11^h\ 6^m\ 7^s.417 \quad \delta = - 0°\ 31'\ 47''.61.$ Grösse $8^m.5$.

29.

Aut.	Ohne E.B.				Mit E.B.			
	Epoche	A.R. 1880.0	Decl. 1880.0	Gew.	A.R.	Decl.	$\Delta\alpha$	$\Delta\delta$
		h m s	° ′ ″		s	″	s	″
M_1	1844.3	11 7 16.72	— 17 30 15.4	1	15.76	22.4	— 0.03	+ 0.2
A-Ö	1851.2	11 7 16.47	— 17 30 16.3	1	15.70	21.9	+ 0.03	— 0.3
M_2	1886.8	11 7 15.55	— 17 30 23.5	2	15.73	22.2	0.00	0.0

$y = - 0^s.0269. \quad y' = - 0''.195.$

1880.0 $\alpha = 11^h\ 7^m\ 15^s.730 \quad \delta = - 17°\ 30'\ 22''.16.$ Grösse $8^m.0$.

30.

Aut.	Ohne E.B.				Mit E.B.			
	Epoche	A.R. 1880.0	Decl. 1880.0	Gew.	A.R.	Decl.	$\Delta\alpha$	$\Delta\delta$
		h m s	° ′ ″		s	″	s	″
M_1	1845.3	11 13 5.16	+ 6 20 21.7	1	4.52	15.8	— 0.13	— 0.2
B.B. VI.	1856.2	11 13 4.70	+ 6 20 19.7	1	4.26	15.6	+ 0.13	0.0
M_2	1887.3	11 13 4.25	+ 6 20 14.3	2	4.38	15.5	+ 0.01	+ 0.1

$y = - 0^s.0185. \quad y' = - 0''.171.$

1880.0 $\alpha = 11^h\ 13^m\ 4^s.387 \quad \delta = + 6°\ 20'\ 15''.63.$ Grösse $9^m.1$.

31.

Aut.	Ohne E.B.				Mit E.B.			
	Epoche	A.R. 1880.0	Decl. 1880.0	Gew.	A.R.	Decl.	$\Delta\alpha$	$\Delta\delta$
		h m s	° ″		s	″	s	″
M_1	1842.3	12 4 3.83	+ 4 59 24.9	1	3.43	13.0	0.00	0.0
M_2	1886.8	12 4 3.36	+ 4 59 10.9	1	3.43	13.0	0.00	0.0

$y = - 0^s.011. \quad y' = - 0''.31.$

1880.0 $\alpha = 12^h\ 4^m\ 3^s.43 \quad \delta = + 4°\ 59'\ 13''.0.$ Grösse $9^m.0$.

Die Existenz einer E.B. ist nicht zu bezweifeln, da M_1 auf 5, M_2 auf 2 gut harmonirenden Beobachtungen beruhen.

32.

Aut.	Ohne E.B. Epoche	A.R. 1880.0	Decl. 1880.0	Gew.	Mit E.B. A.R.	Decl.	$\Delta\alpha$	$\Delta\delta$
		h m s	° ' "		s	"	s	"
B	1822.3	12 6 27.05	— 2 26 17.9	1	24.69	52.4	— 0.06	+ 2.1
Sa	1842.3	12 6 26.18	— 2 26 9.9	1	24.64	53.2	— 0.01	+ 2.9
R	1843.0	12 6 26.05	— 2 26 4.5	1	24.54	48.1	+ 0.09	— 2.2
M_1	1844.4	12 6 26.00	— 2 26 2.1	1	24.54	46.4	+ 0.09	— 3.9
Sa	1861.3	12 6 25.45	— 2 25 58.7	1	24.69	50.4	— 0.06	+ 0.1
G.G.C.	1877.4	12 6 24.79	— 2 25 51.1	2	24.68	49.9	— 0.05	— 0.4
Duns.	1882.9	12 6 24.55	— 2 25 50.1	2	24.67	51.4	— 0.04	+ 1.1
Karlsr.	1885.2	12 6 24.44	— 2 25 48.1	2	24.65	50.4	— 0.02	+ 0.1
Berlin [1])	1885.3	12 6 24.40	— 2 25 47.9	2	24.62	50.2	+ 0.01	— 0.1
M_2	1887.3	12 6 24.24	— 2 25 47.0	2	24.54	50.2	+ 0.09	— 0.1

1) Küstner, 670 Sterne.

$y = -0\overset{s}{.}0409. \quad y' = +0\overset{''}{.}442.$

1880.0 $\alpha = 12^h\ 6^m\ 24\overset{s}{.}628 \quad \delta = -2^0\ 25'\ 50\overset{''}{.}33.$ Grösse $7\overset{m}{.}3$.

Dieser Stern ist approximativ schon in A. N. No. 2299 behandelt. Die eben dort abgeleitete E.B. eines zweiten Sternes ist fehlerhaft bearbeitet und erreicht keinen nennenswerthen Betrag.

33.

Aut.	Ohne E.B. Epoche	A.R. 1880.0	Decl. 1880.0	Gew.	Mit E.B. A.R.	Decl.	$\Delta\alpha$	$\Delta\delta$
		h m s	° ' "		s	"	s	"
Ll	1795.8	12 21 38.04	— 1 42 38.4	1	37.37	53.9	+ 0.19	— 2.3
Piazzi	1802.3	12 21 38.33	— 1 42 42.3	1	37.71	56.6	— 0.15	+ 0.4
B	1822.3	12 21 38.18	— 1 42 48.4	1	37.72	59.0	— 0.16	+ 2.8
M_1	1849.7	12 21 37.46	— 1 42 48.0	0	[37.22	53.6	+ 0.38	— 2.6]
Q	1861.5	12 21 37.60	— 1 42 53.7	2	37.45	57.1	+ 0.11	+ 0.9
Gött.	1868.3	12 21 37.63	— 1 42 52.8	2	37.54	54.9	+ 0.02	— 1.3
Wien [1])	1873.3	12 21 37.62	— 1 42 56.4	1	37.57	57.6	— 0.01	+ 1.4
G.G.C.	1879.5	12 21 37.55	— 1 42 55.6	2	37.55	55.7	+ 0.01	— 0.5
Karlsr.	1884.3	12 21 37.58	— 1 42 56.9	3	37.61	56.1	— 0.05	— 0.1

1) A. N. No. 1977.

$y = -0\overset{s}{.}0079. \quad y' = -0\overset{''}{.}184.$

1880.0 $\alpha = 12^h\ 21^m\ 37\overset{s}{.}561 \quad \delta = -1^0\ 42'\ 56\overset{''}{.}22.$ Grösse $8\overset{m}{.}0$.

34.

Aut.	Ohne E.B. Epoche	A.R. 1880.0	Decl. 1880.0	Gew.	Mit E.B. A.R.	Decl.	$\Delta\alpha$	$\Delta\delta$
		h m s	° ' "		s	"	s	"
Ll	1796.6	12 30 55.16	— 1 39 13.1	2	55.95	23.0	+ 0.02	+ 0.1
B	1822.3	12 30 55.66	— 1 39 16.6	1	56.20	23.5	— 0.23	+ 0.7
Sa	1843.4	12 30 55.51	— 1 39 19.9	1	55.85	24.3	+ 0.12	+ 1.5
M_1	1849.4	12 30 55.50	— 1 39 15.7	1	55.79	19.3	+ 0.20	— 3.5
Sa	1861.3	12 30 55.77	— 1 39 20.9	1	55.95	23.1	+ 0.02	+ 0.3
Gött.	1868.3	12 30 55.80	— 1 39 20.9	1	55.91	22.3	+ 0.06	— 0.5
G.G.C.	1877.4	12 30 56.03	— 1 39 22.4	2	56.05	22.7	— 0.08	— 0.1
Karlsr.	1884.1	12 30 56.03	— 1 39 24.2	2	55.99	23.7	— 0.02	+ 0.8

$y = +0\overset{s}{.}0094. \quad y' = -0\overset{''}{.}119.$

1880.0 $\alpha = 12^h\ 30^m\ 55\overset{s}{.}971 \quad \delta = -1^0\ 39'\ 22\overset{''}{.}85.$ Grösse $7\overset{m}{.}5$.

35.

Aut.	Ohne E.B.				Mit E.B.			
	Epoche	A.R. 1880.0	Decl. 1880.0	Gew.	A.R.	Decl.	$\Delta\alpha$	$\Delta\delta$
		h m s	° ′ ″		s	″	s	″
Ll	1795.3	12 39 43.01	— 8 38 41.0	1	44.76	60.6	+ 0.46	+ 2.5
B	1824.3	12 39 44.74	— 8 38 42.2	1	45.89	55.1	— 0.67	— 3.0
M_1	1843.3	12 39 44.47	— 8 38 48.8	1	45.23	57.3	— 0.01	— 0.8
Berlin[1])	1880.4	12 39 45.16	— 8 38 57.8	3	45.15	57.7	+ 0.07	— 0.4
Duns.	1883.3	12 39 45.34	— 8 38 59.0	3	45.27	58.2	— 0.05	+ 0.1
M_2	1888.0	12 39 45.33	— 8 39 0.6	3	45.16	58.7	+ 0.06	+ 0.6

1) A. N. No. 2413.

$y = +\,0^{s}\!.0207. \qquad y' = -\,0''\!.231.$

1880.0 $\alpha = 12^{h}\ 39^{m}\ 45^{s}\!.222 \quad \delta = -\,8^{0}\ 38'\ 58''\!.09.$ Grösse $8^{m}\!.0$.

Ll hat in A.R. nur ganze Sekunden beobachtet; die Bessel'sche Beobachtung scheint in A.R. fehlerhaft zu sein.

36.

Aut.	Ohne E.B.				Mit E.B.			
	Epoche	A.R. 1880.0	Decl. 1880.0	Gew.	A.R.	Decl.	$\Delta\alpha$	$\Delta\delta$
		h m s	° ′ ″		s	″	s	″
Ll	1795.3	12 40 19.86	— 11 9 31.6	1	18.08	—	+ 0.08	+ 3.2
B	1824.3	12 40 19.56	— 11 9 24.3	1	18.39	—	— 0.23	— 4.1
M_1	1852.3	12 40 18.66	— 11 9 29.7	1	18.08	—	+ 0.08	+ 1.3
Sa	1857.0	12 40 18.68	— 11 9 28.3	1	18.20	—	— 0.04	— 0.1
Sj	1863.4	12 40 18.32	— 11 9 29.3	2	17.97	—	+ 0.19	+ 0.9
Q	1870.1	12 40 18.38	— 11 9 29.2	2	18.17	—	— 0.01	+ 0.8
B.B. VIII.	1873.3	12 40 18.35	— 11 9 27.8	2	18.21	—	— 0.05	— 0.6
G.G.C.	1877.4	12 40 18.26	— 11 9 27.3	2	18.21	—	— 0.05	— 1.1
Duns.	1883.3	12 40 18.12	— 11 9 28.1	2	18.19	—	— 0.03	— 0.3
M_2	1888.3	12 40 17.98	— 11 9 28.5	2	18.15	—	+ 0.01	+ 0.1

$y = -\,0^{s}\!.0210. \qquad y' = -.$

1880.0 $\alpha = 12^{h}\ 40^{m}\ 18^{s}\!.160 \quad \delta = -\,11^{0}\ 9'\ 28''\!.39.$ Grösse $7^{m}\!.0$.

37.

Aut.	Ohne E.B.				Mit E.B.			
	Epoche	A.R. 1880.0	Decl. 1880.0	Gew.	A.R.	Decl.	$\Delta\alpha$	$\Delta\delta$
		h m s	° ′ ″		s	″	s	″
Ll	1796.3	12 43 37.83	+ 1 52 48.9	1	—	52.0	— 0.22	— 1.3
M_1	1852.3	12 43 37.49	+ 1 52 7.3	1	—	48.5	+ 0.12	+ 2.2
Sj	1862.3	12 43 37.64	+ 1 52 0.9	1	—	48.9	— 0.03	+ 1.8
M_2	1886.3	12 43 37.55	+ 1 51 47.8	2	—	52.1	+ 0.06	— 1.4

$y = -. \qquad y' = -\,0''\!.679.$

1880.0 $\alpha = 12^{h}\ 43^{m}\ 37^{s}\!.610 \quad \delta = +\,1^{0}\ 51'\ 50''\!.71.$ Grösse $8^{m}\!.2$.

38.

Aut	Ohne E.B.				Mit E.B.			
	Epoche	A.R. 1880.0	Decl. 1880.0	Gew.	A.R.	Decl.	$\Delta\alpha$	$\Delta\delta$
		h m s	° ′ ″		s	″	s	″
Ll[1])	1798.3	12 44 [35.0]	— 0 5 31.7	1	—	61.5	—	— 1.6
B	1822.3	12 44 35.01	— 0 5 45.9	1	—	67.0	— 0.18	+ 3.9
M_1	1847.4	12 44 34.81	—	1	—	—	+ 0.02	—
M_1	1844.9	—	— 0 5 47.1	1	—	59.9	—	— 3.2
Yarn.	1862.1	12 44 34.82	—	2	—	—	+ 0.01	—
Yarn.	1863.9	—	— 0 5 57.5	2	—	63.4	—	+ 0.3
G.G.C.	1879.4	12 44 34.79	— 0 6 2.9	3	—	63.1	+ 0.04	0.0

1) Ll hat in A.R. nur ganze Sekunden beobachtet.

$y = —. \quad y' = — 0''.365.$

1880.0 $\alpha = 12^h\ 44^m\ 34^s.833 \quad \delta = — 0^0\ 6'\ 3''.07.$ Grösse $8^m.3$.

39.

Aut.	Ohne E.B.				Mit E.B.			
	Epoche	A.R. 1880.0	Decl. 1880.0	Gew.	A.R.	Decl.	$\Delta\alpha$	$\Delta\delta$
		h m s	° ′ ″		s	″	s	″
B	1824.3	12 55 10.79	— 7 47 [15.3]	1	8.81	—	0.00	[— 9.2]
M_1	1868.4	12 55 9.22	— 7 47 23.4	1	8.81	—	0.00	— 1.1
Duns.	1882.8	12 55 8.73	— 7 47 24.8	2	8.83	—	— 0.02	+ 0.3
M_2	1888.3	12 55 8.50	— 7 47 24.7	2	8.80	—	+ 0.01	+ 0.2

$y = — 0^s.0356. \quad y' = —.$

1880.0 $\alpha = 12^h\ 55^m\ 8^s.809 \quad \delta = — 7^0\ 47'\ 24''.48.$ Grösse $8^m.5$.

40.

Aut.	Ohne E.B.				Mit E.B.			
	Epoche	A.R. 1880.0	Decl. 1880.0	Gew.	A.R.	Decl.	$\Delta\alpha$	$\Delta\delta$
		h m s	° ′ ″		s	″	s	″
M_1	1844.1	13 40 14.68	+ 0 8 40.6	1	13.40	—	0.00	+ 0.2
M_2	1887.4	13 40 13.14	+ 0 8 41.0	1	13.40	—	0.00	— 0.2

$y = — 0^s.036. \quad y' = —.$

1880.0 $\alpha = 13^h\ 40^m\ 13^s.40 \quad \delta = + 0^0\ 8'\ 40''.8.$ Grösse $9^m.0$.

Da M_1 auf 3, M_2 auf 2 Beobachtungen beruht, ist an der Existenz einer E.B. in A.R. kein Zweifel möglich, wenn auch der gerechnete Betrag noch unsicher ist.

41.

Aut.	Ohne E.B.				Mit E.B.			
	Epoche	A.R. 1880.0	Decl. 1880.0	Gew.	A.R.	Decl.	$\Delta\alpha$	$\Delta\delta$
		h m s	° ′ ″		s	″	s	″
Ll	1797.4	14 13 26.90	— 4 35 29.8	1	23.34	38.1	+ 0.19	— 1.0
B	1822.4	14 13 26.28	— 4 35 34.7	1	23.80	40.5	— 0.27	+ 1.4
M_1	1844.4	14 13 25.13	— 4 35 35.9	1	23.60	39.5	— 0.07	+ 0.4
Yarn.	1866.9	14 13 24.04	— 4 35 37.0	2	23.48	38.3	+ 0.05	— 0.8
Duns.	1883.7	14 13 23.39	— 4 35 40.8	2	23.55	40.4	— 0.02	+ 1.3
B.B. VIII.	1884.4	14 13 23.35	— 4 35 38.6	2	23.54	38.2	— 0.01	— 0.9
Karlsr.	1885.3	14 13 23.25	— 4 35 39.3	2	23.48	38.8	+ 0.05	— 0.3
M_2	1887.4	14 13 23.24	— 4 35 40.0	2	23.56	39.3	— 0.03	+ 0.2

$y = — 0^s.0431. \quad y' = — 0''.101.$

1880.0 $\alpha = 14^h\ 13^m\ 23^s.534 \quad \delta = — 4^0\ 35'\ 39''.08.$ Grösse $7^m.6$.

Auf die Existenz dieser E.B. ist zuerst von Prof. Schönfeld in der Südl. Durchm. hingewiesen.

42.

Aut.	Ohne E.B.				Mit E.B.			
	Epoche	A.R. 1880.0	Decl. 1880.0	Gew.	A.R.	Decl.	$\Delta\alpha$	$\Delta\delta$
		h m s	° ′ ″		s	″	s	″
Piazzi	1802.4	14 24 45.31	— 5 16 3.4	2	43.99	—	+ 0.19	— 1.1
B	1824.3	14 24 45.48	— 5 15 [57.1]	1	44.53	—	— 0.35	[— 7.4]
Taylor	1835.0	14 24 45.26	— 5 16 4.3	1	44.49	—	— 0.31	— 0.2
Sa	1842.4	14 24 44.76	— 5 16 [9.4]	1	44.12	—	+ 0.06	[+ 4.9]
M_1	1856.4	14 24 44.61	— 5 16 2.4	1	44.21	—	— 0.03	— 2.1
Yarn.	1861.3	14 24 44.45	— 5 16 5.7	2	44.13	—	+ 0.05	+ 1.2
G.G.C.	1880.6	14 24 44.11	— 5 16 4.6	1	44.12	—	+ 0.06	+ 0.1
Duns.	1882.9	14 24 44.16	— 5 16 5.8	2	44.21	—	— 0.03	+ 1.3
Karlsr.	1885.3	14 24 44.03	— 5 16 4.1	2	44.12	—	+ 0.06	— 0.4

$y = -0\overset{s}{.}0170$. $y' = $ —.

1880.0 $\alpha = 14^h\ 24^m\ 44\overset{s}{.}182$ $\delta = -5^0\ 16'\ 4\overset{''}{.}48$. Grösse $7\overset{m}{.}8$.

43.

Aut.	Ohne E.B.				Mit E.B.			
	Epoche	A.R. 1880.0	Decl. 1880.0	Gew.	A.R.	Decl.	$\Delta\alpha$	$\Delta\delta$
		h m s	° ′ ″		s	″	s	″
B	1822.4	14 31 46.05	+ 3 51 19.0	1	44.74	—	— 0.02	— 0.3
M_1	1858.4	14 31 45.18	+ 3 51 18.0	1	44.69	—	+ 0.03	+ 0.7
M_2	1888.0	14 31 44.55	+ 3 51 19.0	2	44.73	—	— 0.01	— 0.2

$y = -0\overset{s}{.}0228$. $y' = $ —.

1880.0 $\alpha = 14^h\ 31^m\ 44\overset{s}{.}723$ $\delta = +3^0\ 51'\ 18\overset{''}{.}75$. Grösse $8\overset{m}{.}8$.

44.

Aut.	Ohne E.B.				Mit E.B.			
	Epoche	A.R. 1880.0	Decl. 1880.0	Gew.	A.R.	Decl.	$\Delta\alpha$	$\Delta\delta$
		h m s	° ′ ″		s	″	s	″
B	1823.3	14 44 32.87	+ 7 18 [58.0]	1	30.33	—	— 0.06	[— 5.6]
M_1	1842.4	14 44 31.86	+ 7 18 53.3	1	30.18	—	+ 0.09	— 0.9
M_2	1886.9	14 44 29.97	+ 7 18 52.0	2	30.28	—	— 0.01	+ 0.4

$y = -0\overset{s}{.}0448$. $y' = $ —.

1880.0 $\alpha = 14^h\ 44^m\ 30\overset{s}{.}266$ $\delta = +7^0\ 18'\ 52\overset{''}{.}42$. Grösse $9\overset{m}{.}1$.

Da M_1 und M_2 auf je 2 Beobachtungen beruhen, ist die Existenz der E.B. in A.R. nicht zu bezweifeln; zur Bestimmung derselben in Decl. aber erscheint das Material unzureichend.

45.

Aut.	Ohne E.B.				Mit E.B.			
	Epoche	A.R. 1880.0	Decl. 1880.0	Gew.	A.R.	Decl.	$\Delta\alpha$	$\Delta\delta$
		h m s	° ′ ″		s	″	s	″
Piazzi	1810.0	14 52 39.10	— 4 30 8.4	2	37.41	15.8	+ 0.23	— 0.9
B	1822.4	14 52 39.15	— 4 30 12.5	1	37.76	18.6	— 0.12	+ 1.9
Taylor	1835.0	14 52 38.93	— 4 30 11.4	1	37.84	16.2	— 0.20	— 0.5
M_1	1844.1	14 52 38.72	— 4 30 12.6	1	37.85	16.4	— 0.21	— 0.3
Sa	1846.4	14 52 38.84	— 4 30 14.5	1	38.03	18.1	— 0.39	+ 1.4
Q	1866.4	—	— 4 30 15.8	2	—	17.2	—	+ 0.5
Q	1871.4	14 52 37.72	—	2	37.51	—	+ 0.13	—
Grant	1873.6	14 52 37.66	—	2	37.50	—	+ 0.14	—
Grant	1876.3	—	— 4 30 15.3	2	—	15.7		— 1.0
G.G.C.	1877.5	14 52 37.75	— 4 30 16.6	2	37.69	16.9	— 0.05	+ 0.2
Karlsr.	1885.3	14 52 37.49	— 4 30 17.4	1	37.62	16.6	+ 0.02	— 0.1

$y = -0\overset{s}{.}0242$. $y' = -0\overset{''}{.}106$.

1880.0 $\alpha = 14^h\ 52^m\ 37\overset{s}{.}640$ $\delta = -4^0\ 30'\ 16\overset{''}{.}72$. Grösse $6\overset{m}{.}5$.

46.

Aut.	Ohne E.B. Epoche	A.R. 1880.0	Decl. 1880.0	Gew.	Mit E.B. A.R.	Decl.	Δα	Δδ
		h m s	° ′ ″		s	″	s	″
A-Ö	1849.9	15 3 40.83	— 15 51 24.2	1	38.80	12.6	— 0.01	— 0.1
B.B. VIII	1881.4	15 3 38.70	— 15 53 18.1	2	38.79	13.1	0.00	+ 0.4
B.B. VIII	1883.4	15 3 38.52	— 15 53 24.9	2	38.75	12.7	+ 0.04	0.0
Duns.	1884.9	15 3 38.54	— 15 53 29.7	1	38.87	12.1	— 0.08	— 0.6

$y = -0^s.0676$. $y' = -3''.601$.

1880.0 $\alpha = 15^h\ 3^m\ 38^s.793$ $\delta = -15^0\ 53'\ 12''.68$. Grösse $9^m.2$.

47.

Aut.	Ohne E.B. Epoche	A.R. 1880.0	Decl. 1880.0	Gew.	Mit E.B. A.R.	Decl.	Δα	Δδ
		h m s	° ′ ″		s	″	s	″
M_1	1847.4	15 3 41.15	— 15 46 17.2	1	38.92	13.7	+ 0.08	+ 2.0
A-Ö	1849.7	15 3 41.09	— 15 46 22.4	2	39.02	10.7	— 0.02	— 1.0
B.B. VIII	1881.4	15 3 39.01	— 15 48 16.9	2	39.11	11.9	— 0.11	+ 0.2
B.B. VIII	1883.4	15 3 38.84	— 15 48 22.9	2	39.07	10.7	— 0.07	— 1.0
Duns.	1885.4	15 3 38.44	— 15 48 31.7	1	38.81	12.4	+ 0.19	+ 0.7
M_2	1888.1	15 3 38.38	— 15 48 41.1	2	38.93	12.1	+ 0.07	+ 0.4

$y = -0^s.0683$. $y' = -3''.574$.

1880.0 $\alpha = 15^h\ 3^m\ 38^s.999$ $\delta = -15^0\ 48'\ 11''.71$. Grösse $9^m.0$.

Auf die E.B. dieses Sternpaares hat zuerst Prof. Schönfeld in A.N. No. 2377 hingewiesen. Ein in der Nähe des nördlichen Sternes stehendes Sternchen $9^m.3$ (S.D. — 15^0. 4040) nimmt an der gemeinsamen Bewegung dieses Sternpaares nicht Theil, wie aus folgenden Beobachtungen hervorgeht:

Aut.	Epoche	A.R. 1880.0	Decl. 1880.0	Beob.
		h m s	° ′ ″	
Kiel*)	1881.4	15 3 36.52	— 15 47 54.8	3
B.B. VIII	1883.4	15 3 36.53	— 15 47 53.7	3
Duns.	1883.4	15 3 36.65	— 15 47 56.1	1
M_2	1888.4	15 3 36.39	— 15 47 55.4	2

*) Drei Refractorbeobachtungen (Anschluss an den nördlichen Stern) A.N. 2377.

48.

Aut.	Ohne E.B. Epoche	A.R. 1880.0	Decl. 1880.0	Gew.	Mit E.B. A.R.	Decl.	Δα	Δδ
		h m s	° ′ ″		s	″	s	″
Ll	1797.4	15 13 (32.0)	— 8 12 45.9	1	—	2.1	[+ 0.33]	— 4.3
B	1823.9	15 13 32.23	— 8 12 58.1	2	—	9.1	+ 0.10	+ 2.7
M_1	1847.4	15 13 32.24	— 8 13 0.5	2	—	6.9	+ 0.09	+ 0.5
M_2	1887.7	15 13 32.45	— 8 13 7.2	3	—	5.7	— 0.12	— 0.7

$y = -$. $y' = -0''.196$.

1880.0 $\alpha = 15^h\ 13^m\ 32^s.327$ $\delta = -8^0\ 13'\ 6''.40$. Grösse $7^m.8$.

In A.R. erscheint zwar ebenfalls eine kleine E.B. angedeutet; da aber Ll nur ganze Sekunden beobachtet hat und die beiden Beobachtungen bei B in A.R. schlecht harmoniren, ist das Material für eine Bestimmung derselben zu unvollkommen; auch jene in Decl. ist noch unsicher.

49.

Aut.	Ohne E.B.				Mit E.B.			
	Epoche	A.R. 1880.0	Decl. 1880.0	Gew.	A.R.	Decl.	$\Delta\alpha$	$\Delta\delta$
		h m s	° ′ ″		s	″	s	″
Ll	1798.4	15 14 37.39	— 1 58 7.8	1	35.72	23.0	— 0.03	+ 0.2
M_1	1851.6	15 14 36.25	— 1 58 17.1	2	35.67	22.4	+ 0.02	— 0.4
Gött.	1868.3	15 14 35.93	— 1 58 20.5	1	35.69	22.7	0.00	— 0.1
G.G.C.	1878.1	15 14 35.68	— 1 58 22.0	1	35.64	22.4	+ 0.05	— 0.4
$Arm._2$	1879.6	15 14 35.67	— 1 58 23.4	2	35.66	23.5	+ 0.03	+ 0.7
Karlsr.	1883.2	15 14 35.62	— 1 58 23.5	2	35.69	22.9	0.00	+ 0.2
M_2	1887.4	15 14 35.67	— 1 58 23.4	1	35.82	22.0	— 0.13	— 0.8

$y = -0^s.0205.$ $y' = -0''.186.$

1880.0 $\alpha = 15^h\ 14^m\ 35^s.690$ $\delta = -1^0\ 58'\ 22''.76.$ Grösse $6^m.5.$

50.

Aut.	Ohne E.B.				Mit E.B.			
	Epoche	A.R. 1880.0	Decl. 1880.0	Gew.	A.R.	Decl.	$\Delta\alpha$	$\Delta\delta$
		h m s	° ′ ″		s	″	s	″
Ll	1798.3	15 58 32.56	— 0 49 40.0	1	31.30	46.3	— 0.02	+ 0.3
M_1	1852.7	15 58 31.69	— 0 49 42.8	1	31.27	44.9	+ 0.01	— 1.1
Gött.	1867.8	15 58 31.40	— 0 49 44.5	1	31.21	45.4	+ 0.07	— 0.6
$Arm._2$	1875.4	15 58 31.38	—	1	31.31	—	— 0.03	—
$Arm._2$	1880.3	—	— 0 49 48.0	1	—	48.0		+ 2.0
Karlsr.	1885.5	15 58 31.29	— 0 49 45.6	1	31.37	45.2	— 0.09	— 0.8
M_2	1887.5	15 58 31.12	— 0 49 46.5	1	31.24	45.9	+ 0.04	— 0.1

$y = -0^s.0154.$ $y' = -0''.078.$

1880.0 $\alpha = 15^h\ 58^m\ 31^s.283$ $\delta = -0^0\ 49'\ 45''.96.$ Grösse $7^m.9.$

51.

Aut.	Ohne E.B.				Mit E.B.			
	Epoche	A.R. 1880.0	Decl. 1880.0	Gew.	A.R.	Decl.	$\Delta\alpha$	$\Delta\delta$
		h m s	° ′ ″		s	″	s	″
Ll	1794.5	16 0 18.47	+ 11 0 53.1	1	15.67	45.9	— 0.03	+ 0.1
M_1	1859.5	16 0 16.18	+ 11 0 48.0	1	15.51	46.3	+ 0.12	— 0.3
M_2	1887.0	16 0 15.45	+ 11 0 45.3	2	15.68	45.9	— 0.04	+ 0.1

$y = -0^s.0327.$ $y' = -0''.084.$

1880.0 $\alpha = 16^h\ 0^m\ 15^s.635$ $\delta = +11^0\ 0'\ 45''.99.$ Grösse $8^m.5.$

52.

Aut.	Ohne E.B.				Mit E.B.			
	Epoche	A.R. 1880.0	Decl. 1880.0	Gew.	A.R.	Decl.	$\Delta\alpha$	$\Delta\delta$
		h m s	° ′ ″		s	″	s	″
Ll	1798.4	16 34 52.79	— 2 35 53.3	1	52.46	28.8	0.00	— 1.5
Piazzi	1800.3	16 34 52.72	— 2 35 57.3	2	52.40	32.0	+ 0.06	+ 1.7
B	1823.5	16 34 52.68	— 2 36 5.6	1	52.45	30.2	+ 0.01	— 0.1
Taylor	1835.0	16 34 52.66	— 2 36 10.3	2	52.48	29.9	— 0.02	— 0.4
Sa	1841.5	16 34 52.87	— 2 36 12.2	1	52.72	29.0	— 0.26	— 1.3
M_1	1856.5	16 34 52.49	— 2 36 18.5	1	52.40	28.7	+ 0.06	— 1.6
Sa	1862.5	16 34 52.46	— 2 36 22.0	1	52.39	29.6	+ 0.07	— 0.7
Sj	1863.5	16 34 52.69	— 2 36 21.9	1	52.62	29.1	— 0.16	— 1.2

52. (Forts.)

Aut.	Ohne E.B.				Mit E.B.			
	Epoche	A.R. 1880.0	Decl. 1880.0	Gew.	A.R.	Decl.	$\Delta\alpha$	$\Delta\delta$
		h m s	° ′ ″		s	″	s	″
B.B. VIII	1871.5	16 34 52.62	— 2 36 26.7	2	52.59	30.4	— 0.13	+ 0.1
Q	1871.8	16 34 52.37	—	2	52.34	—	+ 0.12	
Q	1872.2	—	— 2 36 27.4	2	—	30.8	—	+ 0.5
Grant	1871.9	16 34 52.45	—	1	52.42	—	+ 0.04	—
Grant	1874.1	—	— 2 36 28.4	1	—	31.0	—	+ 0.7
G.G.C.	1880.7	16 34 52.41	— 2 36 31.9	2	52.41	31.6	+ 0.05	+ 1.3
Karlsr.	1885.1	16 34 52.50	— 2 36 33.2	2	52.52	31.0	— 0.06	+ 0.7
M_2	1887.5	16 34 52.38	— 2 36 32.6	2	52.41	29.3	+ 0.05	— 1.0

$y = -0^s.0040. \quad y' = -0''.435.$

1880.0 $\alpha = 16^h\ 34^m\ 52^s.465 \quad \delta = -2^0\ 36'\ 30''.30.$ Grösse $7^m.0$.

53.

Aut.	Ohne E.B.				Mit E.B.			
	Epoche	A.R. 1880.0	Decl. 1880.0	Gew.	A.R.	Decl.	$\Delta\alpha$	$\Delta\delta$
		h m s	° ′ ″		s	″	s	″
Ll	1797.4	16 58 53.73	— 4 50 7.0	1	48.38	39.3	+ 0.09	— 0.9
B	1824.5	16 58 52.32	— 4 50 38.6	1	48.72	40.6	— 0.25	+ 0.4
Sa	1841.6	16 58 50.96	— 4 50 58.9	1	48.47	41.8	0.00	+ 1.6
M_1	1859.5	16 58 49.76	— 4 51 18.0	1	48.43	40.9	+ 0.04	+ 0.7
Sj	1863.4	16 58 49.41	— 4 51 21.2	2	48.33	39.7	+ 0.14	— 0.5
Yarn.	1865.5	16 58 49.43	—	1	48.49	—	— 0.02	—
Yarn.	1867.6	—	— 4 51 25.1	1	—	38.9	—	— 1.3
Q	1870.5	16 58 49.05	—	2	48.43	—	+ 0.04	—
Q	1869.9	—	— 4 51 29.1	2	—	40.4	—	+ 0.2
B.B. VIII	1871.5	16 58 49.08	— 4 51 31.0	2	48.53	40.5	— 0.06	+ 0.3
Duns.	1885.4	16 58 48.21	— 4 51 46.5	1	48.56	40.5	— 0.09	+ 0.3
M_2	1887.0	16 58 48.04	— 4 51 47.6	2	48.49	39.8	— 0.02	— 0.4

$y = -0^s.0648. \quad y' = -1''.117.$

1880.0 $\alpha = 16^h\ 58^m\ 48^s.474 \quad \delta = -4^0\ 51'\ 40''.19.$ Grösse $7^m.5$.

54.

Aut.	Ohne E.B.				Mit E.B.			
	Epoche	A.R. 1880.0	Decl. 1880.0	Gew.	A.R.	Decl.	$\Delta\alpha$	$\Delta\delta$
		h m s	° ′ ″		s	″	s	″
Ll	1797.4	16 59 10.09	+ 0 53 14.6	1	—	46.7	+ 0.27	+ 1.9
B	1822.5	16 59 10.41	+ 0 53 11.5	1	—	52.1	— 0.05	— 3.5
Sa	1838.5	16 59 10.60	+ 0 53 1.4	1	—	47.4	— 0.25	+ 1.2
M_1	1850.7	16 59 10.45	+ 0 52 58.8	2	—	48.9	— 0.09	— 0.3
Sj	1862.4	16 59 10.30	+ 0 52 54.7	1	—	48.8	+ 0.06	— 0.2
Grant	1869.1	16 59 10.31	+ 0 52 52.1	2	—	48.4	+ 0.05	+ 0.2
Q	1871.7	16 59 10.20	+ 0 52 51.2	2	—	48.4	+ 0.15	+ 0.2
M_2	1887.5	16 59 10.47	+ 0 52 46.0	2	—	48.5	— 0.11	+ 0.1

$y = -. \quad y' = -0''.338.$

1880.0 $\alpha = 16^h\ 59^m\ 10^s.355 \quad \delta = +0^0\ 52'\ 48''.61.$ Grösse $6^m.3$.

55.

Aut.	Ohne E.B.				Mit E.B.			
	Epoche	A.R. 1880.0	Decl. 1880.0	Gew.	A.R.	Decl.	$\Delta\alpha$	$\Delta\delta$
		h m s	° ' "		s	"	s	"
Ll	1798.4	17 13 32.22	− 19 12 8.0	1	31.59	18.4	+ 0.06	+ 2.9
M_1	1847.6	17 13 31.94	− 19 12 5.6	1	31.69	9.7	− 0.04	− 5.8
A-Ö	1850.4	17 13 31.91	− 19 12 10.2	2	31.68	14.0	− 0.03	− 1.5
Kam	1862.6	17 13 31.86	− 19 12 14.9	1	31.73	17.1	− 0.08	+ 1.6
G.G.C.	1878.5	17 13 31.62	− 19 12 17.7	2	31.61	17.9	+ 0.04	+ 2.4
Cinc.	1886.5	17 13 31.56	− 19 12 15.7	1	31.61	14.9	+ 0.04	− 0.6

$y = -0^{s}.0077.$ $y' = -0''.127.$

1880.0 $\alpha = 17^{h}\ 13^{m}\ 31^{s}.650$ $\delta = -19^{0}\ 12'\ 15''.47.$ Grösse $6^{m}.5$.

56.

Aut.	Ohne E.B.				Mit E.B.			
	Epoche	A.R. 1880.0	Decl. 1880.0	Gew.	A.R.	Decl.	$\Delta\alpha$	$\Delta\delta$
		h m s	° ' "		s	"	s	"
Ll	1794.5	17 14 29.26	+ 9 36 10.6	1	—	41.9	+ 0.25	— 0.9
B	1822.5	17 14 29.65	+ 9 35 59.0	1	—	39.7	— 0.14	+ 1.3
M_1	1854.0	17 14 29.39	+ 9 35 50.0	2	—	41.3	+ 0.12	— 0.3
Q	1860.4	17 14 29.46	—	2	—	—	+ 0.05	—
Q	1865.0	—	+ 9 35 45.8	2	—	40.8	—	+ 0.2
Grant	1871.4	17 14 29.61	—	2	—	—	— 0.10	—
Grant	1873.6	—	+ 9 35 42.7	2	—	40.6	—	+ 0.4
M_2	1888.5	17 14 29.62	+ 9 35 38.7	2	—	41.5	— 0.11	— 0.5

$y = —.$ $y' = -0''.335.$

1880.0 $\alpha = 17^{h}\ 14^{m}\ 29^{s}.507$ $\delta = +9^{0}\ 35'\ 41''.00.$ Grösse $7^{m}.9$.

57.

Aut.	Ohne E.B.				Mit E.B.			
	Epoche	A.R. 1880.0	Decl. 1880.0	Gew.	A.R.	Decl.	$\Delta\alpha$	$\Delta\delta$
		h m s	° ' "		s	"	s	"
Ll	1797.4	17 15 4.35	+ 1 32 55.8	1	3.58	21.1	+ 0.13	— 0.2
B	1822.5	17 15 4.33	+ 1 33 4.0	1	3.80	21.6	— 0.09	— 0.7
M_1	1848.6	17 15 4.13	+ 1 33 10.6	2	3.84	20.2	— 0.13	+ 0.7
$Arm._2$	1868.0	17 15 3.76	—	2	3.65	—	+ 0.06	—
$Arm._2$	1868.7	—	+ 1 33 17.2	2	—	20.7	—	+ 0.2
Grant	1875.4	17 15 3.65	—	2	3.61	—	+ 0.10	—
Grant	1877.8	—	+ 1 33 20.2	2	—	20.9	—	0.0
M_2	1888.6	17 15 3.67	+ 1 33 24.1	2	3.75	21.5	— 0.04	— 0.6

$y = -0^{s}.0093.$ $y' = +0''.307.$

1880.0 $\alpha = 17^{h}\ 15^{m}\ 3^{s}.706$ $\delta = +1^{0}\ 33'\ 20''.93.$ Grösse $7^{m}.2$.

58.

Aut.	Ohne E.B.				Mit E.B.			
	Epoche	A.R. 1880.0	Decl. 1880.0	Gew.	A.R.	Decl.	$\Delta\alpha$	$\Delta\delta$
		h m s	° ' "		s	"	s	"
Ll	1794.5	17 25 13.48	— 2 26 29.2	1	11.84	36.5	+ 0.06	+ 1.7
Piazzi	1799.9	17 25 13.31	— 2 26 27.6	2	11.77	34.4	+ 0.13	— 0.4
B	1823.5	17 25 13.29	— 2 26 31.0	1	12.21	35.8	— 0.31	+ 1.0
Taylor	1835.0	17 25 12.84	— 2 26 31.0	1	11.98	34.8	— 0.08	0.0
M_1	1845.5	17 25 12.67	— 2 26 27.7	1	12.01	30.6	— 0.11	— 4.2
G.G.C.	1879.6	17 25 11.84	— 2 26 35.6	2	11.83	35.6	+ 0.07	+ 0.8
Karlsr.	1882.5	17 25 11.82	— 2 26 35.2	2	11.87	35.0	+ 0.03	+ 0.2

$y = -0^{s}.0192.$ $y' = -0''.085.$

1880.0 $\alpha = 17^{h}\ 25^{m}\ 11^{s}.898$ $\delta = -2^{0}\ 26'\ 34''.77.$ Grösse $8^{m}.0$.

59.

Aut.	Ohne E.B.				Mit E.B.			
	Epoche	A.R. 1880.0	Decl. 1880.0	Gew.	A.R.	Decl.	$\Delta\alpha$	$\Delta\delta$
		h m s	° ′ ″		s	″	s	″
B	1822.5	17 28 56.60	+ 6 4 39.9	1	54.83	61.3	+ 0.01	— 0.9
M_1	1861.5	17 28 55.55	+ 6 4 52.0	2	54.98	58.9	— 0.14	+ 1.5
Q	1871.0	17 28 55.02	+ 6 4 56.3	3	54.74	59.6	+ 0.10	+ 0.8
Grant	1879.0	17 28 54.82	—	3	54.79	—	+ 0.05	—
Grant	1877.4	—	+ 6 5 1.2	3	—	62.2	—	— 1.8
M_2	1888.0	17 28 54.70	+ 6 5 2.8	2	54.95	59.8	— 0.11	+ 0.6

$y = -0^s0307. \quad y' = +0.''372.$

1880.0 $\alpha = 17^h\ 28^m\ 54^s844 \quad \delta = +6^0\ 5'\ 0.''38.$ Grösse 8^m5.

Etwa $1'.5$ nördlich von diesem befindet sich ein zweiter Stern, dessen Grösse nach B.D. 8^m0, und der nach Struve Mens. micr. ein Doppelstern ist, dessen Componente 10. Grösse in gewöhnlichen Meridiankreisen nicht gesehen wird. Die hellere Componente desselben zeigt keine der obigen vergleichbare Eigenbewegung, wie aus folgender Uebersicht hervorgeht:

Aut.	Epoche	A.R. 1880.0	Decl. 1880.0	Beob.
		h m s	° ′ ″	
Ll	1794.5	17 28 56.76	+ 6 6 32.2	1
B	1822.5	17 28 56.75	+ 6 6 32.0	1
Sa	1838.6	17 28 56.49	+ 6 6 29.0	3
Struve	1842.4	17 28 56.57	+ 6 6 30.4	2
M_1	1861.6	17 28 56.67	+ 6 6 29.5	3
Q	1870.4	17 28 56.43	+ 6 6 28.3	4
Grant	1879.1	17 28 56.44	+ 6 6 27.3	2-3
M_2	1888.5	17 28 56.74	+ 6 6 27.6	1

Im Brüsseler Sterncatalog (Quetelet) sind für diese beiden Sterne die Coordinaten falsch zusammengestellt. Obige Angaben sind aus den einzelnen Jahrgängen der Brüsseler Annalen neu reducirt.

60.

Aut.	Ohne E.B.				Mit E.B.			
	Epoche	A.R. 1880.0	Decl. 1880.0	Gew.	A.R.	Decl.	$\Delta\alpha$	$\Delta\delta$
		h m s	° ′ ″		s	″	s	″
Ll	1794.6	18 22 7.93	— 3 55 53.5	1	6.73	17.9	— 0.01	— 3.4
B	1824.5	18 22 7.52	— 3 56 7.3	1	6.74	23.1	— 0.02	+ 1.8
Sa	1841.6	18 22 7.16	— 3 56 12.0	1	6.62	22.9	+ 0.10	+ 1.6
M_1	1841.6	18 22 7.44	—	1	6.90	—	— 0.18	—
M_1	1840.6	—	— 3 56 14.4	1	—	25.6	—	+ 4.3
Sj	1863.5	18 22 6.74	— 3 56 15.7	1	6.51	20.4	+ 0.21	— 0.9
Q	1869.1	18 22 6.77	—	2	6.62	—	+ 0.10	—
Q	1873.2	—	— 3 56 18.1	2	—	20.0	—	— 1.3
B.B. VIII.	1873.0	18 22 6.87	— 3 56 18.9	3	6.77	20.9	— 0.05	— 0.4
Karlsr.	1884.6	18 22 6.71	— 3 56 22.9	3	6.77	21.6	— 0.05	+ 0.3
Duns.	1885.5	18 22 6.63	—	1	6.71	—	+ 0.04	—
Duns.	1885.0	—	— 3 56 23.5	1	—	22.1	—	+ 0.8
M_2	1887.6	18 22 6.61	— 3 56 22.2	1	6.72	20.0	0.00	— 1.3

$y = -0^s0140. \quad y' = -0.''285.$

1880.0 $\alpha = 18^h\ 22^m\ 6^s720 \quad \delta = +3^0\ 56'\ 21.''31.$ Grösse 7^m5.

61.

Aut.	Ohne E.B.				Mit E.B.			
	Epoche	A.R. 1880.0	Decl. 1880.0	Gew.	A.R.	Decl.	$\Delta\alpha$	$\Delta\delta$
		h m s	° ' "		s	"	s	"
B	1824.5	18 41 9.86	— 3 45 18.9	1	9.23	32.5	+ 0.05	— 0.3
M_1	1849.3	18 41 9.69	— 3 45 25.8	2	9.34	33.3	— 0.06	+ 0.5
Sj	1863.1	18 41 9.47	— 3 45 28.3	2	9.28	32.4	0.00	— 0.4
G	1878.2	18 41 9.29	— 3 45 32.4	3	9.27	32.8	+ 0.01	0.0

$y = - 0^s.0114. \quad y' = - 0''.245.$

1880.0 $\alpha = 18^h\ 41^m\ 9^s.284 \quad \delta = - 3^0\ 45'\ 32''.80.$ Grösse $8^m.5$.

62.

Aut.	Ohne E.B.				Mit E.B.			
	Epoche	A.R. 1880.0	Decl. 1880.0	Gew.	A.R.	Decl.	$\Delta\alpha$	$\Delta\delta$
		h m s	° ' "		s	"	s	"
Ll	1796.5	18 49 30.55	— 5 52 23.4	1	29.62	1.4	+ 0.29	— 3.8
B	1823.7	18 49 30.83	— 5 52 42.8	1	30.21	8.4	— 0.30	+ 3.2
M_1	1856.9	18 49 30.30	— 5 52 57.1	2	30.04	7.6	— 0.13	+ 2.4
B.B. VIII.	1884.5	18 49 29.78	— 5 53 6.6	2	29.83	4.6	+ 0.08	— 0.6
Duns.	1886.1	18 49 29.79	— 5 53 6.5	2	29.86	3.7	+ 0.05	— 1.5

$y = - 0^s.0111. \quad y' = - 0''.455.$

1880.0 $\alpha = 18^h\ 49^m\ 29^s.911 \quad \delta = - 5^0\ 53'\ 5''.20.$ Grösse $8^m.1$.

Die Positionen in Ll und B scheinen recht mangelhaft zu sein, so dass möglicherweise die abgeleitete E.B. einer beträchtlichen Correction bedarf.

63.

Aut.	Ohne E.B.				Mit E.B.			
	Epoche	A.R. 1880.0	Decl. 1880.0	Gew.	A.R.	Decl.	$\Delta\alpha$	$\Delta\delta$
		h m s	° ' "		s	"	s	"
M_1 1)	1842.6	18 52 9.47	+ 5 48 6.7	1	8.89	23.6	+ 0.10	— 0.1
M_1	1858.1	18 52 9.44	+ 5 47 47.7	1	9.10	22.4	— 0.11	+ 1.1
Bonn	1871.0	18 52 9.18	+ 5 47 34.9	3	9.04	24.5	— 0.04	— 1.0
Q	1875.1	18 52 8.90	—	1	8.82	—	+ 0.17	—
Q 2)	1874.5	—	+ 5 47 27.9	1	—	21.6	—	+ 1.9
Bonn	1881.6	18 52 9.03	+ 5 47 21.5	2	9.05	23.3	— 0.06	+ 0.2
M_2	1885.9	18 52 8.82	+ 5 47 16.6	2	8.91	23.4	+ 0.08	+ 0.1

1) Die Beobachtungen aus M_1 habe ich, weil sie zeitlich weit auseinanderliegen, in 2 Gruppen getheilt. Die Bonner Beobachtungen stehen in der Bischof'schen Diss.: Ueber die E.B. des Sonnensystems, pag. 12. Auf die E.B. dieses Sternes ist zuerst von Argelander in A.V.J. Bd. VIII, pag. 171 aufmerksam gemacht.

2) Die Position bedurfte einer Correction von — 9''.4, weil die Refr. falsch berechnet war.

$y = - 0^s.0156. \quad y' = - 1''.154.$

1880.0 $\alpha = 18^h\ 52^m\ 8^s.986 \quad \delta = + 5^0\ 47'\ 23''.46.$ Grösse $9^m.3$.

64.

Aut.	Ohne E.B.				Mit E.B.			
	Epoche	A.R. 1880.0	Decl. 1880.0	Gew.	A.R.	Decl.	$\Delta\alpha$	$\Delta\delta$
		h m s	° ' "		s	"	s	"
M_1 1)	1841.7	19 1 17.29	+ 7 27 51.6	1	16.28	23.9	— 0.09	— 0.9
B.B. VI.	1856.7	19 1 16.48	+ 7 27 39.9	1	15.87	23.0	+ 0.32	0.0
M_1	1859.7	19 1 16.92	+ 7 27 36.4	1	16.39	21.7	— 0.20	+ 1.3
M_2	1888.3	19 1 15.98	+ 7 27 17.3	2	16.20	23.3	— 0.01	— 0.3

1) Die beiden Beobachtungen aus M_1 habe ich getrennt angesetzt, da sie zeitlich sehr weit auseinanderliegen.

$y = - 0^s.0264. \quad y' = - 0''.724.$

1880.0 $\alpha = 19^h\ 1^m\ 16^s.186 \quad \delta = + 7^0\ 27'\ 23''.05.$ Grösse $9^m.2$.

65.

Aut.	Ohne E.B.				Mit E.B.			
	Epoche	A.R. 1880.0	Decl. 1880.0	Gew.	A.R.	Decl.	$\Delta\alpha$	$\Delta\delta$
		h m s	° ′ ″		s	″	s	″
M_1	1847.6	19 2 32.29	— 21 38 34.6	1	—	47.8	— 0.16	— 2.2
A-Ö	1849.9	19 2 32.64	— 21 38 36.5	1	—	48.8	— 0.51	— 1.2
Yarn.	1855.7	—	— 21 38 42.3	2	—	52.2	—	+ 2.2
Yarn.	1868.6	19 2 32.12	—	2	—	—	+ 0.01	—
Q	1871.6	19 2 32.01	—	2	—	—	+ 0.12	—
Q	1871.8	—	— 21 38 46.5	2	—	49.8	—	— 0.2
G.G.C.	1878.3	19 2 32.03	— 21 38 49.7	3	—	50.4	+ 0.10	+ 0.4
Cinc.	1885.6	19 2 31.99	— 21 38 50.9	1	—	48.6	+ 0.14	— 1.4

$y = —. \quad y' = -0''.407.$

1880.0 $\alpha = 19^h\ 2^m\ 32^s.127 \quad \delta = -21^0\ 38'\ 50''.04.$ Grösse $8^m.5$.

Der in der Nähe befindliche Stern (S.D. — 21°.5274) zeigt keine E.B.

66.

Aut.	Ohne E.B.				Mit E.B.			
	Epoche	A.R. 1880.0	Decl. 1880.0	Gew.	A.R.	Decl.	$\Delta\alpha$	$\Delta\delta$
		h m s	° ′ ″		s	″	s	″
Ll	1794.5	19 29 52.19	— 0 9 4.4	1	—	36.0	— 0.27	+ 1.5
Piazzi	1807.6	19 29 51.64	— 0 9 8.4	1	—	35.1	+ 0.28	+ 0.6
B[1])	1821.6	19 29 52.21	— 0 9 11.7	1	—	33.3	— 0.29	— 1.2
Taylor	1835.0	19 29 52.07	— 0 9 17.4	1	—	34.0	— 0.15	— 0.5
M_1	1850.0	19 29 52.00	— 0 9 21.8	2	—	32.9	— 0.08	— 1.6
Gött.	1867.6	19 29 51.73	— 0 9 29.9	1	—	34.5	+ 0.19	0.0
Grant	1875.1	19 29 51.88	—	2	—	—	+ 0.04	—
Grant	1879.1	—	— 0 9 34.7	2	—	35.0	—	+ 0.5
G.G.C.	1880.5	19 29 51.82	— 0 9 36.0	2	—	35.8	+ 0.10	+ 1.3
Karlsr.[2])	1884.8	19 29 51.82	— 0 9 36.0	2	—	34.2	+ 0.10	— 0.3
M_2	1887.7	19 29 51.95	— 0 9 36.9	2	—	34.1	— 0.03	— 0.4

1) In der Position bei B wurde der stark abweichende 1. Faden ausgeschlossen.
2) Im Karlsruher Verzeichniss ist A.R. um 1^s zu gross angesetzt (durch Schreibfehler).

$y = —. \quad y' = -0''.369.$

1880.0 $\alpha = 19^h\ 29^m\ 51^s.919 \quad \delta = -0^0\ 9'\ 34''.46.$ Grösse $8^m.0$.

Der in der Nähe befindliche Stern von der Grösse $7^m.2$ zeigt keine E.B., wie nachfolgende Uebersicht beweist:

Aut.	Epoche	A.R. 1880.0	Decl. 1880.0	Beob.
		h m s	° ′ ″	
Ll	1794.5	19 29 52.56	— 0 0 49.1	1
Piazzi	1803.4	19 29 52.45	— 0 0 50.0	6
B	1821.6	19 29 52.73	— 0 0 50.3	1
Taylor	1835.0	19 29 52.67	— 0 0 49.1	2
M_1	1850.2	19 29 52.52	— 0 0 46.8	11
Gött.	1867.6	19 29 52.41	— 0 0 48.0	2
Grant	1874.2	19 29 52.47	—	3
Grant	1876.2	—	— 0 0 49.1	3
G.G.C.	1880.5	19 29 52.43	— 0 0 49.7	4
Karlsr.	1885.4	19 29 52.53	— 0 0 49.5	5
M_2	1888.6	19 29 52.59	— 0 0 49.7	2

67.

Aut.	Ohne E.B.				Mit E.B.			
	Epoche	A.R. 1880.0	Decl. 1880.0	Gew.	A.R.	Decl.	$\varDelta \alpha$	$\varDelta \delta$
		h m s	° ′ ″		s	″	s	″
Ll	1794.6	19 53 17.71	— 10 15 40.0	1	15.91	11.7	— 0.10	— 1.1
B	1822.6	19 53 17.13	— 10 15 52.7	1	15.92	14.0	— 0.11	+ 1.2
Sa	1844.5	19 53 16.44	— 10 16 1.3	1	15.69	14.5	+ 0.12	+ 1.7
M_1	1854.0	19 53 16.23	— 10 16 3.7	1	15.68	13.3	+ 0.13	+ 0.5
Pulk.	1855.0	19 53 16.29	— 10 16 4.0	3	15.76	13.3	+ 0.05	+ 0.5
Sa	1857.0	19 53 16.33	— 10 16 2.0	1	15.85	10.5	— 0.04	— 2.3
Sj	1862.8	19 53 16.07	— 10 16 5.7	1	15.71	12.1	+ 0.10	— 0.7
Q	1870.7	19 53 15.92	— 10 16 9.7	2	15.72	13.2	+ 0.09	+ 0.4
B.B. VIII	1872.6	19 53 16.01	— 10 16 9.3	2	15.85	12.0	— 0.04	— 0.8
G.G.C.	1877.7	19 53 15.84	— 10 16 11.6	2	15.79	12.5	+ 0.02	— 0.3
Duns.	1884.6	19 53 15.71	— 10 16 15.5	1	15.81	13.8	0.00	+ 1.0
M_2	1887.6	19 53 15.79	— 10 16 15.7	2	15.95	12.9	— 0.14	+ 0.1

$y = -0^s.0210. \quad y' = -0''.371.$

1880.0 $\alpha = 19^h\ 53^m\ 15^s.806 \quad \delta = -10^0\ 16'\ 12''.82.$ Grösse $6^m.3$.

68.

Aut.	Ohne E.B.				Mit E.B.			
	Epoche	A.R. 1880.0	Decl. 1880.0	Gew.	A.R.	Decl.	$\varDelta \alpha$	$\varDelta \delta$
		h m s	° ′ ″		s	″	s	″
Ll	1794.6	19 54 25.19	— 12 33 45.8	1	23.26	17.5	— 0.08	— 0.9
M_1	1851.1	19 54 23.66	—	1	23.01	—	+ 0.17	—
M_1	1854.2	—	— 12 34 11.3	1	—	20.9	—	+ 2.5
Sj	1862.6	19 54 23.55	— 12 34 11.7	1	23.16	18.2	+ 0.02	— 0.2
Q	1867.2	—	— 12 34 14.0	2	—	18.8	—	+ 0.4
Q	1870.9	19 54 23.30	—	2	23.09	—	+ 0.09	—
B.B. VIII	1873.7	19 54 23.45	— 12 34 16.1	2	23.31	18.4	— 0.13	0.0
Duns.	1885.2	19 54 23.08	— 12 34 19.6	1	23.20	17.7	— 0.02	— 0.7
M_2	1887.6	19 54 23.04	— 12 34 20.7	2	23.21	17.9	— 0.03	— 0.5

$y = -0^s.0226. \quad y' = -0''.371.$

1880.0 $\alpha = 19^h\ 54^m\ 23^s.184 \quad \delta = -12^0\ 34'\ 18''.44.$ Grösse $7^m.3$.

69.

Aut.	Ohne E.B.				Mit E.B.			
	Epoche	A.R. 1880.0	Decl. 1880.0	Gew.	A.R.	Decl.	$\varDelta \alpha$	$\varDelta \delta$
		h m s	° ′ ″		s	″	s	″
Ll	1795.6	19 57 6.0	+ 15 17 32.2	0	[4.5]	[49.6]	—	—
B	1824.7	19 57 5.92	+ 15 17 9.2	1	4.97	41.3	0.00	— 0.4
M_1	1842.7	19 57 5.62	+ 15 16 59.2	1	4.98	40.4	— 0.01	+ 0.5
M_2	1887.7	19 57 4.84	+ 15 16 37.2	1	4.97	41.1	0.00	— 0.2

$y = -0^s.0172. \quad y' = -0''.504.$

1880.0 $\alpha = 19^h\ 57^m\ 4^s.974 \quad \delta = +15^0\ 16'\ 40''.93.$ Grösse $7^m.0$.

Die Lalande'sche Position, in A.R. nur auf ganze Sekunden beobachtet, scheint auch in Decl. nur eine approximative zu sein und wurde deshalb ausgeschlossen. Die übrigen Positionen beruhen auf je 2 Beobachtnngen.

70.

Aut.	Ohne E.B.				Mit E.B.			
	Epoche	A.R. 1880.0	Decl. 1880.0	Gew.	A.R.	Decl.	$\Delta\alpha$	$\Delta\delta$
		h m s	° ′ ″		s	″	s	″
München[1])	1829.2	20 16 28.77	— 21 42 11.7	2	30.68	8.2	— 0.08	— 1.0
M_1	1847.8	20 16 29.25	— 21 42 34.2	1	30.46	10.0	+ 0.14	+ 0.8
Wash. Z.[2])	1848.6	20 16 29.32	— 21 42 35.5	1	30.50	10.4	+ 0.10	+ 1.2
A-Ö	1849.7	20 16 29.46	— 21 42 36.4	1	30.60	10.1	0.00	+ 0.9
Cinc.	1886.1	20 16 30.96	— 21 43 15.9	2	30.73	9.1	— 0.13	— 0.1
M_2	1888.7	20 16 30.84	— 21 43 18.4	2	30.51	8.7	+ 0.09	— 0.5

1) Aus den Obs. Astr. Vol. VI und zwar nach den Originalaufzeichnungen neu reducirt (zwei Beobachtungen; bei der einen war ein Druckfehler von 10″ in Decl. zu berichtigen).

2) A.R. Mittel aus Mer.Tr. u. Mur.C. Zones, Decl. nur Mur.C.Z.

$y = +\ 0^s.0375. \quad y' = -\ 1''.112.$

1880.0 $\alpha = 20^h\ 16^m\ 30^s.600 \quad \delta = -\ 21^0\ 43'\ 9''.17.$ Grösse $8^m.2$.

Auf diese E.B. wurde zuerst von Porter (Observatory 1886 pag. 333) hingewiesen.

71.

Aut.	Ohne E.B.				Mit E.B.			
	Epoche	A.R. 1880.0	Decl. 1880.0	Gew.	A.R.	Decl.	$\Delta\alpha$	$\Delta\delta$
		h m s	° ′ ″		s	″	s	″
Ll	1793.8	20 35 18.56	+ 19 29 31.2	1	19.53	61.3	+ 0.11	— 0.7
B	1823.8	20 35 18.90	+ 19 29 39.4	1	19.53	59.0	+ 0.11	+ 1.6
M_1	1842.8	20 35 19.61	+ 19 29 48.5	1	20.03	61.5	— 0.39	— 0.9
Arm.$_2$	1877.8	20 35 19.63	+ 19 29 59.0	2	19.65	59.8	— 0.01	+ 0.8
M_2	1886.2	20 35 19.61	+ 19 30 3.5	2	19.54	61.3	+ 0.10	— 0.7

$y = +\ 0^s.0112. \quad y' = +\ 0''.350.$

1880.0 $\alpha = 20^h\ 35^m\ 19^s.640 \quad \delta = +\ 19^0\ 30'\ 0''.59.$ Grösse $6^m.5$.

72.

Aut.	Ohne E.B.				Mit E.B.			
	Epoche	A.R. 1880.0	Decl. 1880.0	Gew.	A.R.	Decl.	$\Delta\alpha$	$\Delta\delta$
		h m s	° ′ ″		s	″	s	″
Ll	1794.5	20 50 42.01	+ 1 16 6.4	1	—	47.0	— 0.25	— 2.4
Piazzi	1802.7	20 50 41.83	+ 1 15 57.9	1	—	40.4	— 0.07	+ 4.2
B	1821.6	20 50 41.83	+ 1 16 0.9	1	—	47.7	— 0.07	— 3.1
Taylor	1835.0	20 50 41.81	+ 1 15 54.3	1	—	44.1	— 0.05	+ 0.5
M_1	1849.2	20 50 41.66	+ 1 15 51.1	2	—	44.1	+ 0.10	+ 0.5
Arm.$_2$	1865.7	20 50 41.64	—	1	—	—	+ 0.12	—
Arm.$_2$	1867.6	—	+ 1 15 47.4	1	—	44.6	—	0.0
M_2	1888.7	20 50 41.71	+ 1 15 42.8	2	—	44.8	+ 0.05	— 0.2

$y = -. \quad y' = -\ 0''.227.$

1880.0 $\alpha = 20^h\ 50^m\ 41^s.762 \quad \delta = +\ 1^0\ 15'\ 44''.62.$ Grösse $7^m.7$.

Die beiden Fäden, welche Ll beobachtet hat, stimmen sehr schlecht untereinander. Die beiden Fäden, welche B beobachtet hat, weichen 1^s von einander ab; der erste derselben wurde — 1^s corrigirt. Da die neueren Beobachtungen keine E.B. in A.R. verrathen, dürfte es nicht angezeigt sein, dieselbe aus obigem Material abzuleiten.

73.

Aut.	Ohne E.B. Epoche	A.R. 1880.0	Decl. 1880.0	Gew.	Mit E.B. A.R.	Decl.	$\Delta\alpha$	$\Delta\delta$
		h m s	° ′ ″		s	″	s	″
Wash. Mur. C.	1846.6	21 15 51.14	— 31 19 37.5	1	52.07	—	+ 0.02	+ 0.8
M_1	1847.6	21 15 51.40	— 31 19 (43.2)	1.0	52.30	—	— 0.21	[+ 6.5]
Wash. Tr. Instr.	1847.7	21 15 (50.69)	— 31 19 36.3	0.1	[51.59]	—	[+ 0.50]	— 0.4
Wash. Mer. C.	1848.5	21 15 51.02	— 31 19 39.3	1	51.90	—	+ 0.19	+ 2.6
G.Z.C.	1873.2	21 15 51.96	— 31 19 34.5	1	52.15	—	— 0.06	— 2.2
G.G.C.	1880.8	21 15 52.07	— 31 19 34.5	2	52.05	—	+ 0.04	— 2.2
M_2	1887.7	21 15 52.33	— 31 19 38.5	2	52.12	—	— 0.03	+ 1.8

$y = +0^s0279. \quad y' = —.$

1880.0 $\alpha = 21^h\ 15^m\ 52^s093 \quad \delta = -31^0\ 19'\ 36''70.$ Grösse 8^m0.

74.

Aut.	Ohne E.B. Epoche	A.R. 1880.0	Decl. 1880.0	Gew.	Mit E.B. A.R.	Decl.	$\Delta\alpha$	$\Delta\delta$
		h m s	° ′ ″		s	″	s	″
Ll	1795.7	21 20 19.21	+ 0 35 40.6	1	19.67	25.8	+ 0.18	— 0.3
B[1])	1821.6	21 20 19.67	+ 0 35 37.5	1	19.99	27.2	— 0.14	— 1.7
Sa	1839.7	21 20 19.65	+ 0 35 30.7	1	19.87	23.6	— 0.02	+ 1.9
Pulk.	1841.7	21 20 19.68	+ 0 35 31.1	3	19.89	24.4	— 0.04	+ 1.1
M_1	1848.2	21 20 19.63	+ 0 35 31.4	2	19.81	25.8	+ 0.04	— 0.3
B.B. VI	1862.9	21 20 19.82	+ 0 35 29.4	2	19.91	26.4	— 0.06	— 0.9
Grant	1872.7	21 20 19.76	—	2	19.80	—	+ 0.05	—
Grant	1869.7	—	+ 0 35 27.9	2	—	26.1	—	— 0.6
Berlin[2])	1886.2	21 20 19.83	+ 0 35 24.0	2	19.80	25.1	+ 0.05	+ 0.4

1) Bessel's Position, auf den Beobachtungen in Z. 1 und 2 beruhend, wurde — 0ˢ60 corrigirt, im Mittel aus den Sternen dieser Zonen, die in Königsberg beobachtet sind (Königsb. Beob. Abth. 37).

2) Aus Küstner, Beob. von 670 Sternen.

$y = +0^s0055. \quad y' = -0''176.$

1880.0 $\alpha = 21^h\ 20^m\ 19^s846 \quad \delta = +0^0\ 35'\ 25''46.$ Grösse 6^m8.

75.

Aut.	Ohne E.B. Epoche	A.R. 1880.0	Decl. 1880.0	Gew.	Mit E.B. A.R.	Decl.	$\Delta\alpha$	$\Delta\delta$
		h m s	° ′ ″		s	″	s	″
Ll	1794.6	21 20 (40.8)	+ 4 56 13.9	0.1	—	52.0	—	— 0.1
B	1821.7	21 20 41.65	+ 4 56 7.7	1	—	52.7	+ 0.13	— 0.8
M_1	1841.6	21 20 41.72	+ 4 56 0.7	1	—	50.8	+ 0.06	+ 1.1
$Arm._2$	1874.2	21 20 41.78	—	2	—	—	0.00	—
$Arm._2$	1873.7	—	+ 4 55 52.2	1	—	50.6	—	+ 1.3
M_2	1886.6	21 20 41.88	+ 4 55 50.8	2	—	52.5	— 0.10	— 0.6

$y = —. \quad y' = -0''257.$

1880.0 $\alpha = 21^h\ 20^m\ 41^s782 \quad \delta = +4^0\ 55'\ 51''89.$ Grösse 8^m5.

Ll hat in A.R. nur ganze Sekunden beobachtet; obwohl daher auch in A.R. eine sehr kleine E.B. angedeutet scheint, ist das Material zur Bestimmung derselben doch noch unzureichend.

76.

Aut.	Ohne E.B. Epoche	A.R. 1880.0	Decl. 1880.0	Gew.	Mit E.B. A.R.	Decl.	$\Delta\alpha$	$\Delta\delta$
		h m s	° ′ ″		s	″	s	″
B	1822.9	21 23 19.51	— 13 1 15.3	1	23.22	32.7	— 0.20	+ 0.1
M_1	1846.6	21 23 20.70	— 13 1 25.0	1	22.87	35.2	+ 0.15	+ 2.6
Sa	1859.7	21 23 21.48	— 13 1 25.2	1	22.80	31.4	+ 0.22	— 1.2
Sj	1862.7	21 23 21.82	— 13 1 26.9	1	22.94	32.2	+ 0.08	— 0.4
Berlin [1])	1865.7	21 23 22.19	— 13 1 27.7	2	23.12	32.1	— 0.10	— 0.5
Q	1866.7	21 23 22.03	—	2	22.89	—	+ 0.13	—
Q	1864.7	—	— 13 1 27.5	2	—	32.2	—	— 0.4
B.B. VIII	1872.2	21 23 22.54	— 13 1 29.0	2	23.05	31.4	— 0.03	— 1.2
M_2	1886.8	21 23 23.56	— 13 1 36.1	2	23.12	34.0	— 0.10	+ 1.4

1) Berlin M. Kr. (Romberg) A.N. Bd. 69 pag. 77.

$y = + 0^s.0650. \quad y' = - 0''.305.$

1880.0 $\alpha = 21^h\ 23^m\ 23^s.016 \quad \delta = - 13^0\ 1'\ 32''.55.$ Grösse $9^m.1$.

77.

Aut.	Ohne E.B. Epoche	A.R. 1880.0	Decl. 1880.0	Gew.	Mit E.B. A.R.	Decl.	$\Delta\alpha$	$\Delta\delta$
		h m s	° ′ ″		s	″	s	″
Lacaille	1752.5	21 32 4.45	— 27 50 30.4	0	[7.86]	[38.2]	[+ 0.61]	[+ 1.0]
Ll	1800.7	21 32 6.40	— 27 50 33.6	1	8.52	38.4	— 0.05	+ 1.2
Wash. Mur.	1846.7	21 32 7.48	— 27 50 34.4	1	8.37	36.4	+ 0.10	— 0.8
Wash. Mer.	1846.7	21 32 7.48	— 27 50 35.7	1	8.37	37.7	+ 0.10	+ 0.5
Wash. Tr.	1847.2	21 32 7.52	— 27 50 36.8	1	8.40	38.8	+ 0.07	+ 1.6
M_1	1847.7	21 32 7.66	— 27 50 33.5	1	8.52	35.5	— 0.05	— 1.7
A-Ö	1849.6	21 32 7.72	— 27 50 32.8	1	8.53	34.6	— 0.06	— 2.6
Yarn.	1863.5	21 32 8.04	— 27 50 36.0	2	8.48	37.0	— 0.01	— 0.2
G.Z.C.	1873.4	21 32 8.33	— 27 50 35.1	2	8.51	35.5	— 0.04	— 1.7
G.G.C.	1874.8	21 32 8.41	— 27 50 37.5	3	8.55	37.8	— 0.08	+ 0.6
Stone	1878.7	21 32 8.37	— 27 50 38.2	3	8.41	38.3	+ 0.06	+ 1.1

$y = + 0^s.0268. \quad y' = - 0''.061.$

1880.0 $\alpha = 21^h\ 32^m\ 8^s.472 \quad \delta = - 27^0\ 50'\ 37''.17.$ Grösse $6^m.8$.

78.

Aut.	Ohne E.B. Epoche	A.R. 1880.0	Decl. 1880.0	Gew.	Mit E.B. A.R.	Decl.	$\Delta\alpha$	$\Delta\delta$
		h m s	° ′ ″		s	″	s	″
Ll	1800.7	21 46 42.93	— 29 13 19.7	1	44.11	38.2	— 0.11	+ 1.2
Wash. Mer.	1846.7	21 46 43.08	— 29 13 26.0	1	43.58	33.8	+ 0.42	— 3.2
Wash. Mur.	1847.7	21 46 43.47	— 29 13 30.2	1	43.95	37.7	+ 0.05	+ 0.7
M_1	1847.8	21 46 43.40	— 29 13 30.1	1	43.88	37.6	+ 0.12	+ 0.6
A-Ö	1849.7	21 46 43.89	— 29 13 28.5	1	44.34	35.6	— 0.34	— 1.4
G.Z.C.	1873.4	21 46 43.98	— 29 13 36.1	2	44.08	37.6	— 0.08	+ 0.6
G.G.C.	1878.8	21 46 43.99	— 29 13 37.1	2	44.01	37.4	— 0.01	+ 0.4

$y = + 0^s.0149. \quad y' = - 0''.234.$

1880.0 $\alpha = 21^h\ 46^m\ 44^s.004 \quad \delta = - 29^0\ 13'\ 37''.00.$ Grösse $8^m.0$.

79.

Aut.	Ohne E.B.				Mit E.B.			
	Epoche	A.R. 1880.0	Decl. 1880.0	Gew.	A.R.	Decl.	$\Delta\alpha$	$\Delta\delta$
		h m s	° ′ ″		s	″	s	″
Ll	1794.6	21 52 28.26	+ 3 12 44.0	1	26.57	32.2	+ 0.04	+ 1.3
B	1821.7	21 52 27.93	+ 3 12 43.4	1	26.78	35.4	— 0.17	— 1.9
Sa	1839.8	21 52 27.38	+ 3 12 38.7	1	26.59	33.2	+ 0.02	+ 0.3
M_1	1847.8	21 52 27.16	+ 3 12 38.8	1	26.52	34.4	+ 0.09	— 0.9
Königsb.[1])	1862.9	21 52 26.96	+ 3 12 36.8	2	26.62	34.4	— 0.01	— 0.9
Grant	1870.8	21 52 26.69	+ 3 12 33.8	2	26.51	32.5	+ 0.10	+ 1.0
$Arm._2$	1875.4	21 52 26.72	+ 3 12 32.8	2	26.63	33.4	— 0.02	+ 0.1
M_2	1887.7	21 52 26.59	+ 3 12 33.3	2	26.74	34.4	— 0.13	— 0.9

1) Aus Königsberger Beob. 37. Abth.

$y = -0\overset{s}{.}0197. \quad y' = -0\overset{''}{.}138.$

1880.0 $\alpha = 21^h\ 52^m\ 26^s606 \quad \delta = +3^0\ 12'\ 33\overset{''}{.}51.$ Grösse $7\overset{m}{.}2$.

80.

Aut.	Ohne E.B.				Mit E.B.			
	Epoche	A.R. 1880.0	Decl. 1880.0	Gew.	A.R.	Decl.	$\Delta\alpha$	$\Delta\delta$
		h m s	° ′ ″		s	″	s	″
Ll[1])	1795.1	21 52 39.37	— 4 55 51.8	1	—	13.3	+ 0.14	— 0.8
M_1	1845.8	21 52 39.81	— 4 56 7.3	1	—	16.0	— 0.30	+ 1.9
Sj	1862.7	21 52 39.44	— 4 56 10.5	1	—	14.9	+ 0.07	+ 0.8
Berlin[2])	1865.9	21 52 39.55	— 4 56 10.8	2	—	14.4	— 0.04	+ 0.3
Arm_2	1871.6	21 52 39.48	— 4 56 12.0	2	—	14.1	+ 0.03	0.0
G.G.C.	1877.8	21 52 39.44	— 4 56 12.1	2	—	12.7	+ 0.07	— 1.4
Duns.	1882.4	21 52 39.55	— 4 56 15.1	2	—	14.5	— 0.04	+ 0.4
B.B. VIII	1883.6	21 52 39.43	— 4 56 16.6	1	—	15.7	+ 0.08	+ 1.6
Karlsr.	1885.7	21 52 39.44	— 4 56 15.6	2	—	14.2	+ 0.07	+ 0.1
M_2	1886.3	21 52 39.58	— 4 56 15.1	2	—	13.5	— 0.07	— 0.6

1) Ll hat 2 Beobachtungen, welche sehr schlecht untereinander stimmen; es wurde trotzdem das Mittel genommen.
2) Aus A.N. Bd. 69 pag. 77 (Berlin, Romberg).

$y = —. \quad y' = -0\overset{''}{.}253.$

1880.0 $\alpha = 21^h\ 52^m\ 39\overset{s}{.}508 \quad \delta = -4^0\ 56'\ 14\overset{''}{.}10.$ Grösse $6\overset{m}{.}9$.

81.

Aut.	Ohne E.B.				Mit E.B.			
	Epoche	A.R. 1880.0	Decl. 1880.0	Gew.	A.R.	Decl.	$\Delta\alpha$	$\Delta\delta$
		h m s	° ′ ″		s	″	s	″
Ll	1794.6	22 0 21.91	+ 1 15 45.4	1	23.61	1.5	+ 0.15	+ 0.1
B	1821.8	22 0 22.79	+ 1 15 51.3	2	23.95	2.2	— 0.19	— 0.6
M_1	1848.0	22 0 23.05	+ 1 15 54.8	2	23.69	0.8	+ 0.07	+ 0.8
Grant	1871.6	22 0 23.49	—	2	23.66	—	+ 0.10	—
Grant	1873.9	—	+ 1 16 0.8	2	—	1.9	—	— 0.3
Q	1873.1	22 0 23.53	—	2	23.67	—	+ 0.09	—
Q	1871.2	—	+ 1 15 59.3	2	—	1.0	—	+ 0.6
M_2	1887.5	22 0 24.05	+ 1 16 3.5	2	23.90	2.1	— 0.14	— 0.5

$y = +0\overset{s}{.}0199. \quad y' = +0\overset{''}{.}188.$

1880.0 $\alpha = 22^h\ 0^m\ 23\overset{s}{.}757 \quad \delta = +1^0\ 16'\ 1\overset{''}{.}60.$ Grösse $8\overset{m}{.}5$.

82.

Aut.	Ohne E.B.				Mit E.B.			
	Epoche	A.R. 1880.0	Decl. 1880.0	Gew.	A.R.	Decl.	$\Delta\alpha$	$\Delta\delta$
		h m s	° ′ ″		s	″	s	″
M_1	1843.8	22 32 48.95	+ 1 53 57.7	1	50.16	—	+ 0.15	— 0.4
B.B. VI	1854.7	22 32 49.66	+ 1 53 58.6	1	50.51	—	— 0.20	— 1.3
M_2	1888.4	22 32 50.57	+ 1 53 56.4	2	50.29	—	+ 0.02	+ 0.9

$y = + 0^s.0335. \quad y' = —.$

1880.0 $\alpha = 22^h\ 32^m\ 50^s.312 \quad \delta = + 1^0\ 53'\ 57''.27.$ Grösse $9^m.4$.

83.

Aut.	Ohne E.B.				Mit E.B.			
	Epoche	A.R. 1880.0	Decl. 1880.0	Gew.	A.R.	Decl.	$\Delta\alpha$	$\Delta\delta$
		h m s	° ′ ″		s	″	s	″
Ll[1])	1793.9	22 59 27.02	+ 13 47 56.3	1	29.37	6.3	— 0.03	— 1.3
M_1	1844.9	22 59 28.32	+ 13 47 57.9	1	29.28	2.0	+ 0.06	+ 3.0
M_2	1886.3	22 59 29.53	+ 13 48 6.5	2	29.36	5.8	— 0.02	— 0.8

1) Die Position bei Ll ist $+ 1^m$ zu corrigiren.

$y = + 0^s.0273. \quad y' = + 0''.116.$

1880.0 $\alpha = 22^h\ 59^m\ 29^s.341 \quad \delta = + 13^0\ 48'\ 4''.95.$ Grösse $8^m.1$.

84.

Aut.	Ohne E.B.				Mit E.B.			
	Epoche	A.R. 1880.0	Decl. 1880.0	Gew.	A.R.	Decl.	$\Delta\alpha$	$\Delta\delta$
		h m s	° ′ ″		s	″	s	″
Ll[1])	1795.7	23 0 26.52	— 0 50 40.8	0	[24.75]	[44.5]	[+ 0.35]	[+ 9.0]
B	1822.4	23 0 26.28	— 0 50 33.1	1	25.07	35.6	+ 0.03	+ 0.1
M_1	1849.3	23 0 25.81	— 0 50 33.9	1	25.17	35.3	— 0.07	— 0.2
Sj	1862.8	23 0 25.66	— 0 50 34.4	1	25.30	35.2	0.20	— 0.3
Sa	1862.9	23 0 25.34	— 0 50 34.9	1	24.98	35.7	+ 0.12	+ 0.2
Gött.	1867.6	23 0 25.36	— 0 50 34.4	2	25.10	34.9	0.00	— 0.6
Q	1875.3	23 0 25.07	—	2	24.97	—	+ 0.13	—
Q	1873.4	—	— 0 50 35.8	2	—	36.1	—	+ 0.6
Duns.	1883.7	23 0 25.12	— 0 50 35.9	1	25.20	35.7	— 0.10	+ 0.2
M_2	1887.9	23 0 24.95	— 0 50 35.6	2	25.12	35.3	— 0.02	— 0.2

1) Ll in A.R. nur auf ganze Sekunden beobachtet, scheint in Decl. fehlerhaft zu sein und wird daher ausgeschlossen.

$y = — 0^s.0210. \quad y' = — 0''.044.$

1880.0 $\alpha = 23^h\ 0^m\ 25^s.099 \quad \delta = — 0^0\ 50'\ 35''.46.$ Grösse $8^m.8$.

85.

Aut.	Ohne E.B.				Mit E.B.			
	Epoche	A.R. 1880.0	Decl. 1880.0	Gew.	A.R.	Decl.	$\Delta\alpha$	$\Delta\delta$
		h m s	° ′ ″		s	″	s	″
Ll	1795.3	23 2 14.68	— 1 8 52.4	1	15.67	—	+ 0.39	+ 0.5
B	1822.8	23 2 15.44	— 1 8 50.5	1	16.11	—	— 0.05	— 1.4
Sa	1845.9	23 2 16.12	— 1 8 52.9	1	16.52	—	— 0.46	+ 1.0
M_1	1846.1	23 2 15.93	— 1 8 47.2	1	16.33	—	— 0.27	— 4.7
Sa	1862.9	23 2 15.78	— 1 8 50.9	1	15.98	—	+ 0.08	— 1.0
B.B. VI	1862.9	23 2 16.12	— 1 8 50.3	1	16.32	—	— 0.26	— 1.6
Gött.	1867.8	23 2 16.00	— 1 8 52.2	2	16.14	—	— 0.08	+ 0.3

85. (Forts.)

Aut.	Ohne E.B.				Mit E.B.			
	Epoche	A.R. 1880.0	Decl. 1880.0	Gew.	A.R.	Decl.	$\Delta\alpha$	$\Delta\delta$
		h m s	° ′ ″		s	″	s	″
Grant	1868.3	23 2 15.88	—	2	16.02	—	+ 0.04	—
Grant	1871.7	—	— 1 8 51.6	2	—	—	—	— 0.3
Q	1872.8	23 2 15.92	—	2	16.00	—	+ 0.06	—
Q	1869.1	—	— 1 8 52.0	2	—	—	—	+ 0.1
Arm.$_2$	1881.3	23 2 16.09	— 1 8 53.0	2	16.07	—	— 0.01	+ 1.1
Karlsr.	1885.4	23 2 16.05	— 1 8 52.4	4	15.99	—	+ 0.07	+ 0.5
M$_2$	1887.8	23 2 16.06	— 1 8 53.3	2	15.97	—	+ 0.09	+ 1.4

$y = + 0^s\!.0117. \quad y' = —.$

1880.0 $\alpha = 23^h\ 2^m\ 16^s\!.065 \quad \delta = -1^0\ 8'\ 51''\!.90.$ Grösse $7^m\!.5$.

86.

Aut.	Ohne E.B.				Mit E.B.			
	Epoche	A.R. 1880.0	Decl. 1880.0	Gew.	A.R.	Decl.	$\Delta\alpha$	$\Delta\delta$
		h m s	° ′ ″		s	″	s	″
Ll	1795.1	23 3 25.56	+ 1 16 43.0	2	26.17	39.8	+ 0.11	+ 0.6
B	1821.9	23 3 25.99	+ 1 16 44.9	1	26.41	42.7	— 0.13	— 2.3
M$_1$	1843.8	23 3 26.36	+ 1 16 41.4	1	26.62	40.0	— 0.34	+ 0.4
Q	1866.1	23 3 26.12	—	2	26.22	—	+ 0.06	—
Q	1863.3	—	+ 1 16 40.9	2	—	40.3	—	+ 0.1
M$_2$	1887.9	23 3 26.28	+ 1 16 40.0	2	26.22	40.3	+ 0.06	+ 0.1

$y = + 0^s\!.0072. \quad y' = - 0''\!.038.$

1880.0 $\alpha = 23^h\ 3^m\ 36^s\!.282 \quad \delta = + 1^0\ 16'\ 40''\!.41.$ Grösse $8^m\!.3$.

87.

Aut.	Ohne E.B.				Mit E.B.			
	Epoche	A.R. 1880.0	Decl. 1880.0	Gew.	A.R.	Decl.	$\Delta\alpha$	$\Delta\delta$
		h m s	° ′ ″		s	″	s	″
Ll[1])	1795.7	23 9 32.01	— 9 43 51.7	0	[34.01]	—	[— 0.21]	[— 3.5]
B	1823.7	23 9 32.50	— 9 43 54.2	1	33.83	—	— 0.03	— 1.0
M$_1$	1845.8	23 9 33.18	— 9 43 54.6	1	33.99	—	— 0.19	— 0.6
Q	1865.1	23 9 33.21	—	2	33.56	—	+ 0.24	—
Q	1865.8	—	— 9 43 55.2	1	—	—	—	0.0
G.G.C.	1878.8	23 9 33.84	— 9 43 54.9	2	33.87	—	— 0.07	— 0.3
M$_2$	1888.3	23 9 34.07	— 9 43 56.3	2	33.87	—	— 0.07	+ 1.1

1) Ll hat in A.R. nur ganze Sekunden beobachtet und die Decl. als unsicher bezeichnet; diese Position wird daher ausgeschlossen.

$y = + 0^s\!.0237. \quad y' = —.$

1880.0 $\alpha = 23^h\ 9^m\ 33^s\!.805 \quad \delta = - 9^0\ 43'\ 55''\!.20.$ Grösse $9^m\!.4$.

In der Nähe steht ψ^1 Aquarii, dessen E.B. nach Auwers-Bradley gleich $+ 0^s\!.0237$ und $- 0''\!.005$ ist; obiger Stern nimmt also an der Bewegung desselben Theil.

88.

Aut.	Ohne E.B. Epoche	A.R. 1880.0	Decl. 1880.0	Gew.	Mit E.B. A.R.	Decl.	$\Delta\alpha$	$\Delta\delta$
		h m s	° ′ ″		s	″	s	″
B	1823.7	23 10 54.48	— 14 26 51.7	1	52.54	58.7	— 0.27	+ 0.3
M_1	1845.9	23 10 53.05	— 14 27 16.9	1	51.87	57.5	+ 0.40	— 0.9
Sa	1857.9	23 10 53.06	— 14 27 34.3	1	52.30	60.6	— 0.03	+ 2.2
Q	1867.4	23 10 52.60	—	2	52.17	—	+ 0.10	—
B.B. VIII	1872.9	23 10 52.58	— 14 27 49.6	2	52.34	58.0	— 0.07	— 0.4
Q	1874.4	—	— 14 27 50.3	2	—	57.0	—	— 1.4
M_2	1886.8	23 10 52.11	— 14 28 7.5	2	52.34	59.4	— 0.07	+ 1.0

$y = -0^s.0345$. $y' = -1''.190$.

1880.0 $\alpha = 23^h\ 10^m\ 52^s.267$ $\delta = -14^0\ 27'\ 58''.41$. Grösse $8^m.2$.

89.

Aut.	Ohne E.B. Epoche	A.R. 1880.0	Decl. 1880.0	Gew.	Mit E.B. A.R.	Decl.	$\Delta\alpha$	$\Delta\delta$
		h m s	° ′ ″		s	″	s	″
Ll	1794.9	23 11 24.53	— 2 10 21.1	1	25.67	27.7	+ 0.01	+ 2.1
B	1822.8	23 11 24.73	— 2 10 22.2	1	25.50	25.9	+ 0.18	+ 0.3
M_1	1841.3	23 11 25.35	— 2 10 20.2	1	25.87	22.7	— 0.19	— 2.9
Sa	1845.9	23 11 25.36	— 2 10 21.7	1	25.82	23.9	— 0.14	— 1.7
Sa	1863.0	23 11 25.41	— 2 10 27.2	1	25.64	28.3	+ 0.04	+ 2.7
Q	1868.8	—	— 2 10 25.6	2	—	26.3	—	+ 0.7
Q	1872.5	23 11 25.41	—	2	25.51	—	+ 0.17	—
B.B. VIII	1872.0	23 11 25.71	— 2 10 25.0	2	25.82	25.5	— 0.14	— 0.1
M_2	1887.8	23 11 25.77	— 2 10 25.8	2	25.67	25.3	+ 0.01	— 0.3

$y = +0^s.0134$. $y' = -0''.065$.

1880.0 $\alpha = 23^h\ 11^m\ 25^s.680$ $\delta = -2^0\ 10'\ 25''.62$. Grösse $8^m.1$.

90.

Aut.	Ohne E.B. Epoche	A.R. 1880.0	Decl. 1880.0	Gew.	Mit E.B. A.R.	Decl.	$\Delta\alpha$	$\Delta\delta$
		h m s	° ′ ″		s	″	s	″
Ll	1795.7	23 56 4.16	— 14 4 41.6	1	5.46	37.7	+ 0.05	+ 0.5
B	1823.7	23 56 4.86	— 14 4 40.8	1	5.73	38.2	— 0.22	+ 1.0
M_1	1845.9	23 56 4.80	— 14 4 37.1	1	5.33	35.5	+ 0.18	— 1.7
Sa	1857.9	23 56 5.20	— 14 4 37.6	1	5.54	36.6	— 0.03	— 0.6
Q	1864.4	23 56 5.16	—	2	5.40	—	+ 0.11	—
Q	1865.5	—	— 14 4 38.2	2	—	37.5	—	+ 0.3
$Arm._2$	1878.1	23 56 5.55	—	2	5.58	—	— 0.07	—
$Arm._2$	1877.1	—	— 14 4 38.1	2	—	38.0	—	+ 0.8
G.G.C.	1879.6	23 56 5.51	— 14 4 37.0	3	5.52	37.0	— 0.01	— 0.2

$y = +0^s.0154$. $y' = +0''.046$.

1880.0 $\alpha = 23^h\ 56^m\ 5^s.505$ $\delta = -14^0\ 4'\ 37''.20$. Grösse $6^m.5$.

Zusammenstellung der untersuchten Sterne.

No.	Grösse	Rectascension 1880.0	Praec.	Saec. Var.	E.B.	Declination 1880.0	Praec.	Saec. Var.	E.B.
		h m s	s	s	s	° ′ ″	″	″	″
1	6.5	0 11 49.380	+ 3.0550	— 0.0049	+ 0.0297	— 14 7 21.24	+ 20.028	— 0.031	—
2	7.5	0 16 44.074	+ 3.1112	+ 0.0150	+ 0.0185	+ 21 43 0.53	+ 20.001	— 0.042	— 0.221
3	8.7	0 37 17.300	+ 3.0665	+ 0.0032	— 0.0209	— 1 32 42.26	+ 19.789	— 0.081	— 0.326
4	7.8	0 58 35.363	+ 3.1102	+ 0.0084	+ 0.0109	+ 6 24 18.85	+ 19.402	— 0.123	— 0.093
5	7.5	1 1 42.397	+ 3.2112	+ 0.0174	+ 0.0192	+ 21 20 13.40	+ 19.332	— 0.133	—
6	8.0	1 12 29.884	+ 3.0615	+ 0.0050	+ 0.0284	— 1 29 28.83	+ 19.059	— 0.147	— 0.257
7	8.3	1 13 53.861	+ 3.1558	+ 0.0117	— 0.0181	+ 11 9 3.20	+ 19.021	— 0.154	— 0.171
8	8.3	2 8 25.779	+ 3.0505	+ 0.0070	+ 0.0634	— 1 45 35.39	+ 16.987	— 0.244	— 0.097
9	8.0	2 9 58.173	+ 3.2227	+ 0.0135	+ 0.0130	+ 11 49 41.81	+ 16.915	— 0.260	— 0.235
10	8.7	3 51 24.677	+ 3.0426	+ 0.0074	— 0.0132	— 1 30 9.10	+ 10.671	— 0.380	— 0.162
11	7.5	5 22 1.687	+ 2.7515	+ 0.0032	—	— 13 40 25.17	+ 3.307	— 0.397	— 0.298
12	8.0	5 36 27.554	+ 2.6988	+ 0.0027	+ 0.0205	— 15 41 14.38	+ 2.056	— 0.392	— 0.097
13	6.5	6 9 28.164	+ 3.0614	+ 0.0014	— 0.0113	— 0 28 5.42	— 0.828	— 0.446	— 0.162
14	6.4	6 19 8.434	+ 3.0520	+ 0.0009	+ 0.0168	— 0 52 25.63	— 1.673	— 0.443	— 0.197
15	7.8	6 29 28.602	+ 2.7782	+ 0.0011	—	— 12 30 30.89	— 2.572	— 0.401	— 0.164
16	9.0	7 16 8.644	+ 3.0360	— 0.0018	— 0.0214	— 1 38 41.23	— 6.541	— 0.416	+ 0.258
17	9.3	7 33 43.412	+ 3.0457	— 0.0026	+ 0.0102	— 1 14 25.81	— 7.974	— 0.404	— 0.241
18	7.5	8 18 26.166	+ 3.0578	— 0.0039	+ 0.0097	— 0 45 20.01	— 11.390	— 0.362	— 0.199
19	7.1	9 3 4.490	+ 2.9033	— 0.0011	— 0.0253	— 10 16 9.69	— 14.369	— 0.289	— 0.079
20	7.5	9 45 12.571	+ 3.0555	— 0.0035	+ 0.0076	— 1 17 38.30	— 16.685	— 0.240	— 0.139
21	7.8	10 7 53.288	+ 3.1136	— 0.0053	+ 0.0154	+ 3 45 32.42	— 17.702	— 0.206	— 0.376
22	7.0	10 15 1.843	+ 2.9152	+ 0.0032	— 0.0112	— 14 53 12.64	— 17.987	— 0.180	+ 0.300
23	7.0	10 28 45.244	+ 3.0426	— 0.0012	—	— 3 16 30.33	— 18.486	— 0.164	— 0.157
24	7.8	10 30 4.402	+ 2.9703	+ 0.0025	+ 0.0111	— 11 17 2.19	— 18.530	— 0.158	— 0.240
25	7.0	10 36 15.992	+ 2.9607	+ 0.0037	+ 0.0174	— 13 9 18.29	— 18.731	— 0.146	— 0.157
26	7.3	10 46 23.522	+ 3.1140	— 0.0049	— 0.0219	+ 5 38 28.23	— 19.029	— 0.135	—
27	8.0	11 3 31.976	+ 3.0900	— 0.0028	— 0.0173	+ 3 6 17.50	— 19.449	— 0.102	—
28	8.5	11 6 7.417	+ 3.0694	— 0.0008	+ 0.0050	— 0 31 47.61	— 19.503	— 0.096	— 0.174
29	8.0	11 7 15.730	+ 2.9761	+ 0.0076	— 0.0269	— 17 30 22.16	— 19.526	— 0.091	— 0.195
30	9.1	11 13 4.387	+ 3.1025	— 0.0040	— 0.0185	+ 6 20 15.63	— 19.635	— 0.084	— 0.171
31	9.0	12 4 3.43 .	+ 3.0702	— 0.0005	— 0.011 .	+ 4 59 13.0 .	— 20.051	+ 0.017	— 0.31 .
32	7.3	12 6 24.628	+ 3.0739	+ 0.0035	— 0.0409	— 2 25 50.33	— 20.046	+ 0.021	+ 0.442
33	8.0	12 21 37.561	+ 3.0761	+ 0.0040	— 0.0079	— 1 42 56.22	— 19.965	+ 0.051	— 0.184
34	7.5	12 30 55.971	+ 3.0775	+ 0.0045	+ 0.0094	— 1 39 22.85	— 19.872	+ 0.069	— 0.119
35	8.0	12 39 45.222	+ 3.1074	+ 0.0087	+ 0.0207	— 8 38 58.09	— 19.753	+ 0.087	— 0.231
36	7.0	12 40 18.160	+ 3.1184	+ 0.0101	— 0.0210	— 11 9 28.39	— 19.745	+ 0.088	—
37	8.2	12 43 37.610	+ 3.0641	+ 0.0034	—	+ 1 51 50.71	— 19.692	+ 0.093	— 0.679
38	8.3	12 44 34.833	+ 3.0728	+ 0.0044	—	— 0 6 3.07	— 19.676	+ 0.095	— 0.365
39	8.5	12 55 8.809	+ 3.1159	+ 0.0090	— 0.0356	— 7 47 24.48	— 19.476	+ 0.117	—
40	9.0	13 40 13.40 .	+ 3.0709	+ 0.0068	— 0.036 .	+ 0 8 40.8 .	— 18.167	+ 0.197	—
41	7.6	14 13 23.534	+ 3.1314	+ 0.0099	— 0.0431	— 4 35 39.08	— 16.752	+ 0.258	— 0.101
42	7.8	14 24 44.182	+ 3.1451	+ 0.0104	— 0.0170	— 5 16 4.48	— 16.186	+ 0.278	—
43	8.8	14 31 44.723	+ 3.0169	+ 0.0067	— 0.0228	+ 3 51 18.75	— 15.817	+ 0.277	—
44	9.1	14 44 30.266	+ 2.9594	+ 0.0057	— 0.0448	+ 7 18 52.42	— 15.106	+ 0.290	—
45	6.5	14 52 37.640	+ 3.1443	+ 0.0101	— 0.0242	— 4 30 16.72	— 14.629	+ 0.320	— 0.106

No.	Grösse	Rectascension 1880.0	Praec.	Saec. Var.	E.B.	Declination 1880.0	Praec.	Saec. Var.	E.B.
		h m s	s	s	s	° ′ ″	″	″	″
46	9.2	15 3 38.793	+ 3.3456	+ 0.0152	− 0.0676	− 15 53 12.68	− 13.953	+ 0.356	− 3.601
47	9.0	15 3 38.999	+ 3.3441	+ 0.0152	− 0.0683	− 15 48 11.71	− 13.953	+ 0.356	− 3.574
48	7.8	15 13 32.327	+ 3.2166	+ 0.0114	—	− 8 13 6.40	− 13.319	+ 0.356	− 0.196
49	6.5	15 14 35.690	+ 3.1069	+ 0.0090	− 0.0205	− 1 58 22.76	− 13.249	+ 0.346	− 0.186
50	7.9	15 58 31.283	+ 3.0890	+ 0.0078	− 0.0154	− 0 49 45.96	− 10.139	+ 0.393	− 0.078
51	8.5	16 0 15.635	+ 2.8468	+ 0.0051	− 0.0327	+ 11 0 45.99	− 10.007	+ 0.364	− 0.084
52	7.0	16 34 52.465	+ 3.1291	+ 0.0068	− 0.0040	− 2 36 30.30	− 7.279	+ 0.428	− 0.435
53	7.5	16 58 48.474	+ 3.1820	+ 0.0059	− 0.0648	− 4 51 40.19	− 5.291	+ 0.450	− 1.117
54	6.3	16 59 10.355	+ 3.0525	+ 0.0051	—	+ 0 52 48.61	− 5.260	+ 0.432	− 0.338
55	6.5	17 13 31.650	+ 3.5284	+ 0.0070	− 0.0077	− 19 12 15.47	− 4.039	+ 0.506	− 0.127
56	7.9	17 14 29.507	+ 2.8507	+ 0.0036	—	+ 9 35 41.00	− 3.956	+ 0.409	− 0.335
57	7.2	17 15 3.706	+ 3.0367	+ 0.0042	− 0.0093	+ 1 33 20.93	− 3.907	+ 0.436	+ 0.307
58	8.0	17 25 11.898	+ 3.1287	+ 0.0040	− 0.0192	− 2 26 34.77	− 3.034	+ 0.452	− 0.085
59	8.5	17 28 54.844	+ 2.9311	+ 0.0033	− 0.0307	+ 6 5 0.38	− 2.712	+ 0.425	+ 0.372
60	7.5	18 22 6.720	+ 3.1639	+ 0.0004	− 0.0140	− 3 56 21.31	+ 1.932	+ 0.458	− 0.285
61	8.5	18 41 9.284	+ 3.1587	− 0.0008	− 0.0114	− 3 45 32.80	+ 3.582	+ 0.452	− 0.245
62	8.1	18 49 29.911	+ 3.2069	− 0.0016	− 0.0111	− 5 53 5.20	+ 4.298	+ 0.455	− 0.455
63	9.3	18 52 8.986	+ 2.9402	− 0.0003	− 0.0156	+ 5 47 23.46	+ 4.524	+ 0.416	− 1.154
64	9.2	19 1 16.186	+ 2.9035	− 0.0004	− 0.0264	+ 7 27 23.05	+ 5.298	+ 0.406	− 0.724
65	8.5	19 2 32.127	+ 3.5833	− 0.0059	—	− 21 38 50.04	+ 5.404	+ 0.501	− 0.407
66	8.0	19 29 51.919	+ 3.0757	− 0.0027	—	− 0 9 34.46	+ 7.663	+ 0.411	− 0.369
67	6.3	19 53 15.806	+ 3.2856	− 0.0065	− 0.0210	− 10 16 12.82	+ 9.512	+ 0.418	− 0.371
68	7.3	19 54 23.184	+ 3.3341	− 0.0074	− 0.0226	− 12 34 18.44	+ 9.599	+ 0.423	− 0.371
69	7.0	19 57 4.974	+ 2.7537	− 0.0003	− 0.0172	+ 15 16 40.93	+ 9.805	+ 0.346	− 0.504
70	8.2	20 16 30.600	+ 3.5131	− 0.0129	+ 0.0375	− 21 43 9.17	+ 11.251	+ 0.419	− 1.112
71	6.5	20 35 19.640	+ 2.7035	+ 0.0007	+ 0.0112	+ 19 30 0.59	+ 12.575	+ 0.302	+ 0.350
72	7.7	20 50 41.762	+ 3.0506	− 0.0041	—	+ 1 15 44.62	+ 13.593	+ 0.321	− 0.227
73	8.0	21 15 52.093	+ 3.6065	− 0.0233	+ 0.0279	− 31 19 36.70	+ 15.128	+ 0.339	—
74	6.8	21 20 19.846	+ 3.0635	− 0.0043	+ 0.0055	+ 0 35 25.46	+ 15.381	+ 0.280	− 0.176
75	8.5	21 20 41.782	+ 2.9984	− 0.0026	—	+ 4 55 51.89	+ 15.401	+ 0.273	− 0.257
76	9.1	21 23 23.016	+ 3.2676	− 0.0106	+ 0.0650	− 13 1 32.55	+ 15.551	+ 0.294	− 0.305
77	6.8	21 32 8.472	+ 3.4969	− 0.0206	+ 0.0268	− 27 50 37.17	+ 16.023	+ 0.300	− 0.061
78	8.0	21 46 44.004	+ 3.4832	− 0.0219	+ 0.0149	− 29 13 37.00	+ 16.758	+ 0.272	− 0.234
79	7.2	21 52 26.606	+ 3.0327	− 0.0025	− 0.0197	+ 3 12 33.51	+ 17.027	+ 0.226	− 0.138
80	6.9	21 52 39.508	+ 3.1332	− 0.0062	—	− 4 56 14.10	+ 17.037	+ 0.234	− 0.253
81	8.5	22 0 23.757	+ 3.0576	− 0.0031	+ 0.0199	+ 1 16 1.60	+ 17.385	+ 0.215	+ 0.188
82	9.4	22 32 50.312	+ 3.0558	− 0.0017	+ 0.0335	+ 1 53 57.27	+ 18.621	+ 0.158	—
83	8.1	22 59 29.341	+ 2.9866	+ 0.0054	+ 0.0273	+ 13 48 4.95	+ 19.359	+ 0.105	+ 0.116
84	8.8	23 0 25.099	+ 3.0774	− 0.0018	− 0.0210	− 0 50 35.46	+ 19.380	+ 0.107	− 0.044
85	7.5	23 2 16.065	+ 3.0790	− 0.0018	+ 0.0117	− 1 8 51.90	+ 19.421	+ 0.104	—
86	8.3	23 3 26.282	+ 3.0650	− 0.0005	+ 0.0072	+ 1 16 40.41	+ 19.447	+ 0.101	− 0.038
87	9.4	23 9 33.805	+ 3.1224	− 0.0060	+ 0.0237	− 9 43 55.20	+ 19.571	+ 0.091	—
88	8.2	23 10 52.267	+ 3.1457	− 0.0087	− 0.0345	− 14 27 58.41	+ 19.595	+ 0.089	− 1.190
89	8.1	23 11 25.680	+ 3.0830	− 0.0019	+ 0.0134	− 2 10 25.62	+ 19.605	+ 0.086	− 0.065
90	6.5	23 56 5.505	+ 3.0780	− 0.0058	+ 0.0154	− 14 4 37.20	+ 20.051	− 0.001	+ 0.046

HILFSTAFELN

DER

MÜNCHENER STERNWARTE.

Die folgenden Tafeln, welche sich auf die geographische Breite ($\varphi = 48^0\ 8'\ 45''$) der Münchener Sternwarte beziehen, sind ähnlichen Tafeln, wie sie von anderen Sternwarten vorliegen, nachgebildet und bedürfen kaum einer Erklärung oder des Nachweises ihrer Nützlichkeit.

Tafel I giebt die bekannten Bessel'schen Hilfsgrössen cotg n und N. Diese ergeben sich durch die Formeln

$$\sin n \sin N = \cos \varphi \cos t$$
$$\sin n \cos N = \sin \varphi$$
$$\cos n = \cos \varphi \sin t$$

worin t der Stundenwinkel ist. Danach hat man N das Zeichen von cos t, cotg n das Zeichen von sin t beizulegen.

Tafel II und Tafel III enthalten die Zenithdistanzen und die Winkel des Declinationskreises gegen den Vertikal für einige Werthe der Declination δ und des Stundenwinkels t. Diese beiden Tafeln sollen bei Ueberschlagsrechnungen Erleichterung gewähren.

Tafel IV giebt die Correction, welche an mit dem Fadenmikrometer gemessene A.R.- und Decl.-Differenzen $\alpha' - \alpha$ und $\delta' - \delta$ wegen Refraction anzubringen sind, falls das Mikrometer nach dem scheinbaren Parallel orientirt ist. Die Correctionen sind bekanntlich proportional mit $\delta' - \delta$. Die Tafeln beziehen sich auf eine Declinationsdifferenz $\delta' - \delta = 10'$ und geben beide Correctionen in Bogensecunden. Für die Stundenwinkel t zwischen 12^h und 24^h hat man mit dem Argument $24^h - t$ einzugehen und der Correction in Rectascension das entgegengesetzte Zeichen von $\delta' - \delta$ zu geben.

Tafel V giebt die Abweichung zwischen dem scheinbaren Parallel und dem wahren. Das Vorzeichen der Differenz ist am Fusse der Tafel angegeben.

Tafel VI giebt nebst Erläuterung zu ihrer Anwendung ein in allbekannter Form angesetztes Hilfsmittel zur Berechnung des Einflusses der Parallaxe.

Tafeln VII sind den Tafeln XXXIV der bekannten und bewährten Hilfstafeln der Berliner Sternwarte (Berlin 1869) nachgebildet und dienen zur Anbringung der Refraction bei Ableitung von Fadendistanzen durch Beobachtung von Polsterndurchgängen in beliebigen Stundenwinkeln. Alles zur Anwendung nöthige ist in den Tafeln enthalten. Zur leichteren Beurtheilung der Vorzeichen der einzelnen Glieder mögen die bekannten Formeln (k ist die bekannte Refractionsconstante) angeführt werden. Es ist

$$C_1 = k \cos \delta \sin (t' - t) [1 + \operatorname{cotg}^2 \varphi \sin^2 t]$$
$$C_2 = 2\, k \operatorname{cotg} \varphi \sin t \sin^2 \frac{t' - t}{2}$$

Tafel VIII enthält die Correction, welche die Schraubenablesungen des Repsold'schen Mikrometers am $10^1/_2$ zölligen Refractor der hiesigen Sternwarte wegen periodischer Ungleichheiten erfordern. Die zu Grunde gelegten Beobachtungen wurden nach der vortrefflichen von Winnecke zuerst angegebenen Methode mit Hilfe eines doppelbrechenden Kalkspathprismas ausgeführt. Ich selbst hatte einige Reihen gemessen, der bei weitem grösste Theil der Beobachtungen rührt aber von den Herren Dr. Bauschinger und Dr. Oertel her. Dieselben ergaben, dass die periodischen Fehler klein und fast unabhängig von den ganzen Revolutionsumdrehungen waren. Die Ausgleichung ergab mit ganz befriedigendem Anschluss an die Messungen für die anzubringende Correction die Formel

$$\varphi(u) = +\, 0^R\!.00164 \cos u - 0^R\!.00028 \sin u$$
$$= +\, 0^R\!.00166 \sin (u + 99^\circ\!.7)$$

Mit dieser Formel ist Tafel VIII berechnet worden.

Tafel IX enthält eine Zusammenstellung desjenigen, was bei der Umsetzung von Schraubenrevolutionen des Mikrometers in Bogenmass in Betracht kommt.

H. Seeliger.

Tafel I.

0h	N		log cotg n	Diff.	23h	1h	N		log cotg n	Diff.	22h	2h	N		log cotg n	Diff.	21h
m	°	′			m	m	°	′			m	m	°	′			m
0	41	51.2	— ∞		60	0	40	52.1	9.24385	723	60	0	37	48.2	9.54887	368	60
1		51.2	7.46410	30103	59	1		50.1	9.25108	712	59	1		44.0	9.55255	365	59
2		51.2	7.76513	17609	58	2		48.1	9.25820	700	58	2		39.8	9.55620	362	58
3		51.1	7.94122	12495	57	3		46.0	9.26520	689	57	3		35.5	9.55982	359	57
4		51.0	8.06617	9691	56	4		43.9	9.27209	679	56	4		31.1	9.56341	356	56
5		50.8	8.16308	7919	55	5		41.8	9.27888	668	55	5		26.8	9.56697	354	55
6	41	50.7	8.24227	6695	54	6	40	39.6	9.28556	659	54	6	37	22.3	9.57051	350	54
7		50.4	8.30922	5800	53	7		37.4	9.29215	649	53	7		17.9	9.57401	348	53
8		50.2	8.36722	5116	52	8		35.1	9.29864	640	52	8		13.4	9.57749	345	52
9		49.9	8.41838	4576	51	9		32.8	9.30504	631	51	9		8.9	9.58094	343	51
10		49.6	8.46414	4141	50	10		30.5	9.31135	621	50	10		4.3	9.58437	340	50
11	41	49.3	8.50555	3780	49	11	40	28.2	9.31756	614	49	11	36	59.7	9.58777	338	49
12		48.9	8.54335	3477	48	12		25.8	9.32370	605	48	12		55.0	9.59115	334	48
13		48.5	8.57812	3220	47	13		23.4	9.32975	597	47	13		50.3	9.59449	333	47
14		48.1	8.61032	2997	46	14		20.9	9.33572	589	46	14		45.6	9.59782	330	46
15		47.6	8.64029	2805	45	15		18.4	9.34161	581	45	15		40.8	9.60112	327	45
16	41	47.1	8.66834	2634	44	16	40	15.9	9.34742	574	44	16	36	36.0	9.60439	326	44
17		46.5	8.69468	2484	43	17		13.3	9.35316	566	43	17		31.1	9.60765	322	43
18		46.0	8.71952	2350	42	18		10.7	9.35882	560	42	18		26.2	9.61087	321	42
19		45.4	8.74302	2229	41	19		8.1	9.36442	553	41	19		21.3	9.61408	318	41
20		44.7	8.76531	2121	40	20		5.4	9.36995	546	40	20		16.3	9.61726	316	40
21	41	44.1	8.78652	2022	39	21	40	2.7	9.37541	539	39	21	36	11.2	9.62042	314	39
22		43.4	8.80674	1933	38	22	39	59.9	9.38080	533	38	22		6.2	9.62356	311	38
23		42.6	8.82607	1850	37	23		57.2	9.38613	526	37	23		1.0	9.62667	310	37
24		41.9	8.84457	1766	36	24		54.3	9.39139	521	36	24	35	55.9	9.62977	307	36
25		41.1	8.86233	1705	35	25		51.5	9.39660	515	35	25		50.7	9.63284	305	35
26	41	40.2	8.87938	1642	34	26	39	48.6	9.40175	508	34	26	35	45.5	9.63589	303	34
27		39.4	8.89580	1582	33	27		45.7	9.40683	503	33	27		40.2	9.63892	301	33
28		38.5	8.91162	1526	32	28		42.7	9.41186	498	32	28		34.8	9.64193	298	32
29		37.5	8.92688	1475	31	29		39.7	9.41684	492	31	29		29.5	9.64491	297	31
30		36.6	8.94163	1427	30	30		36.7	9.42176	487	30	30		24.1	9.64788	295	30
31	41	35.6	8.95590	1382	29	31	39	33.6	9.42663	481	29	31	35	18.6	9.65083	293	29
32		34.5	8.96972	1339	28	32		30.5	9.43144	477	28	32		13.1	9.65376	290	28
33		33.5	8.98311	1300	27	33		27.4	9.43621	471	27	33		7.6	9.65666	289	27
34		32.4	8.99611	1262	26	34		24.2	9.44092	467	26	34		2.0	9.65955	287	26
35		31.3	9.00873	1226	25	35		21.0	9.44559	462	25	35	34	56.3	9.66242	285	25
36	41	30.1	9.02099	1193	24	36	39	17.7	9.45021	457	24	36	34	50.7	9.66527	284	24
37		28.9	9.03292	1162	23	37		14.4	9.45478	452	23	37		44.9	9.66811	281	23
38		27.7	9.04454	1132	22	38		11.1	9.45930	448	22	38		39.2	9.67092	279	22
39		26.4	9.05586	1103	21	39		7.7	9.46378	444	21	39		33.4	9.67371	278	21
40		25.1	9.06689	1076	20	40		4.3	9.46822	439	20	40		27.5	9.67649	276	20
41	41	23.8	9.07765	1050	19	41	39	0.9	9.47261	436	19	41	34	21.6	9.67925	274	19
42		22.4	9.08815	1026	18	42	38	57.4	9.47697	430	18	42		15.7	9.68199	272	18
43		21.0	9.09841	1002	17	43		53.9	9.48127	427	17	43		9.7	9.68471	271	17
44		19.6	9.10843	980	16	44		50.3	9.48554	423	16	44		3.7	9.68742	268	16
45		18.1	9.11823	958	15	45		46.7	9.48977	419	15	45	33	57.6	9.69010	268	15
46	41	16.6	9.12781	938	14	46	38	43.1	9.49396	415	14	46	33	51.5	9.69278	265	14
47		15.1	9.13719	919	13	47		39.4	9.49811	412	13	47		45.3	9.69543	264	13
48		13.5	9.14638	900	12	48		35.7	9.50223	407	12	48		39.1	9.69807	262	12
49		11.9	9.15538	881	11	49		32.0	9.50630	404	11	49		32.9	9.70069	260	11
50		10.3	9.16419	865	10	50		28.2	9.51034	401	10	50		26.6	9.70329	259	10
51	41	8.6	9.17284	848	9	51	38	24.4	9.51435	397	9	51	33	20.2	9.70588	257	9
52		6.9	9.18132	831	8	52		20.5	9.51832	393	8	52		13.8	9.70845	255	8
53		5.2	9.18963	817	7	53		16.6	9.52225	390	7	53		7.4	9.71100	254	7
54		3.5	9.19780	802	6	54		12.7	9.52615	387	6	54		0.9	9.71354	252	6
55		1.6	9.20582	787	5	55		8.7	9.53002	383	5	55	32	54.4	9.71606	251	5
56	40	59.8	9.21369	773	4	56	38	4.7	9.53385	381	4	56	32	47.8	9.71857	249	4
57		57.9	9.22142	761	3	57		0.6	9.53766	377	3	57		41.2	9.72106	248	3
58		56.0	9.22903	747	2	58	37	56.5	9.54143	374	2	58		34.5	9.72354	246	2
59		54.1	9.23650	735	1	59		52.4	9.54517	370	1	59		27.8	9.72600	244	1
60		52.1	9.24385		0	60		48.2	9.54887		0	60		21.1	9.72844		0
12h	N		log cotg n	Diff.	11h	13h	N		log cotg n	Diff.	10h	14h	N		log cotg n	Diff.	9h

N hat das Vorzeichen von cos *t*, cotg *n* das von sin *t*.

Tafel I.

3^h	N		log cotg n	Diff.	20^h	4^h	N		log cotg n	Diff.	19^h	5^h	N		log cotg n	Diff.	18^h
m	°	′			m	m	°	′			m	m	°	′			m
0	32	21.1	9.72844	243	60	0	24	7.7	9.85004	164	60	0	13	3.2	9.92579	86	60
1		14.3	9.73087	242	59	1	23	57.9	9.85168	162	59	1	12	50.9	9.92665	85	59
2		7.4	9.73329	240	58	2		48.2	9.85330	161	58	2		38.5	9.92750	83	58
3		0.5	9.73569	238	57	3		38.4	9.85491	160	57	3		26.1	9.92833	82	57
4	31	53.6	9.73807	237	56	4		28.5	9.85651	159	56	4		13.7	9.92915	81	56
5		46.6	9.74044	236	55	5		18.6	9.85810	157	55	5		1.2	9.92996	79	55
6	31	39.6	9.74280	234	54	6	23	8.6	9.85967	157	54	6	11	48.7	9.93075	78	54
7		32.5	9.74514	233	53	7	22	58.6	9.86124	155	53	7		36.2	9.93153	76	53
8		25.3	9.74747	231	52	8		48.6	9.86279	153	52	8		23.6	9.93229	76	52
9		18.2	9.74978	230	51	9		38.5	9.86432	153	51	9		11.0	9.93305	73	51
10		10.9	9.75208	228	50	10		28.3	9.86585	151	50	10	10	58.4	9.93378	73	50
11	31	3.7	9.75436	227	49	11	22	18.1	9.86736	150	49	11	10	45.7	9.93451	71	49
12	30	56.3	9.75663	226	48	12		7.8	9.86886	149	48	12		33.0	9.93522	69	48
13		49.0	9.75889	224	47	13	21	57.6	9.87035	147	47	13		20.3	9.93591	68	47
14		41.5	9.76113	223	46	14		47.2	9.87182	146	46	14		7.6	9.93659	67	46
15		34.1	9.76336	221	45	15		36.8	9.87328	145	45	15	9	54.8	9.93726	65	45
16	30	26.6	9.76557	220	44	16	21	26.4	9.87473	144	44	16	9	42.0	9.93791	64	44
17		19.0	9.76777	219	43	17		15.9	9.87617	142	43	17		29.1	9.93855	62	43
18		11.4	9.76996	217	42	18		5.4	9.87759	142	42	18		16.3	9.93917	61	42
19		3.7	9.77213	216	41	19	20	54.8	9.87901	140	41	19		3.4	9.93978	59	41
20	29	56.0	9.77429	214	40	20		44.1	9.88041	138	40	20	8	50.5	9.94037	58	40
21	29	48.3	9.77643	214	39	21	20	33.5	9.88179	138	39	21	8	37.6	9.94095	57	39
22		40.5	9.77857	211	38	22		22.7	9.88317	136	38	22		24.6	9.94152	55	38
23		32.6	9.78068	211	37	23		12.0	9.88453	135	37	23		11.6	9.94207	54	37
24		24.7	9.78279	209	36	24		1.2	9.88588	133	36	24	7	58.6	9.94261	52	36
25		16.8	9.78488	208	35	25	19	50.3	9.88721	133	35	25		45.6	9.94313	51	35
26	29	8.8	9.78696	207	34	26	19	39.4	9.88854	131	34	26	7	32.5	9.94364	50	34
27		0.7	9.78903	205	33	27		28.4	9.88985	129	33	27		19.5	9.94414	48	33
28	28	52.6	9.79108	204	32	28		17.5	9.89114	129	32	28		6.4	9.94462	46	32
29		44.5	9.79312	203	31	29		6.4	9.89243	127	31	29	6	53.8	9.94508	45	31
30		36.3	9.79515	201	30	30	18	55.3	9.89370	126	30	30		40.1	9.94553	44	30
31	28	28.1	9.79716	200	29	31	18	44.2	9.89496	125	29	31	6	27.0	9.94597	42	29
32		19.8	9.79916	199	28	32		33.0	9.89621	123	28	32		13.8	9.94639	41	28
33		11.4	9.80115	197	27	33		21.8	9.89744	122	27	33		0.6	9.94680	39	27
34		3.0	9.80312	197	26	34		10.5	9.89866	121	26	34	5	47.4	9.94719	38	26
35	27	54.6	9.80509	194	25	35	17	59.2	9.89987	120	25	35		34.2	9.94757	36	25
36	27	46.1	9.80703	194	24	36	17	47.9	9.90107	118	24	36	5	21.0	9.94793	35	24
37		37.6	9.80897	193	23	37		36.5	9.90225	117	23	37		7.7	9.94828	34	23
38		29.0	9.81090	191	22	38		25.0	9.90342	115	22	38	4	54.4	9.94862	31	22
39		20.4	9.81281	189	21	39		13.6	9.90457	115	21	39		41.1	9.94893	31	21
40		11.7	9.81470	189	20	40		2.0	9.90572	113	20	40		27.8	9.94924	29	20
41	27	2.9	9.81659	187	19	41	16	50.5	9.90685	111	19	41	4	14.5	9.94953	27	19
42	26	54.2	9.81846	186	18	42		38.9	9.90796	111	18	42		1.2	9.94980	26	18
43		45.3	9.82032	185	17	43		27.2	9.90907	109	17	43	3	47.9	9.95006	25	17
44		36.4	9.82217	184	16	44		15.5	9.91016	108	16	44		34.5	9.95031	23	16
45		27.5	9.82401	182	15	45		3.8	9.91124	106	15	45		21.2	9.95054	22	15
46	26	18.5	9.82583	181	14	46	15	52.0	9.91230	105	14	46	3	7.8	9.95076	20	14
47		9.5	9.82764	180	13	47		40.2	9.91335	104	13	47	2	54.4	9.95096	18	13
48		0.4	9.82944	178	12	48		28.4	9.91439	102	12	48		41.0	9.95114	17	12
49	25	51.3	9.83122	178	11	49		16.5	9.91541	101	11	49		27.7	9.95131	16	11
50		42.1	9.83300	176	10	50		4.6	9.91642	100	10	50		14.3	9.95147	14	10
51	25	32.9	9.83476	175	9	51	14	52.6	9.91742	98	9	51	2	0.8	9.95161	13	9
52		23.6	9.83651	173	8	52		40.6	9.91840	97	8	52	1	47.4	9.95174	11	8
53		14.3	9.83824	172	7	53		28.5	9.91937	96	7	53		34.0	9.95185	10	7
54		4.9	9.83996	172	6	54		16.5	9.92033	94	6	54		20.6	9.95195	8	6
55	24	55.5	9.84168	169	5	55		4.3	9.92127	93	5	55		7.2	9.95203	7	5
56	24	46.0	9.84337	169	4	56	13	52.2	9.92220	92	4	56	0	53.7	9.95210	5	4
57		36.5	9.84506	167	3	57		40.0	9.92312	90	3	57		40.3	9.95215	3	3
58		26.9	9.84673	166	2	58		27.8	9.92402	89	2	58		26.9	9.95218	3	2
59		17.3	9.84839	165	1	59		15.5	9.92491	88	1	59		13.4	9.95221	0	1
60		7.7	9.85004		0	60		3.2	9.92579		0	60		0.0	9.95221		0
15^h	N		log cotg n	Diff.	8^h	16^h	N		log cotg n	Diff.	7^h	17^h	N		log cotg n	Diff.	6^h

N hat das Vorzeichen von cos t, cotg n das von sin t.

Tafel II (Zenithdistanzen).

δ	0h 0m	0h 30m	1h 0m	1h 30m	2h 0m	2h 30m	3h 0m	3h 30m	4h 0m	4h 30m	5h 0m	5h 30m	6h 0m	δ
−35°	83° 8′.8	83° 24′.9	84° 13′.2	85° 32′.1	87° 21′.5	89° 38′.0								−35°
−30	78 8.8	78 26.1	79 17.8	80 42.6	82 38.8	85 3.9	87° 55′.6							−30
−25	73 8.8	73 27.3	74 22.6	75 53.0	77 56.5	80 30.2	83 31.3	86° 56′.5						−25
−20	68 8.8	68 28.6	69 27.6	71 3.8	73 14.9	75 57.3	79 7.7	82 42.4	86° 37′.9					−20
−15	63 8.8	63 30.0	64 32.9	66 15.4	68 34.2	71 25.5	74 45.3	78 29.3	82 33.6	86° 54′.8				−15
−10	58 8.8	58 31.5	59 38.7	61 27.7	63 54.9	66 55.4	70 24.5	74 17.7	78 30.7	82 58.4	87° 40′.0			−10
− 5	53 8.8	53 33.1	54 44.9	56 41.3	59 17.3	62 27.3	66 6.2	70 8.4	74 29.5	79 4.8	83 51.1	88° 44′.9		− 5
0	48 8.8	48 35.0	49 52.4	51 56.5	54 42.1	58 2.3	61 50.9	66 2.1	70 30.7	75 12.4	80 3.3	85 0.3	90° 0′.0	0
+ 5	43 8.8	43 37.3	45 0.8	47 14.0	50 10.0	53 41.0	57 39.7	61 59.7	66 35.5	71 22.7	76 17.5	81 16.6	86 16.7	+ 5
10	38 8.8	38 39.9	40 10.6	42 34.3	45 42.1	49 24.6	53 33.7	58 2.3	62 44.9	67 37.0	72 34.6	77 34.7	82 34.1	10
15	33 8.8	33 43.1	35 22.9	37 58.8	41 19.8	45 14.6	49 34.2	54 11.3	58 56.5	63 56.0	68 55.5	73 55.5	78 53.1	15
20	28 8.8	28 47.4	30 38.5	33 29.2	37 5.1	41 13.2	45 43.4	50 28.4	55 22.3	60 21.0	65 21.1	70 19.9	75 14.5	20
25	23 8.8	23 53.3	25 59.2	29 8.1	33 1.2	37 23.3	42 3.8	46 55.7	51 53.5	56 53.6	61 52.8	66 48.8	71 39.1	25
30	18 8.8	19 2.0	21 28.5	25 0.3	29 12.6	33 48.7	38 38.7	43 35.9	48 35.8	53 35.4	58 32.0	63 23.7	68 8.1	30
35	13 8.8	14 16.5	17 13.3	21 13.2	25 46.0	30 35.2	35 32.4	40 32.4	45 31.9	50 28.7	55 20.6	60 5.7	64 42.5	35
40	8 8.8	9 45.4	13 28.2	18 0.6	22 52.4	27 50.9	32 50.3	37 49.4	42 44.9	47 35.7	52 20.0	56 56.5	61 23.7	40
45	3 8.8	6 2.2	10 45.6	15 43.4	20 43.6	25 42.6	30 39.0	35 31.3	40 18.4	44 59.3	49 32.9	53 58.0	58 13.1	45
50	1 51.2	5 15.0	9 58.1	14 47.9	19 36.4	24 22.7	29 5.3	33 43.5	38 16.6	42 3.6	47 2.0	51 12.2	55 12.5	50
55	6 51.2	8 16.8	11 31.9	15 28.8	19 40.9	23 58.4	28 16.0	32 31.8	36 43.6	40 50.1	44 49.9	48 41.6	52 24.1	55
60	11 51.2	12 37.6	14 41.5	17 35.0	20 56.1	24 32.0	28 20.0	31 59.4	35 43.4	39 24.0	42 59.8	46 28.9	49 49.8	60
65	16 51.2	17 19.5	18 39.6	20 40.7	23 10.8	26 0.2	29 1.2	32 8.6	35 17.9	38 27.9	41 34.8	44 36.9	47 32.5	65
70	21 51.2	22 9.2	23 1.3	24 23.4	26 9.6	28 14.5	30 32.2	32 58.7	35 30.5	38 4.6	40 37.2	43 8.2	45 34.8	70
75	26 51.2	27 2.5	27 35.4	28 28.6	29 39.3	31 4.7	32 41.5	34 27.1	36 18.7	38 13.5	40 9.6	42 5.9	43 59.4	75
80	31 51.2	31 57.7	32 16.8	32 48.0	33 30.1	34 22.0	35 22.1	36 28.9	37 36.9	38 56.0	40 13.1	41 31.2	42 49.1	80
85	36 51.2	36 54.1	37 2.5	37 16.5	37 35.5	37 59.3	38 27.1	38 58.5	39 33.0	40 9.4	40 47.6	41 26.7	42 6.0	85
90	41 51.2	41 51.2	41 51.2	41 51.2	41 51.2	41 51.2	41 51.2	41 51.2	41 51.2	41 51.2	41 51.2	41 51.2	41 51.2	90
	24h 0m	23h 30m	23h 0m	22h 30m	22h 0m	21h 30m	21h 0m	20h 30m	20h 0m	19h 30m	19h 0m	18h 30m	18h 0m	

Tafel II (Fortsetzung).

δ	$6^h 30^m$	$7^h 0^m$	$7^h 30^m$	$8^h 0^m$	$8^h 30^m$	$9^h 0^m$	$9^h 30^m$	$10^h 0^m$	$10^h 30^m$	$11^h 0^m$	$11^h 30^m$	$12^h 0^m$	δ
−35°													−35°
−30													−30
−25													−25
−20													−20
−15													−15
−10													−10
−5													−5
0													0
+5													+5
10	87° 30′.1												10
15	83 45.7	88° 30′.7											15
20	80 2.5	84 41.6	89° 9′.1										20
25	76 21.4	80 53.6	85 13.0	89° 17′.3									25
30	72 43.3	77 7.4	81 17.9	85 12.6	88° 49′.0								30
35	69 9.1	73 14.0	77 24.3	81 8.7	84 34.7	87° 39′.9							35
40	65 39.9	69 43.6	73 33.0	77 3.2	80 21.0	83 15.7	85° 47′.9	87° 55′.5	89° 37′.5				40
45	62 17.0	66 8.2	69 45.0	73 5.7	76 8.7	78 52.1	81 14.2	83 13.1	84 47.5	85° 55′.8	86° 37′.4	86° 51′.2	45
50	59 1.1	62 38.4	66 1.0	69 8.3	71 58.3	74 29.8	76 41.1	78 30.6	79 57.6	80 59.4	81 38.5	81 51.2	50
55	55 55.9	59 15.8	62 22.5	65 14.6	67 50.5	70 9.2	72 9.1	73 49.0	75 8.0	76 5.1	76 39.7	76 51.2	55
60	53 1.4	56 2.0	58 50.5	61 25.5	63 46.3	65 50.9	67 38.6	69 8.2	70 19.0	71 10.0	71 41.0	71 51.2	60
65	50 20.3	52 58.9	55 26.9	57 43.2	59 46.2	61 35.9	63 10.3	64 28.7	65 30.6	66 15.2	66 42.2	66 51.2	65
70	47 55.3	50 8.4	52 13.4	54 50.6	55 52.5	57 24.9	58 44.6	59 50.9	60 43.1	61 20.8	61 43.8	61 51.2	70
75	45 49.1	47 33.8	49 12.2	50 43.3	52 5.8	53 19.2	54 21.6	55 15.3	56 0.6	56 27.0	56 45.2	56 51.2	75
80	44 4.7	45 17.3	46 26.0	47 30.0	48 28.3	49 59.3	50 5.3	50 42.8	51 12.6	51 34.0	51 47.0	51 51.2	80
85	42 44.5	43 22.0	43 57.9	44 31.6	45 2.4	45 30.1	45 54.2	46 14.4	46 30.4	46 41.9	46 48.9	46 51.2	85
90	41 51.2	41 51.2	41 51.2	41 51.2	41 51.2	41 51.2	41 51.2	41 51.2	41 51.2	41 51.2	41 51.2	41 51.2	90
	$17^h 30^m$	$17^h 0^m$	$16^h 30^m$	$16^h 0^m$	$15^h 30^m$	$15^h 0^m$	$14^h 30^m$	$14^h 0^m$	$13^h 30^m$	$13^h 0^m$	$12^h 30^m$	$12^h 0^m$	

Tafel III

Winkel des Declinationskreises mit dem Verticale.

δ	$0^h\,0^m$	$0^h\,30^m$	$1^h\,0^m$	$1^h\,30^m$	$2^h\,0^m$	$2^h\,30^m$	$3^h\,0^m$	$3^h\,30^m$	$4^h\,0^m$	$4^h\,30^m$	$5^h\,0^m$	$5^h\,30^m$	$6^h\,0^m$	δ
−35°	0°	5° 1.9′	9° 59.7′	14° 31.0′	19° 30.6′	23° 58.0′								−35°
−30	0	5 6.0	10 7.3	14 59.7	19 39.4	24 3.6	28° 10.3′							−30
−25	0	5 12.7	10 19.8	15 15.9	19 56.8	24 19.2	28 20.9	32° 0.8′						−25
−20	0	5 22.3	10 37.6	15 39.7	20 23.4	24 45.1	28 42.8	32 15.3	35° 22.2′					−20
−15	0	5 35.1	11 1.6	16 11.9	21 0.1	25 22.4	29 16.5	32 41.9	35 38.6	38° 7.4′				−15
−10	0	5 51.7	11 32.7	16 53.8	21 48.3	26 12.1	30 3.2	33 21.6	36 8.0	38 23.8	40° 10.1′			−10
− 5	0	6 13.0	12 12.5	17 47.5	22 50.0	27 15.9	31 4.0	34 15.1	36 50.8	38 53.4	40 24.5	41° 25.7′		− 5
0	0	6 40.2	13 3.2	18 55.3	24 7.7	28 36.3	32 21.1	35 24.1	37 48.3	39 36.7	40 52.2	41 36.6	41° 51.2′	0
+ 5	0	7 15.1	14 8.0	20 21.2	25 45.0	30 16.4	33 56.8	36 50.3	39 1.5	40 34.7	41 33.5	42 0.6	41 57.8	+ 5
10	0	8 0.8	15 31.5	22 10.4	27 47.0	32 20.2	35 54.8	38 36.3	40 32.4	41 48.6	42 29.5	42 38.4	42 17.4	10
15	0	9 1.6	17 21.2	24 30.9	30 20.6	34 53.5	38 18.2	40 45.1	42 23.2	43 20.0	43 41.2	43 30.4	42 50.6	15
20	0	10 25.1	19 48.4	27 34.1	33 35.5	38 3.3	41 13.2	43 20.2	44 36.4	45 10.8	45 9.7	44 37.8	43 37.8	20
25	0	12 25.1	23 12.7	31 37.9	37 45.0	41 59.2	44 46.0	46 26.4	47 15.3	47 23.1	46 57.0	46 1.5	44 39.9	25
30	0	15 29.3	28 8.7	37 9.9	43 7.8	46 52.8	49 4.1	50 8.5	50 23.3	49 59.5	49 4.7	47 43.2	45 58.1	30
35	0	20 41.0	35 41.0	44 51.7	50 7.4	52 57.7	54 15.6	54 31.8	54 4.1	53 3.0	51 35.2	49 44.5	47 33.6	35
40	0	30 55.7	47 50.9	55 40.5	59 9.8	60 26.8	60 27.9	59 41.3	58 21.3	56 36.0	54 30.6	52 7.2	49 27.9	40
45	0	55 56.0	67 39.6	70 25.5	70 30.4	69 26.3	67 44.8	65 39.6	63 17.3	60 41.1	57 53.0	54 53.4	51 42.8	45
50	180	107 48.9	94 56.3	88 31.4	83 49.1	79 46.6	76 1.9	72 25.6	68 52.8	65 19.6	61 44.3	58 4.9	54 20.3	50
55	180	142 47.0	120 14.9	106 56.0	97 52.1	90 54.2	85 3.9	79 52.6	75 5.0	70 31.1	66 5.3	61 43.2	57 22.2	55
60	180	156 31.2	137 4.9	122 18.1	110 59.4	101 57.4	94 23.1	87 45.9	81 46.7	76 12.6	70 55.5	65 49.3	60 49.9	60
65	180	162 59.7	147 19.8	133 41.3	122 3.3	112 6.3	103 26.9	95 45.3	88 46.1	82 17.8	76 12.2	70 22.6	64 44.6	65
70	180	166 38.8	153 47.6	141 48.1	130 49.6	120 51.4	111 47.4	103 29.2	95 48.3	88 37.4	81 50.0	75 21.0	69 6.2	70
75	180	168 57.4	158 6.4	147 37.2	137 36.0	128 6.3	119 8.0	110 39.4	102 37.8	94 59.6	87 41.5	80 40.3	73 53.1	75
80	180	170 31.8	161 8.0	151 52.6	142 48.7	133 58.8	125 24.0	117 4.9	109 1.3	101 12.3	93 37.0	86 13.8	79 1.8	80
85	180	171 39.6	163 20.5	155 3.8	146 50.7	138 42.3	130 39.0	122 41.5	114 50.1	107 5.0	99 26.2	91 53.4	84 26.6	85
90	180	172 30.0	165 0.0	157 30.0	150 0.0	142 30.0	135 0.0	127 30.0	120 0.0	112 30.0	105 0.0	97 30.0	90 0.0	90
	$24^h\,0^m$	$23^h\,30^m$	$23^h\,0^m$	$22^h\,30^m$	$22^h\,0^m$	$21^h\,30^m$	$21^h\,0^m$	$20^h\,30^m$	$20^h\,0^m$	$19^h\,30^m$	$19^h\,0^m$	$18^h\,30^m$	$18^h\,0^m$	

Tafel III (Fortsetzung).

δ	6h 30m	7h 0m	7h 30m	8h 0m	8h 30m	9h 0m	9h 30m	10h 0m	10h 30m	11h 0m	11h 30m	12h 0m	δ
−35°													−35°
−30													−30
−25													−25
−20													−20
−15													−15
−10													−10
−5													−5
0													0
+5													+5
10	41° 27.9′												10
15	41 43.1	40° 8.7′											15
20	42 11.7	40 20.2	38° 3.7′										20
25	42 54.0	40 44.9	38 12.9	35° 18.1′									25
30	43 51.1	41 23.2	38 34.9	35 26.5	31° 58.2′								30
35	45 3.7	41 36.5	39 10.3	35 47.4	32 7.4	28° 10.6′							35
40	46 33.3	43 23.9	39 59.8	36 2.5	32 28.6	28 21.9	24° 2.1′	19° 30.1′	14° 47.7′				40
45	48 21.3	44 48.6	41 4.6	37 9.1	33 2.4	28 44.5	24 16.0	19 37.9	14 51.4	9° 58.2′	5° 0.3′	0°	45
50	50 29.9	46 31.5	42 25.7	38 11.9	33 49.6	29 19.0	24 40.3	19 54.2	15 1.8	10 4.2	5 3.0	0	50
55	52 59.8	48 34.6	44 5.3	39 31.1	34 51.6	30 6.4	25 15.6	20 19.6	15 19.1	10 14.9	5 8.1	0	55
60	55 54.2	50 59.8	46 5.0	41 8.7	36 9.9	31 8.1	26 3.2	20 55.1	15 44.1	10 30.8	5 15.8	0	60
65	59 14.5	53 49.4	48 27.4	43 6.9	37 46.9	32 26.2	27 4.6	21 41.8	16 17.7	10 52.5	5 26.5	0	65
70	63 2.0	57 5.4	51 15.2	44 58.4	39 45.2	34 3.2	28 22.2	22 41.7	17 1.3	11 21.0	5 40.5	0	70
75	67 17.2	60 50.5	54 31.1	48 17.4	42 8.1	36 2.2	29 58.8	23 57.3	17 57.0	11 57.6	5 58.6	0	75
80	71 59.3	65 5.0	58 17.7	51 36.4	45 0.0	38 27.6	31 58.5	25 32.0	19 7.4	12 44.2	6 21.9	0	80
85	77 5.2	69 48.8	62 37.1	55 29.5	48 25.5	41 24.7	34 26.6	27 30.7	20 36.5	13 43.6	6 51.6	0	85
90	82 30.0	75 0.0	67 30.0	60 0.0	52 30.0	45 0.0	37 30.0	30 0.0	22 30.0	15 0.0	7 30.0	0	90
	17h 30m	17h 0m	16h 30m	16h 0m	15h 30m	15h 0m	14h 30m	14h 0m	13h 30m	13h 0m	12h 30m	12h 0m	

Tafel IV.

Refractionseinfluss*) bei Fadenmikrometern, welche in Bezug auf den scheinbaren Parallel orientirt sind.

Für Rectascension.

h m	−35°	−34°	−33°	−32°	−31°	−30°	−29°	−28°	−27°	−26°	−25°	−24°	−23°	−22°	−21°	−20°	−19°	−18°	−17°	−16°	−15°	−14°	h m
0 0	0.0	0.0	0.0	0.0	0.0	0.0	0.0	0.0	0.0	0.0	0.0	0.0	0.0	0.0	0.0	0.0	0.0	0.0	0.0	0.0	0.0	0.0	0 0
10	0.6	0.5	0.4	0.3	0.3	0.2	0.2	0.2	0.1	0.1	0.1	0.1	0.1	0.1	0.1	0.1	0.1	0.0	0.0	0.0	0.0	0.0	10
20	1.4	1.1	0.8	0.7	0.6	0.5	0.4	0.4	0.3	0.3	0.2	0.2	0.2	0.2	0.1	0.1	0.1	0.1	0.1	0.1	0.0	0.0	20
30	2.1	1.7	1.3	1.1	0.9	0.7	0.6	0.5	0.5	0.4	0.4	0.3	0.3	0.3	0.2	0.2	0.2	0.2	0.1	0.1	0.1	0.1	30
40	2.9	2.3	1.8	1.5	1.2	1.0	0.9	0.7	0.6	0.6	0.5	0.4	0.4	0.3	0.3	0.3	0.3	0.2	0.2	0.2	0.2	0.2	40
50	3.9	3.0	2.4	1.9	1.6	1.3	1.1	1.0	0.8	0.7	0.6	0.6	0.5	0.4	0.4	0.3	0.3	0.3	0.3	0.2	0.2	0.2	50
1 0	5.1	3.9	3.1	2.5	2.0	1.7	1.4	1.2	1.0	0.9	0.8	0.7	0.6	0.5	0.5	0.4	0.4	0.4	0.3	0.3	0.3	0.3	1 0
10	6.5	5.0	3.9	3.1	2.5	2.1	1.7	1.5	1.3	1.1	1.0	0.9	0.8	0.7	0.6	0.5	0.5	0.4	0.4	0 4	0.3	0.3	10
20	8.3	6.4	4.9	3.9	3.1	2.6	2.1	1.8	1.5	1.3	1.2	1.0	0.9	0.8	0.7	0.6	0.6	0.5	0.5	0.4	0.4	0.4	20
30			6.1	4.8	3.8	3.2	2.6	2.2	1.9	1.6	1.4	1.2	1.1	0.9	0.8	0.8	0.7	0.6	0.5	0.5	0.5	0.4	30
40			7.8	6.0	4.8	3.9	3.1	2.7	2.3	1.9	1.7	1.5	1.3	1.1	1.0	0.9	0.8	0.7	0.7	0.6	0.5	0.5	40
50				7.8	6.1	4.7	3.8	3.2	2.7	2.3	2.0	1.7	1.5	1.3	1.2	1.0	0.9	0.9	0.8	0.7	0.6	0.6	50
2 0				9.8	7.7	6.0	4.8	4.0	3.3	2.8	2.4	2.0	1.8	1.6	1.4	1.2	1.1	1.0	0.9	0.8	0.7	0.7	2 0
10						7.7	6.2	5.0	4.1	3.4	2.9	2.5	2.1	1.9	1.6	1.4	1.3	1.1	1.0	0.9	0.8	0.8	10
20						9.9	7.8	6.2	5.1	4.2	3.5	3 0	2.6	2.2	1.9	1.7	1.5	1.3	1.2	1.1	1.0	0 9	20
30								8.0	6.4	5.3	4.3	3.6	3.1	2.7	2.3	2.0	1.8	1.6	1.4	1.3	1.1	1.0	30
40								10.3	8.3	6.7	5.5	4.5	3.8	3.3	2.8	2.4	2.1	1.9	1.7	1.5	1.3	1.2	40
50											7.2	5 8	4.7	4.0	3.4	2.9	2.5	2.3	2.0	1.8	1.6	1.4	50
3 0											9.3	7 6	6.2	5.1	4.3	3.7	3.1	2.8	2.4	2.1	1.9	1.7	3 0
10													8.3	6.8	5.6	4.7	3.9	3.3	3.0	2.6	2.3	2.0	10
20													11.1	8 9	7.3	6.0	5.0	4 3	3.7	3.2	2.8	2.5	20
30														12.3	10 0	8.0	6 6	5.5	4.7	4.1	3.5	3.0	30
40																11.1	9.0	7.4	6.1	5.3	4.5	3.8	40
50																		10.9	8.7	7.2	6.0	4.9	50
4 0																		15.0	11.9	9.7	7.9	6.5	4 0

*) Mittlere Refractionen im Sinne der Bessel'schen Tafeln.

Tafel IV.

Für Declination.

	−35°	−34°	−33°	−32°	−31°	−30°	−29°	−28°	27°	−26°	−25°	−24°	−23°	−22°	−21°	−20°	−19°	−18°	−17°	−16°	−15°	−14°	
h m																							h m
0 0	9.4	7.6	6.1	5.1	4.2	3.6	3.1	2.7	2.4	2.1	1.9	1.7	1.5	1.4	1.3	1.2	1.1	1.0	0.9	0.9	0.8	0.7	0 0
10	9.5	7.7	6.2	5.1	4.3	3.6	3.1	2.8	2.4	2.1	1.9	1.7	1.6	1.4	1.3	1.2	1.1	1.0	0.9	0.9	0.8	0.7	10
20	9.6	7.8	6.2	5.2	4.4	3.7	3.2	2.8	2.4	2.2	1.9	1.7	1.6	1.4	1.3	1.2	1.1	1.0	0.9	0.9	0.8	0.8	20
30	9.9	8.0	6.4	5.3	4.5	3.8	3.2	2.8	2.5	2.2	2.0	1.7	1.6	1.4	1.3	1.2	1.1	1.0	1.0	0.9	0.8	0.8	30
40	10.4	8.4	6.6	5.5	4.6	3.9	3.3	2.9	2.5	2.2	2.0	1.8	1.6	1.5	1.3	1.2	1.1	1.0	1.0	0.9	0.8	0.8	40
50	11.0	8.9	6.9	5.7	4.8	4.0	3.5	3.0	2.6	2.3	2.1	1.8	1.7	1.5	1.4	1.2	1.1	1.1	1.0	0.9	0.8	0.8	50
1 0	11.9	9.4	7.4	5.9	5.0	4.2	3.6	3.1	2.7	2.4	2.1	1.9	1.7	1.5	1.4	1.3	1.2	1.1	1.0	0.9	0.9	0.8	1 0
10	13.1	10.3	8.0	6.5	5.4	4.5	3.9	3.3	2.9	2.5	2.2	2.0	1.8	1.6	1.4	1.3	1.2	1.1	1.0	0.9	0.9	0.8	10
20	14.6	11.4	8.8	7.1	5.8	4.8	4.1	3.5	3.0	2.6	2.3	2.1	1.8	1.7	1.5	1.4	1.3	1.1	1.1	1.0	0.9	0.8	20
30			9.8	7.8	6.4	5.2	4.4	3.8	3.2	2.8	2.4	2.1	1.9	1.7	1.6	1.4	1.3	1.2	1.1	1.0	0.9	0.9	30
40			11.1	8.8	7.1	5.8	4.8	4.1	3.5	3.0	2.6	2.3	2.0	1.8	1.7	1.5	1.4	1.3	1.2	1.1	1.0	0.9	40
50				10.1	8.1	6.4	5.3	4.5	3.8	3.3	2.9	2.5	2.2	2.0	1.8	1.6	1.5	1.3	1.2	1.1	1.0	1.0	50
2 0				11.8	9.4	7.4	6.0	5.0	4.2	3.6	3.1	2.7	2.4	2.1	1.9	1.7	1.6	1.4	1.3	1.2	1.1	1.0	2 0
10						8.9	7.1	5.8	4.8	4.1	3.5	3.0	2.6	2.3	2.1	1.8	1.7	1.5	1.4	1.2	1.2	1.1	10
20						10.4	8.3	6.7	5.5	4.6	3.9	3.4	2.9	2.6	2.3	2.0	1.8	1.6	1.5	1.3	1.2	1.1	20
30								8.0	6.5	5.4	4.5	3.8	3.3	2.9	2.5	2.2	2.0	1.8	1.6	1.4	1.3	1.2	30
40								9.8	7.9	6.4	5.3	4.4	3.8	3.3	2.8	2.5	2.2	2.0	1.8	1.6	1.4	1.3	40
50											6.5	5.4	4.4	3.8	3.2	2.8	2.5	2.2	2.0	1.8	1.6	1.4	50
3 0											8.0	6.5	5.4	4.5	3.9	3.3	2.9	2.5	2.2	2.0	1.8	1.6	3 0
10													6.8	5.6	4.7	4.0	3.4	2.9	2.6	2.3	2.1	1.8	10
20													8.6	7.0	5.8	4.8	4.0	3.5	3.0	2.6	2.4	2.1	20
30														11.6	8.4	6.1	4.9	4.2	3.7	3.2	2.8	2.4	30
40																8.1	6.5	5.4	4.6	3.9	3.4	2.9	40
50																		7.4	6.1	5.1	4.3	3.6	50
4 0																		10.1	8.1	6.6	5.5	4.5	4 0

Tafel IV.

Für Rectascension.

h m	−13°	−12°	−11°	−10°	−9°	−8°	−7°	−6°	−5°	−4°	−3°	−2°	−1°	0°	+1°	+2°	+3°	+4°	+5°	+6°	+7°	h m
0 0	0.0	0.0	0.0	0.0	0.0	0.0	0.0	0.0	0.0	0.0	0.0	0.0	0.0	0.0	0.0	0.0	0.0	0.0	0.0	0.0	0.0	0 0
10	0.0	0.0	0.0	0.0	0.0	0.0	0.0	0.0	0.0	0.0	0.0	0.0	0.0	0.0	0.0	0.0	0.0	0.0	0.0	0.0	0.0	10
20	0.0	0.0	0.0	0.0	0.0	0.0	0.0	0.0	0.0	0.0	0.0	0.0	0.0	0.0	0.0	0.0	0.0	0.0	0.0	0.0	0.0	20
30	0.1	0.1	0.1	0.1	0.1	0.1	0.1	0.1	0.1	0.1	0.1	0.1	0.1	0.0	0.0	0.0	0.0	0.0	0.0	0.0	0.0	30
40	0.2	0.1	0.1	0.1	0.1	0.1	0.1	0.1	0.1	0.1	0.1	0.1	0.1	0.1	0.1	0.1	0.1	0.0	0.0	0.0	0.0	40
50	0.2	0.2	0.2	0.2	0.1	0.1	0.1	0.1	0.1	0.1	0.1	0.1	0.1	0.1	0.1	0.1	0.1	0.1	0.1	0.1	0.1	50
1 0	0.2	0.2	0.2	0.2	0.2	0.2	0.2	0.1	0.1	0.1	0.1	0.1	0.1	0.1	0.1	0.1	0.1	0.1	0.1	0.1	0.1	1 0
10	0.3	0.3	0.2	0.2	0.2	0.2	0.2	0.2	0.2	0.2	0.1	0.1	0.1	0.1	0.1	0.1	0.1	0.1	0.1	0.1	0.1	10
20	0.3	0.3	0.3	0.3	0.2	0.2	0.2	0.2	0.2	0.2	0.2	0.2	0.1	0.1	0.1	0.1	0.1	0.1	0.1	0.1	0.1	20
30	0.4	0.4	0.3	0.3	0.3	0.3	0.2	0.2	0.2	0.2	0.2	0.2	0.2	0.2	0.2	0.1	0.1	0.1	0.1	0.1	0.1	30
40	0.5	0.4	0.4	0.4	0.3	0.3	0.3	0.3	0.2	0.2	0.2	0.2	0.2	0.2	0.2	0.2	0.2	0.2	0.1	0.1	0.1	40
50	0.5	0.5	0.5	0.4	0.4	0.4	0.3	0.3	0.3	0.3	0.2	0.2	0.2	0.2	0.2	0.2	0.2	0.2	0.2	0.2	0.1	50
2 0	0.6	0.6	0.5	0.5	0.4	0.4	0.4	0.4	0.3	0.3	0.3	0.3	0.3	0.2	0.2	0.2	0.2	0.2	0.2	0.2	0.2	2 0
10	0.7	0.6	0.6	0.5	0.5	0.5	0.5	0.4	0.4	0.4	0.3	0.3	0.3	0.3	0.3	0.2	0.2	0.2	0.2	0.2	0.2	10
20	0.8	0.7	0.7	0.6	0.6	0.5	0.5	0.5	0.4	0.4	0.4	0.4	0.3	0.3	0.3	0.3	0.3	0.2	0.2	0.2	0.2	20
30	0.9	0.9	0.8	0.7	0.7	0.6	0.6	0.5	0.5	0.5	0.4	0.4	0.4	0.4	0.3	0.3	0.3	0.3	0.3	0.3	0.2	30
40	1.1	1.0	0.9	0.8	0.8	0.7	0.7	0.6	0.6	0.5	0.5	0.5	0.4	0.4	0.4	0.3	0.3	0.3	0.3	0.3	0.3	40
50	1.3	1.2	1.1	1.0	0.9	0.8	0.8	0.7	0.6	0.6	0.6	0.5	0.5	0.4	0.4	0.4	0.4	0.3	0.3	0.3	0.3	50
3 0	1.5	1.4	1.2	1.1	1.0	1.0	0.9	0.8	0.7	0.7	0.6	0.6	0.5	0.5	0.5	0.5	0.4	0.4	0.4	0.4	0.3	3 0
10	1.8	1.6	1.5	1.3	1.2	1.1	1.0	0.9	0.9	0.8	0.7	0.7	0.6	0.6	0.5	0.5	0.5	0.4	0.4	0.4	0.4	10
20	2.2	1.9	1.7	1.5	1.4	1.3	1.2	1.1	1.0	0.9	0.9	0.8	0.7	0.7	0.6	0.6	0.5	0.5	0.5	0.4	0.4	20
30	2.7	2.4	2.1	1.9	1.7	1.5	1.4	1.3	1.2	1.1	1.0	0.9	0.8	0.8	0.7	0.7	0.6	0.6	0.6	0.5	0.5	30
40	3.3	2.9	2.5	2.3	2.0	1.8	1.7	1.5	1.4	1.2	1.1	1.1	0.9	0.9	0.8	0.8	0.7	0.7	0.7	0.6	0.6	40
50	4.1	3.5	3.1	2.8	2.4	2.2	1.9	1.8	1.6	1.5	1.3	1.2	1.1	1.0	1.0	0.9	0.9	0.8	0.8	0.7	0.7	50
4 0	5.6	4.8	4.1	3.6	3.1	2.8	2.5	2.2	2.0	1.8	1.6	1.5	1.3	1.2	1.2	1.1	1.0	0.9	0.9	0.8	0.8	4 0
10	7.8	6.5	5.6	4.7	4.1	3.6	3.1	2.8	2.5	2.2	2.0	1.8	1.6	1.5	1.4	1.3	1.2	1.1	1.0	0.9	0.9	10
20	10.9	8.9	7.5	6.2	5.3	4.6	4.0	3.5	3.1	2.7	2.5	2.2	2.0	1.8	1.6	1.5	1.4	1.3	1.2	1.1	1.0	20
30		13.2	11.0	9.1	7.4	6.0	5.3	4.6	4.0	3.5	3.1	2.8	2.5	2.2	2.0	1.8	1.7	1.5	1.4	1.3	1.2	30
40				13.1	10.7	8.8	7.3	6.3	5.3	4.6	4.0	3.5	3.1	2.8	2.5	2.3	2.0	1.9	1.7	1.6	1.4	40
50									8.0	6.7	5.6	4.8	4.0	3.4	3.0	2.8	2.5	2.3	2.1	1.9	1.7	50
5 0									10.9	9.1	7.6	6.4	5.5	4.8	4.2	3.7	3.3	2.9	2.6	2.4	2.1	5 0
10														6.8	5.9	5.0	4.5	3.9	3.4	3.1	2.7	10
20														9.6	8.2	6.9	6.0	5.2	4.5	3.9	3.5	20
30																10.0	8.4	7.1	6.1	5.3	4.6	30
40																			8.8	7.4	6.4	40
50																					9.9	50
6 0																					14.2	6 0

Tafel IV.

Für Declination.

h m	−13°	−12°	−11°	−10°	−9°	−8°	−7°	−6°	−5°	−4°	−3°	−2°	−1°	0°	+1°	+2°	+3°	+4°	+5°	+6°	+7°	h m
0 0	0.7	0.7	0.6	0.6	0.6	0.5	0.5	0.5	0.5	0.4	0.4	0.4	0.4	0.4	0.3	0.3	0.3	0.3	0.3	0.3	0.3	0 0
10	0.7	0.7	0.6	0.6	0.6	0.5	0.5	0.5	0.5	0.4	0.4	0.4	0.4	0.4	0.3	0.3	0.3	0.3	0.3	0.3	0.3	10
20	0.7	0.7	0.6	0.6	0.6	0.5	0.5	0.5	0.5	0.5	0.4	0.4	0.4	0.4	0.3	0.3	0.3	0.3	0.3	0.3	0.3	20
30	0.7	0.7	0.6	0.6	0.6	0.5	0.5	0.5	0.5	0.5	0.4	0.4	0.4	0.4	0.3	0.3	0.3	0.3	0.3	0.3	0.3	30
40	0.7	0.7	0.6	0.6	0.6	0.5	0.5	0.5	0.5	0.5	0.4	0.4	0.4	0.4	0.4	0.3	0.3	0.3	0.3	0.3	0.3	40
50	0.7	0.7	0.7	0.6	0.6	0.5	0.5	0.5	0.5	0.5	0.4	0.4	0.4	0.4	0.4	0.3	0.3	0.3	0.3	0.3	0.3	50
1 0	0.8	0.7	0.7	0.6	0.6	0.6	0.5	0.5	0.5	0.5	0.4	0.4	0.4	0.4	0.4	0.3	0.3	0.3	0.3	0.3	0.3	1 0
10	0.8	0.7	0.7	0.6	0.6	0.6	0.5	0.5	0.5	0.5	0.5	0.4	0.4	0.4	0.4	0.4	0.3	0.3	0.3	0.3	0.3	10
20	0.8	0.7	0.7	0.7	0.6	0.6	0.6	0.5	0.5	0.5	0.5	0.4	0.4	0.4	0.4	0.4	0.3	0.3	0.3	0.3	0.3	20
30	0.8	0.8	0.7	0.7	0.6	0.6	0.6	0.5	0.5	0.5	0.5	0.4	0.4	0.4	0.4	0.4	0.4	0.3	0.3	0.3	0.3	30
40	0.9	0.8	0.7	0.7	0.7	0.6	0.6	0.6	0.5	0.5	0.5	0.5	0.4	0.4	0.4	0.4	0.4	0.4	0.3	0.3	0.3	40
50	0.9	0.8	0.8	0.7	0.7	0.6	0.6	0.6	0.5	0.5	0.5	0.5	0.5	0.4	0.4	0.4	0.4	0.4	0.3	0.3	0.3	50
2 0	0.9	0.9	0.8	0.8	0.7	0.7	0.6	0.6	0.6	0.5	0.5	0.5	0.5	0.4	0.4	0.4	0.4	0.4	0.4	0.3	0.3	2 0
10	1.0	0.9	0.9	0.8	0.7	0.7	0.7	0.6	0.6	0.5	0.5	0.5	0.5	0.4	0.4	0.4	0.4	0.4	0.4	0.4	0.3	10
20	1.0	1.0	0.9	0.8	0.8	0.7	0.7	0.6	0.6	0.6	0.5	0.5	0.5	0.5	0.4	0.4	0.4	0.4	0.4	0.4	0.3	20
30	1.1	1.0	1.0	0.9	0.8	0.8	0.7	0.7	0.6	0.6	0.6	0.5	0.5	0.5	0.5	0.4	0.4	0.4	0.4	0.4	0.4	30
40	1.2	1.1	1.0	1.0	0.9	0.8	0.8	0.7	0.7	0.6	0.6	0.6	0.5	0.5	0.5	0.5	0.5	0.4	0.4	0.4	0.4	40
50	1.3	1.2	1.1	1.0	0.9	0.9	0.8	0.8	0.7	0.7	0.6	0.6	0.6	0.5	0.5	0.5	0.5	0.4	0.4	0.4	0.4	50
3 0	1.5	1.3	1.2	1.1	1.0	1.0	0.9	0.8	0.8	0.7	0.7	0.7	0.6	0.6	0.5	0.5	0.5	0.5	0.4	0.4	0.4	3 0
10	1.7	1.5	1.3	1.2	1.1	1.1	1.0	0.9	0.8	0.8	0.7	0.7	0.7	0.6	0.6	0.6	0.5	0.5	0.5	0.4	0.4	10
20	1.9	1.7	1.5	1.4	1.2	1.2	1.1	1.0	0.9	0.9	0.8	0.8	0.7	0.7	0.6	0.6	0.6	0.5	0.5	0.5	0.4	20
30	2.2	1.9	1.7	1.6	1.4	1.3	1.2	1.1	1.0	0.9	0.9	0.8	0.8	0.7	0.7	0.6	0.6	0.6	0.5	0.5	0.5	30
40	2.6	2.3	2.0	1.8	1.6	1.5	1.3	1.2	1.1	1.0	1.0	0.9	0.8	0.8	0.7	0.7	0.7	0.6	0.6	0.5	0.5	40
50	3.0	2.7	2.4	2.1	1.9	1.7	1.5	1.4	1.3	1.2	1.1	1.0	0.9	0.9	0.8	0.8	0.7	0.7	0.6	0.6	0.6	50
4 0	3.9	3.4	2.9	2.6	2.3	2.0	1.8	1.6	1.5	1.4	1.2	1.1	1.0	1.0	0.9	0.9	0.8	0.7	0.7	0.7	0.6	4 0
10	5.2	4.4	3.8	3.2	2.8	2.5	2.2	2.0	1.8	1.6	1.4	1.3	1.2	1.1	1.0	1.0	0.9	0.8	0.8	0.7	0.7	10
20	7.0	5.8	4.9	4.1	3.5	3.1	2.7	2.4	2.1	1.9	1.7	1.5	1.4	1.3	1.2	1.1	1.0	0.9	0.9	0.8	0.8	20
30		8.3	6.8	5.6	4.6	3.7	3.4	3.0	2.6	2.4	2.1	1.8	1.6	1.5	1.4	1.2	1.1	1.0	1.0	0.9	0.9	30
40				8.1	6.6	5.5	4.6	3.9	3.4	2.9	2.6	2.3	2.0	1.8	1.6	1.5	1.3	1.2	1.1	1.1	1.0	40
50									4.7	4.0	3.4	3.0	2.6	2.2	1.9	1.8	1.6	1.5	1.4	1.3	1.2	50
5 0									6.5	5.5	4.6	3.9	3.4	2.9	2.5	2.3	2.0	1.8	1.6	1.5	1.4	5 0
10														4.0	3.4	3.0	2.7	2.3	2.0	1.8	1.7	10
20														5.6	4.7	4.0	3.5	3.0	2.6	2.3	2.1	20
30														8.6	7.0	5.7	4.8	4.1	3.5	3.0	2.7	30
40																			5.0	4.2	3.6	40
50																					5.5	50
6 0																					7.9	6 0

Tafel IV.

Für Rectascension.

h m	+8°	9°	10°	11°	12°	13°	14°	15°	16°	17°	18°	19°	20°	21°	22°	23°	24°	25°	26°	27°	+28°	h m
0 0	0.0	0.0	0.0	0.0	0.0	0.0	0.0	0.0	0.0	0.0	0.0	0.0	0.0	0.0	0.0	0.0	0.0	0.0	0.0	0.0	0.0	0 0
20	0.0	0.0	0.0	0.0	0.0	0.0	0.0	0.0	0.0	0.0	0.0	0.0	0.0	0.0	0.0	0.0	0.0	0.0	0.0	0.0	0.0	20
40	0.1	0.0	0.0	0.0	0.0	0.0	0.0	0.0	0.0	0.0	0.0	0.0	0.0	0.0	0.0	0.0	0.0	0.0	0.0	0.0	0.0	40
1 0	0.1	0.1	0.1	0.1	0.1	0.0	0.0	0.0	0.0	0.0	0.0	0.0	0.0	0.0	0.0	0.0	0.0	0.0	0.0	0.0	0.0	1 0
10	0.1	0.1	0.1	0.1	0.1	0.1	0.1	0.1	0.1	0.0	0.0	0.0	0.0	0.0	0.0	0.0	0.0	0.0	0.0	0.0	0.0	10
20	0.1	0.1	0.1	0.1	0.1	0.1	0.1	0.1	0.1	0.1	0.0	0.0	0.0	0.0	0.0	0.0	0.0	0.0	0.0	0.0	0.0	20
30	0.1	0.1	0.1	0.1	0.1	0.1	0.1	0.1	0.1	0.1	0.1	0.1	0.1	0.1	0.1	0.0	0.0	0.0	0.0	0.0	0.0	30
40	0.1	0.1	0.1	0.1	0.1	0.1	0.1	0.1	0.1	0.1	0.1	0.1	0.1	0.1	0.1	0.1	0.1	0.0	0.0	0.0	0.0	40
50	0.1	0.1	0.1	0.1	0.1	0.1	0.1	0.1	0.1	0.1	0.1	0.1	0.1	0.1	0.1	0.1	0.1	0.1	0.1	0.1	0.1	50
2 0	0.2	0.1	0.1	0.1	0.1	0.1	0.1	0.1	0.1	0.1	0.1	0.1	0.1	0.1	0.1	0.1	0.1	0.1	0.1	0.1	0.1	2 0
10	0.2	0.2	0.2	0.2	0.1	0.1	0.1	0.1	0.1	0.1	0.1	0.1	0.1	0.1	0.1	0.1	0.1	0.1	0.1	0.1	0.1	10
20	0.2	0.2	0.2	0.2	0.2	0.2	0.1	0.1	0.1	0.1	0.1	0.1	0.1	0.1	0.1	0.1	0.1	0.1	0.1	0.1	0.1	20
30	0.2	0.2	0.2	0.2	0.2	0.2	0.2	0.2	0.2	0.2	0.1	0.1	0.1	0.1	0.1	0.1	0.1	0.1	0.1	0.1	0.1	30
40	0.3	0.3	0.2	0.2	0.2	0.2	0.2	0.2	0.2	0.2	0.2	0.1	0.1	0.1	0.1	0.1	0.1	0.1	0.1	0.1	0.1	40
50	0.3	0.3	0.3	0.2	0.2	0.2	0.2	0.2	0.2	0.2	0.2	0.2	0.2	0.2	0.1	0.1	0.1	0.1	0.1	0.1	0.1	50
3 0	0.3	0.3	0.3	0.3	0.3	0.2	0.2	0.2	0.2	0.2	0.2	0.2	0.2	0.2	0.2	0.2	0.2	0.1	0.1	0.1	0.1	3 0
10	0.4	0.3	0.3	0.3	0.3	0.3	0.3	0.3	0.2	0.2	0.2	0.2	0.2	0.2	0.2	0.2	0.2	0.2	0.2	0.1	0.1	10
20	0.4	0.4	0.4	0.4	0.3	0.3	0.3	0.3	0.3	0.3	0.2	0.2	0.2	0.2	0.2	0.2	0.2	0.2	0.2	0.2	0.2	20
30	0.5	0.4	0.4	0.4	0.4	0.4	0.3	0.3	0.3	0.3	0.3	0.3	0.3	0.2	0.2	0.2	0.2	0.2	0.2	0.2	0.2	30
40	0.5	0.5	0.5	0.4	0.4	0.4	0.4	0.4	0.3	0.3	0.3	0.3	0.3	0.3	0.3	0.3	0.2	0.2	0.2	0.2	0.2	40
50	0.6	0.6	0.5	0.5	0.5	0.4	0.4	0.4	0.4	0.4	0.4	0.3	0.3	0.3	0.3	0.3	0.3	0.3	0.3	0.2	0.2	50
4 0	0.7	0.7	0.6	0.6	0.5	0.5	0.5	0.5	0.4	0.4	0.4	0.4	0.4	0.3	0.3	0.3	0.3	0.3	0.3	0.3	0.3	4 0
10	0.8	0.8	0.7	0.7	0.6	0.6	0.6	0.5	0.5	0.5	0.5	0.4	0.4	0.4	0.4	0.4	0.3	0.3	0.3	0.3	0.3	10
20	1.0	0.9	0.8	0.8	0.7	0.7	0.6	0.6	0.6	0.6	0.5	0.5	0.5	0.5	0.4	0.4	0.4	0.4	0.4	0.3	0.3	20
30	1.1	1.0	0.9	0.9	0.8	0.8	0.7	0.7	0.7	0.6	0.6	0.6	0.5	0.5	0.5	0.5	0.4	0.4	0.4	0.4	0.4	30
40	1.3	1.2	1.1	1.1	1.0	0.9	0.8	0.8	0.8	0.7	0.7	0.6	0.6	0.6	0.6	0.5	0.5	0.5	0.5	0.4	0.4	40
50	1.6	1.4	1.3	1.2	1.2	1.1	1.0	0.9	0.9	0.9	0.8	0.7	0.7	0.7	0.6	0.6	0.6	0.5	0.5	0.5	0.5	50
5 0	1.9	1.8	1.6	1.5	1.4	1.3	1.2	1.1	1.1	1.0	0.9	0.9	0.8	0.8	0.7	0.7	0.7	0.6	0.6	0.6	0.6	5 0
10	2.5	2.3	2.0	1.9	1.7	1.6	1.5	1.4	1.3	1.2	1.1	1.0	1.0	0.9	0.8	0.8	0.8	0.7	0.7	0.7	0.6	10
20	3.1	2.8	2.5	2.3	2.1	1.9	1.8	1.6	1.5	1.4	1.3	1.2	1.2	1.1	1.0	0.9	0.9	0.8	0.8	0.8	0.7	20
30	4.1	3.6	3.2	2.9	2.6	2.4	2.2	2.0	1.8	1.7	1.6	1.4	1.4	1.3	1.2	1.1	1.0	1.0	0.9	0.9	0.8	30
40	5.5	4.8	4.2	3.7	3.4	3.0	2.7	2.5	2.2	2.1	1.9	1.7	1.6	1.5	1.4	1.3	1.2	1.2	1.1	1.0	0.9	40
50	8.2	7.0	5.9	4.9	4.2	3.8	3.4	3.0	2.7	2.5	2.3	2.1	1.9	1.8	1.7	1.6	1.4	1.4	1.3	1.2	1.1	50
6 0	11.6	9.7	8.2	6.9	6.0	5.2	4.6	4.1	3.6	3.2	2.9	2.7	2.4	2.2	2.0	1.9	1.7	1.6	1.5	1.4	1.3	6 0
10					9.0	7.6	6.6	5.6	4.9	4.3	3.7	3.4	3.1	2.8	2.5	2.3	2.1	1.9	1.8	1.7	1.6	10
20					12.8	10.6	8.9	7.6	6.5	5.6	4.6	4.3	3.9	3.4	3.0	2.8	2.5	2.3	2.1	2.0	1.9	20
30								11.1	9.3	7.8	6.7	5.8	5.1	4.5	4.1	3.7	3.3	2.9	2.7	2.4	2.3	30
40										11.4	9.5	8.1	6.9	6.0	5.2	4.6	4.1	3.7	3.3	3.0	2.7	40
50													10.3	8.7	7.3	6.2	5.3	4.6	4.0	3.7	3.3	50
7 0													14.5	12.0	9.9	8.4	7.2	6.2	5.4	4.8	4.2	7 0
10																		8.6	7.3	6.3	5.5	10
20																		11.7	9.8	8.3	7.1	20
30																				11.4	9.5	30
40																				16.4	13.2	40

Tafel IV.

Für Declination.

h m	+8°	9°	10°	11°	12°	13°	14°	15°	16°	17°	18°	19°	20°	21°	22°	23°	24°	25°	26°	27°	+28°	h m
0 0	0.3	0.3	0.3	0.3	0.2	0.2	0.2	0.2	0.2	0.2	0.2	0.2	0.2	0.2	0.2	0.2	0.2	0.2	0.2	0.2	0.2	0 0
20	0.3	0.3	0.3	0.3	0.2	0.2	0.2	0.2	0.2	0.2	0.2	0.2	0.2	0.2	0.2	0.2	0.2	0.2	0.2	0.2	0.2	20
40	0.3	0.3	0.3	0.3	0.3	0.2	0.2	0.2	0.2	0.2	0.2	0.2	0.2	0.2	0.2	0.2	0.2	0.2	0.2	0.2	0.2	40
1 0	0.3	0.3	0.3	0.3	0.3	0.3	0.2	0.2	0.2	0.2	0.2	0.2	0.2	0.2	0.2	0.2	0.2	0.2	0.2	0.2	0.2	1 0
20	0.3	0.3	0.3	0.3	0.3	0.3	0.3	0.3	0.3	0.2	0.2	0.2	0.2	0.2	0.2	0.2	0.2	0.2	0.2	0.2	0.2	20
40	0.3	0.3	0.3	0.3	0.3	0.3	0.3	0.3	0.3	0.3	0.2	0.2	0.2	0.2	0.2	0.2	0.2	0.2	0.2	0.2	0.2	40
2 0	0.3	0.3	0.3	0.3	0.3	0.3	0.3	0.3	0.3	0.3	0.3	0.2	0.2	0.2	0.2	0.2	0.2	0.2	0.2	0.2	0.2	2 0
20	0.3	0.3	0.3	0.3	0.3	0.3	0.3	0.3	0.3	0.3	0.3	0.3	0.2	0.2	0.2	0.2	0.2	0.2	0.2	0.2	0.2	20
40	0.4	0.3	0.3	0.3	0.3	0.3	0.3	0.3	0.3	0.3	0.3	0.3	0.2	0.2	0.2	0.2	0.2	0.2	0.2	0.2	0.2	40
3 0	0.4	0.4	0.4	0.3	0.3	0.3	0.3	0.3	0.3	0.3	0.3	0.3	0.3	0.3	0.3	0.2	0.2	0.2	0.2	0.2	0.2	3 0
20	0.4	0.4	0.4	0.4	0.4	0.3	0.3	0.3	0.3	0.3	0.3	0.3	0.3	0.3	0.3	0.3	0.2	0.2	0.2	0.2	0.2	20
40	0.5	0.5	0.5	0.4	0.4	0.4	0.4	0.4	0.4	0.3	0.3	0.3	0.3	0.3	0.3	0.3	0.3	0.3	0.3	0.2	0.2	40
4 0	0.6	0.5	0.5	0.5	0.5	0.5	0.4	0.4	0.4	0.4	0.4	0.3	0.3	0.3	0.3	0.3	0.3	0.3	0.3	0.3	0.3	4 0
10	0.6	0.6	0.6	0.5	0.5	0.5	0.5	0.4	0.4	0.4	0.4	0.4	0.4	0.3	0.3	0.3	0.3	0.3	0.3	0.3	0.3	10
20	0.7	0.7	0.6	0.6	0.6	0.5	0.5	0.5	0.5	0.4	0.4	0.4	0.4	0.4	0.3	0.3	0.3	0.3	0.3	0.3	0.3	20
30	0.8	0.7	0.7	0.7	0.6	0.6	0.6	0.5	0.5	0.5	0.5	0.4	0.4	0.4	0.4	0.4	0.3	0.3	0.3	0.3	0.3	30
40	0.9	0.8	0.8	0.7	0.7	0.7	0.6	0.6	0.5	0.5	0.5	0.5	0.5	0.4	0.4	0.4	0.4	0.4	0.3	0.3	0.3	40
50	1.0	0.9	0.9	0.8	0.8	0.8	0.7	0.6	0.6	0.6	0.5	0.5	0.5	0.5	0.4	0.4	0.4	0.4	0.4	0.3	0.3	50
5 0	1.2	1.1	1.0	1.0	0.9	0.9	0.8	0.7	0.7	0.6	0.6	0.6	0.5	0.5	0.5	0.5	0.4	0.4	0.4	0.4	0.4	5 0
10	1.5	1.4	1.2	1.2	1.1	1.0	0.9	0.8	0.8	0.7	0.7	0.7	0.6	0.6	0.5	0.5	0.5	0.5	0.5	0.4	0.4	10
20	1.8	1.7	1.5	1.4	1.3	1.2	1.1	1.0	0.9	0.8	0.8	0.7	0.7	0.7	0.6	0.6	0.6	0.5	0.5	0.5	0.4	20
30	2.4	2.1	1.9	1.7	1.5	1.4	1.3	1.2	1.1	1.0	0.9	0.8	0.8	0.8	0.7	0.7	0.6	0.6	0.6	0.5	0.5	30
40	3.1	2.7	2.4	2.1	1.9	1.7	1.6	1.4	1.3	1.2	1.1	1.0	0.9	0.9	0.8	0.8	0.7	0.7	0.6	0.6	0.6	40
50	4.6	3.9	3.3	2.8	2.3	2.1	1.9	1.7	1.6	1.4	1.3	1.2	1.1	1.0	0.9	0.9	0.8	0.8	0.7	0.7	0.6	50
6 0	6.5	5.4	4.6	3.9	3.3	2.9	2.6	2.3	2.0	1.8	1.6	1.5	1.3	1.2	1.1	1.0	1.0	0.9	0.8	0.8	0.7	6 0
10					5.0	4.2	3.6	3.1	2.7	2.4	2.1	1.9	1.7	1.5	1.4	1.3	1.2	1.1	1.0	0.9	0.8	10
20					7.1	5.9	4.9	4.2	3.6	3.1	2.7	2.4	2.1	1.9	1.7	1.6	1.4	1.3	1.2	1.1	1.0	20
30								6.1	5.1	4.3	3.7	3.2	2.8	2.5	2.2	1.9	1.7	1.5	1.4	1.3	1.2	30
40										6.3	5.3	4.5	3.8	3.3	2.9	2.5	2.2	2.0	1.8	1.6	1.5	40
50													5.7	4.8	4.0	3.4	2.9	2.5	2.2	2.0	1.8	50
7 0													8.1	6.7	5.5	4.6	4.0	3.4	2.9	2.6	2.3	7 0
10																		4.8	4.1	3.5	3.0	10
20																		6.7	5.6	4.6	4.0	20
30																				6.5	5.4	30
40																				9.7	7.8	40

Tafel IV.

Für Rectascension.

h m	+29°	30°	31°	32°	33°	34°	35°	36°	37°	38°	39°	40°	41°	42°	43°	44°	45°	46°	47°	48°	+49°	h m
0 0	0.0	0.0	0.0	0.0	0.0	0.0	0.0	0.0	0.0	0.0	0.0	0.0	0.0	0.0	0.0	0.0	0.0	0.0	0.0	0.0	0.0	0 0
1 0	0.0	0.0	0.0	0.0	0.0	0.0	0.0	0.0	0.0	0.0	0.0	0.0	0.0	0.0	0.0	0.0	0.0	0.0	0.0	0.0	0.0	1 0
2 0	0.1	0.1	0.1	0.1	0.1	0.0	0.0	0.0	0.0	0.0	0.0	0.0	0.0	0.0	0.0	0.0	0.0	0.0	0.0	0.0	0.0	2 0
30	0.1	0.1	0.1	0.1	0.1	0.1	0.1	0.1	0.1	0.1	0.0	0.0	0.0	0.0	0.0	0.0	0.0	0.0	0.0	0.0	0.0	30
3 0	0.1	0.1	0.1	0.1	0.1	0.1	0.1	0.1	0.1	0.1	0.1	0.1	0.1	0.1	0.1	0.1	0.1	0.1	0.0	0.0	0.0	3 0
20	0.1	0.1	0.1	0.1	0.1	0.1	0.1	0.1	0.1	0.1	0.1	0.1	0.1	0.1	0.1	0.1	0.1	0.1	0.1	0.1	0.1	20
40	0.2	0.2	0.2	0.2	0.2	0.2	0.2	0.2	0.1	0.1	0.1	0.1	0.1	0.1	0.1	0.1	0.1	0.1	0.1	0.1	0.1	40
4 0	0.2	0.2	0.2	0.2	0.2	0.2	0.2	0.2	0.2	0.2	0.2	0.2	0.2	0.2	0.1	0.1	0.1	0.1	0.1	0.1	0.1	4 0
20	0.3	0.3	0.3	0.3	0.3	0.3	0.3	0.2	0.2	0.2	0.2	0.2	0.2	0.2	0.2	0.2	0.1	0.1	0.1	0.1	0.1	20
40	0.4	0.4	0.4	0.4	0.3	0.3	0.3	0.3	0.3	0.3	0.3	0.3	0.2	0.2	0.2	0.2	0.2	0.2	0.2	0.2	0.2	40
5 0	0.5	0.5	0.5	0.4	0.4	0.4	0.4	0.4	0.4	0.4	0.3	0.3	0.3	0.3	0.3	0.3	0.3	0.3	0.3	0.3	0.3	5 0
20	0.7	0.7	0.6	0.6	0.6	0.5	0.5	0.5	0.5	0.5	0.4	0.4	0.4	0.4	0.4	0.4	0.4	0.4	0.3	0.3	0.3	20
40	0.9	0.9	0.8	0.8	0.7	0.7	0.7	0.6	0.6	0.6	0.6	0.5	0.5	0.5	0.5	0.5	0.5	0.4	0.4	0.4	0.4	40
6 0	1.2	1.2	1.1	1.0	0.9	0.9	0.9	0.8	0.8	0.8	0.7	0.7	0.7	0.6	0.6	0.6	0.6	0.6	0.5	0.5	0.5	6 0
10	1.5	1.4	1.3	1.2	1.1	1.1	1.0	1.0	1.0	0.9	0.9	0.8	0.8	0.7	0.7	0.7	0.7	0.6	0.6	0.6	0.6	10
20	1.7	1.6	1.5	1.4	1.3	1.3	1.2	1.1	1.1	1.0	1.0	0.9	0.9	0.8	0.8	0.8	0.7	0.7	0.7	0.7	0.6	20
30	2.0	1.9	1.8	1.7	1.6	1.5	1.4	1.3	1.2	1.2	1.1	1.0	1.0	0.9	0.9	0.9	0.8	0.8	0.8	0.7	0.7	30
40	2.5	2.3	2.1	2.0	1.8	1.7	1.6	1.5	1.4	1.4	1.3	1.2	1.1	1.0	1.0	1.0	0.9	0.9	0.9	0.8	0.8	40
50	3.0	2.7	2.5	2.3	2.1	2.0	1.9	1.7	1.6	1.6	1.4	1.4	1.3	1.2	1.1	1.1	1.0	1.0	1.0	0.9	0.9	50
7 0	3.8	3.4	3.1	2.8	2.6	2.4	2.2	2.0	1.9	1.8	1.6	1.5	1.5	1.4	1.3	1.2	1.1	1.1	1.1	1.0	1.0	7 0
10	4.8	4.3	3.8	3.4	3.1	2.9	2.6	2.4	2.2	2.0	1.9	1.8	1.7	1.6	1.5	1.4	1.3	1.3	1.2	1.2	1.1	10
20	6.1	5.4	4.7	4.2	3.8	3.4	3.1	2.8	2.5	2.4	2.2	2.0	1.9	1.8	1.7	1.6	1.5	1.4	1.3	1.3	1.2	20
30	8.1	6.9	6.0	5.3	4.6	4.1	3.6	3.3	3.0	2.8	2.6	2.3	2.2	2.0	1.9	1.8	1.7	1.6	1.5	1.4	1.3	30
40	11.0	9.1	7.7	6.6	5.8	5.1	4.5	4.0	3.6	3.3	3.0	2.7	2.5	2.3	2.1	2.0	1.9	1.8	1.7	1.6	1.5	40
50				8.8	7.2	6.2	5.5	4.8	4.3	3.9	3.5	3.2	2.9	2.6	2.4	2.3	2.1	2.0	1.8	1.7	1.6	50
8 0				11.5	9.5	8.1	6.9	5.9	5.2	4.6	4.2	3.7	3.4	3.0	2.8	2.6	2.4	2.2	2.0	1.9	1.8	8 0
10					13.0	10.7	8.9	7.4	6.4	5.6	4.9	4.3	3.9	3.5	3.2	2.9	2.7	2.4	2.3	2.1	2.0	10
20					17.3	14.0	11.2	9.2	7.9	6.7	5.8	5.1	4.5	4.0	3.6	3.3	3.0	2.7	2.5	2.3	2.2	20
30									9.8	8.2	7.0	6.0	5.3	4.6	4.1	3.7	3.3	3.0	2.8	2.5	2.3	30
40									12.3	10.2	8.5	7.2	6.1	5.4	4.7	4.2	3.7	3.4	3.1	2.8	2.6	40
50										12.8	10.5	8.6	7.2	6.2	5.4	4.7	4.2	3.8	3.4	3.0	2.8	50
9 0										16.1	13.0	10.4	8.5	7.2	6.2	5.4	4.7	4.1	3.7	3.3	3.0	9 0
10														8.4	7.1	6.1	5.2	4.5	4.0	3.6	3.2	10
20														9.8	8.1	6.8	5.8	5.0	4.4	3.9	3.5	20
30														11.4	9.2	7.7	6.4	5.4	4.8	4.2	3.7	30
40															10.5	8.6	7.1	5.9	5.1	4.4	3.9	40
50															11.9	9.6	7.7	6.3	5.4	4.7	4.1	50
10 0															13.4	10.6	8.4	6.8	5.8	4.9	4.2	10 0
10																	8.9	7.3	6.0	5.1	4.3	10
20																	9.5	7.7	6.2	5.2	4.4	20
30																	10.0	7.9	6.3	5.2	4.3	30
40																			6.2	5.1	4.2	40
50																			6.0	4.8	4.1	50
11 0																			5.7	4.5	3.9	11 0
10																			5.0	4.0	3.2	10
20																			4.4	3.4	2.6	20
30																			3.5	2.7	2.0	30
40																			2.4	1.9	1.4	40
50																			1.2	1.0	0.8	50
12 0																			0.0	0.0	0.0	12 0

Tafel IV.

Für Declination.

h m	+29°	30°	31°	32°	33°	34°	35°	36°	37°	38°	39°	40°	41°	42°	43°	44°	45°	46°	47°	48°	+49°	h m
0 0	0.2	0.2	0.2	0.2	0.2	0.2	0.2	0.2	0.2	0.2	0.2	0.2	0.2	0.2	0.2	0.2	0.2	0.2	0.2	0.2	0.2	0 0
1 0	0.2	0.2	0.2	0.2	0.2	0.2	0.2	0.2	0.2	0.2	0.2	0.2	0.2	0.2	0.2	0.2	0.2	0.2	0.2	0.2	0.2	1 0
2 0	0.2	0.2	0.2	0.2	0.2	0.2	0.2	0.2	0.2	0.2	0.2	0.2	0.2	0.2	0.2	0.2	0.2	0.2	0.2	0.2	0.2	2 0
3 0	0.2	0.2	0.2	0.2	0.2	0.2	0.2	0.2	0.2	0.2	0.2	0.2	0.2	0.2	0.2	0.2	0.2	0.2	0.2	0.2	0.2	3 0
4 0	0.3	0.3	0.2	0.2	0.2	0.2	0.2	0.2	0.2	0.2	0.2	0.2	0.2	0.2	0.2	0.2	0.2	0.2	0.2	0.2	0.2	4 0
30	0.3	0.3	0.3	0.3	0.3	0.3	0.2	0.2	0.2	0.2	0.2	0.2	0.2	0.2	0.2	0.2	0.2	0.2	0.2	0.2	0.2	30
5 0	0.4	0.4	0.3	0.3	0.3	0.3	0.3	0.3	0.3	0.3	0.3	0.3	0.2	0.2	0.2	0.2	0.2	0.2	0.2	0.2	0.2	5 0
20	0.4	0.4	0.4	0.4	0.4	0.3	0.3	0.3	0.3	0.3	0.3	0.3	0.3	0.3	0.3	0.2	0.2	0.2	0.2	0.2	0.2	20
40	0.5	0.5	0.5	0.5	0.4	0.4	0.4	0.4	0.4	0.4	0.3	0.3	0.3	0.3	0.3	0.3	0.3	0.3	0.3	0.3	0.2	40
6 0	0.7	0.6	0.6	0.6	0.6	0.5	0.5	0.5	0.4	0.4	0.4	0.4	0.4	0.4	0.4	0.3	0.3	0.3	0.3	0.3	0.3	6 0
20	0.9	0.9	0.8	0.8	0.7	0.7	0.6	0.6	0.6	0.5	0.5	0.5	0.5	0.4	0.4	0.4	0.4	0.4	0.3	0.3	0.3	20
40	1.3	1.2	1.1	1.0	0.9	0.9	0.8	0.8	0.7	0.7	0.6	0.6	0.6	0.5	0.5	0.5	0.5	0.4	0.4	0.4	0.4	40
7 0	2.0	1.8	1.7	1.5	1.4	1.2	1.1	1.1	1.0	0.9	0.9	0.8	0.7	0.7	0.6	0.6	0.6	0.6	0.5	0.5	0.5	7 0
10	2.6	2.3	2.0	1.8	1.7	1.5	1.4	1.3	1.2	1.0	1.0	0.9	0.8	0.8	0.7	0.7	0.7	0.6	0.6	0.6	0.5	10
20	3.4	3.0	2.6	2.3	2.0	1.8	1.6	1.5	1.4	1.2	1.1	1.0	1.0	0.9	0.8	0.8	0.7	0.7	0.7	0.6	0.6	20
30	4.6	3.9	3.4	2.9	2.6	2.3	2.0	1.8	1.6	1.5	1.3	1.2	1.1	1.0	0.9	0.9	0.8	0.8	0.7	0.7	0.6	30
40	6.4	5.3	4.4	3.7	3.3	2.8	2.5	2.2	2.0	1.8	1.6	1.5	1.3	1.2	1.1	1.0	0.9	0.9	0.8	0.8	0.7	40
50				5.2	4.2	3.6	3.1	2.7	2.4	2.1	1.9	1.7	1.6	1.4	1.3	1.2	1.1	1.0	0.9	0.9	0.8	50
8 0				6.9	5.7	4.8	4.1	3.5	3.0	2.6	2.3	2.1	1.9	1.7	1.5	1.4	1.3	1.2	1.1	1.0	0.9	8 0
10					8.1	6.5	5.4	4.4	3.9	3.3	2.9	2.5	2.3	2.0	1.8	1.6	1.5	1.3	1.2	1.1	1.0	10
20					11.1	8.9	7.1	5.8	4.9	4.1	3.5	3.1	2.7	2.4	2.1	1.9	1.7	1.5	1.4	1.3	1.2	20
30							9.7	7.8	6.3	5.3	4.4	3.8	3.2	2.8	2.5	2.2	2.0	1.7	1.6	1.4	1.3	30
40									8.3	6.8	5.6	4.7	4.0	3.4	3.0	2.6	2.3	2.0	1.8	1.6	1.5	40
50										9.1	7.3	5.9	4.9	4.1	3.6	3.1	2.7	2.4	2.1	1.9	1.7	50
9 0										11.9	9.4	7.5	6.0	5.1	4.3	3.7	3.2	2.8	2.4	2.2	1.9	9 0
10														6.3	5.2	4.4	3.7	3.2	2.8	2.5	2.2	10
20														7.7	6.3	5.3	4.4	3.7	3.2	2.8	2.5	20
30														9.6	7.7	6.3	5.2	4.3	3.7	3.2	2.8	30
40														11.2	9.3	7.6	6.1	5.1	4.3	3.7	3.2	40
50															11.4	9.1	7.2	5.8	4.9	4.2	3.6	50
10 0															13.9	10.9	8.5	6.7	5.6	4.7	4.0	10 0
10																	9.9	8.0	6.4	5.3	4.5	10
20																	11.5	9.1	7.2	5.9	5.0	20
30																	13.4	10.5	8.2	6.6	5.5	30
40																			9.2	7.3	6.0	40
50																			10.1	8.0	6.5	50
11 0																			11.1	8.7	7.1	11 0
10																			11.9	9.3	7.5	10
20																			12.8	10.0	8.0	20
30																			13.6	10.5	8.4	30
40																			14.1	10.8	8.6	40
50																			14.4	11.0	8.7	50
12 0																			14.6	11.1	8.8	12 0

Tafel IV.

Für Rectascension.

h m	+50°	51°	52°	53°	54°	55°	56°	57°	58°	59°	60°	61°	62°	63°	64°	65°	66°	67°	68°	69°	+70°	h m
0 0	0.0	0.0	0.0	0.0	0.0	0.0	0.0	0.0	0.0	0.0	0.0	0.0	0.0	0.0	0.0	0.0	0.0	0.0	0.0	0.0	0.0	0 0
1 0	0.0	0.0	0.0	0.0	0.0	0.0	0.0	0.0	0.0	0.0	0.0	0.0	0.0	0.0	0.0	0.0	0.0	0.0	0.0	0.0	0.0	1 0
2 0	0.0	0.0	0.0	0.0	0.0	0.0	0.0	0.0	0.0	0.0	0.0	0.0	0.0	0.0	0.0	0.0	0.0	0.0	0.0	0.0	0.0	2 0
3 0	0.0	0.0	0.0	0.0	0.0	0.0	0.0	0.0	0.0	0.0	0.0	0.0	0.0	0.0	0.0	0.0	0.0	0.0	0.0	0.0	0.0	3 0
30	0.1	0.1	0.1	0.0	0.0	0.0	0.0	0.0	0.0	0.0	0.0	0.0	0.0	0.0	0.0	0.0	0.0	0.0	0.0	0.0	0.0	30
4 0	0.1	0.1	0.1	0.1	0.1	0.1	0.1	0.1	0.0	0.0	0.0	0.0	0.0	0.0	0.0	0.0	0.0	0.0	0.0	0.0	0.0	4 0
20	0.1	0.1	0.1	0.1	0.1	0.1	0.1	0.1	0.1	0.1	0.1	0.1	0.0	0.0	0.0	0.0	0.0	0.0	0.0	0.0	0.0	20
40	0.2	0.2	0.2	0.2	0.2	0.2	0.2	0.1	0.1	0.1	0.1	0.1	0.1	0.1	0.1	0.1	0.1	0.1	0.0	0.0	0.0	40
5 0	0.2	0.2	0.2	0.2	0.2	0.2	0.2	0.2	0.2	0.2	0.2	0.2	0.2	0.1	0.1	0.1	0.1	0.1	0.1	0.1	0.1	5 0
20	0.3	0.3	0.3	0.3	0.3	0.3	0.3	0.3	0.3	0.3	0.3	0.3	0.3	0.2	0.2	0.2	0.2	0.2	0.2	0.2	0.2	20
40	0.4	0.4	0.4	0.4	0.4	0.3	0.3	0.3	0.3	0.3	0.3	0.3	0.3	0.2	0.2	0.2	0.2	0.2	0.2	0.2	0.2	40
6 0	0.5	0.5	0.5	0.5	0.4	0.4	0.4	0.4	0.4	0.4	0.4	0.4	0.4	0.3	0.3	0.3	0.3	0.3	0.3	0.3	0.3	6 0
10	0.6	0.5	0.5	0.5	0.5	0.5	0.5	0.5	0.4	0.4	0.4	0.4	0.4	0.4	0.4	0.4	0.4	0.4	0.3	0.3	0.3	10
20	0.6	0.6	0.6	0.6	0.6	0.5	0.5	0.5	0.5	0.5	0.5	0.5	0.5	0.5	0.5	0.5	0.5	0.4	0.4	0.4	0.4	20
30	0.7	0.7	0.6	0.6	0.6	0.6	0.6	0.6	0.5	0.5	0.5	0.5	0.5	0.5	0.5	0.5	0.5	0.5	0.5	0.5	0.5	30
40	0.8	0.7	0.7	0.7	0.7	0.7	0.7	0.7	0.6	0.5	0.5	0.5	0.5	0.5	0.5	0.5	0.5	0.5	0.5	0.5	0.5	40
50	0.9	0.8	0.8	0.8	0.8	0.7	0.7	0.7	0.7	0.7	0.6	0.6	0.6	0.6	0.6	0.6	0.6	0.6	0.6	0.6	0.6	50
7 0	1.0	0.9	0.9	0.9	0.8	0.8	0.8	0.8	0.8	0.7	0.7	0.7	0.7	0.7	0.7	0.7	0.7	0.7	0.6	0.6	0.6	7 0
10	1.1	1.0	1.0	0.9	0.9	0.9	0.9	0.9	0.8	0.8	0.8	0.8	0.8	0.7	0.7	0.7	0.7	0.7	0.6	0.6	0.6	10
20	1.2	1.1	1.1	1.0	1.0	1.0	0.9	0.9	0.9	0.9	0.9	0.9	0.9	0.8	0.8	0.8	0.8	0.8	0.7	0.7	0.7	20
30	1.3	1.2	1.2	1.1	1.1	1.0	1.0	1.0	1.0	0.9	0.9	0.9	0.9	0.8	0.8	0.8	0.8	0.8	0.8	0.8	0.8	30
40	1.4	1.3	1.3	1.2	1.2	1.1	1.1	1.1	1.1	1.0	1.0	0.9	0.9	0.9	0.8	0.8	0.8	0.8	0.8	0.8	0.8	40
50	1.5	1.5	1.4	1.3	1.3	1.2	1.2	1.2	1.1	1.0	1.0	1.0	1.0	0.9	0.9	0.9	0.9	0.9	0.9	0.9	0.9	50
8 0	1.6	1.6	1.5	1.4	1.4	1.3	1.3	1.3	1.2	1.1	1.1	1.1	1.1	1.0	1.0	1.0	1.0	1.0	1.0	0.9	0.9	8 0
10	1.8	1.7	1.6	1.5	1.5	1.4	1.3	1.3	1.2	1.2	1.1	1.1	1.1	1.1	1.0	1.0	1.0	1.0	1.0	0.9	0.9	10
20	2.0	1.9	1.8	1.7	1.6	1.5	1.4	1.4	1.3	1.3	1.2	1.2	1.2	1.1	1.1	1.1	1.1	1.1	1.0	1.0	1.0	20
30	2.1	2.0	1.9	1.8	1.7	1.6	1.5	1.5	1.4	1.3	1.3	1.3	1.2	1.2	1.1	1.1	1.1	1.1	1.1	1.0	1.0	30
40	2.4	2.2	2.0	1.9	1.8	1.7	1.6	1.6	1.5	1.4	1.3	1.3	1.2	1.2	1.1	1.1	1.1	1.1	1.1	1.0	1.0	40
50	2.5	2.3	2.2	2.0	1.9	1.8	1.7	1.7	1.6	1.5	1.4	1.4	1.3	1.2	1.2	1.2	1.2	1.2	1.1	1.1	1.1	50
9 0	2.7	2.5	2.3	2.2	2.0	1.9	1.8	1.7	1.6	1.5	1.4	1.4	1.3	1.2	1.2	1.2	1.2	1.2	1.1	1.1	1.1	9 0
10	2.9	2.6	2.4	2.3	2.1	2.0	1.9	1.8	1.7	1.6	1.5	1.4	1.4	1.3	1.2	1.2	1.2	1.2	1.2	1.1	1.1	10
20	3.1	2.8	2.6	2.4	2.2	2.0	1.9	1.8	1.7	1.6	1.5	1.5	1.4	1.3	1.2	1.2	1.2	1.2	1.2	1.1	1.1	20
30	3.3	3.0	2.7	2.5	2.3	2.1	1.9	1.8	1.7	1.6	1.5	1.5	1.4	1.3	1.2	1.2	1.2	1.2	1.2	1.1	1.1	30
40	3.4	3.1	2.8	2.5	2.3	2.1	2.0	1.8	1.7	1.6	1.5	1.5	1.4	1.3	1.2	1.2	1.2	1.2	1.2	1.1	1.1	40
50	3.6	3.1	2.8	2.6	2.4	2.1	2.0	1.8	1.7	1.6	1.5	1.5	1.4	1.3	1.2	1.2	1.2	1.1	1.1	1.0	1.0	50
10 0	3.7	3.2	2.9	2.6	2.4	2.1	2.0	1.8	1.7	1.6	1.5	1.4	1.3	1.3	1.2	1.2	1.2	1.1	1.1	1.0	1.0	10 0
10	3.7	3.2	2.9	2.6	2.4	2.1	1.9	1.8	1.7	1.6	1.5	1.4	1.3	1.2	1.2	1.2	1.2	1.1	1.1	1.0	1.0	10
20	3.7	3.2	2.9	2.6	2.3	2.1	1.9	1.7	1.6	1.5	1.4	1.3	1.2	1.1	1.1	1.1	1.1	1.1	1.0	0.9	0.9	20
30	3.7	3.1	2.8	2.5	2.2	2.0	1.8	1.7	1.5	1.4	1.3	1.2	1.2	1.1	1.1	1.0	1.0	1.0	0.9	0.9	0.9	30
40	3.6	3.0	2.7	2.4	2.1	1.9	1.7	1.6	1.4	1.3	1.2	1.1	1.1	1.0	1.0	1.0	0.9	0.9	0.9	0.8	0.8	40
50	3.3	2.9	2.5	2.1	2.0	1.7	1.6	1.4	1.3	1.2	1.1	1.0	1.0	0.9	0.9	0.8	0.8	0.8	0.8	0.7	0.7	50
11 0	3.1	2.7	2.3	2.0	1.8	1.6	1.4	1.3	1.2	1.1	1.0	0.9	0.9	0.8	0.8	0.7	0.7	0.7	0.7	0.6	0.6	11 0
10	2.7	2.3	2.0	1.7	1.5	1.3	1.2	1.1	1.0	0.9	0.9	0.8	0.7	0.7	0.7	0.6	0.6	0.6	0.6	0.5	0.5	10
20	2.3	1.9	1.7	1.4	1.3	1.1	1.0	0.9	0.8	0.8	0.8	0.7	0.6	0.6	0.6	0.5	0.5	0.5	0.5	0.4	0.4	20
30	1.8	1.5	1.3	1.1	1.0	0.9	0.8	0.7	0.6	0.6	0.6	0.5	0.5	0.4	0.4	0.4	0.4	0.4	0.4	0.3	0.3	30
40	1.2	1.0	0.9	0.8	0.7	0.6	0.5	0.5	0.4	0.4	0.4	0.3	0.3	0.3	0.3	0.3	0.3	0.3	0.3	0.3	0.3	40
50	0.6	0.5	0.4	0.4	0.3	0.3	0.3	0.3	0.2	0.2	0.2	0.2	0.2	0.2	0.1	0.1	0.1	0.1	0.1	0.1	0.1	50
12 0	0.0	0.0	0.0	0.0	0.0	0.0	0.0	0.0	0.0	0.0	0.0	0.0	0.0	0.0	0.0	0.0	0.0	0.0	0.0	0.0	0.0	12 0

Tafel IV.

Für Declination.

h m	+50°	51°	52°	53°	54°	55°	56°	57°	58°	59°	60°	61°	62°	63°	64°	65°	66°	67°	68°	69°	+70°	h m
0 0	0.2	0.2	0.2	0.2	0.2	0.2	0.2	0.2	0.2	0.2	0.2	0.2	0.2	0.2	0.2	0.2	0.2	0.2	0.2	0.2	0.2	0 0
1 0	0.2	0.2	0.2	0.2	0.2	0.2	0.2	0.2	0.2	0.2	0.2	0.2	0.2	0.2	0.2	0.2	0.2	0.2	0.2	0.2	0.2	1 0
2 0	0.2	0.2	0.2	0.2	0.2	0.2	0.2	0.2	0.2	0.2	0.2	0.2	0.2	0.2	0.2	0.2	0.2	0.2	0.2	0.2	0.2	2 0
3 0	0.2	0.2	0.2	0.2	0.2	0.2	0.2	0.2	0.2	0.2	0.2	0.2	0.2	0.2	0.2	0.2	0.2	0.2	0.2	0.2	0.2	3 0
4 0	0.2	0.2	0.2	0.2	0.2	0.2	0.2	0.2	0.2	0.2	0.2	0.2	0.2	0.2	0.2	0.2	0.2	0.2	0.2	0.2	0.2	4 0
5 0	0.2	0.2	0.2	0.2	0.2	0.2	0.2	0.2	0.2	0.2	0.2	0.2	0.2	0.2	0.2	0.2	0.2	0.2	0.2	0.2	0.2	5 0
20	0.2	0.2	0.2	0.2	0.2	0.2	0.2	0.2	0.2	0.2	0.2	0.2	0.2	0.2	0.2	0.2	0.2	0.2	0.2	0.2	0.2	20
40	0.2	0.2	0.2	0.2	0.2	0.2	0.2	0.2	0.2	0.2	0.2	0.2	0.2	0.2	0.2	0.2	0.2	0.2	0.2	0.2	0.2	40
6 0	0.3	0.3	0.3	0.2	0.2	0.2	0.2	0.2	0.2	0.2	0.2	0.2	0.2	0.2	0.2	0.2	0.2	0.2	0.2	0.2	0.2	6 0
20	0.3	0.3	0.3	0.3	0.3	0.3	0.3	0.3	0.3	0.3	0.3	0.3	0.2	0.2	0.2	0.2	0.2	0.2	0.2	0.2	0.2	20
40	0.4	0.4	0.4	0.3	0.3	0.3	0.3	0.3	0.3	0.3	0.3	0.3	0.3	0.2	0.2	0.2	0.2	0.2	0.2	0.2	0.2	40
7 0	0.5	0.4	0.4	0.4	0.4	0.4	0.3	0.3	0.3	0.3	0.3	0.3	0.3	0.3	0.3	0.3	0.3	0.3	0.2	0.2	0.2	7 0
10	0.5	0.5	0.4	0.4	0.4	0.4	0.4	0.4	0.3	0.3	0.3	0.3	0.3	0.3	0.3	0.3	0.3	0.3	0.2	0.2	0.2	10
20	0.6	0.5	0.5	0.5	0.4	0.4	0.4	0.4	0.4	0.4	0.3	0.3	0.3	0.3	0.3	0.3	0.3	0.3	0.3	0.3	0.3	20
30	0.6	0.6	0.5	0.5	0.5	0.5	0.4	0.4	0.4	0.4	0.4	0.4	0.3	0.3	0.3	0.3	0.3	0.3	0.3	0.3	0.3	30
40	0.7	0.6	0.6	0.6	0.5	0.5	0.5	0.5	0.4	0.4	0.4	0.4	0.4	0.4	0.3	0.3	0.3	0.3	0.3	0.3	0.3	40
50	0.8	0.7	0.7	0.6	0.6	0.6	0.5	0.5	0.5	0.5	0.4	0.4	0.4	0.4	0.4	0.4	0.4	0.3	0.3	0.3	0.3	50
8 0	0.9	0.8	0.7	0.7	0.6	0.6	0.6	0.6	0.5	0.5	0.5	0.4	0.4	0.4	0.4	0.4	0.4	0.4	0.3	0.3	0.3	8 0
10	1.0	0.9	0.8	0.8	0.7	0.7	0.6	0.6	0.6	0.5	0.5	0.5	0.4	0.4	0.4	0.4	0.4	0.4	0.4	0.3	0.3	10
20	1.1	1.0	0.9	0.9	0.8	0.7	0.7	0.6	0.6	0.6	0.6	0.5	0.5	0.5	0.5	0.4	0.4	0.4	0.4	0.4	0.4	20
30	1.2	1.1	1.0	1.0	0.9	0.8	0.8	0.7	0.7	0.6	0.6	0.6	0.5	0.5	0.5	0.5	0.4	0.4	0.4	0.4	0.4	30
40	1.4	1.2	1.1	1.1	1.0	0.9	0.9	0.8	0.8	0.7	0.6	0.6	0.6	0.5	0.5	0.5	0.5	0.5	0.4	0.4	0.4	40
50	1.5	1.4	1.2	1.2	1.1	1.0	1.0	0.9	0.8	0.7	0.7	0.7	0.7	0.6	0.6	0.6	0.5	0.5	0.5	0.5	0.4	50
9 0	1.7	1.6	1.4	1.3	1.2	1.1	1.1	1.0	0.9	0.8	0.8	0.7	0.7	0.6	0.6	0.6	0.6	0.5	0.5	0.5	0.4	9 0
10	1.9	1.7	1.5	1.4	1.3	1.2	1.2	1.1	1.0	0.9	0.8	0.8	0.7	0.7	0.6	0.6	0.6	0.5	0.5	0.5	0.5	10
20	2.2	1.9	1.7	1.6	1.4	1.3	1.2	1.1	1.0	1.0	0.9	0.9	0.8	0.7	0.6	0.6	0.6	0.6	0.6	0.5	0.5	20
30	2.5	2.2	1.9	1.7	1.6	1.4	1.3	1.2	1.1	1.0	0.9	0.9	0.8	0.7	0.7	0.7	0.6	0.6	0.6	0.5	0.5	30
40	2.8	2.4	2.1	1.9	1.7	1.6	1.4	1.3	1.2	1.1	1.0	1.0	0.9	0.8	0.7	0.7	0.7	0.6	0.6	0.6	0.5	40
50	3.1	2.7	2.3	2.1	1.9	1.7	1.5	1.4	1.3	1.2	1.1	1.0	0.9	0.8	0.7	0.7	0.7	0.7	0.7	0.6	0.5	50
10 0	3.4	2.9	2.6	2.3	2.0	1.8	1.6	1.5	1.4	1.2	1.1	1.1	1.0	0.9	0.8	0.8	0.8	0.7	0.7	0.6	0.6	10 0
10	3.8	3.2	2.8	2.5	2.2	2.0	1.7	1.6	1.4	1.3	1.2	1.1	1.0	0.9	0.8	0.8	0.8	0.7	0.7	0.6	0.6	10
20	4.2	3.5	3.1	2.7	2.4	2.1	1.8	1.7	1.5	1.4	1.3	1.2	1.1	1.0	0.9	0.8	0.8	0.7	0.7	0.6	0.6	20
30	4.6	3.9	3.3	2.9	2.5	2.2	2.0	1.8	1.6	1.5	1.3	1.2	1.1	1.0	0.9	0.9	0.8	0.8	0.7	0.6	0.6	30
40	5.0	4.2	3.6	3.1	2.7	2.4	2.1	1.9	1.7	1.5	1.4	1.3	1.2	1.1	1.0	0.9	0.9	0.8	0.7	0.7	0.7	40
50	5.4	4.4	3.8	3.3	2.9	2.5	2.2	2.0	1.8	1.6	1.5	1.3	1.2	1.1	1.0	0.9	0.9	0.9	0.8	0.7	0.7	50
11 0	5.8	4.7	4.1	3.5	3.0	2.6	2.3	2.1	1.8	1.6	1.5	1.4	1.2	1.1	1.0	1.0	0.9	0.9	0.8	0.7	0.7	11 0
10	6.1	5.0	4.3	3.6	3.2	2.7	2.4	2.1	1.9	1.7	1.5	1.4	1.3	1.2	1.1	1.0	1.0	0.9	0.8	0.7	0.7	10
20	6.4	5.2	4.5	3.8	3.3	2.8	2.5	2.2	2.0	1.8	1.6	1.5	1.3	1.2	1.1	1.0	1.0	0.9	0.8	0.7	0.7	20
30	6.7	5.4	4.6	3.9	3.4	2.9	2.5	2.2	2.0	1.8	1.6	1.5	1.3	1.2	1.1	1.0	1.0	0.9	0.8	0.8	0.7	30
40	6.9	5.6	4.7	4.0	3.5	3.0	2.6	2.3	2.0	1.8	1.6	1.5	1.4	1.2	1.1	1.1	1.0	0.9	0.8	0.8	0.7	40
50	7.0	5.7	4.8	4.0	3.5	3.0	2.6	2.3	2.0	1.8	1.6	1.5	1.4	1.2	1.1	1.1	1.0	0.9	0.8	0.8	0.7	50
12 0	7.0	5.7	4.8	4.0	3.5	3.0	2.6	2.3	2.0	1.8	1.6	1.5	1.4	1.2	1.1	1.1	1.0	0.9	0.8	0.8	0.7	12 0

Tafel V.

Giebt die Abweichung ΔP des scheinbaren Parallels vom wahren.

t	-35°	-30°	-25°	-20°	-15°	-10°	-5°	0°	$+5^\circ$	10°	15°	20°	25°	30°	35°	40°	45°	50°	55°	60°	65°	70°	t
h m	′	′	′	′	′	′	′	′	′	′	′	′	′	′	′	′	′	′	′	′	′	′	h m
0 0	0	0	0	0	0	0	0	0	0	0	0	0	0	0	0	0	0	0	0	0	0	0	0 0
30	5	2	1	1	0	0	0	0	0	0	0	0	0	0	0	0	0	0	0	0	0	0	30
1 0	11	4	2	1	1	1	0	0	0	0	0	0	0	0	0	0	0	0	0	0	0	0	1 0
30		7	3	2	1	1	1	1	0	0	0	0	0	0	0	0	0	0	0	0	0	1	30
2 0		14	6	3	2	1	1	1	1	1	0	0	0	0	0	0	0	0	0	1	1	1	2 0
30			10	5	3	2	1	1	1	1	1	1	1	1	1	1	1	1	1	1	1	1	30
3 0			23	9	5	3	2	2	1	1	1	1	1	1	1	1	1	1	1	1	1	1	3 0
30				20	9	5	3	2	2	1	1	1	1	1	1	1	1	1	1	1	1	2	30
4 0					21	10	6	4	3	2	2	1	1	1	1	1	1	1	1	1	1	2	4 0
30						24	11	6	4	3	2	2	2	1	1	1	1	1	1	1	2	2	30
5 0							30	14	8	5	4	3	2	2	2	2	2	2	2	2	2	2	5 0
30									18	10	6	4	3	3	2	2	2	2	2	2	2	3	30
6 0										24	12	7	5	4	3	3	2	2	2	2	3	3	6 0
30											32	15	9	6	4	4	3	3	3	3	3	3	30
7 0												41	18	10	7	5	4	3	3	3	3	3	7 0
30														19	11	7	5	4	4	3	3	3	30
8 0															18	10	7	5	4	4	3	3	8 0
30															37	16	9	6	5	4	3	3	30
9 0																25	12	7	5	4	3	3	9 0
30																	15	8	5	4	3	3	30
10 0																	19	9	5	4	3	3	10 0
30																	22	8	5	3	2	2	30
11 0																		7	4	2	2	2	11 0
30																		4	2	1	1	1	30
12 0																		0	0	0	0	0	12 0

Die Correction ΔP ist an den Positionswinkel des wahren Parallels anzubringen um den scheinbaren zu erhalten und zwar

$+\Delta P$ bei westlichen Stundenwinkeln

$-\Delta P$ bei östlichen Stundenwinkeln.

VI.

Tafel zur Berechnung der Parallaxe für München.

Argument: Stundenwinkel.

Arg. für δ +		Arg. für A.R. +		T	Diff.	Arg. für A.R. —		Arg. für δ —	
h m	h m	h m	h m	"		h m	h m	h m	h m
6 0	18 0	12 0	0 0	0.00	26	12 0	24 0	6 0	18 0
10	17 50	11 50	10	0.26	26	10	23 50	5 50	10
20	40	40	20	0.52	25	20	40	40	20
30	30	30	30	0.77	26	30	30	30	30
40	20	20	40	1.03	25	40	20	20	40
50	10	10	50	1.28	25	50	10	10	50
7 0	17 0	11 0	1 0	1.53	25	13 0	23 0	5 0	19 0
10	16 50	10 50	10	1.78	24	10	22 50	4 50	10
20	40	40	20	2.02	24	20	40	40	20
30	30	30	30	2.26	24	30	30	30	30
40	20	20	40	2.50	23	40	20	20	40
50	10	10	50	2.73	23	50	10	10	50
8 0	16 0	10 0	2 0	2.96	22	14 0	22 0	4 0	20 0
10	15 50	9 50	10	3.18	21	10	21 50	3 50	10
20	40	40	20	3.39	21	20	40	40	20
30	30	30	30	3.60	20	30	30	30	30
40	20	20	40	3.80	20	40	20	20	40
50	10	10	50	4.00	18	50	10	10	50
9 0	15 0	9 0	3 0	4.18	18	15 0	21 0	3 0	21 0
10	14 50	8 50	10	4.36	17	10	20 50	2 50	10
20	40	40	20	4.53	16	20	40	40	20
30	30	30	30	4.69	15	30	30	30	30
40	20	20	40	4.84	15	40	20	20	40
50	10	10	50	4.99	13	50	10	10	50
10 0	14 0	8 0	4 0	5.12	13	16 0	20 0	2 0	22 0
10	13 50	7 50	10	5.25	11	10	19 50	1 50	10
20	40	40	20	5.36	10	20	40	40	20
30	30	30	30	5.46	10	30	30	30	30
40	20	20	40	5.56	8	40	20	20	40
50	10	10	50	5.64	7	50	10	10	50
11 0	13 0	7 0	5 0	5.71	6	17 0	19 0	1 0	23 0
10	12 50	6 50	10	5.77	5	10	18 50	0 50	10
20	40	40	20	5.82	4	20	40	40	20
30	30	30	30	5.86	3	30	30	30	30
40	20	20	40	5.89	2	40	20	20	40
50	10	10	50	5.91	0	50	10	10	50
12 0	12 0	6 0	6 0	5.91		18 0	18 0	0 0	24 0

$T' = 6''.56$; $\log T' = 0.8169$; Δ = Entfernung.

Parallaxe in A.R. (in Zeitsecunden) $= \dfrac{T}{15\,\Delta \cos\delta}$; $\log \dfrac{1}{15} = 8.8239$

Parallaxe in Decl. (in Bogensecunden) $= \dfrac{T \sin\delta}{\Delta} + \dfrac{T' \cos\delta}{\Delta}$

Als Zeichen von T ist das in der Columne des Argumentes angegebene zu nehmen.

VII.

Tafeln zur Berücksichtigung der Refraction*) bei Bestimmung von Faden-Distanzen aus Beobachtungen von Polsternen in beliebigen Stundenwinkeln.

C_1

Polaris. $t' - t$

t	m 0	m 10	m 20	m 30	m 40	m 50	m 60	t
h m	"	"	"	"	"	"	"	h m
0 0	0.00	0.06	0.11	0.17	0.23	0.28	0.34	12 0
0 20	0.00	0.06	0.11	0.17	0.23	0.28	0.35	11 40
0 40	0.00	0.06	0.12	0.17	0.23	0.29	0.35	11 20
1 0	0.00	0.06	0.12	0.18	0.24	0.30	0.36	11 0
1 20	0.00	0.06	0.12	0.19	0.25	0.31	0.37	10 40
1 40	0.00	0.07	0.13	0.20	0.26	0.32	0.39	10 20
2 0	0.00	0.07	0.14	0.21	0.27	0.34	0.41	10 0
2 20	0.00	0.07	0.14	0.22	0.28	0.36	0.43	9 40
2 40	0.00	0.08	0.15	0.23	0.30	0.38	0.45	9 20
3 0	0.00	0.08	0.16	0.24	0.31	0.40	0.47	9 0
3 20	0.00	0.09	0.17	0.25	0.33	0.42	0.50	8 40
3 40	0.00	0.09	0.17	0.26	0.34	0.44	0.52	8 20
4 0	0.00	0.10	0.18	0.27	0.36	0.45	0.54	8 0
4 20	0.00	0.10	0.19	0.28	0.37	0.46	0.56	7 40
4 40	0.00	0.10	0.19	0.29	0.39	0.48	0.58	7 20
5 0	0.00	0.10	0.20	0.30	0.40	0.49	0.59	7 0
5 20	0.00	0.10	0.20	0.30	0.40	0.50	0.60	6 40
5 40	0.00	0.10	0.21	0.31	0.41	0.51	0.61	6 20
6 0	0.00	0.10	0.21	0.31	0.41	0.51	0.61	6 0

δ ursae min. $t' - t$

t	m 0	m 10	m 20	m 30	m 40	m 50	m 60	t
h m	"	"	"	"	"	"	"	h m
0 0	0.00	0.15	0.30	0.45	0.59	0.74	0.89	12 0
0 20	0.00	0.15	0.30	0.45	0.60	0.75	0.90	11 40
0 40	0.00	0.15	0.31	0.46	0.61	0.76	0.91	11 20
1 0	0.00	0.15	0.32	0.47	0.63	0.77	0.94	11 0
1 20	0.00	0.16	0.33	0.49	0.65	0.81	0.97	10 40
1 40	0.00	0.17	0.34	0.51	0.68	0.85	1.01	10 20
2 0	0.00	0.18	0.36	0.54	0.71	0.89	1.06	10 0
2 20	0.00	0.19	0.38	0.56	0.75	0.94	1.12	9 40
2 40	0.00	0.20	0.40	0.59	0.79	0.99	1.18	9 20
3 0	0.00	0.21	0.42	0.62	0.83	1.04	1.24	9 0
3 20	0.00	0.22	0.44	0.66	0.87	1.09	1.30	8 40
3 40	0.00	0.23	0.46	0.69	0.91	1.14	1.36	8 20
4 0	0.00	0.24	0.48	0.72	0.95	1.19	1.42	8 0
4 20	0.00	0.24	0.50	0.74	0.99	1.23	1.47	7 40
4 40	0.00	0.25	0.51	0.76	1.02	1.27	1.51	7 20
5 0	0.00	0.26	0.52	0.78	1.04	1.30	1.54	7 0
5 20	0.00	0.27	0.53	0.79	1.06	1.32	1.57	6 40
5 40	0.00	0.27	0.54	0.80	1.07	1.33	1.58	6 20
6 0	0.00	0.27	0.54	0.80	1.07	1.33	1.60	6 0

Das Vorzeichen von C_1 ist dasjenige von $\sin(t' - t)$. Für Werthe t zwischen 12^h und 24^h gelten dieselben Werthe, wie zwischen 0^h und 12^h.

C_2

$t' - t$

t	m 0	m 10	m 20	m 30	m 40	m 50	m 60	t
h m	"	"	"	"	"	"	"	h m
0 0	0.00	0.00	0.00	0.00	0.00	0.00	0.00	12 0
0 20	0.00	0.00	0.01	0.04	0.07	0.11	0.15	11 40
0 40	0.00	0.01	0.04	0.08	0.14	0.22	0.30	11 20
1 0	0.00	0.01	0.05	0.12	0.21	0.33	0.45	11 0
1 20	0.00	0.01	0.07	0.15	0.27	0.42	0.61	10 40
1 40	0.00	0.02	0.08	0.19	0.34	0.51	0.75	10 20
2 0	0.00	0.02	0.09	0.22	0.40	0.61	0.89	10 0
2 20	0.00	0.02	0.11	0.26	0.46	0.70	1.02	9 40
2 40	0.00	0.03	0.13	0.29	0.50	0.78	1.13	9 20
3 0	0.00	0.03	0.14	0.32	0.55	0.86	1.25	9 0
3 20	0.00	0.04	0.15	0.34	0.59	0.93	1.35	8 40
3 40	0.00	0.04	0.16	0.36	0.64	1.00	1.45	8 20
4 0	0.00	0.05	0.17	0.39	0.68	1.06	1.53	8 0
4 20	0.00	0.05	0.18	0.40	0.71	1.11	1.60	7 40
4 40	0.00	0.05	0.19	0.41	0.74	1.14	1.66	7 20
5 0	0.00	0.05	0.19	0.42	0.76	1.18	1.70	7 0
5 20	0.00	0.05	0.18	0.43	0.77	1.20	1.74	6 40
5 40	0.00	0.05	0.18	0.44	0.78	1.21	1.75	6 20
6 0	0.00	0.06	0.18	0.44	0.78	1.23	1.76	6 0

C_2 hat das Zeichen von $\sin t$, gleichgiltig ob $t' - t$ positiv oder negativ ist. Für t zwischen 12^h und 24^h gelten daher dieselben aber mit umgekehrten Zeichen versehenen Werthe wie für t zwischen 0^h und 12^h.

Polaris.

δ	F
88° 40′ 0″	1.026
41 0	1.013
42 0	1.000
43 0	1 − 0.013
44 0	1 − 0.026
45 0	1 − 0.038

δ urs. min.

δ	F
86° 34′ 0″	1.010
35 0	1.005
36 0	1.000
37 0	1 − 0.005
38 0	1 0.010

Arg.: $\log\cos\delta\sin(t' - t)$	$\log\sigma = \log\dfrac{\sin f}{f''}$	$\log\cos\delta\,(t' - t)$
$-\infty$	4.685575	$-\infty$
7.40	4.685574	2.71
7.64	4.685573	2.95
7.76	4.685572	3.07
7.84	4.685571	3.15
7.89	4.685570	3.20

Die von Refraction befreite Fadendistanz ist

$$f = \left(\frac{\cos\delta\sin(t' - t)}{\sigma}\right) - C_1 F - C_2$$

Es bedeutet t den Stundenwinkel des Mittelfadens, t' denjenigen des Seitenfadens.

*) Vergl. Bemerkung zu Tafel IV.

Tafel VIII.

Periodische Schraubenfehler des Repsold'schen Fadenmikrometers am 10½zölligen Refractor.

Wahrer Werth = $u + \varphi$.

u	φ	u	φ	u	φ	u	φ
R	R	R	R	R	R	R	R
0.00	+ 0.0016	0.25	— 0.0003	0.50	— 0.0016	0.75	+ 0.0003
01	0.0016	26	0.0004	51	0.0016	76	0.0004
02	0.0016	27	0.0005	52	0.0016	77	0.0005
03	0.0016	28	0.0006	53	0.0016	78	0.0006
04	0.0015	29	0.0007	54	0.0015	79	0.0007
0.05	+ 0.0015	0.30	— 0.0008	0.55	— 0.0015	0.80	+ 0.0008
06	0.0014	31	0.0009	56	0.0014	81	0.0009
07	0.0014	32	0.0010	57	0.0014	82	0.0010
08	0.0013	33	0.0010	58	0.0013	83	0.0010
09	0.0012	34	0.0011	59	0.0012	84	0.0011
0.10	+ 0.0012	0.35	— 0.0012	0.60	— 0.0012	0.85	+ 0.0012
11	0.0011	36	0.0013	61	0.0011	86	0.0013
12	0.0010	37	0.0013	62	0.0010	87	0.0013
13	0.0009	38	0.0014	63	0.0009	88	0.0014
14	0.0008	39	0.0014	64	0.0008	89	0.0014
0.15	+ 0.0007	0.40	— 0.0015	0.65	— 0.0007	0.90	+ 0.0015
16	0.0006	41	0.0015	66	0.0006	91	0.0015
17	0.0005	42	0.0016	67	0.0005	92	0.0016
18	0.0004	43	0.0016	68	0.0004	93	0.0016
19	0.0003	44	0.0016	69	0.0003	94	0.0016
0.20	+ 0.0002	0.45	— 0.0016	0.70	— 0.0002	0.95	+ 0.0016
21	0.0001	46	0.0017	71	0.0001	96	0.0017
22	0.0000	47	0.0017	72	0.0000	97	0.0017
23	— 0.0001	48	0.0017	73	+ 0.0001	98	0.0017
24	0.0002	49	0.0017	74	0.0002	99	0.0017
25	0.0003	50	0.0016	75	0.0003	1.00	+ 0.0016

Tafel IX.

Vielfache des Werthes einer Schraubenrevolution des Fadenmikrometers am $10^1/_2$zölligen Refractor.

1	0′	24.″818	0.0	0.″000
2	0	49.637	0.1	2.482
3	1	14.455	0.2	4.964
4	1	39.273	0.3	7.445
5	2	4.092	0.4	9.927
6	2	28.910	0.5	12.409
7	2	53.728	0.6	14.891
8	3	18.546	0.7	17.373
9	3	43.365	0.8	19.855
10	4	8.183	0.9	22.336
			1.0	24.818
20	8	16.366		
30	12	24.549		

Fortschreitende Schraubenfehler sind nicht nachweisbar.

Der Temperatureinfluss ist sehr klein und bisher nicht mit Sicherheit nachweisbar, sobald die richtige Ocularstellung angewandt oder bei kleinen Abweichungen auf diese reducirt wird. Die an passend ausgewählten Sternen des Sternhaufens im Perseus und in den Plejaden von Seeliger an 2 und Oertel an 14 Abenden gemessenen Declinationsdifferenzen haben nämlich für den Schraubenwerth ergeben

$$r = 24.''8183\ (\pm 0.''0039) + 0.''00002\ (\pm 0.''00057) \cdot t$$

wo t in Réaumurgraden des inneren Thermometers angesetzt ist und innerhalb der Klammern die m. F. stehen. Für kleine Vielfache von r wird das erlangte Resultat bei allen Untersuchungen ausreichen.

Die Stellung des Oculars kann an einer Millimeterscala abgelesen werden. Die Ablesungen wachsen mit dem Herausziehen des Oculars, also mit einer Vergrösserung der Brennweite des Objectivs. Aus sehr vielen Einstellungen ergab sich für das deutlichste Sehen als Ablesung der Ocularscala

für Seeliger $\overset{mm}{4.36} + 0.101\,t$

für Oertel $3.49 + 0.109\,t$

wo t wiederum die Angabe des inneren Réaumurthermometers bedeutet. Die diesen Zahlen entsprechende Ocularstellung ist als Normalstellung O_N zu betrachten. Wird thatsächlich aber bei der hiervon etwas verschiedenen Stellung O_B beobachtet, so hat, voraussichtlich genügend genau, solange $O_B - O_N$ klein ist, eine nach Tafel IX reducirte Differenz d noch die Correction

$$-\frac{(O_B - O_N)^{mm}}{4830} \cdot d$$

zu erhalten.

ANHANG.

DIE BISHERIGEN SCHRIFTEN

DER

KÖNIGL. STERNWARTE BOGENHAUSEN

BEI MÜNCHEN.

Das nachstehende Inhaltsverzeichniss ist bestimmt, die Orientirung in den Schriften der Sternwarte Bogenhausen zu erleichtern. Dasselbe gliedert sich in zwei Hauptabschnitte, deren erster die Schriften der Sternwarte in ihrem bibliographischen Zusammenhange einfach aufzählt, während der zweite ausführlichere Theil nach Gegenständen geordnet ist*). Die Verzeichnisse wurden von Herrn Dr. E. Anding angefertigt.

I. Bibliographisches Inhaltsverzeichniss.

Astronomische Beobachtungen, angestellt an der k. Sternwarte zu Bogenhausen von J. Soldner.

(Der erste Band ist publicirt von Soldner selbst, die folgenden von Lamont.)

I. Theil: Beobachtungen mit dem Meridiankreise, während der Jahre 1820 und 1821, München.
II. „ „ „ „ „ im Jahre 1821, München 1835.
III. „ „ „ „ „ in den Jahren 1823 und 1824, München 1836.
IV. „ „ „ „ „ in den Jahren 1825 und 1826, München 1837.
V. „ „ „ „ „ im Jahre 1827. — Dann Beobachtungen mit dem Mittagsrohre in den Jahren 1819, 1820, 1821 und 1822, München 1838.

Observationes Astronomicae in Specula Regia Monachiensi institutae et Regio jussu publicis impensis editae a Lamont.

Vol. VI seu novae seriei Vol. I, Monachii 1841.

Observationes circulo meridiano institutae 1828	pag. 1
„ „ „ „ 1829	„ 61
„ „ „ „ 1830	„ 106
Observationum reductiones	„ 135

Vol. VII seu novae seriei Vol. II, Monachii 1842.

Observationes circulo meridiano institutae 1831	pag. 1
„ „ „ „ 1832	„ 39
Observationum reductiones	„ 105

*) Eine grössere Anzahl von Exemplaren der aufgezählten Publicationen ist in den Besitz des Antiquariates von L. Rosenthal in München übergegangen, bei welchem dieselben zu bedeutend herabgesetzten Preisen zu haben sind.

Vol. VIII seu novae seriei Vol. III, Monachii 1834.
Observationes circulo meridiano institutae 1833 pag. 1
Observationes tubo culminatorio institutae 1833 „ 91
Observationum reductiones „ 99

Vol. IX seu novae seriei Vol. IV, Monachii 1836.
Observationes circulo meridiano institutae 1834 pag. 1
Observationes tubo culminatorio institutae 1834 „ 101
Observationum reductiones „ 112

Vol. X seu novae seriei Vol. V, Monachii 1842.
Observationes circulo meridiano institutae 1835 pag. 1
„ „ „ „ 1836 „ 65
„ „ „ „ 1837 „ 89
Elementa reductionum „ 111

Vol. XI seu novae seriei Vol. VI, Monachii 1843.
Cometae Halleyi Observationes per tubum maximum Monachiensem, 1836 . . pag. 1
Stellarum acervi in Clypeo Sobieskii . . . mensurae micrometricae, 1836 et 1837 . „ 9
Stellarum in Nebula Orionis visibilium mensurae micrometricae, 1837, 1838 . . „ 17
Saturni Satellitum observationes, 1836 et 1837 „ 23
Observationes circulo meridiano institutae, 1838, 1839 „ 31
Stellarum minorum zonae, 1840 „ 57
Observationes circulo meridiano institutae, 1840 „ 104
Observationum reductiones „ 141

Vol. XII seu novae seriei Vol. VII, Monachii 1844.
De zonarum observatione et reductione pag. I
Stellarum minorum zonae, 1841 pag. 1
Observationes circulo meridiano institutae, 1841 „ 122
Observationum reductiones „ 169

Vol. XIII seu novae seriei Vol. VIII, Monachii 1844.
Stellarum minorum zonae, 1842 pag. 1
Observationes circulo meridiano institutae, 1842 „ 96
Observationum reductiones „ 133

Vol. XIV seu novae seriei Vol. IX, Monachii 1844.
Stellarum minorum zonae, 1843 pag. 1
Observationes circulo meridiano institutae, 1843 „ 99
Observationum reductiones „ 123

Vol. XV seu novae seriei Vol. X et ultimum, Monachii 1847.
Stellarum minorum zonae, 1844 pag. 1
Observationes circulo meridiano institutae, 1844 „ 45
Stellarum in zonis observatarum positiones mediae. Zonae anni 1840 ad 1. Jan. ejusdem anni reductae „ 56
Observationum reductiones „ 96

Annalen der Königlichen Sternwarte bei München.

I. Band. (Der vollständigen Sammlung XVI. Band), München 1848.
Schwankungen der magnetischen Kraft, 1842, 1843, 1844, 1845 S. 1
Monatmittel der Temperatur, des Luft- und Dunstdruckes der Bewölkung und Regenmenge in München von 1843 bis 1845, nebst correspondirenden Beobachtungen anderer Stationen „ 331

II. Band. (Der vollständigen Sammlung XVII. Band), München 1849.
(Kalender und Ephemeriden für 1850, allgemeine astronomische Daten) . . . pag. V
Zonenbeobachtungen 1845, 1846, 1847 S. 1
Meteorologische Beobachtungen, 1. Juli 1844 bis 31. December 1845 . . . „ 241

III. Band. (Der vollständigen Sammlung XVIII. Band), München 1849.
(Kalenderangaben wie in Band II) pag. V
Magnetische Constanten in München und einigen anderen Städten „ LXX
Verzeichniss der vorzüglichsten im Königreich Bayern gemessenen Höhenpunkte (auch separat erschienen) „ LXXIV
Tafeln zur Berechnung der Höhe über dem Meere aus Barometer- und Hypsometer-Beobachtungen „ CXXXIX

Ueber die Temperaturverhältnisse in Bayern pag. CLIX
Magnetische Beobachtungen, 1846 S. 1
Meteorologische Beobachtungen, 1846 „ 73

IV. Band. (Der vollständigen Sammlung XIX. Band), München 1850.
(Kalenderangaben wie in Band II) pag. V
Verzeichniss einiger Höhenpunkte „ LXX
Meteorologische Beobachtungen, 1847 S. 1
Zonenbeobachtungen, 1848 und 1849 „ 77

V. Band. (Der vollständigen Sammlung XX. Band), München 1852.
(Kalenderangaben wie in Band II) pag. V
Verzeichniss der vorzüglichsten Höhenpunkte in der Pfalz „ LXX
Höhe der Bahnhöfe, Stationen und Haltstellen der Ludwigs-West-Bahn und der Augsburg–Ulmer–Bahn „ LXXII
Durchgänge über den Meridian, mit dem Reichenbach'schen Meridiankreise beobachtet, 1845 bis 1849 S. 1
Meteorologische Beobachtungen, 1848, 1849 und 1850 „ 101

VI. Band. (Der vollständigen Sammlung XXI. Band), München 1853.
Magnetische Beobachtungen während der Jahre 1847, 1848, 1849, 1850 und 1851 S. 1
Meteorologische Beobachtungen während der Jahre 1851 und 1852 „ 189

VII. Band. (Der vollständigen Sammlung XXII. Band), München 1854.
Magnetische Beobachtungen während der Jahre 1852 und 1853 S. 1
Meteorologische Beobachtungen während des Jahres 1853 „ 75
Beobachtungen der Luftelectricität während der Jahre 1850, 1851, 1852 und 1853 . „ 131
Zonenbeobachtungen während der Jahre 1850, 1851, 1852, 1853 und 1854 . . „ 177
Magnetische Beobachtungen im Jahre 1854 „ 295
Meteorologische Beobachtungen im Jahre 1854 „ 333

VIII. Band. (Der vollständigen Sammlung XXIII. Band), München 1855.
Stündlicher Gang und monatliche Mittel der Temperatur und des Luftdruckes nach den Aufzeichnungen der registrirenden Instrumente während der Jahre 1848 bis 1854 S. 1

IX. Band. (Der vollständigen Sammlung XXIV. Band), München 1857.
Magnetische Beobachtungen während des Jahres 1855 S. 1
Meteorologische Beobachtungen während des Jahres 1855 „ 39
Beobachtungen der Luftelectricität während der Jahre 1854 und 1855 „ 95
Temperatur der Isar und der Quellen in den Jahren 1852 bis 1856 „ 121
Zonenbeobachtungen während des Jahres 1855 „ 135
Schwankungen der magnetischen Kraft während der Jahre 1846 bis 1855 „ 161

X. Band. (Der vollständigen Sammlung XXV. Band), München 1858.
Magnetische Beobachtungen, 1856 S. 1
Meteorologische Beobachtungen, 1856 „ 39
Beobachtungen der Luftelectricität, 1856 „ 95
Meteorologische Beobachtungen, 1857 „ 109
Beobachtungen der Hauptsterne am Meridiankreise, 1850 bis 1857 „ 165

XI. Band. (Der vollständigen Sammlung XXVI. Band), München 1862.
Magnetische Beobachtungen, 1857 und 1858 S. 1
Meteorologische Beobachtungen, 1858 „ 67
Meteorologische Beobachtungen, 1859 „ 123
Meteorologische Beobachtungen, 1860 „ 179
Meteorologische Beobachtungen, 1861 „ 235

XII. Band. (Der vollständigen Sammlung XXVII. Band), München 1860.
Stündlicher Gang und monatliche Mittel der Temperatur und des Luftdruckes, 1855 bis 1859 S. 1

XIII. Band. (Der vollständigen Sammlung XXVIII. Band), München 1864.
Magnetische Beobachtungen, 1859 bis 1862 S. 1
Meteorologische Beobachtungen, 1862 und 1863 „ 147
Beobachtungen der Hauptsterne am Meridiankreise, 1858 und 1859 „ 257

XIV. Band. (Der vollständigen Sammlung XXIX. Band), München 1865.
Beobachtungen der Hauptsterne am Meridiankreise, 1860 bis 1863 S. 1
Zonenbeobachtungen, 1856 bis 1863 „ 123

XV. Band. (Der vollständigen Sammlung XXX. Band), München 1867.
Stündlicher Gang und monatliche Mittel der Temperatur und des Luftdruckes, 1860 bis 1866 . . . S. 1

XVI. Band. (Der vollständigen Sammlung XXXI. Band), München 1867.
Beobachtungen der Hauptsterne, 1864 und 1865 S. 1
Magnetische Beobachtungen, 1863 bis 1866 ,, 47
Meteorologische Beobachtungen, 1864 bis 1866 ,, 193

XVII. Band. (Der vollständigen Sammlung XXXII. Band), München 1869.
Constanten und Tafeln, welche an der Münchener Sternwarte bei Reduction der Beobachtungen gebraucht worden sind pag. III
Zonenbeobachtungen, 1864 bis 1868 S. 1
Beobachtungen der Hauptsterne am Meridiankreise, 1867 und 1868 ,, 54
Magnetische Beobachtungen, 1867 und 1868 ,, 105
Meteorologische Beobachtungen 1867 und 1868 ,, 179
Refractor-Beobachtungen 1836 bis 1839 ,, 289

XVIII. Band. (Der vollständigen Sammlung XXXIII. Band), München 1871.
Stündlicher Gang und monatliche Mittel der Temperatur und des Luftdruckes, 1867 und 1868 S. 1
Schwankungen der magnetischen Kraft, 1856 bis 1865 ,, 103

XIX. Band. (Der vollständigen Sammlung XXXIV. Band), München 1873.
Meteorologische und magnetische Beobachtungen, 1870 und 1871 S. 1
Meteorologische und magnetische Beobachtungen, 1869 ,, 193
Beobachtungen der Hauptsterne am Meridiankreise, 1869 und 1870 ,, 285
Zonenbeobachtungen, 1869 und 1870 ,, 336

XX. Band. (Der vollständigen Sammlung XXXV. Band), München 1874.
Meteorologische und magnetische Beobachtungen 1872, 1873 S. 1
Mittlere Positionen von 2112 kleineren Sternen, reducirt auf 1850 ,, 193
Anhang zu dem vorhergehenden Sternverzeichnisse, enthaltend die Reduction etc. . ,, 263

XXI. Band. (Der vollständigen Sammlung XXXVI. Band), München 1876.
Meteorologische und magnetische Beobachtungen, 1874 und 1875 S. 1
Beobachtungen der Hauptsterne am Meridiankreise, 1871 und 1872 ,, 193
Luft-Temperatur- und Barometerstand Morgens von 1 bis 6 Uhr und Abends von 7 bis 12 Uhr, 1869 bis 1875 nach den registrirenden Instrumenten . . ,, 269

Supplementbände zu den Annalen der Königlichen Sternwarte bei München. (I bis XIII herausgegeben von Lamont, XIV von Seeliger).

I. Supplementband: Beobachtungen des Meteorologischen Observatoriums auf dem Hohenpeissenberg von 1792 bis 1850, München 1851. (Anhänge mit Ergänzungen.)

II. Supplementband: Meteorologische Beobachtungen, aufgezeichnet an der Königlichen Sternwarte bei München in den Jahren 1825 bis 1837, München 1857.

III. Supplementband: Monatliche und jährliche Resultate der . . . in dem 32jährigen Zeitraume 1825 bis 1856 angestellten meteorologischen Beobachtungen, München 1859.

IV. Supplementband: Annalen der Königlichen Sternwarte bei München, IV. Supplementband, München 1863.
Beobachtung der totalen Sonnenfinsterniss vom 18. Juli 1860 S. 1
Magnetische Beobachtungen in Frankreich und Spanien im Jahre 1860 ,, 14
Ueber die Messung der Bodentemperatur in verschiedenen Tiefen, nebst Beobachtungen von November 1860 bis November 1862 ,, 91
Das magnetische Observatorium in München, wie es nach zweiundzwanzigjährigem Bestande sich gestaltet hat ,, 114
Zusammenstellung und Berechnung der absoluten Intensitätsbeobachtungen von 1841 bis 1858 ,, 140

V. Supplementband: Verzeichniss von 9412 Aequatorial-Sternen zwischen + 3° und — 3° Declination, . . . reducirt auf den Anfang des Jahres 1850. München 1866.

VI. Supplementband: Monatliche und jährliche Resultate der . . . in dem 10jährigen Zeitraume 1857 bis 1866 angestellten meteorologischen Beobachtungen. München 1868.

VII. Supplementband: Beobachtungen des meteorologischen Observatoriums auf dem Hohenpeissenberg von 1851 bis 1864. München 1868.

VIII. Supplementband: Verzeichniss von 6323 telescopischen Sternen zwischen + 3° und + 9° Declination, . . . reducirt auf den Anfang des Jahres 1850. München 1869.

IX. Supplementband: Verzeichniss von 4793 telescopischen Sternen zwischen — 3° und — 9° Declination, . . . reducirt auf den Anfang des Jahres 1850. München 1869.

X. Supplementband: Astronomisch-geodätische Bestimmungen, ausgeführt an einigen Hauptpunkten des Bayerischen Dreiecknetzes. München 1871.

XI. Supplementband: Verzeichniss von 3571 telescopischen Sternen zwischen + 9° und + 15° Declination, . . . reducirt auf den Anfang des Jahres 1850. München 1871.

XII. Supplementband: Verzeichniss von 4093 telescopischen Sternen zwischen — 9° und — 15° Declination, . . . reducirt auf den Anfang des Jahres 1850. München 1872.

XIII. Supplementband: Verzeichniss von 5563 telescopischen Sternen, nördlich von + 15° und südlich von — 15° Declination, . . . reducirt auf den Anfang des Jahres 1850. München 1874.

XIV. Supplementband: Nachträge zu den Zonenbeobachtungen der Sternwarte bei München. Unter Leitung J. v. Lamont's zusammengestellt und gedruckt. Auf öffentliche Kosten herausgegeben von Hugo Seeliger. München 1884.

Jahrbuch der Königlichen Sternwarte bei München. Verfasst und herausgegeben von Dr. J. Lamont.

Erster Jahrgang: 1838. (Ephemeriden, geographische Notizen, Maass-, Gewichts- und Münz-Tabellen, physicalische Constanten, statistische Notizen, populär-astronomische Aufsätze.)

Zweiter Jahrgang: 1839. (Ebenso.)

Dritter Jahrgang: 1840. (Ebenso.)

Vierter Jahrgang: 1841. (Ebenso.)

Astronomischer Kalender für das Königreich Bayern, verfasst und herausgegeben an der k. Sternwarte bei München von Dr. J. Lamont.

Auf das gemeine Jahr 1850. München 1849.
(Kalender. Astronomische Angaben. Reductionstabellen der Temperatur, des Luft- und Dunstdruckes auf Mittelwerthe. Verhältnisse und Thätigkeit der Sternwarte. Populäre Aufsätze von Lamont und Kuhn.)

Auf das gemeine Jahr 1851. München 1849.
(Kalender. Astronomische Angaben. Magnetische Constanten. Höhenpunkte in Bayern. Tafeln zur Berechnung der Höhe aus Barometer- und Hypsometer-Beobachtungen. Populäre Aufsätze von Lamont, Kuhn, Meister und Pollak.)

Auf das gemeine Jahr 1852. München 1850.
(Kalender. Populäre Aufsätze von Lamont, Kuhn, Meister und Pollak.)

Auf das gemeine Jahr 1853. München 1852.
(Kalender. Höhenpunkte der Pfalz. Höhe der Bahnhöfe etc. der Ludwigs-West-Bahn und der Augsburg–Ulmer–Bahn. Wassermenge zweier Quellen bei Dillingen. Auszüge aus dem Jahresbericht der Sternwarte für 1852.)

Jahresbericht der Königlichen Sternwarte bei München, . . . erstattet an den Königlichen General-Conservator der wissenschaftlichen Sammlungen und Vorstand der Königlichen Academie der Wissenschaften Herrn Geh. Rath Fr. v. Thiersch, von . . . Dr. J. Lamont.

Für 1852. München 1852.
(Allgemeines. Die Sternwarte. Astronomische, magnetische und meteorologische Beobachtungen. Magnetische und galvanische Untersuchungen. Secundäre Aufgaben der Sternwarte. Herausgabe der Beobachtungen.)

Für 1854. München 1854.
(Astronomische Arbeiten. Magnetische und meteorologische Beobachtungen. Ueber meteorologische Institute. Die mechanische Werkstätte. Theorie der Magnetisirung des weichen Eisens durch den galvanischen Strom.)

Für 1858. München 1859.
(Ebenso.)

Meteorologische und magnetische Beobachtungen der k. Sternwarte bei München.

Jahrgang 1876, München 1877 bis Jahrgang 1882, München 1883.

Wochenberichte der Münchener Sternwarte, nur autographirt, Juni 1865 bis December 1869.

Ausser den im Vorigen verzeichneten Schriften der Sternwarte werden im folgenden systematischen Inhaltsverzeichniss des Zusammenhanges wegen noch die nachstehenden anderweitigen Schriften citirt werden:

Annalen für Meteorologie, Erdmagnetismus und verwandte Gegenstände, herausgegeben von Lamont.

Jahrgang 1842, I. Heft, München 1842 bis Jahrgang 1844, XII. Heft, München 1844.

Magnetische Reisebestimmungen. Sämmtlich von Lamont.

Magnetische Ortsbestimmungen an verschiedenen Punkten des Königreiches Bayern. 2 Theile. München 1854 und 1856.
Magnetische Karten von Deutschland und Bayern, München 1854.
Untersuchungen über die Richtung und Stärke des Erdmagnetismus an verschiedenen Punkten des südwestlichen Europa, München 1858.
Untersuchungen über die Richtung und Stärke des Erdmagnetismus in Norddeutschland, Belgien, Holland, Dänemark, München 1859.

Die „Denkschriften der k. bayer. Academie der Wissenschaften" enthalten von Lamont:

Bd. XVI Abth. III: Bestimmung der Horizontalintensität des Erdmagnetismus nach absolutem Maasse.
Bd. XIX Abth. III: Resultate der magnetischen Beobachtungen während der dreijährigen Periode 1840, 1841, 1842.
Bd. XXII Abth. I: Resultate des magnetischen Observatoriums in München während der dreijährigen Periode 1843, 1844, 1845.
Bd. XXV: Beschreibung der an der Münchener Sternwarte zu den Beobachtungen verwendeten neuen Instrumente und Apparate.

Die Abhandlungen der II. Klasse der k. bayer. Academie enthalten von Lamont:

Bd. VIII Abth. I: Resultate aus den an der k. Sternwarte veranstalteten meteorologischen Untersuchungen.

Einzelne Schriften von Lamont.

Ueber das magnetische Observatorium der k. Sternwarte in München. München 1842.
Ueber die zehnjährige magnetische Periode und über das Verhältniss der magnetischen Intensitäts- und Inclinationsänderungen; Sitzungsberichte der k. bayer. Acad., 1862, II.
Astronomische Bestimmung der Lage des bayer. Dreiecknetzes auf dem Erdsphäroid, zwei Mittheilungen, die erste: Sitzungsberichte der Acad. 1865 I, die zweite: München 1866, separat.

II. Systematisches Inhaltsverzeichniss.

Uebersicht.

A. Astronomie.
- Die Sternwarte 1
- Soldner's Meridianbeobachtungen . . 2
- Lamont's Meridianbeobachtungen . . 3
- Reducirte Meridianbeobachtungen der Sonne, des Mondes und der Planeten . . 4
- Zonenbeobachtungen 5
- Sternverzeichnisse 6
- Beobachtungen mit dem Mittagsrohr . 7
- Saturn-Trabanten 8
- Cometen 9
- Sternhaufen und Nebelflecken . . . 10
- Doppelsterne 11
- Geodätische Arbeiten 12
- Ephemeriden 13
- Physicalische Astronomie 14

B. Meteorologie.
- Allgemeine Abhandlungen . . . 15
- Directe Beobachtungen 16
- Registrirbeobachtungen des Thermometers und Barometers 17
- Meteorologische Mittelbildungen . . 18
- Vergleichende Meteorologie, Climatologie . 19
- Temperatur des Bodens und der Gewässer 20
- Luft-Electricität 21

C. Erdmagnetismus.
- Allgemeines 22
- Observatorium, Instrumente, Methoden . 23
- Beobachtungen 24
- Schwankungen 25
- Störungen 26
- Mittelbildungen und Resultate . . . 27
- Reisebestimmungen 28
- Sonstige Vergleichungen für verschiedene Orte 29

D. Verschiedenes.
- Physicalische Zusammenstellungen . . 30
- Höhen 31
- Geographie 32
- Statistik 33
- Maasse, Gewichte, Münzen . . . 34
- Populäre Abhandlungen 35

Im Folgenden sind die „Astronomischen Beobachtungen" und die „Observationes Astronomicae" in fortlaufender Reihe von Theil I bis Vol. XV citirt, während die Annalen der Sternwarte von Bd. 1 bis 21 gezählt sind.

1. Die Sternwarte.

Geographische Position, mit astronomischen Tafeln für diese Position .	Annalen Bd. 17	S. III
Einrichtung und Geschichte.		
Gründung und Einrichtung	Jahrbuch für 1838	S. 141
Geschichtliche Uebersicht der Beobachtungen von 1819 bis 1827 .	„ „ 1838	„ 148
„ „ „ „ „ 1828 bis 1835 .	„ „ 1838	„ 154
„ „ „ „ „ 1836	„ „ 1838	„ 156
„ „ „ „ „ 1837	„ „ 1839	„ 174
„ „ „ „ „ 1838	„ „ 1840	„ 185
Ferner, neben „Beschreibung der an der K. Sternwarte“ noch:		
Bericht über die Verhältnisse und Thätigkeit der Sternwarte . .	Kalender für 1850	S. 105
Das Sternwartgebäude und seine Theile	Jahresbericht für 1852	„ 7
Astronomische Instrumente und Beobachtungsmethoden . . .	„ „ 1852	„ 9
Auszug hieraus	Kalender für 1853	„ 116
Ferner zur Geschichte	Jahresbericht für 1854	„ 1
	„ „ 1859	„ 1
Secundäre Aufgaben	„ „ 1852	„ 135
Die Mechanische Werkstätte	„ „ 1854	„ 24
	„ „ 1858	„ 80
Publicationen:		
Geschichte derselben	Annalen Bd. 1	S. III
	„ „ 20	„ III
	Jahresbericht für 1852	„ 138

2. Soldner's Meridianbeobachtungen der Hauptsterne, sowie der Sonne, des Mondes und der Planeten.

Soldner's Beobachtungen werden unverändert nach dem Tagebuche mitgetheilt. Es finden sich:

Die Beobachtungen der letzten Tage von 1819, sowie		
Die Beobachtungen von 1820, 1821	in Astronomische Beobachtungen	I. Theil
„ „ „ 1822	„ „	II. „
„ „ „ 1823, 1824	„ „	III. „
„ „ „ 1825, 1826	„ „	IV. „
„ „ „ 1827	„ „	V. „

Druckfehler: Zu Theil II siehe Theil IV Ende.
„ „ III „ „ III „
„ „ IV „ „ IV „

Inhalt: Die unmittelbar bei der Beobachtung abgelesenen Grössen ohne jede Reduction.

Nachweise zur Reduction:

Der erste Band, welcher allein noch von Soldner herausgegeben ist, enthält nur allgemeine Bemerkungen von Soldner über die Berichtigung der Instrumente im Vorwort.

Theil II, III, IV geben in der Einleitung die Methode der Reduction und sodann für jeden Beobachtungstag des betreffenden Bandes die Instrumentalfehler, den Stand und Gang der Uhr und den Ort des Pols am Kreise.

Theil V enthält diese Reductionen nicht, jedoch liegen dieselben im Manuscript vor.

Im Allgemeinen vergleiche man: Astronomische Beobachtungen Theil II, Einleitung.
Annalen, Bd. 17, pag. IV bis VI und IX bis XVIII.
Supplementband 12, S. 223, Druckfehler dazu Bd. 12 S. 352.
„ 12, S. 315.

3. Lamont's Meridianbeobachtungen der Hauptsterne und einer Anzahl kleinerer Sterne, sowie der Sonne, des Mondes und der Planeten.

Anordnung.

Die Correction des Instrumentes und der Uhr ist in die Uebersicht der Beobachtungen aufgenommen.

Am Ende jedes Bandes der Observationes Astronomicae findet man die Correctio horologii und den locus poli in circulo.

Die Anordnung ist in jedem Bande auf S. 1 erklärt.

Ueber die Reduction.

Im Allgemeinen	Observationes Astronomicae Introductio zu Vol. VIII und IX.
Speciell über den locus poli . .	„ „ Introductio zu Vol. VII pag. III.
Ferner	Annalen Bd. 17 pag. IV bis VI und IX bis XVIII.
	Supplementband 12 S. 223, Druckfehler dazu S. 352.

Resultate der Beobachtungen: Supplementband 12 S. 315.

Die Beobachtungen für die Jahre	sind enthalten in	Bemerkungen
1828, 1829, 1830	Observationes Astronomicae Vol. VI	Druckfehler siehe Vol. VII pg. 148. Im Jahr 1830 ist statt der Schumacher'schen Tafeln zum ersten Mal das Berliner Jahrbuch zu Grunde gelegt.
1831, 1832	„ „ „ VII	Druckfehler (auch für die Correctio Horologii) siehe Vol. VII pg. 148.
1833	„ „ „ VIII	Druckfehler (auch für die Corr. Hor.) S. 124 und Vol. IX pg. XV.
1834	„ „ „ IX	Druckfehler pg. XV. Ueber die Tendenz der Beobachtungen vergl. die Praefatio, ferner über den Quecksilberhorizont Vol. X Praefatio.
1835, 1836, 1837	„ „ „ X	Druckfehler S. 120. Ueber die Tendenz dieser und der folgenden Beobachtungen (d. h. am Meridiankreis nur noch Zeitbestimmungen) Vol. X Praefatio.
1838, 1839	„ „ „ XI von S. 31 ab.	
1840	„ „ „ XI S. 104.	
1841	„ „ „ XII von S. 122 ab.	
1842	„ „ „ XIII S. 96 bis 321	
1843	„ „ „ XIV „ 99 bis 122	
1844	„ „ „ XV „ 45 bis 55	
1845 bis 1849	Annalen Bd. 5 S. 1	Von jetzt ab ist die Uebersicht der Durchgänge von derjenigen der Zenithdistanzen getrennt, jedoch stets in demselben Bande mitgetheilt.
1850 bis 1857	„ „ 10 „ 166	Erklärung (Einführung des Registrirapparates) S. 165. Vergl. auch: „Beschreibung der an der . .“
1858, 1859	„ „ 13 „ 258	Erklärung S. 257.
1860, 1861, 1862, 1863	„ „ 14 „ 2	Erklärung S. 1.
1864, 1865	„ „ 16 „ 2	Vergl. S. 1.
1867, 1868	„ „ 17 „ 55	Bemerkungen zu diesen und den folgenden Beobachtungen S. 54. Druckfehler dazu S. 337.
1869, 1870	„ „ 19 „ 286	
1871, 1872	„ „ 21 „ 194	Bemerkungen S. 193.

4. Reducirte Meridianbeobachtungen der Sonne, des Mondes und der Planeten.

Beobachtungen dieser Art finden sich in den Bänden der Astronomischen Beobachtungen und der Observationes Astronomicae, also von Ende 1819 bis zum Jahr 1844, mit Ausnahme von Band XIV.

Bezüglich der Reduction der Beobachtungen vergleiche man die allgemeinen Nachweise der vorigen Seite und ebenso die speciellen Nachweise bei den einzelnen Bänden.

Nicht reducirt sind die Beobachtungen von Astronomische Beobachtungen Theil I, und V.
Observationes Astronomicae Vol. X, und XV.

Man vergleiche auch die Nachweise zu den Beobachtungen mit dem Mittagsrohr.

Im Folgenden werden die reducirten Beobachtungen nachgewiesen:

Reducirte Beobachtungen vom Jahre	finden sich	Bemerkungen
Sonne		
1822	Astronomische Beobachtungen Theil II pag. X	Diese und die folgenden Sonnenbeobachtungen sind mit Carlini's Tafeln verglichen.
1823, 1824	„ „ „ III „ XI	
1825, 1826	„ „ „ IV „ X	
1828, 1829, 1830	Observationes Astronomicae Vol. VI S. 141	
1831, 1832	„ „ „ VII „ 110	Von jetzt ab verglichen mit Bessel's Tafeln; zugleich ist die mora transitus angegeben.
1833	„ „ „ VIII „ 104	Mora transitus im Text. Druckfehler S. 124.
1834	„ „ „ IX „ 117	Mit mora transitus und diameter verticalis.
1840	„ „ „ XI „ 146	Dasselbe in den Text aufgenommen.
1841	„ „ „ XII „ 174	Ebenso.
1842	„ „ „ XIII „ 138	Ebenso.
Mond		
1822	Astronomische Beobachtungen Theil II S. XI	
1823, 1824	„ „ „ III „ XIII	
1825, 1826	„ „ „ IV „ XIII	
1828, 1829	Observationes Astronomicae Vol. VI pag. 144	
1832	„ „ „ VII „ 117	
1833	„ „ „ VIII „ 107	Verglichen mit Damoiseau's Tafeln.
1834	„ „ „ IX „ 124	
Mercur		
1828	Observationes Astronomicae Vol. VI pag. 144	
Venus		
1825	Astronomische Beobachtungen Theil IV S. XIV	
1828	Observationes Astronomicae Vol. VI pag. 144	
Mars		
1822	Astronomische Beobachtungen Theil II S. XII	
1825	„ „ „ IV „ XIV	
1830	Observationes Astronomicae Vol. VI pag. 145	
1832	„ „ „ VII „ 118	Verglichen mit dem Berliner Jahrbuch.
1834	„ „ „ IX „ 127	Verglichen mit dem Naut. Alm.
Vesta		
1822	Astronomische Beobachtungen Theil II S. XII	
1823	„ „ „ III „ XIV	
1825	„ „ „ IV „ XIV	
1832	Observationes Astronomicae Vol. VII pag. 119	Von jetzt ab mit dem Berliner Jahrbuch verglichen.
1833	„ „ „ VIII „ 109	
1834	„ „ „ IX „ 127	
Juno		
1824	Astronomische Beobachtungen Theil III S. XIV	
1825, 1826	„ „ „ IV „ XIV	
1832	Observationes Astronomicae Vol. VII pag. 119	Von jetzt ab mit dem Berliner Jahrbuch verglichen.
1833	„ „ „ VIII „ 109	
1834	„ „ „ IX „ 127	
Pallas		
1826	Astronomische Beobachtungen Theil IV S. XIV	
1830	Observationes Astronomicae Vol. VI pag. 145	Von jetzt ab mit dem Berliner Jahrbuch verglichen.
1832	„ „ „ VII „ 119	
1834	„ „ „ IX „ 127,128	

Reducirte Beobachtungen vom Jahre	finden sich	Bemerkungen
Ceres		
1823	Astronomische Beobachtungen Theil III S. XIV	
1826	,, ,, ,, IV ,, XIV	
1830	Observationes Astronomicae Vol. VI pag. 145	Von jetzt ab mit dem Berliner Jahrbuch verglichen.
1831, 1832	,, ,, ,, VII ,, 118, 119	
1834	,, ,, ,, IX ,, 128	
Jupiter		
1822	Astronomische Beobachtungen Theil II S. XII	
1824	,, ,, ,, III ,, XIV	
1825	,, ,, ,, IV ,, XIV	
1828, 1829, 1830	Observationes Astronomicae Vol. VI pag. 144, 145	Von 1830 ab mit dem Berliner Jahrbuch verglichen.
1831, 1832	,, ,, ,, VII ,, 118, 119	
1833	,, ,, ,, VIII ,, 109	
Saturn		
1822	Astronomische Beobachtungen Theil II S. XII	
1823	,, ,, ,, III ,, XIV	
1825	,, ,, ,, IV ,, XIV	
1831, 1832	Observationes Astronomicae Vol. VII pag. 118, 119	Von jetzt ab mit dem Berliner Jahrbuch verglichen.
1833	,, ,, ,, VIII ,, 109	
1834	,, ,, ,, IX ,, 128	Verglichen mit dem Nautic. Alm.
Uranus		
1822	Astronomische Beobachtungen Theil II S. XII	
1829, 1830	Observationes Astronomicae Vol. VI pag. 145	Von 1830 ab mit dem Berliner Jahrbuch verglichen.
1831, 1832	,, ,, ,, VII ,, 118, 120	
1833	,, ,, ,, VIII ,, 109	
1834	,, ,, ,, IX ,, 128	Verglichen mit dem Naut. Alm.

5. Zonenbeobachtungen.

Die Observationes Astronomicae enthalten in Vol. XI pag. 57 eine kurze Erklärung der Anordnung, welche übrigens jeder der folgenden Bände mittheilt.

Ueber die Reduction vergleiche man Observationes Astronomicae Vol. XII pag. I.
Supplementband 5, Vorrede und S. 545 fgde.

Hilfstafeln zur Reduction sind enthalten Supplementband 14, S. 66, Verbesserungen dazu S. 129.

Nachträge zu den Zonen Supplementband 14, S. 24.
Berichtigungen ,, 14, ,, 30.
Unregelmässigkeiten ,, 14, ,, 127.

Uebersicht der Zonen.

Jahre	Zonen	Nachweis	Bemerkungen
1840	1 bis 62	Observationes Astronomicae Vol. XI pag. 57	Reduction dazu XII pag. VII. Conspectus Zonarum XI pag. 148. Die Uebersicht enthält hier und im Folgenden die Fadennummer, Durchgangszeit, Zenithdistanz und Grösse.
1841	63 ,, 150	,, ,, ,, XII ,, 1	Reduction dazu XII pag. XXV. Conspectus Zonarum pag. 176.
1842	151 ,, 223	,, ,, ,, XIII ,, 1	Conspectus Zonarum pag. 140.
1843	224 ,, 271	,, ,, ,, XIV ,, 1	Conspectus Zonarum pag. 127.
1844	272 ,, 310	,, ,, ,, XV ,, 1	Conspectus Zonarum pag. 99.

Jahre	Zonen	Nachweis	Bemerkungen
1845, 1846, 1847	311 bis 417	Annalen Band 2 S. 1	Zonenübersicht fehlt jetzt und im Folgenden.
1848, 1849	418 „ 481	„ „ 4 „ 78	Kurze Notiz 4 S. 77.
1850 bis 1854	482 „ 575	„ „ 7 „ 178	Beginn der Registrirbeobachtungen. Vergl 7 S. 177 und 294, ebenso die Denkschrift: „Beschreibung der an der Münchener Sternwarte verwendeten neuen Instrumente und Apparate"; namentlich aber Annalen Band 17 S. 1.
1855	576 „ 596	„ „ 9 „ 136	Fadendistanzen dazu S. 160.
1856 bis 1863	597 „ 790	„ „ 14 „ 124	Erklärung S. 123, Druckfehler pag. IV.
1864, 1865	791 „ 809	„ „ 17 „ 2	
1867, 1868	810 „ 833	„ „ 17 „ 24	Hierzu und zum Folgenden vergl. 17 S. 1.
1869, 1870	834 „ 862	„ „ 19 „ 336	Vergl. S. 371 und 372. S. 337 bis 352 ist am Kopf der Seite 1870 statt 1869 gedruckt.
1871, 1872	863 „ 883	Supplementband 14 „ 1	

6. Sternverzeichnisse.

Sternverzeichnisse zu den **Meridian**beobachtungen, vergl. hierzu oben S. 7 und 8.

Spezielle Verzeichnisse.

Beobachtungen der Jahre	reducirt auf Anfang	Nachweis	Bemerkungen
1828, 1829, 1830, 1831	1830	Observationes Astronomicae Vol. VII pag. 120	Südliche Sterne.
1832	1832	„ „ „ VII „ 140	Aequatorsterne
1833	1833	„ „ „ VIII „ 110	Druckfehler pag. 124 und IX, pag. XV.
1834	1834	„ „ „ IX „ 129	Constanten pag. 147.

Allgemeines Verzeichniss.

Mittlere Positionen von 2112 kleineren Sternen, welche am Meridiankreise in den Jahren 1821 bis 1868 gelegentlich beobachtet worden sind, reducirt auf 1850. Nebst Anhang, betreffend die Reduction auf den Jahresanfang (mit Ausnahme des in Observ. Astr. Vol. VII, VIII, IX bereits mitgetheilten) . . . Annalen 20 S. 193

Nachträge dazu „ 20 „ 371

Sternverzeichnisse zu den **Zonen**beobachtungen.

Specielles Verzeichniss.

Zonen des Jahres 1840, reducirt auf den Anfang des Jahres 1840 Observationes Astronomicae Vol. XV pag. 56.

Allgemeine Verzeichnisse.

Jedem der folgenden 6 Verzeichnisse sind in demselben Bande beigegeben: Vergleichungen mit Lalande, Bessel, Rümker, Schjellerup. Erklärung der Reduction und Elemente derselben. Anmerkungen, Correcturen betreffend. Druckfehler. Zonenverzeichniss (mit Ausnahme des ersten Verzeichnisses).

Anzahl	Declination	Reducirt auf	Nachweis	Bemerkungen
9412	+ 3° bis — 3°	1850	Supplementband 7	Fernere Druckfehler und Verbesserungen: 8, S. 371, 8, S. 391, 13, S. 357.
6323	+ 3° bis + 9°	1850	„ 8	Vergl. 13, S. 357.
4793	— 3° bis — 9°	1850	„ 9	Vergl. 13, S. 357.
3571	+ 9° bis + 15°	1850	„ 11	Vergl. 13, S. 357.
4093	— 9° bis — 15°	1850	„ 12	Vergl. 13, S. 358.
5563	Ausserhalb — 15° bis + 15°	1850	„ 13	

Nachträge zu diesen allgemeinen Verzeichnissen.

Supplementband 13, S. 211: Diejenigen zu einem jeden der vorigen 6 Verzeichnisse gehörigen Sterne, welche seit dem Erscheinen des betreffenden Verzeichnisses beobachtet worden sind.

„ 13, S. 245: Neuere Bestimmungen von Positionen, die in den Verzeichnissen bereits enthalten sind.

Diesen beiden Nachträgen sind in demselben Band beigegeben, wie bei den Verzeichnissen selbst, die Vergleichungen, Reduction, Anmerkungen, Druckfehler und Berichtigungen.

Weitere nachträgliche mittlere Positionen Supplementband 14, S. 41
Vereinigung der neueren Positionen mit den früheren „ 14, „ 157
Revisionen der Sternverzeichnisse „ 14, „ 131
Nachträge zu den Vergleichungen „ 14, „ 188

7. Beobachtungen mit dem Mittagsrohr.

Nachweise zur Reduction Observationes Astronomicae Vol. VIII pag. VI
„ „ „ IX „ XI
Annalen Band 17 „ IV

Uebersicht
1819 bis 1822 . . . Astronomische Beobachtungen Theil V S. 52
1833 Observationes Astronomicae Vol. VIII pag. 91, Druckfehler pag. 124.
1834 „ „ „ IX „ 101

8. Saturn-Trabanten.

Beobachtungen derselben, 1836, 1837 Observationes Astronomicae Vol. XI pag. 23

9. Cometen.

Comet 1819, beobachtet mit dem Theodolithen, Kreismikrometer und Meridiankreis, nebst Reduction der Beobachtungen und Bemerkungen dazu . . . Astronomische Beobachtungen Theil V pag. V
Comet 1822, beobachtet mit einem Kreismikrometer, nebst Reduction der Beobachtungen „ „ „ V „ XI
Comet 1823, beobachtet am Meridiankreis „ „ „ III „ XV
Comet 1825, beobachtet an einem Kreismikrometer . . „ „ „ V „ XVI
1825: Biela'scher Comet, beobachtet an einem Kreismikrometer „ „ „ V „ XX
am Meridiankreis . . „ „ „ IV „ XV
1836: Halley'scher Comet, beobachtet am Positionsmikrometer des grossen Refractors Observationes Astronomicae Vol. XI pag. 1
vergl. auch Annalen Band 17 S. 289

10. Sternhaufen und Nebelflecken.

Beobachtet am grossen Refractor. Im Ganzen vergleiche . Annalen Band 17 S. 289
Ebenso „ „ 17 „ 336
ε Lyrae und Nachbarsterne Observationes Astronomicae Vol. XI pag. 8
Sternhaufen im Sobieski'schen Schild „ „ „ XI „ 9
Nachtrag dazu Annalen Band 17 S. 324
„ Orion-Nebel Observationes Astronomicae Vol. XI pag. 17
„ Perseus Annalen Band 17 S. 316
„ Pfeil „ „ 17 „ 335
Nebel: Messungen an verschiedenen Nebelflecken . . „ „ 17 „ 305
Omega-Nebel „ „ 17 „ 332

11. Doppelsterne.

Grössere Sterne, welche sehr kleine Begleiter haben Annalen Band 17 S. 291
Ferner „ „ 20 „ 371

12. Geodätische Arbeiten.

Azimuth- und Polhöhenbestimmungen für Benedictbeuern, Hohenpeissenberg, München, Coburg, Nürnberg Supplementband 10.
Vergl. auch „Astronomische Bestimmung der Lage des Bayerischen Dreiecknetzes“.

13. Ephemeriden.

Von der Münchener Sternwarte sind zum Zweck der Kalenderrechnung zwei Serien von Ephemeriden herausgegeben worden, die eine den Zeitraum 1838 bis 1841, die andere den Zeitraum 1850 bis 1853 umfassend.

Erste Serie.

Die Ephemeriden geben ausser den Erscheinungen und Constellationen in einer einzigen Uebersicht: Auf- und Untergang, Rectascension und Declination von Sonne, Mond, Planeten (für jeden zehnten Tag).

Ferner: Hilfstafel, um aus den Ephemeriden den Auf- und Untergang der Himmelskörper für andere Orte zu finden. Mittlere Oerter der Fundamentalsterne. Uebersicht des Sonnensystems.

Diese Einrichtung ist befolgt im Jahrbuch für 1838

Die folgenden Jahrgänge weichen hiervon und unter sich etwas ab, unter Anderem, indem sie getrennte Uebersichten für die verschiedenen Gestirne geben . ,, ,, 1839

,, ,, 1840

,, ,, 1841

Zweite Serie.

Ueber die Herausgabe astronomischer Ephemeriden Annalen Band 2 S. III

Inhalt: Zeit- und Festrechnung. Ephemeride der Sonne und des Mondes für jeden Tag. Planetenephemeride für jeden zwölften Tag. Lage und Grösse des Saturnringes. Mittlere Oerter der Hauptsterne. Sonnen- und Mondfinsternisse. Uebersichten des Sonnensystems. Anweisung zur Reduction der Kalenderbestimmungen auf andere Orte Bayerns mit Hilfstabellen. Tab. I: Geographische Positionen der vorzüglichsten Orte in Bayern. Tab. II: Correctionstabelle für die Zeit des Auf- und Unterganges der Gestirne.

Es sind enthalten: Die Ephemeriden für 1850 in Annalen Band 2 pag. V

,, ,, ,, 1851 ,, ... ,, ,, 3 ,, V

,, ,, ,, 1852 ,, ... ,, ,, 4 ,, V

,, ,, ,, 1853 ,, ... ,, ,, 5 ,, V

Diese vier Jahrgänge sind auch separat als „Astronomischer Kalender“ publicirt und enthalten ausser dem Vorigen die Genealogie des königlichen Hauses, die kirchlichen Namen der Tage, nebst Erscheinungen und Beobachtungen der Witterung. In letzterer Beziehung vergl. Kalender für 1850, S. 32.

14. Zur physicalischen Astronomie.

Physische Beschaffenheit des Donati'schen Cometen Jahresbericht für 1858 S. 17

Ein Apparat, die Helligkeit der einzelnen Theile der Sonnenoberfläche zu bestimmen ,, ,, 1852 ,, 39

Erscheinungen bei totalen Sonnenfinsternissen ,, ,, 1858 ,, 12

Die Sonnenfinsterniss 1860 in Spanien Supplementband 4 S. 1

Druckfehler dazu ,, 4 pag. IV

15. Allgemeine meteorologische Abhandlungen.

Ueber meteorologische Beobachtungen Jahrbuch für 1841 S. 117

Jahresbericht für 1852 ,, 62

,, ,, 1854 ,, 18

Das Sonnenthermometer Annalen Band 6 S. 298

Jahresbericht für 1852 ,, 70

Instrumente und Methoden der Münchener Beobachtungen.

Hierzu vergl., namentlich in Rücksicht auf die folgenden Beobachtungen . . . Supplementband 3 pag. V } Druckfehler Bd. 6, Schluss.

,, 6 ,, III }

Annalen Band 17 ,, XXII

Das Psychrometer Annalen für Meteorologie, Erdmagnetismus etc. Heft 1, S. 57.

16. Directe meteorologische Beobachtungen.

Jahre	Inhalt	Nachweis	Bemerkungen
1825 bis 1837	Barometer u. zugehöriges Thermometer. Temperatur. Windrichtung. Bewölkung u. Niederschläge. Beobachtungszeiten: Sonnenaufgang, $2^1/_2$ Uhr, Sonnenuntergang.	Supplementband 2	Instrumente und Beobachtungsweise, ebenso Mittelbildungen: Supplementband 2, Einleitung. Vergl. auch Jahrbuch für 1838, S. 170, 1841, S. 220.

Jahre	Inhalt	Nachweis	Bemerkungen
1841 April bis 1841 Dec.	Dunstdruck, alle 4 Stunden.	Annalen für Meteorologie, Erdmagnetismus etc. Heft 1, S. 52.	Berechnung Heft 1, Vorwort. Einrichtung des Psychrometers ebendas. S. 57. Therm. u. Bar. siehe unter Registrirbeob., desgl. zunächst im Folgenden.
1842	Dunstdruck; die Beobachtungszeiten wurden öfter gewechselt.	Ebendaselbst Heft 4, S. 116	
1841 bis 1843 Juni	Richtung und Stärke des Windes. Bewölkung. 1841 zweimal täglich, 1842 alle 4 Stunden, seit August 1842 zweistündlich.	„ „ 8, „ 4	
1843 Januar bis Juni	Dunstdruck, alle 2 Stunden.	„ „ 6, „ 138	
1843 Juli bis December	Dunstdruck, ebenso.	„ „ 8, „ 60	
1844 Januar bis März	Temperatur. Dunstdruck, alle 2 Stunden.	„ „ 10, „ 116	
	Richtung u. Stärke des Windes, Bewölkung. Zweistündlich.	„ „ 10, „ 134	
1844 April bis Juni	Dunstdruck, zweistündlich.	„ „ 12, „ 25	
	Barometer und Thermometer: bei Tage stündlich, bei Nacht: 8, 10, 11, 12, 1, 2, 4.		
	Richtung u. Stärke des Windes, sowie Bewölkung alle 2 Stunden. Für Mai und Juni Regenmengen.	„ „ 12, „ 40	
1844 Juli bis 1845 Nov.	Barometer und Thermometer: bei Tage stündlich, bei Nacht: 8, 10, 11, 12, 1, 2, 4. Dunstdruck, Bewölkung, Richtung und Stärke des Windes zweistündlich.	Annalen der Sternw. Bd. 2, S. 242.	Kurze Erklärung: Annalen Band 2, S. 241.
1845 December	Ebenso, aber nur bei Tage.	Ebendaselbst.	Ebenso.
1846 Januar	Dasselbe. Zeiten: 7, 8, 10, 2, 4.	Annalen Band 3, S. 74	
1846 Februar	Barometer und Thermometer: bei Tage stündlich; Dunstdruck, Bewölkung, Wind zweistündlich.	„ „ 3, „ 75	
1846 März bis December	Barometer (für 0°) und Thermometer: bei Tage stündlich, bei Nacht: 8, 10, 11, 12, 1, 2, 4.	„ „ 3, „ 76	
	Dunstdruck, Bewölkung u. Wind zweistündlich.		
1847 Januar	Ebenso.	Annalen Band 4, „ 2	
1847 Februar	Verschiedene Zeiten.	Ebendaselbst.	
1847 März bis 1847 Dec.	Barometer und Thermometer: stündlich von 7^h Morgens bis 6^h Abends.	„	Von jetzt ab finden gleichzeitig Registrirbeobachtungen statt.
	Dunstdruck, Bewölkung u. Wind 8, 10, 12, 2, 4, 6.		
	Gewitter 1847.	Annalen Band 4, S. 76	
1848, 1849, 1850	Ebenso.	„ „ 5, „ 102	
1851, 1852	Ebenso, jedoch von jetzt ab Zufügung des Wolkenzugs.	„ „ 6, „ 190	
	Gewitter.	„ „ 6, „ 342	
1853	Ebenso, mit Angabe d. Gewitter.	„ „ 7, „ 76	Druckfehler S. 388.

Jahre	Inhalt	Nachweis	Bemerkungen
1854	Ebenso, ohne Angabe der Gewitter.	Annalen Band 7, S. 334	Druckfehler S. 388.
1855	Ebenso, mit Angabe d. Gewitter.	„ „ 9, „ 40	
1856	Ebenso.	„ „ 10, „ 40	
1857	Ebenso, ohne Angabe der Gewitter, mit Angabe der Niederschlagshöhe.	„ „ 10, „ 110	
1858 bis 1861	Ebenso.	„ „ 11, „ 68	Niederschlagshöhe für 1861 Bd. 13, S. 256.
1862, 1863	Ebenso.	„ „ 13, „ 148	
1864 bis 1866	Ebenso, ohne Niederschlagshöhe.	„ „ 16, „ 194	Niederschlagshöhe 16, 356.
1867, 1868	Ebenso.	„ „ 17, „ 180	„ 17, 288.
1869	Ebenso.	„ „ 19, „ 194	Niederschläge S. 284.
Neue Form der Publicationen: Magnetische und meteorologische Beobachtungen verbunden.			
1870, 1871	Ebenso, zugleich auch Maximum- und Minimumthermometer, nebst Mittelbildungen, sowie Bodentemperaturen.	Annalen Band 19, S. 1	Zu allem Folgenden vergl. Band 20, S. 382.
1872, 1873	Ebenso.	„ „ 20, „ 1	
1874, 1875	Ebenso.	„ „ 21, „ 1	

1876 bis 1882 ist diese Form beibehalten, die Beobachtungen jedoch eigens publicirt unter dem Titel: Meteorologische und magnetische Beobachtungen der k. Sternwarte bei München, Jahrgang 1876 bis Jahrgang 1882. Der Jahrgang 1879 ist der letzte von Lamont, der von 1882 der erste und einzige von Prof. Seeliger separat herausgegebene.

1883 bis x. Die Beobachtungen sind veröffentlicht in „Beobachtungen der meteorologischen Stationen im Königreich Bayern." Die Anordnung ist die der Stationen zweiter Ordnung. Declination, Intensität und Inclination sind nur abgelesen 8^h 10^h 2^h 9^h. Am Ende jedes Quartals finden sich die 7-tägigen Ablesungen der Bodentemperaturen in 5 verschiedenen Tiefen. Mit dem letzten Quartal 1886 schliessen vorläufig die magnetischen Beobachtungen.

17. Stündliche Registrirbeobachtungen des Thermometers und Barometers.

Jahre	Nachweis	Bemerkungen
1841	Annalen für Meteorologie u. Erdmagn. Heft 1, S. 2	Correctur S. 1.
1842 Januar bis Juni	„ „ „ „ „ „ 3, „ 2	
1842 Juli bis December	„ „ „ „ „ „ 4, „ 90	
1843 Januar bis Juni	„ „ „ „ „ „ 6, „ 114	
1843 Juli bis December	„ „ „ „ „ „ 8, „ 36	
1844 Januar bis März	„ „ „ „ „ „ 10, „ 122	
1848 bis 1854	Annalen der Sternwarte Band 8, S. 2	Hierzu und zum Folgenden vergl. Bd. 8, S. 1 und die Denkschrift: Beschreibung der an der Münchener Sternwarte u. s. w.
1855 bis 1859	„ „ „ „ 12, „ 2	Erklärung, namentlich bezüglich der des Normalthermometers Bd. 12, pag. III. Vergleichung mit dem Quecksilberthermometer Bd. 12, S. 242. Siehe auch Bd. 17, pag. XXIII.
1860 bis 1866	„ „ „ „ 15, „ 2	Vergleichung mit dem Quecksilbertherm. S. 338. Druckfehler S. 396. Vergl. auch Bd. 17, pag. XXIII.
1867, 1868	„ „ „ „ 18, „ 2	
1869 bis 1875	„ „ „ „ 21, „ 270	Nur noch die Nachtstunden.

18. Meteorologische Mittelbildungen und Resultate.

Ueber die Berechnung der Monatsmittel der Temperatur, des Luft- und Dunstdruckes Annalen für Met. u. Erdmagn. Heft 9, S. 137
Annalen der Sternwarte Band 2, pag. LXX.

Mittelbildungen für einzelne Perioden.

1825 bis 1837 Supplementband 2, pag. X
1843, 1844, 1845 Annalen Band 1, S. 332
Für die Zeit seit 1870 vergl. unter „Directe Beobachtungen."

Mittelbildungen für die Gesammtheit der Münchener Beobachtungen. Resultate derselben.

1825 bis 1856. Dieser Zusammenstellung gehen voraus: Mittheilungen über die Beobachtungsart und die Instrumente; über die Reduction auf das Mittel, Interpolationsformeln, über Maxima und Minima: Supplementband 3.
Druckfehler hierzu: Supplementband 3, S. 302 und Supplementband 6, S. 216.
Man vergl. auch Abhandl. der II. Classe der Academie der Wissenschaften Bd. VIII, Abth. I: „Resultate aus den an der k. Sternwarte veranstalteten meteorologischen Untersuchungen."
Ferner: Jahresbericht für 1858, S. 57.

1857 bis 1866: Supplementband 6.
Druckfehler dazu: Supplementband 6, S. 215.

Mittelbildungen für die Registrirbeobachtungen der Temperatur und des Luftdruckes. Monatsmittel.

1841	Annalen für Meteorologie, Erdmagnetismus etc.	Heft 1, S. 50
1842, Januar bis Juni	„ „ „ „	„ 3, „ 26
1842, Juli bis December	„ „ „ „	„ 4, „ 114
1848 bis 1854	Annalen der Sternwarte	Band 8, S. 338
1855 bis 1859	„ „ „	„ 12, „ 272
1860 bis 1866	„ „ „	„ 15, „ 380
1867 bis 1868	„ „ „	„ 18, „ 98
1869 bis 1875	„ „ „	„ 21, „ 438
Jährliche Zusammenstellung für 1867 und 1868	„ „ „	„ 18, „ 102

19. Vergleichende Meteorologie. Climatologie.

Beobachtungen.

1. Die Annalen für Meteorologie, Erdmagnetismus etc. geben bei den auswärtigen Beobachtungen zumeist die Differenz gegen München.
2. 1843, 1844, 1845: Thermometer, Barometer, Dunstdruck, Bewölkung: Beobachtungen einer Reihe von Städten, verglichen mit München: Annalen der Sternwarte Bd. 1, S. 341.

Abhandlungen.

1. Im Allgemeinen:
 Ueber die Temperaturverhältnisse in Bayern . . Annalen Band 3, S. CLIX.
 Jahrbuch für 1839, S. 232.
 Jahresbericht für 1854, S. 15, 23.
 Allgemeine Resultate für Bayern Jahrbuch für 1840, S. 209.
 Klima und Vegetation, von Meister Kalender für 1852, S. 99.
 Ferner, nebst Mittheilungen über die Instrumente der Bayerischen Stationen Jahresbericht für 1852, S. 87.
 Vergl. auch die Denkschrift: Resultate aus den an der k. Sternwarte veranstalteten met. Unters.
2. Der meteorologische Verein:
 Allgemeines Annalen f. Met., Erdmagn. etc. Heft 1, Vorwort.
 Jahrbuch für 1841, S. 108.
 Die Stationen desselben Annalen f. Met., Erdmagn. etc. Heft 4, S. III.
 Die Beobachtungen desselben Jahrbuch für 1841, S. 192.
3. Die Beobachtungen der Gerichtsärzte. Vergl. Jahrbuch für 1839, S. 256.
 Jahrbuch für 1841, S. 91.
 Jahresbericht für 1852, S. 119.
 Auszüge aus den Beobachtungen Annalen f. Met., Erdmagn. etc. Heft 3, S. 42.
4. Die Bereisung von Bayern zum Behufe magnetischer und meteorologischer Bestimmungen Kalender für 1850, S. 151.

20. Temperatur des Bodens und der Gewässer.

Münchener Beobachtungen.

Temperaturen der Isar und der rechtsseitigen Quellen bei München 1852 bis 1856 (Isar täglich einmal, Quellen wöchentlich einmal) . Annalen Band 9, S. 122
Bemerkungen hierzu ,, ,, 9, ,, 121 u. 134
Mittelwerthe hierzu Jahresbericht für 1854, S. 15
Supplementband 3, S. 291
Bemerkungen über letztere ,, 3, pag. LXXIII
ferner Jahresbericht für 1854, S. 16.
Temperaturen des Brunnens der Sternwarte, October 1857 bis September 1860 Supplementband 4, S. 113
Vergl. auch Jahresbericht für 1858, S. 58.

Bodentemperaturen.
October 1860 bis November 1862 Supplementband 4, S. 97
Bemerkungen dazu ,, 4, ,, 91
October 1860 bis December 1866 ,, 6, ,, 152
Bemerkungen dazu ,, 6, ,, XLIII
Zugehörige mittlere Lufttemperatur ,, 6, ,, 207
Mittelbildungen ,, 6, ,, 211
Druckfehler ,, 6, ,, 215
1867 Januar bis 1869 December Wochenberichte.
1870 bis x vergl. unter „Directe Beobachtungen".

Auswärtige Beobachtungen.
Wasserstand der Donau in Passau Jahrbuch für 1840, S. 233
Temperatur des Fluss- und Quellwassers bei Dillingen (von Pollak) . . Kalender ,, 1851, ,, 255
Mehrjährige Pegelbeobachtungen (besonders 1835 bis 1849: Donau bei Dillingen, von Pollak) ,, ,, 1852, ,, 130
Temperatur zweier Quellen bei Dillingen ,, ,, 1853, ,, 101.

21. Luft-Electricität.

Allgemeines.
Ueber das Instrument: „Beschreibung der an der Münchener Sternwarte . . ."
Ferner: Annalen Band 7, S. 176.
Jahresbericht für 1852, S. 74.

Beobachtungen.
1850 bis 1853, stündlich bei Tage . . Annalen Band 7, S. 132, Bemerkungen Band 7, S. 131
1854, 1855 ,, ,, ,, . . ,, ,, 9, ,, 96, ,, ,, 9, ,, 95
,, ,, 9, ,, 120
1856 ,, ,, ,, . . ,, ,, 10, ,, 96, ,, ,, 10, ,, 108.

22. Allgemeines über Erdmagnetismus.

Ueber ein magnetisches Experiment Jahresbericht für 1852 S. 131
Magnetisirung des weichen Eisens durch den galvanischen Strom. ,, ,, 1854 ,, 27
Schluss dazu ,, ,, 1858 ,, 81
Bestimmung des Gesetzes, nach welchem der Magnetismus in Stahlstäben vertheilt ist Annalen für Met., Erdmagn. etc. Heft 4, S. 206
Die Erscheinungen bei totalen Sonnenfinsternissen . . . Jahresbericht für 1858 ,, 12
Mittlere magnetische Declination in München 1840 . . Annalen für Met., Erdmagn. etc. Heft 1, ,, 154
1841, 1842 . . ,, ,, ,, ,, ,, ,, 5, ,, 89.

23. Observatorium. Instrumente. Methoden.

Ueber das magnetische Observatorium und seine Geschichte . . Supplementband 4, S. 114.
ferner: „Ueber das magnetische Observatorium der k. Sternwarte bei München"
desgl.: Jahresbericht für 1852, S. 42 und 131.

Allgemeines über Instrumente und Methoden.
Ausführliche Bemerkungen über die Instrumente . . Annalen für Met., Erdmagn. etc. Heft 1, S. 61
,, ,, ,, ,, ,, ,, 3, ,, 171
ebenso ,, ,, ,, ,, ,, ,, 5, ,, 156
Annalen der Sternwarte Band 17, S. XXIII.

Specielles:

Ueber Differentialinstrumente	Annalen für Met., Erdmagn. etc. Heft 1 S. 164
Correction der absoluten Intensitätsmessungen wegen des in den Magnetstäben inducirten Magnetismus .	„ „ „ „ „ „ 1 „ 198
Der Theodolith	„ „ „ „ „ „ 2 „ 179
	„ „ „ „ „ „ 9 „ 190
Lamont's Methode, die Horizontalintensität in absolutem Maass zu bestimmen	„Ueber das magn. Obs. . ."
ebenso die Abhandlung	„Ueber die Bestimmung der absoluten Intensität."
ferner . . .	Annalen für Met., Erdmagn. etc. Heft 4, S. 217
	„ „ „ „ „ „ 4, „ 224
Lamont's magnetische Wärmecompensation . . .	„ „ „ „ „ „ 4, „ 229.

24. Magnetische Beobachtungen.

Jahre	Inhalt	Nachweis	Bemerkungen
1840 August bis Dec.	Declination u. Intensität; Zeiten: bei Tage stündlich, bei Nacht zweistündlich, mit Ausnahme des August, welcher für beide Instrumente verschieden.	Annalen für Meteorologie, Erdmagnetismus etc. Heft 1, S. 72.	Temperatur des Observatoriums in dieser Periode S. 92.
1841 Jan. bis 1842 Juli	Declination und Intensität. Bei Tage stündlich, bei Nacht zweistündlich.	Ebendaselbst Heft 3, S. 76	Vergl. Heft 3, S. 75. „ „ 5, „ 156. Temperat. d. Obs. 3, S. 152. Die Instrumente 3, „ 171.
1842 August bis Dec.	Declination u. Intensität, ebenso.	„ „ 5, „ 98	Bemerkungen S. 97, 156. Temperatur d. Obs. S. 146.
1843 Januar	Declination und Intensität. Bei Tage stündlich, bei Nacht: 8, 10, 11, 12, 1, 2, 4, 6.	„ „ 5, „ 108	
1843 Februar bis Mai	Declination, Intensität, Inclination. Bei Tage stündlich, bei Nacht: 7, 8, 9, 10, 12, 1, 2, 4, 6.	„ „ 5, „ 110	Inclination vergl. Heft 8, S. 97.
1843 Juni bis December	Ebenso.	„ „ 8, „ 98	Temperatur d. Obs. S. 148.
1844 Januar bis März	Ebenso.	„ „ 10, „ 98	Bemerkungen S. 97.
1844 April bis Juni	Declination, Intensität, Inclination, bei Tage stündlich, bei Nacht: 8, 10, 11, 12, 1, 2, 4, 6.	„ „ 12, „ 4	Bemerkungen S. 3. Temperatur d. Obs. S. 22.
1846 Januar	Declination, Intensität, Inclination, einzelne Stunden, verschieden.	Annalen d. Sternw. Bd. 3, S. 3	Anmerkungen über die Instrumente, auch für das Folgende: Bd. 3, S. 1. Druckfehler: S. 2 Zeile 8 von unten + 0.105 t statt — 0.105 t.
1846 Februar	Dasselbe, stündlich bei Tage.	„ „ „ 3, „ 6	
1846 März bis Dec.	Wie April bis Juni 1844.	„ „ „ 3, „ 6	Fehler Band 3, S. CLXXX und S. 72.
1847 Januar	Wie April bis Juni 1844.	„ „ „ 6, „ 2	
1847 Februar	Verschieden.	„ „ „ 6, „ 8	
1847 März bis 1851 Dec.	Bei Tage, stündlich.	„ „ „ 6, „ 14	Aenderungen d. Instrumente S. 188.
1852, 1853	Ebenso.	„ „ „ 7, „ 2	Von jetzt ab ist jeder Uebersicht eine Mittheilung über die Aenderungen der Instrumente beigegeben.

Jahre	Inhalt	Nachweis	Bemerkungen
1854	Bei Tage, stündlich.	Annalen d. Sternw. Bd. 7, S. 296	
1855	Ebenso.	„ „ „ 9, „ 2	
1856	„	„ „ „ 10, „ 2	
1857, 1858	„	„ „ „ 11, „ 2	Bemerkungen hierzu S. 65 und Jahresbericht für 1852 S. 45.
1859 bis 1862	„	„ „ „ 13, „ 2	Correcturen für 1859 liegen im Manuscript vor.
1863 bis 1866	„	„ „ „ 16, „ 48	Erklärung Band 3, S. 1, Supplementband 4, S. 121.
1867, 1868	„	„ „ „ 17, „ 106	Vergl. auch hier Supplementband 4, S. 121.
1869	„	„ „ „ 19, „ 248	

1870 bis 1886 vergl. die entsprechenden Jahrgänge unter Meteorologie.

25. Schwankungen der magnetischen Kraft.

Man vergleiche Annalen der Sternwarte Band 1, S. 1.
„ „ „ „ 17, „ XXIII.
Annalen für Meteorologie, Erdmagnetismus etc. Heft 1, S. 61.

Jahre	Inhalt	Nachweis	Bemerkungen
1842	Bei Tage stündlich, bei Nacht zweistündlich.	Annalen Band 1, S. 2	
1843 bis 1845 Nov.	Bei Tage stündlich, bei Nacht: 8, 10, 11, 12, 1, 2, 4, 6.	„ „ 1, „ 2	Seit März 1843 auch Inclination.
1845 December	Bei Tage, stündlich.	„ „ 1, „ 2	
1846 Januar	7, 8, 10, 2, 4.	„ „ 9, „ 162	Vergl. S. 161.
1846 Februar	Bei Tage, stündlich.	„ „ 9, „ 162	
1846 Febr. bis 1847 Jan.	Bei Tage stündlich, bei Nacht: 8, 10, 11, 12, 1, 2, 4, 6.	„ „ 9, „ 162	
1847 Febr. bis 1855 Dec.	Bei Tage, stündlich.	„ „ 9, „ 162	
1856 bis 1865	„ „ „	„ „ 18, „ 104	Vergl. 17, S. XXIII. „ 18, „ 163. Fehler: 18, „ 450.

26. Magnetische Störungen.

1840, Göttinger Zeit Annalen für Meteorologie, Erdmagnetismus etc. Heft 4, S. 1
1841 „ „ „ „ „ „ 5, „ 9
1842 „ „ „ „ „ „ 7, „ 3
1843 „ „ „ „ „ „ 9, „ 97
1844 Januar bis März „ „ „ „ „ „ 10, „ 200
Vergl. auch „ „ „ „ „ „ 8, „ 179.

27. Erdmagnetische Mittelbildungen und Resultate.

1841, 1842 für die Declination Annalen für Met., Erdmagn. etc. Heft 5, S. 90.
1842 bis 1845. Mit verschiedenen Lücken: Monatliche, tägliche, halbjährliche Mittelbildungen Annalen der Sternwarte Band 1, S. 260.
Resultate für die Periode 1840, 1841, 1842: die Denkschrift: Resultate der magnetischen Beobachtungen.
„ „ „ „ 1843, 1844, 1845: „ „ Resultate des magnetischen Observatoriums.
Ferner vergl. den Sitzungsbericht: Ueber die zehnjährige magnetische Periode.
Magnetische Constanten in München Annalen Band 3, S. LXX.
Zusammenstellung und Berechnung der absoluten Intensitätsbestimmungen 1841 bis 1858 Supplementband 4, S. 140.

28. Magnetische Reisebestimmungen.

Ueber die Bereisung des Königreiches Bayern zum Behufe magnetischer und meteorologischer Bestimmungen . . Kalender für 1850, S. 151
„ „ 1852, „ 159.
Ferner über Reisebestimmungen Jahresbericht für 1854, S. 9
„ „ 1858, „ 25.
Beobachtungen in Frankreich und Spanien 1860 . . . Supplementband 4, S. 14.
Die Gesammtresultate der Reisebestimmungen finden sich in den Schriften, welche S. 6 unter „Magnetische Reisebestimmungen" verzeichnet sind.

29. Sonstige Vergleichungen für verschiedene Orte.

Interpolationsformeln Annalen Band 3, S. LXX
Kalender für 1851, „ 98.
Bericht über den Erfolg der magnetischen Observatorien „ „ 1851, „ 216.
Ueber die Richtung, welche die Untersuchung des Erdmagnetismus gegenwärtig zu befolgen hat Jahresbericht für 1858, S. 52.
Einzelne Angaben Annalen für Met., Erdmagn. etc. Heft 8, S. 179
„ „ „ „ „ „ 10, „ 172.

30. Physicalische Zusammenstellungen.

Specifische Gewichte Jahrbuch für 1838, S. 89, ebenso 1839, 1840
Ausdehnungscoefficienten „ „ 1838, „ 94, „ 1839, 1840
Vergleichung der Thermometer- und Barometer-Scalen . . „ „ 1838, „ 96, „ 1839, 1840.

31. Höhen.

Gauss'sche Tafeln zur Berechnung der Höhendifferenz aus Barometerbeobachtungen Jahrbuch für 1841, S. 151.
Tafeln zur Berechnung der Meereshöhe aus Barometer- und Hypsometerbeobachtungen Annalen Band 3, S. CXXXIX.
Höhenpunkte. Auszüge hieraus s. unter Geographie.
Die vorzüglichsten Höhenpunkte in Bayern Annalen Band 3, S. LXXIV
Nachträge dazu . . „ „ 3, „ CXXXVI
„ „ 4, „ LXX
„ „ „ in der Pfalz „ „ 5, „ LXX
Bahnhöfe und Haltstellen der Ludwigs-West-Bahn und der Augsburg-Ulmer-Bahn „ „ 5, „ LXXII.

32. Geographie.

Ausführliches über Höhenpunkte vergl. Höhen.
Bayerische Geographie.
Höhen Jahrbuch für 1838, S. 42, ebenso 1839, 1840
Flussgefälle „ „ 1838, „ 52, „ 1839, 1840
Geographische Positionen „ „ 1838, „ 55, „ 1839, 1840, 1841.
Allgemeine Geographie.
Höhen von Bergen, Pässen, Orten . Jahrbuch für 1838, S. 62, ebenso 1839, 1840 (letzteres umfangreich)
Geographische Positionen von Städten „ „ 1838, „ 68, „ 1839, 1840, 1841.

33. Statistik.

Allgemeines Jahrbuch für 1840, S. 159
Stand und Bewegung der Bevölkerung im Decennium um 1830 „ „ 1838, „ 100
Volkszählung 1837 „ „ 1839, „ 129

Mortalitätstafel für die bayerischen Staatsdiener	Jahrbuch für 1838, „ 121	
für München	„ „ 1838, „ 138	
für Bayern	„ „ 1840, „ 167	
Statistik von München	„ „ 1838, „ 135	
ferner	„ „ 1839, „ 169	
Landwirthschaftliche Statistik	„ „ 1838, „ 130	
Strafrechtsstatistik	„ „ 1839, „ 144	
Vergleichungen mit dem Ausland	„ „ 1839, „ 157	
Vermischtes	„ „ 1839, „ 149.	

34. Maasse, Gewichte, Münzen.

Ueber eine Maassbestimmung durch die Diffraction des Sonnenlichts	Jahrbuch für 1839, S. 188
1. Verschiedene Längenmaasse, Gewichte	„ „ 1838, „ 73
Gesetzliche Bestimmungen für Bayern	„ „ 1839, „ 92, ebenso 1840, 1841
Längenmaasse, Gewichte, Hohlmaasse, nach Staaten geordnet	„ „ 1839, „ 96, „ 1840, 1841
2. Verschiedene Münzen	„ „ 1838, „ 80
Gesetzliche Bestimmungen über das Münzwesen verschiedener Staaten (beansprucht Zuverlässigkeit)	„ „ 1839, „ 105, „ 1840, 1841.

35. Populäre Abhandlungen.

Zur Astronomie.	
Ueber Rechenmaschinen	Jahrbuch für 1839, S. 225
Ueber Zeitmaass	„ „ 1838, „ 34
Ueber galvanisch registrirende Uhren	Kalender für 1852, „ 150
Die Sternwarten des Alterthums	„ „ 1851, „ 208
Ueber die bisher verfertigten grossen Fernröhre	Jahrbuch für 1838, „ 163
Ueber die Sonnenparallaxe, besonders durch Venusbeobachtungen in der unteren Conjunction	Kalender für 1850, „ 161
Poisson's Hypothese für die Wärmezunahme im Inneren der Erde	Jahrbuch für 1838, „ 203
Das Planetensystem nach seinem gegenwärtigen Bestande und künftigen Aussichten	Kalender für 1850, „ 132
Anordnung und physicalische Beschaffenheit der Planeten	Jahrbuch für 1838, „ 175
Die Atmosphäre des Mondes	„ „ 1838, „ 207
Die Ringe des Saturn	„ „ 1839, „ 216
Ueber den Planeten Uranus	„ „ 1839, „ 213.
Zur Meteorologie.	
Ueber Höhenrauch, von Meister	Kalender für 1851, S. 246.
Zu Physik und Erdmagnetismus.	
Ueber Lichterscheinungen bei electrischen Entladungen, von Kuhn	Kalender für 1852, S. 111
Ueber Telegraphie, von Kuhn	„ „ 1851, „ 222
Ueber Blitzableiter, von Kuhn	„ „ 1850, „ 124
Die Erscheinungen des Magnetismus, von Kuhn	„ „ 1850, „ 139
Ueber Erdmagnetismus	Jahrbuch für 1841, „ 237.

AKADEMISCHE BUCHDRUCKEREI VON F. STRAUB IN MÜNCHEN

Herr G. Franz'sche Hofbh., München

erhalten anbei als **Recensionsbeleg** über:

Neue Annalen d. Bogenh. Sternwarte II.

einen Ausschnitt aus No. 33 des

Literarischen Centralblattes für Deutschland.

Mit der Bitte um fernere Einsendung von zur Besprechung geeigneten Werken

hochachtungsvoll

Leipzig. **Expedition des Messkatalogs.**

Neue Annalen der königl. Sternwarte in Bogenhausen bei München. Herausg. von Hugo Seeliger, Director der Sternwarte. 2. Bd. Mit 3 Tafeln. München, 1891. Franz in Comm. (IV, XXII, 172, 94, 42, 18, 35, 24 u. 21 S. 4.) ℳ. 25.

33

Der 2. Band der neuen Münchener Annalen enthält eine Reihe von kleineren Abhandlungen, die zum Theil schon früher durch Separatabdrücke verbreitet und in diesem Blatte besprochen worden sind. Hierher gehören Nr. 1, 2, 6, 7; zu Nr. 2: Oertel, Ausmessung des Sternhaufens 38 h Persei, wäre nur noch zu erwähnen, daß ein vom Verf. bei der Berechnung der Refraction begangenes Versehen jetzt in einem Nachtrage berichtigt worden ist. Von den übrigen Abhandlungen des Bandes enthält zunächst Nr. 3 die Resultate einer Abzählung der in den beiden Bonner Durchmusterungen enthaltenen Sterne, welche bisher nur auszugsweise in zwei von Prof. Seeliger in den Abhandlungen der bayerischen Akademie veröffentlichten Abhandlungen mitgetheilt waren. In der Abhandlung Nr. 4 bespricht Dr. J. Bauschinger die Untersuchungen, welche er vermittelst eines sinnreich construirten Hülfsapparates über die Biegung von Meridianfernrohren angestellt hat. Dieselben sind von um so größerer Wichtigkeit, als das bisher fast ausschließlich zur Anwendung gekommene Bessel'sche Verfahren nur die Bestimmung der Biegung im Horizont gestattet, die Untersuchungen von Bauschinger sich aber auf alle Zenithdistanzen ausdehnen. Der Verf. hat seine Versuche, die sich auf den Einfluß der Temperaturverschiedenheit auf die Biegung erstrecken, nur an einem provisorischen Instrument ausführen können, und es ist nur zu wünschen, daß ihm recht bald die Fortsetzung derselben an wirklichen Meridianfernrohren ermöglicht werden wird. Von demselben Verf. rührt die Abhandlung Nr. 5 her, Ableitung der Eigenbewegung von 90 teleskopischen Sternen, welche in den Münchener Zonen vorkommen, 42 von diesen Eigenbewegungen sind bereits anderweitig bekannt; doch auch von diesen hat sich eine Neuberechnung als vortheilhaft erwiesen. Zur Reduction der älteren Kataloge auf ein einheitliches System hat sich Dr. Bauschinger der Tabellen von Bruhns in den Astr. Nachr. 2381 bedient. Da aber diese Tabellen sich in AR. auf das System Wolfers, in Decl. auf das System Auwers beziehen, und andererseits dem zweiten Münchener Sternverzeichnisse der Fundamentalkatalog der astronomischen Gesellschaft zu Grunde liegt, ist hierdurch eine Gleichheit des Systems für alle Beobachtungen nicht erreicht worden und es wäre streng genommen noch eine Reduction von „Wolfers-Auwers" auf das System der astronomischen Gesellschaft zu berücksichtigen gewesen. K.

manchen Fällen dankenswerthe Fingerzeige für die Untersuchung geben. Die vorliegende erste Lieferung umfaßt neben den Stärkesorten einige andere pulverförmige Drogen und Blätter. Daß die Figuren in allen Fällen genau und richtig angefertigt sind, dafür bürgt der Name des Verf.'s, dessen schöne Zeichnungen seiner früheren Arbeiten die Freude jedes Pharmakognosten bilden. Leider sind dieselben diesmal nicht in Holzschnitt, sondern (wohl nach Tuschzeichnungen) in Lichtdruck hergestellt, wobei wahrscheinlich der billige Preis, zu dem der ganze Atlas geliefert werden soll, maßgebend gewesen ist. Die Figuren lassen daher in manchen Fällen die wünschenswerthe Schärfe vermissen. Bei den Blättern sind meist Flächenansichten der Epidermen, Querschnitte und einzelne Details (Haare, Krystalle 2c.) dargestellt. Wie der Verf. selbst sagt, soll sein Buch zur Orientierung und als Ergänzung für Lehrbücher der Pharmakognosie dienen und diesen Zweck wird es erfüllen, es enthebt die Interessenten aber nicht der Pflicht, vor allen Dingen in vorkommenden Fällen die fraglichen Gegenstände an zweifellosen Stärken selbst zu untersuchen, denn es ist nicht möglich, alle Details und alle möglichen, zuweilen charakteristischen Combinationen a priori bildlich darzustellen. Ob es praktisch gewesen ist, alle Tafeln nach derselben (250maligen) Vergrößerung herzustellen, erscheint fraglich; während einige die Gegenstände in überflüssig starker Vergrößerung zeigen, hätte man dieselbe in anderen Fällen stärker gewünscht.

Flückiger, F. A., Reactionen. Eine Auswahl in pharmaceutischer Hinsicht wichtiger Präparate der organischen Chemie in ihrem Verhalten zu den gebräuchlichsten Reagentien. Berlin, 1892. Gaertner's Verl. (VII, 166 S. Kl. 8.) ℳ 4.

Die vom Verf. in seiner kleinen Schrift behandelten Präparate sind solche, die theils im Laboratorium synthetisch dar-

…rsuchung
…ben den
… Blätter.
…gefertigt
…ne Zeich-
…armako-
…in Holz-
…ichtdruck
… dem der
… ist. Die
…swerthe
…ansichten
…re, Kry-
…ein Buch
…er Phar-
…s enthebt
…ingen in
… zweifel-
… möglich,
…en Com-
…ktisch ge-
…rößerung
…enstände
… dieselbe

…rmaceuti-
…hemie in
… Berlin,

…ten Prä-
…tisch dar-

Akademische Buchdruckerei von F. Straub in München.

2,40

J. Gruber

Seeliger, Hugo

Neue Annalen der K. Sternwarte in Bogenhausen bei München Auf Kosten der K. b. Akademie der Wissenschaften herausgegeben von Hugo Seeliger

Bd.: 2

München 1891

2 Bavar. 36-2
urn:nbn:de:bvb:12-bsb11454374-1